

## فصل اول

### کش و فشار

#### ۱-۱ مقدمه

مقاومت مصالح شاخه‌ای از مکانیک کاربردی است که رفتار اجسام جامد را تحت بارگذاری‌های مختلف بررسی می‌کند. اجسام جامدی که در این درس مطالعه می‌شود عبارتند از میله‌های با بارگذاری محوری، محورهای مکانیکی، تیرها، ستون‌ها و همچنین سازه‌هایی که از مجموعه‌ای از این اجزاء ساده تشکیل می‌شود. معمولاً هدف از تحلیل تعیین تنش، کرنش و نغییر شکل ایجاد شده بوسیله بارها در فطعات ساختمان و به طور کلی اجزاء یک ساره می‌باشد. اگرستوانیم این کمیت‌ها را برای تمام مقادیر بار تا سار بست حساب کیم در این صورت نصویر کاملی از رفتار مکانیکی جسم یا سازه مورد نظر خواهیم داشت.

تحلیل‌های نظری و نتایج نجربی در مطالعه مقاومت مصالح اهمیت مساوی دارند. در بسیاری از مواقع ما استدلال منطقی فرمول‌ها و معادلاتی برای تخمین رفتار مکانیکی سازه‌ها بدست می‌آوریم ولی در عین حال ممکن است آنکه باشیم بدون در نظر گرفتن خواص ماده یا مصالح مصرفی نمی‌توان این فرمول‌ها را به طور واقع بینانه‌ای بکار برد. خواص مکانیکی مصالح فقط بعد از انجام آزمایش‌های ماسه در آزمایشگاه بدست خواهند آمد. همچنین بسیاری از مسائل مهم مهندسی را ممکن نمی‌دانند با استفاده از روش‌های تئوری به طور موثری حل نمود و اندازه کبری‌های نجربی عملنا" مورد سیاست می‌گردد. پیشرفت مقاومت مصالح در طول ناریخ محلوط‌حالی از تئوری و تجربه می‌باشد به طوریکه در بعضی از مواقع

نام کتاب : مقاومت مصالح

نام مؤلف : دکتر حجت الله عادلی

نام ناشر : انتشارات دهدزا تلفن : ۶۴۶۰۱۸۵

نوبت چاپ : هفتم و بهار ۱۳۷۵

نیاز : چهارهزارنخه

قطع و صفحه : وزیری ۱۰+۷۶۰ صفحه

چاپ : مردمی

صحافی : ایران هنر

۳

غوطهور، روی سطح مقطع به طور پیوسته توزیع ندهاد. نتیجہ سیرو، یعنی سیرو در واحد سطح، به نام نش نامیده می شود و معمولاً "با حرف یونانی Σ سیان داده می شود. با فرص ایکه نش توزیع یکنواختی روی مقطع داشته باشد (شکل ۱-۱) سرآبدنیروهای فوق بر اساس با حاصل صرب تند  $\sigma$  و مساحت سطح مقطع میله A. علاوه از شرایط تعادل جم نشان داده سده در شکل ۱-۱ نتیجه می شود که برآبید مربور سایدبرابر با  $\sigma$  باشد. در نتیجه داریم

$$\sigma = \frac{P}{A} \quad (1-1)$$

بدین سرتیپ معادله نتیج یکنواحت در یک میله مستوری بدست می آید. این معادله نشان می دهد که نش واحد سیرو سر سطح دارد. در مقاومت مصالح سیستم آحاد مورد استفاده می باشد. در سیستم انگلیسی سیرو سر حس پاوند (lb) و سطح برحسب اینچ مربع ( $in^2$ ) اندازه گیری می شود، از این رو واحد نش پاوند در اینچ مربع می باشد که سازی  $psi$  نشان داده می شود. در سیستم آحاد بین المللی با  $SI^1$  واحد نیرو نیوتون (N) واحد سطح متر مربع می باشد. واحد نش در این سیستم نیوتون در متر مربع موسوم به پاسکال (Pa) می باشد. جون ار لحاظ مقاومت مصالح پاسکال واحد کوچکی است عالی "مگا پاسکال (MPa)" بکار برده می شود که معادل نیوتون در میلی مترمربع ( $N/mm^2$ ) می باشد. بالاخره سیستم MKS که در آن واحد های اصلی متر و کیلو گرم نیرو و ثانیه می باشند. در این سیستم واحد متداول نش کیلو گرم بر سانتیمتر مربع ( $Kg/cm^2$ ) است.

موقعی که میله فوی کنیده می شود نش ایجاد شده به نام نش کشی نامیده می شود. اگر جهت سیروها را عوچ کیم میله سخت فشار قرار می گیرد و نش ایجاد شده نش کشی فشاری خوانده می شود. در مقاومت مصالح معمولاً "نش کشی را مبت و نش فشاری را منفی فرض می کند. اشکال ۲-۱ و ۲-۱ به خوانده کمک می کند تا سرای نش های کشی و فشاری احساس پیدا کند.

1- Système International.

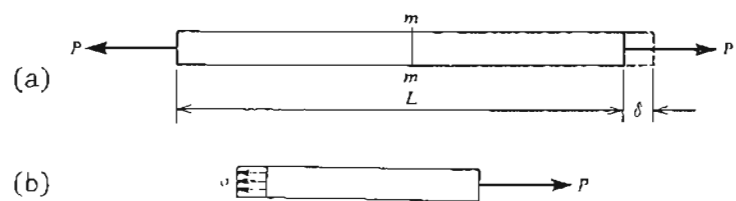
۴

آزمایش منحر به نتایج جالبی گردیده و در موقع دیگر سوری نتایج جدیدی ارائه داده است. اتحاد متشهوری همچون لئوارد اویچی ( ۱۵۱۹ - ۱۴۵۲ ) و گالیله ( ۱۶۴۲ - ۱۵۶۴ ) آزمایش های سرای نعین مقاومت سیم ها، میله ها و نیروها انجام داده هر چند که آنها با استاندارد امروزه هیچ گونه تصوری سرای سوحبه نتایج آزمایش های خود ارائه ندادند.

در مقابل، ریاضی دان معروف لئوارد اویلر ( ۱۷۸۲ - ۱۷۴۴ ) سوری ریاضی سنتون ها را توسعه داد و در سال ۱۷۴۴ سارحرایی بک سون را مدت ها فل از اینکه هیچ گونه نتایج تحری و خود داشه باشد حساب کرد. بدین ترتیب نتایج سوری اویلر سالها بدون اسفاده ساقی ماند هر چند که این نتایج امروزه اساس نشوری سنتون ها را شکل می دهد.

## ۱- نش و کرنش

مفاهیم نش و کرنش را می توان به طور ساده با مطالعه یک میله منثوری نحت کشش سیان نمود. میله منثوری میله ایست که در سراسر طولش و یک محور مستقیم دارای سطح مقطع ثابت باشد. در شکل ۱-۱ فرض می شود که میله در دو انتهایش با سروهای محوری P بارگذاری شده باشد که در آن ایجاد یک کشش یکنواخت می کند. بوسیله یک برش مصنوعی در مقطعی عمود بر محور میله، مثل مقطع mm، می توانیم قسمتی از میله را به صورت جم آزاد جدا کنیم ( شکل ۱-۱ ). در انتهای راست نیروی کشی P وارد شده و در انتهای دیگر نیروهایی وجود دارد که معرف عمل فرم جدای شده روی قسمت مورد نظر می باشد. این نیروها، مشابه توزیع پیوسته فشار هیدرولستاتیکی روی یک جسم



شکل ۱-۱ میله منثوری تحت کشش

۵  
اگر مختصات نقطه اثر نیروی  $P$  را که در امتداد برآیند نیروهای  $\sigma$  می‌باشد با  $x_p$  و  $y_p$  نشان دهیم از معادلات تعادل روابط زیر تیجه می‌شود :

$$P_{x_p} = \int_A (\sigma dA)x \quad (1-4)$$

$$P_{y_p} = \int_A (\sigma dA)y \quad (1-5)$$

از این روابط مختصات نقطه اثر سیروی  $P$  بدست می‌آید .

$$x_p = \frac{\int_A \sigma x dA}{P} \quad (1-6)$$

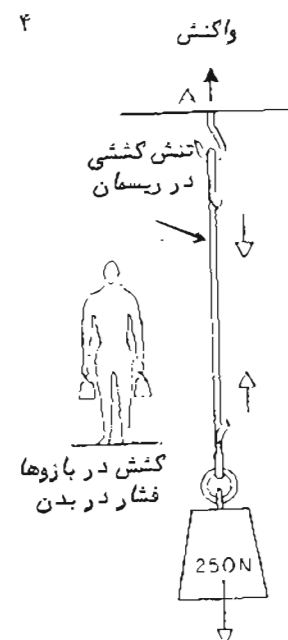
$$y_p = \frac{\int_A \sigma y dA}{P} \quad (1-7)$$

اگر  $\sigma$  در مقطع ثابت باشد رابط ۱-۱ صادق است و با استفاده از این رابطه معادلات ۱-۶ و ۱-۷ به معادلات ۱-۲ و ۳-۱ مجز می‌شوند، به عبارت دیگر  $x_c = x_p$  و  $y_c = y_p$  از مرکز سطح مقطع عبور می‌کند.

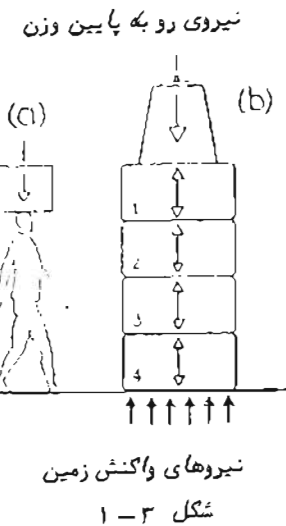
موقعی که بار  $P$  در مرکز سطح مقطع اثر کند میله تحت خواهد بود و تحلیل مفصل تری لارم می‌گردد که بعداً در آین کتاب مورد بحث فرار خواهد گرفت. در سراسر این کتاب فرض می‌شود که نیروهای محوری در مرکز سطح مقطع اثر کند مگر در مواردی که عکس این مطلب ذکر شده باشد. همچنین بجز در مواردی که صریحاً "ذکر خواهد شد به طور کلی از ورن اجسام (مانند مثال شکل ۱-۱) صرف نظر می‌شود.

اضافه طول (با کاهش طول) یک میله تحت نیروهای محوری را با حرف یونانی  $\delta$  نشان می‌دهیم (شکل ۱-۱). اضافه طول (با کاهش طول) در واحد طول به نام کرنس خواهد می‌شود که از رابطه زیر بدست می‌آید :

$$\epsilon = \frac{\delta}{L} \quad (1-8)$$



شکل ۲ - ۱

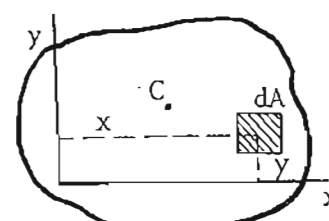


شکل ۲ - ۱

شرط لارم برای درستی معادله ۱-۱ این است که تنش روی سطح مقطع به طور بکنوخت توزیع شده باشد. این شرط موقعی بر قرار خواهد شد که نیروی محوری  $P$  در مرکز سطح مقطع میله وارد شود. این نکته را می‌توان با استفاده از معادلات تعادل تحقیق نمود. در شکل ۴-۱ یک اختیاری برای مقطع میله منشوری فرض شده است . مختصات مرکز سطح  $C$  از روابط زیر بدست می‌آید :

$$x_C = \frac{\int_A x dA}{A} \quad (1-2)$$

$$y_C = \frac{\int_A y dA}{A} \quad (1-3)$$



شکل ۴ - ۱

خطی است. بعد از A بین تنش و کرنش دیگر رابطه خطي وجود ندارد، از این جهت نقطه A حد تسلیم طول میلde بکواخت باشد. تنش حد تسلیم طول برای سازهای سازهای مولاد کریں کم معمولاً بین  $2100 \text{ Kg/cm}^2$  تا  $2500 \text{ Kg/cm}^2$  میباشد ولی سرای مولاد های با سرعت زیاد میتوانند خیلی بینتر باشد. با اضافه سودن بار، کرنس سبب به تنفس سریع تر اضافه میشود تا اینکه در نقطه B بدوف افزایش قابل ملاحظه نیروی کنشی از دیاد طول قابل ملاحظهای شروع میشود. از پذیره به "تسلیم شدن ماده" معروف است و تنش نقطه B به نام تنش تسلیم خوانده میشود. در ناحیه BC ماده بصورت خصوصی در می آید و میله میکن است به حالت حسیری مه مقدار ۱۵ برابر حد تسلیم افزایش طول پیدا کند، در نقطه C ماده شروع به سخت شدن و در مقابل از دیاد بار مقاومت میکند. این پذیره موسم به "نخست سوندگی کرنش" میباشد. بدین ترتیب هر اما افزایش طول بینتر، تنش نیز افزایش میپايد. اینکه در نقطه D به یک حدنهایی مرسد. تنش نقطه D به نام تنش نسبای نامیده میشود. بعد از این نقطه افزایش طول میله با کاهش بار همراه میباشد که بالآخره در نقطه E به گسترشند میلde منجر شود.

از دیاد طول میله با انتظام حاصل آن همراه است که مجرب به کم شدن مساحت سطح نقطه میگردد. این پذیره ناچفه C اثر محسوس در روی مسنجی تش - کرنس مساحت میله میگردد. کاهش مساحت سطح مقطع اثر فال توچهای در مدار تنفس دیاد ولی بعد از نقطه C میله کرنس در مدار تنفس مسایه شده خواهد داشت. میله در سطح طولی ساریک میشود ( شکل ۶ - ۱ ) و اگر ساخت سطح مقطع واقعی در قسمت ساریک شده در مساحه ۰ بکار رود مسنجی تنفس - کرنس واقعی بست میآید ( محی ABCDE ) . با وجود اینکه بار کلی که میله تحمل میکند بس از تنش نسبای کاهش میپايد ( محی DE ) ، کاهش میله در اثر کم تنش را تحمل میکند تا آنکه نمونه پاره شود. برای اکثر کار سودهای عملی میتوان مختنی مهمول تنش - کرنس ( OABCDE ) را اساس سطح مقطع اولیه سونه بکار برد.



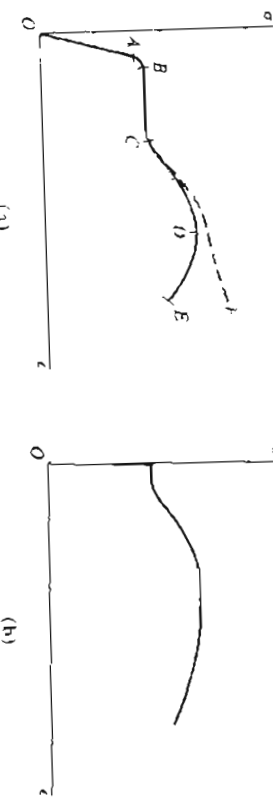
شکل ۶ - ۱ باریک شدن میله در اثر کرنس

لاین رابطه طول کل میله میباشد. کرنس وقتی از رابطه ۸ - ۱ با دقت به دست میآید که مقدار آن در تمام طول میله بکراحت باشد. توجه کنید که کرنس یک کمپ بدوں بعد است. موقعی که میله سخت کش است کرنس کشنی و موقی که میله تحت دشار است کرنس فشاری میباشد. در حالت احیاناً مقاطع مجاور هم به یکدیگر نزدیک میشوند.

در علاوه مصالح معمولاً کرنس کشنی را مثبت و کرنس فشاری را منفی فرض میکنند.

### ۳ آزمایش کرنس

رابطه بین تنش و کرنس در یک ماده مورد نظر با آزمایش کرنس تعیین میشود. نمونهای از ماده میور معمولاً به شکل یک میله گرد ( میله با مقطع دایره ای ) در داخل ماشین کرنس فرار داده میشود و تنشت کش قرار میگیرد. نیزه و از دیاد طول میله با اضافه کردن ندریجی بار انداره گیری میشود. با تعیین نزد مساحت سطح مقطع تنش و با تعیین از دیاد طول میله بر طول میله کرنس پیش امیشود. بدین طوری منحنی کامل تنش - کرنس برای ماده مورد نظر بدست میگیرد.



شکل ۶ - ۱

(a)

(b)

لاین رابطه طول کل میله میباشد. کرنس وقتی از رابطه ۸ - ۱ با دقت به دست میآید که مقدار آن در تمام طول میله بکراحت باشد. توجه کنید که کرنس یک کمپ بدوں بعد است. موقعی که میله سخت کش است کرنس کشنی و موقی که میله تحت دشار است کرنس فشاری میباشد. در حالت احیاناً مقاطع مجاور هم به یکدیگر نزدیک میشوند.

در علاوه مصالح معمولاً کرنس کشنی را مثبت و کرنس فشاری را منفی فرض میکنند.

۹

برای اغلب مصالح شکنده تنش‌های مشخصه در فشار خیلی سیستم از مقادیر نظری در کنش می‌باشد.

منحنی‌های تنش - کرشن در شکل‌های ۱-۲ و ۱-۸ رفتار مصالح مختلف را در حالت سارگذاری کشته نشان می‌دهند. موقعي که نموده از ماده مورد نظر سارگذاری می‌شود، یعنی ایکه بار به تدریج کم شده و به صفر رسیده می‌شود، تمام با قسمتی از آماهه طولی که در موقع بارگذاری ایجاد شده است این می‌رود. این خاصیت مواد که در اثر آن ماده به شکل اولیه باز می‌گردد به نام خاصیت ارتحاعی خوانده می‌شود.

اگر مقادیر بارگذاری کم باشد پس از بارگذاری میله به طور کامل به حالت اولیه رسیده باشد، اما اگر مقادیر بارگذاری زیاد باشد طوری که ارحد ارتجاعی تجاوز کند میله مقادیر تغییر شکل دائمی پیدا خواهد کرد. برای فولاد و بسیاری از فلزات دیگر حد ارتجاعی و حد نسبت تعربیاً منطبق می‌باشد. اما در مواد لاستیک - ماسن خاصیت ارتجاعی مقادیر زیادی پس از حد نسبت ادامه پیدا می‌کند.

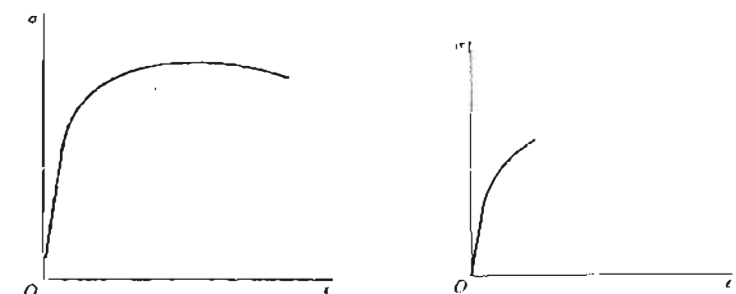
در طرح یک ساره لازم است مطمئن شویم که سازه سرای وظایف در نظر گرفته شده تحت شرایط بهره سداری بطور صحیح انجام وظیفه می‌کند. معمولاً "ساره طوری طرح می‌شود که حداقل نش زیر حد نسبت (یا حد ارتحاعی) باقی بماند زیرا فقط در این صورت است که هیچ گونه تغییر شکل دائمی در سازه پیدا خواهد شد. به منظور در نظر گرفتن بارگذاری‌های میان از اندازه نصادفی یا بی دقیقی‌های ممکن در اجرای ساختمان و همچنین سرآی منعیرهای ناعلوم احتمالی در تحلیل ساره عالیاً" ضریب اطمینانی در نظر گرفته می‌شود. بدین ترتیب که بین حد نسبت بر عددی بزرگتر از واحد به نام ضریب اطمینان فسیم می‌شود تا تنش مجاز بdest آید و سعی می‌شود که در هیچ نقطه از سازه تنش از نش مجاز تجاوز نکد. برای مثال در طرح سازه‌های فولادی برای فولادی که تنش تسلیم  $\sigma_{\text{t}} = 2300 \text{ Kg/cm}^2$  می‌باشد تنش محاز  $1400 \text{ Kg/cm}^2$  بکار برده می‌شود. با برایین ضریب اطمینان مربوطه در مقابل تسلیم ۱.۶۴ می‌باشد. برای مواد شکنده مانند معمولاً "ضریب اطمینان در مقابل تنش نهایی حساب می‌شود. ولی برای مواد شکنده مانند تنش‌های مجاز یکی از دو معادله زیر را می‌نویسیم تنش محاز بکار برد:

۸

منحنی ۱-۵ a برای سان دادن خصوصیات کلی منحنی تنش - کرشن فولاد رسم شده است ولی اندازه‌های پیش با واقعیت سطیق نمی‌باشد زیرا همانطور که قبل "تذکر داده شد کرشن از B تا C ممکن است ۱۵ برابر کرشن از O تا A باشد. همچین کرشن از C تا E حتی بیشتر از کرشن از B تا C می‌باشد. منحنی تنش - کرشن با مقایس صحیح در شکل b ۱-۵ رسم شده است. در این شکل کرشن از O تا A در مقابل کرشن A تا E تغیر کوچک است که قابل دیدن نیست و قسمت خطی منحنی به صورت یک خط عمودی به نظر می‌رسد.

وجود نقطه تسلیم مشخص و کرشن حمیری زیاد سه دسال آن تا حدودی منحصر به فولاد است که امروزه رایج‌ترین فلز سازه‌ای می‌باشد. در آلیاژهای الومینیوم انتقال از قسمت خطی به قسم غیر خطی به صورت تدریجی تری صورت می‌گیرد (شکل ۱-۷). فولاد و بسیاری از آلیاژهای الومینیوم قبل از گسیختگی تغییر شکل زیادی می‌دهند و از این رو به مواد شکل پذیر موسوم می‌باشد. از طرف دیگر موادی که شکنده هستند در کرشن‌های نسبتاً "کوچک گسیخته می‌شوند (شکل ۱-۸). از مواد شکنده می‌توان سفال، جدن، بتن، شینه و بعضی از آلیاژهای فلزی را نام برد.

برای حالت فشار نیز می‌توان منحنی‌های شبیه منحنی‌های فوق برای مصالح مختلف بدست آورده و حد تسلیم و تنش سهای را برای آنها تعریف کرد. در مورد فولاد متاهده می‌شود که حد نسبت و تنش تسلیم در کرشن و فشار نتیریا "بکسان" می‌باشد.



شکل ۱-۸ - ۱ منحنی نمونه تنش - کرشن  
برای آلیاژهای الومینیوم سازه‌ای

شکل ۱-۸ - ۲ منحنی نمونه تنش -  
کرشن برای یک ماده شکنده

قال فشرده می‌گردد. آجرپس در کوره آخر پیری نا درجه حرارت  $1000^{\circ}\text{C}$  حرارت داده می‌شود. از آنجایی که اساع مختلط خاک رس یافت می‌شوند انواع زیادی آجر نا مقاومت‌های گواگون وجود دارد.

مقاومت صاری آجر خیلی بیشتر از مقاومت کنی آن می‌باشد. مقاومت کنی آجر به قدری پایین است که ممی‌توان آن را سرای تحمل نبروهای کشی سکار برد. مقاومت فشاری آجر کاری را نمی‌توان سا آرمایش مقاوم فشاری یک آخر نهایا با دست بدست آورد زیرا سع ملاط و کیفیت اجرای کار در ردی، مقاومت آجر کاری نا، شیر می‌گذارد. تنش مجاز فشاری آجر کاری‌های معمولی بین  $5\text{Kg/cm}^2$  تا  $35\text{Kg/cm}^2$  می‌باشد.

### ۳-۴-۱- سنگ

استفاده از سنگ در کارهای ساختمانی ندیمی نز از آجر می‌باشد. با وجود اینکه امروزه استفاده از سنگ برای حمل سار در ساخت ساها رایج نمی‌باشد در نواحی که سگ ریاد و ارزان است خانه‌های کوچک را هنور می‌توان با دیوارهای سنگی ساخت. پایه‌های پل را می‌توان از سنگ ساخت. پایه‌های بسیاری اریل‌های راه آهن فرن سوزدهم در اروپا از سنگ می‌باشد. سنگ ماسد آجر شکنده اس و دارای مقاومت فشاری زیاد ولی مقاومت کنی ضعیف می‌باشد. مقاومت فشاری سنگ هاستگی به نوع آنها دارد. برای مثال تنش مجاز فشاری سنگ گرانیب در حدود  $50\text{Kg/cm}^2$  و تنش مجاز فشاری سنگ آهک مربعوب در حدود  $15\text{-}20\text{Kg/cm}^2$  می‌باشد.

### ۳-۴-۱- چوب

چوب مانند سنگ از زمان‌های ساسان به عنوان یک ماده طبیعی برای تحمل سار بکار رفته است. پله‌های اولیه در عرض رودهای کوچک یک لوحة سنگی و یا یک کندمه چوب بودند.

چون اساع مختلف چوب وجود دارند طبقت بار سری آسها متغیر است. برخلاف آخر و سنگ که دارای باف داشتند و در نتیجه شکنده می‌باشد، چوب دارای بافت لبیعی و رشتی و مقاومت کننی و فشاری حوب می‌باشد. برای هر نوع چوب مقاومت آن بر حسب اینکه باروارده در امتداد رشته‌های چوب و با عمود بر آن ناشدیده می‌گذارد. چوب‌های نرم از فسل چوب سفید، صنوبر و کاج عالیاً "بعوان تیرچه برای پوشاندن سقف خانه‌ها بکار

$$\sigma_{WY} = \frac{\sigma_Y}{n_1}$$

$$\sigma_WU = \frac{\sigma_U}{n_2}$$

( ۱-۹ ) ( برای مواد شکل پذیر )

( ۱-۱۰ ) ( برای مواد تکنده )

در این روابط  $\sigma_Y$  و  $\sigma_U$  به مرتب معرف تنش شلیم و تنش نهایی و  $n_1$  و  $n_2$  و ضرایب اطمینان می‌باشند. تعیین ضریب اطمینان مناسب مسئله پیچیده است زیرا بستگی به سع ماده مورد سطر و همچنین شرایط بصره برداری دارد. ضریب اطمینان "معمول" به وسیله آین نامه‌های ساختمانی تعیین می‌گردد.

روشن مورد بحث در بالا برای تحلیل سازه‌ها موسوم به "روشن تنش‌های مجاز" می‌باشد. روشن دیگری برای تحلیل سازه‌ها وجود دارد که موسوم به "روشن بار نهایی" است. در این روشن تعیین می‌کند سازه مورد نظر تحت چه ساری فرو می‌ریزد. این سار موسوم به بار نهایی می‌باشد. بار مجاز از تقسیم سودن بار نهایی بر ضریبی زرگتر از واحد موسوم به ضرب بار بدست می‌آید. در طرح سازه‌های فلزی هر دو روشن تنش‌های مجاز و بار نهایی متدال می‌باشند. تعیین بار نهایی سرای سازه‌های ساده در فصل سوم مورد بحث قرار حواهد گرفت.

### ۴-۱ انواع مصالح سازه‌ای

مصالح سازه‌ای اصلی عبارتند از آخر، سنگ، چوب، بت، غولاد و بتن مسلح. در سال‌های اخیر آلیاژهای الومینیوم سرای بعضی از اساع سازه‌ها بکار رفته‌اند. بعضی از پلاستیک‌ها سیز به طور سازه‌ای مورد استفاده قرار گرفته‌اند.

### ۱-۴-۱ آجر

آجر در طول هزاران سال در ساخت ساختمان‌ها بکار رفته است. مصری‌های باستان آجر را از مخلوط کردن گل و حرد کاه می‌ساختند. کاه باعث نقویت آجر می‌شود و مانع حرد ندن آن در هنگام حنک شدن در آفتاب می‌گردد. امروزه اکثر آجرها از حاک رس ساخته می‌شود که با فشار دست یا ماشین در داخل

۱۲

نرم و شکل پدیر است و وقتی در صد کربن زیاد است فلز سخت و شکنده می‌باشد. با وجود اینکه صدها سال است که فولاد ساخته شده است تا نیمه دوم قرن نوزدهم تهیه آن گران بود و فقط به مقادیر کم برای ساختن شمشیر و هنر بکار رفت. در روش‌های جدید تولید فولاد اولین مرحله گرم کردن سگ معدن در کوره بلند فولاد سازی می‌باشد که از آن آهن لخته بدست می‌آید. آهن لخته در صد زیبادی کربن دارد که آن را شکنده می‌سازد و سیز دارای ناخالصی‌های دیگر مانند سیلیسیم، منگنز، فسفر و گوگرد می‌باشد. جدن از ذوب مجدد آهن لخته بدست می‌آید و بر حسب عملیات تصفیه و موادی که به آن اضافه می‌شود انواع مختلف جدن با شکنده‌گاهی مختلف وجود دارد. آهن خمیری نزد از تصفیه آهن لخته بدست می‌آید ولی عملیات تولید آن دشوار است و تولید انبوه آن مانند فولاد به سهول امکان ندارد. درجه حرارتی که آهن خمیری در آن تولید می‌شود آندرزیاد نیست که فلز را به حالت مذاب نگه دارد. آهن خمیری که از داخل کوره در می‌آید با چکش کاری کردن یا نورد دادن به صورت صفحه، میله و غیره در آورده می‌شود. برخلاف جدن که شکنده می‌باشد آهن خمیری بسیار چکش خواراست. قرن هاست که آهن خمیری برای وسائل ترینی از قبیل دروازه حیاط و همچنین حلقوهای زنجیر بکار رفته است.

برای تولید فولاد آهن لخته را با حرارت دادن تصفیه می‌کنند تا ناخالصی‌های آن از قبیل کربن و فسفر و غیره جدا شود. به فلز مایعی که بدین ترتیب به حالت خالص در می‌آید مقادیر دقیق مواد لازم (از جمله کربن) اضافه می‌شود تا فولاد با حواس مطلوب بدست آید. فولاد به حالت مایع در قالب ریخته می‌شود تا به صورت شمش در آید. با حرارت دادن مجدد شمش و نورد دادن آن می‌توان فولاد را به صورت صفحه، میله، و شکل‌های دیگر در آورد. فولاد مایع را همچنین می‌توان مستقیماً در قالب‌های به شکل معین ریخت تا شکل‌های مطلوب حاصل شود.

فولاد سازه‌ای که برای تهیه نیرو و سنتون در ساختمان‌ها و میله‌های بتن مسلح بکار می‌رود مقدار کمی (در حدود  $2/0$  در صد) کربن دارد و در نتیجه سرم و شکل پدیر می‌باشد. اساع محبی فولاد سازه‌ای وجود دارد. متداول‌ترین آنها فولاد نرم است که تنش تسلیم آن در حدود  $2500-3000 \text{ Kg/cm}^2$  می‌باشد. با اضافه نمودن بعضی از مواد مانند مس در موقع تولید فولاد می‌توان مقاومت آن را افزایش نمود. تشنها فولادهای با مقاومت ریاد

۱۲

می‌روند. برای این چوب‌ها سنگ‌های مجاز فشاری و کشی در امتداد رشته‌های چوب به ترتیب در حدود  $60 \text{ Kg/cm}^2$  و  $80 \text{ Kg/cm}^2$  می‌باشد. چوب‌های سخت مانند بلوط قوی‌تر می‌باشد ولی به علت گرانی کمتر بکار می‌رود. در سال‌های اخیر سازه‌های فوسی و قاب‌های پرتابل از چوب‌های ورق ساخته شده‌اند.

## ۴-۶-۱- بتزن

بتزن از محلوطی از سیمان، خرد سنگ‌های ریز و درشت و آب ساخته می‌شود که تشکیل ماده سخت سنگ مانندی می‌دهند. حواس مکانیکی بتن بستگی به کیفیت و مقدار این اجزاء در محلوط دارد. سیمان مورد استفاده معمولاً "سیمان پرتلند" می‌باشد. خرد سنگ‌های ریز و درشت معمولاً "سن و ماسه و سنگ" می‌باشد که نباید به نمک آلوده باشند. در محلوط بتزن لازم است که خرد سنگ‌ها اندازه‌های مختلف داشته باشند تا در هنگام محلوط شدن درات ریز فضاهای خالی بین سنگ‌های درشت‌تر را پر کنند و بتزن منراکمی با مقدار اقتصادی سیمان بدست آید. یک نوع متداول بتزن محلوط  $4:2:4:1$  می‌باشد. این بدان معنی است که یک حجم سیمان با دو حجم ماسه و چهار حجم سنگ ریزه محلوط می‌شود.

مقاومت بتزن بستگی به عوامل زیادی دارد. یکی از مهم‌ترین عوامل نسبت آب به سیمان می‌باشد. اگر نامعقول یکسان باشد هر چه سیمان بینشتری بکار رود بتزن مقاومتی بدست می‌آید. بعضی از موافق بتزن ارگاریت یا ماسه سنگ حرد شده ساخته می‌شود. با استفاده از سنگ پا یا تفاله کوره ذوب آهن می‌توان بتزن سبک ورن ساخت. مقاومت کشی بتزن مانند سگ ضعیف می‌باشد. مقاوم فتاری بتزن‌های متداول بین  $200 \text{ Kg/cm}^2$  تا  $500 \text{ Kg/cm}^2$  است. مقاومت کشی بتزن در حدود  $15-10\%$  مقاومت فشاری آن است.

## ۴-۶-۱- فولاد

ماده اصلی برای تولید انواع مختلف آهن و فولاد سنگ معدن آهن می‌باشد. برای جدا کردن آهن از سگ معدن باید آن را حرارت داد. ملزمان آهی بطور کلی به سه دسته تقسیم می‌شوند: جدن، آهن خمیری و فولاد. با وجود اینکه این مواد تقریباً "تماماً" از آهن می‌باشند وجود مقادیر کوچکی از عنصر دیگر نائیر مهمنی در روی حواس آنها دارد. یکی از عناصر مهم در آهن و فولاد کربن می‌باشد. وظی در صد کربن کم است فلز

۱۵

## ۴-۱ پلاستیک‌ها و مصالح مصنوعی

پلاستیک‌ها و مصالح مصنوعی که در آنها از مواد آلی بعوان چسبنده استفاده می‌شود به تدریج در ساختمان‌ها کار برد وسیعی پیدا می‌کند ولی به علت مخارج زیاد آنها هنوز به عوام مصالح سازه‌ای مصرف زیادی ندارند. بیشتر پلاستیک‌های سازه‌ای به وسیله شیشه مسلح می‌شوند. رشته‌های شبشه با مقاومت حیلی زیاد برای تقویت صفحه اپاکسی بکار می‌رود. این نوع پلاستیک‌ها برای ساختن قطعات هواییما کار برد دارد. رشته‌های شبشه به صفحه‌های اپاکسی، بولی استر، بولی وینیل و مواد پلاستیک دیگر مقاومت کثیف می‌دهند. این نوع مواد بعوان غشاء در سقف‌هایی که سفارت‌ها کار می‌کنند از قبیل سقف‌های متکی سر هوا باشد (به مراعع ۳۷ روحون شود) بکار می‌رود. سطر موردنمود در سالهای آینده با پیشرفت‌هایی که در زمانه پلاستیک‌ها خواهد شد این مواد به تدریج با مصالح سازه‌ای سنتی قابل رقابت تر خواهند بود.

## ۵-۱ خاصیت ارتقایی خطی و قانون هوك

در مسحی تنش - کرنش بیشتر مصالح سازه‌ای یک قسمت اولیه خطی وجود دارد که در آن ماده به صورت ارتقایی عمل می‌کند (ناحیه ۰ تا A در منحنی تنش - کرنش فولاد در نکل ۱-۵۲). موقعی که ماده به صورت ارتقایی عمل می‌کند و رابطه بین تنش و کرنش نیز خطی می‌باشد به آن ماده ارتقایی خطی می‌گویند. این خاصیت ارخواص مکائیکی حیلی مهم بسیاری از مصالح حامد شامل اکثر فلزها، چوب، بتون، سفال و پلاستیک‌ها می‌باشد.

رابطه خطی بین تنش و کرنش برای یک میله تحت کشنش به صورت معادله زیر بیان می‌شود:

$$E = E_0 (1-11)$$

E در این رابطه ضربن نشان و موسوم به ضرب ارتقایی ماده می‌باشد. ضرب ارتقایی شب منحنی بین - کرنش در ناحیه ارتقایی خطی و از خصوصیات مصالح است. ضرب

۱۶

$cm^2 / 6000-7000Kg$  می‌باشد. سننهای بعضی از آلیاژ‌های فولاد سه  $cm^2 / 20000Kg$  می‌رسد. سننهای محاذ سرای اینگونه فولادها بیشتر از مقادیر نظرسنجی فولاد نرم معمولی است و در نتیجه می‌توان مقاطع کوچکتری از آنها را سکار برد.

## ۶-۱ آلیاژهای الومینیوم

رايج ترین صنع الومینیوم سگ معدسی موسوم به بوکسیت می‌باشد. که برای اولین بار در سال ۱۸۲۱ در فرانسه پیدا شد. الومینیوم فلز بین ار انداره نرمی می‌باشد ولی با اضافه نمودن مواد دیگر به آن از قبیل مس، منگنز، سیلیسیم، نیکل و روی می‌توان بر مقاومت آن افزود. امروزه تولید آلیاژهای الومینیوم که مقاومت کثیف در حدود مقاومت کثیف فولاد داشته باشند امکان پذیر است. از آنحایی که وزن مخصوص الومینیوم در حدود  $\frac{1}{3}$  وزن مخصوص فولاد ( $7.75T/m^3$ ) می‌باشد در مقابل ( $7.7T/m^3$ ) می‌باشد در مقایسه با فولاد نرم با آلیاژهای الومینیوم می‌توان سازه‌های سبک‌تری ساخت. اما الومینیوم دو عیب دارد. اولاً "محارج نولد آن زیاد می‌باشد. ناسیا" ضرب ارجاعی آن ( به بخش ۵-۱ رجوع کنید ) خیلی کمر از ضرب ارجاعی فولاد است و این به معنی تغییر شکل بیشتر تحت یک بار معین می‌باشد. جون آلیاژهای الومینیوم است به همراه تغییر شکل سینه‌تری می‌دهد به هر سه کار برد آنها در سازه‌های است که تغییر شکل‌های زیاد لزوماً به معنای بکار بردن مصالح سینه‌تر می‌باشد. برای پوشاندن بعضی از سقف‌های با دهانه زیاد ( مثل "گنبدها" ) استفاده از الومینیوم بسیار مناسب می‌باشد.

## ۷-۱ بتن مسلح

همان طوریکه قلا" ذکر شد بتن دارای مقاومت عشاری زیاد ولی مقاومت کثیفی کم می‌باشد. با ترکیب کردن مقاومت عشاری بتن با مقاومت کثیفی فولاد می‌توان از هر دو مصالح به سحو اقتصادی استفاده نمود. بین مسلح سبک به فولاد دارای دو مزیت می‌باشد. یکی اینکه می‌توان آن را در قالب‌های باشكدهای مختلف ریخت و بدین ترتیب می‌توان سازه‌هایی با تکله‌های پیچیده ساخت. دیگر اینکه مقاومت بتن مسلح در مقابل آتش از مقاومت فولاد بیشتر است. در هنگام آتش سوزی اسکلت فولادی در مدت کمی دوب می‌شود و فرو می‌ریزد در حالی که بتوش سنتی در ساختمان‌های بتن مسلح در مقابل آتش مقاوم می‌باشد.

از تجاعی برای مصالح مختلف در جدول ۱ - اخلاصه شده است . تووجه کنید واحد E

همان واحد تنش است . برای عالی فرات ضریب ارتجاعی در رکش و فتاریکان میباشد .

ضریب ارتجاعی بعضی هر اتفاق به ضریب پائین ( به سام داشتنند ابتلیسی ، ۱۸۱۹-۱۱۲۳ ) نه خوانده می شود . مادله ۱۱-۱ معمولاً به نام قانون هسوک ( یک داشتند دیگر انگلیسی ، ۱۷۰۳-۱۶۳۵ ) نامیده می شود . هسوک برای اولین بار رابطه حطی بین بار

واردیاد ( یا کاهش ) طول را به طور تجربی بدست آورد . تنش محوری که میلیاتی تحت ساده می باشد ( مکل ۳-۱-۱ ) تنش محوری که میلیاتی تحت ساده می باشد موقعي که مادلات مزبور را با محوری به ترتیب از مادلات ۱-۱ و ۸-۱ بدست می آیند . هر کاه مادلات مزبور را با تارون هسوک ترکیب کنیم مادله زیر برای تعییر طول یک میله تحت کنشی فشار بدست

می آید :

$$\delta = \frac{PL}{AE}$$

( ۱-۱۲ )

این مادله نشان می دهد که تعییر طول ( از دیاد طول یا کاهش طول ) میلیات از ماده ارتجاعی خطی مستقیماً بایار و طول آن و معکوساً با ضریب ارتجاعی و ساخت سطح مقطع آن مناسب می باشد . کمیت AE ضریب محوری میله نسبت به میلیه می شود . هر چه مقطعی محوری میله بیشتر باشد میله تحت سار معنی شیوه شکل کسری خواهد دارد .

### ۳-۱ ضریب بواسون

موعی که میلیاتی تحت کنش می باشد اضافه طول محوری آن همراه با استخاض جانبی می باشد . به عمارت دیگر با اضافه ندن طول سیله عرض آن کاهش می باشد . تاریکی که میلیه به محور ارتجاعی عمل ممکن نیست کرنش در جهت عرض به کرنش در جهت طول میله نابت و به ضریب بیاسون ( ۱ ) موسم می باشد .

$$\text{کرنش جانبی} = v$$

( ۱-۱۳ )

جدول ۱-۱ خواص مکانیکی نمونه مصالح

( به جز موارد ذکر شده خواص نوشته شده برای حالت کشن می باشد )

مصالح	ورن مخصوص	ضریب ارتجاعی	ضریب ارتجاعی سرشی	سنث نسلیم	تنش نهایی
	t / m <sup>3</sup>	E	G = $\frac{E}{2(1-\nu)}$ Kg/cm <sup>2</sup>	$\sigma_y$ Kg/cm <sup>2</sup>	$\sigma_u$ Kg/cm <sup>2</sup>
الومینیوم	۲/۲۵	$۰/۷ \times ۱۰^6$	۲۸۰۰۰۰	۱۴۰۰	۲۱۰۰
آلیاژهای	$۲/۷۵-۸/۳$	$۰/۷ \times ۱۰^6$	۲۸۰۰۰۰	۱۰۵۰-۲۵۰۰	۱۴۰۰-۴۲۰۰
الومینیوم	$۸/۳$	$۰/۹۸ \times ۱۰^6$	۳۸۵۰۰۰	۱۰۵۰-۴۲۰۰	۲۸۰۰-۵۲۵۰
برنج	$۸/۳$	$۰/۹۸ \times ۱۰^6$	۳۸۵۰۰۰	۷۰۰-۲۸۵۰	۲۱۰۰-۴۲۰۰
برنز	$۸/۳$	$۰/۱۴-۰/۲۸ \times ۱۰^6$			۱۴۰-۲۰۰
بتن ( فشار )	$۲/۲۵$	$۱/۰۵ \times ۱۰^6$	۴۲۰۰۰۰	۷۰۰-۲۱۵۰	۲۱۰۰-۴۲۰۰
مسن	$۸/۸۵$	$۱/۰۵ \times ۱۰^6$	۴۲۰۰۰۰	۴۲۰-۲۸۰۰	۱۱۲۰-۴۲۰۰
چدن	$۲/۷۵$	$۱/۰۵ \times ۱۰^6$	۴۲۰۰۰۰	۸۴۰-۱۲۶۰	۱۴۰۰-۲۱۰۰
هنیزیم	$۱/۷۷$	$۰/۴۲ \times ۱۰^6$	۱۶۸۰۰۰	۲۱۰۰-۴۲۰۰	۳۵۰۰-۷۰۰۰
فولاد نرم	$۷/۷$	$۲-۲/۱ \times ۱۰^6$	۷۷۰۰۰۰-۸۴۰۰۰۰	۲۱۰۰-۴۲۰۰	۷۰۰۰-۱۹۶۰۰
فولاد مقاومت		$۲-۲/۱ \times ۱۰^6$	۷۷۰۰۰۰-۸۴۰۰۰۰	۳۵۰۰-۱۱۲۰۰	۷۸۰-۷۰۰
زیاد	$۷/۷$	$۰/۰۲-۰/۱۴ \times ۱۰^6$			
چوب سازمای ( فشار )	$۰/۲۸-۰/۸۳$				

۱۹

با حجم نهایی منهای حجم اولیه آنست. سایر این

$$\frac{\Delta V}{V} = \epsilon (1 - 2\psi) \quad (1-14)$$

$\frac{\Delta V}{V}$  در این عبارت معرفی است تغییر حجم ( $\Delta V$ ) به حجم اولیه ( $V$ ) می‌باشد. جون کاهش حجم یک میله تحت کش نا معقول به نظر می‌رسد از معادله ۱۴-۱ می‌توان نتیجه گرفت که  $\psi$  باید همواره کمتر از ۰.۵ باشد. لاستیک و پارامین جامد عملًا "تحت کش" تغییر حجمی بیش از ۰.۵ را در این مصالح  $\psi$  نزدیک حد ۰.۵ می‌باشد. از طرف دیگر برای چوب پنه  $\psi$  عملًا "صریح" می‌باشد. ضرب پواسون بس در حدود ۰.۱ و ضرب پواسون فلزات در حدود ۰.۲۵-۰.۳۵ است.

تحت بالا در مورد انقباض جانسی میله تحت کش را می‌توان برای حالت فشار نیز بکار برد با این تفاوت که فشار طولی با ابساط جانسی همراه می‌باشد. برای کارهای عملی مقدار عددی  $\psi$  در کشش و فشار را می‌توان یکسان فرض نمود.

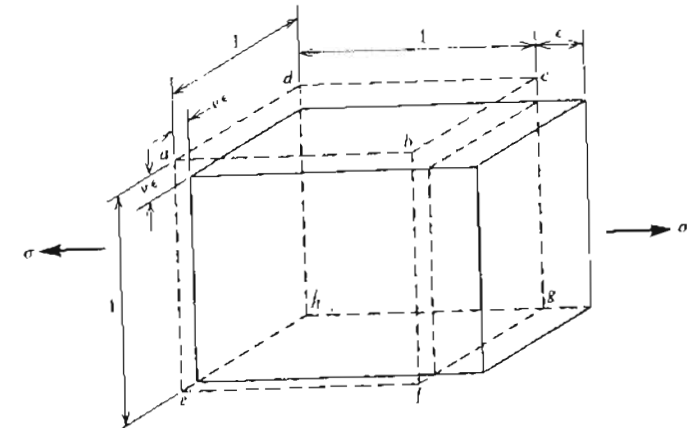
#### ۱-۲ تغییر طول میله‌های با بارگذاری محوری

در حالات زیادی نسبت طول میله‌ها را می‌توان از رابطه ۱-۱۲ به دست آورد. مثلاً وقتی که بارها نه تنها در انتهای بلکه در یک یا چند نقطه در طول میله سوزوارد می‌شوند (شکل ۱-۱۵) و یا اینکه سطح مقطع میله به طور ناگهانی تغییر کند می‌توان از رابطه مذبور برای محاسبه تغییر طول میله‌ها استفاده نمود. برای محاسبه تغییر طول میله شکل ۱۵-۱ ابتدا نیروی محوری را در هر یک از قسمت‌های میله (قسمت‌های AB، BC و CD) تعیین می‌کنیم. سپس تغییر طول (اضافه طول یا کاهش طول) هر قسمت را حساب می‌کنیم. بالاخره با حمل جبری تغییر طول‌های قسمت‌های مختلف تغییر طول کل میله بدست می‌آید. همین روش را می‌توان در مورد میله شکل ۱۱-۱ بکار برد. بدین ترتیب به طور کلی تغییر طول کل میله‌هایی که از چند قسمت با سطح مقطع و بارگذاری‌های مختلف شکل شده‌اند از معادله زیر بدست می‌آید:

۱۸

پواسون ریاضی دان فرانسوی (۱۸۴۰-۱۷۸۱) استفاده از تئوری مولکولی مواد سعی نمود مقدار ضرب مذبور را بدست آورد. سرای مواد متجلی (موادی که خواص ارجاعی آنها در همه جهات یکسان می‌باشد) پواسون ضرب مذبور را  $0.25 = \psi$  پیدا کرد. آزمایش‌های واقعی در روی فلزات نشان می‌دهد که  $\psi$  در واقع بین ۰.۳۵ تا ۰.۲۵ می‌باشد.

تغییر حجم یک میله تحت کش را با دانستن ضرب پواسون و ضرب ارجاعی ماده میله می‌توان بدست آورد. نسبرات حجم در شکل ۹-۱ نشان داده شده است. این شکل جزء کوچکی از ماده را که از میله تحت کش برپه شده است شان می‌دهد. شکل اولیه جزء مذبور مکعب abcdefgh می‌باشد که فرض می‌شود طول اخلال آن برابر واحد باشد. جهت سیروی محوری در شکل سه وسیله تنشی‌های ۵ نشان داده شده است. اضافه طول مکعب مذبور در جهت بارگذاری  $\psi = E / E$  و کاهش طول اصلاح مکعب در دو جهت جانسی  $\psi_{12} = \psi_{21}$  می‌باشد. سایر این مساحت سطح مقطع مکعب در جهت عمود بر بارگذاره  $\psi_{11} = 1 / (1 + \epsilon)^2$  کاهش و حجم آن به نسبت  $1 / (1 + \epsilon)^2$  افزایش یافته است. اگر حاصل ضرب این عبارت بسط داده شود و از جملات توان دوم و سوم  $\epsilon$  که مقادیر بسیار کوچکی می‌باشد صرف نظر شود نسبت مذبور به صورت  $1 / (1 + \epsilon - 2\psi)$  ساده می‌شود. تغییر حجم مکعب برابر



شکل ۹-۱ تغییر حجم مکعبی به اصلاح واحد تحت کش

۲۱

و اضافه طول کل میله از استگرال زیر حاصل می شود :

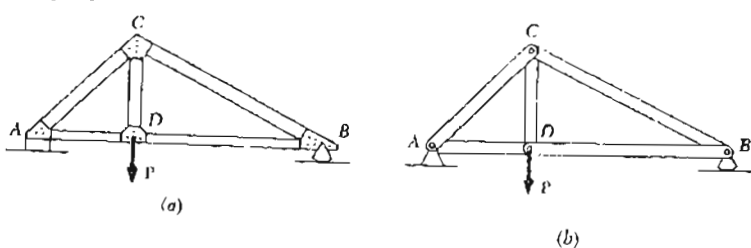
$$\delta = \int L d\delta = \int L \frac{P_x dx}{EA_x} \quad (1-17)$$

در موافقی که نتوان خوب استگرال فوق را به صورت بسته بدست آورد ناید از روش های عددی استگرال گیری استفاده نمود. در صورتی رابطه ۱-۱۷ جواب دقیق می دهد که زاویه بین اضلاع میله با مقطع باریک شوده کوچک باشد. به عنوان مثال اگر زاویه بین اضلاع  $20^\circ$  باشد حداکثر خطای محاسبه در تنش عمودی  $\sigma = P/A = 5$  حدود ۳ درصد می باشد. برای زوایای کوچکتر خطای کمتر است. اگر زاویه بین اضلاع بیشتر باشد روش های تحلیل دقیق نزی لازم می گردد (مرجع ۲۶).

### ۱-۸ خرپاهای ایزو استاتیک

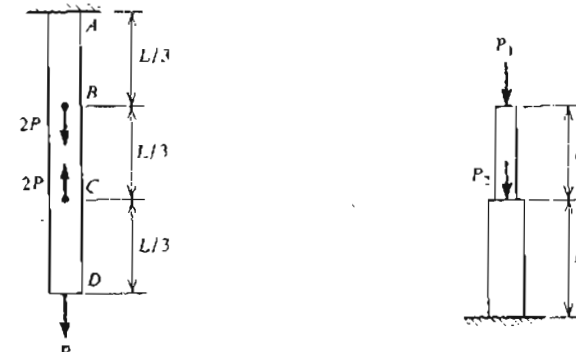
#### ۱-۸-۱ تعریف خرپا

خرپا یکی از اسواح اصلی سازه های مهندسی است که بخصوص در ساختمان ها و پل ها کاربرد زیادی دارد. خرپا شامل اعماء مستقیم می باشد که در محل اتصالات به یکدیگر وصل می شوند. یک خرپای مونه در شکل ۱۲-۱ مشاهده می شود. اعماء خرپا در انتهای هایشان به یکدیگر منصل می شوند و هیچ عضوی در روی انصال پیوسته نمی باشد.



شکل ۱۲ - ۱

۲۰



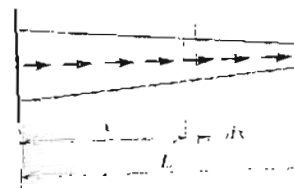
شکل ۱۱ - ۱

$$\rightarrow \delta = \sum_{i=1}^n \frac{P_i L_i}{E_i A_i} \quad (1-15)$$

در این رابطه  $P_i$ ،  $A_i$ ،  $L_i$  و  $E_i$  به ترتیب نیروی محوری، طول، فریب ارجاعی و مساحت سطح مقطع قسمت  $i$  و  $n$  عدد اند کل قسمت ها می باشد.

مفهومی که سیروی محوری یا مساحت سطح مقطع در طول محور میله به طور پیوسته تغییر می کند معادله ۱-۱۵ قابل استفاده می باشد. برای بدای کردن تغییر طول ثراشی حال حز، دیفرانسیلی از میله بد طول  $dx$  به فاصله  $x$  از انتهای چپ میله را در ظرف می گیریم (شکل ۱۲-۱). این جزء کوچک را از میله جدا می کنیم. سیروی محوری  $P_x$  در طول حز، کوچک و سطح مقطع  $A_x$  آن را ناید بر حسب نابع از  $x$  تعیین کنیم. در این صورت معادله اضافه طول حز، مزبوره صورت ریز در می آید:

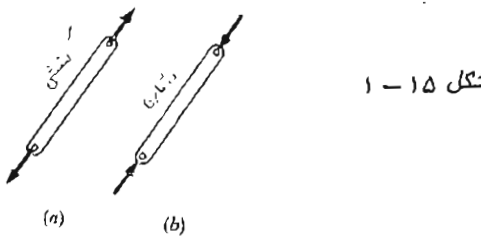
$$d\delta = \frac{P_x dx}{E A_x} \quad (1-16)$$



شکل ۱۲ - ۱ میله با سطح مقطع و نیروی محوری متغیر

۲۲

در تحلیل‌های دقیق تر خرپاها لنگرهای اجاد شده در اثر گیر داری اتصالات خرپا به حساب آورده می‌شود ولی این موضوع خارج از بحث مقاومت مصالح مقدماتی می‌باشد (مرجع ۱۷ را به بینید). شکل ۱۶-۱ جند نوع متدال خرپاها را نشان می‌دهد.

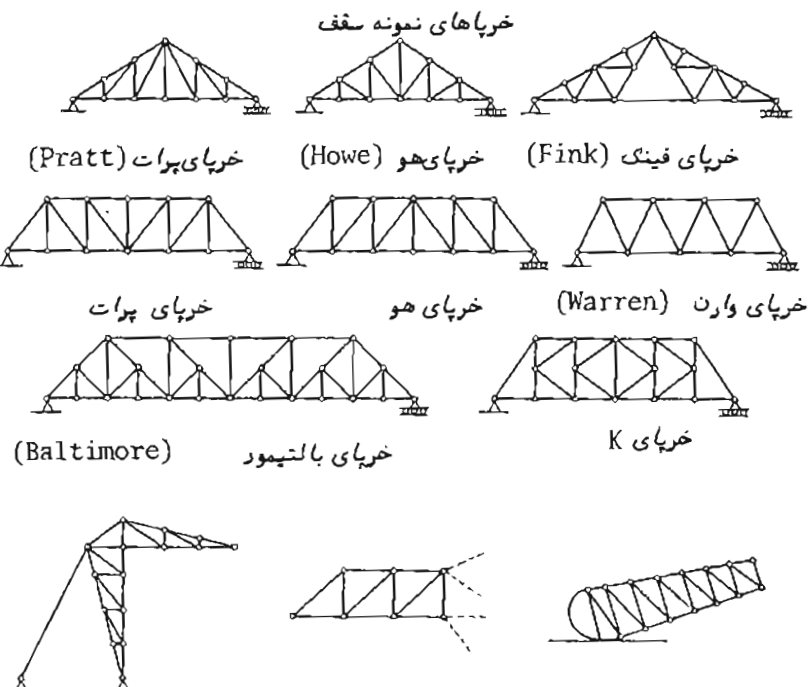
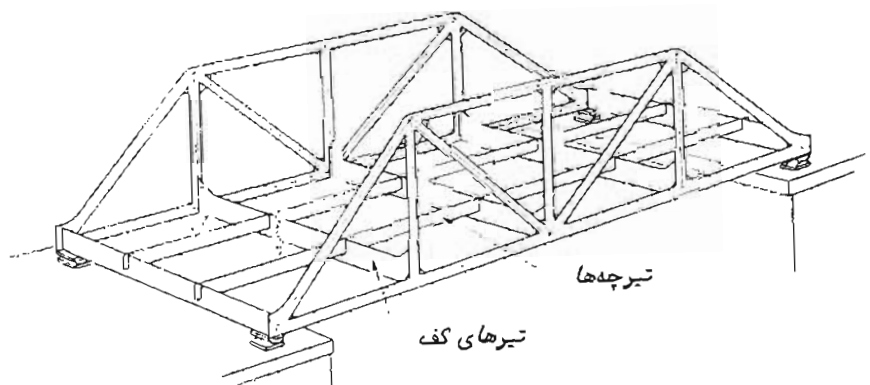


۲۲

برای مثال در شکل ۱-۱۲a AB بیوسته سی‌بانت لکه از دو عضو AD و DB تشکیل شده است که در نقطه D به یکدیگر متصل شده‌اند. خرپاها برای سارهای وارد در صفحه آنها طرح می‌شود از اس رو می‌توان آنها را به صورت سارهای دو بعدی محاسبه نمود.

به طور کلی اعضاء خرپا یا پیک می‌باشند و بار جانبی کمی را می‌توانند تحمل کنند از این‌رو تمام بارها باید در محل اتصالات وارد شوند نه مستقیماً بر روی اعضاء. موقعی که بارگذاری می‌باشد بوسیله خرپایی حمل شود (مانند خرپایی یک پل در شکل ۱-۱۴) سیستم کف از تیر و تیرچه تشکیل می‌باید که بارها را به محل اتصالات منتقل می‌کند.

همچنین فرض می‌شود وزن اعضا، خرپا در محل اتصالات وارد می‌گردند بنابراین که نیمی از وزن هر عضو در هر استهای وارد می‌شود. با وجود اینکه اعضاء در عمل با پرج یا جوش یکدیگر متصل می‌باشند معمولاً اتصال اعضا، مفصلی فرض می‌شود (شکل ۱-۱۳b). در نتیجه در هر انتهای هر عضو فقط یک نیرو وجود دارد بدون اینکه لنگری بر آن اثر کند. بدین ترتیب هر عضو به صورت دو سروی می‌باشد و نیروها باید در امداد اعضا، وارد شوند (شکل ۱-۱۵).



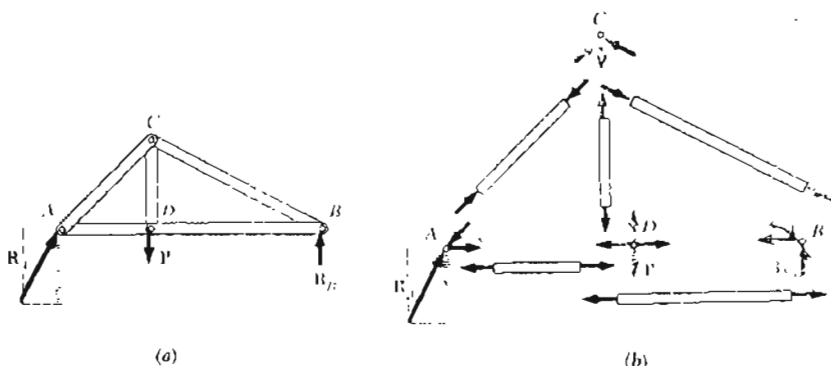
خرپایی یک پل متحرک قسم طرمه‌ای یک خرپا خرپای استادیوم  
شکل ۱۶-۱ انواع مختلف خرپاها

۲۵

می باشد ( برای خر پای K مثلث بلندی را با یکی از مثلث های میانی شروع کید ) . با مراجعه مجدد به خر پای مثلثی پایه شکل ۱۷ b - ۱ مشاهده می شود که این خر پای سه عضو و سه مفصل دارد . خر پای شکل ۱۷ c - ۱ دو عضو و یک مفصل بیشتر دارد و جمعاً " پنج عضو و چهار مفصل دارد . بدین ترتیب مشاهده می شود که با افزودن هر دو عضو جدید بر تعداد مفصل ها یکی اضافه می شود . بنابراین در خر پایی کم عدد آدمفصل ها می باشد نعداد اعضا  $n-3=2n-3$  می باشد .

### ۳ - ۱ - ۱ تحلیل خر پاهای ایزو/استاتیک با روش مقاطع

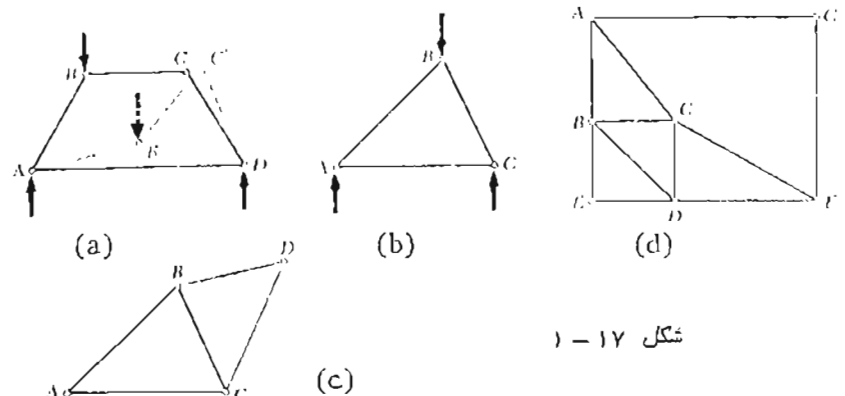
منظور از تحلیل یک خر پا ( و به طور کلی یک سازه ) بسته آوردن نیروها ( یا تنشها ) ای داخلی و تغییر شکل های آن تحت یک بارگذاری معین می باشد . هر گاه بتوان شام نیروهای داخلی یک سازه را فقط با استفاده از معادلات تعادل و بدون درنظر گرفتن تغییر شکل های آن بسته آورد آن سازه را ایزو/استاتیک می نامند و در عین این صورت سازه موسوم به هیبر استاتیک می باشد . خرپاهای ساده که در بخش قبل ساختن آنها شرح داده شد ایزو/استاتیک می باشد . نمودار جسم آزاد خر پای شکل ۱۳ - ۱ در شکل ۱۸ a - ۱ رسم شده است . در شکل ۱۸ b - ۱ نمودار جسم آزاد برای مفصل ها و اعضا خر پا رسم شده است . در هر مفصل دو معادله تعادل می توان نوشت . اگر تعداد مفصل های



شکل ۱۸ - ۱

۲۴

خر پای نکل ۱۷ b - ۱ را که از چهار عضو منصل در نقاط A, B, C, D و بصورت مفعلي تشكيل شده است در نظر بگيريد . اگر باري در نقطه B وارد شود خر پا به مقدار ريايی تغيير شکل داده و شکل اولیه خود را "کاملاً" از دست می دهد . از طرف دیگر خرپای شکل ۱۷ b - ۱ که از سه عضو متصل بهم در نقاط A, B, C تشكيل شده است تحت بار وارد در B تغيير شکل مختصری می دهد . تنها تغيير شکل معکن برای این خر پا تغييرات کوچک در طول اعضا می باشد . خر پای شکل ۱۷ b - ۱ پایدار است ولی خر پای شکل ۱۷ a - ۱ ساپیدار می باشد و در اثر بارگذاری فرو خواهد ریخت .



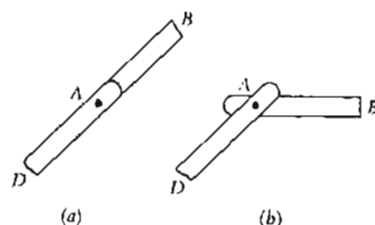
شکل ۱۷ - ۱

همچاکه در شکل ۱۷ c - ۱ مشاهده می شود خر پای پایدار بزرگتری را می توان با اضافه نمودن دو عضو CD و BD به خرپاهای مثلثی پایه شکل ۱۷ b - ۱ بسته آورد . این عمل را می توان تکرار نمود . خرپایی که بدین صورت بسته می آید خرپای ساده نامیده می شود . اگر هر بار دو عضو حدبد به دو مفصل مختلف متصل کرده و خود آنها را بهم وصل کیم بطور که سه مفصل در یک اتساد ساختند خر پای حامله یک خرپای پایدار خواهد شد .

با بد نوجه نمود خرپای ساده لازم بیست فقط از مثلث ساخته شود . سرای مثلث خر پای شکل ۱۷ d - ۱ یک خر پای ساده می باشد . از طرف دیگر خرپای های پایدار همیشه سه صورت خر پای ساده می باشند . برای مثال خرپاهای فیک و بالسیمور در شکل ۱۶ - ۱ خرپاهای ساده نمی باشند زیرا می توان آنها را از یک مثلث با روش بالا ساخت . همه خرپاهای دیگر در شکل ۱۶ - ۱ خرپای ساده

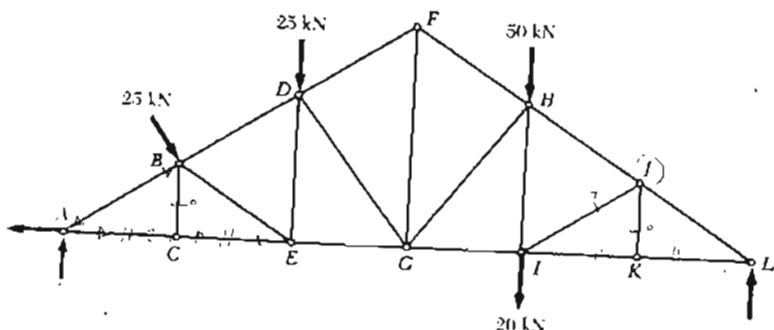
۲۲

که در یک امتداد نیستند صفر می‌باشد. در موقع حل خرپاها با توجه به مفصل‌های تحت بارگذاری و پیزه میتوان اعضاء بدون سیرو (پاسیوری داخلی برآبر صفر) را در ابتدای کار تعیین نمود. واضح است که اعضاء بدون سیرو اعضاء بی فایده‌ای نیستند. این اعضاء فقط تحت بارگذاری (یا بارگذاری‌های) خاص بدون سیرو می‌باشند و تحت بعضی از بارگذاری‌های دیگر در آنها ممکن است نیرو ایجاد شود. بعلاوه این عضوها معمولاً برای تحمل وزن خرپا که غالباً از آن در محاسبات صرف نظر می‌شود لازم می‌باشند.



شکل ۱-۲۱

مثال ۱ - ۱  
در خرپای شکل ۲۲ - ۱ عضوهای بدون نیرو را پیدا کنید.



شکل ۲۲ - ۱

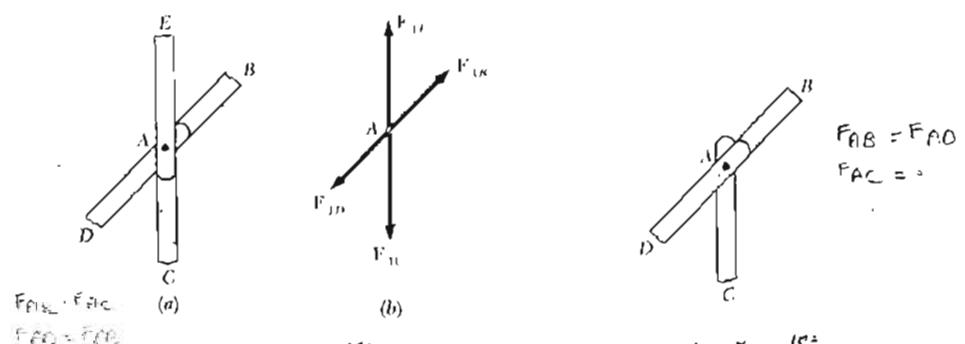
۲۶

خرپا  $n$  یاشد نعداد معادلات موجود  $2n$  خواهد بود که می‌توان آنها را برای  $2n$  مجهول حل نمود. در مورد خرپاهای ساده رابطه  $m=2n-3$  موجود است. بنابراین  $2n=m+3$  نعداد مجھولانی است که می‌توان از نمودارهای جسم آزاد مفصل‌ها بدست آورد. بنابراین با توجه به اینکه نعداد واکنش‌های مجهول خرپا سه می‌باشد با نوشتن  $2n$  معادله تعادل می‌توان نیام سیروهای داخلی اعماق ( عدد ) و واکنش‌های مجهول را بدست آورد. قلل از اینکه به ذکر مثالی بپردازیم لازم است که مفصل‌های تحت بارگذاری و پیزه را بررسی کیم.

۱ اتصال شکل ۱۹a - ۱ را در نظر بگیرید که در آن چهار عضو که دو بدو در یک امتداد می‌باشند در نقطه A به یکدیگر منصل شده‌اند. نمودار جسم آزاد اتصال مزبور در شکل ۱۹b - ارسم شده است. هرگاه تعادل نیروها را در امتداد عمود بر DAB در نظر بگیریم نتیجه می‌شود:  $F_{AE} = F_{AC}$ . همین طور اگر تعادل نیروها را در امتداد عمود بر CAE در سطر سگیریم نتیجه می‌شود:  $F_{AB} = F_{AD}$ . بنابراین در چنین اتصالانی عضوهایی که در یک امتداد فرار دارند دارای نیروی یکان می‌باشند.

۲ حالت اتصال شکل ۲۵ - ۱ را در نظر بگیرید. هرگاه در اتصال A سیروی وارد نشود اتصال مزبور حالت خاصی از اتصال شکل ۱۹ - ۱ می‌باشد. بنابراین نیروی عضو AC برابر صفر و سیروهای عضوهای AD و AB مساوی می‌باشد.

۳ در شکل ۲۱a - ۱ نیروهای داخلی عضوهای AB و AD که در یک امتداد هستند باید با یکدیگر سرا بر باشند و در شکل ۲۱b - ۱ نیروهای داخلی عضوهای AB و AC باید با یکدیگر سرا بر باشند.



شکل ۱-۱۹

$$F_{AB} = F_{AC} = 0$$

شکل ۱-۲۰

۲۹

اچارین هرگاه جهت سیروی یک عضو به مفصل بزدیک شود آن سیرو مشاری و هرگاه از مفصل دور شود آن سیرو کشی می‌شود. با نوشتن معادلات تعادل اتصال F نیروهای  $F_{FB}$  و  $F_{FG}$  بدست می‌آید.

$$\rightarrow \sum F_x = 0 : F_{PG} - 6.93 = 0 : F_{PG} = 6.93 \text{ kN}$$

کشی

$$+\uparrow \sum F_y = 0 : F_{FB} - 4 = 0 : F_{FB} = 4 \text{ kN}$$

کشی

با نوشتن معادلات تعادل اتصال B نیروهای  $F_{BG}$  و  $F_{BC}$  به دست می‌آید. از تعادل نیروها در امتداد عمود بر نیروهای  $F_{AB}$  و  $F_{BC}$  حاصل می‌شود.

$$F_{BG} \cos 30 - 4 \cos 30 = 0 : F_{BG} = 4 \text{ kN}$$

فشاری

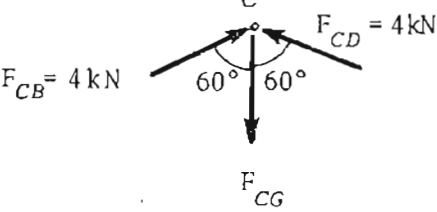
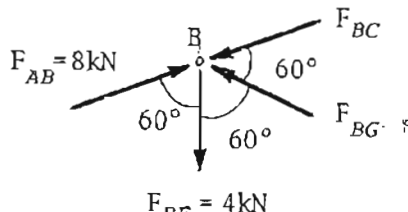
$$\rightarrow \sum F_x = 0 : 8 \cos 30 - F_{BC} \cos 30 - F_{BG} \cos 30 = 0 : F_{BC} = 4 \text{ kN}$$

فشاری

بالاخره با نوشتن معادلات تعادل اتصال C سیروی  $F_{CG}$  بدست می‌آید.

$$-\uparrow \sum F_y = 0 : F_{CG} - 4 \cos 60 - 4 \cos 60 = 0 : F_{CG} = 4 \text{ kN}$$

کشی

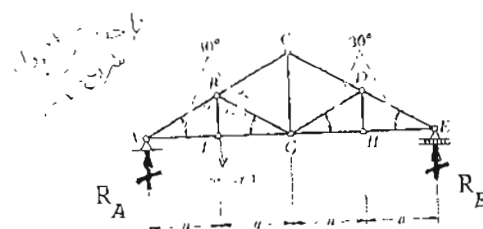


۲۸

حل: پیدا کردن اتصالاتی از خرپا که نحت شرایط بارگذاری ویژه هستند محل خرپاها را آسان می‌کند. از بررسی مفصل C سیمه می‌شود که عضو BC بدون نیرو می‌باشد. از بررسی مفصل K متأهلde می‌شود که عضو JK بدون سیرو است. سلاخه با در نظر گرفتن تعادل مفصل J نتیجه می‌شود که عضو IJ سیرو می‌باشد.

مثال ۱-۲

نیروهای داخلی خرپای شکل ۲۳-۱ را با استفاده از روش مقادیر عیین کنید.



شکل ۲۳-۱

حل: بعلت تقارن کافی است فقط نصف خرپا را در نظر بگیریم. از تعادل خرپا در امتداد قائم واکنشهای  $R_E$  و  $R_A$  بدست می‌آید.

$$R_A = R_E = 4 \text{ kN}$$

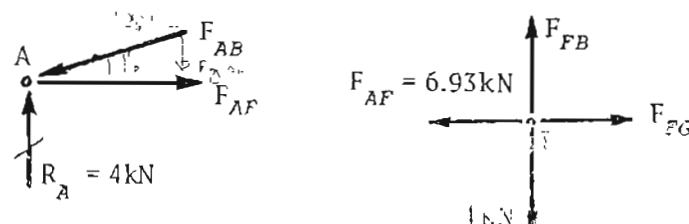
با نوشتن معادلات تعادل اتصال A نیروهای  $F_{AF}$  و  $F_{AB}$  بدست می‌آید.

$$+\uparrow \sum F_y = 0 : 4 - F_{AB} \cos 60 = 0 : F_{AB} = 8 \text{ kN}$$

فشاری

$$\rightarrow \sum F_x = 0 : F_{AF} - F_{AB} \cos 30 = 0 : F_{AF} = 6.93 \text{ kN}$$

کشی



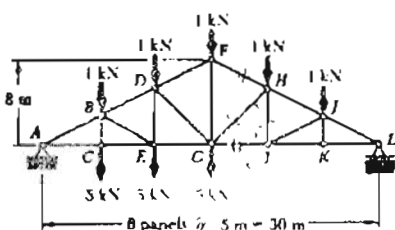
نمودار حسم زاد مفصل A

سیرو از مفصل A

۳۱

سی شود که هر مقطع بین از سه عضو را فقط نکند چه در عبارت صورت معمولاً "نمی توان محاسبه تعیین کیم".  
نیروهای داخلی اعماه بریده شده را فقط با یک مخطع بینست آورد (دیرا در مفهوم فقط سه معادله نعادل موجود می باشد که سوبله آها می توان سه مجہول را بیدا کرد).

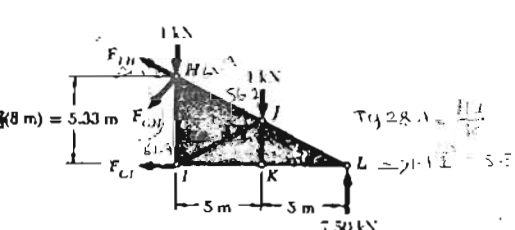
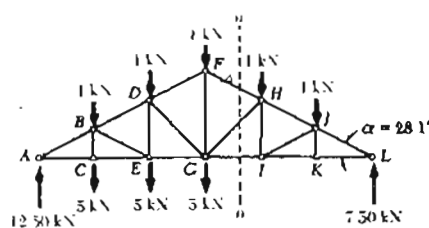
مثال ۳  
نیروهای عضوهای  $F_{FH}$  ،  $F_{GI}$  و  $F_{GH}$  خر پای شکل ۲۵ - ۱ را بدست آورید.



شکل ۱-۲۵

حل : مقطع  $n-n$  مطابق شکل زیر از خر پا عبور داده می شود. قسمت می راست خر پا (قسمت  $HII$ ) به عنوان حسم آزاد در نظر گرفته می شود. ولی واکنش تکه گاه  $L$  ( $R_L$ ) را باید با در نظر گرفتن نعادل لنجکی تمام خر پا حول نقطه  $A$  بدست آورد.

$$\sum M_A = 0 \quad : \quad R_L = 7.50 \text{ kN}$$



۳۰

بعد تقارن خر پا و بار گذاری می توانیم نیروهای داخلی سایر اعماه خر پا را بدون محاسبه تعیین کیم.

$F_{GD} = 4 \text{ kN}$	فتاری	$F_{GH} = 6.93 \text{ kN}$	کشی
-------------------------	-------	----------------------------	-----

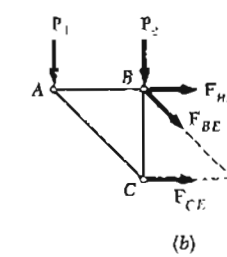
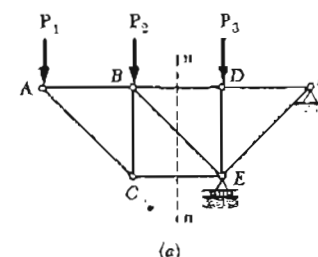
$F_{DH} = 4 \text{ kN}$	کشی	$F_{DE} = 8 \text{ kN}$	فشاری
-------------------------	-----	-------------------------	-------

$F_{EH} = 6.93 \text{ kN}$	کشی		
----------------------------	-----	--	--

در محاسبه خر پاها هر گاه کمیت بدست آمده برای یک نیرو معنی باشد حتمت فرض شده برای آن نیرو ساید عومن شود.

۴-۱-۱ تحلیل خر پاها ایزو استاتیک با روش مقاطع  
"ممولاً" روش معاصل وقتی مفید است که نیروهای داخلی تمام اعماه خر پا مطلوب باشد. ولی اگر فقط نیروهای داخلی یک یا چند عضو خر پا مطلوب باشد با روش مقاطع می توان سریع تر به جواب رسید.

فرض کنیم بخواهیم نیروی داخلی عضو  $BD$  خر پای شکل ۲۴ - ۱ را تعیین کیم. در روش مقاطع با معنی مانند  $n-n$  که عضو  $BD$  را مقطع می کند خر پا را به دو قسمت تقسیم می کیم و سودار جسم آزاد قسمت  $ABC$  خر پا را مطابق شکل ۲۴ b - ۱ رسم می کنیم. در روی سودار جسم آزاد مزبور سه مجہول  $F_{CE}$  ،  $F_{BE}$  و  $F_{BD}$  مشاهده می شود. چون عطف نیروی داخلی عضو  $BD$  مطلوب است با سوشن معادله تعادل لنجکی حول نقطه  $E$  نیروی  $F_{BD}$  مستقیماً بدست می آید. توجه کنید در روش مقاطع باید



شکل ۲۴ - ۱

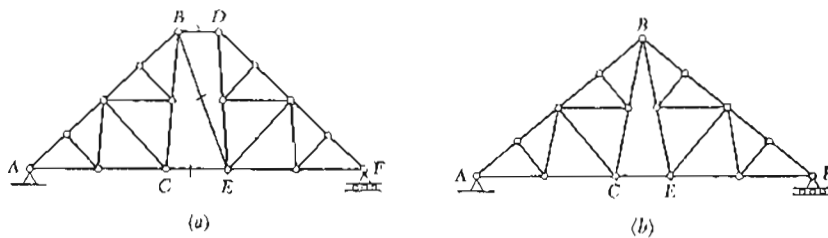
۲۲

## ۱ - ۱ - ۵ خرپاها مركب و پايداري خرپاها

دو خرپاي ساده ABC و DEF (شکل ۲۶ - ۱) را در نظر بخيرید. اگر دو خرپاي مزبور بوسيله سه ميله BE، BD و CE به يكديگر متصل شوند خريبار بايدار شکل ۲۶a - ۱ بذست مي آيد. خرپاهای ABC و DEF را همچنان می توان باوصل کردن مفصلهای B و D به يكديگر و منصل کردن مفصلهای C و E با ميله CE با يكديگر ترکيب سود (شکل ۲۶b - ۱). خرپاي که بدین ترتيب بذست مي آيد به خرپاي فينك موسوم است. خرپاهای شکلهاي ۲۶a - ۱ و ۲۶b - ۱ خرپاهای ساده نمي باشنند زيرا نمي توان آنها را از يك خرپاي مثلثي با اضافه نمودن متواли عضوها به صورت دو بدو مطابق آنچه که در بخش ۲ - ۸ - ۱ شرح داده شد بذست آورد. اما خرپاهای مزبور خرپاهای پايداري هستند. خرپاهای که از بهم پيوشتن جند خرپاي ساده ساخته مي شوند به خرپاهای مركب موسوم مي باشنند.

بين عدد عضوهای يك خرپاي مركب و تعداد مفصلهای آن همان رابطه  $m = 2n - 3$  برقرار است. خرپاهای مركبی که بوسيله يك تکيه گاه مفصلي و يك تکيه گاه غلطگی ( يا بوسيله يك سيمتم معادل تکيه گاهها ) تحمل مي شوند خرپاهاي ايزو استاتيك مي باشنند و نيروهای داخلی آنها را مي توان مستقيماً از معادلات تعادل به دست آورد.

حال فرض كنيد خرپاهای ABC و DEF بوسيله چهار ميله CD، BE، BD و CE (شکل ۲۷ - ۱) به يكديگر متصل شده باشند. تعداد اعضاء m در اين صورت از  $2n - 3$  بزرگتر است. تعداد مجھولان خرپاي مزبور از  $2n$  معادله تعادل مستقل موجود بيشتر مي باشد و در نتيجه خرپا به طور استاتيكی نا معين و همچنان استاتيك است. اگرچه فرض كنيد دو خرپاي ساده ABC و DEF مطابق شکل ۲۸ - ۱ فقط در



شکل ۲۶

۳۲

۱. از تعادل لنگري قسم HLI حرپا حول نقطه H كمي  $F_{GI}$  بذست مي آيد.

$$\sum M_H = 0 \quad (7.5)(10) - (1)(5) - F_{GI}(5.33) = 0 \quad F_{GI} = 13.13 \text{ kN}$$

۲. نيروي  $F_{FH}$  با نوشتن معادله تعادل لنگري حول نقطه G بذست مي آيد. نيروي  $F_{FH}$  را در امتداد خط اتصال به نقطه F منتقل و در آنها سه دو موله در امتداد ( $F_{FH} \cos \alpha$ ) (8) برابر  $G$  حول نقطه G مي باشد.

$$\sum M_G = 0$$

$$(7.5)(15) - (1)(10) - (1)(5) + (F_{FH} \cos \alpha)(8) = 0$$

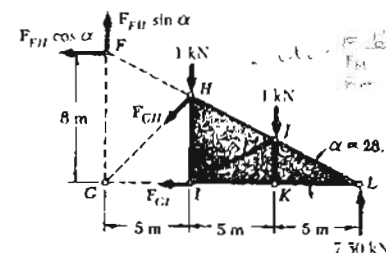
$$F_{FH} = -13.82 \text{ kN}$$

۳. برای تعیین نيروي  $F_{GH}$  ابتدا آن را در امتداد اتصال به نقطه G منتقل و در آنجا به دو مولفه افقی و قائم تجزیه مي کنيم. از نوشتن معادله تعادل لنگري حول نقطه L نيروي  $F_{GH}$  بذست مي آيد.

$$\sum M_L = 0$$

$$(1)(10) + (1)(5) + (F_{GH} \cos \beta)(15) = 0$$

$$F_{GH} = -1.37 \text{ kN}$$



نيروهای خارجی در شکل ۲۷ - ۱

$$F_{FH} = -13.82 \text{ kN}$$

$$F_{GH} = -1.37 \text{ kN}$$

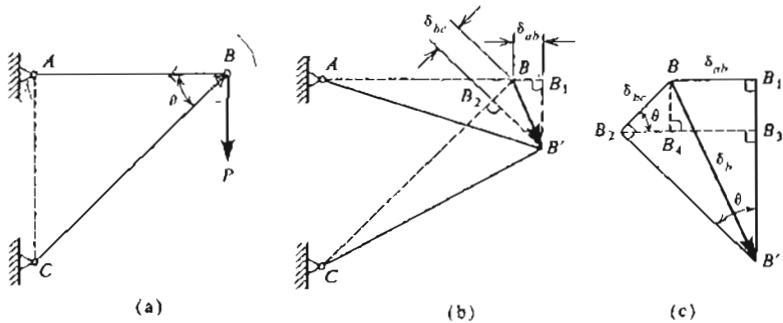
$$F_{GL} = 7.50 \text{ kN}$$

## ۱ - ۹ تغییر شکل خرپاهاي ايزو استاتيك

برای تعیین کردن تغییر مکان مفصل‌های خرپاهاي ساده ابتدا باید نیروهای داخلی اعضا، آن را تعیین نمود. سپس با استفاده از رابطه  $1-12$  از دیاد یا کاهش طول هر یک از اعضا، را می‌توان محاسبه نمود. با داشتن تغییر طول اعضا، تغییر مکان مفصل‌های خرپا با استفاده از هدسه بدست می‌آید. برای نشان دادن روش ترسیمی تعیین تغییر شکل خرپاها به ذکر مثالی می‌پردازیم.

مثال ۴ -

تغییر مکان اتصال B خرپای شکل a-۲۹ را بدست آورید.



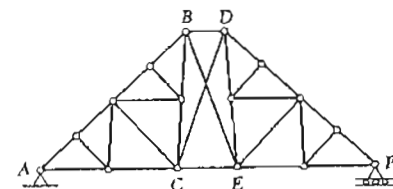
١ - ٢٩ شکل

حل: نیروهای  $F_{AB}$  و  $F_{BC}$  در دو عضو خرپا از معادلات تعادل مفصل B بدست می‌آیند.

$$F_{AB} = P \cot \theta$$

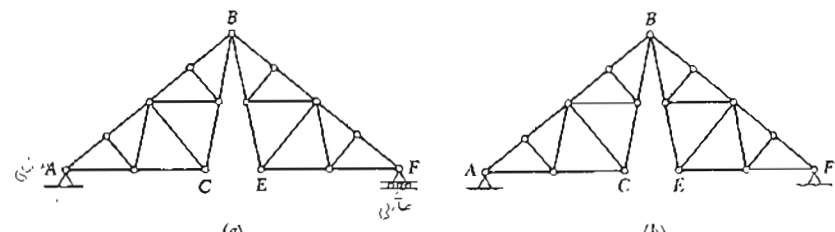
$$F_{BC} = \frac{P}{\sin \theta}$$

نیروی  $F_{AB}$  کششی و نیروی  $F_{BC}$  فشاری می‌باشد. تغییر طول میله‌ها عبارتند از



شکل ۲۷-۱

مفصل B به یکدیگر متصل باشد. در این حالت تعداد اعضا،  $m$  کوچکتر از 3 - 2n می باشد. اگر خر پا در نقطه A بوسیله تکیه گاه مفصلی و در نقطه B بوسیله تکیه گاه غلطکی نگهداری شود تعداد کل مجھولات  $m + 3$  می باشد. این عدد کوچکتر از تعداد 2n معادلات تعادل می باشد که باید فانع گردند. در نتیجه خر پا نا پایدار است و تحت وزن خودش فرو خواهد ریخت. اما اگر هر دو تکیه گاه مفصلی باشد (شکل b - ۱) خر پا پایدار می شود و دیگر فرو نخواهد ریخت. توجه می کنیم که در این حالت تعداد کل مجھولات  $m + 4$  می باشد که برابر با تعداد معادلات است. در حالی که شرط مساوی بودن تعداد مجھولات با تعداد معادلات تعادل موجود ( یا بیشتر بودن تعداد مجھولات از تعداد معادلات موجود ) شرط لازم برای پایداری خریاهاست شرط کافی برای پایداری آسما نمی باشد. با متصل کردن دو خر پای ساده به یکدیگر به وسیله سه میله غیر موازی و غیر متقابل یک خر پایی پایدار حاصل می شود. اما اگر سه میله مزبور موازی و یا متقابل باشد خر پا نا پایدار خواهد بود.

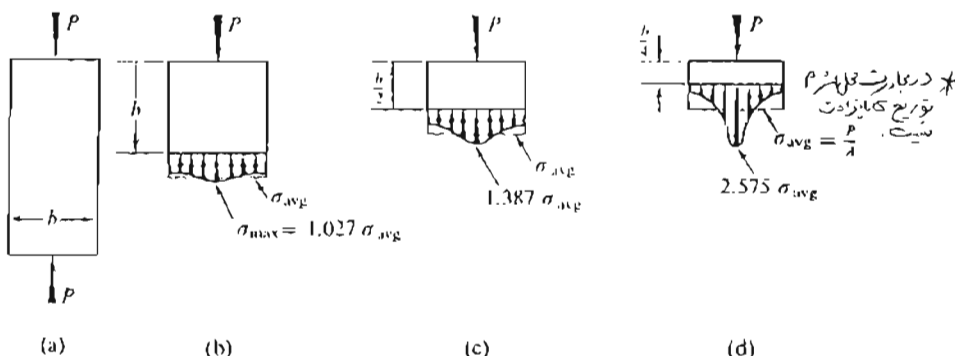


شکل ۲۸-۱

نمودارهای تغییر مکان از نوع نمودار شکل ۱-۲۹c و سیله مهمی برای تعیین تغییر شکل خربها می‌باشد، این نمودارها به نام ویلیو<sup>1</sup> مهندس فرانسوی خوانده می‌شوند.

## ۱-۱۰ تمرکز تنش

معادله ۱-۱ که در مقاومت مصالح برای تعیین تنش در میله‌های با بار گداری محوری بکار می‌رود در مجاورت محل اثر بار وارد جواب دقیق نمی‌دهد. توزیع تنش در مجاورت محل اثر بار را می‌توان به کمک تئوری ارجاعی بدست آورد (مرجع 26). در شکل ۱-۲۰a ۱-بلوک کوتاهی تحت اثر بارهای محوری متتمرکز P می‌باشد. توزیع تنش در عرض بلوک در مجاورت دو انتهای بلوک در شکل‌های ۱-۲۰b، ۱-۲۰c، ۱-۲۰d و ۱-۲۰e رسم شده است. چنان‌که مشاهده می‌شود در مجاورت محل اثر بار متتمرکز توزیع تنش در عرض بلوک یکنواخت نمی‌باشد ولی هرچه از انتهای بلوک دور شویم توزیع تنش به توزیع یکنواخت نزدیک‌تر می‌گردد. در شکل ۱-۲۰e کمیت  $\sigma_{avg}$  تنش متوسط با P/A می‌باشد.



شکل ۱-۲۰

1- Williot.

$$\delta_{ab} = \frac{PL_{ab} \cot \theta}{EA_{ab}}$$

$$\delta_{bc} = \frac{PL_{bc}}{EA_{bc}} \frac{\sin \theta}{\sin \theta}$$

(ازدیاد طول)

(کاهش طول)

\* تغییر مکان بدنه لوله:

برای پیدا کردن تغییر مکان اتصال B ابتدا فرض می‌کنیم میله AB به اندازه  $\delta_{ab}$  اضافه‌طول پیدا کنده طوریکه انتهای سه نقطه  $B_1$  منتقل شود (شکل b ۱-۲۹). سپس قوسی به مرکز A و شعاع  $AB_1$  رسم می‌کنیم، چون تغییر مکان نقطه B خیلی کوچک است قوس مذبور را می‌توان با خطی که در  $B_1$  بر امتداد AB عمود باشد جایگزین نمود. همین طور فرض می‌شود که عضو  $BC$  به اندازه  $\delta_{bc}$  کاهش طول پیدا کند به طوریکه انتهای سه نقطه  $B_2$  منتقل شود. سپس قوسی به مرکز C و شعاع  $CB_2$  رسم می‌کنیم. این قوس نیز با خطی که در  $B_2$  بر امتداد  $AB$  عمود باشد جایگزین می‌گردد. دو خط عمود یکدیگر را در نقطه  $B$  قطع می‌کنند که محل سهایی اتصال B خواهد بود. بدین ترتیب بردار  $\overline{BB}$  معرف تغییر مکان  $\delta_b$  اتصال B خواهد بود.

نمودار تغییر مکان شکل ۱-۲۹b ۱-۱ با مقیاس بزرگتری در شکل ۱-۲۹c رسم شده است. از این شکل نتیجه می‌شود که مؤلفه افقی  $\delta_{ab}$  برابر  $\delta_{bc} \sin \theta$  می‌باشد و مؤلفه قائم آن از دو قسمت  $B_1B_3$  و  $B_3B'$  تشکیل شده است. فاصله  $B_1B_3$  که همان فاصله  $BB_4$  است برابر با  $\delta_{bc} \sin \theta$  می‌باشد. طول  $B_3B'$  را می‌توان از مثلث  $B_2B_3B'$  که ضلع  $B_2B_3$  نسبت  $\delta_{bc} \cos \theta + \delta_{ab}$  می‌باشد به دست آورد بدین ترتیب مؤلفه قائم تغییر مکان  $\delta_b$  مساوی می‌شود با

$$B_1B' = \delta_{bc} \sin \theta + (\delta_{bc} \cos \theta + \delta_{ab}) \cot \theta = \frac{\delta_{bc}}{\sin \theta} + \delta_{ab} \cot \theta$$

با داشتن مؤلفه‌های افقی و قائم تغییر مکان اتصال B تغییر مکان  $\delta_b$  این اتصال به سهولت بدست می‌آید.

$$\delta_b = \sqrt{(B_1B')^2 + (B_1B')^2}$$

$$L_{max} = \frac{21000 \times 1000}{7.36 \times 100} = 26717 \text{ m}$$

برای سیم فولادی :

$$L_{max} = \frac{3500 \times 1000}{2.72 \times 100} = 12868 \text{ m}$$

برای سیم الومینیومی :

بنابراین در تزدیکی بار P (شکل ۱-۲۰d) تنش حداکثر در مقطع خیلی بیشتر از تنش متوسط می‌باشد. این پدیده به "تمترک تنش" موسوم است. به طور کلی در زیر بارهای متراکز همواره تنش متراکز می‌گردد. اما اگر از دو انتهای بلوب دور شویم توزیع تنش تقریباً یکواخت بوده و مقدار آن را با نزدیکی خوب می‌توان از معادله ۱-۱ بدست آورد.

## ۱-۲ مسئله

در میله توپری با مقطع دایره و به قطر  $d=3.8 \text{ cm}$  سوراخ کوچکی مطابق شکل ۱-۲۱ در مرکز آن وجود دارد. قطر سوراخ  $\frac{d}{4}$  می‌باشد. با فرض اینکه تنش مجاز کشی روی سطح مقطع خالص میله در جایی که سوراخ وجود دارد  $\sigma_w = 700 \text{ Kg/cm}^2$  باشد حداکثر بار کششی مجاز P را که میله می‌تواند تحمل کند تعیین کنید.

حل : مساحت سطح یک قطعه دایره به شاعع R که زاویه مقابل آن  $\theta$  باشد از رابطه زیر بدست می‌آید :

$$A_s = \frac{1}{2} R^2 (\theta - \sin\theta)$$

با توجه به شکل می‌توانیم زاویه  $\theta$  را به صورت زیر محاسبه کنیم :

$$\cos \frac{\theta}{2} = \frac{\frac{d}{8}}{\frac{d}{2}} = 0.25 \quad : \theta = 2.636 \text{ rad}$$

$$A = 2A_s = \frac{d^2}{4} (\theta - \sin\theta) = \frac{3.8^2}{4} (2.636 - 0.484) \\ = 7.77 \text{ cm}^2$$

$$P_w = A\sigma_w = 7.77(700) = 5439 \text{ Kg}$$

## ۱-۱۱ مسائل حل شده

### مسئله ۱-۱

سیم درازی به طور قائم تحت وزن خودش آویزان است. بیشترین طولی که سیم بدون پاره شدن می‌تواند داشته باشد چقدر است اگر :

الف - جنس سیم فولاد با تنش نهایی  $21000 \text{ Kg/cm}^2$  باشد.

ب - جنس سیم الومینیوم با تنش نهایی  $3500 \text{ Kg/cm}^2$  باشد.

وزن واحد حجم فولاد  $7.86 \text{ g/cm}^3$  و وزن واحد حجم الومینیوم  $272 \text{ g/cm}^3$  می‌باشد.

حل : هرگاه سیمی به طول L، وزن مخصوص ۲، سطح مقطع A و وزن W تحت وزن خودش آویزان باشد بیشترین تنش در آن در انتهای فوپاسی آن خواهد بود که برابر است با

$$\sigma_{max} = \frac{W}{A} = \frac{\gamma AL}{A} = \gamma L$$

اگر تنش نهایی فلز سیم  $\sigma_u$  باشد ماکزیمم طول سیم بدون اینکه پاره شود از رابطه زیر بدست می‌آید :

$$L_{max} = \frac{\sigma_u}{\gamma}$$

۴۱

نیروی گریز از مرکز وارد بر جرم  $dm$  میله که در فاصله  $r$  از محور دوران قرار دارد  
برابر است با

$$dF = dm \cdot r \omega^2$$

از دیاد طول میله در اثر این نیروی جزئی مساوی است با

$$d\delta_2 = \frac{dF \cdot r}{AE}$$

در نتیجه تغییر مکان  $\delta_2$  از انتگرال زیر بدست می‌آید: (وزن مخصوص میله  $\gamma =$ )

$$\delta_2 = \int_0^L \frac{rdF}{AE} = \frac{\omega^2}{AE} \int_0^L r^2 dm = \frac{\omega^2}{AE} \int_0^L \frac{r^2}{g} \gamma A dr$$

بر حسب لایه دار

$$= \frac{\omega^2 \gamma AL^3}{3g AE}$$

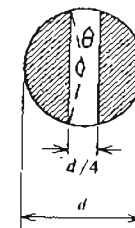
$\delta_2$  را بر حسب وزن میله  $W_1 = \gamma AL$  می‌نویسیم.

$$\delta_2 = \frac{\omega^2 L^2 W_1}{3g AE}$$

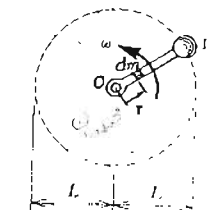
$$\delta = \frac{\omega^2 L^2}{3g AE} (W_1 + 3W)$$

نام

۴۰



شکل ۱-۳۱



شکل ۱-۳۲

میله‌ای به طول  $L$  با سرعت زاویه‌ای  $\omega$  در یک صفحه افقی حول یک محور قائم دوران می‌کند. میله دارای سطح مقطع  $A$  و وزن  $W_1$  می‌باشد. وزنهای به وزن  $W$  به انتهای میله متصل شده است. از دیاد طول کل میله را در اثر سیروهای گریز از مرکز پیدا کنید. ضرب ارجاعی میله را  $E$  فرض کنید (شکل ۱-۳۲).

حل: فرض می‌کنیم  $\delta_1$  از دیاد طول میله در اثر نیروی گریز از مرکز وارد بروزنه

ست بروزنه  $W$  و  $\delta_2$  از دیاد طول میله در اثر نیروی گریز از مرکز وارد بر خود میله باشد. در این شرایط: صورت از دیاد طول کل میله در اثر سیروهای گریز از مرکز برابر خواهد بود با

$$\delta = \delta_1 + \delta_2$$

نیروی گریز از مرکز وارد بر وزنه  $W$  از رابطه زیر بدست می‌آید ( $g$  شتاب شفاف می‌باشد):

$$F = \frac{W}{g} L \omega^2$$

$$\delta_1 = \frac{FL}{AE} = \frac{W \omega^2 L^2}{g AE}$$

نام

۴۳

در این رابطه  $A$  سطح مقطع ستون در فاصله  $x$  از انتهای فوقانی ستون می‌باشد. از حل معادله دیفرانسیل فوق  $A$  بدست می‌آید.

$$\frac{dA}{A} = \frac{\gamma}{\sigma_w} dx$$

$$\ln A = \frac{\gamma}{\sigma_w} x + C \quad (1)$$

ثابت انتگرال کری  $C$  از شرط حدی در انتهای فوقانی ستون محاسبه می‌شود. در بالای ستون سطح لازم برابر است با

$$A_t = \frac{P}{\sigma_w} \quad (\text{در } x=0)$$

بنابراین  $C = \ln \frac{P}{\sigma_w}$  بدست می‌آید که آن را در معادله (1) قرار می‌دهیم.

$$\ln A = \frac{\gamma}{\sigma_w} x + \ln \frac{P}{\sigma_w}$$

$$\ln \frac{\sigma_w}{P} A = \frac{\gamma}{\sigma_w} x$$

$$\frac{\sigma_w}{P} A = e^{\frac{\gamma}{\sigma_w} x}$$

$$A = \frac{P}{\sigma_w} e^{\frac{\gamma}{\sigma_w} x} \quad (2)$$

$$\pi r^2 = \frac{P}{\sigma_w} e^{\frac{\gamma}{\sigma_w} x}$$

$$r = \left( \frac{P}{\pi \sigma_w} e^{\frac{\gamma}{\sigma_w} x} \right)^{\frac{1}{2}}$$

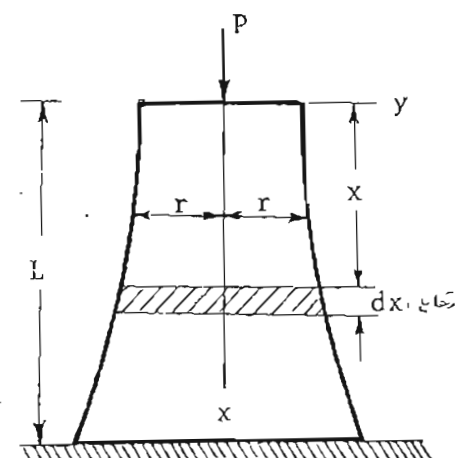
شعاع:

۴۴

مسئله ۱-۴ معادله‌ای برای شعاع  $r$  ستونی با مقطع دایره بدست آورید به طوریکه حجم آن حداقل باشد. ستون تحت اثر بار  $P$  در بالا و همچنین وزن خود می‌باشد. ستون از ماده‌ای با وزن واحد حجم  $\gamma$  و تنفس مجاز فشاری  $\sigma_w$  تشکیل شده است. مساحت سطح مقطع ستون در بالا و پایین و حجم ستون را نیز حساب کنید (شکل ۱-۲۳).

حل: قسمتی از ستون به ارتفاع  $dx$  را که به فاصله  $x$  از انتهای فوقانی ستون قرار دارد در نظر می‌گیریم. حجم ستون موقی حداقل خواهد بود که از مصالح حداکثر استفاده شود به عبارت دیگر تنفس در همه مقاطع باید یکسان و برابر تنفس مجاز  $\sigma_w$  باشد. در این صورت اختلاف  $dA$  بین مساحت سطح مقطع پایین و بالای ستون به ارتفاع  $dx$  باید چنان باشد که اختلاف سیروی فشاری از آلا نا پایین جزء ستون را که خود برابر با وزن حر است جبران کند.

$$\sigma_w dA = \gamma A dx$$



شکل ۱-۲۳

۴۵

$$\sum F_y = 0 \quad F_{CB} \sin\theta = P \quad : \quad F_{CB} = \frac{P}{\sin\theta}$$

$$\sum F_x = 0 \quad F_{CB} \cos\theta - F_{AB} = 0 \quad : \quad F_{AB} = P \cot\theta$$

سطح مقطع لازم هر یک از میله‌ها با تقسیم نمودن سیرو در میله بر تنش مجاز  $\sigma_w$  بدست می‌آید.

$$A_{AB} = \frac{F_{AB}}{\sigma_w} = \frac{P \cot\theta}{\sigma_w} \quad : \quad \text{سطح مقطع لازم برای میله AB}$$

$$A_{CB} = \frac{F_{CB}}{\sigma_w} = \frac{P}{\sigma_w \sin\theta} \quad : \quad \text{سطح مقطع لازم برای میله CB}$$

$$V = L A_{AB} + \frac{L}{\cos\theta} A_{CB} = \frac{PL}{\sigma_w} \left( \cot\theta + \frac{1}{\sin\theta \cos\theta} \right) \quad : \quad \text{حجم خربا :}$$

وزن خربا وقتی حداقل می‌باشد که حجم آن حداقل باشد.

$$\frac{dV}{d\theta} = 0 \quad : \quad -\frac{1}{\sin^2\theta} - \frac{\cos^2\theta - \sin^2\theta}{\sin^2\theta \cos^2\theta} = 0$$

$$-\cos^2\theta - \cos^2\theta + \sin^2\theta = 0 \quad : \quad \cos^2\theta = \frac{1}{3}, \quad \theta = 55^\circ$$

دستوراتی از اینجا پس از اینکه میله را در میله AB قرار دهیم، آنرا در میله CB قرار دهیم.

۴۶

حال از معادله (2) می‌توانیم مساحت سطح مقطع ستون در پایین ستون را حساب کنیم. کافی است در این معادله به جای  $x$  مقدار  $L$  طول ستون را قرار دهیم.

$$A_b = \frac{P}{\sigma_w} e^{\frac{\gamma L}{\sigma_w}}$$

حجم ستون به صورت زیر حساب می‌شود :

$$V = \int_A^L \pi r^2 dx = \frac{P}{\sigma_w} \int_0^L e^{\frac{\gamma}{\sigma_w} x} dx = \frac{P}{\sigma_w} \frac{\sigma_w}{\gamma} e^{\frac{\gamma}{\sigma_w} x} \Big|_0^L$$

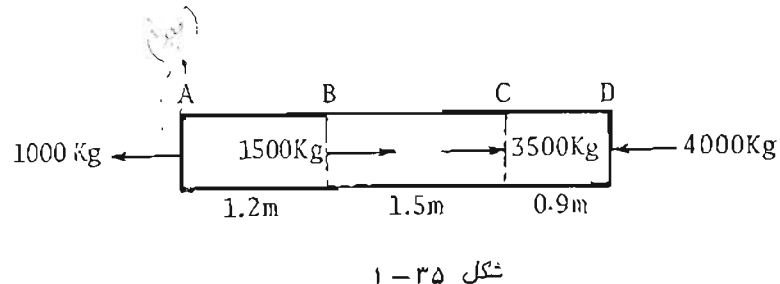
$$V = \frac{P}{\gamma} \left( e^{\frac{\gamma L}{\sigma_w}} - 1 \right)$$

## مسئله ۱-۵

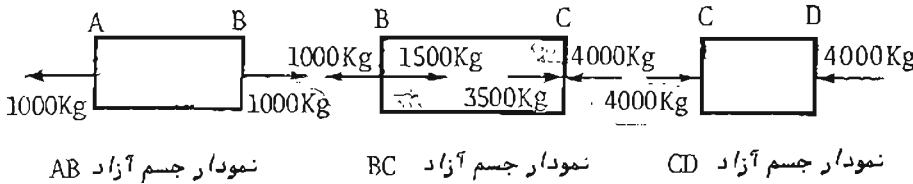
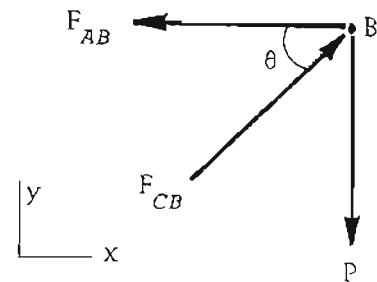
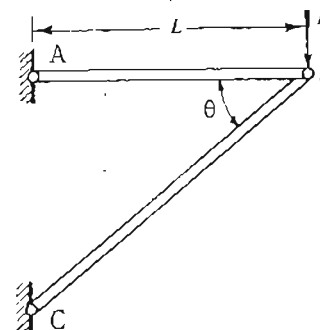
خرپای شکل ۱-۳۴ از دو عضو AB و BC تشکیل شده است که طول عضو TAB براسر L و ثابت می‌باشد. این خرپای بار قائم P را در اتصال B باید حمل کند. یکیه‌گاه C را می‌توان در امتداد فاصل حرکت و زاویه  $\theta$  را تعییر داد. با فرض اینکه تنش‌های مجار فشاری و کشی مصالح مصرفی در خرپای یکسان باشد زاویه  $\theta$  را چنان تعیین کنید که وزن خرپای مزبور حداقل باشد.

حل : از نوشته معادلات تعادل مفصل B نیروی  $F_{AB}$  در عضو AB و نیروی  $F_{CB}$  در عضو CB بدست می‌آیند.

۴۷



۴۶



نمودار جسم آزاد AB

نمودار جسم آزاد BC

نمودار جسم آزاد CD

نمودار جسم آزاد مفصل B

$P_i L_i$ Kg m	$L_i$ m	$P_i$ Kg	قسمت
۱۲۰۰	۱/۲	۱۰۰۰	AB
-۷۵۰	۱/۵	-۵۰۰	BC
-۳۶۰۰	۰/۹	-۴۰۰۰	CD
-۳۱۵۰			مجموع

مسئله ۶ - ۱ ✓

یک میله الومینیوم با سطح مقطع  $1.6 \text{ cm}^2$  بارهای محوری نشان داده شده در شکل ۱-۲۵ را حمل می‌کند. اگر ضریب ارتجاعی الومینیوم  $E = 700000 \text{ Kg/cm}^2$  باشد تغیر سکل کل میله را تعیین کنید.

حل : عویس سکل میله از رابطه زیر بدست می‌آید :

$$\delta = \sum_{i=1}^3 \frac{P_i L_i}{A_i E_i} = \frac{1}{AE} \sum_{i=1}^3 P_i L_i$$

برای تعیین سروهای محوری در قسمت‌های AB ، BC و CD نمودارهای جسم آزاد را برای این ۳ قسمت رسم می‌کنیم .

$$\delta = \frac{1}{EA} \sum_{i=1}^3 P_i L_i = \frac{(-3150)(100)}{(700000)(1.6)} = -0.28 \text{ cm} \quad (\text{کاهش طول})$$

۴۹ در نتیجه میله ثابت و برابر  $P_x$  در تمام طول میله ثابت و برابر  $P$  می‌باشد (از وزن میله صرف نظر نمی‌شود) .

$$A_x = (\overline{AD})t = (2\overline{AB} + \overline{BC})t = (2\overline{AB} + b_2)t$$

$$\frac{\overline{AB}}{b_1 - b_2} = \frac{L-x}{L} : \overline{AB} = \frac{b_1 - b_2}{2L} (L-x)$$

$$A_x = \left[ \frac{b_1 - b_2}{L} (L-x) + b_2 \right] t = t \left[ b_1 - \frac{b_1 - b_2}{L} x \right]$$

$$\delta = \frac{P}{Et} \int_{b_1 - \frac{b_1 - b_2}{L} x}^L \frac{dx}{b_1 - \frac{b_1 - b_2}{L} x} = \frac{P}{Et} \left( -\frac{L}{b_1 - b_2} \right) \left[ \ln(b_1 - \frac{b_1 - b_2}{L} x) \right]_0^L$$

$$\delta = \frac{PL}{Et(b_1 - b_2)} \ln \frac{b_1}{b_2} \left( \ln b_1 - \ln b_2 \right)$$

### مسئله ۱-۸

در مسئله قبل رابطه‌ای برای اضافه حجم  $\Delta V$  میله پیدا کنید .

حل : با توجه به مسئله قبل کرنش جزء کوچکی از میله به طول  $dx$  که با فاصله  $x$  از انتهای فوکائی (شکل ۱-۲۶) قرار دارد برابراست با

$$\epsilon_x = \frac{d\delta}{dx} = \frac{P}{EA_x}$$

۴۸

### مسئله ۱-۷

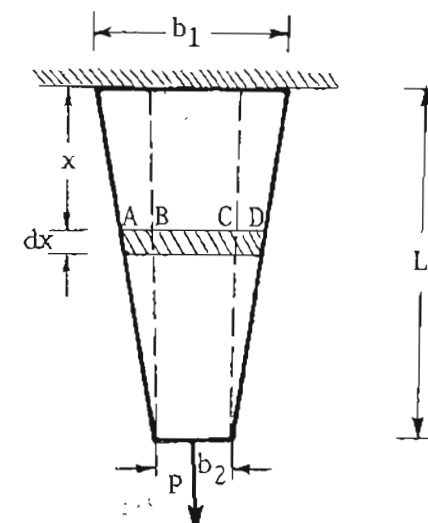
یک میله غیر منشوری با مقطع مستطیل و ضخامت ثابت  $t$  که عرض آن به طور خطی از مقدار  $b_1$  در نکیه گاه تا مقدار  $b_2$  در انتهای آزاد آن تغییر می‌کند بار  $P$  را تحمل می‌نماید . روابطی برای ازدیاد طول میله تحت بار  $P$  بدست آورید (شکل ۱-۲۶) .

حل : ازدیاد طول قسمتی از میله به طول  $dx$  که به فاصله  $x$  از انتهای فوکائی فرار دارد از رابطه زیر بدست می‌آید :

$$d\delta = \frac{P_x dx}{EA_x}$$

در این رابطه  $A_x$  سطح مقطع میله در فاصله  $x$  از نکیه گاه و  $P_x$  نیروی محوری در قسمت مورد نظر می‌باشد . سپاهای ازدیاد طول کل میله از رابطه زیر بدست می‌آید :

$$\delta = \int_0^L \frac{P_x dx}{EA_x}$$



شکل ۱-۲۶

۵۱

$$2 \int_0^{0.8r} \frac{Wdx}{\pi E(r^2 - x^2)} = \frac{2W}{\pi E} \left[ \frac{1}{2r} \ln \frac{r+x}{r-x} \right]_0^{0.8r} = \text{کاهش صخامت کل}$$

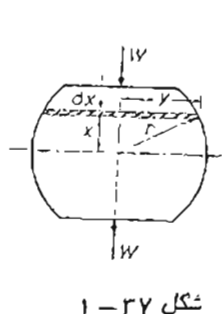
$$= \frac{W}{\pi r E} [ \ln 9 - \ln 1 ] = \frac{2.197W}{\pi r E}$$

### مسئله ۱-۱۰

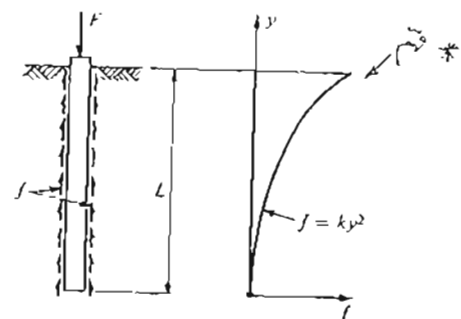
یک سمع چویی با مقطع یکواخت و به طول  $L$  در خاک رس کوبیده شده است و بار  $F$  را در بالای سمع حمل می‌کند. تمام آین بار بوسیله نیروی اصطکاکی  $f$  ( در واحد طول ) در طول سمع مقاومت می‌شود که تغیرات آن مطابق شکل ۱-۳۸ به صورت یک سهمی می‌باشد. تعیین کنید :

الف - کاهش طول کل سمع را برحسب  $A$  ،  $L$  ،  $F$  ،  $E$  ( سطح مقطع سمع ) و  $E$  ( ضریب ارجاعی چوب ) .

ب - اگر  $E = 105000 \text{ Kg/cm}^2$  ،  $L = 12 \text{ m}$  ،  $F = 43600 \text{ Kg}$  باشد مقدار عددی کوتاه شدن سمع مزبور را .



شکل ۱-۳۲



شکل ۱-۳۸

۵۰

اصafe حجم جزء مزبور را استفاده از رابطه ۱-۱۴ محاسبه می‌شود.

$$d(\Delta V) = \epsilon_x (1-2v) dV = \frac{P}{EA_x} (1-2v) A_x dx = \frac{P(1-2v)}{E} dx$$

بنابراین اضافه طول کل میله از انتگرال زیر بدست می‌آید :

$$\Delta V = \int_0^L \frac{P(1-2v)}{E} dx = \frac{P(1-2v)}{E} \int_0^L dx = \frac{PL}{E} (1-2v)$$

### مسئله ۱-۹

بکگوی مولادی به شعاع ۲ مطابق شکل ۱-۳۷ تراش داده شده است بطور یکه بالا و باین آن مسطح گردیده است و ضخامت آن در امتداد قائم ۱.۶۲ می‌باشد. کاهش صخامت حجم مزبور را موقعی که بکار محوری  $W$  در بالای آن وارد می‌شود حساب کنید.

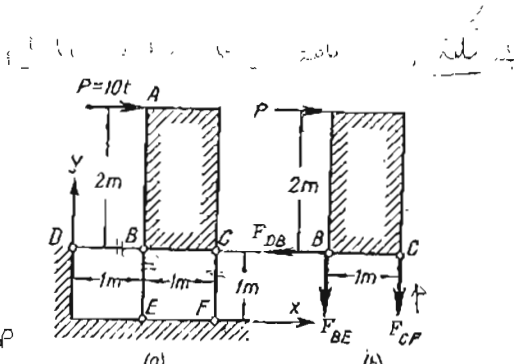
حل : حرشی از حجم مزبور را که در شکل با هاشور شان داده شده است در نظر می‌گیریم .

$$\pi y^2 = \pi(r^2 - x^2) = \text{مساحت مقطع جزء}$$

$$= \frac{W}{\pi(r^2 - x^2)} = \text{تش در جزء مزبور}$$

$$= \frac{W dx}{\pi L(r^2 - x^2)} = \text{کاهش ضخامت جزء مزبور}$$

۵۳



شکل ۱-۳۹

نمودار جسم زراد سازه

(۱) دین ابتداء از نیرو را به دست کنیم:

حل: از تعادل سازه در امتداد افق نیروی داخلی میله BD بدست می‌آید.

$$F_{BD} = P = 10t$$

از تعادل لنجکی نیروها حول نقطه B نیروی داخلی میله CF بدست می‌آید.

$$\sum M_B = 0 \quad 2(10) + 1(F_{CF}) = 0 \quad : \quad F_{CF} = -20t \uparrow$$

بنابراین جهت نیروی  $F_{CF}$  در روی شکل ساید عوض شود. از تعادل نیروها در امتداد قائم سیروی داخلی میله BE بدست می‌آید.

$$F_{BE} = 20t \downarrow$$

(۲)

$$\sigma_{BD} = \frac{10000}{20} = 500 \text{ Kg/cm}^2$$

$$\sigma_{CF} = \frac{-20000}{20} = -1000 \text{ Kg/cm}^2$$

$$\sigma_{BE} = \frac{20000}{20} = 1000 \text{ Kg/cm}^2$$

۵۴

حل: ابتدا ضریب k را در معادله  $f = ky^2$  را با وشن معادله تعادل در امتداد قائم بدست می‌وریم.

$$F = \int_0^L f dy = \int_0^L ky^2 dy = \frac{kL^3}{3} \quad : \quad k = \frac{3F}{L^3}$$

اگر  $P_y$  بار وارد بر شمع در فاصله y از اساهای پایین آن ساچد آن را از انتگرال زیر می‌توانیم حساب کنیم:

$$P_y = \int_0^y dP = \int_0^y f dy = \int_0^y ky^2 dy = \frac{ky^3}{3} = \frac{y^3}{L^3} F$$

بالاخره کاهش طول کا. میله از انتگرال ربر بدست می‌آید:

$$\delta = \int_0^L \frac{P_y dy}{AE} = \int_0^L \frac{F}{AE^3} y^3 dy = \frac{FL}{4AE}$$

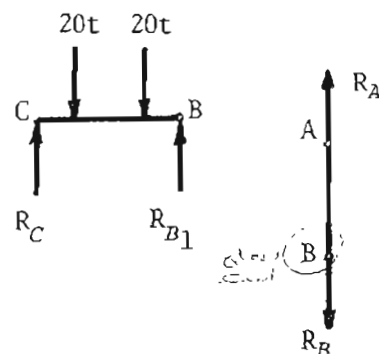
قدار عددی δ برابر است با

$$\delta = \frac{(43600)(1200)}{4(645)(105000)} = 0.19 \text{ cm} = 1.9 \text{ mm}$$

مسئله ۱-۱۱ ✓

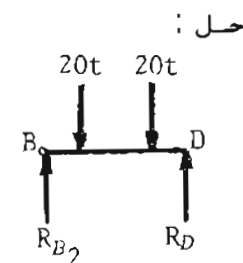
سازه صلبی مطابق شکل ۱-۳۹ بوسیله سه میله فولادی با سطح مقطع یکسان  $A = 20 \text{ cm}^2$  به فونداسیون متصل شده است. نیشها را در میله‌ها و همچنین غیر مکان افقی و قائم د کل سقطه B را در اندر سار افی  $t = 10t$  تعیین کنید. ضریب ارجاعی فولاد  $E = 2 \times 10^6 \text{ Kg/cm}^2$  می‌باشد.

۵۵



نحوه ایجاد جسم آزاد

نحوه ایجاد جسم آزاد



نمودار جسم آزاد AB

$$R_C = R_{B_1} = 20t$$

$$R_D = R_{B_2} = 20t$$

$$R_B = R_{B_1} + R_{B_2} = 40t$$

بنابراین نیروی کششی عضو AB برابر است با مساحت سطح مقطع ضعیف عضو AB مساوی است با

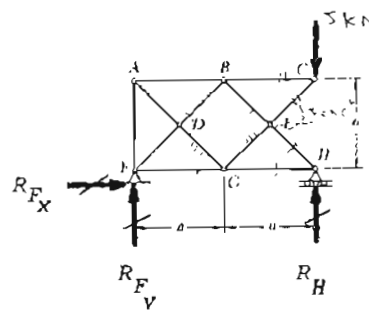
$$A' = 4A - 8(2 \times 1) = 4(19.2) - 16 = 60.8 \text{ cm}^2$$

در نتیجه تن در مقطع بحرانی عضو کششی برابر است با

$$\sigma = \frac{R_B}{A'} = \frac{40000}{60.8} = 658 \text{ Kg/cm}^2$$

مسئله ۱-۱۳ ✓

نیروهای داخلی خرپای شکل ۱-۴۱ را با روش مقاصل بدست آورید.



شکل ۱-۴۱

۵۶

تغییر مکان افقی نقطه B برابر با ازدیاد طول میله BD می‌باشد.

$$\delta_{Bh} = \Delta L_{BD} = \frac{F_{BD}L}{AE} = \frac{(10000)(100)}{(20)(2 \times 10^6)} = 0.025 \text{ cm} = 0.25\text{mm}$$

تغییر مکان قائم نقطه B برابر با ازدیاد طول میله BE می‌باشد.

$$\delta_{BV} = \Delta L_{BE} = \frac{F_{BE}L}{AE} = \frac{(20000)(100)}{(20)(2 \times 10^6)} = 0.05 \text{ cm} = 0.5\text{mm}$$

تغییر مکان کل نقطه B از جمع هندسی مؤلفه‌های افقی و قائم آن بدست می‌آید.

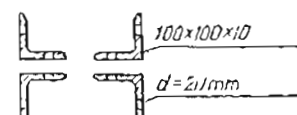
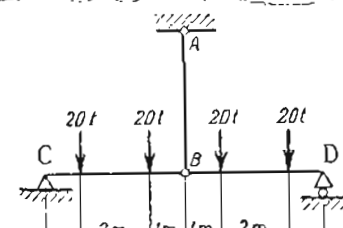
$$\delta_B = \sqrt{\delta_{Bh}^2 + \delta_{BV}^2} = \sqrt{0.25^2 + 0.5^2} = 0.56 \text{ mm}$$

مسئله ۱-۱۲ ✓

قطع عصوکشی AB (شکل ۱-۴۰) شامل جهار نیشی انساندارد

به مساح مقطع  $100\text{mm} \times 100\text{mm} \times 10\text{mm}$

$A = 19.2 \text{ cm}^2$  می‌باشد که سوسیله 8 سوراخ برج به قطر 20mm صعیف شده است. نشان را در مقطع بحرانی عصوکشی پیدا کنید.



شکل ۱-۴۰

۵۷

از معادلات معادل مفصل B نیروهای  $F_{BA}$  و  $F_{BD}$  بدست می‌آید.

$$\sum F_y = 0 : F_{BD} \cos 45^\circ - F_{EB} \cos 45^\circ = 0 \quad F_{BD} = 7.07 \text{ kN}$$

کشی

$$\sum F_x = 0 : F_{BA} + F_{BD} \cos 45^\circ + 7.07 \cos 45^\circ - 5 = 0 \quad F_{BA} = -5 \text{ kN}$$

فشاری

به علت تقارن خرپا و بارگذاری:

$$F_{DG} = F_{BD} = 7.07 \text{ kN}$$

کشی

$$F_{GF} = F_{BA} = 5 \text{ kN}$$

فشاری

با در نظر گرفتن معادل مفصل A نیروهای  $F_{AF}$  و  $F_{AD}$  بدست می‌آیند.

$$\sum F_x = 0 : F_{AD} \cos 45^\circ - 5 = 0 \quad F_{AD} = 7.07 \text{ kN}$$

کشی

$$\sum F_y = 0 : F_{AF} - F_{AD} \cos 45^\circ = 0 \quad F_{AF} = 5 \text{ kN}$$

فشاری

مسئله ۱-۱۴

نیروهای داخلی خرپای شکل ۱-۴۲ را حساب کنید. واکنش‌های آن را نیز تعیین کنید.

حل: ابتدا با نوشتن معادلات معادل تمام خرپا واکنش‌ها را پیدا می‌کنیم.

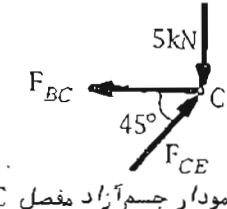
۵۶

حل: ابتدا با سوشن معادلات معادل کل خرپا واکنش‌ها را بدست می‌وریم.

$$\sum F_x = 0 : R_{F_x} = 0$$

$$\sum M_H = 0 : R_{F_y} = 0$$

$$\sum F_y = 0 : R_H = 5 \text{ kN}$$



نمودار جسم آزاد مفصل C

از سوشن معادلات معادل در نمودار جسم آزاد مفصل C نیروهای  $F_{CE}$  و  $F_{EC}$  به

دست می‌آیند.

$$\sum F_y = 0 : F_{CE} \cos 45^\circ - 5 = 0$$

$$F_{CE} = 5\sqrt{2} \text{ kN} = 7.07 \text{ kN}$$

فشاری

$$\sum F_x = 0 : F_{BC} - F_{CE} \cos 45^\circ = 0 \quad F_{BC} = 5 \text{ kN}$$

کشی

به علت تقارن خرپا و بارگذاری حول یک محور افقی:

$$F_{EH} = F_{CE} = 7.07 \text{ kN}$$

$$F_{HG} = F_{BC} = 5 \text{ kN}$$

ار نمودار جسم آزاد مفصل E بدهست می‌آیند. بعلت شرایط ویژه بارگذاری در اتصال E می‌توانیم سنویم

$$F_{EB} = F_{EH} = 7.07 \text{ kN}$$

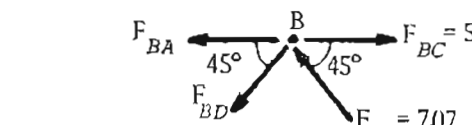
فشاری

$$F_{EG} = F_{CE} = 7.07 \text{ kN}$$

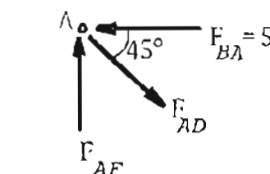
فشاری

$$F_{EG} = F_{CE} = 7.07 \text{ kN}$$

نمودار جسم آزاد مفصل E



نمودار جسم آزاد مفصل B



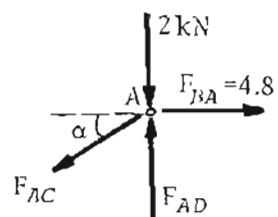
نمودار جسم آزاد مفصل A

۵۹

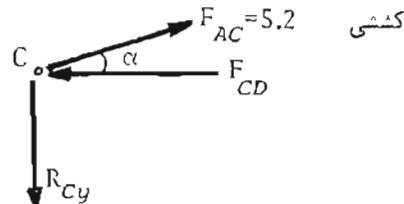
بالاخره با نوشتن معادله تعادل مفصل C در امتداد افق سیروی  $F_{CD}$  بدست می‌پید.

$$\sum F_x = 0 : F_{CD} - F_{AC} \cos\alpha = 0$$

$$F_{CD} = 4.8 \text{ kN} \quad \text{فنازی}$$



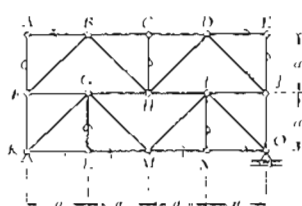
نمودار جسم آزاد مفصل



نمودار جسم آزاد مفصل

مسئله ۱-۱۵

عصوهرای بدون نیروی خر پای شکل ۱-۴۲ را بدست آوردید. برای بدست یابی این اثبات



$$F_{EB} \approx -F_{ED}$$

شکل ۱-۴۲

$T_{f1}$

$$F_{AF} = 0$$

حل: از تعادل مفصل A در امتداد فاصل نتیجه می‌شود:

$$F_{CH} = 0$$

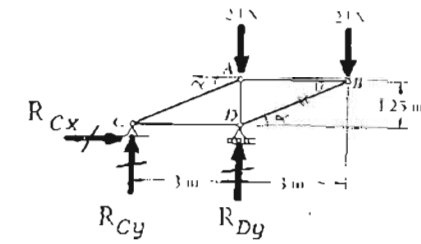
از تعادل مفصل C در امتداد قائم نتیجه می‌شود:

۶۰

$$\sum F_x = 0 : R_{Cx} = 0$$

$$\sum M_D = 0 : 3R_{Cy} + 3(2) = 0$$

$$R_{Cy} = -2 \text{ kN}$$



شکل ۱-۴۲

نابراین جهت  $R_{Cy}$  در روی شکل باید عوض شود.

$$\sum F_y = 0 : 2 + 2 + 2 - R_{Dy} = 0 : R_{Dy} = 6 \text{ kN}$$

$$\cos\alpha = \frac{3}{\sqrt{3^2 + 1.25^2}} = \frac{12}{13} ; \sin\alpha = \frac{5}{13}$$

از سودار حس آزاد مفصل B نیروهای  $F_{BD}$  و  $F_{BA}$  بدست می‌آیند.



$$\sum F_y = 0 : F_{BD} \sin\alpha - 2 = 0$$

$$F_{BD} = 5.2 \text{ kN} \quad \text{فنازی}$$

$$\sum F_x = 0 : F_{BA} - F_{BD} \cos\alpha = 0$$

$$F_{BA} = 4.8 \text{ kN} \quad \text{کشی}$$

با نوشتن معادلات تعادل مفصل A نیروهای  $F_{AD}$  و  $F_{AC}$  بدست می‌آیند.

$$\sum F_x = 0 : F_{AC} \cos\alpha - 4.8 = 0 \quad F_{AC} = 5.2 \text{ kN} \quad \text{کشی}$$

$$\sum F_y = 0 : F_{AD} - 2 - F_{AC} \sin\alpha = 0 \quad F_{AD} = 4 \text{ kN} \quad \text{فنازی}$$

51

از تعادل مفصل D در امتداد عمود بر AI نتیجه می شود :

$$F_{AH} = 0 \quad \text{از تعادل مفصل H در امتداد فاصل نتیجه می شود ;}$$

از تعادل مفصل G در امتداد قائم نتیجه می‌شود :

۶

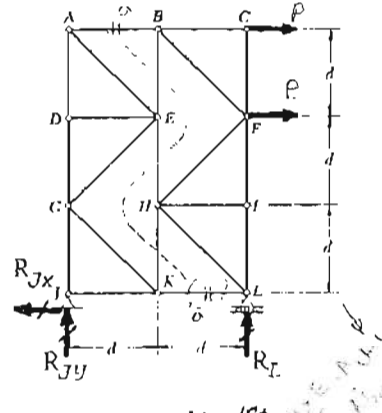
از تعادل مفمل  $\Sigma$  در امتداد افق نتیجه می شود :

$$F_{EJ} = 0 \quad \text{از معادل مفصل E در امتداد فاصل نتیجه می‌شود:}$$

$$F_{GL} = 0 \quad \text{ارتعاد مفصل L در امتداد قائم نتیجه می شود :}$$

۱-۱۷ مسئله ✓

نمودهای اعضا، AB و KL خرپای شکل ۴۵-۱ را بدست آورید.



The diagram illustrates a trapezoidal frame structure. At the top left corner (A), there is a horizontal force  $F_{AB}$  pointing right. At the bottom right corner (R), there is a horizontal force  $F_{NK}$  pointing right. The vertical height of the frame is labeled as  $3d$ , divided into three segments of  $d$  each. The base width is labeled as  $d$ . Internal forces are shown as diagonal lines:  $F_{AS}$  at the top,  $F_{EN}$  in the middle, and  $F_{NK}$  at the bottom. Deflections are indicated by vertical arrows:  $\delta_A$  at A,  $\delta_E$  at E, and  $\delta_R$  at R.

مودار جسم آزاد

جیس داں نامہ، ۱۹۷۴ء

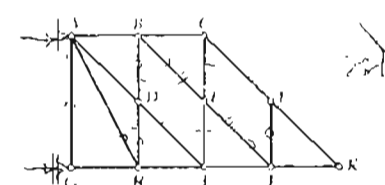
حل: ابتدا با نوشتن معادلات تعادل تمام خر پا و اکنـهـای  $R_{JY}$  و  $R_{JX}$  را بدست می آوریم.

$$\Sigma F_x = 0 \quad : \quad R_{Jx} = 2 P$$

$$\Sigma M_L = 0 \quad : \quad 2d R_{Jy} + 2dP + 3dP = 0 \quad : \quad R_{Jy} = -2.5 P$$

مسئلہ ۱۶ - ۳

عضوهای بدون نیروی حرپای شکل ۴۴-۱ را بدست آورید.



١ - ٤٣

ارسالی فائزہ علیہ السلام

حل : از تعادل مغناطیسی  $F$  در امتداد عمود بر CK نتیجه می شود :

از نعادل معصل  $L$  در امتداد فائم نتیجه می‌شود:

$$F_{EB} = 0 \quad \text{ارتعاد معمل } E \text{ در امتداد افق نتیجه می شود :}$$

از معادل مفصل B در امتداد قائم نتیجه می شود :

۸۳

حل : س مقطع a-a خرباب را به دو نیم تقسیم می کنیم و نمودار حسم آزاد قسمت فوقانی را در سطر می گیریم .  
با نوشتن معادله تعادل لنگری حول نقطه E سیروی داخلی عصو L به دست می آید .

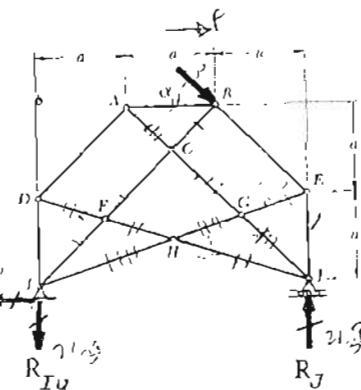
$$\sum M_E = 0 \quad : \quad + (15)(4) + 15(2) + F_{GJ}(4) = 0$$

$$F_{GJ} = -22.5 \text{ kN}$$

شاری

مسئلہ ۱ - ۱۹

هر گاه در خرپای شکل ۴۷-۱  $\alpha$  برابر صفر باشد نیروی داخلی اعضاء AB و CJ آن را تعیین کنید.



حل : ابتدا با نوشتن معادلات تعادل نیام خرپا و اکتشهای  $R_{Ix}$  و  $R_{Iy}$  را به دست می آوریم .

$$\Sigma F_x = 0 \quad : \quad R_{Ix} = P$$

$$\Sigma M_z = 0 \quad : \quad R_{Iy}(3a) - P(2a) = 0 \quad : \quad R_{Iy} = \frac{2}{3} P$$

۴

بناراین حهت واکنش  $\tau_{yz}$  در روی شکل ساید عوض نود .  
 حال با مفظع  $a-a$  حری با راه دو بهم سفیم می کیم و سودار حم آراد را برای  
 فهمت سمت چب رسم می کنم . با سوئن معادله تعادل لنگری حول عطفه K سروی  
 $F_{AB}$  بدست می آید .

$$\Sigma N_k = 0 \quad : \quad +2.5P(d) - F_{AB}(3d) = 0$$

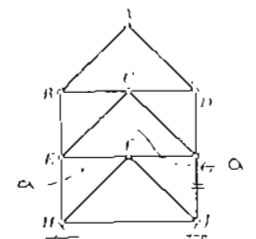
$$F_{\hat{A}^B} = \frac{5}{6} P$$

کشی

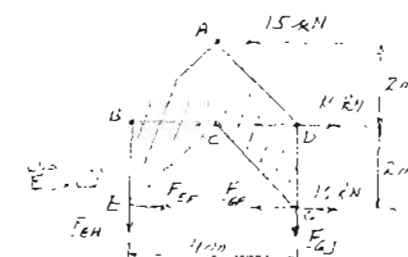
$$\sum F_x = 0 \quad : \quad \overbrace{F_{AB}}^{5\sqrt{3}i} + F_{KL} - 2P = 0 \quad : \quad F_{KL} = \frac{7}{6}P \quad \xrightarrow{\text{کنترل}} \quad \text{با نوشتن معادله عادل در امداد افق نسروی } F_{KL} \text{ بدست می آید.}$$

مسائیہ ۱۸-۱

سپریوی داخلی عضو خربای شکل ۴۶-۱ را پیدا کند.

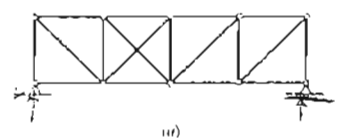


١-٤٦ تکل



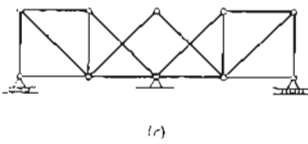
مودار جسم آزاد

۶۵

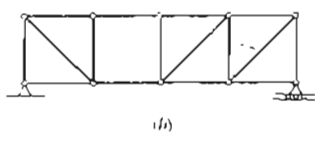


(a)

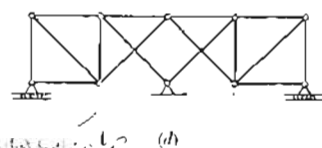
طبقه بندی کنید.



(b)



(c)



(d)

شکل ۴۸ - ۱

حل: تعداد عضلهای را  $n$  ، تعداد اعضاء را  $m$  و تعداد واکنش‌ها را(مولفهای واکنش‌ها را )  $r$  می‌نامیم.

$$(m+r) = 2n$$

$$n = 10 \quad m = 18 \quad r = 3$$

شکل (a) :

چون  $m + r > 2n$  می‌باشد خر پا هیبر استاتیک است و درجه هیبر استاتیک آن برابر

$$m + r - 2n = 18 + 3 - 20 = 1 \quad m + r = 21 > 2n$$

$$n = 10 \quad m = 16 \quad r = 3$$

شکل (b) :

$$m + r < 2n$$

$$n = 10 \quad m = 16 \quad r = 4$$

شکل (c) :

$$m + r = 2n = 20$$

خر پا ایزو استاتیک و پایدار است.

$$n = 10 \quad m = 16 \quad r = 4$$

شکل (d) :

$$m + r = 2n = 20$$

۶۴

حال قسم IBE را جدا و نمودار جسم آزاد آن رارسم می‌کنیم. چون در هر یک از مفصل‌های C ، F ، G و H اعضاء دو بدرو در یک امتداد هستند می‌توانیم بنویسیم

$$F_{AC} + F_{GJ} = 0$$

$$F_{DF} + F_{HJ} = 0$$

با توجه به اینکه لنگرهای دو سیروی  $F_{AC}$  و  $F_{DF}$  و همچنین دو سیروی  $F_{GJ}$  و  $F_{HJ}$  می‌بگیر را خنثی می‌کنند معادله تعادل لسکری قطعه IBE را حول نقطه K می‌نویسیم.

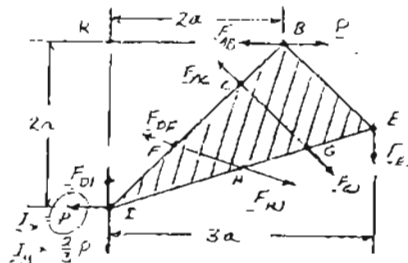
$$\sum M_K = 0 : +P(2a) + F_{EJ}(3a) = 0$$

$$F_{EJ} = -\frac{2}{3} P$$

فشاری

معادله تعادل قطعه IBE در امتداد افق سیروی  $F_{AB}$  را می‌دهد.

$$\sum F_x = 0 : P - P - F_{AB} = 0 \quad ; \quad F_{AB} = 0$$

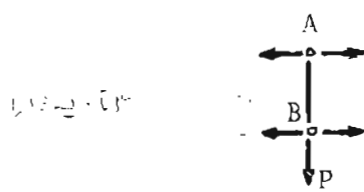


مسئله ۱ - ۲۰ ✓

خر پاهای شکل ۴۸ - ۱ را به ناپایدار، ایزو استاتیک ( و پایدار ) و هیبر استاتیک

۶۷

توجه کنید خرپای مزبور یک خرپای ساده نمی‌باشد و بین مفصل‌های A و B م叔叔ی وجود ندارد. با وجود اینکه رابطه  $m + r = 2n$  برقرار است خرپای مزبور پایدار نیست زیرا اگر نمودار جسم آزاد عضو AB را رسم کنیم مشاهده می‌کنیم که عضو مزبور در آمنداد قائم در حال تعادل نیست.



نمودار جسم آزاد AB

$$n = 8 \quad m = 13 \quad r = 4$$

$$m + r > 2n$$

خرپای هیبر استاتیک می‌باشد و درجه هیبر استاتیکی آن برابر است با

$$m + r - 2n = 13 + 4 - 16 = 1$$

$$n = 8 \quad m = 12 \quad r = 4$$

$$m + r = 2n = 16$$

شکل (c) :

شکل (d) :

خرپای مزبور یک خرپای ساده نیست ولی با روشن مفاضل می‌توان تمام نیروهای داخلی عضوهای آن را بدست آورد. بنابراین خرپای پایدار و ایزو استاتیک می‌باشد.

مسئله ۱-۲۲

کدامیک از خرپاهای شکل ۵-۱ پایدار و کدامیک ساپایدار نمی‌باشد؟

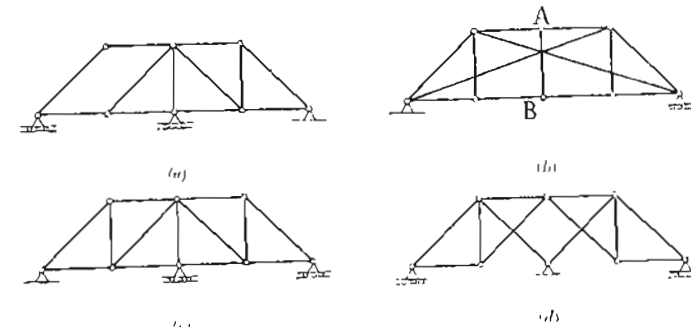
کدامیک از خرپاهای پایدار ایزو استاتیک و کدامیک هیبر استاتیک می‌باشد؟

۶۸

خرپای ایزو استاتیک و پایدار است. سوجه کنید این خرپای ساده نمی‌باشد ولی وجود این می‌توان حام سروهای داخلی آن را پیدا کرد و در نسجه ایزو استاتیک می‌باشد.

مسئله ۱-۲۱

خرپاهای شکل ۴۹-۱ را به پایدار و ناپایدار طبقه‌بندی کنید. همچنین خرپاهای پایدار را به ایزو استاتیک و هیبر استاتیک طبقه‌بندی نمایید.



شکل ۱-۴۹

حل : تعداد مفصل‌های خرپا را  $n$  ، تعداد اعضاء آن را  $m$  و تعداد دواکنش‌های مجهول را  $r$  می‌سامید.

$$n = 8 \quad m = 12 \quad r = 4$$

$$m + r = 2n = 16$$

شکل (a) :

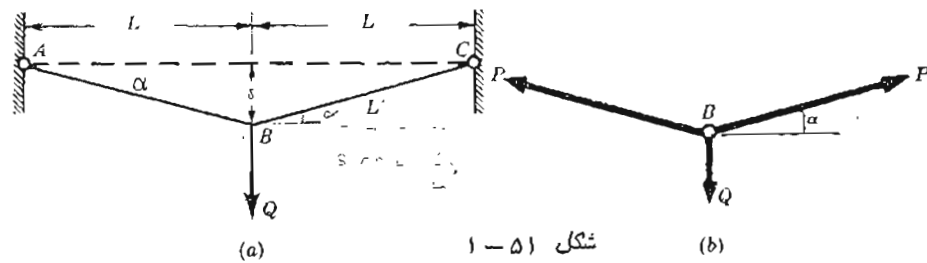
$$n = 8 \quad m = 13 \quad r = 3$$

$$m + r = 2n = 16$$

شکل (b) :

خرپای معین و پایدار نمی‌باشد.

۶۹



هر یک از میله‌ها نابع قانون هوك می‌باشد و از دیاد طول هر یک از آنها از رابطه  $\Delta = \frac{PL}{AE}$  بدست می‌آید. بنابراین

$$\Delta = L' - L = \frac{PL}{AE} \quad (1)$$

نمودار جسم آزاد مفصل B در شکل ۱-۵۱b در شده است. از معادله تعادل در امتداد قائم تیجه می‌شود

$$2Psina - Q = 0$$

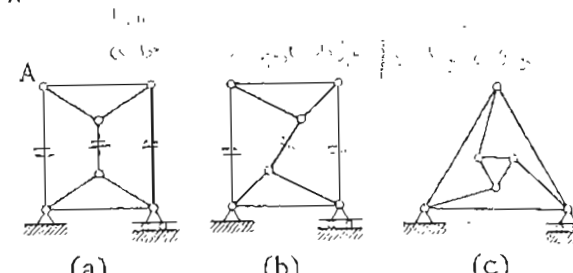
$$\therefore Q = 2Psina = 2P\left(\frac{\delta}{L}\right) \quad (2)$$

به جای P از معادله ۱ در معادله ۲ قرار می‌دهیم و به جای L مقدار مساوی آن  $\sqrt{L^2 + \delta^2}$  را قرار می‌دهیم.

$$Q = 2 \frac{(L' - L)AE}{L} \frac{\delta}{L'} = \frac{2\delta AE}{L} \left(1 - \frac{L}{L'}\right)$$

$$Q = \frac{2\delta AE}{L} \left(1 - \frac{L}{\sqrt{L^2 + \delta^2}}\right)$$

۶۸



حل :

(a) : دو خرپای ساده فوقانی و تحتانی به وسیله سه میله موازی به یکدیگر متصل شده‌اند. بنابراین خرپای ناپایدار است. تحت اتریک سیروی افقی مثلاً در مفصل A خرپای از تعادل خارج خواهد شد و فرو خواهد ریخت.

(b) : دو خرپای ساده فوقانی و تحتانی به وسیله سه میله غیرموازی و غیرمتقارب به یکدیگر متصل شده‌اند. بنابراین خرپای حاصل یک خرپای مرکب پایدار ایزواستاتیک می‌باشد.

(c) : دو خرپای ساده ( مثلت خارجی و مثلث داخلی ) به وسیله سه میله غیرموازی و غیرمتقارب به یکدیگر متصل شده‌اند و تشکیل یک خرپای مرکب پایدار ایزواستاتیک می‌دهند.

مسأله ۱ - ۲۳ ✓

دو سیم یا میله نازک AB و BC که در نقاط A، B و C دارای اتصالات منطبق می‌باشند تحت تأثیر بار Q در نقطه B قرار دارند. قبل از اینکه بار Q وارد شود هر یک از دو سیم ( یا میله ) به طول L و افقی می‌باشند و اوزن آنها صرف نظر می‌شود. بار Q چقدر باید باشد تا تغییر مکان نقطه B برابر δ باشد ؟ سطح مقطع هر یک از سیم‌ها A و ضریب ارتباطی آنها E می‌باشد.

حل : این یک مثال فوق العاده جالب از سازه‌ای است که اعضاء آن نابع قانون هوك می‌باشند ولی با وجود این به دلایل هندسی بار با تغییر مکان مناسب‌نمی‌باشد.

۷۱

$E_s = 2 \times 10^6 \text{ Kg/cm}^2$  می باشد. سطح مقطع لازم برای هر یک از میله ها و تغییر مکان های افقی و فاصله نقطه C را تعیین کنید. طول های AC و BC به ترتیب 2.5m و 4m می باشد.

حل : از معادله تعادل مفصل C در امتداد عمود بر AC نیروی  $F_{BC}$  بسته می آید.

$$F_{BC} \cos 15 - 5 \cos 45 = 0$$

$$F_{BC} = 3.66 \text{ t}$$

از معادله تعادل مفصل C در امتداد فاصل نیروی  $F_{AC}$  بدست می آید.

$$\sum F_y = 0 : F_{AC} \cos 45 + F_{BC} \cos 30 - 5 = 0$$

$$F_{AC} = 2.59 \text{ t}$$

$$A_{AC} = \frac{F_{AC}}{\sigma_w} = \frac{2590}{1500} = 1.73 \text{ cm}^2$$

سطح مقطع لازم برای میله AC

$$A_{BC} = \frac{F_{BC}}{\sigma_w} = \frac{3660}{1500} = 2.44 \text{ cm}^2$$

سطح مقطع لازم برای میله BC

$$\Delta l_1 = \frac{F_{AC} l_1}{A_{AC} E_a} = \frac{\sigma_w l_1}{E_a} = \frac{(1500)(2500)}{700000} = 5.4 \text{ mm}$$

اضافه طول میله AC

$$\Delta l_2 = \frac{F_{BC} l_2}{A_{BC} E_s} = \frac{\sigma_w l_2}{E_s} = \frac{(1500)(4000)}{2 \times 10^6} = 3 \text{ mm}$$

اضافه طول میله BC

با توجه به شکل ۱-۵۲b رابطه زیر بین تغییر مکان مفصل C ،  $\beta = \overline{CC_3}$  ، زاویه

۷۰

شارت رادیکال را سط می دهیم .

$$\sqrt{L^2 + \delta^2} = L \left(1 + \frac{\delta^2}{L^2}\right)^{\frac{1}{2}} = L \left(1 + \frac{1}{2} \frac{\delta^2}{L^2} + \dots\right)$$

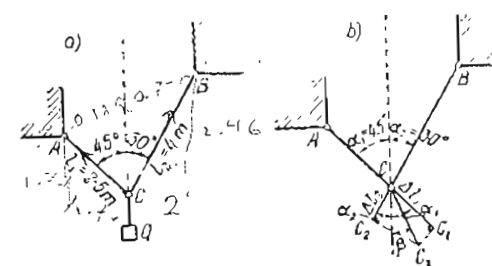
$$1 - \frac{L}{\sqrt{L^2 + \delta^2}} = 1 - \left(1 - \frac{1}{2} \frac{\delta^2}{L^2}\right) = \frac{1}{2} \frac{\delta^2}{L^2}$$

$$Q = \frac{2\delta AE}{L} \frac{\delta^2}{2L^2} = \frac{AE\delta^3}{L^3}$$

دیگر ترتیب متساهده می شود با وجود اینکه هر سک از میله ها از قانون هوك شعیبت می کند نیروی Q با تغییر مکان  $\delta$  مناسب نمی باشد . در نتیجه در این مسئله نتوان از اصل اجتماع اثر فواید سفیده سود ( در این اصل در فصل دوم سخت حواهند است ) .

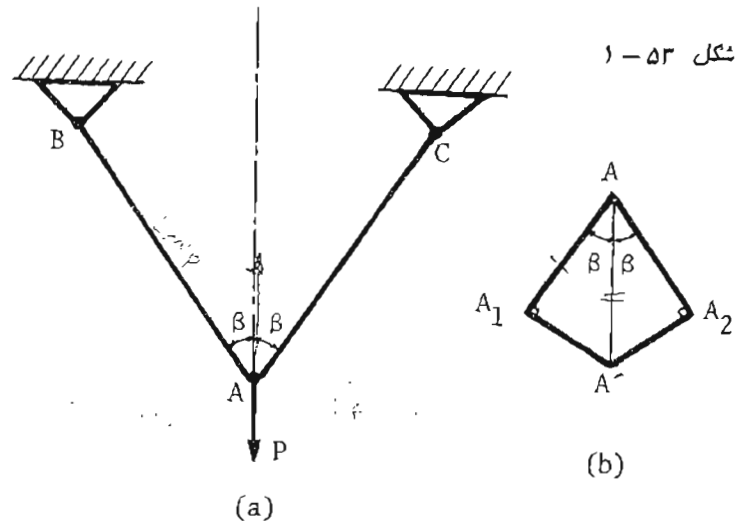
مسئله ۱-۵۲

میله های AC و BC در شکل ۱-۵۲a به ترتیب از الومینیوم و سپلاد باشند .  
مجازیکان  $\sigma_w = 1500 \text{ Kg/cm}^2$  ساخته داده و بحث اثرباره آنها فرار داردند .  
صریب ارجاعی الومینیوم  $T_a = 0.7 \times 10^6 \text{ Kg/cm}^2$  و صریب ارجاعی فولاد



شکل ۱-۵۲

۷۲



شکل ۱-۵۲

(b)

حل : به علت تقارن نیروهای داخلی میله‌های AB و AC برابر است . مقدار این نیرو از معادله تعادل در امتداد فاصل بست می‌آید .

$$F_{AB} = F_{AC} = \frac{P}{2\cos\beta}$$

$$\rightarrow F_{AB} = F_{AC}$$

اضافه طول هر یک از میله‌ها برابر است با

$$\overline{AA}_1 = \overline{AA}_2 = \frac{\frac{P}{EA} \cdot L}{\cos\beta} = \frac{PL}{2EA\cos^2\beta}$$

تغییر مکان فاصل مفصل A از نمودار ویلسو (شکل b ۱-۵۲) بست می‌آید .

$$= \overline{AA} = \frac{\overline{AA}_1}{\cos\beta} = \frac{PL}{2EA\cos^2\beta}$$

۷۲

و مقادیر معلوم  $\alpha_1$ ،  $\alpha_2$ ،  $\Delta l_1$ ،  $\Delta l_2$  وجود دارد :

$$\Delta = \frac{\Delta l_1}{\cos(\alpha_1 - \beta)} = \frac{\Delta l_2}{\cos(\alpha_2 + \beta)}$$

از این رابطه است  $\beta$  و سپس  $\Delta$  بست می‌آید .

$$\frac{\cos(\alpha_2 + \beta)}{\cos(\alpha_1 - \beta)} = \frac{\cos\alpha_2 \cos\beta - \sin\alpha_2 \sin\beta}{\cos\alpha_1 \cos\beta + \sin\alpha_1 \sin\beta} = \frac{\frac{\sqrt{3}}{2} \cos\beta - \frac{1}{2} \sin\beta}{\frac{\sqrt{2}}{2} (\cos\beta + \sin\beta)}$$

$$= \frac{1.73 \cos\beta - \sin\beta}{1.41 (\cos\beta + \sin\beta)} = \frac{\Delta l_2}{\Delta l_1} = \frac{3}{5.4} = 0.56$$

$$\tan\beta = 0.53 \quad : \quad \beta = 27.71^\circ$$

$$\Delta = \frac{\Delta l_1}{\cos(\alpha_1 - \beta)} = \frac{5.4}{\cos 17.29^\circ} = 5.66 \text{ mm}$$

$$\Delta_h = \Delta \sin\beta = 2.6 \text{ mm}$$

$$\Delta_v = \Delta \cos\beta = 5 \text{ mm}$$

غیر مکان افقی مفصل C

غیر مکان قائم مفصل C

مسئله ۱-۲۵ ✓

در خرای شکل ۱-۵۳ a تغییر مکان فاصل مفصل A را بست آورید . صلبیت محوری هر یک از میله‌ها EA می‌باشد .

۷۵

از تعادل مفصل B در امتداد BD نیروی  $F_{BD}$  بدست می‌آید.

$$F_{BD} = (F_{BC} + F_{AB}) \cos 45^\circ = 20 \text{ kN}$$

افزایش طول AC شامل دو موئله می‌باشد. موئله اول ناشی از اضافه طول عضوهای کشی شده است. میله‌ها از فولاد با ضریب ارتجاعی  $E = 2 \times 10^{11} \text{ N/m}^2$  ساخته شده‌اند و سطح مقطع آنها  $A = 5 \text{ cm}^2$  می‌باشد. افزایش طول AC را حساب کنید.

$$\delta_1 = \frac{PL}{2EAc \cos^3 \beta}$$

$$P = 20 \text{ kN}, E = 2 \times 10^{11} \text{ N/m}^2, A = 5 \text{ cm}^2, L = \frac{L}{\sqrt{2}}, \beta = 45^\circ$$

در این رابطه:

$$\delta_1 = \frac{20000(\frac{L}{\sqrt{2}})}{(2 \times 10^{11})(10^{-4})(5) \cos^3 45^\circ} = 0.0004L. \quad (1)$$

موئله دوم ناشی از کاهش طول عضو عشاری BD می‌باشد. اگر از تغییر مکان‌های مرتبه دوم در مقابل تغییر مکان‌های مرتبه اول صرف سطر کنیم کاهش طول قطر BD برابر با اضافه طول قطر AC خواهد بود. بنابراین موئله دوم برابر است با

$$\delta_2 = \frac{F_{BD}(\sqrt{2}L)}{AE} = \frac{(20000)(\sqrt{2}L)}{(5)(2 \times 10^{11})(10^{-4})} = 0.0003L \quad (2)$$

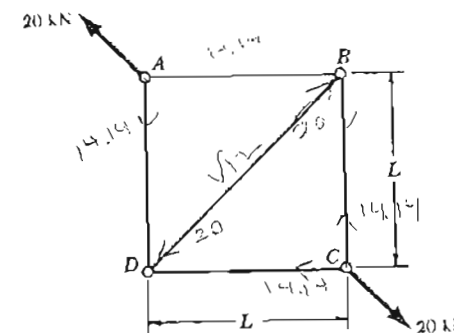
افزایش طول AC مجموع  $\delta_1$  و  $\delta_2$  می‌باشد.

$$\delta = \delta_1 + \delta_2 = 0.0004L + 0.0003L = 0.0007L$$

مسئله ۱-۲۲

۷۶

مسئله پنج میله‌ای شکل ۱-۵۴-۱ بوسیله دو نیروی ۲۰ kN در امتدادی کی از قطرهای شده است. میله‌ها از فولاد با ضریب ارتجاعی  $E = 2 \times 10^{11} \text{ N/m}^2$  ساخته شده‌اند و سطح مقطع آنها  $A = 5 \text{ cm}^2$  می‌باشد. افزایش طول AC را حساب کنید.

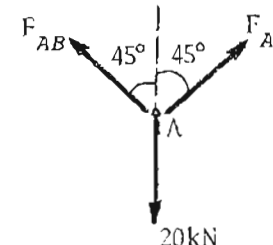


شکل ۱-۵۴

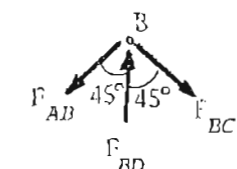
حل: ابتدا نیروهای داخلی اعضاء سازه را پیدا می‌کنیم. معادله تعادل مفصل A در امتداد AC سیروهای  $F_{AB}$  و  $F_{AD}$  را می‌دهد.

$$F_{AB} = F_{AD} = \frac{20}{2 \cos 45^\circ} = 14.142 \text{ kN}$$

$$F_{BC} = F_{CD} = 14.142 \text{ kN}$$



علت بفارسی:



نمودار جسم آزاد مفصل A

نمودار جسم آزاد مفصل B

۷۷

تفییر مکان افقی نقطه اثر بار  $P$  مجموع تغییر مکان افقی نقطه  $D$  و اضافه طول میله  $1$  می باشد.

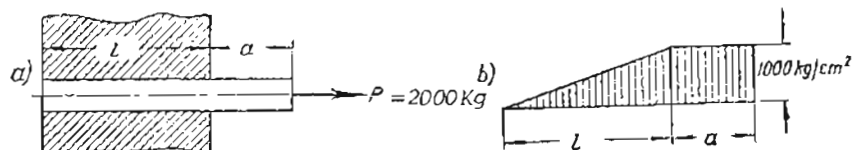
$$\delta_x = 2\Delta l_2 + \Delta l_1 = \frac{4l^2 a}{3E_2 A_2} + \frac{Pa}{3E_1 A_1} = \frac{Pa}{3} \left( \frac{4}{E_2 A_2} + \frac{1}{E_1 A_1} \right)$$

تفییر مکان قائم نقطه اثر بار  $P$  برابر است با

$$\delta_y = \delta_x \tan \alpha = \delta_x \left( \frac{a}{3a} \right) = \frac{Pa}{9} \left( \frac{4}{E_2 A_2} + \frac{1}{E_1 A_1} \right)$$

مسئله ۱-۲۸

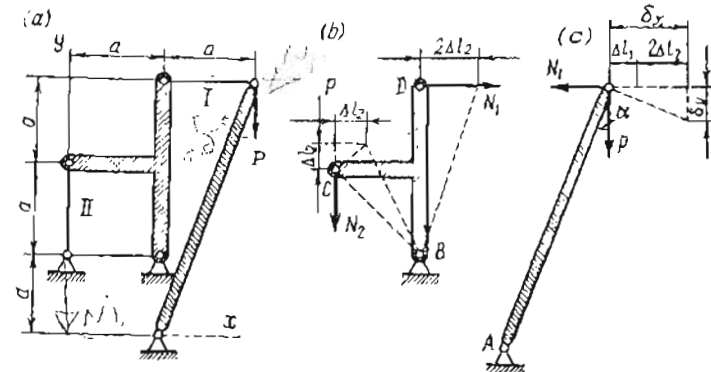
میله‌ای مطابق شکل ۱-۱ در داخل بتن قرار دارد و بوسیله نیروی  $P$  کشیده می شود. سطح مقطع میله  $A = 2\text{cm}^2$  و طولهای  $1$  و  $a$  در روی شکل به ترتیب  $40\text{cm}$  و  $15\text{cm}$  می باشند. بین میله و بتن نیروهای چسبندگی وجود دارد که مرض می شود در طول  $1$  به طور یکتاخت گسترده باشد. منحنی توزیع تنش را در طول میله رسم کنید. اضافه طول میله را سیز حساب کنید.  $E = 2 \times 10^6 \text{Kg/cm}^2$ .



شکل ۱-۵۶

۷۶

در سازه شکل ۱-۵۵-۱ میله‌های  $1$  و  $2$  به مریب دارای صلب محوری  $E_1 A_1$  و  $E_2 A_2$  می باشند. تغییر مکان‌های افقی و عائم نقطه اثر بار  $P$  را تعیین کنید.



شکل ۱-۵۵

حل : با نوشتن معادلات تعادل لنگری :  $\sum M_B = 0$  و  $\sum F_A = 0$  نیروهای داخلی میله‌ها بدست می آید.

$$N_1 = \frac{P}{3} ; \quad N_2 = \frac{2}{3} P$$

بر اساس رابطه ۱۲-۱ از دیاد طول دو میله عبارتند از

$$\Delta l_1 = \frac{Pa}{3E_1 A_1} ; \quad \Delta l_2 = \frac{2Pa}{3E_2 A_2}$$

با توجه به شکل ۱-۵۵a تغییر مکان افقی نقطه  $C$  برابر  $\Delta l_2$  و تغییر مکان نقطه  $C$  در امتداد عمود بر  $BC$  مساوی  $\sqrt{2}\Delta l_2$  می باشد. نقطه  $D$  فقط در امتداد افقی می باند تغییر مکان دهد. این تغییر مکان با نوجوه ابکه فطعه CBD مانند یک جسم صلب دوران می کند از رابطه زیر بدست می آید :

$$\frac{\delta_D}{2a} = \frac{\delta_C}{\sqrt{2}a} = \frac{\sqrt{2}\Delta l_2}{\sqrt{2}a} ; \quad \delta_D = 2\Delta l_2$$

۷۹

منحنی توزیع نش در طول میله در شکل ۱۵-۱ رسم شده است.  
اضافه طول قسمتی از میله که خارج از سن است ( به طول a ) برابر است با

$$\Delta l_a = \frac{Pa}{EA} = \frac{(2000)(15)}{(2 \times 10^6)(2)} = 7.5 \times 10^{-3} \text{ cm}$$

برای محاسبه اضافه طول قسمتی از میله که در داخل بتن قرار دارد ( به طول l ) در فاصله x از انتهای چپ میله جزء کوچکی از میله به طول dx را در نظر می‌گیریم.  
نیروی وارد بر این جزء قبل " تعیین شد، بنابراین اضافه طول جزء خیلی کوچک مذکور  
برابر است با

$$d(\Delta l) = \frac{Rdx}{EA} = \frac{Px dx}{lEA}$$

اضافه طول قسمتی از میله که در داخل بتن قرار دارد از استگارال زیر بدست می‌آید :

$$\Delta l_l = \int_0^l d(\Delta l) = \int_0^l \frac{Px dx}{lEA} = \frac{P l}{2EA}$$

$$= \frac{(2000)(40)}{(2)(2 \times 10^6)(2)} = 0.01 \text{ cm}$$

اضافه طول کل میله مساوی است با

$$\Delta l = \Delta l_l + \Delta l_a = 0.01 + 0.0075 = 0.0175 \text{ cm} = 0.175 \text{ mm}$$

۸۰

حل : در طول a میله در هر مقطعی از آن نتش‌ها بکسان و برابرد با

$$\sigma = \frac{P}{A} = \frac{2000}{2} = 1000 \text{ Kg/cm}^2$$

در طول l میله برای اینکه معادل سر قرار باند برآمد نیروهای اتصالی باند سراسر P  
باشد، چون بر اساس مسئله این نیروها در طول l به طور یکواخت سوزیع شده‌اند  
در واحد طول آن نیروی p وارد می‌شود که برابر است با

$$p = \frac{P}{l}$$

اگر مقطعی به فاصله x از انتهای چپ میله در سطح گیریم سیروهای سر آیند در طرف  
چپ مقطع مساوی است با

$$R = p x = \frac{P}{l} x$$

بنابراین نتش در یک مقطع به فاصله x از انتهای چپ میله برابر است با

$$\sigma(x) = \frac{R}{A} = \frac{Px}{lA}$$

در انتهای چپ میله ( در x = 0 ) نتش برابر صفر و در فاصله l از انتهای چپ نتش  
مساوی است با

$$\sigma_l = \frac{P}{lA} = \frac{P}{A} = 1000 \text{ Kg/cm}^2$$

۸۱

راست تغییر مکان می‌دهد.

$$\delta_1 = \frac{\overline{AA}_1}{\cos 60^\circ} = \frac{0.16}{\frac{1}{2}} = 0.32 \text{ cm}$$

به علت تقارن مفصل B نیز به اندازه  $\delta_1 = 0.32 \text{ cm}$  به سمت چپ تغییر مکان میدهد. از طرف دیگر میله AB در اثر شروی کشی 5000Kg به اندازه  $\delta_{AB}$  اضافه طول پیدا می‌کند.

$$\delta_{AB} = \frac{(5000)(160)}{(2.5)(2 \times 10^6)} = 0.16 \text{ cm}$$

بنابراین برای اینکه در میله AB کشنش محوری 5000Kg ایجاد شود دو انتهای میله در داخل بست قورباغه‌ای باید به اندازه

$$\delta = 2\delta_1 + \delta_{AB} = 2(0.32) + 0.16 = 0.8 \text{ cm}$$

به یکدیگر نزدیک شوند. چون ساره دور چرخاندن بست قورباغه‌ای دو سر میله‌ها به اندازه  $\frac{2}{13} \text{ cm}$  هم نزدیک می‌گردند نعداد دوران‌های لازم بست قورباغه‌ای برابر است با

$$n = \frac{0.8}{\frac{2}{13}} = 5.2$$

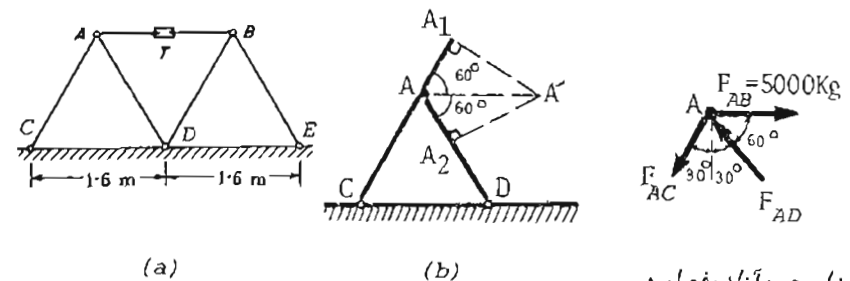
مسئله ۱-۳۰ ✓

خر پای صفحه‌ای تکل ۱-۵۸ a (  $n > 2$  ) میله متابه می‌باشد که در دواصل مساوی اریکدیگ فرار گرفته و همکی آنها در مفصل مشترک 0 به پکدیگر متصل می‌باشند.

۸۰

مسئله ۱-۲۹

هر یک از میله‌های خر پای شکل ۱-۵۷ a به طول 1.6m و مساحت سطح مقطع  $A = 2.5 \text{ cm}^2$  می‌باشد. جنس میله‌ها از فولاد با ضریب ارتباطی  $E = 2(10)^6 \text{ Kg/cm}^2$  است. در میله AB یک بست قورباغه‌ای (T) که به طور مضاعف عمل می‌کند و تعداد دیده‌های آن در هر سانتی‌متر 13 می‌باشد بکار رفته است. برای اینکه در میله AB کشنش محوری 5000Kg ایجاد شود چند دور باید بست مزبور را چرخاند؟ ( توضیح : با هر دور چرخاندن یک بست قورباغه‌ای مضاعف دو سر میله به اندازه دو کام بیچه‌ها به یکدیگر نزدیک می‌شوند ).



شکل ۱-۵۷

نمودار جسم آزاد مفصل A  
حل : با نوشتن معادلات تعادل مفصل A نیروهای  $F_{AD}$ ,  $F_{AC}$  و  $F_{AB}$  بددست می‌آیند.

$$F_{AC} = F_{AD} = \frac{5000}{2\cos 60^\circ} = 5000 \text{ Kg}$$

$$\overline{AA}_1 = \delta_{AC} = \frac{(5000)(160)}{(2.5)(2 \times 10^6)} = 0.16 \text{ cm} \quad \text{اضافه طول میله AC}$$

$$\overline{AA}_2 = \delta_{AD} = \delta_{AC} = 0.16 \text{ cm}$$

کاهش طول میله AD

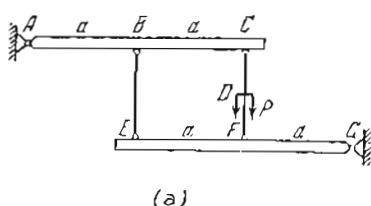
به علت کاهش طول میله AD و افزایش طول میله AC مفصل A به اندازه  $\delta$  به سمت

۸۳

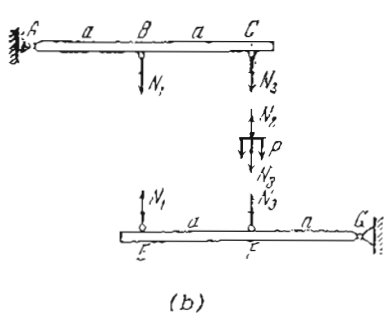
بنابراین تغییر مکان اتصال ۰ مستقل از زاویه  $\alpha$  می‌باشد.

مسئله ۱-۲۱ ✓

- سازه شکل ۱-۵۹a شامل دو میله صلب افقی AC و EG می‌باشد که به دو میله قائم BE و CF متصل می‌باشد. در نقطه D سروی P در امتداد میله CF بر سازه وارد می‌شود.  
 الف - آیا سازه مزبور ایزو استاتیک و یا هیبر اساسگ می‌باشد؟  
 ب - سیروهای ایجاد شده در میله‌های قائم را حساب کنید.



(a)



(b)

شکل ۱-۵۹

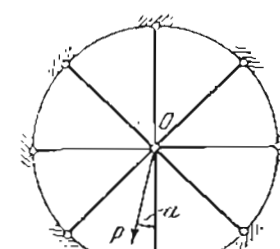
حل : سازه مزبور ایزو استاتیک می‌باشد و سیروها را می‌توان به کمک معادلات تعادل اجرا، سازه بدست آورد (شکل ۱-۵۹b). برای میله‌های صلب AC و EG مجموع لنگرهای سروها را به ترتیب حول نقاط A و G برابر صفر قرار می‌دهیم.

$$2N_2 + N_1 = 0$$

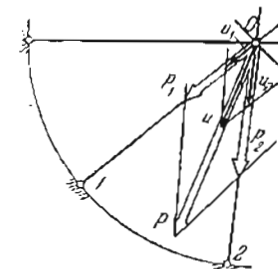
$$2N_1 + N_3 = 0$$

۸۴

باشد. نیروی P در صفحه خر پادر مفصل ۰ وارد می‌شود. ثابت کنید تغییر مکان اتصال ۰ همواره در امتداد نیروی P و مقدار این تغییر مکان مستقل از زاویه  $\alpha$  می‌باشد.



(a)



(b)

شکل ۱-۵۸

حل : نیروی P را به دو مؤلفه  $P_1$  و  $P_2$  در امتداد دو میله مجاور هم ۱ و ۲ تجزیه می‌کنیم (شکل ۱-۵۸a). اگر تغییر مکان اتصال ۰ را در اثر بار  $P_1$  با  $u_1$  نشان دهیم چون خر باست ب میله متقارن است این تغییر مکان در امتداد میله ۱ خواهد بود، به دلیل مشابه تغییر مکان اتصال ۰ در اثر بار  $P_2$  که با  $u_2$  نشان داده می‌شود در امتداد میله ۲ خواهد بود.

به علت نقارن خر یا ضرب سختی k (نیروی لازم برای ایجاد تغییر مکان واحد) در امتدادهای ۱ و ۲ یکسان می‌باشد. بنابراین می‌توانیم بنویسیم

$$u_1 = \frac{P_1}{k} \quad ; \quad u_2 = \frac{P_2}{k}$$

تغییر مکان کل اتصال ۰ که با استفاده از فاعده موازی الاصلاع به دست می‌آید باتوجه به روابط فوق در امتداد خط اثر نیروی P می‌باشد و مقدار آن برابر است با

$$u = \frac{P}{k}$$

۸۵

مخصوص  $2000 \text{ Kg/m}^3$  ساخته شود با یک ضریب اطمیان ۴ حداکثر ارتفاع دیوار قدر می‌تواند باشد؟

### مسئله ۱-۳-۵

سپری که در مقابل آب غیر قابل نعوذ می‌باشد (شکل ۱-۳-۵) بوسیله پایه‌های چوبی با مقاطع دائیره‌ای (AB) و قطر  $15 \text{ cm}$  نگه داشته شده است تا از واژگونی آن جلوگیری به عمل آید. تنش مجاز چوب  $20 \text{ Kg/cm}^2$  می‌باشد. حداکثر مالمه مجاز بین پایه‌ها را تعیین کید.

### مسئله ۱-۳-۶

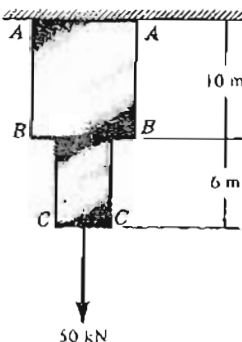
اگر در شکل ۱-۳-۶ یک بار  $P$  برابر  $10t$  و تنش مجاز مصالح عضو‌های CD و AB  $1000 \text{ Kg/cm}^2$  باشد قطراً این اعضاء را تعیین کنید.

### مسئله ۱-۳-۷

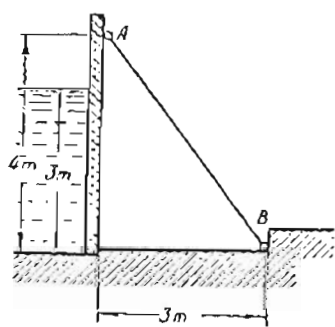
در ساره شکل ۱-۳-۷ تمام میله‌ها از فولاد با سطح مقطع بسان  $30 \text{ cm}^2$  می‌باشد. بار  $P$  برابر  $10t$  است. تنش‌های ایجاد شده در میله‌ها را حساب کنید.

### مسئله ۱-۳-۸

میله صلب AB مطابق شکل ۱-۳-۸ بوسیله یک سیستم طناب آویزان می‌باشد. اگر تنش مجاز برای ماده طناب  $100 \text{ Kg/cm}^2$  و سطح مقطع همه طناب‌ها یکسان و قطر آنها برابر  $d = 2.5 \text{ cm}$  باشد حداکثر بار مجاز  $P$  را تعیین کنید. سطح مقطع مفید طناب  $75\%$  است که بوسیله محیط آن احاطه می‌شود.



شکل ۱-۳-۱



شکل ۱-۳-۵

۸۶

برای میله CF شرط ریز سر قرار است.

$$N_2 = P + N_3$$

از حل سه معادله فوق نیروهای مجهول بدست می‌آید.

$$N_1 = \frac{2}{3} P ; \quad N_2 = -\frac{1}{3} P ; \quad N_3 = -\frac{4}{3} P$$

### ۱-۳-۱۲ مسائل حل نشده

مسئله ۱-۳-۱ میله‌ای به طول  $L$  با سرعت راویه‌ای  $w$  در یک صفحه افقی حول یک محور فائم دوران می‌کند (شکل ۱-۳-۱). وزن‌های به وزن  $W$  به انتهای میله متصل شده است. نا صرف نظر کردن از وزن میله و با فرص ایکه تنش مجاز  $W$  باشد رابطه‌ای برای سطح مقطع لازم (A) میله پیدا کنید.

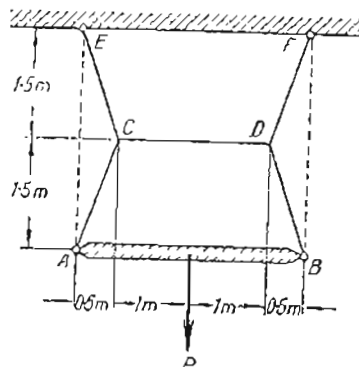
مسئله ۱-۳-۲ مسئله قبل را با همان حساب آوردن وزن میله حل کنید. وزن واحد حجم مصالح میله را  $\gamma$  فرص کنید.

مسئله ۱-۳-۳ دو میله منثوری که کاملاً به یکدیگر متصل شده‌اند بار قائم  $50 \text{ kN}$  را نحمل می‌کند (شکل ۱-۳-۳). میله فوقاًی از مولادر با سطح مقطع  $60 \text{ cm}^2$  و وزن مخصوص  $7.7 \times 10^4 \text{ N/m}^3$  می‌باشد. میله تحتانی از برنج با سطح مقطع  $50 \text{ cm}^2$  و وزن مخصوص  $8.25 \times 10^4 \text{ N/m}^3$  می‌باشد. ضریب ارتجاعی مولادر  $E = 2 \times 10^{11} \text{ N/m}^2$  و ضریب ارتجاعی مس  $E = 9 \times 10^{10} \text{ N/m}^2$  مرض کنید. تنش حداکثر را در هر یک از مصالح پیدا کنید.

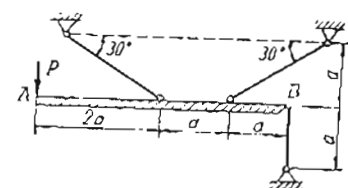
مسئله ۱-۳-۴ اگر دیواری از بتن با مقاومت فشاری نهایی  $160 \text{ Kg/cm}^2$  و وزن

۸۷

مسئله ۱-۲-۴ میله‌نگاری شکل ۱-۲-۴-۱ با سطح مقطع  $10\text{cm}^2$  دارد. اضافه یا کاهش طول آن را تحت بار گذاری نشان داده شده حساب کند. برای برنج  $E = 9 \times 10^{10}\text{N/m}^2$  و نش مجاز  $\sigma_w = 12 \times 10^7\text{N/m}^2$  نگهداشته است و در نقطه A تحت اثر بار P می‌باشد. حداقل مجاز بار P را تعیین کنید.



شکل ۱-۳-۸



شکل ۱-۳-۹

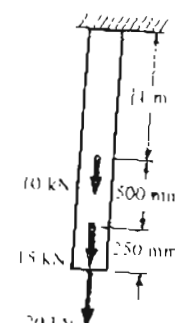
مسئله ۱-۳-۹ حس صلب AB به وسیله سه کابل (شکل ۱-۳-۹) با سطح مقطع بکان  $A = 2\text{cm}^2$  و نش مجاز  $\sigma_w = 12 \times 10^7\text{N/m}^2$  نگهداشته است و در نقطه A تحت اثر بار P می‌باشد. حداقل مجاز بار P را تعیین کنید.

مسئله ۱-۶-۱ کاهش حجم  $\Delta V$  یک میله منشوری را که تحت اثر وزن خودش آویزان است بدست آورد. وزن کل میله را  $W$ ، طول آن را  $L$ ، ضریب پواسون را  $\nu$  و ضریب ارتجاعی را  $E$  فرض کنید.

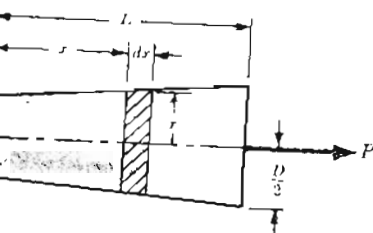
مسئله ۱-۷-۱ راسته‌ای برای ازدیاد طول یک میله مشوری به طول  $L$ ، سطح مقطع A و وزن  $W$  که تحت اثر وزن خودش آویزان می‌باشد بدست آورد.

مسئله ۱-۷-۲ میله‌ای به شکل مخروط ناقص (شکل ۱-۷-۲) تحت اثر دونبروی محوری  $P$  در دوازه‌ها فرار دارد. اضافه طول میله مزبور را حساب کنید.

مسئله ۱-۷-۳ میله فولادی شکل ۱-۷-۳-۱ تحت اثر بارهای نشان داده شده می‌باشد. سطح مقطع میله  $5\text{cm}^2$  و ضریب ارتجاعی  $\nu = 0.25$  است. اضافه طول میله را حساب کنید.



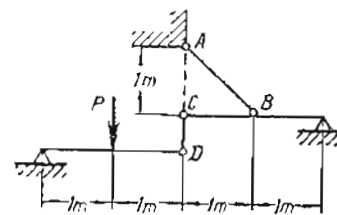
شکل ۱-۷-۲



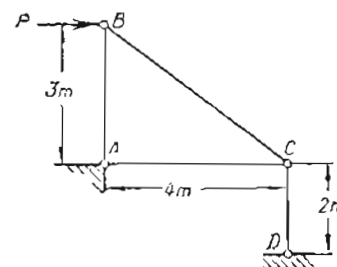
شکل ۱-۷-۳



شکل ۱-۷-۴



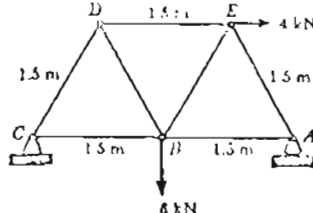
شکل ۱-۳-۱



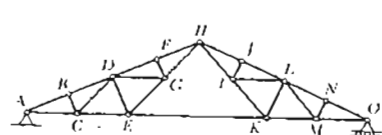
شکل ۱-۳-۷

۸۹

عصرهای بدون نیروی حرپای شکل ۱-۸-۸-۱ را تعیین کید.



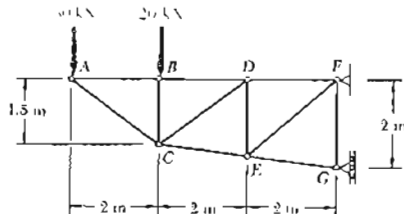
مسئله ۱-۸-۸-۱



شکل ۱-۸-۸

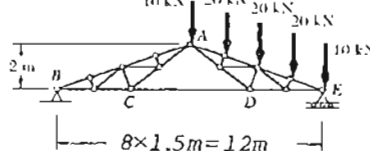
مسئله ۱-۸-۹ هر گاه در خرپای شکل ۱-۸-۹ باشد سیروی داخلی اعماقی AB و EJ را تعیین کید.

مسئله ۱-۸-۱۰ سیروهای داخلی اعماقی DF و DE خربای شکل ۱-۸-۱۰ را بدست آورید.



شکل ۱-۸-۱۰

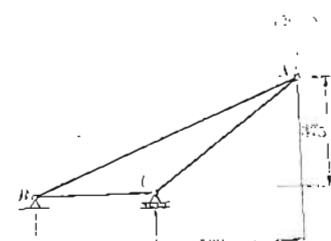
مسئله ۱-۸-۱۱ نیروی عصو CD خرپای سقف شکل ۱-۸-۱۱ را پیدا کید.



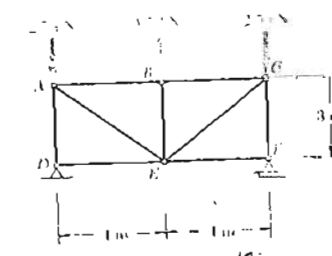
شکل ۱-۸-۱۱

۸۸

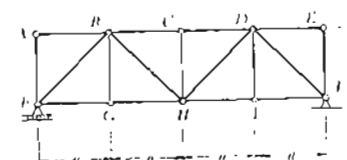
مسئله ۱-۸-۱۲ سیروهای داخلی خرپاهای شکل‌های زیر را با استفاده از روش مقادل تعیین کید.



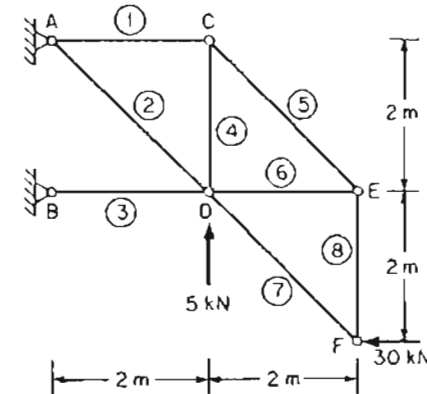
شکل ۱-۸-۱۲



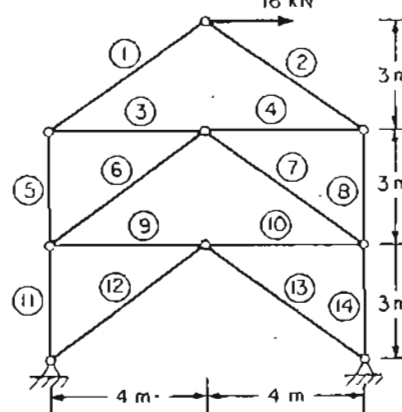
شکل ۱-۸-۱۲



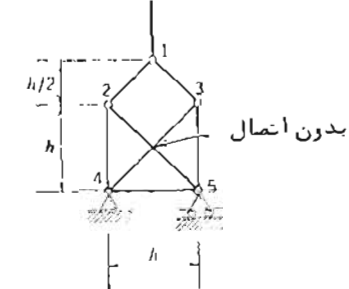
شکل ۱-۸-۱۳



شکل ۱-۸-۱۴



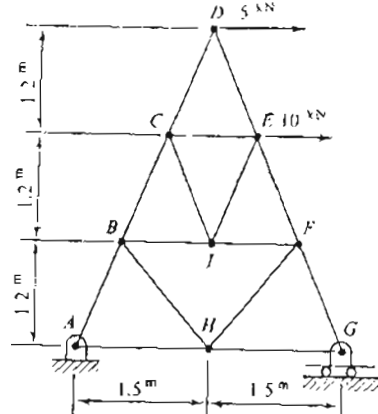
شکل ۱-۸-۱۵



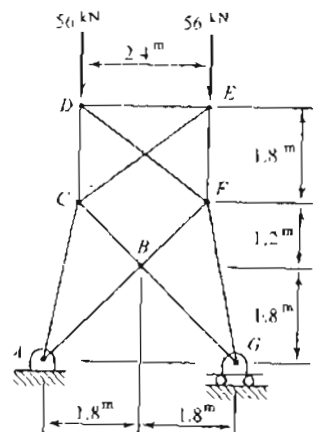
شکل ۱-۸-۱۶

91

مسئله ۱۵-۸-۱ نیروهای عضوهای BC و BI حر پایی تکل ۱۵-۸-۱ را پیدا کند.



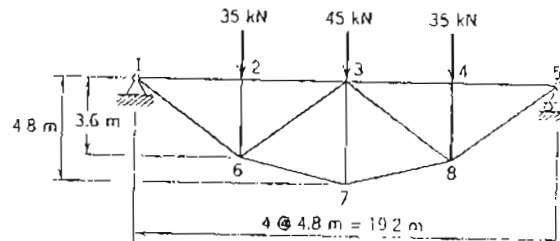
١ - ٨ - ١٥



شکل ۱-۸-۱۶

مسئله ۱۶-۸-۱ سروهای اعضای  $AC$ ،  $BC$  و  $DF$  خریای شکل ۱۶-۸-۱ را به دست آورید.

مسئله ۱۷-۸-۱ سروهای اعمای ۳-۲-۶ ، ۶-۳ ، ۶-۷ و ۳-۷ خریای  
شکل ۱۷-۸-۱ را حساب کنید.

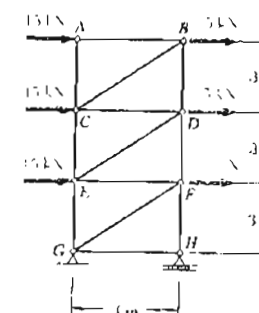


۱ - ۸ - ۱۷

مسئله ۱۸-۱-۱ حر پاهای شکل ۱۸-۱ را به ساییدار، ایزو استاتیک (وایدیار)، و همیر استاتیک طبقه بندی کنید.

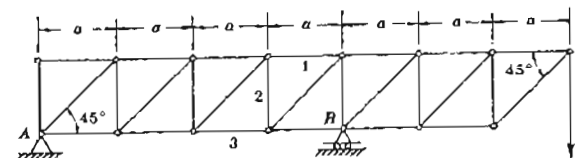
9

مسئله ۱۲-۸-۱ نیروهای داخلی عصوی CE و CD و خرپای شکل ۱۲-۸-۱ را به دست آورید.



۱-۸-۱۲

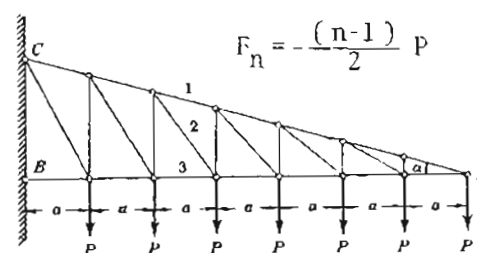
مسئله ۱۳-۸-۱ نیروهای داخلی عصوهای ۱ و ۲ حر پای سکل ۱۳-۸-۱ را بدست آورید.



شکل ۱-۸-۱۳

مسئله ۱۴-۸-۱ در حریقای شکل ۱۴-۸-۱ ثابت کنید نیروی محوری در ۱۱ امین عضو قائم از استهای آزاد خریا برابر است با

$$F_n = -\frac{(n-1)}{2} p$$

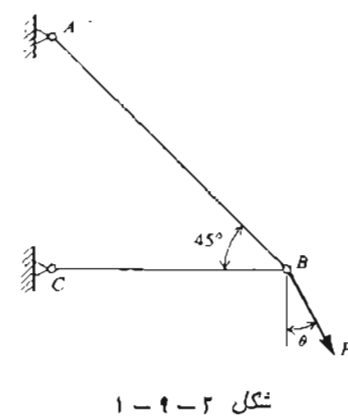
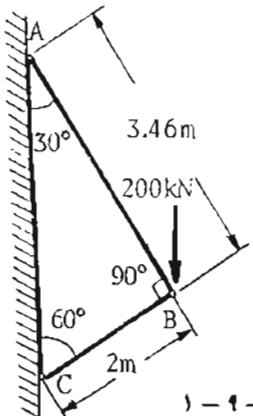


۱ - ۸ - ۱۲

۹۳

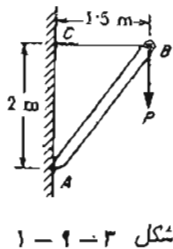
مسئله ۱-۹-۱ میله‌های AB و BC خرپای شکل ۱-۹-۱ از فولاد با تنش تسلیم

ساخته شده‌اند. با فرض اینکه ضرایک اطمینان در کشن و فشار به ترتیب ۲ و ۲.۵ باشد سطح مقطع هر یک از میله‌ها را تعیین کنید. مولفه‌های افقی و فائمه تغییر مکار. مفصل B را نیز محاسبه نماید. ضریب ارتجاعی فولاد  $E = 2 \times 10^{11} \text{ N/m}^2$  می‌باشد.

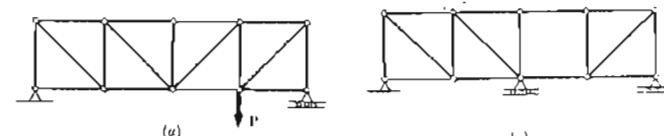


مسئله ۱-۹-۲ سطح مقطع عضوهای AB و BC خرپای شکل ۱-۹-۲-۱ ترتیب ۱ و A<sub>2</sub> می‌باشد. تحت چه زاویه θ تغییر مکان مفصل B در امتداد نیروی P خواهد بود؟

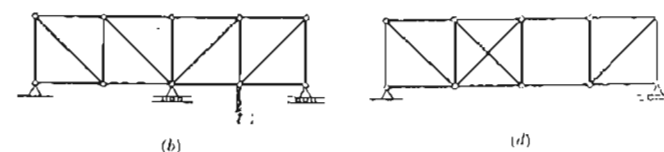
مسئله ۱-۹-۳ در سازه شکل ۱-۹-۳ عضو BC سیم فولادی به قطر d=0.3cm و عرض ۱.۵m از جوب با مقطع مربع به اضلاع 2.5cm می‌باشد. مولفه‌های افقی و فائمه تغییر مکان نقطه B را در اثر بار قائم P=200Kg می‌پیدا کنید. ضریب ارتجاعی فولاد E<sub>S</sub>=2×10<sup>6</sup>Kg/cm<sup>2</sup> و ضریب ارتحاعی جوب E<sub>W</sub>=10<sup>5</sup>Kg/cm<sup>2</sup> می‌باشد.



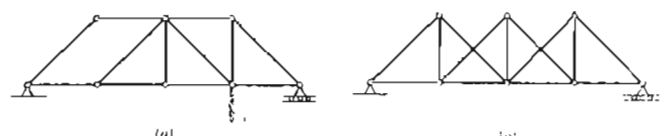
۹۴



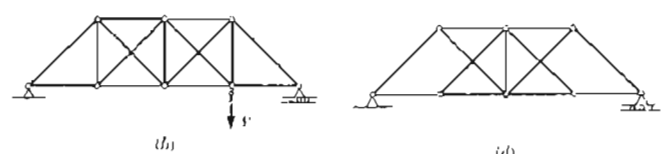
شکل ۱-۸-۱۸



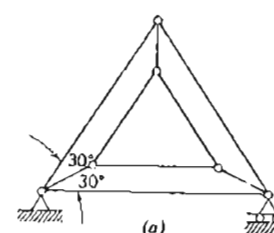
مسئله ۱-۸-۱۹ خرپاهای شکل ۱-۸-۱۹ را به ایزو استاتیک و هیبر استاتیک طبقه بندی نمایید. صورتی که پایدار باشد آنرا به ایزو استاتیک و هیبر استاتیک طبقه بندی نمایید.



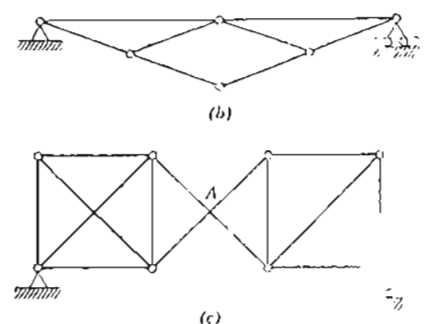
شکل ۱-۸-۲۰



مسئله ۱-۸-۲۰ کدامیک از خرپاهای شکل ۱-۸-۲۰ پایدار و کدامیک ناپایدار می‌باشد؟



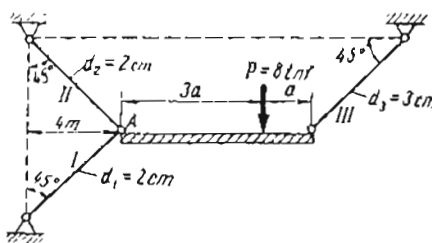
شکل ۱-۸-۲۲



شکل ۱-۸-۲۳

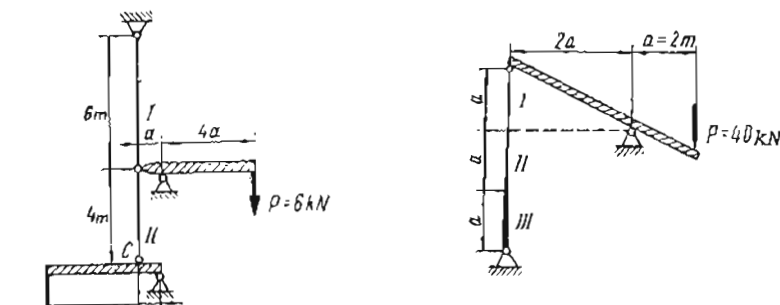
۹۵

مسئله ۱۲-۹-۱ تغییر مکان نقطه A را در شکل ۱-۹-۱۲ ایدا کنید. تنش‌های ایجاد شده در میله‌ها را نیز محاسبه نمایید. ( $E = 2 \times 10^6 \text{ Kg/cm}^2$ )



شکل ۱-۹-۱۲

مسئله ۱۳-۹-۱ در سازه شکل ۱-۹-۱۳ تغییر مکان نقطه C و تنش‌های ایجاد شده در میله‌ها را محاسبه کنید. ( $A_1 = A_2 = 2 \text{ cm}^2$ ,  $E = 2 \times 10^6 \text{ MN/m}^2$ )



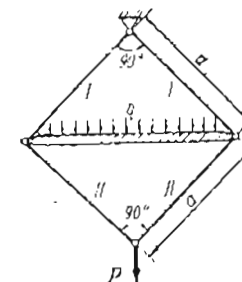
شکل ۱-۹-۱۳

مسئله ۱۴-۹-۱ در سازه شکل ۱-۹-۱۴ تغییر مکان‌های اثربار خارجی P و تنش‌های ایجاد شده در میله‌ها را حساب کنید. ( $A_3 = 2A_2 = 4A_1 = 10 \text{ cm}^2$ ,  $E = 2 \times 10^6 \text{ Kg/cm}^2$ )

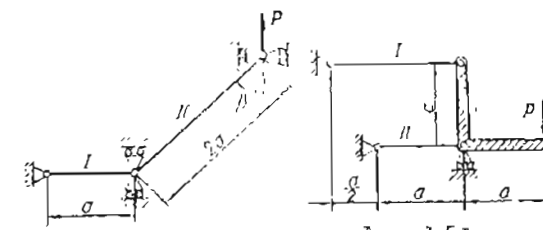


۹۴

مسئله ۱۱-۹-۱ تغییر مکان‌های نقطه اثر بار خارجی P و همچنین تنش‌های را در هر یک از میله‌ها حساب کنید. در جایی که مشخص نشده است سطح مقطع میله‌ها را A مرسکنید (صرب ارجاعی = E).

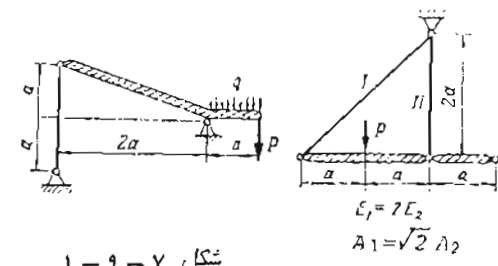


شکل ۱-۹-۴

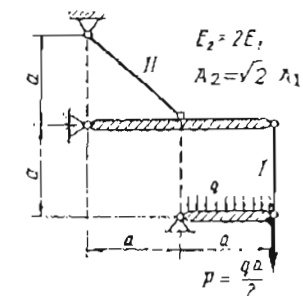


شکل ۱-۹-۵

شکل ۱-۹-۶

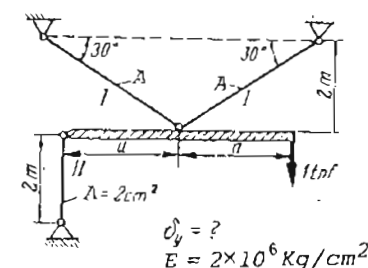


شکل ۱-۹-۷

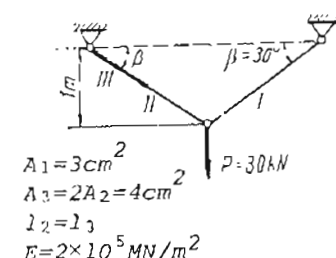


شکل ۱-۹-۸

شکل ۱-۹-۹



شکل ۱-۹-۱۰



شکل ۱-۹-۱۱

$$\Delta = \frac{4PL}{\pi D^3 E}$$

: ۱-۷-۲

۹۶

۱۱۳ - ۱ جواب‌های مسائل حل نشده

$$0.675 \text{ mm} : 1-7-3$$

صفر : ۱-۷-۴

$$A = \frac{WL\omega^2}{g\sigma_w}$$

: ۱-۷-۱

$$F_{AB} = 3900 ; F_{AC} = -4500 ; F_{BC} = -3600 \text{ N} : 1-\lambda-1$$

$$F_{DE} = F_{EF} = 0 ; F_{CF} = F_{DA} = -4 \text{ kN} : 1-\lambda-2$$

$$F_{BC} = F_{BA} = -2 \text{ kN} ; F_{CE} = F_{EA} = 2.5 \text{ kN}$$

$$F_{BE} = -1.5 \text{ kN}$$

$$F_{AB} = F_{DE} = F_{BG} = F_{DI} = 0 ; F_{AF} = F_{CH} = F_{EJ} = -400 \text{ N} : 1-\lambda-3$$

$$F_{BC} = F_{CD} = -800 \text{ N} ; F_{BF} = F_{DJ} = -849 \text{ N}$$

$$F_{BH} = F_{DH} = 283 \text{ N} ; F_{FG} = F_{GH} = F_{HI} = F_{IJ} = 600 \text{ N}$$

$$F_1 = 30 \text{ kN} ; F_2 = -5\sqrt{2} ; F_3 = -55 ; F_4 = -30 : 1-\lambda-4$$

$$F_5 = 30\sqrt{2} ; F_6 = -30 ; F_7 = -30\sqrt{2} ; F_8 = 30$$

$$F_1 = F_6 = F_{12} = 10 \text{ kN} ; F_2 = F_7 = F_{13} = -10 \text{ kN} : 1-\lambda-5$$

$$A = \frac{2WL\omega^2}{2g\sigma_w - \gamma L^2 \omega^2}$$

: ۱-۷-۲

$$\sigma = 9.5 \text{ MPa} \quad \sigma = 10.5 \text{ MPa} : \text{در برج در فولاد} : 1-7-3$$

$$200 \text{ m} : 1-7-4$$

$$1.88 \text{ m} : 1-7-5$$

$$d_{AB} = 42.4 \text{ mm} ; d_{CD} = 25.2 \text{ mm} : 1-7-6$$

$$\sigma_{AB} = 250 ; \sigma_{AC} = 333 ; \sigma_{BC} = -417 ; \sigma_{CD} = -250 \text{ Kg/cm}^2 : 1-7-7$$

$$695 \text{ Kg} : 1-7-8$$

$$9000 \text{ N} : 1-7-9$$

$$\Delta V = \frac{WL}{2E} (1-2\nu) : 1-8-1$$

$$\delta = \frac{WL}{2EA} : 1-8-1$$

۹۹

$$F_1 = 2.25P ; F_2 = -0.75P ; F_3 = -2.25P \quad : 1-\lambda-12$$

$$F_{BC} = 13 \text{ kN} ; F_{BI} = 2.5 \text{ kN} \quad : 1-\lambda-14$$

$$F_{AC} = -71.4 ; F_{BC} = 25.2 ; F_{DF} = -43.75 \text{ kN} \quad : 1-\lambda-16$$

$$F_{23} = -76.7 \text{ kN} ; F_{26} = -35 \text{ kN} \quad : 1-\lambda-17$$

$$F_{63} = 4.77 \text{ kN} ; F_{6-7} = 82.8 \text{ kN} ; F_{3-7} = -39.9 \text{ kN}$$

– پایدار و ایزو استاتیک ، (a) – هیبر استاتیک ، (b) – هیبر استاتیک ،  
– پایدار و ایزو استاتیک ، (c) – ناپایدار ( تحت بارگذاری کلی )

– ناپایدار ، (d) – ایزو استاتیک ، (e) – هیبر استاتیک ، (f) – هیبر استاتیک ، (g) – ایزو استاتیک ، (h) – ناپایدار ، (i) – هیبر استاتیک ، (j) – ایزو استاتیک ، (k) – هیبر استاتیک ، (l) – هیبر استاتیک ، (m) – ناپایدار می باشد

– هر سه ناپایدار می باشد  
: ۱-۸-۲۰

$$AB = 17.32 \text{ cm}^2 \quad : 1-9-1$$

$$BC = 12.5 \text{ cm}^2 \quad \text{مساحت سطح مقطع}$$

$$\delta_h = 0.2 \text{ mm} \quad \text{و} \quad (\text{به طرف راست}) \quad \delta_v = 1.9 \text{ mm} \quad (\text{به طرف هایین})$$

$$\cos 2\theta = -\frac{\sqrt{2} A_2}{A_1} \quad : 1-9-2$$

$$= 1.59 \text{ mm} ; \delta_v = 2.44 \text{ mm} \quad : 1-9-3$$

۹۸

$$F_3 = F_9 = -8 \text{ kN} ; F_4 = F_{10} = 8 \text{ kN}$$

$$F_5 = -F_8 = 6 \text{ kN} ; F_{11} = -F_{14} = 12 \text{ kN}$$

$$F_{12} = F_{13} = F_{25} = F_{34} = -0.707P \quad : 1-\lambda-9$$

$$F_{42} = F_{53} = -P ; F_{45} = -0.50P$$

$$F_{BE} = -F_{AE} = 5.46 \text{ kN} ; F_{AB} = 2.73 \text{ kN} \quad : 1-\lambda-4$$

$$F_{BD} = -F_{CD} = -F_{DE} = 1.46 \text{ kN} ; F_{BC} = 4.73 \text{ kN}$$

$$KL , LM , MN , IL , IJ , CD , BC \quad : 1-\lambda-\lambda$$

$$F_{EJ} = -\frac{2}{3} P ; F_{AB} = 0 \quad : 1-\lambda-9$$

$$F_{DE} = -38.6 \text{ kN} ; F_{DF} = 91.4 \text{ kN} \quad : 1-\lambda-10$$

$$60 \text{ kN} \quad : 1-\lambda-11$$

$$F_{CE} = 15 ; F_{BD} = -15 ; F_{CD} = -35 \text{ kN} \quad : 1-\lambda-12$$

# Bonab Civil Center ... Civilsa ... sasily.persianblog.ir

101

$$\delta = \frac{10Pa}{E_1 A_1} ; \quad \sigma_1 = \frac{2P}{A_1} ; \quad \sigma_2 = \frac{4P}{A_1} \quad : 1-9-9$$

$$\delta = 8.5 \text{ mm} ; \quad \sigma_1 = 1000 ; \quad \sigma_2 = 500 \text{ kg/cm}^2 \quad : 1-9-10$$

$$\delta_x = 0.08 \text{ mm} ; \quad \delta_y = 2.125 \text{ mm} \quad : 1-9-11$$

$$\sigma_1 = 100 ; \quad \sigma_2 = 150 ; \quad \sigma_3 = 75 \text{ MN/m}^2$$

$$\delta_x = 5.4 \text{ mm} ; \quad \delta_y = 1.8 \text{ mm} \quad : 1-9-12$$

$$\sigma_1 = 900 ; \quad \sigma_2 = 1800 ; \quad \sigma_3 = 1200 \text{ kg/cm}^2$$

$$\delta = 3.9 \text{ mm} ; \quad \sigma_1 = 30 ; \quad \sigma_2 = 150 \text{ MN/m}^2 \quad : 1-9-13$$

$$\delta_x = 0.35 \text{ mm} ; \quad \delta_y = 0.7 \text{ mm} \quad : 1-9-14$$

$$\sigma_1 = 80 ; \quad \sigma_2 = 40 ; \quad \sigma_3 = 20 \text{ MN/m}^2$$

100

$$\delta = \frac{(2P + \sqrt{2}qa)a}{EA} ; \quad \sigma_1 = \frac{P + \sqrt{2}qa}{\sqrt{2}A} ; \quad : 1-9-1$$

$$\sigma_2 = \frac{P}{\sqrt{2}A}$$

$$\delta = \frac{Pa}{EAcose^2\beta} (\sin^2\beta + 2) \quad : 1-9-15$$

$$\sigma_1 = \frac{P}{A} \tan\beta ; \quad \sigma_2 = \frac{P}{A\cos\beta}$$

101

$$\delta_x = \frac{3Pa}{2EA_1} ; \quad \delta_y = -\frac{2Pa}{EA_2} \quad : 1-9-16$$

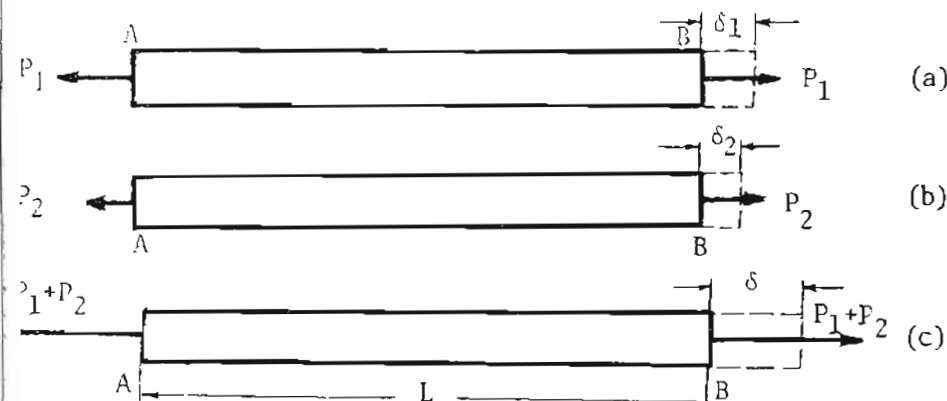
$$\sigma_1 = \frac{P}{A_1} ; \quad \sigma_2 = -\frac{3P}{2A_1}$$

102

$$\delta = \frac{(2P + qa)a}{4EA} ; \quad \sigma = \frac{2P + qa}{4A} \quad : 1-9-17$$

103

$$\delta = \frac{Pa}{E_2 A_2} ; \quad \sigma = \frac{P}{2A_2} \quad : 1-9-18$$



شکل ۱ - ۲

## ۲-۲ سازه‌های هیپر استاتیک

تا کنون مرص بر این بوده است که می‌توان نیروهای محوری در اعضاء یک سازه، استفاده از معادلات معادل بذست آورد. اما موارد دیگری وجود دارد که در آنها معادلات تعادل به تنها بین برای تعیین همه نیروهای داخلی و واکنشها کافیست نمی‌کند. این سازه‌ها سازه‌های هیپر استاتیک یا سازه‌هایی که به طور استاتیکی نامیان می‌باشند خواهند شد.

برای تحلیل سازه‌های هیپر استاتیک دو روش عمومی سرد و تغییر مکان وجود دارد که به کمک مثال‌های این دو روش را شرح می‌دهیم.

حجت الله عادلی

مقاومت مصالح

## فصل ۵۹ م

سازه‌های کششی و فشاری هیپر استاتیک

### ۱-۲ اصل اجتماع اثر فوا

مطابق این اصل هرگاه سازه‌ای به طور همزمان تحت تأثیر تعدادی نیرو باشد تغییر مکان ایجاد شده در هر نقطه از آن مجموع تغییر مکان‌های ایجاد شده بوسیله هر یک از آن نیروهای وقتی که هر یک از آنها به تهابی بر سازه وارد شوند. این اصل وقتی برقرار است که سازه رفتار سازه‌ای خطی داشته باشد و برای ایسکه این که صادق باشد دو شرط باید برقرار باشد. اول اینکه مصالح سازه باید از قانون هooke پیروی کند. به عبارت دیگر رابطه بین تنش و کرنش خطی باشد. دوم اینکه تغییر شکل‌های کوچک سازه باید در روی عمل بارهای وارد تأثیر داشته باشد ( مسئله ۲۳ - ۱ را بینید ). در مورد دوم بعده " در فصل ستون‌ها و کمانش بحث بیشتری خواهد شد.

بعنوان مثال میله مشوری AB را در نظر گیرید ( شکل ۱ - ۲ ). در اثر نیروهای کششی  $P_1$  طول میله به اندازه  $\delta_1$  و در اثر نیروهای کششی  $P_2$  طول میله به اندازه  $\delta_2$  افزایش می‌یابد. حال اگر  $P_1$  و  $P_2$  همزمان بر میله اثر کنند ( شکل ۱ - ۱C ) اضافه طول با استفاده از رابطه ۱-۱۲ برابر خواهد بود با

$$\delta = \frac{(P_1 + P_2)L}{AE} = \frac{P_1L}{AE} + \frac{P_2L}{AE} = \delta_1 + \delta_2$$

۱۰۵

زیرا هرگاه این واکنش را بر داریم سازه ایزو استاتیک و پایدار باقی می‌ماند، بدین ترتیب از نقطه نظر تحمل بار وارد و واکنش در انتهای A لازم نیست و زائد می‌باشد. سازه‌ای که بعد از برداشتن واکنش اضافی باقی می‌ماند به نام سازه می‌خوانده می‌شود. حال بایسیم اثر بار P را در روی تغییر مکان سقطه A در سازه مینا در نظر بگیریم (شکل ۲-۲b). این تغییر مکان سربر است با

$$\delta_P = \frac{Pb}{EA}$$

که به طرف پایین می‌باشد. سپس اثر واکنش زائد  $R_a$  را در روی تغییر مکان نقطه (شکل ۲-۲c) تعیین می‌کنیم. توجه کنید در این حالت  $R_a$  باید به صورت باری که بر سازه مینا وارد می‌شود تصور گردد. تغییر مکان رو به بالای نقطه A در اثر بار  $R_a$  برابر است با

$$\delta_R = \frac{R_a L}{EA}$$

تغییر مکان نهایی  $\delta$  نقطه A تحت اثر توازن بارهای P و  $R_a$  با ترکیب نمودن  $\delta_P$  و  $\delta_R$  بدست می‌آید. اگر تغییر مکان رو به پایین را مثبت فرض کنیم می‌توانیم بنویسیم

$$\delta = \delta_P - \delta_R$$

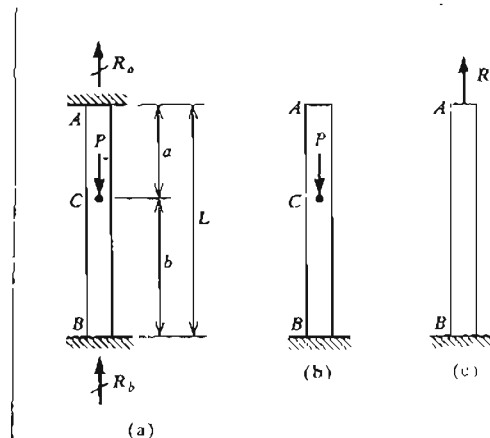
از آنجایی که تغییر مکان واقعی نقطه A در سازه اولیه صفر می‌باشد نتیجه می‌شود

$$\delta_R = \delta_P \quad (2-2)$$

$$\frac{R_a L}{EA} = \frac{Pb}{EA} \quad (2-3)$$

۱۰۴

میله AB شکل ۲-۲ در دو انتهای به تکیه گاههای ملی متصل می‌باشد و به وسیله بار محوری P در نقطه میانی C بارگذاری شده است. واکنشهای  $R_a$  و  $R_b$  را که در دو انتهای میله ایجاد می‌شود تعیین کنید.



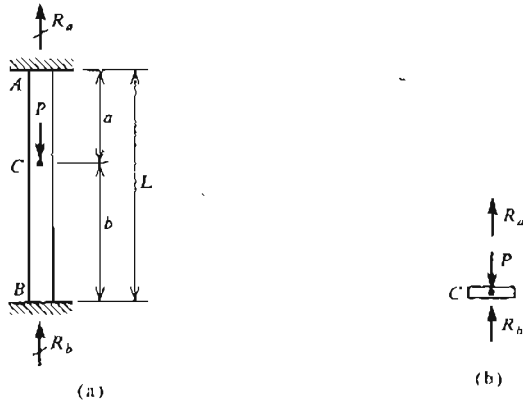
شکل ۲-۲

حل: واکنشهای  $R_b$  و  $R_a$  را نمی‌توان صرفاً از معادلات تعادل بدست آورد. تنها معادله تعادل موجود برای میله عبارتست از

$$R_a + R_b = P \quad (2-1)$$

که دو مجهول دارد و سی توان مجھول را پیدا کرد. سرای حل سازه مجبور احتیاج به معادله دیگری است که با بررسی تغییر شکل‌ها بدست می‌آید.

برای حل سازه‌های هیبراسنک دورون‌کلی وجود دارد. این مثال با هر دو روش حل می‌شود. در روش اول اندام‌اسکی از واکنشهای اعوان کمیت مجهول انسخاب می‌کنیم. در این مثال  $R_a$  را به عنوان کمیت مجهول احیان می‌کنیم. اگر این کمیت معلوم باشد واکنش دیگر  $R_b$  از معادله ۲-۱ بدست می‌آید، کمیت مجهول  $R_a$  به نام واکنش اضافی خوانده می‌شود



شکل ۲-۳

در معادلات فوق فرض شده است که تغییر مکان  $\delta$  به طرف پایین مثبت باشد . در نتیجه در قسمت بالای میله کشش و در قسمت پایین آن فشار ایجاد می شود . قدم بعدی جدا کردن نقطه C در میله بعنوان یک جم آزاد (شکل ۲-۳ b) و در نظر گرفتن تعادل آن می باشد . سیروهایی که بر جم آزاد مربوطه وارد می شوند عبارتند از بار P به طرف پایین ، نیروی کشش R\_a در قسمت بالا و سیروی فشاری R\_b در قسمت پایین . معادله تعادل در امتداد فائم به صورت زیر ساخته می شود :

$$R_a + R_b = P \quad (2-6)$$

$R_b$  را از معادلت ۲-۵ در معادله ۲-۶ حاگزین می کنیم .

$$\frac{EA}{a} \delta_C + \frac{EA}{b} \delta_C = P \quad (2-7)$$

از این رابطه واکنش  $R_a$  بدست می آید .

$$R_a = \frac{Pb}{L} \quad (2-4)$$

با حاگزیسی  $R_a$  در معادله ۲-۱ واکنش  $R_b$  بدست می آید .

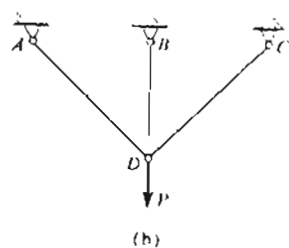
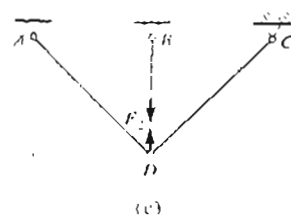
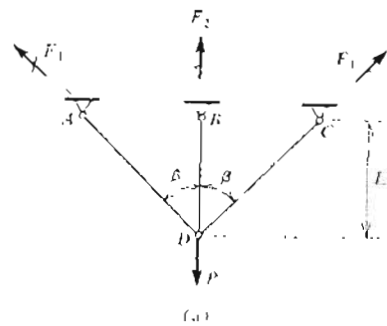
$$R_b = \frac{Pa}{L}$$

روش مذکور در بالا برای تحلیل سازه های نامعین را می نوان ساین صورت خلاصه کرد . سکی از واکنش های نامعلوم بعونان واکنش اضافی انتخاب می شود و با برداشتن این واکنش اضافی از روی سازه ، سازه سنا شکل می شود . سپس سازه مبنا که به طور استاتیکی معین و پایدار می باشد تحت اثر بار دافعی P و همچنین سار واکنش اضافی قرار داده می شود . تغییر مکان های اتحاد شده بوسیله دو سیستم بار گذاری محاسبه و با یکدیگر ترکیب می شود نا معادله ای که موسوم به معادله سازگاری تغییر مکان ها می باشد بدست آید (معادله ۲-۲) . این معادله سازگاری بیان کننده بک شرط مرسوط به تغییر مکان ها می باشد (در مثال مرور ۵ رایر صفر است ) . بعد از حایگزینی تغییر مکان ها بر حسب سیروهادر معادله سازگاری (معادله ۲-۳) و اکشن مجهول بدست می آید (معادله ۲-۴) .

بالاخره سیروهای نامعلوم باقی مانده به کمک معادلات تعادل بدست می آند . روش مورد بحث در بالا به سام روش سیرو خوانده می شود زیرا در آن یکی از نیروها به عوان مجهول اولیه انتخاب می شود . روش نیرو یک روش کاملاً "کلی برای حل سازه های هیبراستاتیک با درجات سامعی حیلی زیاد می باشد (در حه سامعی استاتیکی یاد رحه هیبر اساسیکی سازه بر اساس با نعداد سیروهای مجهول سازه مسایی معادلات تعادل موجود سرای ساره ) .

حال مثال مذکور را با دو من روش عمومی تحلیل سازه های هیبر استاتیک حل می کنیم (شکل ۲-۳ a) . در این روش ما تغییر مکان C سقطه C را به عنوان کمیت نامعلوم انتخاب می کنیم . سیروهای R\_a و R\_b در فسق های بالا و پایین میله را می نوان بر حسب C بیان مسود .

$$R_a = \frac{EA}{a} \delta_C \quad ; \quad R_b = \frac{EA}{b} \delta_C \quad (2-5)$$



شکل ۲-۴

حل : چون خرها و بارگذاری روی آن مفارق است نیروهای کشی در مبلغهای خارجی برابر می‌باشد . معادله تعادل نیروها را در امتداد فاصله می‌نویسیم .

$$2F_1 \cos \beta + F_2 = P \quad (2-9)$$

این معادله شامل دو نیروی مجهول  $F_1$  و  $F_2$  می‌باشد . از این رو یک معادله دیگر لازم است نا بتوان نیروها را بدست آورد .

در این مثال سروی  $F_2$  به عنوان نیروی مجهول اولیه یا نیروی اضافی انتخاب می‌گردد و برای اینکه این نیرو برداشته شود مبلغ  $BD$  در انتهای پایینش سریده می‌شود . موقعی که سار  $P$  در روی ساره مبنای کند ( شکل ۲-۴b ) تغییر مکان به طرف

از این رابطه  $\delta_C$  بدست می‌آید .

$$\delta_C = \frac{P_{ab}}{EAL} \quad (2-8)$$

لذا من  $\delta_C$  و اکنون  $R_a$  و  $R_b$  از معادلات ۵-۲ بدست می‌آیند .

$$R_a = \frac{Pb}{L} ; \quad R_b = \frac{Pa}{L}$$

البته این سنایج با تایج روش قبلی بسان می‌باشد .

به طور خلاصه در روش دوم بک تغییر مکان مناسب بعنوان کمیت مجهول انتخاب می‌شود . این تغییر مکان ساده جنان انتخاب شود که نیروها در فرمتهای حداقل سازه را بعنوان بر حسب آن بیان مسود . سپس این نیروها در معادله تعادل ترکیب می‌شود ( معادله ۶-۲ ) . بعد از حاگرسی نیروها بر حسب تغییر مکان هادر معادله تعادل ( معادله ۷-۲ ) تغییر مکان مجهول بدست می‌آید ( معادله ۸-۲ ) . سرانجام باداشن تغییر مکان مجهول نیروها بدست می‌آید .

آن روش تحلیل سازه‌های هیبر استاتیک به نام روش تغییر مکان خوانده می‌شود زیرا در آن روش بک تغییر مکان به عواین کمیت مجهول اولیه انتخاب می‌شود . این روش نیز مانند روش سیرو یک روش کلی برای تحلیل بسیاری از سازه‌ها می‌باشد ( مرجع ۱۷ ) . انتخاب هر یک از این دو روش سرای تحلیل سازه‌های سرگستگی بدعاوامل بسیاری از جمله هندسه و عدد اتصال دارد . به طور کلی موضعی هر بک از این دو روش سر دیگری برتری دارد که عدداد مجهول‌های اولیه آن کمتر باشد . در هنگام تحلیل سازه‌ها با استفاده از حسابگرهای الکترونیک روش تغییر مکان در بسیاری مواقع سر روش نیروبرتری دارد ( مرجع ۱۷ ) .

## مثال ۲-۲

خرپای شکل ۲-۴a را با استفاده از روش سیرو حل نمایید .

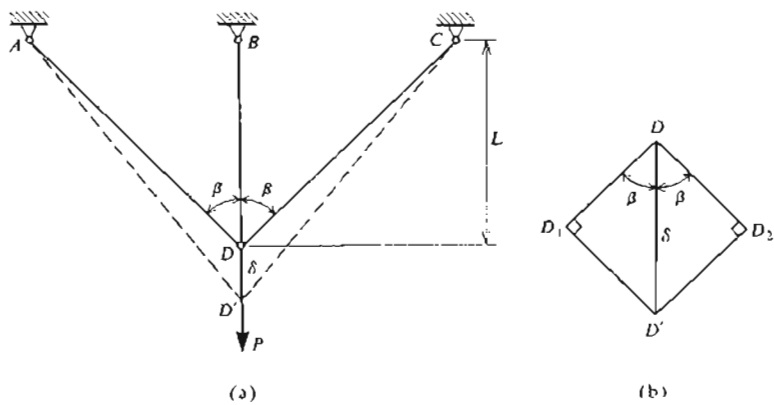
۱۱۱

سراجمان از معادله تعادل (معادله ۹-۲) نیروی  $F_1$  بدست می‌آید.

$$F_1 = \frac{P \cos^2 \beta}{1 + 2 \cos^3 \beta}$$

مثال ۲-۳

مثال ۲-۲ را با روش غیر مکان حل کنید.



شکل ۲-۵

حل: تغییر مکان  $\delta$  مفصل D را به عنوان کمیت مجھول انتخاب می‌کنیم (شکل ۲-۵ a). خط‌جین‌ها در شکل ۲-۵ b شکل تغییر مکان یافته خواهد بود. نمودار ویلیو برای مفصل D در شکل ۲-۵ b رسم شده است. خطوط  $DD_1$  و  $DD_2$  به سریب معروف اضافه طول میله‌های CD و AD و خط  $DD'$  معروف تغییر مکان فائم نقطه D ( $\delta$ ) می‌باشد. ارنمودار مذبور اضافه طول میله‌های

۱۱۰

پایین مفصل D با استفاده از نمودار ویلیو برابر می‌شود با (مسئله ۲۵-۱ را بینید)

$$\delta_P = \frac{PL}{2EA \cos^3 \beta} \quad (2-10)$$

در این رابطه L طول میله قائم می‌باشد وفرض شده است که تمام میله‌ها صلبیت محوری بکان EA داشته باشند. موقعی که سیروی اضافی  $F_2$  بر سازه می‌باشد (شکل ۲-۴ c) اثر می‌کند میله بریده شده BD بوسیله نیروی  $F_2$  به طرف پایین کشیده می‌شود و در عین حال نیروی مساوی ولی مخالف نیروی مذبور بر مفصل D به طرف بالا وارد می‌آید. نیروی دومی باعث می‌شود که مفصل D به اداره (ما معادله ۱۰-۲ مقایسه کنید)

$$\delta_F = \frac{F_2 L}{2EA \cos^3 \beta} \quad (2-11)$$

به طرف بالا تغییر مکان باید. تغییر مکان کل به طرف پایین مفصل D در اثر همزمان  $P$  و  $F_2$  براسر  $\delta_P - \delta_F$  می‌باشد. باید توجه نمود که مبلغ  $BD$  نیز به اداره  $\frac{F_2 L}{EA}$  اضافه طول بیدا می‌کند. شرط سازگاری تغییر مکان‌ها در مفصل D به این صورت بیان می‌شود: تغییر مکان به طرف پایین مفصل D سربرات سا اضافه طول میله BD بتنابراین

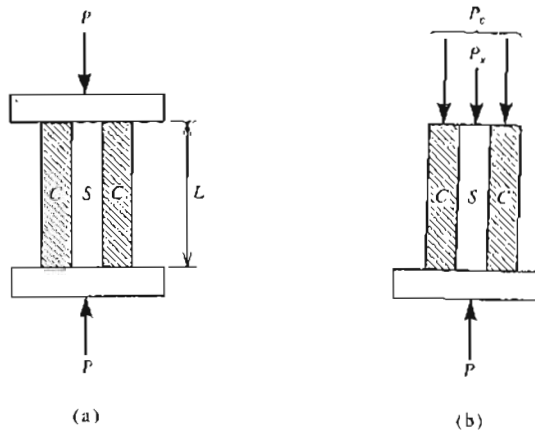
$$\delta_P - \delta_F = \frac{F_2 L}{EA} \quad (2-12)$$

با جایگزینی معادلات ۱۰-۲ و ۱۱-۲ در معادله ۱۲-۲ و حل معادله حاصل برای  $F_2$  خواهیم داشت

$$F_2 = \frac{P}{1 + 2 \cos^3 \beta}$$

مثال ۲-۴

یک استوانه فولادی و یک لوله مسی که در شکل ۲-۶a به ترتیب با C و S و مشخص شده‌اند بین دو سر یک ماشین آزمایش تحت فشار می‌باشند. نشانه‌ای ایجاد شده در فولاد و مس و کرنش فشاری ناشی از نیروی P را در جهت قائم تعیین کنید، صلبیت محوری استوانه فولادی و لوله مسی را به ترتیب  $E_C A_C$  و  $E_S A_S$  فرض کنید و از روشن نیرو استفاده نمایید.



شکل ۲-۶

حل: صعده فوقانی را بر می‌داریم تا ساره شکل ۲-۶b بدست آید. نیروهای مجھول  $P_S$  و  $P_C$  که به ترتیب معرف نیروهای محوری کل در فولاد و مس می‌باشند به وسیله معادله تعادل زیر به یکدیگر ارتباط دارند:

$$P_S + P_C = P \quad (2-16)$$

استوانه فولادی به اندازه  $\frac{P_C L}{E_C A_C}$  و لوله مسی به اندازه  $\frac{P_S L}{E_S A_S}$  کوتاه می‌شود. شرط سازکاری تغییر مکان‌ها در این مثال برابر بودن کاهش طول استوانه فولادی با کاهش

مايل بر حسب  $\delta$  بدست می‌آيد.

$$DD_1 = DD_2 = \delta \cos \beta$$

بنابراین نیرو در میله‌های مایل برابر است با

$$F_1 = \frac{EA \cos \beta}{L} (\delta \cos \beta) = \frac{EA \delta \cos^2 \beta}{L} \quad (2-13)$$

نیرو در میله قائم نیز مساویست با

$$F_2 = \frac{EA \delta}{L} \quad (2-14)$$

معادلات ۲-۱۳ و ۲-۱۴ نیروهای میله‌ها را بر حسب یک کمیت مجھول یعنی تغییر مکان  $\delta$  می‌دهند. حال اگر این نیروها را در معادله تعادل (معادله ۹-۲) (جایگزین کیم تغییر مکان  $\delta$  بدست می‌آید،

$$\frac{2EA \delta \cos^3 \beta}{L} + \frac{EA \delta}{L} = P$$

$$\delta = \frac{PL}{EA} \frac{1}{1 + 2 \cos^3 \beta} \quad (2-15)$$

با جایگزینی  $\delta$  از معادله فوق در معادلات ۲-۱۳ و ۲-۱۴ نیروهای داخلی میله‌ها بدست می‌پند. واضح است که جواب‌های حاصله همان جواب‌های مثال قبل خواهد بود.

۱۱۵

## مثال ۲-۵

مثال قبل را با روش تغییر مکان حل کید.

حل : تغییر مکان مجهول در این مثال تغییر مکان نسی ۵ بین دو صفحه انتها بی انتخاب می شود که برابر است با کاهش طول استوانه فولادی و لوله می . نیروهای  $P_s$  و  $P_c$  بر حسب ۵ عارتد از

$$P_s = \frac{E_s A_s \delta}{L} \quad ; \quad P_c = \frac{E_c A_c \delta}{L} \quad (2-20)$$

از جایگزینی این عبارات در معادله تعادل ( معادله ۲-۱۶ ) نتیجه می شود

$$\frac{E_s A_s \delta}{L} + \frac{E_c A_c \delta}{L} = P$$

از این رابطه تغییر مکان ۵ بدست می آید .

$$\delta = \frac{PL}{E_s A_s + E_c A_c}$$

حال اگر مقدار ۵ را در روابط ۲-۲۰ قرار دهیم نیروهای  $P_s$  و  $P_c$  به دست می آید . نتایج حامله با ستایج مثال قبلی ( معادله ۲-۱۸ ) مطابقت دارد . همچنین از تقسیم نمودن ۵ بر L کرنش ۴ بدست می آید که با رابطه ۲-۱۹ یکان می باشد . مقایسه مثال های ۴-۲ و ۵-۲ نشان می دهد که از لحاظ محاسباتی بعضی موافق اختلاف کمی بین دو روش نیرو و تغییر مکان وجود دارد . از طرف دیگر باید توجه نمود که در مسائل پیچیده تر مرق محاسباتی قابل ملاحظه ای می تواند بین دو روش وجود داشته باشد . برای مثال هرگاه سازه شکل ۶-۲ را با اضافه نمودن استوانه هایی با

۱۱۴

طول لوله می باشد . بنابراین

$$\frac{P_s L}{E_s A_s} = - \frac{P_c L}{E_c A_c} \quad (2-17)$$

از حل همزمان دو معادله ۲-۱۶ و ۲-۱۷ نیروها در فولاد و مس بدست می آید .

$$P_s = \frac{E_s A_s}{E_s A_s + E_c A_c} P \quad ; \quad P_c = \frac{E_c A_c}{E_s A_s + E_c A_c} P \quad (2-18)$$

کرنش فشاری  $\sigma_s$  در فولاد از تقسیم نمودن  $P_s$  بر  $A_s$  و کرشن فشاری  $\sigma_c$  در مس از تقسیم نمودن  $P_c$  بر  $A_c$  بدست می آید .

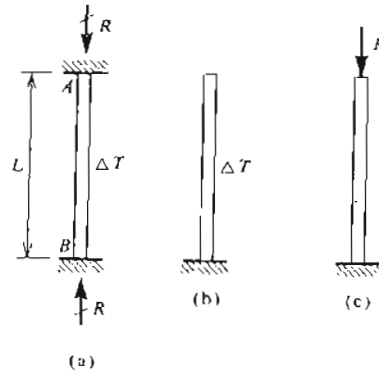
$$\sigma_s = \frac{P_s}{A_s} = \frac{E_s}{E_s A_s + E_c A_c} P$$

$$\sigma_c = \frac{P_c}{A_c} = \frac{E_c}{E_s A_s + E_c A_c} P$$

کرشن فشاری  $\epsilon$  که برای مولاد و مس یکسان می باشد با استفاده از قانون هوک بدست می آید .

$$\epsilon = \frac{\sigma_s}{E_s} = \frac{\sigma_c}{E_c} = \frac{P}{E_s A_s + E_c A_c} \quad (2-19)$$

این معادله نشان می دهد کرشن فشاری برابر است با بر کل تقسیم بر مجموع صلبیت های محوری استوانه فولادی و لوله می .



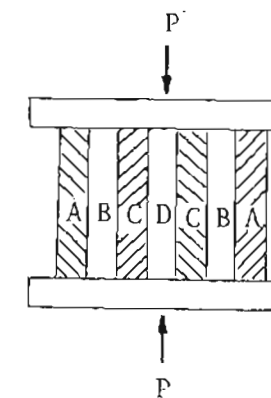
شکل ۲ - ۸

اضافه طول پیدا کند. در این رابطه  $\alpha$  ضریب انبساط حرارتی (جدول ۱-۲ را بینید)،  $L$  طول میله و  $\Delta T$  افزایش درجه حرارت می‌باشد. چون این اضافه طول به آزادی رخ می‌دهد در میله هیچ نشی ایجاد نمی‌شود.

جدول ۱ - ۲ مقادیر نمونه ضریب انبساط حرارتی

ضریب انبساط حرارتی $10^{-6}/^{\circ}\text{C}$	صالح
۱۱/۲	فولاد
۲۱/۴ - ۲۴	الومینیوم
۲۶/۱	منزیم
۱۶/۷۵	مس
۷/۲ - ۱۲/۶	بتن

صالح دیگر بیچیده‌تر کیم (شکل ۲ - ۲) در این صورت روش تغییر مکان به همان سادگی مثال ۵ - ۲ خواهد بود، در حالی که روش نیرو خیلی بیچیده‌تر خواهد شد و منجر به حل دستگاه معادلات خطی می‌گردد. موارد دیگری وجود دارد که در آنها روش سیرو راه حل ساده‌تری ارائه می‌دهد (برای مثال مسئله ۳ - ۲ را بینید).



شکل ۲ - ۷

### ۲-۳ آثار گرمایی، اندازه نبودن ابعاد اعضاء سازه و تغییر شکل اولیه

در سازه‌های ایزو استاتیک تغییر مکواخت درجه حرارت در سراسر سازه تنفسی در آن تولید خواهد کرد زیرا تمام ساره می‌تواند به آزادی ابساطاً انقباض پیدا کند. از طرف دیگر تغییر درجه حرارت در سازه‌های هیپر استاتیک تولید نشنهایی موسوم به نشنهای گرمایی می‌کند. با مقایسه میله‌ای که در یک استهآ آزاد می‌باشد (برای مثال شکل ۱ - ۱ را بینید) با میله‌ای که در هر دو استهآ گیردار است (شکل ۲-۸ a) می‌توان به نتیجه فوق رسید. در حالت اول ازدیاد یکنواخت درجه حرارت در سراسر میله باعث می‌شود که میله به اندازه

$$\delta = \alpha L \Delta T$$

$$(2-21)$$

۱۱۹

کردن سه عضو به یکدیگر و سوار کردن خر پا باید میله قائم را فشرد و میله های مایل را کشید. فرض کنید  $F$  نیروی فشاری در میله قائم باشد (شکل ۲-۹b). در این صورت تغییر مکان به طرف پایین اتصال  $D$  در اثر نیروی  $F$  (از معادله ۱۰-۲) برابر است با

$$\delta_F = \frac{FL}{2EA\cos^3\beta}$$

شرط سازکاری تغییر مکان ها در اتصال  $D$  بدین صورت بیان می شود: تغییر مکان رو به پایین  $\delta$  اتصال  $D$  برابر است با اضافه طول اولیه  $\Delta L$  میله قائم سهای کاهش طول میله قائم در اثر نیروی  $F$ . بنابراین معادله سازکاری تغییر مکان ها عبارت است از

$$\frac{FL}{2EA\cos^3\beta} = \Delta L - \frac{FL}{EA}$$

از این رابطه  $F$  بدست می آید.

$$F = \frac{EA\Delta L}{L} - \frac{2\cos^3\beta}{1+2\cos^3\beta} \quad (2-22)$$

با دانستن نیروی  $F$  سیروهای داخلی میله های مایل به سهولت از معادله تعادل مفصل  $D$  در امتداد قائم بدست می آیند. دو مثال فبلی نشان دهنده این واقعیت می باشد که روش های تحلیل سازه های هیبر استاتیک وقتی که تغییرات درجه حرارت و یا تغییر شکل اولیه وجود دارد همان روش های است که برای تحلیل یک سازه هیبر استاتیک تحت اثر بارهای خارجی سکار می رود.

به عنوان یک مثال سهایی مجدداً "خر پای شکل ۲-۹a" در نظر می گیریم و این بار فرض می کنیم که میله قائم حرارت داده شده بطوریکه درجه حرارت آن به اندازه

۱۱۸

در حال میله هیبر استاتیک شکل ۲-۸a ۲ میله نمی تواند از دیگر طول پیدا کند و در نتیجه در اثر از دیگر درجه حرارت در آن نیروی فشاری  $R$  ایجاد می شود. این نیرو را می توان با روش های حل سازه های هیبر استاتیک که در بخش قبل بحث شده است درود. اگر انتهای  $A$  را با سرداشت و اکش  $R$  زاد کیم (شکل ۲-۸b) تغییر مکان رو به بالای نقطه  $A$  در اثر تغییر درجه حرارت برابر  $\alpha L\Delta T$  و تغییر مکان رو به پایین نقطه  $A$  در اثر نیروی  $R$  (شکل ۲-۸c) برابر  $\frac{RL}{EA}$  می باشد. با مساوی فرار دادن این دو تغییر مکان نیروی مجهول  $R$  بدست می آید.

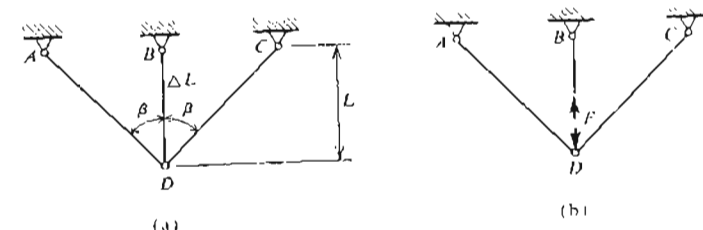
$$R = EA\alpha\Delta T$$

با داشتن  $R$  تنش و کرنش فشاری در میله به صورت زیر محاسبه می شود:

$$\sigma = \frac{R}{A} = EA\alpha\Delta T \quad ; \quad \epsilon = \frac{\sigma}{E} = \alpha\Delta T$$

از این مثال مشاهده می شود که در اثر تغییر درجه حرارت در یک سازه هیبر استاتیک حتی اگر تحت اثر هیچ نوع بار خارجی باند تنش ایجاد می گردد.

موقعی که طول یکی از اعضا، سازه درست نمی باشد و یا وقته که یکی از اعضا، سازه بوسیله سیروهای پشن نمیده شده که بعداً "برداشته می شود وضعیتی مشابه حالت وقی به دست می آید. در هر دو حالت یک تغییر شکل اولیه در سازه وجود دارد که حتی بدون وجود بارهای خارجی در سازه تنش ایجاد می کند. برای مثال فرض کنید در خربای شکل ۲-۹ طول میله قائم بجای  $L$  برابر  $L + \Delta L$  باشد. در این صورت برای وصل



شکل ۲-۹

۱۲۱ حل : اولین قدم در حل این مسئله رسم نمودار جسم آزاد AB می باشد (شکل ۱۵-۲) . از دو معادله تعادل نیروها در امتداد افق و فاصله تعادل لنگری حول نقطه A نتیجه می شود

$$\Sigma F_h = A_x = 0$$

$$\Sigma F_v = A_y + P_{cu} + P_{st} - 200 \times 10^3 = 0$$

$$\Sigma M_A = 1000P_{cu} + 2000P_{st} - 200 \times 10^3 (1500) = 0 \quad (1)$$

جون دو معادله آخر دارای سه مجهول می باشد سازه مزبور یک درجه هیبراستاتیک است و ما مجبوریم تغییر شکل سازه را مطالعه کنیم . جون میله AB صلب است تنها حرکتی که می تواند داشته باشد دورانی به صورت جسم صلب حول نقطه A می باشد . خط منقطع در شکل ۱۵-۲ موقعیت نهایی میله AB را پس از اینکه بار 200kN بر آن وارد شود نشان می دهد . در ابتدا میله به صورت افقی است که با خط بر AB در این شکل نشان داده شده است .

چون میله AB صلب می باشد با استفاده از مثلث های مشابه ADD' و ABB' رابطه ساده ای بین اضافه طول میله مسی CD (  $\Delta_{cu}$  ) و اضافه طول میله فولادی EB (  $\Delta_{st}$  ) وجود دارد .

$$\frac{\Delta_{st}}{\Delta_{cu}} = \frac{BB'}{DD'} = \frac{AB}{AD} = \frac{2}{1} = 2$$

این معادله همان معادله سازگاری تغییر مکان ها می باشد که آن را به صورت زیر می نویسیم ( تغییر مکان ها را بر حسب نیروهای داخلی میله ها بیان می کنیم ) :

$$\Delta_{st} = 2\Delta_{cu}$$

$$\frac{P_{st}(2000)}{(250)(200 \times 10^9 \times 10^{-6})} = \frac{2P_{cu}(1000)}{(500)(120 \times 10^9 \times 10^{-6})}$$

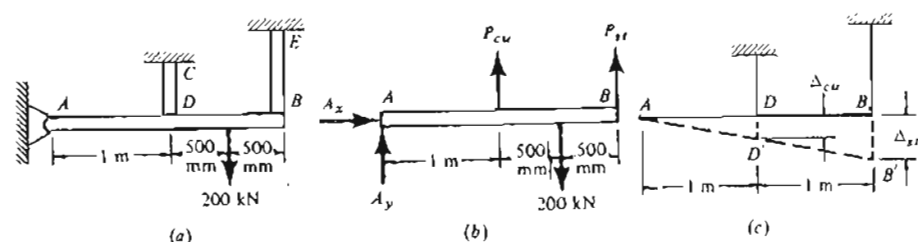
$$P_{st} = 0.833P_{cu} \quad (2)$$

۱۲۰  $\Delta T$  اضافه شود . اثر تابشی از این اضافه درجه حرارت در نیروهای میله های خرپا همان اثر طویل تر بودن میله وسطی به اندازه  $\Delta L$  می باشد به شرط اینکه  $\Delta L$  برابر انساط حرارتی میله وسطی وقتی که به آزادی بتواند انساط پیدا کند اختیار شود . به عبارت دیگر برای اینکه سیروی میله وسط را در اثر تغییر درجه حرارت مزبور بدست  $\Delta T$  وریم کافی است در معادله ۲-۲۲ به جای  $\Delta L$  کمیت  $\alpha L \Delta T$  را قرار دهیم .

#### ۲-۴ مسائل حل شده

##### مسئله ۱-۱

میله AB در شکل ۱۵-۲ کاملاً صلب فرض می شود و قل از اینکه بار 200kN مطابق شکل بر آن وارد شود افقی می باشد . انتقال A معملي و میله به AB دسيله میله فولادی EB و میله مسی CD نگهداشت شده است . طول CD و EB به نریب ۱m و 2m می باشد . مساحت سطح مقطع CD برابر  $500 \text{ mm}^2$  و مساحت سطح مقطع EB برابر  $250 \text{ mm}^2$  می باشد . تشکیل را در هر یک از میله های فاصل تعیین کنید . از وزن AB صرف سطر نمایید . ضریب ارجاعی مس  $120 \times 10^9 \text{ N/m}^2$  و ضریب ارجاعی فولاد  $200 \times 10^9 \text{ N/m}^2$  می باشد .



شکل ۱۵

۱۲۲

به تنش یکنواخت  $\sigma_0$  پیش تنیده شود هر یک از بستهای قورباغه‌ای را چند دور باید چرخاند؟

حل : فرض می‌کنیم نیرو در میله B برابر  $F_b$  و در هر یک از کابل‌ها برابر  $F_c$  باشد. در این صورت معادله تعادل به صورت زیر نوشته می‌شود :

$$F_b = 2F_c$$

در اثر چرخاندن بستهای قورباغه‌ای میله B تحت فشار قرار می‌گیرد و طول آن کم می‌شود و کابل‌ها تحت کشش قرار گرفته و طولشان اضافه می‌شود. بنابراین اگر هر یک از بستهای قورباغه‌ای را  $n$  دور بچرخانیم شرط سازگاری تغییر مکان‌ها به صورت زیر نوشته می‌شود :

$$2np = \text{کاهش طول میله B} + \text{ازدیاد طول هر یک از کابل‌ها}$$

$$F_b = A\sigma_0$$

$$F_c = \frac{1}{2} F_b = \frac{1}{2} A\sigma_0$$

مقادیر نیروها را در معادله سازگاری قرار می‌دهیم.

$$\frac{\frac{1}{2}A\sigma_0 L}{E_c A_c} + \frac{A\sigma_0 L}{EA} = 2np$$

$$n = \frac{\sigma_0 L}{2pE} \left( 1 + \frac{EA}{2E_c A_c} \right)$$

۱۲۲

از حل همزمان معادلات ۱ و ۲ نیروهای داخلی میله‌ها بدست می‌آیند.

$$P_{cu} = 112.5 \text{ kN} ; P_{st} = 94 \text{ kN}$$

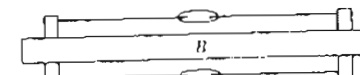
الآخره از تقسیم کردن نیرو بر مساحت سطح مقطع تنش‌های مربوطه بدست می‌آید.

$$\sigma_{cu} = \frac{112.5 \times 10^3}{500} = 225 \text{ MPa}$$

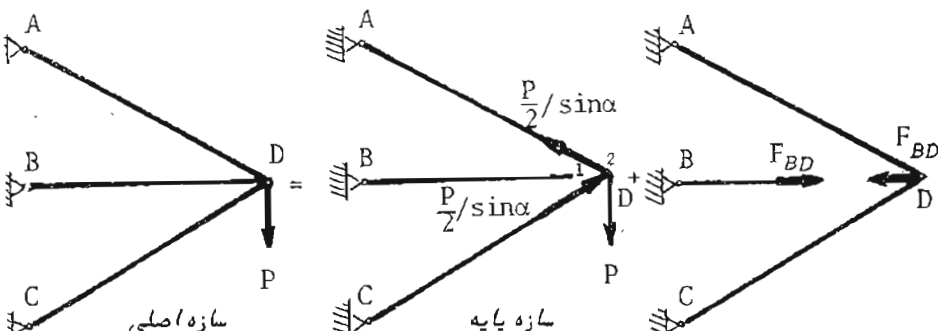
$$\sigma_{st} = \frac{94 \times 10^3}{250} = 376 \text{ MPa}$$

مسئله ۲ - ۲

میله B در شکل ۱۱ - ۲ دارای طول L، ضریب ارجاعی E و سطح مقطع A می‌باشد. دو کابل با بستهای قورباغه‌ای مطابق شکل به دو انتهای میله متصل گردیده‌اند. هر یک از کابل‌ها به طول L، ضریب ارجاعی  $E_c$  و سطح مقطع  $A_c$  می‌باشد. گام دنبدهای سه‌های دورباغه‌ای با عمل مضاعف برابر p می‌باشد. برای اینکه میله B



شکل ۱۱ - ۲



شکل ۱۲ - ۲

دادن موئله افقی تغییر مکان دو نقطه ۱ و ۲ ( در اتصال D ) بدست می آید .

$$\delta_{Dh_1} = \delta_{Dh_2} \quad (3)$$

$$\delta_{Dh_1} = \frac{F_{BD} H \cot \alpha}{AE} \quad (4)$$

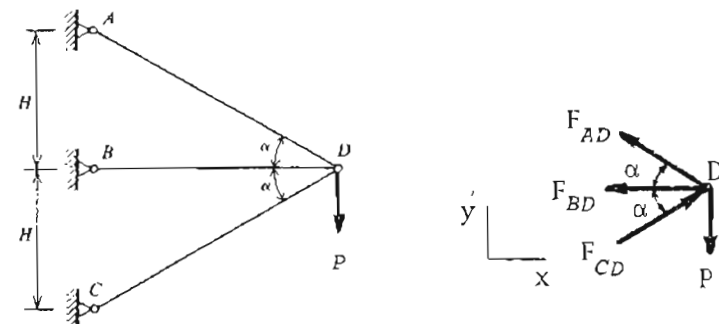
$$\delta_{Dh_2} = (\delta_{Dh})_P + (\delta_{Dh})_{F_{BD}} \quad (5)$$

تغییر مکان افقی نقطه ۲ در اثر نیروی  $F_{BD}$  + تغییر مکان افقی نقطه ۲ در اثر بار

$$\frac{P}{2 \sin \alpha} \frac{H / \sin \alpha}{AE} = \frac{PH}{2AE \sin^2 \alpha} \quad : (\delta_{Dh})_P \quad \text{محاسبه} \quad (\text{شکل a})$$

$$(\delta_{Dh})_P = 0 \quad (6)$$

سه میله AD ، BD و CD که صلابت محوری یکنواخت EA دارند تشکیل خرپایی مطابق شکل ۱۲ - ۲ می دهند . نیروهای ایجاد شده در ۲ میله و موئله های افقی و فاصله تغییر مکان مفصل D را در اثر بار P تعیین کنید .



شکل ۱۲ - ۲

دیاگرام جسم آزاد مفصل D

حل : حل این مسئله به روش نیرو ساده نر است چون تعداد نا معینی استاتیکی خرپای فوق بک می باشد . با اسناده از نمودار جسم آزاد مفصل D معادلات تعادل سیروها در امساد افق و قائم را می نویسیم .

$$\rightarrow \sum F_x = 0 \quad : \quad -F_{BD} + (F_{CD} - F_{AD}) \cos \alpha = 0 \quad (1)$$

$$\uparrow \sum F_y = 0 \quad : \quad (F_{AD} + F_{CD}) \sin \alpha - P = 0 \quad (2)$$

برای حل ای مسئله روش نیرو میله BD را عضو زائد اختیار می کنیم و آن را در محل اتصال D می سرم ( شکل ۱۲ - ۲ ) . سمت چپ محل بررش را نقطه ۱ و سمت راست محل برش را نقطه ۲ می سامم . در این صورت شرط سازگاری تغییر مکان ها با مساوی فرار

۱۲۴

جون  $F_{BD} = 0$  می‌باشد مولفه‌های افقی و قائم تغییر مکان مفصل D از شکل a بدست می‌آیند.

$$\delta_{Dh} = 0$$

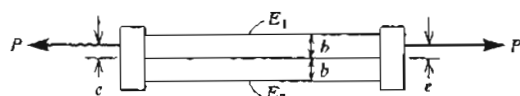
مولفه افقی تغییر مکان مفصل D :

$$\delta_{DV} = DD' = \frac{DD_1}{\sin \alpha} = \frac{PH}{2AE \sin^3 \alpha}$$

مولفه قائم تغییر مکان مفصل D :

مسئله ۴ - ۲

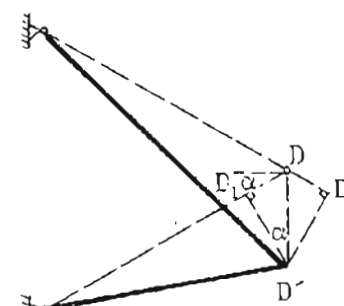
میله‌ای با سطح مقطع مربع شکل از دو میله با مصالح مختلف به ضرایب ارجاعی  $E_1$  و  $E_2$  ساخته شده است. هر دو میله سطح مقطع بکان دارند. با فرض اینکه صفحات انتهایی تغییر شکل ناپذیر باشد رابطه‌ای برای خروج از مرکز P بار e بودت وارد  $\Delta$  وردید که هر دو میله در کشش یکنواخت باشد (فرض کرد  $E_1 > E_2$ ).



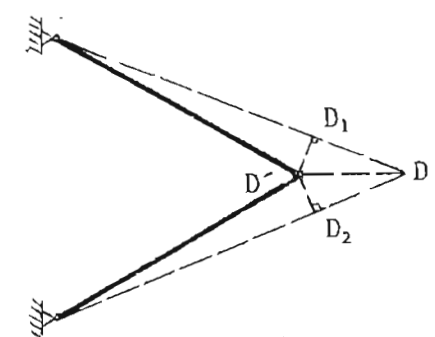
شکل ۱۴ - ۲

حل : فرض می‌کیم نیروی داخلی در میله فوقانی  $P_1$  و در میله تحتانی  $P_2$  باشد. موقعی که هر دو میله در کشش یکنواخت می‌باشند نیروهای  $P_1$  و  $P_2$  از مرکز سطح هر یک از میله‌ها عبور خواهند کرد (مطابق شکل ۱۵ - ۲). از شرط تعادل نیروها در امتداد افق نتیجه می‌شود

۱۲۶



شکل (a)



شکل (b)

جون  $DD_1 = DD_2$  است تغییر مکان  $DD'$  قائم می‌باشد و مولفه افقی ندارد.

$$DD_1 = DD_2 = \frac{F_{BD}}{2\cos \alpha} \frac{H}{\sin \alpha} = \frac{F_{BD}H}{2AE \cos \alpha \sin \alpha} : (\delta_{Dh})_{F_{BD}}$$

(شکل b)

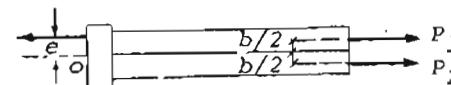
$$(\delta_{Dh})_{F_{BD}} = DD' = \frac{DD_1}{\cos \alpha} = \frac{F_{BD}H}{2AE \cos^2 \alpha \sin \alpha} \quad (7)$$

از معادله سازگاری، رابطه (3)، (4) و (7) می‌توان از روابط (4) تا (7) خواهیم داشت

$$\frac{F_{BD}H \cot \alpha}{AE} = \frac{F_{BD}H}{2AE \sin \alpha \cos^2 \alpha} : F_{BD} = 0$$

$$(1) \& (2) \Rightarrow F_{AD} = F_{CD} = \frac{P}{2 \sin \alpha}$$

از حل این دستگاه معادلات خواهیم داشت



شکل ۱۵ - ۲

$$P_1 = P \left( \frac{1}{2} + \frac{e}{b} \right) ; \quad P_2 = P \left( \frac{1}{2} - \frac{e}{b} \right)$$

مقادیر  $P_1$  و  $P_2$  را در معادله (۳) قرار می‌دهیم.

$$P_1 + P_2 = P \quad (1)$$

از شرط تعادل لنگر نیروها حول نقطه O داریم

$$\frac{P \left( \frac{1}{2} + \frac{e}{b} \right)}{E_1} = \frac{P \left( \frac{1}{2} - \frac{e}{b} \right)}{E_2}$$

از این معادله  $e$  بدست می‌آید.

$$Pe - P_1 \frac{b}{2} + P_2 \frac{b}{2} = 0 \quad (2)$$

و بالاخره شرط سازگاری تغییر مکان‌ها مساوی قرار دادن تغییر مکان پا از دیاد طول میله ۱ با از دیاد طول میله ۲ بدست می‌آید.

$$e = \frac{E_1 - E_2}{E_1 + E_2} \frac{b}{2} \quad (\text{با فرض اینکه } E_1 > E_2)$$

### مسئله ۲-۵

میله AB کاملاً صلب و بوسیله سه میله دیگر مطابق شکل ۲-۱۶ a نگهدارته شده است. دو میله خارجی فولادی هستند و سطح مقطع هر یک از آنها  $250 \text{ mm}^2$  می‌باشد. میله مرکزی از مس است و سطح مقطع آن  $10^3 \text{ mm}^2$  می‌باشد. برای فولاد  $E = 200 \times 10^9 \text{ N/m}^2$  و برای مس  $E = 120 \times 10^9 \text{ N/m}^2$ . طول همه میله‌ها  $2\text{m}$  است. میله‌ها در فواصل مساوی قرار دارند و دو نیروی  $50 \text{ kN}$  در وسط فاصله بین میله‌ها بر AB وارد شده است. با صرف نظر کردن از وزن میله AB نیروی داخلی هر یک از میله‌های قائم را تعیین کنید.

$$\delta_1 = \delta_2$$

$$\frac{P_1 L}{A E_1} = \frac{P_2 L}{A E_2} \quad (\text{سطح مقطع هر یک از میله‌ها } A =)$$

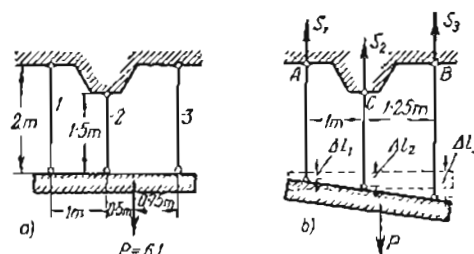
$$\frac{P_1}{E_1} = \frac{P_2}{E_2} \quad (3)$$

$$(1) \& (2) \Rightarrow \begin{cases} P_1 + P_2 = P \\ P_1 - P_2 = \frac{2Pe}{b} \end{cases}$$

۱۲۱

مسئله ۶ - ۲

در شکل ۲ - ۱۷ a - ۲ میله صلبی بوسیله سه میله آویزان شده است و تحت اثر بار قرار دارد. میله ۱ از من با مساحت سطح مقطع  $1\text{cm}^2$ ، میله ۲ از فولاد ۲ cm با مساحت سطح مقطع  $1.5\text{cm}^2$  و میله ۳ از الومینیوم با مساحت سطح مقطع  $2\text{cm}^2$  می باشد. تنשها را در هر یک از میله ها تعیین کنید. ضرائب ارتباطی من، فولاد و الومینیوم به ترتیب  $1\times 10^6\text{Kg/cm}^2$  ،  $2\times 10^6\text{Kg/cm}^2$  و  $0.7\times 10^6\text{Kg/cm}^2$  می باشد.



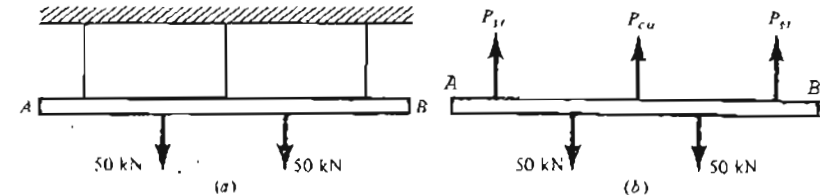
شکل ۲ - ۱۷

حل : وضعیت نهایی سازه در شکل ۲ - ۱۷ b - ۲ نشان داده شده است. معادلات تعادل لنگری حول نقاط A و B عبارتند از

$$\sum M_A = -(S_2 \times 1) - (S_3 \times 2.25) + (P \times 1.5) = 0 \quad (1)$$

$$\sum M_B = (S_1 \times 2.25) + (S_2 \times 1.25) - (P \times 0.75) = 0 \quad (2)$$

۱۲۰



شکل ۲ - ۱۶

حل : در شکل ۲ - ۱۶ b - ۲ نمودار حسم آزاد AB رسم شده است. به دلیل تقارن، نیروها در دو میله خارجی مساوی می باشد. از معادله تعادل در امتداد فاصله نتیجه می شود

$$2P_{st} + P_{cu} = 100 \quad (1)$$

به علت نقارن ساره و سار گذاری روی آن میله AB پس از بار گذاری افقی باقی می ماند. به عبارت دیگر اضافه طول میله های فولادی با اضافه طول میله مسی یکسان می باشد.

$$\Delta_{st} = \Delta_{cu}$$

$$\frac{P_{st}(2000)}{250(200 \times 10^9 \times 10^{-6})} = \frac{P_{cu}(2000)}{10^3(120 \times 10^9 \times 10^{-6})}$$

$$P_{st} = 0.417P_{cu} \quad (2)$$

از حل همزمان معادله تعادل ۱ و معادله سازگاری غیر مکانیای ۲ نیروهای بست می آید.

$$P_{cu} = 54.5 \text{ kN} ; P_{st} = 22.75 \text{ kN}$$

۱۳۲

حال مقادیر محاسبه شده را کنترل می‌کنیم.

$$\Sigma S = 110 + 3410 + 2480 = 6000 \text{ Kg} = P \quad \checkmark$$

تنشها در میله‌ها عبارتند از

$$\sigma_1 = \frac{S_1}{A_1} = \frac{110}{1} = 110 \text{ Kg/cm}^2$$

$$\sigma_2 = \frac{S_2}{A_2} = \frac{3410}{1.5} = 2270 \text{ Kg/cm}^2$$

$$\sigma_3 = \frac{S_3}{A_3} = \frac{2480}{2} = 1240 \text{ Kg/cm}^2$$

۱۳۲

برای نوشتن معادله سارگاری تغییر مکان‌ها از ذوزنقه شکل b - ۱۷ - ۲ استفاده می‌کنیم.

$$\frac{\Delta l_3 - \Delta l_1}{2.25} = \frac{\Delta l_2 - \Delta l_1}{1}$$

این معادله به صورت زیر مرتب می‌شود:

$$1.25\Delta l_1 - 2.25\Delta l_2 + \Delta l_3 = 0$$

تغییر مکان‌ها را بر حسب نیروها بیان می‌کنیم.

$$1.25 \frac{S_1 \times 200}{10^6 \times 1} - 2.25 \frac{S_2 \times 150}{2 \times 10^6 \times 1.5} + \frac{S_3 \times 200}{0.7 \times 10^6 \times 2} = 0$$

این معادله پس از ساده کردن به صورت زیر در می‌آید:

$$2.5S_1 - 1.125S_2 + 1.43S_3 = 0 \quad (3)$$

### مسئله ۲ - ۷

در شکل ۱۸ - ۲ میله‌ها از فولاد با تنفس مجاز  $\sigma_w = 1600 \text{ Kg/cm}^2$  و ضریب ارتحاعی  $E = 2 \times 10^6 \text{ Kg/cm}^2$  و سطح مقطع آنها  $A_2 = 14 \text{ cm}^2$ ،  $A_1 = 12 \text{ cm}^2$  و  $a = 0.4 \text{ m}$  می‌باشد. حداقل بار مجاز  $P_w$  را تعیین کنید.  $A_3 = 16 \text{ cm}^2$  و  $\beta_3 = 30^\circ$ ،  $\beta_2 = 60^\circ$ ،  $\beta_1 = 45^\circ$  و  $c = 0.4 \text{ m}$  و  $b = 1.2 \text{ m}$

حل: بین نیروهای میله‌ها،  $N_1$ ،  $N_2$  و  $N_3$ ، دو معادله تعادل زیر وجود دارد:

از حل معادلات ۱، ۲ و ۳ نیروهای داخلی میله‌ها بدست می‌آیند.

$$S_1 = 0.018P = 0.018(6000) = 110 \text{ Kg}$$

$$S_2 = 0.568P = 0.568(6000) = 3410 \text{ Kg}$$

$$S_3 = 0.414P = 0.414(6000) = 2480 \text{ Kg}$$

۱۳۴

$$\delta_2 = \frac{\Delta l_2}{\sin \beta_2} = \frac{N_2 l_2}{E_2 A_2 \sin \beta_2}$$

$$\delta_3 = \frac{\Delta l_3}{\sin \beta_3} = \frac{N_3 l_3}{E_3 A_3 \sin \beta_3}$$

از هندسه سازه داریم

$$l_1 = \frac{a}{\sin \beta_1} ; \quad l_2 = \frac{b}{\sin \beta_2} ; \quad l_3 = \frac{c}{\sin \beta_3}$$

مقادیر فوق را در معادله سازگاری تغییر مکان‌ها جایگزین می‌کنیم.

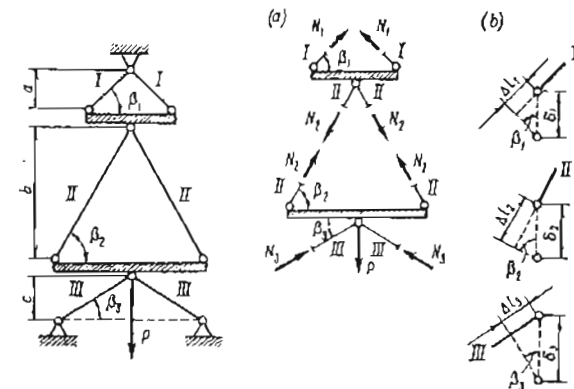
$$\frac{N_1 a}{E_1 A_1 \sin^2 \beta_1} + \frac{N_2 b}{E_2 A_2 \sin^2 \beta_2} = \frac{N_3 c}{E_3 A_3 \sin^2 \beta_3}$$

حال از مقادیر عددی مسئله استفاده می‌کنیم.

$$\sin \beta_1 = \frac{\sqrt{2}}{2} ; \quad \sin \beta_2 = \frac{\sqrt{3}}{2} ; \quad \sin \beta_3 = \frac{1}{2}$$

$$\frac{a}{A_1 \sin^2 \beta_1} = \frac{40 \times 4}{12 \times 2} = \frac{20}{3} \text{ 1/cm}$$

۱۳۴



شکل ۲ - ۱۸

$$2N_1 \sin \beta_1 = 2N_2 \sin \beta_2$$

$$2N_2 \sin \beta_2 + 2N_3 \sin \beta_3 = P$$

شرط سازگاری تغییر مکان‌ها بدین صورت بیان می‌شود: تغییر مکان نقطه اثر بار  $P$  در اثر افزایش طول میله‌های ۱ و ۲ ماید سرایر با تغییر مکان نقطه مذبور در اثر کاهش طول میله‌های ۳ باند (چون ارتفاع سام سازه ثابت است).

$$\delta_1 + \delta_2 = \delta_3$$

بر اساس فانون هوک می‌توانیم بنویسیم

$$\delta_1 = \frac{\Delta l_1}{\sin \beta_1} = \frac{N_1 l_1}{E_1 A_1 \sin \beta_1}$$

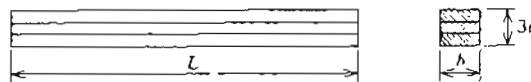
۱۳۷

چون تنش ماکزیمم  $\sigma_3$  نباید ار تنش مجاز نحاوز کند بار مجاز برابر است با

$$P \leq \frac{\sigma_w}{0.0331} = \frac{1600}{0.0331} = 48340\text{Kg} = 48.3t$$

## مسئله ۸

میله‌ای دو فلزی شامل یک هسته مسی متصل به دو نوار فولادی در بالا و پایین آن می‌باشد که به اندازه  $T$  درجه به طور یکنواخت گرماداده می‌شود (شکل ۲-۱۹). با فرض اینکه عرض میله  $b$ ، طول میله  $L$  و ضخامت هر نوار  $t$  باشد تنش‌های ایجاد شده در فولاد و مس را تعیین کنید. ضرایب انبساط حراری برای فولاد و مس به ترتیب  $E_c$  و  $E_s$  و ضرایب ارتجاعی فولاد و مس به ترتیب  $\alpha_c$  و  $\alpha_s$  می‌باشد.



شکل ۲-۱۹

حل : فرض می‌کنم  $\sigma_3$  تنش در نوار مسی و  $\sigma_1$  تنش در سوار فولادی باشد. چون ضریب انبساط حرارتی مس از فولاد بیشتر می‌باشد نوار مسی نسبت به نوارهای فولادی تغایل به انبساط بینتر دارد ولی نوارهای فولادی از انبساط کامل نوار مسی جلوگیری می‌کنند. در نتیجه نوار مسی تحت فشار فرار می‌گیرد و نوارهای فولادی کنیده می‌شوند.

$$P_s = 2tb\sigma_s$$

نشروی کششی در نوارهای فولادی

۱۳۶

$$\frac{b}{A_2 \sin^2 \beta_2} = \frac{120 \times 4}{14 \times 3} = \frac{80}{7} \text{ 1/cm}$$

$$\frac{c}{A_3 \sin^2 \beta_3} = \frac{40 \times 4}{16 \times 1} = 10 \text{ 1/cm}$$

با جایگزینی مقادیر عددی فوق در معادلات تعادل و سازگاری تغییر مکان‌ها نتیجه می‌شود

$$\sqrt{2} N_1 = \sqrt{3} N_2$$

$$\sqrt{3} N_2 + N_3 = P$$

$$14 N_1 + 24 N_2 = 21 N_3$$

از حل دستگاه معادلات فوق ابتدا نیروها و سیس تنش‌ها بدست می‌آیند.

$$N_1 = 0.332P ; \quad N_2 = 0.27P ; \quad N_3 = 0.53P$$

$$\sigma_1 = \frac{N_1}{A_1} = \frac{0.332P}{12} = 0.0276P$$

$$\sigma_2 = \frac{0.27P}{14} = 0.0193P$$

$$\sigma_3 = \frac{0.53P}{16} = 0.0331P$$

۱۲۹

$$\frac{\sigma_s}{E_s} + \frac{\sigma_c}{E_c} = \alpha_c^T - \alpha_s^T \quad (2)$$

از حل معادلات ۱ و ۲ نتیجه می‌شود

$$\sigma_s = \frac{(\alpha_c - \alpha_s)TE_s E_c}{E_c + 2E_s}$$

کششی

$$\sigma_c = \frac{2(\alpha_c - \alpha_s)TE_s E_c}{E_c + 2E_s}$$

فشاری

مسئله ۲ - ۹

میله‌های خارجی خر پای شکل ۲۵ - ۲ از الومینیوم ( با ضریب ارتفاعی  $E_a = 7 \times 10^5 \text{ Kg/cm}^2$  و ضریب انساط حرارتی  $\alpha_a = 21.6 \times 10^{-6}/^\circ\text{C}$  ) و قطرهایش از سیم‌های فولادی ( با ضریب ارتفاعی  $E_s = 2.1 \times 10^6 \text{ Kg/cm}^2$  و ضریب انساط حرارتی  $\alpha_s = 11.7 \times 10^{-6}/^\circ\text{C}$  ) تشکیل شده است. مساحت سطح مقطع میله‌های الومینیومی و سیم‌های فولادی نسبت ۲۰/۱ دارد. اگر درجه حرارت خربا به اندازه  $44.5^\circ\text{C}$  اضافه شود تنش را در سیم‌های فولادی تعیین کنید.

حل : به علت  $\alpha_a > \alpha_s$  میله‌های خارجی نسبت به قطرهای خواهد طویل تر

۱۳۸

$$P_c = bt\sigma_c$$

نیروی مشاری در سوار می

چون نیروی محوری خارجی وجود ندارد داریم :

$$P_s + P_c = 0 \quad : \quad 2\sigma_s + \sigma_c = 0$$

اگر مقادیر تنشها را به صورت حسابی در نظر بگیریم این رابطه به صورت زیرنوشته می‌شود :

$$\sigma_c = 2\sigma_s \quad (1)$$

فرمول نفییر شکل میله‌های تحت کشش با فشار بکواخت را به صورت زیر می‌نویسیم :

$$\delta = \frac{PL}{AE} = \frac{\sigma L}{E}$$

$$\delta_s = \frac{\sigma_s L}{E_s} \quad ; \quad \sigma_s = \frac{\sigma_s L}{\delta_s}$$

$$\delta_c = \frac{\sigma_c L}{E_c} \quad ; \quad \sigma_c = \frac{\sigma_c L}{\delta_c}$$

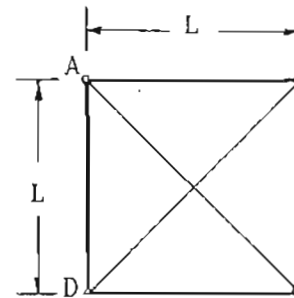
شرط سازگاری تعییر مکان‌ها :

$$\frac{\sigma_s L}{E_s} + \frac{\sigma_c L}{E_c} = \alpha_c LT - \alpha_s LT$$

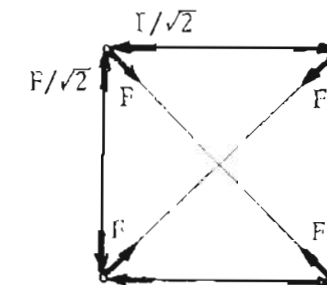
تشن در سیم‌های فولادی :

$$\sigma = \frac{F}{A} = \frac{\sqrt{2} (\alpha_a - \alpha_s) \Delta T}{\frac{\sqrt{2}}{E_s} + \frac{1}{20E_a}}$$

$$= \frac{\sqrt{2} (21.6 - 11.7) 10^{-6} (44.5)}{\frac{\sqrt{2}}{2.1 \times 10^6} + \frac{1}{14 \times 10^6}} = 836.4 \text{ Kg/cm}^2$$



شکل ۲-۲۵



شود ولی به علت متصل سودن به نظرها نمی‌تواند. در نتیجه میله‌های خارجی تحت فشار و قطراهای سیمی تحت گشتن قرار می‌گیرند.

$A$	=	سطح مقطع سیم‌های فولادی
$F$	=	کشن در سیم‌ها (نظرها)
$F/\sqrt{2}$	=	فشار در میله‌های خارجی

$$\delta_1 = \frac{F\sqrt{2}L}{AE_s} \quad \begin{array}{l} \text{از دیاد طول سیم‌های فولادی یا اردباد طول هر یک از نظرها} \\ \text{تحت اثر سیروی کشن سیم‌ها} \end{array}$$

$$\delta_2 = \frac{F\sqrt{2}L}{20AE_a} / \cos 45^\circ \quad \begin{array}{l} \text{کاهش طول هر یک از قطراهای سب اثر نیروهای} \\ \text{فشاری در میله‌های خارجی} \end{array}$$

## مسئله ۲-۱۰

اعمالی خربای شکل ۲۱-۲ از فلزی با ضریب ارتعاشی  $E$  و ضریب ابساط حرارتی  $\alpha$  تشکیل شده است. سطح مقطع میله‌های  $AB$  و  $AC$  براسر  $A$  و سطح مقطع میله  $BC$  برای  $A/2$  می‌باشد. عامله بین تکیه کاههای  $B$  و  $C$  برای  $L$  است. اگر درجه حرارت به اندازه  $\Delta T$  کاهش یابد نشنهای کشی یا فشاری ایجاد شده در میله‌های  $AB$  ،  $AC$  و  $BC$  را حساب کید.

حل : چون میله‌های  $AB$  و  $AC$  در اثر تغییر درجه حرارت می‌توانند به آزادی تعییر مکان یابند در آنها نیرو و تنشی ایجاد نمی‌شود .

$$\sigma_{AB} = \sigma_{AC} = 0$$

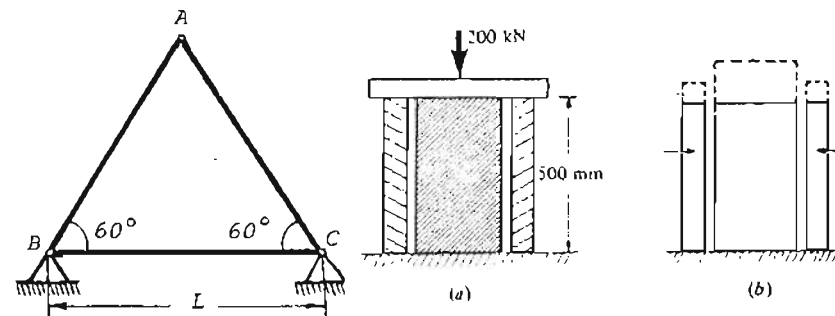
شرط سارگاری تغییر مکان‌ها در اسالات  $D$  ،  $C$  ،  $B$  ،  $A$  و :

$$\delta_1 + \delta_2 = (\alpha_a - \alpha_s) \sqrt{2} L \Delta T$$

$$\frac{F\sqrt{2}L}{AE_s} + \frac{FL}{20AE_a} = (\alpha_a - \alpha_s) \sqrt{2} L \Delta T$$

مسئله ۲-۱۱

یک استوانه فولادی بوحالی استوانه مسی نوپری را مطابق سکل ۲-۲۲ a در بر میگیرد و بار  $200 \text{ kN}$  سر مجموعه وارد میشود. مساحت سطح مقطع مولاد  $2000 \text{ mm}^2$  و مساحت سطح مقطع من  $5000 \text{ mm}^2$  میباشد. فل از وارد شدن بار، هر دو استوانه طول یکسان دارند. معین کبد چه افزایش درجه حرارتی لازم است تا سام سار سویله استوانه مسی حمل شود. صفحهای که در بالای مجموعه قرار دارد ملب فرض میشود. برای مس  $E = 200 \times 10^9 \text{ N/m}^2$  و  $E = 120 \times 10^6 \text{ C}^{-1}$  و برای فولاد  $\alpha = 12 \times 10^{-6} \text{ C}^{-1}$



شکل ۲-۲۲

اما در میله BC در انحراف درجه حرارت تنفس کشی ایجاد میشود که مقدار آن برابر است با  $F_{BC}$  نیروی داخلی میله BC و  $\delta$  غیر شکل ناشی از آن میباشد)

$$\sigma_{BC} = \frac{F_{BC}}{\frac{1}{2}A} = \frac{\frac{AE\delta}{2L}}{\frac{1}{2}A} = \frac{E\delta}{L}$$

اگر میله BC ترازد بود به اندازه  $\alpha L \Delta T = \delta$  کاهش طول مییاف بنا بر این تنفس ناشی از کاهش درجه حرارت به اندازه  $\Delta T$  در میله BC برابر است با

$$\sigma_{BC} = \frac{E(\alpha L \Delta T)}{L} = E\alpha \Delta T \quad (\text{کشی})$$

$$\Delta_{cu} = \frac{PL}{AE} = \frac{(200)(10^3)(500)}{(5000)(120 \times 10^9 \times 10^{-6})}$$

بنابراین بر اساس شرایط مسئله میتوانیم بنویسیم

$$(20 \times 10^{-6})(500)\Delta T - \Delta_{cu} = (12 \times 10^{-6})(500)\Delta T$$

۱۴۵

مانند جسم صلبی دوران می‌کند ( خط منقطع در شکل ۲-۲۲ a ) بین کاهش طول میله BC و افزایش طول میله ED رابطه زیر برقرار است

$$\frac{\Delta_{br}}{250} = \frac{\Delta_{st}}{600} \quad (1)$$

تفعیر طول کل میله BC شامل کاهش طول ناشی از افت درجه حرارت و افزایش طول ناشی از نیروی محوری  $P_{br}$  می‌باشد . تفعیر طول کل میله DE شامل افزایش طول ناشی از افزایش درجه حرارت و افزایش طول ناشی از نیروی محوری  $P_{st}$  می‌باشد . بنابراین

$$\Delta_{br} = -(20 \times 10^{-6})(300)(25) + \frac{P_{br}(300)}{(500)(90 \times 10^9 \times 10^{-6})} \quad (2)$$

$$\Delta_{st} = (12 \times 10^{-6})(250)(25) + \frac{P_{st}(250)}{(250)(200 \times 10^9 \times 10^{-6})} \quad (3)$$

پس از جایگزینی معادلات ۲ و ۳ در معادله ۱ و ساده نمودن حاصل می‌شود

$$3.2P_{br} - P_{st} = 87000 \quad (4)$$

معادله تعادل لنگری AD حول نقطه A :

$$250P_{br} - 600P_{st} = 0 \quad (5)$$

از حل معادلات ۴ و ۵ نیروها و سیس تنشها محاسبه می‌شوند .

۱۴۶

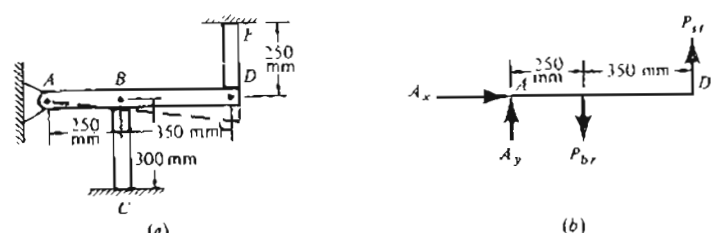
از حل معادله فوئی  $\Delta T$  بدست می‌آید .

$$\Delta T = 41.6^\circ C$$

### مسئله ۲-۱۲

میله صلب AD در نگه‌گاه A مفصلی دارد و میله BC و ED مطابق شکل ۲-۲۲ a متصل می‌باشد . سازه مذبور در ابیندا بدون شنت می‌باشد و اوزون همه میله‌ها صرف سطح می‌گردد . درجه حرارت میله BC به اندازه  $25^\circ C$  کاهش و درجه حرارت میله ED به اندازه  $25^\circ C$  افزایش داده می‌شود . با صرف نظر کردن از کمانش جانی ، تنش‌ها را در میله‌های BC و ED پیدا کنید .

سرای BC که بر جی است  $\alpha = 20 \times 10^{-6} C^{-1}$  و  $E = 90 \times 10^9 N/m^2$  و برای ED که فولادی است  $\alpha = 12 \times 10^{-6} C^{-1}$  و  $E = 200 \times 10^9 N/m^2$  و مساحت سطح مقطع BC و ED به ترتیب  $500 mm^2$  و  $250 mm^2$  می‌باشد .



شکل ۲-۲۳

حل : در شکل b ۲-۲۳ نمودار حجم آزاد AD رسم شده است . نیروهای میله‌های BC و ED به ترتیب با  $P_{st}$  و  $P_{br}$  نشان داده شده اند . چون

۱۴۷

در اثر تنزل درجه حرارت منقبض می شود. حال برای اینکه سرایط حدی مسئله را فانع کنیم باید نیروی  $P$  را بر استهای آزاد میله وارد کنیم به طوریکه در اثر آن میله مانداره افزایش طول پیدا کند. با توجه به شکل و مختصات اسخاب شده

$$r = 50 + \frac{50x}{1000} = 50 + \frac{x}{20}$$

با فرض اینکه نسبت حدار مخروط ساقص کم باشد رابطه زیر بین امامه طول میله و  $P$  وجود دارد

$$0.24 = \int_0^{1000} \frac{Pdx}{\pi r^2 E} = \int_0^{1000} \frac{Pdx}{\pi (50 + \frac{x}{20})^2 E}$$

پس از استگرال گیری

$$0.24 = \frac{400P}{2000\pi E}$$

از این رابطه  $P = 750 \text{ kN}$  بدست می آید. نیروی محوری کششی  $P$  در سراسر میله ثابت است ولی تنش در طول  $\Delta l$  تغییر می کند. حداکثر تنش در انتهای چپ میباشد که برابر است با

$$\sigma_{\max} = \frac{750 \times 10^3}{\pi (50)^2} = 95.4 \text{ MPa}$$

۱۴۶

$$P_{st} = 13024 \text{ N} ; P_{br} = 31257 \text{ N}$$

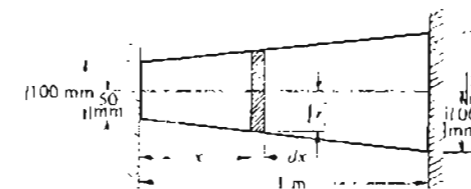
$$\sigma_{st} = \frac{13024}{250} = 52.1 \text{ MPa}$$

$$\sigma_{br} = \frac{31257}{500} = 62.5 \text{ MPa}$$

مسئله ۲ - ۱۳

میله فولادی نکل ۲۴ - ۷ که به شکل مخروط ساقص می باشد در دو انتهای کیر دار است. میله در ایندا بدون تنش می باشد. اگر درجه حرارت تمام میله به اندازه  $20^\circ\text{C}$  سرzel کند حداکثر سرش عمودی را در میله تعیین کند.

$$\alpha = 12 \times 10^{-6} \text{ C}^{-1} \quad E = 200000 \text{ MN/m}^2$$



شکل ۲ - ۲۴

حالتی در حل این مسئله ایندا فرض کنید بک انتهای میله ( مثل " انتهای را ) آزاد نباشد. در این صورت میله به اندازه  $= 0.24 \text{ mm}$   $(20)(1000)(12 \times 10^{-6})$

۱۴۹

تغییر مکان یابد و به نقطه A متصل شود و مفصل B به اندازه  $u_B$  به طرف بالا تغییر مکان یابد و به نقطه B متصل شود (شکل های ۲-۲۵ a و ۲-۲۵ e) . در این صورت بین اضافه طول میله ۱ ( $\Delta l_1$ ) و  $u_A$  لاآو همچین کاهش طول میله ۴ ( $\Delta l_4$ ) و  $u_B$  روابط زیر برقرار است :

$$\Delta l_1 = u_A \sin 30^\circ \quad ; \quad \Delta l_4 = -u_B \cos 30^\circ \quad (4)$$

اضافه طول میله و سطرا بر است با

$$\Delta l_3 = \Delta - u_A - u_B \quad (5)$$

پس از حذف  $u_A$  و  $u_B$  در روابط ۴ و ۵ معادله زیر بدست می آید :

$$\Delta l_3 = \Delta - 2\Delta l_1 + \frac{2}{\sqrt{3}} \Delta l_4$$

تغییر مکان ها را در معادله فوق بر حسب نیروها بیان می کنیم .

$$2N_1 - 2N_4 + N_3 = \frac{\Delta}{3} EA \quad (6)$$

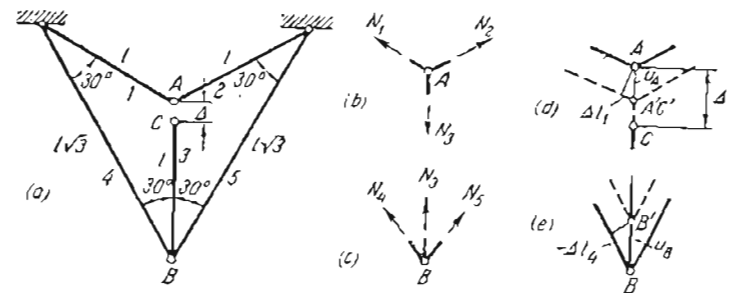
در این راسته ملبيت محوری هر سه از مسله ها می باشد . از حل معادلات ۱ ، ۲ ، ۳ و ۶ نیروهاي مجهول به دست می آيد .

$$N_1 = N_2 = N_3 = \frac{\sqrt{3}}{2+3\sqrt{3}} \frac{\Delta}{1} EA$$

$$N_4 = N_5 = - \frac{1}{2+3\sqrt{3}} \frac{\Delta}{1} EA$$

۱۴۸

مسئله ۲-۱۴  
در هنگام سوار کردن قطعات یک خر پا (شکل ۲-۲۵ a) مشاهده می شود که در طول میله ها بی دفعی وجود دارد و بین نقاط A و C فاصله  $\Delta$  ایجاد می گردد . با متصل کردن نقاط A و C به یکدیگر میله ها حا داده می شوند . نیروهای ایجاد شده در خر پا را پس از سوار کردن تعیین کنید .



شکل ۲-۲۵

حل : خر پای مجبور پس عصودارد درنتیجه تعداد نیروهای مجهول بینج میباشد . در هر یک از اتصالات A و B دو معادله معادل وجود دارد . بنابراین خر پا یک درجه همپر استاتیک است .

از شرایط نعادل اتصالات A و B (شکل های ۲-۲۵ b و ۲-۲۵ c) داریم

$$N_1 = N_2 = N_3 \quad (1)$$

$$N_4 = N_5 \quad (2)$$

$$N_3 + 2N_4 \cos 30^\circ = 0 \quad (3)$$

فرص کسد پس از سوار کردن قطعات خر پا مفصل A به اندازه  $u_A$  به طرف بایین

۱۵۱

بنابراین معادله سازگاری تغییر مکان‌ها به صورت زیر در می‌آید:

$$\begin{aligned} \frac{a}{\sin^2 \beta_1} \left( \alpha \Delta t - \frac{N_1}{EA_1} \right) + \frac{b}{\sin^2 \beta_2} \left( \alpha \Delta t - \frac{N_2}{EA_2} \right) \\ + \frac{c}{\sin^2 \beta_3} \left( \alpha \Delta t - \frac{N_3}{EA_3} \right) = 0 \quad (3) \end{aligned}$$

با بکار بردن مقادیر عددی و استفاده از روابط  
و  $\sigma_2 = N_2/A_2$ ,  $\sigma_1 = N_1/A_1$   
 $\sigma_3 = N_3/A_3$  معادلات ۱ تا ۳ به صورت زیر ساده می‌شوند:

$$6\sqrt{2} \sigma_1 = 7\sqrt{3} \sigma_2$$

$$7\sqrt{3} \sigma_2 = 8\sigma_3$$

$$\sigma_1 + 2\sigma_2 + 2\sigma_3 = 5000$$

از حل این دستگاه معادلات تنسن‌ها در میله‌ها دست می‌آیند.

$$\sigma_1 = 1105 \text{ Kg/cm}^2$$

$$\sigma_2 = 774 \text{ Kg/cm}^2$$

$$\sigma_3 = 1172 \text{ Kg/cm}^2$$

۱۵۰

در خرپای شکل ۲-۱۸ (مسئله ۷-۲) هر گاه درجه حرارت به اندازه  $\Delta t = 40^\circ\text{C}$  افزایش یابد تنش‌های ایجاد شده در میله‌ها را حساب کنید. ضریب انبساط حرارتی همه میله‌ها یکسان و برابر  $12.5 \times 10^{-6} \text{ C}^{-1}$  می‌باشد.

حل: از شرایط تعادل (شکل ۲-۲۶ a) معادلات زیر نتتجد می‌شود:

$$2N_1 \sin \beta_1 = 2N_2 \sin \beta_2 \quad (1)$$

$$2N_2 \sin \beta_2 = 2N_3 \sin \beta_3 \quad (2)$$

از شرایط تعادل میله‌ها (شکل ۲-۲۶ b) معادله ریر حاصل می‌شود:

$$\delta_1 + \delta_2 + \delta_3 = 0$$

که در آن

$$\delta_1 = \frac{\Delta l_1}{\sin \beta_1} ; \quad \delta_2 = \frac{\Delta l_2}{\sin \beta_2} ; \quad \delta_3 = \frac{\Delta l_3}{\sin \beta_3}$$

$$\Delta l_1 = l_1 \alpha_1 \Delta t - \frac{N_1 l_1}{E_1 A_1} ; \quad \Delta l_2 = l_2 \alpha_2 \Delta t - \frac{N_2 l_2}{E_2 A_2}$$

$$\Delta l_3 = l_3 \alpha_3 \Delta t - \frac{N_3 l_3}{E_3 A_3}$$

۱۵۲

با توجه به مسئله قبل معادله سازگاری تعییر مکان‌ها به صورت زیر نوشته می‌شود :

$$\frac{\Delta l_1}{\sin \beta_1} + \frac{\Delta l_2}{\sin \beta_2} + \frac{\Delta l_3}{\sin \beta_3} = \frac{\Delta_2}{\sin \beta_2}$$

و یا بر حسب تنש‌ها

$$\frac{\sigma_1 a}{\sin^2 \beta_1} + \frac{\sigma_2 b}{\sin^2 \beta_2} + \frac{\sigma_3 c}{\sin^2 \beta_3} = E \frac{\Delta_2}{\sin^2 \beta_2} \quad (3)$$

معادلات ۱ تا ۳ پس از جایگزینی مقادیر عددی به صورت زیر ساده می‌شوند :

$$6\sqrt{2} \sigma_1 = 7\sqrt{3} \sigma_2$$

$$7\sqrt{3} \sigma_2 = 8\sigma_3$$

$$\sigma_1 + 2\sigma_2 + 2\sigma_3 = 4000$$

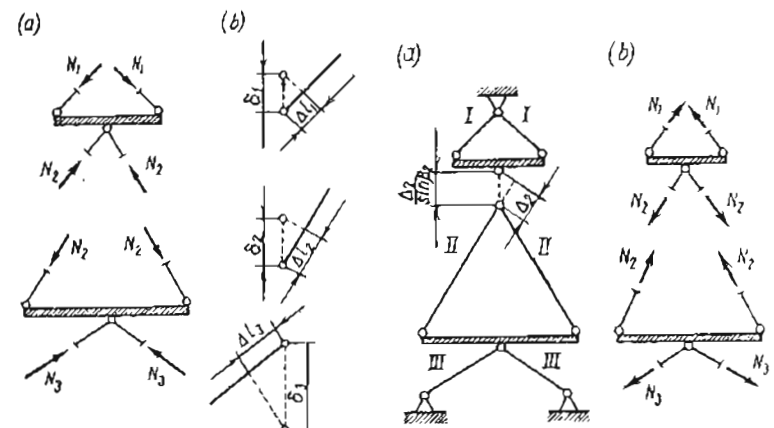
از حل دستگاه معادلات فوق تنش‌ها به دست می‌آیند.

$$\sigma_1 = 886 \text{ Kg/cm}^2$$

$$\sigma_2 = 620 \text{ Kg/cm}^2$$

$$\sigma_3 = 939 \text{ Kg/cm}^2$$

۱۵۲



شکل ۲-۲۶

شکل ۲-۲۷

مسئله ۲-۱۶

در خرپای شکل ۱۸-۲ (مسئله ۲-۲) هر گاه میله‌های ۲ به اندازه  $\Delta_2 = 1.2 \text{ mm}$  از طول طرح شده کوتاه‌ر ساخته شده باشند تنش‌های ایجاد شده در حریم را در موقع سوار کردن حساب کنید (شکل ۲-۲۷). .

حل : با توجه به شکل ۲-۲۷ ب معادلات تعادل عبارتند از

$$2N_1 \sin \beta_1 = 2N_2 \sin \beta_2 \quad (1)$$

$$2N_2 \sin \beta_2 = 2N_3 \sin \beta_3 \quad (2)$$

۱۵۵

با نوجه به شکل ۲-۲۸b شرط سازگاری تغییر مکان‌ها به صورت ریز سوسته می‌شود

$$\frac{h_1}{h_r} = \frac{a}{b} = 3$$

دلیل

$$h_1 = \frac{\Delta - \Delta l_1}{\sin 30^\circ} ; \quad h_r = \frac{\Delta l_r}{\sin 60^\circ}$$

سایر این

$$\frac{(\Delta - \Delta l_1) \sin 60^\circ}{\sin 30^\circ \Delta l_r} = 3$$

پس از ساده کردن

$$1.73 \Delta l_r + \Delta l_1 = \Delta$$

اضافه طول‌های  $\Delta l_1$  و  $\Delta l_r$  را بر حسب سیروهای  $S_1$  و  $S_r$  بیان می‌کیم.

$$1.73 \frac{S_r}{EA \sin 60^\circ} + \frac{S_1}{EA \sin 30^\circ} = \Delta$$

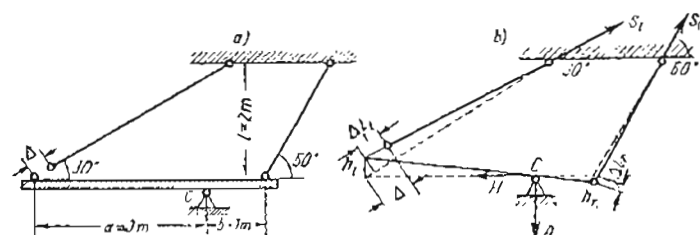
پس از ساده کردن

$$S_r + S_1 = \frac{\Delta EA}{21} \quad (2)$$

۱۵۴

مسئله ۲-۱۷

میله صلی (شکل ۲-۲۸a) به وسیله نگهدارنده شده است. مهار مت چب به اندازه  $\Delta = 1 \text{ mm}$  کوچکتر از اندازه طرح شده ساخته شده است. نسخه ای از مهارها پس از سوار کردن سازه پیدا کنید. برای مولاد  $E = 2 \times 10^6 \text{ Kg/cm}^2$ .



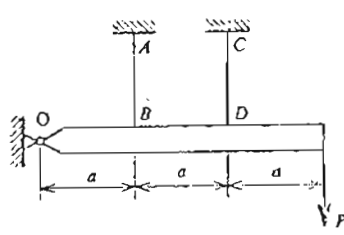
شکل ۲-۲۸

حل: پس از سوار کردن سازه، میله صلی به حالت مائل شکل ۲-۲ در حواهد  $\Delta$  مد. میله سب چب به اندازه  $\Delta l_1$  و میله سب راست به اندازه  $\Delta l_r$  اضافه طول بیاد حواهد کرد. در دو میله چب و راست به تناسب سیروهای  $S_1$  و  $S_r$  ایجاد حواهد ند. از معادله تعادل لکتری حول نقطه C حاصل می‌شود.

$$S_1 \sin 30^\circ = S_r \sin 60^\circ$$

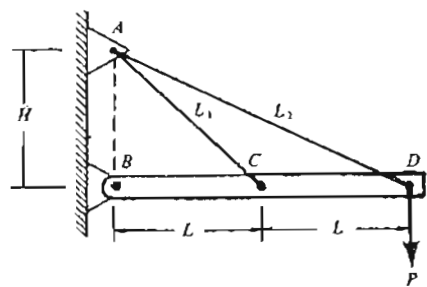
$$S_r = \frac{a \sin 30^\circ}{b \sin 60^\circ} S_1 = \frac{3 \times 0.5}{1 \times 0.866} S_1 = 1.73 S_1 \quad (1)$$

۱۵۷



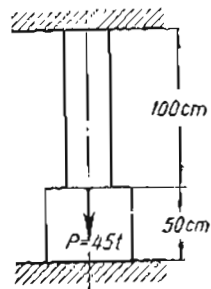
شکل ۲-۲-۱

وارد شود نیروهای کششی ایجاد شده در هر یک از سیم ها را حساب کنید.

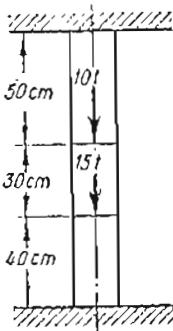


شکل ۲-۲-۲

مسئله ۲-۲-۳ ستون شکل ۲-۲-۲ در دو استهای فوقانی و تحتانی گیر دار و دارای سطح مقطع  $10 \text{ cm}^2$  در قسمت فوقانی و  $40 \text{ cm}^2$  در قسمت تحتانی می باشد. تنشها را در هر یک از قسمت های ستون تعیین کنید.



شکل ۲-۲-۳



شکل ۲-۲-۴

مسئله ۲-۲-۴ میله شکل ۴-۲-۲ در دو استهای گیر دار می باشد و سطح مقطع آن  $10 \text{ cm}^2$  است. تنش ها را در قسمت های مختلف میله حساب کنید.

۱۵۶

معادلات ۱ و ۲ را بر حسب سینهای میله ها  $\sigma_r = S_r/A$  و  $\sigma_1 = S_1/A$  می کیم.

$$\sigma_r = 1.73\sigma_1 \quad ; \quad \sigma_r + \sigma_1 = \frac{\Delta E}{2I}$$

از حل معادلات فوق سینهای میله ها بدست می آیند.

$$\sigma_1 = 0.184 \frac{\Delta E}{I} = \frac{0.184(0.1)(2 \times 10^6)}{200} = 184 \text{ Kg/cm}^2$$

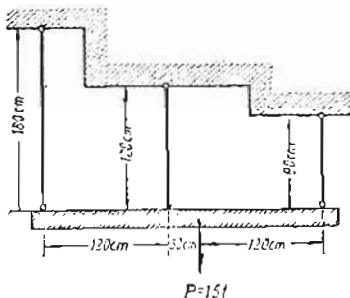
$$\sigma_r = 0.317 \frac{\Delta E}{I} = \frac{0.317(0.1)(2 \times 10^6)}{200} = 317 \text{ Kg/cm}^2$$

#### ۲-۵ مسائل حل نشده

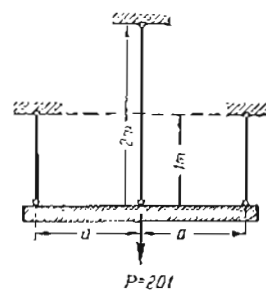
مسئله ۲-۲-۱ میله صلی به طول ۵a به وسیله دو کابل مابه AB و CD نگاهداشته شده است. سطح مقطع هر یک از کابل ها  $A = 20 \text{ cm}^2$  می باشد و مار  $P = 25000 \text{ Kg}$  در استهای میله وارد می شود. تنشها را در کابل ها پیدا کنید.

مسئله ۲-۲-۲ در شکل ۲-۲-۲ میله صلب BD به وسیله سیم های AC و AD گهداشته شده است. سیم ها در ابتدا بدون تنش می باشد و از وزن همه قطعات مرف نظر می شود. ضرب ارجاعی هر دو سیم یکسان می باشد. پس از اینکه بار P در نقطه D

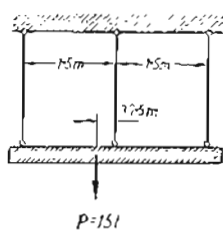
قطع مقطع لازم مبلغها را تعیین کند. سلاح مفعط مبلغها بکسان می باشد.



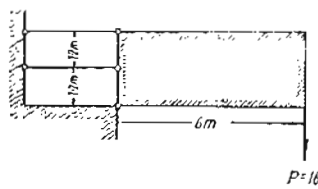
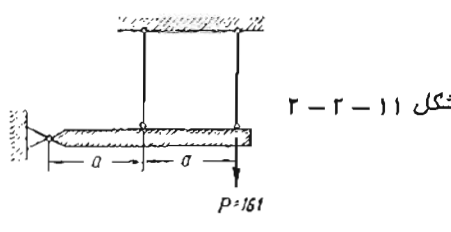
٢-٢-١



٢ - ٢ - ٩



P=15



P=16

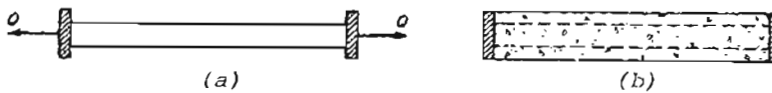
مسئله ۱۳-۲-۲ در شکل ۱۲-۲-۲ سه عضو خرپا دارای سطح مقطع یکسان می-سازند. با عرض اینکه ضریب ارجاعی و تنش مجاز آنها به نسبت  $2 \times 10^6 \text{ Kg/cm}^2$  و  $1600 \text{ Kg/cm}^2$  باشد مساحت سطح مقطع آنها را تعیین کید.

**مسئله ۱۴-۲** حسم ملبوی سیله دو کابل فولادی با ضریب ارتحابی  $2 \times 10^6 \text{ Kg/cm}^2$  و تنش مجار  $1600 \text{ Kg/cm}^2$  آویزان می‌باشد (شکل ۱۴-۲). کابل ۱ باید سطح مقطعی دو برابر سطح مقطع کابل ۲ داشته باشد. مساحت سطح مقطع هر یک از کابل‌ها را تعیین کید.

مسانده ۵-۲-۲ مساحت سطح مقطع س در بک شدن بتن مسلح کوتاه  $645 \text{ cm}^2$  می باشد. در سنون مزبور چهار مسله فولادی طولی که مساحت سطح مقطع هر بک  $10 \text{ cm}^2$  می باشد بدطور مغایر سه کار رفته است. اگر سنس مجاز سنس  $80 \text{ Kg/cm}^2$  و سنس مجاز فولاد  $1400 \text{ Kg/cm}^2$  باشد سار مجاز سنون را محاسبه کید. صراحت ارتقای مولاد و سنس به ترتیب  $2 \times 10^5 \text{ Kg/cm}^2$  و  $2 \times 10^6 \text{ Kg/cm}^2$  می باشد.

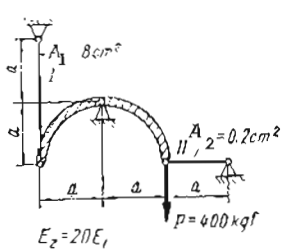
مسئله ۶-۲ یک ستون سنی با مقطع مربع به وسیله جهار میله فولادی مسلح ترده است. مساحت سطح مفتوح میله های فولادی ۵ ک در صد مساحت سطح مقطع ستون می باشد. نش مجاز سرای بتن  $2 \text{ cm}^2 / \text{kg}$  و برای فولاد  $1200 \text{ Kg/cm}^2$  است. سمت ضرب ارجاعی فولاد به ضرب ارجاعی سن ۱۰ می باشد. ستون سار  $t = 100$  را حمل می کند. عرض ستون و قطر ملدها چقدر باید باشد؟

**مسئله ۷-۲** تبرهای سنتی بیش نتیجه به صورت زیر ساخته می‌شوند: کابل‌های فولادی بین دو صفحه استهایی صل تا سنت کشی ۵۵ کتیبه می‌شوند (نکل ۷-۲-۲). سیم بین در اطراف کامل‌ها ریخنه می‌شود تا سیر شکل ۷-۲-۲ دست آید. بعد از ابکه بین گرفت نرده‌های حارخی Q برداشته می‌شود تا سنت بیش نمده گردد. اگر ضرایب ارجاعی مولاد و سنت به نسبت ۱۲ به ۱ و مساحت سطح مقطع آنها به نسبت ۱ به ۱۵ باشد تنش‌های بافی مانده نهایی را در دو مصالح حساب کنید.

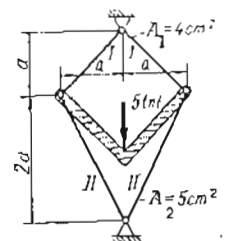


۲ - ۲ - ۷

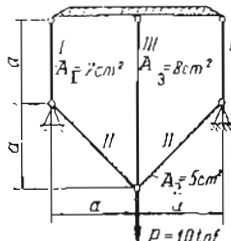
مسئله ۸-۲-۲ تا ۱۲-۲-۲ در هر یک ارشکل های ۸-۲-۲ تا ۱۲-۲-۲ حسم صلبی سوبله بعد از مبله فولادی سگهدانش شده است. با فرض اینکه ضریب ارجاعی فولاد  $E = 2 \times 10^6 \text{ Kg/cm}^2$  و تن مجاز آن  $1600 \text{ Kg/cm}^2$  باشد مساحت



شکل ۲-۲-۲۱



شکل ۲-۲-۲۲

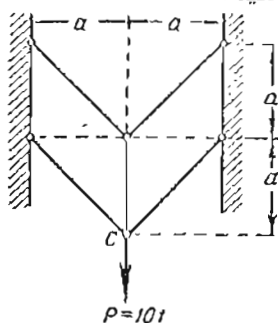


شکل ۲-۲-۲۳

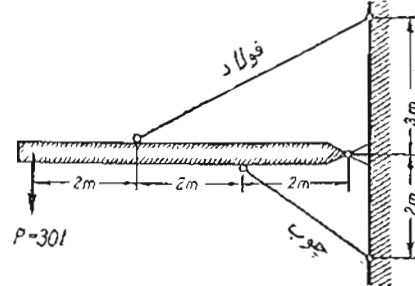
مسئله ۲-۲-۲۴ در شکل ۲-۲-۲۴ نسبت مکان قائم مفصل C را محاسبه کنید.  $E = 2 \times 10^6 \text{ Kg/cm}^2$ .  $a = 1\text{m}$ . مساحت سطح مقطع هر یک از میله‌ها  $5\text{cm}^2$  می‌باشد.

مسئله ۲-۲-۲۵ در شکل ۲-۲-۲۵ میله صلبی به وسیله یک اتصال معمولی، یک مهار فولادی و یک ستون چوبی به دیوار متصل شده است. اگر مساحت سطح مقطع ستون ده برابر مساحت سطح مقطع مهار فولادی و تنش های مجاز فولاد و چوب به ترتیب  $60\text{Kg/cm}^2$  و  $1600\text{Kg/cm}^2$  و  $10^5\text{Kg/cm}^2$  و  $2 \times 10^6\text{Kg/cm}^2$  باشد. ضرائب ارتجاعی فولاد و چوب به ترتیب  $0.7E_1$  و  $0.7E_2$  باشند.

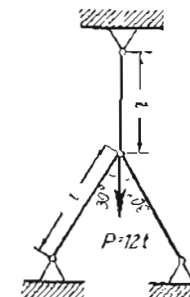
مسئله ۲-۲-۲۶ در سازه شکل ۲-۲-۲۶ میله ۱ از چدن با تنش مجاز  $800\text{Kg/cm}^2$  میله ۲ از مس ساتن مجاز  $600\text{Kg/cm}^2$  و میله ۳ از فولاد با تنش مجاز  $1200\text{Kg/cm}^2$  باشد. مساحت سطح مقطع میله‌های ۱ و ۲ یکسان و مساحت سطح مقطع میله ۳ صفر مساحت سطح مقطع میله‌های ۱ و ۲ است. ضرائب ارتجاعی چدن، مس و فولاد به ترتیب  $2 \times 10^6\text{Kg/cm}^2$ ،  $1.2 \times 10^6\text{Kg/cm}^2$  و  $10^6\text{Kg/cm}^2$  می‌باشد. مساحت سطح مقطع هر یک از میله‌ها را تعیین کنید.



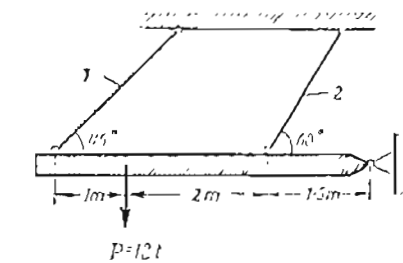
شکل ۲-۲-۲۴



شکل ۲-۲-۲۵

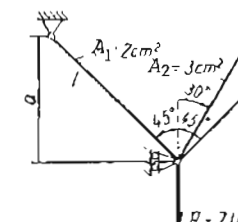


شکل ۲-۲-۱۳

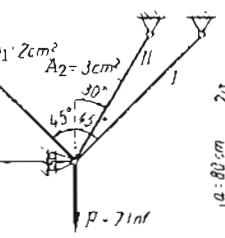


شکل ۲-۲-۱۴

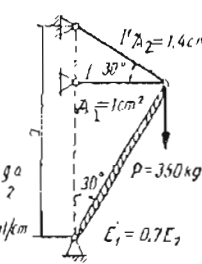
مسئله ۲-۲-۱۵ در شکل‌های ۲-۲-۱۵ و ۲-۲-۱۶ تنشها را در میله‌ها تعیین کنید. اگر صریب ارتجاعی E مشخص نمی‌باشد آن را برای تمام میله‌ها بگان فرض کنید.



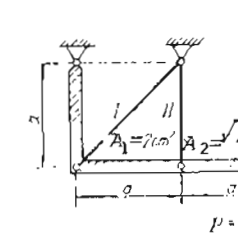
شکل ۲-۲-۱۵



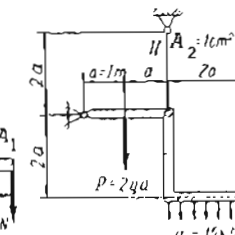
شکل ۲-۲-۱۶



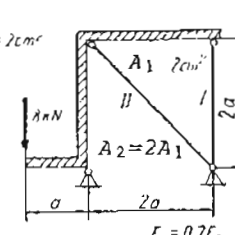
شکل ۲-۲-۱۷



شکل ۲-۲-۱۸



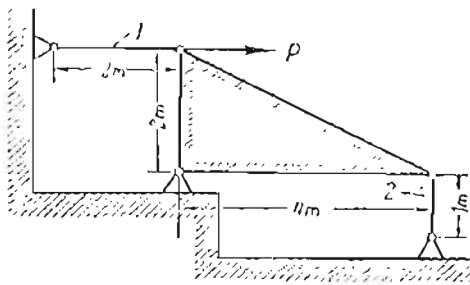
شکل ۲-۲-۱۹



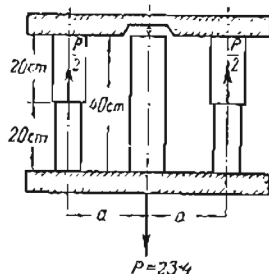
شکل ۲-۲-۲۰

مسئله ۲-۲-۲۰ در سازه سکل ۲-۲-۲ میله های ۱ از فولاد با سطح مقطع  $10\text{cm}^2$  و میله های ۲ از من سطح مقطع  $20\text{cm}^2$  می باشد. نش های ایجاد شده در میله ها را تحت بار کذاری نشان داده شده تعیین کنید.

مسئله ۲-۲-۲۱ ساره صلب شکل ۲-۲-۲۰ بر چهار میله مکی می باشد که همگی از یک نوع مصالح و بکسان با مساحت سطح مقطع  $25\text{cm}^2$  می باشند. نش ها را در میله ها تعیین کنید.



شکل ۲-۲-۲۱



شکل ۲-۲-۲۲

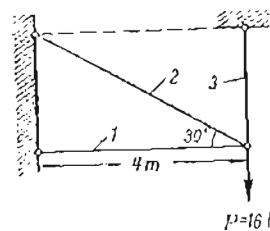
مسئله ۲-۲-۲۲ دال مریع شکلی بر روی چهار ستون به صورت متقارن نکبه دارد (شکل ۲-۲-۲۲). ستون ها از یک نوع مصالح و دارای طول و سطح مقطع بکسان می باشند. با صرف نظر مودن از تغییر شکل دال نیروهای وارد بر ستون ها را حساب کنید.

مسئله ۲-۲-۲۳ یک دال مستطیلی صلب بر روی چهار ستون با سطح مقطع ، طول و جنس بکسان نکبه دارد (شکل ۲-۲-۲۲). نیروها را در هر یک از ستون ها پیدا کنید.

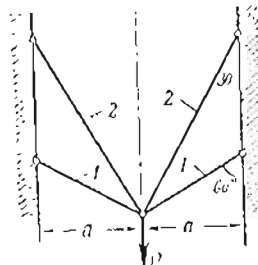
مسئله ۲-۲-۲۴ میله الومینیومی شکل ۲-۲-۲۴ با سطح مقطع  $20\text{cm}^2$  بدون بار به طول  $25,004\text{ cm}$  می باشد. لوله مولادی دارای همان سطح مقطع و تحت همان شرایط به طول  $25\text{ cm}$  می باشد. تحت چه بار  $P$  نش های ایجاد شده در فولاد و

مسئله ۲-۲-۲۵ در سازه سکل ۲-۲-۲-۲ میله های ۱ از فولاد با سطح مقطع  $10\text{cm}^2$  و میله های ۲ از من سطح مقطع  $20\text{cm}^2$  می باشد. نش های ایجاد شده در میله های ۱ و نش های ایجاد شده در میله های ۲ می باشد. ضرائب ارجاعی فولاد و من به ترتیب برابر  $2\times 10^6\text{Kg/cm}^2$  و  $10^6\text{Kg/cm}^2$  است. سار مجاز  $P_w$  را تعیین کنید.

مسئله ۲-۲-۲۶ سازه صلب شکل ۲-۲-۲-۶ وسیله یک مفصل و دو میله به مونتاژیون متصل شده است. میله ۱ از فولاد (۱ نش های ایجاد شده در میله های ۱ و ضریب ارجاعی  $2\times 10^6\text{Kg/cm}^2$ ) و میله ۲ از چدن (۱ نش های ایجاد شده در میله های ۲ و ضریب ارجاعی  $1.2\times 10^6\text{Kg/cm}^2$ ) می باشد. مساحت سطح مقطع میله های فولادی و چدنی به ترتیب  $30\text{cm}^2$  و  $50\text{cm}^2$  می باشد. حد اکثر بار مجاز  $P$  را تعیین کنید.



شکل ۲-۲-۲۶



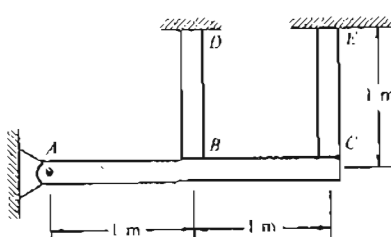
شکل ۲-۲-۲۷

مسئله ۲-۲-۲۹ دو میله صلب به وسیله سه میله مطابق شکل ۲-۲-۲-۲ به یکدیگر متصل شده اند. میله های کناری از فولاد با سطح مقطع فست فوکانی برابر  $16\text{cm}^2$  و سطح مقطع فست نخاسی برابر  $10\text{cm}^2$  می باشد. میله وسطی از من با مساحت سطح مقطع برابر  $20\text{cm}^2$  است. فرسی با تاب مری  $k = 0.8 \times 10^6\text{Kg/cm}^2$  می باشد. ضرائب ارجاعی فولاد و من به ترتیب

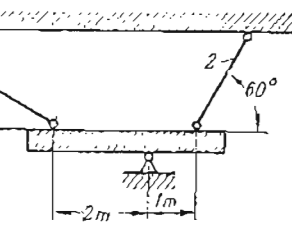
۱۶۵

مسئله ۲-۲-۳۵ سازه صلب شکل ۲-۲-۲۵ بوسیله یک مفصل و سه مهار مولادی با سطح مقطع و طول یکسان به مونداسیون متصل شده است. اگر تشنج مجاز فولاد  $E = 2 \times 10^6 \text{ Kg/cm}^2$  و ضرب ارتقای  $\alpha = 1600 \text{ Kg/cm}^2$  باشد مساحت سطح مقطع لارم مهارها را حساب کنید.

مسئله ۲-۲-۱ میله AC در شکل ۲-۲-۱ کاملاً "صلب و در مقطعه A مفصلی در نقاط C و B به دو میله EC و DB و بیزان می‌باشد. وزن برابر ۵۰kN می‌باشد. وزن دو میله دیگر قابل صرف نظر نمی‌باشد. درجه حرارت هر دو میله DB و CE به اندازه  $35^\circ\text{C}$  افزایش می‌یابد. تنش‌های ایجاد شده در دو میله را حساب کنید. از میله DB  $E = 90000 \text{ MN/m}^2$ ،  $\alpha = 18 \times 10^{-6} \text{ C}^{-1}$  و مساحت سطح مقطع  $\alpha = 12 \times 10^{-6} \text{ C}^{-1}$ ،  $E = 200000 \text{ MN/m}^2$  و  $1000 \text{ mm}^2$  از فولاد با از میله CE  $E = 200000 \text{ MN/m}^2$  و  $1000 \text{ mm}^2$  از فولاد با و مساحت سطح مقطع  $500 \text{ mm}^2$  می‌باشد. ار امکان کمانش جانی میله‌ها صرف نظر نکنید.



شکل ۲-۲-۱

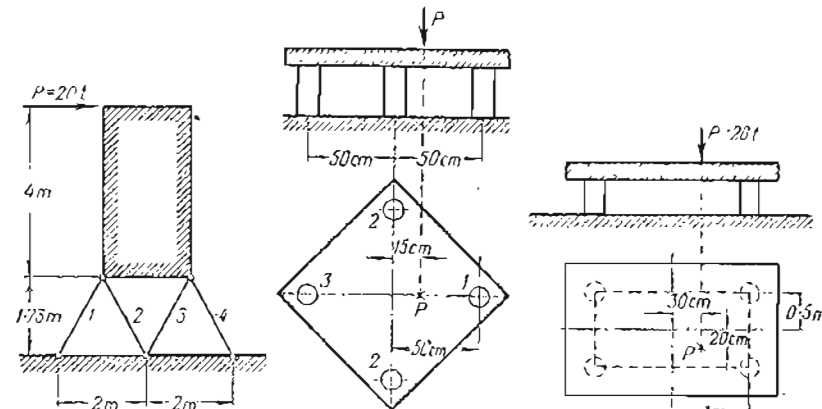


شکل ۲-۲-۲

مسئله ۲-۲-۲ میله صلبی مطابق شکل ۲-۲-۲ ممکن است که یک تکه گاه مفصلی و به وسیله دو میله سا سطح مقطع یکسان  $40 \text{ cm}^2$  و بیزان است. پس از نصب میله‌ها درجه حرارت به اندازه  $20^\circ\text{C}$  اضافه می‌شود. تنش‌های حرارتی در میله‌ها را حساب کنید.

مسئله ۲-۲-۳ اگر  $\Delta$  خطای تولید ( اندازه نبودن ) یکی از اعضاء نشان داده شده در شکل باشد تنش‌های ناشی از سوار کردن سازه را پیدا کنید.

۱۶۶



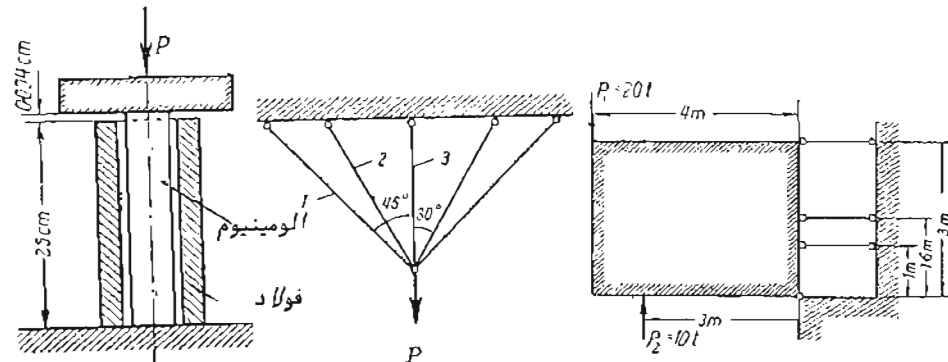
شکل ۲-۲-۲۰

شکل ۲-۲-۲۱

شکل ۲-۲-۲۲

الومینیوم مساوی خواهد بود؟ صراحت ارتقای فولاد و الومینیوم به روش برابر  $2 \times 10^6 \text{ Kg/cm}^2$  و  $0.7 \times 10^6 \text{ Kg/cm}^2$  می‌باشد.

مسئله ۲-۲-۲۴ سام میله‌های خرپای شکل ۲-۲-۲۴-۲ بکسان و به قطر  $3 \text{ cm}$  و از یک نوع مصالح می‌باشند. نشانهای در میله‌ها نمی‌باشد. بار P سرای ۳۰t است.



شکل ۲-۲-۳۳

شکل ۲-۲-۳۴

شکل ۲-۲-۳۵

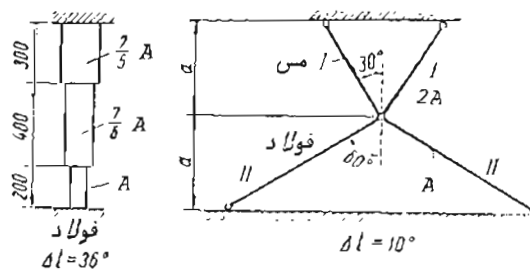
۱۶۷

$\Delta t_i$  = تغییر درجه حرارت عصو  $i$  از ساره

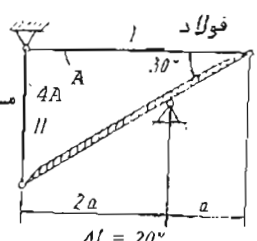
$\alpha = 125 \times 10^{-7} \text{C}^{-1}$ ,  $E = 2 \times 10^6 \text{Kg/cm}^2$  برای مولاد :

$\alpha = 165 \times 10^{-7} \text{C}^{-1}$ ,  $E = 10^6 \text{ Kg/cm}^2$  برای مس :

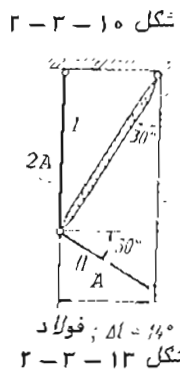
$E = 2 \times 10^5 \text{ MN/m}^2$  : در مسائل ۱۵ - ۱۶ - ۲ - ۳ و ۱۶ - ۲ - ۳ - ۱۵ - ۱۲ - ۲ - ۳ - ۱۵ برای مولاد :



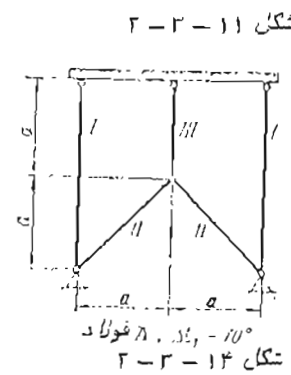
شکل ۲-۳-۹



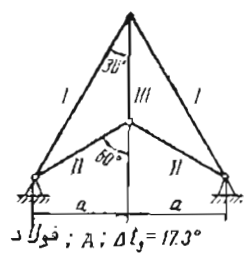
شکل ۲-۳-۱۲



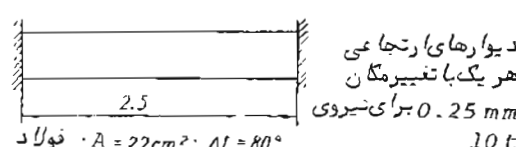
شکل ۲-۳-۱۳



شکل ۲-۳-۱۴



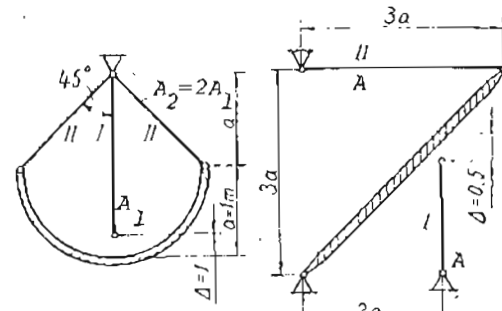
شکل ۲-۳-۱۵



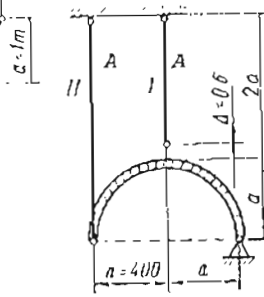
شکل ۲-۳-۱۶

۱۶۸

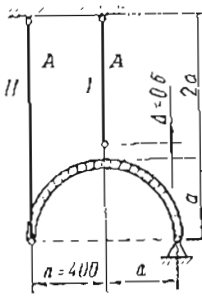
ضریب ارتجاعی میله‌ها را  $E = 2 \times 10^6 \text{Kg/cm}^2$  فرض کنید. در مسائل ۲ - ۳ - ۲ و ۲ - ۳ - ۸ فرض کنید:  $E = 2 \times 10^5 \text{MN/m}^2$



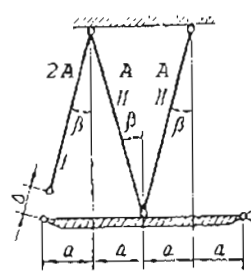
شکل ۲-۳-۳



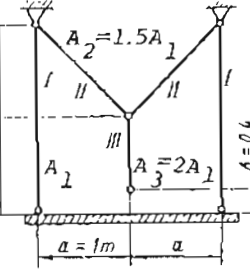
شکل ۲-۳-۴



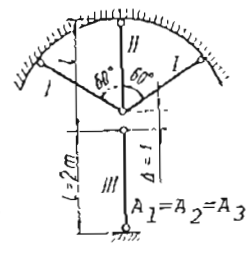
شکل ۲-۳-۵



شکل ۲-۳-۶



شکل ۲-۳-۷

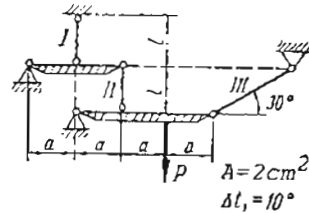
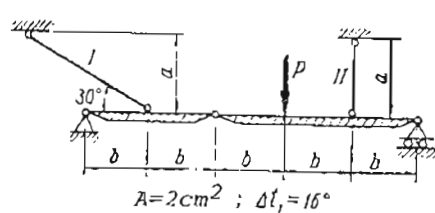
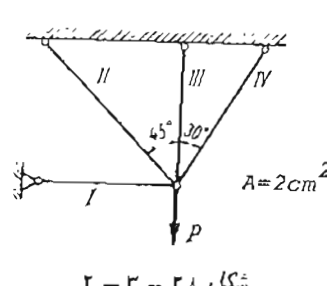
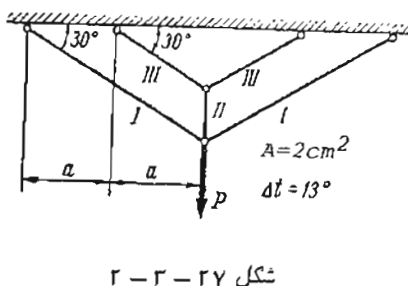
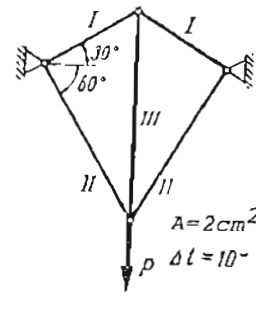
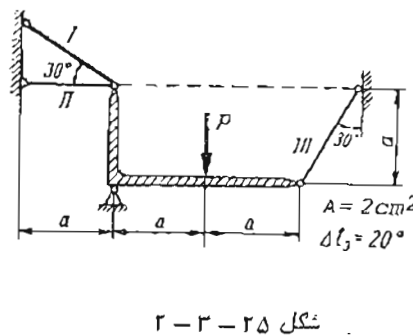
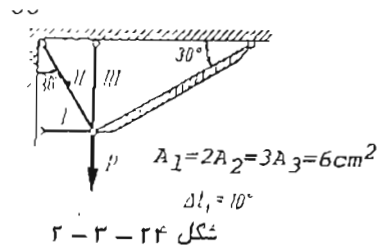
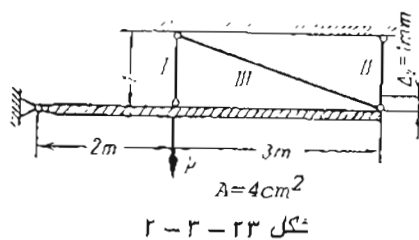


شکل ۲-۳-۸

مسئله ۹ - ۲ - ۳ - ۱۶ نا - ۲ - ۳ - ۱۶ تنش‌های ناشی از تغییر درجه حرارت را در هر یک از سازه‌ها پیدا کنید. در شکل‌های ۹ - ۲ - ۳ - ۱۶ نا - ۲ - ۳ - ۱۶ :

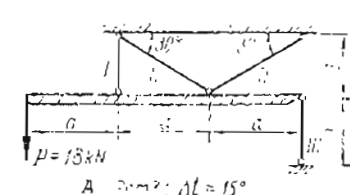
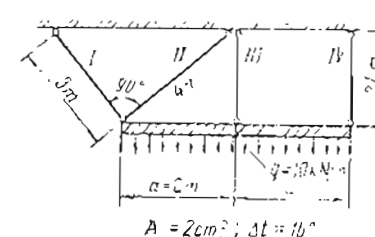
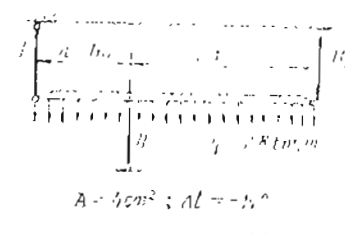
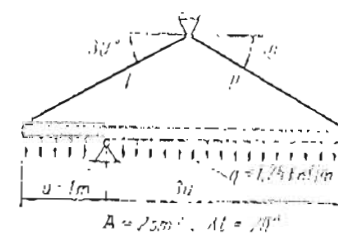
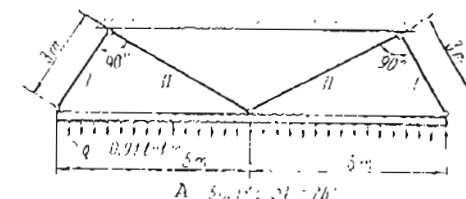
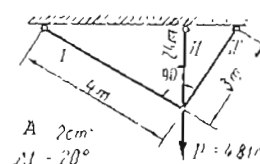
تغییر درجه حرارت تمام سازه بر حسب درجه سانتیگراد =  $\Delta t$

۱۶۹



۱۶۸

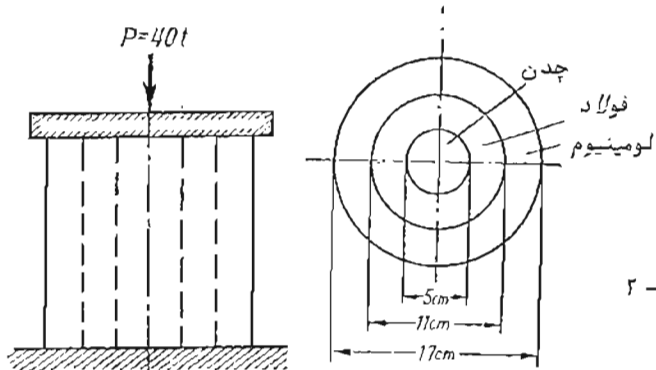
مسئله ۱۷ - ۲-۳-۲۲ تا ۲-۳-۲۴ نتیجهای مانی از عمل نیروها و تغییر در جمجمه را  
را پیدا کنید. برای مبلدها  $E = 2 \times 10^6 \text{ Kg/cm}^2$  و  $\alpha = 12 \times 10^{-6} \text{ C}^{-1}$  می‌باشد. در  
مسئله ۲۱ و ۲-۳-۲۲ و ۲-۳-۲۴ مرخص کند:  $E = 2 \times 10^5 \text{ MN/m}^2$



مسئله ۱۸ - ۲-۳-۲۵ تا ۲-۳-۲۷ همچنین نتیجهای حراری و مانی از اداره نبودن کی از اعما، را برای حالات  
کنید. همچنین نتیجهای حراری و مانی از اداره نبودن کی از اعما، را برای حالات

۱۷۰

مشخص شده در روی شکلها بیدا کنید. سرای میله‌ها فرض کنید:  
 $E = 2 \times 10^6 \text{ Kg/cm}^2$   
 $\alpha = 12 \times 10^{-6} \text{ C}^{-1}$  در مسائل ۲۸-۳۰ و ۲-۳-۳۵ و  
 $\sigma_w = 1600 \text{ Kg/cm}^2$   
 $\sigma_w = 160 \text{ MN/m}^2$  و  $E = 2 \times 10^5 \text{ MN/m}^2$  فرض کنید:



مسئله ۲-۳-۳۱ نعمی کنید فاصله لازم بین ریل‌های آهن را سرای اینکه در تابستان آنها یک‌بیگر راحت‌قشار قرار دهد. ریل‌ها در درجه حرارت  $10^\circ\text{C}$  حاگداشته شده‌اند و حداقل درجه حرارت تابستان  $60^\circ\text{C}$  می‌باشد. طول ریل‌ها ۸ m است. اگر بین ریل‌ها فاصله گذاشته شود جه سش های در آسها ایجاد خواهد شد.  $E = 2 \times 10^6 \text{ Kg/cm}^2$

مسئله ۲-۳-۳۲ یک میله جدی کوہ در داخل یک لوله فولادی به آزادی فرازدارد و هر دو آنها در داخل یک لوله الومینیومی قرار دارد. نشانه‌هایی را که در اثربار  $P = 40 \text{ t}$  بوسیله یک دال مل در لوله‌ها و میله چدنی ایجاد می‌شود حساب کنید. ضرائب ارتحاعی چدن، فولاد و الومینیوم به ترتیب  $0.7 \times 10^6 \text{ Kg/cm}^2$ ,  $2 \times 10^6 \text{ Kg/cm}^2$ ,  $1.2 \times 10^6 \text{ Kg/cm}^2$  و می‌باشد (شکل ۲-۳-۳۲).

۱۷۱

#### ۶-۲ جواب‌های مسائل حل نشده

$$\sigma_{AB} = \frac{1}{2} \sigma_{CD} = 750 \text{ Kg/cm}^2$$

: ۲-۲-۱

: ۲-۲-۲

$$\text{نیرو در } AD = \frac{2P}{\frac{A_1 L_2^2 H}{2A_2 L_1^3} + \frac{2H}{L_2}}$$

$$\text{نیرو در } AC = \frac{2P}{\frac{4HA_2 L_1^2}{A_1 L_2^3} + \frac{H}{L_1}}$$

۲-۲-۳ : تنش در قسمت فوقانی  $500 \text{ Kg/cm}^2$  و در قسمت تحتانی  $-1000 \text{ Kg/cm}^2$  می‌باشد.

۱083

۲-۲-۴ : تنش‌ها از بالا به پایین به ترتیب عبارتند از  $-1417 \text{ Kg/cm}^2$  و  $83$ .

83.6 t : ۲-۲-۵

$a = 39 \text{ cm}$ ;  $d = 22 \text{ mm}$  : ۲-۲-۶

# Bonab Civil Center ... Civilsa ... sasily.persianblog.ir

۱۷۵

$$0.895 \text{ mm} : \tau - \tau - 24$$

$$50 \text{ cm}^2 = \text{مولا} \ddot{\text{د}} ; 500 \text{ cm}^2 = \text{جوب} : \tau - \tau - 25$$

$$A_1 = A_2 = 24.6 \text{ cm}^2 ; A_3 = 12.3 \text{ cm}^2 : \tau - \tau - 26$$

$$112.5 \text{ t} : \tau - \tau - 28 \quad 32.8 \text{ t} : \tau - \tau - 27$$

$$\begin{aligned} \sigma_{\text{drilled}} &= 144 \text{ Kg/cm}^2 \\ \text{drilled stress} &= -90 \text{ Kg/cm}^2 ; \text{drilled stress} = 1026 \text{ Kg/cm}^2 \\ \text{drilled stress} &= \text{drilled stress} + \text{drilled stress} \end{aligned}$$

$$\sigma_1 = 1330 ; \sigma_2 = 525 ; \sigma_3 = -525 : \tau - \tau - 30$$

$$\sigma_4 = -1330 \text{ Kg/cm}^2$$

$$F_1 = 0.4P ; F_2 = 0.25P ; F_3 = 0.1P : \tau - \tau - 31$$

$$F_1 = 1.5t ; F_2 = 4.5t ; F_3 = 8.5t ; F_4 = 5.5t : \tau - \tau - 32$$

$$6.9 \text{ t} : \tau - \tau - 32$$

$$\sigma_1 = 707 ; \sigma_2 = 1060 ; \sigma_3 = 1414 \frac{\text{Kg}}{\text{cm}^2} : \tau - \tau - 34$$

$$7.65 \text{ cm}^2 : \tau - \tau - 35$$

$$\sigma_{st} = 72 \text{ MPa} ; \sigma_{cu} = -21.7 \text{ MPa} : \tau - \tau - 1$$

$$\sigma_1 = -470 ; \sigma_2 = -542 \text{ Kg/cm}^2 : \tau - \tau - 2$$

$$\sigma_1 = 739 ; \sigma_2 = 261 \text{ Kg/cm}^2 : \tau - \tau - 3$$

۱۷۶

$$\sigma_s = \frac{5}{9} \sigma_0 ; \sigma_c = -\frac{\sigma_0}{27} : \tau - \tau - 2$$

$$5 \text{ cm}^2 : \tau - \tau - 9 \quad 3.78 \text{ cm}^2 : \tau - \tau - 8$$

$$8 \text{ cm}^2 : \tau - \tau - 11 \quad 4.3 \text{ cm}^2 : \tau - \tau - 10$$

$$3 \text{ cm}^2 : \tau - \tau - 13 \quad 20 \text{ cm}^2 : \tau - \tau - 12$$

$$A_1 = 7.5 \text{ cm}^2 ; A_2 = 3.75 \text{ cm}^2 : \tau - \tau - 14$$

$$\sigma_1 = 1040 \text{ Kg/cm}^2 ; \sigma_2 = 1560 \text{ Kg/cm}^2 : \tau - \tau - 15$$

$$\sigma_1 = 1164 \text{ Kg/cm}^2 ; \sigma_2 = 875 \text{ Kg/cm}^2 : \tau - \tau - 16$$

$$\sigma_1 = 61 \text{ Kg/cm}^2 ; \sigma_2 = 87 \text{ Kg/cm}^2 : \tau - \tau - 17$$

$$\sigma_1 = 70.7 \text{ MN/m}^2 ; \sigma_2 = 141.4 \text{ MN/m}^2 : \tau - \tau - 18$$

$$120 \text{ MN/m}^2 : \tau - \tau - 19$$

$$\sigma_1 = 10 \text{ MN/m}^2 ; \sigma_2 = 7.1 \text{ MN/m}^2 : \tau - \tau - 20$$

$$\sigma_1 = 25 \text{ Kg/cm}^2 ; \sigma_2 = 1000 \text{ Kg/cm}^2 : \tau - \tau - 21$$

$$\sigma_1 = 390 \text{ Kg/cm}^2 ; \sigma_2 = 312 \text{ Kg/cm}^2 : \tau - \tau - 22$$

$$\sigma_1 = 903 ; \sigma_2 = 903 ; \sigma_3 = 452 \text{ Kg/cm}^2 : \tau - \tau - 23$$

# Bonab Civil Center ... Civilsa ... sasily.persianblog.ir

۱۷۵

$$800 ; 450 \text{ Kg/cm}^2 ; \tau - \tau - 18$$

$$144 ; 192 \text{ Kg/cm}^2$$

$$500 ; 1500 \text{ Kg/cm}^2 ; \tau - \tau - 19$$

$$576 ; 192 \text{ Kg/cm}^2$$

$$400 ; 450 ; 550 \text{ Kg/cm}^2 ; \tau - \tau - 20$$

$$288 ; 432 ; 144 \text{ Kg/cm}^2$$

$$50 ; 37.5 ; 75 ; 62.5 \text{ MN/m}^2 ; \tau - \tau - 21$$

$$48 ; 36 ; 12 ; 6 \text{ MN/m}^2$$

$$130 ; 10 ; 50 \text{ MN/m}^2 ; \tau - \tau - 22$$

$$16 ; 32 ; 16 \text{ MN/m}^2$$

$$P = 19.1t ; 671 ; 322 ; 168 \text{ Kg/cm}^2 ; \tau - \tau - 23$$

$$P = 14.3t ; 147 ; 93 ; 93 \text{ Kg/cm}^2 ; \tau - \tau - 24$$

$$P = 9.06t ; 220 ; 294 ; 280 \text{ Kg/cm}^2 ; \tau - \tau - 25$$

$$P = 7.14t ; 93 ; 93 ; 54 \text{ Kg/cm}^2 ; \tau - \tau - 26$$

$$P = 5.2 t ; 72 \text{ Kg/cm}^2 ; \tau - \tau - 27$$

$$P = 63 \text{ kN} ; \tau - \tau - 28$$

$$P = 2.05t ; 300 ; 225 \text{ Kg/cm}^2 ; \tau - \tau - 29$$

۱۷۶

$$\sigma_1 = 300 ; \sigma_2 = 200 \text{ Kg/cm}^2 ; \tau - \tau - ۴$$

$$\sigma_1 = 1091 ; \sigma_2 = 545 \text{ Kg/cm}^2 ; \tau - \tau - ۵$$

$$\sigma_1 = \frac{\Delta E}{5a} \sin\beta ; \sigma_2 = \frac{2\Delta E}{5a} \sin\beta ; \tau - \tau - ۶$$

$$\sigma_1 = 16.4 ; \sigma_2 = 15.4 ; \sigma_3 = 16.4 \text{ MN/m}^2 ; \tau - \tau - ۷$$

$$\sigma_1 = 20 ; \sigma_2 = 40 ; \sigma_3 = 60 \text{ MN/m}^2 ; \tau - \tau - ۸$$

$$\sigma_1 = 764 ; \sigma_2 = 917 ; \sigma_3 = 1070 \text{ Kg/cm}^2 ; \tau - \tau - ۹$$

$$\sigma_1 = 87 ; \sigma_2 = 302 \text{ Kg/cm}^2 ; \tau - \tau - ۱۰$$

$$\sigma_1 = 172 ; \sigma_2 = 98 ; \sigma_3 = 1000 \text{ Kg/cm}^2 ; \tau - \tau - ۱۱$$

$$\sigma_1 = 596 ; \sigma_2 = 43 \text{ Kg/cm}^2 ; \tau - \tau - ۱۲$$

$$35 \text{ MN/m}^2 ; \tau - \tau - ۱۳$$

$$\sigma_1 = 513 ; \sigma_2 = 726 ; \sigma_3 = 1025 \text{ Kg/cm}^2 ; \tau - \tau - ۱۴$$

$$\sigma_1 = 6 ; \sigma_2 = 10.4 ; \sigma_3 = 10.4 \text{ MN/m}^2 ; \tau - \tau - ۱۵$$

$$106 \text{ MN/m}^2 ; \tau - \tau - ۱۶$$

$$800 ; 600 ; 1400 \text{ Kg/cm}^2 ; \tau - \tau - ۱۷$$

$$120 ; 200 ; 160 \text{ Kg/cm}^2$$

# Bonab Civil Center ... Civilsa ... sasily.persianblog.ir

۱۷۶

$$P = 28.3 \text{ kN} ; 16.3 ; 8.1 ; 5.4 \text{ MN/m}^2 : r - r - r_0$$

$$5 \text{ mm} ; \sigma = -1250 \text{ Kg/cm}^2 : r - r - r_1$$

## فصل سوم

رفتار غیر ارجاعی و تحلیل خمیری سازه‌های کششی و فشاری

### ۱-۳ رفتار غیر خطی

در فصل‌های قبل همواره فرض سر این بود که مصالح سازه از قانون هوك پیروی می‌کند. حال سیاستیم رفتار سازه‌ها در کشش و فشار را وقتی تش از حد تناسب‌تجاور می‌کند بررسی کیم . فرض می‌کنیم منحنی تش-کرنش برای مصالح سازه معلوم باشد . اگر سازه به طور استاتیکی معین یا ایزو استاتیک باشد ، نیروهای محوری را می‌توان بدون مطالعه خواص مصالح از معادلات عادل بدست آورد . سپس با داشتن نیروها می‌توان تش‌ها را در هر نقطه سازه محاسبه سود . بالاخره با استفاده از نمودار تش - کرنش ، کرنش در هر نقطه و از روی آن تغییر طول هر عضو بدست می‌آید . این روش حل برای سازه‌های ایزو استاتیک کاملاً آسان است (مسئله ۱-۳-۱ را در این فصل ببینید ) .

تحلیل در یک سازه هیپر استاتیک بسیار پیچیده تر می‌شود زیرا نیروها رانمی‌توان بدون یافتن تغییر مکان‌ها بیدا کرد و خود تغییر مکان‌ها بستگی به نیروها و رابطه تش-کرنش دارند . برای چنین سازمهایی روش آزمون و حطا یا روش تقریبات متوالی را می‌توان بکار برد . برای نشان دادن یکی از روش‌های تحلیل ، دوباره خر پای سه میله‌ای و مقارن شکل ۱a-۲ را در نظر می‌گیریم ولی در اینجا فرض می‌کنیم مصالح خر پا دارای منحنی تش - کرنش شکل ۱b-۳ باشد .

تحلیل خر پای مذبور را با انتخاب یک تغییر مکان قائم فرضی و آزمایشی ۵ در مفصل D شروع می‌کنیم . سپس با رسم نمودار دیلوی برای مفصل D اضافه طول‌های سه

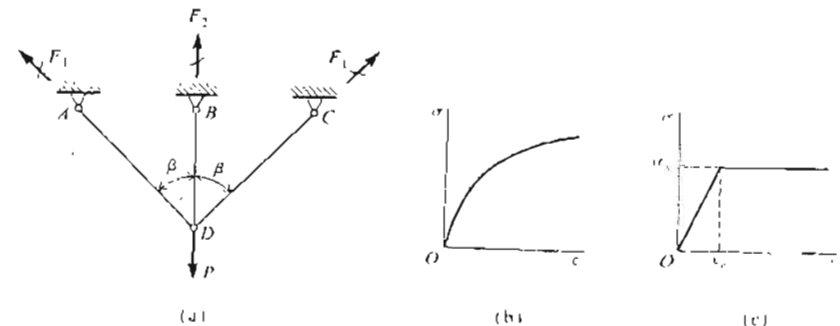
می‌توان تغییر شکل‌های خرپا و نیروها در اعضا، آن را برای هر مقدار معین مار  $P$  به دست آورد. بدین ترتیب می‌توانیم تصویر کاملی از رفتار خرپا همچنانکه سار از صفر تا یک مقدار ماکریم افزایش می‌یابد به دست آوریم.

## ۲-۳ تحلیل خبری

بعضی از مصالح (بحصوص فولاد سازه‌ای) یک ناحیه ارجاعی خطی در محسن تنش-کرشن دارند که عدد از آن ناحیه تسلیم قابل ملاحظه‌ای وجود دارد. محسن تنش-کرشن برای چنین مصالحی را همانطور که در شکل ۲-۱ مشاهده می‌شود می‌توان با تقریب خوب بوسیله دو خط مستقیم به صورت ایده‌آل درآورد. فرض می‌شود که ماده ناقشه تسلیم از فانون هوک پیروی کند و بعد از آن تحت تنش ثابت تغییر شکل نا محدود دهد و به اصلاح تسلیم شود. تنس و کرشن در نقطه تسلیم به ترتیب با  $y_5$  و  $y_4$  شان داده می‌شود. ماده‌ای که بدون افزایش تنش تسلیم می‌شود به نام ماده "کاملاً" خمیری خوانده می‌شود. البته محسن تنش-کرشن فولاد به علت خاصیت سخت شوندگی سرانجام شبیب پیدا می‌کند (همانطور که در بخش ۲-۱ بحث شد) ولی موفعی که سخت شوندگی فولاد شروع می‌شود تغییر شکل‌های خیلی زیادی رخ داده و سازه دیگر قابل استفاده نخواهد بود. از این رو استفاده از محسن ایده‌آل شکل ۲-۱C برای تحلیل سازه‌های فولادی در ناحیه‌هایی که تنش-کرشن محسن تنش-کرشن می‌شود.

ماده‌ای که محسن تنش-کرشن آن مانند شکل مذبور باشد (یعنی ماده‌ای که محسن تنش-کرشن آن دارای یک ناحیه ارجاعی خطی می‌باشد که پس از آن ناحیه کاملاً خمیری وجود دارد) به نام ماده ارجاعی- خمیری موسوم می‌باشد. تحلیل که براساس فرضیات فوق صورت گردید تحلیل خمیری یا تحلیل حدی نامیده می‌شود.

روش تحلیل خمیری را می‌توان با مطالعه مجدد خرپای سه میله‌ای متقارن شکل ۲-۳ شرح داد. با افزایش تدریجی بار  $P$  نیروهای میله‌ها نیز اضافه می‌گردد و تا زمانی که تنش‌ها کمتر از تنش تسلیم  $y_5$  هستند نیروهای داخلی میله‌ها را می‌توان به وسیله یک تحلیل ارجاعی بدست آورد (مثال ۲-۲ را ببینید). با افزایش نیروی  $P$  زمانی می‌رسد که تنش در میله وسطی که دارای نیروی بیشتری نسبت به میله‌های کناری می‌باشد (با فرض اینکه مساحت سطح مقطع همه میله‌ها بساند) به حد تنش تسلیم  $y_5$  می‌رسد. این زمانی اتفاق می‌افتد که نیروی داخلی میله وسط،  $F_2$  برابر



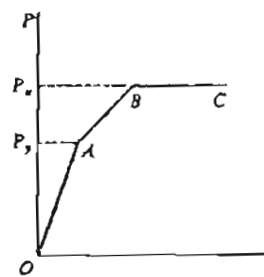
شکل ۲-۳ خرپای هیپراستاتیک با منحنی‌های تنش-کرشن غیرخطی

میله را دست می‌آوریم. اس محاسبه ما را مطمئن می‌سازد که شرط سازگاری تغییر مکان‌ها در مفصل D سرفراز می‌باشد. قدم بعدی بررسی معادل سیروها در مفصل D می‌باشد. کرشن‌های میله‌ها از روی ازدیاد طول آنها بدست می‌آید و سپس تنش‌های از روی محسن تنش-کرشن بدست آورد. سادس تنش‌ها می‌توانند سیروها را در میله‌ها حساب و معادل مفصل D را کنترل کنند. اگر مقدار درست  $\delta$  در اینجا انتخاب شده باشد میله‌های خواهیم کرد که معادل مفصل D سرفراز می‌باشد. در غیر این صورت درخواهیم یافت که نیروها در معادل سیستم و بنابراین باید مقدار آزمایشی حدیدی برای  $\delta$  انتخاب و عمل بالا را تکرار نمود. سناکار این عمل سرانجام مقداری از  $\delta$  را خواهیم یافت که هر دو معادله تعادل و سازگاری تغییر مکان‌ها را در مفصل D قائم کند. در این صورت سیروهای نظیر در میله‌ها معادل‌های صحیح خواهند بود.

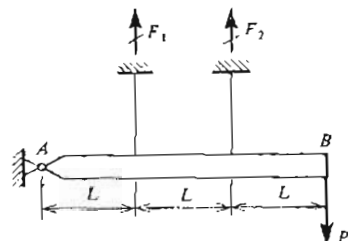
روش دیگری سرای حل مسئله فوق وجود دارد که در آن مانند اینکه میله قائم انتخاب می‌کنیم. سپس با استفاده از معادلات تعادل سیروها برای نیروی  $F_2$  میله میله را در میله‌های مایل حساب نمود. پس از آن تنش‌ها در مفصل D می‌توان سیروها را در میله‌های مایل حساب نمود که آنها تغییر میله‌ها می‌شود و از روی تنش‌ها و محسن تنش-کرشن، کرشن‌ها و اضافه طول‌ها به دست می‌آید. سرانجام از نمودار ویلیو در مفصل D می‌توان بررسی نمود که آیا تغییر طول‌های میله‌ها با یکدیگر سارگار هستند یا نه. اگر تعییر طول‌ها سازگار هستند در این صورت مقدار آزمایشی  $F_2$  مقدار صحیح بوده و تحلیل کامل است، در غیر این صورت باید مقدار آزمایشی جدیدی برای  $F_2$  انتخاب نمود و عملیات بالا را تکرار کرد تاهم معادله تعادل و هم معادله سازگاری تغییر مکان‌ها قانع شوند.

با تحلیل سودن خرپای هیپر استاتیک شکل ۲-۳ به طریق مذکور در فوق

۱۸۱



شکل ۳-۲ منحنی بار-تغییر شکل خرپای شکل ۵



شکل ۳-۳

شکل های زیاد عمل از میله های شکست سازه می باشد . از این جهت محاسبه بار نهایی  $P_u$  برای مهندسین سازه اهمیت زیادی دارد .

### مثال ۳-۱

بار تسلیم  $P_y$  و بار نهایی  $P_u$  را برای سازه شکل ۳-۲ محاسبه کنید . میله افقی AB صلب می باشد و دو سیم قائم از یک نوع مصالح ارجاعی - خمیری ساخته شده اند . با بکار بردن ضریب بار ۱.۸۵ بار مجاز  $P_w$  را نیز حساب کنید . فرض کنید هر دو سیم مساحت سطح مقطع یکسان A داشته باشند .

حل : با نوشتن معادله تعادل لنگری میله AB حول نقطه A رابطه ای بین نیروهای  $F_1$  و  $F_2$  در سیم ها بدست می آید .

$$F_1 + 2F_2 = 3P \quad (3-1)$$

این معادله برای تمام مقادیر P از صفر تا بار نهایی  $P_u$  صادق است . همچنین از شکل ۳-۳ واضح است که افزایش طول سیم سمت راست همواره دو برابر افزایش طول سیم سمت چپ می باشد . بنابراین

$$\delta_2 = 2\delta_1$$

در شرایط ارجاعی اگر به جای افزایش طول ها بر حسب نیروها قرار دهیم نتیجه می شود

$$F_2 = 2F_1$$

بنابراین با افزایش تدریجی بار P ابتدا نیروی  $F_2$  به مقدار تسلیم  $A_y$  می رسد . در این موقع  $F_1$  برابر  $A_y / 2$  می باشد و مقدار نظری بار P که همان بار

۱۸۰

$\sigma_y$  گردد ( A مساحت سطح مقطع هر یک از میله های می باشد ) . با افزایش بیشتر بار P نیروهای میله های مایل نیز افزایش می بایند ، ولی نیروی  $F_2$  ثابت باقی می ماند زیرا میله وسط به حالت خمیری در آمده است . سرانجام میله های مایل سیز به حالت خمیری در خواهد آمد ، در این موقع سازه دیگر می تواند هیچ بار اضافی را تحمل کند و میله های تحت یک مقدار ثابت ( واحداً بار افزایش طول پیدا می کند . این بار مسوم به بار نهایی  $P_u$  می باشد .

بدیده فوق در شکل ۲-۳ به وسیله یک منحنی بار - تغییر شکل برای خر پای شکل ۳-۳ نشان داده شده است . در روی محور قائم بار P و در روی محور افقی تغییر مکان D خرپا برده شده است . از O تا A هر سه میله به حالت ارجاعی هستند و نیروهای میله های از مثال ۲-۲ بخش ۲-۲ عبارتند از

$$F_1 = \frac{P \cos^2 \beta}{1 + 2 \cos^3 \beta} \quad ; \quad F_2 = \frac{P}{1 + 2 \cos^3 \beta}$$

در نقطه A میله وسط تسلیم می شود و مقدار نظری بار  $P_y$  بار تسلیم  $P_y$  خوانده می شود . اگر در معادله بالا به جای  $F_2$  مقدار  $\sigma_y$  را قرار دهیم بار تسلیم به دست می آید .

$$P_y = \sigma_y A (1 + 2 \cos^3 \beta)$$

از A تا B نیروی میله وسط برابر  $\sigma_y$  باقی می ماند و نیروهای میله های مایل از معادله تعادل اتصال D ( معادله ۹-۲ ) بدست می آیند .

$$F_1 = \frac{P - \sigma_y A}{2 \cos \beta}$$

در نقطه B میله های مایل نیز نسیم می شوند ، بنابراین  $F_2 = \sigma_y A$  و از معادله تعادل اتصال D بار نهایی  $P_u$  بدست می آید .

$$P_u = \sigma_y A (1 + 2 \cos \beta)$$

از B تا C سازه تحت بار ثابت  $P_u$  به تغییر شکل ادامه می دهد . همانطوری که می باشد " ذکر شد سرانجام بدیده سخت شوندگی کرنش رخ خواهد داد و در آن موقع سازه قادر خواهد بود بار بیشتری را تحمل کند ، ولی بوحود آمدن تغییر

۱۸۲

حل : فرض کنید  $F$  سروی داخلی میله های  $AB$  و  $BC$  باشد که به علت تقارن با یکدیگر مساوی هستند. از معادله تعادل مفصل  $B$  در امتداد فاصل  $C$  -  $D$  نتیجه می شود :

$$2F \sin\theta - P = 0 \quad ; \quad F = \frac{P}{2 \sin\theta}$$

تنش در هر میله برابر است با

$$\sigma = \frac{F}{A} = \frac{P}{2As \sin\theta}$$

تغییر شکل سبی یا کرش در هر یک از میله ها از رابطه تنش - کرش و رابطه فوق بدست می آید .

$$\epsilon = \frac{\sigma^n}{B} = \frac{1}{B} \left( \frac{P}{2As \sin\theta} \right)^n$$

بنابراین از دیاد طول هر یک از میله ها برابر است با

$$\overline{BB}_1 = \overline{BB}_2 = \epsilon L = \frac{L}{B} \left( \frac{P}{2As \sin\theta} \right)^n$$

با توجه به نمودار ولیو برای مفصل  $B$  ( شکل ۳-۴a ) تغییر مکان  $B$  مغلق  $B$  مساوی است با

$$\delta_B = \frac{\overline{BB}_1}{\sin\theta} = \frac{L}{Bs \sin\theta} \left( \frac{P}{2As \sin\theta} \right)^n$$

### مسئله ۳-۲

میله صلب  $AB$  در شکل ۳-۵a روی تکیه گاه  $C$  به صورت اهرم تکیه دارد و بار  $P$  را در انتهای  $B$  حمل می کند . ۳ سیم مشابه که از ماده ای ارتجاعی - خمیری ساخته شده اند میله مزبور را نگه می دارند . بار تسلیم  $P_y$  و بار نهایی  $P_u$  را با فرض اینکه همه سیم ها سطح مقطع بسان  $A$  داشته باشند پیدا کنید .

۱۸۲

تسلیم  $P_y$  است از معادله ۳-۱ بدست می آید .

$$P_y = \frac{5\sigma_y A}{6}$$

مونتی که بار  $P$  به حد سار نهایی  $P_u$  می رسد هر دو سروی  $F_2$  و  $F_1$  براسر  $\sigma_y A$  می گردند ، در این صورت از معادله ۳-۱ سبکه می شود

$$P_u = \sigma_y A$$

بار مجاز  $P_w$  با تقسیم نمودن سار نهایی سر مریب بار بدست می آید .

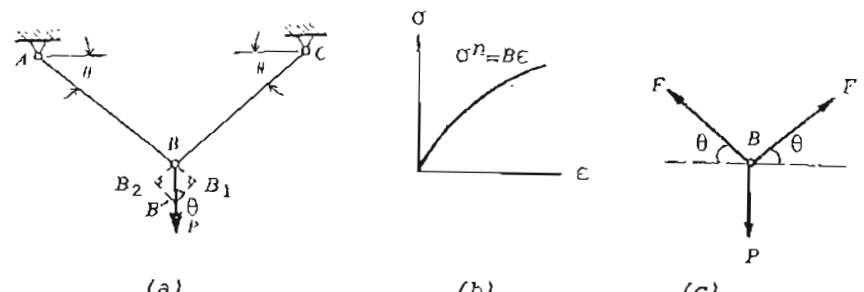
$$P_w = \frac{P_u}{\text{ضریب بار}} = \frac{\sigma_y A}{1.85}$$

از این مثال مشاهده می شود که تعیین کردن بار نهایی  $P_u$  برای یک سازه همپرانتیک ممکن است حیلی آسان تر از یک حل جعلی ارجاعی باشد .

### ۳-۳ مسائل حل شده

#### مسئله ۳-۱

خر بای شکل ۳-۲ از ماده ای سارابطه تنش - کرش  $\sigma^n = Be$  تشکیل شده است (  $n$  و  $B$  مقادیر ثابتی هستند ) . برای تعیین مکان  $B$  مفصل  $B$  معادله ای بر حسب  $A$  ماحت مقطع میله ها ،  $L$  طول میله ها ،  $\theta$  و  $n$  بدست آورید .



مسئله ۳-۲

۱۸۵

چون  $F_1$  از سایر نیروها بیشتر است ابتدا در سیم متصل به نقطه E تنش محدودش تسلیم  $\sigma_y$  می‌رسد. بنابراین بار تسلیم باری است که در این سیم تنش تسلیم ایجاد کند.

$$P_y = A\sigma_y$$

وقتی که بار P به حد بار نهایی  $P_u$  می‌رسد تنش در دو سیم دیگر نیز به حد تنش تسلیم می‌رسد و میله صلب سقوط خواهد کرد. در این حالت  $F_1 = F_2 = F_3 = A\sigma_y$  و با جایگزینی این مقادیر در معادله تعادل (معادله ۱) بار نهایی  $P_u$  بدست می‌آید.

$$A\sigma_y + A\sigma_y + 2A\sigma_y = 3P_u \quad ; \quad P_u = \frac{4}{3} A\sigma_y$$

مسئله ۳-۳

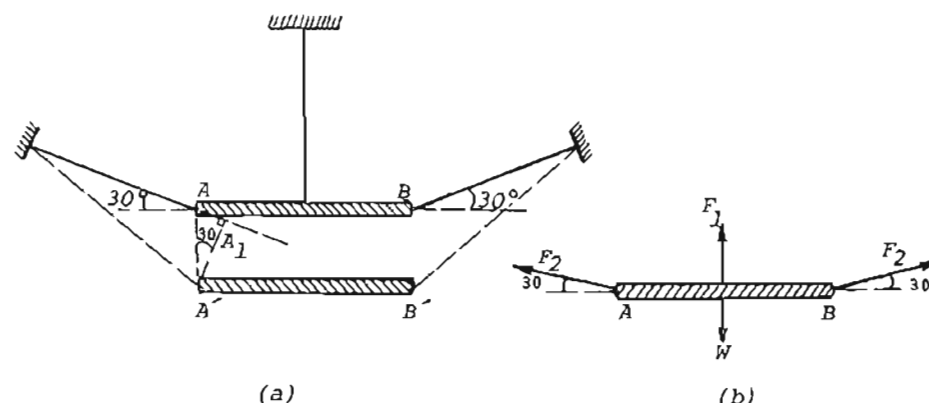
میله صلب AB (شکل ۳-۶a) به وزن W بوسیله سه کابل نگهداشته شده است. جنس کابل‌ها بسان و طول آنها برابر L و مساحت سطح مقطع آنها برابر A می‌باشد. مطلوب است:

الف - نیروهای وارد در هر یک از کابل‌ها با فرض اینکه تنش در هیچ یک از کابل‌ها از تنش تسلیم  $\sigma_y$  تجاوز نکند.

ب - اگر منحنی تنش-کرشن (σ-ε) برای فولاد مصرف شده در کابل‌ها را بصورت ارجاعی-خوبی فرض کنیم بار تسلیم  $\sigma_y$  و بار نهایی  $P_u$  را برای سازه مذکور حساب کنید.

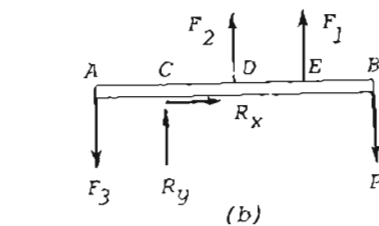
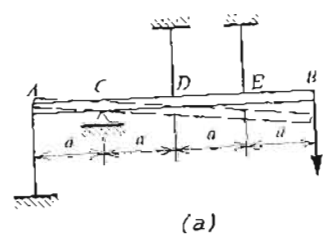
حل:

الف - از معادله تعادل میله صلب AB در امتداد قائم نتیجه می‌شود (به علت



شکل ۳-۶

۱۸۶



شکل ۳-۵

حل: از تعادل لگرها حول نقطه C معادله‌ای بین نیروهای کششی سیم‌ها به دست می‌آید (شکل ۳-۵b).

$$\begin{aligned} \sum M_C &= aF_3 + aF_2 + 2aF_1 - 3aP = 0 \\ F_3 + F_2 + 2F_1 &= 3P \end{aligned} \quad (1)$$

سازه مذبور دو درجه همی‌استاتیک است، بنابراین به دو معادله اضافی نیاز می‌باشد که از شرایط سازگاری تغییر مکان‌ها بدست می‌آید. شرایط سازگاری تغییر مکان‌ها با توجه به شکل تغییر مکان یافته میله صلب AB (شکل ۳-۵a) به صورت زیر نوشته می‌شود:

$$\delta_D = \delta_A = \frac{1}{2}\delta_E \quad (2)$$

در این رابطه  $\delta_D$ ,  $\delta_A$  و  $\delta_E$  سرتیف افزایش طول سیم‌ها در نقاط D, A و E می‌باشند. معادله ۲ بر حسب نیروهای کششی سیم‌ها به صورت زیر نوشته می‌شود:

$$\frac{F_2L}{AE} = \frac{F_3L}{AE} = \frac{1}{2} \frac{F_1L}{AE}$$

در این رابطه AE ملیپ محوری سیم‌ها و L طول آنها می‌باشد. از این رابطه نتیجه می‌شود

$$F_2 = F_3 = \frac{1}{2} F_1 \quad (3)$$

از حل معادلات ۱ و ۳ نیروهای سیم‌ها بدست می‌آید.

$$F_1 = P ; \quad F_2 = F_3 = \frac{1}{2}P$$

۱۸۷

- الف - مطلوب است سیروهای داخلی میله‌های فوق بر حسب  $E$  ،  $L$  ،  $P$  و  $A$  با فرض اینکه تنشن در هیچ یک از میله‌ها از حد نسلیم تجاوز نکد.
- ب - اگر منحنی تنشن - کرشن برای فولاد مصروف شده را به صورت ارجاعی - خمیری فرض کنیم که برای آن ضریب ارجاعی  $E$  و تنشن تسلیم  $\sigma_y$  باشد، بار تسلیم  $P_y$  و بار نهایی  $P_u$  را سرای حرپای مذکور حساب کنید. مساحت سطح مقطع هر یک از میله‌ها  $6.5 \text{ cm}^2$  می‌باشد.
- ب - وقتی که بار  $P$  برابر  $P_y$  می‌شود تنشن در هر یک از میله‌ها چقدر است؟

حل :

- الف - به علت نقارن نیروی داخلی میله‌های  $AD$  و  $AE$  سرایر می‌باشد که آن را  $x$  فرض می‌کنیم. همین طور سیروی داخلی میله‌های  $AB$  و  $AC$  نیز یکان می‌باشد که آن را  $y$  فرض می‌کنیم. از معادله تعادل مفصل  $A$  در امتداد فائتمنتیجه می‌شود (شکل ۲-۷ b)

$$2x \cos 45^\circ + 2y \cos 45^\circ = P$$

$$x + y = \frac{P}{\sqrt{2}} \quad (1)$$

- اگر تغییر مکان مفصل  $A$  را  $\delta$  بنامیم از دیاد یا کاهش طول میله‌ها به صورت زیر حساب می‌شود :

$$AE = AD + \delta \cos 45^\circ = \frac{xL}{2AE}$$

$$AC = AB + \delta \cos 45^\circ = \frac{yL}{AE}$$

از تساوی دو معادله فوق نتیجه می‌شود

$$\frac{xL}{2AE} = \frac{yL}{AE} \quad ; \quad x = 2y \quad (2)$$

از حل معادلات ۱ و ۲ نیروهای داخلی میله‌ها بدست می‌آید.

$$x = \frac{2P}{3\sqrt{2}} \quad ; \quad y = \frac{P}{3\sqrt{2}}$$

۱۸۶

نقارن، سیروهای داخلی کابل‌های کاری یکان می‌باشد)

$$F_1 + 2F_2 \cos 60^\circ = W \quad ; \quad F_1 + F_2 = W \quad (1)$$

اگر اردیاد طول کابل وسطرا  $\delta_1$  و از داد طول کابل‌های کاری را  $\delta_2$  بنامیم ارتصویر تغییر شکل یافته سازه (شکل ۳-۶ a) خواهیم داشت

$$AA_1 = \delta_2 \quad ; \quad AA' = \delta_1$$

$$\delta_2 = \delta_1 \sin 30^\circ = \frac{1}{2} \delta_1$$

معادله فوق را بر حسب سیروهای داخلی کابل‌ها سیان می‌کنیم.

$$\frac{F_2 L}{AE} = \frac{1}{2} \frac{F_1 L}{AE} : \quad F_2 = \frac{1}{2} F_1 \quad (2)$$

از حل معادلات ۱ و ۲ نیروهای کابل‌ها بدست می‌آید.

$$F_1 = \frac{2}{3} W \quad ; \quad F_2 = \frac{1}{3} W$$

ب - نیرو در کابل وسط بیشتر از نیرو در کابل‌های کاری می‌باشد، سنابراین ابتدادر این کابل تنشن به حد تنشن تسلیم می‌رسد و بار تسلیم  $W_y$  از رابطه زیر بدست می‌آید:

$$F_1 = A\sigma_y = \frac{2}{3} W_y : \quad W_y = 1.5 A\sigma_y$$

موقعی که بار  $W$  به حد بار نهایی  $W_u$  می‌رسد تنشن در کابل‌های کاری نیز به حد تنشن تسلیم می‌رسد. در این صورت  $F_1 = F_2 = A\sigma_y$  و با قرار دادن این مقادیر در معادله تعادل، بار نهایی  $W_u$  بدست می‌آید.

$$A\sigma_y + A\sigma_y = W_u : \quad W_u = 2A\sigma_y$$

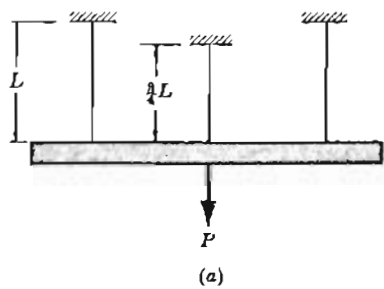
مسئله ۳-۴

خرپای شکل ۳-۷ a که از چهار میله فولادی با سطح مقطع  $A$  و ضریب ارجاعی  $E$  تشکیل شده است بار  $P$  را در مفصل  $A$  تحمل می‌کند. طول میله‌های  $AB$  و  $AC$  برابر  $L$  و طول میله‌های  $AD$  و  $AE$  برابر  $2/L$  می‌باشد و از دهن میله‌ها صرف نظر می‌شود.

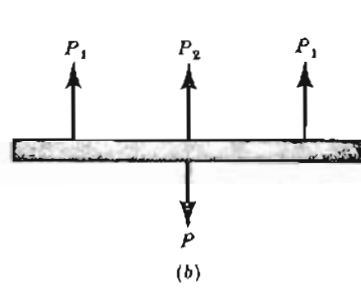
۱۸۹

مسئله ۳-۵

در شکل ۳-۸ a ۲ ک میله افقی بوسیله سه میله قائم با مساحت سطح مقطع و ضریب ارتجاعی  $\alpha_E$  وزان می‌باشد. میله‌های خارجی به طول  $L$  و به فواصل مساوی از میله میانی قرار گرفته‌اند. با استفاده از حل‌شیل خمیری مقدار تسلیم و نهایی بار  $P$  را حساب کنید. تنش تسلیم میله‌ها را  $\sigma_y$  مرض کنید.



(a)



(b)

شکل ۳-۸

حل : معادله تعادل میله صلب با توجه به شکل ۳-۸ b به صورت زیر سوشه :

$$2P_1 + P_2 = P \quad (1)$$

چون میله افقی صلب است و به علت تقارن، اضافه طول هر یک از میله‌های خارجی باید برابر با اضافه طول میله میانی باشد. بنابراین

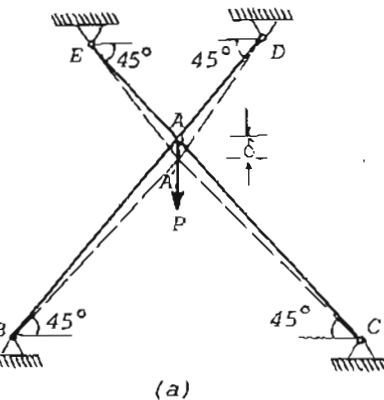
$$\frac{P_1 L}{AE} = \frac{P_2 (\frac{3L}{4})}{AE} \quad : \quad P_1 = \frac{3}{4} P_2 \quad (2)$$

بنابراین ابتدا تنش در میله میانی به حد تسلیم می‌رسد و  $P_2 = A\sigma_y$ . از جایگزینی این مقادیر در معادله ۱ بار تسلیم  $P_y$  بدست می‌آید.

$$P_y = 2 \left( \frac{3}{4} A\sigma_y \right) + A\sigma_y = \frac{5}{2} A\sigma_y$$

اگر بار  $P$  از  $P_y$  سیستر شود اضافه بار بوسیله دو میله خارجی تحمل می‌گردد. در این حالت می‌توان گفت که میله ملب فقط بوسیله دو میله خارجی حعل می‌شود و در وسط آن نیروی ثابت  $A\sigma_y$  وارد می‌شود. موقعی که تنش در میله‌های کناری نیز به حد تسلیم

۱۸۸



شکل ۳-۷

ب - چون  $x$  سرگتر از  $y$  می‌باشد تنش ابتدا در میله‌های  $AD$  و  $AE$  به حد تسلیم می‌رسد و بار تسلیم از رابطه زیر بدست می‌آید :

$$x = A\sigma_y = \frac{2P_y}{3\sqrt{2}} \quad : \quad P_y = \frac{3\sqrt{2}}{2} A\sigma_y$$

وقتی بار  $P$  به حد نهایی  $P_u$  می‌رسد تنش در میله‌های تحتانی سرز به حد تسلیم می‌رسد. بنابراین  $x = y = A\sigma_y$ . با فرار دادن این مقادیر در معادله تعادل ۱ بار  $P_u$  بدست می‌آید.

$$A\sigma_y + A\sigma_y = \frac{P_u}{\sqrt{2}} \quad : \quad P_u = 2\sqrt{2} A\sigma_y$$

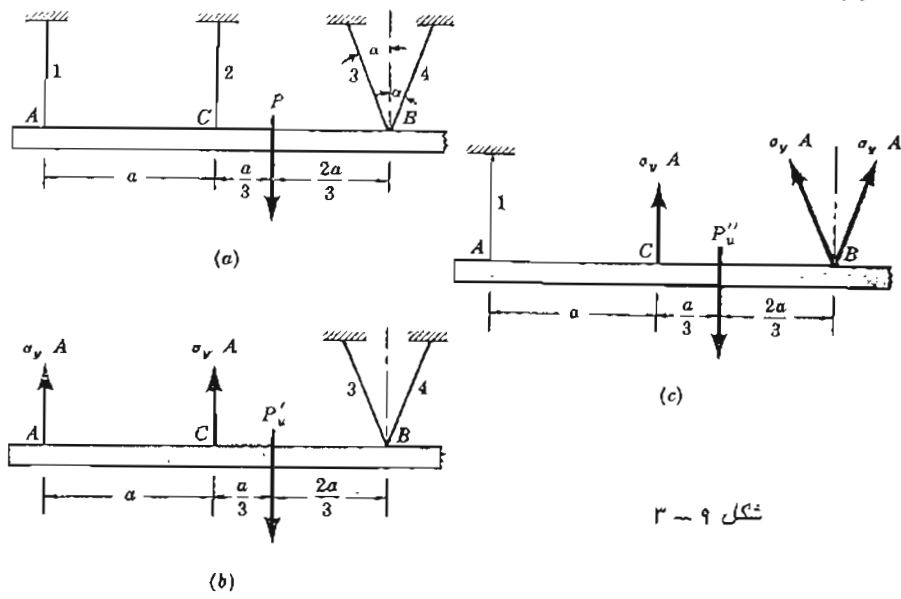
پ - وقتی که بار  $P$  برابر  $P_y$  می‌شود تنش در میله‌های  $AE$  و  $AD$  برابر  $\sigma_y$  می‌گردد. تنش در میله‌های  $AB$  و  $AC$  استفاده از معادله ۲ به دست می‌آید.

$$\frac{y}{A} = \frac{x}{2A} = \frac{A\sigma_y}{2A} = \frac{1}{2}\sigma_y$$

۱۹۱

## مسئله ۳-۲

دستگاه شکل ۳-۹a شامل عضو افقی ملب AB و چهار میله می باشد. میله ها سطح مقطع مشابه دارند و از یک نوع مصالح ساخته شده اند. بار نهایی  $P_u$  را که می توان بر دستگاه وارد نمود حاصل کرد.



حل : بار نهایی باری است که تحت آن دستگاه فرو خواهد ریخت. چون عضو AB ملب می باشد فرو ریختن دستگاه به صورت دوران جسم ملب AB حول نقطه A یا B صورت می گیرد. به علت نزدیکی بار P به میله 2 در موقع فرو ریختن دستگاه تنشن در میله 2 به حد تسلیم می رسد، از این رو لازم نیست دوران AB را حول نقطه C در نظر بگیریم. لازم است بار نهایی نظیر دوامکان مذبور (دوران حول A یا B ) را تعیین کیم، کوچکترین این مقادیر بار نهایی دستگاه خواهد بود.

ابتدا فرض می کنیم تنشن در میله های 1 و 2 به حد تسلیم برسد. در این صورت اثر آنها را می توانیم با دو نیروی ثابت  $\sigma_y A$  مانته شکل ۳-۹b مانند شکل ۳-۹b مانته کرد.

تنشن در میله های 3 و 4 هنوز در حد ارجاعی می باشد و مقدار این تنشن ها معلوم است. اما لازم نیست نیروها را در میله های 3 و 4 تعیین کنیم، چون بار نهایی  $P_u$  را می توان با مساوی صفر قرار دادن مجموع جری لنگرهای حول نقطه B به دست آورد.

۱۹۰

می رسد  $P_1 = A\sigma_y$  و بار نهایی سرا بر می شود سا (از معادله تعادل ۱)

$$P_u = 2A\sigma_y + A\sigma_y = 3A\sigma_y$$

باید توجه نمود که معادله سازگاری تعیین مکان ها، معادله ۲، را می نوان برای تعیین کردن بار نهایی استفاده نمود زیرا معادله مزبور فقط برای رفتار ارجاعی خطی صادق است.

## مسئله ۳-۶

فرض کنید حریقای سه میله ای شکل ۳-۶a باد برای بار  $P = 200 \text{ kN}$  طرح گردد. زاویه  $\beta$  را برابر  $45^\circ$  و نتش تسلیم مصالح را  $250 \text{ MPa}$  اختیار کید.

- برای دو حالت زیر ورن لارم میله ها را با بدیگر مقایسه کید :
- الف - طرح خری بر اساس رسیدن نتش حد اکثر به نتش تسلیم صورت می گیرد.
  - ب - طرح خری بر اساس حلیل حمری و سار نهایی صورت می گیرد.

حل :

الف - بر اساس تحلیل ارجاعی مثال ۲-۲ (بخش ۲-۲) بینترین نیرو در میله قائم و برابر است سا

$$F_2 = \frac{P}{1+2\cos^3 \beta} = \frac{2P}{2+\sqrt{2}} = 117 \text{ kN}$$

موقعی که نتش در میله قائم به حد تسلیم می رسد  $F_2 = A\sigma_y$ . بنابراین سطح مقطع لازم میله ها برابر است با

$$A = \frac{F_2}{\sigma_y} = \frac{117000}{250} = 468 \text{ mm}^2$$

ب - اگر نتیجه تحلیل خمیری بخش ۲-۳ بکار رود مساحت سطح مقطع میله ها از رابطه زیر بدست می آید :

$$A = \frac{P_u}{\sigma_y(1+2\cos \beta)} = \frac{200000}{250[1+2(0.707)]} = 331 \text{ mm}^2$$

بنابراین اگر خری بر اساس روش بار نهایی حل گردد در مساحت سطح مقطع میله ها 29 درصد صرفه جویی می شود. در وزن میله ها نیز همین قدر صرفه جویی می گردد.

۱۹۳

میله‌ها بطور ارجاعی افزایش می‌یابد تا اینکه بار  $P_y$  به حد بار تسلیم  $P_y$  میرسد. تحت بار  $P_y$  تنش در یکی از میله‌ها به حد تنش تسلیم می‌رسد. با افزایش بیشتر بار  $P$  خرپا به صورت یک ساره ابزار استانیک عمل می‌کند تا اینکه تنش در یک مله دوم نیز به حد تنش تسلیم می‌رسد. موقعی که دو تا از میله‌ها تسلیم می‌نوند خرپا از حالت تعادل حارج شده و نمایل به فرو ریختن پیدا می‌کند. برای اینکه پیدا کنیم تنش ابتدا در کدامیک از دو مله به شش تسلیم می‌رسد شرایط تعادل اتصالات A و B را در نظر می‌گیریم. مشاهده می‌کیم که در همه حالات باید روابط زیر بین نیروها بر قرار باشد:

$$S_1 = S_5 = \frac{S_4}{\sqrt{2}} \quad ; \quad S_3 = \frac{S_2}{\sqrt{2}} \quad (1)$$

بنابراین با توجه به اینکه مساحت سطح مقطع همه میله‌ها یکسان می‌باشد واضح است که اعضاً قطری 2 و 4 اولین دو میله‌ای هستند که تنش در آنها به تنش تسلیم می‌رسد (تنش نمی‌تواند ابتدا در دو میله  $S_4$  و  $S_5$  یا  $S_1$  و  $S_3$  به تنش تسلیم برسد زیرا در این صورت معادلات تعادل 1 برقرار نخواهد بود). موقعی که این اتفاق می‌افتد خرپا می‌تواند مانند شکل ۱۰-۳ فرو بریزد.

از معادله تعادل مفصل A در امتداد افق نتیجه می‌شود

$$P = S_1 + \frac{S_2}{\sqrt{2}} \quad (2)$$

به جای  $S_1$  از معادله 1 بر حسب  $S_4$  در معادله 2 قرار می‌دهیم.

$$P = \frac{S_4 + S_2}{\sqrt{2}}$$

اگر در رابطه فوق  $S_4 = S_2 = \sigma_y A$  قرار دهیم بار نهایی  $P_u$  بدست می‌آید.

$$P_u = \frac{2 \sigma_y A}{\sqrt{2}} = \sqrt{2} \sigma_y A$$

چنان‌که از این مسئله مشاهده می‌شود در بسیاری از موارد روش تحلیل خمیری نسبت به روش ارجاعی خطی به محاسبات کمتری احتیاج دارد.

۱۹۴

$$P'_u \left( \frac{2a}{3} \right) - \sigma_y A (a) - \sigma_y A (2a) = 0 : P'_u = 4.5 \sigma_y A$$

حال مرض می‌کنم تنش در میله‌های 2، 3 و 4 مطابق سکل ۹-۲-۴ باشد. حد تسلیم بررسد، در این حالت تنش در میله 1 هنوز در حد ارجاعی می‌باشد. لگر گرفته حول سقطه A خواهیم داشت

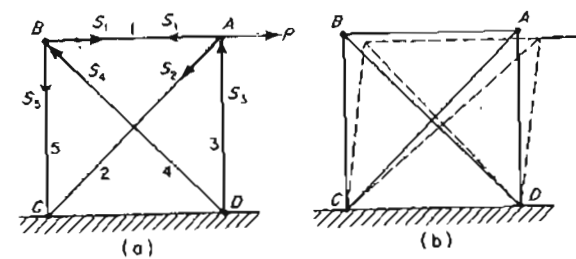
$$(\sigma_y A \cos \alpha) 4a + \sigma_y A a - P'_u \left( \frac{4a}{3} \right) = 0$$

$$P'_u = \frac{3}{4} \sigma_y A (1 + 4 \cos \alpha)$$

ما مفایسه  $P'_u$  و  $P''_u$  نتیجه می‌شود که برای تمام مقادیر  $\alpha$  مقدار  $P''_u$  کوچکترین دوبار مذکور است و بنابراین  $P''_u$  همان بار نهایی می‌باشد. موقعی که بار وارد به این مقدار می‌رسد دستگاه به صورت یک مکانیسم شکست درخواهد آمد و میله صلب حول نقطه A دوران خواهد کرد. حتی موقعی که دستگاه به صورت مکانیسم شکست درمی‌آید میله 1 اما تمام ظرفیت خود کار نمی‌کند.

### مسئله ۳-۸

خرپای شکل ۱۰-۲ دارای ۵ عضو با مساحت سطح مقطع A و جنس یکسان می‌باشد و در مفصل A ت بار افقی P وارد شده است. بار نهایی  $P_u$  را حساب کنید. نش تسلیم مصالح میله‌ها را  $\sigma_y$  فرض کنید.

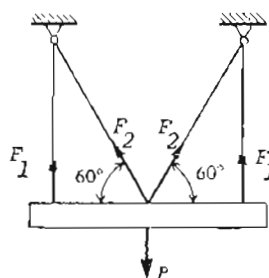


شکل ۱۰-۲

حل: خرپای مذبور یک درجه هیبر استانیک می‌باشد، ولی در اینجا مانیروهای داخلی خرپا را حساب نمی‌کیم. با افزایش تدریجی بار خارجی P نیروهای محوری

۱۹۵

سیم به طور متقاضن آویزان است. هر سیم مساحت سطح مقطع A دارد و از ماده ارتقایی - خمیری ساخته شده است. بار نهایی  $P$  را حساب کنید.



شکل ۳-۱۱

حل : به علت تقارن نیروهای سیم‌های قائم با یکدیگر و نیروهای سیم‌های مایل نیز با یکدیگر مساوی می‌باشند ( شکل ۳-۱۱ ) . بین نیروهای سیم‌ها معادله تعادل زیر برقرار است :

$$2F_1 + 2F_2 \cos 30^\circ = P$$

بنابراین دستگاه وقتوی فرو می‌ریزد که  $F_1$  و  $F_2$  هر دو برابر  $A\sigma_y$  گردند.

$$P_u = 2A\sigma_y + A\sigma_y \sqrt{3} = (2 + \sqrt{3}) A\sigma_y = 3.73 A\sigma_y$$

#### ۳-۴ مسائل حل شده

مسئله ۳-۱ اگاه طول یک میله قائم را که از انتهای فوقانیش آویزان است در اثر وزن خودش تعیین کنید. رابطه بین تن و کرنش مصالح میله به صورت  $\sigma^n = BE^n$  می‌باشد که در آن B و n مقادیر ثابتی هستند ( δ را بر حسب طول L میله، وزن واحد حجم γ مصالح، B و n بیان کنید ) .

مسئله ۳-۲ میله صلب شکل ۳-۲ بوسیله دو میله قائم و تکیه گاه منصلی A نگهداشت شده است. اگرتنش تسلیم فولاد در میله‌ها برابر  $400 \text{ MPa}$  و مساحت سطح مقطع هر یک از میله‌ها  $100 \text{ mm}^2$  باشد بار نهایی  $P$  را حساب کنید.

۱۹۴

مسئله ۳-۹ بار مجاز سازه مسئله ۷-۲ ( شکل ۱۸-۲ ) را بر مبنای تحلیل خمیری حساب کنید. تنش سلیم میله‌ها  $\sigma_y = 2400 \text{ Kg/cm}^2$  می‌باشد. ضریب بار ( ضریب اطمینان در مقابل بار نهایی ) را ۱.۵ فرض کنید.

حل : مطابق مسئله ۷-۲ بین تنش‌های میله‌ها در حد ارتقایی نا مساوی زیر وجود دارد :

$$\sigma_3 > \sigma_1 > \sigma_2$$

بنابراین سازه وقتی فرو می‌ریزد که تنش در میله‌های ۱ و ۳ به حد تنش تسلیم برسد. معادلات تعادل زیر بین نیروهای میله‌ها وجود دارد :

$$2N_1 \sin \beta_1 = 2N_2 \sin \beta_2$$

$$2N_2 \sin \beta_2 + 2N_3 \sin \beta_3 = P$$

$N_2$  را بین دو معادله فوق حذف می‌کنیم .

$$2N_1 \sin \beta_1 + 2N_3 \sin \beta_3 = P$$

اگر در رابطه فوق به حای  $N_1$  و  $N_3$  به ترتیب مقادیر  $\sigma_y A_1$  و  $\sigma_y A_3$  را قرار دهیم بار نهایی بدست می‌آید .

$$P_u = 2(2400) \left( 12 \times \frac{\sqrt{2}}{2} + 16 \times \frac{1}{2} \right) = 79125 \text{ Kg}$$

بنابراین بار مجاز برابر است با

$$P_w = \frac{P_u}{\text{ضریب بار}} = \frac{79125}{1.5} = 52750 \text{ Kg} = 52.75 \text{ t}$$

مسئله ۳-۱۵ بار P بوسیله بلوك صلبی تحمل می‌شود ( شکل ۱۱-۳ ) که بوسیله چهار

۱۹۷

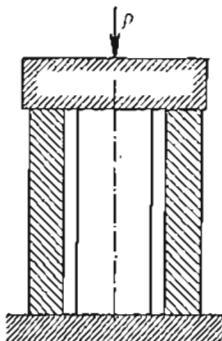
می شود. هر یک از کابل‌ها دارای مساحت سطح مقطع  $0.65 \text{ cm}^2$  و تنش تسلیم  $Q = 1500 \text{ Kg/cm}^2$  می‌باشد. مقاومت فشاری سیم  $\sigma_y = 3000 \text{ Kg/cm}^2$  در مقابل کابلهای  $P_{u1}$  را برای دستگاه مذکور حساب کنید.

**مسئله ۳-۲-۵** برای سازه‌های شکل‌های ۳-۲-۲-۳ و ۳-۲-۱۲ تا ۳-۲-۵ بر مبنای تحلیل خمیری بار مجاز  $P$  را تعیین کنید. تنش تسلیم مصالح مبله‌ها را بر مبنای ضرب باری برابر  $2400 \text{ Kg/cm}^2$  و ضرب بار را برابر  $1.5$  فرض کنید.

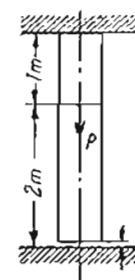
**مسئله ۳-۲-۱۳** مبله فولادی قائمی که در دو انتهای گیر دار می‌باشد تحت نیروی محوری مرکز رو به پایین  $P$  قرار دارد. مساحت سطح مقطع مبله  $A = 200 \text{ cm}^2$  و طول آن  $L = 5 \text{ m}$  است. اگر تنش تسلیم مصالح مبله  $\sigma_y = 2400 \text{ Kg/cm}^2$  می‌باشد. برای ضرب باری برابر ۲ بار مجاز  $P_w$  را براساس تحلیل خمیری بیدا کنید.

**مسئله ۳-۲-۱۴** بوسیله دال ملی به استوانه فولادی توپری با مساحت سطح مقطع  $15 \text{ cm}^2$  و استوانه مسی توخالی با مساحت سطح مقطع  $20 \text{ cm}^2$  سفلی می‌شود (شکل ۳-۲-۱۴). مقدار بار را در استوانه‌های فولادی و مسی در لحظه‌ای که تنش در هر دو استوانه به حد تنش تسلیم می‌رسد بیدا کنید. تنش تسلیم فولاد  $2400 \text{ Kg/cm}^2$  و تنش تسلیم مس  $1800 \text{ Kg/cm}^2$  می‌باشد.

**مسئله ۳-۲-۱۵** میله‌ای سا مساحت سطح مقطع  $A = 100 \text{ cm}^2$  در انتهای فوقانی

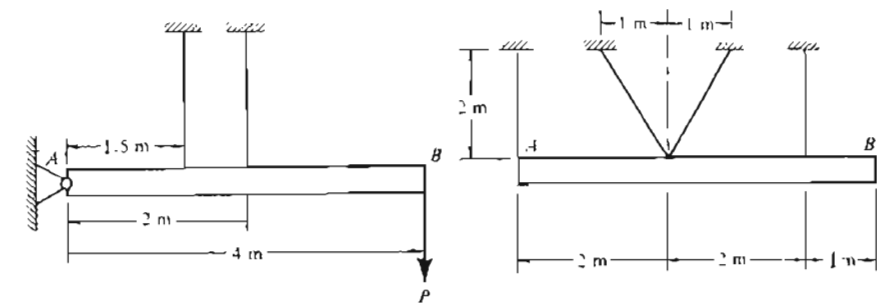


شکل ۳-۲-۱۶



شکل ۳-۲-۱۵

۱۹۶



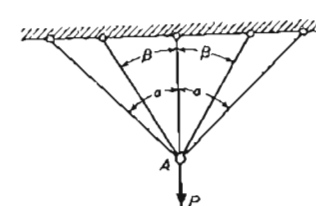
شکل ۳-۲-۱

شکل ۳-۲-۲

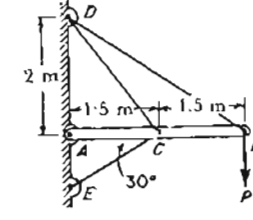
**مسئله ۳-۲-۶** میله صلب AB در شکل ۳-۲-۲-۶ سویله چهار میله س مقطع دایره و قطر  $50 \text{ mm}$  نگهداشته می‌شود. تنش تسلیم میله‌ها  $300 \text{ MPa}$  می‌باشد. با استفاده از تحلیل خمیری حد اکثر وزن میله AB را تعیین کنید. فرض کنید وزن میله بطور یکواخت در طول آن توزیع شده باشد.

**مسئله ۳-۲-۷** بار قائم  $P$  بوسیله ۵ سیم فولادی که به طور متقاضی مطابق شکل ۳-۲-۷ نگدیگر متصل شده‌اند حمل می‌گردد. هر یک از میله‌ها دارای مساحت سطح مقطع  $A = 0.65 \text{ cm}^2$  می‌باشد. اگر تنش تسلیم  $\sigma_y = 3000 \text{ Kg/cm}^2$  و زوایای  $\alpha$  و  $\beta$  به ترتیب برابر  $45^\circ$  و  $30^\circ$  باشند بار نهایی  $P_u$  را تعیین کنید.

**مسئله ۳-۲-۸** میله افقی صلب AB در نقطه A به دیوار قائمی مفصل شده و بوسیله دو کابل فولادی BD و CD و ستون EC مطابق شکل ۳-۲-۳ نگهداشته

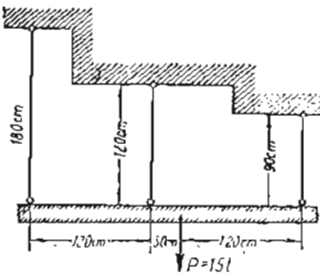


شکل ۳-۲-۳

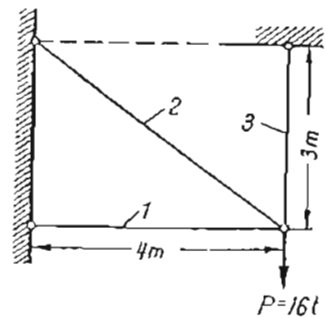


شکل ۳-۲-۴

۱۹۹



شکل ۳-۲-۱۸



شکل ۳-۲-۱۹

مسئله ۳-۲-۱۹ در سازه نکل ۱۹-۳-۲ میله ۱ از الومیسیوم با تنش تسلیم  $1200 \text{ Kg/cm}^2$  و میله ۲ از من با تنش تسلیم  $1600 \text{ Kg/cm}^2$  و میله ۳ از فولاد با تنش تسلیم  $2400 \text{ Kg/cm}^2$  ساخته شده‌اند. مساحت های سطح مقطع میله‌های ۱ و ۲ ساچه‌روی سطح مقطع میله ۳ نصف مساحت سطح مقطع میله ۱ می‌باشد. با استفاده از روش بار نهایی و با انتخاب ضریب باری برابر ۲ مساحت سطح مقطع لازم برای هر یک از میله‌ها را حساب کنید.

مسئله ۳-۲-۲۰ مساحت سطح مقطع بتن در یک‌ستون بتن مسلح کوتاه برابر  $645 \text{ cm}^2$  می‌باشد. در ستون چهار میله گرد طولی به طور متقاضی بکار رفته است. مساحت سطح مقطع هر یک از میله‌گردها  $10 \text{ cm}^2$  است. تنش تسلیم بتن  $120 \text{ Kg/cm}^2$  و تنش تسلیم فولاد میله گردها  $2100 \text{ Kg/cm}^2$  می‌باشد. با فرض اینکه ضریب بار برابر ۱.۵ باشد بار مجاز ستون مزبور را بر اساس روش بار نهایی حساب کنید.

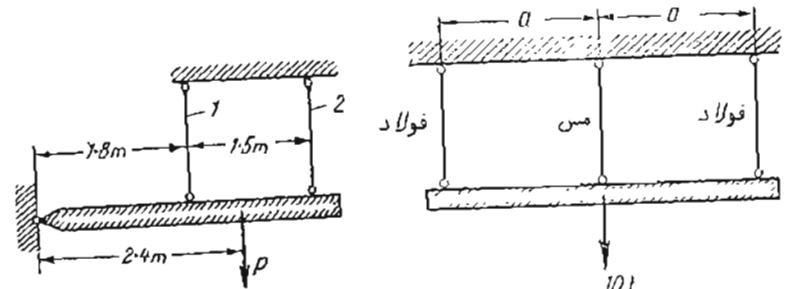
مسئله ۳-۲-۲۱ ستونی با مقطع مریع و از بتن مسلح باید برای بار محوری  $100 \text{ t}$  طرح گردد. در ستون چهار میله فولادی بکار می‌رود که مجموع مساحت‌های سطح مقطع آنها  $1\%$  مساحت سطح مقطع ستون می‌باشد. تنش تسلیم بتن  $120 \text{ Kg/cm}^2$  و تنش تسلیم فولاد  $2400 \text{ Kg/cm}^2$  است. با فرض اینکه ضریب بار برابر ۲ باشد داده افلاع مقطع ستون و قطر میله‌ها را حساب کنید.

مسئله ۳-۲-۲۲ دال مستطیلی صلبی بوسیله چهار میله با سطح مقطع، طول و جنس یکان در چهار گوشه آن آویزان می‌باشد (شکل ۳-۲-۲۲). مساحت سطح مقطع هر

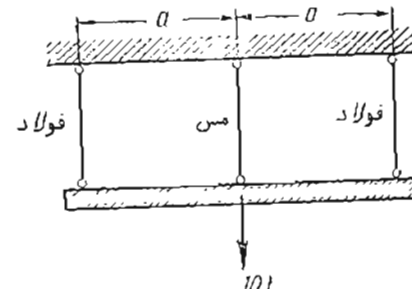
۱۹۸

گیر دار و مطابق شکل ۱۵-۲-۲ بار گداری شده است. قبل از بار گداری بین استهای تحتانی میله و صفحه صلب تحتانی فاصله  $\Delta = 0.02 \text{ mm}$  وارد دارد. اگر تنش تسلیم  $1500 \text{ Kg/cm}^2$  و ضریب بار ۱.۵ باشد مقدار مجاز بار  $P$  را بر اساس حلول حمیری پیدا کنید.

مسئله ۳-۲-۲۳ مله صلب شکل ۱۶-۲-۲ بوسیله دو میله آویزان می‌باشد. مساحت سطح مقطع میله ۱ سار  $10 \text{ cm}^2$  و مساحت سطح مقطع میله ۲ برابر  $15 \text{ cm}^2$  می‌باشد. تنش‌های تسلیم مصالح میله ۱ و ۲ به ترتیب  $2600 \text{ Kg/cm}^2$  و  $1500 \text{ Kg/cm}^2$  می‌باشد. اگر ضریب بار ۲ باشد مقدار مجاز بار  $P$  را بر اساس حلول حمیری بدست آورد.



شکل ۳-۲-۱۶



شکل ۳-۲-۱۷

مسئله ۳-۲-۲۴ مله صلب شکل ۱۷-۲-۳ بوسیله سه میله آویزان می‌باشد. میله‌های خارجی از فولاد نا سطح مقطع یکان و میله میانی از مس با سطح مقطع  $1.5 \text{ cm}^2$  برابر سطح مقطع میله‌های فولادی می‌باشد. با فرض اینکه تنش‌های تسلیم فولاد و مس به ترتیب  $2400 \text{ Kg/cm}^2$  و  $1800 \text{ Kg/cm}^2$  و ضریب بار برابر ۱.۵ باشد مساحت سطح مقطع لازم هر یک از میله‌ها را بر اساس روش بار نهایی تعیین کنید.

مسئله ۳-۲-۲۵ در شکل ۱۸-۲-۳ سه میله‌ای که میله افقی صلب را نگهدارند از فولاد با تنش تسلیم  $2400 \text{ Kg/cm}^2$  ساخته شده‌اند و همگی مساحت سطح مقطع یکان دارند. اگر ضریب بار برابر ۱.۵ باشد مساحت سطح مقطع لازم میله‌ها را بر اساس روش بار نهایی حساب کنید.

۳-۵ جواب‌های مسائل حل نشده

$$\delta = \frac{\gamma^n L^{n+1}}{B(n+1)}$$

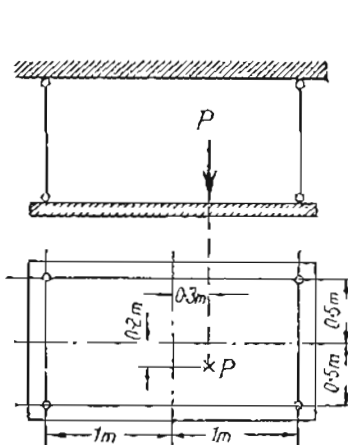
: ۳-۱-۱

$P_u = 8100 \text{ Kg}$	31.5 kN	: ۳-۲-۱
27.5 t	1.79 MN	: ۳-۲-۲
11.53 t	$P_u = 2242 \text{ Kg}$	: ۳-۲-۴
6.4 t	14.3 t	: ۳-۲-۶
2.8 t	8.74 t	: ۳-۲-۸
480 t	82 kN	: ۳-۲-۱۰
200 t	32 kN	: ۳-۲-۱۲
	$P_s = P_c = 36 \text{ t}$	: ۳-۲-۱۴
= سطح مقطع میله‌های فولادی		
$A_1 = A_2 = 2A_3 = 16.66 \text{ cm}^2$	25.2 t	: ۳-۲-۱۶
$a = 37 \text{ cm} ; d = 21 \text{ mm}$	3.61 cm <sup>2</sup>	: ۳-۲-۱۸
220 t	107.6 t	: ۳-۲-۲۰
	18.3 t	: ۳-۲-۲۲

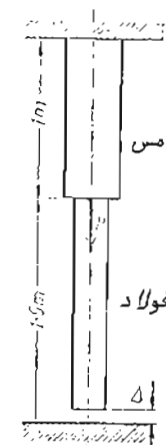
۲۰۰

ب) از میله‌ها برابر  $4 \text{ cm}^2$  و تنش تسلیم مصالح آسها برابر  $2400 \text{ Kg/cm}^2$  می‌باشد. ناموس ایکه ضرب بار برابر 2 ساند مقدار محاز بار  $P$  را بر اساس روش بار نهایی حساب کنید.

مسئله ۳-۲-۲۳ میله شکل ۳-۲-۲۲ در انتهای فوکانی گیر دار و تحت بار  $P$  مطابق شکل می‌باشد. قبل از بار گذاری بین انتهای سختانی و تکیه گاه صلب فاصله  $\Delta = 0.05 \text{ mm}$  وجود دارد. مساحت سطح مقطع قسمت تحتانی میله که از مس می‌باشد  $150 \text{ cm}^2$  و مساحت سطح مقطع قسمت تחתی میله که از فولاد می‌باشد برابر  $50 \text{ cm}^2$  است. تنش‌های تسلیم مس و فولاد به ترتیب برابر  $1500 \text{ Kg/cm}^2$  و  $2100 \text{ Kg/cm}^2$  می‌باشد. ضرب بار برابر 1.5 فرض می‌شود. مقدار محاز بار  $P$  را بر اساس روش بار نهایی حساب کنید.



شکل ۳-۲-۲۲



شکل ۳-۲-۲۳

که نیروهای برشی  $V$  باید در سطوح سریده شده اثر کند، در این مثال از معادله عادل میله در امتداد افق سینه می شود که  $V = P/2$ . این سروهای برشی در روی سطح مقطع های  $m-n$  و  $p-q$  تنش هایی سولید می کنند که به تنش های برشی موسوم می باشد. تنش های برشی غالباً "ا" حرف آن را نان داده می شود. سوریع دقیق تنش های برشی را نمی نواند و آسانی تعیین نمود، ولی با عقیم سودن نرسوی برشی کل  $V$  سر ماحت سطح مقطع  $A$  که بر آن اثر می کند می نواند مقدار متوسطی برای آن بدست آورد.

$$\tau_{av} = \frac{V}{A} \quad (4-1)$$

مساحت  $A$  در مثال شکل ۱-۴ ماحت سطح مقطع پیچ می باشد. طرح پیچ ها و پرچ ها و قطعات دیگر که تحت برش مستقیم فشار دارند معمولاً "بر اساس معادله فوق و تنش مجاز متوسط  $\bar{W}$  صورت می گیرد. اگر تنش محارکشی مصالح مضرفی  $W$  باشد تنش مجاز برشی همان مصالح معمولاً در حدود  $0.6\sigma_W$  تا  $0.5\sigma_W$  می باشد. همانطوری که در فصل های بعد خواهیم دید، تنش های برشی در میله هایی که تحت بار گذاری کشی یا خمشی هستند تیر به طور غیر مستقیم ایجاد می شود، در فصل های قبل ما با تنش هایی سروکار داشتیم که بطور عمودی بر سطوحی که بر آها وارد می شدند عمل می کردند و از این رو این تنش های غالباً "تش های عمودی نامیده می شوند، از طرف دیگر تنش های برشی همیشه بطور مماسی بر سطح عمل می کنند، از این رو به آنها تنش های مماسی نیز می گویند. در هر دو حالت تنش های معرف شدند نیرو، یعنی نیرو در واحد سطح، هستند و فرق اساسی بین آنها در جهت تنش می باشد، برای آینکه تعییر شکل های ایجاد شده بوسیله تنش برشی را نجم کنیم، عنصر مکعبی کوچکی از ماده را در نظر می گیریم (شکل ۱-۲a) وفرض می کنیم که تحت تنش برشی آن که روی سطح فوقانی آن توزیع شده قرار گرفته باشد. اگر تنش های کوچکی روی مکعب اثر نکند، باید تنش برشی مساوی آن ولی در جهت مخالف در سطح تشدیل نموده شود (شکل ۱-۲b). تحتانی آن اثر کند تا در امتداد افق تعادل برقرار شود. بعلاوه تنش های برشی در بالا و پایین تولید لنگری می کنند که باید بالنگر تنش های برشی که در جدارهای قائم اثر می کند موازنگردد. اگر عنصر مزبور قرار است تعادل استاتیکی داشته باشد، تنش های در سطوح قائم نیز باید برابر باشند. بنابراین به طور کلی می توان نتیجه گرفت که الف - تنش های برشی که روی عنصری از ماده عمل می کنند همواره به صورت دو جفت مساوی و با جهت مخالف اثر می کنند.

### حجت الله عادلی

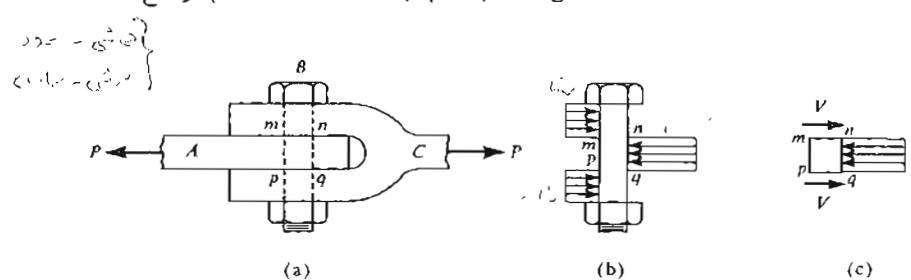
### مقاومت مصالح

## فصل چهارم

تش های برشی مستقیم و اتصالات با پرج و جوش

### ۱-۴ تنش برشی و کرنش برشی

به عنوان یک مثال عملی در جایی که تنش های برشی وجود دارد اتمال شکل ۱-۴ را در نظر می گیریم. اتصال مزبور شامل میله  $A$ ، رکابک  $C$  و پیچ  $B$  می باشد. پیچ  $B$  از درون سوراخ هایی در میله و رکابک عبور می کند. میله و رکابک در اثر نیروهای کشی  $P$  جدار پیچ را تحت فشار قرار می دهند و در آن تنش هایی موسوم به تنش های تکبه گاهی ایجاد می کنند (شکل ۱-۱b). شکل ۱-۱b ۱-۴ نشان می دهد که پیچ در مقاطع  $m-n$  و  $p-q$  تغایل به بریده شدن یا برش دارد. اگر ما نمودار جسم آزاد قسمت  $mnpq$  پیچ را رسم کنیم (شکل ۱-۱c) واضح است



شکل ۱-۴

۲۰۵

تنش تسلیم در کش  $\sigma_y$  می باشد.

اگر ماده یک ناچار ارجاعی خطی داشته باشد، منحنی نش - کرشن برنی یک خط مستقیم خواهد بود و تنش سرشی و کرشن برشی با یکدیگر مستقیماً متناسب می باشد. بنابراین معادله زیر برای قانون هوک در برش بدست می آید:

$$\tau = G \gamma \quad (4-2)$$

در این رابطه  $G$  ضریب ارجاعی برشی مصالح می باشد. معادله تعلیم  $G$  برای جذب نوع مصالح در جدول ۱-۱ داده شده است. ساده ترین راه برای ایجاد برش خالص به نتیجه، وسیله پیچش یک لوله استوانه ای تو خالی می باشد که "عدا" در فصل پیچش مورد بحث قرار خواهد گرفت و معمولاً  $G$  از چنین آزمایش پیچشی سدت می آید. همچنین باید توجه نمود که صرایع ارجاعی در کش (E) و برش (G) مستقل از یکدیگر نیستند و رابطه ای سی آنها وجود دارد که در فصل بعد نشان داده خواهد شد.

## ۴-۲ مسائل حل شده

### مسئله ۱

در اتصال پیچی شکل ۱-a نیروی  $P$  برابر  $30 \text{ kN}$  و قطر پیچ برابر  $10 \text{ mm}$  است. مقدار متوسط تنش برشی را در روی سطوح  $mn$  و  $pq$  حساب کنید.

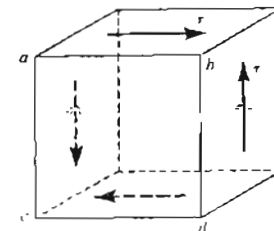
$$\tau = \frac{V}{A} = \frac{P}{2A} = \frac{30000}{2\pi(S)^2} = 191 \text{ MPa} \quad \text{حل:}$$

### مسئله ۲

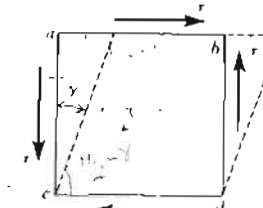
در شکل ۳-۴ نیروی  $P$  تغایل به بریدن بلوك متوقف گشته در امتداد صفحه  $a-a$  دارد. اگر  $P=30 \text{ kN}$  باشد تنش برشی متوسط را در صفحه  $a-a$  پیدا کنند.

حل: فقط مولفه افقی  $P$  در ایجاد برش مجبور موند است. مقدار مولفه

۲۰۶



(a)



(b)

شکل ۲-۴ تنش برشی و کرشن برشی

- تنش های برشی همواره در سطوح عمود بر یکدیگر وجود دارد. نظر تنش های برشی در دو سطح عمود بر هم همواره مقدار مساوی دارند و حجم شان طوری است که هر دو تنش با به طبقه ای دو سطح سردیک و یا از آن دور می شوند. حالت تنش عنصری از ماده مانند شکل ۲-a که تنها تحت اثر تنش های برشی می باشد موسوم به برش خالص است. برش خالص با تفصیل بیشتر در فصل پنجم بحث خواهد شد.

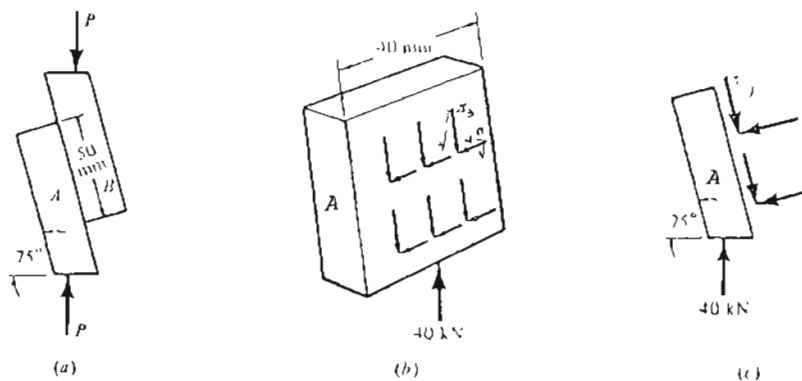
ا) در اینجا (آسمان) تغییر شکل عنصری از ماده در برش خالص در شکل ۲-b ۴ نشان داده شده است. این شکل وجه abcd حلوی عنصر مکعبی را نشان می دهد. چون روی عنصر مزبور تنش های طول امتدای عرض معمودی اثر نمی کند طول اصلاح  $ab$ ،  $ac$ ،  $cd$  و  $bd$  تغییر نخواهد کرد. در عوض تنش های برشی باعث خواهد شد که مربع abcd به شکل یک لوزی که با خطوط منقطع در شکل ۲-b ۴ نشان داده شده است در آید. زاویه گوش  $C$  که قبلاً  $\pi/2$  بود حالا به  $2\pi/2$  کاهش یافته است ( ۲ زاویه کوچکی است که در شکل ۲-b ۴ مشخص شده است). در همان حال زاویه گوش  $a$  به  $\pi/2 + 2\pi/2$  افزایش یافته است.

زاویه ۲ مقیاسی برای اندازه گیری تغییر شکل ناشی از تنش برشی می باشد و به کرشن برشی موسوم است. در شکل ۲-b ۴ مشاهده می شود که کرشن برشی ۲ برابر با مقدار لغزش افقی لبه فوقانی عنصر مزبور نسبت به لبه تحتانی آن تقسیم بر ارتفاع عنصر می باشد.

با آزمایش ماده در برش خالص و اندازه گیری کرشن برشی بر حسب تابعی از تنش برشی می توان منحنی تنش - کرشن برشی را به طور تجربی بدست آورد. چنین منحنی ای شبیه منحنی نظری برای حالت کشش ماده مزبور خواهد بود و از روی آن می توان حد تنش، نقطه تسلیم و تنش نهایی در برش را تعریف نمود. تجربه نشان می دهد که برای فلرات شکل پذیر از جمله فولاد سازه ای تنش تسلیم در برش  $\tau_y$  برابر ۰.۵ تا ۰.۶ است.

۲۰۷

می‌گیرد از بلوک‌های مایل مانند شکل ۴-۵a که با جب به یکدیگر متصل شده‌اند در جهت عمود بر صفحه شکل A و B می‌باشد. اگر نیروی قائم ۴۰ kN برای ایجاد گشیختگی در محل اتصال لازم ساد مقاومت نهایی برشی جب را حساب کنید.



شکل ۴-۵

حل : تعادل بلوک تحتانی A را در نظر می‌گیریم . اثر بلوک B در روی بلوک A شامل سترهای عمودی و برشی می‌باشد که در شکل‌های ۴-۵b و ۴-۵c نشان داده شده است . معادله تعادل بلوک A در امتداد افق ( شکل ۴-۵c ) به

صورت زیر نوشته می‌شود :

$$\tau(50)(40)\cos 75^\circ = \sigma(50)(40)\cos 15^\circ : \quad \sigma = 0.269\tau$$

(۱) رکارهای انتشار نشست

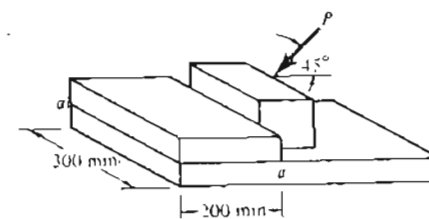
معادله تعادل بلوک A در امتداد قائم عبارت است از

$$40000 - \tau(50)(40)\sin 75^\circ - \sigma(50)(40)\sin 15^\circ = 0$$

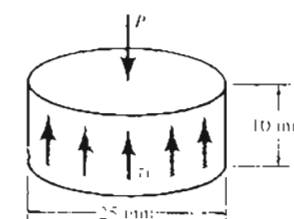
(۲) رکارهای انتشار نشست

از جایگزینی  $\tau = 19.3 \text{ MPa}$  در معادله فوق  $\tau$  بدست می‌آید :

۲۰۶



شکل ۴-۳



شکل ۴-۴

عزبور  $30 \cos 45^\circ = 21.3 \text{ kN}$  می‌باشد . بنابراین نشش برشی متوسط سرا بر است  $\sigma$

$$\tau = \frac{P \cos 45^\circ}{A} = \frac{21.3 \times 10^3}{300 \times 200} = 0.35 \text{ MPa}$$

(۱) رکارهای انتشار نشست

مسئله ۴-۲

فولاد سارهای ساکرین کم دارای مقاومت نهایی برشی تقریباً  $300 \text{ MPa}$  می‌باشد . سیروی لازم برای ایجاد سوراخی به قطر  $25 \text{ mm}$  در صفحه‌ای فولادی به ضخامت  $10 \text{ mm}$  را حساب کنید .

حل : فرض می‌کیم نشش برشی در روی سطح استوانه‌ای به قطر  $25 \text{ mm}$  و ضخامت  $10 \text{ mm}$  مطابق شکل ۴-۴ به طور بکواخت توزیع شده باشد . از معادله تعادل در امتداد قائم نیروی لازم برای ایجاد سوراخ مزبور به دست می‌آید .

$$P = \tau A = \pi(25)(10)(300 \times 10^{-6}) = 235000 \text{ N}$$

(لتران ، تجذیبه ) یا هشت استرن

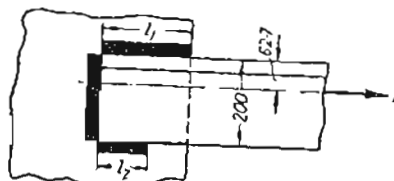
مسئله ۴-۴

در صنایع جوب بعضی مواقع برای تعیین مقاومت برشی اتصالاتی که با چسب صورت

مسئله ۴-۵

۲۰۹

۱۲ را مجازه کنید.



شکل ۷ - ۴

حل : با توجه به اینکه گلوی جوش تقریباً برابر  $t \sin 45^\circ = 0.7t$  می‌باشد  
طول کل جوش لازم براساس مقاومت برشی برابر است با (ضخامت نبیشی =  $t$ )

$$l = \frac{P}{0.7t \tau_w} = \frac{40000}{0.7 \times 1.6 \times 800} = 44.7 \text{ cm}$$

طول جوش انتهای نبیشی برابر 20 cm است. بنابراین طول باقی مانده که مجموع طولهای  $l_1$  و  $l_2$  می‌باشد برابر 24.7 cm است.

طولهای  $l_1$  و  $l_2$  باید چنان انتخاب شود که برآیند تنش‌های برشی در روی تمام طول جوش در صفحه محور نبیشی قرار بگیرد. محور نبیشی در فاصله 6.27 cm از لبه فوقانی آن قرار دارد (شکل ۷ - ۴). بنابراین معادله زیر نتیجه می‌شود :

$$6.27l_1 + \frac{6.27^2}{2} = \frac{13.73^2}{2} + 13.73l_2$$

همچنین

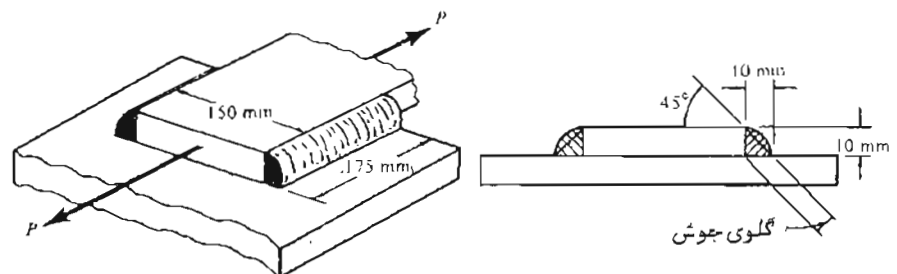
$$l_1 + l_2 = 24.7$$

از حل دو معادله فوق نتیجه می‌شود :

مسئله ۷ - ۴

۲۰۸

یک نوع منداول حوش سرای اتصال دو صفحه به کدیگر حوش گوشه (شکل ۶ - ۶) می‌باشد. این نوع حوش می‌تواند سرشن و همچنین کمش، فشار و خمن را تحمل کند. برای دو صفحه نشکل ۶ - ۴ مقدار مجاز سیروی کشی  $P$  را بر اساس تنش برشی مجاز 80 MPa عس کنید. فقط تنش‌های سرشن را در جوش در سطح بگیرید. نیروهای  $P$  در وسط فاصله بین دو حوش وارد شده‌اند.



شکل ۶ - ۴

حل : کوچکترین بعد جوش موسوم به گلوی جوش می‌باشد که در این مسئله برابر  $l = 10 \sin 45^\circ = 7.07 \text{ mm}$  است. سطح موئیر جوش که در مقابل برش مقاومت می‌کند برابر است با حاصل ضرب طول جوش در اندازه گلوی جوش. بنابراین سطح موئیر هر یک از دو جوش برابر  $175(7.07) = 1237 \text{ mm}^2$  می‌باشد. مقدار مجاز سیروی کشی در این صورت برابر است با

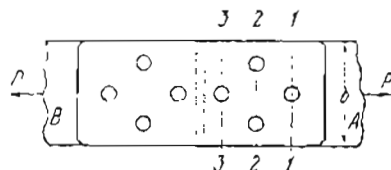
$$P_w = (80 \times 10^6)(10^{-6})(2)(1237) = 198000 \text{ N}$$

مقدار  $P_w = 198000 \text{ N}$

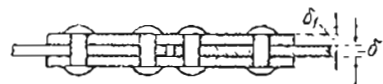
مسئله ۶ - ۴

یک سیروی کشی  $t = 40$  به طور مرکزی به یک نبیشی  $200 \text{ mm} \times 150 \text{ mm} \times 16 \text{ mm}$  وارد شده است (شکل ۷ - ۴). نبیشی مطابق شکل به یک صفحه جوش گوشواره‌ای داده شده است. برای اینکه طولهای  $l_1$  و  $l_2$  کاهش پابند انتهای نبیشی نیز به صفحه جوش داده شده است، تنش مجاز برشی جوش  $800 \text{ Kg/cm}^2$  می‌باشد. طولهای  $l_1$  و

۲۱۱



شکل ۹ - ۴



در دو مقطع هر یک از پرج های نیروی برشی  $P/i$  وجود دارد. بنابراین تنش برشی در پرج ها برابر است با

$$\tau = \frac{P}{(2i) \frac{\pi}{4} (d^2)} = \frac{8000}{2 \times 4 \times 0.785 \times 1.6^2} = 500 \text{ Kg/cm}^2$$

ب - محاسبه تنش در تسممهها: در مقطع ۱-۱ تمام نیروی  $P$  بوسیله تسممه منتقل می شود. این مقطع بوسیله یک پرج ضعیف شده است و مساحت سطح مقطع تسمه در مقطع مذبور برابر است، با

$$A_{1-1} = \delta(b-d) = 1(15 - 1.6) = 13.4 \text{ cm}^2$$

تنش کنشی در مقطع ۱-۱ برابر است با

$$\sigma_{1-1} = \frac{P}{A_{1-1}} = \frac{8000}{13.4} = 597 \text{ Kg/cm}^2$$

در مقطع ۲-۲ نیروی مستقل شده توسط تسمه فقط  $\frac{3}{4} P$  است زیرا نیروی  $\frac{P}{4}$  بوسیله پرج اول حمل و به توسط صفحه های فوقانی و تحتانی و پرج های سمت چپ اتصال به تسمه B منتقل شده است. مقطع ۲-۲ بوسیله دو پرج ضعیف شده است، در نتیجه مساحت سطح مقطع آن برابر است با

$$A_{2-2} = \delta(b-2d) = 1(15 - 2 \times 1.6) = 11.8 \text{ cm}^2$$

۲۱۰

عداد پرج های لارم به قطر  $20\text{mm}$  را برای اتصال دو صفحه به ضخامت های ۸ و ۱۰ ملمتر پدیدار کنید (شکل ۸-۴). سیروی کشی  $P$  در محل اتصال برابر  $20\text{Kg/cm}^2$  است. سطح های محاذ برشی و فشاری به ترتیب  $1400 \text{ Kg/cm}^2$  و  $3200 \text{ Kg/cm}^2$  می باشد.



شکل ۸ - ۴

حل: براساس مقادیر بررسی پرج نعداد پرج های لازم برابر است با (فطر پرج =  $d$ )

$$n \geq \frac{P}{(\frac{\pi d^2}{4}) \tau_w} = \frac{20000}{\pi \times \frac{2^2}{4} \times 1400} = 4.53 \# 5$$

براساس مقاومت فشاری پرج نعداد پرج های لازم برابر است با (ضخامت صفحه =  $i$ )

$$n \geq \frac{P}{t \delta \sigma_w} = \frac{20000}{0.8 \times 2 \times 3200} = 3.9 \# 4$$

بنابراین سری اتصال مذبور حداقل پنج پرج لازم است.

مسئله ۴-۸

دو تسمه فولادی A و B به ضخامت  $\delta = 10\text{mm}$  و عرض  $b = 150\text{mm}$  بوسیله دو صفحه مطابق شکل ۹-۴ به یکدیگر پرج شده اند. قطر پرج ها  $d = 16\text{mm}$ . ضخامت اتصال  $i_1 = 6\text{mm}$  و عرض آنها برابر با عرض تسممهها  $150\text{mm}$  می باشد. اگر بار کشی  $P$  برابر ۸ تی باشد تنش ها را در پرج ها و تسممهها حساب کنید.

حل:

الف - محاسبه تنش در پرج ها: در هر طرف اتصال چهار پرج ( $i = 4$ ) وجود دارد.

۲۱۵

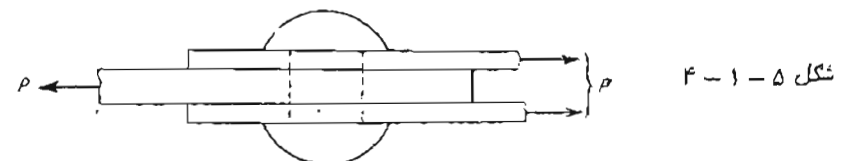
مسئله ۴-۱-۸ دو صفحه هریک به ضخامت  $10\text{ mm}$  به سه صفحه هریک به ضخامت  $8\text{ mm}$  به توسط پرج های به قطر  $20\text{ mm}$  مطابق شکل ۴-۱-۸ متصل شده اند. اتمال مزبور تحب اثر نیروی کشی  $t = 28\text{ t}$  می باشد. اگر تنش های مجاز سرنی و فشاری به ترتیب  $1000\text{ Kg/cm}^2$  و  $2800\text{ Kg/cm}^2$  باشد تعداد پرج های لازم را تعیین کنید.



شکل ۴-۱-۸

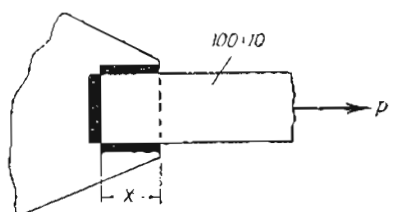
۲۱۶

پکواحت سار گذاری نده است، ولی در نام طول لبه نحنتاش نکیه گاه ندارد ( شکل ۴-۱-۴ ) . اگر بار کل در بالای استوانه سراسر  $4\text{ MN}$  باشد و  $30\text{ m}$  متر از لبه نحنتاش آن بدون نکه گاه باشد، تنش سرسی موططردرا در روی هر بکار مقاطع b-b و a-a پیدا کند. استوانه از بنن به ضخامت  $200\text{ nm}$  و ارتفاع  $10\text{ m}$  ساخته شده است. مسئله ۴-۱-۵ تعداد پرج های لازم به قطر  $20\text{ mm}$  را برای اتصال دو صفحه به ضخامت  $5\text{ mm}$  به سه صفحه سومی به ضخامت  $12\text{ mm}$  ( شکل ۴-۱-۵ ) پیدا کنید. نیروی کشی  $P$  در روی اتصال سرایر  $18\text{ t}$  و تنش های مجاز برشی و فشاری به ترتیب  $1000\text{ Kg/cm}^2$  و  $2800\text{ Kg/cm}^2$  می باشد.



شکل ۴-۱-۵

مسئله ۴-۱-۹ حداقل طول  $x$  را که برای جوش دادن در صفحه مولادی شکل ۴-۱-۴ لازم است تعیین کنید. تنش کشی در صفحه  $1400\text{ Kg/cm}^2$  و تنش برشی مجاز جوش برابر  $800\text{ Kg/cm}^2$  می باشد.



شکل ۴-۱-۹

## ۴-۴ جوابهای مسائل حل نشده

$$2.5 \text{ MPa} : 4-1-2$$

$$\tau = 0.24 \text{ MPa} : 4-1-4$$

$$4-1-6 : 4-1-4 : \text{ هفت پرج در هر نیمه اتصال}$$

$$4-1-8 : 4-1-4 : \text{ سه پرج}$$

$$50 \text{ Kg/cm}^2 : 4-1-1$$

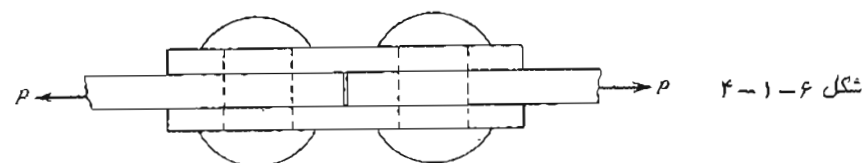
$$\tau = 0.707 P/ab : 4-1-3$$

$$4-1-5 : \text{ چهار عدد}$$

$$4-1-7 : \text{ هشت پرج در هر نیمه اتصال}$$

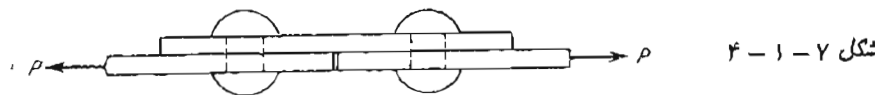
$$7.5 \text{ cm} : 4-1-9$$

مسئله ۴-۱-۶ نعداد پرج های لازم به قطر  $17\text{ mm}$  را برای اتمال دو صفحه به کم دو عدد تسمه مطابق شکل ۴-۱-۶ پیدا کنید. نیروی کشی  $P$  برابر  $30\text{ t}$  است. ضخامت هر بکار از صفحه ها برابر  $10\text{ mm}$  و ضخامت تسمه ها برابر  $6\text{ mm}$  است. تنش های مجاز برشی و فشاری به ترتیب  $1000\text{ Kg/cm}^2$  و  $2800\text{ Kg/cm}^2$  می باشد.



شکل ۴-۱-۶

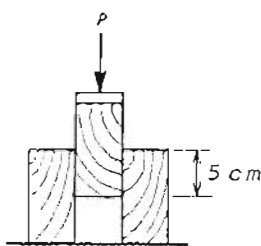
مسئله ۴-۱-۷ دو صفحه به توسط یک تسمه مطابق شکل ۴-۱-۷ به یکدیگر پرج شده اند. ضخامت صفحه ها و تسمه برابر  $10\text{ mm}$  است. اگر تنش های مجاز برشی و فشاری به ترتیب  $1400\text{ Kg/cm}^2$  و  $3200\text{ Kg/cm}^2$  باشد تعداد پرج های لازم به قطر  $17\text{ mm}$  را تعیین کنید. نیروی  $P$  در محل اتصال برابر  $24\text{ t}$  می باشد.



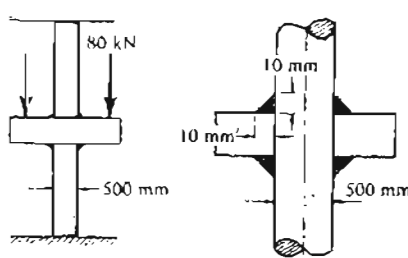
شکل ۴-۱-۷

۲۱۲

مسئله ۱-۱-۴ سه قطعه چوب مطابق شکل ۱-۱-۴ با جب به یکدیگر متصل شده‌اند. قطعات چوب سطح مقطع پکان دارد و طولانی در حجه عمود سرصفحه صورت ۲۰ cm می‌باشد. اگر سار P برابر ۱۰۰۰۰ Kg باشد نشسته روشی متوسط در محل اتصال قطعات جذراست؟



شکل ۱-۱-۴



شکل ۲-۱-۴

مسئله ۲-۱-۴ در شکل ۲-۱-۴ بار کل ۸۰ kN بر بالکن به صورت متقارن و شعاعی وارد می‌آید. تکیه گاه مرکزی، ستونی به فطر ۵۰۰ mm می‌باشد. بالکن در دو سطح فوقانی و تحتانی به ستون جوش شده و طول اضلاع جوش گوشه ۱۰ mm است. نتش این نتش ۷۵٪ کمر از نتش در مقطع ۱-۱ می‌باشد.

۲۱۲

نشسته در سمه در مقطع ۲-۲ برابر است با

$$\sigma_{2-2} = \frac{\frac{3}{4}P}{A_{2-2}} = \frac{\frac{3}{4} \times 8000}{11.8} = 508 \text{ Kg/cm}^2$$

نشش در مقطع ۲-۲ ۱۵ درصد کمتر از نتش در مقطع ۱-۱ است.  
در مقطع ۳-۳ نسروی منتقل شده به سمه B برابر  $P - \frac{3}{4}P = \frac{1}{4}P$  است.  
مساحت سطح مقطع در مقطع ۳-۳ برابر مساحت سطح مقطع در مقطع ۱-۱ است.

$$A_{3-3} = A_{1-1} = 13.4 \text{ cm}^2$$

نشسته در این مقطع برابر است با

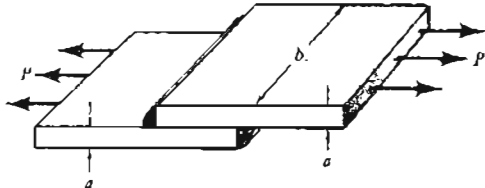
$$\sigma_{3-3} = \frac{\frac{P}{4}}{A_{3-3}} = \frac{\frac{8000}{4}}{13.4} = 150 \text{ Kg/cm}^2$$

حال نتش تکیه گاهی در سمه را در اثر فشار وارد سویله برج حساب می‌کنیم.  
مساحت تکیه گاهی سمه در هر برج برابر است با

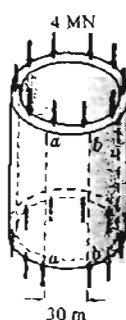
$$A_b = \delta d = 1 \times 1.6 = 1.6 \text{ cm}^2$$

فشاری که بسویله یک برج بر سمه وارد می‌شود برابر  $\frac{P}{4}$  می‌باشد. بنابراین نتش تکیه گاهی برابر است با

$$\sigma_b = \frac{\frac{P}{4}}{A_b} = \frac{\frac{8000}{4}}{1.6} = 1250 \text{ Kg/cm}^2$$



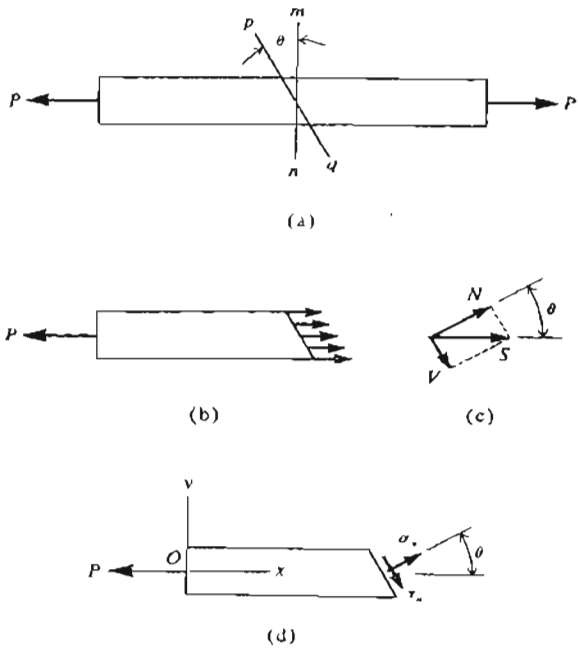
شکل ۲-۱-۴



شکل ۲-۱-۴

مسئله ۳-۱-۴ استوانه قائم جدار سازکی به قطر ۴۰ m در طول لبه فوقانی سطوح

۳-۴ مسائل حل نشده



شکل ۱ - ۱

$$\sigma_{\theta} = \frac{N}{A} = \frac{P}{A} \cos^2 \theta = \sigma_x \cos^2 \theta \quad (5-1)$$

$$\tau_{\theta} = \frac{V}{A} = \frac{P}{A} \sin \theta \cos \theta = \sigma_x \sin \theta \cos \theta \quad (5-2)$$

در این رابطه  $\sigma_x = \frac{P}{A}$  نش در جهت  $x$  در روی سطح مقطع عمود بر محور میله می باشد. تنش های  $\sigma_{\theta}$  و  $\tau_{\theta}$  که به ترتیب سرمهای عمودی و برشی در روی سطح مایل  $pq$  هستند (شکل ۱-۱d) در روی سطح مقطع بطور یکنواخت توزیع شده اند. توجه کنید وضعیت سطح مایل بولیه را ویه  $\theta$  که از محور  $x$  نا خطاً عمود بر سطح اندازه گیری می شود تعریف شده است.

حجت الله عادلی

مفوّمات مصالح

## فصل پنجم

تحلیل تنش و کرنش

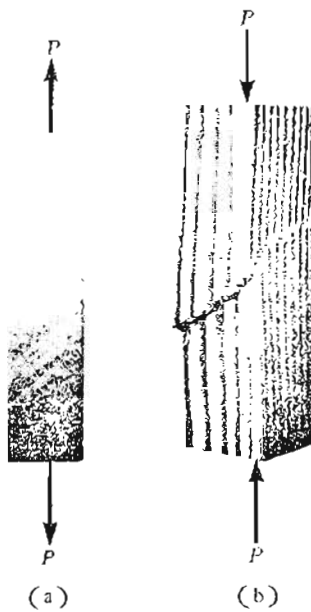
### ۱-۵ نشها روی سطوح مایل

موقعی که یک میله منسوبی تحت تأثیر کشش ساده قرار می گیرد، نشها روی سطح مقطع  $mn$  عمود بر محور میله بطور یکنواخت توزیع شده و برابر  $P/A$  می باشد (شکل ۱-۵). حال بایسیم نشها را روی سطح مایل  $pq$  که ناقص  $mn$  زاویه  $\theta$  تشکیل می دهد مطالعه کسیم. جون همه نارمهای طولی کوش محوری بکسان دارند، نیروهای معروف اثر قسمت سمت راست روی قسم سمت چپ میله باید روی مقطع مایل  $pq$  بطور یکنواخت توزیع شده باشند (شکل ۱-۵). قسمت چپ میله باید تحت اثر این نیروها و بار خارجی  $P$  در حال تعادل باشد. از این رو برآیند  $S$  سیروهای گسترده روی مقطع مایل باید برابر  $P$  باشد. نیروی  $S$  را می توان به دو مؤلفه  $N$  عمود بر سطح مایل و  $V$  ماس بر سطح مایل تجزیه نمود (شکل ۱-۵c). مقدار این مؤلفه ها از روابط زیر بدست می آیند:

$$N = P \cos \theta \quad ; \quad V = P \sin \theta$$

جون مساحت  $A'$  سطح مقطع مایل برابر  $A/\cos \theta$  است، نش های نظری  $N$  و  $V$  به ترتیب عبارتند از

۲۱۹



شکل ۵-۲

علامت منفی برای  $\tau_\theta$  به این معنی است که این تنش در جهت مخالف جهت نشان داده شده در شکل ۵-۱ d عمل می‌کند. شکل ۳ - ۵ فرار دادهای علامت را برای تنش‌های عمودی و سری نشان می‌دهد، تنش عمودی هست تنشی است که از سطح مصالح بدون توجه به وضعیت آن دور شود و تنش عمودی منفی به سطح مصالح نزدیک می‌شود. تنش‌های برشی  $\tau_\theta$  وقتی مثبت هستند که سبب به سطح مصالح در حجه عقره‌های ساعت عمل کنند و در صورتی که در خلاف جهت عقره‌های ساعت عمل کسید منفی می‌باشند. یک روش ساده برای نشان دادن تنش‌ها در یک نقطه از میله این است که عنصر کوچکی از ماده را به صورت جسم آزاد جدا کرده و تنش‌ها را در روی تمام وجهه‌های آن نشان دهیم. برای مثال دو عنصر A و B که از میله تحت کشی بریده شده‌اند در شکل ۴ - ۵ متأهده می‌شود. وضعیت عنصر A جناب است که برای آن  $\theta = 0$  و در نتیجه تنها تنش‌هایی که در روی آن عمل می‌کنند  $\sigma_X = P/A$  می‌باشد.

عنصر B به اندازه زاویه  $\theta$  دوران کرده است و سایر این تنش‌ها روی ضلع  $bd$  نت  $\sigma_\theta$  و  $\tau_\theta$  می‌باشند که از روابط ۵-۱ و ۵-۲ بدست می‌آید. عمود وارد بر ضلع ab نسبت به محور X زاویه  $\theta + \pi/2$  می‌سازد و سایر این با جایگزینی منفی بدست می‌آید. علامت منفی برای  $\tau_\theta$  به معنای فشاری بودن تنش عمودی است.

۲۱۸

معادله ۵-۱ نحوه تغییرات تنش عمودی  $\sigma_\theta$  را نسبت به زوایای مختلف مقطع مایل شان می‌دهد. معنی که  $\theta = 0$  ، سطح pq با سطح مقطع mn مطابق می‌گردد و همانطوریکه استطار می‌رود داریم  $\sigma_X = \sigma_\theta$  . با افزایش زاویه  $\theta$  تنش  $\sigma_\theta$  کاهش می‌باید تا اینکه در  $\theta = \pi/2$  تنش عمودی برابر صفر می‌گردد. این نتیجه نشان میدهد که سی نارهای طولی میله تنش‌های عمودی وجود ندارد. بدین ترتیب متأهده می‌شود که حداقل مقدار تنش عمودی وقتی اتفاق می‌افتد که  $\theta = 0$  و برابر است با

$$\sigma_{\max} = \sigma_X \quad (5-3)$$

از معادله ۵-۲ متأهده می‌شود که تنش برشی  $\tau_\theta$  در  $\theta = 0$  و  $\theta = \pi/2$  برابر صفر است و در  $\theta = \pi/4$  مقدارش حداقل و برابر است با

$$\tau_{\max} = \frac{\sigma_X}{2} \quad (5-4)$$

با وجود ایکه تنش برشی ماکریم نصف تنش عمودی ماکریم است وقتی که ماده یک میله با این محوری در مقابل سرخیلی ضعیف تراز کشش باشد، تنش تعیین کننده تنش برشی می‌باشد. برای مثال هنگام آزمایش کشش میله مسطحی از فولاد با کربن کم و سطوح صدقی سوارهای لفزان در روی سطوح تحت آن در امتداهایی که با محور میله زاویه تقریباً  $45^\circ$  تشکیل می‌دهند ظاهر می‌گردد که با چشم قابل روئیت می‌باشد (شکل ۵-۲). این سوارهای نشان می‌دهند که ماده در روی سطوحی که تنش برشی در آن ماکریم است در حال شکست می‌باشد. سوارهای مزبور وقتی ظاهر می‌شوند که تنش در میله به تنش تسلیم نزدیک می‌شود.

مثال دیگری از تکت برشی در شکل ۵-۲ متأهده می‌گردد. این شکل یک بلوك چوبی را نشان می‌دهد که در امتداد محورش سخت فشار قرار گرفته و در اثر برش در امتداد یک صفحه  $45^\circ$  شکست خورده است.

معادلات ۵-۱ و ۵-۲ که برای میله تحت کشش نوشته شده‌اند برای فشار محوری نیز قابل استفاده می‌باشد به شرط آنکه برای  $\sigma_X$  یک مقدار منفی بکاربرده شود، در این صورت برای تمام مقادیر  $\theta$  سین ۵ نتا  $\frac{\pi}{2}$  برای  $\sigma_\theta$  و  $\tau_\theta$  مقادیر منفی بدست می‌آید. علامت منفی برای  $\tau_\theta$  به معنای فشاری بودن تنش عمودی است.

۲۲۱

جون  $\sigma_x$  در این مثال مثبت می‌باشد، نش عومدی  $\sigma_\theta'$  نیز مطابق شکل ۵-۴-۲ است. نش برنشی  $\tau_\theta'$  در روی صفحه ab علامت منفی دارد، این بدان معنی است که سمت به سطح عنصر مذکور در جهت مخالف حکم عقرمه‌های ساعتی عمل می‌کند (شکل ۵-۴-۲).  
ما مقایسه معادلات ۵-۱ و ۵-۲ با معادلات ۵-۵ و ۵-۶ دور اسطه جالب بیشترها در روی دو سطح عمود بر یکدیگر بدست می‌آید.

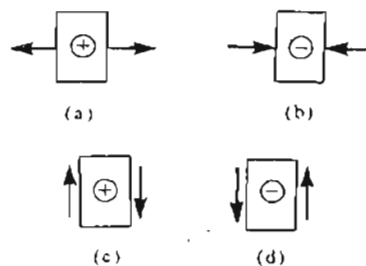
$$\sigma_\theta + \sigma_\theta' = \sigma_x \quad (5-7)$$

$$\tau_\theta' = -\tau_\theta \quad (5-8)$$

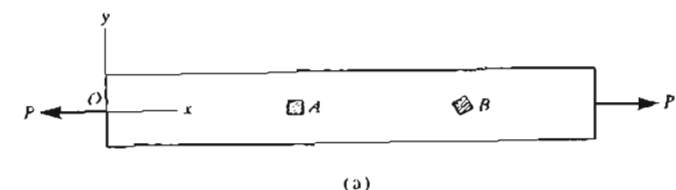
رابطه ۵-۷ نشان می‌دهد که برای یک میله تحت کشش مجموع نش‌های عومدی در روی دو سطح عمود بر یکدیگر ثابت و برابر با  $\sigma_x$  می‌باشد. رابطه ۵-۸ نشان می‌دهد که نش‌های برنشی در روی دو سطح عمود بر هم بطور عددی مساوی ولی دارای علامت‌های مخالف می‌باشند. نتیجه اخیر قبلاً در بخش ۱-۴ نیز مشاهده گردید.  
اگر به همین طریق ادامه دهیم می‌توانیم نش‌ها را در روی اضلاع ac و cd عنصر شکل ۵-۴-۲ نیز بدست آوریم. زاویه عومد بر سطح نسبت به محور x سرای فلح برای ac برابر  $\theta + \pi/2$  و برای صفحه cd برابر  $\theta + 3\pi/2$  می‌باشد. بدین طریق مشاهده می‌کنیم که نش‌های عومدی و برنشی در روی اضلاع ac و bd بسان‌هستند، همچنین نش‌ها در روی اضلاع cd و ab نیز بسان‌می‌باشند.

در موقع اسجام محاسبات عددی برای تعیین نش‌ها در روی ضلعی مانند cd، بعضی از مواقع ساده‌تر است که زاویه  $\theta$  در جهت منفی (حکم عقرمه‌های ساعتی) اندازه‌گیری شود. برای مثال اگر زاویه  $\theta$  در شکل ۵-۴-۲ مساوی  $30^\circ$  باشد، در موقع استفاده از معادلات ۵-۱ و ۵-۲ می‌توان هر یک از زوایای  $30^\circ + 270^\circ$  یا  $60^\circ$  را برای مشخص کردن سطح cd بکار برد.

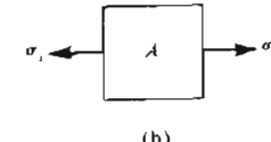
۲۲۰



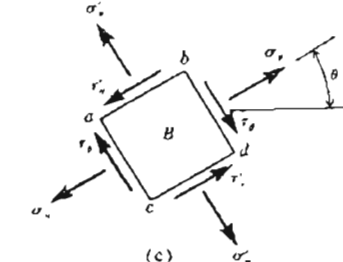
شکل ۳-۵ فواردادهای علامت برای نش‌های عومدی و برنشی



(a)



(b)



شکل ۴

به جای  $\theta + \pi/2$  در معادلات ۵-۱ و ۵-۲ نش‌ها در روی سطح ab به دست می‌آیند.

$$\sigma_\theta' = \sigma_x \cos^2(\theta + \frac{\pi}{2}) = \sigma_x \sin^2 \theta \quad (5-5)$$

$$\tau_\theta' = \sigma_x \sin(\theta + \frac{\pi}{2}) \cos(\theta + \frac{\pi}{2}) = -\sigma_x \sin \theta \cos \theta \quad (5-6)$$

۲۲۲

از این معادله راسته زیر بدست می‌آید :

$$\sigma_{\theta} = \sigma_x \cos^2 \theta + \sigma_y \sin^2 \theta \quad (5-9)$$

همین طور با سوئن معادله تعادل عنصر مثلثی در امتداد  $\tau_{\theta}$  حاصل می‌شود

$$\tau_{\theta} A \sec \theta = \sigma_x A \sin \theta - \sigma_y A \tan \theta \cos \theta$$

و یا پس از ساده کردن

$$\tau_{\theta} = (\sigma_x - \sigma_y) \sin \theta \cos \theta \quad (5-10)$$

با استفاده از روابط مثلثاتی زیر

$$\cos^2 \theta = \frac{1}{2} (1 + \cos 2\theta) ; \sin^2 \theta = \frac{1}{2} (1 - \cos 2\theta)$$

$$\sin \theta \cos \theta = \frac{1}{2} \sin 2\theta$$

معادلات 5-9 و 5-10 به صورت زیر در می‌آید :

$$\sigma_{\theta} = \frac{1}{2} (\sigma_x + \sigma_y) + \frac{1}{2} (\sigma_x - \sigma_y) \cos 2\theta \quad (5-11)$$

$$\tau_{\theta} = \frac{1}{2} (\sigma_x - \sigma_y) \sin 2\theta \quad (5-12)$$

توجه کنید قراردادهای علامت برای  $\sigma_{\theta}$  و  $\tau_{\theta}$  در معادلات فوق همان قراردادهای است که در بخش قبلی سکار رفته است (شکل ۵-۳).

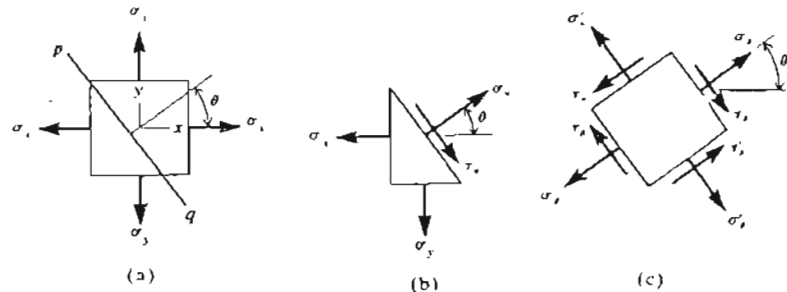
اگر در معادلات 5-11 و 5-12 بجای  $\theta$  کمیت  $\theta/\pi/2$  را قرار دهیم تنشهای  $\sigma_{\theta}$  و  $\tau_{\theta}$  در روی مفحه‌ای که با صفحه تنشهای  $\sigma_{\theta}$  و  $\tau_{\theta}$  زاویه ۹۰° می‌سازد بدست می‌آید (شکل ۵-۵c).

$$\sigma'_{\theta} = \frac{1}{2} (\sigma_x + \sigma_y) - \frac{1}{2} (\sigma_x - \sigma_y) \cos 2\theta \quad (5-13)$$

$$\tau'_{\theta} = -\frac{1}{2} (\sigma_x - \sigma_y) \sin 2\theta \quad (5-14)$$

۲۲۲

حال بایم حالت کلی تری از تنش را در نظر بگیریم که در آن تنش‌های عمودی در دو محور x و y در روی یک سطح اثر می‌کند (شکل ۵-۵a). در مقابل



شکل ۵-۵

تش بک بعدی یا یک محوری مورد ساخت در بخش قل، حالت تنش مزبور تنش دومحوری خوانده می‌شود. ما به تنش‌های دو محوری در مطالعه محاذن سیالات تحت فشار، تبرها، محورهای مکانیکی و عدداد زبادی از اجزاء سازه‌ای و مکانیکی دیگر بر می‌خوریم که در فصل‌های بعد مورد بحث فراز می‌گیرند. در اینجا ما می‌خواهیم تنش‌ها را در روی یک مقطع مابل pq که عمود بر سطح زاویه  $\theta$  با محور x می‌سازد تعیین کسیم (شکل ۵-۵a). تنش‌هایی که بر سطح مابل pq اثر می‌کنند تنش عمودی  $\sigma_{\theta}$  و تنش برشی  $\tau_{\theta}$  مطابق شکل ۵-۵b می‌باشد.

برای تعیین کردن تنشهای  $\sigma_{\theta}$  و  $\tau_{\theta}$  تعادل عنصر مثلثی را که از عصر متطلبه شکل ۵-۵a مریده شده است در طرز می‌گیریم (شکل ۵-۵b). اگر مساحت سطح فاصلی را که  $\sigma_x$  بر آن اثر می‌کند A عرض کنیم، در این صورت مساحت سطح افقی عنصر مثلثی که  $\sigma_y$  بر آن اثر می‌کند را برابر  $A \tan \theta$  و مساحت سطح مابل برابر  $A \sec \theta$  می‌باشد. بدین طریق سروی کل سروجه عمود بر محور x برابر  $\sigma_x A$  و نیروی کل بر سروجه عمود بر محور y برابر  $\sigma_y A \tan \theta$  می‌باشد. هر یک از این نیروها را می‌توان به دو مؤلفه عمود بر یکدیگر تجزیه نمود بطوریکه یک مؤلفه در امتداد سطح مابل و مؤلفه دیگر در امتداد عمود بر سطح مابل باشد. با تنشن معادله تعادل عنصر مثلثی در امتداد  $\sigma_{\theta}$  نتیجه می‌شود

$$\sigma_{\theta} A \sec \theta = \sigma_x A \cos \theta + \sigma_y A \tan \theta \sin \theta$$

۲۲۵

### ۵-۳ کرنش‌ها در تنش دو محوری

کرنش در جهت  $x$  برای عصری در تنش دو محوری (شکل ۵-۵a) نه تنها تنش  $\sigma_x$  در جهت  $x$  بلکه به علت اثر صریب پواسون (که در بخش ۶-۱ توضیح داده شد) به تنش در جهت  $y$  نیز بستگی دارد. با فرض اینکه قانون هooke در مورد ماده مورد نظر صادق باشد، کرنش در جهت  $x$  تحت اثر  $\sigma_x/E$  برابر  $\epsilon_x$  و تحت اثر  $\sigma_y/E$  برابر  $\epsilon_y$  می‌باشد. زیرا تنسبت اگر هر دو تنش  $\sigma_x$  و  $\sigma_y$  طور همزمان اثر کنند، کرنش در جهت  $x$  برابر می‌شود با

$$\epsilon_x = \frac{1}{E} (\sigma_x - v\sigma_y) \quad (5-17)$$

همین طور برای کرنش در جهت  $y$  رابطه زیر را پیدا می‌کنیم:

$$\epsilon_y = \frac{1}{E} (\sigma_y - v\sigma_x) \quad (5-18)$$

کرنش در جهت  $z$  نیز برابر است با

$$\epsilon_z = -\frac{v}{E} (\sigma_x + \sigma_y) \quad (5-19)$$

از معادلات ۵-۱۷ و ۵-۱۸ تنش‌های  $\sigma_x$  و  $\sigma_y$  را می‌توان بر حسب توابعی از کرنش‌های  $\epsilon_x$  و  $\epsilon_y$  بیان نمود.

$$\sigma_x = \frac{(\epsilon_x + v\epsilon_y) E}{1 - v^2} \quad ; \quad \sigma_y = \frac{(\epsilon_y + v\epsilon_x) E}{1 - v^2} \quad (5-20)$$

وقتی که کرنش‌های  $\epsilon_x$  و  $\epsilon_y$  معلوم باشند (برای مثال از روی اندازه گیری تغییر شکل‌ها) از معادلات فوق برای محاسبه تنش‌های  $\sigma_x$  و  $\sigma_y$  می‌توان استفاده نمود. تغییر حجم ماده‌ای ارجاعی در تنش دو محوری در واحد حجم را می‌توان بر حسب کرنش‌ها بدست آورد. ابعاد عنصری از ماده در جهت‌های  $x$ ،  $y$  و  $z$  به ترتیب به سمت  $\frac{1 + \epsilon_x}{1}$ ،  $\frac{1 + \epsilon_y}{1}$  و  $\frac{1 + \epsilon_z}{1}$  افزایش می‌یابد. سایر این حجم میله

۲۲۴

با نرکوب سودن دو معادله ۵-۱۱ و ۵-۱۳ نتیجه می‌شود

$$\sigma_\theta + \sigma'_\theta = \sigma_x + \sigma_y \quad (5-15)$$

این رابطه مجدداً نشان می‌دهد که مجموع تنش‌های عمودی در روی هر دو سطح عمودی هم مقدار سایی است. همچنین معایسه معادله ۵-۱۲ با معادله ۵-۱۴ مجدداً نشان می‌دهد که تنش‌های سرشی در روی دو سطح عمود بر هم طور عددی مساوی و جهشان مخالف پذیریگر می‌باشد (معادله ۵-۸ را ببینید).

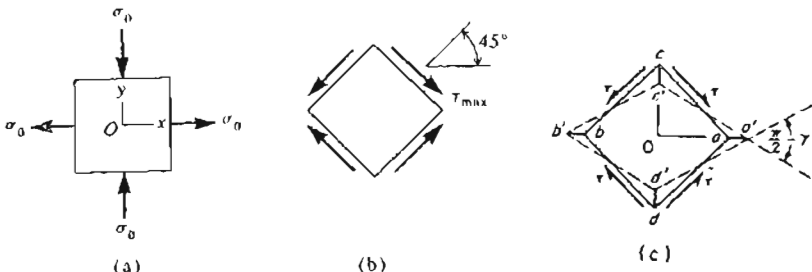
ساده‌تران عنصر شکل ۵-۵ از  $\theta = 0$  تا  $\theta = \pi/2$  تنش عمودی  $\sigma_\theta$  از  $\sigma_y$  نتیجه می‌گیرد (معادله ۵-۱۱ را ببینید). مبنی ترتیب بکی از این تنش‌ها بزرگترین و دیگری کوچکترین مقدار  $\sigma_\theta$  می‌باشد. این مقادیر ماکریم دهنیم تنش عمودی را تنش‌های اصلی می‌گویند و دو صفحه‌ای که روی آنها تنش‌های مذکور از می‌کنند به صفحه‌های اصلی موسم می‌باشد. از معادله ۵-۱۲ نتیجه می‌شود که بر روی صفحه‌های اصلی تنش سرشی وجود ندارد.

تنش برشی  $\tau_\theta$  به ازای  $\theta = 0$  برابر صفر و با افزایش  $\theta$  اضافه می‌شود تا اینکه در  $\theta = \frac{\pi}{4}$  سه حد ماکریم می‌رسد. ماکریم تنش برشی بر ابراست با (معادله ۵-۱۲)

$$\tau_{\max} = \frac{\sigma_x - \sigma_y}{2} \quad (5-16)$$

از این معادله نتیجه می‌شود که تنش برشی ماکریم نصف تفاضل تنش‌های اصلی می‌باشد. اگر تنش‌های  $\sigma_x$  و  $\sigma_y$  مساوی باشند روی هیچ یک از صفحه‌های مایل تنش برشی وجود نخواهد داشت.

باید توجه نمود که بحث بالا در مورد تنش‌های برشی ماکریم فقط درباره تنش‌های برشی در روی مطروح موازی با محور  $z$  مانند صفحه  $pq$  صادق است. شکل ۵-۵a در واقع یک عنصر سه بعدی است که تنش  $\sigma_z$  در جهت  $z$  برابر صفر می‌باشد. صفحه‌های مایل را می‌توان موازی محور  $x$  یا  $y$  از میان عنصر عبور داد، و تنش برشی در روی بکی از این صفحه‌ها ممکن است از تنشی که معادله ۵-۱۶ می‌دهد بیشتر باشد. تعیین تنش برشی ماکریم در حالت سه بعدی بعداً در بخش تنش‌های سه محوری بحث خواهد شد.



شکل ۶ - ۵

در روی اصلاح عنصر شکل ۶-۵ کافی است در معادلات ۱۱-۵ و ۱۳-۵ بجای  $\theta$  مقدار  $45^\circ$  را قرار دهیم که حاصل می‌شود  $\sigma_\theta = \sigma_0$ . بدین ترتیب متأهده می‌کنیم که عنصر شکل ۶-۵ تنها تحت اثر تنش‌های برشی قرار دارد و بنابراین در حالت برش خالص می‌باشد. همچنین متأهده می‌کنیم که برش خالص معادل با حالت تنش ایجاد شده بوسیله تنش‌کشی در یک جهت و تنش فشاری هم اندازه آن در جهت عمود بر آن می‌باشد. البته واضح است اگر ما عنصری را در نظر بگیریم که به اندازه زاویه  $\theta$  متفاوت با  $45^\circ$  دوران کرده باشد، روی سطوح عنصر مذبور هم تنش عمودی و هم تنش برشی وجود خواهد داشت که از معادلات ۱۱-۵ تا ۱۴-۵ بدست می‌آید.

تعییر شکل عنصری که در برش خالص قرار دارد در شکل ۶-۵ رسم شده است. در طول اصلاح عصر مذبور تعییری حاصل نمی‌شود زیرا در امدادهای  $45^\circ$  تنش‌های عمودی وجود ندارد، ولی قطر افقی آن از دیاد طول و قطر قائم آن کاهش طول پیدا خواهد کرد. کرنش برشی  $\gamma$  که برابر با  $\gamma_{max}$  می‌باشد در شکل ۶-۵ به صورت کاهش زوایای قائم در دو انتهای قطر افقی، یا افزایش زوایای قائم در دو انتهای قطر قائم ظاهر می‌گردد. زاویه بین وضعیت اولیه و نهایی هر یک از اصلاح عنصر مذبور برابر  $\gamma/2$  می‌باشد.

تعییرات طول قطرهای عنصر شکل ۶-۵ بوسیله کرنش‌های  $\epsilon_x$  و  $\epsilon_y$  که از معادلات ۱۷-۵ و ۱۸-۵ بدست می‌آیند تعیین می‌شود. در عین حال از شکل ۶-۵ متأهده می‌شود که این تعییرات طول بطور هندسی با کرنش برشی  $\gamma$  ارتباط دارند. بنابراین می‌توان نتیجه گرفت که ضریب ارجاعی در برش G به وسیله ضریب چوason با ضریب ارجاعی E (در کنش و فشار) ارتباط دارد. برای پیدا کردن رابطه بین G و E ابتدا با استفاده از روابط ۱۷-۵، ۱۸-۵

$$\frac{(1 + \epsilon_x)(1 + \epsilon_y)(1 + \epsilon_z)}{1}$$

افزایش می‌پاید. اگر از مقادیر کوچک مرتبه دوم و سوم کرنش‌ها صرف سطر شود کمیت مذبور برابر می‌شود با

$$1 + \epsilon_x + \epsilon_y + \epsilon_z$$

بنابراین تعییر حجم واحد حجم از راسته زیر بدست می‌آید:

$$\frac{\Delta V}{V} = \epsilon_x + \epsilon_y + \epsilon_z \quad (5-21)$$

اگر به جای کرنش‌ها از معادلات ۱۷-۵ تا ۱۹-۵ در معادله ۲۱-۵ قرار دهیم، رابطه تعییر حجم واحد حجم در تنش دو محوری به صورت زیر در می‌آید:

$$\frac{\Delta V}{V} = \frac{(\sigma_x + \sigma_y)(1 - 2\gamma)}{E} \quad (5-22)$$

اگر  $\sigma_y = 0$  باشد این معادله به معادله ۱۴-۱ برای تعییر حجم واحد حجم در حالت تنش یک محوری تبدیل می‌شود.

#### ۶-۵ برش خالص

حال حالت خاصی از تنش دو محوری را در نظر می‌گیریم که در آن  $\sigma_x$  تنش‌کشی و  $\sigma_y$  تنش فشاری با همان مقدار  $\sigma_x$  باشد بطوریکه (شکل ۶-۶ a)

$$\sigma_x = -\sigma_y = \sigma_0 \quad (5-23)$$

ماکریم تنش برشی در روی صفحه مایلی که بروز آن  $45^\circ = \theta$  می‌باشد اتفاق می‌افتد و مقدار آن با استفاده از معادله ۱۶-۵ برابر است با

$$\tau_{max} = \frac{\sigma_x - \sigma_y}{2} = \sigma_0 \quad (5-24)$$

این تنش برشی در شکل ۶-۵ رسم شده است. برای پیدا کردن تنش‌های عمودی

۲۲۹

این رابطه نشان می‌دهد که  $E$ ،  $G$  و  $v$  حصوصیات مستقل مصالح سی‌پاسند برای مثال برای مولاد اگر  $E = 2.1 \times 10^6 \text{ Kg/cm}^2$ ،  $v = 0.3$  فرم شود، از معادله ۵-۲۵ حاصل می‌شود:

$$G = 810000 \text{ Kg/cm}^2$$

### ۵-۵ دایره موهر برای تنش دو محوری

معادلات تنش‌های  $\sigma_\theta$  و  $\tau$  را که در روی صفحه‌های مایل در حالت تنش دو محوری اثر می‌کنند می‌توان به صورت ترسیمی نشان داد. برای این کار ابتدا مانند گذاری زیر را انتخاب می‌کنیم:

$$\sigma_{av} = \frac{\sigma_x + \sigma_y}{2} \quad (5-26)$$

$$\tau_{max} = \frac{\sigma_x - \sigma_y}{2} \quad (5-27)$$

در این عبارات  $\sigma_{av}$  مقدار متوسط تنش‌های عمودی در روی اصلاح عنصر مورد نظر و  $\tau_{max}$  تنش برشی ماکریم می‌باشد. با نام گذاری فوق می‌توانیم معادلات ۵-۱۱ و ۵-۱۲ را به صورت ریز بنویسیم:

$$\sigma_\theta - \sigma_{av} = \tau_{max} \cos 2\theta$$

$$\tau_\theta = \tau_{max} \sin 2\theta$$

دو معادله فوق معادلات پارامتری یک دایره با پارامتر  $2\theta$  می‌باشد. با مریع کردن طرفین دو معادله فوق و جمع کردن آنها سه یکدیگر می‌توان پارامتر مزبور را حذف نمود.

$$(\sigma_\theta - \sigma_{av})^2 + \tau_\theta^2 = \tau_{max}^2 \quad (5-28)$$

معادله فوق معادله دایره‌ای با متغیرهای مستقل  $\sigma_\theta$  و  $\tau_\theta$  و شاعر  $\tau_{max}$  می‌باشد. این دایره در شکل ۷-۵ سه اینکه محور طولها  $\sigma_\theta$  و محور عرضها  $\tau_\theta$  باشد رسم شده است. مرکز C دایره مزبور دارای محتملات  $\sigma_{av} = \sigma_\theta = 0$  و  $\tau_\theta = 0$  می‌باشد. این روش ترسیمی برای اولین بار در سال ۱۸۸۲ سوپط مهندس آلمانی اتو موهر پیشنهاد

۱۶۸

و ۲۴-۵ طول‌های  $oa'$  و  $oc'$  را حساب می‌کیم:

$$oa' = oa (1 + \epsilon_x) = oa \left[ 1 + \frac{\tau_{max}}{E} (1 + v) \right]$$

$$oc' = oc (1 + \epsilon_y) = oc \left[ 1 - \frac{\tau_{max}}{E} (1 + v) \right]$$

با توجه به مثلث قائم الزاویه  $c'oa'$  می‌توانیم بوسیم

$$\tan \hat{oac'} = \tan \left( \frac{\pi}{4} - \frac{\gamma}{2} \right) = \frac{oc'}{oa'} = \frac{1 - \frac{\tau_{max}}{E} (1 + v)}{1 + \frac{\tau_{max}}{E} (1 + v)}$$

اگر رابطه فوق را با رابطه مثلثاتی زیر

$$\tan \left( \frac{\pi}{4} - \frac{\gamma}{2} \right) = \frac{\tan \frac{\pi}{4} - \tan \frac{\gamma}{2}}{1 + \tan \frac{\pi}{4} \tan \frac{\gamma}{2}} \approx \frac{1 - \frac{\gamma}{2}}{1 + \frac{\gamma}{2}}$$

که در آن به علت کوچک بودن زاویه  $\gamma$  از تساوی شده است مقایسه کنیم نتیجه می‌کیریم که

$$\frac{\gamma}{2} = \frac{\tau_{max}}{E} (1 + v)$$

حال اگر در این رابطه به جای  $\gamma$  مقدار مساوی آن  $G/G$  را قرار دهیم رابطه بین  $G$  و  $E$  به صورت زیر بدست می‌آید:

$$(G = \frac{E}{2(1+v)}) \quad (5-25)$$

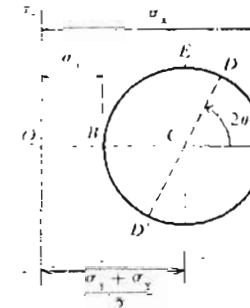
$\sigma_\theta$  و  $\tau_\theta$  را می‌دهد. برای مثال اگر  $\theta = \pi/4$  باشد در این صورت  $\sigma_\theta = \pi/2$  و نقطه D در بالای داره ( نقطه E ) قرار خواهد گرفت که برای آن

$$\sigma_\theta = \frac{\sigma_x + \sigma_y}{2} ; \quad \tau_\theta = \frac{\sigma_x - \sigma_y}{2}$$

بنابراین نقطه E معرف صفحه‌ای می‌باشد که در آن تنش برشی ماقریم است، و این نتیجه است که از دایره موهر ( شکل ۷-۵ ) مستقیماً به دست می‌آید زیرا شاعع دایره برابر  $\tau_{\max}$  است.

اگر زاویه  $\theta$  بیشتر از  $2/\pi$  اختیار شود نقطه نظری آن در روی دایره موهر در روی نیمه تحتانی دایره قرار خواهد گرفت. برای مثال نقطه D' که به طور قطری مخالف نقطه D و بنابراین با زاویه  $\pi + 2\theta$  مشخص می‌باشد معرف تنش‌های روی صفحه‌ای است که با صفحه تنش‌های  $\sigma_\theta$  و  $\tau_\theta$  زاویه فاصله می‌سازد. بررسی شکل ۷-۵ نشان می‌دهد که مختصات نقطه D' برای را  $\sigma_{\theta'}$  و  $\tau_{\theta'}$  می‌باشد که بوسیله معادلات ۱-۱۳ و ۱-۱۴ داده شده است. بنابراین با تعبیر زاویه  $2\theta$  در روی دایره موهر از  $0^\circ$  تا  $360^\circ$  تنش‌ها در روی نعام اصلاح عنصر شکل ۷-۵ از  $0^\circ$  تا  $180^\circ$  با  $\theta = 0^\circ$  تا  $180^\circ$  بدلست می‌آید. البته تنش‌ها در روی اصلاح باقی مانده ( $\theta$  از  $180^\circ$  تا  $360^\circ$ ) برابر با تنش‌ها در روی اصلاح مخالف می‌باشد.

روش معمول برای رسم دایره موهر مشخص کردن نقاط A و B در روی محور  $\sigma_\theta$  با مقیاسی معین و سپس رسم دایره‌ای به قطر AB می‌باشد. تنش‌ها در روی هر صفحه مایلی که با زاویه  $\theta$  مشخص شده باشد با اندازه گیری زاویه  $2\theta$  در روی دایره و تعیین نقطه D بدلست می‌آید. تنش‌های مطلوب  $\sigma_\theta$  و  $\tau_\theta$  با مستقیماً با اندازه گیری مختصات نقطه D و یا با استفاده از محاسبات مثلثاتی تعیین می‌شوند. اگر هر کی از دو تنش  $\sigma_x$  و  $\sigma_y$  و یا هر دو آنها فشاری باشد همان روش مذکور در فوق را می‌توان بکار برد با این تفاوت که قسمتی از دایره و یا تمام آن ممکن است در سمت چپ مبدأ مختصات قرار بگیرد. همچنین باید به خاطر داشت که زاویه  $2\theta$  همواره از نقطه A که معرف تنش‌های صفحه x می‌باشد در حسب مخالف حسب عقریمهای ساعت اندازه گیری می‌شود، حتی اگر نقطه A در انتهای چپ قطر افقی دایره قرار نگیرد ( این در صورتی اتفاق می‌افتد که  $\sigma_x$  بطور جبری از  $\sigma_y$  کوچکتر باشد. مثال ۱-۵ را ببینید ). دایره موهر را به صورت مکوس نیز می‌توان کار برد؛ یعنی اگر تنش‌های  $\sigma_\theta$  و  $\tau_\theta$  در روی یک عنصر دوران کرده در تنش دو محوری معلوم باشند



شکل ۷-۵ دایره موهر برای تنش دو محوری

شده از این رو دایره مزبور به نام دایره موهر معروف است.

نقطه A دایره موهر در شکل ۷-۵ که دارای مختصات

$$\sigma_\theta = \sigma_{av} + \tau_{\max} = \sigma_x ; \quad \tau_\theta = 0$$

می‌باشد معرف تنش‌ها در روی وجه x ( وجهی که بر محور x عمود است ) عنصر مورد مطالعه می‌باشد ( $\theta = 0$ ). همین طور نقطه B دایره که مختصات  $\sigma_\theta = \sigma_y$  و  $\tau_\theta = 0$  دارد معرف تنش‌ها در وجه y عنصر مورد نظر می‌باشد ( $\theta = 90^\circ$ ).

حال باید یک نقطه اختیاری D روی دایره را که با زاویه  $2\theta$  در شکل ۷-۵ مشخص شده است در نظر بگیریم. زاویه  $2\theta$  از نقطه A که برای  $\theta = 0^\circ$  می‌باشد اندازه گیری می‌شود. مختصات  $\sigma_\theta$  و  $\tau_\theta$  نقطه D را می‌توان از هندسه دایره به صورت زیر بدلست ورد :

$$\sigma_\theta = OC + CD \cos 2\theta = \frac{1}{2} (\sigma_x + \sigma_y) + \frac{1}{2} (\sigma_x - \sigma_y) \cos 2\theta$$

$$\tau_\theta = CD \sin 2\theta = \frac{1}{2} (\sigma_x - \sigma_y) \sin 2\theta$$

با مقایسه این روابط با معادلات ۵-۱۱ و ۵-۱۲ نتیجه می‌شود که مختصات نقطه D معرف تنش‌های  $\sigma_\theta$  و  $\tau_\theta$  در روی صفحه مایلی است که در شکل ۷-۵ با زاویه  $\theta$  تعریف شده است. توجه کنید برای تعیین محل نقطه D در روی دایره موهر زاویه  $2\theta$  به کار رفته است. همچنانکه زاویه  $\theta$  از  $0^\circ$  تا  $90^\circ$  تغییر می‌کند نقطه D در روی دایره از A تا B تغییر مکان می‌دهد، بطوریکه نیمه فوقانی دایره برای وضعیت‌های مختلف عنصر مورد نظر ( شکل ۷-۵ ) از  $\theta = 0^\circ$  تا  $\theta = 90^\circ$  تنش‌های

۲۲۳

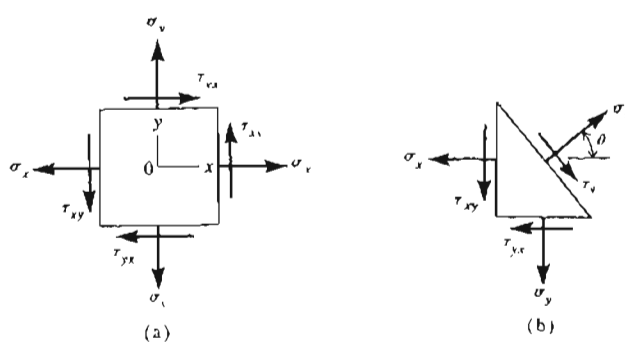
فقطه  $D'$  تنشها را در صفحه‌ای می‌دهد که سرای آن  $220^\circ = 2\theta = 110^\circ$  باشد. تنش‌های نقطه  $D'$  عبارتند از

$$\sigma_\theta' = 149.1 \text{ Kg/cm}^2 ; \tau_\theta' = 359.8 \text{ Kg/cm}^2$$

این تنشها نیز در روی شکل ۵-۸ نشان داده شده‌اند.

## ۶-۵ تنش مسطح

تنش‌های یک محوری و دو محوری حالت‌های خاصی از حالت کلی تر تنش موسوم به تنش مسطح می‌باشد. عنصر کوچکی در تنش مسطح مطابق شکل ۵-۹ می‌تواند در روی وجههای  $x$  و  $y$  تنش‌های عمودی و سرپی داشته باشد ولی در روی وجه  $z$  آن تنش وجود ندارد. تنش برتری در روی وجه  $x$  عنصر کوچک مزبور با  $\tau_{xy}$  نشان داده می‌شود که در آن زیر نویس اول معرف سطحی است که نش بر آن اتر می‌کند و زیر نویس دوم معرف راستای تنش برتری می‌باشد. موقعی که از این اسم گذاری برای مشخص کردن تنش‌های برتری استفاده می‌شود معمولاً "تنش برتری وقتی مثبت فرصل می‌شود که جهت آن در جهت مثبت محور  $y$  باشد. بدین ترتیب  $\tau_{xy}$  در جهت نشان داده شده در روی شکل مثبت می‌باشد. همین طور تنش برتری در وجه فوقانی عنصر کوچک با  $\tau_{yx}$  نشان داده می‌شود و این تنش معرف آن است که تنش برتری در روی وجه  $y$  عنصر کوچک در



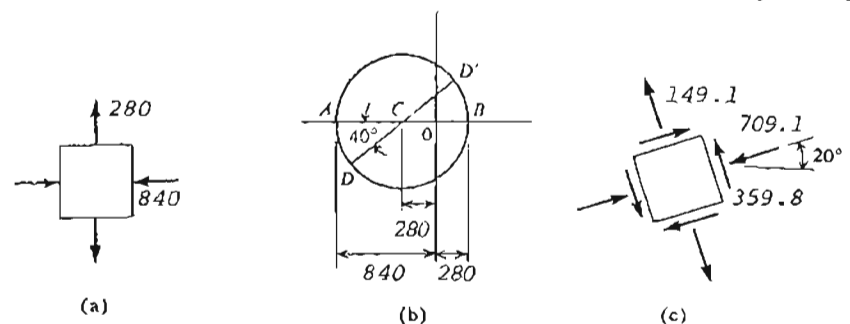
شکل ۵-۹

۲۲۴

(شکل ۵-۵c)، با استفاده از دایره موهر می‌توان تنش‌های  $\sigma_x$  و  $\sigma_y$  را بدست آورد. برای اینکار ابتدا با دانستن مقادیر معلوم تنشها، محل نقاط  $D$  و  $D'$  مشخص می‌شود. سپس با رسم دایره‌ای به قطر  $DD'$  دایره موهر بدست می‌آید. محل سر حور دایره با محور  $\sigma_\theta$  نقطه  $A$  و  $B$  را می‌دهد. بدین ترتیب نه تنش‌های  $\sigma_x$  و  $\sigma_y$  بلکه زاویه دوران  $\theta$  عصر مورد نظر نیز تعیین می‌شود.

## مثال ۱-۱

دایره موهر را برای حالت تنش دو محوری شکل ۵-۸ a می‌باشد رسم کرد. تنش‌های  $\sigma_x = -840 \text{ Kg/cm}^2$  و  $\sigma_y = 280 \text{ Kg/cm}^2$  می‌باشد.  $\tau_\theta = 0$  را در روی اضلاع عنصری که برای آن  $20^\circ = \theta$  می‌باشد تعیین کنید.



شکل ۵-۸

حل: ابتدا محل نقاط  $A$  و  $B$  را که به ترتیب معرف تنش‌های در روی صفحه‌های  $\theta = 90^\circ$  و  $\theta = 0^\circ$  می‌باشند مطابق شکل ۵-۸ b تعیین می‌کیم. مرکز  $C$  دایره در نقطه  $D$  با اندازه گیری زاویه  $40^\circ = 2\theta = 20^\circ$  از نقطه  $A$  در جهت مخالف جهت عقرمه‌های ساعت بدست می‌آید. از روی دایره موهر (شکل ۵-۸ b) مختصات نقطه  $b$  با مقیاس یا محاسبه بدست می‌آید.

$$\sigma_\theta = -709.1 \text{ Kg/cm}^2 ; \tau_\theta = -359.8 \text{ Kg/cm}^2$$

این تنشها در روی عصر دوران پیدا کرده در شکل ۵-۸ نشان داده شده است.

۲۲۵

جهت مثبت  $\theta$  اثر می‌کند و مقدار آن مثبت است. این قرار داد علامت برای تنש‌های برشی  $\tau_{xy}$  و  $\tau_{yx}$  " غالباً" در نشوری ارتعاشی بکار می‌رود و از این جهت در این کتاب انتخاب شده است.

اما ما در بحث‌های قبلی قرار داد دیگری برای علامت تنش برشی  $\tau_\theta$  بکاربردیم که بر اساس اینکه تنش برشی در جهت عقربه‌های ساعت و یا مخالف جهت عقربه‌های ساعت نسبت به سطح اثر کند قرار داشت. ما در مطالعه تنش مسطح برای  $\tau_\theta$  همان قرار داد علامت را بکار خواهیم برد. در این صورت در روی سطح  $\theta = 0^\circ$  (وجه  $X$  عصر کوچک) داریم:  $\tau_{xy} = -\tau_\theta$  و در روی سطح  $90^\circ$  داریم:  $\tau_{xy} = \tau_\theta$ . همچنین از تساوی تنش‌های برشی در روی دو سطح عمود بر هم واضح است که

$$(5-29) \quad \tau_{xy} = \tau_{yx}$$

حال مقطع مایلی را که عمود بر آن با محور  $X$  زاویه  $\theta$  تشکیل می‌دهد در نظر می‌گیریم (شکل ۵-۹ b). از شرایط تعادل عصر کوچک مثلثی می‌توان تنش عمودی  $\sigma_\theta$  و تنش برشی  $\tau_\theta$  را که بر سطح مایل اثر می‌کند بدست آورد. در نوشتن معادلات تعادل باید توجه نمود که مساحت‌های وجهه‌های عصر مزبور یکسان نمی‌باشند و برای به دست آوردن نیروی وارد بر هر وجه باید تنش وارد بر وجه مزبور را در مساحت سطح آن ضرب نمود. این روش قبلاً در مورد معادلات ۵-۹ و ۵-۱۰ بکار رفت.

از تعادل نیروها در امتداد  $\sigma_\theta$  (شکل ۵-۹ b) نتیجه می‌شود

$$\sigma_\theta = \sigma_x \cos^2 \theta + \sigma_y \sin^2 \theta + 2\tau_{xy} \sin \theta \cos \theta$$

از تعادل سیروها در امتداد  $\tau_\theta$  معادله زیر حاصل می‌شود:

$$\tau_\theta = (\sigma_x - \sigma_y) \sin \theta \cos \theta + \tau_{xy} (\sin^2 \theta - \cos^2 \theta)$$

دو معادله فوق را می‌توان با استفاده از روابط مثلثاتی به صورت زیر نوشت:

$$(5-30) \quad \sigma_\theta = \frac{1}{2} (\sigma_x + \sigma_y) + \frac{1}{2} (\sigma_x - \sigma_y) \cos 2\theta + \tau_{xy} \sin 2\theta$$

$$(5-31) \quad \tau_\theta = \frac{1}{2} (\sigma_x - \sigma_y) \sin 2\theta - \tau_{xy} \cos 2\theta$$

معادلات فوق تنش‌های عمودی و برشی را در روی هر سطح مایلی بر حسب تنش‌های  $\sigma_x$  و  $\sigma_y$  و  $\tau_{xy}$  می‌دهند. توجه کنید وقتی  $\theta = 0^\circ$  از معادلات فوق  $\sigma_\theta = \sigma_x$  و  $\tau_{xy} = \tau_{yx}$

۲۳۴

در هنگام استفاده از معادلات ۵-۳۰ و ۵-۳۱ به قرار دادهای علامت تنش‌ها باید به دقت توجه شود:

- الف - تنش‌های عمودی وقتی مثبت هستند که کشی باشند،
- ب - تنش برشی  $\tau_{xy}$  وقتی مثبت است که در جهت مثبت محور  $y$  باشد،
- پ - تنش برشی  $\tau_\theta$  وقتی مثبت است که در جهت عقربه‌های ساعت در روی سطح ماده اثر کند.

علت انتخاب قرار داد علامت فوق برای  $\tau_\theta$  این است که زاویه  $2\theta$  در دایره موهر در جهت مخالف جهت عقربه‌های ساعت که همان جهت مثبت اندازه‌گیری  $\theta$  است اندازه گیری شود.

تنش‌ها در روی سطحی که زاویه  $\theta + \pi/2$  با محور  $X$  می‌سازند ( $\sigma_\theta$  و  $\tau_\theta$ ) از معادلات ۵-۳۰ و ۵-۳۱ با جایگزینی  $\theta + \pi/2$  به جای  $\theta$  بدست می‌آیند. اگر این عمل انجام شود، پیدا خواهیم کرد

$$\sigma_\theta + \sigma'_\theta = \sigma_x + \sigma_y ; \quad \tau_\theta = -\tau'_\theta$$

بدین ترتیب مجدداً مشاهده می‌کنیم که مجموع تنش‌های عمودی در روی دو سطح عمود بر هم ثابت می‌باشد و تنش‌های برشی در روی دو سطح عمود بر هم دارای مقدار پکان ولی جهت مخالف یکدیگر می‌باشند.

با تغییر زاویه  $\theta$  در شکل ۵-۹ b از  $0^\circ$  تا  $360^\circ$  تنش‌های  $\sigma_\theta$  و  $\tau_\theta$  نیز تغییر می‌کنند. مراکزیم و مینیم سقادیر  $\sigma_\theta$  تنش‌های اصلی هستند و مفهاتی که این تنش‌ها بر آنها اثر می‌کنند با مساوی صفر قرار دادن  $d\sigma_\theta / d\theta$  و پس حل معادله حاصل برای  $\theta$  بدست می‌آند.

$$\frac{d\sigma_\theta}{d\theta} = -(\sigma_x - \sigma_y) \sin 2\theta + 2\tau_{xy} \cos 2\theta = 0$$

$$\tan 2\theta_p = \frac{2\tau_{xy}}{\sigma_x - \sigma_y} \quad (5-32)$$

$\theta$  زاویه صفحه‌ایست که در آن تنش برخی ماکریم می‌باشد. از مقابله معادله فوق با معادله ۵-۳۲ نتیجه می‌شود

$$\cot 2\theta_s = -\tan 2\theta_p$$

بنابراین نتیجه می‌گیریم که  $\theta_s = 2\theta_p$  به اندازه  $90^\circ$  با یکدیگر اختلاف دارد، یا صفحه‌های تنش برخی ماکریم با صفحه‌های اصلی را به  $45^\circ$  شکل می‌دهد ( این نتیجه قبلاً در بخش ۲-۵ در حالت تنش دو محوری نزیر مشاهده شده است ). با جایگزینی  $\theta_s = 2\theta_p$  از معادله ۵-۳۴ در معادله ۵-۳۱ تنش برخی ماکریم به دست می‌آید.

$$\tau_{max} = \sqrt{\left(\frac{\sigma_x - \sigma_y}{2}\right)^2 + \tau_{xy}^2} \quad (5-35)$$

رابطه فوق معادل است با

$$\tau_{max} = \frac{\sigma_1 - \sigma_2}{2} \quad (5-36)$$

در روی صفحه‌های تنش برخی ماکریم تنش‌های عمودی برابرند با

$$\sigma_\theta = \sigma'_\theta = \frac{\sigma_x + \sigma_y}{2} \quad (5-37)$$

## مثال ۵-۲

عنصری در تنش مسطح تحت تنش‌های  $\sigma_y = 420 \text{ Kg/cm}^2$ ,  $\sigma_x = 1120 \text{ Kg/cm}^2$  و  $\tau_{xy} = 280 \text{ Kg/cm}^2$  مطابق شکل ۵-۱۰ a قرار دارد. تعیین کرد:

الف - تنشها و صفحه‌های اصلی، ب - تنش‌های روی عنصری که به اندازه  $45^\circ$  دوران کرده باشد و پ - تنش‌های برخی ماکریم. نتایج را روی شکل‌های عناصر دوران پیدا کرده نشان دهید.

حل : الف - برای پیدا کردن صفحه‌های اصلی از معادله ۵-۳۲ استفاده می‌کنیم که از آن  $\tan 2\theta_p = 0.8$  و  $\theta_p = 19.2^\circ$  بدست می‌آید.

با استفاده از معادله ۵-۳۳ سطحهای اصلی  $\sigma_1 = 1218 \text{ Kg/cm}^2$  و  $\sigma_2 = 322 \text{ Kg/cm}^2$

$\theta$  در این رابطه زوایای صفحه‌های اصلی را مشخص می‌کند. از معادله ۵-۳۲ دو مقدار برای  $\theta_p$  بدست می‌آید که با یکدیگر به اندازه  $180^\circ$  اختلاف دارد. اولین مقدار بین  $0^\circ$  و  $180^\circ$  و مقدار دیگر بین  $180^\circ$  و  $360^\circ$  قرار دارد. بدین سرتیپ دو مقدار برای  $\theta_p$  بدست می‌آید، مقدار اول بین  $0^\circ$  و  $90^\circ$  و مقدار دیگر بین  $90^\circ$  و  $180^\circ$  قرار دارد. تنش عمودی  $\sigma_\theta$  به ازای هر کدام از مقادیر  $\theta_p$  ماکریم و بارای مقدار دیگر مینیم می‌باشد. این دو نتیجه اصلی در دو صفحه عمود سریم اثر می‌کنند.

در هر حالت حاصل مقدار از پیدا کردن مقادیر  $\theta_p$  از معادله ۵-۳۲ میتوان آنها را در معادله ۵-۳۰ حاگرین نمود تا دو سطحهای اصلی بدست آید. با انجام این عملیات بطور جزوی می‌توان یک فرمول کلی برای سطحهای اصلی بدست آورد. سرای این کار از معادله ۵-۳۲ داریم

$$\cos 2\theta_p = \pm \frac{\sigma_x - \sigma_y}{s}; \quad \sin 2\theta_p = \pm \frac{2\tau_{xy}}{s}$$

$$s = \sqrt{(\sigma_x - \sigma_y)^2 + 4\tau_{xy}^2} \quad \text{در این رابطه}$$

از جایگزینی مقادیر فوق در معادله ۵-۳۰ حاصل می‌شود

$$\sigma_{1,2} = \frac{\sigma_x + \sigma_y}{2} \pm \sqrt{\left(\frac{\sigma_x - \sigma_y}{2}\right)^2 + \tau_{xy}^2} \quad (5-33)$$

$\sigma_1$  و  $\sigma_2$  به نرتب معرف سطحهای اصلی ماکریم و مینیم به طور جزوی می‌باشند. مشاهده می‌شود که رابطه  $\sigma_1 + \sigma_2 = \sigma_x + \sigma_y$  برقرار است.

اگر در معادله ۵-۳۱ تنش برخی  $\theta_\theta$  را مساوی صفر فرار دهیم و معادله را برای  $2\theta$  حل کنیم به همان نتیجه معادله ۵-۳۲ می‌رسیم. این نتیجه نشان میدهد که در صفحه‌های اصلی سطح برخی وجود ندارد.

حال سطحهای مرخی ماکریم و صفحه‌هایی را که بر آنها اثر می‌کنند پیدا می‌کیم.

اگر منطبق معادله ۵-۳۱ را بسبت  $\theta$  مساوی صفر فرار دهیم خواهیم داشت

$$\cot 2\theta_s = -\frac{2\tau_{xy}}{\sigma_x - \sigma_y} \quad (5-34)$$

۲۳۹

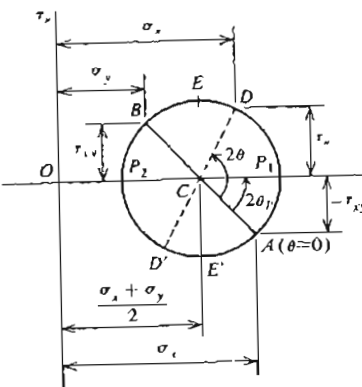
۵-۴ دایره موهر برای تنش مسطح

معادلات ۵-۳۰ و ۵-۳۱ برای حالت کلی تنش مسطح را می‌توان سه مدل دایره موهر نشان داد. این معادلات را می‌توان متابه آنچه که در بخش ۵-۵ بحث شد با یکدیگر ترکیب سود نمود تا معادله

$$(\sigma_\theta - \sigma_{av})^2 + \tau_\theta^2 = \left( \frac{\sigma_x - \sigma_y}{2} \right)^2 + \tau_{xy}^2 \quad (5-38)$$

بدست آید که در آن  $\sigma_{av} = \frac{1}{2} (\sigma_x + \sigma_y)$  معادله ۵-۳۸ می‌باشد. دایره‌ای است که مرکز آن در آن قرار دارد و شعاع آن برابر با جذر قسمت راست معادله فوق می‌باشد. توجه کنید اگر  $\tau_{xy} = 0$  باشد معادله ۵-۳۸ به حالت خاص معادله ۵-۲۸ تبدیل می‌گردد.

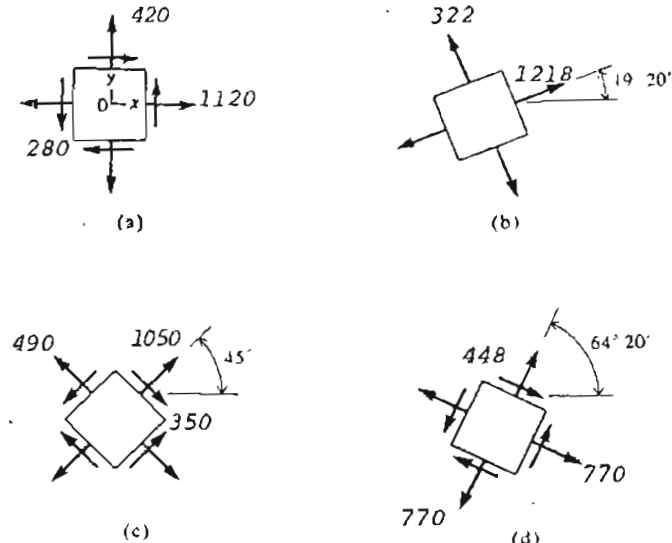
نحوه رسم دایره موهر در شکل ۱۱-۵ نشان داده شده است. ابتدا محل



شکل ۱۱-۵ دایره موهر برای تنش مسطح

نقطه C با مختصات  $\sigma_\theta = 0$  و  $\tau_\theta = 0$  مشخص می‌شود. سه مدل نقطه A که معرف شرایط تنش در صفحه x عنصر می‌باشد و مختصات  $\sigma_\theta = \sigma_x$  و  $\tau_\theta = -\tau_{xy}$  (به قرار داده‌ای علامت برای  $\tau_\theta$  و  $\tau_{xy}$  در شکل ۹-۵ رجوع کنید) است در روی صفحه مختصات مشخص می‌گردد. بعد از آن محل نقطه B که معرف صفحه y عنصر با  $\sigma_y = \sigma_\theta = \tau_{xy}$  است تعیین می‌گردد. نقاط A و B معرف تنش در روی صفحه‌هایی هستند که بر یکدیگر عمود می‌باشند، بنابراین در روی

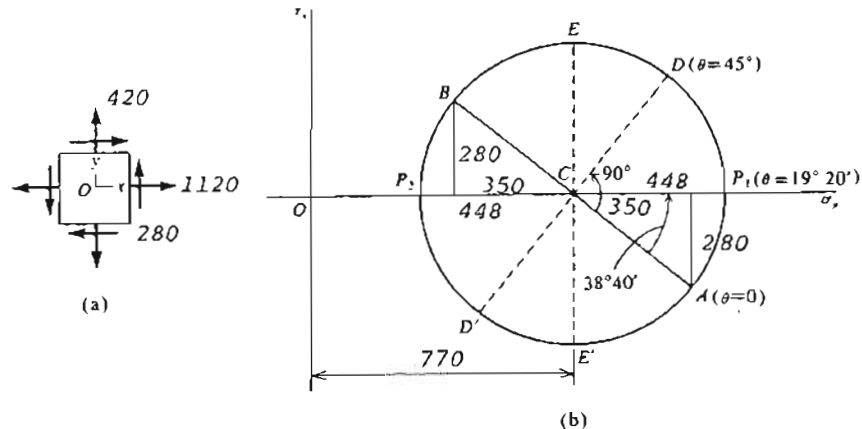
۲۳۸



شکل ۱۱-۵

بدست می‌آید. این نتایج در شکل ۱۱-۵ نشان داده شده است.  
ب - تنش‌ها در روی عنصری که به اندازه ۴۵ درجه کارده باشد از معادلات ۵-۳۰ و ۵-۳۱ بدست می‌آید. اگر در این معادلات  $\theta = 45^\circ$  قرار دهیم  $\sigma_\theta = 1050 \text{ Kg/cm}^2$  و  $\tau_\theta = 350 \text{ Kg/cm}^2$  و اگر در آنها  $\theta = 135^\circ$  قرار دهیم  $\sigma_\theta = 490 \text{ Kg/cm}^2$  و  $\tau_\theta = -350 \text{ Kg/cm}^2$  بدست می‌آید. این نتایج در شکل ۱۱-۵ نشان داده شده است.

پ - زاویه صفحه تنش برای ماقریم از معادله ۵-۳۴ بدست می‌آید:  
 $\cot 2\theta_s = -0.8$  و  $154^\circ 20'$  و  $10^\circ 20'$ . با بکار بردن  $\theta_s = 64^\circ 20'$  در معادلات ۵-۳۰ و ۵-۳۱  $\sigma_\theta = 448 \text{ Kg/cm}^2$  و  $\tau_\theta = 770 \text{ Kg/cm}^2$  و با بکار بردن  $\theta = 308^\circ 40'$  و  $\sigma_\theta = 770 \text{ Kg/cm}^2$  و  $\tau_\theta = -448 \text{ Kg/cm}^2$  بدست می‌آید. این نتایج در شکل ۱۱-۵ نشان داده شده است.



شکل ۱۵ - ۵

و شاعر  $CA = 448 \text{ Kg/cm}^2$  رسم می‌گردد. نقطه B که در انتهای دیگر فنطر AB قرار دارد به محتممات  $\sigma_\theta = 1120 \text{ Kg/cm}^2$  و  $\tau_\theta = 280 \text{ Kg/cm}^2$  می‌باشد.

الف - براساس دایره موهر تنش اصلی  $\sigma_1$  برابر با  $770 + 448 = 1218 \text{ Kg/cm}^2$  می‌باشد و صفحه اصلی مربوطه را ویه  $p_{\theta}$  برابر  $38^\circ 40'$  دارد. بنابراین زاویه بین محور x و صفحه اصلی  $20^\circ 19'$  می‌باشد. تنش اصلی دیگر (نظیر نقطه P<sub>2</sub>) برابر با  $\sigma_2 = 770 - 448 = 322 \text{ Kg/cm}^2$  است که در روی صفحه با  $109^\circ 20' + 90^\circ = 199^\circ 20'$  اندازه گرفته شد.

ب - تنش ها در روی صفحه ای که به اندازه  $45^\circ$  دوران کرده است در روی دایره موهر بوسیله نقطه D با  $\theta = 90^\circ$  مشخص می شود. زاویه بین خط CD و محور  $\theta$  برابر  $90^\circ - 38^\circ 40' = 51^\circ 20'$  می باشد. از مختصات نقطه D تنش های  $\sigma_\theta = 1050 \text{ Kg/cm}^2$  و  $\tau_\theta = 350 \text{ Kg/cm}^2$  بدست می آید. تنش ها در نقطه D نیز  $\sigma_\theta = 490 \text{ Kg/cm}^2$  و  $\tau_\theta = -350 \text{ Kg/cm}^2$  می باشند. این نتایج را می توان در روی عنصری مانند شکل C - ۱۰ - ۵ - ۱ سه بعدی.

ب - تنشهای برشی مازکریم و صفحه‌های مریبوطه بوسیله نقاط  $E$  و  $E'$  تعیین می‌شوند. خواننده به سهولت می‌تواند ثابت کند که تنشهای در این نقاط با نتایج شکل ۱۰-۵ منطبق می‌باشند.

دایره موهر باید به اندازه  $180^\circ$  از یکدیگر فاصله داشته باشد. بدین ترتیب دایره‌ای که به مرکز C و قطر AB رسم شود همان دایره موهر است. برای پیدا کردن تنش‌های  $\alpha_6$  و  $\alpha_7$  در روی صفحه‌ای با زاویه  $\theta$  کافی است در روی دایره موهر از نقطه D برسم. به اندازه  $2\theta$  در جهت حلاف جهت عقرمه‌های ساعت‌گذاشتم تا به نقطه D مختصات نقطه D همان تنش‌های مطلوب می‌باشد. اثبات اینکه مختصات نقطه D به دلیل معادلات 5-30 و 5-31 داده می‌شود به عنوان تمرینی به عهده خواننده واگذار می‌شود.

نقطه D کما نقطه D در روی یک قطر قرار دارد معرف صفحه‌ای می‌باشد که با صفحه مربوط به نقطه D زاویه  $90^\circ$  می‌سازد. نقطه E در سالاترین نقطه دایره معرف تشن‌های صفحه تشن برشی منبت ماکزیم و نقطه E در پایین ترین نقطه دایره معرف تشن‌های صفحه تشن برشی منفی ماکزیم می‌باشد. در روی این صفحه‌ها تشن‌های عمودی برابر با تشن متوسط (معادله 5-37) می‌باشد.

یکی از استفاده‌های مهم دایره موهرب تعیین کردن تنش‌های اصلی می‌باشد. این تنش‌ها که تنش‌های عمودی ماکریم و مینیم می‌باشند با نقاط  $P_1$  و  $P_2$  در روی دایره موهرب (شکل ۱۱-۵) مشخص می‌شوند. نقطه  $P_1$  نظیر صفحه اصلی با تنش عمودی ماکریم  $\sigma_1$  و نقطه  $P_2$  نظیر صفحه اصلی با تنش عمودی مینیم می‌باشد. زاویه  $p^{2\theta}$  اولین صفحه اصلی در روی شکل ۱۱-۵ مشخص شده است. تمام روابطی که در بخش قبل بدست آمد به سهولت بوسیله دایره موهرب قابل استنتاج می‌باشد.

مثال ۳-۵

عنصری در تنش مسطح مطابق شکل ۱۲a - ۵ تحت تنش‌های  $\sigma_x = 1120 \text{ Kg/cm}^2$  و  $\sigma_y = 420 \text{ Kg/cm}^2$  و  $\tau_{xy} = 280 \text{ Kg/cm}^2$  قرار دارد. با استفاده از دایره موهرب تعمیم کنید: الف - تنش‌ها و صفحه‌های اصلی، ب - تنش‌ها در روی صفحه‌ای که به‌اندازه  $45^\circ$  دوران کرده است و پ - تنش‌های برشی ماکریم (توجه کنید این مثال قبلاً در مثال ۲-۵ حل گردیده است).

حل: مرکز C دایره در روی محور  $\sigma_\theta$  قرار دارد که برای آن  $\sigma_\theta = 770 \text{ Kg/cm}^2$ . محل نقطه A به مختصات  $\sigma_\theta = 1120 \text{ Kg/cm}^2$  و  $\sigma_A = -280 \text{ Kg/cm}^2$  در روی صفحه مختصات مشخص می شود. سپس دایره ای به مرکز C

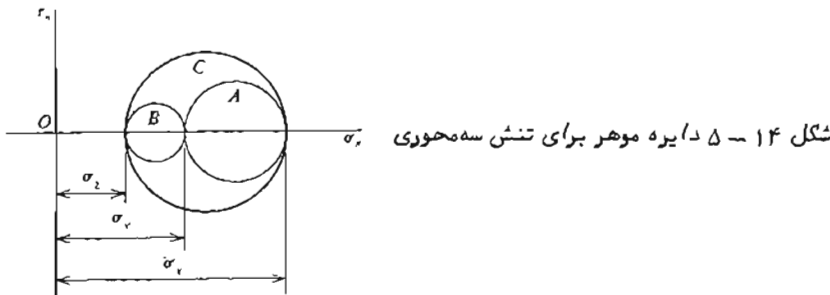
۲۴۳

همین طور تنش‌های برشی ماکزیم در روی صفحه‌های موازی محورهای  $x$  و  $y$  عبارتنداز

$$(\tau_{\max})_x = \frac{\sigma_y - \sigma_z}{2} ; \quad (\tau_{\max})_y = \frac{\sigma_x - \sigma_z}{2} \quad (5-40)$$

بسته به مقادیر نسبی  $\sigma_x$ ،  $\sigma_y$  و  $\sigma_z$  یکی از مقادیر فوق بطور عددی بیشترین تنش برشی در عنصر می‌باشد.

همین نتایج را می‌توان به کمک دایره موهر به سهولت مجسم کرد. برای صفحه‌های موازی محور  $z$  دایره موهر دایره  $A$  در شکل ۵-۱۴ می‌باشد (با فرض اینکه  $\sigma_x$  و  $\sigma_y$  هردو کششی و  $\sigma_x > \sigma_y$  باشد). همین طور برای صفحه‌های موازی محورهای  $x$  و  $y$  به ترتیب دایره‌های  $C$  و  $B$  بدست می‌آید. شاععهای سه دایره معرف تنش‌های برشی ماکزیم می‌باشند که بوسیله معادلات ۵-۳۹ و ۵-۴۰ داده شده‌اند، و تنش برشی ماکزیم مطلق برابر با شاعع بزرگترین دایره می‌باشد.



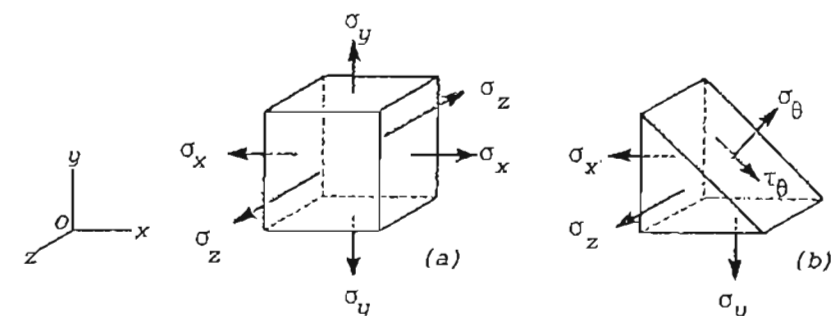
شکل ۵-۱۴ - دایره موهر برای تنش سه‌محوری

تنش‌های برشی و عمودی در روی صفحه‌هایی که به طور مورب و غیرموازی با محورهای  $x$ ،  $y$  و  $z$  بریده شده باشند با یک تحلیل سه بعدی پیچیده تری بدست می‌آید (مرجع ۲۶). تنش‌های عمودی در روی این صفحه‌ها همواره مابین مقادیر جبری تنش‌های اصلی ماکزیم و مینیم قرار دارد، و تنش برشی در روی این صفحه‌ها همواره کمتر از مقدار عددی تنش برشی ماکزیم که از معادلات ۵-۳۹ و ۵-۴۰ به دست می‌آید می‌باشد.

۲۴۴

۵ - ۸ تشن سه‌محوری

حالت تنش عنصر کوچکی از ماده که تحت اثر تنش‌های  $\sigma_x$ ،  $\sigma_y$  و  $\sigma_z$  در سه جهت عمود بر هم می‌باشد (شکل ۵-۱۲a) موسوم به تنش سه‌محوری می‌باشد. اگر صفحه مایلی موازی محور  $z$  از میان عنصر عبور کند (شکل ۵-۱۳b)، تنشها

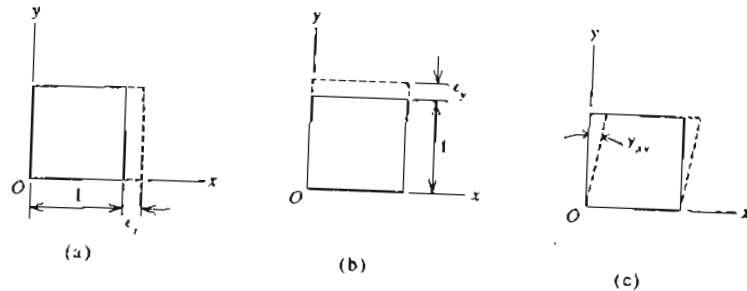


شکل ۵-۱۳

تنش‌هایی که در سطح مایل اثر می‌کنند تنش‌های  $\sigma_\theta$  و  $\tau_\theta$  می‌باشند که قبلاً "برای حالت تنش دو محوری بدست آمد. چون این تنش‌ها از نوشتمن معادلات تعادل در صفحه xy بدست می‌آید، آنها مستقل از تنش  $\sigma_z$  می‌باشند. بنابراین برای تعیین تنش‌های  $\sigma_\theta$  و  $\tau_\theta$  می‌توانیم از معادلات حالت تنش دو محوری و همچنین دایره موهر استفاده کنیم. در مورد صفحه‌های مایلی که موازی  $x$  و  $y$  از میان عنصر برپا شود نیز همین نتایج کلی حاصل می‌شود.

با توجه به بحث‌های قبل مشاهده می‌شود که تنش‌های  $\sigma_x$ ،  $\sigma_y$  و  $\sigma_z$  تنش‌های اصلی عنصر مذبور می‌باشند. بعلاوه تنش‌های برشی ماکزیم روی صفحه‌هایی خواهد بود که عنصر را تحت زاویه  $45^\circ$  و موازی یکی از محورهای مختصات قطع کند (و اینستگی به مقدار تنش‌های  $\sigma_x$ ،  $\sigma_y$  و  $\sigma_z$  نسبت به یکدیگر دارد). برای مثال اگر فقط صفحه‌های موازی محور  $z$  را در نظر بگیریم (شکل ۵-۱۳b)، تنش برشی ماکزیم برابر است با (با استفاده از معادله ۵-۱۶)

$$(\tau_{\max})_z = \frac{\sigma_x - \sigma_y}{2} \quad (5-39)$$



شکل ۵-۱۵

(شکل ۵-۱۵ a) و کرنش برشی  $\gamma_{xy}$  (شکل ۵-۱۵ b) و کرنش برشی  $\gamma_{xy}$  در یک عنصر به صورت کاہن زاویه قائم گشته سمت جب تختانی آن وقتی که عنصر مطابق شکل ۵-۱۵ c نسبت به محورهای x و y قرار گرفته تعریف می‌شود: این تعریف کرنش برشی مثبت با تعریف تنش برشی مثبت  $\tau_{xy}$  در شکل ۵-۱۵ d سازگار می‌باشد.

حالات عنصری از ماده که فقط تحت اثر کرنش‌های  $\epsilon_x$ ،  $\epsilon_y$  و  $\epsilon_z$  می‌باشد حالت کرشن مسطح خواهد می‌شود. چنین عنصری کرنش عمودی  $\epsilon_z$  و کرنش‌های برشی  $\gamma_{xz}$  و  $\gamma_{yz}$  (به ترتیب در صفحه‌های xz و yz) نخواهد داشت. بدین ترتیب حالت کلی کرشن مسطح بوسیله شرایط زیر تعریف می‌شود:

$$\epsilon_x \neq 0 \quad \epsilon_y \neq 0 \quad \gamma_{xy} \neq 0$$

$$\epsilon_z = \epsilon_{xz} = \epsilon_{yz} = 0$$

تعریف کرشن مسطح فوق منابه تعریف تنش مسطح می‌باشد که در حالت کلی به صورت زیر بیان می‌شود:

$$\sigma_x \neq 0 \quad \sigma_y \neq 0 \quad \tau_{xy} \neq 0$$

$$\sigma_z = \tau_{xz} = \tau_{yz} = 0$$

از شابه شرایط کرشن مسطح و تنش مسطح نباید نتیجه گرفت که کرشن مسطح و تنش مسطح در شرایطی کسان ایجاد می‌شوند. برای مثال ما می‌دانیم عنصری در تنش مسطح معمولاً

اگر ماده مورد نظر از قانون هooke بیروی کند کرنش‌ها در جهت‌های x، y و z برای حالت تنش سه محوری به همان طریق حالت تنش دو محوری بذست می‌آید.

$$\epsilon_x = \frac{\sigma_x}{E} - \frac{v}{E} (\sigma_y + \sigma_z) \quad (5-41)$$

$$\epsilon_y = \frac{\sigma_y}{E} - \frac{v}{E} (\sigma_x + \sigma_z) \quad (5-42)$$

$$\epsilon_z = \frac{\sigma_z}{E} - \frac{v}{E} (\sigma_x + \sigma_y) \quad (5-43)$$

تغییر حجم واحد حجم عنصر برابر است با (معادله ۵-۲۱)

$$\frac{\Delta V}{V} = \epsilon_x + \epsilon_y + \epsilon_z \quad (5-44)$$

اگر در معادله فوق به جای کرنش‌ها از معادلات ۵-۴۱ تا ۵-۴۳ قرار دهیم خواهیم داشت

$$\frac{\Delta V}{V} = \frac{1-2v}{E} (\sigma_x + \sigma_y + \sigma_z) \quad (5-45)$$

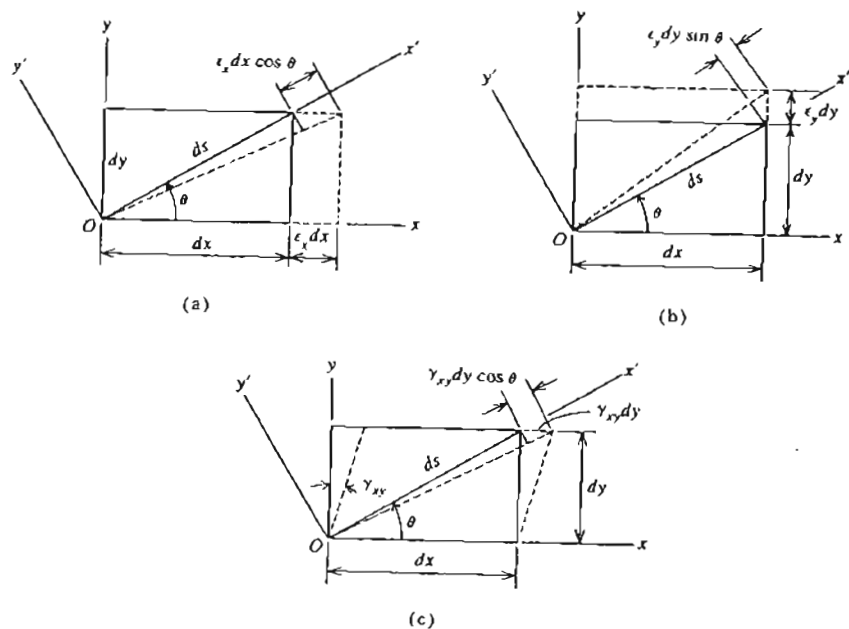
در حالت خاصی که عنصر مورد نظر تحت فشار هیدرولاستاتیک یا فشار بکواخت در همه جهات قرار دارد اگر فشار مزبور را p بنامیم می‌توانیم بنویسیم

$$\sigma_x = \sigma_y = \sigma_z = -p$$

$$\frac{\Delta V}{V} = -\frac{3p(1-2v)}{E} \quad (5-46)$$

## ۵-۱۰ کرشن مسطح

در تحقیقات تجربی رفتار مصالح و سازه‌ها اندازه گیری کرنش‌ها بوسیله کرنش‌سنج‌ها کامل‌اً متداول است. از این رو پیدا کردن روابطی بین کرنش‌های عمودی و برشی در امتدادهای مختلف مشابه روابطی که در بخش ۶-۵ برای تنش مسطح بذست آمد مورد توجه می‌باشد. در صفحه xy سه مولفه کرنش ممکن است وجود داشته باشد: کرشن عمودی  $\epsilon_x$  در امتداد x (شکل ۵-۱۵ a)، کرشن عمودی  $\epsilon_y$  در امتداد y



شکل ۵-۱۲

$\gamma_{xy}$  کاهش خواهد یافت (شکل ۵-۱۲ c). هر یک از این سه تغییر شکل باعث می شود که طول قطر عنصر تغییر کند. اضافه طول های نظیر قطر عنصر مطابق شکل کل قطر مزبور مجموعه کمیت فوق می باشد، و کرنش نظیر  $\epsilon_\theta$  در راستای  $x'$  با تقسیم  $dy/ds = \sin\theta$  کردن این مجموع بر طول  $ds$  قطر به دست می آید. با توجه به اینکه  $\epsilon_x = \cos\theta$  و  $\epsilon_y = \sin\theta$  نتیجه زیر حاصل می شود:

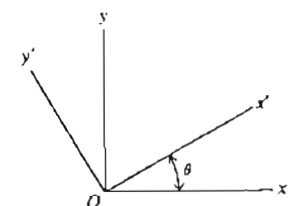
$$\epsilon_\theta = \epsilon_x \cos^2\theta + \epsilon_y \sin^2\theta + \gamma_{xy} \sin\theta \cos\theta \quad (5-47)$$

این معادله را به صورت زیر نیز می توان نوشت:

$$\epsilon_\theta = \frac{1}{2}(\epsilon_x + \epsilon_y) + \frac{1}{2}(\epsilon_x - \epsilon_y)\cos 2\theta + \frac{1}{2}\gamma_{xy}\sin 2\theta \quad (5-48)$$

بدین ترتیب معادلات ۵-۴۷ و ۵-۴۸ کرنش عمودی  $\epsilon_\theta$  را در راستای محور  $x'$

در امتداد  $x'$  کرنش دارد و این نشان می دهد که حالت تنش مسطح لزومی ندارد که حالت کرنش مسطح را ایجاد کند. همچنین بر عنصری در کرنش مسطح معمولاً "تنش  $\sigma_z = 0$ " نتیجه می شود که معمولاً "تنش مسطح و کرنش مسطح بطور همزمان اتفاق نمی افتد". معادلات تبدیل تنشها در بخش ۶-۵ ابتدا برای حالت تنش مسطح بدست آمدند. بعداً در بخش ۸-۵ دیدیم که آنها را می توان برای عنصری در تنش سه محوری نیز بکار برد به شرط آنکه دوران عنصر حول یکی از محورهای مختصات صورت گرفته باشد. در مورد کرنشها نیز همان روش فوق بکار خواهد رفت. معادلات تبدیل کرنشها برای حالت کرنش مسطح بدست خواهد آمد، اما این معادلات برای حالت کرنش سه محوری نیز صادق هستند به شرط آنکه دوران به یک امتداد جدید حول یکی از محورهای مختصات صورت گیرد. در نتیجه معادلات تبدیل کرنشها که در زیر بدست می آیند برای تعیین کرنشها در حالت تنش مسطح نیز بکار می روند. همین طور معادلات تنش مسطح که در بخش ۶-۵ بدست آمد برای تعیین تنشها در حالت کرنش مسطح نیز بکار می روند.



شکل ۵-۱۶

برای اینکه معادلات تبدیل کرنشها را برای کرنش مسطح بدست آوریم، محورهای مختصات شکل ۵-۱۶ را در نظر می گیریم. فرض می شود که کرنش‌های عمودی  $\epsilon_x$  و  $\epsilon_y$  و کرنش برشی  $\gamma_{xy}$  مربوط به محورهای  $x$  و  $y$  معلوم باشند. هدف ما تعیین کرنش‌های عمودی و برشی مربوط به محورهای  $x'$  و  $y'$  می باشد که نسبت به محورهای  $xy$  به اندازه  $\theta$  دوران کرده‌اند. کرنش عمودی در امتداد  $x'$  با  $\epsilon_\theta$  و کرنش برشی مربوط به محورهای  $y'$  با  $\gamma_\theta$  نشان داده می شود. وقتی که  $\theta = 0$  داریم  $\epsilon_\theta = \epsilon_x$  و  $\gamma_\theta = \gamma_{xy}$ .

یک عنصر مستطیلی به اصلاح  $dx$  و  $dy$  که قطرش در امتداد محور  $x'$  میباشد در شکل ۱۶-۵ مشاهده می گردد. در اثر کرنش‌های  $\epsilon_x$ ،  $\epsilon_y$  و  $\epsilon_z$  عنصر مزبور در امتداد  $x$  به اندازه  $\epsilon_x dx$  (شکل ۱۶a) و در امتداد  $y$  به اندازه  $\epsilon_y dy$  (شکل ۱۶b) اضافه طول پیدا خواهد کرد و زاویه  $XOy$

۲۴۹

عبارات  $\epsilon_\theta$  و  $\gamma_\theta$  را دارند. این شباهت به صورت طبیعی بودن  $\epsilon_x$ ,  $\epsilon_y$ ,  $\gamma_{xy}$  و  $\gamma_\theta$  با ترتیب  $\epsilon_x$ ,  $\epsilon_y$ ,  $\gamma_{xy}$  و  $\gamma_\theta$  می‌باشد. وجود علامت منفی در جمله آخر به علت قرار داد علامتی است که برای تنش برشی  $\gamma_\theta$  بکار رفت (شکل ۵-۵ را بینید).

شباهت بین معادلات تنش مسطح و کرنش مسطح نشان می‌دهد که نظیر هر معادله تنش مسطح معادله‌ای نیز برای کرنش مسطح وجود دارد. برای مثال کرنش عمودی  $\epsilon_\theta$  و کرشن برشی  $\gamma_\theta$  مربوط به یک جفت محوری که به اندازه  $\frac{1}{2}\theta + \pi/2$  دوران کرده است با جایگزینی  $\theta + \pi/2$  بجای  $\theta$  در معادلات ۵-۴۸ و ۵-۵۰ بدست می‌آید، در این صورت داریم

$$\epsilon_\theta + \epsilon_x = \epsilon_x + \epsilon_y ; \quad \gamma_\theta = -\gamma_{xy} \quad (5-51)$$

این معادلات نشان می‌دهد که مجموع کرنش‌های عمودی در دو جهت عمود بر هم ثابت است و کرنش‌های برشی در امتداد های عمود بر هم دارای مقدار پیکان و علامت مخالف می‌باشد. این نتیجه کاملاً مشابه نتیجه‌ایست که در بخش ۶-۵ برای تنش مسطح بدست آمد.

همچنین در امتدادهایی که بوسیله معادله زیر مشخص می‌شود کرنش‌های اصلی وجود دارد (این معادله را با معادله ۵-۳۲ مقایسه کنید).

$$\tan 2\theta_p = \frac{\gamma_{xy}}{\epsilon_x - \epsilon_y} \quad (5-52)$$

کرنش‌های اصلی از معادله زیر محاسبه می‌شوند:

$$\epsilon_{1,2} = \frac{\epsilon_x + \epsilon_y}{2} \pm \sqrt{\left(\frac{\epsilon_x - \epsilon_y}{2}\right)^2 + \left(\frac{\gamma_{xy}}{2}\right)^2} \quad (5-53)$$

این معادله شبیه معادله ۵-۳۳ برای تنش‌ها می‌باشد. در روی صفحه‌های اصلی کرشن برشی وجود ندارد.

کرشن برشی ماکزیمم در روی صفحه‌هایی که با صفحه‌های اصلی زاویه  $45^\circ$  می‌سازند وجود دارد و مقدار آن از رابطه زیر بدست می‌آید:

$$\frac{1}{2}\gamma_{max} = \sqrt{\left(\frac{\epsilon_x - \epsilon_y}{2}\right)^2 + \left(\frac{\gamma_{xy}}{2}\right)^2} \quad (5-54)$$

۲۴۸

می‌دهند. اگر کرنش عمودی در راستای  $y$  مطلوب باشد کافی است در معادلات فوق به جای  $\theta$  مقدار  $\theta + \pi/2$  را قرار دهیم.  
برای یافتن معادله‌ای برای کرشن برشی  $\gamma_\theta$  مجدداً "تغییر شکل‌های شکل ۶-۱۷ را در نظر می‌گیریم. از شکل ۶-۱۷ a-۵ مشاهده می‌شود که در اثر کرنش  $\epsilon_x$  محور  $x$  به اندازه زاویه کوچک  $\epsilon_x dx \sin\theta/ds$  در جهت عقریه‌های ساعت دوران کرده است. همین طور از شکل ۶-۱۷ b-۵ نتیجه می‌شود که در اثر کرشن  $\epsilon_y$  محور  $x$  به اندازه زاویه  $\epsilon_y dy \cos\theta/ds$  در جهت مخالف عقریه‌های ساعت دوران نموده است. بالاخره از شکل ۶-۱۷ c-۵ مشاهده می‌شود که در اثر کرشن برشی  $\gamma_{xy}$  محور  $x$  ترتیب دوران محور  $x$  در جهت عقریه‌های ساعت برابر است با

$$\alpha = \epsilon_x \sin\theta \cos\theta - \epsilon_y \sin\theta \cos\theta + \gamma_{xy} \sin^2\theta$$

اگر در رابطه فوق به حای  $\theta$  کمیت  $\theta + \pi/2$  را قرار دهیم، زاویه دوران محور  $y$  در جهت عقریه‌های ساعت بدست می‌آید.

$$\beta = -\epsilon_x \sin\theta \cos\theta + \epsilon_y \sin\theta \cos\theta + \gamma_{xy} \cos^2\theta$$

کاوش زاویه  $\alpha$  که همان کرشن برشی  $\gamma_\theta$  است برابر  $\alpha = \beta$  می‌باشد.

$$\gamma_\theta = -2\epsilon_x \sin\theta \cos\theta + 2\epsilon_y \sin\theta \cos\theta + \gamma_{xy} (\cos^2\theta - \sin^2\theta)$$

پس از تقسیم نمودن طرفین رابطه فوق بر ۲ حاصل می‌شود

$$\frac{1}{2}\gamma_\theta = -(\epsilon_x - \epsilon_y) \sin\theta \cos\theta + \frac{1}{2}\gamma_{xy} (\cos^2\theta - \sin^2\theta) \quad (5-49)$$

این رابطه پس از استفاده از روابط مثلثاتی بصورت زیر در می‌آید:

$$\frac{1}{2}\gamma_\theta = -\frac{1}{2}(\epsilon_x - \epsilon_y) \sin 2\theta + \frac{1}{2}\gamma_{xy} \cos 2\theta \quad (5-50)$$

در دو حالت خاص  $\theta = 0^\circ$  و  $\theta = 90^\circ$  از معادلات فوق به ترتیب  $\gamma_\theta = \gamma_{xy}$  و  $\gamma_\theta = -\gamma_{xy}$  بدست می‌آید.

مقایسه معادلات ۵-۴۸ و ۵-۵۰ برای حالت کرشن مسطح با معادلات ۵-۳۰ و ۵-۳۱ برای حالت تنش مسطح نشان می‌دهد که عبارات  $\epsilon_\theta$  و  $\gamma_\theta$  همان شکل

۲۵۱

یک میله فلزی در درجه حرارت  $21^{\circ}\text{C}$  "دقیقاً" در بین تکه کاههای صلب قرار می‌گیرد (شکل ۵-۱۹ a). اگر درجه حرارت به  $93^{\circ}\text{C}$  افزایش پابد تنشهای عمودی و برشی را در مقطع مایل  $pq$  حساب کنید. ضرب ابساط حرارتی فلز میله را  $\alpha = 11.7 \times 10^{-6} \text{C}^{-1}$  و ضرب ارجاعی آن را  $E = 2.1 \times 10^6 \text{Kg/cm}^2$  فرض کنید.



شکل ۵-۱۹

حل : اگر میله آزاد بود به اندازه  $\delta = \alpha L \Delta T$  از دیگر طول پیدا می‌کرد (طول میله  $= L$  و از دیگر درجه حرارت  $= \Delta T$ ). ولی چون از از دیگر طول میله در دو انتهای آن بوسیله تکه کاههای صلب جلو گیری می‌شود در آن تنشهای فشاری  $\sigma_x$  ایجاد می‌گردد. اگر سطح مقطع میله برابر  $A$  باشد نیروی ایجاد شده در میله برابر است با

$$P = \frac{AE\delta}{L}$$

بنابراین تنش  $\sigma_x$  به صورت زیر حساب می‌شود :

$$\sigma_x = \frac{P}{A} = \frac{E\delta}{L} = \frac{E(\alpha L \Delta T)}{L} = E\alpha \Delta T$$

$$\sigma_x = - (2.1 \times 10^6) (11.7 \times 10^{-6}) (93-21) = -1769 \text{ Kg/cm}^2 \quad \text{فشاری}$$

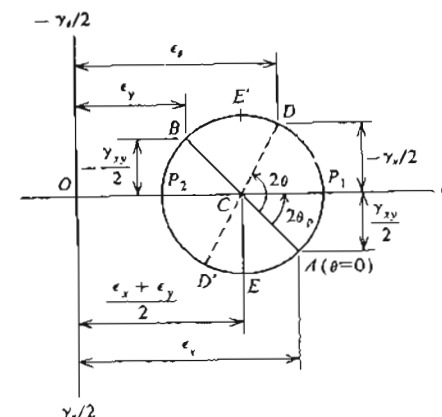
تنشهای عمودی و برشی در مقطع مایل  $pq$  که عمود بر آن با امتداد افقی زاویه  $\theta = 30^{\circ}$  می‌سازد (شکل ۵-۱۹ b) از روابط زیر بدست می‌آید :

$$\sigma_{30} = \sigma_\theta = \sigma_x \cos^2 \theta = -1769 \cos^2 30 = -1326.75 \text{ Kg/cm}^2$$

$$\tau_{30} = \tau_\theta = \sigma_x \sin \theta \cos \theta = -1769 \sin 30 \cos 30 = -766 \text{ Kg/cm}^2$$

۲۵۰

کرنش عمودی در صفحه‌های کرنش برشی ماقریم برابر است با  $(\epsilon_x + \epsilon_y)/2$ . دایره موهربه برای کرنش مسطح با همان ترتیب تنش مسطح ساخته می‌شود (شکل ۵-۱۸). کرنش عمودی  $\epsilon_\theta$  در روی محور افقی و نصف کرنش برشی در روی محور فائمه به طرف پایین رسم می‌شود (شکل ۵-۱۸-۵ را با شکل ۱۱-۵ مقایسه کنید).



شکل ۵-۱۸

دایره طولی برابر  $(\epsilon_x + \epsilon_y)/2$  دارد. نقطه A معرف کرنش‌های مربوط به امتداد x دارای مختصات  $\epsilon_x$  و  $\epsilon_{xy}/2$  در انتهای دیگر قطری که از A عبور می‌کند دارای مختصات  $\epsilon_y$  و  $\epsilon_{xy}/2$  می‌باشد (نقطه B معرف کرنش‌های مربوط به محورهای دوران کرده دیگر بوسیله نقطه D داده می‌شود که برای تعیین محل آن از نقطه A به اندازه  $2\theta$  اندازه گرفته می‌شود. همچنین نقاط P1 و P2 معرف کرنش‌های اصلی و نقاط E و E' معرف کرنش‌های برشی ماقریم می‌باشند. تمام کمیت‌های مذکور را می‌توان به سهولت از روی دایره موهربه پیدا نمود.

۵-۱۱ مسائل حل شده

مسئله ۵-۱

۲۵۳

یک صفحه مولادی دایره‌ای نارک به شعاع  $r$  و ضخامت  $t$  تحت تنش شعاعی  $\sigma_0$  که به طور نکتواخ در محیط آن گستردگی دارد. حال نش را در روی عنصری از صفحه مانند A ساخت (شکل ۵-۲۱). همچین اگر صرب ارتحاعی فولاد  $E = 2 \times 10^6 \text{ Kg/cm}^2$  و ضرب پواسون  $v = 0.25$  باشد تعییر حجم واحد صفحه را پیدا کید.

حل: چون صفحه و سارگداری خارجی هر دو نسبت به سطه ۰ متقارن می‌باشد نتیجه می‌شود که صفحه بعد از تعییر شکل نیز به صورت دایره‌ای باقی خواهد ماند. این بدان معنی است که کرنش‌های شعاعی (در امتداد شعاع دایره) و محیطی (در امتداد محیط دایره) در سراسر صفحه باید پکواخت و یکسان باشد. حال با توجه به روابط بین تنشها و کرنشها در تنش دو محوری (معادلات ۵-۱۷ و ۵-۱۸) و با مراعته به حالت تنشها در عنصرهای A، C و B (از نمودار جسم آزاد عنصر B نتیجه می‌شود  $\sigma_x = \sigma_y = \sigma_0$  و از نمودار جسم آزاد عنصر C نتیجه می‌شود  $\sigma_z = 0$ ) می‌توان نتیجه گرفت

$$\sigma_x = \sigma_y = \sigma_0$$

بنابراین حالت تنش در هر عنصر دیگری از صفحه مانند عنصر A تنش دو محوری با تنش‌های اصلی یکسان می‌باشد.

قبل از تعییر شکل صفحه حجم آن برابر است با  $V_0 = \pi r^2 t$ . بعد از غیر شکل شعاع جدید صفحه  $(1 + \epsilon_x)$  و ضخامت جدید آن  $t(1 + \epsilon_z)$  می‌گردد. بنابراین حجم جدید صفحه  $(1 + \epsilon_x)^2 t(1 + \epsilon_z)^2 = V$  می‌باشد. با بسط دادن این عبارت و صرف نظر نمودن از توان‌های دوم و سوم کرنش‌ها که مقادیر کوچکی هستند خواهیم داشت

$$V \approx \pi r^2 t (1 + \epsilon_z + 2\epsilon_x)$$

در این صورت تعییر حجم در واحد حجم صفحه برابر می‌شود با

$$\frac{\Delta V}{V_0} = \frac{V - V_0}{V_0} = \frac{\pi r^2 t (\epsilon_z + 2\epsilon_x)}{\pi r^2 t} = \epsilon_z + 2\epsilon_x \quad (1)$$

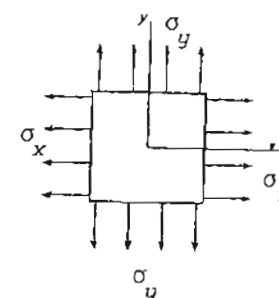
حال برای حالت تنش  $\sigma_x = \sigma_y = \sigma_0$  کرنش‌ها را حساب می‌کنیم.

$$\epsilon_x = \epsilon_y = \frac{\sigma_x}{E} - v \frac{\sigma_y}{E} = \frac{(1-v)\sigma_0}{E}$$

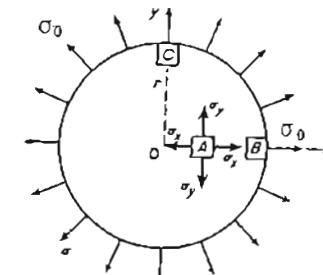
$$\epsilon_z = -v \left( \frac{\sigma_x}{E} + \frac{\sigma_y}{E} \right) = -\frac{2v\sigma_0}{E}$$

۲۵۴

صفحه نارکی به صخامت  $t$  در تنش دو محوری تحت شرایط  $\sigma_x = 1400 \text{ Kg/cm}^2$  و  $\sigma_y = 560 \text{ Kg/cm}^2$  قرار دارد (شکل ۵-۲۰). اگر  $v = 0.25$  و  $t = 6.3 \text{ mm}$  باشد کاهش ضخامت صفحه را پیدا کنید.



شکل ۵-۲۰



شکل ۵-۲

حل: کرنش در محور 2 (عمود بر صفحه نکل) برابر است با

$$\epsilon_z = -\frac{v}{E} (\sigma_x + \sigma_y) = -\frac{0.25}{2.1 \times 10^6} (1400 + 560) = -2.33 \times 10^{-4}$$

اگر کاهش ضخامت صفحه را  $\Delta t$  بنامیم خواهیم داشت

$$\epsilon_z = \frac{\Delta t}{t} = \frac{\Delta t}{6.3} = -2.33 \times 10^{-4}$$

$$\Delta t = 0.0015 \text{ mm}$$

۲۵۵

برای بدست آوردن  $P$  از تغییر شکل استوانه فولادی در مقابل تغییر شکل استوانه لاستیکی می‌توان صرف نظر نمود، به عبارت دیگر می‌توان غرض نمود:

$$\epsilon_x = \epsilon_y = 0$$

اما  $\epsilon_x$  بر حسب تنשها به صورت زیر بیان می‌شود:

$$\epsilon_x = \frac{1}{E} [\sigma_x - v(\sigma_y + \sigma_z)] = \frac{1}{E} [-p - v(-p - \frac{4P}{\pi d^2})] = 0$$

از این رابطه  $p$  بدست می‌آید.

$$p = \frac{4vP}{\pi(1-v)d^2} = \frac{4(0.45)(500)}{\pi(1-0.45)(5)^2} = 20.83 \text{ Kg/cm}^2$$

### مسئله ۵-۵

کاهش حجم یک کوی فولادی توپر به قطر  $2.5 \text{ cm}$  تحت فشار هیدرو استاتیکی  $E = 2.1 \times 10^6 \text{ Kg/cm}^2$  چقدر می‌باشد؟ ضریب ارتعاشی فولاد را  $v = 0.3$  و ضریب پواسون را  $\nu = 0.45$  اختیار کنید.

حل: گوی در سه جهت  $x$ ،  $y$  و  $z$  تحت فشار  $p = 140 \text{ Kg/cm}^2$  می‌باشد.

$$\sigma_x = \sigma_y = \sigma_z = -p = -140 \text{ Kg/cm}^2$$

کرنش در جهت  $\epsilon_x$  برابر است با

$$\begin{aligned} \epsilon_x &= \frac{1}{E} [\sigma_x - v(\sigma_y + \sigma_z)] \\ &= \frac{1}{E} [-p - v(-p - p)] = -\frac{(1-2v)p}{E} \end{aligned}$$

به علت تقارن کرنشها  $\epsilon_y$  و  $\epsilon_z$  نیز برابر با  $\epsilon_x$  می‌باشد.

$$\epsilon_y = \epsilon_z = -\frac{(1-2v)p}{E}$$

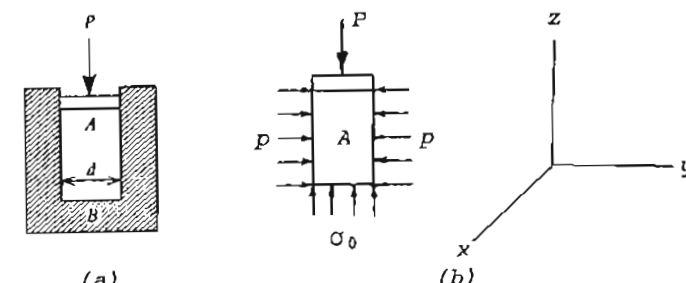
۲۵۴

با جایگزینی مقادیر کرنشها در رابطه ۱ خواهیم داشت

$$\frac{\Delta V}{V_0} = \frac{2\sigma_0}{E} (1-2v) = \frac{2(2000)}{2(10)^6} (1-0.5) = 0.001$$

### مسئله ۵-۶

استوانه لاستیکی  $A$  به قطر  $d$  در استوانه فولادی  $B$  به وسیله نیروی  $P$  فشرده می‌شود (شکل ۵-۲۲ a). اگر  $d = 5 \text{ cm}$ ،  $P = 500 \text{ Kg}$  و ضریب پواسون لاستیک  $v = 0.45$  باشد، فشار  $\sigma_0$  بین لاستیک و فولاد را تعیین کنید.



شکل ۵-۲۲

حل: اگر فشار وارد بر کف استوانه لاستیکی را  $\sigma_0$  بنامیم (شکل b) با نوشتن معادله تعادل استوانه در امتداد قائم فشار  $\sigma_0$  بدست می‌آید.

$$\sigma_0 = -\frac{P}{\frac{\pi d^2}{4}} = -\frac{4P}{\pi d^2}$$

بر استوانه لاستیکی از سه جهت  $x$ ،  $y$  و  $z$  تنش وارد می‌شود (تنش سه محوری) و مقدار این تنشها برابر است با

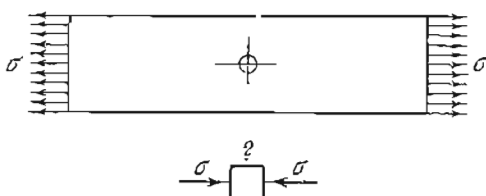
$$\sigma_x = \sigma_y = -p$$

$$\sigma_z = \sigma_0 = -\frac{4P}{\pi d^2}$$

۲۵۷

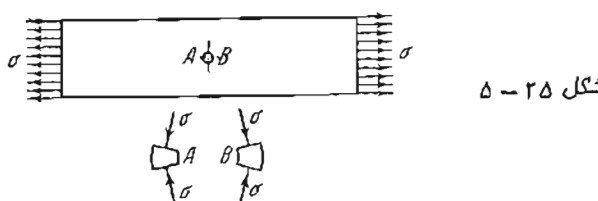
## مسئله ۷

T یا می توانید در روی سمه طوپلی که تحت تنش های کشی مطابق شکل ۵-۲۴ می باشد و در وسط آن سوراخی وجود دارد نقطه ای پیدا کنید که حالت تنش در آن یک محوری فشاری با همان تنش σ باشد؟



شکل ۵-۲۴

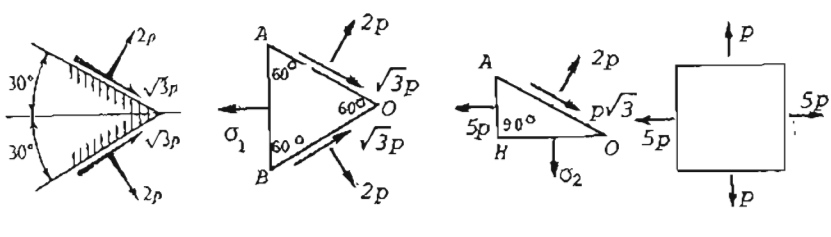
حل : نقاط A و B در دو انتهای چپ و راست سوراخ (شکل ۵-۲۵) تحت تنش یک محوری فشاری با همان تنش σ می باشند.



شکل ۵-۲۵

## مسئله ۸

مقدار و جهت تنشها روی دو صفحه متقاطع در یک نقطه مطابق شکل ۵-۲۶ a می باشد. مقدار و جهت تنش های اصلی را در نقطه مزبور تعیین کنید.



شکل ۵-۲۶

۲۵۶

بنابراین تغییر حجم در واحد حجم برابر است با

$$\frac{\Delta V}{V} = \epsilon_x + \epsilon_y + \epsilon_z = -\frac{3(1-2\nu)p}{E}$$

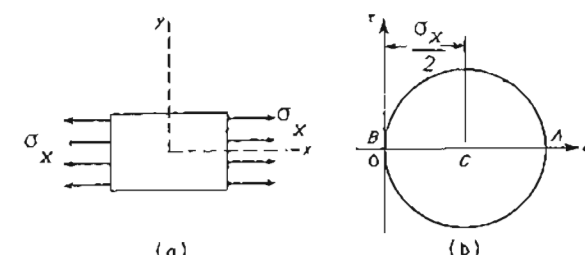
$$= -\frac{3(1-0.6)(140)}{2.1 \times 10^6} = -8 \times 10^{-5}$$

سرانجام کاهش حجم کره برآورد است با

$$\Delta V = \frac{4}{3} \pi r^3 (8 \times 10^{-5}) = \frac{4}{3} (\pi \times 1.25^3) (8 \times 10^{-5}) = 0.65 \times 10^{-3} \text{ cm}^3$$

## مسئله ۹

دایره موهر را برای حالت کشش ساده شکل ۵-۲۳ a رسم کنید.



شکل ۵-۲۳

حل : مرکز C دایره به مختصات  $\sigma = \sigma_x / 2$  و  $\tau = 0$ ، نقطه A به مختصات  $\sigma = \sigma_x$  و  $\tau = 0$  و نقطه B به مختصات  $\sigma = \tau = 0$  می باشد. پس از تعیین محل این نقاط دایره موهر مطابق شکل ۵-۲۳ b رسم می گردد.

۲۵۹

مسئله ۳-۱-۵ مثال ۱-۵ را با استفاده از دایره موهر حل کنید.

مسئله ۱-۲-۵ یک غشاء برنجی دایره‌ای نازک در سراسر لبه‌اش بر روی حلقه‌برنخی دایره‌ای صلی متکی می‌باشد. غشاء مزبور در درجه حرارت اطاق ( $20^{\circ}\text{C}$ ) بدون تنش است. اگر درجه حرارت به  $-20^{\circ}\text{C}$  تنزل پیدا کند، تنش‌های اصلی  $\sigma_x$  و  $\sigma_y$  در غشاء، چقدر خواهد بود؟

$$\text{فرض کنید } \alpha = 19 \times 10^{-6} \text{ C}^{-1}, E = 10^6 \text{ Kg/cm}^2, v = 0.3 \text{ و } \sigma_0 = 19 \times 10^{-6} \text{ C}^{-1}.$$

مسئله ۱-۳-۵ عنصری از مصالح درتنش دو محوری کرنش‌های اصلی  $\epsilon_x = 0.00004$  و  $\epsilon_y = 0.00017$  دارد. اگر  $v = 0.3$  باشد، کرنش  $\epsilon_z$  را پیدا کنید.

مسئله ۲-۳-۵ اگر در میله متاوری تحت فشار محوری نسبت تغییر حجم در واحد حجم به تغییر مساحت سطح مقطع در واحد سطح مقطع به طور عددی برابر ۰.۷۵ باشد ضرب بوازن را بدست آورید.

مسئله ۳-۳-۵ عنصری در تنش دو محوری مطابق شکل ۳-۵ در جهت‌های  $x$  و  $y$  به ترتیب کرنش‌های اصلی  $\epsilon_x$  و  $\epsilon_y$  دارد. کرنش  $\epsilon_z$  در امتداد میله را بر حسب  $\epsilon_x$  و  $\epsilon_y$  و زاویه  $\theta$  پیدا کنید. نتیجه را با معادله ۳-۹ مقایسه کنید.

مسئله ۱-۴-۵ صفحه فولادی مربع شکلی به اضلاع  $15\text{cm}$  در یک جهت بوسیله تنش  $750\text{Kg/cm}^2$  کشیده می‌شود و از جهت دیگر تحت تنش فشاری با همان مقدار فوق قرار دارد. کرنش را در امتداد قطرهای صفحه پیدا کنید.

مسئله ۲-۴-۵ تغییر حجم واحد حجم را برای عنصری در برش خالص پیدا کنید.

مسئله ۱-۵-۵ دایره موهر را برای حالت برش خالص (شکل ۶-۵) رسم کنید و از روی آن معادله ۵-۲۴ را اثبات کنید.

مسئله ۲-۵-۵ دایره موهر را برای حالت تنش دو محوری (شکل ۵-۵) با فرض  $\sigma_x = \sigma_y = \sigma_0$  رسم کنید.

۲۶۰

حل : در روی سطح قائم  $AB$  تنش برشی وجود ندارد، با نوشتن معادله تعادل عنصر مثلثی  $OAB$  می‌توان به این نتیجه رسید (شکل ۶-۲۶-۵).

مساحت سطح  $AB$  را برابر  $dA$  فرض می‌کنیم و معادله تعادل عنصر  $OAB$  را در امتداد افق می‌نویسیم تا تنش اصلی  $\sigma_1$  بدست آید.

$$\sigma_1 dA = 2(2P)dA(\frac{1}{2}) + 2(\sqrt{3}P)dA(\frac{\sqrt{3}}{2}) \\ \sigma_1 = 5P$$

توجه کنید مثلث  $OAB$  متساوی الاضلاع و مساحت سطوح  $OA$  و  $OB$  نیز برابر  $dA$  می‌باشد.

با نوشتن معادله تعادل عنصر  $OAH$  (شکل ۶-۲۶-۵) در امتداد افق نتیجه می‌شود که در سطح  $OH$  تنش برشی وجود ندارد، و تنش  $\sigma_2$  با نوشتن معادله تعادل در امتداد قائم بدست می‌آید.

$$\sigma_2 \frac{\sqrt{3}}{2} dA - 2pdA(\frac{\sqrt{3}}{2}) + p\sqrt{3}dA(\frac{1}{2}) = 0 \\ \sigma_2 = p$$

بنابراین صفحه‌های اصلی صفحه‌های افقی و قائم می‌باشند. تنش‌های اصلی در روی عنصر شکل ۶-۲۶-۵ مخصوص شده است.

## ۱-۱-۵ مسائل حل شده

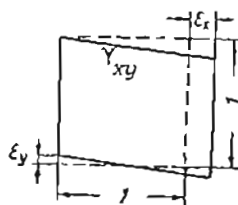
مسئله ۱-۱-۵ میله‌ای با سطح مقطع دایره‌ای بوسیله نیروی  $15t$  کشیده می‌شود. تنش برشی در روی هیچ یک از سطوح نباید از  $600\text{Kg/cm}^2$  تجاوز کند. قطر میله را حساب کنید.

مسئله ۲-۱-۱ یک میله فولادی با مقطع مربع و ضلع  $25\text{mm}$  تحت نیروی فشاری  $50\text{kN}$  قرار دارد. تنش‌های عمودی و برشی را در روی صفحه‌ای که نسبت به خط اتر نیروی فشاری زاویه  $30^{\circ}$  تشکیل می‌دهد پیدا کنید.

۲۶۱

مسئله ۵-۹-۲ سوراخی به شکل مکعب به ابعاد ۱cm در داخل دال مولادی ضخیمی ایجاد شده است. یک مکعب فولادی در داخل سوراخ مزبور دقیقاً جا می کیرد و بوسیله نیروی  $P = 700\text{Kg}$  فشرده می شود (شکل ۵-۹-۲). با صرف نظر نمودن از تغییر شکل های دال تنشهای اصلی را در مکعب پیدا کنید.

مسئله ۱-۱۰-۵ کرنشها برای یک عنصر مفحهای فولادی در شکل ۱-۱۰-۵ عبارتند از  $\epsilon_{xy} = 1.19 \times 10^{-4}$ ,  $\epsilon_y = -1.82 \times 10^{-4}$ ,  $\epsilon_x = 5.32 \times 10^{-4}$  و  $\tau_{xy} = 2 \times 10^6 \text{Kg/cm}^2$ . مقدار وجهت تنشهای اصلی را پیدا کنید. برای فولاد  $E = 2 \times 10^6 \text{Kg/cm}^2$  و  $v = 0.3$ .



شکل ۱-۱۰-۵

مسئله ۲-۱۰-۵ کرشهای اصلی  $\epsilon_1$  و  $\epsilon_2$  و جهت آنها را با فرض اینکه  $\epsilon_x = 500 \times 10^{-6}$ ,  $\epsilon_y = 140 \times 10^{-6}$  و  $\tau_{xy} = -360 \times 10^{-6}$  باشد پیدا کنید و نتیجه را به کمک دائیره موهر کترل نمایید.

## ۱۳-۵ جواب های مسائل حل نشده

$$\begin{aligned} \sigma &= -20\text{MPa}; \tau = -34.6\text{MPa} : 5-1-2 \\ -0.00009 &: 5-2-1 \quad \sigma_x = \sigma_y = 1085\text{Kg/cm}^2 : 5-2-1 \\ & \qquad \qquad v = \frac{2}{7} : 5-2-2 \\ \epsilon_\theta &= \epsilon_x \cos^2 \theta + \epsilon_y \sin^2 \theta : 5-3-2 \\ : 5-4-2 & \quad \epsilon = 0 : 5-4-1 \\ \theta = 35^\circ 16' & ; \quad \tau = 495 \text{ Kg/cm}^2 : 5-5-2 \\ & \qquad \qquad 54^\circ 44' : 5-5-4 \\ \sigma_1 &= 3120\text{Kg/cm}^2 (\theta_p = 97^\circ 1') : 5-6-1 \\ \sigma_2 &= -5120\text{Kg/cm}^2 (\theta_p = 7^\circ 1') \end{aligned}$$

۲۶۰

مسئله ۵-۵-۳ برای عنصر شکل ۵-۵-۳ مقادیر تنشهای اصلی  $\sigma_x = 350\text{Kg/cm}^2$  و  $\sigma_y = -700\text{Kg/cm}^2$  می باشد. دائیره موهر را رسم کنید و مقدار زاویه  $\theta$  صفحه ای را که در آن تنشن عمودی صفر می باشد پیدا کنید. تنش برشی در روی این صفحه چقدر است؟

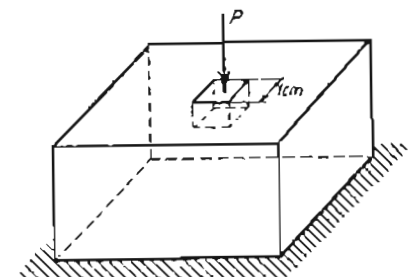
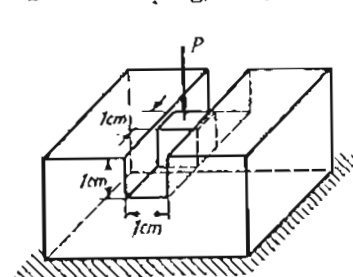
مسئله ۵-۵-۴ در شکل ۵-۵-۴ مقدار تنشهای اصلی  $\sigma_x = 840\text{Kg/cm}^2$  و  $\sigma_y = 420\text{Kg/cm}^2$  می باشد. دائیره موهر را برای عنصر مزبور رسم کنید و زاویه  $\theta$  صفحه ای را که در روی آن نسبت تنشن عمودی به تنش برشی مینیمم می باشد پیدا کنید.

مسئله ۱-۶-۵ با فرض اینکه برای عنصر شکل ۱-۶-۵ مقادیر تنشهای  $\tau_{xy} = -1000\text{Kg/cm}^2$ ,  $\sigma_x = -5000\text{Kg/cm}^2$  و  $\sigma_y = 3000\text{Kg/cm}^2$  باشد. تنشهای اصلی را پیدا کنید.

مسئله ۱-۷-۵ مسئله ۱-۶-۵ را به کمک دائیره موهر حل کنید.

مسئله ۱-۸-۵ صفحه نازکی در تنشن دو محوری تحت تنشهای  $\sigma_x = 10000\text{Kg/cm}^2$  و  $\sigma_y = 20000\text{Kg/cm}^2$  قرار دارد. تنشهای عمودی و برشی ماکریم در صفحه مقدار می باشد؟

مسئله ۱-۹-۵ در داخل یک قطعه فولادی ضخیم شیار مربع شکلی به اضلاع ۱cm وجود دارد (شکل ۱-۹-۵). یک مکعب الومینیوم با ابعاد ۱×۱×۱ cm در داخل شیار مزبور جا گرفته و مطابق شکل تحت نیروی  $P = 600\text{Kg}$  فشرده می شود. با فرض اینکه قطعه الومینیومی غیربرگشتی داشته باشد تنشهای اصلی را برای مکعب الومینیومی پیدا کنید. برای الومینیوم  $E = 0.7 \times 10^6 \text{Kg/cm}^2$ ,  $v = 0.33$ .



شکل ۱-۹-۵

شکل ۲-۹-۵

۲۶۲

$$\sigma_{\max} = 20000 \text{Kg/cm}^2 ; \quad \tau_{\max} = 10000 \text{Kg/cm}^2 \quad : \Delta-8-1$$

$$\sigma_1 = 0 ; \quad \sigma_2 = -198 ; \quad \sigma_3 = -600 \text{Kg/cm}^2 \quad : \Delta-9-1$$

$$\sigma_1 = \sigma_2 = -300 ; \quad \sigma_3 = -700 \text{Kg/cm}^2 \quad : \Delta-9-2$$

$$\sigma_1 = 1600 ; \quad \sigma_3 = -600 \text{Kg/cm}^2 \quad : \Delta-10-1$$

$$\sigma_1 \text{ نسبت به محور افقی به اندازه } 30^\circ \text{ درجهت عقربه‌های ساعت دوران کرده است.} \quad : \Delta-10-1$$

$$\epsilon_1 = 575 \times 10^{-6} ; \quad \theta_p = -22.5^\circ \quad : \Delta-10-2$$

## فصل ششم

بوستهها و مخازن جدار نازک تحت فشار

### ۱-۶ مقدمه

در فصل های ۱ تا ۳ ما حالت های مختلف تنفسهای عمودی با توزیع بکوخت را دررسی کردیم . کار بود دیگر تنفسهای عمودی با توزیع بکوخت در تحلیل تقریبی بوسنهای استوانه ای ، کروی ، سفرده طی و توروئید تحت فشار داخلی با خارجی سانشی از یک کاز یا مایه می باشد . در این فصل ابتدا ما حلقة های نازک تحت بارگذاری عمومی با توزیع بکوخت را بدرسی می کنیم و سپس به مطالعه تنفسهای انواع بوسیه های دور جدار نازک می بداریم . در مطالعه بوسنهای فقط تعمیر نیکل های با تغارن محوری را در نظر می گیریم . مخازن تحت فشار جدار نازک کار بود زیبادی دارد از جمله : مخازن ذخیره مایعات ، لوله های آب ، دیگ های بخار . بدنه کشته های زیر دریابی و بعضی از قسمت های هوا پیها .

### ۲-۶ حلقة های نازک

در این بخش ما حالت حلقة دارهای نازکی را که تحت اثر بارهای شناعی با توزیع بکوخت مطابق شکل ۱-۶ می باشد مطالعه می کسیم . اگر ساخت سطح مقطع A حلقه در طول محدود آن نابت و ضخامت  $t$  حلقة در مقایسه با ناسع  $2$  حلقه کوچک باشد ، بارگذاری موجود در حلقة نتش و کرنش محضی بکوخت

۲۶۵

چون محیط و قطر دایره به نسبت ثابت  $\pi$  می‌باشد، اضافه طول در واحد طول قطر با کرنش محیطی برابر می‌باشد، یعنی  $\epsilon_d = \epsilon_c$ . به کرنش قطری حلقه موسوم است. بارگذاری شعاعی یکنواخت شکل a-۶-۴ را می‌توان با دوران دادن حلقه حول محور هندسی عمود بر صفحه حلقه با سرعت زاویه‌ای تابع a) ایجاد نمود. عنصر حلقه کوچکی به جرم  $dm$  تحت چنین شرایطی با سرعت ثابتی در یک میسر دایره‌ای به شعاع r دوران می‌کند و دارای شتاب عمودی  $a_n = \omega^2 r$  با جهتی به طرف مرکز حلقة می‌باشد. نیروی گریز از مرکز مربوطه که شعاعی و به طرف خارج از مرکز است برابر  $w^2 r dm$  می‌باشد. جرم عنصری به طول  $ds = rd\theta$  و وزن واحد طول محیط  $w$  برابر  $dm = wrd\theta / g$  است. بنابراین نیروهای گریز از مرکز مزبور معادل با بارگذاری یکنواختی باشد.

$$q = \frac{w}{g} \omega^2 r \quad (6-4)$$

می‌باشد. با جایگزینی q از معادله فوق در معادلات ۶-۱ و ۶-۲ کشش محیطی  $S$  و تنش محیطی  $\sigma_c$  بدست می‌آید.

$$S = qr = \frac{w}{g} \omega^2 r^2 \quad (6-5)$$

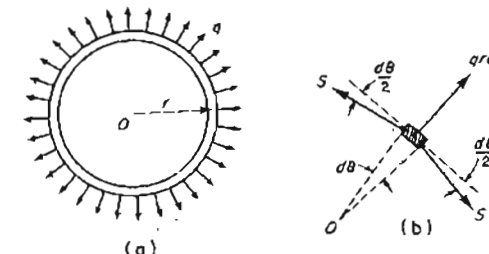
$$\sigma_c = \frac{S}{A} = \frac{w}{Ag} \omega^2 r^2 = \frac{\gamma}{g} \omega^2 r^2 \quad (6-6)$$

در رابطه ۶-۶ کمیت  $w/A = \gamma$  وزن واحد حجم مصالح حلقه می‌باشد. از این رابطه مشاهده می‌شود که تنش محیطی ناشی از نیروهای گریز از مرکز با مربع شعاع حلقه و سرعت زاویه‌ای افزایش می‌یابد. از این رو حلقه‌ای به شعاع زیادی دوران می‌کند ممکن است تحت تأثیر تنش‌های خیلی زیادی قرار گیرد.

### مثال ۱-۶

لوله آب فولادی طویلی به قطر متوسط  $d = 60\text{cm}$  و ضخامت جدار  $t = 3\text{mm}$  فشار داخلی  $p = 10\text{Kg/cm}^2$  را تحمل می‌کند (شکل ۶-۴). مقدار تنش محیطی در جدار لوله و افزایش قطر آن را محاسبه کنید.  $E = 2 \times 10^6 \text{Kg/cm}^2$ .

۲۶۴



شکل ۱-۶

ایجاد خواهد کرد و مسئله متناظر حالت کشش و فشار ساده در می‌آید. اگر بارگذاری شعاعی به طرف خارج حلقه باشد، حلقه تحت کشش محیطی، و اگر بارگذاری شعاعی به طرف داخل حلقه باشد، حلقه تحت فشار محیطی قرار خواهد گرفت. بارگستردۀ شعاعی ممکن است در اثر فشار داخلی پا خارجی و یا در مورد حلقاتی که در حال دوران می‌باشد در اثر نیروی گریز از مرکز ایجاد شود. در هر صورت شدت بار q را می‌توان به صورت نیرو در واحد طول محیط دایره مرکزی متوسط به شعاع  $r$  تعریف نمود.

برای اینکه سیروهای داخلی ایجاد شده در اثر بارگذاری شعاعی در روی حلقه را پیدا کنیم، تعادل عنصری از حلقه به طول  $ds = rd\theta$  را در شکل ۶-۶ در نظر می‌گیریم. در این شکل، S نیروی کششی محیطی و  $qrd\theta$  بار شعاعی خارجی وارد بر عنصر مزبور می‌باشد. با نوشتن معادله تعادل عنصر در امتداد شعاعی و استفاده از رابطه  $\sin(d\theta/2) \approx d\theta/2$  نتیجه می‌شود

$$qrd\theta - 2S \frac{d\theta}{2} = 0$$

از این رابطه نیروی S بدست می‌آید.

$$S = qr \quad (6-1)$$

اگر جهت بارگستردۀ q به طرف داخل حلقه باشد، معادله ۶-۶ فشار محیطی یکنواخت را در حلقه می‌دهد.

چون ضخامت t حلقه در مقایسه با شعاع متوسط آن کوچک فرض می‌شود، کشش محیطی S را در روی سطح مقطع A حلقه می‌توان یکنواخت فرض نمود. در این صورت تنش محیطی  $\sigma_c$  برابر می‌شود با

$$\sigma_c = \frac{S}{A} = \frac{qr}{A} \quad (6-2)$$

همین طور کرنش محیطی که در طول محیط حلقه یکنواخت فرض می‌شود مساویست با

$$\epsilon_c = \frac{\sigma}{E} = \frac{qr}{AE} \quad (6-3)$$

برای بدست آوردن تنش محیطی  $\sigma_c$  قسمتی از استوانه به طول  $L$  را از بقیه استوانه جدا می‌کنیم. نمودار جسم آزاد نسی از استوانه در شکل ۲-۳ a رسم شده است. شکل ۲ b - ۴ نیز نیروهای موئین بر مقطع استوانه را نشان می‌دهد. به علت تقارن مولفه‌های افقی فشارهای شعاعی یکدیگر را حذف می‌کنند، ولی در امتداد قائم معادله تعادل زیر موجود است:

$$\Sigma F_v = -2\sigma_c hL + \int_0^{\pi} p(r d\theta) (\sin\theta)L = 0$$

پس از انتگرال کری، تنش محیطی  $\sigma_c$  بدست می‌آید.

$$\sigma_c = \frac{pr}{h} \quad (6-7)$$

توجه کنید مولفه قائم نیروی برآیند ناشی از فشار  $p$  را همچنین می‌توان با ضرب نمودن فشار در تصویر افقی سطحی که فشار بر آن اثر می‌کند بدست آورد. برای بدست آوردن تنش طولی  $\sigma_1$  در استوانه، بوسیله صفحه‌ای عمود بر محور هندسی استوانه آن را قطع می‌کیم. نمودار جسم آزاد قسمت باقی مانده استوانه در شکل ۲ c - ۶ رسم شده است. از معادله تعادل در امتداد افق نتیجه می‌شود

$$\Sigma F_h = -p\pi r^2 + 2\pi rh\sigma_1 = 0$$

از این رابطه تنش طولی بدست می‌آید.

$$\sigma_1 = \frac{pr}{2h} \quad (6-8)$$

در نتیجه تنش محیطی دو برابر تنش طولی می‌باشد. بنابراین اگر آب در لوله مسدودی پیخ بیندد، لوله در امتداد خطی موازی محور طولی آن خواهد ترکید. فرمول‌های ساده فوق برای تنش‌ها در مجاورت دو انتهای لوله دقیق نمی‌باشد.

## مثال ۶-۲

مخزن یک ماشین تراکم هوا شامل استوانه‌ای می‌باشد که در دو انتهای بوسیله دو نیم کره بسته شده است. اگر مخزن مربو از فولاد با تنش تسلیم 250 MPa باشد، ضخامت جدار استوانه را با ضریب اطمینان 3.5 حساب کنید. از تأثیرات موضعی در محل



شکل ۲-۴

حل: قسمتی از لوله به طول 1cm را به صورت حلقه‌ای در نظر می‌گیریم. ماحت سطح مقطع حلقه مربوط  $A = 1\text{cm} \times 0.3\text{cm} = 0.3\text{cm}^2$  می‌باشد. فشار داخلی  $p$  برای این حلقه معرف شده مادر واحد طول محیط آن می‌باشد. بنابراین از معادله ۶-۲ نتیجه می‌شود

$$\sigma_c = \frac{pr}{A} = \frac{10 \times 30}{0.3} = 1000 \text{ Kg/cm}^2$$

کرش محیطی با استفاده از معادله ۶-۳ برابر است با

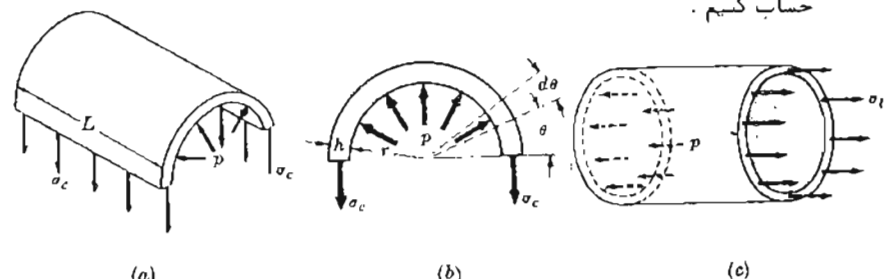
$$\epsilon_c = \frac{\sigma_c}{E} = \frac{1000}{2(10^6)} = 5 \times 10^{-4}$$

جون کرنش قطری با کرنش محیطی یکسان است، اضافه طول قطر لوله مساوی است با

$$\Delta d = 5 \times 10^{-4} \times 60 = 0.03 \text{ cm}$$

## ۳-۶ استوانه‌های جدار نازک

فرض کنید استوانه حدار نازکی در دو انتهای بوسیله صفحه‌هایی بسته و تحت فشار داخلی بیکوخت  $p$  باشد (شکل ۳-۶). میخات جدار استوانه را  $h$  و شعاع داخلی آن را  $r$  فرض می‌کنیم. با صرف نظر کردن از اثرهای ناشی از کیر داری دو انتهای استوانه می‌توانیم تنشهای عمودی طولی و محیطی را در اثر بارگذاری مذکور حساب کنیم.



شکل ۳-۶

۲۶۹

مشخص شده است بدست می‌آید. بنابراین با فرض اینکه تناع داخلی سیم کره  $\sigma_c$  و ضخامت جدار آن  $h$  باشد داریم

$$\Sigma F_h = \sigma_c (2\pi rh) - p\pi r^2 = 0 \\ \sigma_c = \frac{pr}{2h} \quad (6-9)$$

به علت تقارن این تنش محیطی در هر نقطه از جدار کره در تمام جهات یکسان می‌باشد.

### مثال ۲-۶

یک مخزن کروی به قطر  $20\text{mm}$  باید برای دخیره کردن گاز بکار رود. ضخامت جدار مخزن  $10\text{mm}$  و تنش مجاز مصالح آن  $125\text{MPa}$  می‌باشد. حداکثر فشار گاز مجاز  $p$  چقدر می‌باشد؟

حل: حداکثر فشار گاز مجاز  $p$  از رابطه  $6-9$  بدست می‌آید.

$$125 = \frac{p(10 \times 10^3)}{2(10)} \quad : \quad p = 0.25\text{ MPa}$$

### ۴-۶ پوسته‌های مخروطی

محاسبه تنشها در پوسته‌های مخروطی را به کمک مثالی شرح می‌دهیم.

### مثال ۴-۶

پوسته مخروطی شکل ۴-۶ شامل مایعی به وزن مخصوص  $\gamma$  می‌باشد. پوسته در اطراف لبه فوچانیش تکیه دارد و ارتفاع مایع در آن  $H$  می‌باشد. تنش‌های ایجاد شده در جدار پوسته را حساب کنید. محور هندسی پوسته قائم می‌باشد.

حل: حالت تنش در پوسته دارای تقارن محوری می‌باشد. فرض می‌شود که ضخامت

۲۶۸

اتصال استوانه و نیم کره صرف سطر حاصل است. قطر داخلی استوانه  $600\text{mm}$  و فشار داخلی آن  $3.5\text{ MPa}$  می‌باشد.

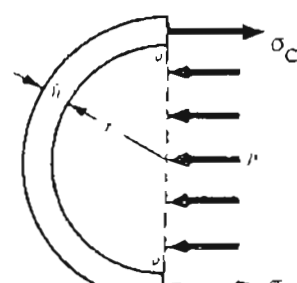
حل: چون دو انتهای مخزن سنه می‌باشد، از فرمول‌های ۶-۷ و ۶-۸ برای تعیین ضخامت جدار استوانه می‌توان استفاده نمود. تنش محیطی در جدار استوانه دوبرابر تنش طولی است، بنابراین تنش بحرانی تنش محیطی می‌باشد که نباید از تنش مجاز  $250/3.5\text{ MPa}$  تجاوز کند. با استفاده از رابطه ۶-۷ داریم

$$\frac{250}{3.5} = \frac{3.5(300)}{h}$$

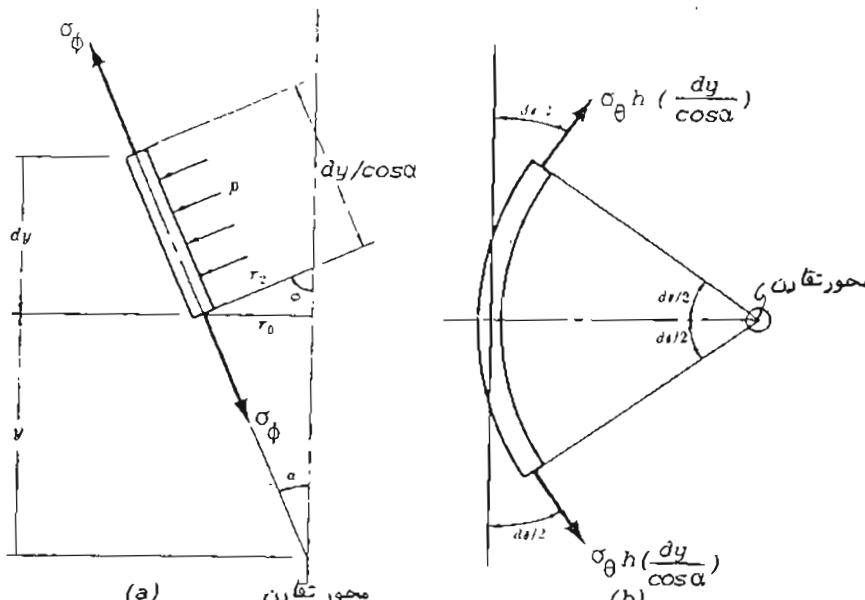
از این رابطه  $h = 14.7\text{mm}$  بدست می‌آید. در تحلیل‌های کامل‌تر تنش‌ها در دو انتهای نیم کره‌ای نیز باید بررسی شود.

### ۴-۶ پوسته‌های کروی

یک بسته کروی تحت فشار داخلی یکواخت  $p$  را در نظر می‌گیریم. در این فشار مذبور در بسته تنش‌های کششی ایجاد می‌شود. برای بدست آوردن مقدار این تنش‌ها سیمی از کره را مطابق شکل ۴-۶ در سطر می‌گیریم و نمودار جسم آزاد آن را در سمت کنیم. به علت تقارن سار گذاری و تغییر شکل، در بسته تنش‌های کششی محیطی  $\sigma_c$  مطابق شکل ۴-۶ ایجاد می‌گردد. با نوشتن معادله تعادل نیم کره در امتداد افق تنش  $\sigma_c$  بدست می‌آید. چون نیم کره و سار گذاری روی آن نسبت به یک محور افقی متقارن می‌باشد، مولفه‌های فاصل نیروهای سانی از فشار  $p$  یکدیگر را خنثی می‌کنند، و برآینداین نیروها با ضرب مسون عشار  $p$  در مساحت تصویر فاصل سطح نیم کره که در شکل ۴-۶ با  $a-a$



شکل ۴-۶



شکل ۶-۶

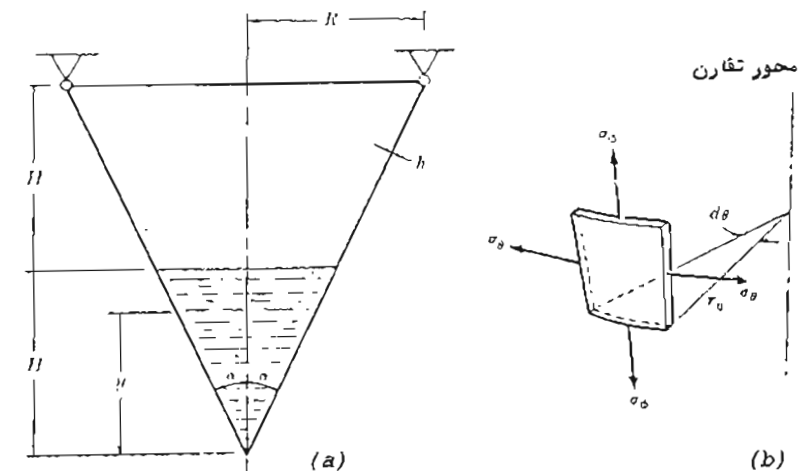
جون  $\frac{1}{2} \sin\theta$  کوچک است برآیند مذبور برابر می‌شود با  
 $\sigma_\theta h(dy/\cos\alpha)d\theta$

از شکل ۶-۶-۶ مشاهده می‌شود که این برآیند باید در  $\cos\alpha$  ضرب شود تا مولفه برآیند در جهت عمود بر سطح پوسته بدست آید. واضح است که نیروهای نصف النهاری مربوط به شکل ۶-۶-۶ یکدیگر را خشی می‌کنند. مایع مطابق شکل فشار p را بر سطحی به مساحت  $(dy/\cos\alpha)$  وارد می‌کند. بنابراین از تعادل عنصر در جهت عمود بر سطح آن داریم

$$\sigma_\theta h\left(\frac{dy}{\cos\alpha}\right)(d\theta)(\cos\alpha) - p(r_0 d\theta) \frac{dy}{\cos\alpha} = 0$$

از این رابطه تنش محیطی  $\sigma_\theta$  بدست می‌آید.

$$\sigma_\theta = \frac{pr_0}{h\cos\alpha} = \frac{py\tan\alpha}{h\cos\alpha} = \frac{pr_2}{h} \quad (6-10)$$

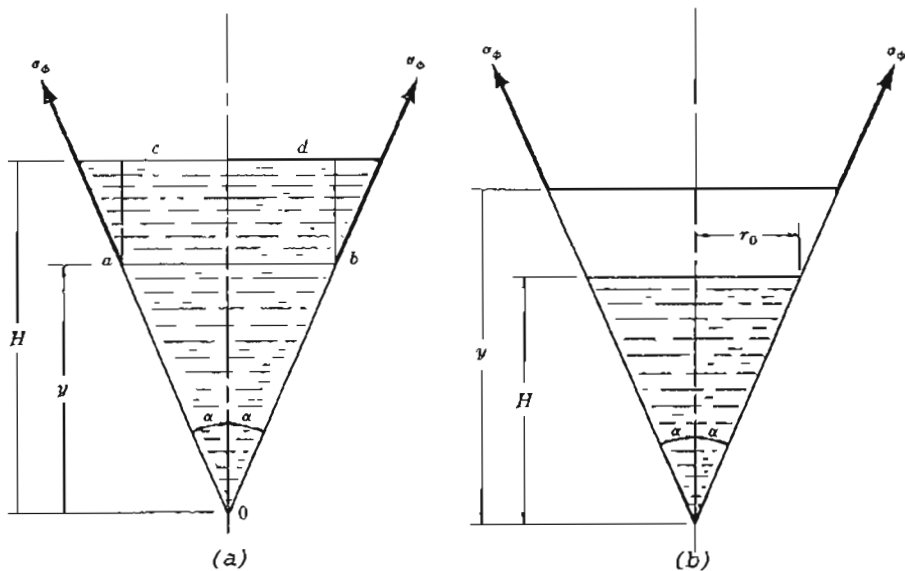


شکل ۶-۵

h پوسته در مقایسه با R و R کوچک باشد. با مطالعه تعادل عنصری از پوسته بین دو صفحه موازی افقی مجاور هم (عمود بر محور نقارن) و دو مولد نزدیک بهم مخروط، تنش‌ها در پوسته مخروطی را حساب می‌کنیم. بر روی عنصر مذبور تنش‌های  $\sigma_\theta$  درجهت افق (شکل ۶-۵ b) و  $\sigma_\phi$  در جهت مولد مخروط اثر می‌کنند. تنش  $\sigma_\theta$  به نام تنش محیطی و تنش  $\sigma_\phi$  به نام تنش نصف النهاری موسوم می‌باشد.

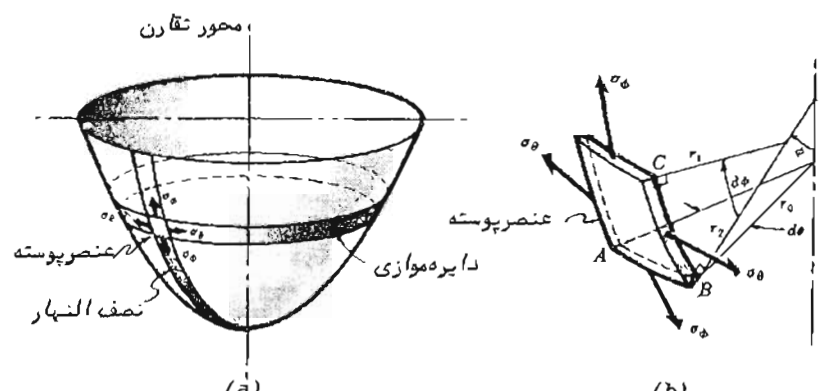
زاویه  $\theta$  در شکل ۶-۵ b در یک صفحه افقی اندازه گیری می‌شود.  $r_0$  شاعع مخروط در محل مذبور است که البته تابعی از محل عنصر مورد نظر نسبت به محور نقارن می‌باشد. یکی از مختصات مفید دیگر که هندسه مخروط را مشخص می‌کند کمیت  $r_2$  است که شاعع انتخاء سطح پوسته در جهت عمود بر مولد آن می‌باشد. از شکل ۶-۶-۶ مشاهده می‌شود که بین  $r_0$  و  $r_2$  رابطه  $r_0 = r_2 \cos\alpha$  وجود دارد و چون  $r_0 = r_2 \tan\alpha$  می‌باشد، شاعع انتخاء  $r_2$  برابر است با  $r_2 = y \tan\alpha / \cos\alpha$ .

نیروهای محیطی در شکل ۶-۶-۶ که تصویر افقی عنصر است بهتر قابل تجسم می‌باشد. واضح است که هر یک از نیروهای محیطی  $\sigma_\theta h(dy/\cos\alpha)$  با ماس بر عنصر زاویه  $d\theta/2$  می‌سازد. برآیند این نیروهای محیطی برابر  $2\sigma_\theta h(dy/\cos\alpha) \sin\theta/2$  است که در هر یک صفحه افقی عمل می‌کند و جهت آن به طرف محور هندسی پوسته می‌باشد.



شکل ۶-۲

حول محوری در داخل صفحه منحنی ایجاد می‌شود. منحنی مذبور که همان منحنی مولد پوسته دوار می‌باشد به نام نصف النهار پوسته خوانده می‌شود. شاع انحصار نصف النهار با  $r_1$  نشان داده می‌شود، والته این شاع در طول نصف النهار متغیر می‌باشد. این شاع انحصار بوسیله دو خط عمود بر پوسته که از نقاط B و C عبور می‌کند مشخص شده است.



شکل ۶-۳

۲۷۲

این معادله در هر نقطه پوسته مخروطی صادق است. در نیمه پایین ( $y < H$ ) داریم  $p = \gamma(H-y)$ ، بنابراین

$$\sigma_0 = \frac{\gamma(H-y)ytan\alpha}{hcose} \quad (6-11)$$

در نیمه بالا ( $y < H < 2H$ )  $p = 0$  می‌باشد و در نتیجه داریم  $\sigma_0 = 0$ . تنش نصف النهاری  $\sigma_\phi$  می‌توان با مطالعه تعادل قائم پوسته مخروطی بدست آورد. در ناحیه  $0 < y < H$  وزن مایع در ناحیه مخروطی  $\sigma_\phi$  و ناحیه استوانهای abcd در معادله تعادل در امتداد قائم برای تعیین  $\sigma_\phi$  وارد می‌شوند (شکل ۶-۷a). در این صورت معادله تعادل قائم به صورت ریز نوشته می‌شود:

$$\sigma_\phi h(2\pi ytan\alpha)cose - \frac{1}{3}\pi(ytan\alpha)^2 y\gamma + (H-y)\pi(ytan\alpha)^2 \gamma = 0$$

از این رابطه  $\sigma_\phi$  بدست می‌آید.

$$\sigma_\phi = \frac{\gamma tan\alpha}{h cose} \left( \frac{Hy}{2} - \frac{y^2}{3} \right) \quad (6-12)$$

همین طور در ناحیه  $H < y < 2H$  وزن تمام مایع در معادله تعادل در امتداد قائم وارد می‌شود (شکل ۶-۷b) بطوریکه

$$\sigma_\phi h(2\pi ytan\alpha)cose - \frac{1}{3}\pi r_0^2 Hy = 0$$

پس از حل برای  $\sigma_\phi$  و استفاده از رابطه  $r_0 = H\tan\alpha$  خواهیم داشت

$$\sigma_\phi = \frac{\gamma H^3 \tan\alpha}{6hy cose} \quad (6-13)$$

باید توجه نمود که تنش‌های مربوط به تغییر شکل‌های با تقارن محوری پوسته ایزواستاتیک می‌باشد، یعنی اینکه تنش‌های مذبور بدون استفاده از هیچ رابطه تغییر شکلی بدست آیند. بنابراین روابط فوق در حد خمیری مصالح نیز مصدق می‌باشد.

#### ۶-۶ تنشها در یک پوسته دوار

پوسته دواری که در شکل ۶-۸ متناظر می‌شود از دوران یک منحنی مسطح

۲۷۵

و مولفه‌انها عمود بر سطح عنصر پوسته  $\sigma_{\phi} hr_0 d\theta d\phi$  می‌باشد. فشار  $p$  در روی سطحی به مساحت  $(r_1 d\phi)$  اثر می‌کند. تا براین معادله تعادل عنصر در امتداد عمود بر سطح عنصر پوسته عبارت است از

$$\sigma_{\phi} hr_1 d\theta d\phi \sin\phi + \sigma_{\theta} hr_0 d\theta d\phi - p r_0 d\theta r_1 d\phi = 0$$

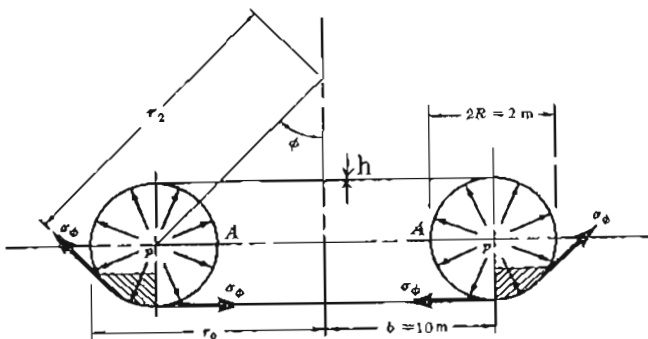
با استفاده از رابطه  $r_0 = r_2 \sin\phi$  رابطه فوق به صورت زیر در می‌آید:

$$\frac{\sigma_{\phi}}{r_1} + \frac{\sigma_{\theta}}{r_2} = \frac{p}{h} \quad (6-14)$$

این فرمول اساسی در مورد تمام پوسته‌های دوار که تعییر شکل آنها دارای تقارن محوری است صادق می‌باشد. با در نظر گرفتن تعادل فاصله قسمتی از پوسته در پایین یک صفحه افقی ( مشابه آنچه که در مثال ۴-۶ عمل شد ) می‌توان معادله دیگری برای تنش‌ها بدست آورد . این معادلات در حد خمیری مصالح نیز صادق می‌باشند. کار برد فرمول ۶-۱۴ در مثال زیر نشان داده می‌شود.

#### مثال ۶-۵

پوسته‌های توروئیدی بعضی از مواقع بعنوان مخازن ذخیره گاز در وسائل نقلیه فضایی بکار می‌روند. یکی از طرح‌هایی که بوسیله اداره فضایوری ایالات متحده امریکا (ناسا) پیشنهاد شده در شکل ۶-۵ نشان داده می‌گردد. قطر متوسط توروئید مذکور  $2R = 2m$  و قطر سطح مقطع آن  $2R = 2m$  می‌باشد. فشار داخلی  $p$  برابر  $0.15 \text{ MPa}$

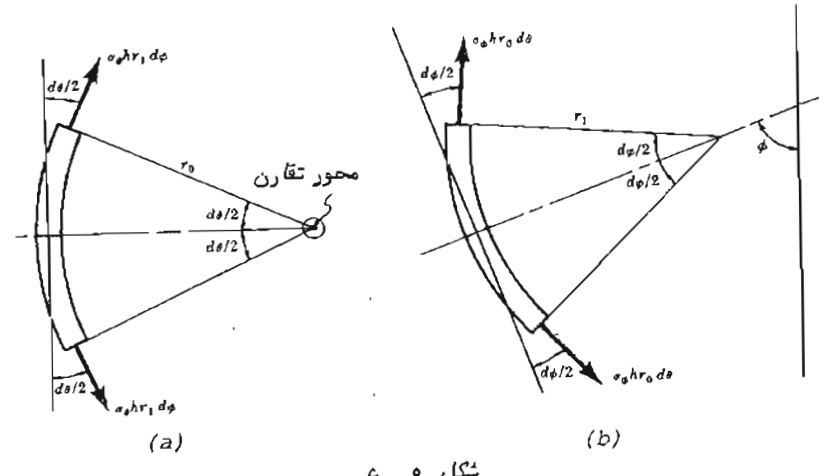


شکل ۶-۵

۲۷۶

می‌شود. پارامتر دیگر پوسته شعاع  $r_2$  است که شعاع احنا، سطح پوسته در جهت عمود بر نصف النهار می‌باشد. این شعاع احنا، بوسیله دو خط عمود بر پوسته که از نقاط A و B عبور می‌کنند مشخص می‌گردد. مرکز احنا، مربوطه شعاع  $r_2$  باید در روی محور تقارن پوسته قرار داشته باشد، ولی مرکز احنا، مربوطه شعاع  $r_1$  در حالت کلی بر روی محور پوسته قرار دارد. موقعی که پوسته تحت فشار داخلی  $p$  عمود بر سطح منحنی آن قرار می‌گردد در آن تنش‌های نصف النهاری  $\sigma_{\phi}$  و تنش‌های محیطی  $\sigma_{\theta}$  مطابق شکل b-۶ وجود می‌آید.

برای تعیین تنش‌ها در پوسته دوار موقعی که تحت فشار داخلی  $p$  می‌باشد عنصری از پوسته را مطابق شکل b-۶ در نظر می‌گیریم. این عنصر بوسیله دو دایره موازی مجاور هم که صفحه‌آنها عمود بر محور تقارن قائم پوسته است و دو مولد یا نصف النهار مجاور هم محدود شده است. عنصر مذکور شبیه عنصر شکل b-۵-۶ می‌باشد با این تفاوت که اصلاح قائم آن مستقیم نیستند بلکه منحنی می‌باشند.

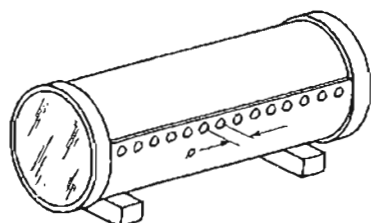


شکل ۶-۶

در تصویر افقی عنصر در شکل ۶-۶ نیروهای محیطی نشان داده شده‌اند ( مشابه آنچه که در مثال ۴-۶ بحث شد ). مولفه‌این نیروها در امتداد افق برابر  $2\sigma_{\theta} hr_1 d\phi (d\theta / 2)$  می‌باشد که جهت آنها به سوی محور تقارن پوسته است. این مولفه در  $\sin\phi$  ضرب می‌شود تا مولده عمود بر سطح عنصر پوسته به دست آید. نیروهای نصف النهاری در شکل ۶-۶ که تصویر قائم عنصر می‌باشد مشاهده می‌شوند

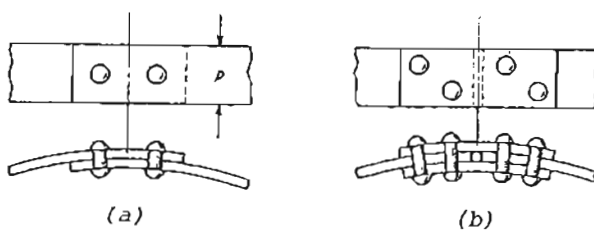
## ۶-۶ اتصالات با پرج و جوش در مخازن تحت فشار

در هنگام ساختن انواع مختلف مخازن تحت فشار معمولاً "اتصالات با پرج یا جوش لازم می‌گردد (شکل ۱۱-۶). انتخاب نوع اتصال بستگی به نوع مصالح و شرایط بهره برداری مخزن تحت فشار دارد.



شکل ۱۱-۶

اتصالات با پرج در دیگ‌های بخار و سایر مخازن تحت فشار معمولاً به دو صورت انجام می‌شود: اتصال روی هم (شکل ۱۲-۶) و اتصال لب به لب (شکل ۱۲-۶). پرج‌ها در این اتصالات آنقدر حرارت داده می‌شوند تا به حالت قرمز درآیند. در این صورت پرج‌ها پس از خنک شدن درق‌های فلز را کامل‌ا" به یکدیگر می‌فشارند و غیر قابل نفوذ می‌سازند. موقعی که پوسته تحت فشار داخلی قرار می‌گیرد، پرج‌ها از حرکت نسبی بین ورق‌ها بوسیله اصطکاک و مقاومت برشی شان حلقوی می‌کنند. بدین ترتیب رفتار یک اتصال با پرج تحت بار بسیار پیچیده است. برای ساده‌سازدن مسئله معمولاً از اصطکاک صرف نظر می‌گردد و فرص می‌شود که پرج‌ها تمام بار را بوسیله مقاومت برشی شان که به طور پکواخت در سطح مقطع پرج توزیع شده است تحمل کنند. شکست اتصالات پرجی فقط به صورت برش نمی‌گیرد. در شکل ۱۲-۶ حالات مختلف شکست اتصال شان داده شده است. همان طوریکه قلا" بحث



شکل ۱۲-۶

و مصالح پوسته از آلیاژ الومیوم با تنش تسلیم 350 MPa (در درجه حرارت اطاق) می‌باشد. اگر ضرب اطمینانی برای ۱.۵ بکار رود، ضخامت لازم برای جدار توروئید را حساب کنید.

حل: تعادل قائم قسمتی از توروئید به شکل حلقه را (قسمت هاشور خورده در شکل ۱۰-۶) در نظر می‌گیریم. با توجه به اینکه موءله قائم نیروهای ناشی از فشار  $p$  با ضرب نمودن فشار  $p$  در نصویر افقی سطح منحنی بدست می‌آید، می‌توانیم بنویسیم

$$2\pi r_0 \sigma_\phi h \sin\phi = \pi p (r_0^2 - b^2)$$

تنش نصف الهاری  $\sigma_\phi$  از معادله فوق با استفاده از رابطه بدست می‌آید.

$$\sigma_\phi = \frac{pR(r_0 + b)}{2r_0 h} \quad (6-15)$$

تنش  $\sigma_\phi$  وقتی ماقزیم است که ۲۰ حداقل باشد. بنابراین این تنش در نقطه A ماقزیم می‌باشد.

$$(\sigma_\phi)_{\max} = \frac{pR}{2h} \left( \frac{2b-R}{b-R} \right) \quad (6-16)$$

اگر  $b=0$  باشد، توروئید به کره تبدیل می‌شود و معادله ۶-۱۶ با معادله ۶-۶ برای بوسسه‌های کروی یکسان می‌گردد. با حسابگری مقدار عددی در معادله ۶-۱۶ ضخامت جدار  $h$  توروئید بدست می‌آید.

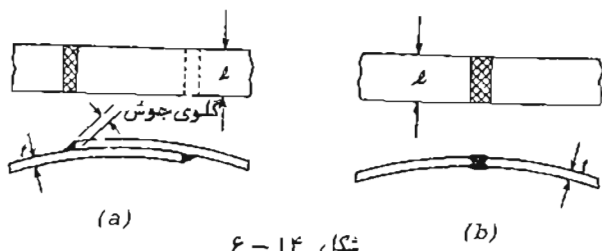
$$\frac{350}{1.5} = \frac{(0.15)(1000)(20000-1000)}{2h(10000-1000)} : h = 0.7 \text{ mm}$$

اگر  $\sigma_\phi$  از معادله ۶-۱۵ در معادله ۶-۱۴ جایگزین شود و با توجه به روابط  $r_1 = R$  و  $r_2 = r_0/\sin\phi = (b+R\sin\phi)/\sin\phi$ ، تنش محیطی  $\sigma_\theta$  بدست می‌آید.

$$\sigma_\theta = \frac{pR}{2h} \quad (6-17)$$

مقدار ماقزیم  $\sigma_\phi$  از  $\sigma_\theta$  بستراست. بنابراین  $\sigma_\phi$  تعیین کننده طرح می‌باشد و ضخامت حدار لازم همان  $h = 0.7 \text{ mm}$  است.

۲۷۹



شکل ۱۴-۶

مساحت سطح مقطع جوش برابر است با حاصل ضرب طول جوش در طول گلوی جوش در جوش لب به لب شکل ۱۴-۶ مساحت سطح مقطع جوش برابر است با حاصل ضرب طول جوش در ضخامت ورق. محاسبات اتصال با جوش معمولاً به صورت تقریبی صورت می‌گیرد (فصل چهارم را بینید).

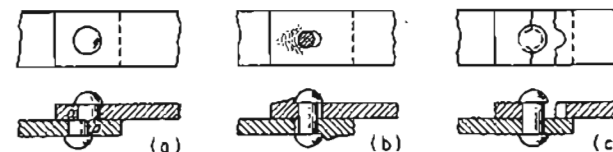
### مثال ۶-۶

مخزن استوانه‌ای شکل ۱۱-۶ از ورق فولاد به ضخامت  $t = 6\text{ mm}$  می‌باشد. مقاومت نهایی اتصال را بر حسب آین نامه حاممه مهندسین مکانیک امریکا حساب کنید.

حل: با مراجعه به شکل ۱۲-a طولی از اتصال را برابر با  $p = 4\text{ cm}$  در نظر گیریم. برای این طول مقاومت پوسته بدون سوراخ  $\sigma_t = 3870 \times 0.6 = 9290\text{ Kg}$  می‌باشد. مساحت سطح مقطع هر برج برابر  $2.55\text{ cm}^2$  و مقاومت هرشی نظیر آن می‌باشد. مساحت مقطع فاصله بین سوراخ‌ها  $0.6 \times 1.8 = 1.08\text{ cm}^2$  و مقاومت هر چهار برج  $\sigma_c = 6680 \times 1.08 = 7210\text{ Kg}$  می‌باشد. مساحت سطح مقطع خالص بین سوراخ‌ها  $0.6(4-1.8) = 1.32\text{ cm}^2$  و مقاومت کشی نظیر اتصال سرایر  $\sigma_{t1} = 5110\text{ Kg}$  می‌باشد. مساحت مقطع خالص اتصال  $\sigma_{t2} = 3870 \times 1.32 = 5110\text{ Kg}$  می‌باشد.

### ۶-۶ مسائل حل شده

۲۷۸



شکل ۶-۱۳

شد برج ممکن است در اثر برش در امتداد مقطع a-a (شکل ۶-۱۲a) گیخته شود. مقاومت برج را در مقابل شکست هرشی می‌توان با زیاد نمودن قطر آن افزایش داد. یک حالت دیگر شکست که در شکل ۶-۱۳b مشاهده می‌شود خرد شدن ورق در اثر فشار ایجاد شده در پشت برج می‌باشد که باعث بارشدن اتصال می‌گردد. با اضافه نمودن قطر برج یا ضخامت ورق می‌توان بر مقاومت اتصال در مقابل این نوع شکست افزود. اگر برج‌ها خیلی نزدیک بهم بكار روند، سطح مقطع حالم ورق در بین سوراخ‌های برج ممکن است به قدری کاهش یابد که شکست اتصال در اثر پاره شدن کشی ورق در بین برج‌ها مطابق شکل ۶-۱۳c صورت گیرد. مقاومت در مقابل این نوع شکست را می‌توان با زیاد نمودن فاصله سین برج‌ها (فاصله p در شکل ۶-۱۳e) افزایش داد.

مسئله طرح اتصال یک دیگ بخار (یا مخازن تحت فشار دیگر) شامل تنظیم ضخامت ورق، قطر برج و فاصله بین برج‌ها می‌باشد بطوریکه اتصال در مقابل هر یک از حالت‌های شکست بطور بکان قوی باشد. برای اتصالات مخازن تحت فشار مولادی، آین نامه جامعه مهندسین مکانیک امریکا تشکه‌ای نهایی زیر را با ضریب اطمینان ۵ توصیه می‌کند:

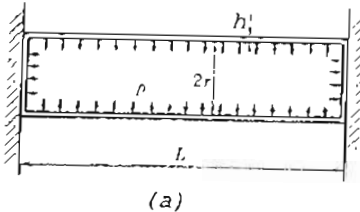
$$\begin{aligned}\sigma_t &= 3870 \text{ Kg/cm}^2 && \text{برای کشش:} \\ \tau &= 3090 \text{ Kg/cm}^2 && \text{برای برش:} \\ \sigma_c &= 6680 \text{ Kg/cm}^2 && \text{برای خردشدن:}\end{aligned}$$

واضح است که مقاومت اتصال یک مخزن تحت فشار در عمل هرگز می‌تواند بیش از مقدار خود پوسته مخزن باشد.

با بهترفت‌هایی که امروزه در زمینه جوشکاری حاصل شده است، اتصالات با جوش برای مخازن تحت فشار و سازه‌های دیگر به سرعت جایگزین اتصالات با برج می‌شود. دو نوع اتصال روی هم ولب به لب در شکل ۱۴-۶ مشاهده می‌شود. در شکل ۱۴-a

۲۸۱

می شود تعیین کند.



شکل ۱۶ - ۶

حل : تنش محیطی در جدار استوانه برابر است با

$$\sigma_c = \frac{pr}{h}$$

چون فاصله دیوارها ثابت است و دیوارها تغییر شکل نمی دهند تغییر شکل در امتداد طول استوانه و در نتیجه کرنش طولی باید برابر صفر باشد.

$$\epsilon_1 = \frac{\sigma_1 - v\sigma_c}{E} = 0$$

در این رابطه  $E$  ضریب ارجاعی و  $v$  ضریب بواسون ماده جدار استوانه می باشد. از رابطه مزبور تنش طولی  $\sigma_1$  بدست می آید.

$$\sigma_1 = v\sigma_c = \frac{vpr}{h}$$

نمودار جسم آزاد انتهای چپ استوانه در شکل ۱۶ b رسم شده است. در این شکل  $F$  سیروی است که دیوار به مخزن وارد می کند.  $\sigma$  تنش طولی است که در جدار استوانه وجود دارد و در روی حلقه ای به شعاع داخلی  $r$  و شعاع خارجی  $h + r$  اثر می کند و برآیند آن برابر است با

$$F_1 = 2\pi rh\sigma_1 = 2\pi rh \frac{vpr}{h} = 2vr^2p$$

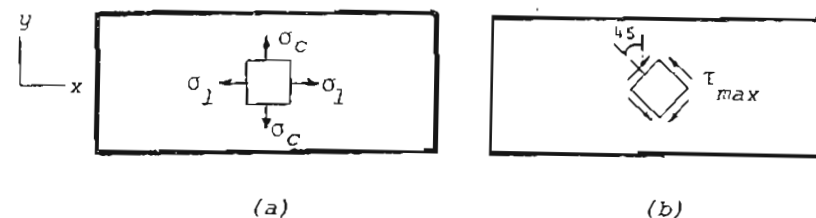
فشار  $p$  بر روی سطحی به شعاع  $r$  اثر می کند و برآیند آن برابر است با

$$F_2 = \pi r^2 p$$

۲۸۰

مسئله ۱ - ۶

حداکثر تنش برشی را در جدار یک لوله حدار نازک دو سرتمه به ضخامت حدار  $h$  و شعاع داخلی  $r$  تعیین کنید. فشار داخلی لوله  $p$  می باشد.



شکل ۱۵ - ۶

حل : اگر در جدار لوله عنصری را مانند شکل ۱۵ a در نظر بگیریم در امتداد  $x$  برآن نش طولی  $\sigma_1$  و در امتداد  $y$  برآن نش محیطی  $\sigma_c$  اثر می کند. حالت تنش برای عنصر مزبور دو محوری می باشد. تنش های اصلی عبارتند از

$$\sigma_1 = \sigma_c = \frac{pr}{h} ; \quad \sigma_2 = \sigma_1 = \frac{pr}{2h}$$

تش برشی ماکریم برابر است با

$$\tau_{max} = \frac{\sigma_1 - \sigma_2}{2} = \frac{pr}{4h}$$

تش برشی ماکریم در صفحه های وجود دارد که با صفحه های اصلی زاویه 45 درجه تشکیل می دهند (شکل ۱۵ a - ۶).

مسئله ۲ - ۶

وقتی که در درون مخزن استوانه ای جدار نازک و طویل شکل ۱۶ - ۶ فشاری وجود دارد، مخزن دقیقاً بین دو دیوار صلب حا می گیرد. شعاع داخلی مخزن استوانه ای  $r$  و ضخامت جدار آن  $h$  می باشد. اگر فشار در داخل مخزن  $p$  و مخزن از ماده ای ساخته شده باشد که از قانون هوك پیروی کند نیروی را که از طرف مخزن به دیوار وارد

۲۸۳

اگر وزن مخصوص آب را  $\gamma$  بسمیم فشار آب در عمق  $x$  برابر  $\gamma x$  مینماییم، بنابراین فشار آب و در نتیجه تنش‌های محیطی در ته استوانه حداقل می‌باشد. وقتی که حداقل ارتفاع آب  $H = 15 \text{ m}$  باشد حداقل تنش محیطی برابر است با

$$\sigma_c = \frac{pr}{h} = \frac{\gamma H r}{h} = \frac{0.001(1500)(360)}{2.5} = 216 \text{ Kg/cm}^2 \quad (\text{کشی})$$

تنش طولی در اثر وزن خود مخزن ایجاد می‌شود و حداقل آن نیز در ته استوانه مینماید. اگر  $A$ ،  $H_1$  و  $\delta$  به ترتیب مساحت سطح مقطع استوانه، ارتفاع استوانه و وزن مخصوص فولاد باشد حداقل تنش طولی در مخزن برابر است با  

$$(\text{فشاری}) \sigma_1 = \frac{\delta A H_1}{A} = \frac{\delta H_1}{\text{مساحت سطح مقطع}} = 0.008(1800) = 14.4 \text{ Kg/cm}^2$$
  
 ب - چون حداقل تنش‌های محیطی و طولی در ته مخزن می‌باشد حداقل تنش بر روی نیز در ته مخزن خواهد بود و مقدار آن با استفاده از دایره موهربا برابر است (شکل b-۱۲)

$$\tau_{\max} = \frac{\sigma_c - \sigma_1}{2} = \frac{216 - (-14.4)}{2} = 115.2 \text{ Kg/cm}^2$$

مسئله ۶

دیگبخاری از ورق‌های فولادی به ضخامت  $8 \text{ mm}$  ساخته شده است (شکل ۱۸-۶). طول قسم استوانه‌ای دیگ  $4 \text{ m}$  و قطر داخلی استوانه  $1.8 \text{ m}$  می‌باشد. دیگ مزبور تحت فشار داخلی  $10 \text{ Kg/cm}^2$  قرار دارد. از دیگ طول فطر استوانه و افزایش طول قسم استوانه‌ای دیگ و همچنین اضافه حجم نسبی قسم استوانه‌ای دیگ را حساب کنید. ضریب پواسون و ضریب ارتجاعی برای فولاد بترتیب  $0.3$  و  $2.1 \times 10^6 \text{ Kg/cm}^2$  می‌باشند.

حل : تنش‌های محیطی  $\sigma_c$  و طولی  $\sigma_1$  در جدار دیگ عبارتند از

$$\sigma_c = \frac{pr}{t} = \frac{10(0.9)(100)}{0.8} = 1125 \text{ Kg/cm}^2$$

$$\sigma_1 = \frac{pr}{2t} = \frac{1}{2} \sigma_c = 562.5 \text{ Kg/cm}^2$$

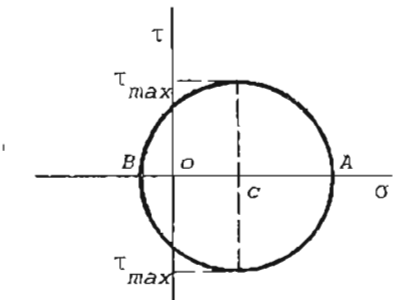
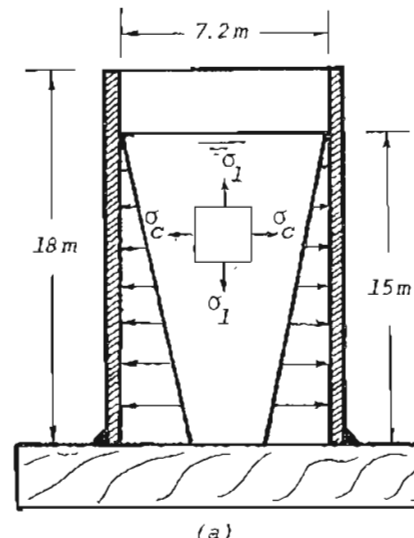
۲۸۴

با سوختن معادله عادل در امتداد افق نیروی  $F$  بدست می‌آید.

$$F = F_2 - F_1 = \pi r^2 p - 2v\pi r^2 p = (1-2v)\pi r^2 p$$

مسئله ۶-۳

مخزن آب سراسری از فولاد به شکل استوانه ساخته شده است (شکل ۶-۱۲ a). ارتفاع مخزن آب  $18 \text{ m}$  و مساحت آن  $2.5 \text{ سانتیمتر}^2$  است. حداقل ارتفاع  $T$  در مخزن به  $15 \text{ m}$  متر می‌رسد. وزن واحد حجم فولاد معرف شده  $0.008 \text{ Kg/cm}^3$  و وزن واحد حجم آب  $0.001 \text{ Kg/cm}^3$  می‌باشد. قطر استوانه  $7.2 \text{ m}$  است. الف - حداقل تنش‌های عمودی (فشاری و کشی) ایجاد شده در مخزن را حساب کنید. ب - با استفاده از دایره موهربا حداقل تنش سرشی را در مخزن حساب کنید. در حل این مسئله از خمی استوانه صرف نظر کنید.



شکل ۱۲-۶

حل : الف - در اثر فشار آب در حدار استوانه تنش‌های محیطی ایجاد می‌شود.

۲۸۵

$$\ln V = \ln \pi + 2 \ln r + \ln L$$

$$\frac{dV}{V} = 2 \frac{dr}{r} + \frac{dL}{L}$$

چون غیرشکل‌های ارتجاعی کوچک هستند می‌توانیم بنویسیم

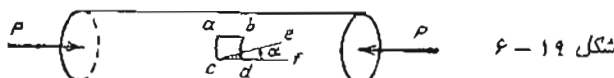
$$\epsilon_c = \frac{dr}{r} ; \quad \epsilon_l = \frac{dL}{L}$$

بنابراین

$$\frac{\Delta V}{V} = 2\epsilon_c + \epsilon_l = 2 \times 455 \times 10^{-6} + 107 \times 10^{-6} = 1.017 \times 10^{-3}$$

### مسئله ۶-۵

استوانه شکل ۱۹-۶ به قطر 100 cm و ضخامت جدار 10 mm می‌باشد و تحت فشار داخلی 20 atm قرار دارد. استوانه همجنین بوسیله نیروهای  $P = 50 t$  در دو انتهایش فشرده می‌شود. اضلاع ab و cd عنصر abcd در روی استوانه موازی محور استوانه می‌باشند. تنش‌های عمودی و برشی را در روی مقطع ce که با مولد cf استوانه زاویه  $\alpha = 60^\circ$  درجه می‌سازد پیدا کنید.



شکل ۱۹-۶

حل: ابتداتنش‌های محیطی  $\sigma_c$  و طولی  $\sigma_l$  را که تنش‌های اصلی برای عنصر می‌باشد پیدا می‌کنیم.

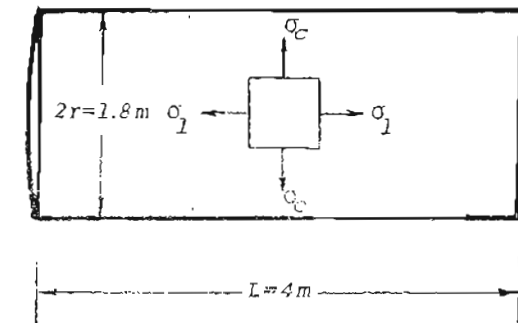
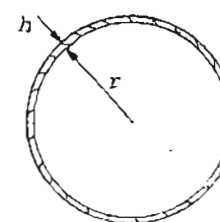
$$\sigma_c = \frac{Pr}{h} = \frac{20(50)}{1} = 1000 \text{ Kg/cm}^2$$

$$\sigma_l = \frac{Pr}{2h} - \frac{P}{2\pi rt} = \frac{20 \times 50}{2 \times 1} - \frac{50000}{2\pi(50)(1)} = 341 \text{ Kg/cm}^2$$

بنابراین تنش‌های اصلی عبارتند از

$$\sigma_1 = 1000 \text{ Kg/cm}^2 ; \quad \sigma_2 = 341 \text{ Kg/cm}^2$$

۲۸۶



شکل ۶-۱۸

با استفاده از مقادیر فوق کرنش محیطی  $\epsilon_c$  و کرنش طولی  $\epsilon_l$  را حساب می‌کنیم. در روابط زیر  $v$  ضریب پواسون و  $E$  ضریب ارتجاعی می‌باشد.

$$\begin{aligned} \epsilon_c &= \frac{1}{E} (\sigma_c - v \sigma_l) = \frac{\sigma_c}{E} \left( 1 - \frac{v}{2} \right) \\ &= \frac{1125}{2100000} \left( 1 - \frac{0.3}{2} \right) = 455 \times 10^{-6} \end{aligned}$$

$$\begin{aligned} \epsilon_l &= \frac{1}{E} (\sigma_l - v \sigma_c) = \frac{\sigma_l}{E} \left( \frac{1}{2} - v \right) \\ &= \frac{1125}{2100000} \left( \frac{1}{2} - 0.3 \right) = 107 \times 10^{-6} \end{aligned}$$

اضافه طول استوانه برابر است با

$$\Delta L = L \epsilon_l = 4000(107)(10^{-6}) = 0.43 \text{ mm}$$

اضافه طول قطر استوانه مساوی است با

$$\Delta D = D \epsilon_d = D \epsilon_c = 1800 (455)(10^{-6}) = 0.82 \text{ mm}$$

در رابطه فوق  $\epsilon_c$  کرنش در جهت فطر استوانه است که با کرنش محیطی پیکسان می‌باشد (چون بین محیط و قطر نسبت ثابت  $\pi$  وجود دارد). حجم قسم استوانه‌ای دیگر مساویست با

$$V = \pi r^2 L$$

از طرفین رابطه فوق ابتدا لگاریتم و سپس دیفرانسیل می‌گیریم.

۲۸۷

نیرویی وجود ندارد. تغییر طول شعاع استوانه ای تحت فشار شعاعی  $p$  برابر است با

$$\Delta r = r\epsilon_r = r\epsilon_c = \frac{r\sigma_c}{E} = \frac{pr^2}{Eh} \quad (6-18)$$

در رابطه فوق کرنش در جهت شعاع استوانه است که با کرنش محیطی برابر میباشد (جون بین محیط و شعاع دایره نسبت ثابت  $2\pi$  وجود دارد). اضافه طول شعاع پوسته خارجی در اثر فشار  $p$  بعلاوه کاوش طول شعاع پوسته داخلی در اثر  $p$  باید برابر با اضافه طول اولیه شعاع استوانه داخلی باشد.

$$\frac{p(50)^2}{2 \times 10^{11} \times 10^{-6} \times 2.5} + \frac{p(50)^2}{2 \times 10^{11} \times 10^{-6} \times 2} = \frac{0.25}{2}$$

از این رابطه  $p = 11.1 \text{ MPa}$  بدست می‌آید. این فشار در استوانه داخلی تنش محیطی فشاری

$$\sigma_c = \frac{pr}{h} = -\frac{11.1 \times 50}{2.5} = -222 \text{ MPa}$$

ایجاد می‌کند. تنش محیطی کشی در استوانه خارجی در اثر فشار  $p$  برابر است با

$$\sigma'_c = \frac{pr}{h} = \frac{11.1 \times 50}{2} = 277 \text{ MPa}$$

اگر مخزن مجبور تحت فشار داخلی باشد، تنش‌های فوق باید بر تنش‌های ایجاد شده بوسیله فشار داخلی افزوده شود.

مسئله ۶-۲

استوانه فولادی جدار نازکی مطابق شکل ۲۱-۶ دقیقاً در روی استوانه مسی جدار نازکی قرار می‌کشد. اگر درجه حرارت به اندازه  $30^\circ\text{C}$  اضافه شود تنش‌های محیطی ایجاد شده در هر یک از استوانه‌ها را ببینا کنید. از تأثیرات ناشی از انبساط طولی صرف نظر کنید. ضرائب انبساط حرارتی فولاد و مس به ترتیب برابر  $\alpha_s = 12 \times 10^{-6} \text{ C}^{-1}$  و  $\alpha_c = 18 \times 10^{-6} \text{ C}^{-1}$ ، و ضرائب ارتجاعی فولاد و مس به ترتیب برابر  $E_s = 2 \times 10^{11} \text{ N/m}^2$  و  $E_c = 9 \times 10^{10} \text{ N/m}^2$  می‌باشد. این نوع استوانه‌ها بعضی از موقع برای ذخیره کردن مایهات خورنده (مایهاتی که باعث زنگ زدگی می‌شوند) بکار می‌روند.

۲۸۶

نشها در روی مقطع ce از روابط ۵-۹ و ۵-۱۲ بدست می‌آیند. زاویه  $\theta$  در این روابط زاویه بین عمود بر سطح ce و امتداد تنش اصلی ماقریم  $\sigma_1$  می‌باشد. در این مثال  $\sigma_1$  عمود بر محور استوانه است. در نتیجه زاویه بین عمود بر صفحه و امتداد  $\sigma_1$  برابر  $60^\circ$  درجه می‌باشد.

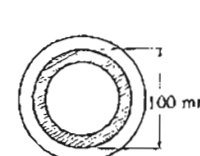
$$\sigma_{60} = 1000 \cos^2 60^\circ + 341 \sin^2 60^\circ = 506 \text{ Kg/cm}^2$$

$$\tau_{60} = \frac{1000 - 341}{2} \sin 120^\circ = 285 \text{ Kg/cm}^2$$

مسئله ۶-۶

مخزن تحت فشاری از دو استوانه هم محور مطابق شکل ۲۰-۶ ساخته شده است.

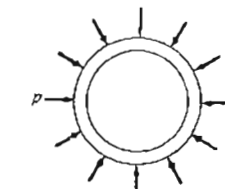
قبل از ساختن مخزن مشاهده می‌شود که استوانه داخلی کمی بزرگتر از اندازه است و در داخل استوانه خارجی جا نمی‌گیرد. استوانه خارجی حرارت داده شده و در روی استوانه داخلی جا داده می‌شود، سپس استوانه خارجی حنک شده به درجه حرارت اولیه‌اش باز می‌گردد. اگر هر دو استوانه از فولاد و قطر متوسط مجموعه استوانه‌ها برابر  $100 \text{ mm}$  باشد، تنش‌های محیطی ایجاد شده در هر یک از پوسته‌ها را حساب کنید. اضافه طول اولیه قطر استوانه داخلی را  $0.25 \text{ mm}$  فرض کنید. ضخامت جدار پوسته داخلی  $2.5 \text{ mm}$  و ضخامت جدار پوسته خارجی  $2 \text{ mm}$  می‌باشد. برای فولاد  $E = 2 \times 10^{11} \text{ N/m}^2$ .



مخزن دو جداره



استوانه خارجی



استوانه داخلی

شکل ۲۰-۶

حل: در اثر انقباض لوله خارجی بین دو استوانه فشار  $p$  مطابق شکل ۲۰-۶ ایجاد می‌گردد. توجه کنید که هیچ گونه بار خارجی وجود ندارد. فشار  $p$  باعث می‌شود که قطر پوسته خارجی افزایش و قطر پوسته داخلی کاوش باید. در جهت طول استوانه‌ها

۲۸۹

از این رابطه  $p=0.109 \text{ MPa}$  بدست می‌آید. این فشار در استوانه‌های فولادی و مسی تنش‌های محیطی ایجاد می‌کند که مقدار آن از رابطه ۶-۷ بدست می‌آید.

$$\sigma_S = \frac{0.109(507.5)}{5} = 11.06 \text{ MPa} \quad \text{در استوانه فولادی : (کشی)}$$

$$\sigma_C = -\frac{0.109(502.5)}{5} = -10.95 \text{ MPa} \quad \text{در استوانه مسی : (فشاری)}$$

## مسئله ۶-۸

یک وسیله نقلیه تحقیقاتی زیر دریایی دارای بدنای به شکل کره به شعاع یک متر و ضخامت جدار ۳۰ میلیمتر می‌باشد. زیر دریایی مجبور از فولاد با تسلیم ۷۰۰ MPa ساخته شده است. تعیین کنید عمقی از دریا را که در آن تنش در پوسته کروی بعد تسلیم می‌رسد. وزن مخصوص آب دریا را  $10^3 \text{ N/m}^3$  فرض کنید.

حل : تنش فشاری ناشی از فشار هیدرولاستاتیک خارجی در جدار پوسته از رابطه ۶-۹ بدست می‌آید. فشار هیدرولاستاتیک  $p$  که در پوسته تنش تسلیم ایجاد می‌کند از رابطه زیر بدست می‌آید :

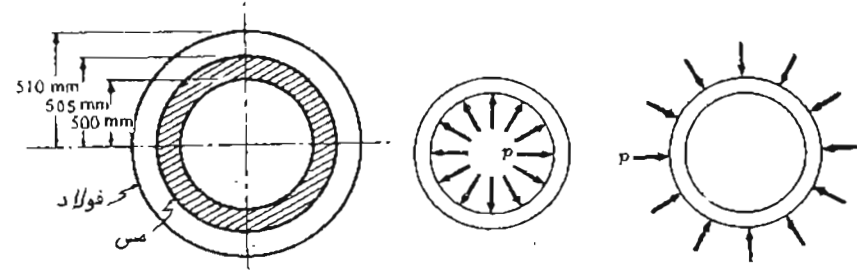
$$700 = \frac{p(1000)}{2(30)} : p = 42 \text{ MPa}$$

اگر وزن مخصوص آب  $\gamma$  باشد، فشار هیدرولاستاتیک در عمق  $H$  برابر  $\gamma H = p$  است. بنابراین

$$42 \times 10^6 = (10^4)(H) : H = 4200 \text{ m}$$

در این مسئله از اختلاف فشار بین بالا و پایین پوسته کروی صرف نظر شده است ( چون قطر  $2 \text{ m}$  کره در مقابل عمق  $4200 \text{ m}$  آب ناچیز است ). در این مسئله از احتمال کمایش کره در اثر فشار هیدرولاستاتیک و همچنین تأثیرات درهای ورودی در روی مقاومت پوسته کروی صرف نظر شده است. به حساب آوردن این عوامل خارج از موضوع این کتاب می‌باشد.

۲۸۸



حل : اگر دو استوانه فولادی و مسی با یکدیگر در تماس نبوده و از یکدیگر جدا شود در اثر افزایاد درجه حرارت به اندازه  $30^\circ\text{C}$  محیط استوانه فولادی به اندازه  $2\pi(507.5)(30)(12 \times 10^{-6}) = 1.148 \text{ mm}$  و محیط استوانه مسی به اندازه  $2\pi(502.5)(30)(18 \times 10^{-6}) = 1.705 \text{ mm}$  اماfe می‌شود. بدین ترتیب پس از گرم شدن اختلاف بین شعاع‌های استوانه‌ها در اثر گرم شدن برابر می‌بود با

$(1.705 - 1.148)/2\pi = 0.089 \text{ mm}$

اما بر اساس فرض مسئله دو استوانه در داخل یکدیگر فرار دارند و با یکدیگر در تماس می‌باشند و در نتیجه بین آنها فشار  $p$  ایجاد می‌گردد. این فشار  $p$  موجب اضافه شدن شعاع استوانه فولادی و کم شدن شعاع استوانه مسی می‌شود. فشار  $p$  در روش نمودارهای جسم آزاد استوانه‌های فولادی و مسی در شکل ۶-۲۱ نشان داده شده است.

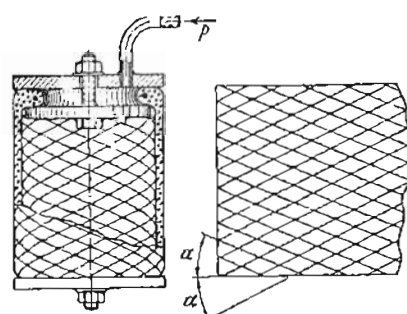
تعییر شعاع یک استوانه جدار نازک تحت فشار شعاعی یکنواخت  $p$  که در مسئله ۶-۶ حساب شد ( رابطه ۶-۱۸ ) برابر است با

$$\Delta r = \frac{pr^2}{Eh}$$

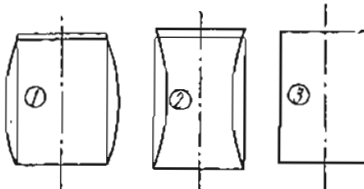
بنابراین اضافه طول شعاع استوانه فولادی در اثر فشار  $p$  بعلاوه کاهش طول شعاع استوانه مسی در اثر فشار  $p$  باید مساوی باشد با اختلاف بین شعاع‌های استوانه‌ها در اثر گرم شدن ( موقعی که استوانه‌ها از یکدیگر جدا باشند ) .

$$\frac{p(507.5)^2}{2 \times 10^{11} \times 10^{-6} \times 5} + \frac{p(502.5)^2}{9 \times 10^{10} \times 10^{-6} \times 5} = 0.089$$

استوانه ای از لاستیک و دو لایه سیم مطابق شکل ۲۴ - ۶ ساخته شده است و تحت فشار داخلی  $P$  قرار دارد. مشاهده می شود که استوانه در اثر فشار داخلی بسته باز زاویه  $\alpha$  سیم ها به یکی از صورت های شکل ۲۵ - ۶ تغییر شکل می دهد. در حالت ۱ مولد منحنی استوانه به طرف خارج محدب است، در حالت ۲ مولد منحنی استوانه به طرف خارج مقعر می باشد و در حالت ۳ با فرض اینکه سیم ها غیر قابل انبساط باشند استوانه تغییر شکل محسوس نمی دهد و شکل اولیه خود را حفظ می کند. مقادیر زاویه  $\alpha$  مربوط به هر یک از تغییر شکل های بالا جقدر می باشد؟



شکل ۲۴ - ۶

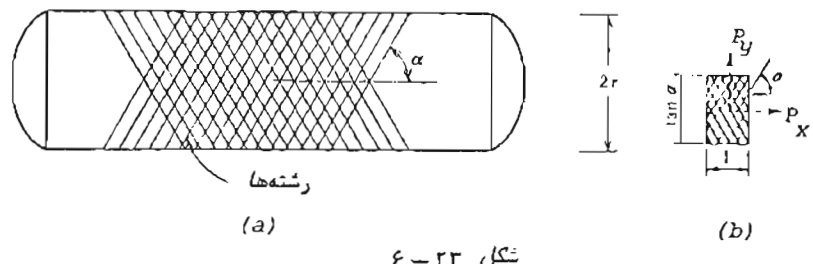


شکل ۲۵ - ۶

حل : با فرض ایکد انبساط سیم ها قابل صرف نظر باشد، بر اساس مسئله قبل برای  $\alpha = 35.2^\circ$  تمام بار بوسیله سیم ها تحمل می شود و در نتیجه استوانه تغییر شکل نمی دهد و شکل اولیه خود را حفظ می کند ( توجه کنید  $\alpha$  در مسئله قبل زاویه ایست که رشته ها با محور استوانه می سازند، در حالی که در این مسئله  $\alpha$  زاویه ایست که سیم ها با عمود بر محور استوانه تشکیل می دهند ). حال اگر  $\alpha > 35.2^\circ$  باشد، استوانه مطابق حالت ۱ شکل ۲۵ - ۶ و اگر  $\alpha < 35.2^\circ$  باشد، استوانه مطابق حالت ۲ شکل ۲۵ - ۶ تغییر شکل می دهد.

یکی از مسائل شبیه مسئله فوق در طرح رویه لاستیک های اتوموبیل ظاهر می شود ( شکل ۲۶ - ۶ ) . زاویه سیم های فولادی اهمیت زیادی در دوام رویه لاستیک دارد . تغییر زاویه سیم ها از مقدار اپتیمم در هر جهت ( کمتر یا بیشتر ) باعث کاهش عمر قابل

مخازن تحت فشار سبک وزن اغلب از رشته های شیشه برای تحمل نیروی کشی و از صنع ایاکسی به عنوان چسبنده استفاده می کنند ( شکل ۲۳ - ۶ ) . اگر لوله تحت فشار در دو انتهایش باز باشد در این صورت در آن فقط تنش های محیطی ایجاد می شود و زاویه مارپیچ رشته ها  $= 90^\circ$  می باشد. اما اگر دو انتهای استوانه بسته باشد در آن تنش های طولی نیز ایجاد می شود. در این حالت زاویه  $\alpha$  چقدر باید باشد تا نیروهای کشی در رشته های شیشه پکان باشند؟



شکل ۲۳ - ۶

حل : عنصری از استوانه را به عرض واحد و ارتفاع  $\tan \alpha$  جدا می کنیم ( شکل b ) . برای عنصر مزبور تعداد رشته ها در هر یک از مقطع آن پکان می باشد. اگر  $F$  نیروی کشی در هر یک از رشته ها و  $n$  تعداد رشته ها در یک مقطع عنصر مزبور باشد، برآیند نیروهای کشی رشته ها در امتداد طول و محیط استوانه از روابط زیر بدست می آید .

$$P_x = n F \cos \alpha ; \quad P_y = n F \sin \alpha \quad (1)$$

اگر خامت جدار استوانه را  $h$  فرض کنیم میان نیروهای فوق رابطه زیر وجود دارد ( با استفاده از روابط ۷-۶ و ۶-۸ ) :

$$\frac{P_y}{P_x} = \frac{\sigma_c(1)(h)}{\sigma_1(\tan \alpha)(h)} = \frac{2}{\tan \alpha} \quad (2)$$

اگر  $P_x$  و  $P_y$  را میان معادلات ۱ و ۲ حذف کنیم معادله ای برای زاویه  $\alpha$  بدست می آید .

$$\frac{2}{\tan \alpha} = \tan \alpha ; \quad \alpha = 54.8^\circ$$

۲۹۳

استوانه می خداکثر فشار داخلی مجاز  $p$  را تعیین می کند. اگر قسمتی از استوانه به طول  $L$  را به دو نیم تقسیم کنیم و معادله تعادل در امتداد قائم را بنویسیم ( مانند شکل ۶-۲۵ ) خواهیم داشت

$$2\sigma_c t_c L + 2\sigma_s t_s L - p(2r)L = 0 \quad (2)$$

در رابطه فوق  $t_c$  ضخامت جدار استوانه می باشد،  $t_s$  ضخامت جدار استوانه فولادی و  $r$  شعاع داخلی استوانه می باشد. پس از جایگزینی  $\sigma_s$  از معادله ۱ در معادله ۲ و حل معادله حاصل برای  $p$  خواهیم داشت

$$p = \frac{\sigma_c(t_c + 2t_s)}{r} = \frac{400(0.4 + 2 \times 0.2)}{25} = 12.8 \text{ Kg/cm}^2$$

مسئله ۶-۱۲

یک گند کروی به ضخامت جدار  $h$  و شعاع  $R$  تحت اثر وزن خودش ( ۹ در واحد سطح ) فرار دارد ( شکل ۶-۲۷ ). تنش های نصف النهاری  $\sigma_1$  و محیطی  $\sigma_2$  عمود بر  $\sigma_1$  را بدست آورید.

حل : قسمتی از کره را به صورت کلاهک ABC در بالای سطح افقی AC می کیم و تعادل آن را در امتداد قائم در نظر می گیریم. مساحت سطح کلاهک مزبور بر اساس است با  $2\pi R^2(1-\cos\phi)$ . بنا بر این وزن کلاهک مساوی  $2\pi R^2(1-\cos\phi)q$  می باشد و معادله تعادل کلاهک در امتداد قائم به صورت زیر بوده می شود :

$$\sigma_1(2\pi R \sin\phi)h \sin\phi + 2\pi R^2(1-\cos\phi)q = 0$$

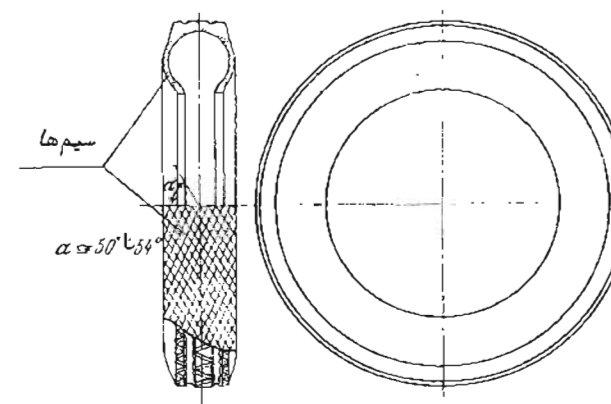
از حل این معادله تنش نصف النهاری  $\sigma_1$  بدست می آید.

$$\sigma_1 = -\frac{qR}{h(1+\cos\phi)}$$

با جایگزینی  $\sigma_1$  سجائی  $\sigma_\phi$  در معادله ۶-۱۴ و با توجه به اینکه  $r_1 = r_2 = R$  نش محیطی  $\sigma_2 = \sigma_\theta$  عمود بر  $\sigma_1$  بدست می آید. توجه کنید  $p$  در رابطه ۶-۱۴ فشار داخلی عمود سر سطح عصر می باشد، بنابراین در این مسئله باید بجای  $p$  کمیت  $q \cos\phi$  را قرار دهیم:

۲۹۴

بهره برداری لاستیک می گردد. البته باید سوجه نمود که تعیین را و به ابتیم برای رویه لاستیک نه تنها بر اساس شرایط تعادل قرار دارد بلکه شرایط ابتیم حسنه در اثر تنش های متغیر که در هنگام دوران چرخ ایجاد می شود نیز باید مروری گردد.



شکل ۶-۲۶

مسئله ۶-۱۱

لوله ای از مس به قطر داخلی  $50 \text{ cm}$  و ضخامت جدار  $0.4 \text{ cm}$  که روی آن را لایه ای از فولاد به ضخامت  $0.2 \text{ cm}$  پوشانده است تحت فشار داخلی  $p$  می باشد. اگر تنش مجاز مس  $400 \text{ Kg/cm}^2$  و تنش مجاز فولاد  $1600 \text{ Kg/cm}^2$  باشد، حداکثر فشار مجاز  $p$  را حساب کنید. از تنش های موادی طول استوانه صرف نظر کرد ( به عبارت دیگر استوانه را در دو انتهایش باز فرض نمایید ). ضریب ارتفاعی مولاد دوبرابر ضریب ارتفاعی مس می باشد.

حل : کرنش های محیطی و فطری هر دو استوانه یکسان می باشد. بنابراین نسبت تنش محیطی در مولاد به تنش محیطی در مس هر ابر نسبت صرایب ارتفاعی آنها می باشد.

$$\frac{\sigma_S}{\sigma_C} = \frac{E_S}{E_C} = 2 \quad (1)$$

چون تنش مجاز مس یک چهارم تنش مجاز فولاد می باشد با نوجوه به راسه فون تنش در

۲۹۵

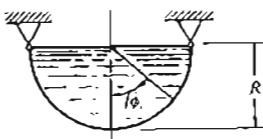
مسئله ۲-۳-۶ رابطه‌ای برای اضاعه حجم در واحد حجم استوانه جدار نازکی تحت فشار داخلی یکتوخت  $p$  حساب کنید. دو انتهای استوانه بوسیله صفحه‌های دایره‌ای بسته شده‌اند، این باطن شعاعی استوانه را در تمام طول آن ثابت مرض کنید. شعاع استوانه  $r$ ، ضخامت آن  $h$ ، ضریب ارتجاعی  $E$  و ضریب پواسون  $\nu$  می‌باشد.

مسئله ۲-۳-۷ تعیین کنید ضخامت جدار لازم سرای یک لوله آب چدنی به قطر ۱۰۰ cm که در عمق ۱۲۰ متری آب قرار دارد. تنش مجاز کشی برای چدن برابر  $200 \text{ Kg/cm}^2$  می‌باشد.

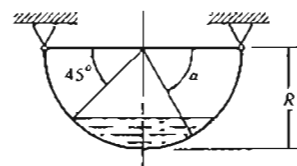
مسئله ۲-۳-۸ تنش ایجاد شده در جدار یک لوله فولادی را که بوسیله یک رویه الومینیومی پوشیده شده است و تحت فشار داخلی  $33 \text{ Kg/cm}^2$  می‌باشد حساب کنید. قطر داخلی استوانه فولادی  $160 \text{ mm}$ ، ضخامت جدار آن  $3 \text{ mm}$  و ضخامت رویه الومینیومی  $6.5 \text{ mm}$  می‌باشد. از تنشها در امتداد طول استوانه صرف نظر کنید.

مسئله ۲-۳-۹ مخزن استوانه‌ای جدار نازکی به شعاع  $r$  و ضخامت جدار  $h$  در دو انتهایش مسدود می‌باشد. موقعی که مخزن تحت فشار داخلی  $p$  قرار دارد، کرنش سنجی که در سطح حارجی مخزن قرار دارد در جهت موازی محور استوانه کشش  $\epsilon$  را اندازه می‌کند. فشار داخلی مخزن در این حالت قدر می‌باشد؟

مسئله ۱-۴-۶ مخزن نیم کروی شکل ۱-۱-۶ به شعاع  $R$  و ضخامت جدار  $h$  با مایعی به وزن مخصوص  $\gamma$  بر شده است. بوزن مذبور در سراسر طول لبه فوکانیش سکیه گاه متکی می‌باشد. تنشها را در بوزن حساب کنید.



شکل ۱-۴-۶



شکل ۲-۴-۶

مسئله ۲-۴-۶ مخزن نیم کروی شکل ۲-۲-۶ به شعاع  $R$  و ضخامت جدار  $h$  می‌باشد و مایعی به وزن مخصوص  $\gamma$  قسمتی از آن را مطابق شکل هر می‌کند. بوزن مذبور

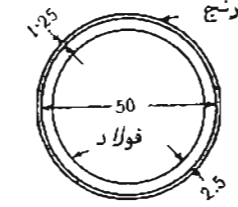
۲۹۴

$$\sigma_2 = \frac{Rp}{h} - \sigma_1 = -\frac{Rq\cos\phi}{h} + \frac{qR}{h(1+\cos\phi)}$$

$$\sigma_2 = \frac{qR}{h} \left( \frac{1}{1+\cos\phi} - \cos\phi \right)$$

۶-۶ مسائل حل نشده

مسئله ۱-۲-۶ دو حلقه برنجی و فولادی در درجه حرارت  $216^\circ$  دقیقاً بروی بدیگر قرار می‌گیرند و در هیچ یک تنی ایجاد نمی‌شود (شکل ۱-۶-۶). عرض هر دو حلقه در جهت عمود بر صفحه تصویر برابر  $2.5 \text{ cm}$  می‌باشد. اگر درجه حرارت دستکاه مذبور به  $21^\circ\text{C}$  تنزل پیدا کند، فشار شعاعی  $q$  بین دو حلقه و تنش محیطی  $\sigma_b$  در حلقه برنجی را در اثر تغییر درجه حرارت حساب کنید. برای ساده نمودن محاسبات، بدون اینکه به دقت محاسبات لطمه زیادی وارد شود، فرض کنید هر یک از حلقه‌ها شعاع متوسط  $r = 25 \text{ cm}$  دارد. ضریب ارتجاعی و ضریب انبساط حرارتی برای فولاد به ترتیب  $E_S = 2(10)^6 \text{ Kg/cm}^2$  و  $\alpha_S = 12(10)^{-6} \text{ C}^{-1}$  و برای برنج به ترتیب  $E_B = 9(10)^5 \text{ Kg/cm}^2$  و  $\alpha_B = 19(10)^{-6} \text{ C}^{-1}$  می‌باشد.



شکل ۱-۲-۶

مسئله ۱-۳-۶ مخزن ذخیره بنزینی به شکل استوانه قائم و به قطر  $30 \text{ m}$  می‌باشد. نا ارتفاع  $15 \text{ m}$  آن از بنzin سا جکالی نسبی  $0.74$  بر شده است. اگر تنش تسلیم ورق فولادی که بوزن از آن ساخته شده است برابر  $250 \text{ MPa}$  و ضریب اطمینان  $2.5$  کافی باشد، ضخامت لازم برای جدار استوانه را در ته آن حساب کنید. از تأثیرات خمث موضعی صرف نظر کنید.

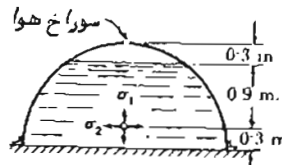
۲۹۷

۲ فرض کنید.

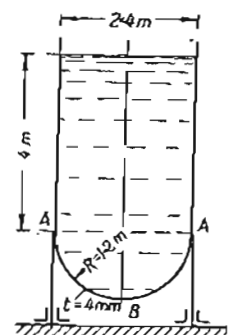
مسئله ۷-۴-۶ پوسته کروی شکل ۷-۷-۶ به شعاع متوسط  $r$  و ضخامت جدار  $t$  تحت اثر نیروهای کشی  $P$  در امتداد یکی از قطرهای آن قرار دارد. تنش‌های غنائی اصلی  $\sigma_1$  و  $\sigma_2$  را در نقطه A پوسته که با زاویه  $\phi$  مشخص شده است پیدا کنید.

مسئله ۸-۴-۸ پوسته نیم کروی شکل ۸-۴-۸ به شعاع ۱.۵m و ضخامت جدار  $t = 0.025 \text{ cm}$  به بک دال افقی بچشیده و تا ارتفاع ۱.۲m از آب (با وزن مخصوص  $\gamma = 1 \text{ g/cm}^3$ ) پر شده است. در بالای پوسته سوراخ هوا کوچکی وجود دارد تا فشار هوا در داخل و خارج پوسته یکسان باشد. تنش‌های غنائی اصلی  $\sigma_1$  و  $\sigma_2$  را برای عنصری که در ارتفاع ۰.۳ متر قرار دارد حساب کنید.

مسئله ۹-۴-۹ یک مخزن استوانه‌ای به قطر ۲.۴m که قسمت پایین آن به شکل نیم کره می‌باشد تا ارتفاع ۴m با آب پر شده است (شکل ۹-۴-۶) (ضخامت جدار استوانه و قسمت نیم کروی آن برابر ۴mm است. ماکریم تنش‌های عمودی را در جدار قسمت‌های استوانه‌ای و کروی مخزن حساب کنید.



شکل ۹-۴-۹



شکل ۹-۴-۶

مسئله ۱-۴-۵-۶ مخزن مایعی به شکل مخروط باقی (شکل ۱-۴-۵-۶) بر انتهای کوچکترش تکیه دارد و با مایعی سه وزن مخصوص  $0.9 \text{ t/m}^3$  پر شده است. ضخامت

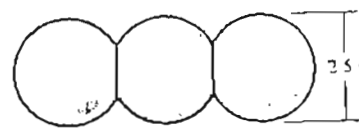
۲۹۶

در اطراف لبه موقایعین بر تکیه گاه مکنی می‌باشد. تنش‌ها را در پوسته حساب کنید.

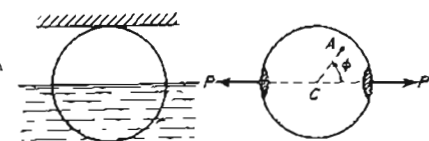
مسئله ۳-۴-۶ اضافه طول شعاع یک پوسته کروی تحت مشارک داخلی  $p$  را حساب کنید. شعاع پوسته را  $r$ ، صخامت آن را  $h$ ، ضریب ارتعاشی را  $E$  و ضریب بواسون را  $v$  فرض کنید.

مسئله ۴-۴-۶ یک مخزن کروی برای ذخیره نمودن گاز تحت فشار از فولاد به صخامت ۱۵mm ساخته شده است. قطر مخزن ۲۵m و تنش تسلیم فولاد ۲۵۰MPa است. با بکار بردن ضریب اطمینانی برابر ۲.۵ حداقل فشار داخلی مجاز را حساب کنید اگر الف - مقاومت اتصالات ورق‌های فولاد برابر مقاومت خود فولاد باشد.  
ب - مقاومت اتصالات ورق‌های فولاد ۷۵ درصد مقاومت خود فولاد باشد.

مسئله ۵-۴-۶ وسیله نقلیه دریایی شکل ۵-۴-۶ که برای کمک به زیر دریایی‌ها در موقع اضطراری ساخته شده است از سه پوسته کروی چسبیده بهم تشکیل شده است. پوسته‌ها از فولاد به فطر خارجی ۲.۵m و ضخامت جدار ۲۰mm ساخته شده و تنش تسلیم فولاد ۹۰۰MPa می‌باشد. تنش محیطی ایجاد شده در پوسته‌های کروی را در عمق ۱۰۰۰m دریا حساب کنید. از تأثیرات ناشی از تمرکز تنش در محل اتصال کره‌ها و همچنین امکان کمانش در اثر فشار هیدرواستاتیکی صرف نظر نمایید. وزن مخصوص آب دریا را  $10^4 \text{ N/m}^3$  فرض کنید.



شکل ۵-۴-۶



شکل ۶-۴-۶

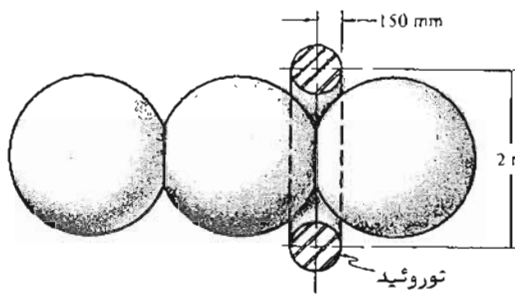
مسئله ۶-۴-۶ پوسته کروی شکل ۶-۴-۶ به شعاع متوسط  $R$  و ضخامت جدار  $t$  بوسیله سقف نایتی در داخل آب غوطه ورنگه داشته شده است بطوریکه نیمی از آن در داخل آب قرار دارد. با صرف سطر سودن از وزن پوسته تنش‌های اصلی  $\sigma_1$  و  $\sigma_2$  را در پوسته در سطح آب (در خط استوای کره) پیدا کنید. وزن مخصوص آب را

۲۹۹

مسئله ۴ - ۵ - ۶ مخزنی به شکل مخروط ناقص (شکل ۴ - ۵ - ۶) با آب به ورن مخصوص  $1 \text{ g/cm}^3 = 1$  پر شده است. تنشهای غنائی  $\sigma_1$  و  $\sigma_2$  را برای عنصر A که در روی شکل مشخص شده است پیدا کنید. ضخامت جدار مخزن  $0.03 \text{ cm}$  می‌باشد.

مسئله ۵ - ۵ - ۶ اگر مخروط شکل ۳ - ۵ - ۶ دارای فشار داخلی نبوده ولی در راس آن نیروی قائم متغیر  $P$  به طرف پایین وارد شود، تنشهای غشائی  $\sigma_1$  و  $\sigma_2$  را در تراز  $h$  زیر راس مخروط پیدا کنید. ضخامت جدار مخوطرا  $t$  فرض کنید.

مسئله ۱ - ۶ - ۶ زیر دریابی شکل ۱ - ۶ - ۶ دارای مخزن هوای فشرده‌ای به شکل توروئید می‌باشد که دو تا از پوسته‌های کروی را در بر می‌کشد. مخزن توروئیدی از فولاد با مقاومت کشی نهایی  $1000 \text{ MPa}$  ساخته شده است. با بکار بردن ضریب اطمینانی برابر ۳ در مقابل مقاومت نهایی، ضخامت لازم جدار توروئید را برای تحمل فشار داخلی  $30 \text{ MPa}$  حساب کنید.



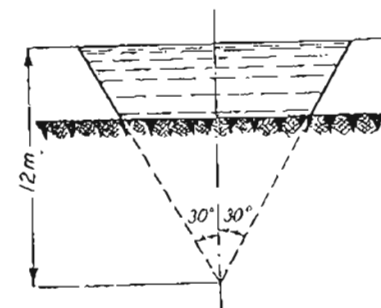
شکل ۱ - ۶ - ۶

مسئله ۱ - ۲ - ۶ مخزن شکل ۱۱ - ۶ از ورق فولاد به ضخامت  $12 \text{ mm}$  ساخته شده است و دارای دوردیف اتمال با برج روی هم می‌باشد. فاصله برجها از یکدیگر در ردیف اول برابر  $12 \text{ cm}$  و در ردیف دوم برابر  $6 \text{ cm}$  و قطر هر یک از برجها  $25 \text{ mm}$  است. اگر تنшенجازکشی برای  $\sigma_w = 1120 \text{ Kg/cm}^2$  و تنشنجازبرهنسی برای  $\tau_w = 840 \text{ Kg/cm}^2$  باشد، حداقل فشار داخلی مجاز  $p$  را حساب کنید. قطر مخزن  $1.5 \text{ m}$  است.

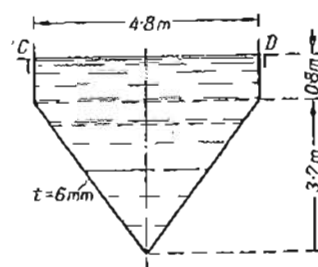
مسئله ۲ - ۲ - ۶ صفحه‌های انتهایی یک دیک بخار بوسیله برج و نشی مطابق شکل ۲ - ۲ - ۶ به جدار دیک متصل شده‌اند. قطر دیک بخار  $100 \text{ cm}$  و فشار داخلی آن

۲۹۸

جدار مخزن  $8 \text{ mm}$  است. حداقل تنشهای عمودی نصف النهاری و محیطی را در جدار مخزن حساب کنید.



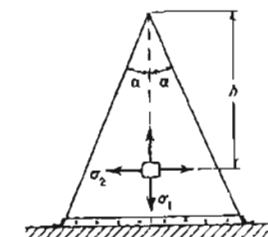
شکل ۱ - ۵ - ۶



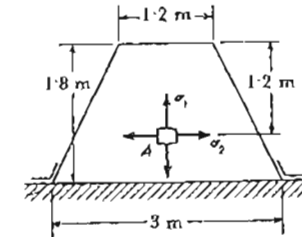
شکل ۲ - ۵ - ۶

مسئله ۲ - ۵ - ۶ مخزن مایعی شامل دو قسمت می‌باشد (شکل ۲ - ۵ - ۶). قسمت استوانه‌ای فوقانی به قطر  $4.8 \text{ m}$  و ارتفاع  $80 \text{ cm}$ ، و قسمت مخروطی تحتانی به ارتفاع  $3.2 \text{ m}$  و ضخامت جدار  $6 \text{ mm}$  می‌باشد. مخزن در اطراف محیطش در مقطع CD آویزان است و بانعنت به وزن مخصوص  $0.72 \text{ t/m}^3$  پر شده است. تنشهای عمودی ماکریسم نصف النهاری و محیطی را در جدار غسمت مخروطی مخزن حساب کنید.

مسئله ۳ - ۵ - ۶ مخروط جدار نازکی بر روی یک پایه افقی مطابق شکل ۳ - ۵ - ۶ قرار دارد و تحت اثر فشار گاز داخلی  $p$  می‌باشد. ضخامت جدار مخروط  $t$  است. با صرف نظر نمودن از وزن مخروط تنشهای اصلی  $\sigma_1$  و  $\sigma_2$  را در نقطه‌ای که در روی شکل مشخص شده است پیدا کنید.



شکل ۳ - ۵ - ۶



شکل ۴ - ۵ - ۶

۱۰۱

$$\sigma_1 = \frac{\gamma R^2}{3t} ; \quad \sigma_2 = -\frac{\gamma R^2}{3t}$$

$$312.5 \text{ MPa} : 6-4-5$$

$$: 6-4-6$$

$$\sigma_1 = -\sigma_2 = \frac{P}{2\pi rt}$$

$$: 6-4-7$$

$$\sigma_1 = 68 ; \quad \sigma_2 = 472 \text{ Kg/cm}^2$$

$$\text{استوانه} = 96 \text{ Kg/cm}^2 ; \quad \text{بیم کرو} = 62.4 \text{ Kg/cm}^2$$

$$\sigma_\theta = 240 \text{ Kg/cm}^2 ; \quad \sigma_\phi = 70 \text{ Kg/cm}^2$$

$$\sigma_\phi = 33.8 \text{ Kg/cm}^2 ; \quad \sigma_\theta = 45 \text{ Kg/cm}^2$$

$$\sigma_1 = \frac{1}{2} \sigma_2 = \frac{pht \tan \alpha}{2t \cos \alpha}$$

$$: 6-4-8$$

$$: 6-4-9$$

$$: 6-5-1$$

$$: 6-5-2$$

$$: 6-5-3$$

$$\sigma_1 = 101 ; \quad \sigma_2 = 536 \text{ Kg/cm}^2$$

$$: 6-5-4$$

$$\sigma_1 = -\frac{P}{2\pi h t \sin \alpha} ; \quad \sigma_2 = 0$$

$$: 6-5-5$$

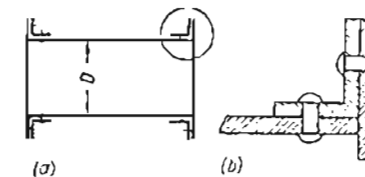
$$p = 10.5 \text{ Kg/cm}^2 : 6-4-1$$

$$14.7 \text{ mm} : 6-6-1$$

$$36 : 6-4-2$$

۲۰۰

۱۰ atm  
۲۰ سانتی‌متر  
۲۰ mm  
نش مجاز در برش  $700 \text{ Kg/cm}^2$   
در فشار  $1600 \text{ Kg/cm}^2$  می‌باشد.



شکل ۶-۷-۲

## ۶-۱۰ جواب‌های مسائل حل شده

$$q = 125 \text{ Kg/cm}^2 ; \quad \sigma_b = 1000 \text{ Kg/cm}^2$$

$$16.7 \text{ mm} : 6-2-1$$

$$30 \text{ mm} : 6-2-2 \quad \frac{\Delta V}{V} = \frac{pr}{Eh} \left( \frac{5}{2} - 2v \right)$$

$$p = \frac{2hE\varepsilon_0}{r(1-2v)} : 6-2-3 \quad 500 \text{ Kg/cm}^2$$

$$\sigma_\phi = \frac{\gamma R^2}{3h} \left( \frac{1-\cos^3 \phi}{\sin^2 \phi} \right) : 6-4-1$$

$$\sigma_\theta = \frac{\gamma R^2}{3h} \left( 3 \cos \phi - \frac{1-\cos^3 \phi}{\sin^2 \phi} \right)$$

$$\sigma_\phi = -\sigma_\theta = \frac{\gamma R^2}{h} \frac{0.0382}{\cos^2 \alpha} \quad \alpha < 45^\circ \text{ برای} : 6-4-2$$

$$\sigma_\phi = \frac{\gamma R^2}{h} \left[ \frac{1+\sin \alpha + \sin^2 \alpha}{3(1+\sin \alpha)} - 0.355 \right] \quad 45^\circ < \alpha < 90^\circ \text{ برای}$$

$$\sigma_\theta = \frac{\gamma R^2}{h} \left( \sin \alpha - 0.707 \right) - \sigma_\phi$$

$$\Delta r = pr^2 (1-v) / (2Eh) : 6-4-3$$

$$0.24 ; \quad 0.18 \text{ MPa} : 6-4-4$$

تیر شکل ۱-۲ که در انتهای جپ تکیه گاه معلقی و در انتهای راست نکهاد معلقی غلطکی ( یا به اختصار نکه گاه غلطکی ) دارد موسوم به " تیر با نکه گاه های ساده " و یا به اختصار " تیر ساده " می باشد . خصوصیت اساسی یک تیر ساده این است که دو انتهای آن در موقع حمث می توانند به آزادی دوران کنند ولی در جهت جانبی چهارچوب دراز ( عمود بر محور تیر ) نمی توانند حرکتی داشته باشد . همچنین یکی از دو اسهامی تیر ( نکه گاه غلطکی ) می تواند در جهت محور تیر ( یعنی افقی ) به آزادی حرکت کند . تکه گاه های یک تیر ساده قادر به تحمل واکنش های قائم چه در جهت رو به بالا و چه در جهت رو به پایین می باشد .

تیر شکل ۱-۳ که در یک انتها کیر دار و در انتهای دیگر آزاد است به تیر طره ای موسوم می باشد . تیر در تکه گاه کیر دار نه حرکت دورانی و نه حرکت انتقالی می تواند داشته باشد ، در حالی که در انتهای آزاد هر دو نوع حرکت امکان پذیر است . پیش از شکل ۱-۲ تیری را نشان می دهد که دارای بیش آمدگی می باشد ، این تیر دارای تکه گاه های ساده A و B و انتهای آزاد C می باشد .

بارهای روی یک تیر معمولاً به صورت بارهای متمرکز ( مانند بارهای  $P_1$  و  $P_2$  در شکل های ۱-a و ۱-c ) یا گستردۀ ( مانند بار q در شکل b ) می باشند . بارهای گستردۀ بوسیله هدستان مشخص می شوند که بر حسب نیرو در واحد طول در امتداد محور تیر بیان می شوند . برای یک بار گستردۀ پکتواخت ( مانند بار شکل ۱-b ) شدت بار گستردۀ ثابت است ، ولی اگر بار گستردۀ در طول تیر متغیر باشد شدت بار گستردۀ نیز به صورت ثابعی از فاصله در امتداد محور تیر تغییر خواهد کرد .

تیرهای شکل ۱-۷ تیرهای ایزو استاتیک می باشند زیرا تمام واکنش های آنها را می توان از معادلات تعادل بدست آورد . برای مثال در حالت تیر ساده شکل ۱-a که تحت بار متمرکز  $P_1$  می باشد ، هر دو واکنش قائم می باشند و با نوشتن معادله تعادل لنگری حول دو نقطه انتهایی تیر بدست می آیند . \*

$$R_a = \frac{P_1(L - a)}{L} ; R_b = \frac{P_1 a}{L}$$

واکنش های تیر شکل ۱-c که دارای بیش آمدگی می باشد نیز به همین صورت بدست می آید .

\* هرای اینگهی بین بارها و واکنش ها فرق گذاشته شود ، در روی پیکان های مربوط به واکنش های یک خط مایل رسم شده است .

حجت الله عادلی

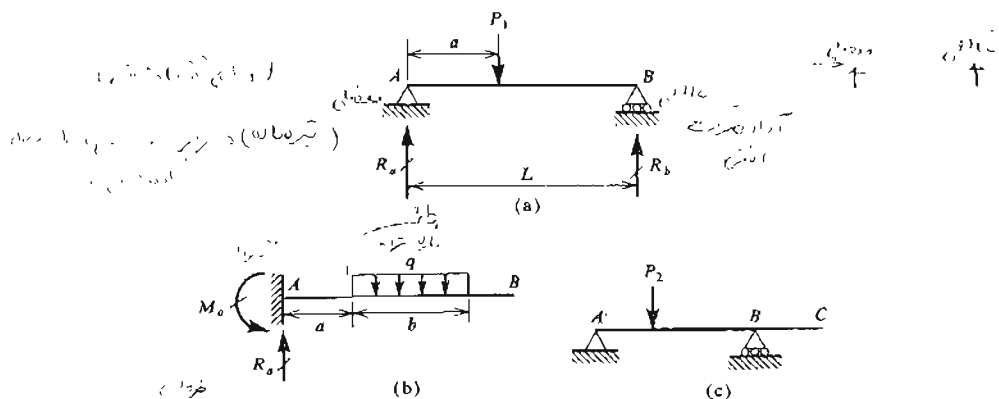
مقاومت مصالح

## فصل هفتم

نیروی برشی و لکنو خمشی

### ۱-۷ انواع تیرها

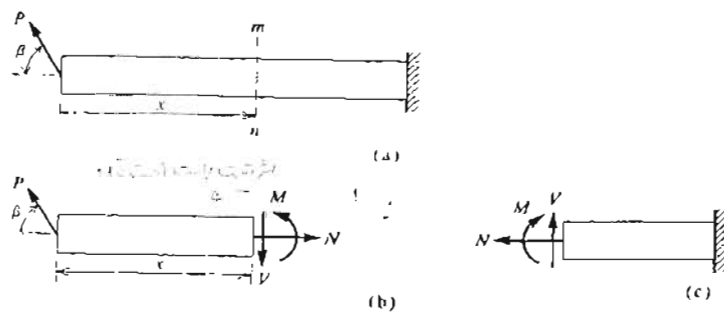
میلمای که تحت تأثیر نیروهای عمود بر محورش قرار دارد به نام تیر نامیده می شود . چند سوی تیر در شکل ۱-۷ متأهده می گردد . در تمام این فصل فرض می شود



شکل ۱-۱

که تیر یک صفحه تقارن موازی صفحه تصویر داشته باشد . بدین ترتیب سطح مقطع تیر پر محور تقارن قائم دارد . همچنین فرض می شود که بارها ( یا برآیند آنها ) در صفحه تقارن اثر نکند و در نتیجه خمش تیر در این صفحه رخ می دهد .

۲۰۵



شکل ۲-۱  
نیروی برشی  $V$  موازی سطح مقطع، و لنگر خمشی  $M$  که در صفحه تیر اثر می‌کند جزیه می‌کند.

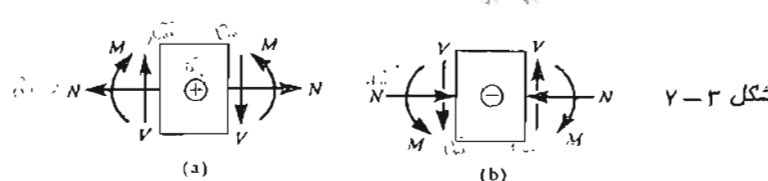
نیروی محوری، نیروی برشی و لنگر خمشی موئر در یک مقطع عرضی تیر موسوم به برآیندهای نتش می‌باشد. برآیندهای نتش برای یک تیر ایزو استاتیک را می‌توان به کمک معادلات تعادل بدست آورد. بدین ترتیب برای تیر طرهای شکل ۲-۲ می‌توانیم سه معادله تعادل برای نمودار جسم آزاد شکل ۲-۳ می‌توانیم. از معادلات تعادل در امتدادهای افقی و قائم نتیجه می‌شود

$$N = P \cos \beta \quad ; \quad V = P \sin \beta$$

و از مجموع جبری لنگرها حول محوری که از مرکز سطح مقطع  $mn$  عبور کند بدست

$$M = P x \sin \beta$$

در این رابطه فاصله انتهای آزاد تیر از مقطع  $mn$  می‌باشد. بدین ترتیب می‌توانیم برآیندهای نتش را در هر مقطع تیر با استفاده از نمودار جسم آزاد و معادلات تعادل بدست آوریم. نتشهای ناشی از نیروی محوری  $N$  در تیر قبل "در فصلهای اول و دوم



مورد بحث قرار گرفتند. در فصلهای بعد خواهیم دید چطور می‌توان نتشهای مربوط به

۲۰۴

در مورد تیر طرهای شکل ۲-۱ b، عمل سارگسترهای یکواخ  $q$  با سرعت قائم  $R_a$  و لنگر  $M_a$  در نکه گاه گیردار در حال تعادل می‌باشد. سه تنش متعادله تعادل سیر در امتداد قائم واکنش  $R_a$  بدست می‌آید. با مساوی صفر فرار دادن مجموع جری لنگرها حول نقطه A واکنش  $M_a$  حاصل می‌شود.

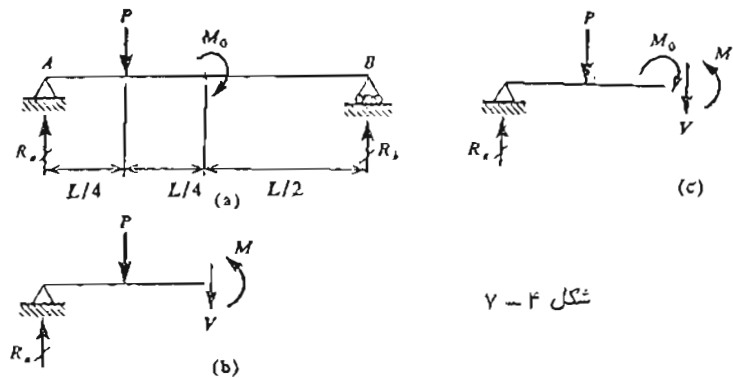
$$M_a = qb \left( a + \frac{b}{2} \right)$$

لنگر واکنش  $M_a$  مطابق شکل ۲-۱ b در خلاف حسب عقربه‌های ساعت عمل می‌کند. مثال‌های فیل شان می‌دهند چگونه واکنش‌های (سیرها و لنگرها) تیرهای ایزو استاتیک را می‌توان به کمک معادلات تعادل استاتیک محاسبه کرد. برای تعیین واکنشهای سیرهای هیبر استاتیک لازم است که تفسیر شکل سیر تیر را در مورد تیرهای هیبر استاتیک در فصل دیگری بحث خواهد شد.

تکیه گاههای شکل ۱-۷ نکه گاههای ایده‌آل می‌باشد که ممکن است با نکه گاههای واقعی فرق داشته باشد. تیرهای با دهانه طویل در پل‌ها بعضی از موافع با نکه گاههای معمولاً مفصلی و غلطکی مطابق شکل مربوط ساخته می‌شود. اما در تیرهای با دهانه کوچک تیرهای هیبر استاتیک در مقابل تیرهای معمولاً وجود دارد. تأثیرگیرداری مذکور در اغلب اوقات قابل صرف نظر می‌باشد (بخش ۱۱-۵ را ببینید). اما اگر تیر خیلی انعطاف پذیر و گیرداری‌های افیفی در دو انتها خیلی صلب باشد ممکن است لازم شود که اثر مربوطه به حساب آورده شود. در این صورت تیر به صورت هیبر استاتیک در می‌آید که درباره آن در فصل تیرهای هیبر استاتیک بحث خواهد شد.

## ۲-۲ برآیندهای نتش در تیرها

در شکل ۲-۲ یک تیر طرهای که بر آن بار مایل  $P$  در انتهای آزادش اثر می‌کند نشان داده شده است. اگر ما تیر را در مقطع  $mn$  قطع کیم و نمودار جسم آزاد قسمت چپ تیر را رسم نمائیم (شکل ۲-۲ b)، متناظر می‌کنیم که اتر فسمت راست در روی فسمت چپ باید چنان باشد که قسمت جدا شده در حال تعادل باقی بماند. چگونگی توزیع نتشها در مقطع  $mn$  هنوز برای ما مشخص نیست، امامی دانیم که برآیندهای نتشها باید با نیروی  $P$  در حال تعادل باشد. برای سهولت کار معمولاً برآیندهای نتشها را به سرعت محوری  $N$  عمود بر سطح مقطع که از مرکز سطح مقطع عبور می‌کند،



شکل ۷-۴

شده‌اند). لنگر خمثی  $M_0$  در روی شکل ظاهر نمی‌شود چون نیرو از سمت چپ نقطعه اثر  $M_0$  بریده شده و نمودار جسم آزاد برای قسمت چپ تیر رسم شده است. از جمع جبری نیروها در امتداد قائم حاصل می‌شود.

$$V = R_a - P = -\frac{P}{4} - \frac{M_0}{L}$$

این معادله نشان می‌دهد که نیروی برشی منفی است و در نتیجه در جهت مخالف جهت نشان داده شده در شکل ۷-۴ ب اثر می‌کند. با لنگر گرفتن حول محوری که از مقطع راست قسمت چپ تیر عبور می‌کند (شکل ۷-۴ b) نتیجه می‌شود

$$M = \frac{R_a L}{2} - \frac{PL}{4} - \frac{M_0}{2} = \frac{PL}{8} + \frac{M_0}{2}$$

مشاهده می‌کنیم که لنگر خمثی بسته به مقادیر نسبی جملات ممکن است مشبّت یا منفی باشد. برای اینکه برآیندهای نشان را در مقطعی درست در سمت راست وسط دهانه تیر بیندازیم، تیر را در این مقطع قطع می‌کنیم و مجدداً "نمودار جسم آزاد را برای قسمت چپ رسم می‌نماییم (شکل ۷-۴ c). تنته تفاوت این نمودار با نمودار با نوشتن معادلات تعادل نیروها در امتداد قائم و تعادل لنگر حول محوری که از مقطع راست قسمت چپ تیر عبور کند خواهیم داشت

$$V = -\frac{P}{4} - \frac{M_0}{L} ; \quad M = \frac{PL}{8} + \frac{M_0}{2}$$

متاسفانه:

این نتایج نشان می‌دهد که هنگام عبور از سمت چپ لنگر  $M_0$  به سمت راست لنگر  $M$  در روی تیر، نیروی برشی تغییر نمی‌کند ولی لنگر خمثی به اندازه  $M_0$  به طور جبری

لنگر خمثی  $M$  و نیروی سرشی  $V$  را در تیر پیدا کرد. برآیندهای نشان  $N$ ،  $M$  و  $V$  و فنی مشبّت فرص می‌شوند که در جهت‌های نشان داده شده در شکل ۷-۴ a اثر کنند. اما این فرار داد علامت فقط وقته مفید است که مانع از این نیز را در نظر می‌گیریم. اگر قسمت سمت راست تیر را در نظر گیریم (شکل ۷-۴ c)، در خواهیم یافت که برآیندهای نشان همان مقادیر قبلی ولی جهت‌های مخالف دارند. با این نشیخی دهیم که علامت جبری یک برآیند قسمت راست تیر مسأید سنگی به جهت آن در فضا (مثلاً به طرف چپ یا راست) داشته باشد، بلکه علامت آن باید سشگی به جهت‌شان نسبت به سطح ماده‌ای که برآن اثر می‌کند داشته باشد. برای نشان دادن این نکته، قرار دادهای علامت برای  $N$ ،  $V$  و  $M$  مجدداً در شکل ۷-۴ b برای عنصری از تیر نشان داده شده‌اند. مشاهده می‌کنیم که نیروی محوری مشبّت از سطحی که برآن عمل می‌کند دور می‌شود (نیروی کششی)، نیروی برشی مشبّت در جهت عفریه‌های ساعت سر سطح عمل می‌کند، و لنگر خمثی مشبّت باعث فشردن قسمت فوقانی تیر می‌گردد.

$N$  یا  $N_{\text{نشان}}$  یا  $N_{\text{نشان}}$  /  $V$  یا  $V_{\text{نشان}}$  یا  $V_{\text{نشان}}$  /  $M$  یا  $M_{\text{نشان}}$  یا  $M_{\text{نشان}}$

مثال ۷-۱

تیر ساده AB نیروی مرکزی  $P$  و لنگر خمثی  $M_0$  را مطابق شکل ۷-۴ a حمل می‌کند. نیروی برشی و لنگر خمثی در تیر را در مقاطع زیر پیدا کنید: (الف) - به فاصله کوچکی در سمت چپ وسط دهانه تیر. (ب) - به فاصله کوچکی در سمت راست وسط دهانه تیر.

اول، ب، ب، ب، ب، ب، ب، ب، ب

حل: اولین قدم برای تحلیل این تیر پیدا کردن واکنش‌های  $R_a$  و  $R_b$ . این واکنش‌ها با لنگر گرفتن حول نقاط A و B بدست می‌آیند.

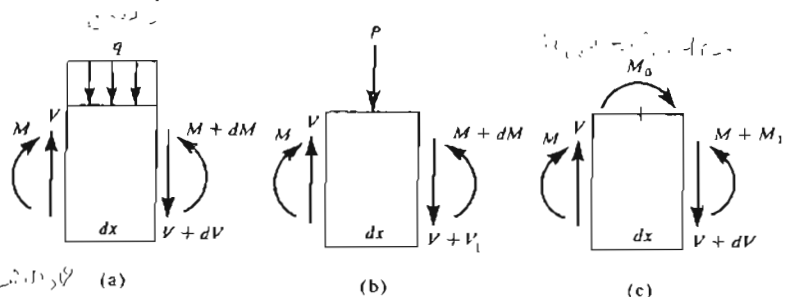
$$R_a = \frac{3P}{4} - \frac{M_0}{L} ; \quad R_b = \frac{P}{4} + \frac{M_0}{L}$$

سپس تیر در مقطعی درست در سمت چپ وسط دهانه بریده و نمودار جسم آزاد نیمه چپ تیر رسم می‌شود (شکل ۷-۴ b) (السته می‌توانستم نمودار جسم آزاد نیمه راست تیر را نیز رسم کنیم و در حواب معلله هیچ تعبیری حاصل نمی‌شود). نیروی  $P$  و واکنش  $R_a$  و همچنین نیروی برشی  $V$  و لنگر خمثی  $M$  که مقادیر مجهول می‌باشند در روی نمودار جسم آزاد مذبور رسم شده‌اند (V و M هر دو در جهت مشبّت رسم

۲۰۹

## ۷-۳ رابطه بین بار، نیروی برشی و لنگر خمشی

روابط مهمی بین نیروی برشی  $V$  و لنگر خمشی  $M$  و بار روی تیر وجود دارد. برای بدست آوردن این روابط، عنصری از تیر را که بین دو مقطع مجاور هم به فاصله  $dx$  بریده شده در نظر می‌گیریم (شکل ۷-۶ a). اگر نیروی برشی  $V$  و لنگر خمشی  $M$  بر جه سمت چپ عنصر مشتباشد جهتگشان مطابق شکل ۷-۶ a خواهد بود.



شکل ۷-۶

نیروی برشی و لنگر خمشی بطور کلی با فاصله  $x$  در طول محور تیر تغییر می‌کنند، در نتیجه مقادیر نیروی برشی و لنگر خمشی در وجه سمت راست عنصر با مقادیر نظری در وجه سمت چپ عنصر اختلاف مختصری خواهند داشت. اگر این اختلاف  $V$  و  $M$  را به ترتیب با  $dV$  و  $dM$  نشان دهیم، مقادیر نیروی برشی و لنگر خمشی در وجه سمت راست عنصر  $V + dV$  و  $M + dM$  می‌باشند. انتساب  $V + dV$  و  $M + dM$  می‌باشد، بارگذاری که در روی عنصر عمل می‌کند ممکن است بارگذاره، بار متغیر و با لنگر باشد. اگر بار روی عنصر بارگذارهای باشد  $q$  باشد، از شکل ۷-۶ a مشاهده می‌شود که بار کل برابر  $q dx$  است (  $q$  به طرف پایین مشت غرض می‌شود ) . در این صورت از معادله تعادل نیروها در امتداد قائم نتیجه می‌شود

$$\int q dx = \frac{1}{2} L (V + dV) - q dx = 0 \quad \text{در اینجا} \quad \text{یا}$$

$$\frac{dV}{dx} = -q \quad (7-3)$$

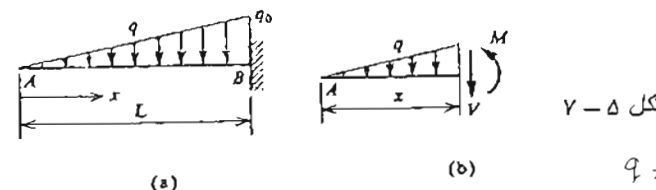
بنابراین وقتی بارگذارهای به شدت  $q$  در روی تیر اثر می‌نماید، نیروی برشی در طول تیر تغییر می‌کند و شدت تغییرات نسبت به  $x$  برابر  $-q$  است. از معادله فوق همچنین

۲۱۰

افزایش می‌یابد.  $\therefore$   $V$  در انتهای آزاد

## مثال ۷-۲

سیر طراوی سکل ۷-۵ a در انتهای A آزاد و در انتهای B گیردار می‌باشد و تحت انر سارگسزدهای با شدب متغیر  $q$  فرار دارد. نیروی برشی  $V$  و لنگر خمشی  $M$  را در فاصله  $x$  از انتهای آزاد تیر پیدا کید.



$$q = q_0 x / L$$

حل: تیر را در فاصله  $x$  از A می‌بریم و نمودار جسم آزاد قسمت چپ تیر را درسم می‌کنیم (شکل ۷-۵ b). در این مسئله نیز مانند مسئله قبل نیروی برشی  $V$  و لنگر خمشی  $M$  را مشتب فرض می‌کنیم. شدت بارگذاره برابر  $q_0 x / L$  و در نتیجه بارکل (رو به پایین) در نمودار جسم آزاد شکل ۷-۵ b برابر  $(q_0 x^2 / 2L)$  می‌باشد. بنابراین از معادله تعادل در امتداد قائم نتیجه می‌شود

$$V = -\frac{q_0 x^2}{2L} \quad (7-1)$$

از این معادله نتیجه می‌شود که در انتهای آزاد A ( $x=0$ ) نیروی برشی  $V=0$  و در انتهای گیردار B ( $x=L$ ) نیروی برشی  $V=-q_0 L/2$  می‌باشد. برای پیدا کردن لنگر خمشی در تیر، معادله تعادل لنگری قسمت جدا شده تیر را حول محوری که از مقطع  $x$  عبور می‌کند می‌نویسیم.

$$M = -\frac{q_0 x^3}{6L} \quad (7-2)$$

در انتهای آزاد A ( $x=0$ ) لنگر خمشی برابر صفر و در انتهای گیردار B ( $x=L$ ) لنگر خمشی برابر  $q_0 L^2 / 6$  می‌باشد. معادلات ۷-۱ و ۷-۲ نیروی برشی  $V$  و لنگر خمشی  $M$  را در هر نقطه از طول تیر می‌دهند. از این معادلات نتیجه می‌شود که بیشترین مقدار عددی نیروی برشی و لنگر خمشی در انتهای گیردار تیر می‌باشد.

۳۱

$M_1$  در این رابطه نمو با تغییر لنگر خمشی می‌باشد. این معادله نشان می‌دهد که در اثر لنگر خمشی  $M_0$  هنگام عبور از سمت چپ نقطه اثر لنگر مزبور به سمت راست آن، لنگر خمشی در تیر بطور ناگهانی به اندازه  $M_0$  افزایش می‌باشد.

معادلات ۷-۳ و ۷-۴ در موقع بررسی کامل تغییرات نیروی برشی و لنگر خمشی در طول تیر بکار می‌روند.

### مثال ۷-۳

معادلات ۷-۳ و ۷-۴ را برای تیر طره‌ای مثال ۲-۲ تایید کنید.

حل: اگر از معادلات ۷-۱ و ۷-۲ سمت به  $x$  مشتق بگیریم خواهیم

$$\frac{dV}{dx} = -\frac{q_0 x}{L} \quad ; \quad \frac{dM}{dx} = -\frac{q_0 x^2}{2L}$$

داشت

با توجه به اینکه شدت بار  $q$  در این مثال  $L/x = q_0$  است، معادلات فوق نشان میدهند که روابط ۷-۳ و ۷-۴ بین بار، نیروی برشی و لنگر خمشی برقرار می‌باشند.

### ۷-۴ نمودارهای نیروی برشی و لنگر خمشی

نیروی برشی  $V$  و لنگر خمشی  $M$  در یک تیر معمولاً "با فاصله  $x$  که مشخص کننده مقاطع عرضی مختلف در طول تیر می‌باشد" تغییر می‌کند. در هنگام طرح یک تیر، داشتن مقادیر  $V$  و  $M$  در همه مقاطع عرضی تیر مطلوب است و یک راه ساده برای نشان دادن این کمیت‌ها منحنی‌هایی می‌باشد که تغییرات آنها را در طول تیر نشان دهد. برای رسم این منحنی‌ها در روی محور طول ها محل مقاطع مورد نظر و در روی محور عرض‌ها نیروی برشی یا لنگر خمشی برده می‌شود. منحنی‌هایی که باین ترتیب بدست می‌آینند به نمودارهای نیروی برشی و لنگر خمشی موسوم می‌باشند. برای نشان دادن نحوه رسم این نمودارها، تیر ساده AB را که بار متغیر  $P$  را تحمل می‌کند در نظر می‌گیریم (شکل ۷-۲). واکنش‌های این تیر عبارتند از

$$R_a = \frac{Pb}{L} \quad ; \quad R_b = \frac{Pa}{L}$$

۳۱۵

نتیجه می‌شود اگر  $q = 0$  باشد، نیروی برشی  $V$  ثابت می‌باشد. با جمع نمودن تغییرات لنگرها حول محوری که از وجه سمت چپ عنصر شکل ۷-۶ a عبور می‌کند خواهیم یافت

$$M + q dx \left( \frac{dx}{2} \right) + (V + dV) dx - (M + dM) = 0$$

اگر از حاصل ضرب دیفرانسیل‌ها صرف نظر کنیم، معادله زیر حاصل می‌شود:

$$\left| \frac{dM}{dx} \right| = V \quad (7-4)$$

این معادله نشان می‌دهد هر گاه بر روی تیر بار گسترده وارد شود (یا اصلاً "باری وارد نشود")، شدت تغییرات لنگر خمشی نسبت به  $x$  برابر با مقدار جبری نیروی برشی می‌باشد.

حال موص می‌کنیم بر روی عنصر تیر نیروی متغیر  $P$  اثر کند (شکل ۷-۶ b). از معادله تعادل عنصر در امتداد قائم نتیجه می‌شود که یک تغییر ناگهانی یا گستگی در نیروی برشی بین دو وجه عنصر وجود دارد. این تغییر ناگهانی نیروی برشی به اندازه  $V_1$  می‌باشد که برابر است با

$$V_1 = -P \quad (7-5)$$

بنابراین هنگام عبور از سمت چپ نقطه اثر بار  $P$  به سمت راست آن نیروی برشی به اندازه  $P$  به طور ناگهانی کاهش می‌یابد.

شدت تغییرات لنگر خمشی در لبه سمت چپ عنصر شکل ۷-۶ a از معادله ۷-۴ برابر است با  $dM/dx = V_1$ : شدت تغییرات در لبه سمت راست برابر است با  $dM/dx = V + V_1$ . بنابراین می‌توان نتیجه گرفت که شدت تغییرات لنگر خمشی ( $dM/dx$ ) در نقطه اثر یک بار متغیر  $P$  به اندازه بار  $P$  به طور ناگهانی کاهش می‌یابد.

آخرین نوع بار گذاری که در نظر می‌گیریم لنگر متغیر  $M_0$  می‌باشد (شکل ۷-۶ c). از معادله تعادل در امتداد قائم نتیجه می‌شود  $dV = 0$ . این نتیجه نشان می‌دهد که نیروی برشی هنگام عبور از سمت چپ نقطه اثر لنگر  $M_0$  به سمت راست آن ثابت باقی می‌ماند. از تعادل لنگری عنصر نتیجه می‌شود

$$M + M_0 + V dx - (M + M_1) = 0$$

$$M_1 = M_0 \quad (7-6)$$

۳۱۳

( معادلات ۷-۸ ) ما تعادل قسمت چپ تیر ( قسمتی از تیر که بر آن نیروهای  $R_b$  و  $p$  اثر می کند ) را در نظر گرفتیم . برای بدست آوردن این مقادیر ساده تر بود قسمت راست تیر را که بر آن فقط واکنش  $R_b$  ( برابر با  $Pa/L$  ) اثر می کند در نظر می گرفتیم . اگر این روش را استحاب کیم مستقیماً " معادلات زیر حاصل می شوند که همان معادلات ۷-۸ می باشند .

$$V = -\frac{Pa}{L} \quad ; \quad M = \frac{Pa}{L} (L-x)$$

یک نکته حالب در نمودار نیروی برشی این مثال وجود دارد و آن مفادی سودن مساحت های دو مستطیل در این نمودار می باشد . این نکته نتیجه اتفاقی نبست زیرا با انتگرال کری از طریفین رابطه ۴-۷ داریم

$$\int_A^B dM = \int_A^B V dx \quad (7-9)$$

حدود A و B انتگرال نشان می دهند که انتگرال در روی تمام طول تیر زیر نشان می باشد . صورت می گیرد ، قسمت سمت راست این معادله معرف مساحت کل نمودار نیروی برشی می باشد . قسمت سمت چپ این معادله پس از انتگرال کری تفاوت لذکرهای خمشی در انتهای B و A یعنی  $M_b - M_a$  را می دهد . در مورد یک نیرو ساده ، در دو انتهای لذکری وجود ندارد و انتگرال سمت چپ معادله صفر می شود . بنابراین متوجه نشان می شود که مساحت کل نمودار نیروی برشی در این مثال باید برابر صفر باشد .

موقعی که باری به شکل یک لذکر متغیر کرد در روی تیر اثر می کند ، معادله ۷-۹ را باید با احتیاط بکار برد ، زیرا در این صورت در نمودار لذکر خمشی یک گستگی وجود دارد و انتگرال قسمت سمت چپ معادله مزبور را نمی توان در روی چنین گستگی حساب نمود . در این مورد باید انتگرال را در روی دو قسمت از تیر واقع در چپ و راست لذکر مزبور بطور جداگانه حساب و نتایج را با یکدیگر جمع نمود تا مقدار نهایی انتگرال بدست آید . موقعی که بارهای متغیر متعددی در روی یک تیر ساده اثر می کنند ( شکل ۷-۸-۲ ) ، معادلات  $V$  و  $M$  هر یک از نواحی تیر بین نقاط اثر بارهای متغیر باید بخور جداگانه تعیین گردد . مجدداً با اندازه گیری  $x$  از انتهای چپ تیر ، بروای اولین قسمت تیر (  $0 < x < a_1$  ) داریم

$$V = R_a \quad ; \quad M = R_a x \quad (7-10)$$

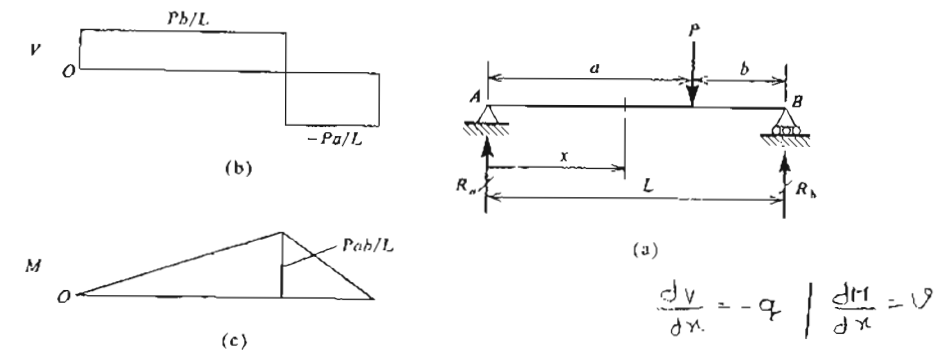
برای دومین قسمت تیر (  $a_1 < x < a_2$  ) می توانیم بنویسیم

۳۱۴

در هر مقطع عرضی واقع در سمت چپ بار  $P$  از تعادل نیرو می نشان نتیجه گرفت

$$V = \frac{Pb}{L} \quad ; \quad M = \frac{Pb}{L} x \quad (7-7)$$

از این معادلات نتیجه می شود که از تکیه گاه A تا نقطه اثر بار  $P$  ، نیروی برشی ثابت می باشد ولی لذکر خمشی با  $x$  بطور خطی تغییر می کند . لذکر خمشی در  $x=0$  برابر صفر و در  $x=a$  برابر  $Pab/L$  می باشد . این نتایج در روی نمودارهای نیروی برشی ( شکل ۷-۷ b ) و لذکر خمشی ( شکل ۷-۷ c ) رسم شده است .



شکل ۷-۷

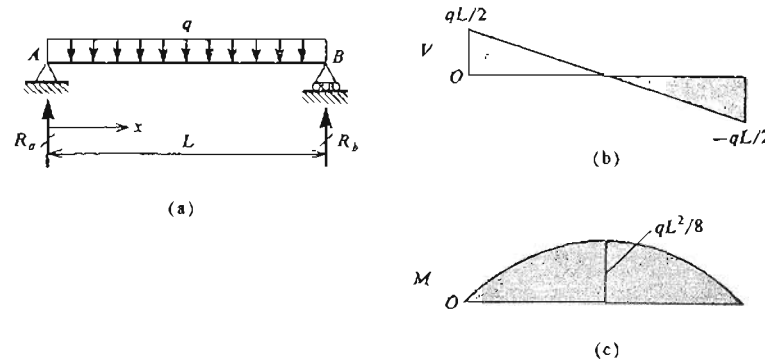
برای یک مقطع عرضی در طرف راست تیر (  $a < x < L$  ) داریم

$$V = \frac{Pb}{L} - P = -\frac{Pa}{L} \quad ; \quad M = \frac{Pb}{L} x - P(x-a) = Pa(1-\frac{x}{L}) \quad (7-8)$$

" مشاهده می کنیم که نیروی برشی در طول تیر ثابت و لذکر خمشی تابعی خطی از  $x$  می باشد . لذکر خمشی در  $x=a$  برابر  $Pab/L$  و در  $x=L$  برابر صفر است . نمودارهای نیروی برشی و لذکر خمشی برای تمام طول تیر در شکل های ۷-۷ b و ۷-۷ c رسم شده اند . مشاهده می شود که شیب  $dV/dx$  /  $dM/dx$  نمودار لذکر خمشی برابر  $-q$  ( معادله ۷-۴ ) و شیب  $dV/dx$  /  $dM/dx$  نمودار نیروی برشی برابر  $0 = -q$  ( معادله ۷-۳ ) می باشد . در نقطه اثر بار  $P$  ، یک تغییر ناگهانی در روی نمودار نیروی برشی ( برابر با  $P$  ) و یک تغییر ناگهانی در شیب نمودار لذکر خمشی وجود دارد . در هنگام بدست آوردن نیروی برشی و لذکر خمشی در سمت راست تیر  $P$

۳۱۵

ل (مانند شکل ۷-۸ b)، در این صورت شب نمودار لنگر خمشی از یک مقدار مثبت به یک مقدار منفی تغییر می‌کند. بنابراین لنگر خمشی در مقطع عرضی مزبور باید ماکریم باشد. بر عکس اگر نیروی برشی در مقطعی از تیر از منفی به مثبت تغییر علامت دهد، لنگر خمشی در آن مقطع مینیم است. نمودار نیروی برشی ممکن است محور افقی را در چند نقطه قطع کند. برای هر یک از این نقاط تقاطع یک ماکریم یا مینیم در نمودار لنگر خمشی وجود دارد. همه این ماکریم‌ها و مینیم‌ها باید بررسی شوند تا بیشترین مقدار لنگر خمشی بطور عددی بدست آید.



شکل ۷-۹

### مثال ۷-۴

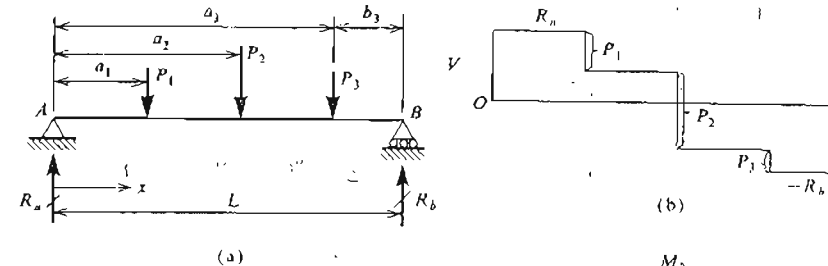
نمودارهای نیروی برشی و لنگر خمشی را برای تیر ساده شکل ۷-۹ با بار گسترده پکتواخت رسم کنید.

حل : واکنش‌های  $R_a$  و  $R_b$  تیر برابر  $qL/2$  می‌باشند. در یک مقطع عرضی به فاصله  $x$  از تکیه گاه A داریم

$$V = \frac{qL}{2}x - \frac{qx^2}{2} \quad (7-14)$$

از این معادلات مشاهده می‌شود که نمودار نیروی برشی یک خط مستقیم است و مختصات آن در  $x=0$  و  $x=L$  به ترتیب  $qL/2$  و  $0$  می‌باشد (شکل ۷-۹ c). همچنین نمودار لنگر خمشی یک سهمی است (شکل ۷-۹ c) که نسبت به وسط دهانه می‌باشد. اگر نیروی برشی در طول تیر از یک مقدار مثبت به یک مقدار منفی تغییر کند

۳۱۶



شکل ۷-۱۰

$$V = R_a + P_1 \quad ; \quad M = R_a x - P_1(x-a_1) \quad (7-11)$$

برای سومین قسمت تیر ( $a_2 < x < a_3$ ) سه تراست قسمت راست تیر را در نظر بگیریم. در این صورت داریم

$$V = -R_b + P_3 \quad ; \quad M = R_b(L-x) - P_3(L-b_3-x) \quad (7-12)$$

سرانجام برای آخرین قسمت تیر می‌توانیم بنویسیم

$$V = -R_b \quad ; \quad M = R_b(L-x) \quad (7-13)$$

از معادلات فوق مشاهده می‌شود نیروی برشی در هر یک از قسمت‌ها ثابت است و در نتیجه نمودار نیروی برشی مطابق شکل ۷-۸ b می‌باشد. همچنین لنگر خمشی در هر یک از قسمت‌ها تابعی خطی از  $x$  می‌باشد. برای رس نمودار لنگر خمشی ابتدا لنگر خمشی را در زیر بارهای متعدد پیدا می‌کنیم (با جایگزینی  $x=a_1$ ,  $x=a_2$ ,  $x=a_3$  و  $x=0$  به ترتیب در معادلات ۷-10, ۷-11 و ۷-13).

$$M_1 = R_a a_1 \quad ; \quad M_2 = R_a a_2 - P_1(a_2 - a_1) \quad ; \quad M_3 = R_b b_3$$

با بکار بردن این مقادیر، نمودار لنگر خمشی مطابق شکل ۷-۸ c رسم می‌گردد.

باید توجه نمود که تغییر هر گستگی در نمودار نیروی برشی، در شب  $dM/dx$  نمودار

لنگر خمشی یک تغییر ناگهانی وجود دارد.

در طرح تیرها غالباً پیدا کردن مقاطع عرضی که در آنها لنگر خمشی ماکریم یا

مینیم است لازم می‌گردد. در تیری مانند تیر شکل ۷-۸ a که تحت بارهای متعدد

قرار دارد، لنگر خمشی ماکریم همینه در زیر نقطه اثر یکی از بارها می‌باشد مطابق

معادله ۷-۴، شب نمودار لنگر خمشی در هر نقطه برابر نیروی برشی در همان نقطه

می‌باشد. اگر نیروی برشی در طول تیر از یک مقدار مثبت به یک مقدار منفی تغییر کند

۲۱۷

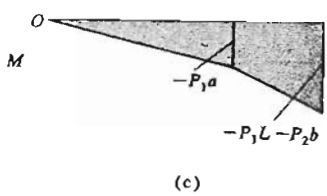
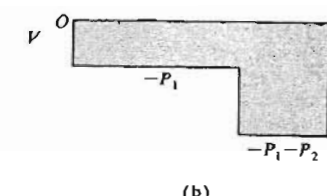
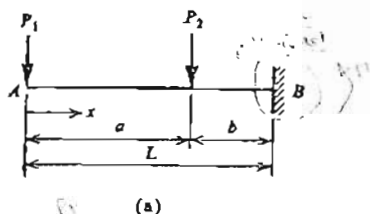
بالاخره سرای قسمت بدون بار استهای راست تیر داریم

$$V = -R_b \quad ; \quad M = R_b (L - x)$$

نمودارهای نیروی برشی و لنگر خمشی در شکل‌های ۷-۱۰ و ۷-۱۱ رسم شده‌اند. نمودار نیروی برشی از دو خط افقی و یک خط مایل تشکیل شده است. نمودار لنگر خمشی تیر شامل دو خط مستقیم مایل (مرسوط به قسمت‌های بارگذاری نشده تیر) و یک منحنی سه‌می (مرسوط به قسمت بارگذاری نشده تیر) می‌باشد. خطوط مایل در محل برخورد با سه‌می بر آن مماس می‌باشند زیرا در نقاط مزبور نیروی برشی بطور ناکهانی تغییر نمی‌کند و در نتیجه با توجه به معادله ۷-۴ شبیه نمودار لنگر خمشی در نقاط مزبور نمی‌توارد بطور ناکهانی تغییر کند. ماکریم لنگر خمشی در نقطه‌ایست که در آن نیروی برشی تغییر علامت می‌دهد. برای بدست آوردن این مقدار ماکریم، ابتدا از معادله  $V=0$  مقدار  $x$  مربوط به محل لنگر ماکریم را بدست می‌وریم و سپس آن را در معادله لنگر خمشی جایگزین می‌کنیم.

مثال ۷-۶

نمودارهای نیروی برشی و لنگر خمشی را برای تیر طرحهای شکل ۷-۱۱ رسم کنید.



شکل ۷-۱۱

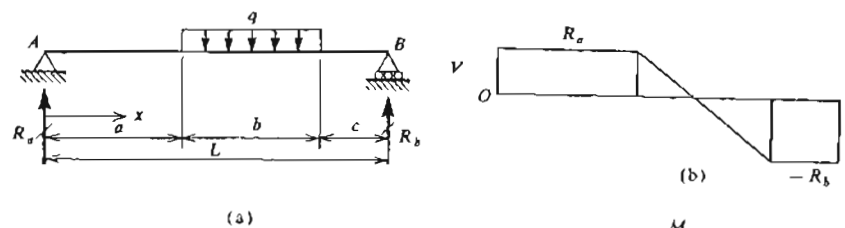
۳۱۶

تیر متقاضی می‌باشد. لنگر خمشی در دو استهای برا بر صفر و در وسط دهانه تیر، در جایی که نیروی برشی تغییر علامت می‌دهد، ماکریم می‌باشد. با جایگزینی  $x = L/2$  در معادله لنگر خمشی مقدار ماکریم آن بدست می‌آید.

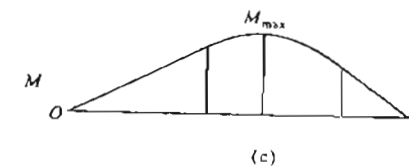
$$M_{\max} = \frac{qL^2}{8} \quad (7-15)$$

مثال ۷-۵

نمودارهای نیروی برشی و لنگر خمشی را برای تیر ساده شکل ۷-۱۰ که در فرمی از آن بارگذاری یکنواخت  $q$  فرار دارد رسم کنید.



شکل ۷-۱۰



حل: ابتدا واکنش‌های تیر را تعیین می‌کیم

$$R_a = \frac{qb}{L} \left( c + \frac{b}{2} \right) \quad ; \quad R_b = \frac{qb}{L} \left( a + \frac{b}{2} \right)$$

برای بدست آوردن نیروهای برشی و لنگرهای خمشی در طول تیر باید سه قسمت تیر را به طور جداگانه در نظر بگیریم. برای قسمت بدون بار استهای چپ تیر ( $0 < x < a$ ) داریم

$$V = R_a \quad ; \quad M = R_a x$$

برای یک مقطع عرضی در قسمت بارگذاری شده تیر می‌توانیم بنویسیم

$$V = R_a - q(x-a) \quad ; \quad M = R_a x - q(x-a)^2/2$$

۳۱۹

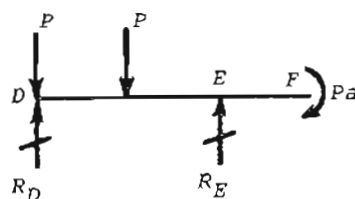
حل : با نوشتن معادلات تعادل تیر فوقانی در امتداد قائم و تعادل لنگری آن حول نقطه D واکنش‌های  $R_E$  و  $R_D$  بدست می‌آید (شکل ۷-۱۲) .

$$R_D = R_E = P$$

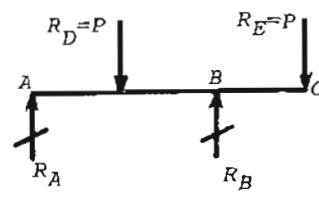
با نوشتن معادلات تعادل لنگری نیر ABC حول نقطه A و تعادل آن در امتداد قائم واکنش‌های  $R_A$  و  $R_B$  بدست می‌آید (شکل ۷-۱۴) .

$$R_B = 2P ; R_A = 0$$

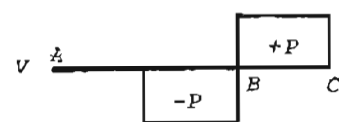
نمودارهای نیروی برشی و لنگر خمشی تیر ABC به ترتیب در شکل‌های ۷-۱۵ و ۷-۱۶ رسم شده‌اند. بزرگترین مقدار لنگر خمشی (بطور عددی) در تیر ABC برابر  $P_a$  می‌باشد.



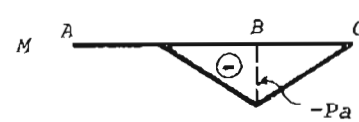
نمودار جسم آزاد تیر  
شکل ۷-۱۳



نمودار جسم آزاد تیر  
شکل ۷-۱۴



شکل ۷-۱۵



شکل ۷-۱۶

مسئله ۷-۲

میله منحنی ABC به شکل نیم دایره تحت دو بار مساوی و مختلف الجهت  $P$  قرار دارد (شکل ۷-۱۷) . شاعع محور میله ۲ می‌باشد. نیروی محوری  $N$  نیروی

۳۱۸

حل : با اندازه‌گیری  $x$  از انتهای چپ تیر در ناحیه  $0 < x < a$  داریم

$$V = -P_1 ; \quad M = -P_1 x$$

در ناحیه  $a < x < L$  نیز می‌توانیم بنویسیم

$$V = -P_1 - P_2 ; \quad M = -P_1 x - P_2(x-a)$$

نمودارهای نیروی برشی و لنگر خمشی در شکل‌های ۷-۱۱ b و ۷-۱۱ c

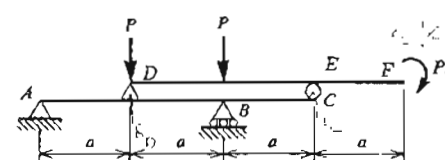
شده‌اند. نمودار لنگر خمشی شامل دو خط مایل می‌باشد که شبیه آنها برابر نیروی برشی در قسمت‌های مربوطه است. مساحت کل نمودار نیروی برشی صفر نبوده بلکه برابر  $P_1 L - P_2 b$  می‌باشد که برابر با لنگر خمشی در انتهای B تیر است.

موقعی که بیش از یک بار برشی تیر اثر می‌کند، نمودارهای نیروی برشی و لنگر خمشی تیر را می‌توان با جمع نمودارهای نیروی برشی و لنگر خمشی ناشی از هر یک از بارها بطور جداگانه بدست آورد. برای مثال اگر برای تیر شکل ۷-۱۱ a نمودارهای نیروی برشی ناشی از بارهای  $P_1$  و  $P_2$  را به طور جداگانه رسم کنیم و دو منحنی حاصل را با هم جمع نماییم نمودار شکل ۷-۱۱ b بدست می‌آید (به عبارت دیگر از اصل احتمال اثیر قوا استفاده می‌کنیم که در بخش ۱-۲ مورد بحث قرار گرفت). همین عمل را در مورد نمودار لنگر خمشی نیز می‌توانیم انجام دهیم.

۷-۵ مسائل حل شده

مسئله ۷-۱

بزرگترین مقدار لنگر خمشی بطور عددی را در تیر ABC (شکل ۷-۱۲) تعیین کنید. نمودارهای نیروی برشی و لنگر خمشی را نیز برای تیر مذبور رسم کنید.



شکل ۷-۱۲

۳۲۱

حل : در اثر دوران دستگاه مجبور حول محور  $Z$  در بازوها و همچنین وزنهای  $W$  شتاب متسابق ایجاد میشود که مساوی بر سبیر حرکت جرمها میباشد. در اثر شتابهای متسابق سر بازوها نیروهایی ععود بر امتداد آنها اثر میکند. این نیروها شامل یک نیروی متمرکز در انتهای بازوها است که از وزنهایها تیجه میشود و سیروهای گسترده که از جرم خود بازوها حاصل میشود.

حداکثر نیروی برشی و لنگر خمشی در بازوها در نقاط  $A$  و  $B$  میباشد که به فاصله  $b$  از محور دوران قرار دارند. توجه کنید شتاب متسابق در هر نقطه ارجاعی که حول محور ثابتی دوران میکند برابر است با شتاب زاویه ای ضربدر فاصله آن نقطه از محور دوران.

$$V_{\max} = \alpha(L + c + b) \frac{W}{g} + \int_b^{L+b} r \alpha \frac{W}{g} dr$$

$$= \alpha(L + c + b) \frac{2WL}{g} + \frac{\alpha W}{2g} [(L+b)^2 - b^2]$$

$$= \frac{\alpha WL}{2g} (5L + 6b + 4c) = \frac{\alpha WL}{2g} (SL + \frac{6}{10}L + \frac{4}{15}L) = \frac{44}{15} \frac{\alpha WL^2}{g}$$

$$M_{\max} = \alpha(L + c + b) \frac{W}{g} (L + c) + \int_b^{L+b} (r \alpha \frac{W}{g} dr)(r - b)$$

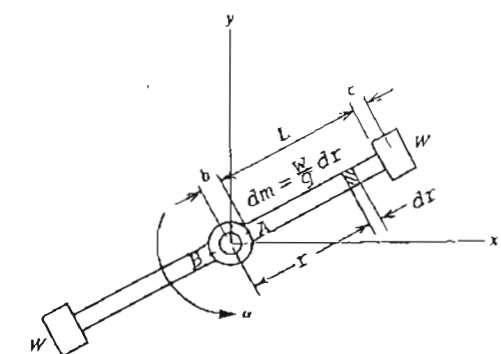
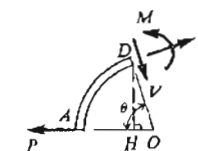
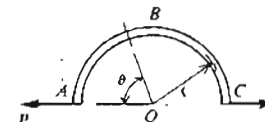
$$= \frac{2WL\alpha}{g} (L + c + b) (L + c) + \frac{W\alpha}{g} [\frac{1}{3}r^3 - \frac{b}{2}r^2]_b^{L+b} = \frac{517WL^3\alpha}{180g}$$

مسئله ۴

نمودارهای نیروی برشی و لنگر خمشی را برای شکل ۱۹-۲ رسم کنید.

۳۲۰

برشی  $V$  و لنگر خمشی  $M$  را در مقطعی که در شکل با زاویه  $\theta$  مشخص شده است تعیین کنید.



شکل ۷-۱۷

شکل ۷-۱۸

حل : با توجه به نمودار جسم آزاد قطعه  $AD$  تعادل آن را در نظر میگیریم.

$$V = P \cos \theta$$

تعادل نیروها در امتداد  $\overline{OD}$  :

$$N = P \sin \theta$$

تعادل نیروها در امتداد عمود بر  $\overline{OD}$  :

$$M = P(\overline{DH}) = Pr \sin \theta$$

تعادل لیگرهای حول  $D$  :

مسئله ۷-۳

دستگاه شکل ۱۸-۷ در روی سطح صافی در یک صفحه افقی حول محور قائم  $Z$  با شتاب زاویه ای  $\alpha$  دوران میکند. وزن واحد طول هر یک از دو بازوی دستگاه  $w$  میباشد و به دو انتهای بازوها وزنهای  $W = 2WL$  متصل شده است. با فرض اینکه  $b = L/10$  و  $c = L/15$  باشد روابطی برای تعیین ماکریم نیروی برشی و لنگر خمشی در بازوها پیدا کنید.

۳۲۴

نمودار سیروی برشی بر حسب Kg برای تیری در شکل ۷-۲۲ رسم شده است.  
حداکثر لشکر مثبت و منفی در تیر چقدر است؟ لشکر خمشی در انتهای چپ تیر را برابر صفر فرض کنید.

حل : ماکریم یا مینیم لشکر خمشی در حابی اتفاق می افتد که نیروی برشی تغییر علامت دهد ( معادله ۷-۴ ) . در نقطه A لشکر خمشی ماکریم می باشد زیرا نیروی برشی در این نقطه از مثبت به منفی تغییر علامت می دهد ، در نتیجه شب نمودار لشکر خمشی از مثبت به منفی تغییر پیدا می کند .

$$\int_0^A dM = \int_0^A V dx$$

$$M_A - M_0 = 00' A' A = \frac{1449 + 1271}{2} (1.2) = 1632 \text{ mKg}$$

$$M_A = M_0 + 1632 = 1632 \text{ mKg}$$

حداکثر لشکر خمشی مثبت

در نقطه B لشکر خمشی مینیم می باشد زیرا نیروی برشی در این نقطه از منفی به مثبت تغییر علامت می دهد ، در نتیجه شب نمودار لشکر خمشی از منفی به مثبت تغییر پیدا می کند .

$$\int_A^B dM = \int_A^B V dx$$

$$M_B - M_A = AA_1 B_1 B = \frac{-284 - 996}{2} (4.8) = -3072 \text{ mKg}$$

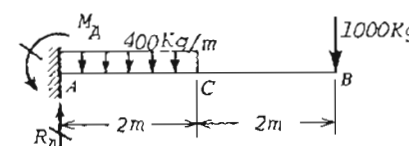
$$M_B = M_A - 3072 = 1632 - 3072 = -1440 \text{ mKg}$$

حداکثر لشکر خمشی منفی

مسئله ۷-۶

فاصله a بین تکیه گاهها را در شکل ۷-۲۳ چنان تعیین کنید که لشکر خمشی در وسط تیر بطور عددی برابر با لشکر خمشی در تکیه گاهها باشد . نمودارهای نیروی برشی

۳۲۲



شکل ۷-۱۹

حل : ابدا نوشتن معادلات نعادل نیر ( شکل ۷-۲ ) واکنش های  $M_A$  و  $R_A$  را تعیین می کنیم .

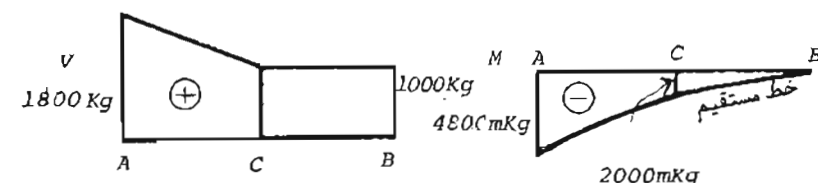
$$R_A = 1800 \text{ Kg} ; \quad M_A = 4800 \text{ mKg}$$

معادلات نیروی برشی و لشکر خمشی در طول تیر به صورت زیر می باشند :

$$\begin{cases} 0 \leq x \leq 2 \text{ m} & V = 1800 - 400x \\ M = -4800 + 1800x - 200x^2 \end{cases}$$

$$\begin{cases} 2 \text{ m} \leq x \leq 4 \text{ m} & V = 1000 \\ M = -(4-x)(1000) = 1000x - 4000 \end{cases}$$

نمودارهای نیروی برشی و لشکر خمشی به ترتیب در شکل های ۷-۲۱ و ۷-۲۰ رسم شده است . چون در نقطه C بار متغیر و تغییر ناگهانی نیروی برشی وجود ندارد ، در نمودار لشکر خمشی خط مستقیم بر منحنی درجه دوم مماس می باشد .



شکل ۷-۲۰

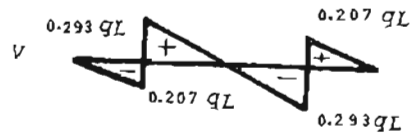
شکل ۷-۲۱

مسئله ۷-۵

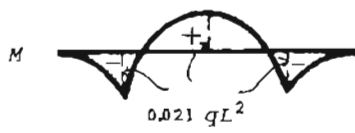
۷-۲۵

$$M_C = -M_A = -M_B = \frac{q(L-0.586L)^2}{8} = 0.021 qL^2$$

نمودارهای نیروی برشی و لنگر خمی مترتب در شکل های ۷-۲۴ و ۷-۲۵ رسم شده است.

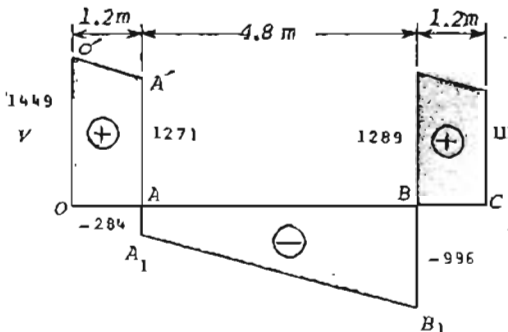


شکل ۷-۲۴



شکل ۷-۲۵

۷-۲۶

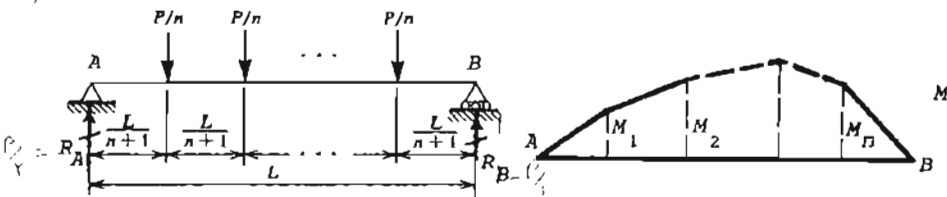


شکل ۷-۲۶

شکل ۷-۲۳

## مسئله ۷-۲

بارگذاری در روی شیری با تکیه گاههای ساده شامل  $n$  بار متمرکز و مساوی میباشد که در مواصل بسکان قرار گرفته اند (شکل ۷-۲۶). مجموع تمام بارها برابر  $P$  و در نتیجه هر یک از بارها برابر  $P/n$  است. طول دهانه تیر  $L$  و فاصله بین بارها  $L/(n+1)$  میباشد. الف - رابطه ای برای لنگر خمی ماقزیم در تیر تحت بارگشت داشته باشد. ب - نتایج این مسئله را با لنگر خمی ماقزیم در تیر تحت بارگشت داشت مفایضه کنید. شدت  $q$  که برای آن  $P = nqL$  باشد مفایضه کنید.



شکل ۷-۲۶

شکل ۷-۲۷

حل : واکنشهای  $R_A$  و  $R_B$  به علت تقارن با یکدیگر مساوی میباشند.  $R_A = R_B = P/2$ . سودار لنگر خمی نر سخت بارگذاری مذبور در شکل ۷-۲۷ رسم شده است. لنگرهای  $M_1, M_2, \dots, M_n$  در زیر بارهای متمرکز را حساب میکنیم.

ولنگر خمی را برای این حالت رسم کنید.

حل : واکنشهای  $R_A$  و  $R_B$  به علت تقارن با یکدیگر مساوی میباشند و از تعادل تیر در امتداد قائم نتیجه میشود

$$R_A = R_B = \frac{qL}{2}$$

لنگر خمی در تکیه گاههای A و B برابر است با

$$M_A = M_B = -\frac{q(L-a)^2}{8}$$

لنگر در وسط دهانه نیر مساوی است با

$$M_C = -\frac{1}{2}q\left(\frac{L}{2}\right)^2 + R_A \frac{a}{2} = -\frac{qL^2}{8} + \frac{qaL}{4}$$

براساسفرض مسئله داریم

$$|M_C| = |M_A| : -\frac{qL^2}{8} + \frac{qaL}{4} = \frac{q(L-a)^2}{8}$$

از این رابطه مقدار  $a$  بر حسب  $L$  بدست میآید.

$$a = (2 - \sqrt{2})L = 0.586L$$

در این صورت لنگر خمی در نقاط A، B و C از رابطه زیر بدست میآید :

۲۲۷

این مقدار برابر لگر خمثی ماکریم در یک نیز ساده تحت بار گسترده بکواحت می‌باشد  
( معادله ۱۵-۷ ) . اگر بجای رابطه ۱۶-۷ از رابطه ۱۷-۷ استفاده کسیم باز  
هم به همین نتیجه می‌رسیم .

۲۲۸

$$M_1 = \frac{P}{2} \cdot \frac{L}{n+1} = \frac{PL}{2(n+1)}$$

$$M_2 = \frac{P}{2} \cdot \frac{2L}{n+1} - \frac{P}{n} \cdot \frac{L}{n+1} = \frac{PL}{n+1} \left( 1 - \frac{1}{n} \right)$$

$$M_3 = \frac{P}{2} \cdot \frac{3L}{n+1} - \frac{P}{n} \cdot \frac{2L}{n+1} - \frac{P}{n} \cdot \frac{L}{n+1}$$

اگر  $n$  فرد باشد لگر خمثی ماکریم در وسط تیر و در زیر بار  $\frac{n+1}{2}$  ( از سمت جب ) می‌باشد .

$$M_{\max} = \frac{P}{2} \cdot \frac{L}{2} - \frac{P}{n} \cdot \frac{L}{n+1} [ 1+2+3+\dots+(\frac{n-1}{2}) ]$$

با استفاده از رابطه تصاعد حسابی

$$1+2+3+\dots+N = \frac{N(N+1)}{2}$$

با فرض اینکه  $n$  فرد باشد ، لگر خمثی ماکریم از رابطه زیر بدست می‌آید :

$$M_{\max} = \frac{PL}{4} - \frac{PL}{n(n+1)} \cdot \frac{\frac{(n-1)(n+1)}{2}}{2} = \frac{PL(n+1)}{8n} \quad ( 7-16 )$$

اگر  $n$  روچ باشد ، لگر خمثی ماکریم در زیر بار  $n/2$  ( از سمت جب ) می‌باشد .

$$\begin{aligned} M'_{\max} &= \frac{P}{2} \left[ \frac{L}{2} - \frac{L}{2(n+1)} \right] - \frac{P}{n} \cdot \frac{L}{n+1} [ 1+2+3+\dots+(\frac{n}{2}-1) ] \\ &= \frac{PL}{4} \frac{n}{n+1} - \frac{P}{n} \cdot \frac{L}{n+1} \cdot \frac{\frac{(n-1)(n)}{2}}{2} = \frac{PL(n+2)}{8(n+1)} \quad ( 7-17 ) \end{aligned}$$

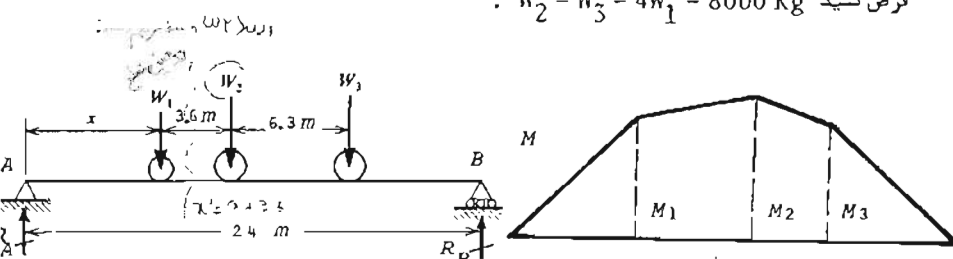
هرگاه  $n$  خیلی زیاد باشد بارهای متمرک در روی تیر به سمت بار گسترده ماند  
پکواخت  $q = \frac{P}{L}$  میل می‌کند . در این صورت از معادله ۱۶-۷ حواهیم داشت

$$\lim_{n \rightarrow \infty} M_{\max} = \lim_{n \rightarrow \infty} \frac{PL(n+1)}{8n} = \lim_{n \rightarrow \infty} \frac{qL^2(1+\frac{1}{n})}{8} = \frac{qL^2}{8}$$

## مسئله ۷-۸

کامیوی با بارهای محوری نشان داده شده در شکل ۷-۲۸ از روی پلی به دهای ۲۴ متر عبور می‌کند . محل کامیو در روی پل ( فاصله  $x$  ) را که در آن لگر خمثی ماکریم ایجاد می‌شود تعیین کنید . لگر خمثی ماکریم را نیز در این حالت حساب کنید .

$$\text{فرض کنید } W_2 = W_3 = 4W_1 = 8000 \text{ Kg}$$



شکل ۷-۲۸

شکل ۷-۲۹

حل : ابتدا اనوشن معادلات تعادل لگری حول نقطه A و تعادل در امداد

قائم واکنشهای  $R_A$  و  $R_B$  را تعیین می‌کیم .

$$\sum M_A = 0 : 24R_B - 2000x - 8000(x+3.6) - 8000(x+9.9) = 0$$

$$R_B = 4500 + 750x$$

$$\sum F_y = 0 : R_A + 4500 + 750x - 2000 - 8000 - 8000 = 0$$

$$R_A = 13500 - 750x$$

حال لگرهای  $W_3$  و  $W_2$  ،  $M_1$  ،  $M_2$  و  $M_3$  به ترتیب در زیر بارهای متمرک  $x$  حساب می‌کیم ( شکل ۷-۲۹ ) .

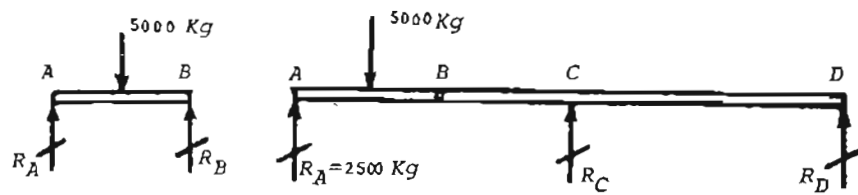
۲۲۹

از معادله تعادل لنگری تیر ABCD حول نقطه D (شکل ۲۲-۲) واکنش  $R_C$  به دست می‌آید.

$$\sum M_D = 0 : 2500(12) - 5000(10.5) + 6R_C = 0 : R_C = 3750 \text{ Kg}$$

بالاخره از معادله تعادل تیر ABCD در امتداد دائم واکنش  $R_D$  حاصل می‌شود.

$$\sum F_y = 0 : 2500 - 5000 + 3750 + R_D = 0 : R_D = 1250 \text{ Kg}$$



شکل ۲-۳۱

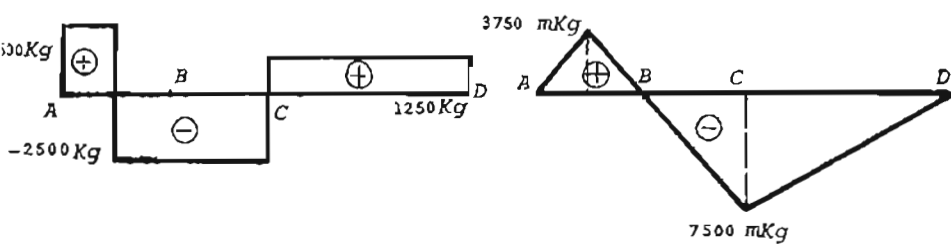
نمودار جسم آزاد ABCD

نمودارهای نیروی برشی و لنگر خصی تیر به ترتیب در شکل‌های ۲-۲۲ و ۲-۲۴ رسم شده است.

شکل ۲-۲۲ نمودار جسم آزاد ABCD

نمودار جسم آزاد ABCD

نمودارهای نیروی برشی و لنگر خصی تیر به ترتیب در شکل‌های ۲-۲۲ و ۲-۲۴ رسم شده است.



شکل ۲-۳۴ نمودار لنگر خصی

شکل ۲-۳۴ نمودار لنگر خصی

مسئله ۹

با فرض اینکه  $M_0 = PL/8$  باشد نمودارهای نیروی برشی و لنگر خصی را برای قسمت ABCD تیر شکل ۲-۲۵ رسم کنید.

حل : به علت تقارن داریم  $R_B = R_C$ . از مادلات تعادل قسمت AA<sub>1</sub>A<sub>2</sub>

(شکل ۲-۳۶) نتیجه می‌شود

۲۲۸

$$M_1 = 13500x - 750x^2$$

$$M_2 = (13500 - 750x)(x + 3.6) - 2000(3.6) = 41400 + 10800x - 750x^2$$

$$M_3 = (4500 + 750x)(24 - x - 3.6 - 6.3) = 63450 + 6075x - 750x^2$$

اکنون تعیین می‌کنیم که به ازای چه مقداری از  $x$  هر یک از این لنگرها ماقریم می‌شوند و ماقریم‌های مربوطه را حساب می‌کنیم.

$$\frac{dM_1}{dx} = 0 : 13500 - 1500x = 0 : x = 9 \text{ m} ; (M_1)_{\max} = 60750 \text{ mKg}$$

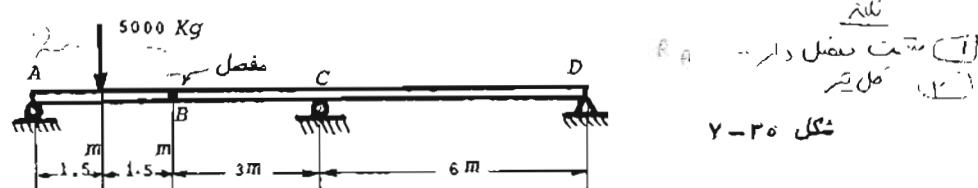
$$\frac{dM_2}{dx} = 0 : 10800 - 1500x = 0 : x = 7.2 \text{ m} ; (M_2)_{\max} = 80280 \text{ mKg}$$

$$\frac{dM_3}{dx} = 0 : 6075 - 1500x = 0 : x = 4.05 \text{ m} ; (M_3)_{\max} = 75752 \text{ mKg}$$

بنابراین لنگر خصی ماقریم دقتی ایجاد می‌شود که  $x = 7.2 \text{ m}$  باشد و مقدار لنگر ماقریم  $M_{\max} = 80280 \text{ mKg}$  است.

مسئله ۹

نمودارهای نیروی برشی و لنگر خصی را برای تیر شکل ۲-۲۵ رسم کنید.

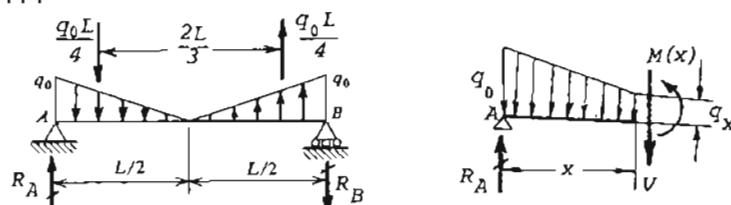


شکل ۲-۲۵

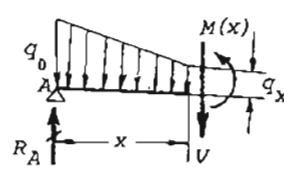
حل : از معادله تعادل لنگری قسمت AB حول نقطه B (شکل ۲۱-۲) واکنش  $R_A$  بدست می‌آید.

$$\sum M_B = 0 : 3R_A - 5000(1.5) = 0 : R_A = 2500 \text{ Kg}$$

۲۲۱



شکل ۷-۴۰



شکل ۷-۴۱

گذاری روی تیر معادل خواهد بود با دو نیروی مساوی  $\frac{q_0 L}{4}$  ولی در جهت مخالف و به فاصله  $2L/3$  از یکدیگر، بنابراین واکنش‌های  $R_A$  و  $R_B$  نیز باید زوج نیروی ایجاد کنند که با زوج نیروی فوق خنثی شود. در نتیجه داریم

$$R_A = R_B = \frac{(q_0 L/4)(2L/3)}{L} = \frac{q_0 L}{6}$$

چون بار گذاری روی تیر متقارن ممکن می‌باشد کافی است نیروی برشی و لنگر خمی را فقط در نصف طول تیر حساب کنیم. نتیجتاً بار در فاصله  $x$  از تکیه گاه A برابر است با (شکل ۷-۴۱)

$$q_x = q_0 \frac{L/2 - x}{L/2} = (1 - \frac{2x}{L}) q_0 \quad 0 \leq x \leq L/2$$

بنابراین نیروی برشی و لنگر خمی در روی تیر به صورت زیر حساب می‌شوند:

$$V = R_A - q_x(x) - \frac{1}{2}(q_0 - q_x)x = \frac{q_0 L}{6} - q_0 x + \frac{q_0}{L} x^2 \quad 0 \leq x \leq L/2$$

$$M = \int_0^x V dx = \frac{q_0 L}{6}x - \frac{1}{2}q_0 x^2 + \frac{q_0}{3L} x^3 \quad 0 \leq x \leq L/2$$

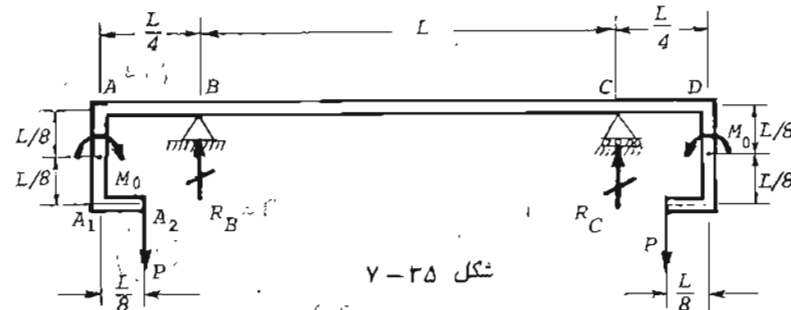
حال مقدار ماکریتم لنگر خمی را تعیین می‌کنیم.

$$V = \frac{dM}{dx} = 0 \quad : \quad x = 0.211 L \quad : \quad M_{\max} = 0.016 q_0 L^2$$

لنگر خمی در وسط تیر (در  $x = L/2$ ) برابر صفر است. نمودارهای نیروی برشی و لنگر خمی به ترتیب در شکل‌های ۷-۴۲ و ۷-۴۳ رسم شده است.

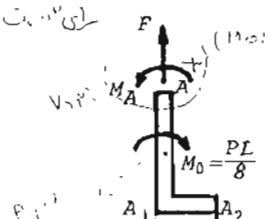
مسئله ۷-۱۲

۲۲۰



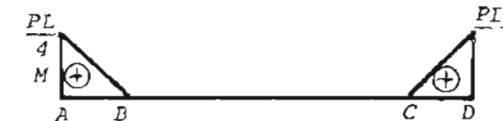
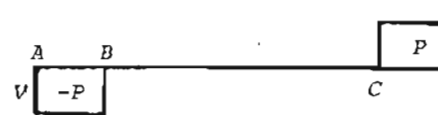
شکل ۷-۲۵

ما مسأله ۷-۲۶ نمودارهای نیروی برشی و لنگر خمی به ترتیب در شکل‌های ۷-۴۲ و ۷-۴۳ رسم شده است.



شکل ۷-۳۶ - ۷ نمودار جسم آزاد

شکل ۷-۳۷ - نمودار جسم آزاد



شکل ۷-۳۸ - ۷ نمودار لنگر خمی

شکل ۷-۳۹ - ۷ نمودار نیروی برشی

مسئله ۷-۱۱

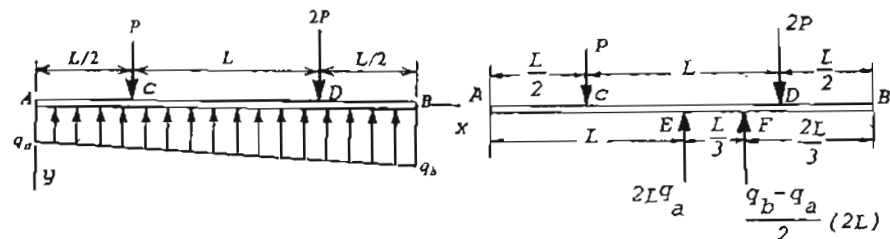
نمودارهای نیروی برشی و لنگر خمی را برای تیر شکل ۷-۴۵ رسم کنید.

حل: اگر هر یک از بار گذاری‌های مثبتی را با برآند آنها جایگزین کیم بار -

۲۲۳

مسئله ۱۳

نیز AB به طول  $2L$  نشست بارهای  $P$  و  $2P$  مطابق شکل ۷-۴۵ قرار دارد. تیر روی فونداسیوی (مثلاً خاک) قرار دارد که بطور پیوسته روی آن نیرو وارد می‌کند. با فرض اینکه واکنش کسدرده فونداسیون به طور خطی از A تا B تغییر کند. نشست واکنش‌های کسدرده  $q_a$  و  $q_b$  را در دو انتهای A و B حساب کنید. همچنین مقدار و مکان لنگر خمشی ماکریم را در طول تیر تعیین کنید.



شکل ۷-۴۵

شکل ۷-۴۶

حل: برای تعیین نشست واکنش‌ها می‌توانیم واکنش کسدرده ذوزنقه‌ای را به دوبار مستطیلی و مثلثی تقسیم کنیم (شکل ۷-۴۶) و هر یک از این بارهای را با برآیند آنها جایگزین نمائیم. از تعادل لنگری حول نقطه F نشست بار  $q_a$  بدست می‌آید.

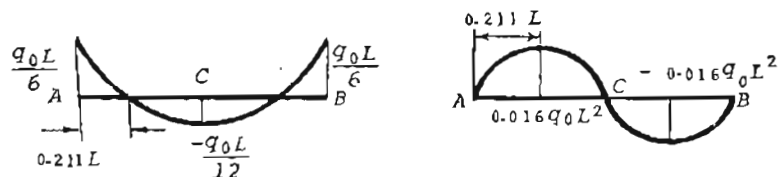
$$\sum M_F = 0 : -P\left(\frac{L}{2} + \frac{L}{3}\right) + 2Lq_a\left(\frac{L}{3}\right) + 2P\left(\frac{2L}{3} - \frac{L}{2}\right) = 0 : q_a = \frac{3}{4} \frac{P}{L}$$

از تعادل نیروها در امتداد قائم نشست بار  $q_b$  بدست می‌آید.

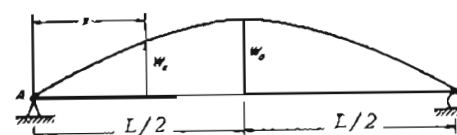
$$\sum F_y = 0 : -3P + 2Lq_a + q_b L - q_a L = 0 : q_b = \frac{9}{4} \frac{P}{L}$$

حال نیروی برشی و لنگر خمشی در فواصل AC و CD را تعیین می‌کنیم.

$$V = q_a x + \frac{x}{4L} (q_b - q_a)x = \frac{3}{4} \frac{P}{L} x + \frac{3}{8} \frac{P}{L^2} x^2 \quad 0 \leq x < L/2$$



شکل ۷-۴۳ نمودار لنگر خمشی  
تیر ساده AB (شکل ۷-۴۶) بار کسدرده‌ای را که شدت آن در طول تیر به صورت  $w_x = w_0 \sin(\pi x/L)$  تعبیر می‌کند تحمل می‌نماید. ماکریم لنگر خمشی را در طول نیز حساب کید.



شکل ۷-۴۶

حل: در چنین حالاتی بهتر است از روش انتگرال کمی برای تعیین لنگر خمشی در طول تیر استفاده نمود. به عبارت دیگر از روابط ۷-۳ و ۷-۴ انتگرال می‌کنیم.

$$\frac{dV}{dx} = -w_0 \sin \frac{\pi x}{L} \quad ; \quad V = \frac{w_0 L}{\pi} \cos \frac{\pi x}{L} + C_1$$

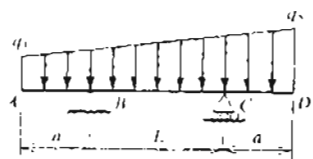
$$\frac{dM}{dx} = V = \frac{w_0 L}{\pi} \cos \frac{x}{L} + C_1 \quad ; \quad M = \frac{w_0 L^2}{\pi^2} \sin \frac{\pi x}{L} + C_1 x + C_2$$

$C_1$  و  $C_2$  در روابط فوق ثابت‌های انتگرال کمی هستند که از شرایط حدی بدست می‌آیند. در  $x = 0$  لنگر خمشی  $M = 0$  می‌باشد، بنابراین  $C_2 = 0$ . در  $x = L$  نیز لنگر خمشی برابر صفر می‌باشد، بنابراین  $C_1 = 0$ . در نتیجه معادله لنگر خمشی بصورت زیر در می‌آید:

$$M = \frac{w_0 L^2}{\pi^2} \sin \frac{\pi x}{L}$$

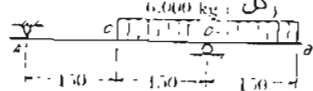
لنگر خمشی ماکریم در  $x = L/2$  و برابر است با  $M_{max} = w_0 L^2 / \pi^2$ .

۲۲۵



شکل ۱ - ۲

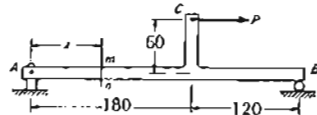
مسئله ۲ - ۲ لنگرهای خمثی را در مقاطع عرضی C و D سر شکل ۲ - ۲ پیدا کنید.



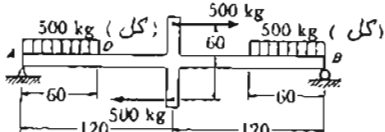
شکل ۲ - ۲

مسئله ۲ - ۲ لنگرهای خمثی را در مقاطع عرضی C و D سر شکل ۲ - ۲ پیدا کنید.

مسئله ۳ - ۲ نیروی محوری، نیروی سرشی و لنگر خمثی را در مقطع mn ترسنکل ۷ - ۲ - ۳ پیدا کنید.



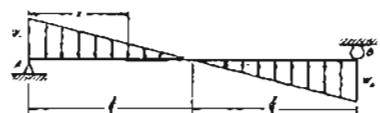
شکل ۲ - ۳



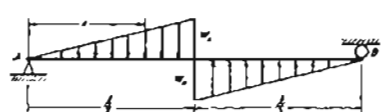
شکل ۲ - ۴

مسئله ۴ - ۲ در تیر شکل ۴ - ۲ - ۷، نیروی برشی و لنگر خمثی را در مقطع عرضی D تعیین کنید.

مسئله ۱ - ۳ - ۱ در شکل ۱ - ۳ - ۷ با استفاده از روابط ۳ - ۷ و ۷ - ۴ نیروی برشی و لنگر خمثی رادر نقطه‌ای به فاصله x از تکیه گاه A بر حسب x بیان کنید. نیروی برشی در وسط تیر چقدر است؟ در کدام نقطه از تیر لنگر خمثی ماقبض است؟



شکل ۱ - ۳ - ۱



شکل ۲ - ۳ - ۲

۲۲۶

$$M = \int_0^x V dx = \frac{3}{8} \frac{P}{L} x^2 + \frac{1}{8} \frac{P}{L^2} x^3 \quad 0 \leq x \leq L/2$$

$$N_C = N(x = \frac{L}{2}) = \frac{7}{64} PL$$

$$V = \frac{3}{4} \frac{P}{L} x + \frac{3}{8} \frac{P}{L^2} x^2 - P \quad L/2 < x < 3L/2$$

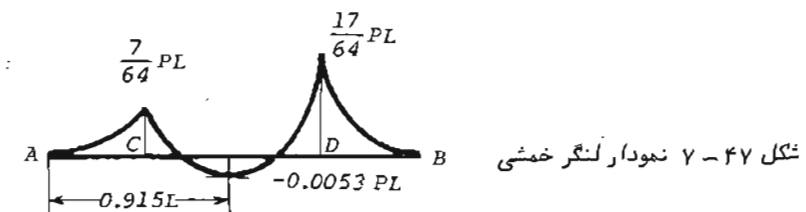
$$N = \frac{3}{8} \frac{P}{L} x^2 + \frac{1}{8} \frac{P}{L^2} x^3 - P(x - \frac{L}{2}) \quad L/2 \leq x \leq 3L/2$$

$$V = \frac{dM}{dx} = 0 : \frac{3}{8} (\frac{x}{L})^2 + \frac{3}{4} (\frac{x}{L}) - 1 = 0 \quad : \quad x = 0.915 L$$

$$M(x = 0.915 L) = -0.0053 PL$$

$$N_D = M(x = 1.5L) = \frac{17}{64} PL$$

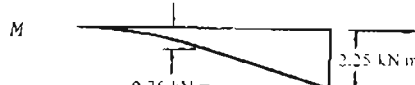
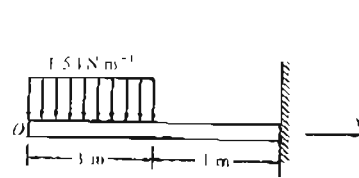
نمودار لنگر خمثی تیر در شکل ۴ - ۷ رسم شده است. از این نمودار نتیجه می‌شود که حد اکثر لنگر خمثی در طول تیر در نقطه D و برابر است با  $N_{\max} = \frac{17}{64} PL$ .



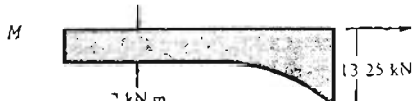
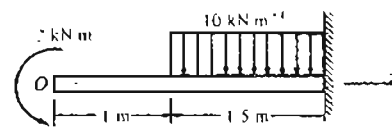
## ۲ - ۶ مسائل حل نشده

مسئله ۱ - ۲ - ۷ در تیر شکل ۱ - ۲ - ۷ برای جه نسبتی از  $a/L$  نیروی برشی در وسط دهانه تیر برابر صفر می‌باشد؟

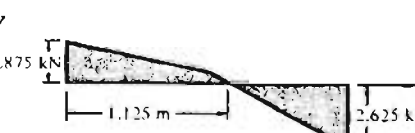
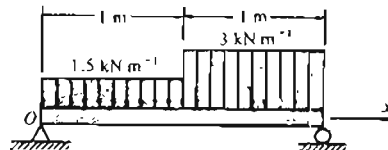
۲۳۴



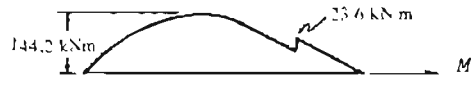
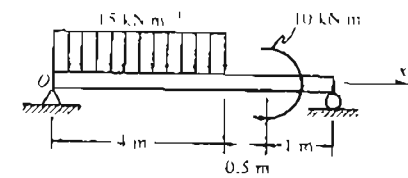
شکل ۷-۴-۲



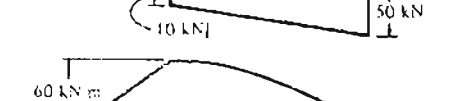
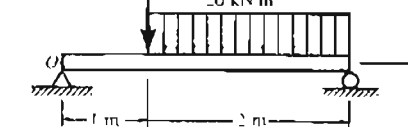
شکل ۷-۴-۵



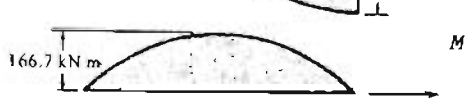
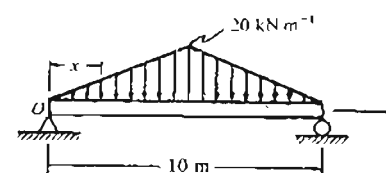
شکل ۷-۴-۷



شکل ۷-۴-۴



شکل ۷-۴-۶

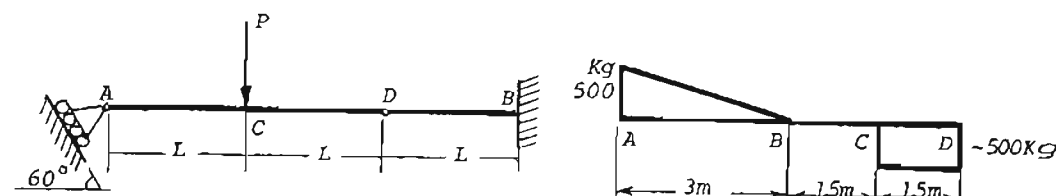


شکل ۷-۴-۸

۲۳۶

مسئله ۷-۳-۲ در شکل ۷-۳-۲ در چه فاصله  $x$  از انتهای A نیروی برشی صفر می‌باشد؟ نیروی برشی در مقطع عرضی وسط نیر چقدر است؟

مسئله ۷-۴-۱ نمودارهای نیروی سرپی و لنگر خمشی تیر شکل ۱-۴-۷ را رسم کنید.



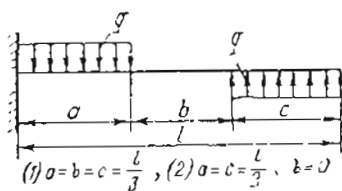
شکل ۷-۴-۱

مسئله ۷-۴-۲ نمودار نیروی برشی تیر ساده‌ای در شکل ۷-۴-۲ رسم شده‌است. بار گذاری روی تیر را تعیین کنید و نمودار لنگر خمشی آن را رسم کنید.

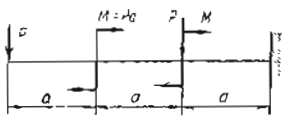
مسئله ۷-۴-۳ تا ۷-۴-۸ نمودارهای نیروی برشی و لنگر خمشی را برای تیرهای شکل‌های ۳-۴-۳ تا ۷-۴-۸ رسم و با جواب‌های داده شده مقایسه کنید.

مسئله ۷-۴-۹ تا ۷-۴-۵۷ نمودارهای نیروی برشی و لنگر خمشی را برای تیرهای شکل‌های ۹-۴-۹ تا ۷-۴-۵۷ رسم نمایید.

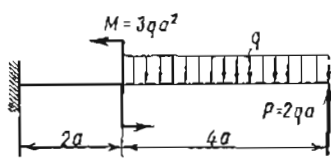
۲۳۹



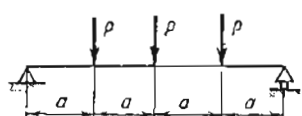
شکل ۲۱



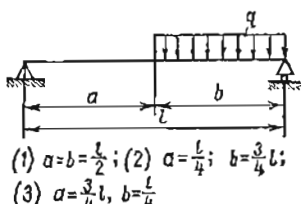
شکل ۲۲



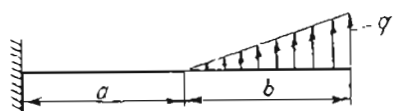
شکل ۲۳



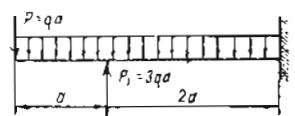
شکل ۲۴



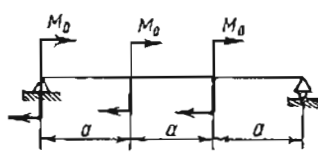
شکل ۲۵



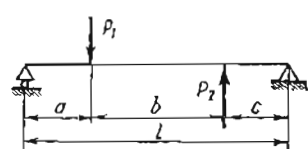
شکل ۲۶



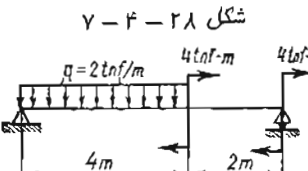
شکل ۲۷



شکل ۲۸

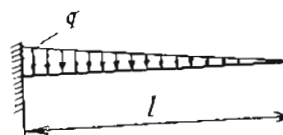


$$(2) P_1 = 2P_2, a = c, b = 2a$$

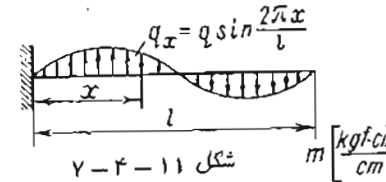


شکل ۲۹

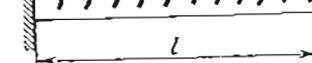
۲۴۰



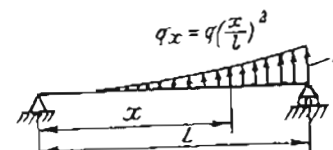
شکل ۲۰



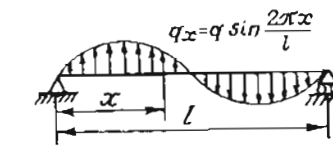
شکل ۲۱



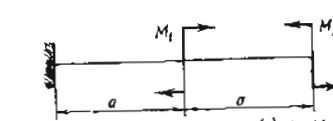
شکل ۲۲



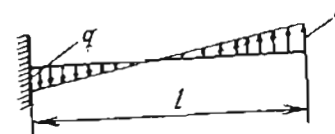
شکل ۲۳



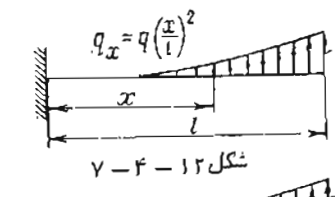
شکل ۲۴



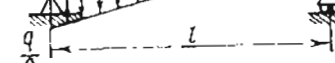
شکل ۲۵



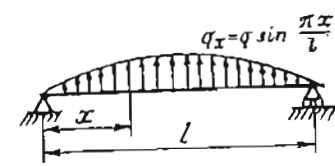
شکل ۲۶



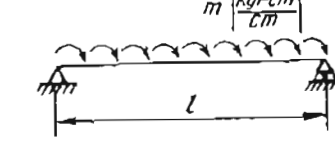
شکل ۲۷



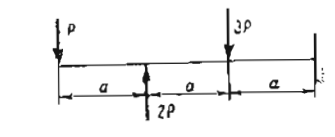
شکل ۲۸



شکل ۲۹

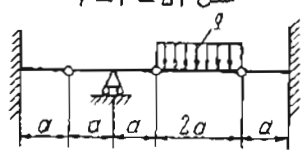
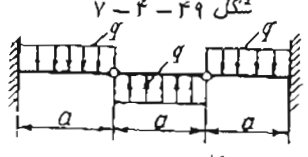
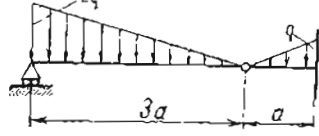
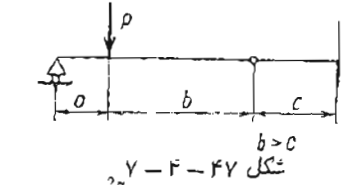
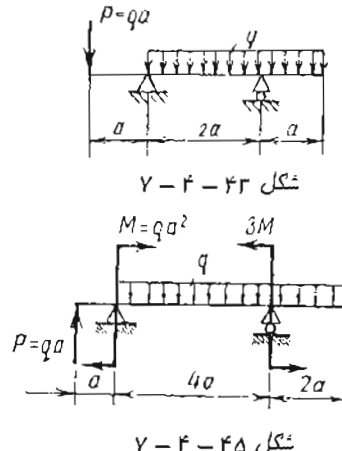


شکل ۳۰

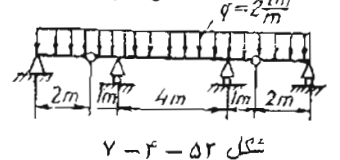
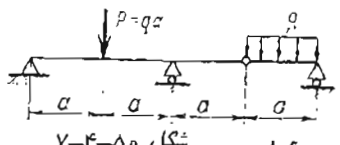
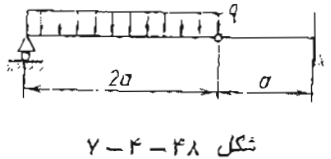
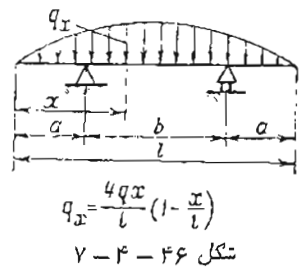
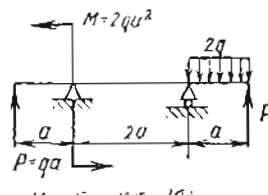


شکل ۳۱

۱۴۱

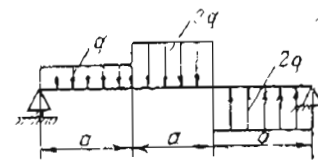


۱۴۲ شکل

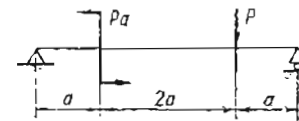


۱۴۳ شکل

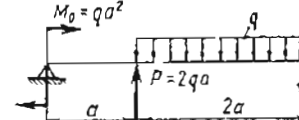
۱۴۰



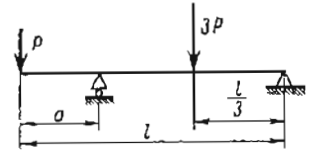
۱۴۱ شکل



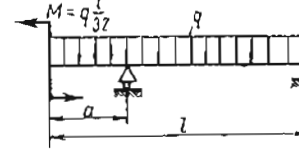
۱۴۲ شکل



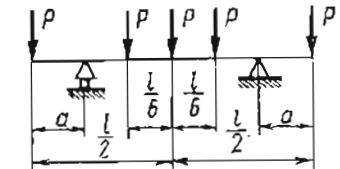
۱۴۳ شکل



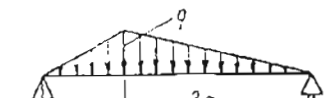
۱۴۴ شکل



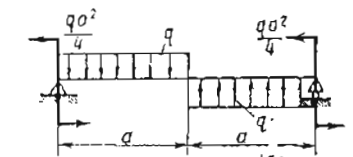
۱۴۵ شکل



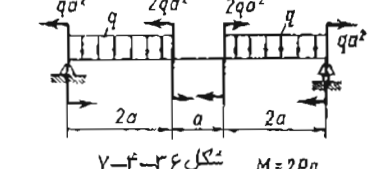
۱۴۶ شکل



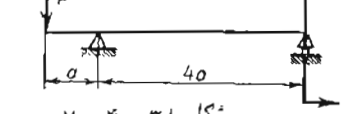
۱۴۷ شکل



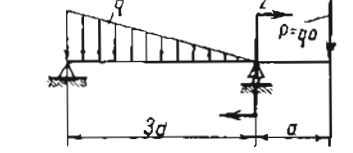
۱۴۸ شکل



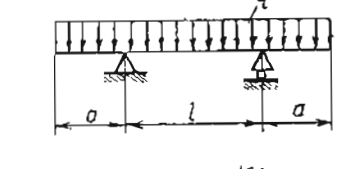
۱۴۹ شکل



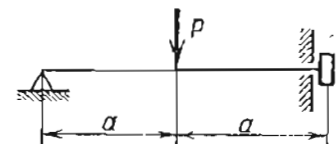
۱۵۰ شکل



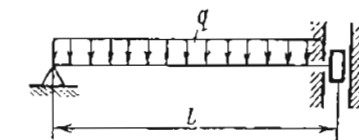
۱۵۱ شکل



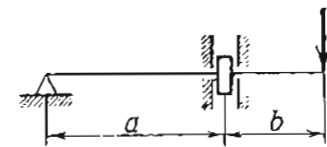
۱۵۲ شکل



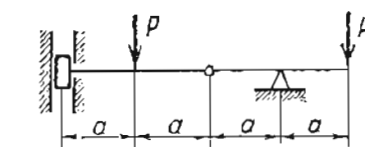
شکل ۴-۴۵۴



شکل ۴-۴-۴۵۵



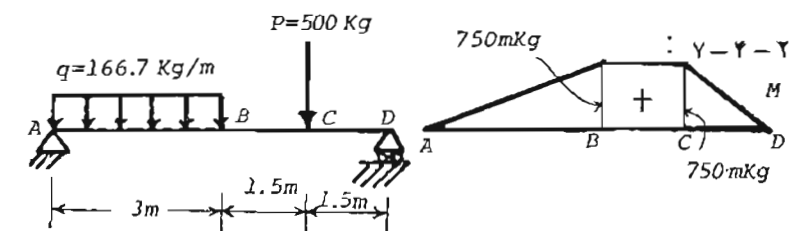
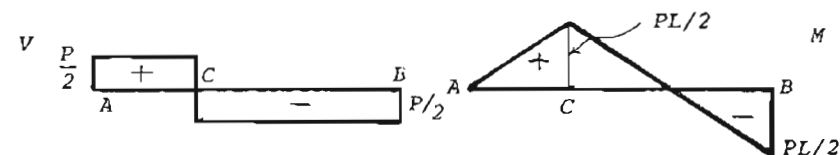
شکل ۴-۴-۴۵۶



شکل ۴-۴-۴۵۷

۷-۷ جواب‌های مسائل حل نشده

$$\begin{aligned}
 M_C &= 0 ; M_D = -2250 \text{ mKg} & : ۴-۲-۲ & a/L = 1/4 & : ۴-۲-۱ \\
 N &= P & ; V = -0.2P & M = -0.2Px & : ۴-۲-۲ \\
 V_D &= -125 \text{ Kg} & ; M_D &= 75 \text{ mKg} & : ۴-۲-۴ \\
 V &= -w_0 \ell/12 & ; x &= 0.2114 \ell & : ۴-۲-۱ \\
 x &= \ell / (2\sqrt{3}) & ; V &= \pm w_0 \ell/6 & : ۴-۳-۲ \\
 & & & & : ۴-۴-۱
 \end{aligned}$$

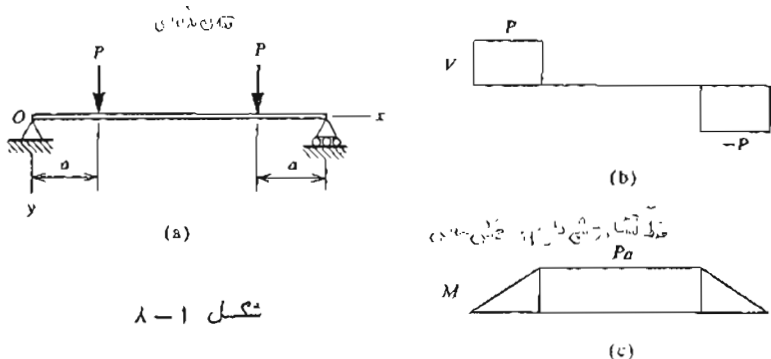


## فصل هشتم

تنشها در تیرها

### ۱-۸ تنش‌های عمودی در تیرها

برای ایکه بحث نشها در نیرها را شروع کنیم ابتدا نیری را که تحت دوبار متوازن  $P$  مطابق شکل ۱-۸ فرار دارد در نظر می‌گیریم. در ناحیه مرکزی این تیر نیروی برشی وجود ندارد و این ناحیه تنها تحت لنگر خمشی ثابتی برابر  $P_a$  فرار دارد. این



شکل ۱-۸

حال لنگر خمشی ثابت موسوم به "خمن خالص" می‌باشد.

برای پیدا کردن توزیع نشها در داخلی در حالت خمن خالص باید تغییر شکل تیر را مطالعه کنیم. فرص می‌کنیم صفحه  $xy$  نک صفحه تقارن تیر باشد (شکل ۱-۹)

۲۴۵

$$K = \frac{1}{\rho} = \frac{dx}{dy}$$

سوم

در این رابطه  $K$  انحصار (برابر با عکس شعاع انحصار) و  $dx$  طول محور تبر می‌باشد. مقطع عرضی مجاور  $pq$  می‌باشد. ما در سراسر این فصل بفرض می‌کنیم که تغییر شکل‌ها کوچک باشند، بنابراین طول  $dx$  می‌باشد. تبدیل  $dx$  را برای سطح افقی  $dy$  فرض می‌کنیم.

حال می‌توانیم انتقام از طول (با کاهش طول) یا نار طولی نمونه مانند  $ab$  را که به فاصله  $z$  از سطح خنثی قرار دارد حساب کنیم. طول کل نار مزبور برای  $ba$  است. چون طول اولیه نار  $dx$  می‌باشد سطح آن به اینکه  $ydx/\rho$  و کرنش مربوطه برای  $ba$  است با

$$\varepsilon_x = \frac{y}{\rho} = ky \quad (8-2)$$

این معادله شان می‌دهد کرنش طولی  $x$  مستعیناً "با انحصار و فاصله  $z$  از نار مزبور از سطح خنثی مناسب می‌باشد. موقعی که نار مورد نظر در زیر سطح خنثی قرار دارد، فاصله  $z$  و در تسبیح کرنش، مثبت (کشنی) است. موقعی که نار در بالای سطح خنثی قرار دارد،  $z$  و  $y$  هر دو منفی خواهند بود و این نشان می‌دهد که ماده سخت فشار است. معادله ۸-۲ صرفاً برای انس هندسه نیز تغییر شکل یافته بدهست آمد و در سجه مستقل از حواس مصالح می‌باشد. بنابراین این معادله برای هر نوع نمودار نشان - کرنش ماده نیز صادق است.

مانند حالت کشش یا فشار ساده مورد بحث در بخش ۱-۱، سحره نیز تیرها نیز شان می‌دهد که کرنش‌های محوری در نارها با کرنش‌های جانسی همراه می‌باشند. ابسط نارهای طولی در زیر سطح خنثی با انفاض جانسی، و افقی نارهای طولی در بالای سطح خنثی با اساسات جانسی همراه است. شکل مقطع عرضی در اثر تغییر شکل جانسی مطابق شکل ۸-۲-۸ تغییر پیدا می‌کند. دو صفحه مسطبل نسبت به بکدیگر متناظر می‌شوند و کرنش جانسی سراسر است با

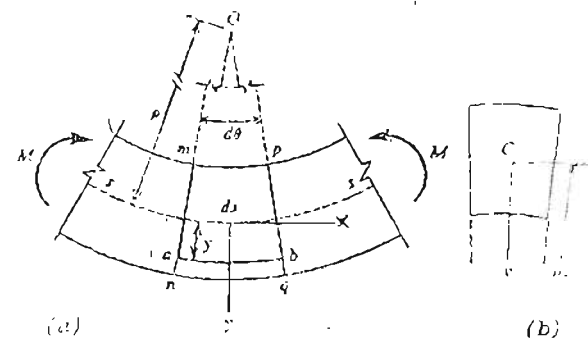
$$\varepsilon_z = -\nu\varepsilon_x \quad (8-3)$$

در این رابطه ضرب بیانون می‌باشد. به علت این تغییر شکل، تمام خطوط مستقیم در مقطع عرضی که در ابتداء موازی محور  $z$  بودند به صورت منحنی در می‌آیند تا اصلاح مقطع عمود باشند. شعاع انحصار  $\rho$  این خطوط منحنی به همان نسبتی که  $x$



۲۴۶

و نارها (با برآیندهای  $M$ ) در همین صفحه بروز نداشتند. در سجه غیر تکل شکل از خم شدید در همین صفحه صورت می‌گیرد. محور تبر در اثر لگرگاهی حمی  $M$  (شکل ۸-۲-۸) به صورت یک موس دارهای حمی شود و مقطع عرضی بیرون مانند  $mn$  و  $pq$  مسطب باشی می‌باشد. این واقعیت که مقطع عرضی نار در حمی حالت  $mn$  مسطب باشی می‌باشد بطور نحریه که کمک اندازه گیری‌های دقیق کرنش‌ها یا صرفاً سراسر تئوری فائل ناید و آنها می‌باشد. در حالت دوم کافی است نوچه کنم که در اثر تغییر پارگداری، همه عناصر نیز مسطب طور کان تغییر شکل دهند و اینها در صورتی امکان پذیر است که مطالعه عرضی مقطع باشی می‌باشد. این توجه بدون نوچه به اینکه ماده نیز طور خطی ارتتعاعی باشد و با ناشد صادق است.



شکل ۸-۲-۸

در اثر تغییر شکل‌های حمی شان داده شده در شکل ۸-۲-۸ مقطع  $mn$  و  $pq$  حول محورهای عمود بر صفحه  $xy$  است به سکدیگر دوران می‌کند بطوریکه نارهای طولی نیز در طرف محدب نیز افزایش طول و در طرف مقعر آن کاهش طول می‌باشد. بدین ترتیب نارهای قسم فوقانی تبر تحت نار مزبور و نارهای قسم سفلي نیز تخت کشی می‌باشد. بین بالا و پائین تیر سطحی وجود دارد که در آن نارهای تغییر طولی می‌دهند. این سطح که در شکل ۸-۲-۸ با خط منقطع  $SS$  مشخص شده به سطح خنثی موصوم است. تعاطع این صفحه با هر صفحه مقطع عرضی محور خنثی آن مقطع حوت‌ده می‌شود. برای مثال محور  $z$  در شکل ۸-۲-۸ محور خنثی مقطع عرضی شکل مزبور می‌باشد. صفحه‌های دو مقطع عرضی مجاور هم  $mn$  و  $pq$  (شکل ۸-۲-۸) بعد از تغییر شکل یکدیگر را در نقطه  $O$  قطع می‌کنند که مرکز انحصار، محور طولی تبر است. زاویه بین این دو صفحه را با  $d\theta$  و شعاع انحصار  $\rho$  نشان می‌دهیم. از هندسه شکل می‌توانیم

۳۴۷

چون شعاع احنا،  $\rho$  و ضریب ارجاعی  $E$  مقادیر نابی هستند از این معادله نتیجه می‌شود که برای سیری در حصن حالص رابطه زیر برقرار است:

$$(8-6) \quad \int \sigma_x dA = 0 - \int f(y) dy = 0$$

این معادله به این صورت بیان می‌شود: گشتاور اول سطح مقطع عرضی سنت محور خنثی (یعنی محور  $z$ ) برابر صفر است. بنابراین اینجا نتیجه می‌شود که محور خنثی از مرکز سطح مقطع عرضی عبور می‌کند. از این خاصیت می‌توان برای عیسی محل محور خنثی تیرهای  $L$  مقاطع عرضی مختلف به شرط اینکه محور  $y$  محور عقارن باشد استفاده نمود. محور  $y$  نیز علی محور عقارن بودن ناید از مرکز سطح مقطع عرضی عبور کند، بنابراین مبدأ محورهای مختصات  $y$  و  $z$  (شکل ۸-۶) در مرکز سطح مقطع عرضی می‌باشد. بعلاوه هر دو محورهای اصلی سطح مقطع عرضی می‌باشد.

لنجنیروی خلی کوچک  $\sigma_x dA$  حول محور خنثی برابر  $\sigma_y dy dA$  است. انتگرال همه این نیروهای کوچک روی تمام سطح مقطع عرضی باید برابر لنجنیروی  $M$  باشد.

$$(8-7) \quad M = \int \sigma_x y dA = \frac{\rho}{E} \int y^2 dA = \frac{EI}{\rho}$$

در این رابطه  $I$  گشتاور لختی سطح مقطع عرضی نسبت به محور  $z$  می‌باشد و مقدار آن با انتگرال زیر تعریف می‌شود:

$$(8-8) \quad I = \int y^2 dA$$

معادله ۷-۸ را به صورت

$$(8-9) \quad K = \frac{1}{\rho} = \frac{M}{EI}$$

می‌نویسیم. این معادله نشان می‌دهد که احنا، محور طولی تیر مستقیماً با لنجنیروی  $M$  و معکوساً "با کمیت  $EI$  می‌باشد" می‌باشد.

اگر به جای احنا، از معادله ۹-۸ در معادله ۸-۵ قرار دهیم خواهیم داشت

$$(8-10) \quad \sigma_x = \frac{My}{I}$$

در این معادله،  $M$  وقتی مشتب است که در بالای تیر فشار ایجاد کند و  $y$  بطری پایین مشتب می‌باشد (شکل ۸-۸ را ببینید).

تنشها کشی و فشاری ماکریم در تیر در تارهایی که بیشترین فاصله را از محور خنثی دارند رخ می‌دهند، اگر فاصله دورترین تارهای کشی و فشاری را به ترتیب با  $C_1$  و  $C_2$  (مطابق شکل ۸-۲) نشان دهیم، از معادله ۱۰-۸ می‌توانیم بنویسیم

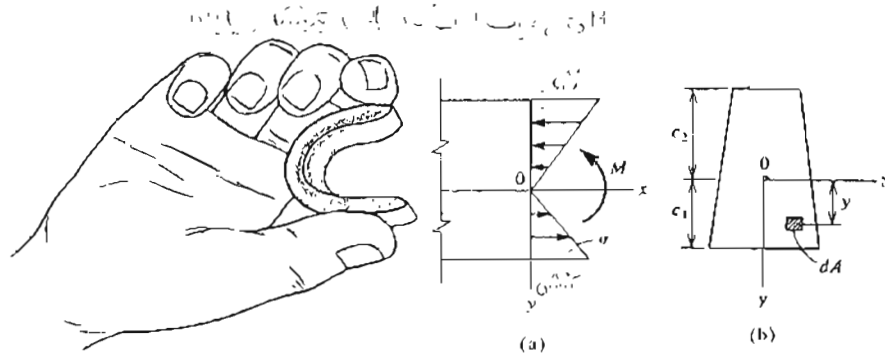
$$(8-11) \quad (\sigma_x)_{\max} = \frac{Mc_1}{I} = \frac{M}{S_1} ; \quad (\sigma_x)_{\min} = -\frac{Mc_2}{I} = -\frac{M}{S_2}$$

۳۴۶

بطور عددی از  $\sigma$  بزرگتر است (معادله ۸-۳) از شعاع احنا،  $\rho$  بزرگتر می‌باشد. در این صورت داریم

$$(8-4) \quad \rho_1 = \frac{\rho}{V} ; \quad K_1 = VK$$

در این رابطه  $K_1 = 1/V$  احنا، در صفحه  $yz$  می‌باشد. تغییر شکل‌های ناشی از کوشش‌های جابجایی را می‌توان سهولت ساخت کن که لاستیکی مشاهده کرد (شکل ۸-۲).



شکل ۸-۲

توزيع نشی در یک تیر

برای سیری که از ماده ارجاعی با نمودار نشش سکرنت خطی ساخته شده است (به این نوع ماده اصطلاحاً "ماده هوکی می‌گویند") داریم  $\sigma = E\varepsilon$ ، بنابراین با استفاده از معادله ۸-۲ نشش‌های عمودی در تیرها عبارتند از

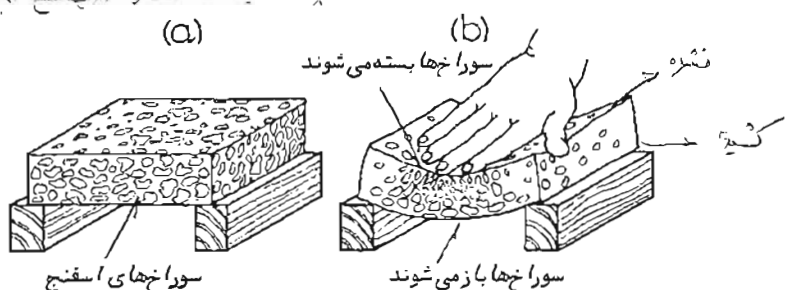
$$(8-5) \quad \sigma_x = KEy = \frac{Ey}{\rho}$$

این تنشها با فاصله  $y$  از محور خنثی (مطابق شکل ۸-۴a) بطور خطی تغییر می‌کنند. تنشها در زیر محور خنثی کشی و در بالای محور خنثی فشاری هستند و برآیند آنها باید برابر با لنجنیروی  $M$  مؤثر در مقطع عرضی باشد. موص کیم  $dA$  مساحت سطح عنصر کوچکی از مقطع عرضی در فاصله  $y$  از محور خنثی باشد (شکل ۸-۴b)، نیروی کوچکی که براین سطح اثر می‌کند برابر  $\sigma_x dA$  است. چون نیروی عمودی سراپایدی در مقطع عرضی اثر نمی‌کند، انتگرال  $\sigma_x dA$  در روی تمام سطح مقطع باید برابر صفر باشد. بنابراین  $\int \sigma_x dA = \int \frac{Ey}{\rho} dA = 0$

۱۰۰۰ کارهای ساختمانی در ایران، ناشر: انتشارات آموزشی و پژوهشی ایران، سال ۱۳۹۰، صفحه ۳۴۹  
به صورت غیر بکواخت باشد فابل قبول است. محاسبه نشنهای برشی در بخش های ۳-۸-۸-۸ مورد سرسی فرار خواهد گرف.

کالبله اولین داشتمندی بود که به سرسی مثله حمش پرداخت، او در کاسی کدر سال ۱۶۲۸ منتشر شد مثله حمش یک سیر طرهای را مورد بحث قرار داد و سعی سود بار شکت تیر را سر حسب ابعاد آن تعیین کرد. ولی او عرض نمود سیروها در نارهای تیر در تمام ارتفاع آن به صورت نیروهای کشی مساوی می باشد و نیز در هگام تک حول نقطه B در شکل ۶-۸ دوران خواهد کرد. سارشکنی که بوسیله سوری گالیله بدست می آید سه برابر بار بدست آمده از شوری صحیح نیروها می باشد. علت اشتباه گالیله و بعضی دیگر از داشتمندها عدم اطلاع آسها درباره خواص ارجاعی مصالح بود و سوری صحیح خمش پس از ایکه هوک دریافت "تش با کرنش متناسب است" پیدا شد.

با آزمایش ساده ای می توان خمش یک تیر ساده را مشاهده نمود. برای این کار یک تکیه گاه قرار دهید و با دست برآن فشار وارد کنید (شکل ۶-۷-۸). مشاهده خواهید کرد که سوراخ های اسنونج در بالای آن سته (نشان دهنده فشار در بالای اسنونج) و در پایین آن باز (نشان دهنده کشش در پایین اسنونج) می شوند. سوراخ ها در مجاورت دو تکیه گاه تقریباً بدون تغییر باقی می مانند زیرا لنگرهای خیسی در دو انتهای تیر در مقایسه با وسط تیر خیلی کوچک هستند.



شکل ۸-۷

## مثال ۸-۱

۳۴۸ در این رابطه  $I/c_1 = S_1 = I/c_2 = S_2$  صراحت مقطع سطح مقطع عرضی می باشد. اگر مقطع عرضی نسبت به محور ۲ منقارن باشد در این صورت  $c_1 = c_2$  و نشنهای کشی و فشاری ماقریم سطوح عددی مساوی می باشد.

$$(\sigma_x)_{\max} = -(\sigma_x)_{\min} = \frac{Mc}{T} = \frac{M}{S} \quad (8-12)$$

در این رابطه ضریب مقطع برابر است با

$$(8-13) \quad S = \frac{I}{c}$$

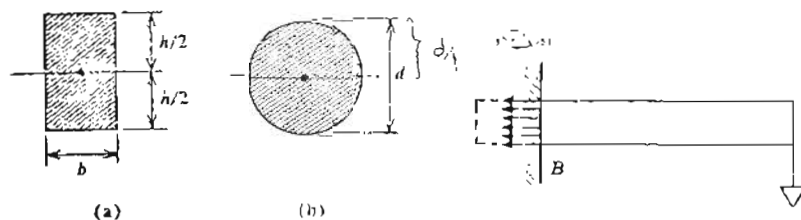
برای تیری به مقطع عرضی مستطیل به عرض b و ارتفاع مقطع h (شکل a) گشاور لختی و ضریب مقطع عارشند از

$$(8-14) \quad I = \frac{bh^3}{12} ; \quad S = \frac{bh^2}{6} \\ c = h/2$$

برای یک مقطع عرضی دایره ای به قطر l داریم (شکل b)

$$(8-15) \quad I = \frac{\pi d^4}{64} ; \quad S = \frac{\pi d^3}{32} \quad \frac{l}{2} = c$$

و زوگی های شکل های مختلف مقطاع عرضی در پیوس ۱ کتاب داده شده اند.



شکل ۸-۵

تحلیل نشنهای عمودی در تیرها که در بالا صورت گرفت بر اساس خمش حالص قرار دارد که در آن سیروی برشی در مقطع اثر نمی کند. مقطع عرضی در این تیرها برشی با خوردگی پیدا می کند سطوحیک مقطاع مسطح پس از خمش دیگر مسطح باقی نخواهد ماند. این تاب خوردگی تحلیل تیرها را پیچیده می کند ولی تحلیل های دقیق تر نشان می دهد که با در نظر گرفتن تیرها برشی و تاب خوردگی یا تی از آن در مقدار تیرها عمودی محاسبه شده از فرمول خست ۸-۱۰ غیر قابل موجهای حاصل نمی شود. بدین ترتیب استفاده از سوری خمش خالص برای محاسبه تیرهای عمودی حتی وقتی که خمش

۳۵۱

در طرح تیرها عمولاً "چهار نکته زیر باید بررسی شود :

- الف - تیر باید مقاومت حمی میگردد و سپس بررسی میشود که آیا از نظرهای دیگر سیز کفايت میکند یا نه.
- ب - تیر باید در مقابل نیروهای برشی مقاومت کافی داشته باشد.
- پ - تغییر شکل تیر نباید بیش از اندازه باشد.
- ت - تیر نباید به طور جانی کمانه کند.

عمولاً تیرها ابتدا برای مقاومت خمی طرح میگردند و سپس بررسی میشود که آیا از نقطه نظرهای دیگر سیز کفايت میکند یا نه. از نقطه سطح مقاومت خمی، ضرب مقطع لازم از رابطه زیر بدست میآید :

$$S = \frac{M_{\max}}{\sigma_w} \quad (8-16)$$

در این رابطه  $\sigma_w$  نش عومدی مجاز و  $M_{\max}$  ماکریم لگر خمی میباشد. اگر برای کشن و قشار یکسان باشد منطقی است که مقطع عرضی تیر دارای دو محور تقارن و مرکز سطح مقطع عرضی در وسط ارتفاع تیر باشد. اگر تنشهای مجاز در کشن و فشار متفاوت باشند ممکن است استفاده از یک مقطع نا متفاون مطلوب باشد بطوریکه فواصل دور ترین تارهای آن در کشن و عنار به همان سبب تنشهای مجاز مربوطه باشد. در موقع انتخاب یک مقطع عرضی عمولاً نه فقط ضریب مقطع در نظر گرفته میشود بلکه سعی میگردد مساحت سطح مقطع عرضی تیر نیز حداقل باشد تا وزن حود نیز حداقل گردد.

در موقع طرح تیرهای فولادی یا الومینیومی عمولاً از کتابهای راهنمای استفاده میشود که در آن انواع مقطاع استاندارد موجود با ابعاد و مشخصات وجود دارد. چند نمونه از جداول مقطاع استاندارد در پیوست ۲ کتاب آمده است.

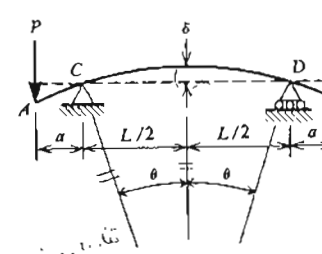
حال بیایم شکل های مختلف مقطاع عرضی را با یکدیگر مقایسه کنیم. برای مستطیلی به عرض  $b$  و ارتفاع  $h$  (شکل ۸-۵ a) ضریب مقطع برابر است با

$$S = \frac{bh^2}{6} = \frac{Ah}{6} = 0.167 Ah \quad (8-17)$$

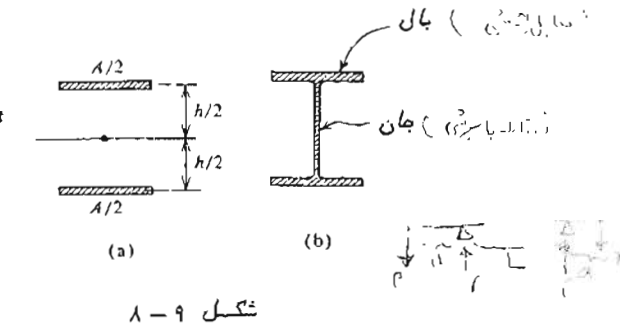
در این رابطه  $A$  مساحت سطح مقطع میباشد. از این معادله مشاهده میشود با افزایش هر چه بیشتر ارتفاع تیر مقطع اقتصادی تر میگردد. اما برای این افزایش محدودیت وجود دارد زیرا اگر مقطع خیلی باریک شود تیر بطور جانی ناپایدار میگردد. یک تیر مستطیلی باریک ممکن است در اثر کشش جانی فرو بریزد نه در اثر عدم مقاومت کافی صالح.

برای مقطع عرضی دایره ای داریم (شکل ۸-۵ b)

ماکریم نش عومدی در تیر و تغییر مکان  $\delta$  را در وسط تیر  $CD$  شکل ۸-۸ تعیین کنید. مقطع تیر دایره ای به قطر  $d=25\text{ cm}$  میباشد. همچنین فرض کنید  $a=33.75\text{ cm}$ ,  $E=2.1\times 10^6 \text{ Kg/cm}^2$  و  $P=13000\text{ Kg}$ ,  $L=147.5\text{ cm}$ .



شکل ۸-۸



شکل ۸-۹

حل : قسمتی از تیر که بین دو نکبه گاه قرار دارد نحت خمش خالص بالنگر خمی  $M = Pa = 13000 \times 33.75 = 438750 \text{ cmKg}$

میباشد. بنابراین با استفاده از معادلات ۸-۱۲ و ۸-۱۵ نش عومدی ماکریم در قسمت  $CD$  تیر برابر است با

$$\sigma_{\max} = \frac{M}{S} = \frac{(438750)(32)}{\pi(25)^3} = 286 \text{ Kg/cm}^2$$

شعاع انحنای قوس  $CD$  از معادله ۸-۸ بدست میآید.

$$\rho = \frac{EI}{M} = \frac{2.1(10)^6 \times \pi(25)^4}{438750 \times 64} = 91800 \text{ cm}$$

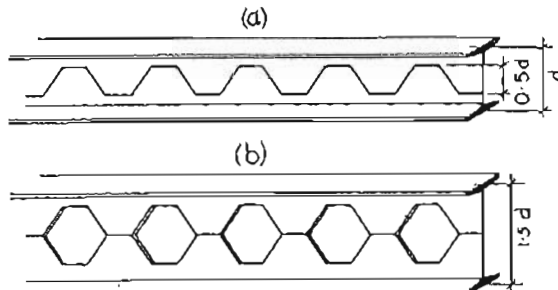
با توجه به شکل ۸-۸ تغییر مکان  $\delta$  برابر است با

$$\delta = \rho(1 - \cos\theta) = 91800(1 - \cos 0.000805)$$

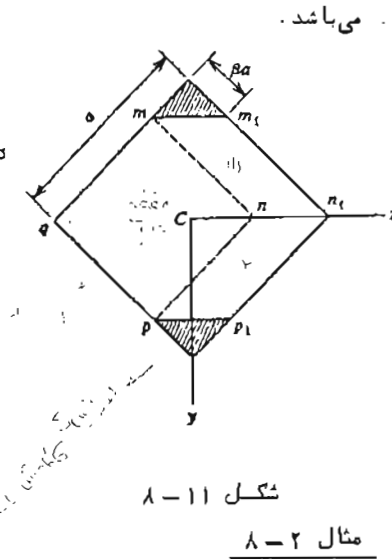
در این رابطه  $\theta$  زاویه کوچکی برابر  $\theta = 0.000805 \text{ rad}$  میباشد. برای ارزیابی کوچک  $\theta^2/2 \approx \cos\theta - 1$ ، بنابراین  $\delta = 91800(1 - 0.000805) = 2.6$  متر.

$$\begin{aligned} \delta &\approx \frac{\rho\theta^2}{2} = \frac{\rho L^2}{8\rho^2} = \frac{L^2}{8\rho} = \frac{147.5 \times 147.5}{8 \times 91800} = 0.0296 \text{ cm} \\ \rho &= \frac{EI}{M} = \frac{2.1(10)^6 \times \pi(25)^4}{438750 \times 64} = 91800 \text{ cm} \\ \theta &= \frac{\rho}{L} = \frac{91800}{147.5} = 627^\circ \end{aligned}$$

۸-۴ طرح تیرها



شکل ۸-۱۵



شکل ۸-۱۶

مثال ۸-۲

تیری با مقطع مربع در صفحه بکی از قطرها پس تحت خمین قرار دارد (شکل ۸-۸). نشان دهید که با بریدن گوشه‌های هاشور خورده مقطع، تنش عمودی مازکبیم در تیر کاهش می‌پابد.

حل : با استفاده از پیوست ۱ کتاب، گشتاور لختی و ضریب مقطع تمام مربع حول محور  $z$  عبارتند از

$$I_1 = \frac{a^4}{12} ; S_1 = \frac{\sqrt{2} a^3}{12}$$

در این رابطه طول صلع مربع می‌پابد. حال گوشه‌های مربع را می‌بریم بهترینکه طول هر یک از اضلاع به اندازه  $\beta a$  کاهش می‌پابد ( عددی بین صفر و واحد است ) . مقطع عرضی جدید شامل مربع  $mnpq$  به اضلاع  $a(1-\beta)$  و  $\beta a$  و متواری اضلاع  $m_1n_1p_1q_1$  و  $n_1m_1$  می‌باشد. گشتاور لختی این مقطع عرضی کاهش یافته نسبت به محور  $z$  برابر است با

$$I_2 = \frac{a^4(1-\beta)^4}{12} + \frac{2\beta a\sqrt{2}}{3} \left[ \frac{a(1-\beta)}{\sqrt{2}} \right]^3 = \frac{a^4(1-\beta)^3(1+3\beta)}{12}$$

می‌پابد.

۳۵۲

$$S = \frac{\pi d^3}{32} = \frac{\pi d}{8} = 0.125 Ad \quad (8-18)$$

برای مقایسه دو مقطع عرضی دایره‌ای و مریبی هم مساحت مساهده می‌کنیم که ضلیع مریع براسر  $h = d\sqrt{\pi}/2$  است و از معادله ۸-۱۷ برای مریع مرسور داریم

$$S = 0.145 Ah$$

مقایسه این رابطه با معادله ۸-۱۸ سهان می‌دهد که مقطع مریع از مقطع دایره اقتصادی نراید.

بررسی توزیع تنش در ارتفاع مقطع عرضی ما را به این سهه‌های دیگر (شکل ۸-۴ a) که برای یک طرح اقتصادی سینه مصالح تر باشد حتی الامکان از محورختنی دور نماید، مطلوب‌ترین حالت برای مقطع عرضی به مساحت  $A$  و ارتفاع  $h$  این است که مساحت مربوط به دو سیم شود و هر سیم در فاصله  $h/2$  از محور حسی فشار گیرد (شکل ۸-۹ a) در این صورت داریم

$$I = 2\left(\frac{A}{2}\right)\left(\frac{h}{2}\right)^2 = \frac{Ah^2}{4} ; S = 0.5 Ah \quad (8-19)$$

در عمل با سکار بردن مقاطعی به شکل I می‌توان ناحدودی به این حالت ایده‌آل تزدیک شد (شکل ۸-۹ b) . دو قسم افقی مقطع موسوم به سال تیر و قسم فائم مقطع موسوم به جان تیر می‌پابد. چون لارم است فیضی از مصالح در جان تیر سکار رود به حالت حدی ۸-۹ هرگز نمی‌توان رسید. برای مقاطع I استاندارد داریم

$$S \approx 0.35 Ah \quad (8-20)$$

از مقایسه معادلات ۸-۱۷ و ۸-۲۰ می‌توان سبک‌تر کرد که مقطع I بدلی اقتصادی تر از یک مقطع مستطیلی با مساحت و ارتفاع یکسان می‌پابد. از اس بحث مختصر می‌توان به علت کاربرد وسیع مقاطع I در سارمه‌های فلزی بی‌سرد.

برای استفاده حداقل از مصالح، تیری موسوم به سر لایه زسوری ابداع شده است. برای تولید این گونه نیرها حان یک سر با مقطع I را مطابق شکل ۸-۱۰ a که مکعب شعله می‌برند. سپس دو که تیر را از یکدیگر جدا می‌کنند و مطابق شکل ۸-۱۰ b به یکدیگر جوش می‌دهند. بدین سرینی سر ارتفاع مقطع سر حدود ۵۰ درصد اضافه می‌شود و مقاومت خمی آن افزایش می‌پابد. در اثر این عمل تعییر شکل نیر کاهش می‌پابد. از مقاومت برخی تیر کاسته می‌شود ولی این نکته برای شرکهای با دهانه زیاد که خمن برای آنها مهم نرین عامل اس مهم نمی‌پابد، اما کاهش مقاومت برخی در شرکهای با دهانه کوتاه باید سریع شود. این نوع نیرها برای دهانه‌های طویل با بار سبک بسیار مناسب

۲۵۵

با ساده ترین حالت که همان تیر با مقطع مستطیلی به عرض  $b$  و ارتفاع  $h$  می- باشد (شکل ۸-۱۲a) شروع می‌کنیم. طبیعی است رای این تیر فرض شود که

تنشی‌های برشی  $\tau$  مواری سیروی برشی  $V$  یعنی مواری اضلاع قائم مقطع عرضی می‌باشد. همچنین فرض می‌کنیم توزیع تنش‌های برشی در عرض تیر یکنواخت باشد. با استفاده از این دو فرض می‌توانیم توزیع تنش‌های برشی در مقطع عرضی تیر را بطور کامل تعیین کنیم.

عنصر کوچکی از تیر مانند  $m$  را (شکل‌های ۸-۱۲a و ۸-۱۲b) که بین

دو مقطع عرضی مجاور هم و دو صفحه مواری سطح خنثی بریده شده در نظر می‌گیریم.

در این صورت مطابق فرضیات بالا، تنش‌های برشی قائم  $\tau$  با توزیع یکنواخت در وجه

قائم این عنصر وجود دارد. بعلاوه بر اساس بحث بخش ۱-۴ تنش‌های برشی در روی

جهه وجه یک عنصر با تنش‌های برشی مساوی در وجه عمود بر آن همانه می‌باشد.

بنابراین در بین لایه‌های افقی تیر تنش‌های برشی افقی و در مقاطع عرضی قائم تنش‌های

برشی قائم وجود دارد. این تنش‌های برشی مکمل در هر نقطه از تیر مقدار مساوی دارند.

اگر عنصر  $m$  در شکل ۸-۱۲ در بالا یا پایین نسخه انتخاب شود واضح است

تشاهد شوند، تنش‌های برشی افقی باید برابر صفر باشد زیرا در سطوح خارجی "تیر اصولاً" تنشی وجود

نداشت. بنابراین تنش‌های برشی قائم  $\tau$  در بالا و پایین تیر نیز (در  $y = h/2$ ) باید

برابر صفر باشد.  $\rightarrow$  مطلب جانشینی

با تجربه زیر می‌توانیم وجود تنش‌های برشی قائم را در تیرها نشان دهیم. اگر

بخواهیم یک ردیف کتاب را بلند کنیم (شکل ۸-۱۳) باید آنها را تحت فشار  $P$

قرار دهیم. در اثر این فشار بین کتاب‌ها اصطکاک ایجاد می‌شود و همین نیروهای اصطکاکی

قائم است که از لغزش و افتادن کتاب‌ها در اثر وزشان جلوگیری می‌کند. بنابراین تیری

که در امتداد قائم بریده شده باشد قادر به تحمل نیروهای قائم نیست.



شکل ۸-۱۳

وجود تنش‌های برشی افقی در تیر را می‌توان با تجربه ساده‌ای نشان داد. دو تیر مستطیلی به ارتفاع  $h$  را در روی تکیه کاههای ساده (مطابق شکل ۸-۱۴a) قرار دهید و بر روی آنها بار متمرکز  $P$  را وارد کنید. اگر بین تیرها اصطکاکی وجود نداشته باشد، خمی دو تیر به صورت مستقل صورت خواهد گرفت. هر یک از تیرها در

۲۵۴

ضریب مقطع مربوطه مساویست با

$$S_2 = \frac{I_2 \sqrt{2}}{a(1-\beta)} = \frac{\sqrt{2} a^3 (1-\beta)^2 (1+3\beta)}{12}$$

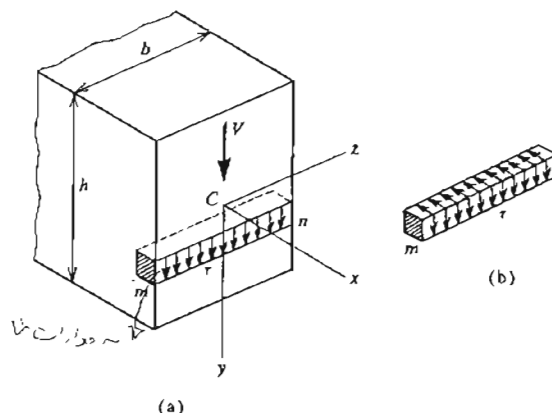
برای بدست آوردن ماکریم ضریب مقطع، مشتق عبارت فوق را نسبت به  $\beta$  مساوی صفر قرار می‌دهیم. در این صورت نتیجه می‌شود  $\beta = 1/9$ . با جایگزینی این مقدار  $\beta$  در معادله  $S_2$  بدست آوریم  $S_{max} = 1.053 S_1$ . بدین ترتیب مشاهده می‌کنیم باید بدن گوشها، ضریب مقطع تقریباً "به اندازه ۵ درصد افزایش می‌باید، در نتیجه تنش خنثی مکریم به همان نسبت کاهش می‌باید.

اگر توجه کیم که ضریب مقطع نسبت گشتاور لختی به نصف ارتفاع مقطع عرضی می‌باشد نتیجه فوق به سهولت قابل درک است. با بریدن گوشها، گشتاور لختی مقطع نسبت به ارتفاع مقطع به مقدار کمتری کاهش می‌باید، در نتیجه ضریب مقطع افزایش پیدا می‌کند.

$$S = \frac{I}{b h^3}$$

### ۸-۳ تنش‌های برشی در تیرهای با مقطع مستطیل

در فصل قبل مشاهده کردیم وقتی تیری تحت ناهمواری بارهای جانبی قرار دارد در هر مقطع عرضی آن لنگر خمی  $M$  و نیروی برشی  $V$  اثر می‌کند. در بخش ۱-۸ توزیع تنش‌های عمودی ناشی از لگر خمی را تعیین کردیم و در این بخش توزیع تنش‌های برشی را بررسی می‌کنیم.



شکل ۸-۱۲

۳۵۷

اگر لنکرهای خمشی در مقاطع عرضی  $mn$  و  $np$  مساوی باشند (یعنی اگر تیر در خمش خالص باشد)، تنشهای عمودی  $\sigma_x$  در اضلاع  $np$  و  $mn$  برابرخواهدبود. در نتیجه عنصر مزبور در حال تعادل خواهد بود و تنش برشی  $\tau$  باید برابر صفر باشد. در حالت عمومی تر که لنکر خمشی در طول تیر تغییرمیکند، لنکرهای خمشی در مقاطع عرضی  $mn$  و  $np$  را به ترتیب با  $M + dM$  و  $M$  نشان می دهیم. نیروی عمودی بروی ساحت  $dA$  در وجه انتهای چپ عنصر برابر است با (معادله ۸-۱۰)

$$\sigma_x dA = \frac{My}{I} dA \quad (8-10)$$

مجموع تمام این نیروهای کوچک که در وجه  $pn$  توزیع شده‌اند مساوی است با

$$\int_{y_1}^{h/2} \frac{My}{I} dA \quad (8-21)$$

به همین ترتیب مجموع نیروهای عمودی در وجه  $1n$  برابر است با

$$\int_{y_1}^{h/2} \frac{(M+dM)y}{I} dA \quad (8-22)$$

$$\text{نیروی برشی افقی در وجه فوکانی } pp \text{ نیز مساوی است با:} \quad (8-23)$$

نیروهایی که بوسیله معادلات ۸-۲۱ تا ۸-۲۳ می‌شوند باید در تعادل باشند، بنابراین

$$\tau bdx = \int_{y_1}^{h/2} \frac{(M+dM)y}{I} dA - \int_{y_1}^{h/2} \frac{My}{I} dA$$

تش برشی  $\tau$  از رابطه فوق بدست می‌آید.

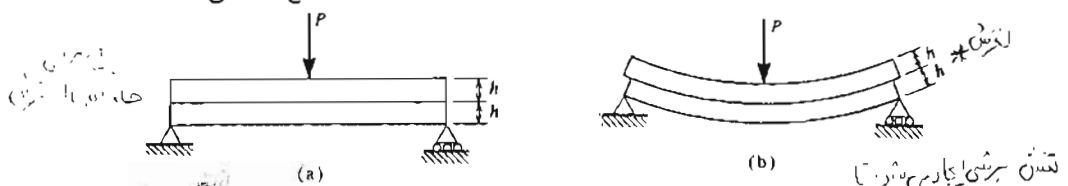
$$\tau = \frac{dM}{dx} \left( \frac{1}{Ib} \right) \int_{y_1}^{h/2} y dA = \frac{V}{Ib} \int_{y_1}^{h/2} y dA \quad (8-24)$$

انتگرال در این رابطه برابر با کشاتور اول سطحی از مقطع عرضی که در زیر تراز  $y_1$  قرار دارد حول محور خشنی ۲ می‌باشد. در مواقیع که  $y_1$  از در بالای محور خشنی اندازه گرفته می‌شود، انتگرال مزبور برابر با کشاتور اول سطحی که در بالای تراز  $y_1$  قرار دارد حول محور خشنی ۲ خواهد بود. اگر این انتگرال را با  $Q$  نشان دهیم، معادله ۸-۲۴ به صورت زیر نوشته می‌شود:

$$\tau = \frac{VQ}{Ib} \quad (8-25)$$

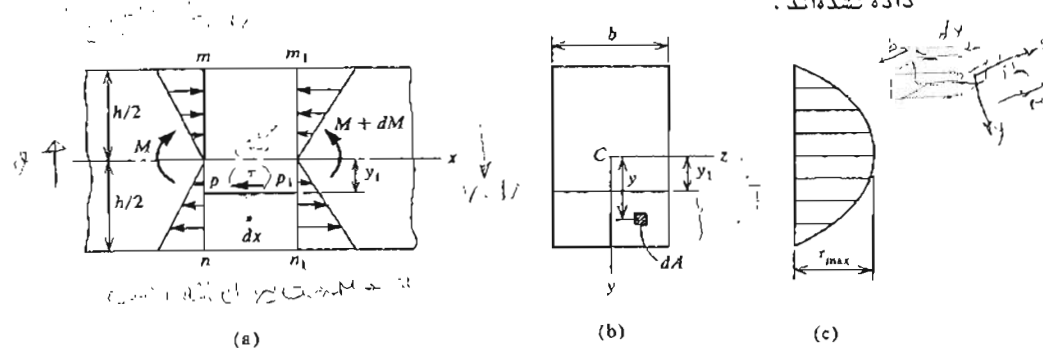
۳۵۶

سکل ۱۴-۸ قسمت فوقانی تحت فشار و در قسمت تحتانی تحت کشش قرار خواهد گرفت و به صورت شکل ۱۴-۸ تغییر شکل خواهد داد. تارهای طولی تحتانی تیر فوقانی سبیت به تارهای فوقانی تیر تحتانی خواهد لغزید. اگر به جای دو تیر تیری به ارتفاع  $2h$  داشته باشیم، در طول سطح خشنی باید تنشهای برشی ایجاد شود تا از لغزش نشان داده شده در شکل ۱۴-۸ جلوگیری شود. چون از این لغزش جلوگیری به عمل می‌آید، یک تیر به ارتفاع  $2h$  خیلی سخت تر و قوی تر از دو تیر جداکانه به ارتفاع  $h$  می‌باشد.



شکل ۱۴-۸ تنش برشی افقی در هر نقطه از مقطع عرضی بطور عددی

برابر با تنش برشی افقی در همان نقطه می‌باشد. تنش برشی افقی را می‌توان از تعادل عصر  $pnn_1p$  (شکل ۱۵-۸) که از دو مقطع عرضی مجاور  $mn$  و  $np$  تیر با مفاصله  $dx$  از یکدیگر بریده شده است محاسبه نمود. وجه تحتانی این عنصر منطبق بر سطح تیر افقی تیر و بدون تنش می‌باشد. وجه فوکانی عنصر مزبور موازی سطح خشنی و در فاصله اختیاری  $y_1$  از سطح خشنی قرار دارد. تنش برشی افقی  $\tau$  بر وجه فوکانی عنصر اشر می‌کند. بر وجوه‌های قائم عنصر تنشهای عمودی  $\sigma_x$  ناشی از لنکرهای خمشی وارد می‌شود. تنشهای برشی قائم نیز بر وجوه‌های قائم اشر می‌کند ولی این تنشها در معادله تعادل عنصر در امتداد افق (امتداد X) وارد نمی‌شوند و از این رو در شکل ۱۵-۸-۱ نشان داده شده‌اند.



شکل ۱۵-۸ تنشهای برشی در تیر با مقطع مستطیل

۲۵۹

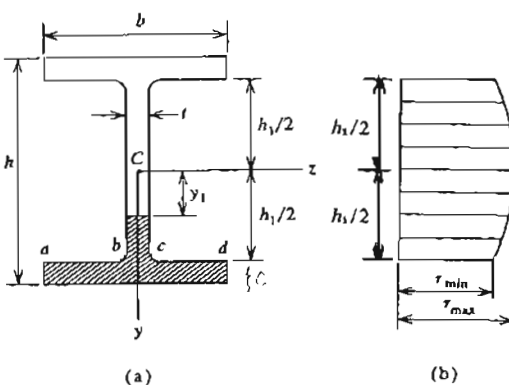
خمش عمود بر سطوح فوپانی و تحتانی تیر بافی می‌مانند. زوایای بین مماس‌های بر منحنی‌های  $p_1q_1m_1n_1$  در سطح خنثی و مقاطع عمودی  $m_1n_1$  و  $p_1q_1$  برابر با کرنش برشی  $\tau = \frac{G}{\text{max}}$  می‌باشد. موقعی که نیروی برشی  $V$  در طول تیرنات است، نابخوردگی همه مقاطع عرضی بکان می‌باشد بطوریکه  $p_1q_1m_1n_1 = q_1q_1m_1n_1$  در نتیجه کرنش‌های برشی در روی کوتاه شدن نارهای طولی در اثر لگرخشمی تا شیری ندارند، و توزیع تنش‌های عمودی  $\sigma$  همان توزیع تنش‌های عمودی در حالت خمش خالص است.

بررسی‌های دقیق تر در روی این مسئله نشان می‌دهد حتی در حالت بار گشته در روی تیر که در آن صورت نیروی برشی بطور پیوسته در طول تیر نغیر می‌کند، تابخوردگی مقاطع عرضی در اثر کرنش‌های برشی در روی کرنش‌های طولی تا شیر زیادی ندارد. در حالت بارهای متراکز، توزیع تنش در مجاورت بارها پیچیده‌تر است ولی این بی‌فاده‌گی‌ها خیلی موضعی بوده و در روی توزیع کلی تنش در تیر تأثیر قابل ملاحظه‌ای ندارند. از این جهت استفاده از فرمول خمش ۱۰-۸ که برای خمش خالص بدست آمد برای خمش غیر پکتواخت کاملاً قابل قبول است.



۱۰-۸ تنش‌های برشی در جان تیرهای I

برای بدست آوردن تنش‌های برشی در جان یک تیر I (تیری که مقاطع عرضی آن به شکل I می‌باشد) همان فرضیاتی را می‌کنیم که برای تیرهای مستطیلی کردیم، یعنی تنش‌های برشی  $\tau$  موازی محور  $y$  هستند و در روی ضخامت  $t$  جان تیر (شکل ۱۰-۱۷) می‌باشند.



شکل ۱۰-۱۷

۲۶۰

برای اینکه تغییرات  $\Delta$  را با فاصله  $z$  از محور خنثی تعیین کنیم باید  $V$ ،  $I$  و  $b$  را ثابت مفرض کنیم و تغییرات  $Q$  را نسبت به  $z$  بررسی کنیم.

کمیت  $Q$  برای مقطع عرضی مستطیلی شکل ۱۰-۸ برابر است با

$$Q = b \left( \frac{h}{2} - y_1 \right) \left( y_1 + \frac{h/2 - y_1}{2} \right) = \frac{b}{2} \left( \frac{h^2}{4} - y_1^2 \right) \quad (8-26)$$

در این رابطه  $Q$  از ضرب نمودن مساحت سطح زیر تراز  $y_1$  (سطح سایه دار) در فاصله مرکز سطح از محور  $z$  بدست آمده است. حال با جایگزینی معادله ۸-۲۶ در معادله ۸-۲۵ حاصل می‌شود

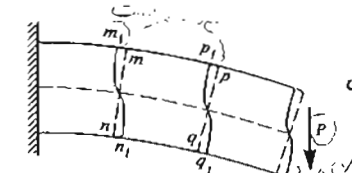
$$\tau = \frac{V}{2I} \left( \frac{h^2}{4} - y_1^2 \right) \quad (8-27)$$

این معادله نشان می‌دهد تغییرات تنش برشی با  $y_1$  بصورت یک سهمی می‌باشد (شکل ۱۰-۸). تنش برشی در  $h/2 \pm z$  برابر صفر و در محل محور خنثی ( $y_1 = 0$ ) ماقریم می‌باشد.

$$\tau_{\text{max}} = \frac{Vh^2}{8I} = \frac{3V}{2A} \quad (8-28)$$

در این رابطه  $A=bh$  مساحت مقطع عرضی می‌باشد. بدین ترتیب تنش برشی ماقریم (افقی یا قائم) ۵۰ درصد از  $A/V$ ، تنش برشی متوسط، بیشتر است.

لذا جون تنش برشی  $\tau$  از بالا تا پایین تیر به صورت یک سهمی تغییر می‌کند کرنش برشی  $\tau = \frac{G}{2}$  نیز باید به همین ترتیب تغییر کند. در نتیجه مقاطع عرضی تیر که در ابتدا مسطح بودند تاب خوردگی پیدا می‌کنند. این تاب خوردگی را می‌توان با ختم نمودن یک تیر طرهای بوسیله بار متراکز  $P$  در انتهای آزاد آن نشان داد (شکل ۱۰-۸). مقاطع  $m_1n_1$  و  $p_1q_1m_1n_1$  در میان  $p_1q_1m_1n_1$  بطوریکه ماقریم کرنش برشی در سطح خنثی اتفاق می‌افتد. در نقاط  $m_1$ ،  $n_1$ ،  $p_1$  و  $q_1$  کرنش برشی برابر صفر و منحنی‌های  $p_1q_1m_1n_1$  بعد از تغییر شکل مسطح باقی نمی‌مانند بلکه به صورت سطوح منحنی در نتیجه این تاب خوردگی می‌گذرد.

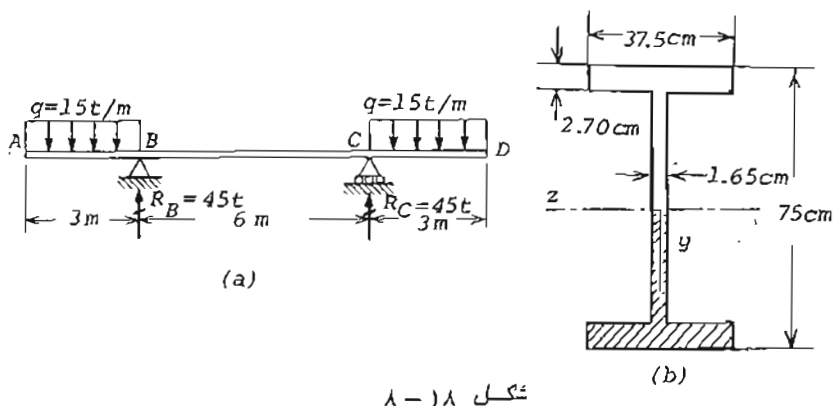


شکل ۱۰-۸ تاب خوردگی مقاطع عرضی  
یک تیر در اثر نیروی برشی

۲۶۱

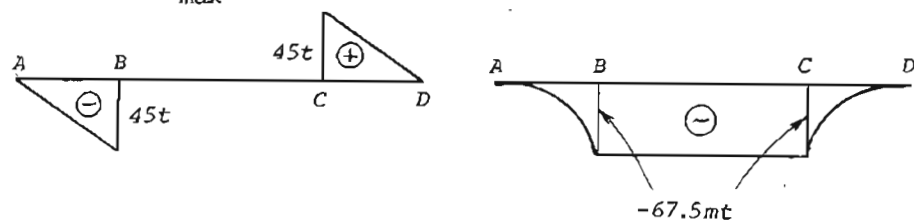
مثال ۸-۲

حداکثر تنش‌های عمودی و برشی را در تیر شکل ۸-۱۸ a - b که مقطع عرضی آن در شکل b - c نشان داده شده است پیدا کنید. حسنه تیر فولاد با ضریب ارتباطی  $E = 2.1 \times 10^6 \text{ Kg/cm}^2$  می‌باشد.



شکل ۸-۱۸

حل : نمودارهای نیروی برشی و لنگر خمثی تیر به ترتیب در شکل‌های ۸-۱۹ و ۸-۲۰ رسم شده است. حداکثر لنگر خمثی در طول تیر  $M_{max} = 67.5 \text{ mt}$  می‌باشد.



شکل ۸-۱۹

شکل ۸-۲۰

برای تعیین تنش عمودی ماکریم ابتدا باید گشتاور لختی سطح مقطع را نسبت به محور خمثی پیدا کنیم. سطح مذکور را مرکب از سه سطح مستطیلی (دو بال و یک جان) در نظر می‌گیریم.

$$I_z = \frac{1}{12} (1.65)(75-5.4)^3 + 2 \left[ \frac{1}{12} (37.5)(2.7)^3 + (2.7)(375)(325-135)^2 \right] \\ = 311113 \text{ cm}^4$$

۳۶۵

بطور یکنواخت توزیع شده‌است. در این صورت معادله ۲۵-۸ را می‌توان برای محاسبه تنش‌های برشی بکار برد. نقطه‌ای به عامله  $y_1$  از محور خمثی را در نظرمی‌گیریم، گشتاور اول قسمت سایه دار مقطع عرضی نسبت به محور خمثی برابر است با

$$Q = b \left( \frac{h}{2} - \frac{h_1}{2} \right) \left( \frac{h_1}{2} + \frac{h/2 - h_1/2}{2} \right) + t \left( \frac{h_1}{2} - y_1 \right) \left( y_1 + \frac{h_1/2 - y_1}{2} \right) \\ = \frac{b}{2} \left( \frac{h^2}{4} - \frac{h_1^2}{4} \right) + \frac{t}{2} \left( \frac{h_1^2}{4} - y_1^2 \right)$$

بنابراین تنش برشی  $\tau$  در جان تیر مساویست با

$$\tau = \frac{V}{It} \left[ \frac{b}{2} \left( \frac{h^2}{4} - \frac{h_1^2}{4} \right) + \frac{t}{2} \left( \frac{h_1^2}{4} - y_1^2 \right) \right] \quad (8-29)$$

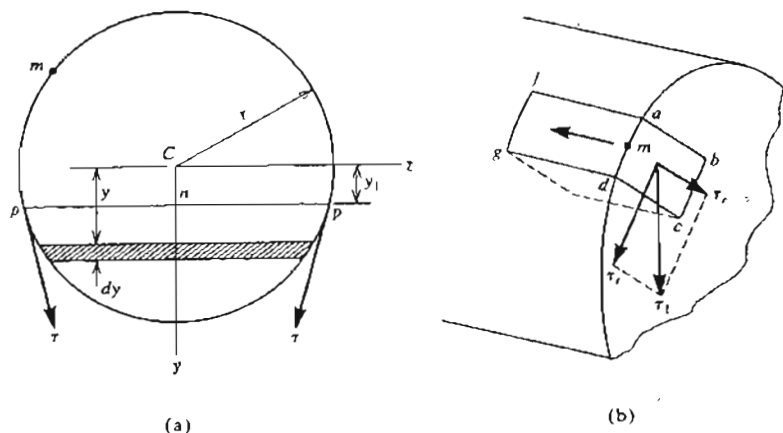
از این معادله مشاهده می‌کیم که  $\tau$  در ارتفاع جان تیر به صورت سه‌می تغییر می‌کند. تنش برشی ماکریم در محور خمثی ( $y_1 = 0$ ) و تنش برشی مینیم در جان تیر در  $y_1 = \pm h_1/2$  می‌باشد.

$$\tau_{max} = \frac{V}{It} \left( \frac{bh^2}{8} - \frac{bh_1^2}{8} + \frac{th_1^2}{8} \right); \quad \tau_{min} = \frac{V}{It} \left( \frac{bh^2}{8} - \frac{bh_1^2}{8} \right) \quad (8-30)$$

ضخامت  $t$  جان در مقایسه با  $b$  معمولاً "خیلی کوچک" است. از این جهت فرق زیادی بین  $\tau_{max}$  و  $\tau_{min}$  وجود ندارد و توزیع تنش‌های برشی در مقطع عرضی جان تیر تقریباً یکنواخت است. بنابراین  $\tau_{max}$  با تقسیم مودون نیروی برشی کل V بر مساحت مقطع عرضی جان تیر  $(h_1 t)$  با تقریب خوب بدست می‌آید. جان تیر تقریباً تمام نیروی برشی را می‌گیرد و بال‌ها قسمت خلی کمی از نیروی برشی را حمل می‌کنند.

در مطالعه توزیع تنش‌های برشی در بال‌های تیر نیز توان تنش برشی را در عرض بال ثابت فرض نمود. برای مثال در  $y_1 = h_1/2$  تنش برشی در سطوح آزاد ab و cd برابر باشد (شکل ۸-۱۷a). باید برابر صفر باشد و حال آنکه تنش در محل اتمال جان و بال پیچیده (شکل ۸-۳۰) بدست می‌آید. تحلیل توزیع تنش‌های برشی در محل اتمال جان و بال پیچیده می‌باشد و با یک تحلیل مقدماتی بدست نمی‌آید. برای اینکه از تمرکز تنش در نقاط b و c جلوگیری شود، اتمال جان به بال‌ها مطابق شکل ۸-۱۷a با قوس صورت می‌گیرد.

۲۶۳



شکل ۸-۲۱

در فاصله  $y_1$  از محور خنثی بکار می‌بریم. تنش‌های برشی  $\tau$  در دو انتهای وتر باید مطابق شکل معاصر سرحد مقطع عرضی باشد. تنش برشی در نقطه میاسی  $p$  وتر بعلت تقارن باید در امتداد محور  $z$  باشد. امتدادهای تنش‌های برشی در نقاط  $p$  و  $n$  یکدیگر را در نقطه‌ای واقع بر محور  $z$  قطع می‌کنند. با فرض اینکه امتداد تنش برشی در هر نقطه دیگر واقع بر خط  $pp'$  از نقطه تقاطع مزبور عبور کند، امتدادهای تنش‌های برشی "کاملاً" مشخص خواهد بود.

برای بدست آوردن تنش‌های برشی فرض دیگری می‌کنیم و آن اینکه مولفه‌های قائم تنش‌های برشی برای تمام نقاط واقع بر خط  $pp'$  مساوی می‌باشد. چون این فرض "کاملاً" مطابق برفرضی است که برای مقاطع عرضی مستطیلی کردیم، برای محاسبه مولفه قائم تنش‌های برشی می‌توانیم از رابطه ۲-۲۵ استفاده کنیم. در این صورت مقدار  $b$  در این رابطه طول وتر  $pp'$  می‌باشد. با داشتن امتداد تنش برشی و مولفه قائم آن مقدار آن را می‌توان برای هر نقطه مقطع عرضی حساب نمود.

حال تنش‌های برشی را در طول خط  $pp'$  مقطع عرضی (شکل ۸-۲۱ a) حساب می‌کنیم. در موقع استفاده از رابطه ۲-۲۵ برای محاسبه مولفه قائم  $y$  تنش‌های برشی باید گشتاور اول قسمتی از سطح دایره را که در زیر خط  $pp'$  قرار دارد نسبت به محور  $z$  حساب کنیم. سطح کوچکی که در شکل ۸-۲۱ a هاشور خورده است به طول  $2\sqrt{r^2 - y^2} dy$  و عرض  $dy$  می‌باشد (شعاع دایره است) و مساحت آن  $dA = 2\sqrt{r^2 - y^2} dy$  است.

۲۶۲

$$\sigma_{\max} = \frac{M_{\max} c}{I_z} = \frac{(67.5)(10^5)(37.5)}{311113} = 813.61 \text{ Kg/cm}^2$$

حداکثر نیروی برشی در طول سر  $t = 45$  می‌باشد. برای تعیین تنش برشی ماکزیم ابتدا باید گشتاور اول سطح هاشور خورده را حول محور خنثی حساب کنیم زیرا تنش برشی در محل محور خنثی جداکثر می‌باشد.

$$Q = \int y dA = (37.5)(2.7)(37.5 - 1.35) + (1.65)(37.5 - 2.7)^2 / 2 = 4659.3 \text{ cm}^3$$

$$\tau_{\max} = \frac{V_{\max} Q}{I_z b} = \frac{(45000)(4659.3)}{(311113)(1.65)} = 408.44 \text{ Kg/cm}^2$$

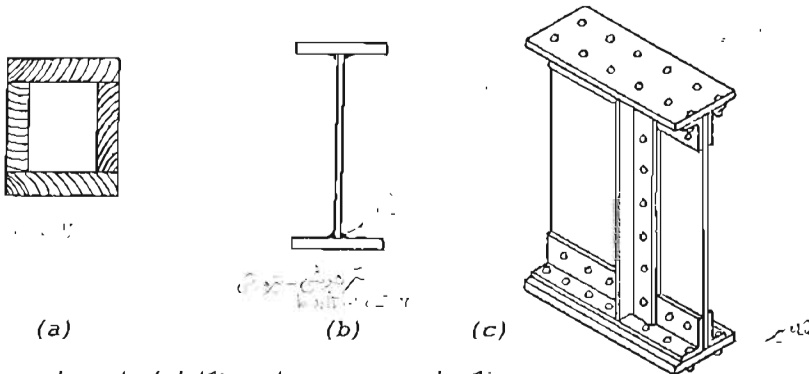
$b$  در راسته فوق عرض سر در محل محور خنثی می‌باشد که برابر است با  $1.65 \text{ cm}$ .

#### ۸-۵ تنش‌های برشی در تیرهای با مقطع عرضی دایره

برای تیرهای با مقطع عرضی دایره (شکل ۸-۲۱ a) دیگر نمی‌توان فرض نمود که تنش‌های برشی در مقطع تیر موازی محور  $z$  می‌باشد. در واقع به سهولت می‌توان نشان داد که تنش برشی در نقطه‌ای مانند  $m$  در روی سرحد مقطع عرضی (شکل ۸-۲۱ a) باید بر دایره متساهم باشد. عنصر بی‌نهایت کوچک  $abcd$  (شکل ۸-۲۱ b) به شکل مکعب مستطیل را که وجه  $adgf$  آن در سطح خارجی تیر و وجه  $abcd$  آن در صفحه مقطع عرضی قرار دارد در نظر می‌گیریم. اگر تنش برشی در وجه  $abcd$  عنصر مزبور جهت غیر مشخص  $\tau_1$  (مطابق شکل ۸-۲۱ b) داشته باشد می‌توان آن را به دو مولفه  $\tau_1$  در امتداد شعاع دایره و  $\tau_2$  در امتداد معاصر بر دایره سر-حد تجزیه نمود. قبلاً مشاهده کردیم (با مطالعه تعادل پک عنصر) که اگر تنش برشی بر پک وجه عصر عمل کند تنش برشی مساوی سا آن (بطور عددی) نیز باید بر وجه عمود بر وجه مزبور اثر کند. اگر این نکته را در مورد عنصر شکل ۸-۲۱ b بکار برمی‌فرمود "نتیجه می‌شود که تنش برشی  $\tau_1$  باید برابر صفر باشد زیرا در سطح خارجی تیر تنش وجود ندارد. بنابراین تنش  $\tau_1$  در امتداد معاصر بر سرحد مقطع عرضی تیر اثر می‌کند. حال نتیجه فوق را برای بررسی تنش‌های برشی در طول وتر  $pp'$  (شکل ۸-۲۱ a)

۳۶۵

استفاده از تیرهای منشکل از اجزای متصل بهم در بسیاری از انواع ساره‌ها مطلوب است. سه مثال از این نوع تیرها در شکل ۲۲-۸ مشاهده می‌شود. مثال اول یک نیز صندوقی منشکل از چهار الوار جوبی است که بوسیله میخ، پیچ و یا جب به یکدیگر متصل



شکل ۲۲-۸ تیرهای منشکل از اجزای متصل بهم  
شده‌اند. مثال دوم شاه تیری است که با جوش دادن سه ورق فولادی ساخته شده‌است.  
مثال سوم سیز یک شاه تیر فولادی است که با متصل کردن مقاطع نبشی به ورق‌ها بوسیله  
پروج ساخته شده است. تنش‌ها در تیرهای منشکل از اجزاء، متصل بهم معمولاً "با این فرض  
محاسبه می‌شود که اجزا، مختلف کاملاً" به یکدیگر متصل می‌باشد بطوریکه تیر مانند یک  
تیر یک پارچه عمل می‌کند. محاسبه این نوع تیرها شامل دو مرحله می‌باشد. مرحله اول  
طرح خود تیر مانند یک تیر یک پارچه و مرحله دوم طرح عناصر متصل کننده (میخ‌ها،  
جوش‌ها، پروج‌ها و غیره) می‌باشد بطوریکه تیر به صورت یک پارچه عمل کند. از فرمول‌های  
معمولی تیرها برای طرح خود تیر می‌توان استفاده نمود، البته مساحت سوراخ‌های پروج‌ها  
را باید از مساحت مقطع عرضی تیر کم نمود. طرح عناصر متصل کننده تیر براسن نیروی  
برشی افقی کلی که بین قسمت‌های مختلف تیر باید منتقل شود قرار دارد.

مثال ۴-۸

تیری در دو انتهای دارای تکه گاه ساده و با دهانه  $L = 1.8m$  می‌باشد. مقطع  
عرضی تیر مطابق شکل ۲۲a-۸ است. تیر بر متمرکز قائم  $P$  را در وسط دهانه تحمل  
می‌کند. تنش مجاز در خشن  $\sigma = 70Kg/cm^2$  می‌باشد. فاصله منابع  $e$  بین پیچ‌ها را  
تعیین کنید. هر یک از پیچ‌ها قادر به انتقال نیروی برشی  $F = 280Kg$  می‌باشد.

۳۶۶

گشتاور اول نوار هاشور خورده حول محور خشی سرا بر  $yda$  و گشتاور اول کل  $Q$  برای  
تمام قطعه مساویست با

$$Q = \int_{y_1}^x 2y \sqrt{r^2 - y^2} dy = \frac{2}{3} (r^2 - y_1^2)^{\frac{3}{2}}$$

با جایگزینی نتیجه فوق و همچنین  $b = 2\sqrt{r^2 - y_1^2}$  در معادله ۸-۲۵، مولفه قائم نتش  
برشی بدست می‌آید.

$$\tau_y = \frac{V(r^2 - y_1^2)}{3I} \quad (8-31)$$

تش برشی کل در نقاط سرحدی (مانند  $p$ ) برابر است با

$$\tau = \frac{\tau_y r}{\sqrt{r^2 - y_1^2}} = \frac{Vr\sqrt{r^2 - y_1^2}}{3I} \quad (8-32)$$

از این معادله مشاهده می‌شود ماکریم تش برشی  $\tau$  در  $y_1 = 0$  ( محل محور خشی  
قطع عرضی ) می‌باشد. پس از جایگزینی  $I = \pi r^4 / 4$  حاصل می‌شود

$$\tau_{max} = \frac{4V}{3\pi r^2} = \frac{4V}{3A} \quad (8-33)$$

این معادله نشان می‌دهد ماکریم تش برشی در یک مقطع عرضی دایره‌ای یک سوم بیشتر  
از مقدار متوسطی است که از تقسیم نخودن نیروی برشی بر مساحت مقطع عرضی بدست  
می‌آید. تنش‌های برشی  $\tau$  در محل محور خشی موازی محور  $z$  و با بزرگی یکسان می‌باشند، از این رو آنها را می‌توان مستقیماً از معادله ۸-۲۵ بدست آورد.

تئوری تقریبی مورد بحث در بالا برای محاسبه تنش‌های برشی در تیرهای دایره‌ای  
تو پر با تقریب خوب جواب می‌دهد. مقایسه این تئوری با تئوری دقیق بر اساس تئوری  
ارتجاعی ( مرجع ۲۶ ) نشان می‌دهد که خطای محاسباتی فقط چند درصد است.

موقعی که تیر دارای مقطع دایره‌ای تو خالی جدار نازک می‌باشد، با تقریب خوب  
می‌توان فرض نمود که تنش‌های برشی در محل محور خشی در ضخامت لوله بطور یکنواخت  
توزیع شده‌اند. در نتیجه برای محاسبه تنش‌های برشی ماکریم می‌توان از معادله ۸-۲۵  
استفاده نمود.

۴-۸ تیرهای منشکل از اجزای متصل بهم

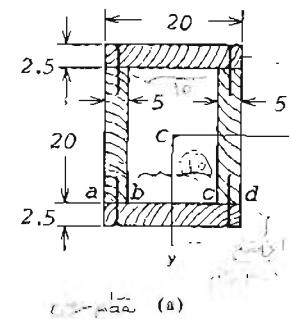
## ۸-۲ تنش‌های اصلی در تیرها

با استفاده از معادلات  $\sigma = My/Ib$  و  $\tau = VQ/Ib$  می‌توانیم تنش‌های عمودی و برشی را در هر نقطه از مقطع عرضی تیر تعیین کنیم. تنش عمودی در لبه‌های خارجی تیر ماکریم و در محل محور خنثی صفر است. تنش برشی در لبه‌های خارجی تیر برابر صفر می‌باشد و معمولاً "در محل محور خنثی به حد ماکریم می‌رسد". برای تحلیل کامل تر تنش‌ها در تیر باید اثر نوام این تنش‌های برشی و عمودی را در نظر بگیریم. به ویژه با روش‌های مورد بحث در فصل پنجم می‌توانیم تنش‌های اصلی و تنش برشی ماکریم را در هر نقطه از تیر حساب کنیم.

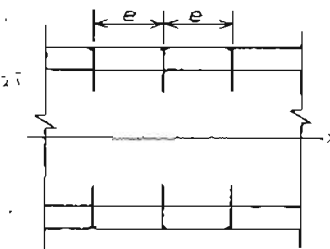
برای اینکه سیمینیم جگونه بزرگی و امتداد تنش‌های اصلی در تیر تغییر می‌کنند، ابتدا حالت تنش را در تیری با مقطع عرضی مستطیل (شکل ۸-۲۴) بررسی مکنیم. پنج نقطه A، B، C، D و E در مقطع عرضی انتخاب شده‌اند. نقاط A و E از انتهای مقطع عرضی M و نیروی برشی V در مقطع عرضی معلوم باشند، تنش‌ها را در هر یک از نقاط مزبور می‌توان تعیین نمود. این تنش‌ها را می‌توان در روش عنصرهای کوچکی که از تیر بریده شده‌اند نشان داد (شکل ۸-۲۴b). برای بدست آوردن تنش‌های اصلی و تنش برشی ماکریم می‌توان از معادلات تنش مسطح (بخش ۶-۵) و یا از دایره موهر (بخش ۷-۵) استفاده نمود. امتدادهای تنش‌های اصلی در هر یک از نقاط به طور تقریبی در شکل ۸-۲۴c و تنش‌های برشی ماکریم در شکل ۸-۲۴d رسم شده‌اند.

چگونگی تغییرات تنش‌های اصلی در شکل ۸-۲۴c مشاهده می‌شود. تنش فشاری اصلی در بالای تیر در امتداد افق اثر می‌کند. با نزدیک شدن به محور خنثی، تنش فشاری اصلی نسبت به افق مایل می‌شود تا اینکه در محور خنثی (نقطه C) در امتداد ۴۵° نسبت به افق اثر می‌کند. تنش فشاری اصلی با نزدیک شدن به قسمت تحتانی تیر به امتداد قائم نزدیک می‌شود. مقدار این تنش بطور پیوسته از بالا تا پایین تیر تغییر می‌کند تا اینکه در نقطه E برابر صفر می‌شود. مقدار عددی ماکریم این تنش در یک تیر مستطیلی معمولاً "در نقطه A رخ می‌دهد، هر چند که این ماکریم ممکن است در داخل تیر در نقطه‌ای مانند B اتفاق افتد. ملاحظات مثبته‌ای را در مورد تنش اصلی کششی می‌توان ذکر نمود، این تنش نیز بطور پیوسته از A تا E تغییر می‌کند. با بررسی تنش‌ها در تعداد زیادی از مقطع عرضی تیر می‌توان تصویر کاملی از

۳۶۶



(a) شکل ۸-۲۴



(b)

شکل ۸-۲۴

حل: کشناور لختی مقطع عرضی نسبت به محور خنثی برابر است با

$$I = \frac{(10)(20)^3}{12} + 2 \left[ \frac{(20)(2.5)^3}{12} + (20)(2.5)(11.25)^2 \right] = 19378 \text{ cm}^4$$

ضریب مقطع مربوطه مساویست با

$$S = \frac{I}{C} = \frac{19378}{12.5} = 1550 \text{ cm}^3$$

با استفاده از رابطه ۸-۱۲ می‌توانیم بنویسیم

$$\sigma_w = \frac{M_{\max}}{S} = \frac{P \times 180}{4 \times 1550} = 70 \text{ Kg/cm}^2$$

از این رابطه  $P = 2410 \text{ Kg}$  بدست می‌آید. نیروی برشی در هر یک از مقطع‌های عرضی تیر برابر است با

$$V = \frac{P}{2} = 1205 \text{ Kg}$$

تش برشی در محل اتمال ab و cd مقطع تیر (شکل ۸-۲۴a) از مادله ۸-۲۵ بدست می‌آید.

$$\tau = \frac{VQ}{Ib} = \frac{(1205)(20)(2.5)(11.25)}{(19378)(10)} = 3.5 \text{ Kg/cm}^2$$

نیروی برشی افقی F که بوسیله هر یک از پیچ‌ها منتقل می‌شود برابر است با

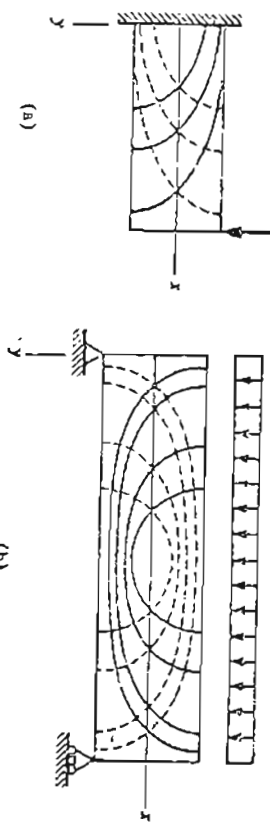
$$F = (10/2)(et)$$

فاصله مابین پیچ‌ها از رابطه فوق بدست می‌آید.

$$e = \frac{F}{5\tau} = \frac{280}{(5)(3.5)} = 16 \text{ cm}$$

۳۶۹

را برای یک طرموای با مقاطع عرضی مستطیل که تحت انتشار متغیری در انتهاهی آزاد است می‌باشد نشان می‌دهد. در این شکل، خطوط برای تنشهای اصلی کشی و خطوط تنشهای اصلی فشاری می‌باشد. دو دسته مختصی ها یکدیگر را بازیه فائمه و تمام مختصی ها جهور ختنی را بازیه می‌سازند. در سطوح فواید رختخانی تیرک در روی آسپا نتیجه سفر است، مساوی بر منحی های مسیر نتیجه افقی یا قائم می‌باشد. منحنی های مسیر نتیجه برای سر ساده با مقاطع عرضی مستطیل هب اثر بار کشیده بکواخت در شکل ۲۵-۸-۸-۲۵ شده است.



شکل ۲۵-۸ منحنی های مسیر تنشهای اصلی

بعضی از مولاتج منحنی های دیگر برای نشان دادن تغییرات نتیجه ها در پی تحریم می شود که موسوم به منحنی های هم نشست می باشد. این منحنی ها ناظمی را که دارای این منحنی ها برای یک تیر اصلی مساوی هستند به یکدیگر وصل می کنند. یک نمونه از این منحنی ها در شکل ۲۶-۸ مساهده می شود. منحنی های این نکل فقط برای نتیجه های اصلی کشی رسم شده اند.

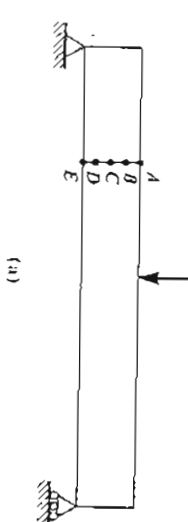


شکل ۲۶-۸

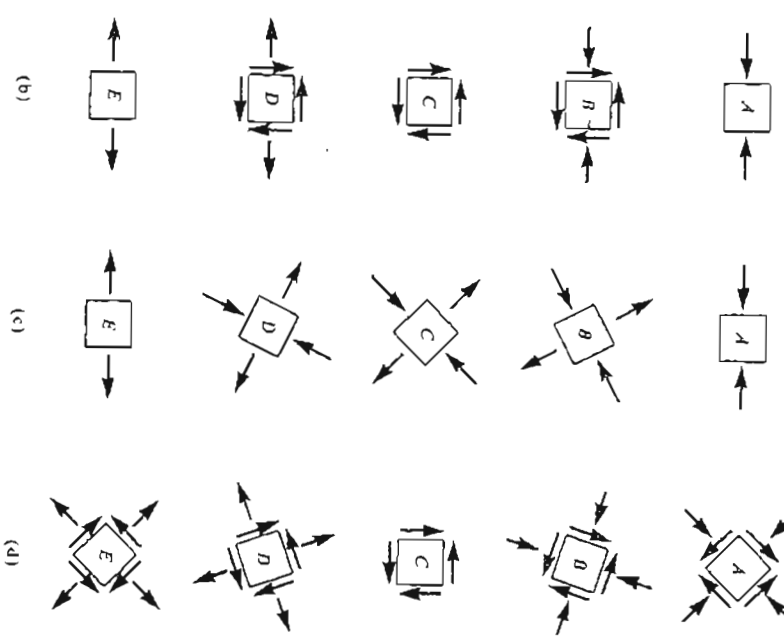
تشهای اصلی در تیرهای با مقاطع عرضی دیگر را می نوان با همان ترتیب بالا تحلیل نمود. در تیرهای I با وجود اینکه بهترین نتیجه ممولاً در لبه خارجی تحریم می دهد، ماکریم نتیجه اصلی در این تغیرها ممکن است در جان تندر محل انتقال آن با بال رخ دهد. نتیجه برتری ماکریم ممولاً در محل محور خنثی اتفاق می افتد ولی در

۳۶۸

چگونگی تغییرات نتیجه های اصلی بدست آرد. با استفاده از این اطلاعات می توان دو دسه منحنی عمود بر هم موسوم به منحنی های "مسیر نتیجه" رسم نمود. مساوی بر این منحنی ها اندادهای تنشهای اصلی را می دهد. شکل ۲۵-۸-۲۵-۸ منحنی های مسیر نتیجه



(a)



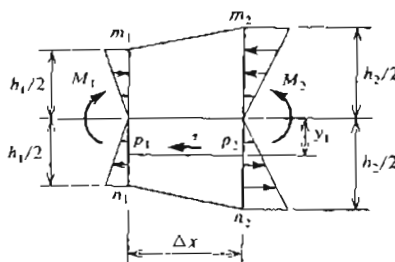
(c)

(b)

(d)

شکل ۲۶-۸ نتیجه های دیر تیری با مقاطع عرضی مستطیل

۳۷۱ کفايت نمي کند و ما باید رابطه جدیدی بدست آوریم که در آن اثر تعییر ارتفاع تیر سیر داخل شود. برای این کار عصر کوچکی از تیر به طول  $\Delta X$  را از تیر عصر منشوری مطابق شکل ۸-۲۸a مسیریم. در وجه چپ  $m_1$  عصر لنگر خمشی  $M_1$  و در وجه راس  $m_2$  عصر لنگر خمشی  $M_2$  اثر می کند. ارتفاع تیر در سمت چپ عصر برابر  $h_1$  و در سمت راست



شکل ۸-۲۸a

آن برابر  $h_2$  و فاصله نصفهای که در آن تنش برشی  $\tau$  اثر می کند نار خنثی برابر  $\tau y$  است ( این شکل را با شکل ۸-۱۵a سرای یک تیر منشوری مقایه کنید ). تنش برشی  $\tau$  با نوشتن معادله تعادل عنصر  $p_1n_1p_2n_2$  در امتداد افقی بدست می آید. نیروهای ساشی از تنشهای خمشی عمودی در دو وجه چپ و راست عنصر به شریط  $I_1Q_1/I_2 = M_2Q_2/I_2$  می باشد ( معادله ۸-۲۱ ) . در این عبارات،  $I_1$  و  $I_2$  گشتاورهای لختی دو مقطع عرضی  $Q_1$  و  $Q_2$  به ترتیب گشتاورهای اول سطوح اصلاح  $n_1$  و  $n_2$  حول محور خنثی می باشند. نیروی کل بر وجه فوقانی  $P_1n_2P_2n_1$  عنصر برابر  $\tau b\Delta X$  است که در آن  $b$  عرض تیر در فاصله  $\Delta X$  محور خنثی می باشد. نابراین تعادل در امتداد افقی به صورت زیر نوشته می شود :

$$\tau b\Delta X = \frac{M_2Q_2}{I_2} - \frac{M_1Q_1}{I_1} \quad (8-34)$$

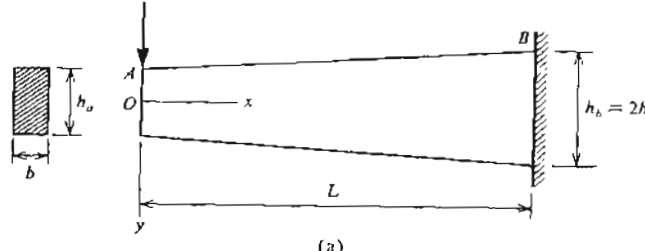
با جایگزینی مقادیر عددی در این معادله، تنش برشی برای هر تیر ویژه ای بطور تقریبی بدست می آید. روش حل به صورت زیر می باشد. ابتدا مقطع عرضی تیر که در آن تنش برشی  $\tau$  مطلوب است انتخاب می شود. سپس مقطع دیگری به فاصله کوچک  $\Delta X$  از آن در نظر گرفته می شود. کمیت های ریز در هر یک از مقاطع تعیین می شود : ( الف ) - لنگر خمشی  $M$  ، ( ب ) - گشتاور اول  $Q$  سطح بین لبه خارجی تیر و مقطعی که  $\tau$  در آنجا مطلوب است و ( ب ) - گشتاور لختی  $I$  مقطع . پس از جایگزینی این مقادیر در معادله ۸-۳۴ تنش برشی  $\tau$  بدست می آید. هر چه فاصله  $\Delta X$  کوچکتر انتخاب شود

۳۷۵

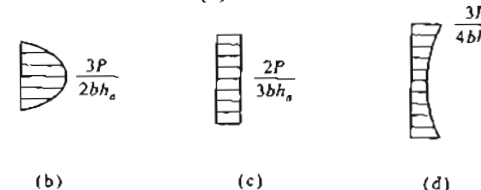
شرابط استثنائی بار گذاری ممکن است در سالا یا زیر محور خنثی رخ دهد. در موقع تعیین تنشهای ماکریم در تیرها همواره باید به خاطرداشت که در مجاورت تکیه گاههای تیر و سقط اثر بارهای متمرکز و همچنین در جایی که تغییرات ناکهانی در شکل وجود دارد تنشهای زیادی بطور موضعی ایجاد می شود که مقدار آنها را سی توان با فرمول های متدائل تیرها بدست آورد. این تنشهای موضعی به مرکز تنش موسوم می باشد.

## ۸-۸ تنشها در تیرهای غیر منشوری

تا کنون در مطالعه تنشها در تیرها فرض بر این بود که تیرها منشوری باشند، به عبارت دیگر در تمام طولشان دارای مقطع عرضی ثابت باشند. اگر تغییرات در ابعاد مقطع عرضی خیلی تدریجی باشد با تقریب خود می توان از فرمول های تنشهای منشوری استفاده نمود. برای مثال تنشهای عمودی ناشی از حین را در تیر شکل ۸-۲۲a که سطوح فوقانی و تحتانی آن دارای شبکه کمی است می توان از معادله  $\sigma = My/I$  بدست آورد. اگر شبکه سطوح فوقانی و تحتانی کم باشد خطای محاسبه بیش از چند درصد نخواهد بود ( عدا با مقایسه با نتایج دقیق این نکته را شان خواهیم داد ).



شکل ۸-۲۷



اما فرمول  $\sigma = VQ/Ib = \tau$  که برای یک تیر منشوری بدست آمد برای تنشهای برشی

۳۷۲

( مساوی با نیروی برشی  $V$  ) و در نتیجه معادله به صورت زیر در می‌آید :

$$\tau b I_1 = \frac{M_1 b h_1}{4} \frac{dh}{dx} + Q_1 V - \frac{M_1 Q_1 b h_1^2}{4 I_1} \frac{dh}{dx}$$

بالاخره طرفین رابطه فوق را بر  $b I_1$  تقسیم و وزر سویں عددی را حذف می‌کنیم (جو دیگر به آن اختیاجی نیست ) . بدین ترتیب سکل نهایی معادله تنش برشی  $\tau$  در یک تیر غیر منشوری ساقط عرضی مستطیل به صورت زیر می‌باشد :

$$\tau = \frac{VQ}{Ib} + \frac{Mh}{4I} \left( 1 - \frac{Qh}{I} \right) \frac{dh}{dx} \quad (8-35)$$

این معادله برای تیری به عرض ثابت  $b$  و ارتفاع متغیر  $h$  صادق است . ارتفاع تیر می‌تواند بهر صورتی تغییر کند به شرط آنکه این تغییر تدریجی باشد . از معادله فوق نتیجه می‌شود تنش برشی در ساقط عرضی نه تنها به نیروی برشی بلکه به لگر خمی و شدت تغییر  $h$  نسبت به  $x$  نیز بستگی دارد .

به عنوان یک مثال ویژه ، توزیع تنش‌های برشی در یک تیر طره‌ای ساقط عرضی مستطیل ( شکل ۸-۲۷a ) را بررسی می‌کنیم . ساقط تیر به صورت یکواخت تغییر می‌کند و در دو انتهای ارتفاع‌های  $h_a$  و  $h_b = 2h_a$  می‌باشد . بنابراین کمیت  $dh/dx$  ثابت و برابر است  $\tau$

$$\frac{dh}{dx} = \frac{h_b - h_a}{L} = \frac{h_a}{L}$$

لگر خمی در انتهای جپ تیر ( نقطه A ) صفر است و در نتیجه معادله ۸-۳۵ همان توزیع تنش برشی در یک نیز منشوری را می‌دهد ( معادله ۸-۲۵ را ببینید ) . این توزیع تنش در شکل ۸-۲۷b رسم شده است . ماکریم تنش برشی در این ساقط در محور خنثی و برابر  $1.5 P/bh_a$  می‌باشد . در وسط طول تیر ( $x=L/2$ ) مقادیر زیر بدست می‌آید :

$$V = P ; \quad h = 1.5 h_a ; \quad Q = \frac{b}{2} \left( \frac{h^2}{4} - y_1^2 \right) ; \quad M = \frac{PL}{2} ; \quad I = \frac{bh^3}{12}$$

از جایگزینی مقادیر فوق در معادله ۸-۳۵ حاصل می‌شود

$$\tau = \frac{2P}{3bh_a}$$

۳۷۲

چوب بدست آمده دقیق‌تر خواهد بود . اما اگر  $\Delta x$  خیلی کوچک استخراج شود از دقت عددی کاسه خواهد شد زیرا در این صورت در معادله ۸-۳۴ دو کمیت تعریباً " مساوی را باید از یکدیگر کم نمود . معادله ۸-۳۴ یک معادله کاملاً "کلی است و در بسیاری از موارد عملی از آن می‌توان برای تعیین تنش‌های برشی در یک تیر ساقط عرضی متغیر استفاده نمود .

اکنون حالت حاصلی را در نظر می‌گیریم که ساقط عرضی تیر مستطیلی با عرض ثابت  $b$  و ارتفاع متغیر  $h$  باشد . در این صورت معادله ۸-۳۴ را می‌توان به معادله دقیق‌تری تبدیل نمود . برای این حالت حاصل داریم

$$Q_1 = \frac{b}{2} \left( \frac{h_1^2}{4} - y_1^2 \right) ; \quad Q_2 = \frac{b}{2} \left( \frac{h_2^2}{4} - y_1^2 \right)$$

$$I_1 = \frac{bh_1^3}{12} ; \quad I_2 = \frac{bh_2^3}{12}$$

اگر  $\Delta h$  میان دو ساقط مجاور ۱ و ۲ باشد داریم  $h_2 = h_1 + \Delta h$  و از معادلات بالا نتیجه می‌شود

$$Q_2 = Q_1 + \frac{bh_1 \Delta h}{4} ; \quad I_2 = I_1 + \frac{bh_1^2 \Delta h}{4}$$

در هگام بدست آوردن روابط بالا از حملاتی که شامل توان‌های دوم و سوم  $\Delta h$  می‌باشدند سه علت کوچک بودن در مقایسه با سایر جملات صرف نظر نده است . همچنین با توجه به اینکه  $M_2 = M_1 + \Delta M$  مقادیر  $Q_2$  ،  $I_2$  و  $M_2$  را در معادله ۸-۳۴ جایگزین می‌کنیم .

$$\tau b \Delta x = \frac{\left( M_1 + \Delta M \right) \left( Q_1 + \frac{bh_1 \Delta h}{4} \right)}{I_1 + \frac{bh_1^2 \Delta h}{4}} - \frac{M_1 Q_1}{I_1}$$

طرفین این رابطه را در مخرج جمله اول سمت راست علامت تساوی ضرب می‌کنیم .

$$\tau b l_1 \Delta x + \frac{\tau b^2 h_1^2}{4} \Delta h \Delta x = \frac{M_1 b h_1}{4} \Delta h + Q_1 \Delta M + \frac{bh_1}{4} \Delta h \Delta M - \frac{M_1 Q_1}{4 I_1} b h_1^2 \Delta h$$

از جملات شامل حاصل ضرب دو کمیت کوچک در معادله فوق می‌توان صرف نظر نمود . طرفین معادله ساده شده را بر  $\Delta x$  تقسیم می‌کنیم . در حالت حدی وقتی  $\Delta x$  خیلی کوچک می‌شود ، جمله  $\Delta h/\Delta x$  به صورت  $dh/dx$  و جمله  $\Delta M/\Delta x$  به صورت  $dM/dx$

TYA

دستیجه تنش عمودی مانگزیم سرا بر است با

$$\sigma = \frac{M}{S} = \frac{Px}{S} = \frac{32Px}{\pi d_a^3 (1 + \frac{X}{L})^3}$$

با مساوی صفر قرار دادن مشتق  $\sigma$  ( $d\sigma/dx = 0$ ) مقداری از  $x$  که آن را ماکریم می‌سازد بدست می‌آید. نتیجه  $x = l/2$  است و تنش ماکریم مربوطه مساوی است با

$$\sigma_{\max} = \frac{128PL}{27\pi d_a^3} = 4.741 \frac{PL}{\pi d_a^3}$$

تتش در مقطع لنگر خمی ماکزیم ( تکیه گاه B ) برابر است با

$$\sigma_b = \frac{4PL}{\pi d^3}$$

بدين ترتيب تنش عمودي ماکریم در اين مثال خاص در وسط طول تير و 19 درصد بيشتر از تنش در انتهای كير دار تير (در جايی که لنگر خمشي ماکریم است) مي باشد. اگر از شبیج دار تير کاسته شود، مقطع تنش عمودی ماکریم به طرف تکي گاه كير دار تير منتقل می شود. برای شبیهای خيلي کوچک، تنش عمودی ماکریم همچون در تير طرهای منشوری در انتهای B تير رخ می دهد.

برای اینکه حداقل مصالح در نیز مصرف شود، مقطع عرصی تیر را در طول تیر می‌توان چنان تغییر داد که تنش ماکریم در تمام مقاطع ثابت باشد. در حالت ایده‌آل که تنش ماکریم در تمام مقاطع عرضی برابر تنش مجاز می‌باشد، طرح موسوم به طرح با حداقل وزن می‌باشد. البته به علت اشکالات عملی در ساختن تیر و امکان اینکه بارهای واردہ با بارهای فرض نده در طرح اختلاف داشته باشند، به این حالت ایده‌آل بندرت می‌توان رسید. مثال‌های آشنای سازه‌های با ابعاد متغیر که برای تنش‌های ماکریم ثابت (ناتنجایی که امکان دارد) طرح شده‌اند عبارتند از فترهای نواری اتوموبیل‌ها (شکل ۲۹-۸) و خرپاهای پل‌ها (شکل ۳۰-۸) که در بالا و یا پس آنها ورق‌های با طول منتهی قرار دارد.

تیر طرهای شکل ۳۱ - ۸ با سار مت مرکز P در استهای آزاد آن مثالی از طرح  
باحداقل وزن می‌باشد. مقطع عرضی تیر به شکل مستطیل با عرض ثابت b و ارتفاع متغیر h  
می‌باشد. می‌خواهیم تنش عمودی ماکریم در تمام مفاطع ثابت و برابر  $\sigma$  باشد. در این  
صورت در هر یک از مفاطع عرضی باید معادله زیر برقرار باشد:

TY

این نویع تنش در سکل ۲۷-۸ رسم شده است. در این حال خاص متأهده میشود که تنش بررسی در ارتفاع مقطع تیر بطرور یکواخت توزیع شده است. توزیع تنش بررشی بین انتهای جیب نیر تا وسط طول نیر به صورت درجی تغییر میکند نا ایکه در وسط نمایم به صورت یکواخت در می آید.

در انتهای راست تیر ( $x=L$ ) دارم

$$V = P \quad ; \quad h = h_b = 2h_a \quad ; \quad M = PL$$

پس از حایگرینی ایس معادیر در معادله ۳-۸ حاصل می شود

$$\tau = \frac{3P}{8bh_a} \left( 1 + \frac{y_1^2}{h_a^2} \right)$$

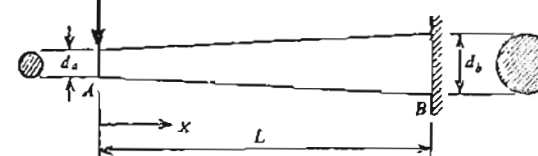
این سوزیع تن شیز در شکل d-۲۷ رسم شده است. توجه کنید که تن شیز بر این مکریم در این مقطع برابر با  $3P/4bh_a$  در لبه های خارجی تیر می باشد. تن شیز بر این مکریم، برابر با نصف تن شیز بر این مکریم، در محل محور خنثی ( $y_1 = 0$ ) رخ می دهد. نتیجه های سرشی در تیر های مستطیلی که یک لبه آنها افقی و لبه دیگر آنها شیب دار است بنابراین همین نتیجه های موجود سخت در بالا بدست می آید.

نشهای عمودی ماکریم در یک تیر منشوری همواره در مقطع لنگر خمی ماکریم رح می دهد. اما در مورد یک تیر غیر منشوری ممکن است این طور نباشد. مثالی که این ایکان را نشان می دهد تیر طرمای با مقطع عرضی دایره شکل  $d = 28$  می باشد. اگر فرض کنیم  $d_b/d_a = 2$  باشد، در این صورت قطر  $d$  تیر در فاصله  $X$  از انتهای چپ تیر برابر

$$d = d_a + (d_b - d_a) \frac{x}{L} = d_a (1 + \frac{x}{L})$$

و ضریب مقطع مربوطه مساوی است با

$$S = \frac{\pi d^3}{32} = \frac{\pi}{32} d_a^3 \left(1 + \frac{x}{L}\right)^3$$



شکل ۲۸۶-۱

۳۷۷

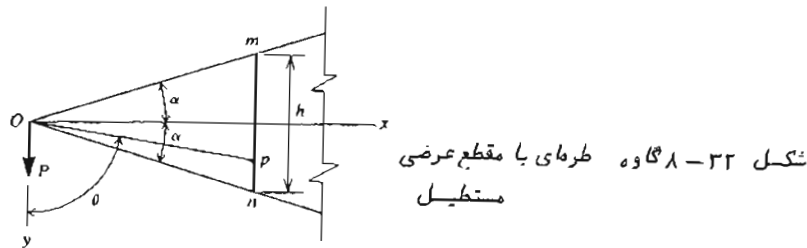
## نتایج دقیق بر اساس تئوری ارحاچی

تئوری ها در یک گاوه طرهای با مقطع عرضی مستطیل (شکل ۸-۲۲) با استفاده از روش های تئوری ارحاچی محاسبه شده اند. تئوری های عمودی و سرشی در نقطه  $p$  ار مقطع عرضی  $mn$  از روابط زیر بدست می آیند (مرجع ۲۶)

$$\sigma = -\frac{Pxy \sin^4 \theta}{bx^3(\alpha - \sin \alpha \cos \alpha)} ; \tau = \frac{Py^2 \sin^4 \theta}{bx^3(\alpha - \sin \alpha \cos \alpha)} \quad (8-36)$$

در این رابطه،  $x$  و  $y$  مختصات نقطه  $p$  ،  $\theta$  زاویه بین خط  $Oy$  و محور  $y$  ،  $b$  ،  $h$  این ساخت گاوه ( ثابت فرسنگی می شود ) و  $\alpha$  زاویه ایست که شب جدارهای گاوه را مشخص می کند. به منظور مقایسه با روابط تئوری های منشوری، روابط فوق را به صورت دیگر می سویم. لذگر خمثی در مقطع عرضی  $mn$  برابر  $M = Px$  و ارتفاع گاوه در همان مقطع ساراین ارتفاع  $h_0$  نیز در محل تکیه گاه برابر است با

$$I = \frac{bh^3}{12} = \frac{2bx^3 \tan^3 \alpha}{3}$$



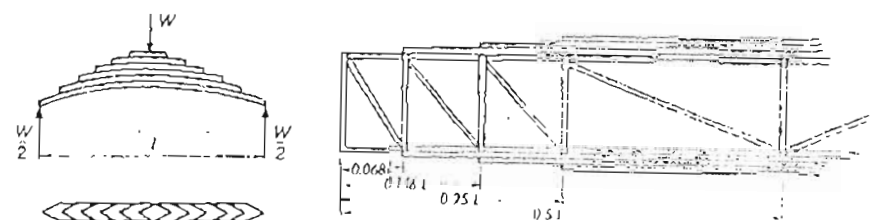
پس از جایگزینی عبارات های  $M$  ،  $h$  و  $I$  در معادلات ۸-۳۶ خواهیم داشت

$$\sigma = -\frac{My}{I} \frac{2\tan^3 \alpha \sin^4 \theta}{3(\alpha - \sin \alpha \cos \alpha)} \quad (8-37)$$

$$\tau = \frac{P}{bh} \frac{8y^2 \tan^3 \alpha \sin^4 \theta}{h^2(\alpha - \sin \alpha \cos \alpha)} \quad (8-38)$$

۳۷۶

$$\sigma_w = \frac{M}{S} = \frac{6M}{6h^2} = \frac{6Px}{bh^2}$$



شکل ۸-۲۹

شکل ۸-۳۰

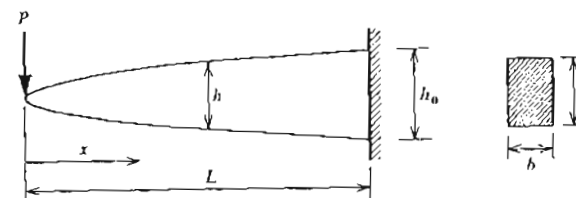
سازه ای ارتفاع  $h_0$  نیز در محل تکیه گاه برابر است با

$$h_0 = \sqrt{\frac{6PL}{b\sigma_w}}$$

وارتفاع هر یک از مقاطع عرضی دیگر مساویست با

$$h = \sqrt{\frac{6Px}{b\sigma_w}} = h_0 \sqrt{\frac{x}{L}}$$

این معادله نشان می دهد که ارتفاع نیز با  $x$  به صور یک سهمی تغییر می کند و در نتیجه شکل کلی تیر مطابق شکل ۸-۳۱ می باشد. مساحت مقطع عرضی تیر در انتهای بار شده آن برابر صفر است زیرا در این مکان فقط تئوری های عمودی ساشه ای از خمث در نظر گرفته شده اند. البته در این نقطه تنش سرشی نیز وجود دارد و مقطع عرضی تیر در عمل باید برای انتقال نیروی برشی سیز سطح کافی داشته باشد.



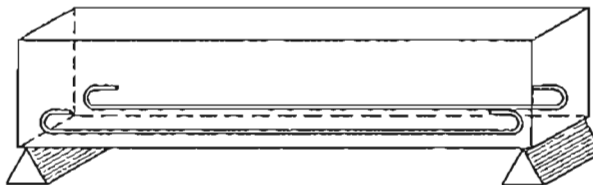
شکل ۸-۳۱

۳۷۹

## ۸-۹ تیرهای چند ماده‌ای

### ۱-۹-۱ تنش‌های عمودی در تیرهای چند ماده‌ای

تیرهایی که از بیش از یک نوع مصالح ساخته شده‌اند به نیرهای چند ماده‌ای موسوم می‌باشد. مثال‌های تیرهای چند ماده‌ای عبارتند از تیرهای دو فلزی ( تیرهایی که از متصل کردن دو نوع فلز ساخته می‌شوند ) ، تیرهای بشن مسلح ( شکل ۸-۳۲ ) و تیرهای ساندویچی ( شکل ۸-۳۶ ، بخش ۲-۹-۸ را ببینید ). برای تحلیل این نوع تیرها



شکل ۸-۳۶

می‌توان از تئوری خمن سخن ۱-۸ استفاده نمود. چون بدون توجه به اینکه تیر از یک یا چند نوع مصالح ساخته شده باشد مقاطع عرضی آن در خمن خالص سطح باقی می‌ماند، تغییرات کرنش در یک تیر مرکب از بالاتا پایین تیر خطی می‌باشد ( معادله ۸-۲ را ببینید ). برای مثال، این توزیع تنش برای تیر مستطیلی شکل ۸-۲۴a را در دو نوع مصالح ساخته شده است در شکل ۸-۳۶-۸ رسم شده است. محل محور خمن در ابتداء معلوم نیست بجز در موردی که مقطع عرضی دارای تقارن متعاقب می‌باشد که در این صورت محور خمنی در وسط ارتفاع تیر قرار دارد.

تنش‌های عمودی در مقطع را می‌توان با ضرب سودن کرنشها در ضرب ارجاعی مصالح مربوطه بدست آورد. در مثال شکل ۸-۳۶-۸ مرض می‌شود که ضرائب ارجاعی دو نوع مصالح که با شماره‌های ۱ و ۲ مشخص شده‌اند به ترتیب  $E_1$  و  $E_2$  باشد. با فرض نمودار تنش شکل ۸-۳۶-۸ بدست می‌آید. تنش عمودی  $\sigma_x$  در فاصله  $y$  از محور خمنی برای مصالح ۱ و ۲ از روابط زیر حاصل می‌شود ( با معادله ۸-۵ مقایسه کنید ) .

$$\sigma_{x_1} = KE_1y \quad ; \quad \sigma_{x_2} = KE_2y \quad ( 8-42 )$$

محل محور خمنی را با توجه به اینکه نیروی محوری برابر در مقطع عرضی باید برابر صفر باشد می‌توان بدست آورد.

۳۷۸

تنش عمودی  $\sigma$  در محور خمنی ( $y=0$ )  $= \theta/2$  (  $\theta$  را برابر مفروض در لبه حارجی تیر ماقزیم می‌سازد. این تنش در بالای نیر ( $y=-h/2$ )  $= -\theta/2$  (  $\theta = \alpha + \pi/2$  ) برابر است با

$$\sigma_{max} = \frac{Mh}{2I} \frac{2\tan^3\alpha\cos^4\alpha}{3(\alpha-\sin\alpha\cos\alpha)} = \beta \frac{Mh}{2I} \quad ( 8-39 )$$

ضریب  $\beta$  برای مقادیر زاویه  $\alpha$  برابر با  $0^\circ, 5^\circ, 10^\circ, 15^\circ, 20^\circ$  به ترتیب مساوی  $1, 0.970, 0.947, 0.906$  و  $0.890$  می‌باشد. بدین ترتیب متابه می‌کنیم که برای زوایای کوچک جدارهای فوکانی و تحنانی، بین تنش‌های محاسبه شده از تئوری دقیق و تیرهای بدست آمده از فرمول تیر  $M = My/I$  اختلاف کمی وجود دارد.

تنش برشی ۲ ( از معادله ۸-۳۸ ) در محور خمنی ( $y=0$ ) برابر مفراست. ماقزیم تنش برشی در لبه‌های حارجی و برابر است با

$$\tau_{max} = \frac{P}{bh} \frac{2\tan^3\alpha\cos^4\alpha}{\alpha-\sin\alpha\cos\alpha} = \gamma \frac{P}{bh} \quad ( 8-40 )$$

ضریب  $\gamma$  برای مقادیر زاویه  $\alpha$  برابر  $0^\circ, 5^\circ, 10^\circ, 15^\circ, 20^\circ$  به ترتیب مساوی  $3, 2.91, 2.84, 2.72$  و  $2.60$  می‌باشد. بدین ترتیب تنش برشی ماقزیم تقریباً سه برابر تنش برشی منوسط  $P/bh$  می‌باشد و در لبه‌های خارجی اتفاق می‌افتد. اگر ما تئوری تقریبی تنش‌های سرشی در یک تیر مستطیلی ( معادله ۸-۳۵ ) را را برای گاوه شکل ۸-۲۶ بکار ببریم، برای مقطع  $m n$  حواهیم داشت

$$V = P \quad ; \quad Q = \frac{b}{2} \left( \frac{h^2}{4} - y_1^2 \right) \quad ; \quad I = \frac{bh^3}{12} \quad ; \quad M = Px \quad ; \quad \frac{dh}{dx} = \frac{h}{x}$$

پس از جایگزینی عبارات فوق در معادله ۸-۳۵ و با توجه به اینکه  $y_1 = y$  بدست می-  
آوریم

$$\tau = \frac{12Py^2}{bh^3} \quad ( 8-41 )$$

این معادله در محور خمنی مقدار  $\tau = 0$  را می‌دهد که با نتیجه دقیق معادله ۸-۳۸ این معادله در محور خمنی مقدار  $\tau = 0$  را می‌دهد که با نتیجه دقیق معادله ۸-۴۱ می‌باشد. معادله ۸-۴۱ در لبه‌های خارجی  $\tau_{max} = 3P/bh$  می‌دهد که برای زوایای کوچک جدارهای تیر با تقریب خوب با معادله ۸-۴۰ مطابقت دارد. بدین ترتیب می‌توان نتیجه گرفت که تئوری تقریبی تنش‌های سرشی در یک تیر غیر منشوری سرای طرح‌های عملی کفايت می‌کند. از طرف دیگر، کار برد فرمول  $\tau = VQ/Ib$  برای تیرهای غیر منشوری به نتایج کاملاً "گمراه" کننده منجر می‌شود.

۲۸۱

توجه کید  $I_1 + I_2 = I$  اکنماور لختی نعام سطح مقطع عرضی می‌باشد. با ترکیب نمودن معادلات ۴-۴۲ و ۴-۴۴ تنشها در تیر بر حسب لنگر خمشی  $M$  دست می‌آیند.

$$\sigma_{X_1} = \frac{MyE_1}{E_1I_1 + E_2I_2}; \quad \sigma_{X_2} = \frac{MyE_2}{E_1I_1 + E_2I_2} \quad (8-45)$$

معادله اول تنشها را در ماده ۱ و معادله دوم تنشها را در ماده ۲ می‌دهد. اگر  $E_1 = E_2 = E$  باشد مشاهده می‌کنیم که هر دو معادله به معادله  $I/My = \sigma_X$  برای تیریک ماده‌ای تبدیل می‌شوند.

### ۱-۹-۳ روش مقطع تبدیل شده

با استفاده از روش مقطع تبدیل شده می‌توان نیزه‌های چند ماده‌ای را بسهولت حل نمود. در این روش تیری که از چند نوع مصالح ساخته شده به نیز معادله از یک نوع ماده تبدیل می‌شود. سپس تیر معادل مانند یک نیز معمولی که از یک نوع ماده ساخته شده حل می‌گردد.

مقطع تبدیل شده باید همان محور خنثی و طرفیت لنگر خمشی تیر اولیه را داشته باشد تا آن معادل گردد. برای پیدا کردن مقطع تبدیل شده باید از معادله ۴-۴۳ را بر  $E_1$  تقسیم می‌کنیم و نسبت  $E_1/E_2$  را با  $n$  نشان می‌دهیم.

$$\int_1 ydA + \int_2 yndA = 0 \quad (8-46)$$

این معادله نشان می‌دهد اگر هر عنصر سطح  $dA$  در ماده ۲ را در ضریب  $n$  ضرب کنیم، به شرط اینکه فاصله  $y$  عنصر سطح مزبور تغییر نکند، محل محور خنثی مقطع تیر تغییر نخواهد کرد. به عبارت دیگر، مقطع عرضی را می‌توانیم شامل دو قسمت فرض کنیم: (الف) - سطح ۱ در حالت اولیه اش و (ب) - سطح ۲ که عرض آن در  $n$  ضرب شود. بدین ترتیب ما مقطع عرضی جدیدی داریم که از یک نوع ماده، یعنی ماده ۱، تشکیل شده است.

مقطع تبدیل شده سرای تیر شکل ۲۴-۸ در شکل ۲۴-۸ نشان داده شده است. ماده ۱ بدون تغییر باقی مانده ولی عرض ماده ۲ در  $n$  ضرب شده است (در این مثال  $n > 1$  فرض شده است ولی این شرط لازمی نیست). اکنون ما می‌توانیم مقطع

۲۸۰

$$\int_1 \sigma_{X_1} dA + \int_2 \sigma_{X_2} dA = 0$$

در این رابطه، انتگرال اول در روی سطح مقطع عرضی ماده ۱ و انتگرال دوم در روی سطح مقطع عرضی ماده ۲ محاسبه می‌شود. اگر تنشهای  $\sigma_{X_1}$  و  $\sigma_{X_2}$  را از معادلات ۴-۴۲ در این رابطه جایگزین کسی خواهیم داشت

$$E_1 \int_1 ydA + E_2 \int_2 ydA = 0 \quad (8-43)$$

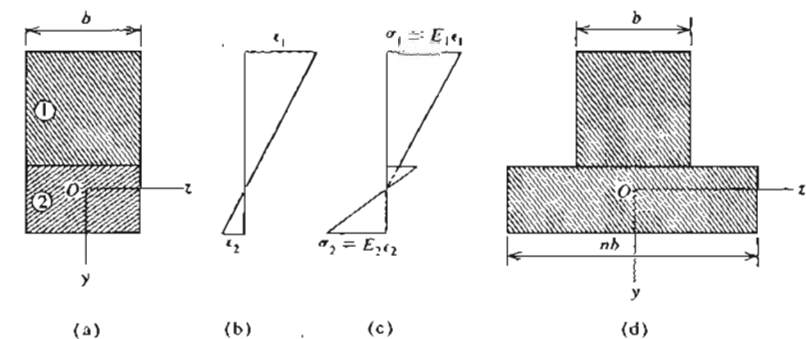
از این معادله که شکل کلی معادله ۶-۸ می‌باشد می‌توان برای تعیین محل محور خنثی نیز شکل ۲۴-۸ استفاده نمود. برای تیرهایی که از بیش از دو نوع مصالح ساخته شده‌اند از رابطه‌ای شبیه رابطه موقولی با حلات بیشتر می‌توان استفاده کرد. استفاده از رابطه ۸-۴۳ مشکل بست زیرا انتگرال‌ها معرف گشتاورهای اول قسمت‌های مختلف سطح مقطع عرضی می‌باشد.

رابطه بین لنگر خمشی  $M$  و تنش‌های عمودی با همان روش مورد استفاده برای معادله ۷-۸ دست می‌آید.

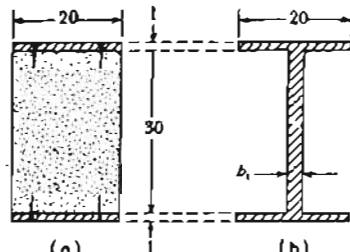
$$M = \int \sigma_X ydA = \int_1 \sigma_{X_1} ydA + \int_2 \sigma_{X_2} ydA = KE_1 \int_1 y^2 dA + KE_2 \int_2 y^2 dA \quad (8-44)$$

$$= K(E_1 I_1 + E_2 I_2)$$

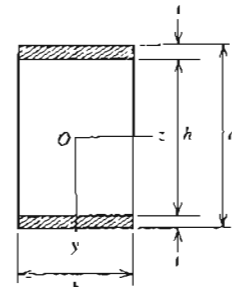
۱-۲ در این رابطه به ترتیب گشتاور لختی سطوح ۱ و ۲ حول محور خنثی می‌باشد.



شکل ۲۴-۸ تیر مركب



شکل ۸-۲۵



شکل ۸-۲۶

حل : اگر نیام مقطع را به فولاد تبدیل کنیم،  $n = E_s/E_w = 1/20$  و مقطع تبدیل شده یک مقطع I با ضخامت جان  $b_1 = b/20 = 1\text{cm}$  (شکل ۸-۲۵ b) خواهد بود . گشته در لختی مقطع تبدیل شده سرا بر است با

$$I = 2 \left[ \frac{20(1)^3}{12} + 20 \times 1(15.5)^2 + \frac{1(15)^3}{3} \right] = 11863 \text{ cm}^4$$

برای پیدا کردن حداکثر لغزشی مجاز، ابتدا باید تعیین کنیم کدامیک از نتش های مجاز عامل تعیین کننده می باشد. نش مجاز در جان غیر تبدیل شده معادله ۸-۴۷ با معادله اول ۸-۴۵ مطابقت دارد و این رونتیجه بی گیریم که نتشها در ماده ۱ تیر اولیه همان نتش های بدست آمده از مقطع تبدیل شده می باشد . اما این نکته در مورد ماده ۲ تیر اولیه درست نمی باشد . مقادیر معادله ۸-۴۷ با معادله ۸-۴۵ می دهد که نتش های در تیر تبدیل شده را باید در ۷ ضرب مود ناشی از ماده ۲ سیر اولیه بدست آید .

$$M_{\max} = \frac{I}{c} \sigma_s = \frac{11863}{15+1} (1120) = 830410 \text{ cmKg} = 8304 \text{ mKg}$$

### ۸-۹ - تیرهای ساندویچی

یک تیر ساندویچی شامل یک هسته صخیم می باشد که در بالا و پایین آن دو لایه نازک از مصالح دیگر موسوم به رویه های تیر قرار دارد (شکل ۸-۲۶). هسته تیر معمولاً از ماده سبک و کم مقاومت می باشد که به عنوان برگشته عمل می کند ، ولی رویه های تیر از ماده با مقاومت زیاد می باشند . مقاطع ساندویچی در جایی که مقاومت زیاد تر از وزن کم مطلوب است ( مثلاً بدن هواپیماها ) بکار می رود . برای محاسبه تیرهای ساندویچی چون ضریب ارتفاعی هسته در امتداد طول تیر

تبدیل شده را به صورت ترسی سامل بخط سک نوع ماده در نظر بگیریم . همانطوریکه از معادله ۸-۴۶ دیده می شود، محور خنثی مقطع تبدیل شده در همان محل محور خنثی تیر اولیه (شکل ۸-۲۶ a) می باشد . بعلاوه، ظرفیت لگز خنثی مقطع تبدیل شده همان طرفیت لگز خنثی مقطع اولیه خواهد بود . این نکته را با نوجه به اینکه برای مقطع تبدیل شده  $\sigma_x = KE_1 y$  می باشد می توانیم سهولت نات کنیم .

$$\begin{aligned} M &= \int \sigma_x y dA = \int_1 \sigma_x y dA + \int_2 \sigma_x y dA = KE_1 \int_1 y^2 dA + KT_1 \int_2 y^2 dA \\ &= K(E_1 I_1 + E_1 n I_2) = K(E_1 I_1 + E_2 I_2) \end{aligned}$$

این نتیجه با معادله ۸-۴۴ مطابقت دارد . نتش های در مقطع تبدیل شده را می توان سا فرمول معمولی نتش در تیرها پیدا کرد زیرا ترس معادل فقط از یک نوع ماده تشکیل شده است .

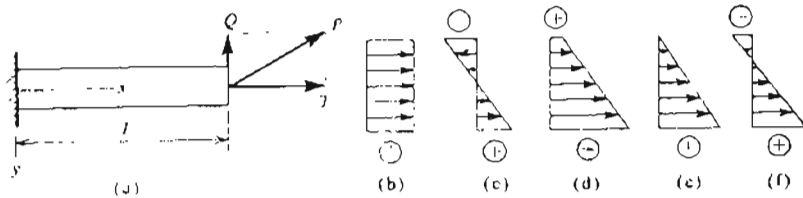
$$\sigma_{x_1} = \frac{My}{I_t} \quad (8-47)$$

I در این رابطه گشتاور لختی مقطع تبدیل شده حول محور حسی می باشد (  $I_t = I_1 + n I_2$  ) . معادله ۸-۴۷ با معادله اول ۸-۴۵ مطابقت دارد و این رونتیجه بی گیریم که نتشها در ماده ۱ تیر اولیه همان نتش های بدست آمده از مقطع تبدیل شده می باشد . اما این نکته در مورد ماده ۲ تیر اولیه درست نمی باشد . مقادیر معادله ۸-۴۷ با معادله ۸-۴۵ می دهد که نتش های در تیر تبدیل شده را باید در ۷ ضرب مود ناشی از ماده ۲ سیر اولیه بدست آید .

روش مقطع تبدیل شده را می توان به سهولت در مورد تیرهای مرکب از چند نوع ( بین از دو نوع ) مصالح سطداد .

### مثال ۸-۵

یک تیر چوبی با مقطع عرضی مستطیل به ابعاد  $20 \times 30\text{cm}$  بوسیله دورق مولا دی در بالا و پایین آن تقویت شده است (شکل ۸-۲۵ a) . ضرایب ارتحامی فولاد و چوب به ترتیب  $E_w = 2 \times 10^6 \text{ Kg/cm}^2$  و  $E_s = 10^5 \text{ Kg/cm}^2$  و  $\sigma_w = 84 \text{ Kg/cm}^2$  و  $\sigma_s = 1120 \text{ Kg/cm}^2$  می باشد . حداکثر لغزشی مجاز را برای مقطع مذبور تعیین کنید .



شکل ۸-۳۲-۸ خمس تواام با بار محوری

سردی ۳ گردد. این سرو در آن موقع لنگرهای خمثی اضافی در تیر ایجاد خواهد کرد و در نتیجه سه اثر نیروی محوری و اثر لنگر خمثی تا تیر متفاصل وجود دارد (این حالت در فصل ستون ها و کتابش مورد سخت قرار خواهد گرفت). در این بخش فقط تیرهای نسبتاً سخت که شرایط فرم (الف) در آنها صادق است مورد سخت قرار خواهد گرفت.

تنشی های برآیند در هر مقطع عرضی تیر شکل ۸-۳۲-۸ با ترکیب نمودن تنشی های محوری ساشی از T و تنشی های خمثی ناشی از Q بدست می آید. توزیع تنشی های ناشی از این دو نیرو بطور جداگانه در شکل های ۸-۳۲-۸ و ۸-۳۲-۹ رسم شده اند. تنشی های نهایی که در شکل ۸-۸ نشان داده شده است از معادله زیر بدست می آید:

$$\sigma = \frac{N}{A} + \frac{My}{I} \quad (8-50)$$

در این رابطه، N نیروی محوری و M لنگر خمثی در مقطع عرضی مورد نظر می باشد. برای نسی طریق شکل ۸-۳۲-۸ داریم  $N = T$  و  $M = Q(L-x)$ . توجه کنید N وقتی مشتب است که کش ایجاد کرد و M وقتی مشتب است که در پایین تیر کشش و در بالای تیر فشار ایجاد کرد. تحت این شرایط، علامت تنش عمودی σ در معادله ۸-۵۰-۸ برای کشش مشتب و برای فشار منفی خواهد بود. توزیع تنش سهائی به مقادیر جبری نسبی جملات در معادله مذبور بستگی خواهد داشت. نوزیع تنش ممکن است جناب باشد که تمام مقطع عرضی تحت کش (مطابق شکل ۸-۳۲-۸) قرار گیرد، یا توزیع تنش ممکن است مشتب باشد (شکل ۸-۳۲-۹)، یا قسمتی از مقطع ممکن است تحت کشش و قسمتی دیگر از آن تحت فشار باشد (شکل ۸-۳۲-۱۰) و با اگر نیروی محوری N فشاری باشد تمام مقطع ممکن است تحت فشار قرار گیرد. در همه این حالات خمس تواام با بار محوری واضح است که محور خنثی مقطع عرضی (یعنی خطی که در آن تنش صفر است) دیگر از مرکز سطح عبور نمی کند و حتی ممکن است خارج از مقطع قرار بگیرد.

در مقابله با رویه ها کم است، می توان فرض نمود که رویه ها تمام تنش های خمثی طولی را تحمل می کنند. در این صورت تنش های عمودی در لبه های خارجی تیر از روابط زیر بدست می آیند (شکل ۸-۳۶-۸ را بینید) :

$$\sigma_x = \frac{Md}{2I_f} \quad (4-48)$$

در این فرمول تغرسی  $I_f = bt(h+t)^2/2$  گشتاور لختی رویه ها نسبت به محدود ۲ می باشد. چون رویه ها سارک هستند می بوان فرص نمود که هسته نیر تمام تنش های برشی را حمل می نماید. در این صورت نش و کرشن برشی متوسط در هسته از روابط زیر بدست می آیند :

$$\tau = \frac{V}{bh} ; \quad \gamma = \frac{V}{bhG_c} \quad (8-49)$$

در این رابطه، V نیروی برشی و G صریب ارجاعی برشی ماده هسته می باشد.

## ۸-۱۵ خمس تواام با بار محوری

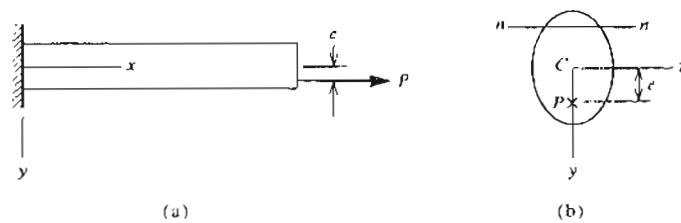
### ۸-۱۵-۱ اثر تواام بارهای خمثی و نیروهای محوری

اگون تحلیل تیرهای را بررسی می کیم که تحت اثر تواام بارهای خمثی و نیروهای محوری قرار دارند. مثال ساده ای از این نوع بار گذاری در شکل ۸-۳۷-۸ مشاهده می شود که یک تیر طریق را با یک سیروی مایل P در انتهای آزاد آن نشان می دهد. این بار را می توان به دو مؤلفه تجزیه نمود یکی نیروی عرضی Q که ایجاد خمس ممکن دیگری نیروی محوری آن. برای تعیین تنش های ایجاد شده در میله لازم است که بین دو حالت ممکن فرق گداشته شود : (الف) - طول تیر در مقایسه با ارتفاع مقطع عرضی آن نسبتاً "کوتاه می باشد بطوریکه تیر در خمث نسبتاً" سخت است. در این صورت تغییر شکل جانبی تیر کوچک خواهد بود و تغییر ناچیزی در خط اثر نیروی محوری خواهد داشت. در این حالت می توانیم تنش های ناشی از T و Q را مستقل از یکدیگر بدست آورده و با یکدیگر جمع کیم. (ب) - تیر ممکن است نسبتاً "باریک و انعطاف پذیر باشد". تغییر شکل های خمثی در این حالت ممکن است آنقدر زیاد باشد که باعث تغییر خط اثر

۳۸۷

حالت حاصل از حمایت نوام با نیروی محوری که در عمل مورد نوچه می‌باشد حال بار محوری خارج از مرکز است (شکل ۸-۲۹ a). عمل نیروی خارج از مرکز معادل است با سیروی  $P$  که در مرکز سطح مقطع عرضی انگشت علاوه لکر خمی برابر با  $Pe_y$  است. این رونش در هر نقطه مقطع عرضی برابر است با

$$\sigma = \frac{P}{A} + \frac{Pe_y}{I} \quad (8-51)$$



شکل ۸-۲۹

معادله محور خنثی (خط  $\gamma\gamma$  در شکل ۸-۲۹ b) را می‌توان با مساوی صفر قرار دادن در معادله ۸-۵۱ آورد. بنابراین

$$\sigma = -\frac{I}{Ae} \quad (8-52)$$

معادله خطی است که در آن تنش صفر می‌باشد. علامت منفی در این معادله نشان می‌دهد موفعی که بک سیروی کنشی در زیر محور  $z$  می‌باشد محور خنثی در بالای محور  $z$  قرار دارد. اگر خروج از مرکز  $e$  کاهش یابد، محور خنثی از مرکز سطح دور خواهد شد و اگر  $e$  افزایش یابد، محور خنثی به مرکز سطح نزدیک می‌شود.

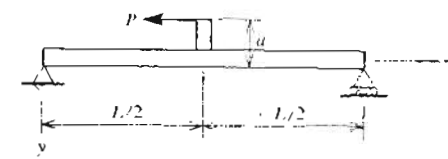
موضعی که نقطه اثر سیروی کنشی خارج از مرکز  $P$  در روی یکی از محورهای اصلی مقطع عرضی قرار ندارد، خمی بطور همزمان حول محورهای اصلی صورت خواهد گرفت. اگر مختصات نقطه اثر  $P$  را با  $e_y$  و  $e_z$  مشخص کیم (شکل ۸-۴۰ a)، لکر های خمی حول محورهای  $y$  و  $z$  بطور عددی به ترتیب برابر  $Pe_z$  و  $Pe_y$  خواهد بود. در این صورت تنش عمودی برآیند در نقاطی از مقطع عرضی به مختصات  $y$  و  $z$  برابر است با

$$\sigma = \frac{P}{A} + \frac{Pe_z z}{I_y} + \frac{Pe_y y}{I_z} \quad (8-53)$$

۳۸۶

## مثال ۶-۴

نیز ساده‌ای نامقطع عرضی مستطیل به عرض  $a$  و ارتفاع  $h$  با  $P$  را مطابق شکل ۸-۲۸ نحمل می‌کند. با عرض اینکه فاصله  $2h = a$  باشد، تنش‌های کششی و فشاری ماکزیمم را در نیز تعیین کنید.



شکل ۸-۲۸

حل: لکر خمی در وسط دهانه سر ماکزیمم و سروی فشاری محوری در نیمه جب نیز براسر  $P$  است. سایرین نیروی محوری و لکر خمی در مقطعی سه فاصله کوچک از وسط دهانه نیز و در سمت جب آن عبارتند از

$$N = -P \quad ; \quad M = \frac{Pa}{2} = Ph$$

تنش‌های  $\sigma_y$  در لبه پایین نیز ( $y=h/2$ ) و  $\sigma_z$  در لبه بالای نیز ( $y=-h/2$ ) استفاده از رابطه ۵-۵۰ مجاہد می‌سوند

$$\sigma_b = -\frac{P}{bh} + \frac{6P}{bh} = \frac{5P}{bh} \quad ; \quad \sigma_t = -\frac{P}{bh} - \frac{6P}{bh} = -\frac{7P}{bh}$$

نشها در یک مقطع عرضی درست در سمت راس وسط نیز (در جایی که  $M=-Ph$  است) سر مطور متمایز دست می‌آیند.

$$\sigma_b = -\frac{6P}{bh} \quad ; \quad \sigma_t = \frac{6P}{bh}$$

با مقایسه این تنش‌های مختلف مشاهده می‌کنیم که تنش کنشی ماکزیمم در تبر براسر  $6P/bh$  و سرس فشاری ماکزیمم در تبر براسر  $7P/bh$  است.

۳۸۹

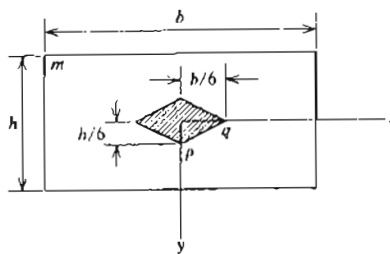
نقطه R ( محل تقاطع دو خط منقطع در شکل ۸-۴۰ ) همواره بر سرور حشی  $nn$  واقع خواهد بود . ساراین همچنانکه سار P در طول خط  $mm$  حرکت می کند ، محل نقطه R ثابت نانی می باشد و محور خنثی منقطع همواره از این نقطه عبور خواهد کرد .

### ۸-۱۰-۳ هسته بک مقطع عرضی

موفعی که خروج از مرکز بار محوری P ( شکل ۸-۳۹ ) کوچک است ، محور خنثی در خارج مقطع عرضی نرار خواهد گشت . این بدان معنی است که نترهای عمودی در سراسر مقطع عرضی علامت بکان خواهد داشت . در حالی که بار محوری بر مادهای با مقاومت کشته خیلی ضعیف مانند سن اثر می کند ، ساید مطمئن شد که در هیچ نقطه از مقطع عرضی کشن ابحاد نمی شود . ناحیه کوچکی در حوالی مرکز سطح وجود دارد که اگر بار نشاری P در آن وارد شود سام مقطع عرضی تحت فشار قرار خواهد گرفت . این ساده موسوم به هسته مقطع عرضی می باشد .

### مثال ۸-۲

هسته یک مقطع عرضی مستطیلی را پیدا کنید .



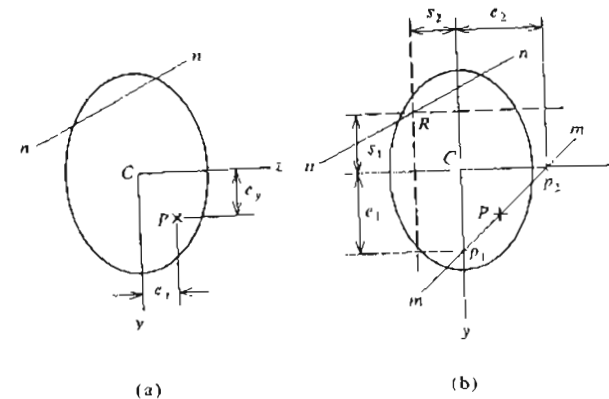
شکل ۸-۳۱ هسته یک مقطع عرضی مستطیلی

حل : اگر سار در روی قسمت مثبت محور y حرکت کند ( شکل ۸-۴۱ ) موفعی که در نقطه p در فاصله  $e_1$  از مرکز سطح فرار می گیرد ، محور خنثی بر لبه فوقانی مقطع منطبق خواهد شد . با جایگزینی  $y = -h/2$  ،  $A = bh^2/12$  ،  $I_y = bh^3/12$  در معادله ۸-۵۲ مابله  $e_1 = h/6$  بدست می آید . همین طور موقعي که بار P در نقطه q واقع بر فرمت

۳۸۸

در این رابطه ،  $\frac{Ae}{I_z}y + \frac{Ae}{I_y}z + 1 = 0$  ( ۸-۵۴ ) می باشد . هنگامی که P در روی محور z فرار می گیرد و  $y = 0$  برابر صفر مسند . معادله فوقی به معادله ۸-۵۱ تبدیل می شود . در این مورد سیر معادله محور خنثی با مساوی صفر قرار دادن  $0$  بدست می آید .

$$\frac{Ae}{I_z}y + \frac{Ae}{I_y}z + 1 = 0 \quad ( 8-54 )$$



شکل ۸-۴۰

این معادله بر حسب  $y$  و  $z$  خطی می باشد . بنابراین محور خنثی خط مستقیمی مانند خط  $nn$  در شکل ۸-۴۰ می باشد . این خط سه به شکل مقطع عرضی و محل اثر سیروی محوری P ممکن است مقطع عرضی را قطع کند و سا حارج آن قرار بگیرد . محل های تقاطع خط  $nn$  با محورهای  $y$  و  $z$  به ترتیب سا مساوی صفر فرار دادن  $z$  و  $y$  در معادله ۸-۵۴ و حل معادله حاصل بدست می آید .

بین نقطه اثر سیروی P و محل محور خنثی رابطه حالی وحدت دارد ; هنگامی که سیروی P در روی خط مستقیمی مانند  $mm$  حرکت می کند ، محور خنثی حول نقطه ثابت R دوران می نماید ( شکل ۸-۴۰ b ) . سرای انبات این سکته ابتدا سیروی P را به دو مولفه موازی در نقاط  $p_1$  و  $p_2$  تجزیه می کیم . مولفه ای که در  $p_1$  وارد می شود در یک صفحه اصلی خمی فرار دارد و در سینه خط بدون تن ( با شش صفر ) مرسوطه موازی محور  $z$  و در فاصله  $I_y/Ae_2 = I_z/Ae_1$  از محور  $z$  می باشد ( شکل ۸-۴۰ b ) . همین طور مولفه وارد در  $p_2$  حول محور y حسنه احاد می کند و خط بدون تن مرسوطه در فاصله  $I_y/Ae_2 = I_z/Ae_1$  از محور y قرار دارد . هنگامی که هر دو مولفه بطور هم‌مان اثر می کند ،

۳۹۱

کار سطح مقطع سر را به دو سطح مستطیلی با مساحت های  $A_1$  و  $A_2$  تقسیم کنیم و عامله مرکز سطح  $A_1$  و  $A_2$  را از محور  $z$  به سریب  $y_1$  و  $y_2$  می نامیم.

$$c_1 = \frac{\int y dA}{A} = \frac{y_1 A_1 + y_2 A_2}{A_1 + A_2}$$

$$= \frac{\frac{2.5}{2} (7.5)(2.5) + (\frac{7.5}{2} + 2.5)(2.5)(7.5)}{(7.5)(2.5) + (2.5)(7.5)} = 3.75 \text{ cm}$$

$$c_2 = 10 - 3.75 = 6.25 \text{ cm}$$

برای محاسبه گشایش اول ختی سطح مقطع حول محور ختی (I) از قوه محور های موادی استفاده می کنیم.

$$I = \frac{1}{12} (7.5)(2.5)^3 + (7.5)(2.5)(3.75 - \frac{2.5}{2})^2 +$$

$$\frac{1}{12} (2.5)(7.5)^3 + (2.5)(7.5)(6.25 - \frac{7.5}{2})^2 = 332.03 \text{ cm}^4$$

حداکثر تنش عمودی در مقطع C و در تار نهانی می باشد ( $C_2 > C_1$ ). که سوابق است با

$$\sigma_{\max} = \frac{M_{\max} C_2}{I} = \frac{(43200)(6.25)}{332.03} = 813.2 \text{ Kg/cm}^2 \quad (\text{کثی})$$

## مسئله ۲

یک سد چوسی شکل شده است از الوارهای افقی A که روی تیرهای قائم B تکه دارد (شکل ۸-۴۵). تیرهای B به مقطع مرع و در قسمت پایین گیردار هستند. تعیین کبد طول بعد لازم را مقطع سرهای قائم را اگر ارتفاع آب  $h = 1.8 \text{ m}$  و فاصله سرها  $s = 0.90 \text{ m}$  و نش مجاز جوب  $w_s = 35 \text{ Kg/cm}^2$  باشد. ورن مخصوص آب  $\gamma = 1000 \text{ Kg/m}^3$  می باشد.

حل : بار کذا ری در روی تیر به صور مثبتی و لنگر خشی ماکریم در پایین ترین سطح آن می باشد (شکل ۸-۴۶). سا نوجه به اینکه شدت بار در پایین آن  $\gamma h s$  می باشد لنگر خشی ماکریم برابر است با

۳۹۰

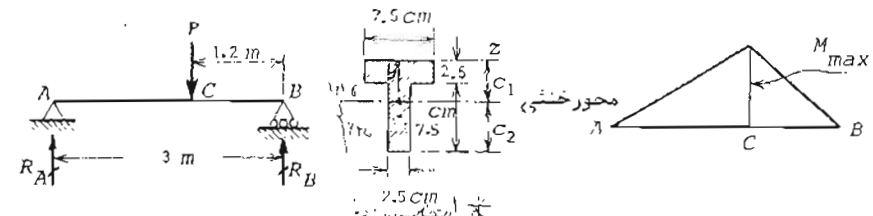
مثبت محور  $z$  و به فاصله  $b/6$  از مرکز سطح فرار می گیرد، محور خشی بر لبه سمت چپ مقطع منطقی حواهد گشت. هنگامی که سار P در روی خط مستقیم ۱۰۴ حرکت می کند، محور خشی حول نقطه ۱۰۳ در گونه مقطع عرضی مستطیلی دوران حواهد مود. با براین خط PQ بکی از اضلاع همه مقطع مریبور می باشد. اصلاح دیگر را در نظر گرفتن سقارن مقطع دست می بدم و ما ماهده می کیم که هسته مقطع عرضی بک لوری به افظار  $b/3$   $a/3$  می باشد. نارما می که سار فشاری P در داخل لوزی مریبور فرار دارد، محور خشی مقطع عرضی را قطع خواهد نمود و تمام مقطع نسبت نسبت فسار خواهد بود.

## ۸-۱۱ مسائل حل شده

$$\frac{b^3}{12} + A y^3$$

$$\text{مشکل ۸-۱}$$

تعیین کبد حد اکثر سش عمودی ناشی از حمّش را در سر ساده شکل ۸-۴۲ و قوى  $P=600 \text{ Kg}$  و سطح مقطع عرضي آن مطابق شکل ۸-۴۳ می باشد.



شکل ۸-۴۲

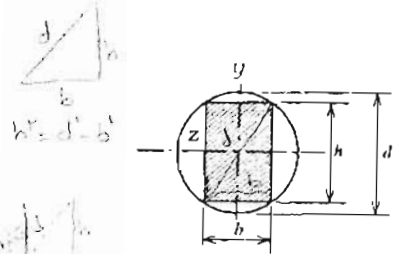
مشکل ۸-۴۳ شکل ۸-۴۲

حل : حداکثر لیگر حمی در مقطع C و سایر این حداکثر تنش عمودی نسز در این مقطع می باشد (شکل ۸-۴۴).

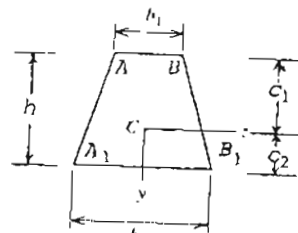
$$M_{\max} = \overline{AC} R_A = (1.8) \left( \frac{1.2}{3} \right) P = 0.72P = 432 \text{ mKg}$$

برای تعیین محل محور حمی از فرمول تعیین مرکز سطح استفاده می کیم. برای این

۳۹۲



شکل ۸-۴۷



شکل ۸-۴۸

قوی ترین تیر باید ببیشترین ضریب مقطع ( $S$ ) را داشته باشد تا مقدار تنشهای عمودی حداقل در آن حداقل شود ( $\sigma_{\max}$ )

$$S = \frac{bh^2}{6} = \frac{b(d^2 - b^2)}{6}$$

ضریب مقطع حول محور  $z$  :

$$\frac{dS}{db} = 0 \Rightarrow d^2 - b^2 + b(-2b) = 0$$

$$b = d/\sqrt{3}$$

$$h = \sqrt{d^2 - b^2} \Rightarrow h = \sqrt{\frac{2}{3}} d$$

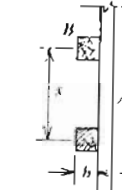
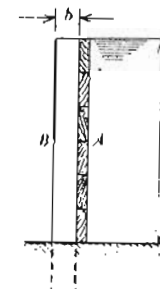
(۱) از این قسمت نیز تنشهای بزرگتر نباشند.

### مسئله ۸

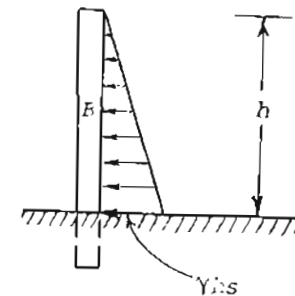
یک تیر منشوری با مقطع ذوزنقه‌ای تحت خمین خالع فرار دارد (شکل ۸-۴۸). بالای تیر تحت فشار و پایین آن تحت کشش است. اگر تنشهای مجاز در کشش و فشار به نسبت  $\frac{\sigma_t}{\sigma_c} = \beta$  باشد سمت  $\frac{b_1}{b_2}$  را جان بساید که وزن تیر حداقل باشد.

ارتفاع مقطع را نات فرض کنید.

۳۹۲



شکل ۸-۴۵



شکل ۸-۴۶

$$M_{\max} = \frac{1}{2} (h)(\gamma hs) \left( \frac{h}{3} \right) = \frac{\gamma h^3 s}{6}$$

سُن عمودی ماکریم در مقطع لگر حجمی ماکریم برابر است با

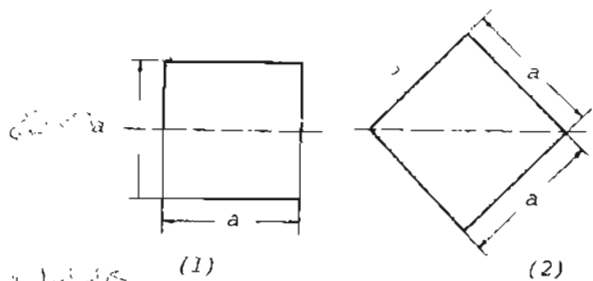
$$\sigma_w = \frac{M_{\max} c}{I} = \frac{\frac{\gamma h^3 s}{6} \frac{b}{2}}{\frac{1}{12} b^4} = \frac{\gamma h^3 s}{b^3}$$

$$b = h \sqrt[3]{\frac{\gamma s}{\sigma_w}} = 180 \sqrt[3]{\frac{(1000)(90)}{10^6 (35)}} = 24.66 \approx 25 \text{ cm}$$

### مسئله ۹

از یک قطعه درخت به قطر  $d$  باید یک تیر چوبی با مقطع مریع مستطیل ببریده شود (شکل ۸-۴۷). ابعاد تیر ( $b$  و  $h$ ) چقدر باید باشد تا قوی ترین تیر را داشته باشیم؟

حل : در طرح شرها عالباً تنشهای عمودی عامل تعیین‌کننده می‌باشد. از این‌رو



شکل ۸-۴۹

$$\text{ضریب مقطع در حالت ۱ مساوی است با} \\ S_1 = \frac{I_{11}}{c_1} = \frac{\frac{1}{12}a^4}{\frac{1}{2}a} = \frac{1}{6}a^3$$

ضریب مقطع در حالت ۲ برابر است با ( مقطع مزبور را مجموعه‌ای از دو مثلث فرضی کنیم و از حداول پیوست ۱ کاب استفاده می‌کنیم )

$$S_2 = \frac{I_{22}}{c_2} = \frac{\frac{2}{12}(\frac{\sqrt{2}}{2}a)(\frac{a}{\sqrt{2}})^3}{\frac{a}{\sqrt{2}}} = \frac{\sqrt{2}}{12}a^3$$

نسبت لنگرهای ماکریم در دو وضعیت ۱ و ۲ برابر است با

$$\frac{M_{\max 1}}{M_{\max 2}} = \frac{\sigma_w S_1}{\sigma_w S_2} = \frac{S_1}{S_2} = \frac{\frac{1}{6}a^3}{\frac{\sqrt{2}}{12}a^3} = \sqrt{2}$$

توجه کنید گستاورهای لختی در دو حالت مساوی می‌باشد ( $I_{11} = I_{22}$ ) ولی  $c_1 < c_2$  توجه کنید نسبت لنگرهای ماکریم را که تبری با مقطع مربع در دو وضعیت مختلف شکل ۸-۴۹ می‌تواند تحمل کند به شرط اینکه در هیچ حالتی نش از نس محار تحاویز کند. فرض کنید خمس در حول محور افقی ( خط چمن ) صورت می‌گیرد.

## مسئله ۸-۶

یک تراکتور عربه از روی بلی که از دو سیر موازی تشکیل شده است عبور کند

حل : وزن سیر و فنی حداقل جواهد بود که سی فشاری ماکریم در سار  $AB$  هم زمان با نشانه‌کنی ماقریم در نار  $B_1B_2$  به مقادیر محاذ رسید. اگر  $C$  مرکز سطح دوزقه ماند فواصل  $c_1$  و  $c_2$  از رواطر بر بدست می‌آید ( سا اسفاده از پیوست ۱ کاب ) :

$$c_1 = \frac{h(b_1 + 2b_2)}{3(b_1 + b_2)} ; \quad c_2 = \frac{h(2b_1 + b_2)}{3(b_1 + b_2)} \quad (1)$$

نشانه‌کنی ماقریم سرایر است با

$$(\sigma_c)_{\max} = \frac{M_{\max} c_1}{I_z} \quad (2)$$

نشانه‌کنی ماقریم سرایر است با

$$(\sigma_t)_{\max} = \frac{M_{\max} c_2}{I_z} \quad (3)$$

ارتفاعی نمودن روایت ۲ و ۳ بر بکدیگر و با استفاده از روایت ۱ خواهیم داشت

$$(\sigma_t)_{\max} = \frac{c_2}{c_1} = \frac{2b_1 + b_2}{b_1 + 2b_2} = \beta$$

$$\frac{2 \frac{b_1}{b_2} + 1}{\frac{b_1}{b_2} + 2} = \beta ; \quad \frac{b_1}{b_2} = \frac{2\beta - 1}{2 - \beta}$$

## مسئله ۸-۵

تعیین کنید نسبت لنگرهای ماکریم را که تبری با مقطع مربع در دو وضعیت مختلف شکل ۸-۴۹ می‌تواند تحمل کند به شرط اینکه در هیچ حالتی نش از نس محار تحاویز کند. فرض کنید خمس در حول محور افقی ( خط چمن ) صورت می‌گیرد.

حل : اگر نش اس محار را  $M_{\max}$  بسازیم حداقل لنگر خمسی که سک نقطعی بین نوارهای تحمل کند برابر است با

$$M_{\max} = \sigma_w S$$

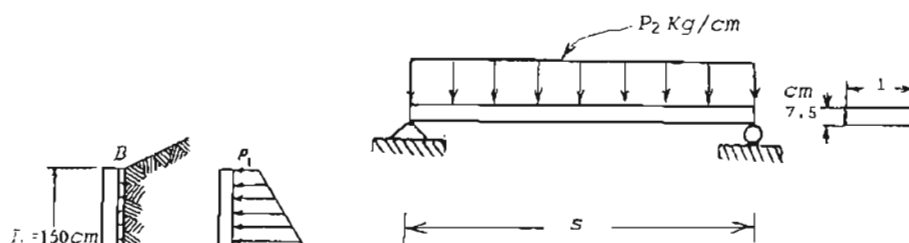
۲۹۷

ستارایین ضرب مقطع لازم برابر است با

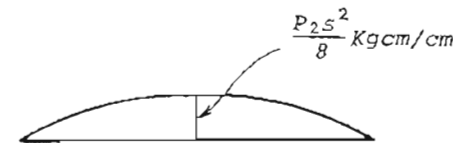
$$S = \frac{M_{\max}}{\sigma_w} = \frac{288900}{1120} = 258 \text{ cm}^3$$

مسئله ۸-۷

دیوار حائلی سرای گهداسن یک حاکربر سنتکل شده نسبت ارتفاعهای چوی به فظر ۳۰ cm که در پشت آنها الوارهای به صفات ۰.۵ cm در دارد ( مطابق سکل ۸-۵۲ ) . فرض می شود که فشار خاک بر دیوار حائل مطابق سکل به دورب دوزندهای برابر که در آن  $P_1 = 500 \text{ Kg/cm}^2$  و  $P_2 = 2000 \text{ Kg/m}^2$  همچنین فرض می شود که الوارها در بین سمعهای مانند نیرهای ساده عمل کند و نتش مجاز در خمین سرای الوارها و شمعهای  $\sigma_w = 84 \text{ Kg/cm}^2$  باشد . فاصله مناسب بین شمعهای چقدر است ؟



شکل ۸-۵۲



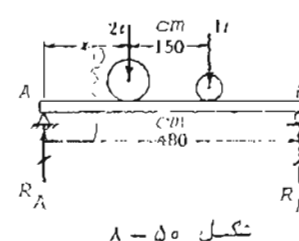
نمودار لگزخمی الواری که در پائین ترین نقطه قرار دارد .

شکل ۸-۵۳

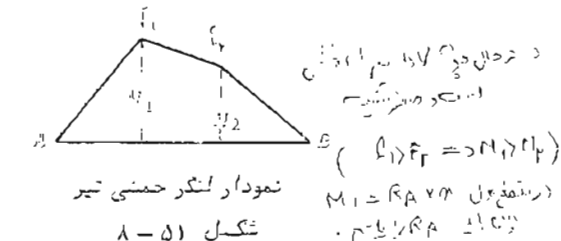
حل : فاصله بین شمعهای را  $s$  فرض می کنیم . بار وارد بر الوارها در طول دهانه

۲۹۶

( شکل ۸-۵۰ ) ، فاصله بین محورهای تراکتور  $150 \text{ cm}$  و سار محورهای عقب و حلقوی آن به نسبت ۴ و ۲ می باشد . اگر شش مجاز مصالح نسرا  $L_a = 1120 \text{ Kg/cm}^2$  باشد . ضرب مقطع ( $S$ ) لازم برای هر یک از سیرها را ب اکد .



شکل ۸-۵۰



شکل ۸-۵۱

حل : فاصله چرخ عقب تراکتور از نکته گاه A را  $x$  می نامیم . منحنی لگزخمی تیر مذبور مطابق سکل ۸-۵۱ است . لگزخمی ماکریم در ریز بکی از چرخ های مباید و ما باید تعیین کنیم فض حرکت سرآکور در روی پل ( یا تعییر  $x$  ) چه موقع بشترین لگزخمی حاصل می شود . سرای این کار می باید  $M_1$  و  $M_2$  را بر حسب  $x$  تعیین کنیم و ماکریم نوعی  $(x)$  و  $(M_1)$  را بسازیم . ولی چون بار چرخ عقب دو برابر بار چرخ خلو می ساند ماکریم  $(x)$  از ماکریم  $(M_2)$  بیشتر خواهد شد و ما کافی است فقط ماکریم  $(x)$  را تعیین کیم .

$$\Sigma M_E = R_A = \frac{2(480-x)+1(480-x-150)}{480} = \frac{430-x}{160}$$

$$M_1 = R_A x = \frac{430x-x^2}{160} \quad \text{برابر ب سمعه اول است .}$$

$$\frac{dM_1}{dx} = 0 \implies 430 - 2x = 0 \quad x = 215 \text{ cm}$$

$$(M_1)_{\max} = \frac{(430)(215) - (215)^2}{160} = 288.9 \text{ cm t}$$

۳۹۹

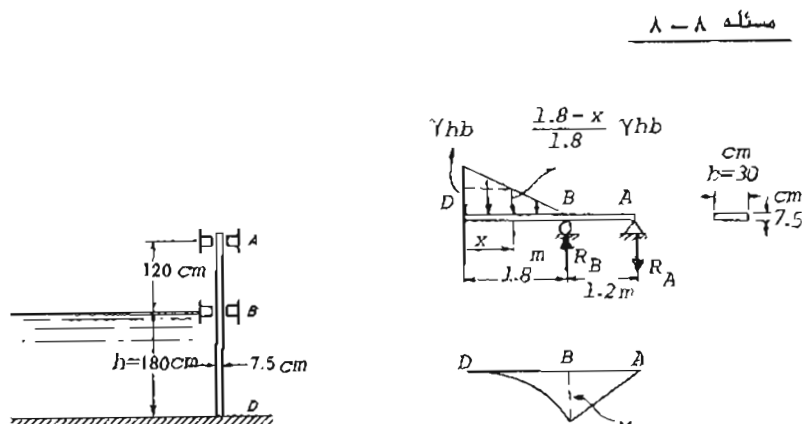
$$\sigma'_{\max} = \frac{M}{S} = \frac{\frac{(2P_1+P_2)L^2s}{6}}{\frac{\pi d^3}{32}} = \frac{16(2P_1+P_2)L^2s}{3\pi d^3}$$

اگر نیش ماکریم برای سین محاز اخبار سود حداقل فاصله بین شمع ها بتس می آید.

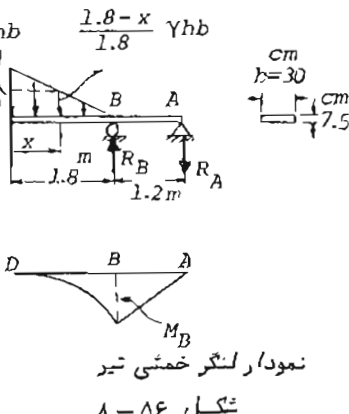
$$s_{\max} = \frac{3\pi d^3 \sigma_w}{16(2P_1+P_2)L^2} = \frac{3\pi (50)^3 84}{16(1000 + \frac{2000}{10000}) 150^2} = 198 \text{ cm} \quad (2)$$

با مقاسه رابط ۱ و ۲ نتیجه می شود که فاصله مناسب بین شمع ها  $177 \text{ cm}$  می باشد. اگر فاصله شمع ها از این مقدار تجاوز کرد تنش در الوارها از مقدار نیش محاذ تجاوز خواهد کرد.

سوچه کبد در دامنه حسم الوارها خمن نا متقارن می باشد ولی چون عرض آنها کم است خمن آنها به صورت متقارن فرض نده است.



شکل ۵۵



شکل ۵۶

۳۹۸

آنها پکتواخت می شوند. چون عرض الوارها کم است می سوار در عرض آسها برای پکتواخت مرض نمود. الواری که در بامن سری نقطه فرار دارد بسترس سار را نحمل می کند و بار وارد سر آن  $P_2 \text{ Kg/cm}$  می شوند ( برای واحد عرض الوار ) . لکر حمنی ماکریم در وسط الوار برای این سین حمنی ماکریم در طول الوار مساوی می سود سا ( صحبت الوار  $= h$  )

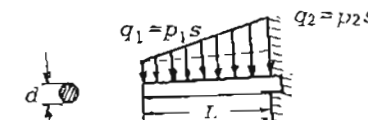
$$\sigma_{\max} = \frac{M_{\max}}{S} = \frac{\frac{P_2 s^2}{8}}{\frac{1}{6}(1)h^2}$$

اگر نیش ماکریم برای سین محاذ اخبار سود حداقل طول دهانه الوارها  $s$  به دست می آید. بنابراین

$$s_{\max} = \sqrt{\frac{4}{3} \frac{\sigma_w}{P_2}} h = \sqrt{\frac{4}{3} \frac{84}{0.2}} (7.5) = 177 \text{ cm} \quad (1)$$

بار وارد سر شمع ها ( شکل ۵۴ - ۸ ) به صورت دوزنده ای می باشد که سدت آن از  $q_1 = P_1 s$  در سالا  $q_2 = P_2 s$  در یا بین آن بیشتر می کند. حداقل لکر لکر حمنی در نقطه  $A$  می باشد که برابر است سا

$$M'_{\max} = M_A = q_1 L \left(\frac{L}{2}\right) + \frac{1}{2} (q_2 - q_1) L \left(\frac{L}{3}\right) \\ = \frac{(2q_1 + q_2)}{6} L^2 = \frac{(2P_1 + P_2)L^2 s}{6}$$

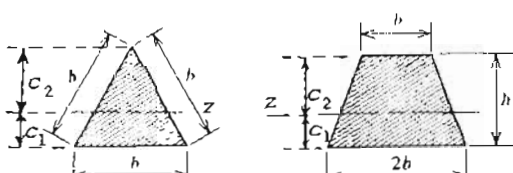


شکل ۵۴

بنابراین حداقل تنش خمنی در طول شمع در یا بین ترین نقطه آن می شوند که برابر است با

۴۰۱

اگر تنش محاز در کشش و عناصر  $\sigma_w$  باشد حداکثر لگر خمی  $M_{max}$  که هر کدام از مقاطع شکل ۵۷-۸ می‌توانند تحمل کند چقدر است؟



(a)

(b)

(c)

شکل ۵۷-۸

$$\sigma_{max} = \frac{M_{max}}{S_{min}} = \sigma_w$$

$$M_{max} = S_{min} \sigma_w$$

$$I_z = \frac{b(\frac{\sqrt{3}}{2}b)^3}{36} = \frac{\sqrt{3}}{96} b^4$$

$$S_{min} = \frac{I_z}{c_2} = \frac{\sqrt{3} b^4}{\frac{2}{3}(\frac{\sqrt{3}}{2}b)} = \frac{b^3}{32}$$

$$M_{max} = \frac{b^3 \sigma_w}{32}$$

$$I_z = \frac{h^3(b^2 + 8b^2 + 4b^2)}{36(b+2b)} = \frac{13}{108} h^3 b$$

$$c_2 = h - \frac{h(2b+2b)}{3(b+2b)} = h(1 - \frac{4}{9}) = \frac{5}{9}h$$

$$S_{min} = \frac{I_z}{c_2} = \frac{\frac{13}{108} h^3 b}{\frac{5}{9}h} = \frac{13}{60} b h^2$$

$$M_{max} = \frac{13}{60} b h^2 \sigma_w$$

مسئله ۹ - ۹

حل:

برای مقطع (a)

برای مقطع (b)

۴۰۵

با استفاده از الوارهای سه مقطع  $7.5\text{cm} \times 30\text{cm}$  و طول  $3\text{m}$  که از بین ریل‌های A و B مطابق شکل ۵۵-۸ - عبور می‌کند یک سد موقتی در کانال آبی احداث شده است.

با فرض اینکه در D نکیه کاه افقی وجود نداشته باشد ماکریم سه خمی را در هر الوار موقتی که عمق آب در سمت چپ سد  $1.8\text{ m}$  می‌باشد حساب کرد. وزن مخصوص آب  $\gamma = 1000\text{Kg/m}^3$  می‌باشد.

حل: سارگداری در روی هر الوار مطابق شکل ۵۶-۸ می‌باشد. ابساواکنش‌های  $R_B$  و  $R_A$  را پیدا می‌کنیم و سه منحی لگر خمی را در می‌کنیم.

$$\sum M_A = 0 \Rightarrow 1.2R_B = \frac{1}{2}(1.8)(\gamma hb)(2.4)$$

$$R_B = 1.8\gamma hb = 1.8 \left(\frac{1000}{10^6}\right)(180)(30) : R_B = 9.72\text{ Kg}$$

$$\sum F_y = 0 \Rightarrow \frac{1}{2}(1.8)(\gamma hb) + R_A - R_B = 0$$

$$R_A = R_B - 0.9\gamma hb = 0.9\gamma hb = 4.86\text{ Kg}$$

$$0 \leq x \leq 1.8\text{ m} \quad M = \frac{1}{2}(x^2) \frac{1.8-x}{1.8} \gamma hb + \frac{1}{2}(x)(\frac{2x}{3})(\gamma hb - \frac{1.8-x}{1.8} \gamma hb) \\ = \gamma hb \left[ \frac{1.8x^2 - x^3}{3.6} + \frac{x^3}{5.4} \right] = \frac{\gamma hb}{10.8} (5.4x^2 - x^3)$$

ماکریم لگر خمی را در فاصله BD پیدا می‌کنیم.

$$\frac{dM}{dx} = 0 \Rightarrow 10.8x - 5x^2 = 0 : x = 0, 3.6\text{ m}$$

بنابراین منحی لگر خمی در فاصله BD مقدار ماکریم ندارد. منحی لگر خمی در طول هر الوار مطابق شکل ۵۶-۸ است. حداکثر لگر خمی در نقطه B می‌باشد که برابر است با

$$M_{max} = M_B = \frac{\gamma hb}{10.8} [5.4(1.8)^2 - (1.8)^3] = 1.08\gamma hb$$

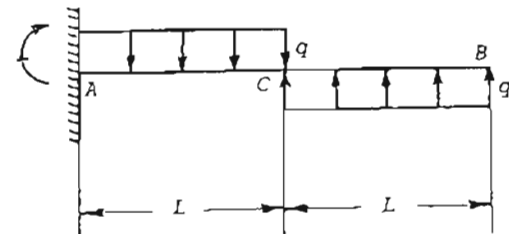
$$= 1.08(1000)(1.8)(0.3) = 583.2\text{ mKg}$$

ماکریم تنش خمی نیز در مقطع B الوار می‌باشد که برابر است با

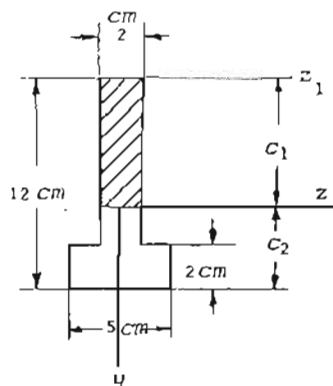
$$\sigma_{max} = \frac{M_{max} c}{I} = \frac{\frac{58320}{12}(7.5)}{\frac{1}{12}(30)(7.5)^3} = 207\text{ Kg/cm}^2$$

۴۰۳

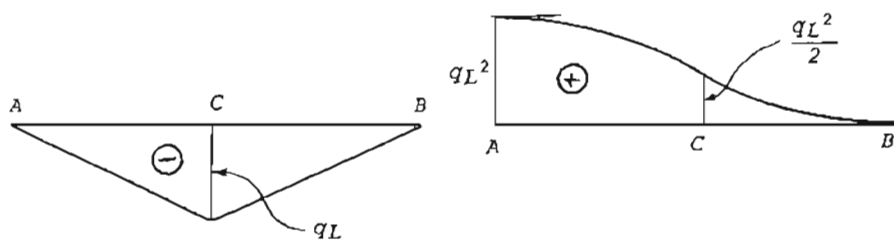
$$\frac{M}{\lambda} = qL^2$$



شکل ۴-۵۸



شکل ۴-۵۹



شکل ۴-۶۰ - ۸ نمودار لنتنگر خمثی ( $M$ )

بنابراین حداکثر تنشهای فشاری و کشی که در مقطع A می‌باشد به ترتیب عبارتندار

$$(\sigma_c)_{\max} = \frac{M_{\max} c_1}{I_z} = \frac{(40000)(7)}{410} = 682.9 \text{ Kg/cm}^2 \quad (\text{فشاری})$$

$$(\sigma_t)_{\max} = \frac{M_{\max} c_2}{I_z} = \frac{(40000)(5)}{410} = 487.8 \text{ Kg/cm}^2 \quad (\text{کشی})$$

سیروی برشی ماکریم در وسط سر (مقطع C) می‌باشد که برابر است با

$$V_{\max} = qL = (100)(2) = 200 \text{ Kg}$$

بنابراین حداکثر تنش برشی در وسط سر و در روی نار خنثی است. انتگرال Q باید در روی سطح هاشور حورده حساب شود (شکل ۴-۵۹).

۴۰۴

برای تابعی باصل بر این روش

$$\sqrt{I_z} = \frac{\pi(2d)^4}{64} - \frac{d^4}{64} = \frac{15\pi d^4}{64}$$

$$S = \frac{I_z}{c} = \frac{\frac{15\pi d^5}{64}}{2d} = \frac{15\pi d^3}{64}$$

$$M_{\max} = S\sigma_w = \frac{15\pi}{64} d^3 \sigma_w$$

برای مقطع (C) :

مسئله ۱۰

برای سیر طرهای AB ۷ مقطع دیسکی داری سان داده شده در شکل های ۴-۵۸ و ۴-۵۹ مطلوب است :

الف - رسم محنی سیروی برشی . ب - رسم محنی لنگر خمثی . ب - حداکثر تنشهای فشاری و کشی در مقطع سیر با فرض ایکه  $L=2 \text{ m}$  و  $q=100 \text{ Kg/m}$  .

حداکثر نش سری در جان سیر .

حل : برای تعیین محل محور خسی از فرمول مرکز سطح در مختصات  $yz$  استفاده

$$\text{می‌کنیم (شکل ۴-۵۹) .}$$

$$c_1 = \frac{\int y dA}{A} = \frac{(10)(2)(5)+(5)(2)(11)}{(10)(2)+(5)(2)} = 7 \text{ cm}$$

$$c_2 = 12 - c_1 = 5 \text{ cm}$$

$$I_z = \frac{1}{12}(2)(10)^3 + (10)(2)(2)^2 + \frac{1}{12}(5)(2)^3 + (5)(2)(4)^2 \approx 410 \text{ cm}^4$$

لسگر خمثی ماکریم در طول سیر برابر است با (در محل تکیه گاه A)

$$M_{\max} = qL^2 = 100(2)^2 = 400 \text{ mKg}$$

میری طبقه مقدمه ای در مهندسی سازه ها  
شکل ۸-۶۵

۴۰۵

حل : سیروی برشی در تمام طول تیر ثابت و برای  $P$  می باشد . برای تعیین تنش برشی در محل اتصال قطعات باید انگرال  $Q$  را در روی سطح هاشور حورد حساب کنیم  
( شکل ۸-۶۵ ) .

$$Q = \int y dA = \frac{A}{(10)(5)} \frac{y}{(5)} = 250 \text{ cm}^3$$

$$I = \frac{1}{12} b h^3 = \frac{1}{12} (10)(15)^3 = 2812.5 \text{ cm}^4$$

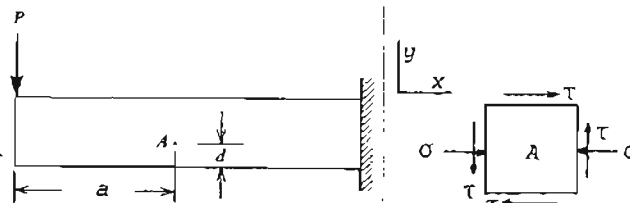
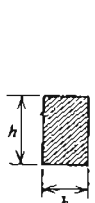
$$\tau = \frac{VQ}{Ib} \Rightarrow P_w = \frac{Ib\tau_w}{Q} = \frac{(2812.5)(10)(3.5)}{250} = 393.75 \text{ Kg}$$

تشن خمشی ماکزیمم در طول تیر در مقطع  $A$  و در روی تارهای فوکانی و تختانی آن می باشد .

$$\sigma_{max} = \frac{M_{max} c}{I} = \frac{PL \frac{h}{2}}{\frac{1}{12} b h^3} = \frac{6PL}{bh^2} = \frac{6(393.75)(90)}{(10)(15)^2} = 94.5 \text{ Kg/cm}^2$$

مسئله ۸-۱۲

یک تیر طرهای با مقطع مستطیل ( شکل ۸-۶۶ ) بار متکری را در انتهای آزادش تحمل می کند . تنش های اصلی را در نقطه  $A$  که در روی شکل مشخص شده است پیدا کنید و آنها را روی عنصری با امتدادهای مشخص نشان دهید .



شکل ۸-۶۶

شکل ۸-۶۷

۴۰۴

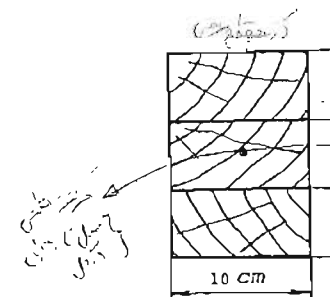
$$Q = \int y dA = (7)(2)(3.5) = 49 \text{ cm}^3$$

$$\tau_{max} = \frac{V_{max} Q}{I t} = \frac{(200)(49)}{(410)(2)} = 11.95 \text{ Kg/cm}^2$$

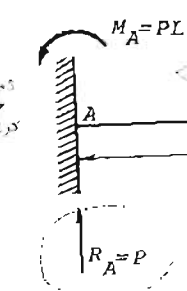
مسئله ۸-۱۱

مکانیزم تنش خمشی

مک تیرچوسی با چسباندن سه تکه چوب بوسله چسب ساخته شده است ( شکل ۸-۶۲ ) .  
تشن سیروی محاذ در محل اتصالات  $3.5 \text{ Kg/cm}^2$  می باشد . اگر شیر مذبور به عنوان یک  
تیر طرهای ( شکل ۸-۶۳ ) به طول  $90 \text{ cm}$  با یک بار انتهایی  $P$  بکار رود ، بار محاذ  
 $P_w$  جفرد می باشد تا قطعات چوب در محل اتصال گسینه نشود ؟ تنش خمشی ماکزیمم  
برای بار مذبور چقدر است ؟

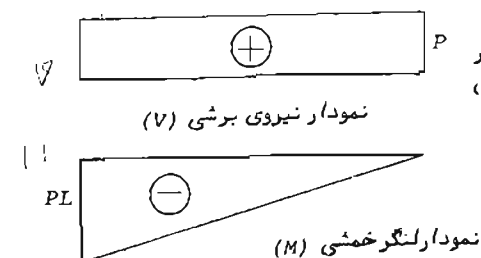


شکل ۸-۶۲

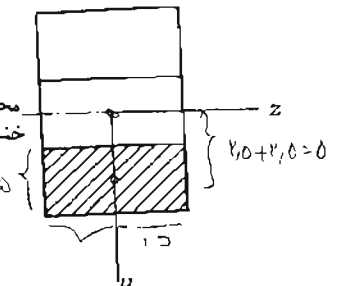


شکل ۸-۶۳

$$\begin{aligned} V &= P \\ P &H + M_A - P_{m...} \\ M &= P_x - P_{m...} \\ M &= P(m - L) \\ M &= -PL \\ M &= 0 \end{aligned}$$



شکل ۸-۶۴

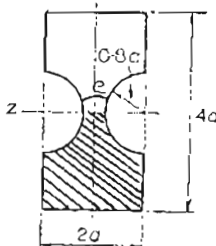


شکل ۸-۶۵

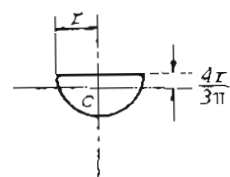
۴۰۷

مسئله ۱۲

به معطی مတارن شکل ۶-۶ - آبروی برشی  $P$  و لیگر حمنی  $PL$  اثر می‌کند. اگر سست شن بررسی مأکریم (در محل محور خمنی) به نشانه عموی مأکریم نشانه از  $5/4$  کسر پاپد خداکر مدار مجار  $a$  را برحسب  $a$  تعیین کنید.



شکل ۶-۶۹



شکل ۶-۷۰

آنچه در اینجا مذکور شده است

$$\frac{\tau_{\max}}{\sigma_{\max}} = \frac{VQ}{Mc} = \frac{PQ}{\frac{1}{2}b(2a)} = \frac{Q}{0.8La^2}$$

انتگرال  $Q$  باید در روی سطح هاشور خورده حساب شود. برای محاسبه  $Q$  توجه کنید فاصله مرکز سطح یک نیم دایره (به شعاع  $r$ ) از نقطه آن  $\frac{4r}{3\pi}$  می‌باشد (شکل ۶-۷۰).  $Q$  برابر است با گشتاور اول مربعی به ابعاد  $2a \times 2a$  منتهای گشتاور اول نیم دایره‌ای به قطر  $a$ .

$$Q = \frac{A}{(2a)(2a)(a)} - \frac{\pi}{2} (0.8a)^2 \left(\frac{4 \times 0.8a}{3\pi}\right) = 3.659 a^3$$

$$\frac{\tau_{\max}}{\sigma_{\max}} = \frac{3.659a^3}{0.8La^2} = 4.573 \frac{a}{L} \geq 0.5$$

۴۰۸

فرصت کنید  $d=7.5 \text{ cm}$ ,  $a=60 \text{ cm}$ ,  $P=450 \text{ Kg}$ ,  $h=25 \text{ cm}$ ,  $b=10 \text{ cm}$

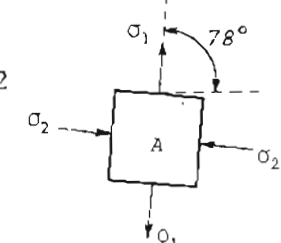
حل: عصر A نسبت نشانه‌های مطابق شکل ۶-۸ می‌باشد. نشانه‌های  $\sigma$  و  $\tau$  را در نقطه A حساب می‌کیم.

$$\sigma = \frac{M_y}{I} = - \frac{Pa \left(\frac{h}{2} - d\right)}{\frac{1}{12}bh^3} = - \frac{6Pa(h-2d)}{bh^3}$$

$$= - \frac{6(450)(60)(25-15)}{(10)(25)^3} = -10.37 \text{ Kg/cm}^2$$

$$\tau = \frac{VQ}{Ib} = \frac{Pbd \left(\frac{h}{2} - \frac{d}{2}\right)}{\frac{1}{12}bh^3b} = \frac{6Pd(h-d)}{bh^3}$$

$$= \frac{6(450)(7.5)(25-7.5)}{(10)(25)^3} = 2.27 \text{ Kg/cm}^2$$



شکل ۶-۸

حال نشانه‌ای اصلی را در نقطه A پیدا می‌کیم.

$$\sigma_{1,2} = \frac{\sigma_x + \sigma_y}{2} \pm \sqrt{\left(\frac{\sigma_x - \sigma_y}{2}\right)^2 + \tau_{xy}^2}$$

$$\sigma_x = -10.37 \text{ Kg/cm}^2 ; \quad \sigma_y = 0 ; \quad \tau_{xy} = 2.27 \text{ Kg/cm}^2$$

$$\sigma_{1,2} = - \frac{10.37}{2} \pm \sqrt{\left(\frac{10.37}{2}\right)^2 + (2.27)^2} = -5.18 \pm 5.66$$

$$\sigma_1 = 0.48 \text{ Kg/cm}^2 ; \quad \sigma_2 = -10.84 \text{ Kg/cm}^2$$

اکنون راوه  $\theta_p$  را که  $\sigma_1$  امداد  $x$  می‌سارد پیدا می‌کیم.

$$\tan 2\theta_p = \frac{2\tau_{xy}}{\sigma_x - \sigma_y} = \frac{2(2.27)}{-10.37} = -0.44 ; \quad \theta_p = 78^\circ$$

جهب دامداد نشانه‌ای اصلی روی عصر شکل ۶-۸ رسم شده است.

۴۰۹

لنگر خمی در فاصله  $x$  از نقطه A برابر است با

$$M = R_A \sin \alpha x = \left(\frac{P}{2}\right)(0.8)x = 0.4Px = 540x$$

منحنی لنگر خمی قاب ABC در شکل ۷۲-۸ رسم شده است. حداکثر لنگر خمی در نقطه B می‌باشد که برابر است با

$$M_B = 540(3) = 1620 \text{ mKg}$$

سیروی محوری در سراسر طول AB ثابت و برابر است با

$$N = R_A \cos \alpha = \frac{P}{2} \cos \alpha$$

بسایرین حداکثر تنשنهای کشی و مشاری در قاب در مقطع B می‌باشد.

$$\sigma = \frac{N}{A} + \frac{My}{I} = -\frac{P \cos \alpha}{2A} + \frac{M_B y}{I}$$

حداکثر تنش فشاری در نار موقانی مقطع B می‌باشد.

$$\begin{aligned} (\sigma_c)_{\max} &= -\frac{P \cos \alpha}{2A} - \frac{M_B \left(\frac{d}{2}\right)}{I} \\ &= -\frac{(1350)(0.6)}{(2)(103.9)} - \frac{(162000)(27.3)}{(2)(8820)} = 254.6 \text{ Kg/cm}^2 \end{aligned}$$

حداکثر تنش کشی در نار تحتانی مقطع B می‌باشد.

$$\begin{aligned} (\sigma_t)_{\max} &= -\frac{P \cos \alpha}{2A} + \frac{M_B \left(\frac{d}{2}\right)}{I} \\ &= -\frac{(1350)(0.6)}{(2)(103.9)} + \frac{(162000)(27.3)}{(2)(8820)} = 246.8 \text{ Kg/cm}^2 \end{aligned}$$

مسئله ۷۲-۱۵

سطح مقطع یک میله با مقطع مربع متری  $m \times n$  نصف شده است ( شکل

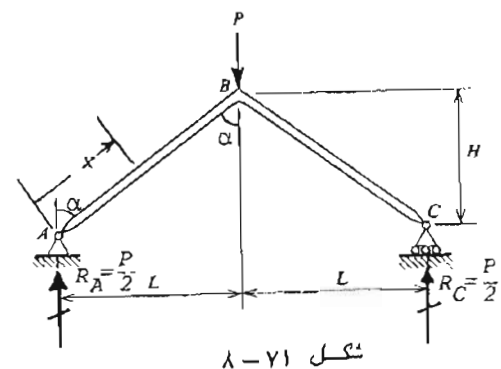
۷۲-۸ ) حداکثر تنشنهای کشی و مشاری را در مقطع کوچک شده میله تحت اثر بار P حساب کنید.

۴۰۸

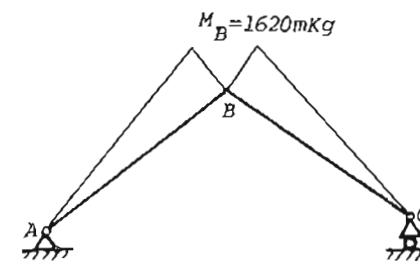
حداکثر مقدار محاز L  $L_{\max} = 9.15 a$  :  $L$

مسئله ۷۲-۱۶

قاب ABC با حوس دادن دو لوله فولادی در نقطه B تشکیل شده است ( شکل ۷۲-۷۱ ) . هر لوله سطح مقطع  $A=103.9 \text{ cm}^2$  و گستاور لختی  $I=8820 \text{ cm}^4$  و فطر حارجی  $d=27.3 \text{ cm}$  دارد. حداکثر تنشنهای کشی و مشاری در قاب را با فرض  $H=1.8 \text{ m}$  و  $L=2.4 \text{ m}$  ،  $P=1350 \text{ Kg}$  پیدا کنید.



شکل ۷۲-۷۱



نمودار لنگر خمی قاب ABC

شکل ۷۲-۷۲

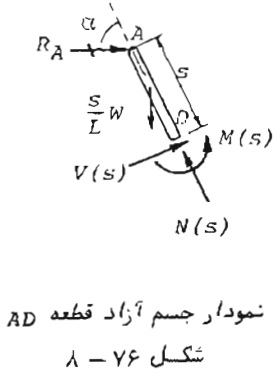
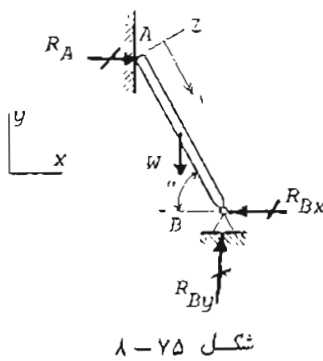
حل : به علت تقارن کافی است که فقط قسمت AB را در نظر بگیریم.

$$\overline{AB} = \sqrt{H^2 + L^2} = \sqrt{1.8^2 + 2.4^2} = 3 \text{ m}$$

$$\cos \alpha = \frac{H}{\overline{AB}} = \frac{1.8}{3} = 0.6 \quad , \quad \sin \alpha = 0.8$$

مسئله ۱۶

میله دایره‌ای نویز AB (شکل ۱-۷۵) در B دارای گدکه معصلی و در A روی سکه گاه بدون اصطکاکی نکیه دارد. نعین کید فاصله S از نقطه A را که در آن مقطع نش صاری تحت اثر وزن مله ماقریم می‌باشد. طول مله را L . فطر میله را L و راوه سی مله و افق را  $\alpha$  فرض کرد.

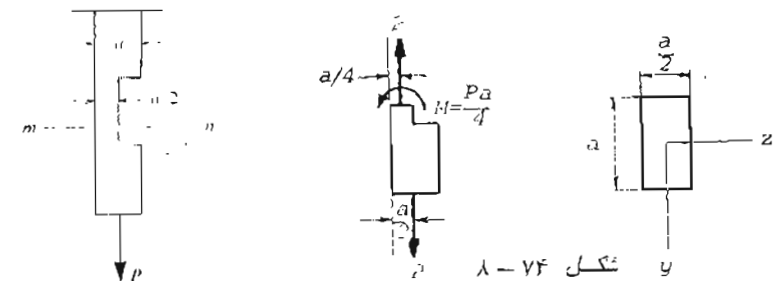


حل : ورن مله را  $W$  فرض می‌کنیم و نمودار جسم آزاد آن را در نظر می‌گیریم . از تعادل لنگری مله AB حول انصال B نتیجه می‌شود

$$R_A L \sin \alpha = W \frac{L}{2} \cos \alpha : \quad R_A = \frac{1}{2} \cot \alpha W$$

فرض می‌کنیم نقطه D از مله به فاصله  $S$  از نکیه گاه A باشد . نیروی برشی ، نیروی محوری و لنگر خمنی در نقطه D را به ترتیب  $D$  ،  $V(s)$  ،  $N(s)$  و  $M(s)$  می‌سازیم . از نمودار جسم آزاد قطعه AD (شکل ۱-۷۶) می‌توان مقادیر مذبور را پیدا نمود . سوچه کنید ورن قطعه AD براسر  $W$  برابر  $\frac{S}{L}$  می‌باشد . از تعادل قطعه AD در انتداد سیمی شود

۱۶۰



نمودار جسم آزاد میله  
از مقطع mn به پائین

حل : اگر مله مذبور را در مقطع mn مضع و سودار جسم آزاد آن را در می‌سازیم که در مقطع mn نیروی P در مرکز سطح آن و لگر  $\frac{Pa}{4}$  وارد می‌شود . بنابراین این مقطع حول محور y نحت حمسه قرار دارد و نشی عموی در فاصله z از محور y برابر است با

$$\sigma = \frac{P}{A} + \frac{Mz}{I}$$

$$= \frac{P}{\frac{\pi r^2}{2}} + \frac{\frac{Pa}{4} z}{\frac{1}{12} (a)(\frac{a}{2})^3} = \frac{2P}{a^2} \left( 1 + 12 \frac{z}{a} \right)$$

حداکثر نشی در فاصله  $z = \frac{a}{4}$  می‌باشد و برابر است با

$$(\sigma_t)_{\max} = \sigma(z = \frac{a}{4}) = \frac{8P}{a^2}$$

حداکثر نشی فشاری در فاصله  $z = -\frac{a}{4}$  می‌باشد و برابر است با

$$(\sigma_c)_{\max} = \sigma(z = -\frac{a}{4}) = -\frac{4P}{a^2}$$

۴۱۲  
 ( شکل ۷۷ - ۸ ) . اگر بار محوری  $P$  در نقطه  $P_1$  دارد شود تنش در نقطه  $P_2$  باشد برای صفر گردد.

$$\sigma = \frac{P}{A} + \frac{My}{I} = \frac{P}{A} + \frac{PeY}{I} = 0$$

$$r_1 = e = -\frac{I}{Ay}$$

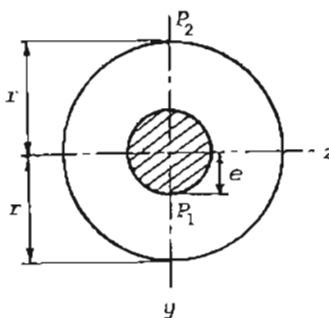
$r_1 = -\frac{\pi r^4}{4(\pi r^2)(-r)} = \frac{r}{4}$  با جایگزینی  $y$  در رابطه فوق مقدار  $r_1$  بدست می آید.

$$r_1 = -\frac{\pi r^4}{4(\pi r^2)(-r)} = \frac{r}{4}$$

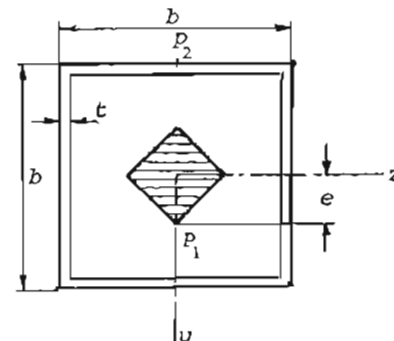
بنابراین هسته یک مقطع دایره‌ای دایره‌ای به شاعع  $r_1 = \frac{r}{4}$  می‌باشد.

### مسئله ۸ - ۱۸

هسته یک مقطع لوله‌ای جدار نازک به شکل مربع و طول اضلاع  $b$  را پیدا کنید  
 ( شکل ۷۸ - ۸ )



شکل ۷۷ - ۸



شکل ۷۸ - ۸

۴۱۲  
 $N(s) = -R_A \cos \alpha - \frac{s}{L} W \sin \alpha = -\frac{\cos^2 \alpha}{2 \sin \alpha} W - \frac{s}{L} \sin \alpha W$   
 از تعادل لنگری مقطع  $AD$  حول نقطه  $D$  سبب می‌شود

$M(s) = s R_A \sin \alpha - \frac{s^2}{2L} W \cos \alpha = \frac{1}{2} \cos \alpha s W - \frac{1}{2} \cos \alpha \frac{s^2}{L} W$   
 تنش عمودی در مقطع  $D$  از رابطه زیر بدست می‌آید :

$$\sigma(s) = \frac{N}{A} + \frac{M_z}{I} = -\frac{\frac{\cos^2 \alpha}{2 \sin \alpha} W + \frac{s}{L} \sin \alpha W}{\frac{\pi d^4}{64}} + \frac{\frac{1}{2} \cos \alpha s W - \frac{1}{2} \cos \alpha \frac{s^2}{L} W}{\frac{\pi d^4}{64}} z$$

تنش فشاری ماقریم به ارای  $z = -\frac{d}{2}$  حاصل می‌شود.

$$(\sigma_c)_{\max} = \sigma(z = -\frac{d}{2}) = -\frac{4}{\pi d^2} \left( \frac{\cos^2 \alpha}{2 \sin \alpha} W + \frac{s}{L} \sin \alpha W \right) - \frac{32}{\pi d^3} \left( \frac{1}{2} s \cos \alpha W - \frac{s^2}{2L} \cos \alpha W \right)$$

برای پافتن مقطعي که تنش فشاری در آن ماقریم است از رابطه فوق نسبت به  $s$  متناسب می‌گيريم و عبارت حاصله را مساوي صفر قرار مي‌دهيم .

$$\frac{d(\sigma_c)_{\max}}{ds} = -\frac{4}{\pi d^2} \left( \frac{\sin \alpha}{L} W \right) - \frac{32}{\pi d^3} \left( \frac{1}{2} s \cos \alpha W - \frac{s}{L} W \cos \alpha \right) = 0$$

پس از ساده نمودن اين رابطه نتیجه می‌شود

$$s = \frac{L}{2} + \frac{d \tan \alpha}{8}$$

### مسئله ۸ - ۱۷

هسته یک مقطع دایره‌ای را پیدا کنید .

حل : هسته یک مقطع دایره‌ای به شاعع  $r$  دایره‌ای می‌باشد به شاعع  $r_1$

۴۱۵

حل : از رابطه  $\sigma = \frac{M}{S}$  نتیجه می شود که برای یک سش معن ( در اسحاس مجار ) لیگر حتمی  $M$  با مرتب مقطع  $S$  مناسب می باشد . جوی بار  $P$  در وسطدهانه سر بال لیگر حتمی  $I$  مناسب می باشد سایراین  $P$  با  $S$  مناسب است . برای یک لوله دایره ای ساده از حداول پیوس ۱ کتاب داریم

$$I_z = \frac{\pi}{64} (d_1^4 - d_2^4) = \frac{\pi}{64} (4^4 - 3^4) = 8.59 \text{ cm}^4$$

$$S = \frac{I_z}{\frac{d_1}{2}} = \frac{8.59}{2} = 4.295 \text{ cm}^3$$

برای چهار لوله مزبور می سوییم :

$$I_z = 4 [8.59 + \frac{\pi}{4} (4^2 - 3^2) 2^2] = 122.32 \text{ cm}^4$$

$$S = \frac{122.32}{4} = 30.58 \text{ cm}^3$$

بنابراین باری که چهار لوله می نوانند تحمل کنند برابر است با

$$\frac{30.58}{4.295} (120) = 854 \text{ Kg}$$

## مسئله ۸-۲۰

هسته یک مقطع دایره ای توخالی به شعاع خارجی  $r_2$  و شعاع داخلی  $r_1$  را بیندا کنید ( شکل ۸-۲۱ ) . وقتی  $r_1$  به ۲ زدیگر می شود ( یعنی وقتی که مقطع به شکل حلقه نازک می باشد ) هسته مقطع به چه صورت در می آید ؟

حل : هسته مقطع مزبور دایره ایست به شعاع  $r$  ( سطح هاشور خورده ) . اگر بار محوری  $P$  در نقطه  $p_1$  وارد شود تنש در نقطه  $p_2$  باید برابر صفر گردد .

$$\sigma = \frac{P}{A} + \frac{Mz}{I} = \frac{P}{A} + \frac{Pez}{I} = 0$$

$$r = e = - \frac{I}{Az}$$

۴۱۶

حل : اگر بار محوری  $P$  در نقطه  $p_1$  وارد شود تنش در نقطه  $p_2$  باید برابر صفر گردد . سخا م حدار لوله را  $t$  فرض می کنیم .

$$\sigma = \frac{P}{A} + \frac{Pcy}{I} = 0$$

$$e = - \frac{1}{Ay} = - \frac{\frac{1}{12} b^4 - \frac{1}{12} (b-2t)^4}{[b^2 - (b-2t)^2] (-\frac{h}{2})} = \frac{b^2 + (b-2t)^2}{6b}$$

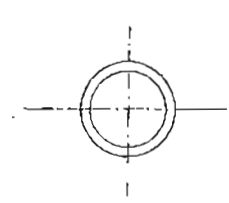
در مورد لوله های حدار سارک معادل  $t^2$  و  $tb$  کوچک می باشد و می نوان از آنها صرف نظر نمود ، در نتیجه داریم

$$e \approx \frac{b^2 + b^2}{6b} = \frac{b}{3}$$

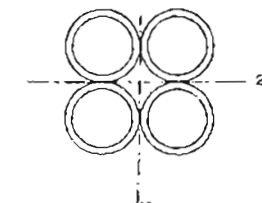
بنابراین همه مقطع مزبور مربعی است که اضلاع آن با اصلاح مقطع زاویه  $45^\circ$  تشکیل می دهند و قطرهای آن به طول  $\frac{2b}{3}$  می باشند .

مسئله ۸-۱۹

یک لوله عولادی به قطر خارجی  $d_1 = 4 \text{ cm}$  و قطر داخلی  $d_2 = 3 \text{ cm}$  به صورت تیر ساده برای پوشاندن دهانه یکمنزی سکار رفته است ( شکل ۸-۷۶ ) . حداکثر بار محازی که این لوله در وسط دهانه اش می نواند حمل کند  $120 \text{ Kg}$  می باشد . اگر چهار عدد از این لوله ها به صورت موازی به بکدیگر کاملاً متصل گردند ( مطابق شکل ۸-۸۰ ) و سرای پوشش همان دهانه بکار روند حداکثر ساری که چهار لوله می نوانند در وسط دهانه اشان تحمل کنند چقدر است ؟



شکل ۸-۷۶



شکل ۸-۸۰

۴۱۷

حل : هسته مقطع مزبور یک لوزی است به اقطار  $2e_2$  و  $2e_1$

$$e_1 = - \frac{I_z}{Ay} = \frac{27346}{(94.84)(20.65)} = 13.96 \text{ cm}$$

$$e_2 = - \frac{I_y}{Az} = \frac{1544}{(94.84)(9)} = 1.81 \text{ cm}$$

بنابراین هسته مزبور یک لوزی به اقطار  $27.92 \text{ cm}$  و  $3.62 \text{ cm}$  می‌باشد.

۴۱۶

$$r = - \frac{\frac{\pi r_2^4}{4} - \frac{\pi r_1^4}{4}}{(\pi r_2^2 - \pi r_1^2)(-r_2)} = \frac{r_2^2 + r_1^2}{4r_2}$$

وفتی که  $r_1 < r_2$  سردبک می‌سود و مقطع به صورت حلقه‌سازکی در می‌آید مقدار  $r$  را مر حواهد بود.

$$r = \lim_{r_1 \rightarrow r_2} r = \frac{2r_2^2}{4r_2} = \frac{r_2}{2}$$

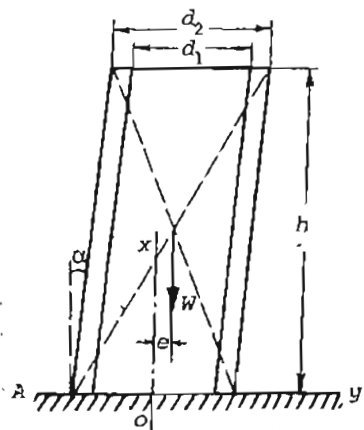
در این حالت هسته مقطع دایره‌ای به شعاع  $\frac{r_2}{2}$  می‌باشد.

مسئله ۸-۲۲

یک برج استوانه‌ای دایره‌ای به ارتفاع  $h$  و قطر داخلی  $d_1$  و قطر خارجی  $d_2$  شروع به کج شدن می‌کند. برای اینکه در برج کش ایجاد نشود حداقل زاویه تغایل مجاز از فاصله جقدر است؟ تنها باردارده را وزن برج فرض کنید.

حل : وزن استوانه را  $W$  و زاویه تغایل آن از امتداد قائم را  $\alpha$  می‌نامیم. تنها در مقطع افقی برج استوانه‌ای از رابطه زیر بدست می‌آید (شکل ۸-۸۲) :

$$\sigma = \frac{W}{A} + \frac{Wey}{I}$$

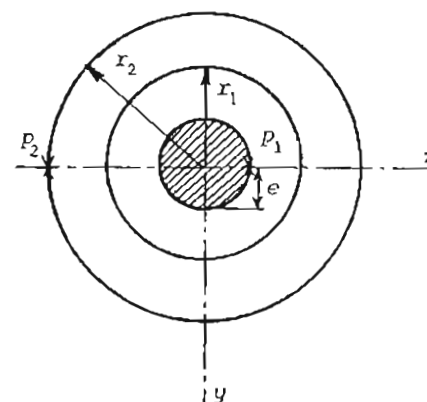


شکل ۸-۸۳

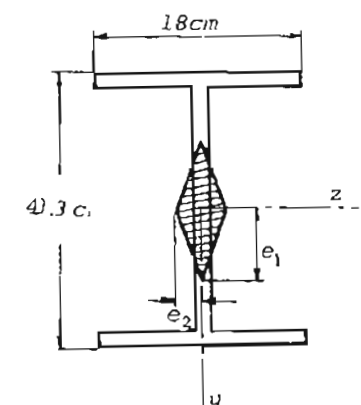
مسئله ۸-۲۱

هسته مقطع I شکل ۸-۸۲ را بجا کند. مشخصات اس مقطع عارتد از :

$$I_z = 27346 \text{ cm}^4 ; I_y = 1544 \text{ cm}^4 ; A = 94.84 \text{ cm}^2$$



شکل ۸-۸۱



شکل ۸-۸۲

۴۱۹

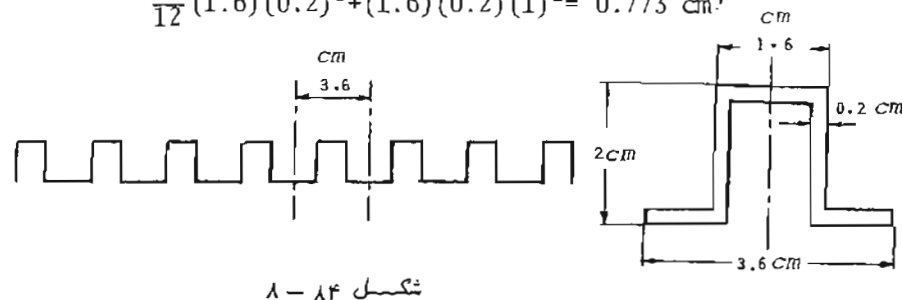
برای تعیین مودن محل محور خنثی مقطع، مرکز سطح مقطع را نسبت به محور  $z_1$  بدهی آوریم (شکل ۸-۸۶).

$$c_1 = \frac{(0.2)(1.6)(0.1) + (0.4)(1.8)(1.1) + (0.2)(2)(1.9)}{0.2(1.6) + 0.4(1.8) + 0.2(2)}$$

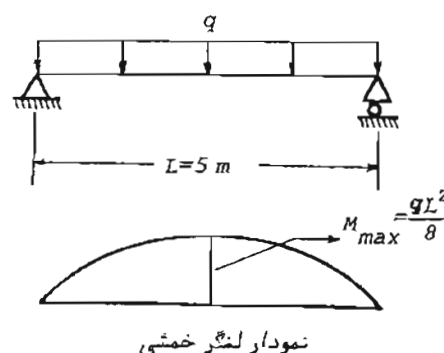
$$= \frac{1.584}{1.44} = 1.1 \text{ cm}$$

$$c_2 = 2 - 1.1 = 0.9 \text{ cm}$$

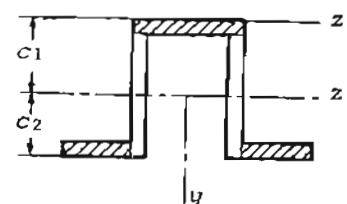
$$I_z = \frac{2}{12}(0.2)(1.8)^3 + \frac{1}{12}(2)(0.2)^3 + (2)(0.2)(0.8)^2 + \frac{1}{12}(1.6)(0.2)^3 + (1.6)(0.2)(1)^2 = 0.773 \text{ cm}^4$$



شکل ۸-۸۳



شکل ۸-۸۴



شکل ۸-۸۵

۴۲۰

در این رابطه A سطح مقطع اسوانه، I گستاور لختی مقطع سنت به محور Z (عمود بر عواید e و e) و حرج از مرکز وزن A از مرکز 0 اسوانه می‌باشد. از راسته‌های سبجد می‌شود که بیشترین تنش در های استوانه وجود دارد. بنابراین باید تنش‌ها را در منطقه A برابر صفر نمود. در این صورت

$$y = -\frac{d_2}{2}$$

$$\sigma = W \left( \frac{1}{A} - \frac{ed_2}{2I} \right) = 0 \quad : \quad e = \frac{2I}{Ad_2}$$

ار طرفی سن e و  $\alpha$  رابطه زیر وجود دارد:

$$\tan \alpha = \alpha = \frac{e}{\frac{h}{2}} = \frac{2e}{h}$$

بنابراین

$$\alpha = \frac{4I}{Ad_2 h} = \frac{4 \left( \frac{\pi d_2^4}{64} - \frac{\pi d_1^4}{64} \right)}{\left( \frac{\pi d_2^2}{4} - \frac{\pi d_1^2}{4} \right) d_2 h} = \frac{d_1^2 + d_2^2}{4hd_2}$$

مسئله ۸-۲۳

برای پوشاندن سقف انباری به دهانه 5m از فولاد کنگره‌ای مطابق شکل ۸-۸۴ استفاده شده است. اگر نش مجاز کشی و متاری فولاد  $2500 \text{ Kg/cm}^2$  باشد حداکثر باری را که بر سقف می‌توان وارد نمود تعیین کنید.

حل: اگر بار وارد در واحد طول و در عرض 3.6 cm از سقف را  $q$  بستا میم حداکثر لکگر خمی در طول دهانه سقف و در عرض 3.6 cm برابر است با (شکل ۸-۸۵)

$$M_{\max} = \frac{qL^2}{8}$$

اگر ضریب مقطع حداقل مقطع فوق به عرض 3.6 cm را S و تنش مجاز کشی و فشاری را  $\sigma_w$  بنامیم می‌توانیم بنویسیم

$$\sigma_w = \frac{M_{\max}}{S} = \frac{qL^2}{8S} \quad : \quad q = \frac{8S\sigma_w}{L^2}$$

۴۲۱

$$S = \frac{M_{\max}}{\sigma_w} = \frac{30000}{1000} = 30 \text{ cm}^3$$

ضریب مقطع لازم مساویست با

$$S = \frac{I}{d/2} = \frac{\pi d^4/64}{d/2} = \frac{\pi d^3}{32}$$

بنابراین حداصل قطر محور چرخ از رابطه زیر بدست می‌آید:

$$d = \left( \frac{32S}{\pi} \right)^{\frac{1}{3}} = \left( \frac{32 \times 30}{\pi} \right)^{\frac{1}{3}} = 6.75 \text{ cm}$$

۴۲۰

$$S = \frac{I_z}{c_1} = \frac{0.773}{1.1} = 0.703 \text{ cm}^3$$

$$q = \frac{8(0.703)(2500)}{(500)^2} = 0.0562 \text{ Kg/cm} = 5.62 \text{ Kg/m}$$

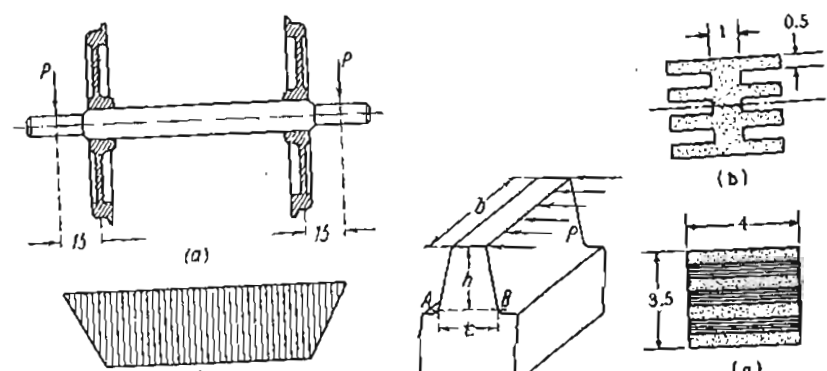
ضریب مقطع حداقل

$$\frac{100}{3.6}(5.62) = 156 \text{ Kg/m}^2$$

می‌باشد.

مسئله ۸-۲۴

قطر محور چرخ اتومبیل شکل ۸-۸۷ را بر اساس تنش‌های خمی تعیین کنید.  
هر یک از نیروهای وارد بر دو انتهای محور چرخ  $P=2000 \text{ Kg}$  و فاصله نقاط اثر این  
سیروها از صفحه میانی چرخها  $a=15 \text{ cm}$  می‌باشد. تنش مجاز را  $\sigma_w = 1000 \text{ Kg/cm}^2$  فرض  
کنید.



شکل ۸-۸۷

شکل ۸-۸۸

شکل ۸-۸۹

حل: نمودار لنگر خمی محور چرخ در شکل b-۸۲ رسم شده است. ماکزیمم  
لنگر خمی در روی محور چرخ برابر است با

$$M_{\max} = Pa = (2000)(15) = 30000 \text{ cmKg}$$

مسئله ۸-۲۶

مقطع عرضی سر کوچکی که از هفت لاتخته چند لایی ساخته شده در شکل

۴۲۲

$$V = \frac{P}{2} = 8000 \text{ Kg}$$

$$M_{\max} = \frac{PL}{4} = \frac{(16000)(100)}{4} = 400000 \text{ cmKg}$$

گشتاور لختی مقطع عرضی تیر نسبت به محور حنثی برابر است با

$$I = \frac{15 \times 40^3}{12} - \frac{(15-1)(40-2 \times 1.5)^3}{12} = 20900 \text{ cm}^4$$

حال تنشهای عمودی و برشی در نقاط ۱، ۲ و ۳ را استفاده از روابط ۸-۱۰ و ۸-۲۵ پیدا می‌کنیم. برای این کار ابتدا گشتاورهای اول ( $Q_1$ ) برای تنش برشی  $\tau_1$  در نقطه ۱، ( $Q_2$ ) برای تنش برشی  $\tau_2$  در نقطه ۲ و ( $Q_3$ ) برای تنش برشی  $\tau_3$  در نقطه ۳ را محاسبه می‌کنیم.

$$Q_1 = 0 ; Q_2 = 15 \times 1.5 \left( \frac{40}{2} - \frac{1.5}{2} \right) = 434 \text{ cm}^3$$

$$Q_3 = Q_2 + 1 \left( \frac{40}{2} - 1.5 \right) \left( \frac{40}{2} - 1.5 \right) \left( \frac{1}{2} \right) = 434 + 171 = 605 \text{ cm}^3$$

$\sigma_1$  و  $\sigma_3$  در روابط زیر به ترتیب تنشهای عمودی ناشی از خمش در نقاط ۱ و ۳ می‌باشد. تمام این مقادیر منفی هستند زیرا تارهای نیمه فوقانی تیر تحت فشار قرار دارند.

$$\sigma_1 = - \frac{400000 \times 20}{20900} = -383 \text{ Kg/cm}^2$$

$$\sigma_2 = - \frac{400000 (40/2 - 1.5)}{20900} = -354 \text{ Kg/cm}^2 ; \sigma_3 = 0$$

$$\tau_1 = 0 ; \tau_2 = \frac{8000 \times 434}{20900 \times 1} = 166 \text{ Kg/cm}^2$$

$$\tau_3 = \frac{8000 \times 605}{20900 \times 1} = 232 \text{ Kg/cm}^2$$

تشهای اصلی با استفاده از رابطه ۳-۳۳ بدست می‌آیند.

$$\sigma_{1\max} = 0 ; \sigma_{1\min} = -383 \text{ Kg/cm}^2$$

۴۲۲

a شان داده شده است. رگهای لایه‌ها یک در میان موازی طول تیر است. تیر مذبور به طول ۱.۲ m و دارای دو تکیه گاه ساده می‌باشد و بار متمرکز P در وسط دهانه آن وارد می‌شود. ضریب ارجاعی در جهت موازی رگها برابر  $E_1=10^5 \text{ Kg/cm}^2$  و درجهت عمود بر رگها سرایر  $E_2=2.5 \times 10^4 \text{ Kg/cm}^2$  است. نشانی مجاز مربوطه  $\sigma_1=84 \text{ Kg/cm}^2$  و  $\sigma_2=21 \text{ Kg/cm}^2$  است. مقدار مجاز بار P را تعیین کید.

حل : نسبت ضرایب ارجاعی  $n=E_2/E_1=0.25$  می‌باشد و مقطع تبدیل شده که رگهای آن در امتداد محور تیر قرار دارد در شکل ۸-۹ b رسم شده است. گشتاور لختی این مقطع تبدیل شده برابر است با

$$I = \frac{4(3.5)^3}{12} - 3 \left[ \frac{3(0.5)^3}{12} \right] - 2 \left[ (3 \times 0.5)(0.5 \times 2)^2 \right] = 11.2 \text{ cm}^4$$

تش  $\sigma_1$  در این مسئله تش تعیین کننده است و لنگر خمشی حداکثری که مقطع مذبور می‌تواند تحمل کند مساویست با

$$M_{\max} = \frac{I}{c} \sigma_1 = \frac{11.2}{1.75} \times 84 = 537 \text{ cmKg}$$

بنابراین مقدار مجاز بار P از رابطه زیر بدست می‌آید ( طول دهانه تیر = L ) :

$$P = \frac{4M_{\max}}{L} = \frac{(4)(537)}{120} = 18 \text{ Kg}$$

مسئله ۸-۲۲

تیری به مقطع I و طول L=1m با تکیه گاههای مغلقی بار P را در وسط دهانه اش تحمل می‌کند ( شکل ۹-۸ ). تنشهای اصلی را در نقاط ۱، ۲ و ۳ خط‌ترنگترین مقطع عرضی تیر پیدا کنید.

حل : نمودارهای لنگر خمشی و نیروی برشی در شکل ۹-۸ نشان میدهند که مقطع عرضی وسط دهانه تیر خط‌ترنگترین مقطع تیر می‌باشد. نیروی برشی V و لنگر خمشی M در این مقطع عبارتند از

۴۲۵

$$\sigma_{1,2} = \frac{N}{A} \pm \frac{M}{S}$$

در این رابطه  $N$  وزن قسم جدا شده دیوار و مطابق شکل ۹۱ - ۸ - برای  $Q_1 + Q_2$  می باشد.  $Q_1$  وزن منشور مثلثی و  $Q_2$  وزن منشور مستطیلی است.

$$Q_1 = \frac{1}{2} h(b-a)L\gamma = \frac{1}{2} (4.5)(2-0.8)(1)(1.8) = 4.86 \text{ t}$$

$$Q_2 = haL\gamma = (4.5)(0.8)(1)(1.8) = 6.48 \text{ t}$$

$$N = Q_1 + Q_2 = 4.86 + 6.48 = 11.34 \text{ t}$$

لنجر خمثی  $M$  برابر با مجموع لنجرهای وزن های  $Q_1$  و  $Q_2$  و برآیند فشار خاک حول محور  $Z$  است که از مرکز سطح مقطع عرضی در پای دیوار عبور می کند.

$$M = Q_1 \left( a + \frac{b-a}{3} - \frac{b}{2} \right) - Q_2 \left( \frac{b}{2} - \frac{a}{2} \right) + \frac{q_{\max} h}{2} \left( \frac{h}{3} \right)$$

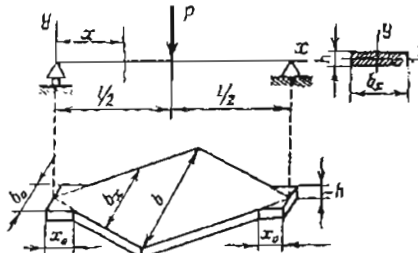
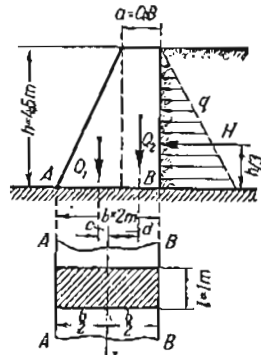
$$= (4.86)(0.2) - (6.48)(0.6) + \frac{1}{6} (1.5)(4.5)^2 = 2.15 \text{ mt}$$

$$\text{چون } S = bL^2 / 6 = 0.67 \text{ m}^3 \text{ می باشد داریم}$$

$$\sigma_{1,2} = - \frac{11.34}{2} \pm \frac{2.15}{0.67} = -5.67 \pm 3.21 \text{ t/m}^2$$

$$\sigma_{\max} = -5.67 - 3.21 = -8.88 \text{ t/m}^2$$

$$\sigma_{\min} = -5.67 + 3.21 = -2.46 \text{ t/m}^2$$



شکل ۹۲ - ۸

شکل ۹۱

۴۲۶

$$\sigma_{2,\max} = - \frac{354}{2} + \sqrt{\left(\frac{354}{2}\right)^2 + 166^2} = 66 \text{ Kg/cm}^2$$

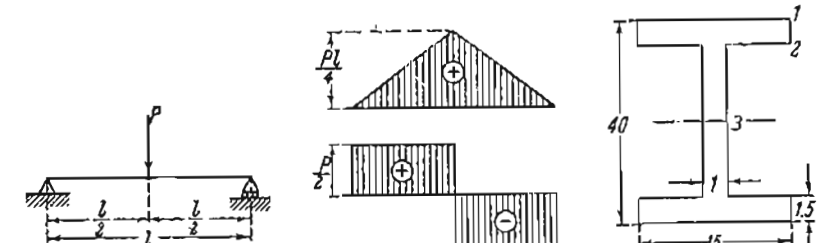
$$\sigma_{2,\min} = - \frac{354}{2} - \sqrt{\left(\frac{354}{2}\right)^2 + 166^2} = -420 \text{ Kg/cm}^2$$

$$\sigma_{3,\max} = 232 \text{ Kg/cm}^2 ; \quad \sigma_{3,\min} = -232 \text{ Kg/cm}^2$$

مسئله ۸ - ۲۸

دیوار حائلی از مصالح بنائی که مقطع عرضی آن در شکل ۹۱ - ۸ - رسم شده برای نگهداری خاکریزی ساخته شده است. وزن مخصوص مصالح بنائی  $\gamma = 1.8 \text{ t/m}^3$  میباشد. خاک فشار  $q$  را بر دیوار وارد می کند که در ارتفاع دیوار به طور خطی تغییر می کند و مقدار حداقل آن در پای دیوار برابر  $1.5 \text{ t/m}^2$  است. تنشهای فشاری ماکریم و مینیموم را در پای دیوار حساب کنید.

حل : قسمی از دیوار به طول  $l = 1 \text{ m}$  را جدا می کنیم . این قسمت را می توان به صورت یک سیر طره ای در نظر گرفت که در انتهای تحتانیش گیردار باشد . این سیر طره ای نحت اثر وزن خودش و فشار خاک فشرده می شود . مقطع عرضی در پای دیوار بیشترین تنش را خواهد داشت . تنشهای فشاری ماکریم و مینیموم در این مقطع از رابطه زیر محاسبه می شود :



شکل ۹۳ - ۸

۴۲۷

جهن  $\tau_w$  در حدود  $0.5 \sigma_w$  تا  $0.6 \sigma_w$  می‌باشد دارم

$$x_0 \approx 0.42 - 0.5 h$$

### مسئله ۸-۱۲ مسائل حل شده

مسئله ۸-۱-۱ تا ۸-۱-۲۵ ضریب مقطع حداقل S را سمت محو افقی که از مرکز سطح عبور کند برای مقاطع عرضی شان داده شده در شکل‌های ۸-۱-۱ تا ۸-۱-۲۵ پیدا کنید. اندازه‌هایی که در شکل ۸-۱-۱-۱-۲۵ داده شده‌اند همان اندازه‌های داده شده در شکل ۸-۱-۱-۱-۱۵ می‌باشند. اندازه‌های روی مقاطع بر حسب میلیمتر می‌باشند.

مسئله ۸-۱-۲۱ تا ۸-۱-۲۷ تنشهای عمودی در نقاطی از مقطع عرضی نیرهای شکل‌های ۸-۱-۲۱ تا ۸-۱-۲۷ را که در روی این شکل‌ها مشخص شده است پیدا کنید. در این شکل‌ها علامت گذاری‌های زیر بکار رفته است:

- تنش عمودی ماکریم در مقطع خط‌رنگ =  $\sigma_{max}$
- تنش عمودی مینیم در مقطع خط‌رنگ =  $\sigma_{min}$
- تنش عمودی در نقطه A مقطع خط‌رنگ =  $\sigma_{Amax}$
- تنش عمودی در نقطه A مقطع =  $m$
- وزن واحد حجم مصالح تیر = γ

مسئله ۸-۲-۱ تا ۸-۲-۹ ابعاد لازم برای مقطع عرضی تیرهای شکل‌های ۸-۲-۱ تا ۸-۲-۹ را تعیین کنید. در مسئله ۸-۲-۸ تعداد تیرهای مستطیلی را تعیین کنید. در روی شکل‌های مربوطه علامت‌های زیر بکار رفته است:

- تنش مجاز کنشی =  $[\sigma]$
- تنش مجاز فشاری =  $[\sigma_f]$
- تنش مجاز کنشی و فشاری =  $[\sigma]$

مسئله ۸-۲-۱۰ اندازه b در شکل ۸-۲-۱۰ را چنان تعیین کنید که مقاومت

۴۲۶

تنش عشاری ماکریم در نقطه A و تنش فشاری مینیم در نقطه B می‌باشد.

### مسئله ۸-۲۹

عرض  $b_x$  سر غیر مستوری شکل ۹۲-۸ را پیدا کند. ارتفاع مقطع نیر ثابت و برابر ۱۱ ولی عرض آن متغیر است. نشنهای محار عمودی و برشی را به ترتیب  $\sigma_w$  و  $\sigma_w$  فرض کند.

حل: لگر خمثی در مقطعی سه فاصله x از نکه گاه چپ سرا بر است با

$$M_x = \frac{Px}{2}$$

ضریب مقطع در فاصله x از نکه گاه چپ مساوی است با

$$S_x = \frac{b_x h^2}{6}$$

بنابراین اگر حد اکثر تنش عمودی در تمام مقاطع برابر تنش محاز  $\sigma_w$  باشد حواهیم داشت

$$\frac{b_x h^2}{6} = \frac{M_x}{\sigma_w} = \frac{Px}{2\sigma_w} : b_x = \frac{3Px}{h^2 \sigma_w} \quad (1)$$

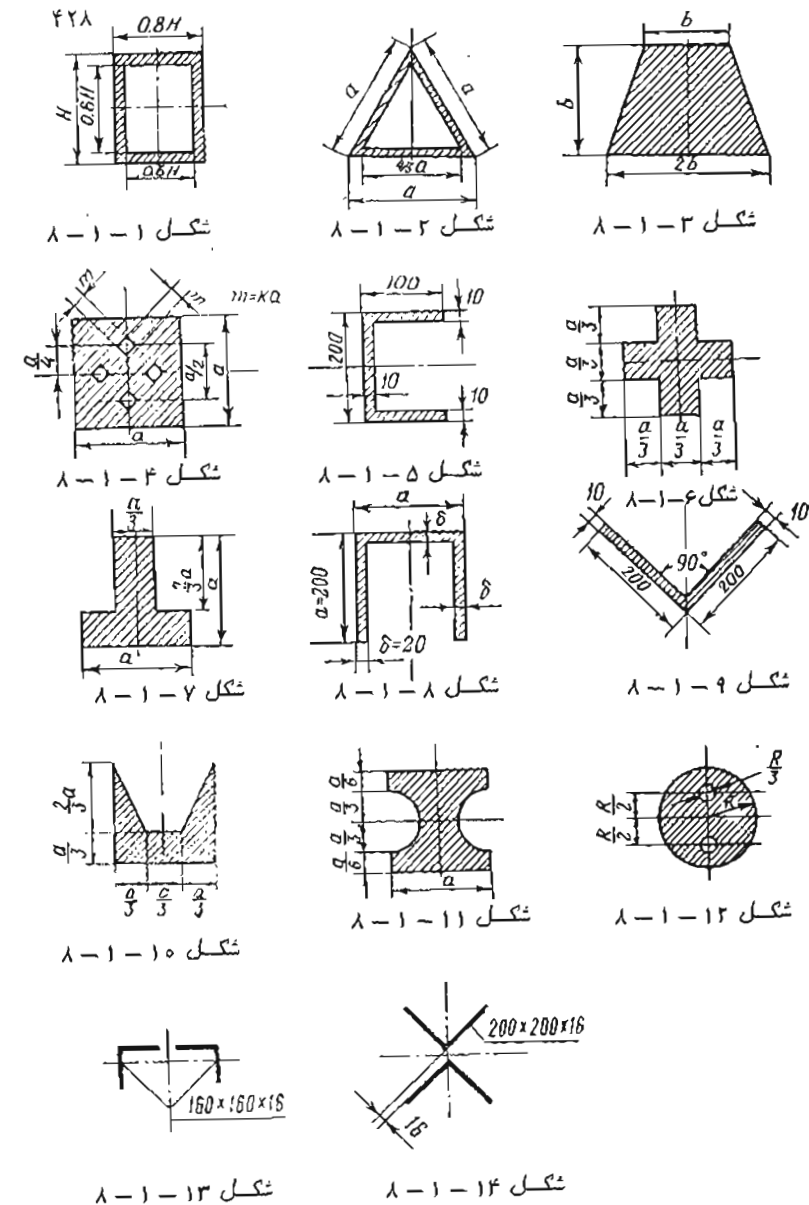
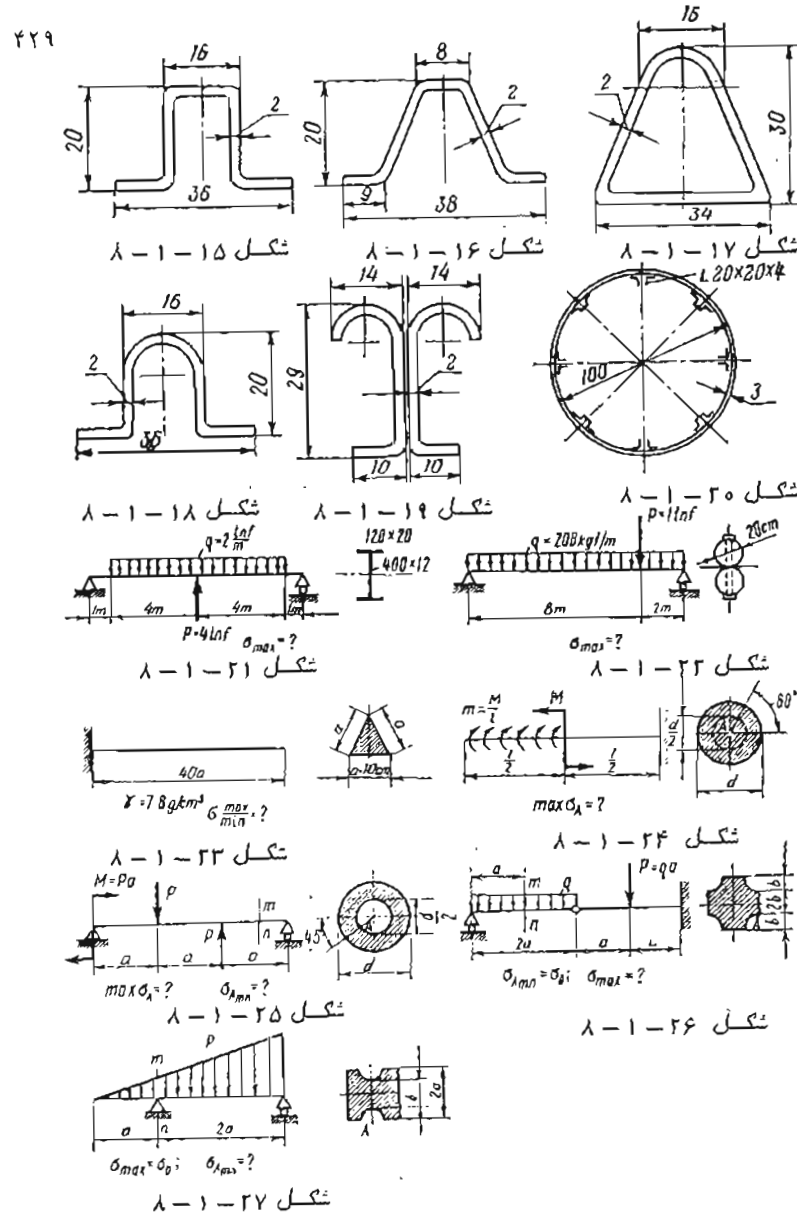
از این رابطه  $b_x$  در  $x=0$  برابر صفر و در  $x=L/2$  برابر  $\frac{3PL}{2h^2 \sigma_w}$  می‌باشد.

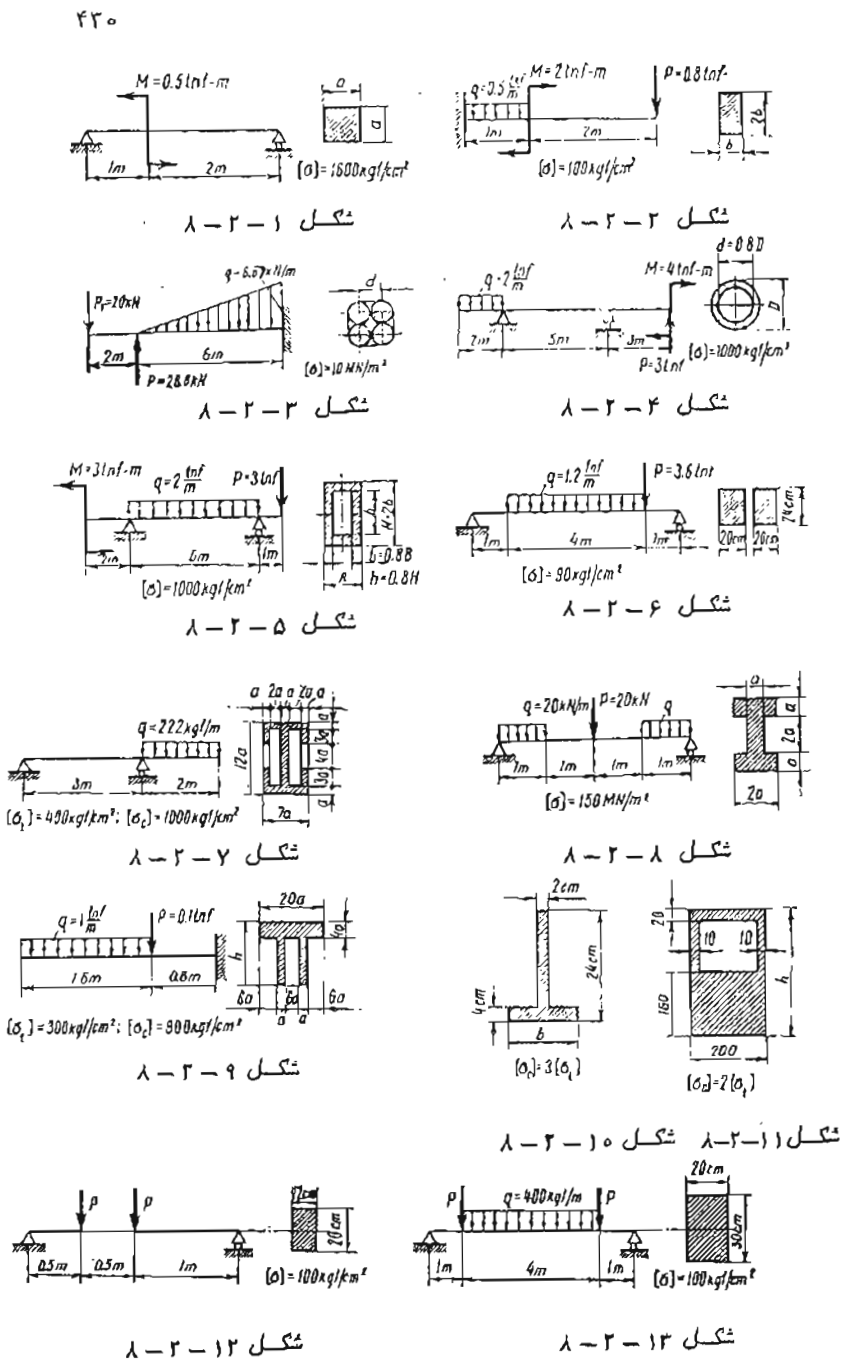
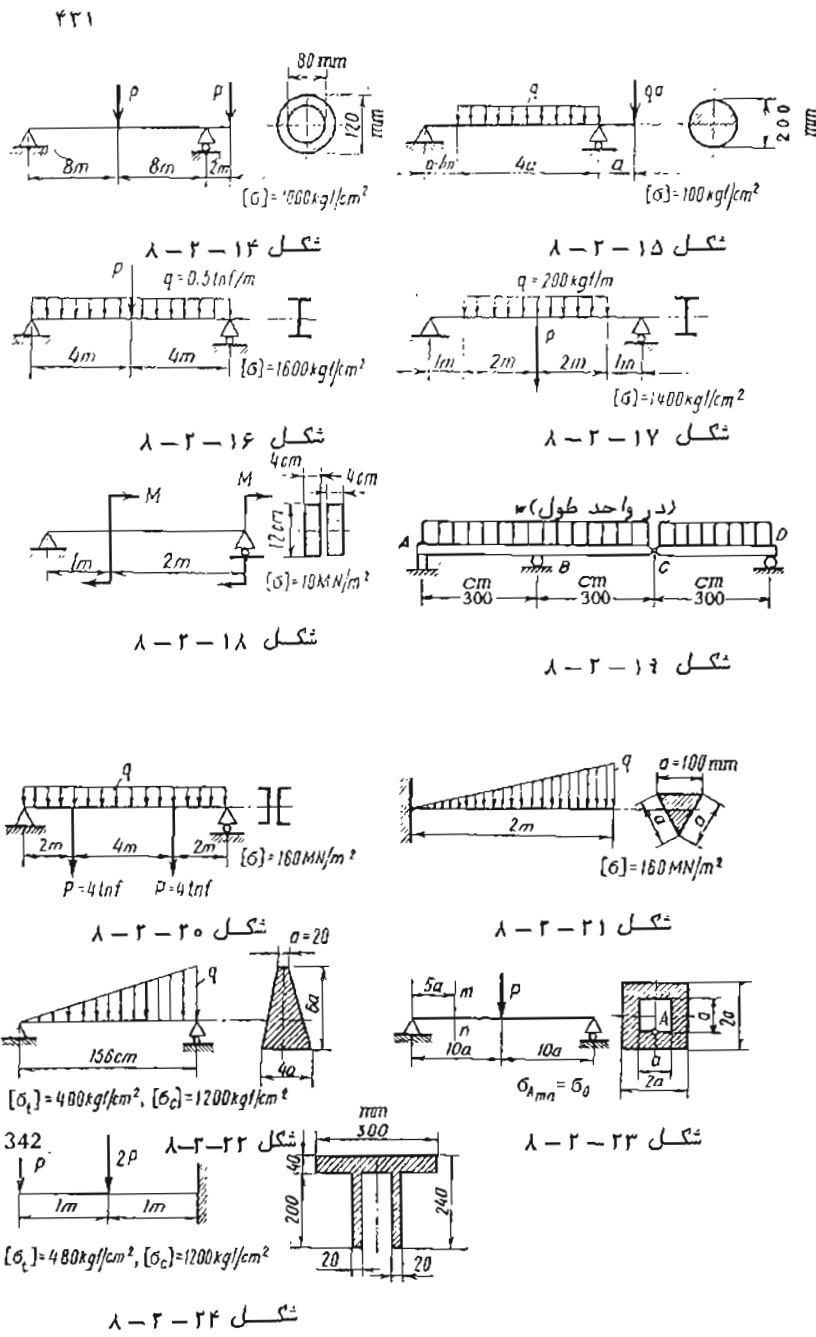
در روی تکیه گاهها، لگر خمثی سراسر صفر ولی نیروی برشی  $V=P/2$  می‌باشد. از این رو عرض مقطع نیر در روی تکیه گاه نمی‌تواند برابر صفر باشد، عرض  $b_0$  نیر در روی تکه گاهها را با توجه به تنش برشی ماکریم در نقاط مزبور پیدا می‌کنیم.

$$\tau_{max} = \frac{3}{2} \frac{V}{A} = \frac{3}{4} \frac{P}{b_0 h} = \tau_w : b_0 = \frac{3P}{4h\tau_w} \quad (2)$$

طبل ۵ دو انتهای تیر که عرض ثابت  $b_0$  دارند از شرط زیر (با مساوی قراردادن روابط ۱ و ۲) بدست می‌آید:

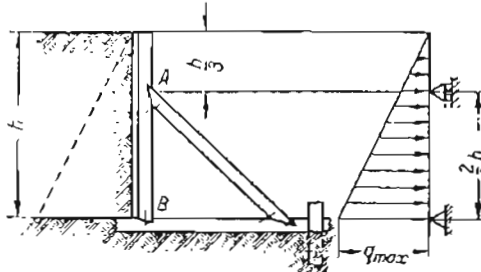
$$b_0 = \frac{3P}{4h\tau_w} = \frac{3Px_0}{h^2 \sigma_w} : x_0 = \frac{h\sigma_w}{4\tau_w}$$



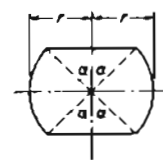


۴۲۳

در تبرهای فائم صرف نظر کنید. الوارها به عرض  $b=20\text{cm}$  را میتوان مفصلی عرض مود. ارتفاع  $h$  حاک ریز برابر  $1.5\text{m}$  است. فشار خاک به طور خطی از صفر در بالا تا  $100\text{kg/cm}^2$  در پایین غیر می‌کند. نش مجاز در کش و فشار  $q_{\max}=1.3\text{t/m}$  می‌باشد.



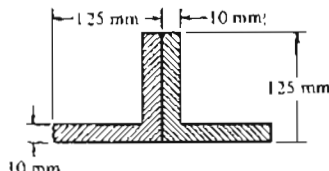
شکل ۸-۲-۲۶



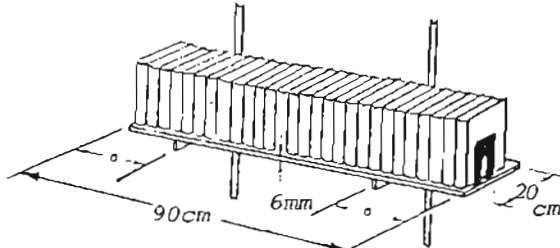
شکل ۸-۲-۲۷

مسئله ۸-۲-۲۷ مقطع شکل ۸-۲-۲۷ را بریدن قسمت‌های فوقانی و تحتانی یک کنده درخت به قطر  $d=30\text{cm}$  بدست آمده است. ضریب مقطع را سرای حالی که  $\alpha=45^\circ$  باشد محاسبه کید.

مسئله ۸-۲-۲۸ دونبشی به ابعاد  $125\times10\text{mm}$  مطابق شکل ۸-۲-۲۸ به یکدیگر جوش داده شده‌اند و برای تحمل بارها در صفحه قائم بکار می‌روند به طوری که خمین حول محور خنثای افقی صورت می‌گیرد. اگر شش خمینی مجاز در کش و فشار  $150\text{MPa}$  باشد حداقل لنگر خمینی را که تیر مزبور می‌تواند تحمل کند محاسبه نمایید.



شکل ۸-۲-۲۸



شکل ۸-۲-۲۹

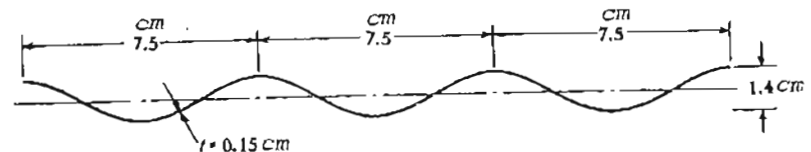
۴۲۲

مقطع در کش و فشار بکسان باشد. نش مجاز فشاری مصالح نیر سه برابر تنش مجاز کشی آن می‌باشد. پایین مقطع تحت کش و بالای آن تحت فشار قرار دارد.

مسئله ۱۱-۲-۸ اندازه  $h$  در شکل ۱۱-۲-۸ را چنان تعیین کنید که مقاومت مقطع در کش و فشار بکسان باشد. پایین مقطع تحت کش و بالای آن تحت فشار قرار دارد. نش مجاز فشاری مصالح نیر سه برابر تنش مجاز کشی آن می‌باشد.

مسئله ۱۲-۲-۸ ترا می‌باشد آورید. نش های مجاز مصالح ( مانند مسائل ۱-۲-۸ تا ۱۶-۲-۸ ) در روی شکل‌ها داده شده‌اند. ضرائب مقطع مقاطع I در شکل‌های ۱۷-۲-۸ و ۱۸-۲-۸ حول محوری افقی که از مرکز سطح آنها عبور کد به ترتیب برابر  $518\text{cm}^3$  و  $1289\text{cm}^3$  است. تیر شکل ۱۹-۲-۸ نیز دارای مقطع I با ضریب مقطع  $S=71.8\text{cm}^3$  می‌باشد. ضریب مقطع هر یک از مقاطع ناودانی در شکل ۲۰-۲-۵ حول محوری افقی که از مرکز سطح عبور کند برابر  $484\text{cm}^3$  است.

مسئله ۲۵-۲-۸ مقطع عرضی یک وری کگرهای به ضخامت  $1.5\text{mm}$  در شکل ۲-۲-۸ رسم شده است. سه اینکه مقطع مزبور به صورت یک موج سینوسی باشد ضریب مقطع را در واحد عرض ورن حساب کنید. اندازه  $1.4\text{cm}$  که در روی شکل نشان داده شده است از سطح خارجی تا سطح خارجی می‌باشد.

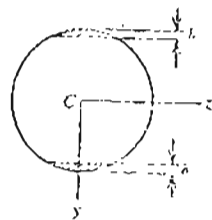


شکل ۸-۲-۲۵

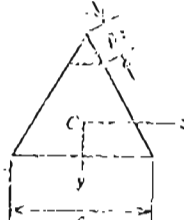
مسئله ۲۶-۲-۸ ابعاد مقطع عرضی مرتعی تیر قائم و ضخامت لازم برای الوارها را در سازه شکل ۲-۲-۸ که به عنوان دیوار حائل ساخته شده است بدست آورید. تیرهای قائم در فواصل  $2\text{m}$  از یکدیگر بر روی تیرهای فونداسیون قرار دارند و به وسیله سونهای مایل نگهداشته شده‌اند. در نتیجه تیر را می‌توان بصورت مفصلی در نقاط A و B فرض نمود که الوارها فشار خاک را بر آن منتقل می‌کنند. از تأثیر نیروهای طولی

۴۳۵

مسئله ۸-۲-۳۳ تیری با مقطع عرضی دایره و به قطر  $d$  حول محور  $z$  خم نمی‌شود (شکل ۸-۲-۳۳). برای اینکه ضرب مقطع افزایش یابد دو نقطه هاشور خورد  $\delta$  ارتفاع  $\delta$  از سیر برداشته می‌شود. مقداری از  $\delta$  را که باعث می‌شود بیشترین ضرب مقطع بدست آید پیدا کنید.



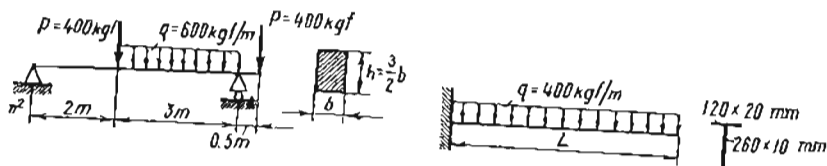
شکل ۸-۲-۳۳



شکل ۸-۲-۳۴

مسئله ۸-۲-۳۴ فرم هاشور خورد تیر مثلثی شکل ۸-۲-۲۴ با اضلاع مساوی بریده می‌شود تا سر ضرب مقطع تیر افزوده شود. به ازای چه مقداری از  $\beta$  تیر مزبور بیشترین ضرب مقطع را حواهد داشت؟

مسئله ۸-۳-۱ استاد سراس بش عمودی مجاز  $100 \text{ kg/cm}^2$  ابعاد تیر مستطیلی شکل ۱-۲-۸ را تعیین نمایید. سین شرشی ماکریم را در تیر حساب کنید.



شکل ۸-۳-۱

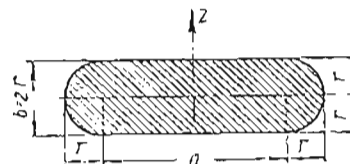
شکل ۸-۳-۶

مسئله ۸-۴-۱ ابتدا بر اساس تنش‌های عمودی مجاز  $400 \text{ kg/cm}^2$  برای کشن و  $1500 \text{ kg/cm}^2$  سرای فشار) حداقل مجاز طول  $L$  تیر را تعیین کنید. سپس تنش برشی ماکریم را در تیر حساب کنید (شکل ۸-۴-۱).

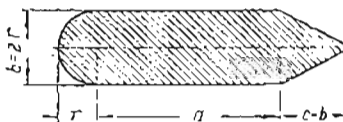
۴۲۴

مسئله ۸-۲-۲۹ فسخ کتاب شکل ۸-۲-۲۹ از ورقهای شبهه به صخامت  $6 \text{ mm}$  ساخته شده است. برای اینکه فسخ کتاب نا مدت زیادی قابل استفاده باشد بروقهای شبهه معمولی نمی‌توان بیناز  $70 \text{ kg/cm}^2$  در کشش سار وارد نمود. اگر تکیه‌گاهها در عوامل شهینه (ابتیم) قرار داده شود وزن متوسط کتاب هادر طول فسخ کتاب را تخمین بزنید.

مسئله ۸-۲-۳۵ برای مقطع عرضی پایه پل در شکل ۸-۲-۳۵ گشتاورهای لختی بست به محورهای  $y$  و  $z$  را محاسبه کنید.



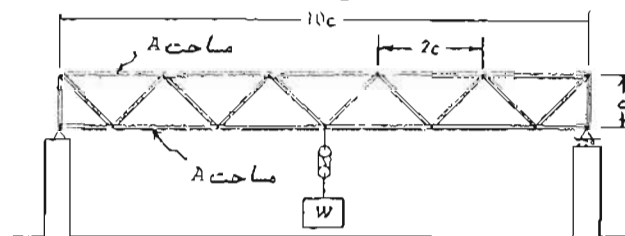
شکل ۸-۲-۳۵



شکل ۸-۲-۳۶

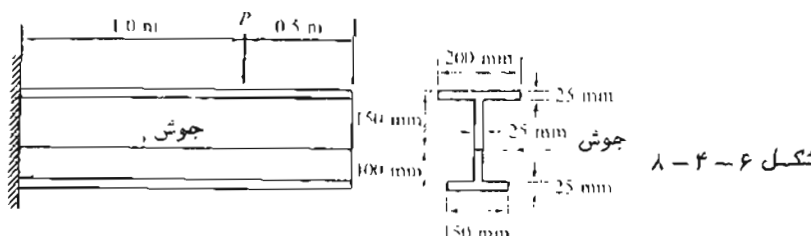
مسئله ۸-۲-۴۱ برای مقطع عرضی پایه پل در شکل ۸-۲-۴۱ گشتاور لختی را نسبت به محوری افقی که از مرکز سطح سورکد پیدا کند.

مسئله ۸-۲-۴۲ حریای سقف شکل ۸-۲-۴۲ مار  $W$  را در وسط دهانه ای حمل می‌کند. سیروهای اعصاب افغی در بالا و پایین خرپا را حاب کند. سین تنشها را در این اعفاء حاب و سه صورت ساعی از فاصله در طول دهانه خرپا رسم نمایید. حال خرپا را به صورت تیر بیوسته‌ای فرض کنید که در آن فقط اعصاب هوتفانی و نوحتنی در خمنش موئیر می‌باشد. با استفاده از نشوری تیرها، تنشها در بالا و پایین تیر را به صورت ساعی از فاصله در طول دهانه شیر رسم و با منحنی قبلی مقایسه کنید. اگر خرپا را به صورت سری در نظر گیریم، سه اعصاب افغی آن چه می‌باشد؟

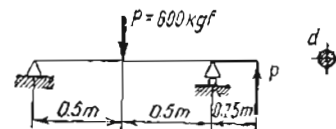


شکل ۸-۲-۴۲

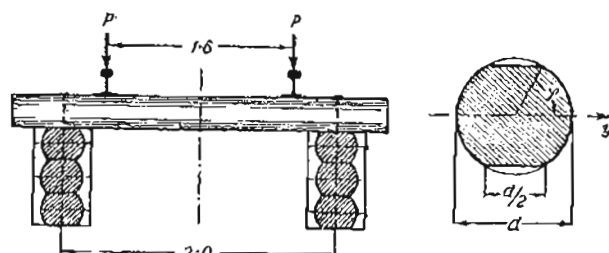
۴۲۷



۱-۸-۸ را تعیین نماید. سپس نتش برشی ماکریم را در نیر حساب کند.

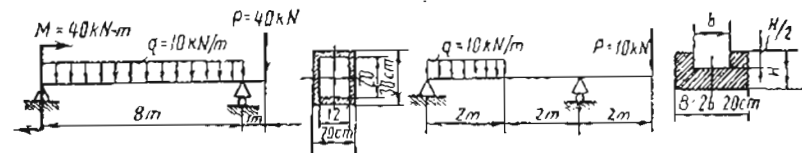


مسئله ۸-۵-۲ سیرهای پل عرضی راه آهن در شکل ۲-۵-۸ از کندهای در راه به فطر  $d=25\text{cm}$  که بالا و پایین آنها برده شده ساخته شده است و مارهای  $P=6\text{t}$  را مطابق نکل حمل می کند. اگر نتش مجاز کشی و فشاری  $100\text{Kg/cm}^2$  و سین مجاز برشی  $20\text{Kg/cm}^2$  باشد، کافی بودن اندازه تترها را بررسی کند.  
راهنمایی: گشاور لختی مقطع عرضی دایره ای که دو قطعه آن مطابق شکل بریده شده باشد، گشاور اول سطح بیمی از مقطع سبک به محور  $y$  برابر  $Q_y = \frac{d}{12} (1 - \cos^3 \phi)$  می باشد.



۴۲۸

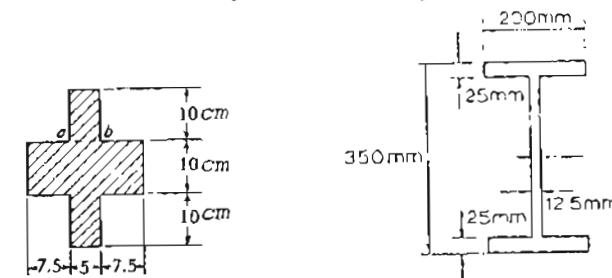
مسئله ۸-۴-۲ حداقل نتش برشی را در تیر شکل ۲-۴-۸ بیندا کند.



شکل ۸-۴-۳

مسئله ۸-۴-۳ ابدا بر اساس نش عמודی مجاز  $160\text{MN/m}^2$  ارتفاع H مقطع نیر شکل ۲-۴-۸ را تعیین کند. سپس نتش برشی ماکریم را در نیر محاسبه کند.

مسئله ۸-۴-۴ اگر سیروی برشی کل در مقطع عرضی شکل ۴-۴-۸ برابر  $22500\text{Kg}$  باشد، نتش برشی در روی خط ab را بیندا کند.



شکل ۸-۴-۵

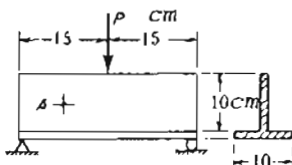
مسئله ۸-۴-۵ برای تیر I شکل ۵-۴-۸ نسبت نتش برشی ماکریم به نتش برشی متوسط در جان سیر را بیندا کند.

مسئله ۸-۴-۶ تیر طرهای فولادی شکل ۶-۴-۸ از دو نیشی ساخته شده است که به یکدیگر جوش نشده اند. با صرف نظر نمودن از وزن نیر بر مجاز P را حساب کنید. نتش مجاز فولاد در کشش و فشار برابر  $150\text{MN/m}^2$  و در برش برابر  $100\text{MN/m}^2$  است. مقاومت برشی جوش  $q=2\text{MN/m}$  می باشد.

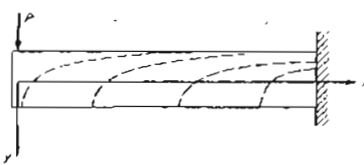
مسئله ۸-۵-۱ ابدا بر اساس نش عמודی مجاز  $450\text{Kg/cm}^2$  قطر L نیر شکل

۴۳۹

**مسئله ۱-۲-۸** تیر جدی کوتاهی به دهانه  $30\text{cm}$  بار  $P=2000\text{Kg}$  را در وسط دهانه اش (مطابق شکل ۱-۷-۸) حمل می‌کند. مقطع عرضی نیر به شکل بک  $T$  وارونه با ابعاد نیاز دارد که در شکل می‌باشد. ضخامت نیار  $5\text{mm}$  است. تنش کششی ماقریزم در تیر در کدام نقطه و چقدر است؟



١-٢-١ شکل

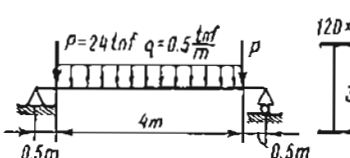


۱-۲-۳ شکل

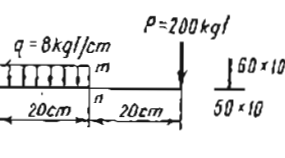
مسئله ۲-۷-۸ دایره موهربا برای حالت تنش در نقطه A مئله قبیل ( شکل ۱-۷-۸ ) که در فاصله ۷.۵ CM از تکیه کاه چپ و وسط فاصله بین سطوح فوچانی و تحتانی تیر قوار دارد رسم کنید. با استفاده از دایره موهربا، مقدار و امتداد تنش کششی اصلی ( σ ) را در نقطه مزبور پیدا کنید.

مسئله ۳-۷ معادله دیفرانسیل منحنی‌های میر تنش اصلی را برای تیر طره‌ای با مقطع عرضی مستطیل شکل ۳-۲-۸ بنویسید.

مسئله ۴-۷ تنشهای اصلی را در خطرناکترین مقطع تیر شکل ۴-۷-۸ و در محل برخورد بال و جان تیر پیدا کنید. ابعاد مقطع تیر بر حسب میلیمتر می‌باشند.



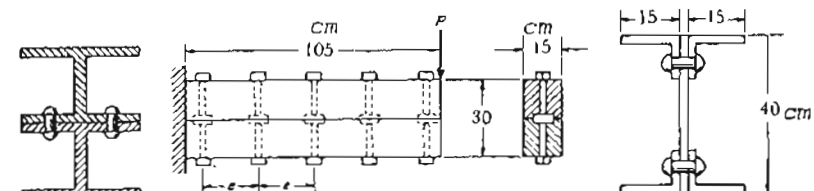
٢-٢-٤ شکل



١-٢-٥-٦

11

مسئله ۱ -۶-۸- نر نکل ۱-۶-۸- اربیم پیوستن دو نسیز I فولادی به کمک پروج های سه فظر  $2\text{cm}$  ساخته شده است. عاصله مرکز نا مرکز پروج ها  $10\text{cm}$  است. هر یک ار تیرهای I دارای ارتفاع مقطع  $10\text{cm}$ ، عرض سال  $7.5\text{cm}$ ، صخامت حان  $0.4\text{cm}$  و گنساور لختی  $257.5\text{cm}^4$  است به محور افقی که از مرکز سطح عبور کند) و مصاحب سطح مقطع  $14.6\text{cm}^2$  می باشد. دهانه نر سوابر  $1.5\text{m}$  در دو انتهای دارای شکه کاهه های ساده و نحت بار بکواختی می باشد که در آن تنش عمودی ماکرسم  $1120\text{Kg/cm}^2$  ایجاد می کند. تنش بررسی موسط ابجاد سده در پروج های محاور دو انهای سر را حساب کید.



شکل ۱-۶-۸

۱-۶-۲

١-٦-٤

مسئله ۲-۶-۸- از دو سر جوشی به ابعاد  $15 \times 15 \text{ cm}$  ساخته شده که بولسه پیچها و حلقه های متصل کشیده به بدیگر متصل شده اند . سوراخ های پیچها به قطر  $2 \text{ cm}$  می باشند و هر حلقة متصل کننده می خواند سیروی برشی  $3000 \text{ Kg}$  را با اطمینان منتقل کند . اگر بار وارد در انتهای آزاد تیر  $P = 2500 \text{ Kg}$  باشد ، فاصله لازم (e) بین پیچها چقدر است ؟

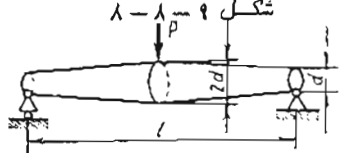
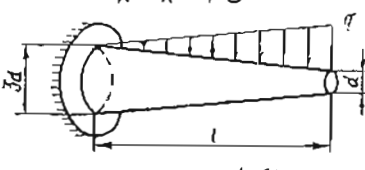
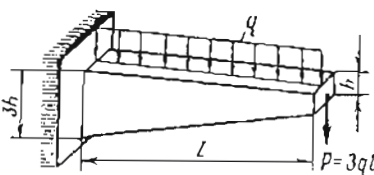
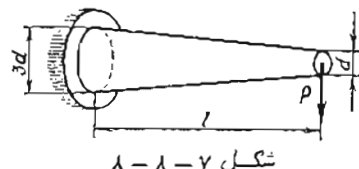
مسئله ۲-۶-۸ در مسئله ۲-۶-۸ افرض ایکه فاصله اولین پیچ از دیوار برابر ۵cm باشد، حداکثر شن عمودی را در تیر حساب کنید.

مسئله ۴-۶-۸ شاه تیر تکل ۴-۶-۸ از منصل کردن چهار نبی  
 ۱۵۰×۱۱۵×۱۲ mm به یک ورق 40×2.5 cm سه کمک پرج های به قطر 2.4 cm ساخته شده است. شاه تیر مزبور به دهانه 6m و در دو انتهای دارای تکیه کاوهای مفصلی می باشد و بار متغیر  $P$  را در وسط دهانه اش حمل می کند. فاصله  $e$  بین پرج ها را چنان تعیین کنید که از حد اکثر مقاومت حمی شاه تیر استفاده شود. تنش مجاز عمودی شاه تیر  $W^2 = 1120 \text{ Kg/cm}^2$  و تنش برخی متوسط مجاز در پرج ها  $\sigma_{\text{all}}/W = 420 \text{ Kg/cm}^2$  می باشد.

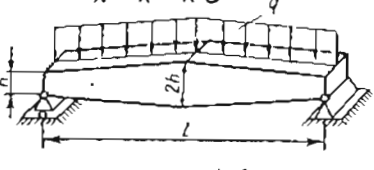
۴۴۱

مسئله ۶-۸-۸ سر سادهای سدهای  $L$  و با مقطع عرضی مستطیل که عرض  $b$  اند  
سانت و ارتفاع  $h$  اند معین می باشد سخت اثر بار مرکز  $P$  قرار دارد. این بار مرکز  
مکن آب در هر بعده از طول سیر واقع نشود. ارتفاع  $h$  تیر چگونه باید به صورت تابعی  
از  $x$  ( که از وسط دهای تیر اداره گیری می شود ) نمایر کند تا نش عمودی ماکزیمم در  
طول سر ثابت و برابر نش مجاز  $\sigma_w$  باشد ؟

مسائل ۸-۸-۲ ۸-۸-۱۲ در شکل های ۸-۸-۷ تا ۸-۸-۱۲ فاصله  
مقطع عرضی را که در آن نش عمودی ماکزیمم است از انتهای چپ نش پیدا کنید.



شکل ۸-۸-۱۱

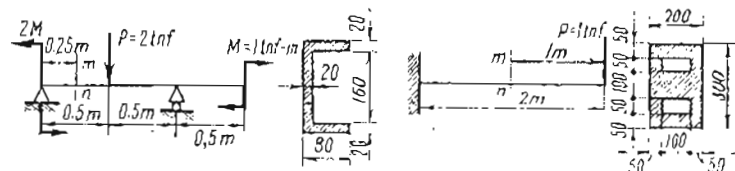


شکل ۸-۸-۱۲

مسئله ۸-۹-۱ یک میله منشوری که مقطع آن به شکل شش ضلعی (شکل ۱-۹-۱) می باشد از نش قطعه جوب با مقطع مثلث متساوی الاضلاع ساخته شده است. فطعات یکدرو  
میان از دو نوع چوب محلف اسراصب ارجاعی  $E_2 = 70000 \text{ Kg/cm}^2$  و  $E_1 = 84000 \text{ Kg/cm}^2$  ساخته شده که با جب میکدیگر متصل شده اند. اداره طول  $a$  در روی شکل برابر  
 $M = 1000 \text{ cmKg}$  است. اگر میله مذبور در صفحه نقارن طولیش تحت خمن خالص  $2.5 \text{ cm}$  فشار گردد، نش عمودی ماکزیمم شانی از خمن را در آن حساب کنید.

۴۴۰

اصلی را در مقطع III-III و در حایی که عرض سیر بطور ساگهانی نفیر می کند پیدا کنید.  
ابعاد ماطع شرکتی در روی شکل ها سرت حسب ملتمتر می باشد.



شکل ۸-۷-۶

شکل ۸-۷-۷

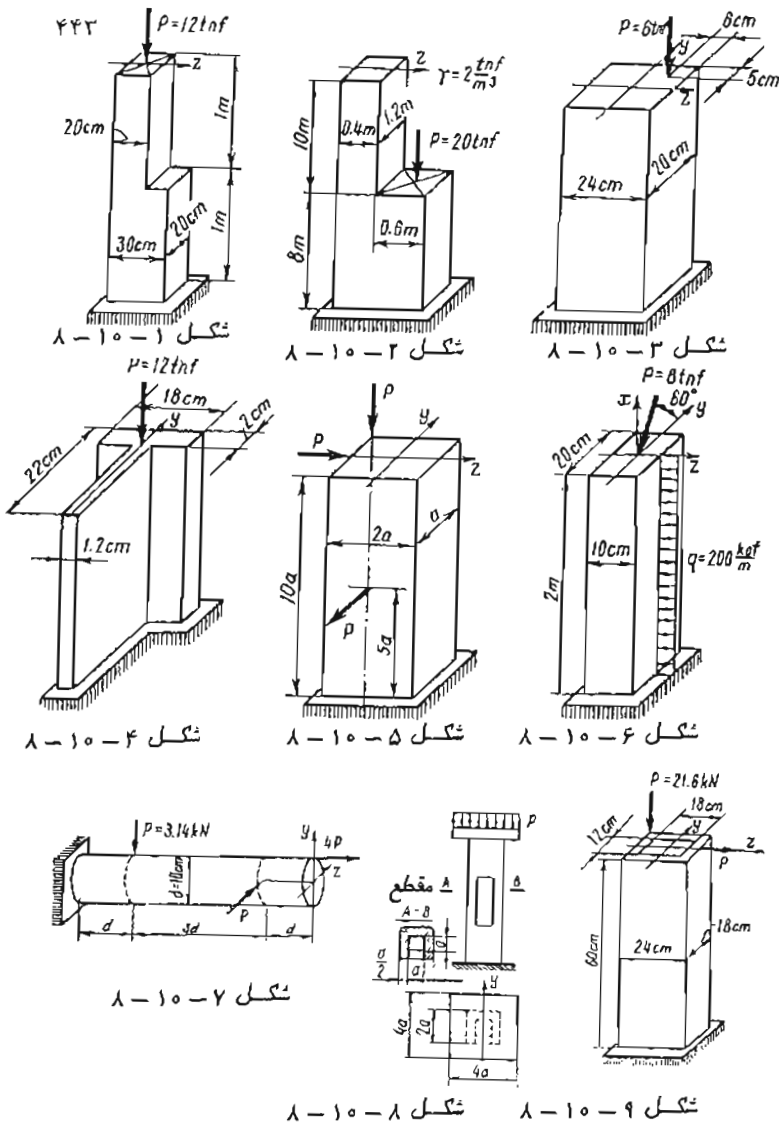
مسئله ۸-۸-۱ اگر در سر طرهای غیر منثوری شکل ۸-۲۸ باشد، نش  
عمودی ماکزیمم شانی از خمن را پیدا کنید. این نش را با نش ماکزیمم  $\sigma_w$  در تکیه گاه  
مقابله کنید.

مسئله ۸-۸-۲ برای چه معادله ای سبب  $\frac{d}{b}$  نش عمودی ماکزیمم در تیر  
طرهای شکل ۸-۲۸ در محل تکیه گاه انفاق حواهد افتاد ؟

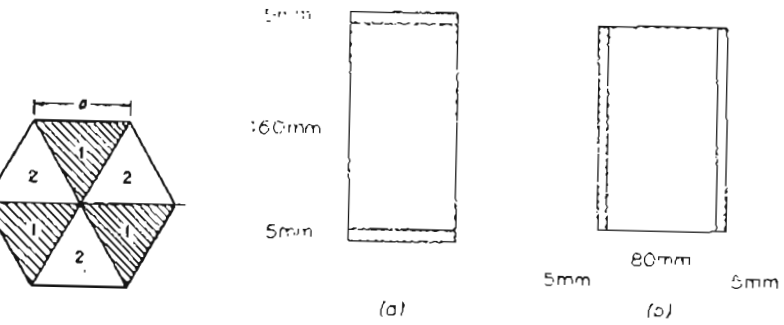
مسئله ۸-۸-۳ یک سر طرهای غیر منثوری با مقطع عرضی مربع بار مرکز  $P$  را در  
انتهای آزادش تحمل می کند. عرض و ارتفاع مقطع عرضی سر به صورت خطی از  $h$  در  
انهای آزاد نا ۱۱ در انهای گیر دار تغییر می کند. نش عمودی ماکزیمم ناشی از خمن  
را تعیین کنید.

مسئله ۸-۸-۴ یک سر طرهای سا مقطع عرضی مستطیل که ارتفاع نایب  $h$  و عرض  
متغير  $b$  دارد بار مرکز  $P$  را در انهای آزادش تحمل می کند. عرض  $b$  تیر چگونه  
باید به صورت نایبی از  $x$  ( که ار انهای آزاد تیر اداره گیری می شود ) نمایر کند تا  
نش عمودی ماکزیمم در طول سیر سا و برابر  $\sigma_w$  باشد ؟

مسئله ۸-۸-۵ اگر سر طرهای شکل ۸-۲۱ به جای بار مرکز سخت اتریارگسترده ای  
باشد یکواخت  $\sigma_w$  باشد شکل آن چگونه باید باشد تا نش عمودی ماکزیمم در طول  
سر ثابت و برابر نش محاذ  $\sigma_w$  باشد ؟



۴۴۲



شکل ۱ - ۹ - ۱

**مسئله ۱ - ۹ - ۲** هر گاه مسئله مسئله قبل به صورت نیز ساده‌ای بکار رود که در وسط دهانه آن بار  $P=150\text{Kg}$  وارد شود، نتش سرشی در جسب در بین نیمه‌های فوقانی و تحتانی تیر را حساب کند.

**مسئله ۱ - ۹ - ۳** یک نیز جویی ساقطع مستطیل به عرض  $20\text{cm}$  و ارتفاع  $30\text{cm}$  وسیله دو ورق فلزی در سالا و پایین آن تقویت شده است (شکل ۱ - ۹ - ۳) ورق فوقانی به مخاتم  $2\text{cm}$  و از چدن سا ضرب ارجاعی  $E_C = 10^6 \text{Kg/cm}^2$  ورق تحتانی به مخاتم  $0.5\text{cm}$  و از فولاد با ضرب ارجاعی  $E_S = 2 \times 10^6 \text{Kg/cm}^2$  می‌باشد. ضریب ارجاعی چوب  $E_W = 10^5 \text{Kg/cm}^2$  است. اگر نیز چنان بارگذاری شود که تنش کشی ماکریم در فولاد برابر  $1120\text{Kg/cm}^2$  باشد، تنش فشاری ماکریم نظری  $\Delta$  در چدن چقدر است؟

**مسئله ۱ - ۹ - ۴** یک تیر جویی به عرض  $80\text{mm}$  و ارتفاع  $160\text{mm}$  با دو ورق فولادی به مخاتم  $5\text{mm}$  تقویت می‌شود (شکل ۱ - ۹ - ۴). نسبت لگرهای ماکریمی را که در دو حالت زیر تیر مزبور می‌تواند تحمل کند با فرض اینکه تنش عمودی ماکریم در چوب در هر دو حالت یکسان باشد حساب کنید:

- الف - دو ورق فولادی به عرض  $80\text{mm}$  به سطوح فوقانی و تحتانی تیر متصل می‌شوند.
  - ب - دو ورق فولادی به ارتفاع  $160\text{mm}$  به دو سطح قائم تیر متصل می‌شوند.
- ضریب ارجاعی فولاد 20 برابر ضریب ارجاعی چوب می‌باشد.

**مسئله ۱ - ۱۰ - ۸ تا ۱ - ۱۰ - ۹** در شکل‌های ۱ - ۱۰ - ۸ تا ۱ - ۱۰ - ۹ ناشی از تنش‌های عمودی ماکریم و مینیم و محل محور خنثی را در خط‌نراکترین مقطع سدست آوردید.

کمیت ۲ در شکل ۲ - ۱۰ - ۸ وزن مخصوص مصالح می‌باشد.

۴۴۵

### مسائل ۸-۱۰-۱۲ تا ۸-۱۰-۱۵ در شکل های ۸-۱۰-۱۲ تا ۸-۱۰-۱۵

نشش عمودی ماقرنسه محل محور حسی را بر حطر ساکرسین مقطع سر تعیین کند. سر عمودی مقصمه ( $\sigma_{min}$ ) در روی شکل ها داده شده است.

### مسائل ۸-۱۰-۱۳ تا ۸-۱۰-۱۸

مقاطع حطر ساک میله ها و در اعماقانی که تحت خمن توان سار محوری هستند محاسبه کنید ( شکل های ۸-۱۰-۱۳ تا ۸-۱۰-۱۸ ) .

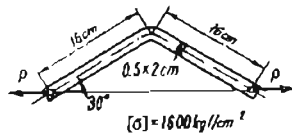
### مسائل ۸-۱۰-۱۹ تا ۸-۱۰-۲۶

سار مجار P را در شکل های ۸-۱۰-۱۹ تا ۸-۱۰-۲۶ بدست آورید. علامت های زیر در روی این شکل ها بکار رفته است :

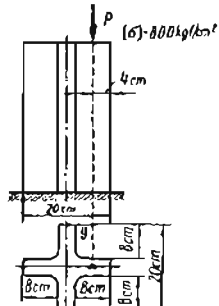
$$\text{نشش مجاز کششی} = [\sigma_t]$$

$$\text{نشش مجاز کششی و فشاری} = [\sigma_c]$$

$$\text{نشش مجاز فشاری} = [\sigma_c]$$



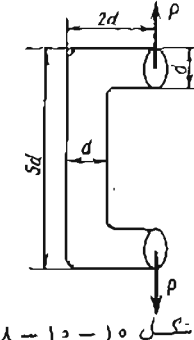
شکل ۸-۱۰-۱۹



شکل ۸-۱۰-۲۰

۴۴۴

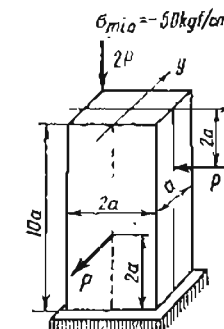
$$\sigma_{min} = -550 \text{ kgf/cm}^2$$



شکل ۸-۱۰-۱۰

۴۴۴

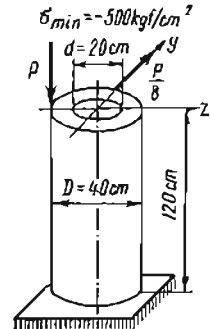
$$\sigma_{min} = -50 \text{ kgf/cm}^2$$



شکل ۸-۱۰-۱۱

۴۴۴

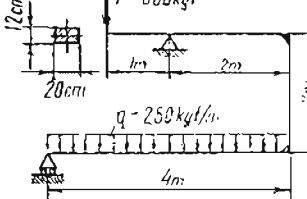
$$\sigma_{min} = -500 \text{ kgf/cm}^2$$



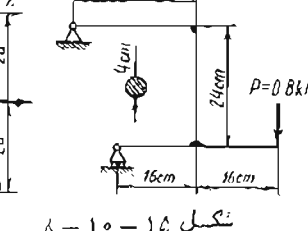
شکل ۸-۱۰-۱۲

۴۴۴

$$P = 800 \text{ kgf}$$



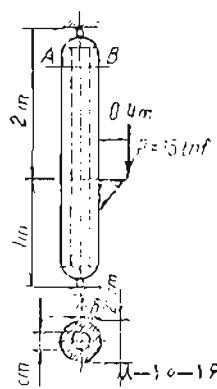
شکل ۸-۱۰-۱۳



شکل ۸-۱۰-۱۴

۴۴۴

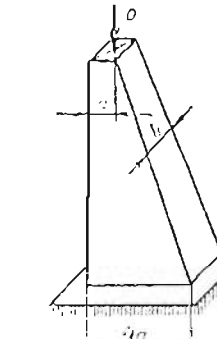
$$\sigma = 15 \text{ t/m}^2$$



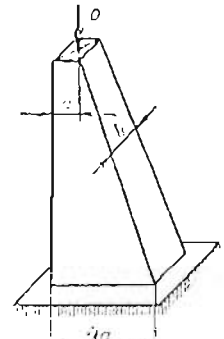
شکل ۸-۱۰-۱۵

۴۴۴

$$\sigma = 15 \text{ t/m}^2$$



شکل ۸-۱۰-۱۶



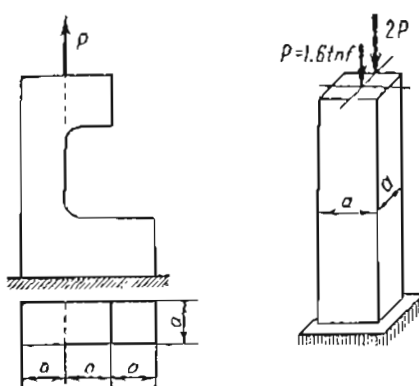
شکل ۸-۱۰-۱۷



شکل ۸-۱۰-۱۸

۴۴۷

مسئله ۱۰-۲۷ هر گاه تنش مجاز کشی و غشاری برای سازه شکل ۱۰-۲۷ باشد حداقل لازم برای طول  $a$  را تعیین کنید.



شکل ۱۰-۲۷

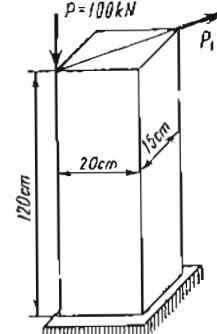
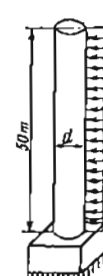
شکل ۱۰-۲۸

شکل ۱۰-۲۹

مسئله ۱۰-۲۸ ت شهرهای مجاز کشی و غشاری برای ستون شکل ۱۰-۲۸ باشد  $1200 \text{ Kg/cm}^2$  ترتیب  $300 \text{ Kg/cm}^2$  باشد. اندازه  $a$  ستون را تعیین کنید.

مسئله ۱۰-۲۹ هر گاه تنش مجاز کشی و غشاری ستون شکل ۱۰-۲۹ برای  $\sigma_w$  باشد قطر لازم ستون دایره‌ای را محاسبه کنید.

مسئله ۱۰-۳۰ در شکل ۱۰-۳۰-۱۰-۸ ضخامت  $t_1$  ورق را چنان تعیین کنید که تنش عمودی ماقریم در تسممهای ورق فوقانی یکسان باشد.

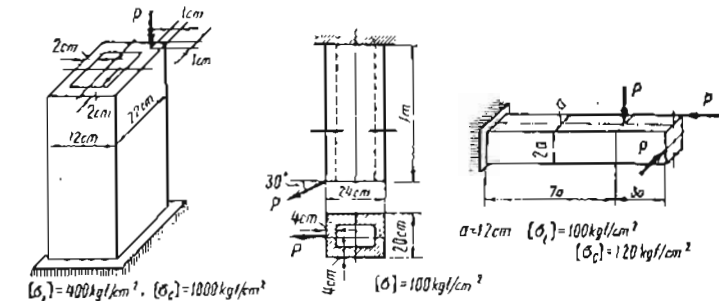


شکل ۱۰-۳۰

شکل ۱۰-۳۱

شکل ۱۰-۳۲

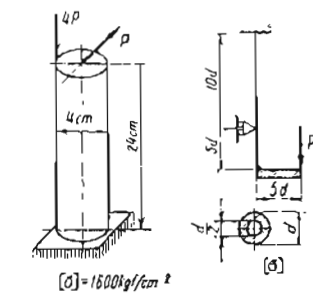
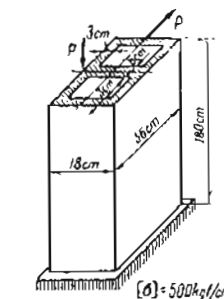
۴۴۸



شکل ۱۰-۲۱

شکل ۱۰-۲۲

شکل ۱۰-۲۳

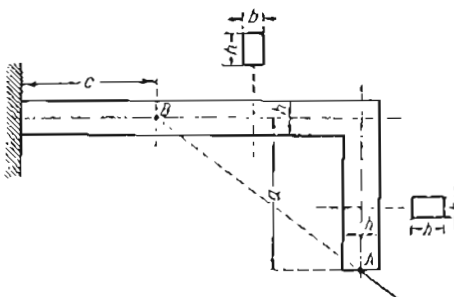


شکل ۱۰-۲۴

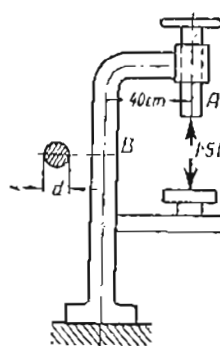
شکل ۱۰-۲۵

شکل ۱۰-۲۶

۴۴۹



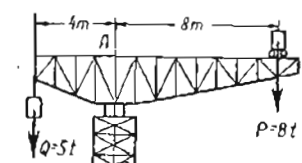
شکل ۸-۱۰-۳۵



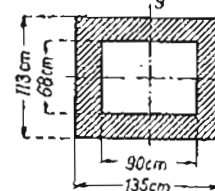
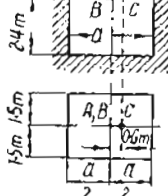
شکل ۸-۱۰-۳۶

می شود (شکل ۸-۱۰-۳۶). فطر ستون چدنی ماشین منه را تعیین کند. تنش مجاز کشی چدن  $350 \text{ Kg/cm}^2$  می باشد.

مسئله ۸-۱۰-۳۷ جرثقیل شکل ۸-۱۰-۳۷ که برای بلند کردن وجا بجا کردن بارهای تا ۸ بکار می رود بر روی یک فونداسیون بتنی نگه دارد. محور AB جرثقیل از مرکز سطح فونداسیون عبور می کند. با فرض اینکه وزن جرثقیل برابر با  $18t$  (بدون وزن بار P و وزنه تعادل Q) در نقطه C به فاصله  $0.6 \text{ m}$  از محور AB به فونداسیون وارد شود، انداره a صلح فونداسیون را چنان تعیین کنید که در پای فونداسیون تنش کشی ایجاد نشود. وزن واحد حجم سن  $2.2 \text{ t/m}^3$  می باشد. حداقل فشار زمین را برای مقدار انتخاب شده a تعیین کنید.



شکل ۸-۱۰-۳۷



شکل ۸-۱۰-۳۸

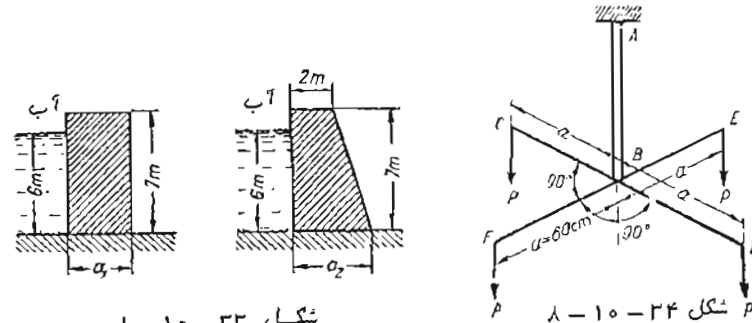
شکل ۸-۱۰-۳۹

۴۴۸

مسئله ۸-۱۰-۳۱ ور مخصوص مصالح ستون شکل ۸-۱۰-۳۱  $\gamma=2.5 \text{ t/m}^3$  و  $p=90 \text{ Kg/m}^2$  می باشد. قطر ستون را چنان تعیین کنید که در هیچ بکار مفاطع افقی تنش کشی ایجاد نشود.

مسئله ۸-۱۰-۳۲ سار  $P_1$  در ستون شکل ۸-۱۰-۳۲ تعیین کنید که در قسمت پایین ستون تنش کشی ایجاد نشود.

مسئله ۸-۱۰-۳۳ دو مقطع عرضی مختلف برای یک سد سنگی در شکل ۸-۱۰-۳۳ ایجاد شده است. ارتفاع سد  $7 \text{ m}$  و وزن مخصوص ستن  $2t/\text{m}^3$  است. عرض های  $a_1$  و  $a_2$  را چنان تعیین کنید که در قسمت نحایی آن تنش کشی ایجاد نشود.



شکل ۸-۱۰-۳۳

مسئله ۸-۱۰-۳۴ چهار وزنه  $P=100 \text{ Kg}$  بطور مقارن از نقطه ملتبهی - شکل CDEF که به صورت صلب به لوله فولادی AB متصل است آویران می باشد (شکل ۸-۱۰-۳۴). لوله AB دارای عطر حارخی  $60 \text{ mm}$  و صمامت جدار  $2 \text{ mm}$  می باشد. تنش کشی ماکریم در لوله را در اثر چهار بار مزبور حساب کنید. همن کار را برای حالتی که یکی از بارها برداشته شده باشد تکرار کنید.

مسئله ۸-۱۰-۳۵ میله خم شده شکل ۸-۱۰-۳۵ از مقطع عرضی مستطیل نحت اثر سیروی P فراز دارد. امتداد سیروی P از مرکز سطوح های A و B مقطع عرضی عبور می کند. اگر  $P=2t$  ،  $a=90 \text{ cm}$  ،  $b=6 \text{ cm}$  ،  $h=10 \text{ cm}$  ،  $c=80 \text{ cm}$  و طول L قسمت افقی میله را برابر  $2 \text{ m}$  باشد حداقل تنش عمودی چقدر است؟

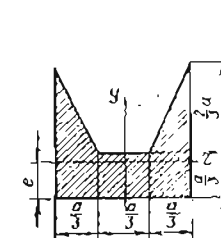
مسئله ۸-۱۰-۳۶ در هنگام متده کاری یک نقطه، سیروی  $1.5 \text{ t}$  به ماشین منه منتقل

۱۰۱

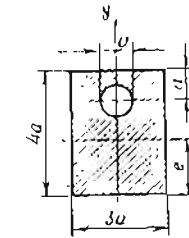
۱۳ - ۸ جواب‌های مسائل حل شده

450

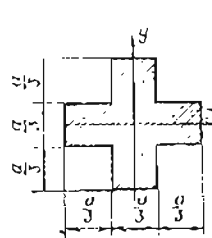
مساکل -۲۸ -۱۰ -۸ تا ۴۵ -۱۵ -۸ هسته معاطع عرضی سان داده شده در هر یک از سکل های -۲۸ -۱۰ -۸ تا ۴۵ -۱۵ -۸ را بیدا کید.



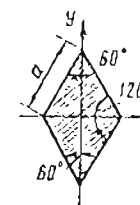
شکل ۱۰-۴۰ شکل ۱۰-۴۱



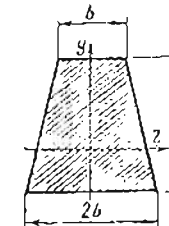
شکل ۱۰-۴۱ شکل ۱۰-۴۲



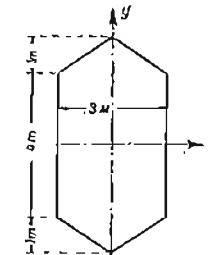
٤٢ - ١٠ - ٨



٨-١٠-٤٣ شکل ٨-١٠-٤٤ شکل

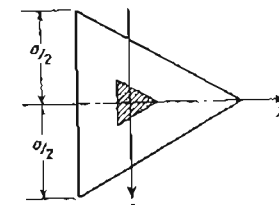


١٥-٣٤-٣٥-٣٦



λ = 30 - F5 J-5

مسنّه ۴۶-۱۰-۸ نشان دهد هسته یک مقطع عرضی به شکل متساوی الاضلاع به اصلاح a (شکل ۴۶-۱۰-۸) یک مثلث متساوی الاضلاع به اصلاح به  $\frac{a}{4}$  می‌باشد.



٨ - ١٥ - ٤٦ شکل

# Bonab Civil Center ... Civilsa ... sasily.persianblog.ir

۴۵۱

$$\begin{array}{ll}
 \frac{2}{5} L & : \lambda - \lambda - \lambda \\
 L/4 & : \lambda - \lambda - 10 \\
 L/2 & : \lambda - \lambda - 12 \\
 5.52 \text{ Kg/cm}^2 & : \lambda - 9 - 2 \\
 1.425 & : \lambda - 9 - 4 \\
 & 0 ; -40 \text{ Kg/cm}^2; z_0 = 15 \text{ cm} \\
 -3.51 \text{ Kg/cm}^2 & ; -4.63 \text{ Kg/cm}^2; z_0 = -363 \text{ cm} \\
 25 \text{ Kg/cm}^2 & ; -50 \text{ Kg/cm}^2; y_0 = -6.67 \text{ cm}; z_0 = -8 \text{ cm} \\
 65 \text{ Kg/cm}^2 & ; -286 \text{ Kg/cm}^2; y_0 = -12.5 \text{ cm}
 \end{array}$$

$$26.5P/a^2 ; -27.5P/a^2 ; y_0 = \frac{a}{54}; z_0 = -\frac{a}{27} : \lambda - 10 - 5$$

$$\begin{array}{ll}
 1285 \text{ Kg/cm}^2; -1355 \text{ Kg/cm}^2; y_0 = 0.29 \text{ cm}; z_0 = 1.47 \text{ cm} & : \lambda - 10 - 6 \\
 17.6 \text{ MN/m}^2; -14.4 \text{ MN/m}^2; y_0 = -0.834 \text{ cm}; z_0 = 0.625 \text{ cm} & : \lambda - 10 - 7 \\
 -4.88p & ; -7.37 p ; y_0 = 6.2 a \\
 9.3 \text{ MN/m}^2 & ; -11.3 \text{ MN/m}^2; y_0 = -4.67 \text{ cm}; z_0 = -1.43 \text{ cm} \\
 & 650 \text{ Kg/cm}^2; z_0 = -\frac{d}{24} \\
 44.7 \text{ Kg/cm}^2 & ; y_0 = \frac{a}{6} ; z_0 = \frac{a}{15} \\
 300 \text{ Kg/cm}^2 & ; y_0 = 8.3 \text{ cm} ; z_0 = 7.8 \text{ cm} \\
 79.3 \frac{P}{d^2} & ; -93.5 \frac{P}{d^2} ; \lambda - 10 - 14 \\
 1122; -1034 \text{ Kg/cm}^2 & ; \lambda - 10 - 15
 \end{array}$$

$$\frac{P}{3ab} (a_x = 3a \quad \downarrow) ; -\frac{4P}{3ab} (a_x = \frac{3}{2}a \quad \downarrow) : \lambda - 10 - 17$$

$$\frac{P}{\pi d^2} (d_x = 2d \quad \downarrow) ; -\frac{125P}{27d^2} (d_x = 1.2d \downarrow) : \lambda - 10 - 18$$

$$2780 \text{ Kg} : \lambda - 10 - 19 \quad 64 \text{ Kg} : \lambda - 10 - 19$$

$$4180 \text{ Kg} : \lambda - 10 - 21 \quad 19550 \text{ Kg} : \lambda - 10 - 21$$

$$6000 \text{ Kg} : \lambda - 10 - 22 \quad 360 \text{ Kg} : \lambda - 10 - 22$$

۴۵۲

$$\begin{array}{ll}
 P = 1 t & : \lambda - 2 - 24 \\
 & P = a^2 \sigma_0 : \lambda - 2 - 23 \\
 & S = 0.0433 \text{ cm}^3/\text{cm} : \lambda - 2 - 25 \\
 & \text{ابعاد تیرهای فائم } 16 \times 16 \text{ cm \& ضخامت الواarma } t = 6.25 \text{ cm} \text{ میباشد.} \\
 12000 \text{ mN} & : \lambda - 2 - 28 \\
 & S = 1875 \text{ cm}^3 : \lambda - 2 - 22 \\
 & 48.4 \text{ Kg/m} : \lambda - 2 - 29
 \end{array}$$

$$I_y = \frac{ab^3}{12} + \frac{\pi b^4}{64} ; I_z = \frac{ab}{12}(a^2 + 2b^2) + \frac{\pi b^2}{64}(b^2 + 4a^2) : \lambda - 2 - 30$$

$$I = \frac{\Gamma^3}{24} (16a + 3\pi r + 8r) : \lambda - 2 - 31$$

$$\beta = 0.130 : \lambda - 2 - 24 \quad \delta = 0.011 d : \lambda - 2 - 22$$

$$h = 24.2 \text{ cm} ; \tau_{\max} = 5.6 \text{ Kg/cm}^2 : \lambda - 2 - 1$$

$$2.79 \text{ MN/m}^2 : \lambda - 4 - 2 \quad L = 3 \text{ m}; \tau_{\max} = 60.5 \text{ Kg/cm}^2 : \lambda - 4 - 1$$

$$\tau = 180 \text{ Kg/cm}^2 : \lambda - 4 - 4 \quad H \approx 8 \text{ cm}; \tau_{\max} = 182 \text{ MN/m}^2 : \lambda - 4 - 2$$

$$144 \text{ kN} : \lambda - 4 - 5 \quad 3.57 : \lambda - 4 - 5$$

$$d = 8 \text{ cm} ; \tau_{\max} = 16 \text{ Kg/cm}^2 : \lambda - 5 - 1$$

$$e = 24 \text{ cm} ; \tau = 347 \text{ Kg/cm}^2 : \lambda - 5 - 1$$

$$e = 19.55 \text{ cm} ; 128 \text{ Kg/cm}^2 : \lambda - 5 - 2$$

$$\sigma_1 = 170 \text{ Kg/cm}^2, \phi = -54^\circ 20' : \lambda - 5 - 1 \quad \sigma_{\max} = 448 \text{ Kg/cm}^2 : \lambda - 5 - 1$$

$$(\frac{h^2}{4} - y^2)(\frac{dy}{dx})^2 + 2xy \frac{dy}{dx} - (\frac{h^2}{4} - y^2) = 0 : \lambda - 5 - 2$$

$$11.3 ; -120.3 \text{ Kg/cm}^2 : \lambda - 5 - 3 \quad 1745 ; -417 \text{ Kg/cm}^2 : \lambda - 5 - 4$$

$$26 ; -0.4 \text{ Kg/cm}^2 : \lambda - 5 - 4 \quad 370 ; -5 \text{ Kg/cm}^2 : \lambda - 5 - 5$$

$$\frac{d_b}{d_a} \leq 1.5 : \lambda - 5 - 5 \quad \sigma_{\max} = 2\sigma_b = \frac{64PL}{27\pi d_a^3} (x = \frac{L}{4} \downarrow) : \lambda - 5 - 1$$

$$b = \frac{6Px}{\Gamma^2 \sigma_w} : \lambda - 5 - 4 \quad \sigma_{\max} = \frac{8PL}{9h^3} (x = \frac{L}{2} \downarrow) : \lambda - 5 - 4$$

$$h = [\frac{3PL}{2b\sigma_w} (1 - \frac{4x^2}{L^2})]^{\frac{1}{3}} : \lambda - 5 - 5 \quad h = x \sqrt{\frac{-3a}{b\sigma_w}} : \lambda - 5 - 5$$

حجت الله عادلی

مقاومت مصالح

## فصل نهم

پیچش

### ۹-۱ پیچش یک میله دایرماهی

میله‌ای با مقطع عرضی دایره را که بوسیله دو لنگر پیچشی در دو انتهای تحت پیچش قرار دارد در نظر می‌گیریم \* (شکل ۹-۱a). این حالت بارگذاری موسوم به پیچش خالص می‌باشد. با توجه به تقارن می‌توان نشان داد که مقطع عرضی میله دایرماهی مانند اجسام صلبی حول محور طولی میله دوران می‌کند بطوریکه شعاع هامقین و مقطع عرضی به صورت دایرهای باقی می‌مانند. همچنین اگر زاویه پیچش کل میله کوچک باشد، طول میله و شعاع آن تغییر طول نخواهد داد.

در حین پیچش، یک انتهای میله نسبت به انتهای دیگر آن دورانی حول محور طولی میله خواهد داشت. برای مثال اگر ما انتهایی چپ میله را ثابت فرض کنیم، انتهای راست میله نسبت به انتهایی چپ آن به اندازه زاویه  $\phi$  دوران خواهد کرد (شکل ۹-۱a).

در همین موقع یک خط طولی مانند  $AB$  روی سطح جانبی میله به اندازه زاویه کوچکی دوران نموده به وضعیت حدید  $nn'$  می‌رسد. عنصر مستطیلی کوچکی روی سطح جانبی میله، مانند عنصر شکل ۹-۱a واقع در بین دو مقطع عرضی به فاصله  $dx$  از یکدیگر، در اثر دوران مزبور تغییر شکل داده و به صورت متوازی الاصلاع در می‌آید. این عنصر محدوداً در شکل ۹-۱b نشان داده شده که در آن قسمتی از میله به شکل یک صفحه

\* لنگرهای پیچشی معمولاً به صورت برداری با پیلانهای مخاغف نشان داده می‌شوند.

۴۵۴

$$\frac{\pi d^2 [\sigma]}{176}$$

$$a = 4 \text{ cm}$$

$$t_1 = 4.65 t$$

$$: \lambda - 10 - 26 \quad 368 \text{ Kg}$$

$$: \lambda - 10 - 28 \quad a \geq 2 \sqrt{\frac{P}{\sigma_w}}$$

$$: \lambda - 10 - 30 \quad d \approx 17 \sqrt{\frac{P}{\sigma_w}}$$

$$: \lambda - 10 - 32 \quad d = 3 \text{ m}$$

$$110; 1255 \text{ Kg/cm}^2$$

$$122 \text{ mm} \quad : \lambda - 10 - 34 \quad a_1 = 3.93 \text{ m}; a_2 = 3.52 \text{ m}$$

$$1407 \text{ Kg/cm}^2$$

$$3.68 \text{ m} ; 16.1 \text{ t/m}^2$$

$$: \lambda - 10 - 36 \quad 53.8 \text{ cm} \quad : \lambda - 10 - 38 \quad \text{لوزی به اقطار } 61.8 \text{ cm} \quad (\text{در امتداد محور } z) \quad \text{و}$$

(در امتداد محور  $y$ )

$$: \lambda - 10 - 39 \quad : \text{مختصات چهار گوش هسته عبارتند از (بر حسب سانتیمتر)} \\ (0, 18.2, 0); (-18.2, 0); (0, -18.2, 0); (18.2, 0)$$

$$: \lambda - 10 - 40 \quad : \text{چهار ضلعی به مختصات زیر:} \\ (0.160a, 0); (-0.072a, 0); (0, 0.0166a); (0, -0.0166a)$$

$$: \lambda - 10 - 41 \quad : \text{چهار ضلعی به مختصات زیر:} \\ (0.697a, 0); (-0.650a, 0); (0, 0.532a); (0, -0.532a)$$

$$: \lambda - 10 - 42 \quad : \text{هشت ضلعی که مختصات گوش‌های آن عبارتند از} \\ (0, \pm 0.107a); (\pm 0.107a, 0); (\pm 0.08a, \pm 0.08a)$$

$$: \lambda - 10 - 43 \quad : \text{مستطیل که مختصات چهار گوش آن عبارتند از:} \\ (\frac{2\sqrt{3}}{12} \pm 12a) ; (\frac{-2\sqrt{3}}{12} \pm 12a)$$

$$: \lambda - 10 - 44 \quad : \text{چهار ضلعی که مختصات گوش‌های آن عبارتند از:} \\ (\frac{13}{36}b, 0); (\frac{13}{45}b, 0); (-\frac{13}{126}b \pm \frac{15}{56}b)$$

$$: \lambda - 10 - 45 \quad : \text{مختصات گوش‌های هسته عبارتند از:} \\ (0, \pm 0.45m); (\pm 0.722m, \pm 0.15m)$$

حجت الله عادلی

مقاومت مصالح

## فصل نهم

پیچش

### ۹-۱ پیچش یک میله دایر مای

میله‌ای با مقطع عرضی دایره را که بوسیله دولنگر پیچشی در دو انتهایش تحت پیچش قرار دارد در نظر می‌گیریم \* (شکل ۹-۱۲) . این حالت بار گذاری موسوم به پیچش خالص می‌باشد. با توجه به تقارن می‌توان نشان داد که مقطع عرضی میله دایرها مانند اجسام صلبی حول محور طولی میله دوران می‌کنند بطور یکسان علاوه‌است مقاطع عرضی به صورت دایرها باقی می‌مانند. همچنین اگر زاویه پیچش کل میله کوچک باشد، طول میله و شعاع آن تغییر طول نخواهد داد.

در حین پیچش، هر انتهای میله نسبت به انتهای دیگر آن دورانی حول محور طولی میله خواهد داشت. برای مثال اگر ما انتهای چپ میله را ثابت فرض کنیم، انتهای راست میله نسبت به انتهای چپ آن به اندازه زاویه  $\phi$  دوران خواهد کرد (شکل ۹-۱a). در همین موقع یک خط طولی مانند  $nn$  روی سطح جانبی میله به اندازه زاویه کوچکی دوران نموده به وضعیت جدید  $nn'$  می‌رسد. عنصر مستطیلی کوچکی روی سطح جانبی میله، مانند عنصر شکل ۱-۹ واقع در بین دو مقطع عرضی به عامله  $dx$  از یکدیگر، در اثر دوران مجبور تغییر شکل داده و به صورت متوازی الاصلاح در می‌آید. این عنصر مجدداً در شکل ۱-۹ نشان داده شده که در آن قسمتی از میله به شکل یک صفحه

\* لنگرهای پیچشی معمولاً "به صورت بردازی با پیلانهای مضاuff نشان داده می‌شوند.

۴۵۴

$$\frac{\pi d^2 [\sigma]}{176}$$

: λ - ۱۰ - ۲۶ 368 Kg

: λ - ۱۰ - ۲۵

$$a = 4 \text{ cm}$$

: λ - ۱۰ - ۲۸  $a \geq 2 \sqrt{\frac{P}{\sigma_w}}$

: λ - ۱۰ - ۲۷

$$t_1 \approx 4.65 t$$

: λ - ۱۰ - ۲۰  $d \approx 17 \sqrt{\frac{P}{\sigma_w}}$

: λ - ۱۰ - ۲۹

8.68kN < P < 12.15kN : λ - ۱۰ - ۳۲ d = 3 m

: λ - ۱۰ - ۳۱

110;1255 Kg/cm<sup>2</sup> : λ - ۱۰ - ۳۴ a<sub>1</sub>=3.93m ; a<sub>2</sub>=3.52m

: λ - ۱۰ - ۳۲

122 mm : λ - ۱۰ - ۳۶ 1407 Kg/cm<sup>2</sup>

: λ - ۱۰ - ۳۵

$$3.68 \text{ m}$$

$$16.1 \text{ t/m}^2$$

: λ - ۱۰ - ۳۷

53.8 cm : λ - ۱۰ - ۳۸ 61.8 cm (در امتداد محور z) و

(در امتداد محور y)

: λ - ۱۰ - ۳۹ مختصات چهار گوش هسته عبارتند از (بر حسب سانتیمتر)

(0 , 18.2 ) ; (18.2 , 0 ) ; (0 , -18.2 ) ; (-18.2 , 0 )

: λ - ۱۰ - ۴۰ چهار ضلعی به مختصات زیر :

(0.160a,0);(-0.072a,0);(0,0.166a);(0,-0.166a)

: λ - ۱۰ - ۴۱ چهار ضلعی به مختصات زیر :

(0.697a,0);(-0.650a,0);(0,0.532a);(0,-0.532a)

: λ - ۱۰ - ۴۲ هشت ضلعی که مختصات گوش‌های آن عبارتند از

(0, $\pm 0.107a$ );( $\pm 0.107a,0$ );( $\pm 0.08a,\pm 0.08a$ )

: λ - ۱۰ - ۴۳ مستطیل که مختصات چهار گوش آن عبارتند از :

( $\frac{a\sqrt{3}}{12} \pm 12a$ ) ; ( $-\frac{a\sqrt{5}}{12} \pm 12a$ )

: λ - ۱۰ - ۴۴ چهار ضلعی که مختصات گوش‌های آن عبارتند از :

( $\frac{13}{36}b,0$ ) ; ( $-\frac{13}{45}b \pm \frac{15}{56}b$ )

: λ - ۱۰ - ۴۵ مختصات گوش‌های هسته عبارتند از :

(0, $\pm 0.45m$ ) ; ( $\pm 0.722m, \pm 0.15m$ )

۴۵۷

بیچش،  $\frac{d\phi}{dx}$  در طول میله ثابت است. این مقدار ثابت نماینده زاویه پیچش در واحد طول است که ما آن را با  $\theta$  نشان می‌دهیم. در این صورت اگر  $L$  طول محور مکانیکی باشد داریم  $L/\theta = \frac{d\phi}{dx}$  و از معادله ۹-۲ نتیجه می‌شود

$$\gamma = r\theta = \frac{r\phi}{L} \quad (9-3)$$

جهت‌های تنش‌های برشی  $\tau$  که روی اصلاح عنصر اثر می‌کند مطابق شکل ۱-۲-۹ می‌باشد. برای ماده‌ای که به طور خطی ارجاعی است مقدار تنش برشی برابر است با  $\tau = G\gamma = Gr\theta$

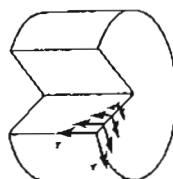
دو معادله ۹-۳ و ۹-۴ کرنش و تنش در سطح جاسی محور مکانیکی را به زاویه پیچش در واحد طول مربوط می‌کنند.

حالات تنش در داخل میله را نیز می‌توان متابه روش فوق بدست آورد. چون شعاع‌ها در مقطع عرضی هنگام پیچش مستقیم و بدون غیر شکل باقی می‌مانند، بحث موقی برای عنصر  $abcd$  واقع در روی سطح جاسی میله برای عنصر متابه‌ای که در روی سطح یک استوانه داخلی به شعاع  $r$  قرار دارد نیز صادق است (شکل ۱-۹-۱). بنابراین چنین عنصر داخلی نیز در برخ حالت است و کرنش و تنش برشی مربوطه از روابط زیر بدست می‌آید:

$$\gamma = \rho\theta \quad (9-5)$$

$$\tau = G\rho\theta \quad (9-6)$$

این معادلات نشان می‌دهند که کرنش برشی و تنش برشی با فاصله شعاعی  $r$  از مرکز مقطع به صورت خطی تغییر می‌کنند و مقدار ماکریم آنها در سطح حارجی میله خواهد بود. توزیع تنش در شکل ۱-۹ به صورت نمودار تنش متناسب نشان داده شده است. تنش‌های برشی که در صفحه مقطع عرضی اثر می‌کنند و مقدار آنها از معادله ۹-۶ بدست می‌آید با تنش‌های برشی مساوی واقع در روی صفحه‌های طولی میله همراه هستند



شکل ۲ - ۹ تنش‌های برشی طولی در یک میله دارای دایره‌ای



شکل ۳ - ۹

۴۵۶

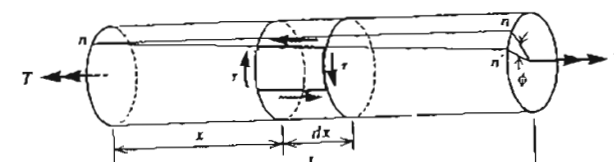
مدور از بقیه میله جدا شده است. شکل اولیه عصر با  $abdc$  مشخص گردیده است. مقطع عرضی سمت راست در حین پیچش نسبت به مقطع مقابل دوران می‌کند و نقاط  $b$  و  $d$  برتریب به  $b'$  و  $d'$  منتقل می‌شوند. طول‌های اضلاع عنصر در اثر دوران مذبور تغییر نمی‌کنند. ولی زوایای گوشمهای گیرقائمه ( $90^\circ$ ) نیستند. بدین ترتیب مشاهده می‌شود که عنصر در حالت برخ خالص قرار دارد (بخش ۴-۵) و مقدار کرنش برشی  $\gamma$  برابر با کاهش زاویه  $\hat{bac}$  است. این زاویه برابر است با

$$\gamma = \frac{bb'}{ab} \quad (9-1)$$

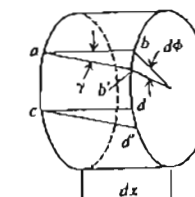
فاصله  $bb'$  طول قوس کوچکی به شعاع  $r$  و متقابل به زاویه  $\phi$  می‌باشد.  $\phi$  زاویه دوران یک مقطع عرضی نسبت به مقطع عرضی دیگر است. بدین ترتیب داریم  $bb' = rd\phi$ . فاصله  $ab$  نیز برابر  $dx$  (طول عنصر) است. اگر این مقادیر را در معادله ۹-۱ جایگزین کیم خواهیم داشت

$$\gamma = \frac{rd\phi}{dx} \quad (9-2)$$

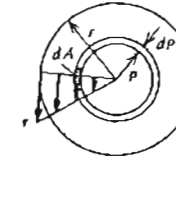
موقعي که یک محور مکانیکی نسبت پیچش خالص قرار می‌گیرد، عدد تغییرات زاویه



(a)



(b)



(c)

شکل ۱ - ۹ میله دایره‌ای در پیچش خالص

۴۵۹

و با کمیت  $J_G$  موسوم به صلیت پیچشی میله معکوساً " مناسب است . راویه کل پیچش برابر  $\theta L$  است . بنابراین داریم

$$\phi = \frac{TL}{GJ} \quad (9-11)$$

این معادله برای اثبات نجربی تئوری فوق بکار می رود . تجربیات زیادی معادله مزبور را تایید می کنند و در نتیجه فرصیاتی که برای بدست آوردن آن صورت گرفته مورد تایید می باشد . باید مذکور شد که آزمایش های پیچش معمولاً " برای تعیین نمودن ضریب ارجاعی برخی (C) مصالح مختلف مورد استفاده قرار می گیرند . اگر زاویه پیچش ایجاد شده در یک محور مکانیکی معین در اثر یک لنگر پیچشی معین اندازه گرفته شود ، مقدار C از رابطه 9-11 به سهولت بدست می آید .

اگر به جای  $\theta$  از معادله 9-10 در معادله 9-4 جایگزین کیم ، معادله ای برای محاسبه نش برخی ماکریم ناشی از پیچش در یک محور مکانیکی دایره ای بدست می آید .

$$\tau_{\max} = \frac{T_p}{J} \quad (9-12)$$

این معادله نشان می دهد که نش برخی ماکریم با لنگر پیچش T متنبماً " و با گشتاور لحتی قطبی مقطع عرضی معکوساً " متناسب است . نش برخی در هر نقطه دیگر از مقطع عرضی که به فاصله  $m$  از مرکز دایره فرار دارد برابر است با

$$\tau = \frac{T_p}{J} \quad (9-13)$$

این معادله به سهولت از معادلات 9-6 و 9-10 نتیجه می شود . تیرهایی که در پیرامون ساختمان ( در بین سرونهای پیرامونی ) واقع می شود " معمولاً " تحت تأثیر پیچش قرار می گیرند . شکل ۴ - ۹ نشان می دهد باری که از تیر کف به تیر پیرامونی ساختمان منتقل می شود در آن پیچش ایجاد می کند .

اعمالی که تحت لنگر پیچشی قرار دارند در بسیاری از جاهای به صورت محور های مکانیکی دور برای انتقال قدرت بکار می روند . یک مثال آشنا در شکل ۵ - ۹ مسأله دارد . این شکل تصویری از انتقال قدرت را در یک اتمیل نشان می دهد . گاز در استوانه در اثر احتراق فشرده شده به میله پیستون سریع فشاری وارد می کند . میله پیستون میل لنگ را می پیچاند و خم می کند . پیچش بوسیله میل کارдан به جمعه دنده عقب اتوموبیل منتقل شده و جمعه دنده نیز باعث پیچش محور چرخ های عقب می گردد . قطر محور های مکانیکی بعضی از موقع بر اساس قدرتی که انتقال می دهند تعیین

۴۵۸

( شکل ۲ - ۹ ) . این نتیجه از این واقعیت که در دو صفحه عمود بر هم همواره تنش های برشی مساوی وجود دارد بدست می آید ( بخش ۱ - ۴ ) . اگر مقاومت برشی ماده ای در جهت طول کمتر از مقاومت برشی آن در جهت عرض باشد ( مانند چوب ) ، اولین ترکها در میله پیچیده در روی سطح جانی و در امتداد طول آن ظاهر خواهد گشت .

حالت تنش برشی حالت روی سطح جانی یک میله تحت پیچش ( شکل ۹-۱۲ ) معادل است با تنش های کشی و فشاری مساوی روی عنمری که به ایندازه ۴۵° دوران کرده باشد ( بخش ۴ - ۵ ) . بنابراین یک عنصر مستطیلی که اضلاع آن سامحور میله زاویه ۴۵° تشکیل می دهد تحت اثر تنش های نشان داده شده در شکل ۲ - ۹ فرار دارد . اگر مقاومت کشی ماده ای کمتر از مقاومت برشی آن باشد ، شکست ماده در امتداد مارپیچی که میله زاویه ۴۵° تشکیل می دهد صورت حواهد گرفت . با پیچادن یک نکه گچ می نواین این نوع شکست را به سهولت نشان داد .

اکنون رابطه بین لنگر پیچشی T و راویه پیچن ناشی از آن را بدست می آوریم . برآیند تنش های برشی که در شکل ۱ - ۹ نشان داده شده باید به طور استاسیکی با لنگر پیچشی کل T معادل باشد . سروی برشی موثر بر عنصر کوچکی به مساحت dA ( که در شکل سایه زده شده ) سراسر  $T dA$  و لنگر این نیرو حول محور میله برای  $T \rho dA$  است . این لنگر را اسفاده از رابطه 9-6  $T = G \theta \rho^2 dA$  می باشد . لنگر پیچشی کل T مجموع این لنگرهای جزیی روی تمام سطح مقطع عرضی سیر است .

$$T = \int G \theta \rho^2 dA = G \theta \int \rho^2 dA = G \theta J \quad (9-7)$$

کمیت J در این رابطه گشتاور لحتی قطبی مقطع عرضی دایره ای می باشد که با انتگرال ذیر تعریف می شود :

$$J = \int \rho^2 dA \quad (9-8)$$

گشتاور لحتی قطبی برای دایره ای به شاعر  $z$  و قطر  $d$  برابر است با ( پیوست ۱ را بینید )

$$J = \frac{\pi z^4}{2} = \frac{\pi d^4}{32} \quad (9-9)$$

از رابطه 9-7 داریم

$$\theta = \frac{T}{GJ} \quad (9-10)$$

این رابطه نشان می دهد که زاویه پیچش در واحد طول (θ) با لنگر پیچش T متنبماً

۴۶۱

شود ) دوران می‌کند ، زاویه دوران محور مکانیکی بر حسب رادیان در واحد ثانیه برابر  $2\pi f \text{ rad/s}$  است . اگر محور مکانیکی لنگر پیچشی ثابت T ( بر حسب  $\text{Nm}$  ) را منتقل کند کار انجام شده برابر  $2\pi f T \text{ Nm/s}$  خواهد بود . با توجه به اینکه هر قوه اسب ب ۷۴۵.۷  $\text{Nm/s}$  است ، میان قوه اسب H و لنگر پیچشی T رابطه زیر برقرار است :

$$H(745.7) = 2\pi f T \quad : \quad T = \frac{119H}{f} \quad (9-14)$$

اگر قوه اسب H معلوم باشد ، لنگر پیچشی T در محصور مکانیکی از معادله ۹-۱۴ محاسبه می‌شود . بادانستن T ، تنش برخی ماکریم در محصور مکانیکی از معادله ۹-۱۲ و زاویه پیچش از معادله ۹-۱۱ بدست می‌آید . اگر T بر حسب  $\text{cmKg}$  و توان اس محصور مکانیکی n دور در دقیقه باشد با توجه به اینکه  $1\text{hp} = 7500\text{cmKg/s}$  معادله ۹-۱۴ به صورت زیر در می‌آید :

$$T = \frac{71600H}{n} \quad (9-15)$$

### مثال ۹-۱

یک محور مکانیکی با مقطع عرضی دایره‌ای نوپر استخراج کرد که قادر به انتقال ۱۰hp در تواتر ۳۰Hz باشد . تنش برخی ماکریم ساید ار  $55000\text{kN/m}^2$  تجاوز کند .

حل : از معادله ۹-۱۴ داریم

$$T = \frac{(119)(10)}{30} = 39.7 \text{ mN}$$

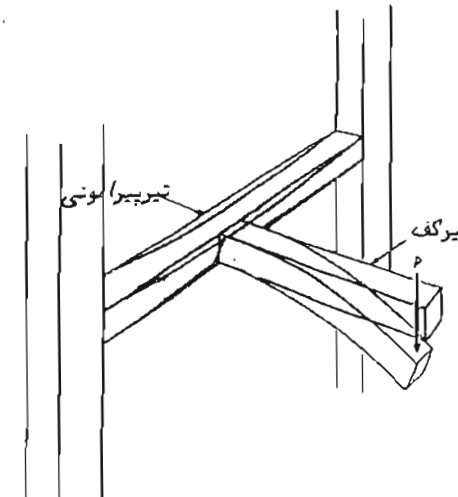
با استفاده از معادلات ۹-۹ و ۹-۱۲ می‌توانیم بنویسیم

$$\begin{aligned} \frac{J}{r} &= \frac{\pi r^3}{2} = \frac{T}{\tau_{\max}} = \frac{39.7}{55 \times 10^6} = 0.722 \times 10^{-6} \text{ m}^3 \\ r^3 &= \frac{2(722 \times 10^{-9})}{\pi} = 460 \times 10^{-9} \text{ m}^3 \end{aligned}$$

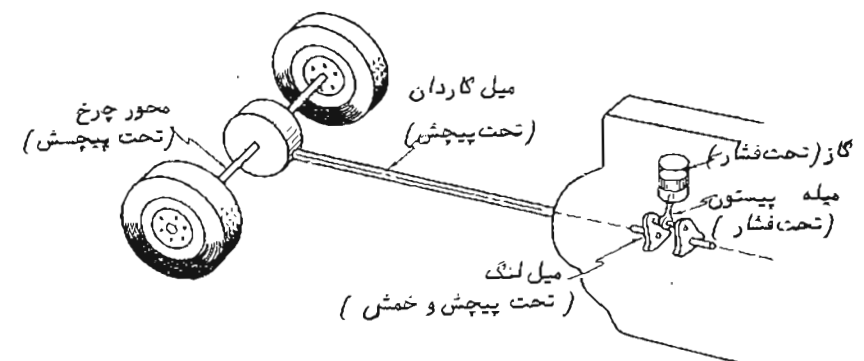
از این رابطه  $r = 0.00772 \text{ m}$  و قطر محور مکانیکی  $d = 2r = 15.4 \text{ mm}$  بدست می‌آید . انتخاب یک محور مکانیکی به قطر ۱۶mm در عمل توصیه می‌شود .

۴۶۵

می‌گردد . واحد متدالول قدرت یا توان ( کار در واحد زمان ) در صنعت قوه اسب (hp) می‌باشد که برابر  $745.7 \text{ Nm/s}$  است . در سیستم آحاد بین المللی یک Nm/s به وات (W) موسوم می‌باشد . کار انجام شده بوسیله یک لنگر پیچشی T برابر است با لنگر مذبور ضربدر زاویه دوران محصور مکانیکی بر حسب رادیان . برای یک محصور مکانیکی که با تواتر f دور در ثانیه ( هر دور در ثانیه یک هرتز می‌باشد و با Hz نشان داده می‌شود ) واحد قوه اسب می‌باشد .



شکل ۹-۹ تیرپیرامونی ساختمان تحت پیچش



شکل ۹-۹ تصویر ساده‌ای از انتقال قدرت در یک اتومبیل

۴۶۳

$$= \frac{\pi(0.01)(840000)}{32(125)\left(\frac{1}{55} + \frac{1}{3.75^4}\right)} = 991 \text{ cmKg}$$

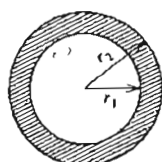
## ۹-۲ پیچش یک میله دایره‌ای تو خالی

تنش برشی ناشی از پیچش در یک میله دایره‌ای تو پر در سطح خارجی آن مانند است و در مرکز آن صفر است. بنابراین مقدار زیادی از مصالح محور مکانیکی تو پر تحت اثر تنש‌های برشی خیلی کمتر از تنش برشی محاذ قرار خواهد داشت. اگر بخواهیم از وزن میله کاسته و در مصالح مصرف شده صرفه جویی کنیم، مصلحت در آن است که از میله تو خالی استفاده نماییم.

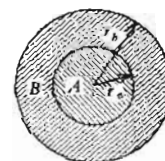
تحلیل پیچش یک میله دایره‌ای تو خالی بر اساس همان فرضیات بکار رفته در مورد میله دایره‌ای تو پر قرار دارد. بدین ترتیب چون خطوط شعاعی در مقطع عرضی مستقیم باقی مانند، معادلاتی که در بخش قبل برای تنش برشی (معادله ۹-۶) و کرنش برشی (معادله ۹-۵) بدست آمد در این مورد نیز قابل استفاده می‌باشد. البته فاصله شعاعی  $r$  که در معادلات مربوط طاهر می‌شود از  $r_1$  (شعاع داخلی میله) تا  $r_2$  (شعاع خارجی میله) تغییر می‌کند (شکل ۹-۷).

رابطه بین لکر پیچشی  $T$  و زاویه پیچش در واحد طول  $\theta$  را می‌توان از معادلات ۹-۷ و ۹-۸ بدست آورد، البته با این تفاوت که حدود انتگرال گیری از  $\int r^2 d\theta$  خواهد بود. بنابراین رابطه  $T = G\theta J$  در مورد یک میله دایره‌ای تو خالی نیز صادق است، ولی کمیت  $J$  در آن گشاور لختی فلزی مساحت مقطع عرضی حلقه - شکل و برابر است با

$$J = \frac{\pi}{2} (r_2^4 - r_1^4) = \frac{\pi}{32} (d_2^4 - d_1^4) \quad (9-16)$$



شکل ۹-۷ میله دایره‌ای تو خالی

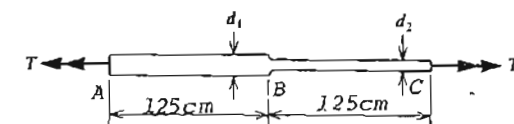


شکل ۹-۸

۴۶۲

## مثال ۹-۲

میله‌ای مطابق شکل ۶-۹ سخت پیچش قرار دارد. قطر  $d_1$  آن  $5\text{cm}$  و قطر  $d_2$  آن  $3.75\text{cm}$  می‌باشد. اگر زاویه پیچش  $\phi$  نماید از  $0.01$  رادیان تجاوز کند لکر پیچشی محاذ  $T_w$  چقدر است؟ ضرب ارجاعی سری  $G = 840000\text{Kg/cm}^2$  اختیار کنید.



شکل ۹-۶

حل: زاویه پیچش کل میله برابر است با زاویه پیچش مقطع B نسبت به مقطع (A) بعلاوه زاویه پیچش مقطع C نسبت به مقطع B (ϕ<sub>2</sub>).

$$\phi = \phi_1 + \phi_2$$

اگر طول قسمت‌های AB و BC را به ترتیب  $L_1$  و  $L_2$  و گشاور لختی قطبی آنها بترتیب  $J_1$  و  $J_2$  بنامیم زاویه پیچش کل به صورت زیر محاسبه می‌شود:

$$\phi = \frac{TL_1}{GJ_1} + \frac{TL_2}{GJ_2} \implies T_w = \frac{\phi_{\max} G}{\frac{L_1}{J_1} + \frac{L_2}{J_2}}$$

$$\text{با توجه به اینکه } L_1 = L_2 = L \text{ داریم } \frac{\pi d_2^4}{32} \text{ و } J_1 = \frac{\pi d_1^4}{32}, \quad L_1 = L_2 = L$$

$$T_w = \frac{\phi_{\max} G}{L \left( \frac{32}{\pi d_1^4} + \frac{32}{\pi d_2^4} \right)} = \frac{\pi \phi_{\max} G}{32L \left( \frac{1}{d_1^4} + \frac{1}{d_2^4} \right)}$$

۴۶۵

حل : زاویه پیچش در واحد طول  $\theta$  باید برای لوله و هسته یکسان باشد . در این صورت از معادله ۹-۶ خواهیم داشت

$$\theta = \frac{\tau_a}{G_a r_a} = \frac{\tau_b}{G_b r_b} \quad (9-17)$$

در این رابطه ،  $\tau_a$  تنش برشی ماکریم در ماده داخلی و  $\tau_b$  تنش برشی ماکریم در ماده خارجی می باشد . لنگر پیچشی کل  $T$  مجموع لنگر پیچشی  $T_a$  در هسته و لنگر پیچشی  $T_b$  در لوله می باشد . در این صورت با استفاده از رابطه ۹-۷ ۹-۷ می توانیم بنویسیم

$$T = T_a + T_b = G_a \theta J_a + G_b \theta J_b \quad (9-18)$$

گشتاورهای لختی قطبی  $J_a$  و  $J_b$  در این معادله عبارتند از

$$J_a = \frac{\pi r_a^4}{2} ; \quad J_b = \frac{\pi (r_b^4 - r_a^4)}{2}$$

معادله ۹-۱۸ را برای  $\theta$  حل می کنیم .

$$\theta = \frac{T}{G_a J_a + G_b J_b}$$

تنش های  $\tau_a$  و  $\tau_b$  با حاکمیت  $\theta$  در معادله ۹-۱۷ ۹-۱۷ بدست می آیند .

$$\tau_a = T \frac{G_a r_a}{G_a J_a + G_b J_b} ; \quad \tau_b = T \frac{G_b r_b}{G_a J_a + G_b J_b} \quad (9-19)$$

لنگرهای پیچشی که بوسیله دو قسم میله خمل می شوند عبارتند از

$$T_a = T \frac{G_a J_a}{G_a J_a + G_b J_b} ; \quad T_b = T \frac{G_b J_b}{G_a J_a + G_b J_b} \quad (9-20)$$

توجه کنید مثال فوق یک سیستم هیبر استاتیک می باشد .

### ۹-۳ انرژی تغییر شکل در برش و پیچش

عنصری از یک ماده ارتجاعی را در حالت برش خالص در نظر می گیریم ( شکل ۹-۹ ) . موقعی که عنصر مذبور تغییر شکل پیدا می کند و تنش برشی در آن به تدرج از صفر تا مقدار نهایی  $\tau$  افزایش می پاید ، وجه فوقانی  $cd$  نسبت به وجه تحتانی  $ab$  به اندازه  $\gamma dy$  به سمت راست حرکت می کند . در این صورت کار انجام شده بوسیله نیروی

۴۶۴

معادلات اساسی برای  $\theta$  ،  $\phi$  و  $\tau$  که در بخش قبل بدست آمد ( معادلات ۹-۱۰ تا ۹-۱۳ ) برای یک لوله دایره ای نیز صادق است با این شرط که کمیت  $J$  در آنها از معادله ۹-۱۶ حساب شود .

### مثال ۹-۲

یک محور مکانیکی دایره ای تو خالی و یک محور مکانیکی دایره ای تو پر دارای شعاع خارجی یکسان  $r$  می باشد . شعاع داخلی محور مکانیکی تو خالی  $0.6r$  است . بافرض اینکه هر دو محور مکانیکی تحت ناء نیز لنگر پیچشی یکسانی قرار داشته باشند ، وزن آنها و تنش برشی ماکریم در آنها را با یکدیگر مقایسه کنید .

حل : ورن های دو محور مکانیکی با مساحت های مقطع عرضی آنها متناسب می باشد . از این رو وزن محور مکانیکی تو پر با  $\pi r^2$  و وزن محور مکانیکی تو خالی با  $(0.6r)^2 = 0.36\pi r^2 - \pi r^2 = \pi r^2$  متناسب است . سنابر این وزن محور مکانیکی تو خالی ۶۴ درصد وزن محور مکانیکی تو پر می باشد .

تنش های برشی ماکریم با  $J/1$  متناسب می باشد . برای محور مکانیکی تو پر داریم  $J = \pi r^4 / 2$  و برای محور مکانیکی تو خالی داریم  $J = \pi r^4 / 2 - \pi (0.6r)^4 = 0.8704\pi r^4 / 2 = 0.8704\pi r^4$  . بنابراین نسبت تنش برشی ماکریم در محور مکانیکی تو خالی به تنش برشی ماکریم در محور مکانیکی تو خالی  $1.15$  می باشد . این نتایج نشان می دهند که تنش برشی ماکریم در یک محور مکانیکی تو خالی با  $r_1 / r_2 = 0.6$  در مقایسه با یک محور مکانیکی تو پر  $15$  درصد افزایش می پاید ولی وزن آن به اندازه  $36$  درصد کاهش پیدا می کند .

### مثال ۹-۴

یک میله دایره ای شامل لوله تو خالی  $B$  و هسته تو پر A ( شکل ۹-۸ ) می باشد که کاملاً " به یکدیگر متصل شده و به صورت یک میله تو پر عمل می کند . ضریب ارتجاعی رشی ماده داخلی  $G_a$  و ضریب ارتجاعی برشی ماده خارجی  $G_b$  می باشد . موقعی که میله مرکب مذبور تحت اثر لنگر پیچشی  $T$  قرار دارد ، تنش های برشی ماکریم  $\tau_a$  و  $\tau_b$  به ترتیب در مصالح داخلی و خارجی را حساب کنید .

۴۶۷

$$dU = u dV = \frac{\tau_{\max}^2 \rho^2}{2G r^2} (L) (2\pi\rho) d\rho \quad (9-10)$$

بنابراین انرژی تغییر شکل کل میله پیچیده از انتگرال زیر بدست می‌آید :

$$U = \int_0^r \frac{\tau_{\max}^2 \rho^2}{2G r^2} (L) (2\pi\rho d\rho) = \frac{1}{2} (\pi r^2 L) \left( \frac{\tau_{\max}^2}{2G} \right) \quad (9-24)$$

این انرژی نصف مقدار انرژی حالتی است که تمام ماده تحت تنش ماکریم  $\tau_{\max}$  قرار می‌داشت. با استفاده از روابط  $L = \pi r^4 / 2 \tau_{\max}$  معادله ۹-۲۴ خواهیم داشت

$$U = \frac{T^2 L}{2GJ} \quad (9-25)$$

انرژی تغییر شکل برای یک میله تحت پیچش را می‌توان به طریق دیگری نیز بدست آورد. معادله ۹-۱۱ می‌دهد که رابطه بین لنگر پیچشی  $T$  و زاویه پیچش  $\phi$  در ناحیه ارتجاعی ماده خطی است. این رابطه در شکل ۱۱-۹ بوسیله خط OA نشان داده شده است. کار انجام شده بوسیله لنگر پیچشی برای هر نوکچک زاویه پیچش ( $d\phi$ ) برابر با مساحت نوار خورده در این شکل می‌باشد. بدین ترتیب همچنانکه لنگر پیچشی به تدریج از صفر تا مقدار نهائی  $T$  افزایش می‌یابد، کار کل (برابر با انرژی تغییر شکل ذخیره شده) بوسیله مساحت مثلث OAB داده می‌شود.

$$U = \frac{T\phi}{2} \quad (9-26)$$

اگر به جای  $\phi$  مقدار مساوی  $\tau$  را از رابطه ۹-۱۱ در معادله فوق قرار دهیم، انرژی تغییر شکل کل به یکی از دو صورت زیر نوشته می‌شود :

$$U = \frac{T^2 L}{2GJ} = \frac{GJ\phi^2}{2L} \quad (9-27)$$

معادله فوق را برای یک میله دایره‌ای توپر و یا توخالی می‌توان بکار برد به شرط آنکه به جای  $J$  مقدار مربوطه برای یک مقطع توپر یا توخالی جایگزین شود.

۴۶۶

برشی  $\tau \tau dxdz$  در روی وجه فوکائی برابر  $\frac{1}{2} \tau dxdz(\gamma dy)$  است (ضریب  $\frac{1}{2}$  در این عبارت به علت متناسب بودن  $\tau$  و  $\gamma$  می‌باشد). چون نیروهای برشی در روی اضلاع  $bd$  و  $ac$  کاری انجام نمی‌دهند، کمیت فوق معرف انرژی تغییر شکل کل در عنصر مذبور می‌باشد و اگر آن را برابر  $(dxdydz)$  (حجم عنصر) تقسیم کنیم انرژی تغییر شکل در واحد حجم (u) بدست می‌آید.

$$u = \frac{\tau \gamma}{2} \quad (9-21)$$

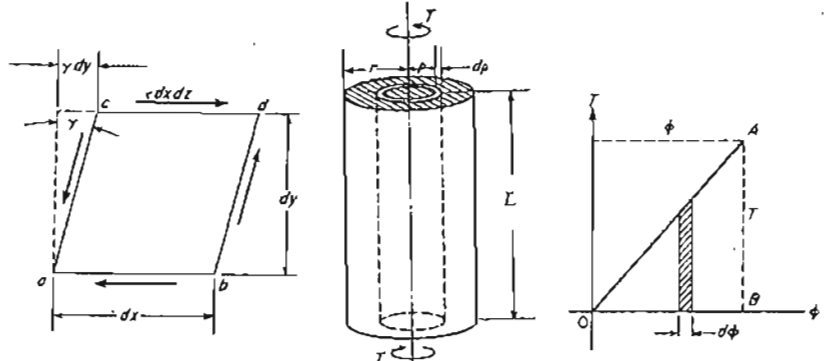
با توجه به اینکه در ناحیه ارتجاعی ماده رابطه  $\tau/G = \gamma$  وجود دارد، معادله فوق را به یکی از دو صورت زیر می‌توان نوشت :

$$u = \frac{\tau^2}{2G} = \frac{G\gamma^2}{2} \quad (9-22)$$

با استفاده از این روابط می‌توان انرژی تغییر شکل کل در یک میله دایره‌ای تحت پیچش به شعاع  $r$  و طول  $L$  را به سهولت بدست آورد. اگر تنش برشی ماکریم در سطح خارجی میله را  $\tau_{\max}$  بنامیم، تنش برشی در نقطه‌ای در فاصله  $\rho$  از محور میله برابر  $\tau$  خواهد بود. در این صورت انرژی تغییر شکل در واحد حجم در شعاع  $\rho$  برابر است با

$$u = \frac{\tau_{\max}^2 \rho^2}{2G r^2} \quad (9-23)$$

انرژی تغییر شکل لولد نازکی به طول  $L$ ، شعاع  $\rho$  و ضخامت  $d\rho$  مساویست با (شکل



شکل ۹-۹

شکل ۹-۱۰

شکل ۹-۱۱

۴۶۹

بر هم مقدار مساوی دارد ( بخش ۱ - ۴ ) . برآیندهای تنشهای برشی در روی صفحه های طولی برابر با  $F_1$  و  $F_2$  ( شکل ۹-۱۲c ) می باشد که از روابط زیر بدست می آیند :

$$F_1 = \tau_1 t_1 dx ; \quad F_2 = \tau_2 t_2 dx$$

در روابط فوق ،  $t_1$  و  $t_2$  به ترتیب معروف تنشهای برشی در نقاط  $b$  و  $c$  و  $t_1$  و  $t_2$  ضخامت لوله در همان نقاط می باشد . از تعادل عنصر شکل ۹-۱۲c نتیجه می شود که

$$F_1 = F_2 \text{ یا } t_1 = t_2$$

$$\tau_1 t_1 = \tau_2 t_2$$

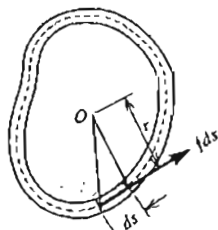
چون محل برشهای طولی  $ab$  و  $cd$  به طور اختیاری انتخاب شده اند از معادله فوق نتیجه می شود که حاصل ضرب تنش برشی در ضخامت لوله در تمام مقاطع عرضی ثابت می باشد . این حاصل ضرب به نام حریان برش خوانده و با  $f$  نشان داده می شود .

$$f = \tau t \quad (9-28)$$

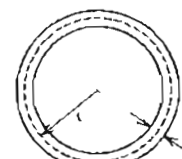
بدین ترتیب بیشترین مقدار تنش برشی در جایی که ضخامت لوله حداقل است رخ میدهد و بر عکس . اگر ضخامت لوله یکنواخت باشد واضح است که تنش برشی  $T$  در اطراف مقطع عرضی لوله ثابت خواهد بود .

برای اینکه جریان برش  $f$  را به لنگر پیچنی  $T$  موئر بر لوله مرسوط کنیم ، عنصری به طول  $ds$  را در مقطع عرضی در نظر می گیریم ( شکل ۹-۱۲ ) . نیروی برشی کل که بر عنصر مزبور اثر می کند برابر  $r f ds$  و لنگر این نیرو حول نقطه ای  $O$  مانند  $0$  برابر است که در آن  $T$  فاصله نقطه  $O$  از ماسیر خط میانی جدار لوله می باشد . لنگر پیچنی کل  $T$  با جمع نمودن تمام این لنگرهای پیچنی کوچک در روی تمام طول خط میانی مقطع عرضی ( $L_m$ ) بدست می آید .

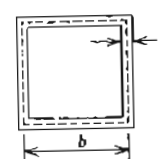
$$T = f \int_0^{L_m} r ds$$



شکل ۹-۱۳  
مقطع عرضی لوله



شکل ۹-۱۴  
لوله دایره‌ای جدار نازک

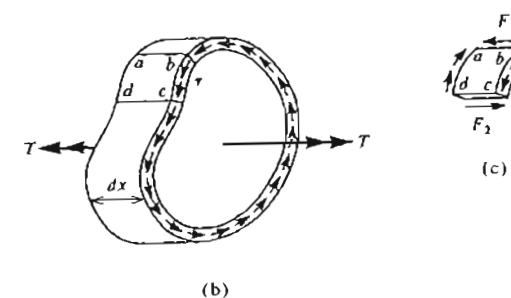
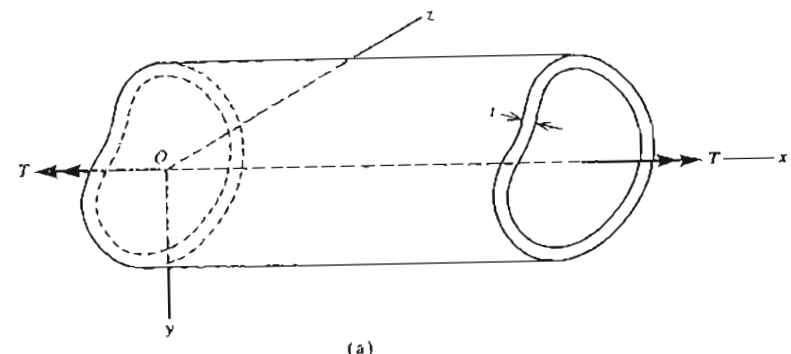


شکل ۹-۱۵  
لوله مربعی جدار نازک

۴۶۸

یک لوله جدار نازک با شکل مقطع عرضی اختیاری در شکل ۹-۱۲a داده شده است . ضحامت  $t$  لوله در اطراف مقطع عرضی ممکن است متغیر باشد ولی در مقایسه با عرض کل مقطع عرضی کوچک فرمن می شود . لوله به شکل استوانه و تحت این لونگر پیچنی  $T$  در هر انتهایش می باشد . در این لونگرهای پیچنی ، تنشهای برشی  $T$  در هر مقطع عرضی لوله ایجاد خواهد شد ( شکل ۹-۱۲b ) . تنشهای برشی در عرض ضخامت کوچک لوله را می توان یکنواخت فرض نمود ، ولی این تنشها در اطراف مقطع عرضی ممکن است متغیر باشند .

برای اینکه بزرگی تنشهای برشی  $T$  را پیدا کنیم ، ابتدا عنصر کوچک به طول  $dx$  را که بوسیله دو برش طولی  $ab$  و  $cd$  بدست آمده در نظر می گیریم ( شکل ۹-۱۲c ) . بزرگی تنشهای برشی در روی لبه های طولی این عنصر با بزرگی تنشهای برشی در روی مقاطع عرضی برابر می باشد ، زیرا تنشهای برشی در روی دو صفحه عمود



شکل ۹-۱۲  
لوله جدار نازک با شکل مقطع عرضی اختیاری

۴۷۱

$$J = \frac{4A^2}{\int_0^{L_m} ds} \quad (9-32)$$

کمیت  $J$  به طور کلی به "نابت پیچش" مقطع عرضی موسوم می‌باشد. نابت پیچش در حالت یک میله با مقطع عرضی دایره برابر با گشتاور لختی قطبی مقطع عرضی می‌باشد و برای یک لوله جدار نازک از معادله ۹-۳۲ بدست می‌آید. موقعی که ضخامت  $t$  لوله داشت است، معادله ۹-۳۲ به صورت زیر ساده می‌شود:

$$J = \frac{4tA^2}{L_m} \quad (9-33)$$

برای یک لوله دایره‌ای جدار نازک به ضخامت  $t$  و شعاع متوسط  $\tau$  (شکل ۹-۱۴) طول خط میانی برابر  $L_m = 2\pi r$  و مساحت محصور بوسیله این خط برابر  $A_m = \pi r^2$  است. بنابراین جریان برش و تنش برنسی از معادله ۹-۲۹ عبارتند از

$$f = \frac{T}{2\pi r^2} \quad ; \quad \tau = \frac{T}{2\pi r^2 t} \quad (9-34)$$

زاویه پیچش در واحد طول از معادله ۹-۳۱ بدست می‌آید.

$$\theta = \frac{T}{2\pi G r^3 t} \quad (9-35)$$

نابت پیچش برابر است با

$$J = 2\pi r^3 t \quad (9-36)$$

تمام این نتایج که برای یک لوله دایره‌ای جدار نازک بدست آمد از معادلات پیچش یک میله دایره‌ای تو خالی (بخش ۲-۹) نیز بدست می‌آیند. برای مثال، نابت پیچش (در این مورد برابر با گشتاور لختی قطبی) مساوی است با

$$J = \int \rho^2 dA = r^2 \int dA = 2\pi r^3 t$$

در این رابطه فرض شده است که شعاع  $r$  در سراسر ضخامت لوله تقریباً نابت و برابر با می‌باشد. تنش برنسی ماقریم از معادله ۹-۱۲ برابر است با

$$\tau = \frac{Tr}{J} \approx \frac{T}{2\pi r^2 t}$$

در این رابطه فرض شده است که تنش برنسی  $\tau$  در سراسر ضخامت لوله نابت و برابر با

۴۷۰

مقدار انتگرال در عبارت فوق توجیه هندسی ساده‌ای دارد. کمیت  $\int ds$  معرف دو برابر مساحت مثلث کوچک شکل ۱۲-۹ می‌باشد. توجه کنید قاعده مثلث مجبور به طول  $ds$  و ارتفاع آن برابر  $\tau$  است. بنابراین انتگرال عبارت فوق معرف دو برابر مساحت محصور بوسیله خط میانی جدار لوله می‌باشد. اگر این مساحت را با  $A_m$  نشان دهیم حواهیم داشت

$$T = 2f A_m \quad ; \quad f = \frac{\tau t}{2A_m} \quad (9-29)$$

جریان برش و تنش برنسی برای هر لوله جدار نازک از رابطه فوق بدست می‌آید. زاویه پیچش در واحد طول لوله ( $\theta$ ) با استفاده از انرژی تغییر شکل لوله محاسبه می‌شود، انرژی تغییر شکل در واحد حجم برابر  $(2G)^2 / \tau^2$  (معادله ۹-۲۲) و در نتیجه انرژی تغییر شکل در واحد طول لوله برابر است با

$$U = \int_0^{L_m} \frac{\tau^2 t}{2G} ds = \frac{f^2}{2G} \int_0^{L_m} \frac{ds}{t}$$

به جای جریان برش ( $f$ ) از معادله ۹-۲۹ در معادله فوق قرار داده و سپس انرژی تغییر شکل را با کار انجام شده بوسیله لنگر پیچشی  $T$  مساوی قرار می‌دهیم.

$$\frac{T^2}{8GA_m^2} \int_0^{L_m} \frac{ds}{t} = \frac{T\theta}{2}$$

زاویه پیچش در واحد طول از رابطه فوق بدست می‌آید.

$$\theta = \frac{T}{4GA_m^2} \int_0^{L_m} \frac{ds}{t} \quad (9-30)$$

از معادله ۹-۳۰ با معلوم بودن ابعاد مقطع عرضی زاویه پیچش حساب می‌شود. اگر ضخامت  $t$  نابت باشد، معادله فوق به صورت زیر در می‌آید:

$$\theta = \frac{TL_m}{4Gt A_m^2} = \frac{\tau L_m}{2GA_m} \quad (9-31)$$

زاویه کل پیچش ( $\phi$ ) با ضرب سودن  $\theta$  در طول  $L$  لوله بدست می‌آید. معادله ۹-۳۰ برای زاویه پیچش در واحد طول یک لوله جدار نازک همان شکل معادله ۹-۱۰ برای یک میله دایره‌ای توپر را دارد، با این شرط که به جای  $J$  عبارت زیر بکار رود:

۴۷۲

می باشد . بنابراین معادله ۹-۴۰ نشان می دهد که نتایج حاصله از فرمول تقریبی تنش برشی فقط به مقدار جزئی کمتر از مقادیر حاصله از فرمول دقیق می باشد و دقت فرمول تقریبی با زیاد شدن نسبت  $t/r$  افزایش می یابد .

## مثال ۶-۹

یک لوله دایره‌ای ( شکل ۹-۱۴ ) و یک لوله مربعی ( شکل ۹-۱۵ ) از یک نوع ماده ساخته شده‌اند . هر دو لوله طول ، صخامت و مساحت مقطع عرضی پکسان دارند و هر دو تحت تأثیر لیگر پیچشی یکسانی قرار دارند . نسبت‌های تنش‌های برشی و زاویه‌های پیچش دو لوله چقدر می باشند ؟ از اثر تمرکز تنش در گوش‌های لوله مربعی صرف نظر کنید .

حل : برای لوله دایره‌ای ، مساحت محصور بوسیله خط میانی مقطع عرضی  $A_{m1} = \pi r^2$  ( مساع خطر میانی  $= r$  ) و مساحت مقطع عرضی  $A_1 = 2\pi rt$  می باشد .  
مساحت مقطع عرضی لوله مربعی  $A_2 = 4bt$  ( طول صفحه مربع میانی  $= b$  ) است ..  
چون مساحت‌های مقاطع عرضی دو لوله مساوی می باشند خواهیم داشت

$$2\pi rt = 4bt \quad ; \quad b = \frac{\pi r}{2}$$

مساحت محصور بوسیله خط میانی مقطع عرضی  $A_{m2} = b^2$  می باشد .  
نسبت تنش برشی در لوله دایره‌ای به تنش برشی در لوله مربعی برابر است با  
( با استفاده از معادله ۹-۲۹ )

$$\frac{A_{m2}}{A_{m1}} = \frac{b^2}{\pi r^2} = \frac{\left(\frac{\pi r}{2}\right)^2}{\pi r^2} = \frac{\pi}{4} = 0.785$$

نسبت زاویه‌های پیچش ( معادله ۹-۳۱ ) مساویست با

$$\frac{\phi_1}{\phi_2} = \frac{\tau_1 A_{m2}}{\tau_2 A_{m1}} = \left(\frac{\pi}{4}\right)^2 = 0.617$$

این نتایج نشان می دهد که لوله دایره‌ای نه تنها تنش برشی کمتری نسبت به لوله مربعی دارد ، بلکه سختی آن در مقابل دوران نیز بیشتر است .

## ۹-۵ پیچش میله‌های با مقطع عرضی مستطیل یا جدار نازک

۴۷۲

مقدار تنش برشی در خط میانی مقطع عرضی باشد .  
اگر لوله تحت پیچش دارای جدارهای خیلی نازک باشد ، امكان کمال جدارها باید به حساب آورده شود . برای مثال وقتی که نسبت  $t/r$  ( شکل ۹-۱۴ ) را بینید ( برای یک لوله دایره‌ای طویل که از ولاد نرم ساخته شده در حدود ۶۰ می باشد ، لوله مربور تحت تنش‌های مجاز معمولی کمانه خواهد کرد .

## مثال ۹-۵

تنش برشی متوسط در یک لوله دایره‌ای جدار نازک ( شکل ۹-۱۴ ) را که از معادله تقریبی ۹-۳۴ بدست می آید با تنش برشی ماقریم که از فرمول پیچش ( معادله ۹-۱۲ ) محاسبه می شود مقایسه کید .

حل : اگر فرض کنیم  $r/t = \beta$  ، فرمول تقریبی تنش برشی ( معادله ۹-۳۴ ) به صورت زیر نوشته می شود :

$$\tau_1 = \frac{T}{2\pi r^2 t} = \frac{T}{2\pi t^3 \beta^2} \quad ( 9-37 )$$

تنش برشی ماقریم واقعی در لوله برابر است با

$$\tau_2 = \frac{T(r+t/2)}{J} \quad ( 9-38 )$$

گشاور لختی قطبی در این رابطه مساویست با

$$J = \frac{\pi}{2} \left[ \left(r + \frac{t}{2}\right)^4 - \left(r - \frac{t}{2}\right)^4 \right] = \frac{\pi r t}{2} (4r^2 + t^2)$$

پس از جایگزینی این مقدار J در معادله ۹-۳۸ خواهیم داشت

$$\tau_2 = \frac{T(2r+t)}{\pi r t (4r^2 + t^2)} = \frac{T(2\beta + 1)}{\pi t^3 \beta (4\beta^2 + 1)} \quad ( 9-39 )$$

اکنون نسبت  $\tau_2/\tau_1$  را ماب می کنیم .

$$\frac{\tau_1}{\tau_2} = \frac{4\beta^2 + 1}{2\beta(2\beta + 1)} \quad ( 9-40 )$$

از این معادله نتیجه می شود که نسبت  $\tau_2/\tau_1$  فقط به کمیت  $\beta = r/t$  بستگی دارد . نسبت مذبور برای مقادیر  $\beta$  برابر ۵ ، ۱۰ و ۲۰ به ترتیب برابر ۰.۹۶ ، ۰.۹۲ و ۰.۹۸

۴۷۵

مقطع رخ می دهد از معادله زیر بدست می آید :

$$\tau_{\max} = \frac{T}{abc^2} \quad (9-41)$$

در این رابطه،  $T$  لنگر پیچشی،  $b$  ضلع دراز،  $c$  ضلع کوتاه و  $\alpha$  یک ضریب عددی است که بستگی به نسبت  $b/c$  دارد. چند مقدار  $\alpha$  در جدول ۱-۹ داده شده است. زاویه پیچش در واحد طول  $dz$  مورد یک مقطع عرضی مستطیلی از رابطه زیر بدست می آید :

$$\theta = \frac{T}{bc^3G} \quad (9-42)$$

ضریب  $\beta$  نیز بستگی به نسبت  $c/b$  دارد که در جدول ۱-۹ داده شده است. برای یک مقطع عرضی مستطیلی خیالی باریک از جدول ۱-۹ مشاهده می شود که  $\alpha$  و  $\beta$  برابر  $1/3$  می گردند و معادلات تنش برشی ماکریم و زاویه پیچش در واحد طول از روابط زیر بدست می آیند :

$$\tau_{\max} = \frac{3T}{bc^2} \quad (9-43)$$

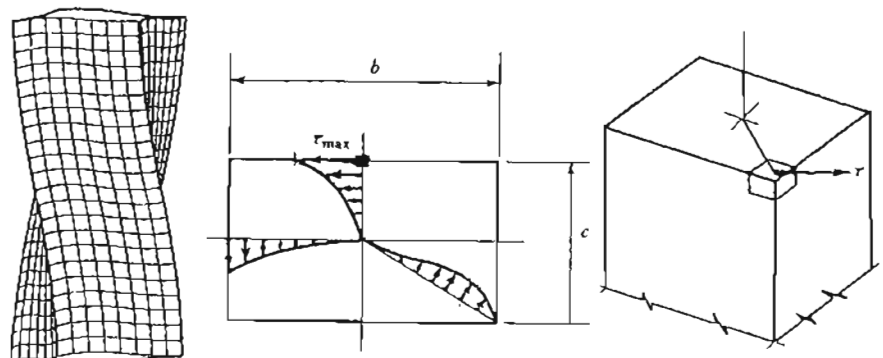
$$\theta = \frac{3T}{bc^3G} \quad (9-44)$$

معادلات ۹-۴۳ و ۹-۴۴ اهمیت کاربردی دارند زیرا آنها نه فقط برای مقاطع مستطیلی باریک بکار می روند بلکه به عنوان جواب های تقریبی در حالت های دیگر که فحاش مقطع عرضی کوچک است نیز بکار می روند. برای مثال، زاویه پیچش برای مقاطع عرضی نشان داده شده در شکل های ۹-۱۹ و ۹-۲۰ با جایگزینی  $b=\phi r$  برای مقطع شکل ۹-۱۹ و  $b=2a-c$  برای مقطع شکل ۹-۲۰ در معادله ۹-۴۴ بدست می آید. تنش برشی ماکریم در مقطع شکل ۹-۱۹ از معادله ۹-۴۳ حاصل می شود. تنش برشی ماکریم برای مقطع نیشی شکل ۹-۲۰ در گوش  $R$  می باشد. تنش ماکریم در این نقطه با ضرب نمودن تنش بدست آمده از معادله ۹-۴۳ در یک ضریب تعریک تنش نتیجه می شود. این ضریب بانسیت شاعر قوس در محل برخورد دو غلظ (۲) به ضخامت نیشی ( $c$ ) یعنی  $c/r$  تغییر می کند و چند مقدار آن در جدول ۲-۹ داده شده است.

۴۷۴

مسئله پیچش یک میله با مقطع عرضی مستطیل به علت تاب خوردنی مقاطع عرضی مسئله پیچیده ای است. این تاب خوردنی را می شون با یک پاک کن لاستیکی مستطیلی که در روی وجهه ای آن یک سری مربع های کوچک رسم شده باشد به طور تجربی نشان داد. از شکل ۱۶-۹ مشاهده می شود که خطوطی که در ابتدا عمود بر محور میله بودند در حین پیچش به صورت منحنی در می آیند. این شکل نشان می دهد که پیچیدگی مربع های کوچک مذکور در فوق در طول اصلاح مقطع عرضی متغیر می باشد، بدین ترتیب که مقدار آن در وسط ماکریم و در گوشها صفر است. بنابراین ما انتظار داریم که تنش برشی مطابق این پیچیدگی تغییر کند، بدین ترتیب که مقدار آن در وسط اصلاح طویل بیشترین مقدار را دارد).

شکل ۱۶-۹ توزیع تنش را در امتداد سطح مقطع عرضی نشان می دهد. به اختلاف توزیع تنش در یک مقطع عرضی مستطیلی با یک مقطع دایره ای توجه کنید. تنش برشی در یک مقطع دایره ای در دورترین نقطه ماکریم است ولی تنش برشی در یک مقطع مستطیلی در دورترین نقطه صفر می باشد. این نکته را با بررسی یک عنصر گوشه (شکل ۹-۱۸) می توان نشان داد. اگر تنش برشی ۲ در گوش وجود داشته باشد، آن را می توان به دو مولفه موازی لبه های مقطع عرضی تجزیه نمود. چون در روی صفحه های عمود بر تنش های مذبور تنش برشی وجود ندارد (در روی سطوح خارجی تنشی وجود ندارد)، دو مولفه مذبور ناجارا "باید برابر صفر باشند و در نتیجه تنش برشی در گوشها برابر صفر است. جواب های تحلیلی برای پیچش یک عضو با مقطع مستطیل در مرجع ۲۶ بدست آمده است و بحث درباره جزئیات آن خارج از موضوع این کتاب است. اما جواب های نهایی را در اینجا مورد بحث قرار می دهیم. تنش برشی ماکریم که در وسط اصلاح طویل



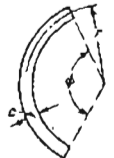
شکل ۹-۱۶

شکل ۹-۱۷

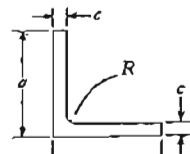
شکل ۹-۱۸

۴۷۷

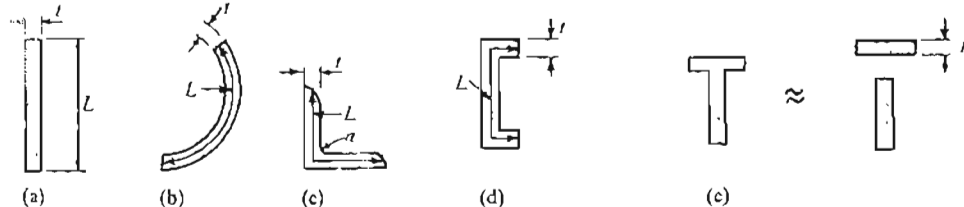
اگر طول خط میانی مقاطع مختلف شکل ۹-۲۱-۹ یکسان باشد، همگی آنها تحت لنگر پیچشی معینی تنش برخی مازکریم تقریباً "بکاری خواهند داشت، البته در سطه a مقاطع نسبی (شکل ۹-۲۱c) همانطوریکه قبله" بحث شد سنشهای موضعی زیادی متغیر خواهد بود.



شکل ۹-۱۹



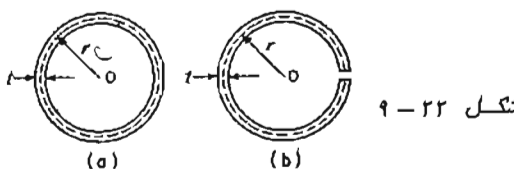
شکل ۹-۲۰



شکل ۹-۲۱

### مثال ۹-۷

دو لوله جدار نازک با مقاطع عرضی دایره مشابه یکدیگر می‌باشند بجز اینکه یکی از آن‌ها بدون شکاف و دیگری شکافدار مطابق شکل ۹-۲۲-۹ می‌باشد. اگر شعاع خط میانی برابر  $\alpha$  و ضخامت جدار لوله‌ها برابر  $t$  باشد، نسبت زوایای پیچش در واحد طول دو لوله را وقتی که تحت اثر لنگر پیچشی  $T$  قرار دارند حساب کنید.



شکل ۹-۲۲

۴۷۸

### جدول ۹-۱

جدول ضرائب پیچش میله با مقاطع عرضی مستطیل

b/c	$\alpha$	$\beta$
1.00	0.208	0.141
1.50	0.231	0.196
1.75	0.239	0.214
2.00	0.246	0.229
2.50	0.258	0.249
3.00	0.267	0.263
4.00	0.282	0.281
6.00	0.299	0.299
8.00	0.307	0.307
10.00	0.313	0.313
$\infty$	0.333	0.333

### جدول ۹-۲

ضریب تعریز تنش

۱	0.5	0.25	0.125	$\tau/c$
1.75	2	2.25	2.5	ضریب تعریز تنش

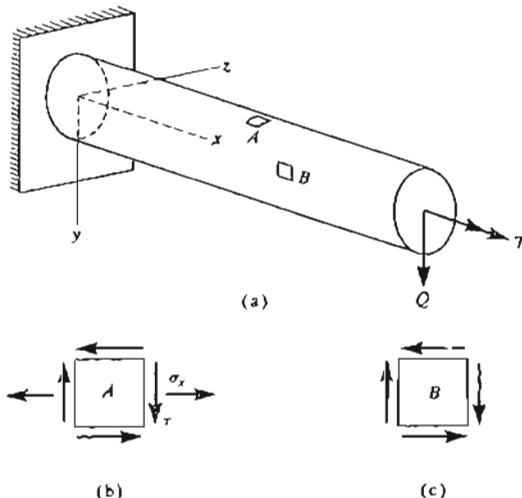
۴۷۹

زاویه پیچش کل با استفاده از رابطه ۹-۴۴ مساویست با

$$\phi = \theta L = \frac{3 \times 3000 \times 120}{18.8 \times (1.2)^3 \times 84(10)^4} = 0.0396 \text{ rad}$$

## ۹-۶ خمش تواأم با پیچش

اعضای سازه‌ای بعضی از موانع لازم است که بارهای خمشی و پیچشی را تواناً تحمل کنند. برای مثال، محورهای مکانیکی دایره‌ای که لنگر پیچشی منتقل می‌کند تحت اثر لنگر خمشی نیز قرار می‌گیرند. اگر برآیندهای تنش تحت چنین شرایطی معلوم باشد، تحلیل تنش با استفاده از مطالب فصل پنجم به سهولت صورت می‌گیرد. برآیندهای تنش ممکن است شامل لنگرهای خمشی، لنگرهای پیچشی و نیروهای برشی باشد. تنش‌های ناشی از هر یک از برآیندهای تنش در هر نقطه مقطع عرضی را می‌توان بوسیله فرمول‌های مناسب بدست آورد. سپس با توجه بانججه که در فصل پنجم گفته شد حالات تنش در هر نقطه را می‌توان به طور کامل بررسی مود. بخصوص، تنش‌های اصلی و تنش‌های برشی ماکریم در هر نقطه را می‌توان حساب کرد.



شکل ۹-۲۳ خمش تواأم با پیچش

۴۷۸

حل: زاویه پیچش در واحد طول لوله بدون شکاف از معادله ۹-۳۵ به دست

می‌آید.

$$\theta_1 = \frac{T}{2\pi G t^3}$$

زاویه پیچش در واحد طول لوله شکافدار با جایگزینی  $b=2\pi r$  و  $c=t$  در معادله ۹-۴۴ بدست می‌آید.

$$\theta_2 = \frac{3T}{2\pi r G t^3}$$

بنابراین از تقسیم نمودن  $\theta_1$  بر  $\theta_2$  خواهیم داشت

$$\frac{\theta_1}{\theta_2} = \frac{1}{3} \left(\frac{t}{r}\right)^2$$

اگر نسبت  $r/t$  را برای مثال  $1/10$  فرض کنیم از معادله فوق  $\frac{1}{300} = \frac{1}{\theta_1/\theta_2}$  به دست می‌آید، این نشان می‌دهد که لوله بدون شکاف ۳۰۰ بار از نوله شکافدار در مقابل پیچش سخت تر است.

## مثال ۹-۸

ابعاد مقطع نسبی سازه‌ای شکل ۹-۲۵ را عبارتند از  $a=10\text{ cm}$  و  $c=1.2\text{ cm}$ . میله فولادی با مقطع عرضی نیشی مزبور به طول  $1.2\text{ m}$  تحت اثر لنگرهای پیچشی  $T=3000\text{ cmKg}$  در دو انتهای قرار دارد. تنش برشی ماکریم  $\tau$  و زاویه پیچش  $\phi$  بین دو انتهای میله را حساب کنید. شاعع قوس اتصال دو قسمت نسبی (در نقطه  $R$ )  $= 0.6\text{ cm}$  است.

حل: با جایگزینی  $b=2a-c=18.8\text{ cm}$  در معادله ۹-۴۳ خواهیم داشت

$$\tau_{\max} = \frac{3(3000)}{18.8(1.2)^2} = 333 \text{ Kg/cm}^2$$

ضریب تعریز تنش با توجه به اینکه  $\tau/c = 0.5$  از جدول ۲-۹ برابر  $2$  می‌باشد، در نتیجه تنش برشی ماکریم فوق در گوش  $R$  برابر است با

$$\tau = 2 \times 333 = 666 \text{ Kg/cm}^2$$

اگر تنش‌های مجاز عمودی ( $\sigma_W$ ) و برشی ( $\tau$ ) معلوم باشد، آنها را می‌توان به جای  $\sigma_1 = \sigma_{max}$  و  $\tau$  در دو معادله فوق جایگزین کرد و معادلات حاصل را برای  $d$  حل نمود تا مقدار لازم برای قطر تیر بدست آید. البته تنش‌های ماکریم وقتی بدست می‌آید که عنصر A در نزدیکی تکیه گاه تیر (در جایی که لنگر خمشی M بیشترین مقدار را دارد) انتخاب شود.

عنصر انتخاب شده در بحث فوق در بالای قرار داشت. برای تحلیل تنش‌ها در پایین تیر روش مشابه‌ای می‌سوان بکار برد. تنش‌های ماکریم معمولاً "در جایی اتفاق می‌افتد که تنش‌های خمشی بیشترین مقدار را دارند. به عبارت دیگر تنش‌های ماکریم معمولاً" در بالا یا پایین تیر و در مقطع عرضی که در آن لنگر خمشی ماکریم است وجود دارد. اما بعضی از موقع لازم است که نقاط دیگر نیز بررسی شوند. برای مثال، نیروی برشی V (برابر با Q) در محل محور خشنی بیشترین تنش برشی را ایجاد می‌کند. از این جهت عنصری مانند B را سیز که در امتداد محور خشنی قرار دارد (شکل ۹-۲۲a) باید بررسی کنیم. این عنصر در حالت برش خالص قرار دارد (شکل ۹-۲۲c) و تنش برشی در روی آن از دو قسمت تشکیل شده است. قسمت اول، تنش برشی ناشی از لنگر پیچشی T که از معادله  $Tp/J = \tau$  بدست می‌آید و قسمت دوم، تنش برشی ناشی از V که از فرمول سرش (Ib)  $VQ/I = \sigma_X$  حاصل می‌شود. تنش‌های اصلی برای چنین عنصری در روی صفحه‌هایی که با محور تیر (محور X) زاویه ۴۵° می‌سازند وجود دارند. برای اینکه بیشترین مقدار تنش‌های عمودی در سراسر تیر برای طرح نیز تعیین شود، تنش‌های اصلی در روی عنصر B باید با مقادیر بدست آمده برای عنصر بالا و پایین نیز مقایسه شود. تنش‌های برشی ماکریم در تیر نیز با مقایسه مقادیر بدست آمده برای عناصر A و B تعیین می‌گردد.

اگر تیر دارای چند تکیه گاه باشد، یا اگر مقطع عرضی نیز به شکل دایره نباشد، باید در نقاط مختلف سیر تنش‌ها را تحلیل نمود و ستایج را با یکدیگر مقایسه کرد. برای این کار طبیعی است نقاطی که در آن‌ها تنش عمودی یا تنش برشی ماکریم است انتخاب شوند، با مقایسه تنش‌های بدست آمده در تمام نقاطی که ممکن است بیشترین تنش را داشته باشند، تا حدود زیادی می‌توان مطمئن شد که تنش‌های ماکریم مطلق تعیین شده‌اند.

عنوان بک مثال ساده خمش توازن با نیچش، نیز دایره‌ای شکل ۹-۲۳a را در نظر می‌گیریم. این تیر طراحت بوسیله یک لنگر پیچشی T که حول محور طولی نیز عمل می‌کند و نیروی جانبی Q بار گذاری شده است. برآیندهای تنش در هر مقطع عرضی تیر به فاصله x از تکیه گاه با استفاده از معادلات تعادل بدست می‌آید. این برآیندهای تنش عبارتند از: (الف) - لنگر خمشی M برابر با  $M(L-x)$  (طول تیر = L)، (ب) - نیروی برشی V برابر با  $Q$  و لنگر پیچشی T. توجه کنید در این مثال فرض شده است که لنگر خمشی مثبت در بالای تیر کشش ایجاد کند.

اگر عنصر A واقع در سطح بالای تیر (شکل ۹-۲۳a) را بررسی کنیم، مشاهده می‌کنیم که عنصر مذبور تحت اثر تنش‌های خمشی  $\sigma_X$  ناشی از M و تنش‌های برشی  $\tau$  ناشی از T قرار دارد (شکل ۹-۲۳b). این تنش‌ها به ترتیب از معادلات  $\sigma_X = My/I$  و  $\tau = Tp/J$  بدست می‌آید. این معادلات برای یک تیر دایره‌ای به قطر d به صورت زیر نوشته می‌شود:

$$(9-45) \quad \sigma_X = \frac{32M}{\pi d^3} ; \quad \tau = \frac{16T}{\pi d^3}$$

با داشتن  $\sigma_X$  و  $\tau$  می‌توانیم تنش‌ها را برای عنصری در نقطه A که به اندازه زاویه دلخواهی دوران گرده تعیین کنیم. تنش‌های اصلی در نقطه A از معادله ۹-۳۳ بدست می‌آید.

$$(9-46) \quad \sigma_{1,2} = \frac{\sigma_X}{2} \pm \sqrt{\left(\frac{\sigma_X}{2}\right)^2 + \tau^2}$$

تش برشی ماکریم نیز از معادله ۹-۳۶ محاسبه می‌شود.

$$(9-47) \quad \tau_{max} = \frac{\sigma_1 - \sigma_2}{2} = \sqrt{\left(\frac{\sigma_X}{2}\right)^2 + \tau^2}$$

پس از جایگزینی مقادیر  $\sigma_X$  و  $\tau$  از معادله ۹-۴۵ در معادلات ۹-۴۶ و ۹-۴۷ خواهیم داشت

$$(9-48) \quad \sigma_{1,2} = \frac{16}{\pi d^3} (M \pm \sqrt{M^2 + T^2})$$

$$(9-49) \quad \tau_{max} = \frac{16}{\pi d^3} \sqrt{M^2 + T^2}$$

۴۸۳

نشان می دهد که لنگر خمی ماکریسم در طول محور مکانیکی در هر کی از مقاطع عرضی B رخ می دهد. لنگر خمی در B سرا بر است با

$$M_B = (P_1 + P_2)a = 2863.5 \times 30 = 85905 \text{ cmKg}$$

مولفه لنگر خمی نقطه C در صفحه فائیم مساوی است با

$$M_C' = \left( \frac{Q_1 + Q_2}{2} \right) \frac{L}{2} = \frac{2148}{2} \times 60 = 64440 \text{ cmKg}$$

مولفه لنگر خمی نقطه C در صفحه افقی برابر است با

$$M_C'' = \left( \frac{P_1 + P_2}{4} \right) \frac{L}{2} = \frac{2863.5}{4} \times 60 = 42953 \text{ cmKg}$$

لنگر خمی M\_C در نقطه C از جمع برداری M\_C' و M\_C'' بدست می آید.

$$M_C = \sqrt{(M_C')^2 + (M_C'')^2} = \sqrt{59.98(10^8)} = 77445 \text{ cmKg}$$

لنگر خمی برآیند در نقطه C کمی کوچکتر از لنگر خمی در B است و جون لنگر پیچشی T در هر دو مقطع عرضی پیمان می باشد نتیجه می گیریم عنصری که در طرف جلوی محور مکانیکی در B قرار دارد عنصر بحرانی می باشد. بنابراین قطر لازم محور مکانیکی از رابطه ۹-۴۹ بدست می آید.

$$\begin{aligned} d &= \left( \frac{16}{\pi \tau_w} \sqrt{M^2 + T^2} \right)^{1/3} = \left[ \frac{16}{420\pi} \sqrt{(85905)^2 + (14320)^2} \right]^{1/3} \\ &= 10.18 \text{ cm} \end{aligned}$$

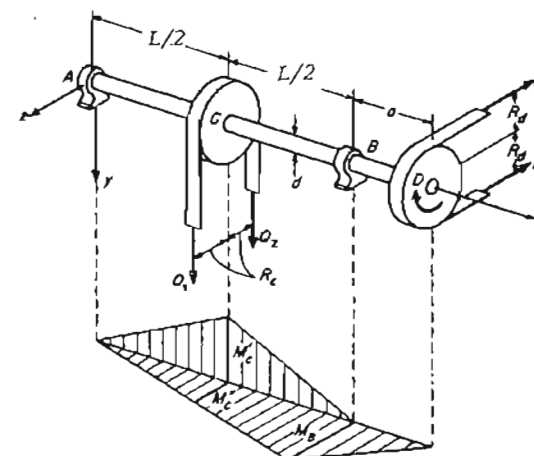
## ۹-۷ مسائل حل شده

### مسئله ۱

میله دایره‌ای توبیزی با دو قطر مختلف بوده (شکل ۹-۲۵) و در دو انتهای گیردار است. میله مطابق شکل ۹-۲۵ تحت اثر لنگر پیچشی T قرار دارد. لنگرهای پیچشی واکنشی  $T_{B_g}$  و  $T_{A_g}$  را در دو انتهای وزاویه دوران φ مقطوعی را که T در آن وارد می شود تعیین کنید.

۴۸۴

بک محور مکانیکی فولادی که در نقاط A و B بر روی یا طافان‌هایی متکی می باشد و فرقه‌های C و D را حمل می کند باید 100 قوه اسب را با سرعت 500 دور در دقیقه از فرقه D به فرقه C منتقل کند (شکل ۹-۲۴). اگر  $Q_1 = 2Q_2$ ,  $P_1 = 2P_2$ ,  $a = 30 \text{ cm}$ ,  $L = 1.2 \text{ m}$ ,  $R_C = 20 \text{ cm}$ ,  $R_D = 15 \text{ cm}$ ,  $\tau_w = 420 \text{ Kg/cm}^2$  باشد، قطر لازم (d) محور مکانیکی را محاسبه کنید.



شکل ۹-۲۴

حل: لنگر پیچشی لازم برای استغال 100hp در 500 rpm از معادله ۹-۱۵  
برابر است با

$$T = \frac{71600 \times 100}{500} = 14320 \text{ cmKg}$$

جون  $R_D$  می باشد، داریم  $T = (P_1 - P_2)R_D$

$$P_1 = 2P_2 = 1909 \text{ Kg}$$

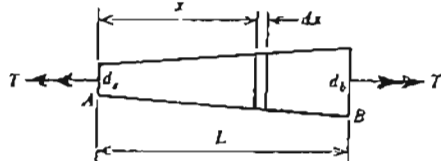
همین طور جون  $R_C$  می باشد، داریم  $T = (Q_1 - Q_2)R_C$

$$Q_1 = 2Q_2 = 1432 \text{ Kg}$$

حال توجه خود را به لنگرهای خمی ناشی از بارهای جانبی در محور مکانیکی معطوف می کنیم. محور مکانیکی در صفحه افقی xz و همچنین صفحه قائم xy تحت خشم قرار دارد. نمودارهای لنگر خمی مربوطه در شکل ۹-۲۴ رسم شده‌اند. بررسی این نمودارها

۴۸۵

میله غیر منشوری AB به طول L با مقطع عرضی دایره‌ای توپر تحت اثر لنگرها بیچشی  $\tau$  در دو انتهای ادار دارد (شکل ۹-۲۶). زاویه پیچش میله ( $\phi$ ) را حساب کنید.



شکل ۹-۲۶

حل: اگر شبیه جدارهای میله کوچک باشد، با بکار بردن معادله ۱-۱۱ برای عنصری به طول dx (شکل ۹-۲۶) می‌توان زاویه پیچش  $\phi$  را با دقت خوب بدست آورد. زاویه پیچش برای این عنصر برابر است با

$$d\phi = \frac{Tdx}{GJ_x}$$

$J_x$  در این رابطه معروف گشتاور لختی قطعی مقطع عرضی در فاصله x از انتهای چپ می‌باشد. اگر قطر میله در دو انتهای A و B را به ترتیب با  $d_a$  و  $d_b$  نشان دهیم،  $J_x$  برابر خواهد بود با

$$J_x = \frac{\pi}{32} \left( d_a^4 + \frac{d_b^4 - d_a^4}{L} x^4 \right)$$

زاویه پیچش کل از انتگرال زیر بدست می‌آید:

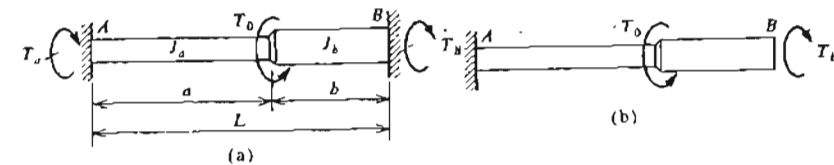
$$\phi = \int_0^L d\phi = \int_0^L \frac{Tdx}{GJ_x} \quad (2)$$

بس از جایگزینی  $J_x$  از معادله ۱ در معادله ۲ خواهیم داشت

$$\phi = \frac{32TL}{3\pi G} \left( \frac{1}{d_b^4} - \frac{1}{d_a^4} \right)$$

این مسئله نشان می‌دهد چگونه می‌توان از معادله ۱-۱۱ برای پیدا کردن زاویه دوران ناشی از پیچش در حالی که J سایعی از x می‌باشد استفاده نمود. موقعی که لنگر پیچشی  $T$  در طول میله بطور پیوسته تغییر می‌کند نیز می‌توان همین روش را بکار برد.

۴۸۶



شکل ۹-۲۵

حل: میدرمهور همیشگی است زیرا دو لنگر پیچشی مجهول  $T_a$  و  $T_b$  وجود دارند ولی تعداد معادلات تعادل فقط یکی می‌باشد:

$$(1) \quad T_a + T_b = T_0$$

اگر لنگر پیچشی واکنشی  $T_b$  را بعنوان واکنش اضافی انتخاب کنیم و سه نکته کاه B را برداشته و  $T_b$  را بر انتهای آزاد B وارد کنیم، زاویه دوران کل انتهای B ( $\phi_b$ ) برای مجموع زوایای دوران ناشی از  $T_a$  و  $T_b$  خواهد بود.

$$\phi_b = \frac{T_0 a}{GJ_a} - \frac{T_b a}{GJ_a} - \frac{T_b b}{GJ_b}$$

جون زاویه دوران انتهای B باید برابر صفر باشد، معادله سازگاری تغییر مکان‌ها بصورت  $\phi_b = 0$  در می‌آید. از این شرط، لنگر پیچشی  $T_b$  به صورت زیر نتیجه می‌شود:

$$T_b = \frac{T_0}{1 + \frac{aJ_b}{bJ_a}}$$

از جایگزینی نتیجه فوق در معادله ۱ لنگر پیچشی  $T_a$  بدست می‌آید.

$$T_a = \frac{T_0}{1 + \frac{aJ_b}{bJ_a}} = \frac{bJ_a}{aJ_b} T_b$$

زاویه دوران  $\phi$  در مقطع عرضی که  $T_0$  در آنجا وارد می‌شود برابر است با

$$\phi_0 = \frac{T_a a}{GJ_a} = \frac{T_b b}{GJ_b} = \frac{T_0 ab}{G(bJ_a + aJ_b)}$$

۴۸۷

از حل معادلات ۱ و ۲ داکش‌های  $T_A$  و  $T_B$  بدست می‌آیند.

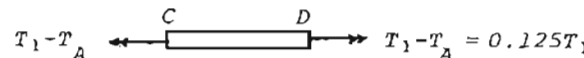
$$T_A = 0.875 T_1 \quad ; \quad T_B = 0.625 T_1$$

لگر پیچشی در ناحیه وسط میله برابر است با

$$T_A - T_1 = 0.875 T_1 - T_1 = -0.125 T_1$$

بنابراین جهت انتخاب شده سرای لگر پیچشی در ناحیه وسط در روی نمودار جسم آزاد

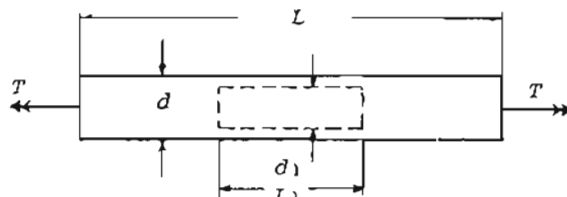
قسمت CD باید عوض شود (شکل ۹-۳۰).



شکل ۹-۳۰ نمودار جسم آزاد

مسئله ۹-۴

یک محور مکانیکی به قطر 50 mm و طول 0.75 m در قسمتی از طولش دارای سوراخی هم مرکز با آن می‌باشد. حداقل طول و قطر سوراخ را باید بطوریکه وقni محور مزبور تعت لگر پیچشی 167 mKg قرار می‌گیرد حداقل تنش برشی از 750 Kg/cm<sup>2</sup> تجاوز نکد و زاویه پیچش کل از 1.5° بیشتر نشود. ضریب ارتجاعی برشی G=800000 Kg/cm<sup>2</sup> می‌باشد.



شکل ۹-۳۱

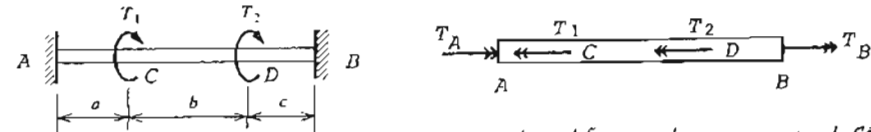
حل : لگر پیچشی  $T=167 \text{ mKg}$  در تمام طول میله ثابت است. تنش برشی حداقل در طول میله در سطح خارجی قسمت سوراخ دار رخ می‌دهد. اگر گشتاور لختی قطبی مقطع سوراخ دار را  $J$  بنامیم مقدار این تنش برابر است با

$$\tau_{\max} = \frac{Td}{2J_1} = \frac{167d}{\pi(d^4 - d_1^4)}$$

اگر در این رابطه به جای  $\tau_{\max}$  تنش برشی مجاز  $750 \text{ Kg/cm}^2$  را قرار دهیم حداقل قطر

۴۸۶

نمودار لگر پیچشی در ناحیه وسط میله دایره‌ای شکل ۹-۲۷ که در دو استهای گیردار است چقدر می‌آشد؟ فرض کنید  $b = \frac{L}{2}$  و  $a = \frac{L}{4}$  ،  $T_1 = 2T_2$ .

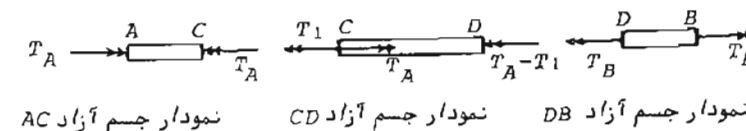


شکل ۹-۲۸ نمودار جسم آزاد میله

مسئله ۹-۲۷

حل : از تعادل پیچشی میله AB نسبه می‌شود (شکل ۹-۲۸)

$$T_A + T_B = T_1 + T_2 = 1.5 T_1 \quad (1)$$



نمودار جسم آزاد DB      نمودار جسم آزاد AC

اگر زاویه پیچش نقطه B را نسبت به نقطه A  $\phi_{B/A}$  ، زاویه پیچش نقطه C را نسبت به نقطه A  $\phi_{C/A}$  ، زاویه پیچش نقطه D را نسبت به نقطه C  $\phi_{D/C}$  و زاویه پیچش نقطه B را نسبت به سطه D  $\phi_{B/D}$  بنامیم شرط سازگاری غیر مکان‌ها به صورت زیر نوشته می‌شود :

$$\phi_{B/A} = \phi_{C/A} + \phi_{D/C} + \phi_{B/D} = 0$$

این معادله با توجه به نمودارهای جسم آزاد شکل ۹-۲۹ به صورت زیر در می‌آید :

$$\frac{T_A a}{GJ} + \frac{(T_A - T_1)b}{GJ} - \frac{T_B a}{GJ} = 0$$

$$T_A a + (T_A - T_1)b - T_B a = 0$$

$$T_A \left( \frac{L}{4} \right) + (T_A - T_1) \frac{L}{2} - T_B \frac{L}{4} = 0$$

$$3T_A - T_B = 2T_1 \quad (2)$$

۴۹۳

$$\sigma_1 = \frac{\sigma}{2} + \sqrt{\frac{\sigma^2}{4} + \tau^2} = \frac{514.48}{2} + \sqrt{\left(\frac{514.48}{2}\right)^2 + 30.87^2}$$

$$= 516.33 \text{ Kg/cm}^2$$

حداکثر تنش برشی در نقطه A مساوی است با

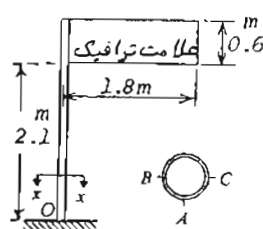
$$\tau_{\max} = \sqrt{\frac{\sigma^2}{4} + \tau^2} = \sqrt{\left(\frac{514.48}{2}\right)^2 + 30.87^2} = 259.09 \text{ Kg/cm}^2$$

مسئله ۹ - ۹

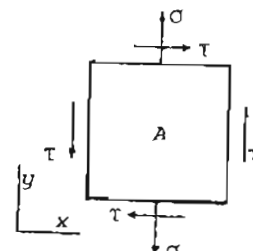
پایه‌ای با مقطع لوله‌ای به قطر خارجی 10cm و قطر داخلی 8.75cm 8 برای گهداشت یک علامت ترافیک در شاهراهی بکار رفته است شکل (۹-۳۹). فشار باد وارد بر تابلو علامت ترافیک 100 Kg/m<sup>2</sup> می‌باشد. ابعاد تابلو ۰.۸m × ۰.۶m و ارتفاع لبه پایین آن ۱۲.۱m است. تعیین کنید حداکثر تنش برشی ناشی از باد را در نقاط A، B و C کمتر پای پایه (نقطه O) واقع شده‌اند.

$$d_2 = 10 \text{ cm}$$

$$d_1 = 8.75 \text{ cm}$$



شکل ۹-۳۹

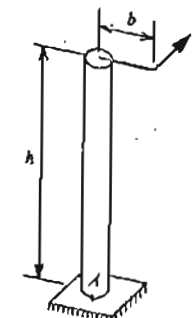


شکل ۹-۴۰

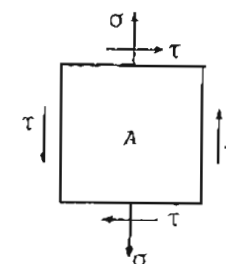
حل: برآیند نیروی فشاری ناشی از باد که بر مرکز سطح تابلوی علامت در فاصله

۴۹۲

تنش عمودی ناشی از خمس تنها حد اکثر می‌باشد تعیین کنید.



شکل ۹-۳۷



شکل ۹-۳۸

حل: در نقطه A لنگر حجمی M و لنگر بیجی T دارد می‌شود.

$$M = Ph = 112.5 (7.5) = 843.75 \text{ mKg}$$

$$T = Pb = 112.5 (0.9) = 101.25 \text{ mKg}$$

عنصر کوچکی در نقطه A سه ناشی تنش‌های σ و τ مطابق شکل ۹-۳۸ قرار دارد.

$$\sigma = \frac{M}{S} = \frac{84375}{164} = 514.48 \text{ Kg/cm}^2$$

$$\tau = \frac{Tr}{J} = \frac{T}{J/r}$$

$\tau/Jr$  را می‌نوانیم بر حسب S بنویسیم.

$$\frac{J}{r} = \frac{\frac{\pi r^4}{2}}{r} = \frac{2I}{r} = 2S$$

توجه کنید برای یک مقطع دایره‌ای گشتاور لختی قطبی (J) دو برابر گشتاور لختی آن نسبت به محوری که از مرکز دایره عبور می‌کند (I) می‌باشد.

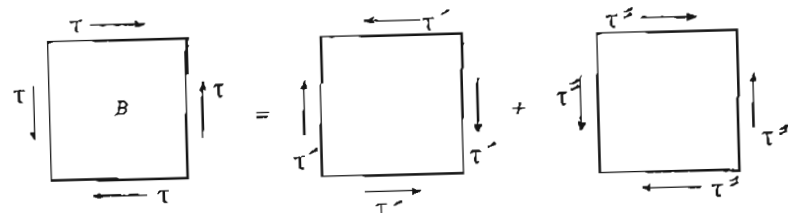
$$\tau = \frac{T}{2S} = \frac{10125}{2(164)} = 30.87 \text{ Kg/cm}^2$$

تنش اصلی کششی در نقطه A برابر است با

۴۹۵

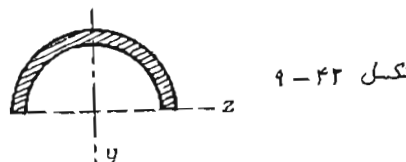
تنش برشی ماکریم در نقطه B : اگر عنصر کوچکی را در نقطه B در نظر بگیریم  
برآن فقط تنش برشی ۲ اثر می کند (شکل ۹-۴۱) . زیرا تنش عمودی ناشی از لنگر  
خمی M برابر صفر می باشد . در اثر نیروی برشی  $V=108 \text{ Kg}$  در پای لوله تنش  
برشی  $\tau'$  بر عنصر B وارد می شود که مقدار آن برابر است با (شکل ۹-۴۱)

$$\tau' = \frac{VQ}{Ib}$$



شکل ۹-۴۱

انتگرال Q که باید در روی سطح هاشور خورده شکل ۹-۴۲ حساب شود با استفاده از  
پیوست ۱ کتاب بصورت حاصل ضرب مساحت نیم دایره خارجی (به قطر  $d_2$ ) در فاصله  
مرکز سطح آن از محور Z منهای حاصل ضرب مساحت نیم دایره داخلی (به قطر  $d_1$ )



در فاصله مرکز سطح آن از محور Z بدست می آید .

$$Q = \left( \frac{\pi d_2^2}{8} \right) \left( \frac{2d_2}{3\pi} \right) - \left( \frac{\pi d_1^2}{8} \right) \left( \frac{2d_1}{3\pi} \right) = \frac{d_2^3 - d_1^3}{12}$$

$$\tau' = \frac{(F) \left( \frac{d_2^3 - d_1^3}{12} \right)}{\frac{\pi}{64} (d_2^4 - d_1^4) (d_2 - d_1)} = \frac{16F (d_2^2 + d_1^2 + d_1 d_2)}{3\pi (d_2^4 - d_1^4)}$$

$$= \frac{16(108)(10^2 + 8.75^2 + 10 \times 8.75)}{3\pi (10^4 - 8.75^4)} = 11.70 \text{ Kg/cm}^2$$

۴۹۶

از محور لوله اثر می کند برابر است با  
 $F = (1.80)(0.6)(100) = 108 \text{ Kg}$   
لنگر پیچشی در نقطه O (پای لوله) ماویت با  
 $T = 0.9 F = 0.9 (108) = 97.2 \text{ mKg}$   
لنگر خمی در نقطه O (پای لوله) برابر است با  
 $M = (2.1 + 0.5) F = (2.4)(108) = 259.2 \text{ mKg}$   
فرض می کنیم جهت وزش باد چنان باشد که لوله را در خلاف جهت عقربه های ساعت به  
دوران در می اورد .

تنش برشی ماکریم در نقطه A : اگر عنصر کوچکی را در نقطه A در نظر بگیریم  
برآن تنش های ۵ و ۲ مطابق شکل ۹-۴۰ اثر می کنند . تنش کشی ۵ ناشی از لنگر  
خمی M می باشد که برابر است با

$$\sigma = \frac{Mc}{I} = \frac{M \frac{d_2}{2}}{\frac{\pi d_2^4}{64} - \frac{\pi d_1^4}{64}} = \frac{32Md_2}{\pi (d_2^4 - d_1^4)}$$

$$= \frac{32 (25920)(10)}{\pi (10^4 - 8.75^4)} = 638.0 \text{ Kg/cm}^2$$

تنش برشی  $\tau$  ناشی از لنگر پیچشی T می باشد که برابر است با  
 $\tau = \frac{Tr}{J} = \frac{T \frac{d_2}{2}}{\frac{\pi d_2^4}{32} - \frac{\pi d_1^4}{32}} = \frac{16Td_2}{\pi (d_2^4 - d_1^4)}$ 

$$= \frac{16(9720)(10)}{\pi (10^4 - 8.75^4)} = 119.63 \text{ Kg/cm}^2$$

با توجه به اینکه حالت تنش در نقطه A حالت خاصی از تنش مسطح می باشد حداقل  
تنش برشی در نقطه مزبور برابر است با

$$\tau_{max} = \sqrt{\left(\frac{\sigma_x - \sigma_y}{2}\right)^2 + \tau_{xy}^2}$$

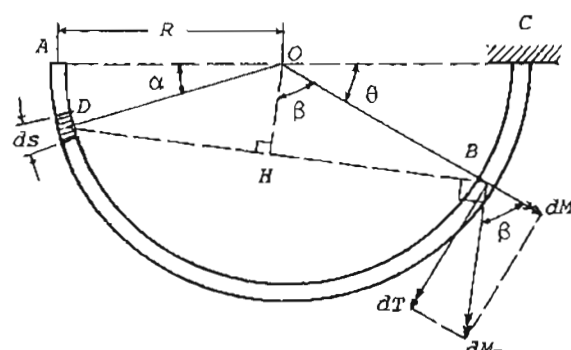
$$\sigma_x = 0 ; \sigma_y = 638 \text{ Kg/cm}^2 ; \tau_{xy} = 119.63 \text{ Kg/cm}^2$$

$$\tau_{max} = \sqrt{\left(\frac{638}{2}\right)^2 + (119.63)^2} = 340.69 \text{ Kg/cm}^2$$

۴۹۷

۹-۴۴ و مقدار آن برابر است با

$$dM_B = (qds)(\overline{DB})$$



شکل ۹-۴۴

در روی شکل عمود بر  $\overline{DB}$  می‌باشد و زاویه  $\hat{H}OB$  با  $\beta$  نشان داده شده است.  
طول  $\overline{DB}$  به صورت زیر حساب می‌شود:

$$\overline{DB} = 2\overline{HB} = 2\sqrt{R^2 - \overline{OH}^2} = 2\sqrt{R^2 - R^2\cos^2\beta} = 2R\sin\beta$$

زاویه  $\beta$  برابر  $\frac{\pi - \alpha - \theta}{2}$  می‌باشد، بنابراین

$$\overline{DB} = 2R\cos\frac{\alpha + \theta}{2}$$

$$dM_B = (qRd\alpha)(2R\cos\frac{\alpha + \theta}{2}) = 2R^2q\cos\frac{\alpha + \theta}{2} d\alpha$$

لنگر  $dM_B$  را به دو مولفه تجزیه می‌کنیم. مولفه  $dT$  که مساوی میله در نقطه B است و مولفه  $dM$  که عمود بر میله مزبور می‌باشد. لنگر  $dT$  در نقطه B ایجاد پیچش و لنگر  $dM$  در نقطه B ایجاد خمث می‌کند.

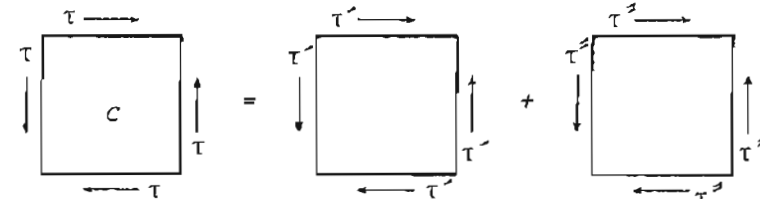
$$dT = dM_B \sin\beta = 2R^2q\cos^2\frac{\alpha + \theta}{2} d\alpha = R^2q[\cos(\alpha + \theta) + 1] d\alpha$$

۴۹۶

در اثر لنگر پیچشی T در پای لوله تنش برشی  $\tau$  بر منصر B وارد می‌شود که مقدار آن برابر است با (شکل ۹-۴۱)

$$\tau'' = \frac{T\tau}{J} = \frac{16Td_2}{\pi(d_2^4 - d_1^4)} = 119.63 \text{ Kg/cm}^2$$

بنابراین تنش برشی ماکزیمم در نقطه B در پای لوله با توجه به اینکه جهت تنش های  $\tau$  و  $\tau''$  مخالف یکدیگر می‌باشد برابر است با  $\tau_{max} = \tau = \tau'' - \tau' = 119.63 - 11.70 = 107.93 \text{ Kg/cm}^2$  تنش برشی ماکزیمم در نقطه C: حالت تنش در این نقطه متابه حالت تنش در نقطه B می‌باشد با این تفاوت که تنش‌های  $\tau$  و  $\tau''$  هم جهت می‌باشند (شکل ۹-۴۲).



شکل ۹-۴۳

$$\tau_{max} = \tau = \tau' + \tau'' = 11.70 + 119.63 = 131.33 \text{ Kg/cm}^2$$

مسئله ۹-۱۰

میله نیم دایره‌ای ABC (شکل ۹-۹) به شعاع R در یک صفحه افقی قرار دارد و در تکیه گاه C گیردار می‌باشد. وزن واحد طول میله برابر  $q$  است (وزن کل آن  $\pi Rq$  است). روابطی برای نیروی برشی  $V$ ، لنگر خمثی  $M$  و لنگر پیچشی  $T$  در مقطع که با زاویه  $\theta$  مشخص شده است پیدا کید.

حل: عنصری از میله به طول  $ds$  را که با زاویه  $\alpha$  مشخص شده است مطابق شکل ۹-۹ در نظر می‌گیریم. وزن این عنصر میله در نقطه B لنگر  $dM_B$  ایجاد می‌کند که امتداد آن در صفحه افق قرار دارد و عمود بر  $\overline{DB}$  می‌باشد و جهت آن مطابق شکل

۴۹۹

حل : زاویه پیچش مجاز در واحد طول لوله از معادله ۹-۳۱ برابر است با

$$\theta_w = \frac{\tau_w L}{2GA_m}$$

ماحت محصور بوسیله خط میانی  $A_m = \pi ab = 37.5\pi \text{cm}^2$  می باشد . طول خط میانی مقطع

با دقت خوب از فرمول تقریبی زیر بدست می آید :

$$s = \pi \left[ \frac{3}{2} (a+b) - \sqrt{ab} \right] = 39.7 \text{ cm}$$

بنابراین زاویه پیچش مجاز برابر می شود با

$$\theta_w = \frac{700 \times 39.7}{2 \times 37.5\pi \times 840000} = 0.00014 \text{ rad/cm}$$

## مسئله ۹-۱۲

آونگ پیچشی شکل ۹-۴۶ شامل یک صفحه مدور می باشد که به میله فولادی نازکی با مقطع عرضی دایره A وزن ایست . وزن صفحه مدور W=45Kg ، طول میله L=50cm و قطر میله d=3mm می باشد . تنش های مجاز کششی و برشی میله به ترتیب  $\sigma_w = 1120 \text{Kg/cm}^2$  و  $\tau_w = 560 \text{Kg/cm}^2$  است . حداکثر زاویه پیچش φ میله در حین نوسانات پیچشی ، بدون اینکه تنشها از مقدار مجاز تجاوز کند ، چقدر می باشد ؟ ( ضریب ارجاعی برشی  $G=84000 \text{Kg/cm}^2$  است ) .

حل : میله آونگ تحت اثر کشش توازن با پیچش می باشد . تنش محوری کششی یکنواخت برابر است با

$$\sigma_x = \frac{W}{A} = \frac{45}{0.071} = 630 \text{Kg/cm}^2$$

تنش برشی ناشی از پیچش مساوی است با ( معادله ۹-۴ )

$$\tau_{xy} = Gr\theta \quad (1)$$

برای بدست آوردن مقدار مجاز θ از دایره موهر ( شکل ۹-۴۷ ) استفاده می کنیم .

ابتدا با مقیاس معینی تنش های عمودی معلوم  $\sigma_x = 630 \text{Kg/cm}^2$  و  $\sigma_y = 0$  را در روی محور σ می بریم که از آنجا محل مرکز C دایره مشخص می شود . سپس تنش کششی ماکزیمم مجاز  $\sigma_1 = 1120 \text{Kg/cm}^2$  را در روی محور σ می بریم تا نقطه A بdest آید . اگر دایره بخواهد

۴۹۸

$$dM = dM_B \cos \beta = 2R^2 q \cos \frac{\alpha+\theta}{2} \sin \frac{\alpha+\theta}{2} d\alpha = R^2 q \sin(\alpha+\theta) d\alpha$$

بنابراین لنگر پیچشی و لنگر خمشی در مقطع B از محاسبه استگارال های زیر به دست می آید :

$$T = \int_0^{\pi-\theta} R^2 q [ \cos(\alpha+\theta)+1 ] d\alpha = R^2 q [ \sin(\alpha+\theta)+\alpha ]_0^{\pi-\theta}$$

$$= R^2 q (\pi - \theta - \sin \theta)$$

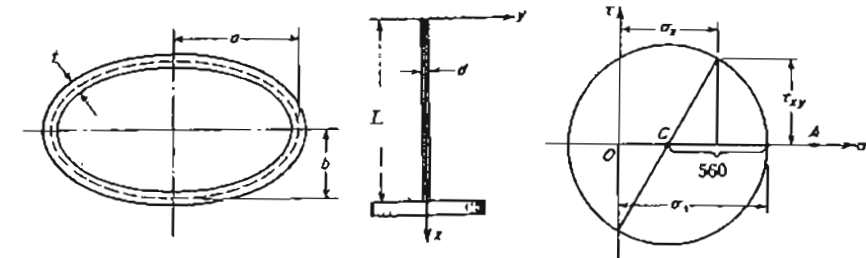
$$M = \int_0^{\pi-\theta} R^2 q \sin(\alpha+\theta) d\alpha = -R^2 q [ \cos(\alpha+\theta) ]_0^{\pi-\theta} = R^2 q (1 + \cos \theta)$$

نیروی برشی در مقطع B برابر با وزن قسمت AB میله می باشد .

$$V = qR (\pi - \theta)$$

## مسئله ۹-۱۱

لوله ای از فولاد ضد زنگ با مقطع عرضی بیضی ( شکل ۹-۴۵ ) پیچیده می شود . اگر تنش مجاز برشی  $\tau_w = 700 \text{Kg/cm}^2$  باشد ، زاویه پیچش مجاز در واحد طول t قدر است ؟ . فرض کنید t=3mm ، b=5cm ، a=7.5cm و ضریب ارجاعی برشی  $G=84000 \text{Kg/cm}^2$  باشد .



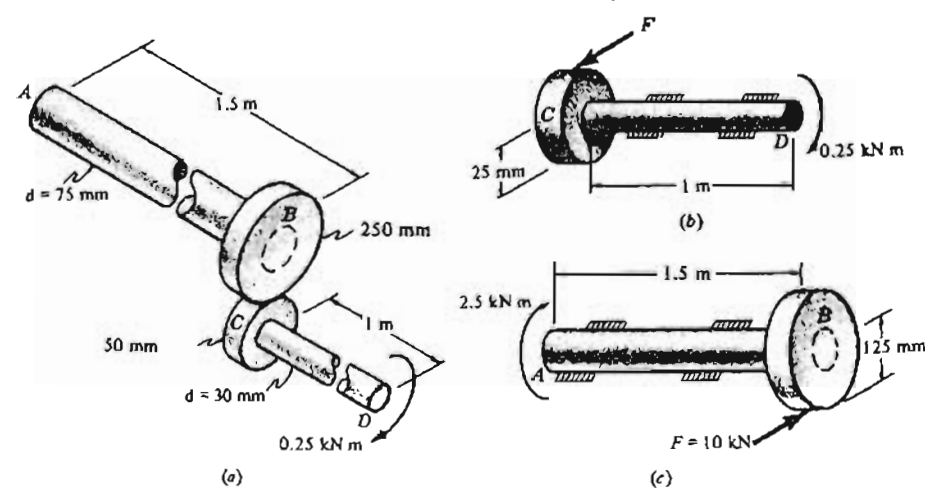
شکل ۹-۴۵

شکل ۹-۴۶

شکل ۹-۴۷

۵۰۱

نمودار جسم آزاد محور مکانیکی AB در شکل ۹-۴۸c در شکل برابر ولی در جهت مخالف نیروی F موئیر بر چرخ دنده کوچک در شکل ۹-۴۸b می باشد . این نیرو بر محور مکانیکی AB لنگر پیچشی  $10 \times 0.125 = 1.25 \text{ mKN}$  وارد می کند . در اثر این لنگر پیچشی ، انتهای B نسبت به انتهای A به اندازه  $\phi_2$  دوران می کند .



شکل ۹-۴۸

$$\phi_2 = \frac{1.25 \times 10^3 (1.5) (10)^{12}}{(85 \times 10^9) (\frac{\pi}{32}) (75)^4} = 0.007 \text{ rad}$$

این زاویه دوران  $\phi_2$  باعث می شود که تمام محور مکانیکی CD به علت وجود چرخ دنده ها مانند جسم صلبی دوران کند . این دوران به نسبت قطرهای دایره های گام چرخ دنده ها، یعنی به نسبت  $\frac{5}{1}$  ، صورت خواهد گرفت . بنابراین CD مانند جسم صلبی به اندازه  $5(0.007) \text{ rad} = 0.035 \text{ rad}$  دوران خواهد شد . این زاویه دوران را باید با زاویه دوران D نسبت به C (زاویه  $\phi$ ) جمع نمود تا زاویه پیچش D نسبت به A بدست آید ( $\phi_1$ )

$$\phi = 5(0.007) + 0.09 = 0.125 \text{ rad}$$

مسئله ۹-۱۴

۵۰۰

از نقطه A عبور کند ، شاعاع آن که معرف  $\tau_{max}$  است برابر خواهد بود با  $1120 - 315 = 805 \text{ Kg/cm}^2$  چون مقدار فوق از تنش برشی مجاز  $560 \text{ Kg/cm}^2$  بیشتر می باشد نتیجه می گیریم که تنش برشی مجاز عامل تعیین کننده است . در این صورت دایره موهر دایره ای به مرکز C و شاعاع  $\tau_{max} = 560 \text{ Kg/cm}^2$  خواهد بود .

حال  $\tau_{xy}$  از روی دایره موهر با استفاده از مقیاس به دست می آید :

$$\tau_{xy} = \frac{465}{(840000)(0.15)} = 0.00369 \text{ rad/cm}$$

زاویه پیچش مربوطه برابر است با

$$\theta = \theta L = 0.00369 \times 50 = 0.185 \text{ rad} = 10^\circ 34'$$

توجه کنید که تنش کشی ماقریم در میله آونگ برابر  $875 \text{ Kg/cm}^2$  می باشد .

مسئله ۹-۱۳

دو محور مکانیکی دایره های توپر بوسیله دو چرخ دنده که قطر دایره های گام آنها ۵۰mm و ۲۵۰mm می باشد مطابق شکل ۹-۴۸a به بکدیگر متصل شده اند . فرض می شود محورهای مکانیکی در روی پایاطاقان ها چنان قرار گرفته اند که تحت هیچ نوع خمی قرار نداشته باشد . محور مکانیکی AB از فولاد با ضریب ارتعاشی برشی  $G=85 \times 10^9 \text{ N/m}^2$  و محور CD از برنج با ضریب ارتعاشی برشی  $G=35 \times 10^9 \text{ N/m}^2$  می باشد . زاویه دوران انتهای D نسبت به انتهای A در اثر لنگر پیچش ۲۵۰mN وارد در نقطه D را حساب کنید .

حل : نمودار جسم آزاد محور مکانیکی CD (شکل ۹-۴۸b) نشان می دهد که نیروی مماسی F باید بر چرخ دنده کوچک اثر کند . از تعادل CD نتیجه می شود :

$F=10 \text{ kN}$  . زاویه پیچش محور مکانیکی CD برابر است با

$$\phi_1 = \frac{TL}{GJ} = \frac{250(1)(10)^{12}}{(35 \times 10^9)(\frac{\pi}{32})(30)^4} = 0.09 \text{ rad}$$

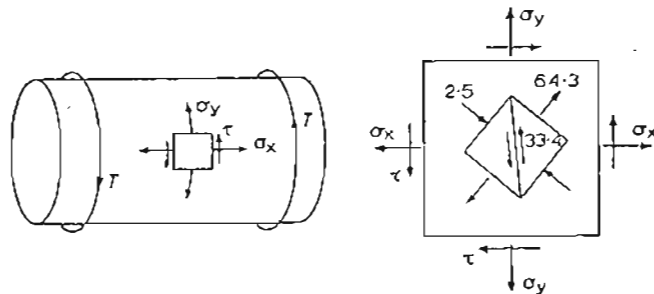
۵۰۳

(شکل ۹-۵۵)، نشان دهد تنש‌های برشی در گوشمهای خارجی A، B، C، D صفر می‌باشد.

حل: فرض کنید تنش برشی  $\tau$  در یکی از گوشمهای مقطع عرضی وجود داشته باشد (شکل ۹-۵۱). این تنش را می‌توان به دو مؤلفه  $\tau_1$  و  $\tau_2$  عمود بر اصلاح جند ضلعی تجزیه نمود. چون تنش‌های برشی همواره در دو صفحه عمود بر هم وجود دارند، تنش‌های برشی مساوی  $\tau_1$  و  $\tau_2$  باید بر سطوح جانبی میله اثر کند. ولی سطوح جانبی میله قادر تنش می‌باشد. در نتیجه  $\tau_1 = \tau_2 = 0$  از آنجا  $\tau = 0$ .

مسئله ۹-۱۶

لوله استوانه‌ای جدار نازکی به قطر داخلی  $D = 75\text{ mm}$  و ضخامت جدار  $t = 5\text{ mm}$  در دو انتهای مسدود و تحت فشار داخلی  $p = 5.5\text{ MN/m}^2$  قرار دارد. استوانه در دو انتهای تحت اثر لنگرهای پیچشی  $T = 1.6\text{ kNm}$  می‌باشد (شکل ۹-۵۲). تنش‌های اصلی ماکزیمم و مینیمم و تنش برشی ماکزیمم در جدار لوله را تعیین کنید.



شکل ۹-۵۲

شکل ۹-۵۳

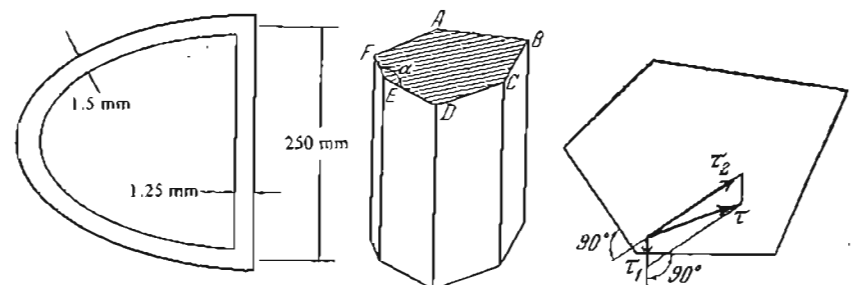
حل: عنصر کوچکی از استوانه تحت اثر تنش‌های  $\sigma_x$ ،  $\sigma_y$  و  $\tau$  مطابق شکل ۹-۵۲ قرار دارد.

$$\sigma_x = \frac{pD}{4t} = \frac{5.5 \times 10^6 \times 0.075}{4 \times 0.005} \text{ N/m}^2 = 20.6 \text{ MN/m}^2$$

$$\sigma_y = \frac{pD}{2t} = 41.2 \text{ MN/m}^2$$

۵۰۲

مقطع جدار نازک شکل ۹-۴۹ در لبه بال هواپیما بکار می‌رود. طول قسمت منحنی  $800\text{ mm}$  و مساحت محصور  $60000\text{ mm}^2$  می‌باشد. ماده مصرفی آلیاژ الومینیوم می‌باشد که برای آن تنش برشی مجاز  $70\text{ MPa}$  و ضریب ارتتعاعی برشی  $G = 3 \times 10^{10}\text{ N/m}^2$  است. لنگر پیچشی مجاز  $T$  وزاویه پیچش در واحد طول مربوط به لنگر پیچشی مذبور را تعیین کنید.



شکل ۹-۴۹

شکل ۹-۵۰

شکل ۹-۵۱

حل: جریان برش (معادله ۹-۲۸)  $f = \tau t$  می‌باشد. چون ضخامت جدار در قسمت قائم کمتر است، تنش برشی در این قسمت به تنش مجاز می‌رسد و جریان برش برابر می‌شود با

$$f = 70 \times 10^6 \times 1.25 \times 10^{-3} = 87500 \text{ N/m}$$

تنش برشی  $\tau$  در قسمت منحنی مقطع از همان معادله  $f = \tau t$  بدست می‌آید.

$$\tau' = \frac{f}{t} = \frac{87500}{1.5 \times 10^{-3}} = 58.3 \times 10^6 \text{ Pa} = 58.3 \text{ MPa}$$

لنگر پیچشی مجاز از معادله ۹-۲۹ برابر است با

$$T = 2f A_m = 2(87500)(6 \times 10^4 \times 10^{-6}) = 10500 \text{ mN}$$

زاویه پیچش در واحد طول نیز از رابطه ۹-۳۰ بدست می‌آید.

$$\theta = \frac{T}{4GA_m^2} \int_{L_m}^L \frac{ds}{t} = \frac{10500}{4(3 \times 10^{10})(0.06)^2} \left( \frac{800}{1.5} + \frac{250}{1.25} \right)$$

$$= 0.0178 \text{ rad/m}$$

مسئله ۹-۱۵

موقعی که یک میله منشوری با مقطع عرضی چند ضلعی تحت همچشم قرار می‌گیرد

۵۰۵

حل : بیشترین لنگر پیچشی در قسمت چپ محور مکانیکی وجود دارد که مقدار آن از معادله ۹-۱۵ بدست می‌آید.

$$T = \frac{71600(50)}{525} = 6820 \text{ cmKg}$$

تنش برشی ماکریم مریوطه از معادله ۹-۱۲ برابر است با

$$\tau_{\max} = \frac{16T}{\pi d^3} = \frac{16 \times 6820}{\pi (4)^3} = 542.5 \text{ Kg/cm}^2$$

همین طور برای قسمت راست محور مکانیکی که ۲۰hp را منتقل می‌کند،  
تنش برشی ماکریم مریوطه از معادله ۹-۱۲ برابر است با

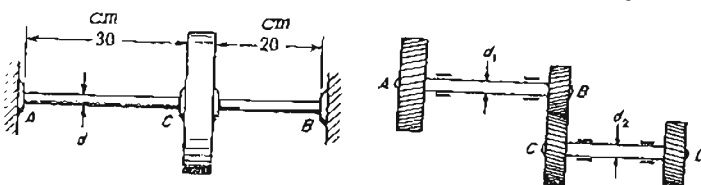
$$\tau = 217 \text{ Kg/cm}^2 \quad T = 2730 \text{ cmKg}$$

زاویه پیچش کل مجموع زوایای پیچش  $\phi_1$  و  $\phi_2$  در دو قسمت محور مکانیکی است  
که با استفاده از معادله ۹-۱۱ بدست می‌شود :

$$\phi = \phi_1 + \phi_2 = \frac{6820 \times 300}{10^6 \times 25.14} + \frac{2730 \times 600}{10^6 \times 25.14} = 0.1465 \text{ rad} = 8^\circ 23'$$

۹-۸ مسائل حل نشده

مسئله ۹-۱ یک محور مکانیکی فولادی به قطر  $d=12\text{mm}$  در دو انتهای A و B گیردار می‌باشد (شکل ۹-۱-۱) و در نقطه C یک صفحه مدور را حمل می‌کند. اگر تنش برشی مجاز محور مکانیکی  $700 \text{ Kg/cm}^2$  باشد، حداقل زاویه دورانی که می‌توان به صفحه مدور داد چقدر است؟ فرض کنید صفحه مدور به محور مکانیکی به طور صلب متصل شده باشد.



شکل ۹-۱-۱

شکل ۹-۱-۲

۵۰۴

چون لولد جدار سازک است، تنش برشی متوسط  $\tau$  از معادله ۳۴-۹ بدست می‌آید  
(شعاع متوسط استوانه =  $r$ )

$$\tau = \frac{T}{2\pi r^2 t} = \frac{1600}{2\pi (0.04)^2 (0.005)} = 31.8 \text{ MN/m}^2$$

تنشی اصلی از معادله ۵-۳۳ محاسبه می‌شوند.

$$\sigma_{1,2} = \frac{\sigma_x + \sigma_y}{2} \pm \sqrt{\left(\frac{\sigma_x - \sigma_y}{2}\right)^2 + \tau^2}$$

$$= \frac{20.6 + 41.2}{2} \pm \sqrt{\left(\frac{20.6 - 41.2}{2}\right)^2 + 31.8^2}$$

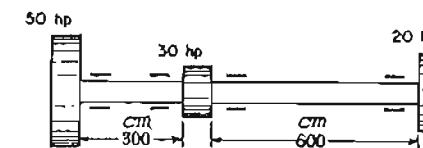
$$\sigma_1 = 64.3 \text{ MN/m}^2 \quad ; \quad \sigma_2 = -2.5 \text{ MN/m}^2$$

تنش برشی ماکریم نیز از معادله ۵-۳۶ بدست می‌آید.

$$\tau_{\max} = \frac{\sigma_1 - \sigma_2}{2} = \frac{64.3 - (-2.5)}{2} = 33.4 \text{ MN/m}^2$$

مسئله ۹-۱۷

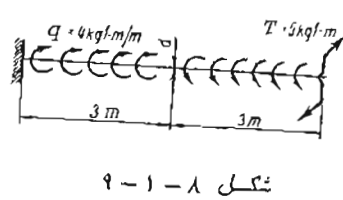
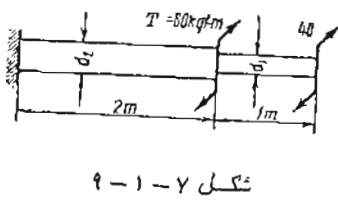
محور مکانیکی شکل ۹-۵۴ با مقطع دایره به قطر  $40\text{mm}$  و از فولاد ساخته شده است. محور مکانیکی مجبور با سرعت  $525 \text{ rpm}$  دوران می‌کند و بر یاطافان‌ها جنان تکیه دارد که خمین آن قابل صرف نظر می‌باشد. ۵۰ قوه، اسب بوسیله تسمه گردانیدهای به ترقوه چپ منتقل می‌شود که از آن مقدار، ۳۰ قوه، اسب به قرقه میانی و ۲۰ قوه، اسب به فرقه راست انتقال می‌یابد. تنش برشی ماکریم در محور مکانیکی و زاویه پیچش کل را حساب کنید ( $G = 10^6 \text{ Kg/cm}^2$ ).



شکل ۹-۵۴

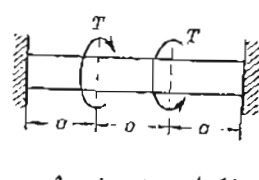
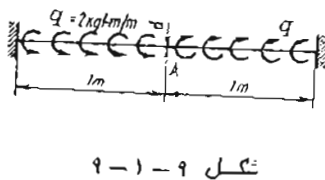
۵۰۲

مسئله ۹-۱-۷ اگر تنش برشی مجاز برای میله شکل ۷-۱-۱ برابر  $800 \text{ Kg/cm}^2$  و ضریب ارتجاعی برشی  $G=8 \times 10^5 \text{ Kg/cm}^2$  باشد، فترهای  $d_1$  و  $d_2$  میله و همچنین زاویه پیچش کل را حساب کنید.



مسئله ۹-۱-۸ اگر تنش برشی مجاز برای میله شکل ۸-۱-۱ برابر  $250 \text{ Kg/cm}^2$  و ضریب ارتجاعی برشی  $G=8 \times 10^5 \text{ Kg/cm}^2$  باشد، قطر  $d$  میله و همچنین زاویه پیچش کل میله را حساب کنید.

مسئله ۹-۱-۹ تنش مجاز برشی میله شکل ۹-۱-۱ برابر  $250 \text{ Kg/cm}^2$  و ضریب ارتجاعی  $E=2 \times 10^6 \text{ Kg/cm}^2$  و ضریب ارتجاعی برشی  $G=8 \times 10^5 \text{ Kg/cm}^2$  باشد. قطر  $d$  میله و زاویه دوران مقطع A را محاسبه کنید.



مسئله ۹-۱-۱۰ دولنگر پیچشی مساوی  $1000 \text{ mkg}$  طبق شکل ۱-۱-۹ به میلهای با مقطع عرضی دایره که در دو انتهای گیردار است وارد شده‌اند. اگر تنش مجاز برشی  $600 \text{ Kg/cm}^2$  باشد، قطر میله را بپیدا کنید.

مسئله ۹-۲-۱ میله ABC در شکل ۱-۲-۹ در دو انتهای گیردار و در مقطع تحت اثر لنگر پیچشی T قرار دارد. میله از A تا B دارای مقطع عرضی دایره‌ای به

۵۰۶

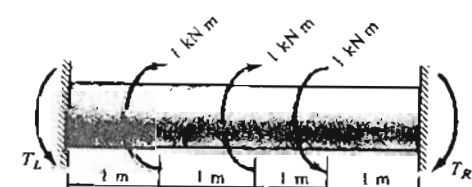
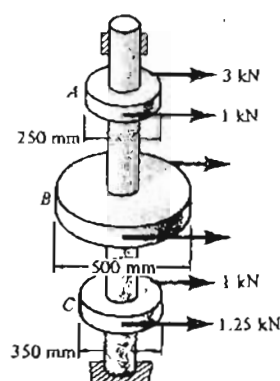
مسئله ۹-۱-۲ در دستگاه شکل ۲-۱-۹، قدرت از چرخ دنده A به چرخ دنده D منتقل می‌شود. اگر فترهای دایره‌های کام چرخ دنده‌های B و C به نسبت  $\frac{1}{2}$  باشد، نسبت مناسب برای قطرهای محورهای مکانیکی (d<sub>1</sub>/d<sub>2</sub>) چقدر می‌باشد تا هردو محور مکانیکی تنش برشی ماقریم مکانیکی داشته باشند؟

مسئله ۹-۱-۳ یک محور مکانیکی فولادی به قطر 6mm با سرفت 10000 rpm می‌چرخد. اگر تنش برشی مجاز  $350 \text{ Kg/cm}^2$  باشد، بیشترین قدرتی که محور مکانیکی مزبور می‌تواند انتقال دهد چقدر است؟

مسئله ۹-۱-۴ قطر لازم یک محور مکانیکی فولادی برای انتقال 200hp در 105 rpm را تعیین کنید. تنش برشی مجاز  $420 \text{ Kg/cm}^2$  می‌باشد.

مسئله ۹-۱-۵ در شکل ۵-۱-۹ از وزن محور مکانیکی قائم و فرقه‌ها صرف نظر می‌شود. محور مزبور با سرعت زاویه‌ای یکنواختی دوران می‌کند. نیروهای معلوم سمعه‌ها در روی شکل مشخص شده‌اند و فرقه‌ها به صورت صلب به محور مکانیکی متصل گردیده‌اند. اگر تنش برشی مجاز 50MPa باشد، قطر لازم محور مکانیکی را تعیین کنید. از خمس محور مکانیکی صرف نظر نماید.

مسئله ۹-۱-۶ لنگرهای پیچشی واکنشی را در شکل ۶-۱-۱ تعیین کنید. مقطع عرضی میله به شکل دایره و در سراسر طول آن ثابت است.



شکل ۹-۱-۵

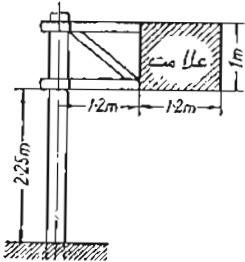
شکل ۹-۱-۶

۵۰۹

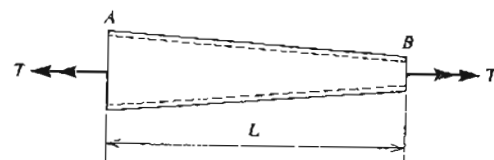
مسئله ۹-۲-۱ با سرعت برشی مجاز  $420 \text{ Kg/cm}^2$  و قطر داخلي  $d_1 = 105 \text{ rpm}$  منتقل کند پیدا کنند.

مسئله ۹-۲-۲ یک لوله فولادی توحالی به قطر خارجی  $d_2$  و قطر داخلي  $d_1$  باید به عوان یک پیچش سچ کار رود. ميله مربور باد سرای هر  $100 \text{ cmKg}$  به اداره  $1^\circ$  در  $30 \text{ cm}$  طولش دوران کند و تنش سری در آن ساند از مقدار مجاز  $420 \text{ Kg/cm}^2$  تجاوز کند. مقادیر لازم  $d_1$  و  $d_2$  چقدر میباشد؟

مسئله ۹-۲-۳ یک لوله فولادی ساند به عوان پایه یک علامت زرافیک شاهراه مطابق شکل ۹-۲-۳ بکار رود. حداکثر فشار باد در روی علامت سرای  $200 \text{ Kg/m}^2$  فرض می شود. زاویه دوران لوله در سرای سوار تحتی علامت ساند از  $6^\circ$  تجاوز کند. تنش برشی ماکزیمم ناشی از پیچش در مقطع عرضی لوله نباید از  $350 \text{ Kg/cm}^2$  بیشتر باشد. اگر ضحامت جدار لوله  $3 \text{ mm}$  ساند، قطر منوسط آن را پیدا کنید. فرض کنید فشار باد فقط بر قسمت سایه دار شکل وارد شود.



شکل ۹-۲-۲



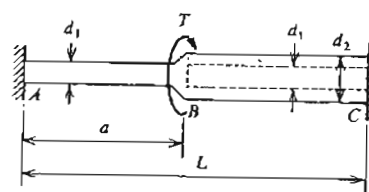
شکل ۹-۴-۱

مسئله ۹-۲-۴ یک لوله جدار نارک طویل با مقطع عرضی دایره ای متغیر ( شکل ۹-۴-۱ ) تحت اثر لنگرهای پیچشی  $T$  در دو انتهایش میباشد. ضخامت جدار لوله ثابت و برابر  $t$  است. قطر دایره های میانی مقطع عرضی در دو انتهای A و B بترتیب  $d_a$  و  $d_b$  میباشد. زاویه پیچش ( $\phi$ ) لوله را محاسبه کنید.

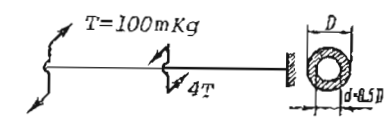
مسئله ۹-۲-۵ یک لوله الومیسیومی با مقطع عرضی مربع که طول اضلاع خارجی آن  $a = 2.5 \text{ cm}$  است باید لنگرهای پیچشی  $T = 695 \text{ cmKg}$  را با اطمینان حمل کند. اگر تنش برشی مجاز  $420 \text{ Kg/cm}^2$  باشد، ضخامت لازم جدار لوله را محاسبه کنید.

۵۰۸

قطر  $d_1$  و از B تا C دارای مقطع دایره ای توحالی به قطر خارجی  $d_2$  و قطر داخلي  $d_1$  میباشد. نسبت  $L/a$  چقدر باید تا لنگرهای پیچشی واکنشی در A و C بطور عددی مساوی باشند؟



شکل ۹-۵-۱



شکل ۹-۲-۳

مسئله ۹-۲-۶ تنش برشی مجاز برای ميله شکل ۹-۲-۶ میباشد  $500 \text{ Kg/cm}^2$  و زاویه پیچش در واحد طول نباید از  $2^\circ/\text{m}$  تجاوز کند. ضریب ارجاعی برشی  $0.8$  میباشد. ميله را حساب کنید.

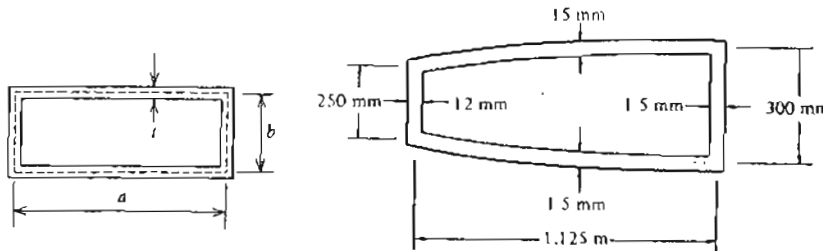
مسئله ۹-۲-۷ یک محور مکانیکی دایره ای توحالی و یک محور مکانیکی دایره ای توپر که از یک نوع مصالح ساخته شده اند باید برای انتقال لنگر پیچشی T طرح شوند به طوریکه حداکثر تنش برشی در هر دو محور یکسان باشد. اگر شعاع داخلی محور توحالی  $0.8$  شعاع خارجی آن باشد، تعیین کنید: (الف) - نسبت شعاع خارجی محور توحالی به شعاع محور توپر. (ب) - نسبت وزن محور توحالی به وزن محور توپر.

مسئله ۹-۲-۸ یک ميله برنجی به قطر  $d = 63 \text{ mm}$  دارای یک پوشش فولادی به ضخامت جدار  $6 \text{ mm}$  میباشد که کاملاً به آن منصل بوده و آن را تقویت میکند. ضرائب ارجاعی برشی فولاد و برنج به ترتیب  $84 \text{ Kg/cm}^2$  و  $35 \text{ Kg/cm}^2$  و تنش های مجاز برشی فولاد و برنج به ترتیب  $840 \text{ Kg/cm}^2$  و  $525 \text{ Kg/cm}^2$  میباشد. لنگر پیچشی که این ميله مرکب میتوارد تحمل کد چقدر است؟ نسبت اين لنگر پیچشی به لنگر پیچشی که ميله برنجی به تنها سی میتوارد نحمل کند چقدر است؟

مسئله ۹-۲-۹ یک محور مکانیکی فولادی توحالی به قطر خارجی  $d$  و قطر داخلي  $d/2$  میباشد. مقدار مناسب  $d$  را برای اینکه محور مکانیکی مزبور توان  $200 \text{ hp}$  را در

۵۱۱

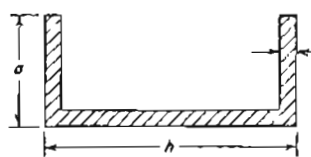
مسئله ۹ - ۳ شده‌اند، ارتفاع متوسط مقطع نیز  $285\text{mm}$  است. با فرض اینکه تنش‌برشی مجاز  $65\text{MPa}$  و ضرب ارجاعی برشی  $3 \times 10^{10}\text{N/m}^2$  باشد، حداقل لگر پیچشی را که مقطع مجبور می‌تواند منتقل کند و همچین زاویه پیچش در هر متر طول آن را حساب کنید.



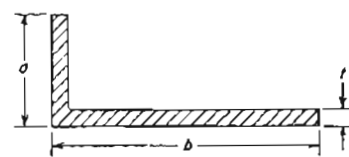
شکل ۹ - ۳ - ۸

شکل ۹ - ۴

مسئله ۹ - ۴ مقطع نادوانی الومینیومی شکل ۱ - ۵ - ۹ دارای ابعاد  $t=1.5\text{mm}$ ،  $a=2.5\text{cm}$  و  $h=7.5\text{cm}$  می‌باشد. شعاع قوس در دو گوش مغفر  $r=0.75\text{mm}$  است. اگر تنش‌برشی مجاز  $560\text{Kg/cm}^2$  باشد، لگر پیچشی مجاز را برای مقطع نادوانی حساب کنید. زاویه پیچش در واحد طول نظیر لگر پیچشی مجبور چقدر است؟ ضرب ارجاعی برشی را  $28(10)^4\text{Kg/cm}^2$  فرض کنید.



شکل ۹ - ۵ - ۱



شکل ۹ - ۵ - ۲

مسئله ۹ - ۵ - ۲ مقطع نیشی فولاد سازه‌ای شکل ۲ - ۵ - ۹ دارای ابعاد  $a=10\text{cm}$ ،  $t=12\text{mm}$  و  $b=22\text{cm}$  می‌باشد. شعاع قوس در گوش مغفر  $r=12\text{mm}$  است. اگر تنش‌برشی مجاز  $840\text{Kg/cm}^2$  باشد، لگر پیچشی مجاز را برای مقطع نیشی حساب کنید. زاویه پیچش در واحد طول نظیر لگر پیچشی مجبور چقدر است؟ ضرب ارجاعی برشی را  $84(10)^4\text{Kg/cm}^2$  فرض کنید.

مسئله ۹ - ۵ - ۳ یک میله منشوری با مقطع مربع به ابعاد  $2.5 \times 2.5\text{cm}$  تحت اثر

۵۱۰

مسئله ۹ - ۴ - ۳ برای لوله الومینیومی مسئله قبل، زاویه پیچش در واحد طول لوله را تحت لگر پیچشی  $695\text{cmKg}$  حساب کنید. ضرب ارجاعی برشی الومینیوم  $G=28(10)^4\text{Kg/cm}^2$  می‌باشد.

مسئله ۹ - ۴ - ۴ یک محور مکانیکی لوله‌ای با مقطع عرضی دایره قطر متوسط  $10\text{cm}$  و ضخامت جدار  $3\text{mm}$  دارد. بدون اینکه تنش‌برشی از  $420\text{Kg/cm}^2$  تجاوز کند، این محور مکانیکی باید  $50\text{hp}$  را انتقال دهد. سرعت دورانی لازم محور مکانیکی بر حسب دور در دقیقه ( $\text{rpm}$ ) چقدر است؟

مسئله ۹ - ۴ - ۵ مقطع عرضی یک لوله فولادی جدار نازک به طول  $1.8\text{m}$  به شکل شش ضلعی با طول خط میانی  $l_m=6a=12\text{cm}$  و ضخامت جدار  $t=1.5\text{mm}$  می‌باشد. اگر تنش‌برشی  $560\text{Kg/cm}^2$  باشد، لگر پیچشی مجاز  $T$  برای لوله چقدر است؟ زاویه پیچش مربوطه بین دو انتهای لوله چقدر می‌باشد؟

مسئله ۹ - ۴ - ۶ اگر مقطع عرضی لوله شکل ۱ - ۴ - ۹ به شکل مربع باشد، رابطه‌ای برای زاویه پیچش بین دو انتهای لوله پیدا کنید. طول ضلع مربع میانی در انتهای A برابر  $2a$  و در انتهای B برابر  $a$  می‌باشد. ضخامت جدار لولد ثابت و برابر است.

مسئله ۹ - ۴ - ۷ مقطع عرضی یک لوله جدار نازک به طول  $L$  یک  $n$  ضلعی منظم می‌باشد. طول خط میانی  $l_m=na$  و ضخامت جدار لوله  $t$  است. زاویه پیچش ناشی از لگر پیچشی یکنواخت  $T$  را پیدا کنید.

مسئله ۹ - ۴ - ۸ لوله جدار نازکی با مقطع عرضی مستطیل (شکل ۹ - ۴ - ۹) تحت اثر لگر پیچشی  $T$  قرار دارد. ضخامت جدار لوله ثابت و برابر  $t$  است. با فرض اینکه مساحت مقطع عرضی لوله ثابت باشد، تنش‌برشی  $T$  در لوله با نسبت  $\beta=a/b$  چگونه تغییر می‌کند؟ ثابت پیچش  $J$  چگونه با  $\beta$  تغییر می‌کند؟

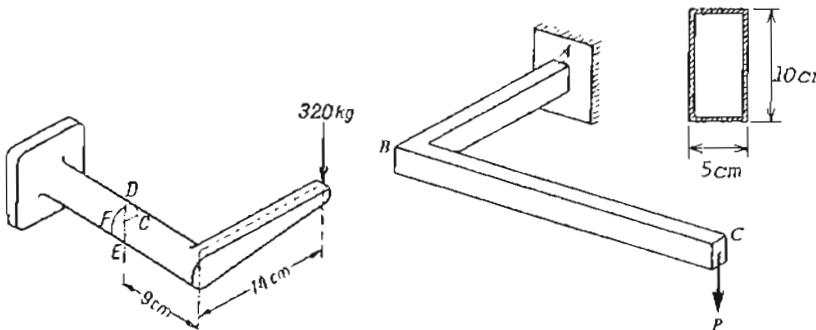
مسئله ۹ - ۴ - ۹ مقطع عرضی جدار نازک شکل ۹ - ۴ - ۹ قسمتی از بال یک هوایپما می‌باشد. ضخامت های چهار قسمت مقطع یکنواخت می‌باشند و در روی شکل مشخص

۵۱۳

مسئله ۹-۶-۱ یک لوله فولادی دایره‌ای مطابق شکل ۱-۶-۹ بتوان پایه یک علامت شاھراه بکار می‌رود. حداکثر فشار باد در روی علامت  $250\text{Kg/m}^2$  است. نسبت قطر خارجی به قطر داخلی لوله ۱.۱۲ می‌باشد. سنتز برشی مجاز  $\tau_w = 600\text{Kg/cm}^2$  است. قطر خارجی لازم (d) لوله را حساب کنید. انداره‌ها در روی شکل بر حسب سانتی‌متر می‌باشد.

مسئله ۹-۶-۲ میله‌ای به قطر d به شکل سیم دایره AB به شعاع R حم شده‌ور تکیه گاه A گیردار و در انتهای آزاد B تحت اثر بار P عمود بر صفحه نیم دایره می‌باشد. بدین ترتیب یک مقطع اختیاری مانند C تحت خمش و پیچش قرار دارد. با فرض اینکه d نسبت به R کوچک باشد بطورکه بتوان از تئوری خمش میله‌ای مستفیم استفاده نمود، زاویه φ نقطه‌ای را که در آن تنش اصلی σ ماکریم است پیدا کنید.

مسئله ۹-۶-۳ قطر قسمت دایره‌ای میله خمیده شکل ۳-۶-۹ برابر ۱۵۰mm است. تنش‌های اصلی و تنش برشی ماکریم را در نقطه D پیدا کنید.



شکل ۹-۶-۳

شکل ۹-۶-۴

مسئله ۹-۶-۴ میله خمیده ABC شکل ۴-۶-۹ که در صفحه افقی قرار دارد بار  $P=162\text{ Kg}$  را نحمل می‌کند. میله خمیده مربور دارای مقطع مستطیل به شکل لوله توخالی با ابعاد خارجی  $5\text{cm} \times 10\text{cm}$  می‌باشد. ضخامت حدار لوله  $0.2\text{cm}$  است. طول بازوی AB برابر ۲۵cm و طول بازوی BC برابر ۵۰cm می‌باشد. تنش‌های اصلی در نقطه A واقع در بالای میله خمیده در محل تکیه گاه را حساب کنید.

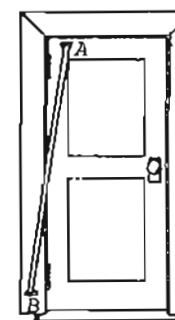
۵۱۴

لنگرهای پیچشی  $T=2500\text{cmKg}$  در دو انتهایش قرار دارد. تنش برشی ماکریم را در میله حساب کنید. زاویه پیچش در واحد طول میله تحت لنگرهای پیچشی مذبور چقدر است؟ ( $G = 840000\text{Kg/cm}^2$ )

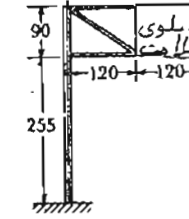
مسئله ۹-۶-۵ مقطع عرضی مستطیلی یک میله منشوری به عرض ۴cm می‌باشد. ارتفاع مقطع عرضی چقدر باید باشد تا نتیجت یک لنگر پیچشی معین تنش برشی ماکریم در آن به اندازه تنش برشی ماکریم در یک میله دایره‌ای به قطر ۵cm باشد؟

مسئله ۹-۶-۶ دو میله یکی با مقطع عرضی دایره و دیگری با مقطع عرضی مربع تحت انر لنگر پیچشی یکسانی قرار دارند. (الف) - اگر مساحت‌های مقطع عرضی هر دو میله بسان باشد، تنش‌های برشی در کدامیک بیشتر است؟ (ب) - اگر تنش برشی ماکریم در هر دو میله مساوی باشد، نسبت وزن آنها چقدر است؟

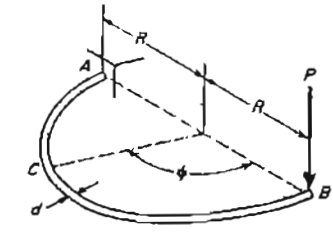
مسئله ۹-۶-۷ فندربری به شکل میله مولادی با مقطع عرضی مربع در یک انتهایه درب متعلق است (نقطه A در شکل ۶-۵-۹) و در انتهای دیگر به در گاه متصل می‌باشد (نقطه B). سریعی P را که برای باز کردن درب به اندازه  $90^\circ$  (با کشیدن دستگیره درب) لازم است محاسبه نمایید. همچنین تعیین کنید زاویه α را که باید میله را قبل از باز کردن تنش برشی ماکریم در میله در حین باز کردن درب باز  $5000\text{Kg/cm}^2$  تجاوز نکند. طول میله ۲m و ابعاد مقطع عرضی آن  $6\text{mm} \times 6\text{mm}$  است. فاصله دستگیره از لولا ۱m است.



شکل ۹-۶-۷



شکل ۹-۶-۸



شکل ۹-۶-۹

۵۱۵

## جواب‌های مسائل حل نشده

$$d_1/d_2 = 0.794 \quad : ۹-۱-۲ \quad 1^{\circ}35' \quad : ۹-۱-۱$$

$$11.8 \text{ cm} \quad : ۹-۱-۴ \quad 2.07 \text{ hp} \quad : ۹-۱-۲$$

$$T_L = 0.285 \text{ kmN}; T_R = 1.285 \text{ kmN} \quad : ۹-۱-۶ \quad 29 \text{ mm} \quad : ۹-۱-۵$$

$$d_1 \approx 2.94 \text{ cm}; d_2 = 4 \text{ cm}; \phi \approx 9.2^\circ \quad : ۹-۱-۷$$

$$d \approx 2.5 \text{ cm}; \phi \approx 6.7^\circ \quad : ۹-۱-۸$$

$$8.25 \text{ cm} \quad : ۹-۱-۱۰ \quad 12.7 \text{ mm}; 0 \quad : ۹-۱-۹$$

$$D \approx 6.84 \text{ cm} \quad : ۹-۲-۲ \quad \frac{a}{L} = \left(\frac{d_1}{d_2}\right)^4 \quad : ۹-۲-۱$$

$$T = 493.5 \text{ mKg} \quad : ۹-۲-۴ \quad 1.19; 0.51 \quad : ۹-۲-۳$$

$$d_1 = 1606 \text{ cm}; d_2 = 1719 \text{ cm} \quad : ۹-۲-۶ \quad 12.1 \text{ cm} \quad : ۹-۲-۵$$

$$\phi = \frac{2TL}{G\pi t d_a^3} \frac{d_a}{d_b} \left( \frac{d_a}{d_b} + 1 \right) \quad : ۹-۴-۱ \quad 16.2 \text{ cm} \quad : ۹-۲-۷$$

$$0.00128 \text{ rad/cm} \quad : ۹-۴-۲ \quad t = 0.15 \text{ cm} \quad : ۹-۴-۲$$

$$T = 1747 \text{ cmKg}; \phi = 3^\circ 58' \quad : ۹-۴-۴ \quad 181 \text{ rpm} \quad : ۹-۴-۴$$

$$\phi = \frac{4TL}{nGt a^3 \cot^2 \left( \frac{\pi}{n} \right)} \quad : ۹-۴-۷ \quad \phi = \frac{3TL}{8Gt a^3} \quad : ۹-۴-۶$$

$$\beta^2 / (\beta + 1)^4 \quad : ۹-۴-۸ \quad \text{تصویر می‌کند.}$$

$$52 \text{ kmN}; 0.008 \text{ rad/m} \quad : ۹-۴-۹$$

$$T = 25.6 \text{ cmKg}; \theta = 0.00667 \text{ rad/cm} \quad : ۹-۵-۱$$

$$T = 7100 \text{ cmKg}; \theta = 0.000476 \text{ rad/cm} \quad : ۹-۵-۲$$

$$\tau_{\max} = 770 \text{ Kg/cm}^2; \theta = 0.00054 \text{ rad/cm} \quad : ۹-۵-۳$$

$$6.52 \text{ cm} \quad : ۹-۵-۴$$

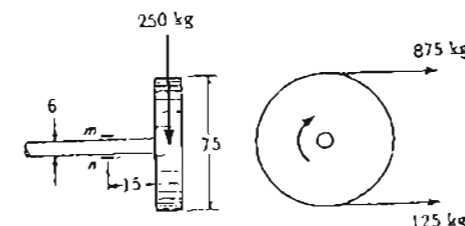
$$(الف) - تنشها در میله مربعی ۱.35 \text{ بار بیشتر می‌باشد.} \quad : ۹-۵-۵$$

$$(ب) - وزن میله مربعی 1.23 \text{ بار بیشتر می‌باشد.}$$

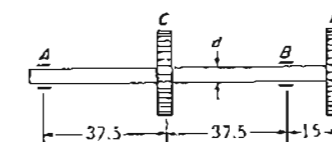
۵۱۴

**مسئله ۵-۶-۹** یک محور مکانیکی به قطر 6cm که بر روی یا طاقان‌ها مکانی می‌باشد قرقه‌ای به قطر 75cm و وزن 250Kg را در انتهای بیش‌آمده‌اش حمل می‌کند ( شکل ۹-۶-۵ ) . اگر نیروهای کشی افقی تسمه مطابق شکل باشند، تنش کشی اصلی را در مقطع ۳m حساب کنید. اندازه‌ها در روی شکل بر حسب سانتی‌متر می‌باشند.

**مسئله ۶-۶-۹** در شکل ۶-۶-۹، قطر لازم محور مکانیکی (d) را برای انتقال قرقه C به قرقه D تعیین کنید. قدرت بوسیله یک تسمه افقی در C وارد می‌شود و بوسیله یک تسمه قائم در D خارج می‌گردد. هر قرقه به عطر 75cm می‌باشد و نسبت تسمه در طرف سفت به کشن تسمه در طرف شل  $P_1/P_2 = 3$  است. تنش مجاز برشی را  $\sigma_w = 420 \text{ Kg/cm}^2$  فرض کنید. اندازه‌ها در روی شکل بر حسب سانتی‌متر می‌باشند.



شکل ۶-۶-۹



شکل ۶-۶-۶

حجت الله عادلی

مقاومت مصالح

۵۱۶

2.25 Kg ; 87°

: ۹-۵-۶

$\phi = 120^\circ$

: ۹-۶-۲

$d = 13 \text{ cm}$

: ۹-۶-۱

$\sigma_1 = 335 ; \sigma_2 = -90 ; \tau_{\max} = 217 \text{ Kg/cm}^2$

: ۹-۶-۲

$\sigma_1 \approx 564 \text{ Kg/cm}^2 ; \sigma_2 \approx -310 \text{ Kg/cm}^2$

: ۹-۶-۴

$d = 6 \text{ cm} ; \sigma_1 = 1120 \text{ Kg/cm}^2$

: ۹-۶-۵

## فصل دهم

تفعیل شکل تیرها

### ۱-۱۵ معادله دیفرانسیل منحنی نبر تغییر شکل یافته

بارهای جانی که سر روی تیر اتر می‌کنند باعث تغییر شکل آن می‌گردند به طوریکه محور طولی تیر به صورت منحنی در می‌آید. منحنی محور تیر تغییر شکل یافته اصطلاحاً "منحنی ارجاعی نبر موسم می‌باشد (زیرا این منحنی پس از بار برداری به حالت اولیه خود بر می‌گردد). در کارهای مهندسی غالباً لازم است که تغییر مکان‌ها را در نقاط مختلف محور تیر حساب کیم. سرای مثال، محاسبه نسبیر مکان‌ها برای تحلیل تیرهای نامعین که در فصل بعد بحث خواهد شد ضروری می‌باشد. کار سرد دیگر آنها در طرح ساختمان‌ها است که معمولاً "یک حد بالایی برای مقدار تغییر مکان ماکزیمم در نظر گرفته می‌شود.

بحث تغییر شکل تیرها را با مطالعه تیر ساده AB که در شکل ۱-۱۵ نشان داده شده شروع می‌کیم. محور طولی تیر قبل از وارد شدن بار P مستقیم است. محور تیر بعد از خم شده صورت منحنی ACB در می‌آید. همانطوریکه قبل "در مورد خم شدن تیرها فرض کردیم، فرض می‌کیم که صفحه xy صفحه تقارن تیر باشد و تمام بارها در این صفحه وارد شوند. در این صورت منحنی ACB تیر که موسوم به منحنی تغییر مکان تیر با منحنی ارجاعی نبر است در این صفحه قرار خواهد داشت.

برای ایکه معادله دیفرانسیل منحنی ارجاعی تیر را پیدا کنیم، از رابطه بین اتحنا، (K) ولنگر خمثی (معادله ۸-۸) استفاده می‌کنیم. ولی باید توجه نمود که

حجه الله عادلی

مقاومت مصالح

## فصل دهم

تغییر شکل تیرها

### ۱ - ۱۵ معادله دیفرانسیل منحنی تیر تغییر شکل یافته

بارهای جانی که بر روی نیز اثر می‌کنند باعث تغییر شکل آن می‌گردند به طوریکه محور طولی تیر به صورت منحنی در می‌آید. منحنی محور تیر تغییر شکل یافته اصطلاحاً به منحنی ارتجاعی تیر موسوم می‌باشد ( زیرا این منحنی پس از بار برداشی به حالت اولیه خود بر می‌گردد ). در کارهای مهندسی غالباً لازم است که تغییر مکان‌ها را در نقاط محلی محور تیر حساب کنیم. برای مثال، محاسبه تغییر مکان‌ها برای تحلیل تیرهای ناممیں که در فصل بعد بحث خواهد شد ضروری می‌باشد. کاربرد دیگر آنها در طرح ساختمان‌ها است که معمولاً "بک حد بالایی برای مقدار تغییر مکان ماکریم در نظر گرفته می‌شود.

بحث تغییر شکل تیرها را با مطالعه تیر ساده AB که در شکل ۱ - ۱۵ نشان داده شده شروع می‌کنیم. محور طولی تیر قبل از وارد شدن بار P مستقیم است. محور تیر بعد از خم شده صورت منحنی ACB در می‌آید. همانطوریکه قبل "در مورد خم شیرها فرص کردیم، فرص می‌کنیم که صفحه xy صفحه تقارن تیر باشد و تمام سارها در این صفحه وارد شوند. در این صورت منحنی ACB تیر که موسوم به منحنی تغییر مکان تیر یا منحنی ارتجاعی تیر است در این صفحه قرار خواهد داشت.

برای اینکه معادله دیفرانسیل منحنی ارتجاعی تیر را پیدا کنیم، از رابطه بین انحصار (K) و لنگر خمی (معادله ۹-۸) استفاده می‌کنیم. ولی باید توجه نمود که

۵۱۶

2.25 Kg ; 87°	: ۹-۵-۶
$\phi = 120^\circ$	: ۹-۶-۲
$d = 13 \text{ cm}$	: ۹-۶-۱
$\sigma_1 = 335 ; \sigma_2 = -90 ; \tau_{\max} = 217 \text{ Kg/cm}^2$	: ۹-۶-۳
$\sigma_1 \approx 564 \text{ Kg/cm}^2 ; \sigma_2 \approx -310 \text{ Kg/cm}^2$	: ۹-۶-۴
$d = 6 \text{ cm}$	: ۹-۶-۶
$\sigma_1 = 1120 \text{ Kg/cm}^2$	: ۹-۶-۵

۵۱۹

در استداد منحنی ارتعاعی حرکت می کنیم زاویه  $\theta$  کاهش می یابد.

تغییر شکل های تیرها در اکثر طرح های عملی حیلی کوچک می باشد. از این و منحنی ارتعاعی یک منحنی تحت خواهد بود و زاویه  $\theta$  و شب منحنی ارتعاعی کمیت های کوچک خواهد بود. بنابراین می توانیم فرض کنیم

$$ds \approx dx \quad ; \quad \theta \approx \tan \theta = \frac{dv}{dx} \quad (10-3)$$

در این رابطه،  $v$  تغییر مکان تیر از وضع اولیه اش می باشد (شکل ۱ - ۱۵). پس از جایگزینی این عبارات در معادله ۱-۲ خواهیم داشت

$$K = \frac{1}{\rho} = \frac{d\theta}{dx} = \frac{d^2v}{dx^2} \quad (10-4)$$

با مساوی قرار دادن طرف های راست معادلات ۱-۱ و ۱-۴ نتیجه می شود

$$\frac{d^2v}{dx^2} = -\frac{M}{EI} \quad (10-5)$$

معادله ۱-۵ معادله اساسی منحنی ارتعاعی تیر (با منحنی تغییر مکان تیر) می باشد. در هر حالت خاصی، از معادله مجبور باید انتگرال گرفت تا تغییر مکان  $v$  بدست آید.

قرار دادهای علامت مورد استفاده در معادله ۱-۵ عبارتند از :

(الف) - جهت های ثبت محورهای  $x$  و  $y$  مطابق شکل ۱ - ۱۵ به طرف راست و پائین می باشد.

(ب) - تغییر مکان  $v$  در استداد مثبت محور  $y$  مثبت می باشد.

(پ) - لنگرخانی  $M$  وقتی مثبت است که در بالای تیر فناور ایجاد کند.

اگر قرار داد علامت برای  $v$  یا  $M$  عوض شود (برای مثال اگر  $v$  به طرف بالا مثبت فرض شود)، علامت مفهی در معادله ۱-۵ باید به علامت مثبت تغییر داده شود.

اگر از معادله ۱-۵ نسبت به  $x$  مشتق سگیریم و از معادلات  $q = -dV/dx$  و  $V = dM/dx$  استفاده کنیم روابط زیر حاصل می شود :

$$\frac{d^3v}{dx^3} = -\frac{V}{EI} \quad (10-6)$$

$$\frac{d^4v}{dx^4} = \frac{q}{EI} \quad (10-7)$$

بته به اینکه  $M$ ،  $V$  با  $q$  معلوم باشد و همچنین بته به سهولت اجرای عملیات

۵۱۸

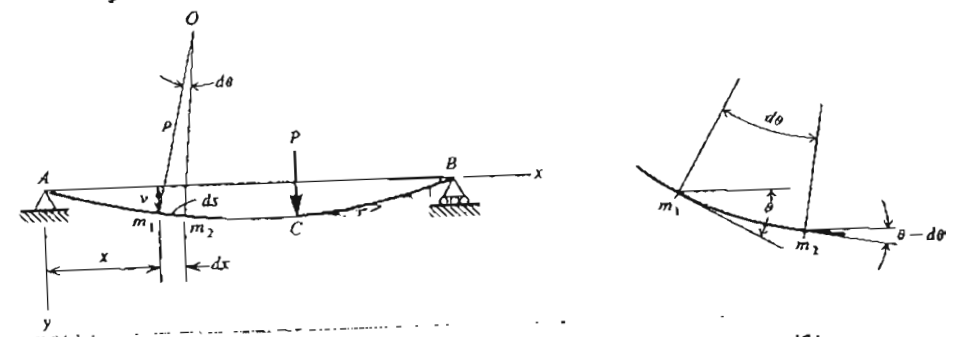
قرار داد علامت سرای احناکی تیر بستگی به جهت های انتخاب شده محورهای مختلف دارد. موقعی که محور  $x$  به سمت راست و محور  $y$  به طرف پائین مثبت فرض می شود (مانند شکل ۱ - ۱۵)، در این صورت احناکی تیر وقتی مثبت است که تیر بصورت مقعر بطرف پائین خم شود و وقتی احناکی تیر منفی است که تیر بصورت مقعر بطرف بالا خم شود. بنابراین تیر شکل ۱ - ۱۵ اداری احناکی منعی است. اگر مانند گذشته فرض کنیم که لنگرخانی تیر فناور ایجاد کند، در این صورت مسأله می کنیم که لنگرخانی مثبت احناکی منفی و لنگرخانی منفی احناکی مثبت تولید می کند. از این حساب معادله ۹ - ۸ را محدوداً به صورت زیر می نویسیم :

$$K = \frac{1}{\rho} = -\frac{M}{EI} \quad (10-1)$$

اکنون با در نظر گرفتن دو نقطه  $m_1$  و  $m_2$  به فاصله  $ds$  از یکدیگر (شکل ۱ - ۱۵) می توان راسه بین احناکا (K) و معادله منحنی ارتعاعی تیر را بدست آورد. سرای این کار در هر یک از این نقاط، عمودی بر میان بر منحنی ارتعاعی تیر رسم می کنیم. این عمودها یکدیگر را در مرکز احناک ۰ قطع می کنند. فرض می کنیم میان بر منحنی ارتعاعی تیر در نقطه  $m_1$  با محور  $x$  زاویه  $\theta$  بسازد (شکل ۱ - ۲). اگر  $d\theta$  زاویه بین عمودهای  $0m_1$  و  $0m_2$  باشد، میان بر منحنی در نقطه  $m_2$  با محور  $x$  زاویه  $-d\theta$  داشته باشد. از شکل ۱ - ۱ همچنین نتیجه می شود که  $ds = \rho d\theta$  و  $1/\rho = d\theta/ds$ . بنابراین احناکی K برابر شد تغییرات زاویه  $\theta$  نسبت به فاصله  $s$  (که در طول منحنی ارتعاعی تیر اندازه گیری می شود) می باشد.

$$K = \frac{1}{\rho} = \frac{d\theta}{ds} \quad (10-2)$$

کمیت  $d\theta/ds$  برای احناک شکل ۱ - ۲ منفی است زیرا همچنانکه ما از چپ به راست



شکل ۱ - ۱۵

شکل ۱ - ۲

۵۲۱

پس از جایگزینی روابط  $10^{-9}$  و  $10^{-10}$  در معادله  $10-8$  معادله زیر حاصل می‌شود:

$$K = \frac{1}{\rho} = \frac{d\theta}{ds} = \frac{v'}{\left[ 1 + (v')^2 \right]^{\frac{3}{2}}} \quad (10-11)$$

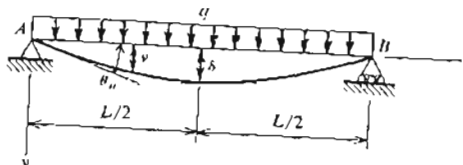
معایسه معادله  $10-4$  سا معادله  $10-11$  شان می‌دهد که فرض منحنی ارتجاعی تخت معادل با صرف نظر نمودن<sup>۲</sup> ( $v' = 0$ ) در مقابله با واحد می‌باشد. در مسائل مربوط به تغییر شکل‌های زیاد نیزها باید از معادله فوق برای محاسبه انحصار استفاده نمود (بخش ۱۵-۸ را ببینید).

## ۱۵-۲ تغییرهای ساده

### مثال ۱۵-۱

منحنی ارتجاعی یک شیر ساده تحت اثر بارگذاری دیگر یکنواخت  $q$  را پیدا کنید

(شکل ۱۵-۳).



شکل ۱۵-۳

حل: لنگر خمئی در مامله  $x$  از تکیه گاه چپ برابر است با

$$M = \frac{qLx}{2} - \frac{qx^2}{2}$$

در نتیجه از معادله  $10-5$  خواهیم داشت

$$EIv'' = -\frac{qLx}{2} + \frac{qx^2}{2}$$

طرفین معادله فوق را در  $dx$  ضرب نموده و سپس انتگرال می‌گیریم.

$$EIv' = -\frac{qLx^2}{4} + \frac{qx^3}{6} + C_1 \quad (10-12)$$

۵۲۰

ریاضی، تغییر مکان  $v$  را می‌توان با حل یکی از معادلات  $10-5$  تا  $10-7$  پیدا نمود. قرار دادهای علامت برای نیروی برشی  $V$  و بار  $q$  در شکل ۶a نشان داده شده‌اند. در بخش‌های بعدی، برای یافتن منحنی ارتجاعی و تغییر مکان‌های تغییرهای از معادلات فوق استفاده می‌کنیم. روش حل بدین ترتیب است که از معادلات فوق استگرال گرفته و ثابت‌های استگرال گیری را از شرایط حدی تیر بدست می‌وریم. با توجه به نحوه بدست آوردن روابط فوق مشاهده می‌کنیم روابط مزبور و قتی صادق هستند که ماده تیر از قانون هوک بپروردگاری کند و شبیه‌های منحنی ارتجاعی تیر خیلی کوچک باشند. همچنین باید توجه داشت که روابط مزبور فقط با استفاده از تغییر شکل‌های ناشی از خمئی خالص بدست آمد و از تغییر شکل‌های ناشی از برش در آنها صرف نظر گردیده است. صرف نظر کردن تغییر شکل‌های ناشی از برش در اکثر موارد عملی رضایت بخشن است، ولی موارد استثنائی هم وجود دارد که در آنها باید تغییر شکل‌های برشی را در نظر گرفت (بخش ۷-۱۵ را ببینید).

## رابطه دقیق برای انتقام

اگر منحنی ارتجاعی تیر شبیه‌های زیادی داشته باشد دیگر نمی‌توان از معادله تقریبی  $10-3$  استفاده نمود. در این صورت باید از رابطه دقیقی که شبیه  $v$  را به راوی دوران  $\theta$  محور تیر مربوط می‌کند استفاده کنیم:

$$\tan \theta = v' \quad ; \quad \theta = \arctan v'$$

بنابراین احنای محور تیر از معادله زیر بدست می‌آید:

$$K = \frac{1}{\rho} = \frac{d\theta}{ds} = \frac{d(\arctan v')}{dx} \frac{dx}{ds} \quad (10-8)$$

با توجه به راسمه  $ds^2 = dx^2 + dv'^2$  داریم

$$\frac{ds}{dx} = \left[ 1 + \left( \frac{dv}{dx} \right)^2 \right]^{\frac{1}{2}} = \left[ 1 + (v')^2 \right]^{\frac{1}{2}} \quad (10-9)$$

در این رابطه  $dv/dx$  با  $v$  نشان داده شده است. همچنین اگر  $d^2v/dx^2$  را با  $v''$  نشان دهیم خواهیم داشت

$$\frac{d}{dx} (\arctan v') = \frac{v'}{1 + (v')^2} \quad (10-10)$$

۵۲۳

تیر کوچک فرض شده است.

طریقه دیگر حل این مسئله استفاده از معادله دیفرانسیل مرتبه چهارم ۱۰-۷ می باشد.

$$EI \frac{d^4v}{dx^4} = q$$

از انتگرال گیری های متولی این معادله نتیجه می شود

$$EI \frac{d^3v}{dx^3} = qx + C_1$$

$$EI v'' = \frac{qx^2}{2} + C_1 x + C_2$$

$$EI v' = \frac{qx^3}{6} + C_1 \frac{x^2}{2} + C_2 x + C_3$$

$$EI v = \frac{qx^4}{24} + C_1 \frac{x^3}{6} + C_2 \frac{x^2}{2} + C_3 x + C_4$$

چهار شرط حدی برای محاسبه ثابت های انتگرال گیری لازم است. چون تغییر مکان ها و لنگرهای خمینی در دو انتهای تیر صفر می باشند، چهار شرط حدی عبارتند از

$$v(0) = v(L) = 0 \quad ; \quad v'(0) = v'(L) = 0$$

از معادلات فوق حاصل می شود

$$C_1 = -\frac{qL}{2} \quad ; \quad C_2 = 0 \quad ; \quad C_3 = \frac{qL^3}{24} \quad ; \quad C_4 = 0$$

پس از جایگزینی این مقادیر در معادله منحنی ارتقایی تیر حواهیم داشت

$$EI v = \frac{qx^4}{24} - \frac{qLx^3}{12} + \frac{qL^3x}{24}$$

این نتیجه با معادله ۱۰-۱۵ که با حل معادله دیفرانسیل مرتبه دوم بدست آمد مطابقت دارد.

مثال ۱۰-۲

معادله منحنی ارتقایی تیر ساده شکل ۴-۱۰ تحت اثر بار متغیر P را به دست آورید.

۵۲۲

در این رابطه  $C_1$  ثابت انتگرال گیری می باشد. برای بدست آوردن این مقدار ثابت، با توجه به معارف نیر و سار گداری روی آن متأهده می کنیم که شب منحنی ارتقایی در وسط دهایه صفر می باشد. بنابراین شرط زیر نتیجه می شود :

$$v' = 0 \quad (x = L/2)$$

این شرط را می نوان به طور خلاصه به صورت زیر بیان می شود :

$$v'(L/2) = 0$$

با بکار بردن این شرط در مورد معادله ۱۰-۱۲ ثابت  $C_1$  بدست می آید.

$$C_1 = \frac{qL^3}{24}$$

با جایگزینی این مقدار  $C_1$  در معادله ۱۰-۱۲ خواهیم داشت

$$EI v' = -\frac{qLx^2}{4} + \frac{qx^3}{6} + \frac{qL^3}{24} \quad (10-13)$$

مجددعاً طرفین این معادله را در  $dx$  صرب و سپس انتگرال گیریم.

$$EI v = -\frac{qLx^3}{12} + \frac{qx^4}{24} + \frac{qL^3x}{24} + C_2 \quad (10-14)$$

ثابت انتگرال گیری  $C_2$  از شرط  $v=0$  در  $x=0$  بدست می آید.

$$v(0) = 0$$

اگر این شرط را در معادله ۱۰-۱۴ بکار بریم حاصل می شود  $C_2 = 0$ . در نتیجه معادله منحنی ارتقایی تیر به صورت زیر نوشته می شود :

$$v = \frac{qx}{24EI} (L^3 - 2Lx^2 + x^3) \quad (10-15)$$

تغییر مکان هر نقطه در طول تیر از این رابطه بدست می آید. تغییر مکان ماکریم ( $\delta$ ) در وسط دهایه تیر می باشد و با قرار دادن  $x=L/2$  در معادله ۱۰-۱۵ بدست می آید.

$$\delta = v_{max} = -\frac{5qL^4}{384EI} \quad (10-16)$$

شب ماکریم در دو انتهای تیر رخ می دهد. در انتهای جب ( $x=0$ ) از معادله ۱۰-۱۳ داریم

$$\theta_a = v'_{max} = \frac{qL^3}{24EI}$$

در این رابطه، شب  $v'$  با زاویه دوران  $\theta$  مساوی قرار داده شده است ریز تغییر شکل های

۵۲۴

از شرط (ا) با استفاده از معادلات ۱۰-۱۷ و ۱۰-۱۸ معادله زیر بدست می‌آید:

$$-Pba^2/2L + C_1 = -Pba^2/2L + C_2 : \quad C_1 = C_2$$

از شرط (ب) با استفاده از معادلات ۱۹-۱۰ و ۲۰-۱۰ خواهیم داشت

$$-Pba^3/6L + C_1a + C_3 = -Pba^3/6L + C_2a + C_4 : \quad C_3 = C_4$$

از شرط (پ) ستحمه می‌شود  $C_3 = 0$ . سرانجام از شرط (ت) معادله زیر حاصل نمی‌شود:

$$-PbL^2/6 + Pb^3/6 + C_2L = 0$$

از حل چهار معادله فوق سیس نابت‌های انتگرال گیری نتیجه می‌شود

$$C_1 = C_2 = Pb(L^2 - b^2)/6L ; \quad C_3 = C_4 = 0$$

ار جایگزینی این مقادیر در معادلات ۱۹-۱۰ و ۲۰-۱۰ معادلات محنی ارتنجاعی تبر بدست می‌آید.

$$EIv = \frac{Pbx}{6L} (L^2 - b^2 - x^2) \quad (0 \leq x \leq a) \quad (10-21)$$

$$EIv = \frac{Pbx}{6L} (L^2 - b^2 - x^2) + \frac{P(x-a)^3}{6} \quad (a \leq x \leq L) \quad (10-22)$$

معادله ۱۰-۲۱ معادله تبر در سمت چپ بار  $P$  و معادله ۱۰-۲۲ معادله تبر در سمت راست بار  $P$  می‌باشد.

شیب‌های دو قسمت نیر با جایگزینی مقادیر  $C_1$  و  $C_2$  در معادلات ۱۰-۱۷ و ۱۰-۱۸ بدست می‌آید.

$$EIv' = \frac{Pb}{6L} (L^2 - b^2 - 3x^2) \quad (0 \leq x \leq a) \quad (10-23)$$

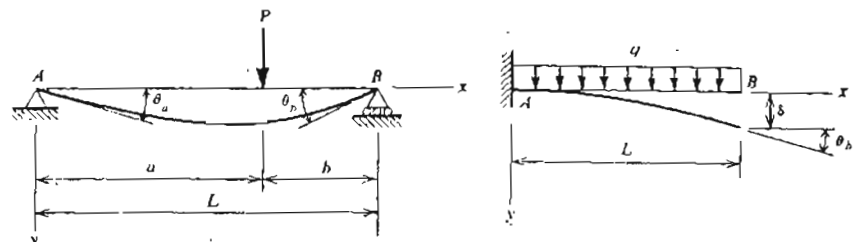
$$EIv' = \frac{Pb}{6L} (L^2 - b^2 - 3x^2) + \frac{P(x-a)^2}{2} \quad (a \leq x \leq L) \quad (10-24)$$

شیب در هر نقطه متحی ارتنجاعی سیر را از معادلات فوق می‌توان محاسبه نمود. روایای دوران در دو انتهای تبر عالیاً مطلوب می‌باشد. سایه‌گزینی  $X = 0$  در معادله ۱۰-۲۳ و  $X$  در معادله ۱۰-۲۴ زاویه دوران انتهای چپ سیر ( $\theta_a$ ) و با حاگزینی  $L = x$  در معادله ۱۰-۲۴ زاویه دوران انتهای راست نیر بدست می‌آید.

$$\theta_a = v'(0) = \frac{Pb(L^2 - b^2)}{6LEI} = \frac{Pab(L+b)}{6LEI} \quad (10-25)$$

$$\theta_b = -v'(L) = \frac{Pab(L+a)}{6LEI} \quad (10-26)$$

۵۲۴



شکل ۴-۱۰

شکل ۵-۱۰

حل: در این مثال برای لنگر خمنی دو عبارت مختلف وجود دارد، یکی برای سمت چپ بار  $P$  و دیگری برای سمت راست آن. بنابراین معادله ۱۰-۵ برای دو قسمت تبر باید بطور جداگانه نوشته شود.

$$EIv'' = -\frac{Pbx}{L} \quad (0 \leq x \leq a)$$

$$EIv'' = -\frac{Pbx}{L} + P(x-a) \quad (a \leq x \leq L)$$

از انتگرال گیری دو معادله فوق حواهیم داشت

$$EIv' = -\frac{Pbx^2}{2L} + C_1 \quad (0 \leq x \leq a) \quad (10-17)$$

$$EIv' = -\frac{Pbx^2}{2L} + \frac{P(x-a)^2}{2} + C_2 \quad (a \leq x \leq L) \quad (10-18)$$

مجدداً از معادلات فوق انتگرال می‌کریم.

$$EIv = -\frac{Pbx^3}{6L} + C_1x + C_3 \quad (0 \leq x \leq a) \quad (10-19)$$

$$EIv = -\frac{Pbx^3}{6L} + \frac{P(x-a)^3}{6} + C_2x + C_4 \quad (a \leq x \leq L) \quad (10-20)$$

چهار نابت انتگرال گیری در معادلات فوق از شرایط زیر بدست می‌آیند:

(الف) - شیب‌های دو قسمت متحی تبر در  $x = a$  باید مساوی باشد.

(ب) - تغییر مکان‌های دو قسمت تبر در  $x = a$  باید مساوی باشد.

(پ) - تغییر مکان تبر در  $x = 0$  برابر صفر است.

(ت) - تغییر مکان تبر در  $x = L$  برابر صفر است.

۵۲۷

## مثال ۱۰-۳

محنی ارجاعی، تغییر مکان ماکریم و شب ماکریم شرطهای نکل ۵-۱۰ را  
بعد بارگشته یکواخت باشد  $q$  بدهت آورید.

حل: در این مثال نیز از سکی از سه معادله ۱۰-۵-۱۰-۷ مبنویم استفاده  
کنیم. اگر از معادله مرتبه دوم ۱۰-۵ استفاده نمایم خواهیم داشت  
 $EIV^2 = -M = q(L-x)^2/2$  (۱۰-۳۱)  
از این معادله انتگرال می‌کریم.

$EIV' = -q(L-x)^3/6 + C_1$   
ثابت انتگرال کمی  $C_1$  از شرط صفر بودن شیب در محل تکیه گاه،  $v'(0) = 0$  بدهت  
می‌آید:  $C_1 = qL^3/6$ . بنابراین

$$v' = \frac{qx}{6EI} (3L^2 - 3Lx + x^2) \quad (10-32)$$

از انتگرال کمی این معادله حاصل می‌شود

$$v = \frac{qx^2}{24EI} (6L^2 - 4Lx + x^2) + C_2$$

شرط حدی در محل تکیه گاه  $v(0) = 0$  می‌باند که از آن  $C_2 = 0$  نتیجه می‌شود. بدین  
ترتیب معادله منحنی تیر به صورت زیر در می‌آید:

$$v = \frac{qx^2}{24EI} (6L^2 - 4Lx + x^2) \quad (10-33)$$

تغییر مکان ماکریم (۸) و شیب ماکریم در انتهای آزاد تیر می‌باشد که  $L$  جایگزینی  
 $x=L$  به ترتیب در معادلات ۱۰-۳۳ و ۱۰-۳۲ بدهت می‌آیند.

$$\delta = v(L) = \frac{qL^4}{8EI} ; \quad \theta_b = v'(L) = \frac{qL^3}{6EI} \quad (10-34)$$

اگر حل این تیرهای را با معادله دیفرانسیل ۱۰-۶ شروع کنیم. مقدار نیروی برخی  
در فاصله  $x$  از تکیه گاه  $q(L-x) = qV$  است. بنابراین

$$EI \frac{d^3v}{dx^3} = -qL + qx \quad (10-35)$$

از این معادله انتگرال می‌کریم.

۵۲۶

تغییر مکان ماکریم تیر در نقطه‌ای اتفاق می‌افتد که مماس بر منحنی ارتحاعی نیز در آن  
 نقطه افقی می‌باشد. اگر را در نظر نداشته باشیم، تغییر مکان ماکریم در قسم چب تیر ( $x=0$ )  
و  $x=a$  ( رخ می‌دهد و این نقطه را با صفر قرار دادن نیز  $v$  از معادله ۱۰-۲۳ می‌توانیم بدست آوریم. اگر فاصله انتهای A نیز از نقطه تغییر مکان ماکریم را با  $x$  نشان دهیم خواهیم داشت

$$x_1 = \sqrt{\frac{L^2 - b^2}{3}} \quad (a \geq b) \quad (10-27)$$

از این معادله مشاهده می‌شود که با حرکت نمودن بار p از وسط تیر ( $b=L/2$ ) تا انتهای  
راست تیر ( وقتی که b به صفر نزدیک می‌شود )، فاصله  $x_1$  از  $L/2$  تا  $L/\sqrt{3}=0.577L$  می‌باشد. تغییر مکان ماکریم همواره در نزدیکی وسط دهانه تیر رخ  
می‌دهد. تغییر مکان ماکریم با جایگزینی  $x$  از معادله ۱۰-۲۷ در معادله ۱۰-۲۳ به  
دست می‌آید.

$$v_{\max} = \frac{Pb(L^2 - b^2)^{\frac{3}{2}}}{9\sqrt{3}LEI} \quad (a \geq b) \quad (10-28)$$

تغییر مکان در وسط دهانه تیر با جایگزینی  $x=L/2$  در معادله ۱۰-۲۱ حاصل  
می‌شود.

$$v(L/2) = \frac{Pb(3L^2 - 4b^2)}{48EI} \quad (a \geq b) \quad (10-29)$$

چون تغییر مکان ماکریم همواره در نزدیکی وسط دهانه تیر می‌باشد، معادله ۱۰-۲۹  
تغییر مکان ماکریم را تقریب حوب می‌دهد. اختلاف بین تغییر مکان ماکریم و تغییر  
مکان در وسط تیر در سه مساعده نرسی حالت ( وقتی که b به صفر نزدیک می‌شود ) کمتر از  
سه درصد تغییر مکان ماکریم می‌باشد.

و فی که بار p در وسط نیرو واقع می‌شود ( $a=b=L/2$ )، نتایج قبلی به صورت  
ساده‌تری در می‌آیند:

$$\theta_a = \theta_b = \frac{PL^2}{16EI} ; \quad v_{\max} = v(L/2) = \frac{PL^3}{48EI} \quad (10-30)$$

۵۱۹

باشد، با استفاده از معادله ۱۰-۷ می‌توانیم بنویسیم

$$EI \frac{d^4 v_1}{dx^4} = q_1 \quad ; \quad EI \frac{d^4 v_2}{dx^4} = q_2$$

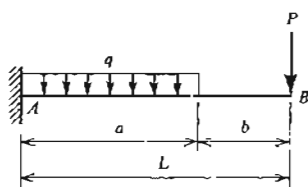
از جمع زدن طرفین معادلات فوق خواهیم داشت

$$EI \frac{d^4(v_1+v_2)}{dx^4} = q_1 + q_2$$

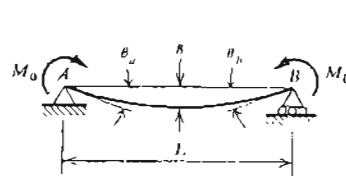
این رابطه نشان می‌دهد تغییر مکان ناشی از بارهای  $q_1+q_2$  (اثر توان بارهای  $q_1$  و  $q_2$ ) برای  $v_1+v_2$  می‌باشد. بنابراین چون معادلات دیفرانسیل منحنی ارتجاعی تیر معادلات دیفرانسیل خطی می‌باشد، برای محاسبه تغییر مکان‌ها می‌توان از اصل اجتماع اثر توان استفاده نمود. کاربرد روش جمع زدن در محاسبه تغییر مکان‌ها در مثال‌های ریاضی نشان داده می‌شود. در هنگام استفاده از این روش می‌توان از جداول کتاب‌های راهنمای مهندسی استفاده نمود. توجه این جداول در پیوست ۳ کتاب داده شده است. این جداول تغییر مکان‌ها و دیگر روش‌ها را برای حالت‌های اصلی بارگذاری در تیرهای ساده و طرهای می‌دهند.

#### مثال ۱۰-۴

تغییر مکان انتهای آزاد تیر طرهای شکل ۱۰-۶ را بدست آوردید.



شکل ۱۰-۶



شکل ۱۰-۷

حل: اگر بار  $P$  به تهایی بر تیر وارد شود انتهای آزاد تیر بر اساس حالت ۴ پیوست ۲-۳ کتاب به اندازه  $PL^3/3EI$  تغییر مکان خواهد کرد. همچنین بر اساس حالت ۲ پیوست ۲-۳ کتاب، انتهای آزاد تیر به اندازه  $qa^3/(3a+4b)/24EI$  تغییر مکان پیدا خواهد کرد. بنابراین تغییر مکان  $v_B$  انتهای  $B$  در اثر توان بارهای فوق

۵۲۸

$$EIv'' = -qLx + qx^2/2 + C_1$$

چون لگر خمی  $M$  در  $x=I$  صفر می‌باشد شرط حدی  $M(L)=0$  را داریم که از  $\bar{T}$   $C_1=qL^2/2$  استیجه می‌شود و معادله فوق به صورت زیر در می‌آید:

$$EIv'' = -qLx + qx^2/2 + qL^2/2$$

این معادله با معادله ۱۰-۳۱ بسان اس. بنابراین بعیه راه حل مطابق فوق می‌باشد. روش دیگر حل این مسئله استفاده از معادله دیفرانسیل مرتبه چهارم ۱۰-۷ می‌باشد.

$$EI \frac{d^4 v}{dx^4} = q$$

از این معادله انتگرال می‌گیریم.

$$EI \frac{d^3 v}{dx^3} = qx + C_1 \quad (10-36)$$

چون نیروی برخی در  $x=0$  صفر می‌باشد، شرط حدی به صورت

$$\frac{d^3 v}{dx^3} = 0$$

سوشه می‌شود که از  $\bar{T}$   $C_1=-qL$  می‌شود. اگر این مقدار سرای  $C_1$  در معادله ۱۰-۳۶ قرار داده شود، این معادله با معادله ۱۰-۳۵ یکسان می‌شود و بعیه راه حل همان می‌باشد که در بالا بحث گردید.

استخراج یکی از معادلات دیفرانسیل ۱۰-۵ نا ۱۰-۷ برای پیدا کردن تغییر مکان‌ها و منحنی ارتجاعی تیر معمولاً "ستگی به سهولت عملیات ریاضی و سلیقه شخصی دارد.

#### ۱۰-۴ روش جمع زدن

معادلات دیفرانسیل منحنی ارتجاعی تیر (معادلات ۱۰-۵ نا ۱۰-۷) معادلات دیفرانسیل خطی می‌باشند، به عبارت دیگر تمام جملات شامل تغییر مکان  $v$  و مشتق‌های آن فقط دارای توان اول می‌باشند. با استفاده از این خاصیت می‌توان جواب‌های معادلات برای حالت‌های مختلف بارگذاری را با یکدیگر جمع نمود تا جواب نهایی بدست آید. برای مثال اگر  $v_1$  معرف تغییر مکان ناشی از بار  $q_1$  و  $v_2$  تغییر مکان ناشی از بار  $q_2$

۵۳۱

نیز می‌توان استفاده نمود. برای این کار عنصری از بارگشته را به صورت بار متغیر کنید  
نظر گرفته سپس در ناحیه بارگذاری شده انتگرال می‌کنیم.  
تغییر مکان ایجاد شده در وسط تیر در اثر بار متغیر  $P$  واقع در فاصله  $x$  از انتهای  
چپ تیر که از حالت ۵ پیوست ۱ - ۳ بدست می‌آید برابر است با

$$\frac{Px}{48EI} (3L^2 - 4x^2)$$

عنصری از بارگشته به طول  $dx$  و به فاصله  $x$  از  $A$  را به صورت بار متغیر با هزگی  
در نظر می‌گیریم که در آن  $q = 2q_0x/L$  می‌باشد. بنابراین اگر در رابطه فوق بجای  
 $p$  کمیت  $qdx$  را قرار دهیم و از نتیجه حاصل بین ۰ و  $L/2$  انتگرال بگیریم، تغییر  
مکان وسط تیر بدست می‌آید.

$$\delta = \int_0^{L/2} \frac{q_0 x dx}{48EI} (3L^2 - 4x^2) = \frac{q_0}{24LEI} \int_0^{L/2} (3L^2 - 4x^2) x^2 dx$$

$$= \frac{q_0 L^4}{240EI}$$

با همین روش می‌توانیم راوه دوران  $\theta_a$  را حساب کنیم. زاویه دوران ناشی از بار متغیر  
(حالت ۵ پیوست ۱ - ۳ کتاب) برابر است با

$$\frac{Pab(L+b)}{6LEI}$$

در این عبارت باید بجای  $P$  کمیت  $2q_0x/L$ ، بجای  $a$  کمیت  $x$  و بجای  $b$  کمیت  
 $L-x$  را فرار دهیم. بنابراین

$$\theta = \int_0^{L/2} \frac{q_0 x dx}{3L^2 EI} (x)(L-x)(2L-x) = \frac{41q_0 L^3}{2880EI}$$

مثال ۷ - ۱۰

تغییر مکان  $\delta_B$  معمول  $B$  را در سازه شکل ۹ - ۱۰ بدست آوردید.

حل: سازه مجبور از دو فرم تشكیل یافته است: تیر  $AB$  با تکه‌گاههای ساده  
در دو انتهای  $A$  و  $B$  و تیر  $BC$  که در انتهای  $C$  کمیت  $P$  دارد. دو تیر در نقطه  $B$   
با اتصال مفصلی به یکدیگر وصل شده‌اند.

۵۳۰

برابر است با

$$\delta_B = \frac{PL^3}{3EI} + \frac{qa^3(3a+4b)}{24EI}$$

تغییر مکان و زاویه دوران در هر نقطعه تیر را می‌توان به طریق مشابهی بدست آورد.

مثال ۱۰ - ۵

تیر ساده‌ای تحت اثر لیگرهای  $M_0$  در دو انتهاین قرار دارد (شکل ۷ - ۱۰).  
زوایای دوران  $\theta_a$  و  $\theta_b$  دو انتهای تیر و تغییر مکان  $\delta$  در وسط تیر را حساب کنید.

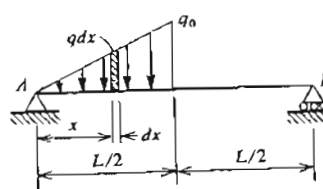
حل: با استفاده از حالت ۷ پیوست ۱ - ۳ کتاب و اصل اجتماع اثر قوا  
می‌توانیم بنویسیم

$$\theta_a = \theta_b = \frac{M_0 L}{3EI} + \frac{M_0 L}{6EI} = \frac{M_0 L}{2EI}$$

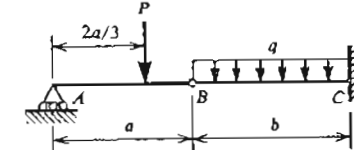
$$\delta = (2) \frac{M_0 L^2}{16EI} = \frac{M_0 L^2}{8EI}$$

مثال ۱۰ - ۶

برای تیر شکل ۸ - ۱۰، تغییر مکان وسط تیر و زاویه دوران  $\theta_a$  انتهای چپ تیر را  
حساب کنید.



شکل ۸



شکل ۹

حل: از روش جمع زدن (یا اصل اجتماع اثر قوا) در حالت بارگذاری گسترده

۵۳۲

تعریف شده است. حال اگر مایع در روی دال حوض شکل دهد، شدت بار در واحد فاصله در طول تیر برابر حواهد بود با

$$q = S\gamma v \quad (10-38)$$

در این رابطه،  $S$  فاصله سیرها،  $\gamma$  ورن واحد حجم مایع و  $v$  تغییر مکان کل تیر می‌باشد. تغییر مکان کل  $v$  مجموع تغییر مکان اولیه  $v_1$  و تغییر مکان اضافی  $v_2$  ناشی از ورن مایع شکل دهد حوض می‌باشد (شکل ۱۰-۱۵).

تغییر مکان شیر را اساساً از معادله مرتبه چهارم ۱۰-۷ پیدا می‌کیم. این معادله به صورت زیرنوشته می‌شود:

$$EI \frac{d^4 v_2}{dx^4} = q = S\gamma v$$

با جایگزینی  $v = v_1 + v_2$  در معادله فوق و استفاده از معادله ۱۰-۳۷ حواهیم داشت

$$EI \frac{d^4 v_2}{dx^4} - S\gamma v_0 \sin \frac{\pi x}{L}$$

طرفین راسته فوق را بر  $EI$  تقسیم و فرض می‌کنیم

$$a^4 = \frac{S\gamma}{EI} \quad (10-39)$$

در این صورت معادله دیفرانسیل به صورت زیر در می‌آید:

$$\frac{d^4 v_2}{dx^4} - a^4 v_2 = a^4 v_0 \sin \frac{\pi x}{L} \quad (10-40)$$

جواب عمومی این معادله شامل دو قسم است: جواب معادله همگن و جواب ویژه.

جواب معادله همگن (که با مساوی صفر فوار دادن طرف راست معادله فوق بدست می‌آید) عبارت از

$$(v_2)_H = C_1 \cos ax + C_2 \sin ax + C_3 \cosh ax + C_4 \sinh ax \quad (10-41)$$

که دارای جهار بات استگرال گیری می‌باشد. سخت این جواب را با جایگزینی آن در معادله دیفرانسیل همگن به سهولت می‌توان تحقیق نمود. جواب ویژه معادله ۱۰-۴۰ برابر است با

$$(v_2)_P = \frac{b v_0}{1-b} \sin \frac{\pi x}{L} \quad (10-42)$$

در این رابطه یک پارامتری بعد و مساوی است با

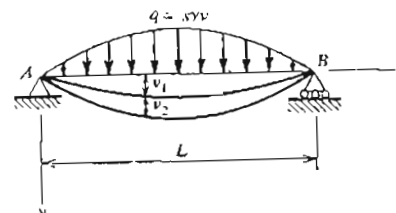
۵۳۲

با مطالعه نمودار جسم آزاد تیر  $AB$  نتیجه می‌شود که واکنش‌های عمودی در دو انتهای  $A$  و  $B$  به ترتیب  $P/3$  و  $2P/3$  می‌باشد. بنابراین تیر  $BC$  شرایط یک تیر طره‌ای را دارد که نحت اثر بار یکنواخت  $q$  و بار متغیر  $q = 2P/3$  در انتهای آزاد قرار دارد. تغییر مکان انتهای آزاد این تیر طره‌ای که همان تغییر مکان فحمل  $B$  می‌باشد برابر است با (با استفاده از حالت‌های ۱ و ۴ بیوپت ۲-۲)

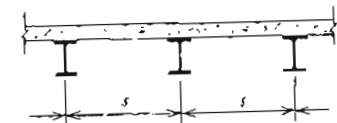
$$\delta_B = \frac{q b^4}{8 EI} + \frac{2 P b^3}{9 EI}$$

## ۱۰-۵ بار مناسب با تغییر مکان

در سخت تغییر شکل نیرها تا کنون فرض بر این مودود که بارها کمیت‌های معلومی باشد. اما مواردی وجود دارد که در آنها بارها به تغییر مکان‌ها بستگی دارند و در نتیجه تعیین سارها به صورت جزئی از تحلیل در می‌آید. برای مثال نیر حمال سطحی که بر آن مایع جمع می‌شود یکی از این موارد است. موقنی که تیر حم می‌شود یک گودی بوجود می‌آید که با مایع بر شده تشکیل یک حوض می‌دهد. وجود حوض موجب افزایش بار می‌گردد که در اثر آن تغییر شکل بیشتری ایجاد می‌شود و بنابراین مایع بیشتری جمع می‌گردد. بدین ترتیب یا تغییر شکل به تدریج اماده می‌شود تا اینکه نیر شکست بخورد، یا تیر به یک وضع تعادلی خواهد رسید بطوریکه دیگر تغییر شکل اضافی ایجاد نخواهد شد. متداول ترین مثال این نوع رفتار، جمع شدن آب باران در روی یک بام مسطح است.



شکل ۱۰-۱۵



شکل ۱۰-۱۶

فرض می‌کنیم تیر ساده  $AB$  در شکل ۱۰-۱۵-۱۶ حمل می‌کند. قبل از اینکه پدیده حوض شدن رخ دهد فرض می‌کنیم تیر یک تغییر مکان اولیه  $v_1$  داشته باشد که با معادله

$$v_1 = v_0 \sin \frac{\pi x}{L} \quad (10-37)$$

۵۳۵

به عواین مثال دیگری از پدیده حوض شدن، نیز ساده‌ای را در نظر بگیرید که در ابتدا مستقیم بوده و تحت بار گسترده یکواحت باشد  $q_0$  قرار دارد. بار اضافه  $q_1 = 5\gamma v$  (تغییر مکان کل تیر =  $v$ ) در اثر پدیده حوض شدن بر تیر وارد می‌شود. بنابراین بار کل  $q = q_0 + 5\gamma v$  می‌باشد و معادله دیفرانسیل مختلط تیر به صورت زیر در می‌آید:

$$EI \frac{d^4 v}{dx^4} = q_0 + 5\gamma v$$

$$\frac{d^4 v}{dx^4} - a^4 v = -\frac{q_0}{EI} \quad (10-46)$$

این معادله همان جواب همگن مثال قبل (معادله 10-41) و جواب ویژه زیر را دارد:

$$(v)_p = -\frac{q_0}{5\gamma} \quad (10-47)$$

بس از بکار بردن چهار شرط حدی در جواب عمومی معادله دیفرانسیل، ثابت‌های انتگرال گیری دست می‌آیند:

$$C_1 = C_3 = \frac{q_0}{2S\gamma} ; \quad C_2 = \frac{q_0}{2S\gamma} \tan \frac{aL}{2} ; \quad C_4 = -\frac{q_0}{2S\gamma} \tanh \frac{aL}{2}$$

جواب کلی تغییر مکان  $v$  با معلوم بودن ثابت‌های انتگرال گیری به سهولت نوشت می‌شود و با استفاده از این معادله، تغییر مکان هر مقطع خاصی در طول تیر تعیین می‌شود. برای مثال، تغییر مکان در وسط تیر برابر است با

$$v_c = \frac{q_0}{2S\gamma} \left( \sec \frac{aL}{2} + \operatorname{sech} \frac{aL}{2} - 2 \right) \quad (10-48)$$

تغییر مکان در مرکز تیر ناشی از بار گسترده یکواحتی باشد  $q_0$  (بدون پدیده حوض شدن) برابر  $\frac{5q_0 L^4}{384EI}$  می‌باشد (معادله 10-16). معادله 10-48 را بر حسب ضریب از تغییر مکان مذبور بیان می‌کنیم.

$$v_c = \frac{5q_0 L^4}{384EI} \psi \quad (10-49)$$

ضریب  $\psi$  یک کمیت بی بعد است که از رابطه زیر محاسبه می‌شود:

۵۳۶

$$b = \frac{a^4 L^4}{\pi^4} = \frac{5\gamma L^4}{\pi^4 EI}$$

درستی جواب ویژه را نزدیکی آن در معادله دیفرانسیل 10-40 می‌توان تحقیق نمود.

جواب عمومی معادله 10-40 را با ترکیب نمودن جواب‌های همگن و ویژه می‌توان بدست آورد.

$$v_2 = C_1 \cos ax + C_2 \sin ax + C_3 \cosh ax + C_4 \sinh ax + \frac{bv_0}{1-b} \sin \frac{\pi x}{L} \quad (10-43)$$

چهار ثابت انتگرال گیری از چهار شرط حدی زیر بدست می‌آیند:

$$\begin{cases} x = 0 & x = 0 & x = L & x = L \\ v_2 = 0 & v_2' = 0 & v_2 = 0 & v_2' = 0 \end{cases}$$

از دو معادله اول  $C_1 = C_3 = 0$  و از دو معادله آخر  $C_2 = C_4 = 0$  نتیجه می‌شود. بنابراین جواب نهایی تغییر مکان  $v_2$  "صرفه" جواب ویژه (معادله 10-42) می‌باشد. بنابراین تغییر مکان کل تیر برابر است با

$$v = v_1 + v_2 = v_0 \sin \frac{\pi x}{L} + \frac{bv_0}{1-b} \sin \frac{\pi x}{L} \quad (10-44)$$

$$v = \frac{v_0}{1-b} \sin \frac{\pi x}{L} = \frac{v_1}{1-b}$$

این معادله نشان می‌دهد تغییر مکان اولیه  $v_1$  به علت پدیده حوض شدن بوسیله ضریب تشدید  $(1-b)/1$  افزایش می‌یابد. این ضریب وقتی که  $b = 0$  برابر واحد می‌باشد و وقتی که  $b$  به واحد نزدیک می‌شود بدون حد افزایش بیندا می‌کند. بنابراین می‌توانیم نتیجه بگیریم که برای مقادیر  $b$  کوچکتر از واحد، یعنی وقتی که

$$\frac{5\gamma L^4}{\pi^4 EI} < 1 \quad (10-45)$$

تغییر مکان  $v$  مقدار معینی دارد و تیر به یک وضع تعادل می‌رسد. اگر  $b \geq 1$ ، تیر تحت بار مایع مزبور نایابدار است و تغییر مکان بطور تئوری بی‌نهایت زیاد می‌گردد. البته باشد توجه داشت که معادله دیفرانسیل تیر به رفتار ارجاعی خطی و تغییر شکل‌های کوچک محدود می‌باشد، از این رو نتایج فوق برای تغییر شکل‌های زیاد صادق نمی‌باشند.

برای مثال فرض کنید تیر ساده‌ای که در ابتدا مستقیم بوده و نسبت درجه حرارت یکنواخت  $T_0$  قرار دارد، تحت اثر گرمایی غیر یکساخنی فرارگیرد بطوریکه درجه حرارت در سطح فوقانی آن  $T_1$  و در سطح تحتانی آن  $T_2$  باشد (شکل ۱۰-۱۲). اگر تغییرات درجه حرارت بین بالا و پائین تیر را خطی فرض کنیم، در این صورت درجه حرارت متوسط تیر  $T_g = \frac{T_1 + T_2}{2}$  می‌باشد که در وسط ارتفاع تیر رخ می‌دهد. هر احتلاکی بین درجه حرارت متوسط و درجه حرارت اولیه  $T_0$  منجر به تغییر طول تیر می‌گردد. اختلاف درجه حرارت  $\Delta T = T_2 - T_1$  بین پائین و بالای تیر مجریه اتحادی محور تیر می‌شود و این به معنی بوجود آمدن تغییر شکل جاسی است.

برای اینکه تغییر شکل جاسی تیر را بررسی کنیم، تغییر شکل عنصری از تیر بدهطول  $dx$  را در سطح می‌گیریم (شکل ۱۰-۱۳). تغییر طول عنصر در سطوح تحتانی و فوقانی آن به نرخ  $d\theta/dx = \alpha(T_2 - T_0)$  می‌باشد. اگر  $T_2$  از  $T_1$  بیشتر باشد، اضلاع عنصر نسبت به پکدیگر به اندازه زاویه  $d\theta$  مطابق شکل ۱۰-۱۳ دوران می‌کند. با استفاده از هندسه شکل، زاویه  $d\theta$  به تغییر طولها با معادله زیر ارتباط دارد:

$$hd\theta = \alpha(T_2 - T_0)dx - \alpha(T_1 - T_0)dx \quad (10-52)$$

$$\frac{d\theta}{dx} = \frac{\alpha(T_2 - T_1)}{h} \quad (10-52)$$

$h$  در این رابطه ارتفاع تیر می‌باشد. مثلاً "مناهده کردیم که کمیت  $d\theta/dx$  اتحادی منحنی ارتجاعی تیر می‌باشد (معادله ۱۰-۴)". با این معادله دیفرانسیل تیر برای منحنی تیر تغییر شکل یافته دست می‌آید:

$$\frac{d^2v}{dx^2} = -\frac{\alpha(T_2 - T_1)}{h} \quad (10-53)$$

علامت منفی در این رابطه لازم است تا قرار داده‌ای علامت قبلی پا بر حا باشد. توجه کنید موقعی که  $T_2$  از  $T_1$  بیشتر است، اتحادی منحنی خواهد بود. کمیت  $\alpha(T_2 - T_1)/h$  معادل کمیت  $M/EI$  می‌باشد که قبلاً در معادله دیفرانسیل منحنی ارتجاعی تیر (معادله ۱۰-۵) ظاهر گشت.

اکنون که معادله ۱۰-۵۳ بعنوان معادله دیفرانسیل اساسی برای تیری تحت اثر تغییر درجه حرارت بین بالا و پائین تیر بدست آمده است، آن را می‌توانیم با همان روش‌های تشریح شده در فوچ برای حالت بارهای حارجی حل کنیم. با انتگرال گیری از این معادله  $dV/dx$  و  $v$  و تنسیس با استفاده از شرایط حدی ثابت‌های انتگرال گیری

$$\psi_1 = \frac{192}{5a^4L^4} \left( \sec \frac{aL}{2} + \operatorname{sech} \frac{aL}{2} - 2 \right). \quad (10-50)$$

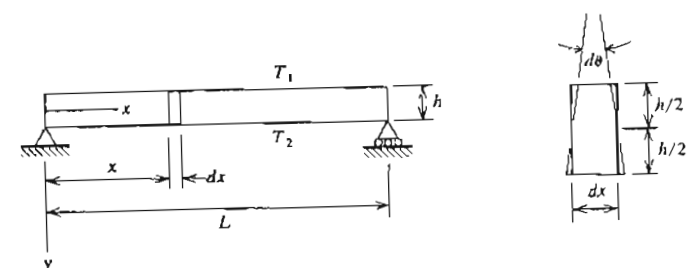
ضریب تشدید اولیه ازای  $0 = 1/a$  برابر واحد می‌باشد و وقتی  $aL = \pi$  نزدیک می‌شود سمت بی‌نهایت میل می‌کند. بنابراین در این مثال نیز یک مقدار بحرانی وجود دارد که به ازای مقادیر کمتر از آن مقدار بحرانی، تیر پایدار می‌باشد و به یک وضع تعادل می‌رسد. این مقدار بحرانی بوسیله معادله  $aL = \pi$  یا  $aL = 1$  داده می‌شود و شرط پایداری همان معادله ۱۰-۴۵ است. این شرط پایداری بطور کلی برای یک تیر ساده بدون توجه به نوع باری که تغییر شکل اولیه را ایجاد می‌کند صادق می‌باشد.

با افزایش صلبیت حجمی (EI) تیر با ایجاد نمودن یک تغییر شکل اولیه رو به بالا می‌توان از شکست ناشی از حوض شدن جلوگیری کرد.

## ۱۰-۶ آثار گرمایی

$$\text{افزایش یکنواخت درجه حرارت باعث می‌شود که یک میله یا تیر آزاد به اندازه } \Delta L = \alpha L \Delta T \quad (10-51)$$

اصافه طول پیدا کند. در این رابطه،  $\Delta L$  معرف اضافه طول،  $\alpha$  ضریب انبساط حرارتی،  $L$  طول اولیه و  $\Delta T$  افزایش درجه حرارت می‌باشد. اگر تکیه گاههای تیر جناب باشد که انبساط طولی تیر به آزادی رح دهد (مانند تمام تیرهایی که در این فصل مورد بررسی فرار گرفتند)، تغییر یکنواخت درجه حرارت در تیر تنفس ایجاد نخواهد کرد. تیر تغییر شکل جانبی نیز نخواهد داشت زیرا هیچ نوع تغایلی برای خمن ندارد. اگر درجه حرارت در ارتفاع تیر ثابت نباشد، رفتار تیر کاملاً "متغایر خواهد بود.



شکل ۱۰-۱۳

شیب منحنی تیر فقط ناشی از برش تقریباً برابر کرنش برشی در محل محور خنثی می‌باشد (شکل ۱۴-۱۰). بدین ترتیب اگر تغییر شکل ناشی از برش را با  $\gamma$  نشان دهیم، معادله ریز برای شیب بدست می‌آید:

$$\frac{dv_s}{dx} = \gamma_c = \frac{\alpha_s V}{GA} \quad (10-54)$$

در این رابطه،  $V/A$  تنش برشی متوسط می‌باشد که از تقسیم نمودن نیروی برشی بر مساحت مقطع عرضی بدست می‌آید.  $G$  ضریب ارجاعی در برش و  $\alpha_s$  یک ضریب عددی موسوم به ضریب برش می‌باشد که تنش برشی متوسط را باید در آن ضرب نمود تا تنش برشی در مرکز سطح مقطع عرضی بدست آید. برای یک مقطع عرضی مستطیلی  $\alpha_s = 3/2$  مطابق شکل ۱۴-۱۰ تغییر شکل دهد. چون تنش‌های برشی در ارتفاع تغییری کنند، مقاطع عرضی به صورت سطوح منحنی در می‌آید. شکل مذبور فقط تغییر شکل‌های ناشی از برش را نشان می‌دهد، از این رو تغییر شکل‌های خمی و لنجک خمی موثر بر عنصر از روی شکل حذف گردیده است. خط  $m-n$  معروف محور اولیه تیر می‌باشد که افقی مرضی شود و خط  $m-p$  وضع این خط را پس از بوجود آمدن تغییر شکل‌های برشی نشان می‌دهد. اگر فرض شود که اضلاع عنصر در نقطه  $m$  و  $n$  قائم باشی بمانند، در این صورت لبه‌های فوقانی و تحتانی تیر موازی خط  $m-p$  خواهد بود که با امتداد افق زاویه  $\gamma_c$  تشکیل می‌دهد ( $\gamma_c$  کرنش برشی در محل محور خنثی است). اگر عنصر مذبور را به لایه‌های تقسیم کنیم و هر یک از این لایه‌ها را در برش خالص فرض نماییم (شکل ۱۵-۱۰) تغییر شکل عنصر را به سهولت می‌توان تجسم نمود. کرنش برشی در لایه ۱ برابر  $\gamma$  ولی در لایه‌های ۲ و ۳ کمتر از  $\gamma$  می‌باشد. کرنش برشی در لایه ۴ که در دورترین نقطه از محور تیر قرار دارد باید برابر صفر باشد و از این رو اضلاع این لایه سر یکدیگر عمود می‌باشند.

موقعی که بارگشته بیوستهای باشد در روی شیر اثر می‌کند، نیروی برشی  $\gamma$  تابع بیوستهای می‌باشد که از آن نسبت به  $x$  می‌توان مشتق گرفت. در این صورت انتخاب ایجاد شده فقط بوسیله برش برابراست با

$$\frac{d^2v_s}{dx^2} = \frac{\alpha_s}{GA} \frac{dV}{dx} = -\frac{\alpha_s q}{GA} \quad (10-55)$$

تغییر مکان کل  $\gamma$  تیر مجموع تغییر مکان خمی  $v_b$  (که محاسبه آن در بخش‌های قبلی این فصل مورد بحث قرار گرفت) و تغییر مکان برشی  $v_s$  می‌باشد. بنابراین  $v = v_b + v_s$  و انتخاب کل مساویست با

$$\frac{d^2v}{dx^2} = \frac{d^2v_b}{dx^2} + \frac{d^2v_s}{dx^2} = -\frac{M}{EI} - \frac{\alpha_s q}{GA} \quad (10-56)$$

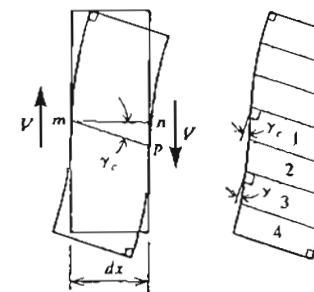
با استگرال گیری از این معادله می‌توان آن را برای محاسبه تغییر مکان تیرها در موانعی که اثر برش باید به حساب آورده شود بکار برد.

برای محاسبه ثابت‌های استگرال گیری از شرایط انتهایی تیر استفاده می‌شود. برای مثال در یک تکیه گاه ساده تغییر مکان صفر می‌باشد ( $v = v_b = v_s = 0$ ). تغییر مکان در یک تکیه گاه گیردار نیز صفر می‌باشد، ولی شرط انتهایی در مورد شیب بستگی به نحوه گیرداری انتهای تیر دارد. اگر اخلال عنصر در محل محور خنثی قائم باقی بماند (مطابق شکل ۱۴-۱۰)، در این صورت شرایط انتهایی برای شیب عبارتند از

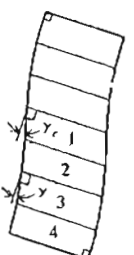
بدست می‌آیند.

#### ۱۵-۱۰ تغییر شکل‌های برشی

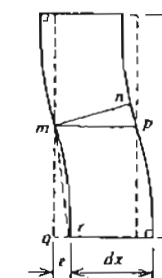
در بخش‌های قبلی این فصل فقط تغییر شکل‌های ناشی از خمی در محاسبه غیر مکان‌ها در نظر گرفته شدند. در اثر تغییر شکل‌های برشی تغییر مکان اضافی ایجاد می‌گردد که در تیری با مقطع عرضی مستطیل باعت می‌شود عصری از تیر به طول  $dx$  مطابق شکل ۱۴-۱۰ تغییر شکل دهد. چون تنش‌های برشی در ارتفاع تغییری کنند، مقاطع عرضی به صورت سطوح منحنی در می‌آید. شکل مذبور فقط تغییر شکل‌های ناشی از برش را نشان می‌دهد، از این رو تغییر شکل‌های خمی و لنجک خمی موثر بر عنصر از روی شکل حذف گردیده است. خط  $m-n$  معروف محور اولیه تیر می‌باشد که افقی مرضی می‌شود و خط  $m-p$  وضع این خط را پس از بوجود آمدن تغییر شکل‌های برشی نشان می‌دهد. اگر فرض شود که اضلاع عنصر در نقاط  $m$  و  $n$  قائم باشی بمانند، در این صورت لبه‌های فوقانی و تحتانی تیر موازی خط  $m-p$  خواهد بود که با امتداد افق زاویه  $\gamma_c$  تشکیل می‌دهد ( $\gamma_c$  کرنش برشی در محل محور خنثی است). اگر عنصر مذبور را به لایه‌های تقسیم کنیم و هر یک از این لایه‌ها را در برش خالص فرض نماییم (شکل ۱۵-۱۰) تغییر شکل عنصر را به سهولت می‌توان تجسم نمود. کرنش برشی در لایه ۱ برابر  $\gamma$  ولی در لایه‌های ۲ و ۳ کمتر از  $\gamma$  می‌باشد. کرنش برشی در لایه ۴ که در دورترین نقطه از محور تیر قرار دارد باید برابر صفر باشد و از این رو اضلاع این لایه سر یکدیگر عمود می‌باشند.



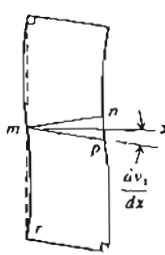
شکل ۱۵-۱۴



شکل ۱۵-۱۵



شکل ۱۵-۱۶



شکل ۱۵-۱۷

در سراسر ارتفاع جان نقریباً یکنواخت است. در این صورت داریم

$$e = \int_0^{h/2} \gamma dy = \frac{1}{6} \int_0^{h/2} \tau dy = \frac{1}{t_w G} \int_0^{h/2} \tau t_w dy \approx \frac{V}{2t_w G} \quad (10-63)$$

در این حالت شرایط ۱۰-۶۰ به صورت ریز در می‌آید:

$$\frac{dv_b}{dx} = 0 \quad ; \quad \frac{dv_s}{dx} = \frac{V}{GA_w} \quad (10-64)$$

در این رابطه  $A_w \approx ht_w$  مساحت جان تبر می‌باشد.

### مثال ۸ - ۱۰

اگر تغییر شکل برشی در روی تغییر شکل کل یک تیر ساده نحت بارگذاری باشد یکنواخت را بررسی کنید (شکل ۱۰-۳).

حل: معادله اتحانی این نظر را استفاده از معادله ۱۰-۵۶ به صورت زیر در

می‌آید:

$$\frac{d^2v}{dx^2} = -\frac{q}{2EI} (xL - x^2) - \frac{\alpha_s q}{GA}$$

تغییر مکان  $v$  پس از دوبار انتگرال گیری پیاپی از این معادله بدست می‌آید.

$$v = \frac{q}{24EI} (x^4 - 2x^3 L) - \frac{\alpha_s q}{2GA} x^2 + c_1 x + c_2$$

تغییر مکان در دو انتهای تیر ( $x = 0$  و  $x = L$ ) صفر است. ثابت‌های  $c_1$  و  $c_2$  از این دو شرط محاسبه می‌شوند.

$$c_1 = \frac{\gamma L^3}{24EI} + \frac{\alpha_s q L}{2GA} \quad ; \quad c_2 = 0$$

بنابراین معادله منحنی تغییر مکان تیر عبارتست از

$$v = \frac{qL^4}{24EI} \left(\frac{x}{L}\right) \left(\frac{x^3}{L^3} - 2 \frac{x^2}{L^2} + 1\right) + \frac{\alpha_s q L^2}{2GA} \left(1 - \frac{x}{L}\right) \quad (10-65)$$

این معادله در سمت راست، دو جمله دارد. جمله اول ناشی از خمن می‌باشد (بامعادله ۱۰-۱۵ مقایسه کنید). جمله دوم تغییر مکان اضافی ناشی از تغییر شکل‌های برشی را

$$\frac{dv_b}{dx} = 0 \quad ; \quad \frac{dv_s}{dx} = \gamma_c \quad (10-57)$$

زیرا در این حال شیب محور نیز در اثر تغییر شکل‌های حمنی تراپز مفرولی در اثر تغییر شکل‌های برشی سراسر  $\gamma$  است. اگر گیرداری تیر چنان است که شیب منحنی تغییر مکان کل در انتهای تیر صفر می‌باشد، در این صورت شرایط انتهایی به صورت زیر نوشته می‌شوند:

$$\frac{dv_b}{dx} = 0 \quad ; \quad \frac{dv_s}{dx} = 0 \quad (10-58)$$

و انتهای تیر مطابق شکل ۱۶-۱۵ تغییر شکل می‌دهد بطوریکه خط  $mp$  افقی می‌باشد. امکان دیگر این است که بالا و پائین تیر در یک خط قائم نگهداشته شوند (شکل ۱۷-۱۵). در این حالت، هیچیکی از خطوط  $mn$  و  $mp$  افقی باقی نمی‌مانند. در عوض، شیب  $\frac{dv_s}{dx}$  با دوران دادن عنصر شکل ۱۶-۱۵ در جهت عقربمهای ساعت بطوریکه خط  $qr$  فاصله  $mr$  می‌باشد می‌توان دست آورد. زاویه دوران را ویه  $q\hat{m}r$  برابر با تقسیم بر  $h/2$  می‌باشد. فاصله  $e$  مساویست با

$$e = \int_0^{h/2} \gamma dy \quad (10-59)$$

در این رابطه،  $\gamma$  کرنشی (شکل ۱۵-۱۵) در فاصله  $y$  (شکل ۱۵-۱۵) از محور خشنی می‌باشد. حال شرایط حدی برای این حالت را می‌توان به صورت زیر بیان نمود:

$$\frac{dv_b}{dx} = 0 \quad ; \quad \frac{dv_s}{dx} = \frac{2e}{h} \quad (10-60)$$

کمیت  $e$  را که بوسیله معادله ۱۰-۵۹ داده شده برای هر شکل مقطع عرضی خاصی می‌توان حساب نمود. برای تیری با مقطع عرضی مستطیل به عرض  $b$  داریم

$$e = \int_0^{h/2} \gamma dy = \frac{1}{G} \int_0^{h/2} \tau dy = \frac{1}{bG} \int_0^{h/2} \tau b dy = \frac{V}{2bG} \quad (10-61)$$

در این حالت شرایط ۱۰-۶۰ به صورت زیر نوشته می‌شوند:

$$\frac{dv_b}{dx} = 0 \quad ; \quad \frac{dv_s}{dx} = \frac{V}{GA} \quad (10-62)$$

در این رابطه  $bh = A$  مساحت مقطع عرضی می‌باشد. برای یک تیر I جان تیر تقریباً تمام نیروی برشی را حمل می‌کند و تنش برشی

۵۴۲

مزبور باعث کاهش تغییر مکان محاسبه شده در فوق می‌گردد.

منحنی تغییر مکان تیر ساده‌ای با مقطع عرضی مستطیل تحت بار یکواخت بوسیله روش‌های نئوری ارجاعی محاسبه شده است (مرجع 26) . برای ضریب پواسون  $\nu=0.25$  تغییر مکان وسطنی بر استفاده از نئوری ارجاعی برابر است با

$$v_c = \frac{5qL^4}{384EI} \left( 1 + 2.2 \frac{h^2}{L^2} \right) \quad (10-68)$$

تغییر مکانی که از این معادله بدست می‌آید کمی کمتر از تغییر مکان معادله 10-67 می‌باشد. جمله دوم در معادله فوق نه فقط اثر برش را به حساب می‌آورد بلکه اثر تنش‌های پر در جهت قائم (ناشی از بار یکواخت  $q$  که در بالای تیر اثر می‌کند) را نیز در نظر می‌گیرد.

### مثال ۱۰ - ۹

اثر تغییر شکل برشی در روی تغییر شکل کل یک تیر ساده تحت بار متتمرکز  $P$  در وسط دهانه اش را بررسی کنید.

حل : در نیمه چپ تیر عبارات لگز خمشی ، نیروی برشی و شدت بار به ترتیب  $V=P/2$  ،  $M=Px/2$  و  $q=0$  می‌باشد. سایر این معادلات احتماً ناشی از خمش و برش به صورت زیر در می‌آیند :

$$\frac{d^2v_b}{dx^2} = -\frac{Px}{2EI} \quad ; \quad \frac{d^2v_s}{dx^2} = 0 \quad (0 \leq x \leq \frac{L}{2})$$

برخلاف مثال قبل این دو معادله باید بطور حداًکانه استگال گرفته شود زیرا شرایط حدی شیب‌ها در وسط تیر برای تغییر مکان‌های خمشی و برشی متفاوت می‌باشد. دو بار استگال گیری متوالی معادله دیفرانسیل  $v_b$  با استفاده از شرایط حدی  $\frac{dv_b}{dx}=0$  در  $x=L/2$  و  $x=0$  تغییر مکان ناشی از خمش را می‌دهد.

$$v_b = \frac{PL^3}{48EI} \left( \frac{x}{L} \right) \left( 3 - 4 \frac{x^2}{L^2} \right) \quad (0 \leq x \leq \frac{L}{2})$$

از استگال گیری معادله دیفرانسیل  $v$  حامل می‌شود

$$\frac{dv_s}{dx} = C_1$$

۵۴۲

می‌دهد.

تغییر مکان وسط تیر ( $x=L/2$ ) برابر است با

$$v_c = \frac{5qL^4}{384EI} + \frac{\alpha_S qL^2}{8GA} = \frac{5qL^4}{384EI} \left( 1 + \frac{48\alpha_S EI}{5GA L^2} \right) \quad (10-66)$$

به اهمیت‌سی تغییر شکل ناشی از برش با بررسی جمله آخر معادله فوق می‌توان بی‌برد. صرف نظر نمودن تغییر شکل‌های برشی مانند این است که تیر در برش بی‌نهایت صلب غرض نمود ( $G/A=\infty$ ). در این صورت جمله آخر معادله فوق صفر می‌شود و فقط تغییر مکان خمشی باقی می‌ماند. وقتی که اثر برش در نظر گرفته و جمله آخر در معادله نگاهداشته می‌شود، مشاهده می‌کیم که تغییر مکان افزایش می‌یابد. مقدار جمله آخر را تیرهای توپر و سخت از قبیل تیرهای با مقطع عرضی مستطیل در مقایسه با واحد کوچک می‌باشد ولی در تیرهای دیگر همچون تیرهای ساندویچی ممکن است کاملاً زیاد باشد.

برای بدست آوردن نتایج عددی، تیری با مقطع عرضی مستطیل به ارتفاع  $h$  (که برای آن  $\alpha_S=1.5$  و  $\alpha_I=2.5$  می‌باشد) در نظر می‌گیریم. تغییر مکان وسط تیر در این حالت مساوی است با

$$v_c = \frac{5qL^4}{384EI} \left( 1 + 3 \frac{h^2}{L^2} \right) \quad (10-67)$$

از این معادله مشاهده می‌شود که برای  $L/h=10$  تغییر شکل‌های برشی تغییر مکان وسط تیر را 3 درصد افزایش می‌دهد. تأثیر تغییر شکل‌های برشی برای نسبت‌های کوچکتر  $L/h$ ، یعنی برای تیرهای کوتاه و با ارتفاع زیاد، افزایش پیدا می‌کند. این اثر برای تیرهای I مشابه تیرهای مستطیلی می‌باشد. با این تفاوت که بزرگی نسبی تغییر مکان ناشی از برش معمولاً "دو یا سه بار بیشتر" است، اضافه شدن تغییر مکان ناشی از برش برای تیرهای ساندویچی ممکن است تا 50 درصد برسد.

معادله دیفرانسیل مورد استفاده در بالا برای حل تغییر مکان برشی بر اساس این فرض بدست آمد که هر مقطع عرضی تیر مطابق تکل ۱۴ - ۱۵ بتواند به آزادی تاب خودورد. تیر ساده با بارگذاری یکواخت حالتی است که این فرض در آن تقریباً قابل شدماست.

به علت تقارن، تاب خودرگی مقطع عرضی در وسط تیر نمی‌تواند وجود داشته باشد. چون نیروی برشی در وسط صفر است ( $V=0$ )، در مقطع عرضی وسط تابایلی برای عبارت خودرگی وجود ندارد. تاب خودرگی و نیروی برشی به تدریج از وسط تیر به سوی انتهای تیر افزایش می‌یابند. بدین ترتیب مانع اضافی در مقابل تغییر مکان که بوسیله تاب خودرگی ایجاد می‌شود نائیر ناچیزی در روی تغییر مکان کل دارد. اما می‌توان نشان داد که اثر

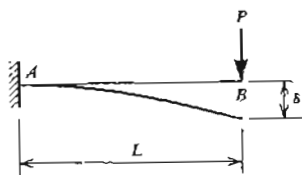
۵۴۵

$$v_c = \frac{PL^3}{48EI} \left( 1 + 2.78 \frac{h^2}{L^2} - 0.84 \frac{h^3}{L^3} \right) \quad (10-72)$$

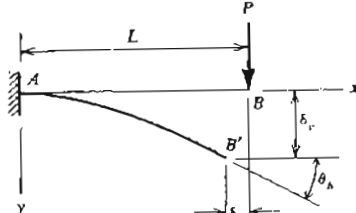
این معادله نسبت به معادله ۱۰-۷۱ مغایر مکان کنتری می‌دهد زیرا تنش‌های موضعی در مجاورت وسط تیر در جایی که بار وارد شده در آن به حساب آورده شده است.

مثال ۱۵-۱۵

اشر تغییر شکل سری در روی تغییر مکان کل یک تیر طره‌ای تحت بار متغیر  $P$  در انتهای آزادش را بررسی کنید (شکل ۱۵-۱۸).



شکل ۱۵-۱۸



شکل ۱۵-۱۹

حل : تغییر مکان خمی  $v_b$  مطابق روش‌های مورد بحث در بخترهای ۳ - ۱۵ و ۴ - ۱۵ ه سهول محاسبه می‌گردد (مسئله ۳ - ۱۵ را ببینید) . در اینجا فقط تغییر مکان برشی  $v_s$  را مورد بحث قرار می‌دهیم . چون نیروی برشی در طول تیر ثابت است ، شیب  $v_s$  تیر ناشی از برش نیز ثابت می‌باشد . بزرگی این شیب بستگی به شرایط تکیه گاه، انتهای تیر دارد . اگر اصلاح عنصر در محل محور خنثی قائم باقی بمانند، انتهای تیر به آزادی تاب می‌حورد (شکل ۱۴ - ۱۵ را ببینید) . در این صورت شیب برابر است با

$$\frac{dv_s}{dx} = \frac{\alpha_s P}{GA}$$

و تغییر شکل برشی مساوی است با

$$v_s = \frac{\alpha_s P}{GA} x \quad (10-73)$$

اگر منحنی تغییر مکان در تکیه گاه افقی بماند و مقطع عرضی انتهایی مطابق شکل

۵۴۶

این معادله نشان می‌دهد شیب ناشی از برش در سراسر نیمه چپ تیر ثابت می‌باشد . این شیب بوسیله معادله ۱۰-۵۴ داده شده و برابر  $V/GA$  است . با انتگرال گیری مجدد از رابطه فوق و با استفاده از شرط حدی  $v_s=0$  در  $x=0$  معادله تغییر مکان ناشی از برش بدست می‌آید .

$$v_s = \frac{\alpha_s P x}{2GA} \quad (0 \leq x \leq \frac{L}{2})$$

بنابراین تغییر مکان کل برابر است با

$$v = v_b + v_s = \frac{PL^3}{48EI} \left( \frac{x}{L} \right) \left( 3 - 4 \frac{x^2}{L^2} \right) + \frac{\alpha_s P x}{2GA} \quad (10-69)$$

در وسط تیر داریم

$$v_c = \frac{PL^3}{48EI} \left( 1 + \frac{12\alpha_s EI}{GAL^2} \right) \quad (10-70)$$

در این مثال نیز اهمیت نسبی تغییر شکل‌های برشی را در هر حالت خاصی با ارزیابی عددی حمله دوم داخل پراستز در معادله فوق می‌توان تعیین نمود .

معادله ۱۰-۶۹ که از حل معادله دیفراسیل بدست آمد مقدار تغییر مکان‌ها را بیش از اندازه زیاد می‌دهد زیرا اثر ناب خوردگی (همانطوریکه در مثال قبل بحث شد) در آن صرف نظر شده است . مقطع عرضی وسط تیر به علت تقارن باید مسطح باقی بماند و ناب خوردگی در آنچا ممکن تواند روح دهد . ولی مقطع مجاور در چپ و راست وسط تیر به ترتیب نیروهای برشی  $P/2$  و  $P/2$  - را تحمل می‌کنند و این مقطع باید ناب خوردگی پیدا کند . چون این ناب خوردگی‌ها در دو جهت مختلف می‌باشند ولی در مقابل آنها مانع وجود دارد تنش‌های اضافی باید ایجاد کرد . مانع از ناب خوردگی مقطع باعث کاهش تغییر شکل‌های برشی می‌گردد و در نتیجه مقدار واقعی تغییر مکان برشی کمتر از آن است که معادله ۱۰-۷۰ می‌دهد .

برای یک تیر با مقطع مربع مستطیل و  $E/G = 2.5$  تغییر مکان وسط تیر (معادله ۱۰-۷۰) به صورت زیر در می‌آید :

$$v_c = \frac{PL^3}{48EI} \left( 1 + 3.75 \frac{h^2}{L^2} \right) \quad (10-71)$$

این معادله را می‌توان با نتیج دقتیق تر که از شوری ارجاعی بدست می‌آید مقایسه نمود . نتیج شوری ارجاعی برای حالت  $E/G = 0.25$  و  $E/G = 2.5$  به صورت زیر می‌باشد (مرجع ۲۶) :

۵۴۲

در بسیاری از موقعه‌ها علت کمود اطلاعات دقیق نمی‌توان صلبیت‌های خمشی و برشی را بوسیله محاسبه تعیین نمود. در چنین مواردی صلبیت‌ها را برای مصالح و بزرگ‌چندماده‌ای باید بطور تجربی بدست آورد.

## ۸ - ۱۰ - تغییر مکان‌های زیاد تیرها

تغییر مکان‌های تیرها که در بخش‌های قبلی این فصل تعیین شده بوسیله حل معادله دیفرانسیل تفاضلی  $EI\ddot{V} = -M$  بدست آمدند که برای شبکه‌های کوچک تیرها رضایت‌بخش می‌باشد. وقتی که شبکه‌ها و در نتیجه تغییر مکان‌ها زیاد می‌باشد باید از معادله دیفرانسیل دقیق منحنی تغییر مکان (محنی ارتتعاعی) استفاده نمود. این معادله با فرض اینکه ماده تیر به طور خطی ارتتعاعی باشد به صورت زیر نوشته می‌شود (معادلات ۱-۱۰ و ۱-۲ را ببینید):

$$EI \frac{d\theta}{ds} = -M \quad (10-75)$$

کمیت  $d\theta/ds$  معرف انحنای تیر یا شدت تغییر  $\theta$  (زاویه دوران محنی تغییر مکان تیر) نسبت به  $s$  (ماباله‌ای که در طول منحنی تغییر مکان تیر اندازه گرفته می‌شود) می‌باشد. وقتی که دوران‌ها خیلی کوچک می‌باشد، فاصله  $s$  با فاصله  $x$  پکسان میگردد و زاویه دوران  $\theta$  همان شبکه  $dV/dx$  می‌شود، در نتیجه  $d\theta/ds$  بطور تفاضلی برابر  $dV/dx^2$  می‌باشد. اما این ساده کردن‌ها برای تغییر مکان‌های زیاد حادثه نمی‌باشد و معادله ۱-۷۵ باید حل گردد.

منحنی‌های تغییر مکان تیرها برای حالت تغییر مکان‌های زیاد برای انواع مختلف تیرها و شرایط بارگذاری با روش‌های ریاضی بدست آمده است. جون این روش‌های حل طولانی می‌باشند در اینجا مورد بحث قرار نمی‌گیرند. اما جواب‌های نهایی برای یک مثال با کار سرد عملی در این بخش داده خواهد شد.

تیر طرمای AB شکل ۱۰-۱۹ را در نظر می‌گیریم. فرض می‌کنیم بار P تغییر مکان‌های زیاد در تیر ایجاد کند بطوریکه انتهای آزاد تیر از B به B' منتقل گردد. زاویه دوران انتهای آزاد تیر را با  $\theta$  و تغییر مکان‌های افقی و فاصله مزبور را ترتیب با  $\delta_x$  و  $\delta_y$  نشان می‌دهیم. طول AB منحنی تغییر مکان با طول اولیه  $L$  برابر است زیرا از تغییر طول ناشی از تنش مستقیم صرف نظر می‌شود. چون تیر ایزو استاتیک است

۵۴۶

۱۶ - ۱۵ تغییر شکل دهد. در این صورت  $\frac{dV}{dx} = 0$  و تغییر مکان برشی  $V$  وجود ندارد. بالاخره اگر لبه‌های فوقانی و تحتانی تیر در محل تکیه گاه در یک امتداد قائم باشی بمانند و شیر مطابق شکل ۱۰-۱۶ ناب بخورد، در این صورت شبکه ناشی از برش سرا بر است با

$$\frac{dV_s}{dx} = \frac{2e}{h}$$

و تغییر شکل برشی مساوی است با

$$V_s = \frac{2e}{h} x \quad (10-74)$$

تغییر مکان کل انتهای آزاد تیر با جایگزینی  $x=L$  در معادلات فوق برای  $V_s$  و جمع نمودن نتیجه حاصل با  $\frac{PL^3}{3EI}$  که تغییر شکل ناشی از خشن در انتهای آزاد تیر (حالت ۴ پیوست ۲-۲ کتاب) است بدست می‌آید.

تغییر مکان انتهای آزاد تیر طرمای با استفاده از روش‌های تئوری ارتتعاعی از معادله ۱۰-۷۲ (برای یک تیر ساده با بار مرکزی در وسط دهانه آن) با جایگزینی  $2P$  بجای  $P$  و  $2L$  بجای  $L$  محاسبه می‌شود. تغییر مکانی که به این ترتیب بدست می‌آید برای یک تیر طرمای که از تاب خوردگی انتهای گیردار آن جلوگیری می‌شود (به عبارت دیگر فرض می‌شود که مقطع عرضی انتهایی مسطح باقی بماند) صادق است.

## تغییر شکل‌های برشی در تیرهای ساندویچی

در محاسبه تغییر مکان‌ها برای تیرهای ساندویچی (بخش ۳-۸-۱ را ببینید) "ممولا" لازم است اثر تغییر شکل‌های برشی به حساب آورده شود زیرا ضریب ارتتعاعی برشی ماده هسته (ح) "ممولا" کوچک و در نتیجه صلبیت برشی کوچک می‌باشد. روش‌های مورد بحث در بالا را برای محاسبه تغییر مکان‌های این نوع تیرها می‌توان بکار بردن در معادلات فوق بجای صلبیت خمشی  $I_f$  باید کمیت  $\frac{EI_f}{GA/\alpha_s}$  کنترل ختنی آنها می‌باشد. صلبیت برشی  $\frac{EI_f}{GA/\alpha_s}$  ضریب ارتتعاعی روپهها و عیوب I کنترل ختنی آنها می‌باشد. تبدیل می‌شود زیرا می‌توانیم فرض کنیم که تنش برشی در روی سطح هسته (ح) بطور یکنواخت توزیع شده است و در نتیجه ضریب برشی  $\frac{h}{L}$  برابر واحد می‌گردد. در کار بردهای عملی چون انواع مختلفی از مصالح در تیرهای ساندویچی بکار می‌رود،

۵۴۹

می باشد که در آن

$$\int_0^{\pi/2} \sqrt{1-k^2 \sin^2 t} dt = \text{انتگرال بیضوی کامل نوع دوم} = E(k) \quad (10-81)$$

$$E(k, \phi) = \int_0^{\phi} \sqrt{1-k^2 \sin^2 t} dt \quad (10-82)$$

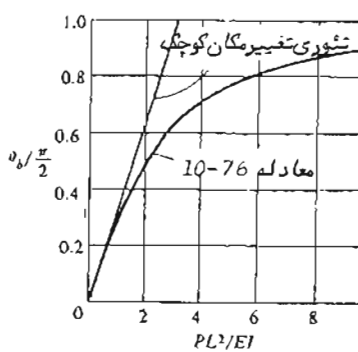
روش حل معادله ۱۰-۸۰ نیز متنابه روش حل معادله ۱۰-۷۶ می باشد که در فوق ذکر شد. نتایج به صورت یک منحنی در شکل ۲۱ - ۱۰ رسم شده است. در این مورد نیز تغییر مکان فائم استهای آزاد تیر برای مقادیر کوچک بار P از تئوری تغییر مکان های کوچک یا دفت بدست می آید.

بالاخره تغییر مکان افغی استهای آزاد تیر از معادله زیر محاسبه می گردد :

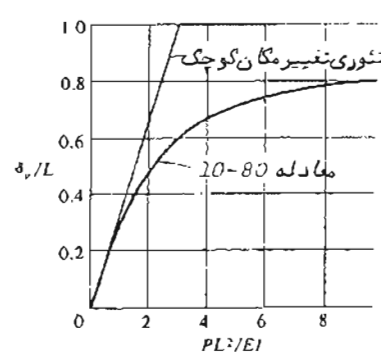
$$\frac{\delta h}{L} = 1 - \sqrt{1 + \frac{2EI \sin \theta b}{PL^2}} \quad (10-83)$$

نتایج این حالت سیر در شکل ۲۲ - ۱۰ رسم شده است.

برای محاسبه تغییر مکان های زیاد تیرها در حالت های دیگر به مراجع ۳۱ تا ۳۳ رجوع شود.



شکل ۲۰ - ۱۰



شکل ۲۱ - ۱۰

۵۴۸

عبارت لنگر خمثی M را می توان به سهولت بدست آورد و در معادله ۱۰-۷۵ جایگزین نمود. سپس بعد از مقدار قابل ملاحظه ای عملیات ریاضی و همچنین بکار بردن شرایط حدی ساده، جواب معادله حاصل بر حسب توابع بیضوی بدست می آید (برای جزئیات روش حل به مراجع ۳۱ تا ۳۳ رجوع کنید).

معادله ای که را ویه  $\theta_b$  را می دهد یک معادله فرازنده به صورت

$$F(k) - F(k, \phi) = \sqrt{\frac{PL^2}{EI}} \quad (10-76)$$

می باشد که جملات آن با تعاریف زیر مشخص می شوند :

$$k = \sqrt{\frac{1 + \sin \theta b}{2}} ; \quad \phi = \arcsin \frac{1}{k\sqrt{2}} \quad (10-77)$$

$$F(k) = \int_0^{\pi/2} \frac{dt}{\sqrt{1 - k^2 \sin^2 t}} = \text{انتگرال بیضوی کامل نوع اول} \quad (10-78)$$

$$F(k, \phi) = \int_0^{\phi} \frac{dt}{\sqrt{1 - k^2 \sin^2 t}} = \text{انتگرال بیضوی نوع اول} \quad (10-79)$$

چون معادله ۱۰-۷۶ یک معادله فرازنده است برای بدست آوردن  $\theta_b$  آن را باید با روش آزمون و خطأ حل نمود. روش حل به صورت زیر می باشد :

- ۱ - برای  $\theta_b$  مقداری بین  $0^\circ$  و  $90^\circ$  فرض کنید.
- ۲ - k و سپس φ را از معادلات ۱۰-۷۷ - ۱۰-۷۸ محاسبه کنید.
- ۳ - مقادیر (F(k) و F(k, φ)) را از جداول توابع بیضوی پیدا کنید.
- ۴ - بار P را از معادله ۱۰-۷۶ محاسبه نمایید.

بدین ترتیب بار P نظریه یک مقدار غرض شده  $\theta_b$  بدست می آید. این عمل را می توان تکرار و نتیجه را به صورت یک منحنی (شکل ۲۰ - ۲۵ - ۱۰) رسم نمود. منحنی نظری تغییر مکان های کوچک نیز در روی شکل ۲۰ - ۱۰ رسم شده است. در این شکل مشاهده می شود که زاویه دوران برای مقادیر کوچک بار P بسا دقت از معادله  $\theta_b = PL^2/2EI$  بدست می آید.

معادله تغییر مکان فائم استهای آزاد تیر بصورت

$$\frac{\delta_v}{L} = 1 - \sqrt{\frac{4EI}{PL^2}} [ E(k) - E(k, \phi) ] \quad (10-80)$$

۵۵۱

## طریقه اول با استفاده از معادله دیفرانسیل مرتبه دوم

$$EIv'' = -M$$

$$M(x) = \frac{q_0 L}{6}x - \frac{1}{2}(x)\left(\frac{x}{L}\right)(q_0)\left(\frac{x}{3}\right) = \frac{q_0 L}{6}x - \frac{q_0}{6L}x^3$$

$$EIv'' = -\frac{q_0 L}{6}x + \frac{q_0}{6L}x^3$$

از این معادله دو بار انتگرال می‌گیریم.

$$EIv' = -\frac{q_0 L}{12}x^2 + \frac{q_0}{24L}x^4 + c_1$$

$$EIv = -\frac{q_0 L}{36}x^3 + \frac{q_0}{120L}x^5 + c_1x + c_2$$

$$v(0) = 0 \quad (1) \quad ; \quad v(L) = 0 \quad (2)$$

شرط حدی:

$$(1) \implies c_2 = 0$$

$$(2) \implies -\frac{q_0 L^4}{36} + \frac{q_0 L^4}{120} + c_1 L = 0 \quad ; \quad c_1 = \frac{7}{360} q_0 L^3$$

$$v = \frac{q_0 x}{360 EI L} (3x^4 - 10L^2 x^2 + 7L^4)$$

## طریقه دوم با استفاده از معادله دیفرانسیل مرتبه چهارم

$$EI \frac{d^4 v}{dx^4} = q = \frac{q_0}{L}x$$

$$EI \frac{d^3 v}{dx^3} = \frac{q_0}{2L}x^2 + c_1$$

$$EIv'' = \frac{q_0}{6L}x^3 + c_1x + c_2$$

$$EIv' = \frac{q_0}{24L}x^4 + \frac{1}{2}c_1x^2 + c_2x + c_3$$

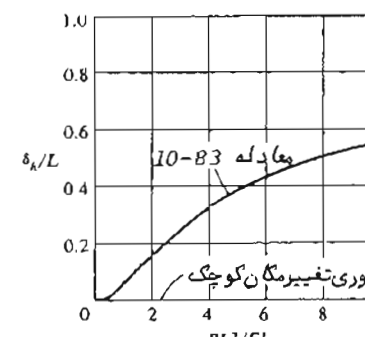
$$EIv = \frac{q_0}{120L}x^5 + \frac{1}{6}c_1x^3 + \frac{1}{2}c_2x^2 + c_3x + c_4$$

۵۵۰

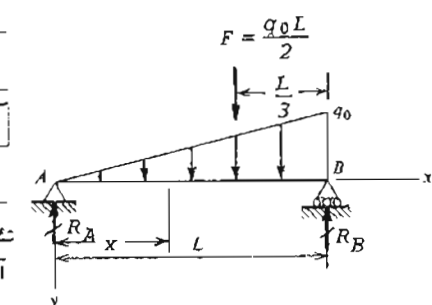
## ۱۰-۹ . مسائل حل شده

### مسئله ۱۰-۱

معادله منحنی تغییر مکان تیر ساده‌ای را که بار مثلثی با شدت حد اکثر  $q_0$  را مطابق شکل ۱۰-۱۰ نحمل می‌کند تعیین کنید. از انتگرال گیری معادله دیفرانسیل منحنی تغییر مکان تیر استفاده نمائید.



شکل ۱۰-۲۲



شکل ۱۰-۲۳

حل: ابتدا واکنش‌های  $R_A$  و  $R_B$  را تعیین می‌کنیم، برآیند بار مثلثی نیرویی است معادل  $F = \frac{q_0 L}{2}$  که به فاصله  $L/3$  از تکه کاه B دارد می‌شود. با نوشتن معادل تعادل لنگری حول نقطه B نتیجه می‌شود:

$$LR_A = \frac{q_0 L}{2} \left(\frac{L}{3}\right) \quad ; \quad R_A = \frac{q_0 L}{6}$$

$$R_B = \frac{q_0 L}{2} - \frac{q_0 L}{6} = \frac{q_0 L}{3}$$

تعادل در امتداد قائم:

۵۵۲

$$M = \begin{cases} \frac{M_0}{L}x & 0 \leq x < a \\ \frac{M_0}{L}x - M_0 = M_0\left(\frac{x}{L} - 1\right) & a < x \leq L \end{cases}$$

معادله منحنی تغییر مکان را در قسمت های CB و AC به ترتیب  $v_1$  و  $v_2$  می سازیم.

$$\begin{cases} EIv'_1 = -\frac{M_0}{L}x & 0 \leq x < a \\ EIv'_2 = \frac{M_0}{L}(L-x) & a < x \leq L \end{cases}$$

از معادلات فوق دو بار استگرال می گیریم.

$$\begin{cases} EIv_1' = -\frac{M_0}{2L}x^2 + c_1 & 0 \leq x \leq a \\ EIv_2' = \frac{M_0}{L}\left(Lx - \frac{1}{2}x^2\right) + c_2 & a \leq x \leq L \end{cases}$$

$$\begin{cases} EIv_1 = -\frac{M_0}{6L}x^3 + c_1x + c_3 & 0 \leq x \leq a \\ EIv_2 = \frac{M_0}{L}\left(\frac{1}{2}Lx^2 - \frac{1}{6}x^3\right) + c_2x + c_4 & a \leq x \leq L \end{cases}$$

$$v_1(0) = 0 \quad (1) ; \quad v_2(L) = 0 \quad (2)$$

$$v_1(a) = v_2(a) \quad (3) ; \quad v'_1(a) = v'_2(a) \quad (4)$$

$$(1) \Rightarrow c_3 = 0$$

$$(4) \Rightarrow -\frac{M_0}{2L}a^2 + c_1 = \frac{M_0}{L}\left(La - \frac{1}{2}a^2\right) + c_2$$

$$c_1 = c_2 + M_0a \quad (5)$$

$$(2) \Rightarrow \frac{M_0}{L}\left(\frac{1}{2}L^3 - \frac{1}{6}L^3\right) + c_2L + c_4 = 0$$

$$c_4 = -c_2L - \frac{1}{3}M_0L^2 \quad (6)$$

شرط‌حدی:

۵۵۳

$$v(0) = 0 \quad (3) ; \quad v(L) = 0 \quad (4)$$

$$v'(0) = 0 \quad (5) ; \quad v'(L) = 0 \quad (6)$$

$$(3) \Rightarrow c_4 = 0$$

$$(5) \Rightarrow c_2 = 0$$

$$(6) \Rightarrow \frac{q_0L^2}{6} + c_1L = 0 ; \quad c_1 = -\frac{q_0L}{6}$$

$$(4) \Rightarrow \frac{q_0L^4}{120} - \frac{q_0L^4}{36} + c_3L = 0 ; \quad c_3 = \frac{7}{360}q_0L^3$$

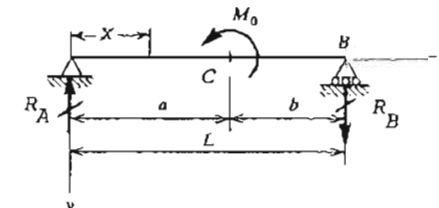
شرط‌حدی:

با جایگزینی مقادیر ثابت در معادله منحنی تغییر مکان خواهیم داشت

$$v = \frac{q_0x}{360EI} (3x^4 - 10L^2x^2 + 7L^4)$$

مسئله ۱۰-۲

معادله منحنی تغییر مکان تیر ساده‌ای را که تحت اثر یک لنگر مرکزی  $M_0$  می باشد (شکل ۱۰-۲۴) تعیین کنید.

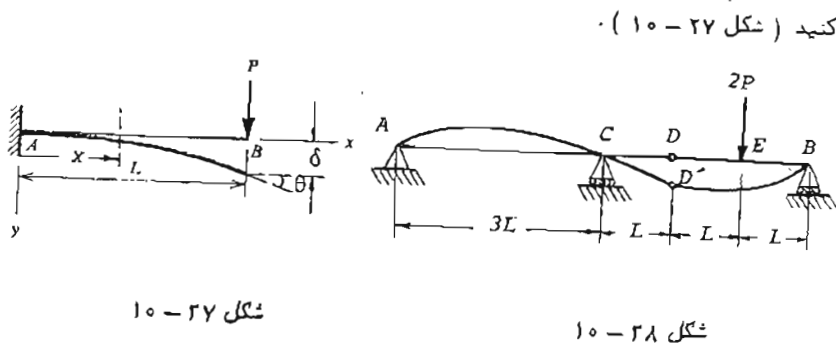


شکل ۱۰-۲۴

حل: از معادله مرتبه دوم استفاده می کیم. قبلاً پاید واکنش‌هارا تعیین کیم.

$$R_A = R_B = \frac{M_0}{L}$$

۵۵۵



حل : از معادله دیفرانسیل مرتبه دوم برای تعیین منحنی تغییر مکان استفاده

$$EIv'' = -M \quad \text{می‌کیم}$$

$$M = -P(L-x)$$

$$EIv'' = P(L-x)$$

$$EIv' = P(Lx - \frac{1}{2}x^2) + c_1$$

$$EIv = P(\frac{L}{2}x^2 - \frac{1}{6}x^3) + c_1x + c_2$$

$$v(0) = 0 \quad (1) \quad ; \quad v'(0) = 0 \quad (2)$$

شرط‌حدی :

$$(1) \Rightarrow c_2 = 0$$

$$(2) \Rightarrow c_1 = 0$$

$$v = \frac{Px^2}{6EI} (3L - x)$$

$$\delta = v(L) = \frac{PL^3}{3EI}$$

$$\theta = v'(L) = \frac{P}{EI} (L^2 - \frac{1}{2}L^2) = \frac{PL^2}{2EI}$$

۵۵۶

$$(3) \Rightarrow -\frac{M_0}{6L}a^3 + c_1a = \frac{M_0}{L}(\frac{1}{2}La^2 - \frac{1}{6}a^3) + c_2a + c_4$$

$$c_1a = \frac{1}{2}M_0a^2 + c_2a + c_4 \quad (7)$$

از حل روابط ۵ تا ۷ نتیجه می‌شود

$$c_1 = -\frac{M_0}{6L}(3a^2 + 2L^2 - 6La)$$

$$c_2 = -\frac{M_0}{6L}(3a^2 + 2L^2)$$

$$c_4 = \frac{M_0a^2}{2}$$

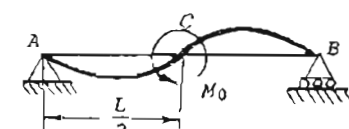
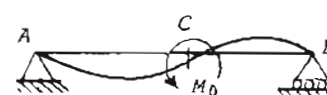
$$EIv_1 = \frac{M_0x}{6L}(6aL - 3a^2 - 2L^2 - x^2) \quad 0 \leq x \leq a$$

$$EIv_2 = \frac{M_0}{L}[\frac{1}{2}Lx^2 - \frac{1}{6}x^3 - \frac{3a^2 + 2L^2}{6}x + \frac{a^2L}{2}] \quad a \leq x \leq L$$

منحنی تغییر مکان نیر در شکل ۱۰ - ۲۵ رسم شده است. در حالت کلی تغییر مکان نقطه C ( زیر لگر  $M_0$  ) مخالف صفر می‌باشد. وقتی که لنگر  $M_0$  درست در وسط دهانه تیر واقع می‌شود ( نقطه C تغییر مکان سخواهد داشت ( شکل ۱۰ - ۲۶ ) ) .

مسئله ۳

معادله منحنی تغییر مکان یک نیر طره‌ای را که در انتهای آزادش تحت بار P می‌باشد بدست آورید. تغییر مکان  $\delta$  و زاویه دوران  $\theta$  انتهای آزاد آن را نیز محاسبه



شکل ۱۰ - ۲۵

شکل ۱۰ - ۲۶

۵۵۷

انتخاب می‌کیم (شکل ۱۰-۲۹c)

$$EIv_2'' = -M = P(L-x)$$

$$EIv_2' = P\left(Lx - \frac{1}{2}x^2\right) + C_3$$

$$EIv_2 = P\left(\frac{L}{2}x^2 - \frac{1}{6}x^3\right) + C_3x + C_4$$

$$v_2(0) = 0 \quad (3) \quad ; \quad v_2'(0) = \theta_C = \frac{PL^2}{EI} \quad (4)$$

شرایط حدی :

$$(3) \Rightarrow C_4 = 0$$

$$(4) \Rightarrow \frac{C_3}{EI} = \frac{PL^2}{EI} : C_3 = PL^2$$

$$v_2 = \frac{Px(6L^2 + 3Lx - x^2)}{6EI}$$

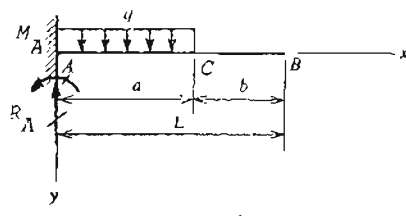
$$\delta_D = DD' = v_2(L) = \frac{PL(6L^2 + 3L^2 - L^2)}{6EI} = \frac{4PL^3}{3EI}$$

مسئله ۱۰-۵

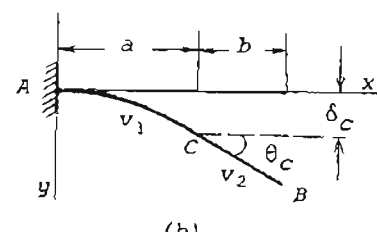
معادلات منحنی تغییر مکان تیر طرماهی با بارگذاری شکل a-۳-۱۰ را بدست آورید.

حل : ابتدا واکنشهای  $R_A$  و  $M_A$  را حساب می‌کنیم.

$$R_A = qa \quad ; \quad M_A = \frac{1}{2}qa^2$$



(a)



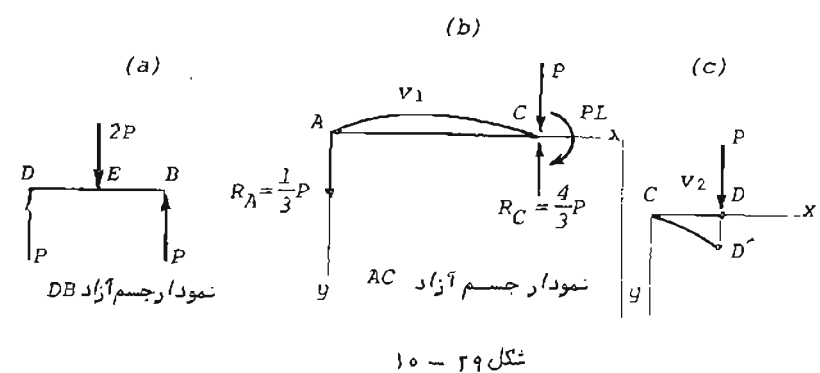
(b)

شکل ۱۰-۳۰

۵۵۶

تغییر مکان قائم مفصل D را در شکل ۲۸-۱۰ تعیین کنید.

مسئله ۱۰-۴



شکل ۱۰-۲۹

حل : تغییر مکان قسمت AC تیر را  $v_1$  می‌نامیم (شکل ۱۰-۲۹ b)

$$EIv_1'' = -M = -\left(-\frac{P}{3}x\right) = \frac{P}{3}x$$

$$EIv_1' = \frac{P}{6}x^2 + C_1$$

$$EIv_1 = \frac{P}{18}x^3 + C_1x + C_2$$

$$v_1(0) = 0 \quad (1) \quad ; \quad v_1(3L) = 0 \quad (2)$$

$$(1) \Rightarrow C_2 = 0$$

$$(2) \Rightarrow \frac{P}{18}(3L)^3 + C_1(3L) = 0 \quad : \quad C_1 = -\frac{PL^2}{2}$$

$$v_1 = \frac{Px(x^2 - 9L^2)}{18EI}$$

شرط حدی :

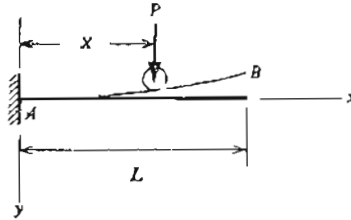
$$\theta_C = v_1'(3L) = \frac{PL^2}{EI}$$

تغییر مکان قسمت CD نیر را  $v_2$  می‌نامیم. مبدأ محورهای مختصات را برای نقطه C

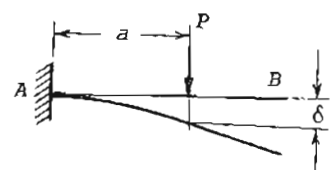
زاویه دوران در نقطه C :

۵۵۹

بار  $P$  در امتداد آن حرکت کند همچنانه در یک سطح باقی بماند.



شکل ۱۰-۳۱



شکل ۱۰-۳۲

حل : ابتدا میله مستقیمی را تحت اثر یک بار متغیر  $P$  در فاصله  $a$  از آن د نظر می‌گیریم و تغییر مکان  $\delta$  در زیر بار  $P$  را محاسبه می‌کنیم ( شکل ۱۰-۳۲ ) .

$$EIv'' = -M = P(a-x) \quad 0 \leq x \leq a$$

$$EIv' = P(ax - \frac{1}{2}x^2) + c_1$$

$$EIv = P(\frac{1}{2}ax^2 - \frac{1}{6}x^3) + c_1x + c_2$$

$$v(0) = 0 \quad (1) \quad ; \quad v'(0) = 0 \quad (2)$$

شرط حدی :

$$(1) \Rightarrow c_2 = 0$$

$$(2) \Rightarrow c_1 = 0$$

$$EIv = \frac{Px^2(3a-x)}{6}$$

$$\delta = v(x=a) = \frac{Pa^2(3a-a)}{6EI} = \frac{Pa^3}{3EI}$$

با مقایسه این حالت با حالتی که میله دارای انحنای اولیه می‌باشد نتیجه می‌گیریم برای اینکه بار متغیر  $P$  همچنانه در یک سطح باقی بماند معادله محور آن باید به صورت زیر باشد :

۵۵۸

از معادله دیفرانسیل مرتبه دوم برای تعیین معادله تغییر مکان قسمت AC استفاده می‌کنیم ،

$$EIv_1'' = -M = -(-M_A + R_Ax - \frac{1}{2}qx^2) \quad 0 \leq x \leq a$$

$$EIv_1' = M_A - R_Ax + \frac{1}{2}qx^2 = \frac{1}{2}qa^2 - qax + \frac{1}{2}qx^2 \quad 0 \leq x \leq a$$

از این معادله دوبار انتگرال می‌گیریم ،

$$EIv_1 = \frac{1}{2}qa^2x - \frac{1}{2}qax^2 + \frac{1}{6}qx^3 + c_1 \quad 0 \leq x \leq a$$

$$EIv_1 = \frac{1}{4}qa^2x^2 - \frac{1}{6}qax^3 + \frac{1}{24}qx^4 + c_1x + c_2 \quad 0 \leq x \leq a$$

شرط حدی :

$$v_1(0) = 0 \quad (1) \quad ; \quad v_1'(0) = 0 \quad (2)$$

$$(1) \Rightarrow c_2 = 0$$

$$(2) \Rightarrow c_1 = 0$$

$$v_1 = \frac{qx^2}{24EI} (6a^2 - 4ax + x^2) \quad 0 \leq x \leq a$$

چون بر قسم CB از تبر باری وارد نمی‌شود این قسمت تغییر شکل نمی‌دهد و مستقیم باقی می‌ماند بطوریکه CB در نقطه C بر AB متسا باند . معادله CB با توجه به شکل ۱۰-۳۰b صورت زیر می‌باشد :

$$v_2 = \tan\theta_C (x-a) + \delta_C \quad a \leq x \leq L$$

$$\tan\theta_C = v_1'(a) = \frac{1}{EI} (\frac{1}{2}qa^3 - \frac{1}{2}qa^3 + \frac{1}{6}qa^3) = \frac{qa^3}{6EI}$$

$$\delta_C = v_1(a) = \frac{qa^4}{EI} (\frac{1}{4} - \frac{1}{6} + \frac{1}{24}) = \frac{qa^4}{8EI}$$

$$v_2 = \frac{qa^3}{24EI} (4x - a) \quad a \leq x \leq L$$

مسئله ۱۰-۶

تعیین کنید معادله محور یک میله منحنی را ( مطابق شکل ۱۰-۳۱ ) بطوریکه اگر

۵۶۰

$$EIv = -\frac{qL}{72}x^3 + c_1x + c_2$$

$$v(0) = 0 \quad (1) \quad ; \quad v(L) = 0 \quad (2)$$

$$(1) \Rightarrow c_2 = 0$$

$$(2) \Rightarrow -\frac{qL^4}{72} + c_1 L = 0 \quad : \quad c_1 = \frac{qL^3}{72}$$

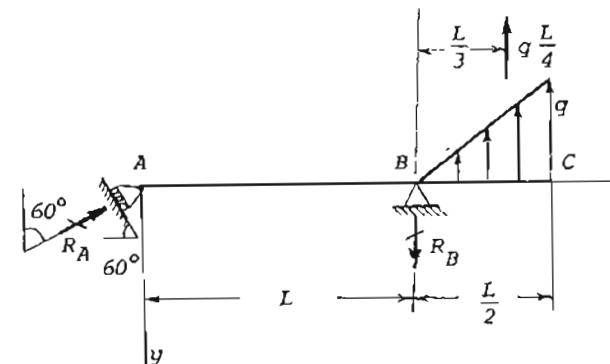
$$EIv = \frac{qLx}{72} (L^2 - x^2) \quad (3)$$

شرایط حدی :

$$y = -\frac{Px^3}{3EI}$$

مسئله ۱۰-۷

منحنی تغییر مکان قسمت AB تبر ABC را که در نقطه A روی تکه گاه غلطکی مایل قرار دارد و در قسمت BC تحت بارگذاری مثلثی می‌باشد (شکل ۳۳-۱۰) با استفاده از معادله دیفرانسیل تغییر مکان تعریف کنید. ماکریم تغییر مکان در دهانه AB در کجا و مقداری چقدر است؟



شکل ۳۳-۱۰

حل: ابتدا واکنش‌های  $R_A$  و  $R_B$  را تعیین می‌کنیم.

$$v' = \frac{qL}{72EI} (L^2 - 3x^2) = 0 \quad : \quad x = \frac{L}{\sqrt{3}}$$

با جایگزینی  $x = \frac{L}{\sqrt{3}}$  در معادله ۳ تغییر مکان ماکریم بدست می‌آید.

$$v_{\max} = \frac{qL^4}{108\sqrt{3} EI}$$

طریقه دیگر حل این مسئله استفاده از معادله دیفرانسیل مرتبه چهارم می‌باشد.

$$EI \frac{d^4 v}{dx^4} = -q = 0$$

از معادله فوق چهار بار انتگرال می‌گیریم.

$$EI \frac{d^3 v}{dx^3} = c_1$$

$$EIv'' = c_1x + c_2$$

$$EIv' = \frac{1}{2}c_1x^2 + c_2x + c_3$$

$$EIv = \frac{1}{6}c_1x^3 + \frac{1}{2}c_2x^2 + c_3x + c_4$$

$$v(0) = v(L) = 0$$

$$v''(0) = 0$$

$$EIv''(L) = -M_B = -\left(\frac{qL}{4}\right)\left(\frac{L}{3}\right)$$

شرایط حدی :

$$\sum M_A = 0 \Rightarrow LR_B = \frac{qL}{4}(L + \frac{L}{3}) : \quad R_B = \frac{qL}{3}$$

$$\sum F_y = 0 \Rightarrow R_A \cos 60^\circ - R_B + \frac{qL}{4} = 0 : \quad R_A = \frac{qL}{6}$$

$$EIv'' = -M = -R_A \cos 60^\circ x = -\frac{qL}{12}x \quad 0 \leq x \leq L$$

$$EIv' = -\frac{qL}{24}x^2 + c_1$$

۵۶۲

با استفاده از جداول پیوست ۳ کتاب داریم :

$$\delta_1 = \frac{PL^3}{3EI} \downarrow \quad ; \quad \delta_2 = \frac{PaL^2}{2EI} \uparrow$$

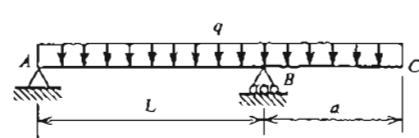
بنابراین

$$\delta = \frac{PL^3}{3EI} - \frac{PaL^2}{2EI}$$

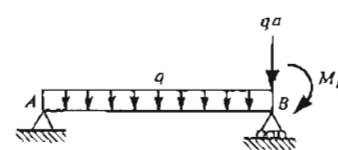
از مساوی صفر قرار دادن  $\delta$  (تفییر مکان قائم نقطه B) نتیجه می‌شود :

مسئله ۹

تیر ABC شکل ۱۰-۲۸ دارای پیش‌آمدگی BC می‌باشد. تغییر مکان δ انتهای T زاد پیش‌آمدگی را تعیین کند.



شکل ۱۰-۳۸



شکل ۱۰-۳۹

حل : تغییر مکان نقطه C شامل دو قسم می‌باشد : تغییر مکان  $\delta_1$  ناشی از دوران محور تیر در نقطه کاه B و تغییر مکان  $\delta_2$  ناشی از خمش قسم طرهای عمل کند. برای بدست آوردن  $\delta_1$  مشاهده می‌کنیم که قسم AB تیر شرایط پیک تیر ساده تحت بار کسترده پکنواخت  $q$  و لنگر خمشی  $M_B$  (برابر با  $qa^2/2$ ) و نیروی قائم  $qa$  موئر در انتهای راست تیر را دارد (شکل ۱۰-۲۹). زاویه دوران  $\theta_B$  با استفاده از پیوست ۳ کتاب برابر است با

$$\theta_B = \frac{qL^3}{24EI} - \frac{M_B L}{3EI} = \frac{qL(L^2 - 4a^2)}{24EI}$$

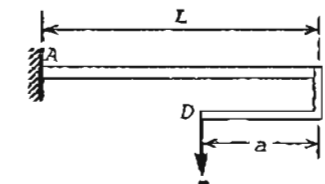
تفییر مکان δ نقطه C ناشی از دوران در B برابر  $a\theta_B$  یا

۵۶۲

با استفاده از چهار شرط حدی فوق چهار ثابت انتگرال کیری و از آنجا معادله منحنی تغییر مکان (معادله ۳) بدست می‌آید :

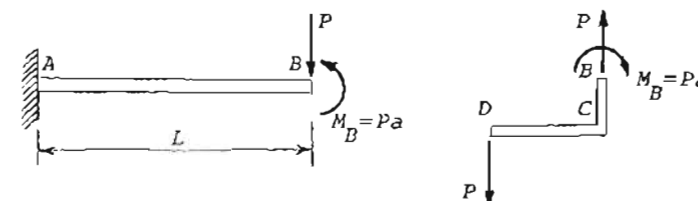
مسئله ۱۰-۸

برای سازه ABCD تحت بارگذاری نشان داده شده در شکل ۱۰-۳۴ انسنت  $\frac{a}{L}$  را طوری بیابید که تغییر مکان قائم نقطه B برابر صفر شود.



شکل ۱۰-۳۴

حل : در حل این مسئله از اصول اجتماع اثرقوا و جداول پیوست ۳ کتاب استفاده می‌کنیم.



شکل ۱۰-۳۵

شکل ۱۰-۳۶

تیر AB تحت بارگذاری مزبور را به حالت‌های ساده تجزیه می‌کیم (شکل ۱۰-۳۷).



شکل ۱۰-۳۷

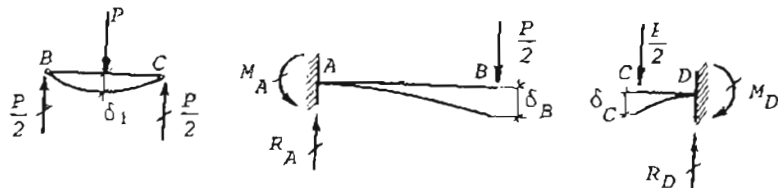
۵۶۵

مسئله ۱۰-۱۰

تیر شکل ۴۱-۱۰ دارای تکیه گاههای گیردار در A و D است و از سه عضو تشکیل شده که در B و C به یکدیگر مفصل شده‌اند. تغییر مکان در زیر بار P را حساب کنید. از اصل اجتماع اثر قوا و جداول بیوست ۳ کتاب استفاده نمایید.

حل : اگر تغییر مکان نقاط B و C را به ترتیب  $\delta_B$  و  $\delta_C$  بنامیم و  $\delta_1$  تغییر مکان شان داده شده در روی شکل ۴۱-۱۰ باشد تغییر مکان در زیر بار P برابر خواهد بود با

$$\delta = \delta_1 + \frac{\delta_B + \delta_C}{2}$$



نمودار جسم آزاد BC

نمودار جسم آزاد CD

نمودار جسم آزاد ABC

تغییر مکانهای  $\delta_B$ ،  $\delta_C$  و  $\delta_1$  را استفاده از جداول بیوست ۳ کتاب محاسبه نمایند.

$$\delta_B = \frac{P(3L)^3}{2(3EI)} = \frac{9PL^3}{2EI}$$

$$\delta_C = \frac{PL^3}{6EI}$$

$$\delta_1 = \frac{P(2L)^3}{48EI} = \frac{PL^3}{6EI}$$

بنابراین تغییر مکان در زیر بار P برابر است با

$$\delta = \delta_1 + \frac{\delta_B + \delta_C}{2} = \frac{PL^3}{EI} \left( \frac{1}{6} + \frac{9}{4} + \frac{1}{12} \right) = 2.5 \frac{PL^3}{EI}$$

مسئله ۱۰-۱۱

۵۶۶

$$\delta_1 = \frac{qaL(L^2 - 4a^2)}{24EI}$$

می‌باشد. این تغییر مکان وقتی مثبت است که به طرف بالا باشد زیرا  $\theta_B$  در جهت خلاف عقرمه‌های ساعت مثبت فرض شده است.

خمش قسمت پیش‌آمده در نقطه C تغییر مکان  $\delta_2$  را به طرف پائین ایجاد می‌کند. این تغییر مکان همان تغییر مکان یک تیر طره‌ای به طول a تحت بار بکنوخت q می‌باشد که با استفاده از بیوست ۳ کتاب مساوی است با

$$\delta_2 = \frac{qa^4}{8EI}$$

تغییر مکان کل نقطه C با مرتب اینکه به طرف پائین مثبت باشد برابر است با

$$\delta_C = \delta_2 - \delta_1 = \frac{qa}{24EI} (3a^3 + 4a^2L - L^3)$$

از این معادله مشاهده می‌شود موقعی که a نسبت به L کوچک است تغییر مکان C منفی می‌شود و نقطه C به طرف بالا تغییر مکان می‌پابد.

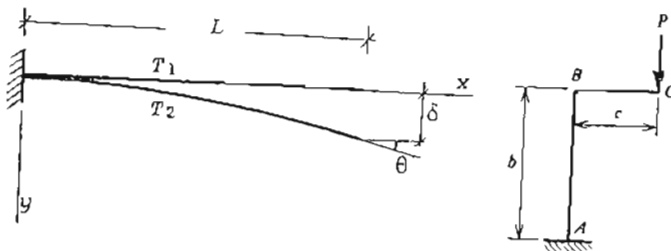
مححنی تغییر مکان تیر ABC برای حالتی که a به اندازه کافی بزرگ بوده (تفقیباً  $a > 0.43L$ ) تا تغییر مکان نقطه C به طرف پائین باشد و همچنین به اندازه کافی کوچک بوده تا واکنش تکیه کاه A به طرف بالا باشد ( $a < L$ ) در شکل ۱۰-۴۵-۱۰ شown شده است. تحت چنین شرایطی لنگر خمی ارنقطه A ناقطبای مانند D مثبت و درنتیجه منحنی تغییر مکان به طرف پائین محدب می‌باشد. از C تا D لنگر خمی منعی است و منحنی تغییر مکان به طرف بالا محدب می‌باشد. نقطه D که انحنای محور تیر در آنجا صفر است (چون لنگر خمی در آنجا صفر است) به نقطه تغییر اینجا، یا نقطه عطف موسم می‌باشد. انحنای منحنی تغییر مکان در مجاورت نقطه عطف تغییر علامت می‌دهد..



شکل ۱۰-۴۵

شکل ۱۰-۴۱

۵۶۲



شکل ۱۰-۴۲

شکل ۱۰-۴۳

$$\frac{dv}{dx} = -\frac{\alpha(T_2 - T_1)}{h}x + c_1$$

$$v = -\frac{\alpha(T_2 - T_1)}{2h}x^2 + c_1x + c_2$$

$$v(0) = 0 \quad (1) \quad ; \quad v'(0) = 0 \quad (2)$$

$$(1) \Rightarrow c_2 = 0$$

$$(2) \Rightarrow c_1 = 0$$

$$v = -\frac{\alpha(T_2 - T_1)}{2h}x^2$$

$$\delta = v(L) = -\frac{\alpha(T_2 - T_1)L^2}{2h}$$

$$\theta = v'(L) = \frac{\alpha(T_1 - T_2)L}{h}$$

هر گاه  $T_1 > T_2$  باشد،  $\delta$  و  $\theta$  مثبت و در غیر این صورت منفی خواهند بود.

مسئله ۱۰-۱۳

۵۶۶

تیر ساده‌ای به طول و ارتفاع مقطع  $h$  (شکل ۱۰-۱۲) دارای درجه حرارت  $T_1$  در سطح بالا و درجه حرارت  $T_2$  در سطح پائین آن می‌باشد. معادله منحنی تغییر مکان تیر مذبور را بیابید.

حل: معادله دیفرانسیل منحنی تغییر مکان نیز عبارتست از (معادله ۱۰-۵۳)

$$\frac{d^2v}{dx^2} = -\frac{\alpha(T_2 - T_1)}{h}$$

با توجه به اینکه  $T_1$  و  $T_2$  ثابت می‌باشند از این رابطه دو بار انتگرال می‌گیریم.

$$\frac{dv}{dx} = -\frac{\alpha(T_2 - T_1)}{h}x + c_1$$

$$v = -\frac{\alpha(T_2 - T_1)}{2h}x^2 + c_1x + c_2 \quad (1)$$

$$v(0) = 0 \quad (2) \quad ; \quad v(L) = 0 \quad (3)$$

$$(2) \Rightarrow c_2 = 0$$

$$(3) \Rightarrow -\frac{\alpha(T_2 - T_1)}{2h}L^2 + c_1L = 0 : c_1 = \frac{\alpha(T_2 - T_1)L}{2h}$$

پس از جایگزینی مقادیر ثابت  $c_1$  و  $c_2$  در معادله ۱ حاصل می‌شود

$$v = \frac{\alpha(T_2 - T_1)}{2h}x(L-x)$$

مسئله ۱۰-۱۲

تیر طره‌ای به طول  $L$  و ارتفاع مقطع  $h$  دارای درجه حرارت  $T_1$  در سطح بالا و درجه حرارت  $T_2$  در سطح پائین آن می‌باشد (شکل ۱۰-۴۲). تغییر مکان  $\delta$  وزاویه دوران  $\theta$  در انتهای آزاد تیر را در اثر این اختلاف درجه حرارت پیدا کنید.

حل: معادله دیفرانسیل منحنی تغییر مکان تغییر مکان تیر عبارتست از (معادله ۱۰-۵۳)

$$\frac{d^2v}{dx^2} = -\frac{\alpha(T_2 - T_1)}{h}$$

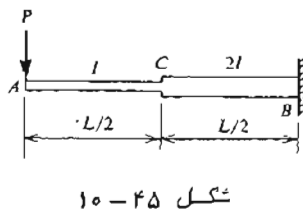
با توجه به اینکه  $T_1$  و  $T_2$  ثابت می‌باشند از رابطه فوق دو بار انتگرال می‌گیریم.

۵۶۹

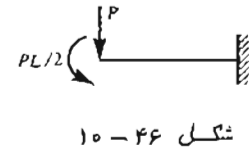
$$\delta_V = \frac{Pc^2(c+3b)}{3EI}$$

مسئله ۱۰-۱۴

تغییر مکان انتهای آزاد تیر طرهای غیر مشوری شکل ۱۰-۴۵ را بدست آوردید.  
گشتاور لختی قسم AC برابر I و گشتاور لحنی قسم CB برابر 2I است.



شکل ۱۰-۴۵



شکل ۱۰-۴۶

حل : اگر فرض کنیم نقطه میانی C تیر بطور صلب نگهداشته شده به طوریکه تغییر مکان ندهد و دوران سکند ، در این صورت تغییر مکان انتهای آزاد تیر همان تغییر مکان انتهای آزاد یک تیر طرهای به طول  $L/2$  و گشتاور لختی I خواهد بود .

$$\delta_1 = \frac{P(L/2)^3}{3EI} = \frac{PL^3}{24EI}$$

۱.۱ قسم CB تیر نیز مانند یک تیر طرهای عمل می کند ( شکل ۱۰-۴۶ ) و در تغییر مکان نقطه A سهی دارد . تغییر مکان  $\theta$  و زاویه دوران  $\theta$  انتهای آزاد این تیر طرهای عبارتند از

$$\delta = \frac{P(L/2)^3}{3(2EI)} + \frac{(PL/2)(L/2)^2}{2(2EI)} = \frac{5PL^3}{96EI}$$

$$\theta_C = \frac{P(L/2)^2}{2(2EI)} + \frac{(PL/2)(L/2)}{2EI} = \frac{3PL^2}{16EI}$$

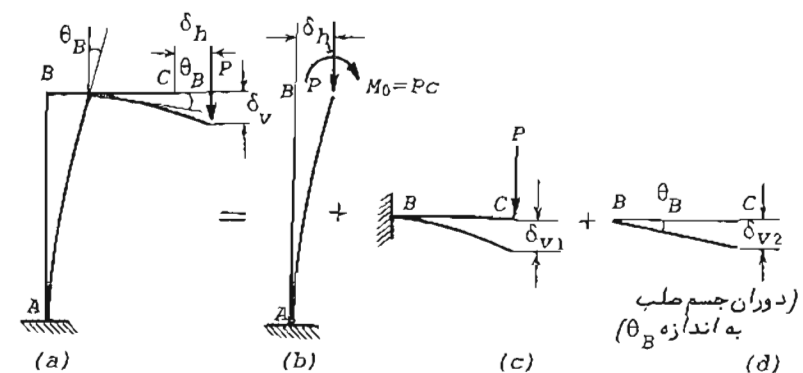
تغییر مکان  $\delta$  و زاویه دوران  $\theta$  بر تغییر مکان انتهای آزاد تیر به اندازه  $\delta_2$  میافزاید .

$$\delta_2 = \delta_C + \theta_C \left(\frac{L}{2}\right) = \frac{7PL^3}{48EI}$$

۵۶۸

مولفه های افقی و قائم تغییر مکان انتهای C قاب ABC شکل ۱۰-۴۳ - ارباگرفرض ایکه صلبیت خمشی ( EI ) آن در سراسر طول ABC بکان باشد تعیین کنید . از این تغییر تکل های محوری صرف نظر کنید و فقط تغییر شکل ناشی از خمش را در نظر بگیرید .

حل : قاب مجبور را به حالت های ساده تر تجزیه و از اصل اجتماع اثرو واستفاده می کنیم ( شکل ۱۰-۴۶ ) . با توجه به شکل ۱۰-۴۶ و استفاده از جداول



شکل ۱۰-۴۶

پیوست ۳ کتاب  $\delta_h$  مولفه افقی تغییر مکان انتهای C و  $\delta_V$  مولفه قائم تغییر مکان انتهای C به صورت زیر محاسبه می شوند :

$$\delta_h = \delta_{h1} = \frac{Pcb^2}{2EI} \quad : 10-44 b$$

$$\delta_{v1} = \frac{Pc^3}{3EI} \quad : 10-44 c$$

$$\theta_B = \frac{Pcl}{EI} \quad : 10-44 b$$

$$\delta_{v2} = c\theta_B = \frac{Pc^2b}{EI} \quad : 10-44 d$$

۵۷۱

از شرط حدی  $0 = \frac{dv}{dx}$  در  $x=L$  ثابت انتگرال کیری  $C_1$  محاسبه می شود :  
 پس از جایگزینی این مقدار  $C_1$  در معادله فوق و انتگرال کیری مجدد

$$v = -\frac{12PL}{2Ebh^3}x^2 + \frac{12PL^2}{Ebh^3}x + C_2$$

خواهیم داشت :

از شرط حدی  $0 = v$  در  $x=0$  نتیجه می شود :  $C_2 = -6PL^3/Ebh^3$ . بنابراین معادله

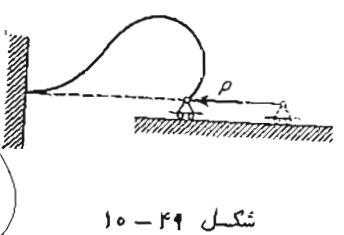
منحنی تغییر مکان تیر به صورت زیر نوشته می شود :  
 $v = -\frac{6PL}{Ebh^3}x^2 + \frac{12PL^2}{Ebh^3}x - \frac{6PL^3}{Ebh^3}$

تغییر مکان انتهای آزاد تیر برابر است با

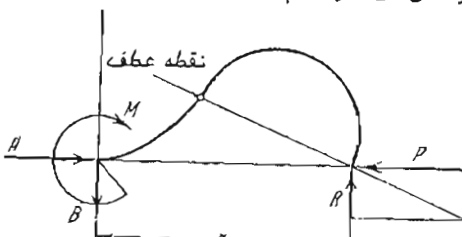
$$\delta = v(x=0) = -\frac{6PL^3}{Ebh^3}$$

مسئله ۱۰-۱۶

شکل منحنی ارجاعی یک میله باریک که به شدت خم شده است (شکل ۱۰-۴۹)  
 و همچنین بزرگی نیروی  $P$  با تجربه تعیین شده اند. ساده ترین راه برای پیدا کردن  
 واکنش های تیر کدام است ؟



شکل ۱۰-۴۹



شکل ۱۰-۵۰

حل : برآیند نیروی  $P$  و واکنش تکیه کاه راست باید از نقطه عطف منحنی ارجاعی عبور کند (شکل ۱۰-۵۰). با معلوم بودن  $P$  واکنش  $R$  از شرط مذکور به دست می آید. واکنش های دیگر از معادلات تعادل بدست می آیند .

$$A = P ; \quad B = R ; \quad M = Ra$$

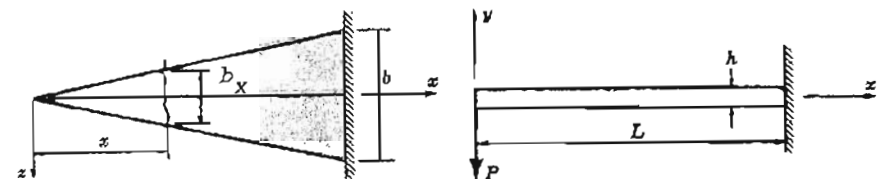
۵۷۰

بنابراین تغییر مکان کل انتهای آزاد  $A$  برابر است با

$$\delta = \delta_1 + \delta_2 = \frac{3PL^3}{16EI}$$

مسئله ۱۰-۱۵

یک تیر طرهای موقعی که از بالا به آن نگاه می شود مطابق شکل ۱۰-۴۷ به شکل مثلث می باشد. ضخامت تیر مطابق تصویر قائم آن که در شکل ۱۰-۴۸ رسم شده است نات و برابر  $h$  می باشد. تغییر مکان انتهای آزاد تیر را در انر بار متغیر  $P$  در انتهای آن محاسبه کنید.



شکل ۱۰-۴۷

شکل ۱۰-۴۸

حل : از مثلث های مشابه داریم  $b_x = bx/L$ . بنابراین گشتاور لختی مقطع عرضی در فاصله  $x$  از انتهای آزاد تیر برابر است با

$$I = \frac{1}{12} b_x h^3 = \frac{bxh^3}{12L}$$

با جایگزینی این مقدار گشتاور لختی در معادله ۱۰-۵ خواهیم داشت

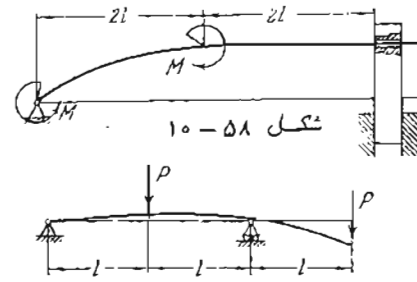
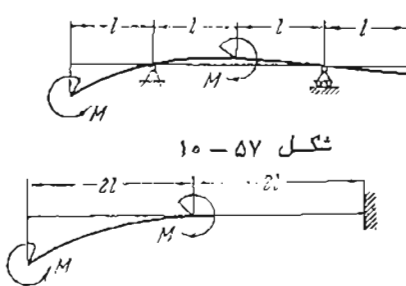
$$\frac{d^2v}{dx^2} = \frac{M}{EI} = -\frac{12PL}{Ebh^3}$$

توجه کنید چون جهت مثبت محور  $y$  به طرف بالا فرض شده است علامت منفی در معادله ۱۰-۵ به مشتب تبدیل شده است. معادله فوق پس از انتگرال کیری به صورت زیر در می آید :

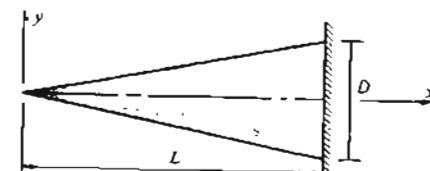
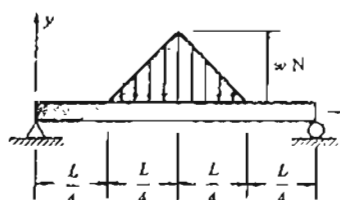
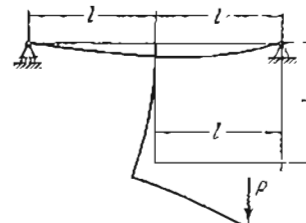
$$\frac{dv}{dx} = -\frac{12PL}{Ebh^3}x + C_1$$

۵۲۳

مسئله ۱۶-۳-۱۰-۳ معادله منحنی تغییر مکان تیر شکل ۱۰-۳-۱۰-۳ را به دست آورید.



مسئله ۱۶-۱۷-۱۰-۲-۱۰-۳ یک تیر طویای به شکل مخروط را نشان می‌دهد که طول  $L$  آن نسبت به قطر قاعده  $D$  بزرگ می‌باشد. اگر سه نیروی وارد بر

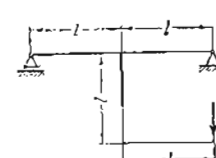
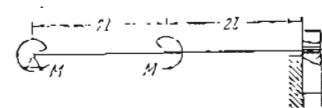
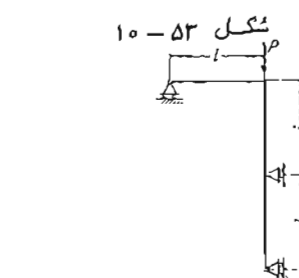
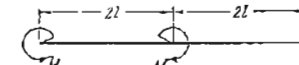
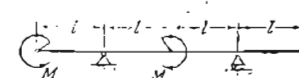


شکل ۱۰-۳-۱۶

۵۷۲

مسئله ۱۷-۱۰-۱۰-۲-۱۰-۳

منحنی‌های ارجاعی سازه‌های شکل‌های ۱۰-۵۱ تا ۱۰-۵۶ را به طور تقریبی رسم کنید.



شکل ۱۰-۵۵

حل : منحنی‌های ارجاعی سازه‌های مذبور به ترتیب در شکل‌های ۱۰-۵۷ تا ۱۰-۶۲ رسم شدند.

مسئله حل نشده ۱۰-۱۰

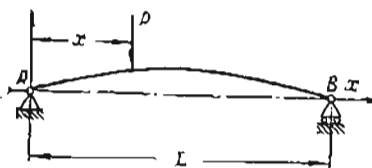
مسئله ۱۰-۳-۱۵ تا ۱۰-۳-۱۵ درستی جواب‌های داده شده در پیوست ۳

کتاب را با حل نمودن معادله دیفرانسیل منحنی ارجاعی تیر تحقیق کنید

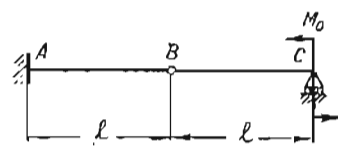
۵۷۵

قطعه D را در تیرهای شکل‌های ۱۰-۳-۲۵ تا ۱۰-۳-۲۵ بدهست آورید. صلبیت خمشی هریک از تیرها EI می‌باشد.

مسئله ۱۰-۳-۲۶ معادله تیر ساده منحنی AB را تعیین کنید به طوریکه وقتی بار P در طول تیر حرکت می‌کند نقطه اثر آن همواره در تراز تکیه‌گاه‌های A و B باقی بماند (شکل ۱۰-۳-۲۶).



شکل ۱۰-۳-۲۶



شکل ۱۰-۳-۱

مسئله ۱۰-۴-۱ تغییر مکان نقطه B تیر شکل ۱-۱ را پیدا کنید.

مسائل ۱۰-۴-۱۰ تا ۱۰-۴-۲۵ تغییر مکان C و زاویه دوران  $\theta_D$  قطعه C را در تیرهای شکل‌های ۱۰-۴-۲ تا ۱۰-۴-۲۵ بدهست آورید. صلبیت خمشی تیرها را EI فرض کنید.

مسائل ۱۰-۴-۲۶ تا ۱۰-۴-۲۹ تغییر مکان C و زواحی دوران  $\theta_{D_2}$  و  $\theta_{D_1}$  مقاطع چپ و راست مفصل D را در تیرهای شکل‌های ۱۰-۴-۲۶ تا ۱۰-۴-۲۹ بمحاسبه نمایید. صلبیت خمشی تیرها را EI فرض کنید.

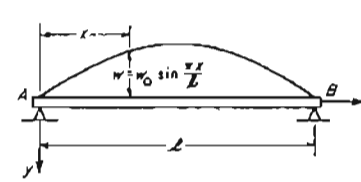
مسائل ۱۰-۴-۳۰ تا ۱۰-۴-۳۲ تغییر مکان ماکریم  $\delta_{max}$  و زاویه دوران  $\theta_{max}$  ماقبیم (بطور مطلق) را برای تیرهای شکل‌های ۱۰-۴-۳۰ تا ۱۰-۴-۲۷ نمایی کنید. منحنی ارتفاعی تیرها را نسبت به همچو رسم تقریبی رسم نمایید. صلبیت خمشی تیرها EI می‌باشد.

مسائل ۱۰-۴-۳۸ تا ۱۰-۴-۴۲ تغییر مکان‌های  $\delta_1$  و  $\delta_2$  در مقاطع C<sub>1</sub>، C<sub>2</sub> و C<sub>3</sub> تیرهای شکل‌های ۱۰-۴-۳۸ تا ۱۰-۴-۴۲ را بدهست آورید. صلبیت خمشی هریک از تیرها EI می‌باشد.

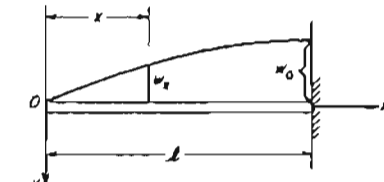
۵۷۶

تیر وزن خودش با دزن واحد حجم ۷ باشد، معادله منحنی تغییر مکان را پیدا کنید.

مسئله ۱۰-۳-۱۸ تیر ساده‌ای بارگشته‌ای با شدت  $w = w_0 \sin \frac{\pi x}{L}$  را مطابق شکل ۱۰-۳-۱۸ حمل می‌کند (  $w_0$  شدت بار در وسط دهانه می‌باشد ) . تغییر مکان ماکریم ۶ در وسط دهانه تیر را حساب کنید.



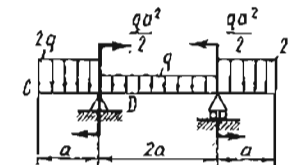
شکل ۱۰-۳-۱۸



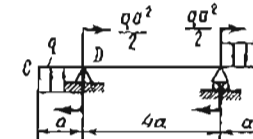
شکل ۱۰-۳-۱۹

مسئله ۱۰-۳-۱۹ تیر طرهای شکل ۱۰-۳-۱۹ بار سینوسی را حمل می‌کند (  $w_0$  شدت بار در انتهای گیردار تیر است ) . تغییر مکان انتهای آزاد تیر را حساب کنید.

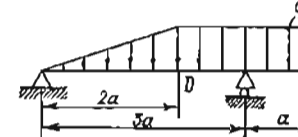
مسئله ۱۰-۳-۲۵ تا ۱۰-۳-۲۵ تغییر مکان C و زاویه دوران  $\theta_D$  قطعه C را در تیرهای شکل ۱۰-۳-۲۵ بمحاسبه نمایید.



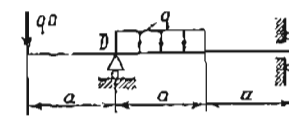
شکل ۱۰-۳-۲۵



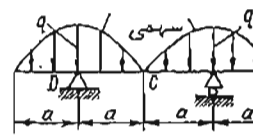
شکل ۱۰-۳-۲۱



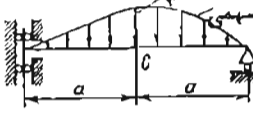
شکل ۱۰-۳-۲۲



شکل ۱۰-۳-۲۴



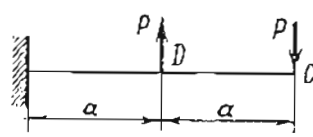
شکل ۱۰-۳-۲۳



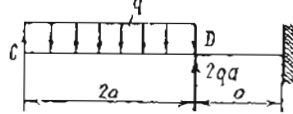
شکل ۱۰-۳-۲۵

# Bonab Civil Center ... Civilsa ... sasily.persianblog.ir

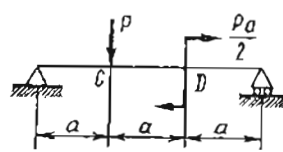
۵۷۴



۱۰-۴-۱۴ شکل



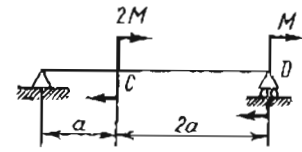
۱۰-۴-۱۶ شکل



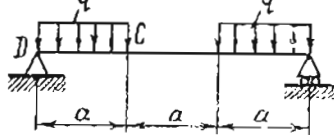
۱۰-۴-۱۵ شکل



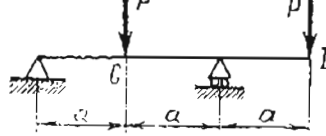
۱۰-۴-۱۷ شکل



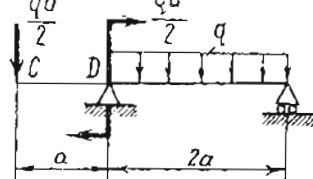
۱۰-۴-۱۸ شکل



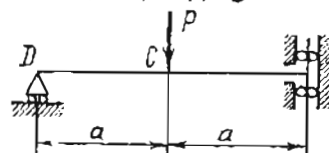
۱۰-۴-۱۹ شکل



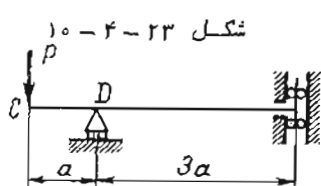
۱۰-۴-۲۱ شکل



۱۰-۴-۲۲ شکل

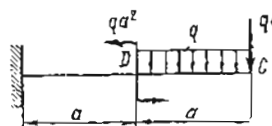


۱۰-۴-۲۴ شکل

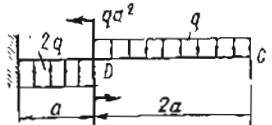


۱۰-۴-۲۵ شکل

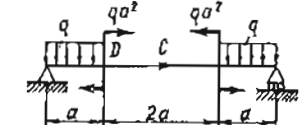
۵۷۵



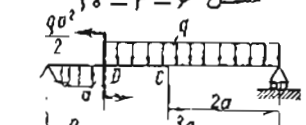
۱۰-۴-۲ شکل



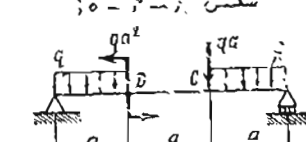
۱۰-۴-۳ شکل



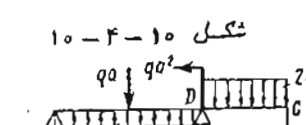
۱۰-۴-۴ شکل



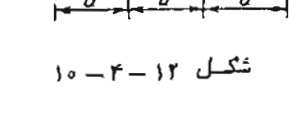
۱۰-۴-۵ شکل



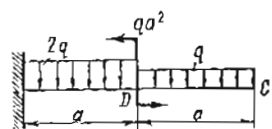
۱۰-۴-۶ شکل



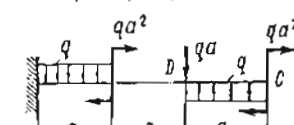
۱۰-۴-۷ شکل



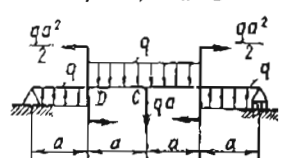
۱۰-۴-۸ شکل



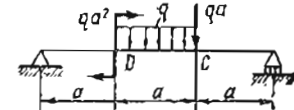
۱۰-۴-۹ شکل



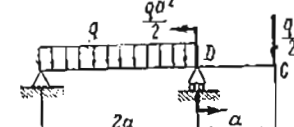
۱۰-۴-۱۰ شکل



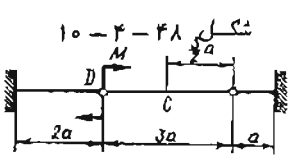
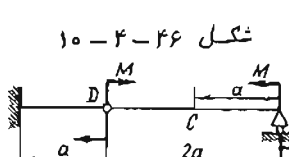
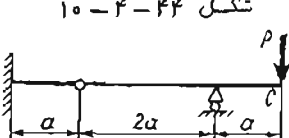
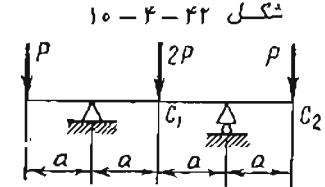
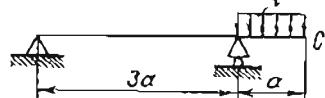
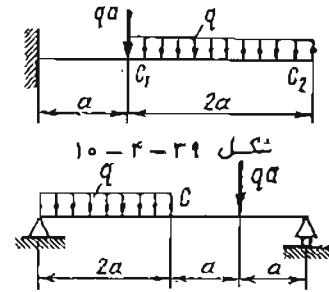
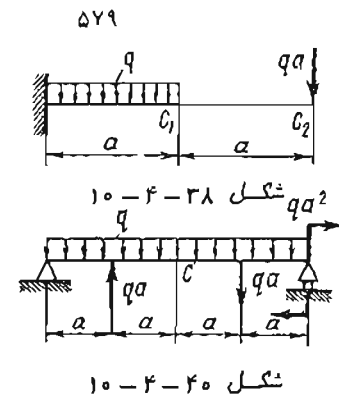
۱۰-۴-۱۱ شکل



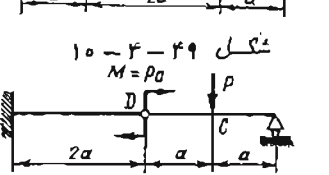
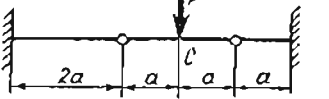
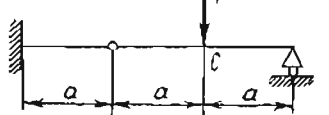
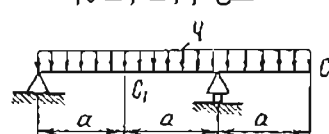
۱۰-۴-۱۲ شکل



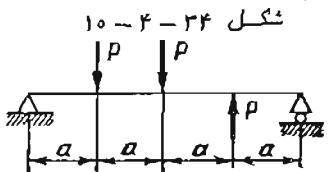
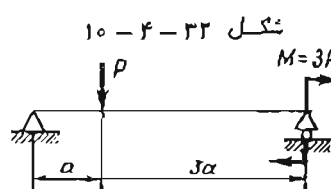
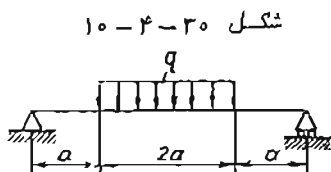
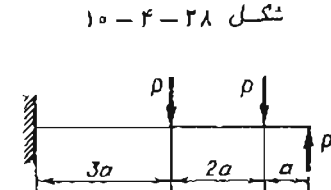
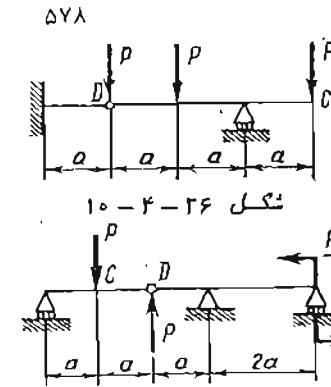
۱۰-۴-۱۳ شکل



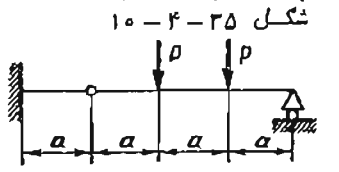
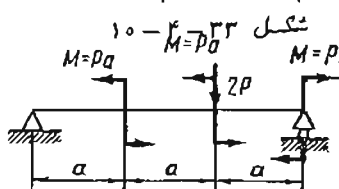
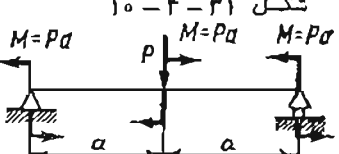
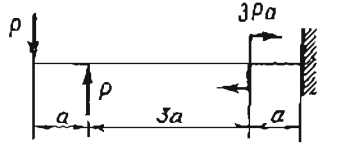
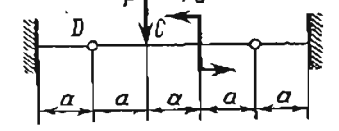
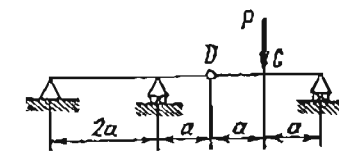
10-4-40 ج ۴۰



10-4-51 ج ۵۱



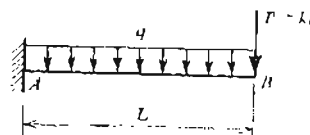
10-4-36 ج ۳۶



10-4-39 ج ۳۹

۵۸۱

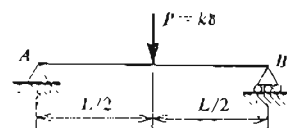
دارد بیدا کند. نت تجهیزاتی تیر پایدار می باشد؟



شکل ۱۰-۵-۱

مسئله ۱۰-۵-۲ تغییر مکان کل ۵ در وسط نیر ساده AB که بار متغیر  $P = k\delta$  را در وسط دهایش حمل می کند دست آورید. فرض کنید در وسط نیر تغییر مکان اولیه ۵ وحدت داشته باشد. سیر تحت تجهیزاتی پایدار می باشد؟ ( شکل ۱۰-۵-۲ )

مسئله ۱۰-۶-۱ تر ساده ای به طول L و ارتفاع مقطع h دارای درجه حرارت  $T_1$  در سطح بالا و درجه حرارت  $T_2$  در سطح پائین آن می باشد. درجه حرارت های  $T_1$  و  $T_2$  بواح x هستند بطوریکه  $T_{0.5} = T_0(T_2 - T_1)$  (  $T_0$  مقدار ثابتی است ) . حداقل تغییر مکان تیر را حساب کنید.

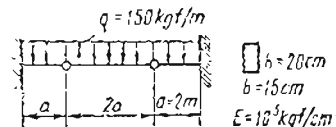


شکل ۱۰-۵-۲

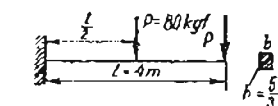
۵۸۰

مسئله ۱۰-۴-۴۸ تا ۱۰-۴-۵۱ نسبت تعییر مکان های مقاطع C تبرهای شکل های ۱۰-۴-۴۸ تا ۱۰-۴-۵۱ را سنه به اینکه نقطه انحراف M سمت چپ مفصل و یا سمت راست آن باشد حساب کنید.

مسئله ۱۰-۴-۵۲ تغییر مکان ماکریم ( بطرور مطلق ) تیر شکل ۱۰-۴-۵۲ را دست آورید .



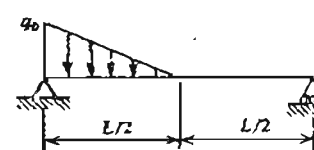
شکل ۱۰-۴-۵۲



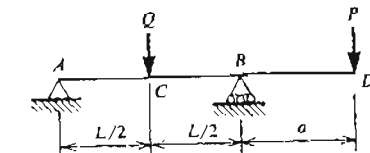
شکل ۱۰-۴-۵۳

مسئله ۱۰-۴-۵۳ ابعاد تیر طرهای مستطیلی شکل ۱۰-۴-۵۳ را طوری تعیین کنید که تنش عمودی در تیر از نقش محاز ۱۲۰Kg/cm<sup>2</sup> تجاوز نکد و تغییر مکان ماکریم تیر از  $\frac{1}{200}$  طول تیر بیشتر نشود . ضریب ارتفاعی ماده تیر  $10^5 \text{kg/cm}^2$  می باشد .

مسئله ۱۰-۴-۵۴ تغییر مکان ۵ در وسط تیر شکل ۱۰-۴-۵۴ را حساب کنید .



شکل ۱۰-۴-۵۴



شکل ۱۰-۴-۵۵

مسئله ۱۰-۴-۵۵ در تیر شکل ۱۰-۴-۵۵ نسبت P/Q چقدر باید باشد تا نفطه D تغییر مکانی نداشته باشد؟

مسئله ۱۰-۵-۱ تغییر مکان ۵ انتهای آزاد B تیر طرهای شکل ۱۰-۵-۱ را در تحت اثر بار یکنواخت ثابت q و بار متغیر  $P = k\delta_b$  ثابت نتاب است ) قرار

۵۸۳

$$-\frac{85}{72}; -\frac{65}{72} : 10-4-9 -2; -\frac{17}{6} : 10-4-8$$

$$\frac{1}{6}; \frac{1}{3} : 10-4-11 -\frac{5}{8}; -\frac{7}{36} : 10-4-10$$

$$-\frac{7}{9}; \frac{2}{9} : 10-4-13 -\frac{1}{3}; -\frac{1}{12} : 10-4-12$$

$$-\frac{7}{6}; -\frac{1}{2} : 10-4-15 -\frac{11}{6}; -1 : 10-4-14$$

$$-\frac{5}{12}; -\frac{1}{2} : 10-4-17 -7; 2 : 10-4-16$$

$$0; -\frac{1}{3} : 10-4-19 -\frac{11}{36}; \frac{1}{9} : 10-4-18$$

$$\frac{1}{12}; -\frac{11}{12} : 10-4-21 -\frac{11}{24}; -\frac{7}{12} : 10-4-20$$

$$\frac{1}{6}; -\frac{1}{3} : 10-4-22 -\frac{2}{3}; \frac{1}{3} : 10-4-22$$

$$-\frac{10}{3}; 3 : 10-4-24 -\frac{4}{3}; -\frac{3}{2} : 10-4-24$$

$$-\frac{5}{12}; -\frac{7}{12}; 0 : 10-4-27 -\frac{7}{12}; -\frac{1}{2}; \frac{1}{4} : 10-4-26$$

$$-\frac{17}{18}; -\frac{1}{2}; -\frac{7}{9} : 10-4-29 \frac{1}{6}; \frac{7}{12}; -\frac{3}{4} : 10-4-28$$

$$3; 2 : 10-4-21 \frac{45}{8}; 2 : 10-4-20$$

$$\frac{2}{9}; \frac{2}{3} : 10-4-22 \frac{19}{8}; \frac{11}{6} : 10-4-22$$

$$\frac{65}{162}; \frac{5}{9} : 10-4-25 \frac{9}{4}; \frac{27}{8} : 10-4-24$$

$$\frac{733}{648}; \frac{10}{9} : 10-4-27 \frac{131}{90}; \frac{5}{4} : 10-4-26$$

۵۸۴

## ۱۰-۱۱ جواب‌های مسائل حل نشده

$$EIv = \frac{23wL^3x}{1536} - \frac{wLx^3}{48} \quad (0 < x < \frac{L}{4}) : 10-3-16$$

$$EIv = \frac{w}{30L} (x - \frac{L}{4})^5 - \frac{wLx^3}{48} + \frac{23wL^3x}{1536} \quad (\frac{L}{4} < x < \frac{L}{2})$$

$$v = -\frac{2yL^2}{45EI^2} (x^3 + 2L^3 - 3L^2x) : 10-3-17$$

$$\delta = \frac{2w_0L^4}{\pi EI} \left( \frac{1}{3} - \frac{8}{\pi^3} \right) : 10-3-19 \quad \delta = \frac{w_0L^4}{\pi^4 EI} : 10-3-18$$

$$\frac{19qa^4}{24EI}; -\frac{2qa^3}{3EI} : 10-3-21 \quad -\frac{5qa^4}{12EI}; \frac{qa^3}{6EI} : 10-3-20$$

$$\frac{qa^4}{72EI}; \frac{qa^3}{15EI} : 10-3-23 \quad \frac{19qa^4}{90EI}; \frac{101qa^3}{360EI} : 10-3-22$$

$$-\frac{62qa^4}{45EI}; \frac{187qa^3}{120EI} : 10-3-25 \quad \frac{25qa^4}{24EI}; \frac{7qa^3}{6EI} : 10-3-24$$

$$v = \frac{Px^2}{3EI} (x^2 - 2Lx + L^2) : 10-3-26$$

$$\delta_B = -\frac{M_0L^2}{3EI} : 10-4-1$$

در جواب‌های مسائل ۲-۴-۱۰-۱۵-۱۶-۱۷-۱۸ از نوشتן کمیت‌های  $\frac{Ma^2}{Pa^2EI}$ ،  $\frac{Ma}{EI}$  یا  $\frac{qa^4}{EI}$  برای تغییر مکان‌ها و از نوشتن کمیت‌های  $\frac{Pa^3}{EI}$  یا  $\frac{qa^3}{EI}$  برای زوایای دوران خودداری شده است.

$$-\frac{19}{24}; -\frac{1}{3} : 10-4-3 -\frac{23}{8}; -\frac{3}{2} : 10-4-2$$

$$-\frac{16}{3}; -\frac{5}{3} : 10-4-5 -\frac{25}{4}; -\frac{5}{3} : 10-4-4$$

$$-2; -\frac{13}{12} : 10-4-7 -\frac{59}{24}; -\frac{3}{2} : 10-4-6$$

جنت الله عادلی	مقاومت مصالح
----------------	--------------

## فصل یازدهم

نیرهای هیپر استاتیک

### ۱۱-۱ مقدمه

در این فصل ما تحلیل نیرهایی را مطالعه خواهیم نمود که در آنها تعداد واکنش‌های مجهول از سعداد معادلات تعادل موجود بیشتر می‌باشد. این نیرها به تیرهای هیپر استاتیک موسوم می‌باشند و در تحلیل آنها به بررسی غاییر شکل‌ها نیاز می‌باشد. سیرهایی که در آنها سنوان واکنش‌ها و نیرهای داخلی را فقط به کمک معادلات تعادل بدست آورده‌اند تیرهای ابرو استاتیک خوانده می‌شوند. واکنش‌ها و نیرهای داخلی تیرهای هیپر استاتیک را بدون بررسی غاییر شکل‌ها سنوان محاسبه می‌نمود. سرای حل تیرهای هیپر استاتیک علاوه بر معادلات تعادل از معادلات سارکاری غاییر مکان‌ها (مانند آنچه که در فصل دوم بحث شد) نزدیک استفاده می‌نمود.

جند نوع تیر هیپر استاتیک در شکل‌های ۱-۱۱ تا ۱-۱۶ مذکور می‌شود. تیر شکل ۱-۱۱ دارای سکیه کاهگیردار A و نکیه کاه م Fletcherی غلطکی سا به اختصار نکیه کاه علطکی B می‌باشد. واکنش‌های این نیر عبارتند از سیروی افی  $H_A$ ، نیرهای  $R_A$  و  $R_B$  و لگر خصی  $M_A$  در A و سیروی ثابت  $R_B$  در B. جوی فاعله معادله تعادل مستقل سرای نس وجود دارد نیان هر چهار واکنش مجهول را دست آورد. تعداد واکنش‌های اضافه بر تعداد معادلات تعادل موجود درجه نامعینی استانیک (یا به اختصار درجه نامعینی) تیر مذکور می‌شود. بدین ترتیب نیر شکل ۱-۱۱ یک درجه نامعین است. واکنش‌های اضافه بر آنچه که برای نگهداری نیر به صورت ابرو استاتیک لازم است به

$$\begin{aligned}
 & \text{نیرهای} \\
 & -2 ; -11 : 10-4-29 - \frac{25}{24} ; -\frac{71}{24} : 10-4-28 \\
 & -\frac{31}{12} : 10-4-41 - \frac{7}{3} : 10-4-40 \\
 & -\frac{1}{12} ; -\frac{1}{8} : 10-4-43 - \frac{5}{8} : 10-4-42 \\
 & -\frac{1}{4} : 10-4-45 \quad \frac{1}{6} ; -\frac{5}{6} : 10-4-44 \\
 & -\frac{11}{12} : 10-4-47 - \frac{13}{12} : 10-4-46 \\
 & \frac{19}{18} : 10-4-49 \quad \frac{4}{3} : 10-4-48 \\
 & 4.4 : 10-4-51 \quad \frac{144}{7} : 10-4-50 \\
 & 12 \text{ cm} \times 20 \text{ cm} : 10-4-52 \quad 1.6 \text{ cm} : 10-4-52 \\
 & \frac{P}{Q} = \frac{3L^2}{16a(L+a)} : 10-4-55 \quad \frac{3q_0 L^4}{1280EI} : 10-4-54 \\
 & \beta = \frac{kL^3}{3EI} \quad \delta_b = \frac{qL^4}{8EI} \left( \frac{1}{1-\gamma} \right) \quad \text{شرط پایداری } 1 < \beta \quad 10-5-1 \\
 & \gamma = \frac{\delta_0}{kL^3} \quad \text{شرط پایداری } 1 < \gamma \quad 10-5-2 \\
 & \text{نیرهای} \\
 & v_{max} = \frac{\alpha \Gamma_0 L^3}{9\sqrt{3} h} : 10-6-1
 \end{aligned}$$

حجت الله عادلی

مقاومت مصالح

## فصل یازدهم

تیرهای هیبر استاتیک

### ۱۱-۱ مقدمه

در این فصل ما تحلیل سرهاشی را مطالعه خواهیم نمود که در آنها تعداد واکنش‌های محبوث از نعداد معادلات تعادل موجود بیشتر می‌باشد. این سرها به تیرهای هیبر استاتیک موسوم می‌شوند و در تحلیل آنها به بررسی تغییر نکل‌ها نیاز می‌باشد. سرهاشی که در آنها بسوی واکنش‌ها و نیروهای داخلی را فقط به کمک معادلات تعادل بدست آورد سرهاشی ایزو استاتیک خواهد می‌شود. واکنش‌ها و نیروهای داخلی تیرهای هیبر استاتیک را بدون بررسی تغییر تکل‌ها نمی‌توان محاسبه نمود. برای حل تیرهای هیبر استاتیک علاوه بر معادلات تعادل از معادلات سارگاری تغییر مکان‌ها (مانند آنچه که در فصل دوم ساخت شد) بسیار باید استفاده نمود.

چند نوع تیر هیبر استاتیک در شکل‌های ۱-۱۱ تا ۱-۱۶ مشاهده می‌شوند. سر شکل ۱-۱۱ دارای نکه گاه گیردار A و تکه گاه علطفکی باشد اختمار تکه گاه علطفکی B می‌باشد. واکنش‌های این تیر عبارتند از سیروی افی  $H_{ij}$ ، سیروی فائمه  $R_{ij}$  و لیگر حمیشی  $M_{ij}$  در A و سرروی فائم  $R_{ij}$  در B. جوں فاعله معادله تعادل مستقل برای سر وجود دارد سی نوان هر چهار واکنش محبوث را بدست آورد. تعداد واکنش‌های اضافه بر نعداد معادلات تعادل موجود درجه سامبینی استانیکی (یا به اختصار درجه سامبینی) تیر سامبینیده می‌شود. بدین سرتیپ شرکل ۱-۱۱ یک درجه سامبین است. واکنش‌های اضافه سر آنچه که برای سگهداشت سر به صورت ایزو استاتیک لازم است به

$$\Delta ۸۴ \\ -2 ; -11 : 10-4-29 - \frac{25}{24} ; - \frac{71}{24} : 10-4-28$$

$$- \frac{31}{12} : 10-4-41 - \frac{7}{3} : 10-4-40$$

$$- \frac{1}{12} ; - \frac{1}{8} : 10-4-42 - \frac{5}{8} : 10-4-42$$

$$- \frac{1}{4} : 10-4-45 \quad \frac{1}{6} ; - \frac{5}{6} : 10-4-44$$

$$- \frac{11}{12} : 10-4-47 - \frac{13}{12} : 10-4-46$$

$$\frac{19}{18} : 10-4-49 \quad \frac{4}{3} : 10-4-48$$

$$4.4 : 10-4-51 \quad \frac{144}{7} : 10-4-50$$

$$12\text{ cm} \times 20\text{ cm} : 10-4-52 \quad 1.6\text{ cm} : 10-4-52$$

$$\frac{P}{Q} = \frac{3L^2}{16a(L+a)} : 10-4-55 \quad \frac{3q_0 L^4}{1280EI} : 10-4-54$$

$$\beta = \frac{kL^3}{3EI} \quad \gamma = \frac{qL^4}{8EI} \left( \frac{1}{1-\beta} \right) \text{ که در آن } \beta < 1 \text{ شرط پایداری می‌باشد.$$

$$\gamma = \frac{\delta_0}{\frac{1}{1-\gamma}} \text{ که در آن } \gamma < 1 \text{ شرط پایداری می‌باشد.} : 10-5-2$$

$$v_{max} = \frac{\alpha T_0 L^3}{9\sqrt{3} h} : 10-6-1$$

تیر شکل ۳ - ۱۱ یک تیر دو سر کیردار می باشد . سه واکنش مجھول در هر نیکه گاه وجود دارد ، در نتیجه تعداد واکنشهای مجھول کل تیر برابر شش است . چون سه معادله تعادل برای تیر موجود است ، درجه سامبیسی استاتیکی تیر برابر سه می باشد . اگر واکنشها در یک انتهای تیر را به عنوان واکنشهای اضافی در نظر بگیریم دانها را از روی سازه برداریم ، یک تیر طرهای به صورت سازه مبا بافی می ماند . اگر دولنگران انتهای دیگر واکنش افقی را برداریم ، سازه مبا یک تیر ساده حواهد بود . اگر برای این تیر نیز حالت خاص بارهای قائم را در نظر بگیریم ( شکل ۴ - ۱۱ ) ، در خواهیم یافت که فقط چهار واکنش مجھول را باید تعیین کیم . تعداد معادلات تعادل موجود برابر دو می باشد ، بنابراین تیر دو درجه ناممی است ( اگر بخواهیم این مسئله را بطور دقیق بررسی کیم در اثر تغییر شکل خمی در A و B واکنشهای افقی ایجاد می شود ولی اگر مقدار تغییر شکل ها کوچک باشد تا تیر این واکنشهای افقی در روی خم تیر نیز نا چیز است ، بخش ۵ - ۱۱ را ببینید ) .

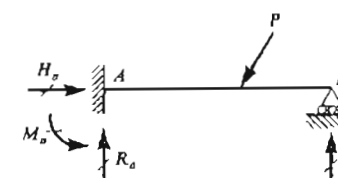
نیزهای نکل های ۵ - ۱۱ و ۶ - ۱۱ مثال هایی از تیرهای پیوسته با سراسری می باشد ( علت نام کذاری مزبور این است که این نوع تیرها بیش از یک دهانه دارند و تیر در روزی تکیه کاهها پیوسته می باشد ). تیر نکل ۵ - ۱۱ یک درجه نامعین است زیرا چهار نیروی واکنشی و فقط سه معادله تعادل وجود دارد . اگر  $R_b$  بعنوان واکنش اضافی انتخاب شده و از روی تیر برداشته شود در این صورت تیر ساده ایزو استاتیک AC باقی می ماند . اگر  $R_b$  به عنوان واکنش اضافی انتخاب شود ، سازه مبنا تیر ABC با قسمت پیش آمده BC خواهد بود . شیر نکل ۶ - ۱۱ دو درجه نامعین است . واکنش های  $R_b$  و  $R_c$  را ممکن است به عنوان واکنش های اضافی انتخاب نمود که در این صورت سازه مبنایک تیر طراهای خواهد بود .

در بحث‌های زیر دو روش برای شحلیل تیزهای هیبر استاتیک مورد بحث قرار می‌گیرد یک روش دیگر نیز در فصل بعد تشریح خواهد شد. روش‌های متعددی برای شحلیل تیزهای هیبر استاتیک (یا به طور کلی سازه‌های هیبر استاتیک) وجود دارد که در کتاب دیگری تحت عنوان "تحلیل سازه‌ها" درباره آنها به تفصیل بحث جواهدند.

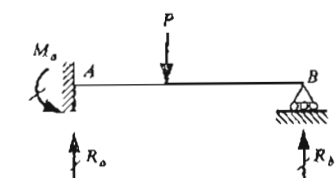
روش کلی حل تیرهای هیبر استاتیک پیدا کردن واکنشهای اضافی می‌باشد زیرا هم از پیدا کردن آنها نیازهای باقی مانده به سهولت از معادلات تعادل بدست می‌آیند، با معلوم بودن نیروها، تنشها و تغییر مکان‌ها در هر نقطه از طول تیر را می‌توان تعیین نمود.

و اکنـشـهـای اضافـی موـسـم مـیـبـاشـد و تـعدـاد اـمـن و اـکـنـشـهـای اـضافـی بـراـبـر با تـعدـاد نـامـعـنـیـی تـبـرـاست. برـای مـثال، و اـکـنـشـRـbـ تـبـرـ شـکـل ۱-۱۱ رـاـمـینـوـان بـصـورـت و اـکـنـشـهـای اـضافـی در نـظـرـ گـرفـت. تـوجـهـ کـنـید اـکـرـ و اـکـنـشـهـای اـضافـی اـز روـی تـبـرـ بـرـداـشـتـه شـود تـبـرـ به صـورـت طـرـمـای و اـبـزوـ اـسـتـاتـیـک درـمـیـآـید. سـازـهـ اـبـزوـ اـسـتـاتـیـکـیـ کـهـ پـهـ اـزـ بـرـداـشـتـن و اـکـنـشـهـای اـضافـی باـقـیـ مـیـمانـدـ بهـ سـازـهـ مـهـنـاـ موـسـمـ مـیـبـاشـد. درـ شـکـل ۱-۱۱ لـنـکـرـ و اـکـنـشـیـ Mـgـ رـاـ نـیـزـ مـیـ تـوانـ بهـ عـنـوانـ و اـکـنـشـ زـائـدـ درـ نـظـرـ گـرفـت، درـ اـینـ صـورـتـ سـازـهـ مـهـنـاـ بـهـ صـورـتـ یـکـ تـبـرـ سـادـهـ درـ

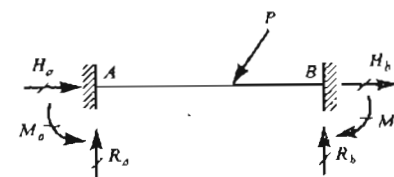
اگر تمام بارهای وارد بر تیر قائم باشد ( شکل ۲ ~ ۱۱ ) حالت خامی ایجاد می شود زیرا در آن واکنش افقی  $H_g$  صفر می کردد . اما تیر هسوز یک درجه همیشگی است زیرا سه واکنش مجهول و فقط دو معادله تعادل مستقل ( یک معادله تعادل در انداد فاصله و یک معادله تعادل لنگری ) وجود دارد .



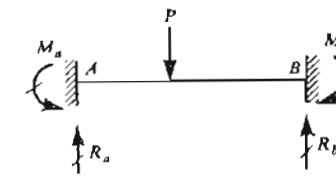
شکل ۱-۱



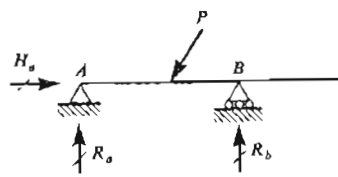
شکل ۲-۱



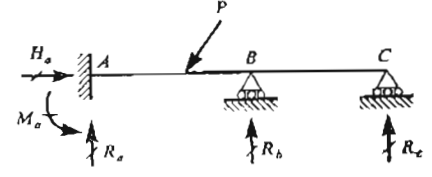
١١ - ٣



شکل ۱۱-۴



١١ - ٥



١٦-١

۵۸۹

را به عنوان واکنش اضافی اختخاب کنیم ، در این صورت واکنش‌ها در A با استفاده از معادلات تعادل عبارت خواهد بود از

$$R_a = qL - R_b \quad ; \quad M_a = \frac{qL^2}{2} - R_b L \quad (11-1)$$

اگرچه می‌توانیم برای لنگر حسنه یک عبارت کلی بر حسب  $R_b$  بنویسیم .

$$M = R_a x - M_a + \frac{qx^2}{2} = qLx - R_b x - \frac{qL^2}{2} + R_b L - \frac{qx^2}{2}$$

در این صورت معادله دیفرانسیل معنی تغییر مکان نموده صورت زیر در می‌آید :

$$EIv'' = -M = -qLx + R_b x + \frac{qL^2}{2} - R_b L + \frac{qx^2}{2}$$

از این معادله دو سار متواالی استگرال می‌کنیم .

$$EIv' = -\frac{qLx^2}{2} + \frac{R_b x^2}{2} + \frac{qL^2 x}{2} - R_b Lx + \frac{qx^3}{6} + C_1$$

$$EIv = -\frac{qLx^3}{6} + \frac{R_b x^3}{6} + \frac{qL^2 x^2}{4} - \frac{R_b Lx^2}{2} + \frac{qx^4}{24} + C_1 x + C_2$$

سه کمیت مجهول (  $C_1$  ،  $C_2$  و  $R_b$  ) در این معادله و - ارد . تعداد شرایط حدی نیز سه می‌باشد که عبارت از

$$v(0) = 0 \quad ; \quad v'(0) = 0 \quad ; \quad v(L) = 0$$

از بکار سردن شرایط حدی نتیجه می‌شود :  $C_2 = 0$  ،  $C_1 = 0$  و

$$R_b = \frac{3qL}{8} \quad (11-2)$$

با داشتن واکنش  $R_b$  واکنش‌های دیگر از معادله 11-1 بدست می‌آیند .

$$R_a = \frac{5qL}{8} \quad ; \quad M_a = \frac{qL^2}{8} \quad (11-3)$$

با جایگزینی واکنش  $R_b$  در معادلات تغییر مکان (v) و شیب (v') و لنگر حسنه (M) می‌توان تمام اطلاعات لازم برای نحلیل کامل تیر را بدست آورد .

روش دیگری برای سحلیل تیر شکل ۷ - ۱۱ وجود دارد و آن این است که لنگر

واکنش  $M_B$  عنوان واکنش زائد اسخا نمود . در این صورت می‌باید لنگر حسنه M را بر حسب  $M_B$  نوشت ، در معادله دیفرانسیل مرتبه دوم حایکن نمود و سپس معادله مزبور را مطابق سالا حل کرد . روش دیگری نیز برای حل این مسئله وجود دارد و آن استفاده

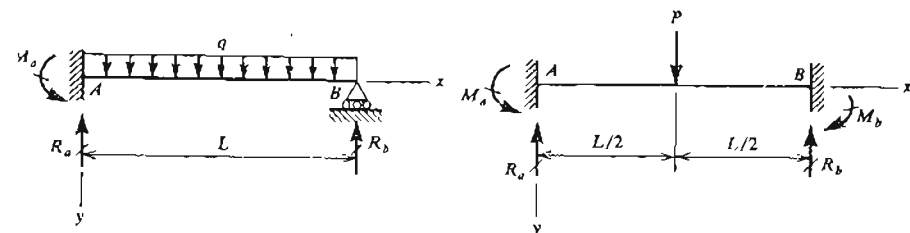
۵۸۸

۱۱-۲ روش حق میادله دیفرانسیل منحنی ارتقایی ( سنجی تغییر مکان ) نیز

حلیل سیرهای هیبراسیک بوسیله حل معادله دیفرانسیل سنجی تغییر مکان سیر امکان پذیر است . روش حل اساساً همان روشی است که برای تیرهای ایرو اساتیک بکار رفته است ( بحث‌های ۱ - ۱۰ - ۱۱ - ۱۲ ) را ببینید ) . بدین ترتیب که ابتدا معادله دیفرانسیل سنجی تغییر شکل نیر سونه می‌شود ، پس از آن جواب کلی معادله به دست می‌آید و می‌بایس با سکار سردن شرایط حدی نات‌های استگرال گیری محاسبه می‌شوند . هر یک از سه معادله دیفرانسیل منحنی ارتقایی نیر ( معادله درجه دوم بر حسب لنگر حسنه ، معادله درجه سوم بر حسب نیروی برشی و معادله درجه چهارم بر حسب شد بار جانشی که به ترتیب در معادلات ۱۰-۵ ، ۱۰-۶ و ۱۰-۷ داده شده‌اند ) را می‌توان بکار سردن . شرایط حدی کافی نه فقط برای پیدا کردن ثابت‌های استگرال گیری بلکه برای بافنون واکنش‌های اضافی همواره موجود خواهد بود . موقوفی که تعداد ثابت‌های استگرال گیری را باید می‌سازد مقدار محاسبات زیاد می‌گردد ، از این حجت این روش فقط برای حالات بارگذاری سزا " ساده و سرای تیرهای یک دهانه فاصل اسفاده می‌باشد . این روش را با ذکر دو مثال شرح می‌کیم .

### مثال ۱۱-۱

واکنش‌های تیر شکل ۷ - ۱۱ را پیدا کنید .



شکل ۱۱-۲

حل : اگر بخواهیم معادله دیفرانسیل مرتبه دوم را حل کیم لازم است که لنگر حسنه M را در هر مقطع عرضی بدانیم . برای این کار هر کدامی از واکنش‌ها را به عنوان واکنش اضافی اختخاب و بقیه واکنش‌ها را بر حسب آن بیان می‌کنیم . باید می‌دانیم واکنش  $R_B$

$$v = \frac{Px^2}{48EI} (3L - 4x) \quad 0 \leq x \leq L/2 \quad (11-9)$$

چنانکه در این مثال مشاهده کردیم همواره تعداد کافی شرایط حدی برای تعیین نمودن ثابت‌های استگرال کیری و همچنین واکنش‌های اضافی وجود خواهد داشت. بعضی از موقعیت‌ها لازم است معادله دیفرانسیل را برای دو یا چند ناحیه تیر تهییم و سپس از شرایط پیوستگی نواحی مختلف استفاده نماییم (همانطور که قبل از مورد تیرهای ایزواستاتیک عمل کردیم).

به علت تقارن هرگاه در معادله ۱۱-۹ بجای  $x$  کمیت  $-x$  را فراز دهیم معادله منحسی تغییر مکان نیمه راست سیر بدست می‌آید.

## ۱۱-۳ روش جمع زدن

این روش را می‌توان به عنوان اساسی ترین روش تحلیل سازه‌های هیبراستاتیک تلقی نمود. این روش نه فقط برای تیرهای سلکه برای انواع مختلف سازه‌ها از غلیل حریاها و قاب‌ها قابل استفاده می‌باشد. فلاً ما از این روش برای تحلیل سازه‌های کشی و فناوری هیبر استاتیک استفاده نمودیم (فصل دوم).

روش جمع زدن بر استفاده از اصل اجتناب اثر قوا استوار است. اولین قدم در این روش متخص نمودن واکنش‌های اضافی (همانطور که در سخن قبل سوچیح داده شد) می‌باشد. سپس با برداشتن واکنش‌های اضافی سازه مبنای تشکیل می‌شود. تغییر مکان‌ها و شبیه‌های هر نقطه منحسی تغییر مکان تیر مساوا روندی مورد بحث در فصل دهم بودت می‌آید. بخصوص تغییر مکان‌ها و دوران‌های سطیر واکنش‌های اضافی را که در اترسارها ایجاد شده حساب می‌کنیم. فرم بعدی در نظر گرفتن واکنش‌های اضافی ممور بارهای حارجی در روی ساره می‌باشد و محاسبه تغییر مکان‌ها و دوران‌های سطیر واکنش‌ها می‌باشد. از اصل اجتناب اثر قوا می‌دانیم که تغییر مکان‌ها و دوران‌های سهایی سائی از اثر هم زمان بارهای واقعی و واکنش‌ها باید برابر با مجموع تغییر مکان‌های بطور جداگانه محاسبه شده باشد. تغییر مکان‌های سطیر واکنش‌ها یا صفر می‌باشد و با مقادیر معلومی دارند، درنتیجه با استفاده از این واقعیت می‌توان معادلات سارگاری تغییر مکان‌ها را سون. سراجام ما حل این معادلات مقادیر واکنش‌های اضافی بدست می‌آید. سپس بقیه واکنش‌ها از معادلات تعادل محاسبه می‌شوند. استفاده از این روش را در مثال‌های رسیرسان می‌دهیم.

از معادله دیفرانسیل مرتبه چهارم می‌باشد. این روش در مثال زیر مورد استفاده فراموش می‌کشد.

## مثال ۱۱-۲

واکنش‌ها و معادله منحسی تغییر مکان نیز شکل ۸-۱۱ را با استفاده از معادله دیفرانسیل مرتبه چهارم بدست آورید.

حل: به علت تقارن تیر و بار گذاری روی آن نتیجه می‌شود که  $M_b = M_a$  و  $R_a = R_b$ . بدین ترتیب کافی است واکنش اضافی  $M_a$  را تعیین کنیم. در ناحیه بین  $x=0$  و  $x=L/2$  باری بر تیر وجود ندارد، در نتیجه معادله دیفرانسیل منحسی تغییر مکان تیر به صورت ریز در می‌آید:

$$EI \frac{d^4 v}{dx^4} = 0$$

از این معادله چهار بار متوالی استگرال می‌گیریم.

$$EI \frac{d^3 v}{dx^3} = C_1 \quad (11-4)$$

$$EI v' = C_1 x + C_2 \quad (11-5)$$

$$EI v' = \frac{1}{2} C_1 x^2 + C_2 x + C_3 \quad (11-6)$$

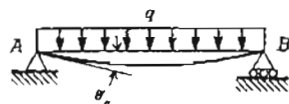
$$EI v = \frac{1}{6} C_1 x^3 + \frac{1}{2} C_2 x^2 + C_3 x + C_4 \quad (11-7)$$

برای پیدا کردن ثابت‌های استگرال کیری و  $M_a$  از شرایط حدی استفاده می‌کنیم. نیروی برشی در سراسر سیمه جب نیر سرسر  $R_a$  است، از این روابط معادله ۱۱-۴ نتیجه می‌شود  $C_1 = -P/2$ . لذکر خمنی در  $x=0$  سرسر  $M_a$  است، بنابراین از معادله ۱۱-۵ بدست می‌آید  $C_2 = M_a$ . دو شرط حدی نیر برای شبیه‌ها (معادله ۱۱-۶) وجود دارد: در  $x=0$  و  $x=L/2$  شبیه  $v=0$  است. از این دو شرط حاصل می‌شود  $C_3 = 0$  و

$$M_a = \frac{PL}{8} \quad (11-8)$$

بالاخره از شرط حدی  $v=0$  در  $x=0$  نتیجه می‌شود  $C_4 = 0$ . با جایگزینی ثابت‌های استگرال کیری در معادله ۱۱-۷ معادله منحسی تغییر مکان سیمه جب نیر بدست می‌آید.

۵۹۳



شکل ۱۱-۱۲



شکل ۱۱-۱۳

حل : اگر  $M_a$  را به عواین واکنش اضافی انتخاب کنیم سازه مبنای صورت تیر ساده شکل ۱۲ - ۱۱ در می آید. زاویه دوران  $\theta_a'$  در نقطه A سازه مبنای در اثر بار یکنواخت q با اسفاده از پیوست ۳ کتاب برابر است با

$$\theta_a' = \frac{qL^3}{24EI}$$

زاویه دوران  $\theta_a'$  در نقطه A سازه مبنای در اثر لنگر  $M_a$  (شکل ۱۱-۱۲) با استفاده از پیوست ۳ کتاب مساوی است با

$$\theta_a'' = \frac{M_a L}{3EI}$$

زاویه دوران در نقطه A سازه اصلی (شکل ۱۱-۹) صفر می باشد. بنابراین

$$\theta_a = \theta_a' - \theta_a'' = \frac{qL^3}{24EI} - \frac{M_a L}{3EI} = 0$$

ار این معادله  $qL^2/8 = M_a$  نتیجه می شود که با نتیجه قبلی مطابقت دارد.

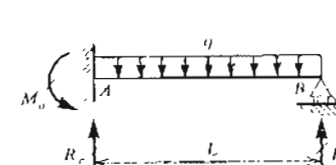
پس از پیدا کردن واکنش های یک سیر هیبر استاتیک محاسبه برآیند های تنش (سیروهای محوری، سیروهای برخی و لنگرهای حمی) در هر نقطه از طول سر سهولت اسحاق خواهد گرفت. ار این جهت در مثال ها و مسائل این فصل توجه خود را به محاسبه واکنش ها معطوف می کنیم.

روش تحلیل مورد اسناده در این بخش اغلب به روش نیرو موم می باشد (چون در این روش نیروها به عواین مجهولات اضافی اولیه انتخاب می شوند). روش عمومی دیگری برای حل سازه های هیبر استاتیک وجود دارد که به روش تغییر مکان موم می باشد. درباره این روش در کتاب "تحلیل سازه ها" سخت خواهد شد.

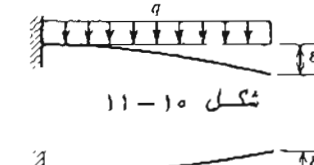
مثال ۱۱-۵

۵۹۲

واکنش های سیر شکل ۹ - ۱۱ را اسناده از روش حمل ردن پیدا کنید.



شکل ۱۱-۹



شکل ۱۱-۱۱

حل : واکنش  $R_b$  را به عواین واکنش اضافی انتخاب می کنیم. در این صورت سازه مبنای به صورت تیر طردی شکل ۱۱-۱۵ در می آید. تغییر مکان نقطه B ( نقطه نظر واکنش  $R_b$  ) در اثر بار q را  $\delta_b$  و در اثر واکنش  $R_b$  (شکل ۱۱-۱۱) را  $\delta_b'$  نشان می دهیم. تغییر مکان کل نقطه B در ساره اولیه (شکل ۹-۱۱) که مجموع جبری دو تغییر مکان مزبور است ساده برابر صفر باشد.

$$(11-10) \quad \delta_b = \delta_b' = 0$$

علامت منفی در معادله فوق به این علت ظاهر شده که تغییر مکان  $\delta_b$  به طرف پائین ولی تغییر مکان  $\delta_b'$  به طرف بالا می باشد. تغییر مکان های  $\delta_b$  (در اثر سار بکواحت q) و  $\delta_b'$  (در اثر واکنش  $R_b$ ) به سهولت از جداول پیوست ۳ کتاب بدست می آید. ار جایگزینی این مقادیر در معادله ۱۱-۱۰ نتیجه می شود

$$(11-11) \quad \delta_b = \frac{qL^4}{8EI} \cdot \frac{R_b L^3}{3EI} = 0 \quad ; \quad R_b = \frac{3qL}{8}$$

واکنش های  $R_a$  و  $M_a$  سوستن معادلات نهادل تیر محاسبه می شود. نتایج حاصل عبارتند از

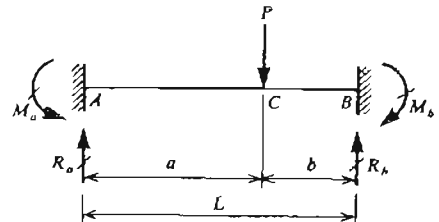
$$(11-12) \quad R_a = \frac{5qL}{8} \quad ; \quad M_a = \frac{qL^2}{8}$$

مثال ۱۱-۴

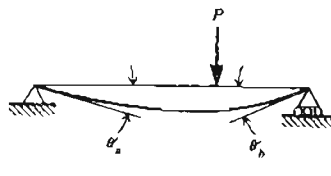
مثال قبل را مجددا حل کنید ولی این بار واکنش  $M_a$  را به عواین واکنش اضافی انتخاب کنید.

۵۹۵

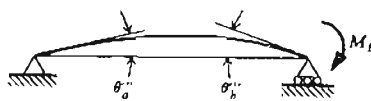
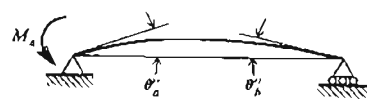
تیر دو سرگیردار شکل ۱۲-۱۱ سخت اتر بار متمرکز  $P$  فرار دارد، نیروها و لنگرهای واکنشی را در دو انتهای تیر حساب کنید. تغییر مکان نقطه C را نیز تعیین نمایید.



شکل ۱۲-۱۲



شکل ۱۲-۱۸



شکل ۱۲-۱۹

حل : تیر مربوط دو مرتبه نامعین است. لنگرهای واکنشی  $M_a$  و  $M_b$  را به عنوان واکنشی زائد انتخاب می‌کنیم، در این صورت سازه مبنا تیر ساده شکل ۱۲-۱۱ خواهد بود. تغییر مکان نقطه B در سازه مبنا در اثر بار یکنواخت  $q$  با استفاده از جداول پیوست ۲ کتاب مرا برآورده است

$$\theta'_a = \frac{Pab(L+b)}{6EI} ; \quad \theta'_b = \frac{Pab(L+a)}{6EI}$$

حال لنگرهای  $M_a$  و  $M_b$  را به صورت بارهای حارجی بر سازه مبنا وارد می‌کنیم و زوایای دوران دو انتهای تیر را از حداول آخر کتاب بدست می‌دریم. زوایای دوران دو انتهای ناشی از لنگر  $M_a$  برابرند با (شکل ۱۲-۱۹) :

$$\theta''_a = \frac{M_a L}{3EI} ; \quad \theta''_b = \frac{M_a L}{6EI}$$

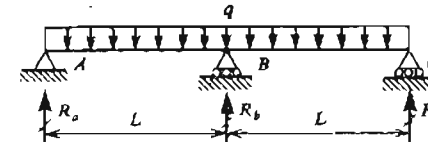
زوایای دوران دو انتهای ناشی از لنگر  $M_b$  نیز از روایط زیر بدست می‌آیند (شکل ۱۲-۲۰) :

$$\theta''_a = \frac{M_b L}{6EI} ; \quad \theta''_b = \frac{M_b L}{3EI}$$

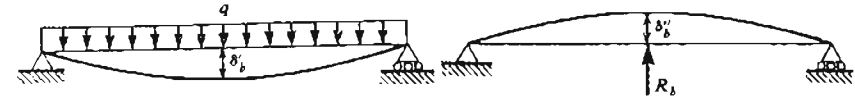
چون زوایای دوران دو انتهای تیر اصلی صفر می‌باشد، معادلات سازگاری تغییر مکان ها

۵۹۶

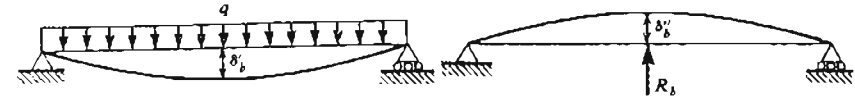
و اکنشهای تیر سراسری شکل ۱۴-۱۱ با بارگذاری یکنواخت را بدست آورید.



شکل ۱۴-۱۴



شکل ۱۴-۱۵



شکل ۱۴-۱۶

حل : واکنش مماسی  $R_b$  را به عنوان واکنش اضافی انتخاب می‌کنیم، در این صورت سازه مبنا تیر ساده شکل ۱۲-۱۱ خواهد بود. تغییر مکان نقطه B در سازه مبنا در اثر بار یکنواخت  $q$  با استفاده از جداول پیوست ۲ کتاب مرا برآورده است

$$\delta'_b = \frac{5q(2L)^4}{384EI} = \frac{5qL^4}{24EI}$$

در این رابطه طول هر دهانه می‌باشد. تغییر مکان رو به بالا در اثر واکنش  $R_b$  با استفاده از جداول پیوست ۲ کتاب مساویست با (شکل ۱۴-۱۶)

$$\delta''_b = \frac{R_b(2L)^3}{48EI} = \frac{R_b L^3}{6EI}$$

تغییر مکان نقطه B در تیر اصلی برابر صفر است. بنابراین شرط سازگاری تغییر مکان ها در این نقطه به صورت زیرنوشته می‌شود :

$$\delta_b = \delta'_b - \delta''_b = \frac{5qL^4}{24EI} - \frac{R_b L^3}{6EI} = 0 : \quad R_b = \frac{5qL}{4} \quad (11-13)$$

دو واکنش دیگر از معادله تعادل نیروها در امتداد فاصله بدست می‌آیند.

$$R_a = R_c = \frac{3qL}{8}$$

مثال ۱۱-۶

۵۹۷

در حالت خاصی که بار  $P$  بر وسط دهانه نیز وارد می‌شود تغییر مکان زیر بار  $P$  برابر خواهد بود با ( در این صورت  $a = b = L/2$  )

$$\delta_C = \frac{PL^3}{192EI} \quad (11-17)$$

و اکنون نیز در این حالت به صورت زیر در می‌آید :

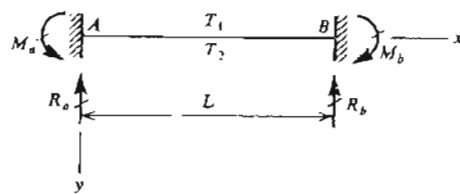
$$M_a = M_b = \frac{PL}{8} \quad ; \quad R_a = R_b = \frac{P}{2} \quad (11-18)$$

## ۱۱-۴ آثار گرمایی

تغییرات درجه حرارت در یک تیر همیشگی استانیک تشن و تغییر شکل ایجاد خواهد کرد. این کمیت‌ها را با روش‌های مشابه آنچه که قبلاً در مورد بارهای روی تیر تشریح شد می‌سوان تعبیین می‌نمود. احتمالاً "مفیدترین روش در این مورد همان روش جمع زدن (با استفاده از اصل اجتماع اثر فوا) می‌باشد که در مثال زیر از آن استفاده خواهد شد.

## مثال ۱۱-۲

تیر دو سرکبردار نشکل ۱۱-۲۱ در سطح فوقانیش درجه حرارت  $T_1$  و در سطح تحتانیش درجه حرارت  $T_2$  دارد. واکنش‌های تیر را در اثر این اختلاف درجه حرارت حساب کنید.



شکل ۱۱-۲۱

حل : برای ابکه از روش جمع زدن استفاده کنیم واکنش‌های  $R_b$  و  $M_b$  را بعنوان واکنش‌های اضافی اسخاب می‌کنیم تا سازه مینا که یک تیر طره‌ای می‌باشد بدست آید.

۵۹۶

به صورت زیر نوشته می‌شوند :

$$\theta_a' = \theta_a - \theta_a'' = 0 \quad ; \quad \theta_b' = \theta_b - \theta_b'' = 0$$

اگر عبارات مختلف زوایای دوران را در روابط فوق جایگزین کنیم دو معادله هم زمان ریز شامل  $M_a$  و  $M_b$  بدست می‌آید :

$$\frac{M_a L}{3EI} + \frac{M_b L}{6EI} = \frac{Pab(L+b)}{6LEI}$$

$$\frac{M_a L}{6EI} + \frac{M_b L}{3EI} = \frac{Pab(L+a)}{6LEI}$$

از حل دو معادله فوق حواهیم داشت

$$M_a = \frac{Pab^2}{L^2} \quad ; \quad M_b = \frac{Pa^2b}{L^2} \quad (11-14)$$

با داشتن لنگرهای واکنشی واستفاده از معادلات تعادل، واکنش‌های قائم به سهولت محاسبه می‌شوند.

$$R_a = \frac{Pb^2}{L^3} (L+2a) \quad ; \quad R_b = \frac{Pa^2}{L^3} (L+2b) \quad (11-15)$$

اکنون با استفاده از اصل اجتماع اثر قوا و جداول بهمیست ۳ کتاب تغییر مکان معطه  $C$  ( زیر بار  $P$  ) را محاسبه می‌کنیم. تغییر مکان نقطه  $C$  در سازه مینا برابر است با

$$\delta'_C = \frac{Pa^2b^2}{3LEI}$$

تغییر مکان همیشگی نقطه سازه مینا در اثر لنگرهای  $M_a$  و  $M_b$  سیز از روابط زیر بدست می‌آید ( به ترتیب شکل‌های ۱۱-۱۹ و ۱۱-۲۰ ) :

$$\delta''_C = \frac{M_a ab}{6LEI} (L+b) \quad ; \quad \delta'''_C = \frac{M_b ab}{6LEI} (L+a)$$

پس از جایگزینی مقادیر  $M_a$  و  $M_b$  از معادلات فوق حواهیم داشت

$$\delta''_C = \frac{Pa^2b^3}{6L^3EI} (L+b) \quad ; \quad \delta'''_C = \frac{Pa^3b^2}{6L^3EI} (L+a)$$

بنابراین تغییر مکان کل نقطه  $C$  برابر است با

$$\delta_C = \delta'_C - \delta''_C - \delta'''_C = \frac{Pa^3b^3}{3L^3EI} \quad (11-16)$$

۵۹۹

حل : اگر سخواهیم از لگرهای حنی ( معادله ۱۰-۵ ) و احلاف درجه حرارت ( معادله ۱۰-۵۳ ) را با هم در نظر بگیریم ، معادله دیفرانسیل محسن نفیر مکان تیر به صورت زیر در می آید :

$$EIv'' = -M - \frac{\alpha EI(T_2 - T_1)}{h} \quad (11-20)$$

عبارت لگر خمی به صورت

$$M = R_a x - M_a$$

می باشد . اما همانطوریکه در مثال سالا ذکر شد به علت تقارن تیر  $R_a = 0$  و در نتیجه

$$EIv'' = M_a - \frac{\alpha EI(T_2 - T_1)}{h}$$

پس از یک بار انتگرال گیری نتیجه می شود

$$EIv' = M_a x - \frac{\alpha EI(T_2 - T_1)}{h} x + C_1$$

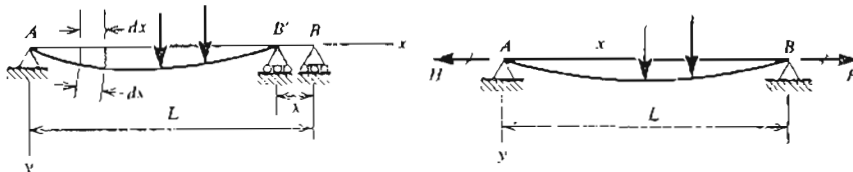
از دو شرط حدی ( $v=0$  در  $x=0$  و  $x=L$ ) حاصل می شود

$$C_1 = 0 ; \quad M_a = \frac{\alpha EI(T_2 - T_1)}{h}$$

که با معادله ۱۱-۱۹ مال مل مطابقت دارد .

## ۵-۱۱ تغییر مکان افقی دو انتهای بک تیر

سیر AB را که در نکیه گاه A مفصلی و در تکیه گاه B معملي علטکی می باشد در نظر گیرید ( شکل ۱۱-۲۲ ) . موقعی که سیر تحت اثر بار خم می شود ، انتهای B به



شکل ۱۱-۲۲

شکل ۱۱-۲۳

۵۹۸

تغییر مکان و زاویه دوران انتهای B این تیر طریقی در اثر اختلاف درجه حرارت مذکور از روابط زیر بدست می آند ( مطله ۱۲-۱۰ را بینید ) .

$$\delta_b' = \frac{\alpha(T_2 - T_1)L^2}{2h} ; \quad \theta_b' = \frac{\alpha(T_2 - T_1)L}{h}$$

در این روابط ،  $\alpha$  ضرب انبساط حرارتی و  $h$  ارتفاع تیر می باشد . اگر  $T_1 > T_2$  بزرگتر باشد ، تغییر مکان  $\delta_b$  رو به بالا و زاویه دوران  $\theta_b$  خلاف جهت عقربه های ساعت خواهد بود .

تغییر مکان و دوران نقطه B در سازه مینا در اثر  $R_b$  عبارتند از

$$\delta_b'' = \frac{R_b L^3}{3E} ; \quad \theta_b'' = \frac{R_b L^2}{2EI}$$

و در اثر  $M_b$  برابرد با

$$\delta_b''' = -\frac{M_b L^2}{2EI} ; \quad \theta_b''' = -\frac{M_b L}{EI}$$

در روابط فوق تغییر مکان رو به بالا و دوران خلاف جهت عقربه های ساعت مشتب فرض شده اند . اکنون می توانیم معادلات سازگاری تغییر مکان ها را به صورت زیر بتوییم :

$$\delta_b' + \delta_b'' + \delta_b''' = 0 \quad \theta_b' + \theta_b'' + \theta_b''' = 0$$

پس از جایگزینی عبارات تغییر مکان ها و دوران ها در معادلات فوق و حل آنها برای  $R_b$  و  $M_b$  حواهیم داشت

$$R_b = 0 ; \quad M_b = \frac{\alpha EI(T_2 - T_1)}{h}$$

صفر بودن  $R_b$  با توجه به تقارن تیر از ابتدا فاصل همیش بینی بود . همچنین بعلت تقارن ،  $M_b$  برابر با  $M_a$  می باشد . بنابراین جواب های نهایی برای تیر شکل ۱۱-۲۱ به صورت زیر می باشد :

$$R_a = R_b = 0 ; \quad M_a = M_b = \frac{\alpha EI(T_2 - T_1)}{h} \quad (11-19)$$

مثال ۱۱-۸

مثال قبل را با استفاده از معادله دیفرانسیل منحنی تغییر مکان تیر حل کنید .

۶۰۱

محور نیر در هنگام خمش اضافه طول پیدا کند . بعلاوه ، نیروی H خودش سر لنگرهای خمشی سرو در نتیجه بر منحنی تعبیر مکان نیر نیز انحراف داشت . نیروهای با بار - گذاری حابی و محوری در کتاب " تحلیل سارههای " مورد سوت فرار خواهد گرفت . در اینجا بجای تحلیل دقیق این مسئله پیچیده سعی می کنیم یک عبارت نظری برای H بدست آوریم را بنویسیم اهمیت آن را ارزیابی کنیم . یک تعریب ماس برای شکل منحنی تعبیر مکان تیر بک سهی می باشد

$$v = \frac{4\delta x(L-x)}{L^2} \quad (11-24)$$

می باشد که در آن  $\delta$  غاییر مکان وسط تیر است . فاصله  $\lambda$  نظیر این منحنی فرض شده غاییر شکل را می سوان با جایگزینی معادله 11-24 در معادله 11-23 بدست آورد ، نتیجه به صورت زیر خواهد بود :

$$\lambda = \frac{8\delta^2}{3L}$$

نیروی H لازم برای طویل کردن تیر به اندازه فوق برابر است با

$$H = \frac{EA\lambda}{L} = \frac{8EA\delta^2}{3L^2}$$

و تنفس کننی مربوطه مساویست با

$$\sigma = \frac{H}{A} = \frac{8E\delta^2}{3L^2} \quad (11-25)$$

غاییر مکان  $\delta$  در وسط نیر در مقایسه با طول آن معمولاً " خبلی کوچک است ، برای مثال این سیستم ممکن است  $1/500$  باشد . اگر ما این عدد را بکار سریم و همچنین فرص کنیم که ماده تیر مولاد سا ضریب ارجاعی  $E=2.1 \times 10^6 \text{ Kg/cm}^2$  باشد ، از معادله 11-25 برای تنفس  $\sigma$  فقط  $22.4 \text{ Kg/cm}^2$  بدست می آید . بنابراین تنفس محوری ناسی از H در مقایسه با تنفس حاضر خلی کوچک است . بعلاوه دو انتهای سر را در عمل سعی توان کاملان " ملب گاهدار است و همواره مقداری غاییر مکان افقی رخ خواهد داد که در اثر آن نیروی محوری محاسبه شده در فوق کاهش می یابد . بنابراین نتیجه می گیریم که روش مداول صرف نظر مودون از آثار گیرداری افقی و فرص ایکه بک انتهای تیر برغلطک قرار دارد مقال فسول می باشد . سرای تحلیل دقیق تر نیروهای انتهایی کاهشی بدون حرکت به مرمع 34 درجوع کرد .

۶۰۵

اندازه فاصله کوچک  $\lambda$  از B به A مستقل می شود . غاییر مکان  $\lambda$  برابر با اختلاف بین طول اولیه A نیر و طول وتر AB نیر خم شده می باشد . برای اینکه این فاصله را پیدا کنیم ، عنصری از نیر به طول ds را در طول محور منحنی نیر در نظر می گیریم . طول تصویر این عنصر بر محور X برابر dx است . اختلاف بین طول ds و تصویر افقی آن بر اساس است با

$$ds - dx = \sqrt{dx^2 + dv^2} - dx = dx \sqrt{1 + \left(\frac{dv}{dx}\right)^2} - dx \quad (11-21)$$

لذا رابطه غاییر مکان محور نیر می باشد .

اگر t کمینی کوچکتر از واحد ( سطور عددی ) باشد فضیه دو جمله ای سیوتن را به صورت زیر می نویسیم

$$(1+t)^{\frac{1}{2}} = 1 + \frac{t}{2} - \frac{t^2}{8} + \frac{t^3}{16} - \dots$$

حال اگر t در مقایسه با واحد خیلی کوچک باشد می نویسیم از حملات شامل  $t^2$  ،  $t^3$  و غیره در مقایسه با دو جمله اول صرف سطر کنیم .

$$(1+t)^{\frac{1}{2}} = 1 + \frac{t}{2} \quad (11-22)$$

جمله  $(dv/dx)^2$  در معادله 11-21 همواره خیلی کوچک است ( چون تغییر شکل تیرها کوچک فرض می شود ) ، ار این رو با استفاده از رابطه 11-22 معادله 11-21 را مجددا به صورت زیر می نویسیم :

$$ds - dx = dx \left[ 1 + \frac{1}{2} \left( \frac{dv}{dx} \right)^2 \right] - dx = \frac{1}{2} \left( \frac{dv}{dx} \right)^2 dx$$

اگر از عبارات فوق در طول تیر انتگرال گرفته شود ، اختلاف  $\lambda$  بین طول کل سرو و نر AB بدست می آید .

$$\lambda = \frac{1}{2} \int_0^L \left( \frac{dv}{dx} \right)^2 dx \quad (11-23)$$

بدین نسبت هر گاه معادله منحنی غاییر مکان نیر معلوم باشد ، با استفاده از معادله 11-23 می توانیم غاییر مکان افقی  $\lambda$  را که معمولاً " کمیت خبلی کوچکی است حساب کنیم .

اگر از غاییر مکان افقی دو انتهای تیر مانند شکل ۱۱-۲۳ جلوگیری شود ، در این صورت در هر انتهای سر و اکن افقی H ایجاد خواهد شد . این نیرو باعث خواهد شد

۶۰۳

$$EIv = \frac{1}{6} R_B x^3 - \frac{1}{2} (M_0 + LR_B) x^2 + C_1 x + C_2$$

شرط‌حدی:  $v(0) = 0$  (1) ;  $v'(0) = 0$  (2) ;  $v(L) = 0$  (3)

$$(1) \Rightarrow C_2 = 0$$

$$(2) \Rightarrow C_1 = 0$$

$$(3) \Rightarrow \frac{1}{6} R_B L^3 - \frac{1}{2} (M_0 + LR_B) L^2 = 0 \quad : \quad R_B = -1.5 \frac{M_0}{L}$$

$$R_A = -R_B = 1.5 \frac{M_0}{L}$$

$$M_A = -M_0 - L (-1.5 \frac{M_0}{L}) = 0.5 M_0$$

$$EIv = -\frac{1}{4} \frac{M_0}{L} x^3 - \frac{1}{2} (M_0 - \frac{3}{2} M_0) x^2$$

$$v = \frac{M_0 x^2 (L-x)}{4 EI L}$$

## مسئله ۱۱-۲

واکنش‌ها و معادله محسی تغییر مکان شیر دو سرگردار شکل ۱۱-۲۵ را با بارگذاری شان داده شده بیابید.

$$R_A = R_B = \frac{1}{2} (\frac{1}{2} q_0 L) = \frac{q_0 L}{4}$$

$$M_B = M_A$$

درجہ نامبٹی استاتیکی تیر مزبور واحد می باشد۔ واکشن  $M_A$  را به عنوان واکشن اضافی انتساب می کنیم و از معادله دیفرانسیل درجہ دوم استفادہ می ساییم۔

$$EIv'' = -M$$

$$M(x) = -M_A + R_A x - \frac{1}{2}(x) \left( \frac{q_0}{L} \frac{x}{2} \right) \left( \frac{x}{3} \right) \quad 0 \leq x \leq \frac{L}{2}$$

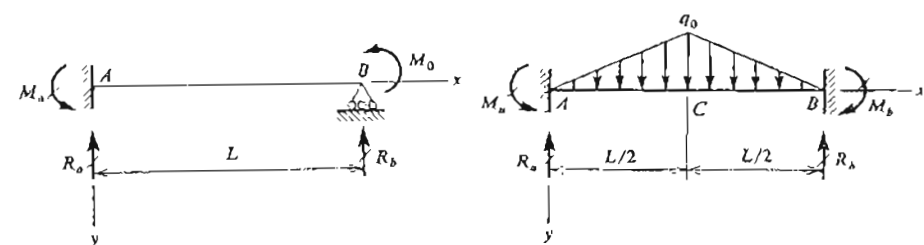
۶۰۲

## مسئلہ حل شدہ ۱۱-۱

در حل مسائل ۱۱-۱۱ نا ۱۱-۱۱ از معادله دیفرانسیل محسی تغییر مکان شیر استفادہ می کیم۔

## مسئلہ ۱۱-۱

واکنش‌ها و معادله تغییر مکان شیر شکل ۱۱-۲۴-۱۱ را پیدا کید۔ با وارد بر تیرلگر در سطح B می باشد۔



شکل ۱۱-۲۴

شکل ۱۱-۲۵

حل: واکشن  $R_B$  را به عنوان واکشن اضافی انتساب می کیم و واکنش‌های دیگر را سر حس آن پیدا می کنیم۔ توجه کنید که شیر مزبور از لحاظ استاتیکی یک درجه معموس می باشد۔ از تعادل شیروها در امداد قائم سچه می شود

$$R_A = -R_B$$

از تعادل لتگری حول سطح A حاصل می شود

$$M_A + M_0 + LR_B = 0 \quad : \quad M_A = -M_0 - LR_B$$

برای حل این مسئله از معادله دیفرانسیل مرتبه دوم استفاده می کیم۔

$$EIv''' = -M = -(-M_A + R_A x) = -M_0 - LR_B + R_B x$$

از این معادله دوبار انسکوال می گیریم۔

$$EIv' = \frac{1}{2} R_B x^2 - (M_0 + LR_B) x + C_1$$

۶۰۵

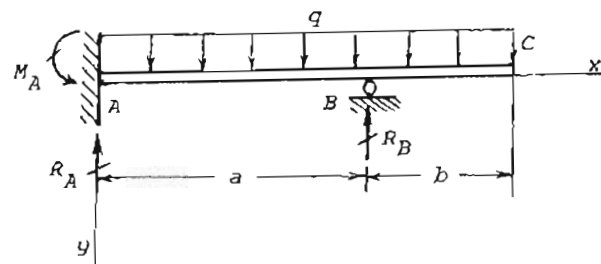
$$\sum F_y = 0 \Rightarrow R_A + R_B = q(a+b) \quad ; \quad R_A = q(a+b) - R_B$$

$$\sum M_A = 0 \Rightarrow M_A = \frac{1}{2}q(a+b)^2 - aR_B$$

$$EIv'' = -M$$

$$M = -M_A + R_A x - \frac{qx^2}{2} \quad ; \quad 0 \leq x \leq a$$

$$EIv'' = \frac{1}{2}qx^2 - [q(a+b) - R_B]x + \frac{1}{2}q(a+b)^2 - aR_B$$



شکل ۱۱-۲۶a

از این معادله دیفرانسیل دوبار انتگرال می‌گیریم.

$$EIv' = \frac{1}{6}qx^3 - \frac{1}{2}[q(a+b) - R_B]x^2 + [\frac{1}{2}q(a+b)^2 - aR_B]x + C_1 \quad ; \quad 0 \leq x \leq a$$

$$EIv = \frac{1}{24}qx^4 - \frac{1}{6}[q(a+b) - R_B]x^3 + \frac{1}{2}[\frac{1}{2}q(a+b)^2 - aR_B]x^2 + C_1x + C_2 \quad ; \quad 0 \leq x \leq a$$

$v(0) = 0$  (1) ;  $v'(0) = 0$  (2) ;  $v(a) = 0$  (3) : شرایط حدی

$$(1) \Rightarrow C_2 = 0$$

$$(2) \Rightarrow C_1 = 0$$

$$(3) \Rightarrow \frac{1}{24}qa^4 - \frac{1}{6}[q(a+b) - R_B]a^3 + \frac{1}{2}[\frac{1}{2}q(a+b)^2 - aR_B]a^2 = 0$$

از حل این معادله نتیجه می‌شود

$$R_B = \frac{3}{8}qa + qb + \frac{3qb^2}{4a}$$

۶۰۶

معادله تغییر مکان تیر را در نیمه چپ تیر (قسم AC) با  $v_1$  و در نیمه راست تیر (قسم CB) با  $v_2$  سنان می‌دهیم.

$$EIv_1'' = M_A - \frac{q_0L}{4}x + \frac{q_0}{3L}x^3 \quad ; \quad 0 \leq x \leq \frac{L}{2}$$

از این معادله دوبار انتگرال می‌گیریم.

$$EIv_1' = M_A x - \frac{q_0L}{8}x^2 + \frac{q_0}{12L}x^4 + C_1$$

$$EIv_1 = \frac{1}{2}M_A x^2 - \frac{q_0L}{24}x^3 + \frac{q_0}{60L}x^5 + C_1x + C_2$$

$$v_1(0) = 0 \quad (1) \quad ; \quad v_1'(0) = 0 \quad (2)$$

$$v_1\left(\frac{L}{2}\right) = 0 \quad (3)$$

$$(1) \Rightarrow C_2 = 0$$

$$(2) \Rightarrow C_1 = 0$$

$$(3) \Rightarrow M_A\left(\frac{L}{2}\right) - \frac{q_0L}{8}\left(\frac{L^2}{4}\right) + \frac{q_0}{12L}\left(\frac{L^5}{16}\right) = 0$$

$$M_A = \frac{5q_0L^2}{96}$$

$$v_1 = \frac{q_0x^2}{960LEI} (25L^3 - 40L^2x + 16x^3) \quad ; \quad 0 \leq x \leq \frac{L}{2}$$

برای بدست آوردن منحنی تغییر مکان در ناحیه  $\frac{L}{2} \leq x \leq L$  CB (با توجه به نتایج تیر و بار گذاری روی آن کافی است در معادله فوق سه حایی  $x$  مقدار  $x - L$  را فرازدیم).

$$v_2 = \frac{q_0(L-x)^2}{960LEI} (25L^3 - 40L^2(L-x) + 16(L-x)^3) \quad ; \quad \frac{L}{2} \leq x \leq L$$

مسئله ۱۱-۳

در نیر شکل ۱۱-۲۶a و اکنش  $R_B$  را بدست آورد.

حل: در حالت معینی استاتیکی نیر مجبور واحد می‌باشد. و اکنش‌های  $R_A$  و  $M_A$  را بر حسب  $R_B$  تعیین می‌کنیم.

۶۰۷

واکنش‌های فائم سیر مطابق با روابط ۱۵-۱۱ محاسبه می‌شوند.

$$R_a = \frac{q}{L^3} \int_0^a (L-x)^2 (L+2x) dx = \frac{qa}{2L^3} (2L^3 - 2a^2 L + a^3)$$

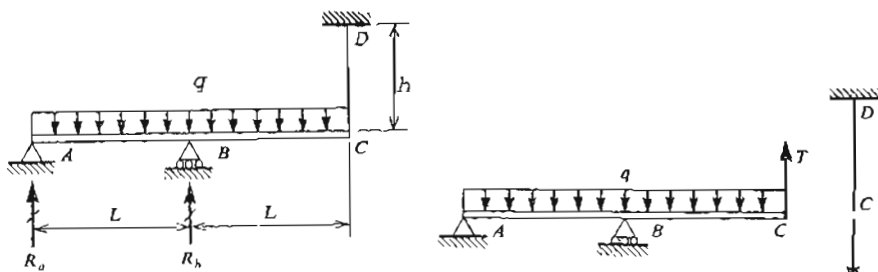
$$R_b = \frac{q}{L^3} \int_0^a x^2 (3L-2x) dx = \frac{qa^3}{2L^3} (2L-a)$$

واکنش‌ها برای سیر دو سرگیرداری تحت بار یکنواخت  $q$  در تمام طولش (شکل ۱۱-۲۷) با جابگرینی  $a=L$  در معادلات فوق بدست می‌آید. نایاب به صورت زیر می‌باشد:

$$M_a = M_b = \frac{qL^2}{12} ; R_a = R_b = \frac{qL}{2}$$

## مسئله ۱۱-۵

تیر ABC شکل ۱۱-۲۸ دارای سیم‌گاههای ساده در سقطات A و B می‌باشد و بوسیله کابل CD در نقطه C ویران شده است. قبل از اسکه بار یکنواخت  $q$  بر تیر وارد شود، نیروی در کابل وجود ندارد و کابل شل نیز می‌باشد. موقعی که بار  $q$  وارد می‌شود، تیر در نقطه C به طرف پائین تغییر شکل می‌دهد و در کابل نیروی کششی T بوجود می‌آید. برگری این نیرو را پیدا کنید.



شکل ۱۱-۲۸

شکل ۱۱-۲۹

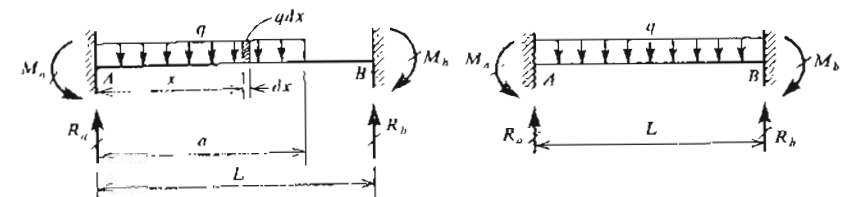
حل: نیروی مجهول T در کابل را واکس مجهول استخراج می‌کنم و سازه را

۶۰۶

در حل مسائل ۱۱-۱۸ تا ۱۱-۲۱ از اصل اجتماع اثر قوا و جداول بیوست ۳ کتاب استفاده می‌کنیم.

## مسئله ۱۱-۴

واکنش‌های نیر دو سرگیردار شکل ۱۱-۲۶a را حسب سار گذاری نشان داده سده هدایا کنید.



شکل ۱۱-۲۶b

حل: عصر کوچکی از بارگذاری به طول  $dx$  را می‌نوانیم به صورت سار متغیرکری با مقدار  $qdx$  در نظر بگیریم (شکل ۱۱-۲۶b). در این صورت می‌نوانیم از روابط بدست آمده در مثال ۴-۱۱ استفاده کیم. اگر در روابط ۱۱-۱۴ به حای بار  $P$  کمیت  $qdx$ ، به جای  $a$  کمیت  $x$  و بحای  $b$  کمیت  $L-x$  را قرار دهیم لنگرهای انتهایی ساشی از بار جزئی مذبور بدست می‌آید.

$$dM_a = \frac{qx(L-x)^2 dx}{L^2} ; dM_b = \frac{qx^2(L-x) dx}{L^2}$$

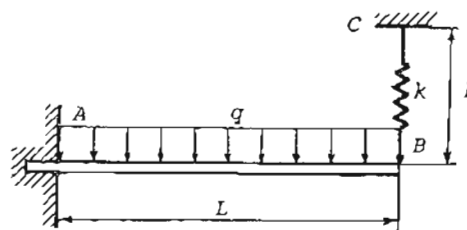
اگر از روابط فوق در طول قسمت سار شده تیر استگارال بگیریم لنگرهای انتهایی  $M_b$  و  $M_a$  بدست می‌آید.

$$M_a = \int_0^a dM_a = \frac{q}{L^2} \int_0^a x(L-x)^2 dx = \frac{qa^2}{12L^2} (6L^2 - 8aL + 3a^2)$$

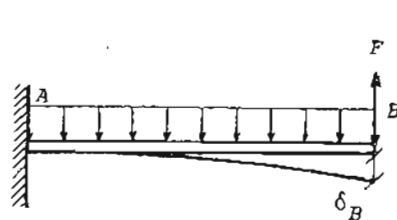
$$M_b = \int_0^a dM_b = \frac{q}{L^2} \int_0^a x^2(L-x) dx = \frac{qa^3}{12L^2} (4L - 3a)$$

۶۰۹

تیر شکل ۱۱-۳۵ در انتهای B به فنری با ثابت فنری k متصل است و تحت اثر بار یکنواخت q قرار دارد. قبل از اینکه بار q وارد شود نیروی داخلی فنر صفر است. نیروی داخلی F فنر را پس از اینکه بار q وارد شود حساب کند.



شکل ۱۱-۳۵



شکل ۱۱-۳۶

حل : روش حل این مسئله مشابه راه حل مسئله قبل است. سازه مذکور را در نقطه B می بریم (شکل ۱۱-۳۶). تغییر مکان رو به پائین نقطه B نیز در اثر یکنواخت q را راست با

$$\delta'_B = \frac{qL^4}{8EI}$$

تغییر مکان رو به سالای سقطه B تیر در اثر نیروی F مساوی است با

$$\delta''_B = \frac{FL^3}{3EI}$$

بنابراین تغییر مکان نقطه B بیر به طرف پائین برابر است با

$$\delta_B = \delta'_B - \delta''_B = \frac{(3qL - 8F)L^3}{24EI}$$

اين تغییر مکان باید برابر با اضافه طول فنر یعنی  $F/k$  باشد. بنابراین

$$\frac{L^3(3qL - 8F)}{24EI} = \frac{F}{k} \quad ; \quad F = \frac{3qL^4 k}{24EI + 8L^3 k}$$

مسئله ۱۱-۷

دو تیر طرهای AB و CD مطابق شکل ۱۱-۲۲ تحت اثر بار P می باشند و بین

۶۰۸

مطابق شکل ۱۱-۲۹ به دو قسم تقسیم می کنیم . سازه های در این صورت شامل دو ساره مستقل ABC (سر) و CD (کابل) حواهد بود . سیروی T بر تیر ABC به طرف بالا و سر کابل CD به طرف پائین اثر می کند . تغییر مکان نقطه C ترشامل دو قسم می باشد : تغییر مکان رو به پائین  $\delta$  ناشی از سار یکنواخت و تغییر مکان روممالای  $\delta'$  ناشی از سیروی T . در همین حال ، انتهای کابل ( نقطه C ) به ادازه  $\delta''_C$  بر از اردياد طول کابل به طرف پائین تغییر مکان حواهد داد . معادله سارگاری به این صورت بيان می شود : تغییر مکان رو به پائین انتهای تیرها تغییر مکان انتهای کابل مساوی می باشد .

$$\delta'_C - \delta''_C = \delta''_C$$

حال سه تغییر مکان مذکور را حساب می کنیم . تغییر مکان  $\delta$  با جایگزینی a = L در جواب مسئله ۹-۱۵ بدست می آید .

$$\delta'_C = \frac{qL^4}{4EI}$$

در این رابطه ، EI صلبیت خمشی سراس . تغییر مکان نقطه C تیرناشی از نیروی T سیز با روشنی متابه مسئله ۹-۱۵ بدست می آید

$$\delta''_C = \frac{2TL^3}{3EI}$$

اضافه طول کابل نیز مساوی است با

$$\delta'''_C = \frac{Th}{EA}$$

در این رابطه ، h طول کابل و EA صلبیت محوری آن است . پس از جایگزینی روابط تغییر مکان فوق در معادله سارگاری تغییر مکانها و حل معادله حاصل سرای T خواهیم داشت

$$T = \frac{3qAL^4}{8AL^3 + 12hI}$$

توجه کنید در این مسئله بک کمیت نیروی داخلی به جای واکنش خارجی به عنوان نیروی اضافی انتخاب گردید . انتخاب نیروی اضافی معمولاً " سراس سهولت روش حل صورت می گیرد .

مسئله ۱۱-۶

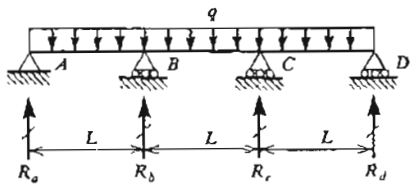
۴۱۱

از مساوی قرار دادن  $\delta_D$  و  $\delta'$  سیروی F بدست می‌آید.

$$F = \frac{5PL_2}{2(I_1 + I_2)}$$

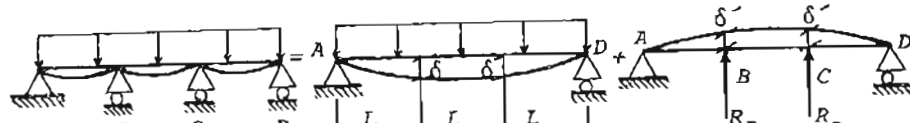
مسئله ۸

واکنش‌های تیر سراسری سه دهانه شکل ۱۱-۳۲ را تعیین کنید.



شکل ۱۱-۳۲

حل: بعلت تقارن داریم  $R_A = R_D$  و  $R_B = R_C$  از معادله تعادل در امتداد فاعم نتیجه می‌شود  
 $R_A + R_B = \frac{3}{2}qL$  (۱)  
 واکنش‌های  $R_C$  و  $R_B$  را بعنوان واکنش اضافی اختاب می‌کیم.



شکل ۱۱-۳۵

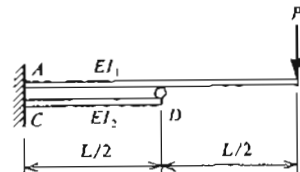
شرط‌سازگاری تغییر مکان‌ها در تکیه گاه‌های B و C (شکل ۱۱-۳۵) با استفاده از جداول آخوندکاب بدست می‌آید.

$$\delta = \frac{qL}{24EI} (27L^3 - 6L^3 + L^3) = \frac{11}{12} \frac{qL^4}{EI}$$

$$\delta' = \frac{R_B L}{6EI} [(3L)(3L) - 3L^2 - L^2] = \frac{5R_B L^3}{6EI}$$

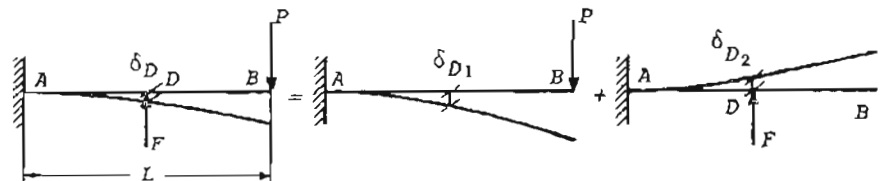
۴۱۰

نهاده در نقطه D غلطکی قرار دارد. ملبیت حمی نبر بالایی EI<sub>1</sub> و ملبیت حمی نیر

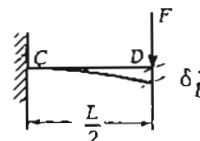


شکل ۱۱-۳۲

پائینی EI<sub>2</sub> است. نیروی F را که در نقطه D بین دو تیر منتقل می‌شود پیدا کید.



شکل ۱۱-۳۳



حل:

شرط سازگاری تغییر مکان‌ها در نقطه D (شکل ۱۱-۳۳)  $\delta_D = \delta_{D_1} - \delta_{D_2} = \delta'_D$

مقادیر  $\delta_D$  و  $\delta'_{D_1}$  با استفاده از جداول آخوندکاب بدست می‌آید.

$$\delta_D = \delta_{D_1} - \delta_{D_2} = \frac{P(\frac{L}{2})^2}{6EI_1} (3L - \frac{L}{2}) - \frac{F(\frac{L}{2})^3}{3EI_1} = \frac{L^3(5P - 2F)}{48EI_1}$$

$$\delta'_D = \frac{F(\frac{L}{2})^3}{3EI_2} = \frac{FL^3}{24EI_2}$$

۶۱۳

$$\delta_B'' = \frac{R_B(2L)^3}{48EI} = \frac{R_B L^3}{6EI}$$

$$\Delta = \frac{5qL^4}{24EI} - \frac{R_B L^3}{6EI} \quad (1)$$

$$2R_A + R_B = 2qL \quad (2)$$

معادله معادل در امتداد فاصله  $\Delta$  :

با فرض اینکه  $R_A = R_B = R_C$  از معادله ۲ سیجه می‌شود

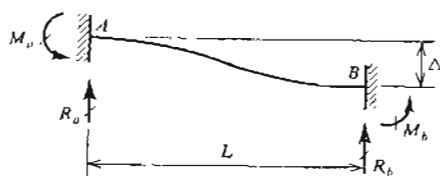
$$R_A = R_B = R_C = \frac{2}{3}qL$$

با فرار دادن  $R_B = \frac{2}{3}qL$  در معادله ۱ مقدار  $\Delta$  بدست می‌آید.

$$\Delta = \frac{7}{72} \frac{qL^4}{EI}$$

مسئله ۱۱-۱۵

انتهای B تیر دوسرگیردار AB (شکل ۱۱-۳۸) به اندازه  $\Delta$  شست کرده



شکل ۱۱-۳۸

است. واکنش‌های سر را در اثر این غییر مکان بباید.

حل : درجه ناممی اساتیکی تیر مریبور 2 می‌باید. واکنش‌های  $R_B$  و  $M_B$  عسوان واکنش‌های اضافی استخاب می‌کنیم (شکل ۱۱-۳۹). معادلات سازگاری عارتند:

$$\delta_B' + \delta_B'' = -\Delta \quad (1)$$

$$\theta_B' + \theta_B'' = 0 \quad (2)$$

مقادیر  $\delta_B'$ ،  $\delta_B''$  و  $\theta_B'$  با استفاده از حداول آحر کتاب بدست می‌آیند.

$$\delta_B' = \frac{R_B L^3}{3EI}$$

$$\delta_B'' = \frac{M_B L^2}{2EI}$$

$$\theta_B' = \frac{R_B L^2}{2EI}$$

$$\theta_B'' = \frac{M_B L}{r_f}$$

۶۱۴

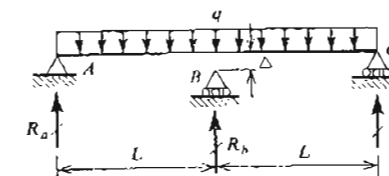
$$R_B = R_C = \frac{11}{10}qL$$

$$(1) \Rightarrow R_A = R_D = \frac{2}{5}qL$$

از تساوی  $\delta = \delta'$  نتیجه می‌شود

مسئله ۱۱-۹

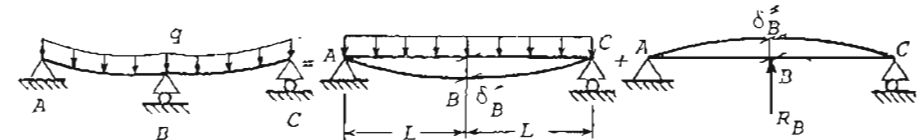
تیر دو دهانه‌ای قل از اسکه باری بر آن وارد شود سر نکیه گاههای A و C شکیه دارد (شکل ۱۱-۳۶). در این حال بین تیر و نکیه گاه B فاصله  $\Delta$  وجود دارد.



شکل ۱۱-۳۶

موقعی که بار پکنواخت  $\delta$  سر تیر وارد می‌شود فاصله مریبور از بین می‌رود و در هر سه گاهه واکنش‌های ایجاد می‌شود. فاصله  $\Delta$  باید چقدر باشد تا هر سه واکنش ساوه باشند؟

حل : به علیق تقارن  $R_A = R_C$  می‌باند.



شکل ۱۱-۳۷

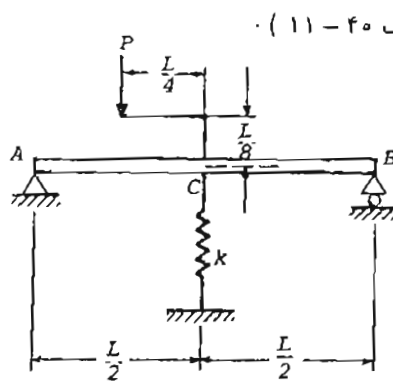
$$\Delta = \delta_B' - \delta_B''$$

شرط سازگاری غییر مکان‌ها در نکیه گاه B :

$\delta_B'$  و  $\delta_B''$  از حداول آحر کتاب بدست می‌آیند.

$$\delta_B' = \frac{5q(2L)^4}{384EI} = \frac{5qL^4}{24EI}$$

۱۶۵



نیروی F ایجاد شده در فنر را حساب کنید (شکل ۱۱-۴۰).

شکل ۱۱-۴۰

حل : شرط سازگاری تغییر مکان‌ها در نقطه C (شکل ۱۱-۴۱).

$$\delta = \frac{F}{k} = \delta' + \delta'' \quad (1)$$

$\delta'$  تغییر مکان نقطه C در انحراف  $M_0 = \frac{PL}{4}$  می‌باشد که برابر است با صفر، مقدار  $\delta''$  با استفاده از جداول آنچه کتاب برابر است با

$$\delta'' = \frac{(P-F)L^3}{48EI} \quad (2)$$

$$F = \frac{(P-F)L^3}{48EI}$$

ار روابط ۱ و ۲ نتیجه می‌شود

$$F = \frac{kPL^3}{48EI + kL^3}$$

از حل این رابطه F بدست می‌آید.

مسئله ۱۱-۱۲

قاب ABC شکل ۱۱-۴۲ در نکه گاه A گیردار و در نکه گاه C روی غلط قرار دارد و در نقطه B دارای اتصال صلب می‌باشد. واکنش‌های قاب را تعیین کنید. از تغییر شکل‌های محوری صرف نظر کنید و فقط تغییر نکل ناشی از حمん را در نظر بگیرید. عصوهای AB و BC دارای ملبيت خمشی  $EI$  می‌باشند.

۱۶۴

از جایگزینی این مقادیر در معادلات ۱ و ۲ حاصل می‌شود

$$\frac{1}{2}R_B L + M_B = 0$$

$$\frac{L^2}{6EI} (2R_B L + 3M_B) = -\Delta$$

از حل این دو معادله  $M_B$  و  $R_B$  بدست می‌آید.

$$R_B = -\frac{12EI\Delta}{L^3} \quad ; \quad M_B = \frac{6EI\Delta}{L^2}$$

از معادله عادل در امتداد قائم نتیجه می‌شود

$$R_A + R_B = 0 \quad ; \quad R_A = \frac{12EI\Delta}{L^3}$$

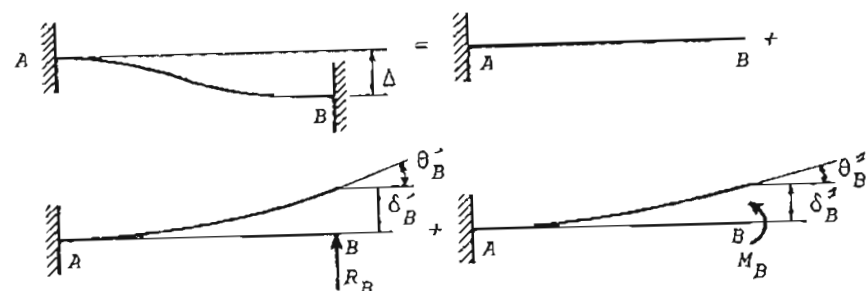
لیکن  $M_A$  از معادله تعادل لنگری حول نقطه A بدست می‌آید.

$$M_A + M_B + R_B L = 0 \quad ; \quad M_A = \frac{6EI\Delta}{L^2}$$

جهت واکنش‌ها در روی شکل بجز  $R_B$  درست فرص شده است. جهت واکنش  $R_B$  در روی شکل باید عوض شود.

مسئله ۱۱-۱۱

تسویه AB با طبیعت خمشی EI در نقطه C روی فنری با ثابت فنری k قرار دارد.



شکل ۱۱-۳۹

۶۱۷

$$\delta_C' = \delta_C'' = \delta_C^z + \delta_C^{\ddot{z}} \quad (1) \quad : C \text{ در نکیه گاه}$$

شرط سازگاری تغییر مکان‌ها در نکیه گاه

حال مقادیر تغییر مکان‌ها را با استفاده از جداول آخر کتاب پیدا می‌کنیم.

$$\theta_B' = \frac{qL^3}{6EI}$$

$$\delta_C' = L\theta_B' = \frac{qL^4}{6EI} \quad (2)$$

$$\delta_C^z = \frac{V_C L^3}{3EI} \quad (3)$$

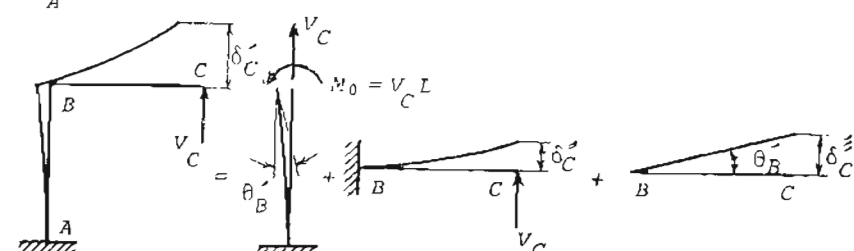
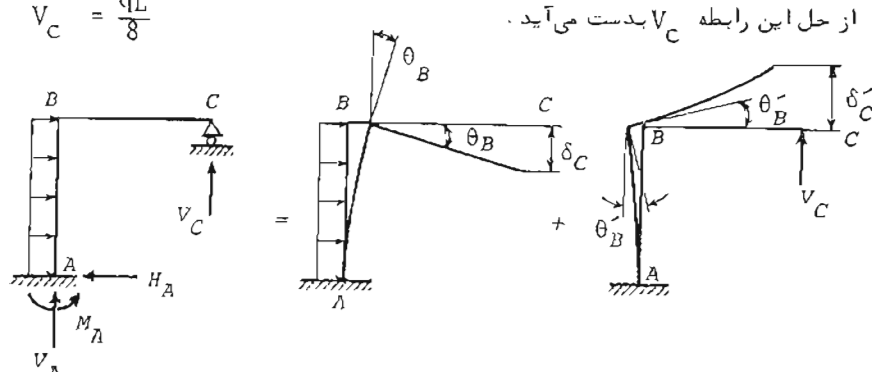
$$\theta_B' = \frac{M_0 L}{EI} = \frac{V_C L^2}{EI}$$

$$\delta_C^{\ddot{z}} = L\theta_B' = \frac{V_C L^2}{EI} \quad (4)$$

از جایگزینی روابط ۲ تا ۴ در رابطه ۱ خواهیم داشت

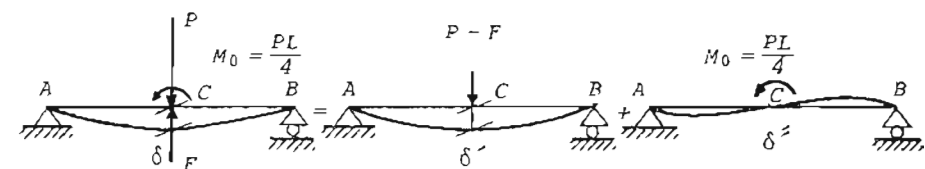
$$\frac{qL^4}{6EI} = \frac{V_C L^3}{3EI} + \frac{V_C L^3}{EI}$$

$$V_C = \frac{qL}{8}$$



شکل ۱۱-۴۳

۶۱۸

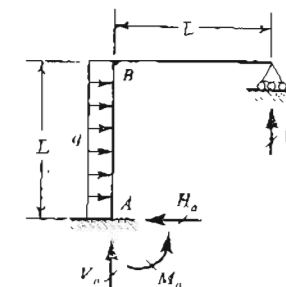


شکل ۱۱-۴۱

$$H_A = qL$$

حل: تعادل در امتداد اعنی:

در جهاد معینی اساتیکی قاب مربوب واحد می‌باشد. و اکشن  $V_C$  را به عسوان و اکشناصی انتخاب می‌کنیم. قاب ABC را به حالت‌های ساده‌تر تجزیه می‌کنیم (شکل ۱۱-۴۲).



شکل ۱۱-۴۲

۶۱۹

مقدار  $\theta_A'$  از جداول آخر کتاب بدست می‌آید ( شکل ۱۱-۴۶ ) .

$$\theta_A'' = \frac{M_A L}{3EI}$$

$\theta_A' = \theta_A - \theta_A'' = 0$  : شرط سازگاری تغییر مکان‌ها در نکیه گاه A با جایگزینی  $\theta_A'$  و  $\theta_A''$  در معادله سازگاری واکنش  $M_A$  بدست می‌آید.

$$\frac{\alpha L(T_2 - T_1)}{2h} - \frac{M_A L}{3EI} = 0 \quad ; \quad M_A = \frac{3\alpha EI(T_2 - T_1)}{2h}$$

از معادله تعادل لنگری حول نقطه B واکنش  $R_A$  نتیجه می‌شود.

$$R_A = \frac{M_A}{L} = \frac{3\alpha EI(T_2 - T_1)}{2hL}$$

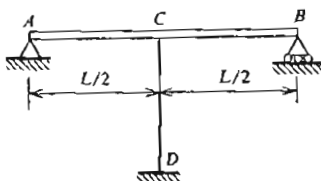
از معادله تعادل در امتداد قائم واکنش  $R_B$  بدست می‌آید.

$$R_B = -R_A = -\frac{3\alpha EI(T_2 - T_1)}{2hL}$$

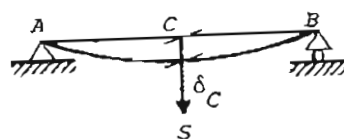
بنابراین جهت واکنش  $R_B$  در روی شکل باید عوص شود.

مسئله ۱۱-۱۴

تیر ساده AB ( شکل ۱۱-۴۷ ) در نقطه C به کابل CD متصل می‌باشد که سفت ولی بدون تنفس اولیه است. طول کابل H و مساحت مقطعی A می‌باشد. موقعی که درجه حرارت به اندازه  $T$  درجه تنزل می‌کند نیروی کشش S در کابل چقدر خواهد بود؟ فرض کنید تیر و کابل هر دو از یک ماده تشکیل شده باشند.



شکل ۱۱-۴۷



شکل ۱۱-۴۸

۶۱۸

از معادله تعادل در امتداد قائم  $V_A$  محاسبه می‌شود.

از معادله تعادل لنگری حول نقطه A لنگر  $M_A$  بدست می‌آید.

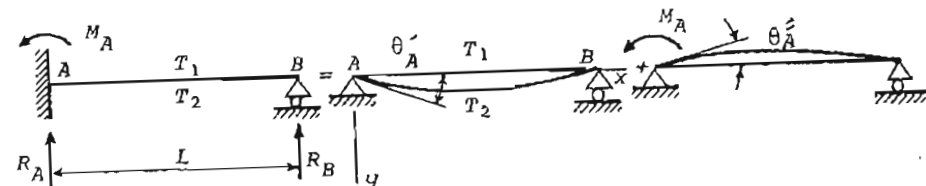
$$\sum M_A = 0 \Rightarrow M_A + LV_C - \frac{qL^2}{2} = 0 \quad ; \quad M_A = \frac{3qL^2}{8}$$

جهت واکنش‌های  $M_A$  ،  $H_A$  ،  $V_C$  درست فرض شده است ولی جهت واکنش  $V_A$  باید عوص شود.

مسئله ۱۱-۱۳

تیر AB در نکیه گاه A گیردار می‌باشد و در نکیه گاه B بر روی غلطک قرار دارد ( شکل ۱۱-۴۴ ) . درجه حرارت در سطح فوقانی آن  $T_1$  و در سطح تحتانی آن  $T_2$  می‌باشد. واکنش‌های تیر را پیدا کنید.

حل: نمره مذکور بیک درجه سامن می‌باشد. واکنش  $M_A$  را بمحسان واکنش اضافی انتخاب می‌کیم. معادله تغییر مکان سار گذاری شکل ۱۱-۴۵ را قبلاً در مسئله



شکل ۱۱-۴۶

شکل ۱۱-۴۵

مسئله ۱۱-۱۵ بودست آوردم:

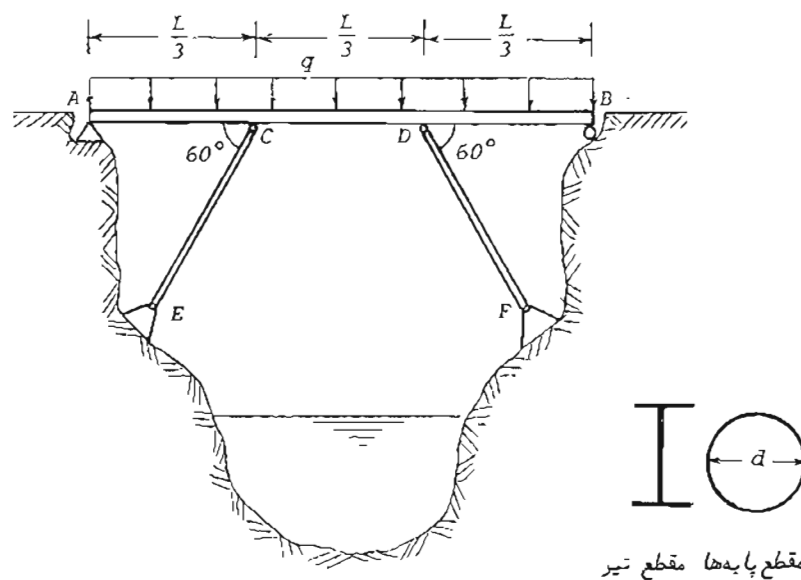
$$v_1 = \frac{\alpha(T_2 - T_1)}{2h} x(L - x)$$

در این رابطه ارتفاع مقطع تیر می‌باشد. با استفاده از معادله فوق  $\theta_A'$  محاسبه می‌شود.

$$\theta_A' = \frac{dv_1}{dx} \Big|_{x=0} = \frac{\alpha(T_2 - T_1)}{2h} (L - 2x) \Big|_{x=0} = \frac{\alpha L(T_2 - T_1)}{2h}$$

۶۲۱

آنها محوری حواهد بود. به عبارت دیگر در آنها نیروهای فشاری F ایجاد می‌شود. نیروهای F وارد بر نسرا AB را (شکل ۱۱-۵۰) می‌توان به دو مؤلفه تجزیه کرد



شکل ۱۱-۴۹

یکی در امتداد محور نیرو دیگری عمود سر امتداد محور نیرو. موئنه مواری سا امتداد نسرا در نیرو سیروی محوری ایجاد می‌کند که از تغییر تکل آن صرف نظر می‌شود. موئنه عمود بر امتداد نیرو مانند نکیه گاهی فائم برای سر عمل می‌کند. نیرو مزبور از لحاظ استانیکی یک درجه ساممن می‌باشد. سرای تعیین مقدار نیروی نامعین F از اصل احتماع اثر قوا استفاده می‌کیم (شکل ۱۱-۵۱). تغییر مکان‌های  $\delta$  و  $\delta'$  با استفاده از جداول آخر کتاب بدست می‌آیند.

$$\delta = \frac{q(\frac{L}{3})}{24EI} \left( L^3 - \frac{2L^3}{9} + \frac{L^3}{27} \right) = \frac{22qL^4}{1944EI}$$

$$\delta' = \frac{\sqrt{3}F(\frac{L}{3})}{6EI} \left( L^2 - \frac{L^2}{3} - \frac{L^2}{9} \right) = \frac{5\sqrt{3}FL^3}{324EI}$$

۶۲۰

حل : اگر کامل در مقطع C می‌تر متصل نبود و می‌تواست می‌آزادی تغییر شکل دهد کاهش طول آن به اداره  $\alpha TH = \delta$  می‌شود (  $\alpha$  ضریب اساطیر حرارتی ماده مصرفی می‌باشد ) . ولی جون کامل به سر منصل است در آن سروی کشی S ابحداد می‌شود و در نتیجه طول آن به اداره  $\delta'$  زیاد می‌شود. از طرف دیگر سروی کشی S باعث می‌شود که نقطه C ترمه اداره  $\delta$  به طرف پاس استقلال یابد (شکل ۱۱-۴۸) . با این شرط سازگاری تغییر مکان‌ها در نقطه C به صورت زیر سوشه می‌شود :

$$\delta = \delta_C + \delta'_C \quad (1)$$

تغییر مکان C سا استفاده از حد اول آخر کتاب برابر است با

$$\delta_C = \frac{SL^3}{48EI}$$

از دیگر طول کابل در اثر سروی کشی S مساوی است

$$\delta'_C = \frac{SH}{EA}$$

با اینجا با جایگزینی  $\delta$  و  $\delta'$  در معادله ۱ نتیجه می‌شود

$$\alpha TH = \frac{SL^3}{48EI} + \frac{SH}{EA}$$

$$S = \frac{48\alpha TH EI A}{L^3 A + 48 H^3}$$

از حل این معادله سروی کشی S بدست می‌آید.

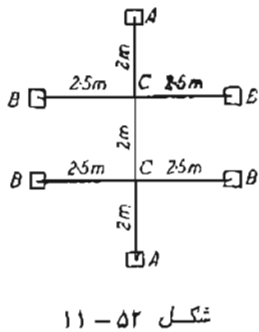
مسئله ۱۱-۱۵

لی بددهانه I مطابق شکل ۱۱-۱۱ تشكيل شده است از نیرو سراسی AB که در مواصل  $\frac{L}{3}$  از دو استهای آن بر روی پایه‌های مایل CE و DF فرار دارد. مقطع تیر به شکل I و مقطع پایه‌ها به صورت استواهه توپر می‌باشد. بار وارد در واحد طول نیرو سراسی  $q$  است. نیار دولاد سا ضریب ارتحاعی E و پایه‌ها از سه ناش مجار  $\sigma_w$  می‌باشد. الف - سا صرف نظر نمودن از تغییر شکل محوری نیرو و پایه‌ها مساحت مقطع A لارم برای هر یک از پایه‌ها را تعیین کبد. ب - اگر  $q = 1500 \text{ Kg/m}$  ،  $L = 75 \text{ m}$  و  $\sigma_w = 300 \text{ Kg/cm}^2$  باشد حداقل فطر پایه‌ها را تعیین کبد.

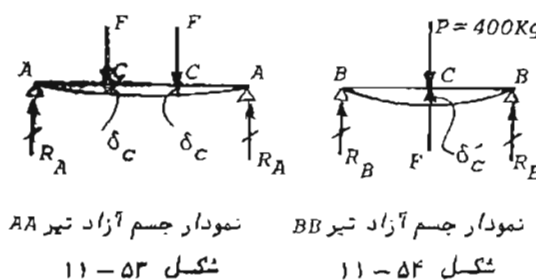
حل : جون پایه‌های CE و DF در دو استهای بنا متعلقی می‌باشد بار وارد بر

۶۲۲

اثر می کند . هر سه تیر دارای سطح مقطع یکسان می باشد . واکنشها را در تکیه گاههای A و B تعیین کید .



شکل ۱۱-۵۲



نمودار جسم آزاد تیر  
شکل ۱۱-۵۳

نمودار جسم آزاد تیر  
شکل ۱۱-۵۴

حل : فرض می کنیم بارهای  $P = 400\text{Kg}$  بر روی تیرهای BB وارد شوند و واکنش بین تیرهای AA و BB را F می نامیم . جو شرها بر روی یکدیگر قرار دارند و از یکدیگر جدا نمی شوند شرط سازگاری تعیین مکان های تعییر مکان های ایجاد شده در سطه C عبارتست از (شکل های ۱۱-۵۴ و ۱۱-۵۳) .

$$\delta_C = \delta'_C$$

$\delta_C$  و  $\delta'_C$  را با استفاده از جداول آحر کتاب پیدا می کیم .

$$\delta_C = \frac{F(2)}{6EI} [3(6)(2) - 3(2)^2 - (2)^2] = \frac{20F}{3EI}$$

$$\delta'_C = \frac{(P-F)(5)^3}{48EI} = \frac{125(P-F)}{48EI}$$

$$\frac{20F}{3EI} = \frac{125(P-F)}{48EI}$$

$$F = \frac{25P}{89} = \frac{25(400)}{89} \approx 112.4 \text{ Kg}$$

با داشتن F واکنشهای  $R_A$  و  $R_B$  از نمودارهای جسم آزاد تیرهای AA و BB به دست می آید .

۶۲۲

شرط سازگاری تعیین مکان های در تکیه گاههای C و D :

$$\frac{22qL^4}{1944EI} = \frac{5\sqrt{3}FL^3}{324EI} \quad : \quad F = \frac{11}{15\sqrt{3}} qL = 0.423qL$$

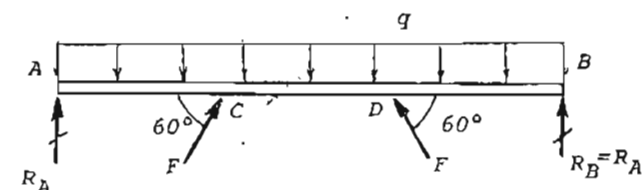
سطح مقطع لازم برای هر یک ار پایه ها برابر است با

$$A = \frac{F}{\sigma_w} = 0.423 \frac{qL}{\sigma_w}$$

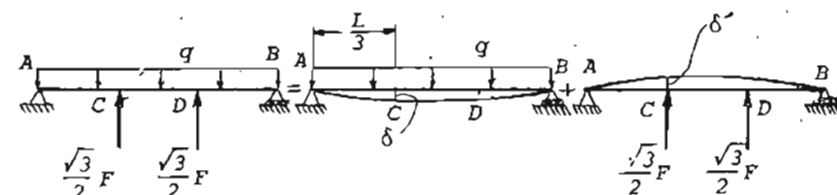
بنابراین حداقل قطر پایه ها از رابطه زیر بدست می آید :

$$\frac{\pi d^2}{4} = 0.423 \frac{qL}{\sigma_w}$$

$$d = \sqrt{0.539 \frac{qL}{\sigma_w}} = \sqrt{0.539 \frac{(15)(7500)}{300}} = 14.2 \text{ cm}$$



شکل ۱۱-۵۰ نمودار جسم آزاد تیر



شکل ۱۱-۵۱

مسئله ۱۱-۱۶

در شکل ۱۱-۵۲ AA سیر ساده ای را در تصویر افی نشان می دهد که بر روی آن دو تیرساده BB نکیه دارند . در محل تقاطع تیرها ( در نقاط C ) دو بار ۴۰۰ کیلوگرمی

۶۲۵

( شکل ۱۱-۵۷ )

$$\delta_{Bh} = \alpha L \Delta T - \frac{R_{Bx} L}{AE}$$

$$\delta_{Bv} = \frac{R_{By} L^3}{3EI}$$

( با استفاده از جداول آخر کتاب )

چون سطح مایل سا افق را به  $45^\circ$  می سارد مولفه های افقی و فاعم تغییر مکان نقطه B با یکدیگر سرازند .

$$\delta_{Bh} = \delta_{Bv} \Rightarrow \alpha L \Delta T - \frac{R_{Bx} L}{AE} = \frac{R_{By} L^3}{3EI}$$

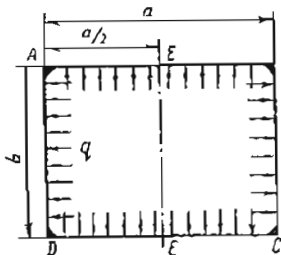
$$R_{Bx} = R_{By} = \frac{\alpha L \Delta T}{\frac{L}{AE} + \frac{L^3}{3EI}}$$

حداکثر لنگر خمی در نقطه A می باشد که برابر است با

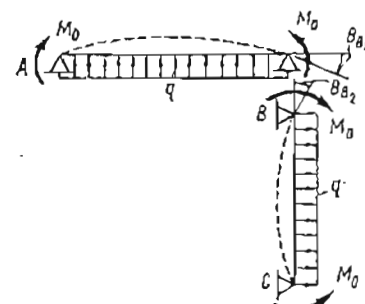
$$M_{max} = M_A = R_{By} L = \frac{\alpha L \Delta T}{\frac{1}{AE} + \frac{L^2}{3EI}}$$

( مسئله ۱۱-۱۸ )

فاب صلب ( قایی که اتصالات آن صلب است ) شکل ۱۱-۵۸ به اضلاع a و b و مثبت خمی  $\Delta T$  تحت اثر بارگذاری بکوادت داخلی q قرار دارد . اصرارش



( شکل ۱۱-۵۸ )



( شکل ۱۱-۵۹ )

۶۲۶

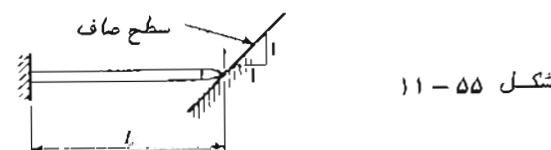
$$R_A = F = 112.4 \text{ Kg}$$

$$R_B = \frac{P-F}{2} = \frac{400-112.4}{2} = 143.8 \text{ Kg}$$

توجه کنید اگر بارهای  $P=400 \text{ Kg}$  بر تیر AA اریاضین وارد شوند ، به شرط اینکه تیر AA به تیرهای BB متصل نباشد ، در جواب مسئله نسیبی حاصل نمی شود .

( مسئله ۱۱-۱۷ )

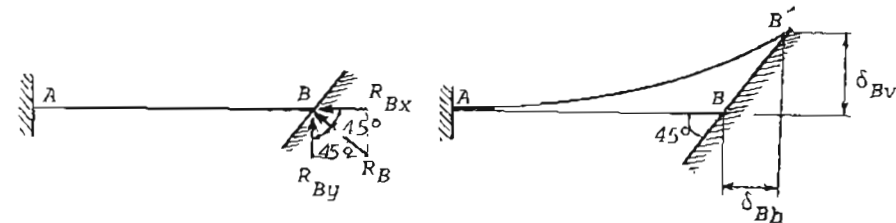
در حرارت معبی سیر طرهای شکل ۱۱-۵۵ بر روی سطح بدون اصطکاکی بکه دارد



( شکل ۱۱-۵۵ )

بدون اینکه سر آن سرمهی وارد کند . اگر در حده حرارت به انداره  $\Delta T$  افزایش پیدا کند حداکثر لنگر خمی در طول سیر چقدر حواهد بود ؟ از وزن تیر و همچین ناشی سرمهی محوری در روی تغییر شکل خمی صرف نظر کنید . سطح مقطع بر A ، صرب ارجاعی آن E ، گشاور لحنی مقطع آن I و صرب انبساط حرارتی ماده تیر معلوم می شوند .

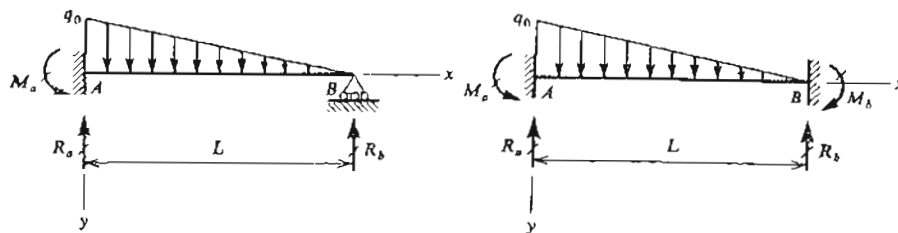
حل : چون سطح مایل بدون اصطکاک می باشد واکنش  $R_B$  که در اثر اردباد درجه حرارت ایجاد می شود عمود بر سطح مربوط می باشد .  $R_B$  را به دو مولعد قائم و افقی تجزیه می کنیم ( شکل ۱۱-۵۶ ) . چون سطح مایل سا افق را به  $45^\circ$  می سازد دو مولفه فوق با یکدیگر مساوی می شوند که آنها را  $R_{By}$  و  $R_{Bx}$  می نامیم . اگر مولفه های قائم و افقی تغییر مکان نقطه B را به سینی  $\delta_{Bh}$  و  $\delta_{Bv}$  نامیم می توانیم بنویسیم



( شکل ۱۱-۵۶ )

( شکل ۱۱-۵۷ )

۶۲۷

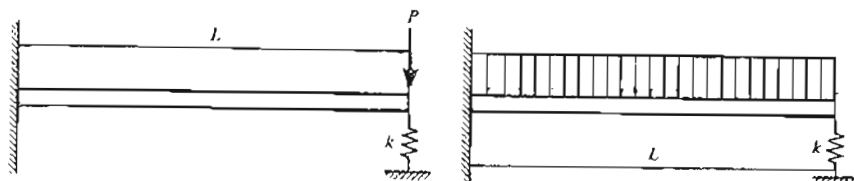


شکل ۱۱-۲-۱

فri k قرار دارد و تحت اثر بار مرکز P مطابق شکل می باشد. واکنش را که از طرف فر بر تیر وارد می شود حساب کنید.

شکل ۱۱-۲-۲

فri k قرار دارد و تحت اثر بار مرکز P مطابق شکل می باشد. واکنش را که از طرف فر بر تیر وارد می شود حساب کنید.



شکل ۱۱-۲-۳

شکل ۱۱-۲-۴

مسئله ۱۱-۲-۴ تیر طرهای شکل ۱۱-۲-۴ در یک انتهای بر روی فri با ثابت فri k قرار دارد و تحت اثر بار گسترده یکنواختی با شدت q در واحد طول میباشد. واکنش را که از طرف فر بر تیر وارد می شود حساب کنید.

مسائل ۱۱-۲-۵ و ۱۱-۲-۶ حداقل نگر خمنی و نیروی برشی در طول تیر های شکل های ۵-۱۱ و ۶-۱۱ را بدست آورید.



شکل ۱۱-۲-۵

شکل ۱۱-۲-۶

مسئله ۱۱-۲-۷ زاویه دوران مقطع عرضی تیر درست در بالای تکه گاه مفصلی را در مسأله ۱۱-۲-۷ حساب کنید.

۶۲۶

فاصله ۵ بین مقاطع میاسی E-E را تعیین کنید.

حل : اسدا غاب را در محل اتصال برد، مطابق شکل ۱۱-۵۹ به شیرهای تقسیم کنیم. چون غاب و سار روی آن متقارن می باشد کافی است فقط دو شیر مثلا "AB" و "BC" را در سطر بگیریم. اگر از اصافه طول شیرها صرف نظر کنیم، هر شیر را می توان به صورت شیر ساده‌ای در سطر گرفت که تحت بار بکواخت  $q$  و دو لنگر مجهول  $M_0$  دردو انتهاش (ترکیه گاهها) فرار دارد. این لنکرها معرف صلبیت اتمالات غاب می باشند. چون اتصالات قاب صلب می باشد زوایای گوشتهای قاب بعد از تغییر شکل نمیزاید به صورت فائمه باقی بمانند. در این صورت شرط سازگاری تغییر مکان‌ها با توجه به شکل ۱۱-۵۹ به صورت زیر نوشته می شود :

$$(1) \quad \theta_{B_1} = \theta_{B_2} \quad \text{زوایای } \theta_{B_1} \text{ و } \theta_{B_2} \text{ با استفاده از جداول پیوست ۳ کتاب حساب می شوند.}$$

$$\theta_{B_1} = \frac{qa^3}{24EI} - \frac{M_0a}{2EI} \quad ; \quad \theta_{B_2} = \frac{M_0b}{2EI} - \frac{qb^3}{24EI}$$

پس از جایگزینی مقادیر فوق در معادله ۱ و حل معادله حاصل برای  $M_0$  خواهیم داشت

$$M_0 = \frac{q}{12} (a^2 - ab + b^2)$$

امرازش فاصله ۵ بین وسطهای اضلاع AB و CD نیز با استفاده از جداول آخر کتاب محاسبه می شود.

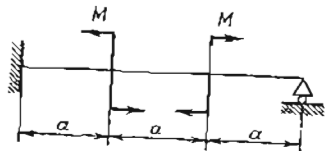
$$\delta = \frac{2}{EI} \left( \frac{5}{384} qa^4 - \frac{M_0 a^2}{8} \right) = \frac{qa^2}{192EI} (a^2 + 4ab - 4b^2)$$

مسائل حل نشده ۱۱-۲

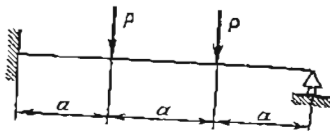
مسئله ۱۱-۲-۱ و ۱۱-۲-۲ معادله منحنی تغییر مکان و واکنش های تیر های شکل های ۱-۱ و ۱-۲ و ۲-۲-۱ را بدست آورید.

مسئله ۱۱-۲-۳ تیر طرهای شکل ۳-۱۱ در یک انتهای بر روی فri با ثابت

۶۲۷



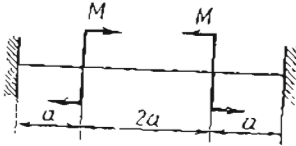
شکل ۱۱-۳-۱



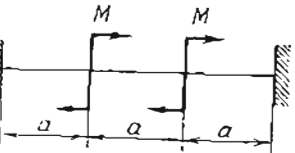
شکل ۱۱-۳-۲



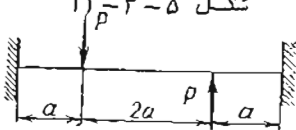
شکل ۱۱-۳-۳



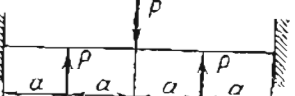
شکل ۱۱-۳-۴



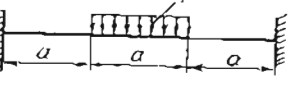
شکل ۱۱-۳-۵



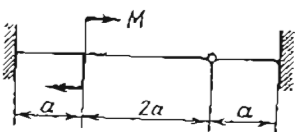
شکل ۱۱-۳-۶



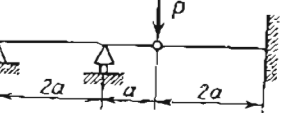
شکل ۱۱-۳-۷



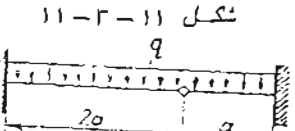
شکل ۱۱-۳-۸



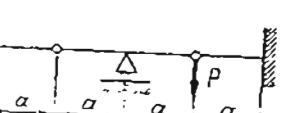
شکل ۱۱-۳-۹



شکل ۱۱-۳-۱۰



شکل ۱۱-۳-۱۱

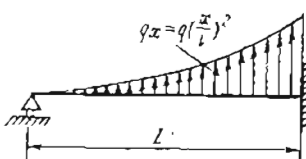


شکل ۱۱-۳-۱۲

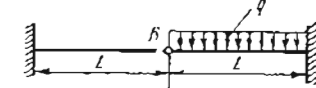
شکل ۱۱-۳-۱۳

۶۲۸

مسئله ۱۱-۲-۸ تغییر مکان مفصل B تر شکل ۱۱-۲-۸ را محاسبه کنید.



شکل ۱۱-۲-۲



شکل ۱۱-۲-۸

مسئله ۱۱-۳-۴ تا ۱۱-۳-۱۰ مودارهای لگر خمی و نسروی برنسی را برای تیرهای شکل های ۱۱-۳-۱ تا ۱۱-۳-۴ در طول شیر بدست آورید. در مسئله ۱۱-۳-۴ فرض کنید  $L = 2a$ .

مسئله ۱۱-۳-۱۰ تا ۱۱-۳-۱۵ در شکل های ۱۱-۳-۵ تا ۱۱-۳-۱۰ می باشد. مفرض اینکه طول شیر برابر ۳m و سنت محاز  $1600 \text{ Kg/cm}^2$  است، بار محاذ تیر را حساب کنید. تیرهای شکل های ۱۱-۳-۱۱ و ۱۱-۳-۱۲ دارای مقطع عرضی دایره به قطر  $10\text{cm}$  می باشند. تیرهای شکل های ۱۱-۳-۷ و ۱۱-۳-۸ دارای مقطع عرضی دایره ای نو خالی به فطر خارجی  $12\text{cm}$  و فطر داخلی  $8\text{cm}$  می باشند. مقطع عرضی تیرهای شکل های ۹-۱۱ و ۱۰-۱۱ مرع مربع به ابعاد  $10\text{cm} \times 10\text{cm}$  می باشد.

مسئله ۱۱-۳-۱۴ تا ۱۱-۳-۱۸ تغییر مکان اتصال مفصلی را در تیرهای شکل های ۱۱-۳-۱۴ تا ۱۱-۳-۱۸ بدست آورید.

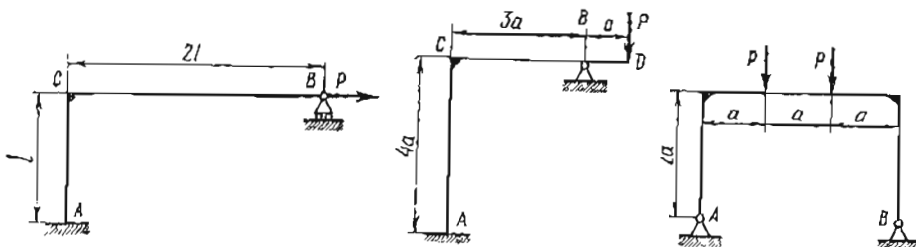
مسئله ۱۱-۳-۱۸ تا ۱۱-۳-۲۰ تغییر مکان اتصال مفصلی را در تیرهای شکل های ۱۵-۱۸ تا ۱۱-۳-۱۸ بدست آورید.

مسئله ۱۱-۳-۱۹ تغییر مکان قائم بلوك لوند را در شکل های ۱۱-۳-۱۹ و ۱۱-۳-۲۰ تا ۱۱-۳-۱۹ محاسبه کنید.

۶۳۱

مسائل ۲۱-۳-۱۱ نا ۲۴-۳-۱۱ نیروی محوری  $N$  را در میله‌های کشی سازه‌های شکل‌های ۲۱-۳-۱۱ نا ۲۴-۳-۱۱ بدست آورد.

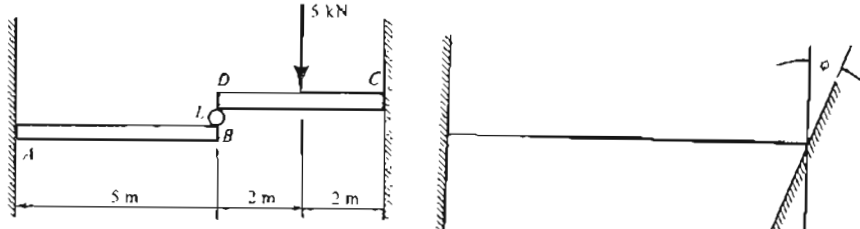
**مسائل ۱۱-۳-۲۵ تا ۱۱-۳-۲۷** و اکنون **۱۱-۳-۲۸ تا ۱۱-۳-۲۹** را در تکیه گاه B محاسبه کنید.



٢٥-٣-١١

١١-٣-٢٤-شکل

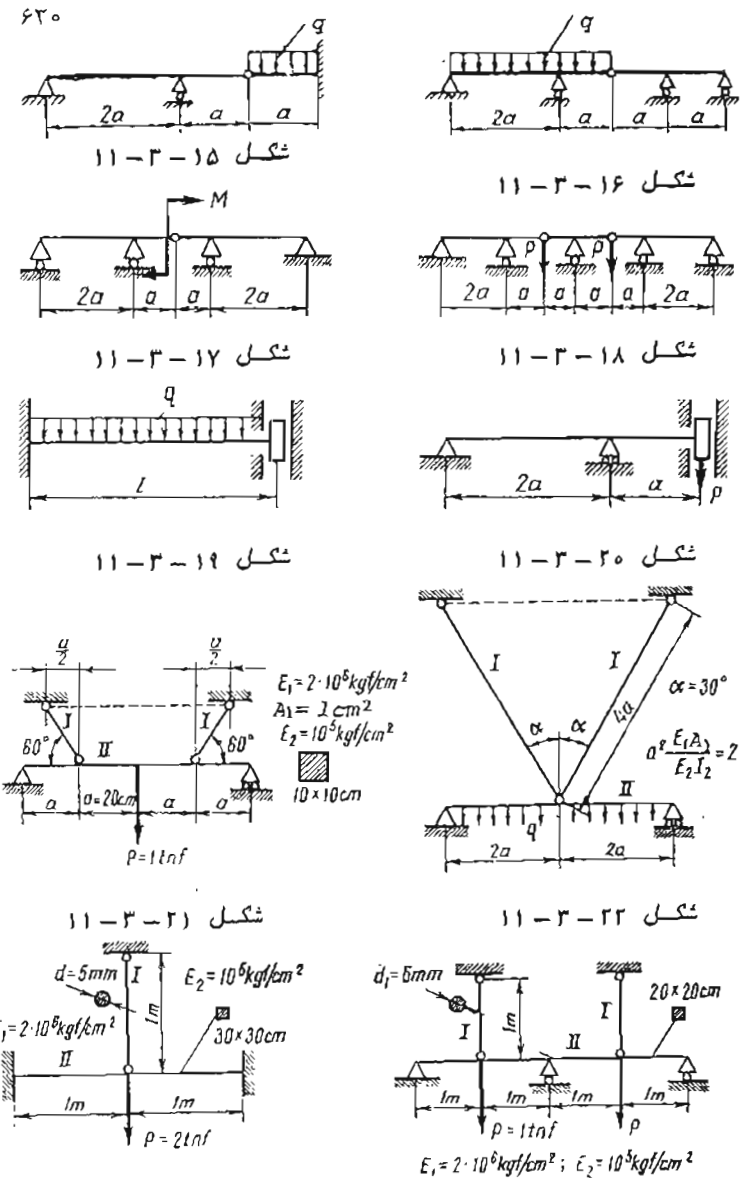
**مسئله ۲۸-۳-۱۱** AB و CD در شکل های ۲-۲-۱۱ تیرهای طرهای هستند که سی انشاهای آزاد آنها غلطک E وجود دارد. هر دو تیر از فولاد با ضریب ارتباطی  $10^{11} \text{ N/m}^2$  می باشد. گستاور لختی تیر AB برابر  $2000 \text{ cm}^4$  و گستاور لختی تیر CD برابر  $3000 \text{ cm}^4$  می باشد. واکنش را در نقطه E بینا کید.



شکل ۱۱-۲۸

١١ - ٥ = ٥٩

مسئله ۲۹-۳-۱۱ نیز دو سرگیردار شکل ۲۹-۳-۱۱ دارای صلابت حمی و طول  $\overline{AB}$  می باشد. انتها راست به اندازه زاویه  $\phi$  مطابق شکل دوران داده میشود.



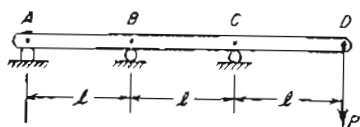
شکل ۲۲-۳-۱۱

شکل ۲۶-۳-۱۱

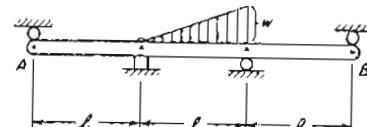
۶۳۳

دست آورید. نیز در نقطه C پیوسته است و صلبیت خمثی آن در سراسر طولش ثابت می باشد.

مسئله ۱۱-۲-۲۴ واکنش  $R_A$  در تیر سراسری شکل ۱۱-۲-۲۴ را محاسبه کنید.



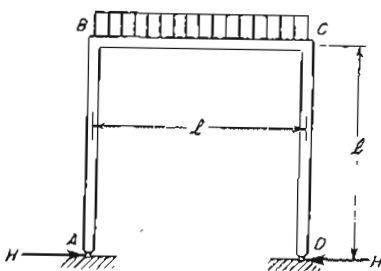
شکل ۱۱-۲-۲۴



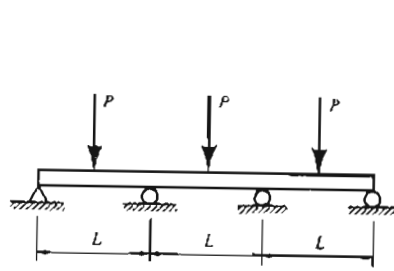
شکل ۱۱-۲-۲۵

مسئله ۱۱-۳-۲۵ واکنش های  $R_A$  و  $R_B$  تیر شکل ۱۱-۳-۲۵ را محاسبه کنید.

مسئله ۱۱-۳-۲۶ صلبیت خمثی فاب ABCD (شکل ۱۱-۳-۲۶) در سراسر طول آن ثابت و براسر EI است. سیروی افقی H در محل هر تکیه گاه را حساب کنید. شد بارگردانی یکنواخت در قسم BC برابر  $q$  می باشد.



شکل ۱۱-۳-۲۶



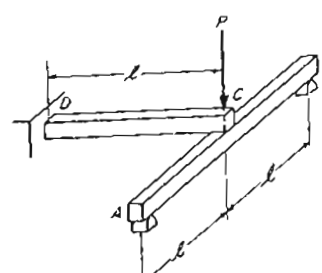
شکل ۱۱-۳-۲۷

مسئله ۱۱-۳-۲۷ واکنش های تیر سراسری شکل ۱۱-۳-۲۷ را محاسبه کنید.

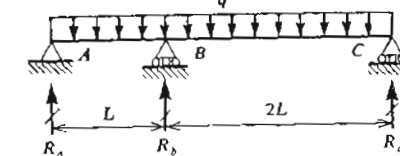
مسئله ۱۱-۴-۱ درجه حرارت سطوح فوفایی و نحتای تیر سراسری ABC (شکل

۶۳۴) واکنش های لیگری اینجاست در دو انسهای سیر در اثر دوران مزبور را پیدا کنید.

مسئله ۱۱-۳-۲۵ دو سر جوی از یک سو چوب بریده شده و مطابق شکل ۱۱-۳-۲۵ فرار داده شده اند. انسهای آزاد نز طرهای DC بروسط نر ساده AB منکی می باشد. هر دو تیر افقی و عمود سر یکدیگر می باشد. مسیر مکان ثابت  $C$  در عطفه نهاش دو نیز را در اثر نار  $P$  وارد سر انسهای سیر طرهای حساب کند.



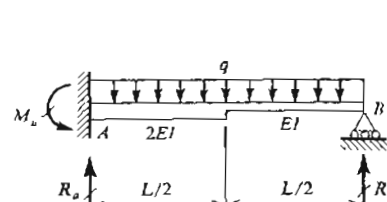
شکل ۱۱-۳-۲۰



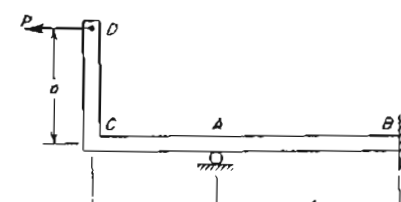
شکل ۱۱-۳-۲۱

مسئله ۱۱-۳-۲۱ واکنش های سیر سراسری شکل ۱۱-۳-۲۱ را تحت بارگذاری گستردگی یکنواخت بدست آورید.

مسئله ۱۱-۳-۲۲ در شکل ۱۱-۳-۲۲ یکتیر عییر منشوری AB تحت بارگردانی یکنواخت  $q$  متساهمه می شود. واکنش های تیر را پیدا کنید.



شکل ۱۱-۳-۲۲



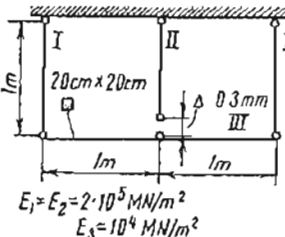
شکل ۱۱-۳-۲۳

مسئله ۱۱-۳-۲۳ واکنش اضافی  $R_A$  در تکیه گاه A را در شکل ۱۱-۳-۲۳ به

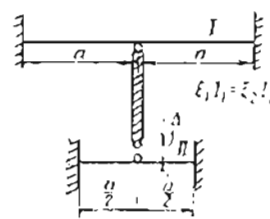
۶۳۵

مسئله ۱۱-۴-۴ اگر درجه حرارت میله‌های فائم (شکل ۱۱-۴-۱) به اندازه  $50^{\circ}\text{C}$  کاهش یابد چه مقدار نش در آنها ایجاد می‌شود؟ فرض کنید قبل از افت درجه حرارت، ساره فاقد نش باشد. ضرب ابساط حرارتی میله‌های فائم  $12.5 \times 10^{-6} \text{C}^{-1}$ ، ضرب ارجاعی  $2 \times 10^6 \text{Kg/cm}^2$  و مساحت مقطع عرضی هر یک از آنها  $2 \text{cm}^2$  می‌باشد. ضرب ارجاعی نیز افقی  $10^5 \text{Kg/cm}^2$  و مقطع عرضی آن در روی شکل مشخص شده است.

مسئله ۱۱-۴-۵ در شکل ۱۱-۴-۵ تنش‌های ناشی از اندازه نبودن عضو میانی را در میله‌های فائم حساب کنید. مساحت مقطع عرضی هر یک از میله‌های فائم  $1 \text{cm}^2$  می‌باشد.



شکل ۱۱-۴-۵



شکل ۱۱-۴-۶

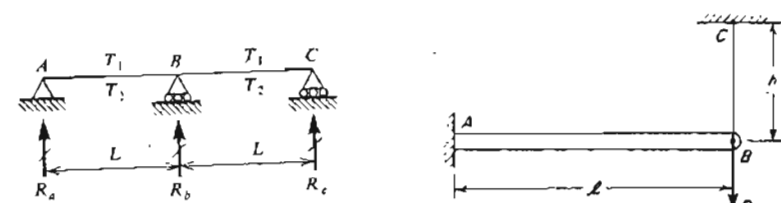
مسئله ۱۱-۴-۶ دو نیزه دو سر گیردار باید بوسیله میله صلی به یکدیگر متصل شوند (شکل ۱۱-۴-۶). طول میله صلب فائم به اندازه  $\Delta$  کوتاهتر از اندازه لازم است. نیروی ایجاد شده در میله صلب فائم را پس از سوار کردن ساره حساب کنید.

مسئله ۱۱-۵-۱ تغییر مکان افقی  $\lambda$  استهای آزاد تیر ساده‌ای تحت بار گسترده یکواخت شدت  $\eta$  را حساب کنید.

مسئله ۱۱-۵-۲ فرض کنید منحنی تغییر مکان نیزی با نکه گاههای غیر قابل حرکت (شکل ۱۱-۲۲) بوسیله معادله  $v = \delta \sin \frac{\pi x}{L}$  داده شده باشد. نیروی افقی  $H$  را در دو استهای نیز حساب کنید.

۶۳۴

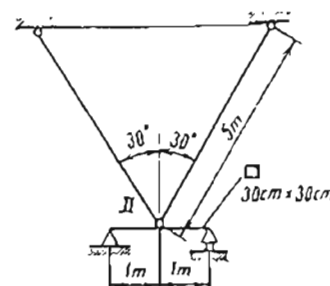
مسئله ۱۱-۴-۱ به ترتیب  $T_1$  و  $T_2$  می‌باشد. واکنش‌های ایجاد شده در اثر این اختلاف درجه حرارت را حساب کنید.



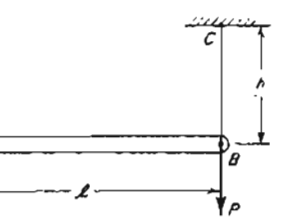
شکل ۱۱-۴-۱

مسئله ۱۱-۴-۲ سازه شکل ۱۱-۴-۲ به درجه حرارت  $T=21^{\circ}\text{C}$  بدون نش می‌باشد. اگر درجه حرارت به  $18^{\circ}\text{C}$  کاهش یابد نیروی کششی در میله قائم CB را حساب کنید. مقطع عرضی تیر به شکل مستطیل به عرض  $7.5 \text{cm}$  و ارتفاع  $2.5 \text{cm}$  و مقطع عرضی میله قائم به شکل دایره و به فطر  $0.5 \text{cm}$  می‌باشد. ضرب ابساط حرارتی میله برای  $12.5 \times 10^{-6} \text{C}^{-1}$  و ضرب ارجاعی میله و نیز  $E=2 \times 10^6 \text{Kg/cm}^2$  می‌باشد. طول میله و تیر را یکان و برابر  $25 \text{cm}$  فرض کنید.

مسئله ۱۱-۴-۳ سازه شکل ۱۱-۴-۳ بدون نش می‌باشد. اگر درجه حرارت میله‌های مایل به اندازه  $50^{\circ}\text{C}$  کاهش یابد چه مقدار نش در آنها ایجاد می‌شود؟ ضرب ابساط حرارتی میله‌های مایل  $12.5 \times 10^{-6} \text{C}^{-1}$ ، ضرب ارجاعی آنها  $10^5 \times 2 \text{MN/m}^2$  و مساحت مقطع عرضی هر یک از آنها برابر  $1 \text{cm}^2$  است. ضرب ارجاعی  $10^4 \text{MN/m}^2$  و مقطع عرضی آن در روی شکل نشان داده است.



شکل ۱۱-۴-۳



شکل ۱۱-۴-۴

۶۳۴

$$\frac{8}{11} Pa$$

$$: 11-3-12 \quad \frac{15}{28} M : 11-3-11$$

$$\frac{3}{4} Pa$$

$$: 11-3-14 \quad \frac{9}{8} qa^2 : 11-3-13$$

$$\frac{qa^4}{20EI}$$

$$: 11-3-16 \quad \frac{3qa^4}{32EI} : 11-3-15$$

$$\frac{Pa^3}{4EI}$$

$$: 11-3-18 \quad \frac{7Ma^2}{12EI} : 11-3-17$$

$$\frac{Pa^3}{12EI}$$

$$: 11-3-20 \quad \frac{qL^4}{24EI} : 11-3-19$$

$$\frac{5\sqrt{3}}{12} qa$$

$$: 11-3-22 \quad 720 Kg : 11-3-21$$

$$172 Kg$$

$$R_{Bx} = \frac{3}{16} P; R_{By} = \frac{17}{12} P : 11-3-24$$

$$47 Kg : 11-3-23$$

$$R_B = \frac{3}{20} P : 11-3-25$$

$$398 N$$

$$\frac{4\phi EI}{L} : 11-3-28$$

$$R_{Bx} = \frac{3}{13} P : 11-3-27$$

$$\frac{2\phi EI}{L} \text{ در استهای چپ نزدیک راست تیر} : 11-3-29$$

$$\frac{PL^3}{9EI} : 11-3-30$$

$$R_a = \frac{qL}{8}; R_b = \frac{33qL}{16}; R_c = \frac{13qL}{16} : 11-3-31$$

$$R_a = \frac{31qL}{48}; R_b = \frac{17qL}{48}; M_a = \frac{7qL^2}{48} : 11-3-32$$

$$\frac{P}{4} \text{ به طرف بالا} : 11-3-34 \quad R_A = \frac{3Pa}{2L} : 11-3-33$$

$$H = \frac{qL}{20} : 11-3-36 \quad R_A = \frac{wL}{45}; R_B = \frac{wL}{36} : 11-3-35$$

$$\frac{7P}{20}; \frac{23P}{20}; \frac{23P}{20}; \frac{7P}{20}; M_{max} = \frac{7PL}{40} : 11-3-37$$

۶۳۶

۱۱-۸ جواب‌های مسائل حل نشده

$$v = \frac{q_0 x^2}{120LEI} (4L^3 - 8L^2x + 5Lx^2 - x^3) : 11-2-1$$

$$R_a = \frac{2q_0 L}{5}; R_b = \frac{q_0 L}{10}; M_a = \frac{q_0 L^2}{15}$$

$$v = \frac{q_0 x^2}{120LEI} (3L^3 - 7L^2x + 5Lx^2 - x^3) : 11-2-2$$

$$R_a = \frac{7q_0 L}{20}; R_b = \frac{3q_0 L}{20}; M_a = \frac{q_0 L^2}{20}; M_b = \frac{q_0 L^2}{30}$$

$$\frac{qL}{8(\frac{1}{3} + \frac{EI}{KL^3})} : 11-2-4 \quad \frac{P}{1 + \frac{3EI}{KL^3}} : 11-2-5$$

$$|M|_{max} = \frac{7}{32} qa^2; |V|_{max} = \frac{41}{63} qa : 11-2-6$$

$$|M|_{max} = \frac{13}{24} qa^2; |V|_{max} = \frac{49}{72} qa : 11-2-7$$

$$\delta_B = \frac{qL^4}{16EI}; \theta = \frac{qL^3}{240EI} : 11-2-8$$

$$|M|_{max} = \frac{5}{6} M; |V|_{max} = \frac{1}{6} \frac{M}{a} : 11-2-9$$

$$|M|_{max} = Pa; |V|_{max} = \frac{4}{3} P : 11-2-10$$

$$|M|_{max} = \frac{9}{32} qa^2; |V|_{max} = \frac{57}{64} qa : 11-2-11$$

$$|M|_{max} = Pa; |V|_{max} = P : 11-2-12$$

$$M_w = 2850 mKg; M_w = 3140 mKg : 11-2-13$$

$$P_w = 11600 kg; P_w = 7730 Kg : 11-2-14$$

$$q_w = 5.2 t/m; q_w = 7.4 t/m : 11-2-15$$

حجت الله عادلی

مقاومت مصالح

## فصل دوازدهم

کار برد توابع استثنایی در تحلیل تیرها

### ۱۲-۱ نمودارهای نیروی برشی و لیگر خمشی

در فصل هفتم نحوه رسم نمودارهای سیروی سرشی و لیگر خمشی را مورد بررسی قرار دادیم . بخصوص مساهده کردیم وقتی که بارها یا لنگرهای مرکز تیر می کنند معادلات نیروی برشی و لیگر خمشی در قسمت‌های مختلف تیر باید بطور جداگانه نوشته شود . با استفاده از توابع استثنایی می‌توان این معادلات را به طور خلاصه‌تری نوشت .

تابع استثنایی را با رابطه زیر می‌توان تعریف نمود :

$$f_n(x) = (x-a)^n \quad (12-1)$$

مفهوم عبارت سمت راست را برای وقتی که  $0 \leq n$  بدین صورت تعریف می‌کیم : اگر جمله درون برانتز گوش دار مسی باشد ( یعنی اگر  $x > a$  ) تابع  $f_n(x)$  برابر صفر و اگر جمله درون برانتز گوش دار مثبت باشد ( یعنی اگر  $x < a$  ) تابع مذبور برابر  $(x-a)^n$  می‌باشد . این تابع از قانون انتگرال گیری پیروی می‌کند .

$$\int_{-\infty}^x (x-a)^n dx = \frac{(x-a)^{n+1}}{n+1} \quad (n \geq 0) \quad (12-2)$$

لازم است قانون انتگرال گیری را سه حالت‌های  $n = -1$  و  $n = -2$  نیز تعریف کیم .

$$\int_{-\infty}^x (x-a)^{-1} dx = (x-a)^0 = \begin{cases} 0 & (x < a) \\ 1 & (x > a) \end{cases} \quad (12-3)$$

۶۳۸

$$R_b = -2R_a = -2R_c = \frac{3\alpha EI(T_2-T_1)}{hL}$$

: ۱۱-۴-۱

$$109 \text{ MN/m}^2 \quad : 11-4-2$$

$$\sigma_1 = -\frac{1}{2}\sigma_2 = -7.5 \text{ MN/m}^2 \quad : 11-4-3$$

: ۱۱-۴-۴

: ۱۱-۴-۵

$$\frac{64\Delta EI}{3a^3}$$

$$H = \frac{\pi^2 EA \delta^2}{4L^2} \quad : 11-5-2$$

$$\lambda = \frac{17q^2 L^7}{40320 E^2 I^2}$$

: ۱۱-۵-۱

## فصل دوازدهم

کار برد توابع استثنایی در تحلیل تیرها

### ۱۲-۱ نمودارهای نیروی برشی و لنگر خمشی

در فصل هفتم نحوه رسم نمودارهای سیروی برشی و لنگر خمشی را مورد بررسی قرار دادیم . بخصوص مشاهده کردیم وقتی که بارها یا لنگرهای متراکم بر تر اثر می کنند معادلات سیروی برشی و لنگر خمشی در قسمت های مختلف تیر باید بطور جداگانه نوشته شود . با استفاده از توابع استثنایی می نویسیم معادلات را به طور خلاصه تری نوشت .  
تابع استثنایی را با رابطه زیر می توان تعریف سود :

$$f_n(x) = \langle x-a \rangle^n \quad (12-1)$$

مفهوم عبارت سمت راست را برای وقتی که  $0 \leq n$  بدین صورت تعریف می کیم : اگر جمله درون پرانتز گوشه دار مفی باشد ( یعنی اگر  $x < a$  ) تابع  $f_n(x)$  برابر صفر و اگر جمله درون پرانتز گوشه دار مثبت باشد ( یعنی اگر  $x > a$  ) تابع مذبور برابر  $(x-a)^n$  می باشد . این تابع از قانون انتگرال گیری پیروی می کند .

$$\int_{-\infty}^x \langle x-a \rangle^n dx = \frac{\langle x-a \rangle^{n+1}}{n+1} \quad (n \geq 0) \quad (12-2)$$

لازم است قانون انتگرال گیری را برای حالت های  $-1 \leq n \leq -2$  و  $n = -2$  نیز تعریف کیم .

$$\int_{-\infty}^x \langle x-a \rangle^{-1} dx = \langle x-a \rangle^0 = \begin{cases} 0 & (x < a) \\ 1 & (x > a) \end{cases} \quad (12-3)$$

۶۳۸

$$R_b = -2R_a = -2R_c = \frac{3\alpha EI(T_2 - T_1)}{hL}$$

: ۱۱-۴-۱

$$109 \text{ MN/m}^2 \quad : 11-4-2 \quad 35.5 \text{ Kg}$$

: ۱۱-۴-۲

$$\sigma_1 = -\frac{1}{2}\sigma_2 = -7.5 \text{ MN/m}^2 \quad : 11-4-5 \quad 288.5 \text{ Kg/cm}^2$$

: ۱۱-۴-۴

$$\frac{64\Delta EI}{3a^3}$$

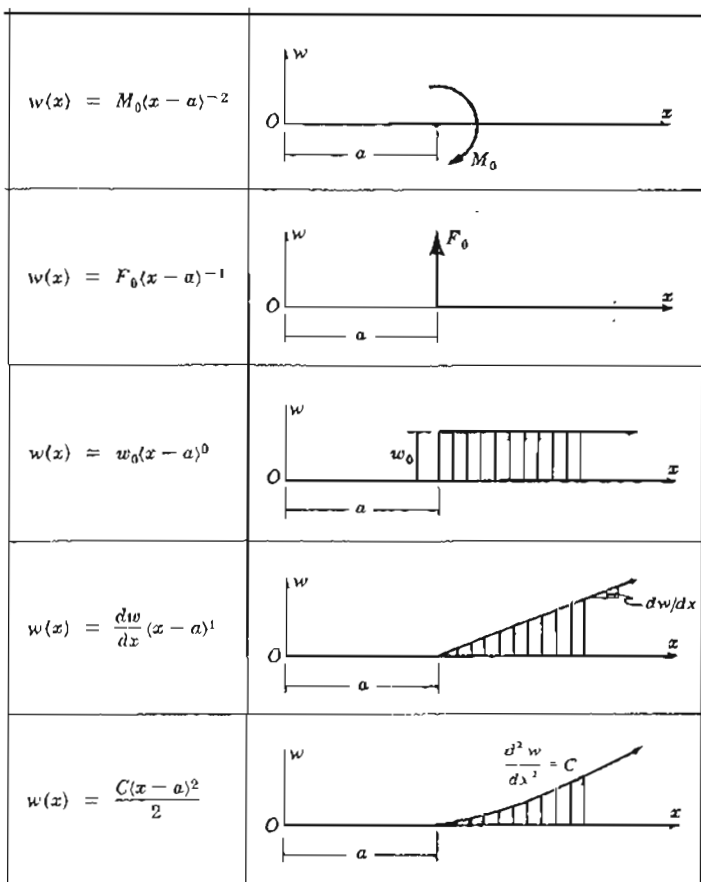
: ۱۱-۴-۶

$$H = \frac{\pi^2 EA \delta^2}{4L^2} \quad : 11-5-2 \quad \lambda = \frac{17q^2 L^7}{40320E^2 I^2}$$

: ۱۱-۵-۱

۶۴۰

۶۴۱



شکل ۱-۱۲

$$\int_{-\infty}^X <x-a>^{-2} dx = <x-a>^{-1}$$

( 12-4 )

توابع  $<x-a>^{-1}$  و  $<x-a>^{-2}$  در همه حا صفر می شاند سو در  $x=a$  که مقادیر آنها بی سهایت می باشد بطوریکه روابط فوق صادق باشند.

بنج نمودار شکل ۱-۱۲ نوع استثنای با درجات مختلف را که برای سازدادن بار گذاری متداول سیرها لازم می باشد نشان می دهد. وقتی که بار گذاری در روی سیرها استفاده از توابع مربور نوشته شد، پیدا کردن سیروی برشی و لیگر خمثی در طول سیر را استفاده از فواعد انتگرال گری موق به سهولت انجام می گیرد.

در موقع استفاده از نوع استثنایی "عمولاً" جهت مثبت بار به طرف بالا مفرض می شود ( شکل ۱-۱۲ ) . سایر این رابطه ۳-۷ را بسته بار  $w$  و سیروی برشی  $V$  به صورت زیر نوشته می شود :

$$\frac{dV}{dx} = w$$

( 12-5 )

رابطه ۴-۷ را نیز در ایجا مجدداً می سویسیم .

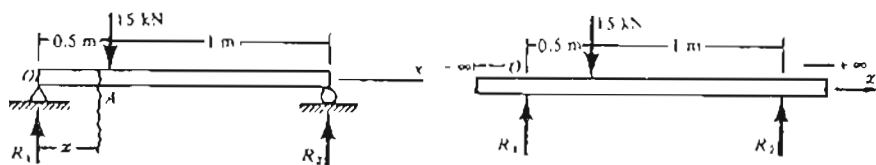
$$\frac{dM}{dx} = V$$

( 12-6 )

کاربرد توابع استثنایی برای پیدا کردن سیروی برشی و لیگر خمثی در نیزه را به کم چند مثال شرح می دهیم .

### مثال ۱-۱

تیر ساده شکل ۲-۱۲ نحت اثر بار متغیر  $15kN$  قرار دارد. با استفاده از توابع استثنایی معادلات سیروی برشی و لیگر خمثی در طول نیزه را نوشته نمودارهای آنها را رسم کید .



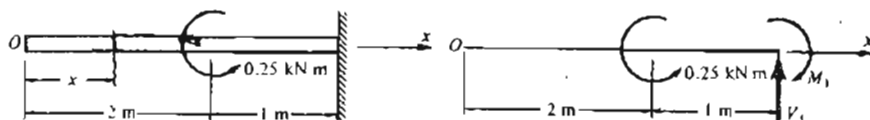
شکل ۲-۲

شکل ۲-۳

حل : واکنشهای  $R_1$  و  $R_2$  به صورت نیزهای متغیر داری شکل ۲-۱۲ نشان داده شده اند. می توان فرض نمود که تراز دو طرف تا بی نهایت آدامه دارد. در این صورت تیر مورد مطالعه قسمتی از این تیر فرسی را ( مطابق شکل ۲-۳ ) نشان میدهد. در سمت چپ واکنش  $R_1$  و در سمت راست واکنش  $R_2$  سیروی بر روی تیر سی نهایت طول وجود ندارد و در نتیجه نیزه برشی و لیگر خمثی در این نواحی باید برابر صفر باشند.

۶۴۲

ولنگر خمی در طول سیر را با استفاده از نوع استثنای سوشه نمودارهای آنها را رسم کنید.



شکل ۱۲-۶

شکل ۱۲-۷

حل : نمودار جسم آزاد تیر در شکل ۷-۱۲ رسم شده است.  $V_1$  و  $M_1$  واکنش‌های دیوار تکیه گاه می‌باشند. تابع شدت بار به صورت زیر نوشته می‌شود :

$$w(x) = -0.25 \langle x-2 \rangle^{-2} + V_1 \langle x-3 \rangle^{-1} + M_1 \langle x-3 \rangle^{-2}$$

پس از انTEGRال کری از رابطه فوق سیروی برشی بدست می‌آید.

$$V(x) = \int_{-\infty}^x wdx = -0.25 \langle x-2 \rangle^{-1} + V_1 \langle x-3 \rangle^0 + M_1 \langle x-3 \rangle^{-1}$$

اگر نقطه‌ای از تیر فرضی می‌نهایت طویل درست در سمت راست  $V_1$  را در نظر بگیریم با توجه به تعریف تابع  $\langle x-a \rangle^{-1}$  نتیجه می‌شود که  $V_1 = 0$ . بنابراین رابطه فوق بصورت زیر در می‌آید :

$$V(x) = -0.25 \langle x-2 \rangle^{-1} + M_1 \langle x-3 \rangle^{-1}$$

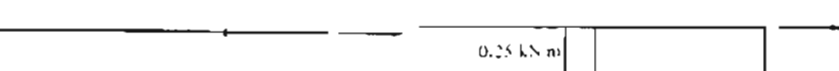
پس از انTEGRال کری از رابطه فوق لنگر خمی بدست می‌آید.

$$M(x) = \int_{-\infty}^x Vdx = -0.25 \langle x-2 \rangle^0 + M_1 \langle x-3 \rangle^0$$

لنگر خمی در نقطه‌ای درست در سمت راست تکیه گاه برابر صفر است. بنابراین نتیجه می‌شود

$$-0.25 + M_1 = 0 \quad ; \quad M_1 = 0.25 \text{ kNm}$$

نمودارهای سیروی برشی و لنگر خمی تیر به ترتیب در شکل‌های ۸-۹ و ۱۲-۹ رسم شده‌اند.



شکل ۱۲-۸ نمودار لنگر خمی

شکل ۱۲-۹ نمودار سیروی برشی

۶۴۲

با استفاده از شکل ۱-۱۲ مابعد شدت بار رابه صورت ریز می‌توانیم بنویسیم :

$$w(x) = R_1 \langle x \rangle^{-1} - 15 \langle x-0.5 \rangle^{-1} + R_2 \langle x-1.5 \rangle^{-1} \quad (12-7)$$

با استفاده از رابطه ۱۲-۵ و قواعد انتگرال کری ۱۲-۳ و ۱۲-۶، سیروی برشی به دست می‌آید.

$$V(x) = \int_{-\infty}^x wdx = R_1 \langle x \rangle^0 - 15 \langle x-0.5 \rangle^0 + R_2 \langle x-1.5 \rangle^0 \quad (12-8)$$

همین طور با استفاده از رابطه ۶-۱۲ و قواعد انتگرال کری فوق لنگر خمی در طول تیر محاسبه می‌شود.

$$M(x) = \int_{-\infty}^x Vdx = R_1 \langle x \rangle^1 - 15 \langle x-0.5 \rangle^1 + R_2 \langle x-1.5 \rangle^1 \quad (12-9)$$

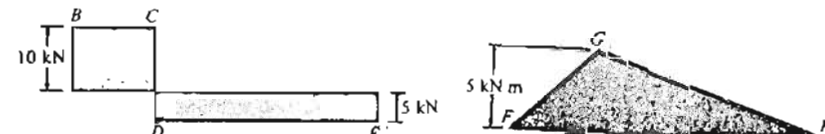
واکنش‌های  $R_1$  و  $R_2$  را می‌توانیم از معادلات ۱۲-۸ و ۱۲-۹ بدست آوریم. برای  $x$  کی بزرگتر از ۱.۵، یعنی برای نقاطی است راست واکنش  $R_2$ ، سیروی برشی  $V(x)$  باید برابر صفر باشد. بنابراین از معادله ۱۲-۸ نتیجه می‌شود

$$R_1 - 15 + R_2 = 0$$

برای  $x=1.5$  (در روی سکیه گاه راست)، لنگر خمی  $(x) M$  باید صفر باشد. بنابراین از معادله ۱۲-۹ حاصل می‌شود

$$R_1(1.5) - 15(1.5 - 0.5) + 0 = 0$$

از حل دو معادله فوق  $R_2 = 5\text{kN}$  و  $R_1 = 10\text{kN}$  بدست می‌آیند. البته با استفاده از معادلات تعادل نیز می‌توانستیم به همین نتیجه برسیم. پس از جایگزینی مقادیر واکنش‌ها در معادلات ۱۲-۸ و ۱۲-۹ می‌توان نمودارهای سیروی برشی (شکل ۴-۱۲) و لنگر خمی (شکل ۵-۱۲) را رسم نمود.



شکل ۱۲-۱۲ نمودار لنگر خمی

شکل ۱۲-۱۲ نمودار سیروی برشی

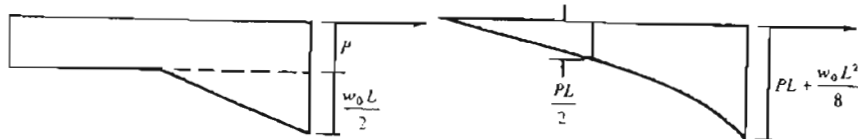
مثال ۱۲-۲

تیر طره‌ای شکل ۶-۱۲ تحت انحراف ۲۵۰mN فشار دارد. معادلات سیروی سری

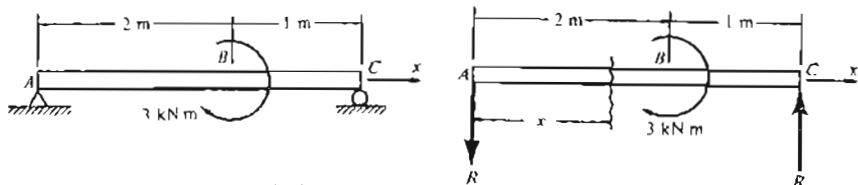
۶۴۵

مثال ۱۲-۴

سیروی برشی AC در شکل ۱۲-۱۴ نح اثر لگر  $3kNm$  فرار دارد. با استفاده از توابع استثنایی معادلات سیروی برشی و لنگر خمثی در طول سیر را سوشه نمودارهای حسم آزاد آها را رسم کنید.



شکل ۱۲-۱۲ نمودار لنگر خمثی



شکل ۱۲-۱۴

شکل ۱۲-۱۵

حل : تیر فقط نح اثر لگر قرار دارد. ساراین واکنشات گاههای سیروی مساوی و محیل الحبیت می باشند ( شکل ۱۵ - ۱۵ ) و مقدار آها از مادله تعادل لگری بدست می آید .

$$\Sigma M_A = 3R - 3 = 0 \quad ; \quad R = 1kN$$

تابع شدت بار عبارتست از

$$w(x) = -1< x >^{-1} + 3< x - 2 >^{-2} + 1< x - 3 >^{-1}$$

با انتگرال گیری از این رابطه ابتدا سیروی برشی و سیس لنگر خمثی را محاسبه می کیم .

$$V(x) = \int_{-\infty}^x w dx = -1< x >^0 + 3< x - 2 >^{-1} + 1< x - 3 >^0$$

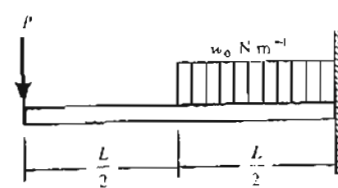
$$M(x) = \int_{-\infty}^x V dx = -1< x >^1 + 3< x - 2 >^0 + 1< x - 3 >^1$$

نمودارهای سیروی برشی و لنگر خمثی به ترتیب در شکل های ۱۲-۱۶ و ۱۲-۱۷ رسم شده اند .

۶۴۶

مثال ۱۲-۳

معادلات سیروی برشی و لنگر خمثی سرای سر طرهای شکل ۱۲-۱۵ را با استفاده از توابع استثنایی نوشه نمودارهای آنها را رسم کنید .



شکل ۱۲-۱۵

حل : نمودار حسم آزاد سیر در شکل ۱۲-۱۲ رسم شده است . تابع بار صورت زیر نوشته می شود :

$$w(x) = -P< x >^{-1} - w_0< x - L/2 >^0 + V_1< x - L >^{-1} + M_1< x - L >^{-2}$$

از این رابطه انتگرال می گیریم تا سیروی برشی در طول سیر بدست آید .

$$V(x) = -P< x >^0 - w_0< x - 0.5L >^1 + V_1< x - L >^0 + M_1< x - L >^{-1}$$

سیروی برشی در نقطه ای از سیر فرضی بی سهاب طویل درست در سمت راست  $V_1$  مرا بر صفر است . ساراین

$$-P - w_0(L - 0.5L) + V_1 = 0 \quad ; \quad V_1 = P + \frac{w_0 L}{2}$$

از معادله سیروی برشی انتگرال می گیریم تا لنگر حسمی بدست آید .

$$M(x) = -P< x >^1 - \frac{w_0}{2}< x - 0.5L >^2 + (P + \frac{w_0 L}{2})< x - L >^0$$

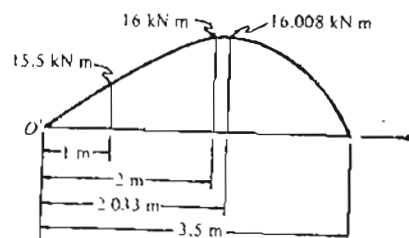
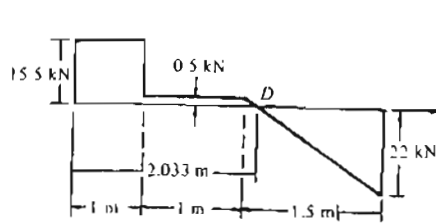
لنگر خمثی در نقطه ای از سیر فرضی بی نهایت طویل درست در سمت راست گاه راست سارا صفر است . از این شرط لنگر تکه گاهی  $M_1$  بدست می آید .

$$M_1 = PL + \frac{w_0 L^2}{8}$$

نمودارهای سیروی برشی و لنگر خمثی به ترتیب در شکل های ۱۲-۱۲ و ۱۲-۱۷ رسم شده اند .

۶۴۷

مایل می‌باشد.



شکل ۱۲-۱۹ نمودار لنگر خمثی

برای پیدا کردن سقطه‌ای از سر که در آن سروی برشی صفر است کافی است  $V$  را در ساقیه راست تیر مساوی صفر قرار دهیم.

$$15.5 - 15 - 15(x-2) = 0 \quad : \quad x = 2.033 \text{ m}$$

برای پیدا کردن لنگر خمثی در نقطه‌ای در سقوطه‌ای که سروی برشی صفر است مقدار  $m$  را

در معادله  $(x)$  قرار می‌دهیم

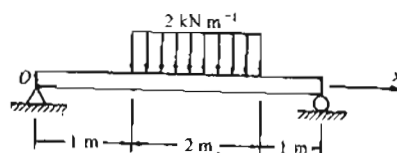
$$M(x = 2.033) = 15.5(2.033) - 15(1.033) - 7.5(0.033)^2 = 16.008 \text{ kNm}$$

نمودار لنگر خمثی در شکل ۱۲-۲۰ رسم شده است. این نمودار دارای دو خط مستقیم در قسمت چپ و مرکزی و یک منحنی سه‌می در قسمت راست می‌باشد. توجه کنید در  $x = 2 \text{ m}$  خط مستقیم بر محی سه‌می مساوی می‌باشد ریبرا در این نقطه نغیرساختگی سروی برشی وجود ندارد (معادله ۱۲-۶ را ببینید).

مثال ۶-۱۲

با استفاده از توابع استثنایی معادلات سروی سرسی و لنگر خمثی را برای تیر شکل

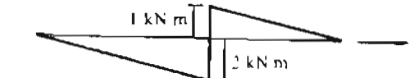
۱۲-۲۱ نوشته نمودارهای آنها رسم کنید.



شکل ۱۲-۲۱

۶۴۶

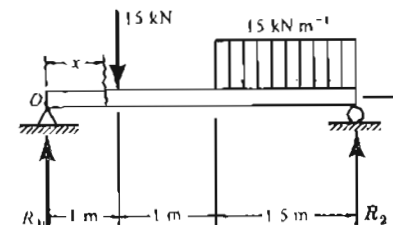
شدید.



شکل ۱۲-۱۶ نمودار نیروی برشی

مثال ۱۲-۵

معادلات سروی برشی و لنگر خمثی را برای تیر شکل ۱۲-۱۸ با استفاده از توابع استثنایی نوشته نمودارهای آنها رسم کنید.



شکل ۱۲-۱۸

حل: ابتدا با نوشتن معادلات تعادل، واکنش‌های  $R_1$  و  $R_2$  را تعیین می‌کنیم.

$$\sum M_O = 3.5R_2 - 15 - 22.5(2.75) = 0 \quad : \quad R_2 = 22.0 \text{ kN}$$

$$\sum F_y = R_1 - 15 - 22.5 + 22.0 = 0 \quad : \quad R_1 = 15.5 \text{ kN}$$

تابع ندت بار بر حسب توابع استثنایی به صورت زیر نوشته می‌شود:

$$w(x) = 15.5 <x>^0 - 15 <x-1>^0 + 22 <x-2>^0 - 15 <x-3.5>^0$$

با انگرال گیری از این رابطه ابتدا سروی برشی و سپس لنگر خمثی بدست می‌آید.

$$V(x) = \int_{-\infty}^X w dx = 15.5 <x>^0 - 15 <x-1>^0 - 15 <x-2>^0 + 22 <x-3.5>^0$$

$$M(x) = \int_{-\infty}^X V dx = 15.5 <x>^1 - 15 <x-1>^1 - 7.5 <x-2>^2 + 22 <x-3.5>^1$$

نمودار نیروی برشی تیر در شکل ۱۲-۱۸ رسم شده است. این نمودار در قسمت چپ و مرکزی از دو خط مستقیم افقی تشکیل می‌باشد و در قسمت راست به صورت یک خط مستقیم

۶۴۹

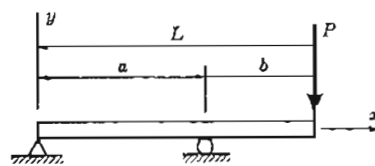
$$EI \frac{d^3 V}{dx^3} = V \quad (12-11)$$

$$EI \frac{d^4 w}{dx^4} = w \quad (12-12)$$

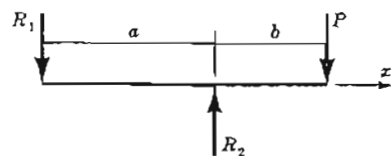
وقتی که بارگذاری روی نیر مسون می‌باشد این روش سپا "کوناه و آسان" است. در روش معمولی حل معادله دیفرانسیل محسن تغییر مکان نیر (فصل ۱۵ را بینید) برای هر قسم از تیر ثابت‌های اسکرال گیری جداگانه‌ای وارد معادله می‌شود، در حالی که در روش توابع استثنائی فقط دو ثابت اسکرال گیری در معادله پیدا می‌شود که مقدار آنها را با استفاده از شرایط حدی نکته کاهه‌ای تیر دست می‌آوریم. کار برد این روش را به کمک چند مثال شان می‌دهیم.

### مثال ۱۲-۲

معادله محسن تغییر مکان تیر شکل ۱۲-۲۴ را با استفاده از توابع استثنائی به دست آورید.



شکل ۱۲-۲۴



شکل ۱۲-۲۵

حل: واکنش‌های  $R_1$  و  $R_2$  با استفاده از معادلات تعادل به سهولت بدست می‌آید.

$$R_1 = \frac{Pb}{a} \quad ; \quad R_2 = P \left(1 + \frac{b}{a}\right)$$

تابع بار به صورت زیر نوشته می‌شود:

$$w(x) = -\frac{Pb}{a}x^{-1} + P\left(1 + \frac{b}{a}\right)x^{-1} - P(x-L)^{-1}$$

با اسکرال گیری این رابطه سروی سری  $(x)V$  و سا اسکرال گیری  $(x)M$  لنگرخمنی

۶۴۸

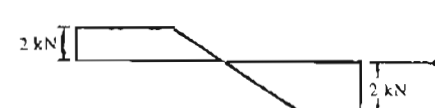
حل: برای اینکه بتوانیم تابع شدت بار را با استفاده از توابع استثنائی سهیم مرص می‌کیم بارگزarde یکواخت شدت  $x=1m$ -ار  $x=\infty$  ادامه داشته باشد. سپس سر تیر فرضی سی نهاد طولی بارگزarde یکواخت دیگری شدت می‌شود  $x=3m$  از  $x=\infty$  ادامه می‌کنیم نا بارگذاری نیر فرضی با بارگذاری نیر واقعی بکسان گردد. اکنون با توجه به اینکه بارگذاری روی تیر واقعی متقارن است و درستجهو اکشن‌های آن هر یک سراز  $2kN$  می‌باشد، تابع شدت بار را به صورت زیر می‌توانیم بسیم:

$$w(x) = 2< x >^{-1} - 2< x-1 >^0 + 2< x-3 >^0 + 2< x-4 >^0$$

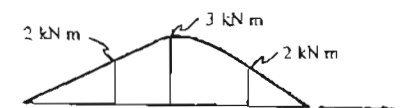
$$V(x) = 2< x >^0 - 2< x-1 >^1 + 2< x-3 >^1 + 2< x-4 >^0$$

$$M(x) = 2< x >^1 - 1< x-1 >^2 + 1< x-3 >^2 + 2< x-4 >^1$$

نمودارهای سروی سری و لنگرخمنی به ترتیب در شکل‌های ۱۲-۲۲ و ۱۲-۲۳ رسم شده‌اند.



شکل ۱۲-۲۲ نمودار لنگرخمنی



شکل ۱۲-۲۳ نمودار لنگرخمنی

### ۱۲-۲ منحنی تغییر مکان (ارتجاعی) نیرها

کی از راههای ساده برای پیدا کردن محسن تغییر مکان (محسن ارجاعی) تیرها استفاده از توابع استثنائی است. خصوصیت جالب روش توابع استثنائی این است که با یک معادله می‌توان تمام منحنی تغییر مکان سر را بیان سود.

در این روش معمولاً "جهت مثبت محور  $y$ " را به طرف بالا فرض می‌کنند. در این صورت با توجه به اینکه جهت سار نیز به طرف بالا مثبت فرض می‌شود معادلات دیفرانسیل محسن تغییر مکان سیر به صورت زیر نوشته می‌شود:

$$EI \frac{d^2 V}{dx^2} = M \quad (12-10)$$

۶۵۱

حل : واکنش‌های تیر از معادلات تعادل بدست می‌آید ( شکل ۱۲-۲۷ ) .  
R = M<sub>1</sub>/L  
با داشتن واکنش‌های تیر، تابع شدت بار به صورت زیر سوشه می‌شود :

$$w(x) = -\frac{M_1}{L} \langle x \rangle^{-1} + M_1 \langle x-a \rangle^{-2} + \frac{M_1}{L} \langle x-L \rangle^{-1}$$

سیروی برشی با استگرال گیری از معادله فوق بدست می‌آید .

$$V(x) = -\frac{M_1}{L} \langle x \rangle^0 + M_1 \langle x-a \rangle^{-1} + \frac{M_1}{L} \langle x-L \rangle^0$$

لنگر خشنی با استگرال گیری محدود از رابطه فوق محاسبه می‌شود .

$$M(x) = -\frac{M_1}{L} \langle x \rangle^1 + M_1 \langle x-a \rangle^0 + \frac{M_1}{L} \langle x-L \rangle^1 = EIv'$$

معادله منحنی تغییر مکان پس از دوبار استگرال گیری از این رابطه بدست می‌آید .

$$EIv' = -\frac{M_1}{2L} \langle x \rangle^2 + M_1 \langle x-a \rangle^1 + \frac{M_1}{2L} \langle x-L \rangle^2 + C_1$$

$$EIv = -\frac{M_1}{6L} \langle x \rangle^3 + \frac{M_1}{2} \langle x-a \rangle^2 + \frac{M_1}{6L} \langle x-L \rangle^3 + C_1x + C_2 \quad ( 12-13 )$$

از دو شرط حدی  $v=0$  در  $x=0$  و  $x=L$  و  $v=0$  در  $x=a$  استگرال گیری محاسبه می‌شوند .

$$C_1 = \frac{M_1 L}{6} - \frac{M_1 b^2}{2L} ; \quad C_2 = 0$$

پس از این

$$EIv = -\frac{M_1}{6L} \langle x \rangle^3 + \frac{M_1}{2} \langle x-a \rangle^2 + \left( \frac{M_1 L}{6} - \frac{M_1 b^2}{2L} \right) x$$

نوجه کنید جمله سوم معادله ۱۲-۱۳ در معادله فوق حذف کردیده است زیرا جمله مزبور برای تیر به طول محدود L صفر می‌شود و علت وجودش در معادله به خاطر در نظر گرفتن تیر فرضی بی‌نهایت طویل می‌باشد .

مثال ۱۲-۹

تیر ساده شکل ۱۲-۲۸ در قسمتی از طولش تحت اثر بار گسترده، پکواحت باشد  
قرار دارد . معادله منحنی تغییر مکان آن را پیدا کنید .

۶۵۰

مداده می‌آید .

$$V(x) = -\frac{Pb}{a} \langle x \rangle^0 + P \left( 1 + \frac{b}{a} \right) \langle x-a \rangle^0 - P \langle x-L \rangle^0$$

$$M(x) = -\frac{Pb}{a} \langle x \rangle^1 + P \left( 1 + \frac{b}{a} \right) \langle x-a \rangle^1 - P \langle x-L \rangle^1$$

$$EI \frac{d^2 V}{dx^2} = M(x) = -\frac{Pb}{a} \langle x \rangle^1 + P \left( 1 + \frac{b}{a} \right) \langle x-a \rangle^1 - P \langle x-L \rangle^1$$

هرگاه از این معادله دوبار استگرال بگیریم معادله منحنی تغییر مکان نشخمه می‌شود .

$$EIv' = -\frac{Pb}{2a} \langle x \rangle^2 + \frac{P}{2} \left( 1 + \frac{b}{a} \right) \langle x-a \rangle^2 - \frac{P}{2} \langle x-L \rangle^2 + C_1$$

$$EIv = -\frac{Pb}{6a} \langle x \rangle^3 + \frac{P}{6} \left( 1 + \frac{b}{a} \right) \langle x-a \rangle^3 - \frac{P}{6} \langle x-L \rangle^3 + C_1x + C_2$$

ثابت‌های استگرال گیری  $C_1$  و  $C_2$  از شرایط حدی بدست می‌آند .

$$v(0) = 0 \quad ; \quad C_2 = 0$$

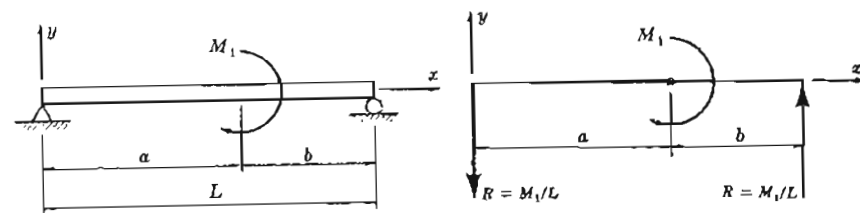
$$v(a) = 0 \quad ; \quad -\frac{Pba^3}{6a} + C_1a = 0 \quad ; \quad C_1 = \frac{Pab}{6}$$

بنابراین معادله منحنی تغییر مکان تیر به صورت زیر می‌باشد :

$$EIv = -\frac{Pb}{6a} \langle x \rangle^3 + \frac{P}{6} \left( 1 + \frac{b}{a} \right) \langle x-a \rangle^3 + \frac{Pabx}{6}$$

مثال ۱۲-۸

معادله منحنی تغییر مکان تیر ساده شکل ۱۲-۲۶ تحت اثر لنگر  $M_1$  را به دست آورید .



شکل ۱۲-۲۶

شکل ۱۲-۲۲

۶۵۳

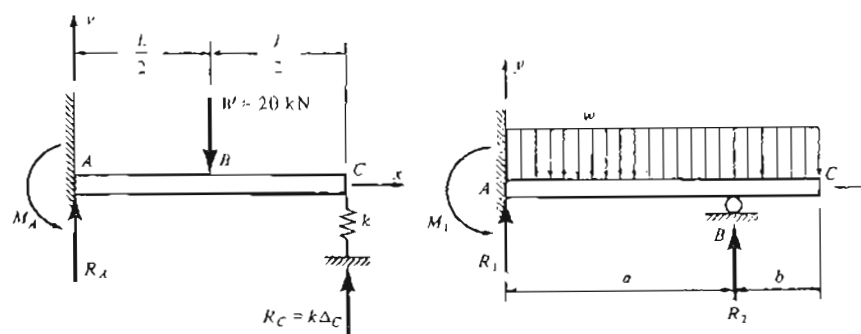
$$EIv = \frac{qb}{6L} \left( \frac{b}{2} + c \right) \langle x \rangle^3 - \frac{1}{24} q \langle x-a \rangle^4 + \frac{1}{24} q \langle x-a-b \rangle^4 + \left( \frac{q}{24L} [ (L-a)^4 - c^4 ] - \frac{qbL}{6} \left( \frac{b}{2} + c \right) \right) x$$

### ۱۲-۳ نبرهای هیبر استاتیک

روش سواعع استنائی برای حل نبرهای هیبر استاتیک را در جند مثال شرح می کیم.

### مثال ۱۵

تیر شکل ۱۲-۳۰ در انتهای A گیردار و در انتهای C بروی فری با نابض فنری  $k=400 \text{ kN/m}$  قرار دارد. موقعی که باری سر وحدود مدارد، فنر سدون نبرو می باشد. فیل از اسکه فری در نقطه C وجود داشته باشد، و فنی که نبروی قائم  $10 \text{ kN}$  در نقطه C وارد می شود سعده مزبور به اندازه  $50 \text{ mm}$  عبور مکان می دهد. موافق که فنر سبر مصل تنه و سار  $20 \text{ kN}$  در وسط دهانه آن ابر می کند عبور مکان سعده C حقدار خواهد بود؟

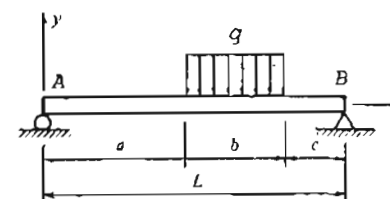


شکل ۱۲-۳۰

حل : تابع بار را توجه به شکل ۱۲-۳۰ به صور زیر نوشته می شود :

$$w(x) = -M_A \langle x \rangle^{-2} + R_A \langle x \rangle^{-1} - W \langle x - 0.5L \rangle^{-1} + R_C \langle x - L \rangle^{-1}$$

۶۵۴



شکل ۱۲-۲۸

حل : واکنشهای تیر را استفاده از معادلات تعادل به سادگی بدست می آیند (شکل ۱۲-۲۹).

$$R_A = \frac{qb}{L} \left( \frac{b}{2} + c \right) ; \quad R_B = \frac{qb}{L} \left( \frac{b}{2} + a \right)$$

تابع بارگذاری :

$$w(x) = R_A \langle x \rangle^{-1} - q \langle x-a \rangle^0 + q \langle x-a-b \rangle^0 + R_B \langle x-L \rangle^{-1}$$

نبروی برشی  $V(x)$  از استگال گیری عارت فوق بدست می آید.

$$V(x) = R_A \langle x \rangle^0 - q \langle x-a \rangle^1 + q \langle x-a-b \rangle^1 + R_B \langle x-L \rangle^0$$

لگر خمشی  $M(x)$  از استگال گیری عارت فوق سیمجه می شود.

$$M(x) = R_A \langle x \rangle^1 - \frac{1}{2} q \langle x-a \rangle^2 + \frac{1}{2} q \langle x-a-b \rangle^2 + R_B \langle x-L \rangle^1$$

از معادله  $EIv' = M(x)$  دوبار استگال گیریم تا معادله محری غیرمکان بدست آید.

$$EIv' = \frac{1}{2} R_A \langle x \rangle^2 - \frac{1}{6} q \langle x-a \rangle^3 + \frac{1}{6} q \langle x-a-b \rangle^3 + \frac{1}{2} R_B \langle x-L \rangle^2 + C_1$$

$$EIv = \frac{1}{6} R_A \langle x \rangle^3 - \frac{1}{24} q \langle x-a \rangle^4 + \frac{1}{24} q \langle x-a-b \rangle^4 + \frac{1}{6} R_B \langle x-L \rangle^3 + C_1 x + C_2$$

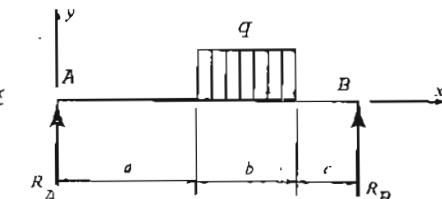
شرط حدی :

$$v(0) = 0 \quad (1) \quad ; \quad v(L) = 0 \quad (2)$$

$$(1) \Rightarrow C_2 = 0$$

$$(2) \Rightarrow \frac{1}{6} R_A L^3 - \frac{1}{24} q (L-a)^4 + \frac{1}{24} q (L-a-b)^4 + C_1 L = 0$$

$$C_1 = \frac{q}{24L} [ (L-a)^4 - c^4 ] - \frac{qbL}{6} \left( \frac{b}{2} + c \right)$$



شکل ۱۲-۲۹

۶۵۵

هر گاه مقدار فوق و  $k = 400 \text{ kN/m}$  را در رابطه ۱۲-۱۲ فرار دهیم و معادله حاصل را برای حل کنیم خواهیم داشت:  $R_A = 15.83 \text{ kN}$ . از تعادل نیروها در امتداد فاصله نتیجه می شود

$$R_C = W - R_A = 20 - 15.83 = 4.17 \text{ kN}$$

بنابراین تغییر مکان نقطه C برابر است با

$$\Delta_C = \frac{R_C}{k} = -\frac{4.17}{400} \text{ m} = -10.4 \text{ mm}$$

### مثال ۱۲-۱۱

واکنش های  $R_1$  و  $R_2$  تیر هیپر استاتیک شکل ۱۲-۳۱ را حساب کنید.

حل: معادلات تعادل لنگری تیر حول نقطه A و تعادل نیروها در امتداد قائم عبارند از

$$\sum M_A = M_1 + R_2 a - \frac{w(a+b)^2}{2} = 0 \quad (12-6)$$

$$\sum F_y = R_1 + R_2 - w(a+b) = 0 \quad (12-7)$$

تابع شد بار تیر به صورت زیر نویسید:

$$w(x) = -M_1 <x>^{-2} + R_1 <x>^{-1} - w <x>^0 + R_2 <x-a>^{-1}$$

از این معادله سه بار متوالی انتگرال می گیریم.

$$V(x) = -M_1 <x>^{-1} + R_1 <x>^0 - w <x>^1 + R_2 <x-a>^0$$

$$M(x) = EIv' = -M_1 <x>^0 + R_1 <x>^1 - \frac{w}{2} <x>^2 + R_2 <x-a>^1$$

$$EIv' = -M_1 <x>^1 + \frac{R_1}{2} <x>^2 - \frac{w}{6} <x>^3 + \frac{R_2}{2} <x-a>^2 + C_1$$

از شرط حدی  $v=0$  در  $x=0$  نتیجه می شود:  $C_1 = 0$ . از رابطه فوق مجدداً "انتگرال می گیریم".

$$EIv = -\frac{M_1}{2} <x>^2 + \frac{R_1}{6} <x>^3 - \frac{w}{24} <x>^4 + \frac{R_2}{6} <x-a>^3 + C_2$$

از شرط حدی  $v=0$  در  $x=a$  نتیجه می شود:  $C_2 = 0$ . که شرط حدی دیگر  $v=0$  در

۶۵۴

از رابطه فوق سه بار انتگرال می گیریم.

$$V(x) = -M_1 <x>^{-1} + R_A <x>^0 - w <x-0.5L>^0 + R_C <x-L>^0$$

$$EIv' = M(x) = -M_1 <x>^0 + R_A <x>^1 - w <x-0.5L>^1 + R_C <x-L>^1$$

$$EIv'' = -M_1 <x>^1 + \frac{1}{2} R_A <x>^2 - \frac{w}{2} <x-0.5L>^2 + \frac{R_C}{2} <x-L>^2 + C_1$$

از شرط حدی  $v=0$  در  $x=0$  نتیجه می شود:  $C_1 = 0$ . بنابراین با انتگرال گیری مجدد از رابطه فوق معادله منحصري تغییر مکان تیر بدست می آید.

$$EIv = -\frac{1}{2} M_1 <x>^2 + \frac{1}{6} R_A <x>^3 - \frac{1}{6} w <x-0.5L>^3 + \frac{1}{6} R_C <x-L>^3 + C_2$$

از شرط حدی  $v=0$  در  $x=L$  نتیجه می شود:  $C_2 = 0$ . تغییر مکان نقطه C ( $\Delta_C$ ) با جایگزینی  $x=L$  در معادله فوق بدست می آید.

$$EI\Delta_C = -\frac{M_1 L^2}{2} + \frac{R_A L^3}{6} - \frac{WL^3}{48} \quad (12-14)$$

واکنش  $R_C$  برابر است با

$$R_C = -k\Delta_C$$

علامت منفی در این رابطه به خاطر این است که تغییر مکان به طرف پائین (که منفی است) نظیر سیروی  $R_C$  به طرف بالا می باند. اگر معادله فوق همراه با دو معادله تعادل

$$R_A + R_C - W = 0 \quad ; \quad \frac{WL}{2} + M_1 - R_A L = 0$$

را در رابطه ۱۲-۱۴ حاچیگزین کنیم خواهیم داشت

$$-\frac{EI(W-R_A)}{k} = \frac{R_A L^3}{6} - \frac{WL^3}{48} - \frac{L^2}{2} (R_A L - \frac{WL}{2})$$

این معادله به صورت زیر ساده می شود:

$$R_A \left( \frac{EI}{k} + \frac{L^3}{3} \right) = \frac{EIW}{k} + \frac{11WL^3}{48} \quad (12-15)$$

موقعی که فری وحدت ندارد تغییر مکان انتهای آزاد تیر طرهای تحت بار متوزع  $10 \text{ kN/m}$  برابر  $50 \text{ mm}$  است. بنابراین با استفاده از نتایج حالت ۴ پیوست ۲-۳ کتاب می توانیم بنویسیم

$$\frac{(10 \times 10^3)(L^3)}{3EI} = 0.05 \text{ m} \quad ; \quad \frac{EI}{L^3} = \frac{10^4}{0.15} \text{ N/m}^4$$

۶۵۴

$$EIv^4 = M(x) = -\frac{w_0}{2}x^2 + \frac{w_0}{2}(x-a)^2 + R_1(x-L)^1 + M_1(x-L)^0$$

$$EIv' = -\frac{w_0}{6}x^3 + \frac{w_0}{6}(x-a)^3 + \frac{R_1}{2}(x-L)^2 + M_1(x-L)^1 + C_1$$

از شرط حدی  $v=0$  در  $x=L$  نتیجه می‌شود:  $C_1 = w_0(L^3 - b^3)/6$ . از معادله موق محدود "انتگرال می‌گیریم.

$$EIv = -\frac{w_0}{24}x^4 + \frac{w_0}{24}(x-a)^4 + \frac{R_1}{6}(x-L)^3 + \frac{M_1}{2}(x-L)^2 + \frac{w_0}{6}(L^3 - b^3)x + C_2$$

از شرط حدی  $v=0$  در  $x=L$  ثابت انتگرال گیری  $C_2$  بدست می‌آید.

$$C_2 = \frac{w_0}{24}(L^4 - b^4) - \frac{w_0 L}{6}(L^3 - b^3)$$

پس از جایگزینی  $C_2$  در معادله تغییر مکان و همچنین حذف حملات سوم و چهارم در آن خواهیم داشت

$$EIv = -\frac{w_0}{24}x^4 + \frac{w_0}{24}(x-a)^4 + \frac{w_0}{6}(L^3 - b^3)x + \frac{w_0 L}{24}(L^4 - b^4) - \frac{w_0 L}{6}(L^3 - b^3)$$

## مسئله ۱۲-۲

معادله منحنی تغییر مکان تیر شکل ۱۲-۳۲ را تحت بارگذاری نشان داده شده پیدا کنید.

$$R_A = R_B = \frac{\left(\frac{qL}{2}\right)\left(\frac{L}{2}\right)}{L} = \frac{qL}{4}$$

حل: واکنش‌های تیر برابرند با

تابع شدت بار به صورت زیر نوشته می‌شود:

$$w = \frac{qL}{4}x^{-1} - qx^0 + 2qx - \frac{L}{2}x^0 - \frac{qL}{4}x^{-1}$$

از این رابطه چهار بار انتگرال می‌گیریم.

$$V = \frac{qL}{4}x^0 - qx^1 + 2qx - \frac{L}{2}x^1 - \frac{qL}{4}x^{-1}$$

۶۵۶

می‌باید که از آن معادله زیر حاصل می‌شود:

$$0 = -\frac{M_1 a^2}{2} + \frac{R_1 a^3}{6} - \frac{wa^4}{24} \quad ; \quad M_1 = R_1 \frac{a}{3} - \frac{wa^2}{12}$$

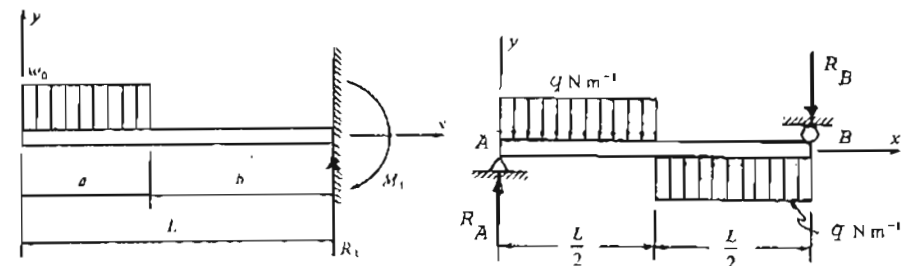
اگر هم جای  $M_1$  از معادله فوق در معادلات ۱۲-۶ و ۱۲-۷ قرار دهیم و معادلات حاصل را برای  $R_1$  و  $R_2$  حل کنیم خواهیم داشت

$$R_1 = \frac{5}{8}wa - \frac{3wb^2}{4a} \quad ; \quad R_2 = \frac{3}{8}wa + wb + \frac{3wb^2}{4a}$$

## ۱۲-۴ مسائل حل شده

### مسئله ۱۲-۱

معادله منحنی تغییر مکان تیر شکل ۱۲-۳۲ را با استفاده از توابع استثنائی بدست آورید.



شکل ۱۲-۳۲

حل: محاسبه واکنش‌ها در این مسئله لازم است. تابع شدت بار به صورت زیر نوشته می‌شود:

$$w(x) = -w_0x^0 + w_0(x-a)^0 + R_1(x-L)^{-1} + M_1(x-L)^{-2}$$

از این رابطه سه بار منوالی انتگرال می‌گیریم.

$$V(x) = -w_0x^1 + w_0(x-a)^1 + R_1(x-L)^0 + M_1(x-L)^{-1}$$

۶۵۹

از این راسته چهار بار انتگرال می‌گیریم.

$$V(x) = -125x^0 + 100x^{-1} - 100x^{-2} + 100x^{-4} + 525x^{-6} \\ - 200x^{-7}$$

$$EIv'' = M = -125x^1 + 100x^{-0} - 50x^{-2} + 50x^{-4} + 525x^{-1} \\ - 200x^{-7}$$

$$EIv' = -\frac{125}{2}x^2 + 100x^{-1} - \frac{50}{3}x^{-3} + \frac{50}{3}x^{-4} + \frac{525}{2}x^{-2} \\ - 100x^{-7} + C_1$$

$$EIv = -\frac{125}{6}x^3 + 50x^{-2} - \frac{25}{6}x^{-4} + \frac{25}{6}x^{-4} + \frac{175}{2}x^{-3} \\ - \frac{100}{3}x^{-7} + C_1x + C_2$$

از شرایط حدی  $v(0) = 0$  در  $x=0$  و  $v=0$  در  $x=4m$  بحث می‌آید.

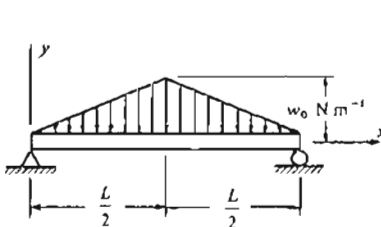
$$C_1 = 237.5 : C_2 = 0$$

بنابراین معادله منحنی تغییر مکان تبر به صورت زیر نوشته می‌شود:

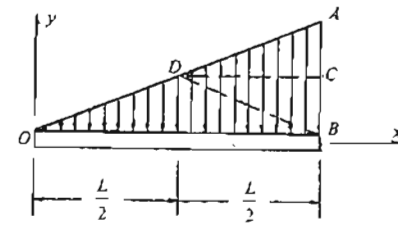
$$EIv = -\frac{125}{6}x^3 + 50x^{-2} - \frac{25}{6}x^{-4} + \frac{25}{6}x^{-4} + \frac{175}{2}x^{-3} \\ + 237.5x$$

### مسئله ۱۲-۴

معادله منحنی تغییر مکان تبر شکل ۱۲-۳۶ را تحت بارگذاری نشان داده شده بیدا کنید. تغییر مکان وسط دهانه نیز چقدر می‌باشد؟



شکل ۱۲-۳۶



شکل ۱۲-۳۷

۶۵۸

$$EIv'' = M = \frac{qL}{4}x^1 - \frac{q}{2}x^2 + qx - \frac{L}{2}x^2 - \frac{qL}{4}x^{-1}$$

$$EIv' = \frac{qL}{8}x^2 - \frac{q}{6}x^3 + \frac{q}{3}x - \frac{L}{2}x^3 - \frac{qL}{8}x^{-2} + C_1$$

$$EIv = \frac{qL}{24}x^3 - \frac{q}{24}x^4 + \frac{q}{12}x - \frac{L}{2}x^4 - \frac{qL}{24}x^{-3} + C_1x + C_2$$

شرط حدی:  $v(0) = 0$  (۱) ;  $v(L) = 0$  (۲)

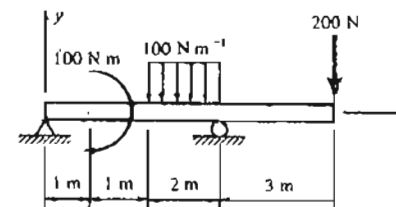
$$(1) \Rightarrow C_2 = 0$$

$$(2) \Rightarrow \frac{qL^4}{24} - \frac{qL^4}{24} + \frac{q}{12}(\frac{L^4}{16}) + C_1L = 0 : C_1 = -\frac{qL^3}{192}$$

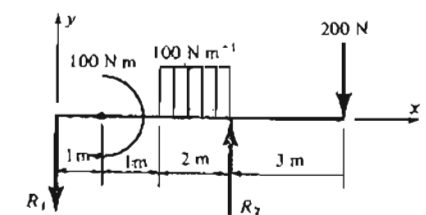
$$EIv = \frac{qL}{24}x^3 - \frac{q}{24}x^4 + \frac{q}{12}x - \frac{L}{2}x^4 - \frac{qL^3}{192}x$$

### مسئله ۱۲-۳

معادله منحنی تغییر مکان تبر شکل ۱۲-۳۴ را تحت بارگذاری نشان داده شده بیدا کنید.



شکل ۱۲-۳۴



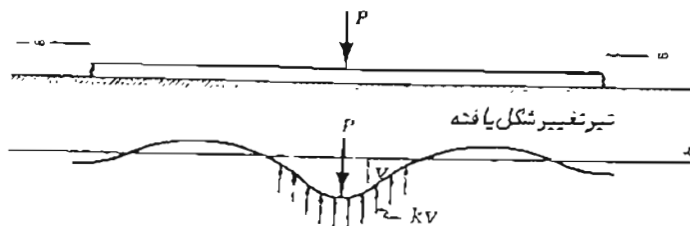
شکل ۱۲-۳۵

حل: واکنشها از معادلات تعادل به سهولت بدست می‌آیند (شکل ۱۲-۳۵).

$$R_1 = 125N : R_2 = 525N$$

تابع شدت بار برابر است با

$$w(x) = -125x^{-1} + 100x^{-2} - 100x^{-3} + 100x^{-4} + 525x^{-5} \\ - 200x^{-6}$$



شکل ۱۲-۳۸

حل : اگر نهییر مکان در نقطه‌ای از تیر  $v$  باشد و اکن بی در آن نقطه  $kv$  خواهد بود . سایر این دست بار در رابطه  $12-12$  برابر  $-kv = w$  می باشد و رابطه مذکور به صورت زیر نوشته می شود :

$$EI \frac{d^4 v}{dx^4} + ky = 0 \quad (1)$$

این معادله در تمام نقاط تیر بجز در زیر بار مرکز  $P$  صادق است . جواب این معادله دیفرانسیل به شکل  $y = e^{mx}$  می باشد که اگر آن را در معادله مرسور جایگزین کیم رابطه زیر سرای  $m$  دست می آید :

$$m^4 + \frac{k}{EI} = 0$$

این معادله چهار جواب به صورت  $(1 \pm i\beta)(1 \pm i\beta)$  دارد که در آن  $\beta = \sqrt{k/4EI}$ ،  $i = \sqrt{-1}$  می باشد که در آن

بنابراین جواب عمومی معادله ۱ به صورت زیر نوشته می شود :

$$v = e^{-\beta x} (A \cos \beta x + B \sin \beta x) + e^{\beta x} (C \cos \beta x + D \sin \beta x) \quad (2)$$

از این معادله سنت می گیریم .

$$v = e^{-\beta x} (-A \beta \sin \beta x + B \beta \cos \beta x) - \beta e^{-\beta x} (A \cos \beta x + B \sin \beta x) + e^{\beta x} (-C \beta \sin \beta x + D \beta \cos \beta x) + \beta e^{\beta x} (C \cos \beta x + D \sin \beta x) \quad (3)$$

واضح است که منحنی تغییر مکان نیر مربوط سنت به نقطه اثر نیروی مرکزی باید متقاضی شود . اگر قسمی از سر واقع در سمت راست سیروی مرکزی را در نظر گیریم برای مقادیر خیلی زیاد  $x$  تغییر مکان و شیب منحنی تغییر مکان باید برابر صفر باشد . در نتیجه از معادله ۲ نتیجه می شود که  $C = D = 0$  . در واقع اگر ما سرای ضرائب مربوط هر مقدار دیگری را در نظر بگیریم ، موقعی که  $x$  بی سایپ ریاد می گردد تغییر مکان و شیب

۶۶۰

حل : واکنش‌های  $R_A$  و  $R_B$  با یکدیگر مساوی و برابرند با بارگذاری نیر را به صورت بار گذاری مثلثی  $OAB$  مهای بارگذاری مثلثی  $ADB$  در سطر می گیریم ( شکل ۱۲-۳۷ ) .

$$w(x) = \frac{w_0 L}{4} \langle x \rangle^{-1} - \frac{2w_0}{L} \langle x \rangle^1 + 2 \left( \frac{2w_0}{L} \right) \langle x - 0.5L \rangle^1 + \frac{w_0 L}{4} \langle x - L \rangle^{-1}$$

جمله دوم در رابطه فوق بار گذاری مثلث  $OAB$  و جمله سوم در این رابطه بار گذاری مثلث  $ADB$  را نشان می دهد . پس از جهار بار استگال گری از راسته فوق محنی تغییر مکان سر بدست می آید .

$$V(x) = \frac{w_0 L}{4} \langle x \rangle^0 - \frac{w_0}{L} \langle x \rangle^2 + \frac{2w_0}{L} \langle x - 0.5L \rangle^2 + \frac{w_0 L}{4} \langle x - L \rangle^0$$

$$M(x) = \frac{w_0 L}{4} \langle x \rangle^1 - \frac{w_0}{3L} \langle x \rangle^3 + \frac{2w_0}{3L} \langle x - 0.5L \rangle^3 + \frac{w_0 L}{4} \langle x - L \rangle^1 = EIv'$$

$$EIv' = \frac{w_0 L}{8} \langle x \rangle^2 - \frac{w_0}{12L} \langle x \rangle^4 + \frac{w_0}{6L} \langle x - 0.5L \rangle^4 + \frac{w_0 L}{8} \langle x - L \rangle^2 + C_1$$

به علت تقارن بار گذاری روی نیر ، شیب  $v'$  در  $x = L/2$  صفر است . از این شرط نتیجه می شود :  $C_1 = -5w_0 L^3 / 192$  . از راسته فوق مجدداً استگال می گیریم .

$$EIv = \frac{w_0 L}{24} \langle x \rangle^3 - \frac{w_0}{60L} \langle x \rangle^5 + \frac{w_0}{30L} \langle x - 0.5L \rangle^5 + \frac{w_0 L}{24} \langle x - L \rangle^3 - \frac{5}{192} w_0 L^3 x + C_2$$

از شرط حدی  $v = 0$  در  $x = 0$  نتیجه می شود :  $C_2 = 0$  . تغییر مکان وسط دهانه تیر با جایگزینی  $x = L/2$  در رابطه فوق بدست می آید .

$$\delta_C = - \frac{w_0 L^4}{120EI}$$

مسئله ۱۲-۵

معادله تغییر مکان یک تیر سی نهایت طولی را که در روی یک بی ارتتعاعی قراردارد سخت اثر سیروی مرکزی در وسط آن دست آورید ( شکل ۱۲-۳۸ ) . سیروی که یک بی ارتتعاعی در هر نقطه از تیر به آن وارد می کند با تغییر مکان آن نقطه مناسب میباشد .

۶۶۲

حل : نابع بار به صورت زیرنوشته می شود ( توجه کنید بعلت تقارن ، واکنش ها در دو نقطه گاه مساوی می باشد ) :

$$w(x) = -M_1 <x>^{-2} + R_1 <x>^{-1} - w <x>^0 + R_1 <x-L>^{-1} + M_1 <x-L>^{-2}$$

از این معادله سه بار انتگرال می گیریم .

$$V(x) = -M_1 <x>^{-1} + R_1 <x>^0 - w <x>^1 + R_1 <x-L>^0 + M_1 <x-L>^{-1}$$

$$M(x) = -M_1 <x>^0 + R_1 <x>^1 - \frac{w}{2} <x>^2 + R_1 <x-L>^1 + M_1 <x-L>^0 = EIv''$$

$$EIv' = -M_1 <x>^1 + \frac{R_1}{2} <x>^2 - \frac{w}{6} <x>^3 + \frac{R_1}{2} <x-L>^2 + M_1 <x-L>^1 + C_1$$

از شرط حدی  $v' = 0$  در  $x = 0$  نتیجه می شود  $C_1 = 0$  . از معادله فوق مجدداً انتگرال می گیریم .

$$EIv = -\frac{M_1}{2} <x>^2 + \frac{R_1}{6} <x>^3 - \frac{w}{24} <x>^4 + \frac{R_1}{6} <x-L>^3 + \frac{M_1}{2} <x-L>^2 + C_2$$

از شرط حدی  $v = 0$  در  $x = 0$  نتیجه می شود  $C_2 = 0$  . همچنین از شرط حدی  $v = 0$  در  $x = L$  معادله زیر حاصل می شود :

$$-\frac{M_1 L^2}{2} + \frac{R_1 L^3}{6} - \frac{w L^4}{24} = 0$$

به علت تقارن بار گذاری از معادله تعادل نیروها در امتداد قائم نتیجه می شود  $R_1 = R_2$  . پس از جایگزینی این مقدار  $R_1$  در معادله فوق واکنش  $M_1$  بدست می آید :

$$M_1 = wL^2/12$$

## مسئله ۱۲-۲

واکنش های دو انتهای تیر دو سرگیردار شکل ۱۲-۴۰ را تحت یکنیروی متمرکز  $P$  بدست آوردید .

حل : نابع شدت بار :

$$w(x) = -M_1 <x>^{-2} + R_1 <x>^{-1} - P <x-a>^{-1} + R_2 <x-L>^{-1} + M_2 <x-L>^{-2}$$

از این معادله سه بار انتگرال می گیریم .

$$V(x) = -M_1 <x>^{-1} + R_1 <x>^0 - P <x-a>^0 + R_2 <x-L>^0 + M_2 <x-L>^{-1}$$

۶۶۲

منحنی تعییر مکان نیز به طور نامحدودی افزایش می یابد .  
چون به علت تقارن ، منحنی تعییر مکان باید در  $x = 0$  یک ماس افقی داشته باشد  
از معادله ۳ نتیجه می شود  $A = B$  . بنابراین معادله ۲ به صورت زیر در می آید :

$$v = Ae^{-\beta x} (\cos\beta x + \sin\beta x) \quad (4)$$

از این معادله نسبت به  $x$  سه مار مشتق می گیریم .

$$v' = -2\beta A e^{-\beta x} \sin\beta x$$

$$v'' = 2\beta^2 A e^{-\beta x} (\sin\beta x - \cos\beta x)$$

$$\frac{d^3 v}{dx^3} = 4\beta^3 A e^{-\beta x} \cos\beta x \quad (5)$$

سیروی برشی در سطحهای از تیر درست در سمت راست بار  $P$  بر اثر  $P/2$  می باشد  
( علامت منفی به خاطر قرار داد علامتی است که ما در فصل هفتم برای سروی برشی استخراج کردیم ) . هرگاه این شرط را در معادله ۵ نکار سریم ( ل استفاده از معادله (12-11) خواهیم داشت

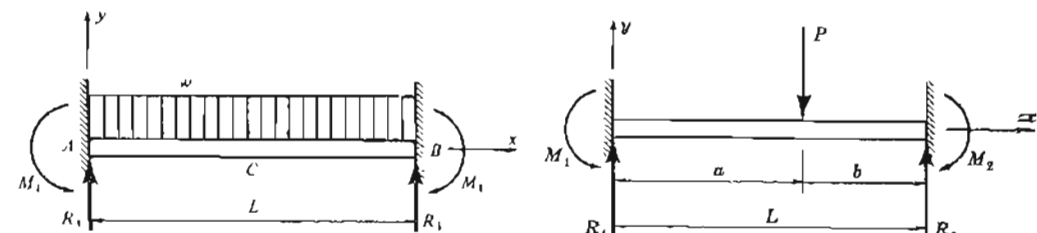
$$-\frac{P}{2} = EI (4\beta^3 A) \quad : \quad A = -\frac{P}{8\beta^3 EI}$$

اگر این مقدار  $A$  را در معادله ۴ نکاریم معادله منحنی تعییر مکان نیمه راست تیر بدست می آید .

$$y = -\frac{P}{8\beta^3 EI} (\cos\beta x + \sin\beta x)$$

## مسئله ۱۲-۳

واکنش های تیر دو سرگیردار شکل ۱۲-۳۹ را تحت اثر بار گسترده یکنواخت با شدت  $w$  بدست آوردید .



شکل ۱۲-۳۹

شکل ۱۲-۴۰

حل : با وجود اینکه در ابدا این مسئله ممکن است ساعین به نظر برسد ، شرط صفر بودن لگر خمثی در سقطه B تیر مزبور را معین می سازد . بنابراین اگر نیمه چه تیر را از آن جدا کنیم سودار جم آزاد آن به صورت شکل ۴۲ - ۱۲ خواهد بود . از معادله نعادل لگری این قسمت از تیر حول سقطه B حواهیم داشت

$$\sum M_B = R_1 L - P \frac{L}{2} = 0 \quad : \quad R_1 = \frac{P}{2}$$

حال اگر معادل تمام تیر را در امتداد قائم در نظر بگیریم ( شکل ۴۱-۱۲ ) معادله زیر حاصل می شود :

$$2R_1 + R_2 - 2P = 0 \quad ; \quad R_2 = P$$

اکنون با اسفاده از توابع استثنائی منحی نمایر مکان نام تیر را بدست می‌آوریم .  
سامانه ندت پارهای از سایر

$$w(x) = \frac{p}{2} < x >^{-1} - p < x - 0.5L >^{-1} + p < x - L >^{-1} - p < x - 1.5L >^{-1} + \frac{p}{2} < x - 2L >^{-1}$$

از این معادله سه بار انتگرال می‌گیریم.

$$V(x) = \frac{P}{2} < x >^0 - P < x - 0.5L >^0 + P < x - L >^0 - P < x - 1.5L >^0 + \frac{P}{2} < x - 2L >^0$$

$$M(x) = \frac{P}{2} < x >^1 - P < x - 0.5L >^1 + P < x - L >^1 - P < x - 1.5L >^1 + \frac{P}{2} < x - 2L >^1 = EIv^3$$

$$EIv' = \frac{P}{4} < x >^2 - \frac{P}{2} < x - 0.5L >^2 + \frac{P}{2} < x - L >^2 - \frac{P}{2} < x - 1.5L >^2 + \frac{P}{4} < x - 2L >^2 + C_1$$

به علت تقارن در  $L = x - v$  است. بسازیم

$$0 = \frac{PL^2}{4} - \frac{P}{2} \left( \frac{L}{2} \right)^2 + C_1 \quad ; \quad C_1 = - \frac{PL^2}{8}$$

این مقدار  $C$  را در معادله شبیه جایگزین می‌کنیم و مجدداً "استرال" می‌گیریم.

$$EIv = \frac{P}{12} < x >^3 - \frac{P}{6} < x - 0.5L >^3 + \frac{P}{6} < x - L >^3 - \frac{P}{6} < x - 1.5L >^3 + \frac{P}{12} < x - 2L >^3 - \frac{PL^2}{6}x + C_2$$

از شرط  $0 = v$  در  $x = 0$  نتیجه می‌شود  $C_2 = 0$ . اگر  $x = L$  را در معادله فوق جایگزین نماییم تغییر مکان نقطه میانه  $B$  تبریدست می‌آید.

$$M(x) = -M_1 \langle x \rangle^0 + R_1 \langle x \rangle^1 - P \langle x-a \rangle^1 + R_2 \langle x-L \rangle^1 + M_2 \langle x-L \rangle^0 = EIv''$$

$$EIv' = -M_1 \langle x \rangle^1 + \frac{R_1}{2} \langle x \rangle^2 - \frac{P}{2} \langle x-a \rangle^2 + \frac{R_2}{2} \langle x-L \rangle^2 + M_2 \langle x-L \rangle^1 + C_1$$

از شرط حدی  $0 = x$  در  $0 = C_1$  نتیجه می‌شود. از معادله فوق مجدداً "انسکوال می‌گیریم.

$$EIv = -\frac{M_1}{2} <x>^2 + \frac{R_1}{6} <x>^3 - \frac{P}{6} <x-a>^3 + \frac{R_2}{6} <x-L>^3 + \frac{M_2}{2} <x-L>^2 + C_2$$

از شرط حدی  $v=0$  در  $x=0$  نتیجه می‌شود:

تغییر مکان و شیب منحی تعبیر مکان در انتهای راست نیز صفر می‌باشد. بنابراین از جایگزینی  $y = x$  در دو معادله فوق خواهیم داشت

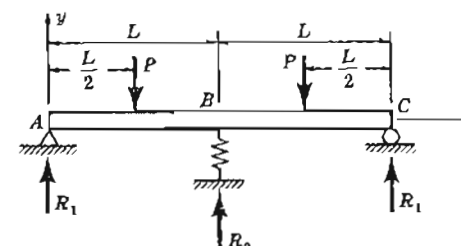
$$0 = -M_1 L + \frac{R_1 L^2}{2} - \frac{Pb^2}{2} \quad ; \quad 0 = -\frac{M_1 L^2}{2} + \frac{R_1 L^3}{6} - \frac{Pb^3}{6}$$

واکنش‌های  $R_1$  و  $M_1$  از حل همزنمان دو معادله فوق بدست می‌آیند.

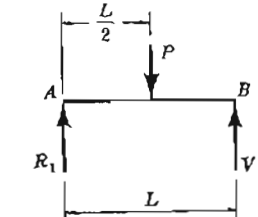
$$R_1 = \frac{Pb^2}{L^2} + \frac{2Pab^2}{L^3} ; M_1 = \frac{Pab^2}{L^2}$$

١٢ - ٨ مسئله

در شکل ۴۱-۱۲ ثابت فنری  $k$  فر را جان تعیین کنید که لنگر خمی در جایی که تیر بر فنر تکیه دارد برابر صفر باشد.



١٣-٣١



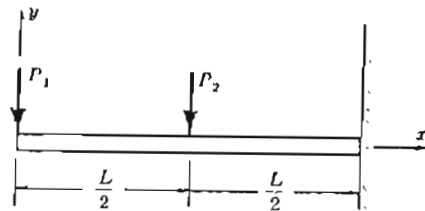
شکل ۴۲-۱۲

۶۶۷

مسائل ۱-۱ تا ۱۲-۲-۱ معادله مختنی تعبیر مکان تیرهای شکل های ۱-۱ تا ۱۲-۲-۱ را با استفاده از توابع استثنای بدست آورده سا جواب های داده شده مقایسه کنید.

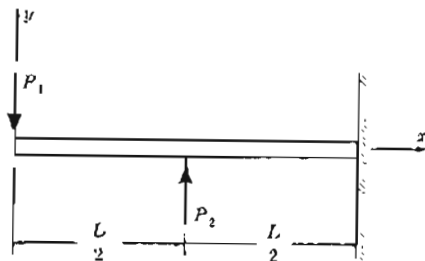
مسائل ۱-۲ تا ۱۲-۲-۷ مسائل ۲-۹ تا ۱۰-۴-۲۹ و ۱۰-۴-۳۸ را با استفاده از توابع استثنای حل کنید.

مسائل ۱-۳ تا ۱۲-۳-۸ واکنش های تیرهای شکل های ۱-۳-۸-۱ تا ۱۲-۳-۸ را با استفاده از توابع استثنای بدست آورید.



$$EIv = -\frac{P_1}{6}(x)^3 - \frac{P_1}{6}\left(x - \frac{L}{2}\right)^3 + \left(\frac{P_1L^3}{2} + \frac{P_2L^2}{8}\right)x - \frac{P_1L^3}{3} - \frac{5P_2L^3}{48}$$

۱۲-۲-۱



$$EIv = -\frac{P_1}{6}(x)^3 + \frac{P_2}{6}\left(x - \frac{L}{2}\right)^3 + \left(\frac{P_1L^2}{2} - \frac{P_1L^2}{8}\right)x - \frac{P_1L^3}{3} + \frac{5P_2L^3}{48}$$

۱۲-۲-۲

۶۶۶

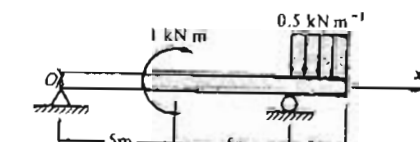
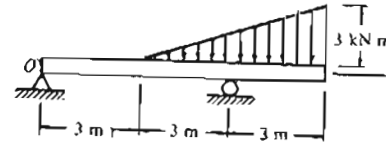
$$\delta_B = v(x=L) = \frac{P}{12EI} \left( L^3 - \frac{14L^3}{8} \right) = -\frac{PL^3}{16EI}$$

سراجام ثابت فری  $k$  فر برابر است با

$$k = \frac{R_2}{\delta_B} = \frac{16EI}{L^3}$$

## ۱۲-۵ مسائل حل نشده

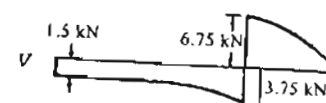
مسائل ۱-۱ تا ۱۲-۲-۱-۱ معادلات نیروی برشی و لنگر خمی را برای تیرهای شکل های ۱-۱ تا ۱۲-۲-۱-۱ نوشته نمودارهای آنها را رسم کنید و با جواب های داده شده مقایسه نمایید.



$$w(x) = -0.325(x)^{-1} + 1(x-5)^{-3} + 1.825(x-10)^{-1} - 0.5(x-10)^6$$

$$V(x) = -0.325(x)^0 + 1(x-5)^{-1} + 1.825(x-10)^0 - 0.5(x-10)^1$$

$$M(x) = -0.325(x)^1 + 1(x-5)^0 + 1.825(x-10)^0 - 0.25(x-10)^2$$

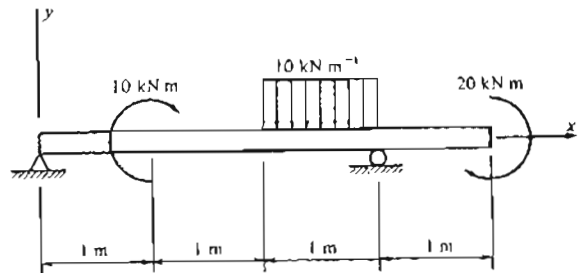


۱۲-۱-۱



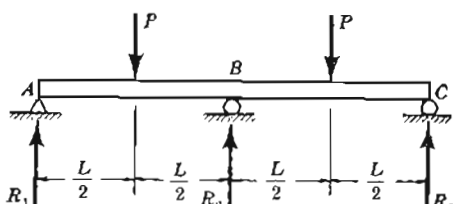
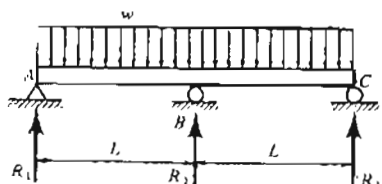
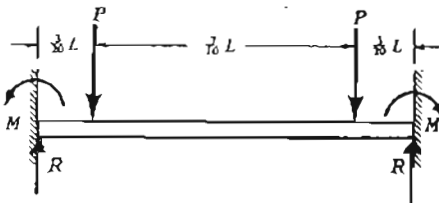
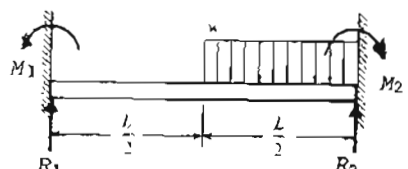
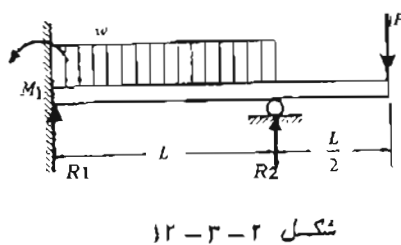
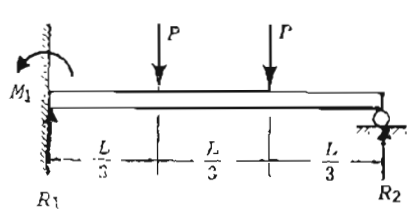
۱۲-۱-۲

۶۶۹

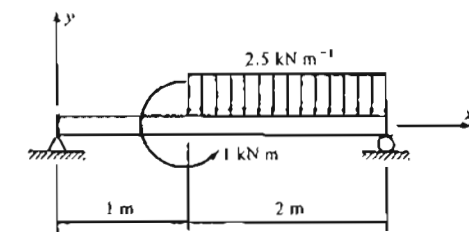


$$EIv = -\frac{1}{3}(x)^3 + 5(x-1)^2 - \frac{1}{4}(x-2)^4 + \frac{1}{24}(x-3)^6 + \frac{1}{6}(x-3)^3 + 10(x-4)^2 + 61x$$

۱۲-۳-۶ شکل

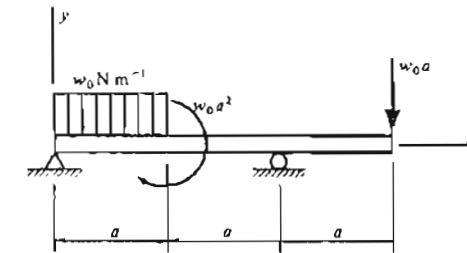


۶۶۸



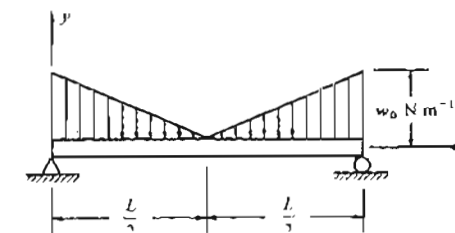
$$EIv = \frac{1}{3}(x)^3 - \frac{1}{2}(x-1)^2 - \frac{1}{4}(x-1)^4 + \frac{1}{2}(x-3)^3 - 1.78x \text{ kN m}^2$$

۱۲-۳-۳ شکل



$$EIv = -\frac{w_0 a}{24}(x)^3 - \frac{w_0}{24}(x)^4 + \frac{w_0}{24}(x-a)^4 + \frac{w_0 a^2}{2}(x-a)^3 + \frac{9}{24}w_0 a(x-2a)^4 - \frac{w_0 a}{6}(x-3a)^3 + \frac{11}{48}w_0 a^3 x$$

۱۲-۳-۴ شکل



$$EJv = \frac{w_0 L}{24}(x)^3 - \frac{w_0}{24}(x)^4 + \frac{w_0}{60L}(x)^5 - \frac{w_0}{10L}\left(x - \frac{L}{2}\right)^5 - \frac{3}{192}w_0 L^3 x$$

حجت الله عادلی

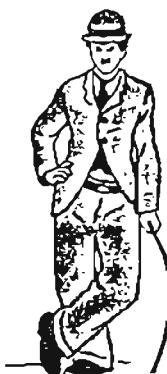
مقاومت مصالح

## فصل سیزدهم

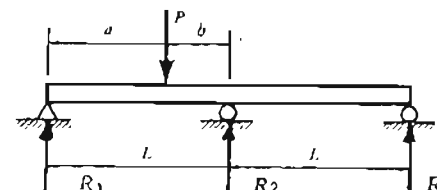
ستون ها

### ۱۳-۱ مقدمه

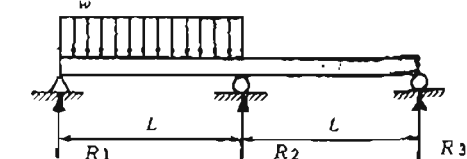
انتخاب ستون ها معمولاً "قسمت خبلی مهم طرح بک سازه را تشکیل می دهد زیرا شکست ستون معمولاً آثار فاجعه انگری به بار می آورد. علاوه، طرح ستون ها نسبت به طرح تیرهای تحت خمش و یا میله های تحت پیچش مشکل تر است زیرا رفتار آنها پیچیده تر می باشد. اگر طول ستون نسبت به عرض آن زیاد باشد ممکن است در انرکانشن، یعنی در اثر خمش و تغییر مکان جانبی زیاد، شکست بخورد تا اینکه بوسیله فشار مستقیم، بتهبه لاغری ستون، کمانش ممکن است ارتتعای یا غیر ارتتعای باشد. در بخش های زیر ما اساساً رفتار ستون های لاغر و بلند را مطالعه می کنیم که رفتار ارتتعای دارند.



پدیده کمانش!



شکل ۱۲-۳-۲



شکل ۱۲-۳-۸

مسائل ۱۲-۳-۲۲ ، ۱۲-۳-۲۳ ، ۱۲-۳-۲۴ ، ۱۲-۳-۲۵ ، ۱۱-۳-۲۱ ، ۱۱-۳-۲۴ ، ۱۱-۳-۲۵ و ۱۱-۳-۲۶ را با استفاده از توابع استثنائی حل کنید.

### ۱۲-۶ جواب های مسائل حل نشده

$$R_1 = \frac{4P}{3} ; \quad M_1 = \frac{PL}{3} ; \quad R_2 = \frac{2P}{3} \quad : 12-3-1$$

$$R_1 = \frac{5}{8}wL - \frac{3}{4}P ; \quad M_1 = \frac{1}{8}wL^2 - \frac{1}{4}PL ; \quad R_2 = \frac{3}{8}wL + \frac{7}{4}P \quad : 12-3-2$$

$$R_1 = \frac{3wL}{32} ; \quad M_1 = \frac{5wL^2}{192} ; \quad R_2 = \frac{13wL}{32} ; \quad M_2 = \frac{11wL^2}{192} \quad : 12-3-3$$

$$R_1 = \frac{3}{8}wL ; \quad R_2 = \frac{5}{4}wL \quad : 12-3-5 \quad R = P ; \quad M = \frac{51PL}{400} \quad : 12-3-4$$

$$R_1 = \frac{5}{16}P ; \quad R_2 = \frac{11}{8}P \quad : 12-3-6$$

$$R_1 = \frac{Pb}{L} - \frac{Pa}{4L^3}(L^2 - a^2) ; \quad R_2 = \frac{Pa}{L} + \frac{Pa}{2L}(L^2 - a^2) ; \quad R_3 = -\frac{Pa}{4L^3} \times (L^2 - a^2) \quad : 12-3-7$$

$$R_1 = \frac{7wL}{16} ; \quad R_2 = \frac{5wL}{8} ; \quad R_3 = -\frac{wL}{16} \quad : 12-3-8$$

حجت الله عادلی

مقاومت مصالح

## فصل سیزدهم

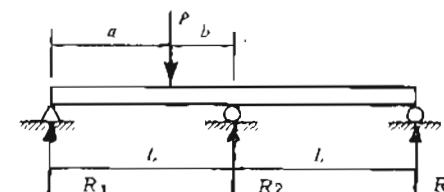
ستون ها

### ۱۳-۱ مقدمه

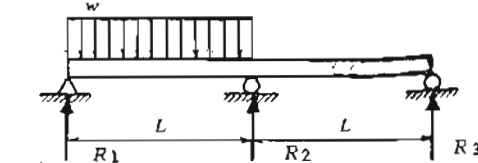
انتخاب ستون ها معمولاً "قسمت خیلی مهم طرح یک سازه را تشکیل می دهد زیرا شکست ستون معمولاً "آثار فاحشه انگیز به بار می آورد. بعلاوه، طرح ستون ها نسبت به طرح تیرهای تحت خمش و یا میله های تحت پیچش مشکل تر است زیرا رفتار آنها پیچیده تر می باشد. اگر طول ستون نسبت به عرض آن زیاد باشد ممکن است در اثر کمانش، یعنی در اثر خمش و تغییر مکان جابی زیاد، شکست بخورد تا اینکه بوسیله فشار مستقیم. بسته به لاغری ستون، کمانش ممکن است ارتیگاری یا غیر ارتیگاری باشد. در بخش های زیر ما اساساً رفتار ستون های لاغر و بلند را مطالعه می کیم که رفتار ارجاعی دارند.



پدیده کمانش!



شکل ۱۲-۳-۲



شکل ۱۲-۳-۸

مسائل ۱۲-۳-۹ تا ۱۲-۳-۳۳ مسائل ۱-۲-۷ تا ۱۱-۲-۷ و ۱۱-۳-۳۵، ۱۱-۳-۴۰، ۱۱-۳-۴۱ و ۱۱-۳-۴۲ را با استفاده از توابع استثنای حل کید.

### ۱۲-۶ جواب های مسائل حل نشده

$$R_1 = \frac{4P}{3} ; \quad M_1 = \frac{PL}{3} ; \quad R_2 = \frac{2P}{3} \quad : 12-3-1$$

$$R_1 = \frac{5}{8}wL - \frac{3}{4}P ; \quad M_1 = \frac{1}{8}wL^2 - \frac{1}{4}PL ; \quad R_2 = \frac{3}{8}wL + \frac{7}{4}P \quad : 12-3-2$$

$$R_1 = \frac{3wL}{32} ; \quad M_1 = \frac{5wL^2}{192} ; \quad R_2 = \frac{13wL}{32} ; \quad M_2 = \frac{11wL^2}{192} \quad : 12-3-3$$

$$R_1 = \frac{3}{8}wL ; \quad R_2 = \frac{5}{4}wL \quad : 12-3-5 \quad R = P ; \quad M = \frac{51PL}{400} \quad : 12-3-4$$

$$R_1 = \frac{5}{16}P ; \quad R_2 = \frac{11}{8}P \quad : 12-3-6$$

$$R_1 = \frac{Pb}{L} - \frac{Pa}{4L^3}(L^2 - a^2) ; \quad R_2 = \frac{Pa}{L} + \frac{Pa}{2L^3}(L^2 - a^2) ; \quad R_3 = -\frac{Pa}{4L^3} \times (L^2 - a^2) \quad : 12-3-7$$

$$R_1 = \frac{7wL}{16} ; \quad R_2 = \frac{5wL}{8} ; \quad R_3 = -\frac{wL}{16} \quad : 12-3-8$$

۶۷۳

داشت

$$v'' + k^2 v = -k^2 e \quad (13-4)$$

این معادله یک معادله دیفرانسیل خطی با ضرایب ثابت می‌باشد و جواب آن شامل دو قسم است :

(الف) - جواب معادله همگن که با صفر قرار دادن سمت راست معادله ۱۳-۴ نتیجه می‌شود.

(ب) - جواب ویژه که در معادله ۱۳-۴ صدق کد.

جواب معادله همگن عبارتست از

$$v_H = C_1 \sin kx + C_2 \cos kx$$

$C_2$  ثابت‌های اختیاری هستند که با توجه به شرایط حدی محاسبه می‌شود. جواب ویژه معادله ۱۳-۴ مساوی است با

$$v_p = -e$$

بنابراین جواب عمومی معادله ۱۳-۴ برابر  $v_H + v_p$  می‌باشد.

$$v = C_1 \sin kx + C_2 \cos kx - e \quad (13-5)$$

درستی این جواب را می‌توان با جایگزین سودن آن در معادله ۱۳-۴ تحقیق نمود.

ثابت‌های انتگرال گیری را می‌توان از شرایط دو انتهای تیر بدست آورد. این شرایط عبارتند از  $v=0$  در  $x=0$  و  $x=L$ . اگر این شرایط را در معادله ۱۳-۵ بکار ببریم

خواهیم داشت

$$C_2 = e \quad ; \quad C_1 = \frac{e(1 - \cos kL)}{\sin kL} = e \tan \frac{kL}{2}$$

بنابراین معادله منحنی تغییر مکان تیر برابر است با

$$v = e \left( \tan \frac{kL}{2} \sin kx + \cos kx - 1 \right) \quad (13-6)$$

با داشتن خروج از مرکز  $e$  و بار  $P$  تغییر مکان ستون را از رابطه فوق می‌توان حساب نمود.

تغییر مکان وسط ستون ( $\delta$ ) با جایگزین  $x = L/2$  در معادله ۱۳-۶ به دست می‌آید.

$$\delta = e \left( \sec \frac{kL}{2} - 1 \right) \quad (13-7)$$

به عنوان حالت حاصل اگر  $P = 0$  باشد (یعنی  $k = 0$  و  $kL/2 = 1$ ) تغییر مکان

۶۷۲

## ۱۳-۲ ستون‌های با بار محوری خارج از مرکز

مطالعه رفتار ستون‌ها را بررسی یک ستون لاغر که تحت اثر بارهای محوری  $P$  با خروج از مرکز  $e$  (شکل ۱-۱۳) فشار دارد شروع می‌کیم. ستون در دو انتهای دارای تکیه‌گاههای ساده می‌باشد و خروج از مرکز  $e$  از مرکز سطح مقطع عرضی تا خط اتر نیروهای محوری اندازه گیری می‌شود. با فرض اینکه صفحه XY یک صفحه تقارن ستون باشد، مشاهده می‌کنیم که ستون در همان صفحه تغییر شکل خواهد داد.

لنگر خمی در ستون در فاصله  $x$  از انتهای پائین آن برابر است با

$$M = P(e + v) \quad (13-1)$$

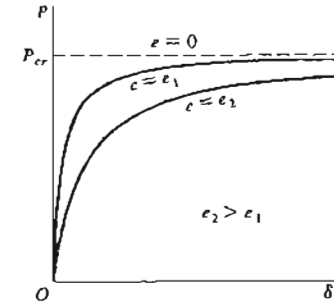
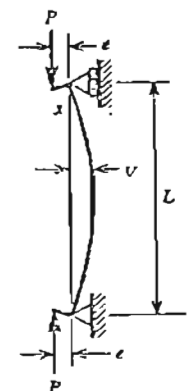
در این رابطه  $v$  تغییر مکان جانمی ستون در امتداد  $y$  می‌باشد. علامت لنگر خمی در معادله ۱۳-۱ را قرار داد علامتی که "قللاً" در تعیین تغییر مکان تیرها بکار برده‌یم (بخش ۱-۱۵ را بینید) مطابقت دارد. در این صورت معادله منحنی تغییر مکان ستون شکل ۱-۱۳ به صورت زیر نوشته می‌شود :

$$EIv'' = -M = -P(e + v) \quad (13-2)$$

فرض می‌کیم

$$k^2 = \frac{P}{EI} \quad (13-3)$$

پس از تقسیم نمودن طرفین رابطه ۱۳-۲ بر  $EI$  واستفاده از رابطه ۱۳-۳ خواهیم



شکل ۱-۱۳ ستون با بارهای محوری خارج از مرکز

شکل ۲-۱۳ نمودار بار-تغییر مکان برای ستون  
شکل ۱-۱۳

که آن ایجاد می‌کند با یکدیگر متناسب نمی‌باشد. بدین ترتیب حتی اگر تغییر مکان‌ها کوچک‌بانی بمانند و ماده ستون ارتحاعی خطی باشد اصل اجتماع اثر قوا را نمی‌توان بکار برد. اگر ما بارهای وارد بر ستون در شکل ۱-۱۳ را معادل بارهای  $P$  که به طور مرکزی وارد شوند بعلاوه لنگرهای  $Pe$  که در دو انتهای ستون اثر کنند در سطر بکیریم، دلیل این نتیجه را می‌توان به آسانی درک نمود. لنگرهای  $Pe$  اگر به تهابی اثر کنند تغییر مکانی ایجاد می‌کنند که می‌توان آن را مطابق روش‌های معمول محاسبه تغییر مکان تغیرها حساب نمود (فصل دهم را ببینید). در چین حالتی وجود تغییر مکان‌های کوچک در تیر اثر بارها را تغییر نمی‌دهد و لنگرهای خمشی در طول تیر را می‌توان بدون درنظر گرفتن تغییر مکان نیز حساب کرد. اما موقعی که بار محوری نیز بر ستون وجود دارد، تغییر مکان‌های ایجاد شده در اثر لنگرهای  $Pe$  باعث می‌شود که نیروی محوری علاوه بر اثر فشاری اثر خمشی نیز داشته باشد. این عمل خمن نیروی محوری تغییر مکان‌های اضافی ایجاد می‌کند که بنوبه خود بر روی لنگرهای خمشی اثر خواهد داشت. بدین ترتیب لنگرهای خمشی را نمی‌توان مستغل از تغییر مکان‌ها بدست آورد و یک رابطه غیرخطی بین نیروی محوری و تغییر مکان‌ها وجود دارد.

اگر نیروی محوری که بر ستون شکل ۱-۱۳ اثر می‌کند در مقایسه با بار بحرانی خیلی کوچک باشد (مثلاً کمتر از ۲ درصد بار بحرانی)، در اینصورت کمیت  $2 / kL$  به اندازه کافی کوچک خواهد بود که بتوانیم تابع سکانت را با دو حمله اولی در بسط سری آن مساوی قرار دهیم.

$$\sec \frac{kL}{2} \approx 1 + \frac{k^2 L^2}{8}$$

اگر این رابطه را در معادله ۱-۱۳ جایگزین کنیم خواهیم داشت

$$\frac{k^2 L^2 e}{8} = \frac{P e L^2}{8 E I} \quad (13-9)$$

این مقدار  $e$  برابر است با تغییر مکان وسط یک نیز ساده که در دو انتها تحت اثر لنگرهای خمشی  $Pe$  قرار دارد. بنابراین می‌توان نتیجه گرفت که هر موضع نیروی محوری  $P$  در مقایسه با  $P_{CR}$  خیلی کوچک باشد (همچون در یک ستون کوتاه) اثر تغییر مکان‌ها روی بزرگی لنگر خمشی را می‌توان صرف نظر نمود و فرمول‌های متداول محاسبه تغییر مکان تغیرها (پوست ۳ کتاب) را می‌توان بکار برد.

صفر می‌شود. اگر مقدار معین  $e_1$  از خروج از مرکز  $e$  را انتخاب کنیم از معادله ۱-۱۳ می‌توانیم محنی بار - تغییر مکان ( $P$  در مقابل  $e$ ) را رسم نماییم. این محنی در شکل ۲-۱۳ رسم شده است که ار آن مساهده می‌کنیم بالا مفهوم بار  $P$  تغییر مکان  $e$  نیز هر چند به شور غیر خطی افزایش می‌باید. اگر مقدار جدید  $e_2$  (بزرگتر از  $e_1$ ) را برای خروج از مرکز  $e$  انتخاب کنیم، در اینصورت تغییر مکان‌ها نیز همانطور اضافه خواهد شد.

در شکل ۲-۱۳ مساهده می‌کنیم موقعی که بار  $P$  به یک مقدار بحرانی معینی نزدیک می‌شود تغییر مکان  $e$  ستون بدون حد افزایش می‌باید. مقدار این بار بحرانی که آن را با  $P_{CR}$  نشان می‌دهیم از معادله ۱-۱۳ بدست می‌آید. هرگاه در این معادله  $kL/2 = \pi/2$  باشد، جمله سکانت در آن به نهایت می‌گردد. بنابراین وقتی که  $kL = \pi$  می‌باشد تغییر مکان  $e$  به نهایت می‌شود و مقدار بحرانی بار  $P$  با توجه به رابطه ۱-۱۳ برابر خواهد بود با

$$P_{CR} = \frac{\pi^2 EI}{L^2} \quad (13-8)$$

با بررسی حالتی که خروج از مرکز  $e$  صفر می‌باشد نیز همین نتیجه برای بار بحرانی حاصل می‌شود. اگر  $e = 0$  باشد، تغییر مکان  $e$  که از معادله ۱-۱۳ به دست می‌آید برای همه مفادیر  $kL/2$  کوچکتر از  $\pi/2$  صفر می‌شود زیرا در همه حالات مذبور جمله  $\frac{kL}{2} \sec \frac{kL}{2}$  معادله مذبور مقدار محدودی دارد. از این رو وقتی که  $\frac{kL}{2}$  کوچکتر از  $\pi/2$  است تغییر مکان  $e$  صفر باقی می‌ماند. اما موقعی که  $P = P_{CR}$  و  $kL/2 = \pi/2$ ، تغییر مکان  $e$  بوسیله معادله ۱-۱۳ مشخص نمی‌باشد و می‌تواند هر مقدار دلخواهی داشته باشد. این شرط در روی محنی بار - تغییر مکان شکل ۲-۱۳ بوسیله خط افقی  $e = 0$  مشخص شده است.

در بحث منحنی‌های شکل ۲-۱۳ باید به حاطر سپرد که معادله ۱-۱۳ براساس این فرض‌ها بدست آمد که تغییر مکان‌ها کوچک باشند و ماده رفتار ارجاعی خطی داشته باشد. بنابراین تغییر مکان  $e$  فقط به صورت فرضی می‌تواند خیلی زیاد شود. همان طوری که در بخش‌های ۱-۱۵ و ۸-۱۰ بحث شد، اگر تغییر مکان‌ها کوچک نباشند رابطه دقیق آنها، باید مورد استفاده قرار گیرد. علاوه بر این در یک ستون واقعی قبل از اینکه تغییر مکان‌ها خیلی زیاد گردد نش مازکیم در ستون احتمالاً از حد تابعی تجاوز خواهد نمود.

یک نتیجه مهم که از شکل ۲-۱۳ بدست می‌آید این است که بار  $P$  و تغییر مکان

۱۳-۲ بارهای بحرانی ستون ها

در بخش قبل نشان داده شد موقعی که نیروی محوری در یک ستون با بار محوری خارج از مرکز به یک مقدار بحرانی نزدیک می شود تغییر مکان ستون به سرعت زیاد میگردد. وقتی که  $P$  برابر  $P_{CT}$  می شود، فرمول های تغییر مکان در وسط ستون (معادله ۱۳-۷) و لکر خمشی ماکزیم (معادله ۱۰-۱۳) مقادیر بی نهایت زیادی می دهد. برای ستونی با تکیه کاههای ساده هبذا کرد  $M = \frac{\pi^2 EI}{L^2} = P$ . این مقدار بار بحرانی بستگی به ابعاد ستون و ضریب ارتجاعی ماده ستون دارد. تا زمانی که ستون ارتجاعی باقی می ماند می توانیم بار بحرانی را به عنوان بار نهایی ستون در نظر بگیریم زیرا وقتی که بار  $P$  به این مقدار نزدیک می شود تغییر مکان های ستون خیلی زیاد می گردد. در طرح های واقعی و عملی عمولاً ضریب اطمینان مناسبی انتخاب می شود و بار مجاز از تقسیم نمودن بار بحرانی بر ضریب اطمینان مزبور تعیین می گردد.

در خیلی از ستون های با ابعاد معمولی قبل از اینکه بار محوری فشاری در آنها به بار بحرانی رسید تنفس ماکزیم از تشن تسلیم تجاوز حواهد کرد. این نوع ستون ها تحت بارهای کمتر از بار بحرانی ارتجاعی کنایه می کنند. در این مصل ما فقط کاشش ارتجاعی ستون ها را بررسی می کنیم.

بار بحرانی ستون را می توان مستقیماً "با مطالعه رفتار یک ستون اپده آل بدست آورد. فرض می شود ستون اپده آل کاملاً" مستقیم و تحت یک بار فشاری مرکزی (باری که از مرکز سطح مقطع عرضی آن عبور کند) قرار داشته باشد. ابتدا ستون اپده آل لاغری به طول  $L$  را در نظر می گیریم که در انتهای تحتانی گیر داد و در انتهای فوقای آزاد می باشد (شکل ۱۳-۴). فرض می شود ماده ستون ارتجاعی خطی باشد. اگر بار محوری  $P$  کمتر از بار بحرانی باشد، میله مستقیم باقی می ماند و فقط تحت فشار محوری قرار می گردد. این شکل مستقیم تعادل پایدار می باشد و این بدان معنی است که اگر بر ستون نیروی جانبی وارد شود و تغییر مکان کوچکی ایجاد گردد، وقتی که نیروی جانبی برداشته شود تغییر مکان ستون از سین رفته و ستون "جدداً" به حالت مستقیم در می آید. اما با افزایش تدریجی بار  $P$  وضنی که این بار برابر  $P_{CT}$  می گردد، ستون یک حالت تعادل خنثی هبذا می کند. ستون تحت اثر بار مزبور به طور تئوری می شوند هر تغییر مکان کوچکی داشته باشد و نیروی جانبی کوچک در ستون تغییر مکانی ایجاد خواهد کرد که پس از برداشتن نیروی جانبی از همین نخواهد رفت. ستون تحت اثر بارهای بیشتر از بار بحرانی ناپایدار است و فرو خواهد ریخت. این پدیده ناپایداری به کمانش موسم می باشد و

۶۷۶

حداکثر لکر خمشی در ستون با بار گذاری خارج از مرکز شکل ۱-۱۳ در وسط آن رخ می دهد و برابر است با

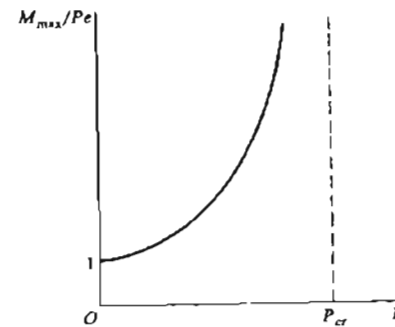
$$M_{\max} = P(e + \delta) = Pe \sec \frac{KL}{2} \quad (13-10)$$

نمودار این معادله در شکل ۱۳-۱۳ رسم شده است. از این شکل مشاهده می کنیم که برای مقادیر خیلی کوچک  $P$  حداکثر لکر خمشی برابر  $Pe$  است و این مقدار برابر لکر خمشی در ستون وقتی که از اثر تغییر مکان صرف نظر شود می باشد. با اضافه شدن  $P$  لکر خمشی به طور غیر خطی افزایش می یابد و موقعی که  $P$  نزدیک مقدار بحرانی  $\frac{\pi^2 EI}{L^2}$  می گردد لکر خمشی خیلی زیاد می شود. حداکثر تنفس فشاری در ستون که در سطح مقعرش اتفاق می افتد برابر است با

$$\sigma_{\max} = \frac{P}{A} + \frac{M_{\max}}{S} = \frac{P}{A} + \frac{Pe}{S} \sec \frac{KL}{2} \quad (13-11)$$

در این رابطه،  $S$  ضریب مقطع می باشد. این معادله در بخش ۵-۵ به تفصیل مورد بحث قرار خواهد گرفت.

در سراسر بحث فوق فرض هر این بوده است که خم شستون در یک صفحه تقارن ستون (صفحه  $xy$  در شکل ۱-۱۳) صورت می گیرد. اگر ستون دو صفحه تقارن دارد و خروج از مرکز  $e$  در امتداد یکی از محورهای اصلی مقطع عرضی نباشد لازم است که لکر خمشی  $Pe$  را به دو مولفه که هر یک در یک صفحه تقارن ستون اثرگذار نمود. تغییر مکان ستون در هر یک از دو صفحه تقارن را می توان با همان روش مورد بحث در بالا بررسی نمود.



شکل ۱۳-۱۳ نمودار لکر خمشی ماکزیم ستون شکل ۱-۱۳

۶۷۹

اکنون از جایگری شرایط حدی در معادلات ۱۳-۱۳ و ۱۴-۱۳ نتیجه می‌شود

$$C_1 = 0 \quad ; \quad C_2 = -\delta$$

بنابراین معادله منحنی تعبیر مکان عبارت است از

$$v = \delta(1 - \cos kx) \quad (13-15)$$

تبیین مکان  $\delta$  هوز در این معادله نا معنی می‌باشد.

برای اینکه اطلاعات بیشتری در مورد تغییر مکان ستون بدست آوریم، شرط  $v = 0$  در  $x = L$  (در انتهای فوپاسی سون) را در معادله ۱۵-۱۳ بکار می‌بریم. از این شرط حاصل می‌شود

$$\delta \cos kL = 0 \quad (13-16)$$

از این معادله نتیجه می‌شود که  $\delta = 0$  یا  $\cos kL = 0$ . اگر  $\delta = 0$  باشد ستون تغییر مکانی نخواهد داشت و در نتیجه کماش رخ خواهد داد (شکل ۴-۱۲). در چنین حالتی کمیت  $kL$  هر مقداری می‌تواند داشته باشد و معادله ۱۶-۱۳ با هر مقدار  $kL$  مادق خواهد بود. بنابراین بار  $P$  سیز می‌تواند هر مقداری اختیار کند. این نتیجه با محور فائم منحنی بار - تغییر مکان در شکل ۸-۱۲ نشان داده شده است.

امکان دیگر  $\cos kL = 0$  است که در این حال از معادله ۱۶-۱۳ مشاهده می-

کنیم که  $\delta$  می‌تواند هر مقدار کوچکی داشته باشد. شرط  $\cos kL = 0$  لازم می‌دارد که

$$kL = \frac{n\pi}{2} \quad n = 1, 3, 5, \dots \quad (13-17)$$

برای بدست آوردن کوچکترین مقدار  $P$  که در رابطه فوق صدق کند،  $n$  را برابر واحد احتمال می‌کیم یا  $n = 1$  و این رابطه داریم

$$P_{cr} = \frac{\pi^2 EI}{4L^2} \quad (13-18)$$

این فرمول کوچکترین بار بحرانی سون شکل ۴-۱۲ را می‌دهد. برای نمایش شکل منحنی تغییر مکان مشاهده می‌کیم که  $k = \pi/2L$  و در نتیجه کمیت  $kx$  در راسته ۱۳-۱۵ از  $0$  تا  $\pi/2$  تغییر می‌کند. بنابراین شکل منحنی تغییر مکان مطابق شکل ۵-۱۲ می‌باشد. با این جواب مقدار تغییر مکان  $\delta$  را مینیم باشی می‌ماند و این حالت در منحنی بار - تغییر مکان شکل ۸-۱۲ با خط افقی  $P = P_{cr}$  سtan داده شده است. لسته باید به خاطر سپرد که در این تحلیل ابده‌آل تغییر مکان‌ها کوچک فرض شده‌اند.

بار بحرانی  $P_{cr}$  برای پک سون ارتعاعی ابده‌آل اغلب به بار اولر<sup>۱</sup> موسوم

1- Euler

۶۷۸

می‌توانیم بگوئیم که سون سخت اثر بار بحرانی کمایه می‌کند یا نا بایدار می‌شود. بار بحرانی سون را می‌نوان با استفاده از معادله دیفراسیل منحنی تغییر مکان بدست آورد. برای سون شکل ۵-۱۲ لگر حمی در فاصله  $x$  از پای سون سراز است با

$$M = -P(\delta - v)$$

در این راسته،  $\delta$  تغییر مکان اسهامی آزاد سون می‌باشد. بنابراین معادله دیفراسیل منحنی تغییر مکان به صورت زیر در می‌آید:

$$EIv'' = -M = P(\delta - v) \quad (13-12)$$

چون انتهای بالای ستون آزاد است که در هر جهتی خم شود واضح است که کمانش سون در صفحه ملبيت خمی (EI) مینیم رخ خواهد داد، یعنی حمی حول آن محور اصلی اتفاق خواهد افتاد که کوچکترین گشتاور لختی را داشته باشد. مرص میکمیم مفهومی که در آن کمانش رخ می‌دهد صفحه  $xy$  باشد و این صفحه یک صفحه تقارن باشد. اگر در اینجا سیز مانند بخش قبل فرض کیم  $P/EI = k^2 = k^2$ ، معادله ۱۲-۱۳ بصورت زیرنوشته می‌شود:

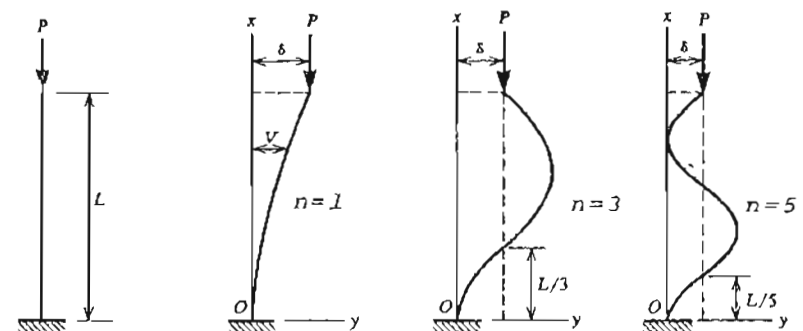
$$v'' + k^2 v = k^2 \delta$$

جواب عمومی این معادله دیفراسیل برابر است با

$$v = C_1 \sin kx + C_2 \cos kx + \delta \quad (13-13)$$

برای پیدا کردن ثابت‌های  $C_1$  و  $C_2$  از شرایط حدی انتهای گیر دار ستون استفاده می‌کنیم. این شرایط عبارتند از  $v = v'$  در  $x = 0$  و  $v = 0$  در  $x = L$ . اگر از طرفین معادله ۱۳-۱۳ مشتق بگیریم خواهیم داشت

$$v' = C_1 k \cos kx - C_2 k \sin kx \quad (13-14)$$



شکل ۴-۱۲

شکل ۵-۱۲

شکل ۶-۱۲

شکل ۷-۱۲

۶۸۱

(شکل ۹ - ۱۳) . این نوع کمانش به کمانش موضعی موسوم است که مطالعه آن احتیاج به تحلیل دقیق تری دارد ( مرجع 25 ) .

اگر معادله ۱۷-۱۳ را مجدداً در نظر می کیریم . جواب کلی این معادله بر حسب  $n$  به صورت زیر می باشد :

$$P_{cr} = \frac{n^2 \pi^2 EI}{4L^2} \quad (13-19)$$

از این رابطه بی نهایت جواب بدست می آید . معادله محننی تغییر مکان نظیر رابطه فوق از رابطه ۱۵-۱۳ بدست می آید .

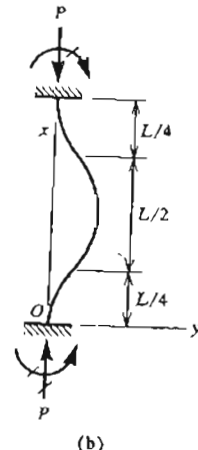
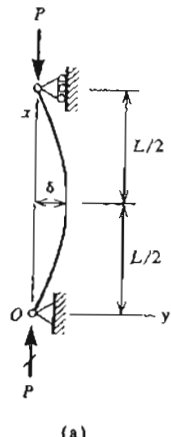
$$v = \delta (1 - \cos \frac{n\pi x}{2L}) \quad (13-20)$$

این معادله نشان می دهد موقعی که  $n$  اضافه می شود منحنی تغییر مکان موج های بیشتری خواهد داشت . وقتی که  $n = 1$  ، منحنی تغییر مکان مطابق شکل ۵ - ۱۳ یک نیم موج دارد . برای حالت بعدی ( $n = 3$ ) داریم

$$P_{cr} = \frac{9\pi^2 EI}{4L^2} \quad ; \quad v = \delta (1 - \cos \frac{3\pi x}{2L})$$

برای  $n = 5$  داریم

$$P_{cr} = \frac{25\pi^2 EI}{4L^2} \quad ; \quad v = \delta (1 - \cos \frac{5\pi x}{2L})$$

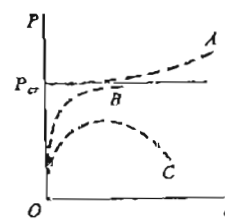


شکل ۹ - ۱۳

۶۸۰

است زیرا ریاضی دان مشهور لئونارد اوولر<sup>۱</sup> ( 1707 - 1783 ) اولین کسی بود که مسئله کمانش ستون های لاغر و تعیین نمودن بارهای بحرانی را مورد بررسی قرار داد ( مراجع 25 ، 35 و 36 ) .

از رابطه ۱۸-۱۳ مشاهده می شود که بار بحرانی ستون مستقیماً " با صلبیت حجمی EI و معکوساً " با مربع طول ستون متناسب می باشد . همچنین باید توجه نمود که بار بحرانی مستقل از مقاومت فشاری ماده است . از این رو با استفاده از فولادی که دارای تنفس سالمی بالایی است می توان بار بحرانی ستون را اضافه نمود . اما بار بحرانی را می توان با افزایش گشتاور لختی مقطع ( I ) اضافه کرد . این کار را می توان با توزیع ماده در حداقل فاصله از مرکز سطح مقطع عرضی ستون انجام داد . از این رو مقطع تو خالی و جدار نارک از مقطاع تو پر هم سطح اقتصادی تر هستند . با کاهش ضخامت جدار چنین مقطاعی و افزایش ابعاد مقطع ، پایداری ستون افزایش می یابد زیرا گشتاور لختی در این حالت بیشتر است . ولی برای ضخامت جدار ستون جدار نارک یک حد پائینی وجود دارد که اگر ضخامت جدار از آن مقدار کمتر شود ، خود جدار نا پایدار می گردد . در اینصورت به جای کمانش نهام ستون ، در ستون کمانش موضعی به صورت چین خوردگی پیدا می نمود



شکل ۸ - ۱۳ نمودارهای بار - تغییر مکان برای ستون ها



شکل ۹ - ۱۳ مثال کمانش موضعی در ستون

نیشان داده شده است. تئوری مربوط به تغییر مکان های کوچک محدود بود زیرا ما از رابطه  $K = \frac{P}{\Delta}$  برای احیای ستون به جای رابطه دقیق ( معادله ۱۰-۱۱ ) استفاده کردیم .  
جواب مادله دیفرانسیل دقیق برای چند حالت محاسبه شده است ( مرجع ۲۵ ) و این نتایج نشان می دهد که در واقع هیچ نتیجه ای در تغییر مکان ستون وجود ندارد .  
اگر از معادله دیفرانسیل دقیق برای ستون ارتعاعی ابده آل اسعاده کنیم خواهیم بافت که نمودار بار - تغییر مکان به صورت سختی A در شکل ۸-۱۳ در می آید . پس از اینکه ستون تغییر مکان زیادی داد ، اگر نشناخته ای در ستون از حد تناسب تحاول کند ، در این صورت محسنی بار - تغییر مکان بست به محسنی A به طرف یائین خواهد رفت .  
در آزمایش هایی که با ستون های ارتعاعی صورت می گیرد نمودار بار - تغییر مکان داصل معمولاً " سبیه محسنی B شکل ۸-۱۲ می باشد ( شکل ۲-۱۳ را بینید ) .  
به دلیل سی دفتی در بارگذاری و ساختن و اجرای ستون ، تغییر مکان های حاسی در بارهای کمتر از  $\frac{L}{2}$  ظاهر می شوند و سر دیگر نشدن بار به بار بحرانی افزایش می پائند . هر چقدر که ستون دقیق بر ساخته و بارگذاری شود ، محسنی B به محسنی دو خطی تئوری همین نتیجه قبل " در بحث ۲-۱۳ بدست آمد ( معادله ۸-۱۳ را بینید ) .  
که در دو استهای دارای تکیه گاه های ساده می باشد به حالت اساسی کماش ستون های بحرانی موسم می باشد .  
و این سارکمتر از سار اول برای همان ستون است .

### مثال ۱۲-۱

ستون لاغری به طول L در استهای حسانی بگردار و در استهای مومنی دارای تکیه گاه ساده می باشد ( شکل ۱۱-۱۲ ) . کوچکترین بار بحرانی این سرخ و شکل کمانه کرده آن را تعیین کنید .

حل : موقعی که این سون کمانه می کند سروی واکنشی افقی R در استهای مومنی ستون ایجاد می شود . در استهای گیر دار ، سروی افقی و همچنین لگر بوجدد می آید .  
از معادلات تعادل استاتیک نتیجه می شود که دونبروی افقی ساکنیگر مساوی لی مختلف -  
الجهت می باشد و لگر RL می باشد . لگر خمثی در فاصله x از یا ستون

$$M = PV - R(L - x)$$

برابر است با

منحنی های تغییر مکان برای این دو حالت به ترتیب در شکل های ۶-۱۳ و ۷-۱۳ رسم شده است . با وجود اینکه این حواب ها به طور تئوری حالت های ممکن کماش ستون هارا نشان می دهند به طور عملی مورد استفاده سی باشد زیرا ستون همواره در حالت اول کماش ، وقتی که P به مقدار داده شده بوسیله معادله ۱۳-۱۸ می رسد ، کمانه می کند .  
بار بحرانی ( کماش ) ستون های با تکیه گاه های معلقی است ( نکل ۲-۱۲ ) در حالت اول کماش در وسط طولش مماس قائم دارد . از این رو هر نیمه ستون در همان شرایط ستون شکل ۵-۱۳ می باشد و بار بحرانی ستون دو سر مفصلی با جایگزین  $L/2$  به جای  $L$  در معادله ۱۸-۱۳ بدست می آید .

$$P_{CR} = \frac{\pi^2 EI}{L^2} \quad ( 13-21 )$$

همین نتیجه قبل " در بحث ۲-۱۳ بدست آمد ( معادله ۸-۱۳ را بینید ) .  
که در دو استهای دارای تکیه گاه های ساده می باشد به حالت اساسی کماش ستون های بحرانی موسم می باشد .

اگر ستون در دو استهای بگردار است ( نکل ۶-۱۲ ) ، در هنگام کماش در تکیه گاه های واکنشی ایجاد می شود . منحنی تغییر مکان برای حالت اول کماش یک منحنی کوسینوسی است که در موافق  $L/4$  از دو تکیه گاه دارای نقطه عطف می باشد .  
هر ربع طول ستون مانند یک ستون طرمای عمل می کند ( شکل ۵-۱۲ ) و بسایر این بار بحرانی ستون دو سرگیر دار با جایگزینی  $L/4$  به جای  $L$  در معادله ۱۸-۱۳ به دست می آید .

$$P_{CR} = \frac{4\pi^2 EI}{L^2} \quad ( 13-22 )$$

### تغییر مکان های زیاد ستون ها

در موقع بدست آوردن معادله منحنی تغییر مکان ( معادله ۱۳-۱۵ ) ، تغییر مکان ماکریم ۶ مشخص شده باقی ماند . از این رو نتیجه گرفتیم که ستون در  $P = P_{CR}$  می تواند هر تغییر مکان کوچکی داشته باشد و این حالت بوسیله حفظ افقی در شکل ۸-۱۲

است  
کمان  
۲۵  
بهر  
نمط  
۱۱  
حد  
جد  
مقاء  
حال  
که  
به

۶۸۵

بس از بسط دتر مینان و ساده کردن خواهیم داشت

$$kL = tankL \quad (13-25)$$

از حل این معادله فرارده بار بحرانی بدست می آید. کوچکترین مقدار عیر صفر  $Lx$  که در معادله مذکور صدق می کند  $kL = 4.493$  می باشد که از روش آزمون و خطای محاسبه می شود. بار بحرانی مرسوطه برابر است با

$$P_{cr} = (kL)^2 \frac{EI}{L^2} = \frac{20.19EI}{L^2} \quad (13-26)$$

این مقدار بار بحرانی بسی مقادیر بار بحرانی برای ستون های با دو انتهای معصلی (معادله ۱۳-۲۱) و با دو انتهای گیر دار (معادله ۱۳-۲۲) قرار دارد.

اکنون از معادلات ۱۳-۲۴ ثابت های  $C_1$  و  $C_2$  را بر حسب  $R$  حساب می کیم.

$$C_1 = \frac{R}{kP} \quad ; \quad C_2 = -\frac{RL}{P}$$

با جایگزینی این مقادیر در معادله ۱۳-۲۳ معادله منحنی تغییر مکان بدست می آید.

$$v = \frac{R}{Pk} \left[ \sin kx - kL \cos kx + kL \left( 1 - \frac{x}{L} \right) \right] \quad (13-27)$$

مقادیر  $P$  و  $k$  در این معادله معلوم می باشد. معادله مون شکل ستون کمانه کرده را می دهد ولی دامنه تغییر مکان ستون ساختی می باشد زیرا  $R$  بک مقدار اختیاری می باشد.

## ۱۳-۴ تنشها در ستون ها

تنش فشاری متوسط در ستونی با بار مرکزی از تقسیم نمودن نیروی محوری بر مساحت مقطع عرضی ستون بدست می آید. تنشی که بدین ترتیب برای وقته که بار محوری برای بار بحرانی است محاسبه می شود به تنش بحرانی موسوم می باشد. برای حالت اساسی کمانش (شکل ۱۳-۱۰)، بار بحرانی از معادله ۱۳-۲۱ بدست می آید و در نتیجه تنش بحرانی برابر است با

$$\sigma_{cr} = \frac{P_{cr}}{A} = \frac{\pi^2 EI}{AL^2} = \frac{\pi^2 E}{(L/r)^2} \quad (13-28)$$

۶۸۶

بنابراین معادله دیفرانسیل منحنی تغییر مکان ستون عبارتست از

$$EIv'' = -Pv + R(L-x)$$

جواب عمومی این معادله مساوی است با

$$v = C_1 \sin kx + C_2 \cos kx + R(L-x)/P \quad (13-23)$$

در این رابطه  $k^2 = P/EI$ .

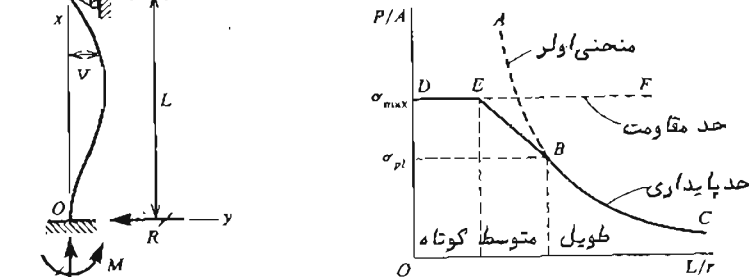
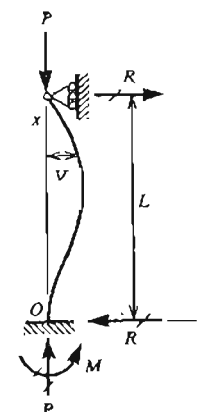
برای پیدا کردن ثابت های انتگرال گیری  $C_1$  و  $C_2$  واکنش مهبول  $R$  از سه شرط زیر در دو انتهای ستون استفاده می کیم؛  $v=0$  در  $x=0$  و  $v'=0$  در  $x=L$ .

اگر این شرایط را در معادله ۱۳-۲۳ بکار ببریم خواهیم داشت

$$C_2 + RL/P = 0 ; C_1 k - R/P = 0 ; C_1 tankL + C_2 = 0 \quad (13-24)$$

یک جواب سه معادله فوق  $C_1 = C_2 = R = 0$  می باشد که در اس صورت ستون تغییر مکانی نخواهد داشت و به شکل مستقیم در حال تعادل باقی می ماند. سرای بدست آوردن جواب های مخالف صفر دستگاه معادلات ۱۳-۲۴ باید دتر مینان مراثب را مساوی صفر قرار دهیم. بدین ترتیب معادله کمانش زیر حاصل می شود

$$\begin{vmatrix} 0 & 1 & L/P \\ k & 0 & -1/P \\ tankL & 1 & 0 \end{vmatrix} = 0$$



شکل ۱۳-۱۳ نمودار تنش فشاری محوری در مقابل ضریب لاغری

می‌گذرد نشان داده شده است. این خط معرف حد مقاومت ستون می‌باشد.

در شکل ۱۲-۱۳ سن نواحی سنون های طویل و کوتاه ناچیه‌ای وجود دارد که در

آن ضرب لاغری کوچکر ار آن است که ستون به صورت ارجاعی کمانه کند و بزرگتر از آن است که ملاحظات مقاومت به نهایی باعث شکست سنون شود. چنین ستون هایی با طول متوسط به صورت عبر ارجاعی کمانه می‌کند. در طرح های واقعی، بعضی از موانع کافی است که سین E و B ( شکل ۱۲-۱۲ ) را با یک خط متقیم وصل کنیم. بدین ترتیب خط شکله DEBC بدست می‌آید که اساس طرح ستون های با طول های مختلف را تشکیل می‌دهد. روش دیگری نیز متدالو ای و آن وصل نقاط D و B بوسیله یک منحنی هموار می‌باشد ( بخش ۷-۱۳ را ببینید ).

تشن P/A که ار روی سوداری از نوع سودار شکل ۱۲-۱۳ بدست می‌آید باید به عنوان تش ماکریم  $\sigma_{max}$  برای سنون در نظر گرفته شود. تحت چنین نتشی، بسته به مقدار ضرب لاغری، سنون یا در اثر شکست مستقیم خود ماده و یا در اثر کماش، خواهد شکست. تش مجار  $\sigma_p$  برای فشار باید  $\sigma_{max}$  احتیاط شود که در آن  $n$  ضربیب اطمینان می‌باشد. مقداری که برای  $n$  انتخاب می‌شود بستگی به احتمال وجود بارهای اضافی پیش‌بینی نشده ناصادی، خطاهای ممکن در وارد سودن مرکزی بار، وجود اتحنای کوچک اوله در ستون دارد. تأثیر سواقص موجود در ستون با اضافه شدن طول ستون ریاد می‌شود، از این رو منطقی آن است که ضرب اطمینان متغیری انتخاب شود که با ضرب لاغری افزایش یابد. ضرب اطمینان برای کارهای سازه‌ای معمولاً " از ۱.۵ تا ۳ " تعییر می‌کند. چند فرمول ویژه برای نشنهای مجاز در بخش ۷-۱۲ داده شده است.

## طول موئر ستون

در موقع رسم منحی اولر در شکل ۱۲-۱۳ ما فقط حالت اساسی کمانش ( معادله ۱۲-۱۳ ) را در نظر گرفتیم. اما با معرفی مفهوم طول موئر ( یا طول معادل ) می‌توان نتیجه مذبور را برای شرایط استهایی دیگر ستون های نیز بکار برد. با مقایسه بار بحرانی یک ستون طره‌ای ( معادله ۱۲-۱۸ ) با بار بحرانی یک ستون دو سر مفصلی ( معادله ۱۲-۲۱ ) مشاهده می‌کنیم که رابطه بار بحرانی یک ستون دو سر مفصلی را برای یک ستون طره‌ای نیز می‌توان بکار برد به شرط آنکه به جای L طول موئر  $2L$  ( دو برابر طول ستون طره‌ای ) را بکار ببریم. بدین ترتیب می‌توانیم معادله ۱۲-۱۳ برای تنش بحرانی

در این رابطه

$$\tau = \sqrt{\frac{I}{A}}$$

شعاع زیرا سیو حداقل مقطع عرضی سنون می‌باشد. نسب  $I/A$  که در مخرج معادله ۱۲-۱۳ وجود دارد به ضرب لاغری ستون موسم است. تنش بحرانی با مربع این ضرب معمکساً متناسب است. البته رابطه ۱۲-۱۳ و فنی صادق است که  $\sigma_{cr}^5$  از حد سایه سنون کسر می‌باشد.

نمودار تنش مثاری در سنون در مقابل ضرب لاغری در شکل ۱۲-۱۳ رسم شده است. منحی ABC از معادله ۱۲-۱۳ رسم شده و به منحنی اولر موسم است. این منحنی به طور فیزیکی عطف در سایه BC قابل مقبول است که در آن فست  $\sigma_{cr}$  کوچکتر از حد تاب با  $\sigma_p$  می‌باشد. مقدار حدی  $L/2$  که فرمول اولر بالاتر از آن ماده است سا قرار دادن  $\sigma_p$  در معادله ۱۲-۲۸ و حل معادله حاصل برای  $L/2$  به دست می‌آید. به عوام مثال اگر فولاد سارهای را در نظر بگیریم و فرض کنیم  $E=2.1\times 10^6 \text{ Kg/cm}^2$  و  $\sigma_p=2500 \text{ Kg/cm}^2$  حواهد بود. بدین ترتیب برای  $L/2$  در یک ستون فولادی ۱۲-۱۳ تقریباً ۹۱ می‌باشد. این روش برای بار بحرانی در این حالت غیر قابل استفاده است. اگر  $L/2 > 91$  باشد، ستون به صورت ارجاعی کمانه خواهد کرد و می‌توان فرمول اولر را سکار برد.

منحنی BC شکل ۱۲-۱۳ سنون می‌دهد وقتی که ضرب لاغری مقدار بزرگی دارد، تنش بحرانی خیلی کوچک می‌باشد. ار این رو یک ستون خیلی لاغر تحت تنش مثاری کمی کمانه خواهد کرد. این حالت را می‌توان با بکار بردن مصالح با مقاومت بالاترا صلاح سود. تنش بحرانی را فقط با اضافه کردن شعاع زیرا سیو یا با بکار بردن ماده‌ای که ضرب ارجاعی بالاتری دارد می‌توان افزایش داد.

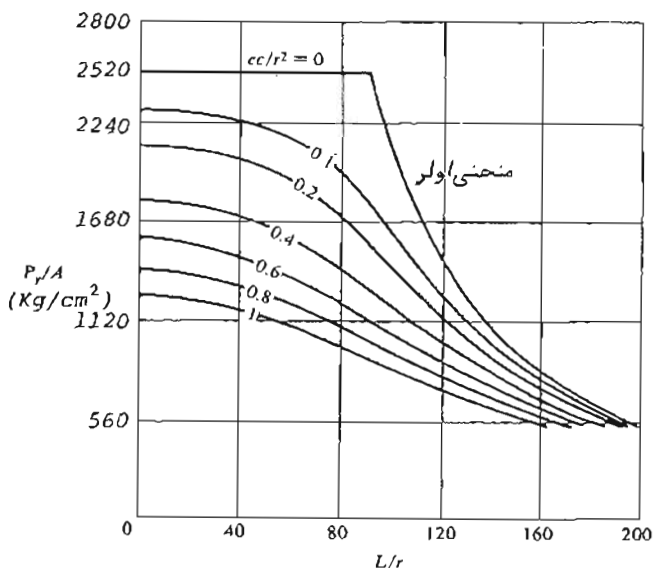
موقعی که ضرب لاغری ستون خیلی پائین است می‌توان انتظار داشت که شکست ستون در اثر شکست خود ماده باشد. چنین شکستی ممکن است به شکل خرد شدن ماده ( مثلاً وقتی که ماده ستون بت‌باشد ) و یا در اثر تسلیم شدن ماده ( مثلاً " فولاد سازه‌ای " ) صورت گیرد. در چنین شرایطی تنش مثاری ماکریم معیی ( P/A ) را می‌توان به عنوان حد مقاومت ماده تعیین نمود و هار نهایی را بر اساس این نشی بدست آورد. این حد در شکل ۱۲-۱۳ بوسیله خطی افقی DEF که از تنش ماکریم  $\sigma_{max}$

۶۸۹

اگر برای تنش ماکریم  $\sigma_{max}$  حدی انتخاب کنیم، در این صورت می‌توانیم از معادله ۱۳-۳۲ تنش فشاری متوسط مربوطه ( $P/A$ ) را حساب کنیم. برای مثال در مورد فولاد سازه‌ای می‌توان تنش تسلیم  $\sigma_y$  را به عنوان تنش حدی انتخاب کرد. در این صورت معادله ۱۳-۳۲ را می‌توان به صورت زیر نوشت:

$$\frac{P}{A} = \frac{\sigma_y}{1 + \frac{ec}{r^2} \sec(\frac{L}{2r} \sqrt{\frac{P}{E}})} \quad (13-33)$$

در این رابطه  $P$  سیرویی است که باعث می‌شود تنش در ناری از ستون که تحت بیشترین تنش قرار دارد به تنش تسلیم برسد. برای هر مقدار انتخابی نسبت خروج از مرکز، معادله فوق را می‌توان با روش آزمون و خطای حل نمود و نتایج را به صورت منحنی  $\sigma_y / A$  می‌تابعی از ضریب لاغری رسم کرد. چند مسحه از این منحنی‌ها برای  $\sigma_y / A = 2520 \text{ Kg/cm}^2$  و  $E = 2.1 \times 10^6 \text{ Kg/cm}^2$  در شکل ۱۳-۱۲ رسم شده است. پس از محاسبه  $P_y$ ، بار مجاز  $P_y$  ستون با تقسیم نمودن  $P_y$  بر ضریب اطمینان بدست می‌آید.



شکل ۱۳-۱۳ نمودار معادله ۱۳-۳۳ برای  $E = 2.1 \times 10^6 \text{ Kg/cm}^2$  و  $\sigma_y = 2520 \text{ Kg/cm}^2$

۶۸۸

را به صورت زیر نمی‌دهیم:

$$\sigma_{cr} = \frac{\pi^2 E}{(KL/r)^2}$$

در این رابطه،  $KL$  طول موئی ستون می‌باشد. کمیت  $K$  (موسوم به ضریب طول موئی) برای ستون طره‌ای برابر ۲، برای ستون دو سرگیر دار برابر ۰.۵ (معادله ۱۳-۲۲ را ببینید)، برای ستونی که در یک انتهای گیر دار و در انتهای دیگر مفصلی است برابر ۰.۷ (معادله ۱۳-۲۶ را ببینید) و برای ستون دو سر مفصلی برابر واحد می‌باشد. به طور کلی معادله ۱۳-۳۰ را برای ستون‌های با هر شرایط انتهایی می‌توان بکار برد، به شرط آنکه ضریب طول موئی معلوم باشد.

## ۱۳-۵ فرمول سکانت برای ستون‌ها

موقعی که ستونی با تکیه گاههای ساده تحت اثر سیروی محوری خارج از مرکزی‌شده می‌شود (شکل ۱۳-۱۳) تنش فشاری ماکریم در ستون برابر است با (معادله ۱۳-۱۱)

$$\sigma_{max} = \frac{P}{A} + \frac{Pe}{S} \sec \frac{KL}{2} \quad (13-31)$$

جهله اول سمت راست این معادله معرف اثر فشار مستقیم و جمله دوم سمت راست معادله هزبور معرف اثر خمش ستون می‌باشد. اگر  $c$  فاصله دورترین نار طرف مقعر ستون از محور خنثای مقطع ستون باشد، ضریب مقطع  $S = I/c$  حواهد بود. با جایگزینی این مقدار ضریب مقطع و همچنین استفاده از شاع زیرا سیون  $13-31 \quad \sqrt{I/A} = \sqrt{L/r}$  در معادله خواهیم داشت

$$\sigma_{max} = \frac{P}{A} \left( 1 + \frac{ec}{r^2} \sec \frac{KL}{2} \right)$$

حال در این رابطه به جای  $k$  مقدار مساوی آن  $\sqrt{P/EI}$  را قرار می‌دهیم.

$$\sigma_{max} = \frac{P}{A} \left[ 1 + \frac{ec}{r^2} \sec \left( \frac{L}{2r} \sqrt{\frac{P}{EA}} \right) \right] \quad (13-32)$$

این معادله که به فرمول سکانت برای ستون با بار خارج از مرکز موسوم می‌باشد، تنش ماکریم در ستون را به صورت تابعی از تنش فشاری متوسط  $P/A$ ، ضریب لاغری  $L/r$  و نسبت خروج از مرکز  $ec/r^2$  می‌دهد.

۶۹۱

(ب) - بار  $P_y$  که با خروج از مرکز  $e$  اثر می‌کند و باعث شروع تسلیم در ستون می‌گردد با جاگری  $\sigma_y = 2800 \text{ Kg/cm}^2$  در معادله ۱۳-۳۳ و پس حل معادله حاصل رای  $P_y$  با روش آرمون و خطاب دست می‌آید. نتیجه  $t = 370.7 \text{ cm}$  می‌باشد. بنابراین ضرب اطمینان در معامل تسلیم را برآورد می‌باشد.

$$n = \frac{P_y}{P} = \frac{370.7}{180} = 2.06$$

## ۶-۱۳ نوافض در ستون ها

سوافض احتمالی در ستون ها از قبیل انحصار اولیه در ستون، خروج از مرکزهای غیرقابل اجتناب در موقع وارد کردن سار، نافض سودن شرایط انتها، سار همکن بودن مصالح و غیره در روی رفتار ستون تحت بار گذاری فشاری مرکزی تأثیر مهی دارد. مقدار این سوافض از ستونی به ستون دیگر فرق می‌کند و در نتیجه در نتایج آزمایش های انجام شده در روی ستون ها پراکندگی وجود دارد. به طور کلی وجود سوافض در ستون ها موجب می شود که ستون تحت اثر فشار نوام با خشم قرار بگیرد. بنابراین منطقی است نتیجه بگیریم که رفتار یک ستون نافق با بار گذاری مرکزی متابه رفتار یک ستون ایده‌آل تحت بار گذاری نیرویی با خروج از مرکز  $e$  خواهد بود. نا این اندلال با انتخاب مقدار مناسب برای نسبت خروج از مرکز  $ec/r^2$  به طوریکه نافض سوافض به حساب بیاید می توان از فرمول سکانت برای طرح ستون های که ظاهرا " متفیم و تحت سار گذاری مرکزی قرار دارند استفاده سود. البته مقدار  $ec/r^2$  باید بر اساس نتایج آزمایش ها انتخاب شود. با وجود این اسعاده از فرمول سکانت به طریق مزبور یک روش منطقی برای به حساب آوردن تأثیر سوافض در ستون ها می باشد تا اینکه صرفاً " بر مقدار ضرب اطمینان بیافرامیم.

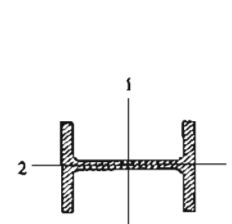
برای ستون های مولادی دو سر معکلی مقداری از سبت خروج از مرکز که معمولاً مورد استفاده فراز مرکز  $ec/r^2 = 0.25$  می باشد. اگر این مقدار را در معادله ۱۳-۳۳ بگار ببریم و تنش تسلیم  $\sigma_y$  و ابعاد ستون نیز معلوم باشد می توانیم بار  $P_y$  را که در نارهای خارجی ستون تسلیم اولیه ایجاد می کند حساب کیم. پس بار مجاز ستون با تقسیم نمودن  $P_y$  بر ضرب اطمینان مناسب ( مثلاً  $n = 2$  ) بدست می آید.

در موقع استفاده از فرمول سکانت در بالا مرض کردیم که اثر سوافض غیر قابل احتساب در ستون را می توان با انتخاب یک خروج از مرکز مناسب به حساب آورد. روش

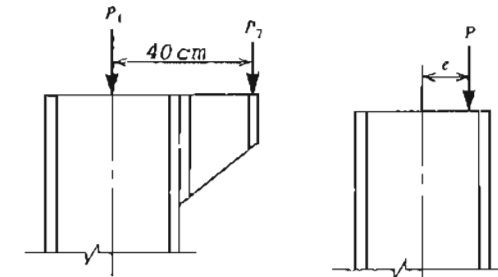
۶۹۵

## مثال ۲-۱۳

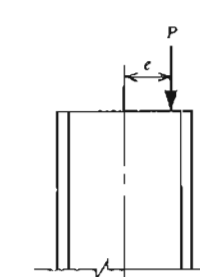
ستون مولادی شکل ۱۴-۱۳ از نوع  $WL4 \times 103$  ( پیوست ۲ را ببینید )، در دو انتهای مفصلی و به طول  $7.5 \text{ m}$  می باشد. این ستون بار مرکزی  $P_1 = 158 \text{ t}$  و بار خارج از مرکز  $P_2 = 22 \text{ t}$  را ( شکل ۱۵-۱۳ ) که در امتداد محور ۲-۲ و در فاصله  $40 \text{ cm}$  از مرکز سطح مقطع اثر می کند حمل می نماید. (الف) - با استفاده از فرمول سکانت تنش  $\sigma_y = 2800 \text{ Kg/cm}^2$  فشاری مراکزیم را در ستون حساب کنید. (ب) - اگر تنش تسلیم فولاد  $\sigma_y = 2800 \text{ Kg/cm}^2$  باشد، ضرب اطمینان در مقابل شروع تسلیم در ستون چقدر می باشد؟



شکل ۱۴-۱۳



شکل ۱۴-۱۵



شکل ۱۴-۱۶

حل: (الف) - دو بار  $P_1$  و  $P_2$  که در شکل ۱۴-۱۳ اثر می کنند به طور استاتیکی معادل بار منفرد  $P = 180 \text{ t}$  با خروج از مرکز  $e = 4.9 \text{ cm}$  می باشند (شکل ۱۴-۱۶). ساخت مقطع عرضی ستون (A) و شاعع زبرایشون (Z) و ضرب مقطع ستون (S) حول محور ۱-۱ از جداول پیوست ۲ کتاب بدست می آمدند.

$$A = 30.3 \text{ in}^2 = 195.5 \text{ cm}^2 ; S = 164 \text{ in}^3 = 2687.5 \text{ cm}^3$$

$$r = 6.21 \text{ in} = 15.77 \text{ cm}$$

$$\frac{P}{A} = \frac{180000}{195.5} = 920.72 \text{ Kg/cm}^2 ; \frac{L}{r} = \frac{750}{15.77} = 47.6$$

$$\frac{ec}{r^2} = \frac{eA}{S} = \frac{(4.9)(195.5)}{2687.5} = 0.36$$

حال مقادیر محاسبه شده در نوی را در معادله ۱۳-۳۲ جایگزین می کنیم.

$$\sigma_{\max} = 920.72 \left[ 1 + 0.36 \sec \left( \frac{47.6}{2} \sqrt{\frac{920.72}{2.1 \times 10^6}} \right) \right] = 1298.1 \text{ Kg/cm}^2$$

۶۹۳

ستون فولاد سازه‌ای با تنش تسلیم  $\sigma_y$  باشد. همچنین فرض می‌کنیم مقطع عرضی ستون به شکل I باند و خم شود محور اصلی قوی تر صورت گیرد. در اکثر موارد عملی می‌توانیم مقطع عرضی را به صورت دو سطح مساوی که در محل بالاها قرار دارند ایده‌آل کنیم. گشتاور لختی و شعاع زیرا سیون چنین مقطع ایده‌آلی را می‌توان به سهولت حساب نمود.

$$I = Ac^2 \quad ; \quad r = c \quad (13-39)$$

در این روابط،  $c$  فاصله محور خشنی از بالها و  $A$  مساحت کل مقطع عرضی می‌باشد. اگر  $I$  و  $r$  را از معادلات 13-39 در معادله 13-38 جایگزین کنیم، به جای  $\alpha$  از معادله 13-36 در معادله 13-38 فراز دهیم و فرض کنیم  $\sigma_{max} = \sigma_y$  به معادله زیر حواهیم رسید:

$$\frac{P_y}{A} = \frac{\sigma_y [\pi^2 E - \frac{P_y}{A} \frac{L^2}{r^2}]}{\pi^2 E (1 + \frac{L}{r} \frac{a}{L}) - \frac{P_y}{A} \frac{a^2}{r^2}} \quad (13-40)$$

در این رابطه مقداری از بار محوری است که تنش در شورترین نثارهای ستون را به حد شنی سلیم می‌رساند. نمودار این معادله برای مولاد سازه‌ای با  $E = 2.1 \times 10^6 \text{ Kg/cm}^2$  و  $\sigma_y = 2520 \text{ Kg/cm}^2$  و مقادیر  $a/L = 1/1000$  و  $1/700$  و  $1/400$  در شکل ۱۲-۱۷ رسم شده‌است. برای ستون‌های خلیلی کوتاه‌هر سه منحنی  $P/A \approx 2520 \text{ Kg/cm}^2$  میدهدنند. برای ستون‌های خلیلی لاغر مقادیری که از منحنی‌های مذبور به دست می‌آیدند بکماید. حاصل از منحنی اوفر می‌باشد. با استفاده از این منحنی‌ها کمیت  $A/\sigma_y$  بدست می‌آید و با تقسیم مودون این تنش فشاری منوط بر ضرب اطمینان متابسی (متلا "n" = 2) مقدار مجار تنش فشاری منوط حاصل می‌شود. مریت این روش در استفاده از یک ضرب اطمینان ثابت می‌باشد، زیرا افزایش بی دفتی با اضافه شدن طول  $L$  ستون قبلاً با فرض نمودن یک تغییر مکان اولیه متناسب با طول ستون به حساب آورده شده است. اما بزرگی تغییر مکان اولیه ستون تا حدودی نامعنی می‌باشد و بستگی به اطلاعات تجربی دارد. مقادیر مورد استفاده متداول برای  $L/a$  عموماً بین 400 و 1000 تغییر می‌کند، منحنی‌های شکل ۱۲-۱۲-۱۳ برای مقادیر بین حدود مذبور رسم شده‌اند (برای اطلاعات بیشتر در مورد نوافض ستون‌هایه مرجع 25 رجوع کنید).

۶۹۴

دبگری سایی این مسئله وجود دارد و آن این است که فرض کنیم سی دقیقیهای موجود معادل یک انحلق اولیه در ستون می‌باشد. سایی سنتوی سا استهای مفصلی می‌سوان فرض مسود که تغییر مکان اولیه  $\theta_0$  ستون نصف موج بک منحنی سیوسی با تغییر مکان ماکریم  $\alpha$  می‌باشد.

$$v_0 = a \sin \frac{\pi x}{L} \quad (13-34)$$

در این صورت لیگر خمنی در ستون موقعی که تحت اثر بار محوری مرکزی  $P$  قرار دارد را برابر خواهد بود با

$$M = P(v_0 + v)$$

در این رابطه،  $v$  تغییر مکان اضافی ستون باشی از خمنی می‌باشد. این عبارت لنگر خمنی را می‌توان در معادله دیفرانسیل مسحی تغییر مکان نیز جایگزین نمود و سپس معادله حاصل را مطابق آنچه که در بخش ۱۲-۱۳ ساخت حل کرد. معادله حاصل برای تغییر مکان کل در وسط ستون عبارتست از

$$\delta_{max} = \frac{a}{1-\alpha} \quad (13-35)$$

در این رابطه،  $\alpha$  نسبت بار محوری  $P$  به بار بحرانی ستون می‌باشد.

$$\alpha = \frac{P}{P_{cr}} = \frac{PL^2}{\pi^2 EI} \quad (13-36)$$

معادله ۱۳-۳۵ شان می‌دهد که بار محوری باعث می‌شود تغییر مکان اولیه ستون به اندازه ضرب  $(1-\alpha)/1$  اضافه شود. چون  $\alpha$  کوچکتر از واحد است، این ضرب مهواره بزرگتر از واحد می‌باشد.

لیگر خمنی ماکریم در ستون برابر است با

$$M_{max} = P\delta_{max} = \frac{Pa}{1-\alpha} \quad (13-37)$$

تنش وشاری ماکریم مساوی است با

$$\sigma_{max} = \frac{P}{A} + \frac{Pac}{(1-\alpha)I} = \frac{P}{A} \left[ 1 + \frac{ac}{r^2(1-\alpha)} \right] \quad (13-38)$$

اگر مانند آنچه که در بخش ۱۲-۱۳ برای فرمول سکات انعام دادیم برای تنش ماکریم  $\sigma_{max}$  حدی تعیین کیم، در این صورت از معادله ۱۳-۳۸ مقدار  $P/A$  نظیر تنش حد اکثر مذبور بدست می‌آید.

برای ایکه معادله ۱۳-۳۸ را به صورت ترسیمی نشان دهیم فرض می‌کیم مصالح

۶۹۵

ایالات متحده امریکا فرمول های پیشنهاد کرده است که بر اساس ملاحظات ریز فواردارد، وقتی که  $L/r \geq 2$  بزرگ است تنش ماکزیمم  $\sigma_{max}$  (برابر با بار نهایی یا شکست فرض شده تقسیم بر مساحت مقطع عرضی) بر اساس فرمول بار بحرانی اولر محاسبه می‌گردد. بنابراین

$$\sigma_{max} = \frac{\pi^2 E}{(KL/r)^2} \quad (13-41)$$

در این رابطه طول موئثر  $KL$  بکار رفته است تا فرمول مربوط برای ستون های با شرایط انتهایی مختلف صادق باشد. معادله ۱۳-۴۱ نا وقته قابل استفاده می‌باشد که تنش واقعی در ستون کمتر از حد تناسب (که برای فولاد سازه‌ای آن را می‌توانیم برابر تناسب تسلیم  $\sigma_y$  فرض کیم) باشد. اما به علت وجود تنش‌های جا مانده (تنش هایی که در هنگام ساختن فولاد در آن ایجاد می‌شوند و قبل از وارد کردن بار وجود دارند) تنش فشاری واقعی در موقع کمانش برابر است با

$$\sigma_c = \sigma_{max} + \sigma_r \quad (13-42)$$

در این رابطه،  $\sigma_c$  تنش جا مانده مشاری در ستون است که مقدار آن ممکن است به  $\sigma_y/2$  برسد و  $\sigma_{max}$  برای مقدار حدی  $\sigma_y$  و  $\sigma_c$  را برابر مقدار ماکزیمم فرضی آن  $\sigma_y/2$  قرار می‌دهیم. در این صورت از معادله ۱۳-۴۲ پیدا می‌کنیم  $\sigma_{max} = \sigma_y/2$ . بنابراین شرایط می‌گیریم تا وقتی که  $\sigma_{max}$  کمتر از  $\sigma_y/2$  می‌باشد می‌توانیم از معادله ۱۳-۴۱ استفاده کنیم. مقدار حدی نظری  $r/KL$  که آن را با  $\lambda$  نشان می‌دهیم با جایگزینی  $\sigma_{max}$  در معادله ۱۳-۴۱ و حل معادله حاصل برای  $\lambda$  بدست می‌آید.

$$\lambda = \sqrt{\frac{2\pi^2 E}{\sigma_y}} \quad (13-43)$$

هر وقت که ضریب لاغری موئثر  $r/KL$  برابر یا بیشتر از  $\lambda$  باشد، فرمول اولر برای تنش بحرانی (معادله ۱۳-۴۱) قابل استفاده می‌باشد. با تقسیم نمودن طرفین رابطه ۱۳-۴۱ بر  $\sigma_y$  آن را به صورت بی بعدی نویسیم.

$$\frac{\sigma_{max}}{\sigma_y} = \frac{\pi^2 E}{\sigma_y (KL/r)^2} = \frac{\lambda^2}{2(KL/r)^2} \quad (13-44)$$

(برای  $\lambda \leq r/KL$  رسم شده است.)

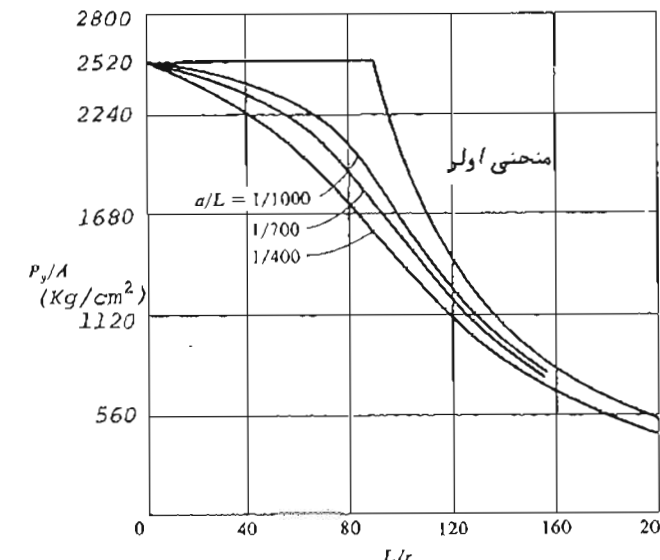
برای ناحیه کمانش غیر ارجاعی ( $\lambda \leq r/KL$ )، شورای تحقیقات ستون یک مسخری سه‌عنی با معادله زیر را پیشنهاد کرده است:

۶۹۴

## ۱۲-۲ فرمول‌های نجربی طرح ستون ها

روش‌های مورد سخت در بخش‌های فوق برای نحمن طرفیت بار بری ستون ها بر اساس ملاحظات تشوری قرار دارد. در موقع استفاده از روش‌های مزبور هرور عوامل نا معینی از قبیل انتخاب صریب اطمینان (که احتمالاً باید با  $L/r$  تغییر کند) و انتخاب مقادیر ماسیب برای بی دقتی‌ها و خروج از مرکزهای فرض شده وجود دارند. این کمیت‌ها را فقط بر اساس نتایج حاصل از آزمایش‌های انجام شده در روی ستون‌های واقعی می‌توان به طور صحیحی انتخاب نمود. بر اساس چنین آزمایش‌هایی است که می‌توانیم ضرائب اطمینان را استخبار کنیم و مقادیر مجاز تنش‌های مشاری منوط در ستون‌ها را به دست آوریم. فرمول‌های تجربی وجود دارند که تنش مجاز  $P_w$  (برابر با  $A \sigma_y$ ) را به صورت نابعی از نسبت لاغری  $r/L$  می‌دهند.

برای طرح ستون های فولادی با بار گذاری مرکزی شورای تحقیقات ستون<sup>۱</sup>



نمودار معادله ۱۳-۴۰ برای مقطع I با  $\sigma_y = 2520 \text{ kg/cm}^2$  و  $E = 2.1 \times 10^6 \text{ kg/cm}^2$

۶۹۷

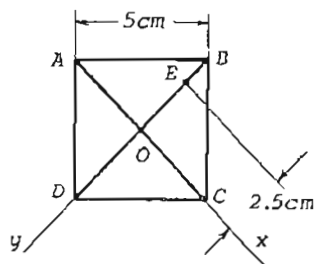
این معادلات تنشهای مجاز در شکل ۱۸-۱۳ رسم شده‌اند. این روابط با معادلات داده شده در آشن نامه موئسه ساختمان‌های مولادی امریکا<sup>۱</sup> برای طرح ستون‌های فولادی تحت بارگذاری مرکزی معادل می‌باشند.

انتخاب یک مقطع مناسب برای ستونی تحت بارگذاری مشخص معمولاً "باید برآسان روش آزمون و حطا صورت گیرد. با دانستن بار محوری، تنش مجاز<sub>w</sub> را تخمین می‌ریزیم و ساخت مقطع عرضی لازم را به طور تقریبی حساب می‌کنیم. سپس ارجداول مقاطع استاندارد (ار. فبیل ارجداول پیوست ۲ کتاب) مقطعی را انتخاب می‌کنیم. به کمک فرمول‌های مناسب ستون بررسی می‌کنیم که آیا مقطع انتخاب شده برای تحمل بارهای واردہ کافی می‌باشد یا نه. اگر مقطع مذبور کافی نباشد، در این صورت مقطع سنگین‌تری را انتخاب و عمل بالا را تکرار می‌نماییم و اگر مقطع انتخاب شده بیش از انداره قوی باشد، مقطع سبک‌تری را انتخاب و مجدداً "مقطع جدید را برای تحمل بارهای واردہ بررسی می‌کنیم.

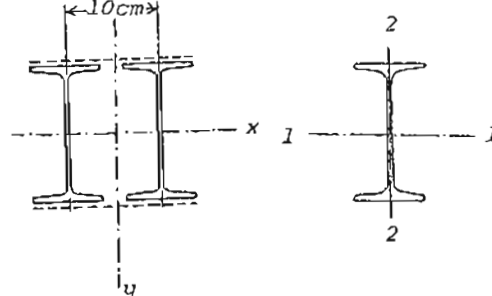
## ۱۳-۸ مسائل حل شده

### مسئله ۱۳-۱

ستونی با مقطع مربع و ابعاد ۵۰cm×۵cm و طول ۱.۸۰m تحت بار خارج از مرکز



شکل ۱۳-۱۹



شکل ۱۳-۲۰

شکل ۱۳-۲۱

۶۹۶

$$\frac{\sigma_{\max}}{\sigma_y} = 1 - \frac{(KL/r)^2}{2\lambda^2} \quad (\text{برای } \frac{KL}{r} \leq \lambda) \quad (13-45)$$

این معادله نیز در شکل ۱۸-۱۳ رسم شده است. از روی منحنی مذبور مشاهده می‌شود که  $\sigma_{\max}$  برای  $KL/r = 0$  برابر  $\sigma_y$  می‌باشد. این منحنی در  $KL/r = 0$  مماس افقی دارد و در نقطه  $KL/r = \lambda$  بر منحنی معادله ۱۳-۴۴ مماس می‌باشد.

در طرح ستون‌ها برای اینکه تنش مجاز<sub>w</sub> از تنش ماکریم<sub>W</sub> بدبست آید باید ضریب اطمینان مناسبی بکار برد شود ( $\sigma_w = \sigma_{\max}/n$ ). موئسه ساختمان‌های فولادی امریکا روابط زیر را برای ضریب اطمینان به منظور استفاده با فرمول‌های سورای تحقیقات ستون پیشنهاد کرده است:

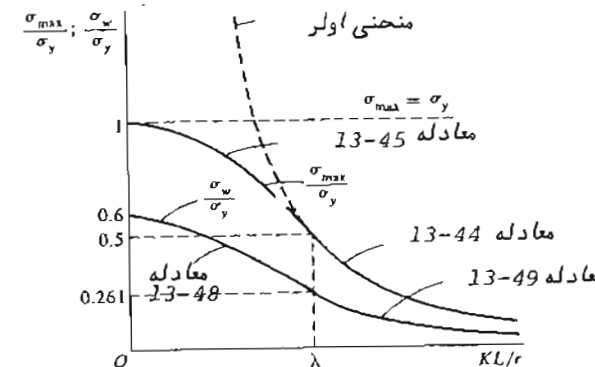
$$n_1 = \frac{5}{3} + \frac{3(KL/r)}{8\lambda} - \frac{(KL/r)^3}{8\lambda^3} \quad (\text{برای } \frac{KL}{r} \leq \lambda) \quad (13-46)$$

$$n_2 = \frac{23}{12} \approx 1.92 \quad (\text{برای } \frac{KL}{r} \geq \lambda) \quad (13-47)$$

بنابراین معادلات تنشهای مجاز به صورت زیر شوند می‌شوند:

$$\frac{\sigma_w}{\sigma_y} = \frac{1 - (KL/r)^2/(2\lambda^2)}{n_1} \quad (\text{برای } \frac{KL}{r} \leq \lambda) \quad (13-48)$$

$$\frac{\sigma_w}{\sigma_y} = \frac{\lambda^2}{2n_2(KL/r)^2} \quad (\text{برای } \frac{KL}{r} \geq \lambda) \quad (13-49)$$



شکل ۱۸-۱۳ نمودار تنش ماکریم ( $\sigma_{\max}$ ) و تنش مجاز<sub>w</sub> برای طرح ستون‌های فولاد

۶۹۹

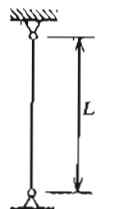
حل : محورهای  $x$  و  $y$  محورهای اصلی گشتاور لختی می باشد و گشتاور لختی حول یکی از این محورها ماقریزم و حول محور دیگر میبیشم می باشد . بنابراین ماباید  $I_x$  و  $I_y$  را حساب کنیم تا محوری را که حول آن گشتاور لختی حداقل می باشد بیندازیم  
 $I_x = 2I_1 = 2(863.28) = 1726.56 \text{ cm}^4$   
 $I_y = 2[I_2 + A(5)^2] = 2[71.09 + (22.94)(5)^2] = 1289.18 \text{ cm}^4$   
 $I_{\min} = I_y = 1289.18 \text{ cm}^4$

بنابراین کمانش حول محور  $y$  صورت خواهد گرفت و بار سحرانی ستون مربوّر برابر است

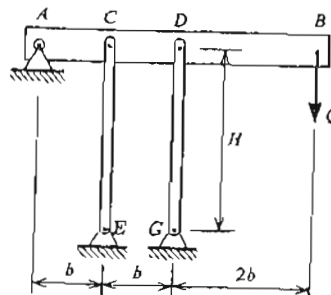
$$P_{cr} = \frac{\pi^2 EI_y}{L^2} = \frac{\pi^2 (2.1 \times 10^6)(1289.18)}{(360)^2} = 206171 \text{ Kg}$$

### مسئله ۱۳-۳

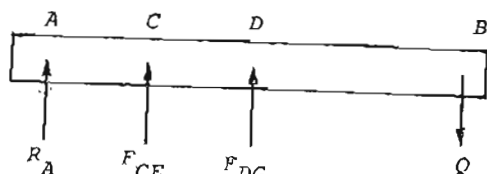
میله باریکی در دو استهای معکلی و بر تکیه گاههای غیر قابل حرکت تکیدارد (شکل ۱۳-۲۲) . با فرض شرایط ایده‌آل و رفتار ارجاعی چقدر اضافه درجه حرارت  $\Delta T$  در میله کمانش ایجاد خواهد کرد ؟ ضریب انبساط حرارتی میله را  $\alpha$  فرض کنید .



شکل ۱۳-۲۲



شکل ۱۳-۲۳



شکل ۱۳-۲۴، سودا، حسنه، زاده مادراد

۶۹۸

$P = 4050 \text{ Kg}$  فشرده می شود . خروج از مرکز  $e$  در امتداد یکی از محورهای مربع و برابر  $2.5 \text{ cm}$  می باشد ( شکل ۱۳-۱۹ ) . با فرض اینکه ستون در دو استهای دارای تکه گاههای ساده باشد حداکثر تنش فشاری را در آن بباید . ضرب ارجاعی در مسافت  $E = 2.1 \times 10^6 \text{ Kg/cm}^2$  می باشد .

حل : فرض می کنیم  $E$  نقطه اثر نیروی فشاری  $P$  باشد . در این صورت خروج از مرکز  $e$  برابر است با

$$e = \overline{EO} = 2.5 \text{ cm}$$

خمش ستون حول محور  $X$  صورت خواهد گرفت . گشتاور لختی مقطع مربع حول محور  $X$  دو برابر گشتاور لختی مثلث  $ABC$  حول محور  $x$  می باشد . گشتاور لختی مثلث  $ABC$  حول قاعده آن در جداول پیوست ۱ کتاب داده شده است .

$$I_x = 2(I_{ABC})_x = 2 \frac{\overline{AC}(\overline{OB})^3}{12} = 2 \frac{5\sqrt{2}(\frac{5}{\sqrt{2}})^3}{12} = 52.08 \text{ cm}^4$$

$$\sigma_{\max} = \frac{P}{A} + \frac{M_{\max}}{S} = \frac{P}{A} + \frac{Pe}{S} \sec \frac{kL}{2}$$

$$S = \frac{I_x}{\overline{OB}} = \frac{52.08}{\frac{5}{\sqrt{2}}} = 14.73 \text{ cm}^3$$

$$k = \sqrt{\frac{P}{EI_x}} = \sqrt{\frac{4050}{(2.1 \times 10^6)(52.08)}} = \frac{6.09}{1000}$$

$$\sigma_{\max} = \frac{4050}{5 \times 5} + \frac{(4050)(2.5)}{14.73} \sec \frac{(6.09)(180)}{2000} = 162 + 805.13 = 967.13 \text{ Kg/cm}^2$$

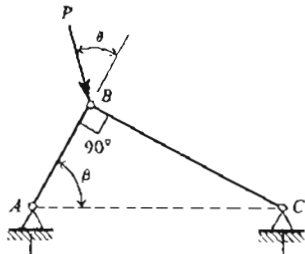
### مسئله ۱۳-۲

ستونی مطابق شکل ۱۳-۲۵ از دو مقطع I که بوسیله صفحه های به یکدیگر متصل شده اند تشکیل شده است . سطح مقطع هر یک از مفاظ  $A = 22.94 \text{ cm}^2$  و گشتاور لختی هر یک از آنها حول محورهای فوی (محور ۱) و ضعیف (محور 2) مترتب  $I_1 = 863.28 \text{ cm}^4$  و  $I_2 = 71.09 \text{ cm}^4$  می باشد . تکه گاههای ستون ساده و طول آن  $3.6 \text{ m}$  می باشد . بار سحرانی ستون چقدر است ؟ ضریب ارجاعی در فشار  $E = 2.1 \times 10^6 \text{ Kg/cm}^2$  می باشد .

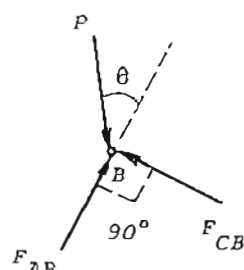
۱۰۱

مسئله ۱۳-۵

خریای ABC از دو میله باریک با مقطع و حسنه کسان تشکیل شده است (شکل ۱۳-۲۵). با فرض اینکه فرو ریختن خریا در اثر کمانش اعماقی آن صورت گیرد تحت چه زاویه  $\theta$  می‌توان سیترس بار P را بر خریا وارد کرد؟ (فرم کید  $0 < \theta < \frac{\pi}{2}$ )



شکل ۱۳-۲۵



شکل ۱۳-۲۶ نمودار جسم آزاد اتصال B

حل: بار P و قنی ماکزیمم خواهد بود که دو میله AB و BC به طور هم رسان کمانه کند.

$$F_{AB} = (P_{CT})_{AB} = \frac{\pi^2 EI}{(L \cos \beta)^2} = P \cos \theta$$

$$F_{CB} = (P_{CT})_{CB} = \frac{\pi^2 EI}{(L \sin \beta)^2} = P \sin \theta$$

از تقسیم کردن طرفین دو رابطه فوق بر یکدیگر نتیجه می‌شود

$$\tan \theta = \cot^2 \beta \quad : \quad \theta = \arctan(\cot^2 \beta)$$

مسئله ۱۳-۶

میله‌ای مطابق شکل ۱۳-۲۷ از دو قسمت تشکیل شده است به طوریکه نیمه بالا دارای صلیبت خمی EI می‌باشد و نیمه پائین را می‌توان صلب عرض نمود. بار بحرانی این میله را تعیین کید.

۷۰۰

حل: اگر میله آزاد بود در اثر اضافه درجه حرارت  $\Delta T$  طول میله جلو گیری می‌شود می‌آید در آن نیروی ایجاد می‌شود که از رابطه زیر بدست می‌آید (A سطح مقطع میله می‌باشد) :

$$\Delta L = \alpha L \Delta T = \frac{FL}{AE} \quad : \quad F = \alpha AE \Delta T$$

میله و قنی کمانه می‌کند که F برابر بار بحرانی  $P_{CT}$  شود.

$$P_{CT} = \frac{\pi^2 EI}{L^2} = F = \alpha AE \Delta T$$

از این رابطه اضافه درجه حرارت  $\Delta T$  که در میله کمانش ایجاد خواهد گردیدست می‌آید.

$$\Delta T = \frac{\pi^2 I}{\alpha AL^2}$$

I در این رابطه کشاد لحنی حداقل مقطع مله می‌باشد.

مسئله ۱۳-۴

میله صلب AB شکل ۱۳-۲۳ در نقطه A دارای تکیه گاه مفصلی و در نقاط D روی دو ستون نکیه دارد. هر یک از ستون‌ها دارای صلیبت خمی EI می‌باشد. تحت چه بار Q دستگاه در اثر کمانش اعماقی فشاری فرو خواهد ریخت؟

حل: سازه مزبور از لحاظ استاتیکی یک درجه نا معین می‌باشد و وقتی فرو خواهد ریخت که نیروی محوری ستون‌های CE و DG برابر بار بحرانی شود. یعنی

$$F_{CE} = F_{DG} = P_{CT} = \frac{\pi^2 EI}{H^2} \quad (1)$$

از تعادل لگری میله AB حول نقطه A نتیجه می‌شود (شکل ۱۳-۲۴)

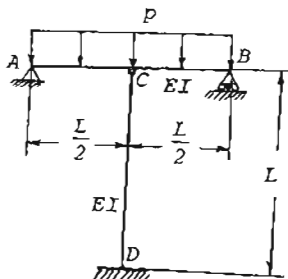
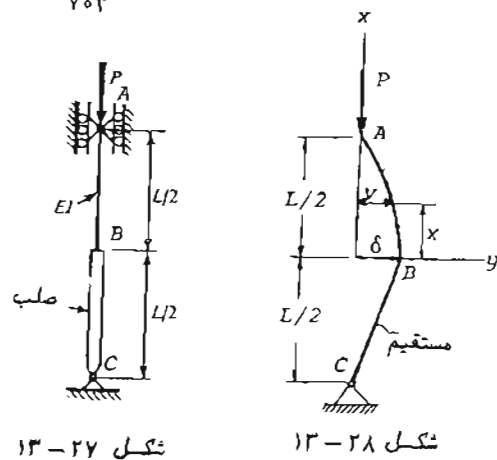
$$\sum M_A = 0 \Rightarrow 4bQ - bF_{CE} - 2bF_{DG} = 0$$

$$Q = \frac{F_{CE} + 2F_{DG}}{4} \quad (2)$$

اگر به جای  $F_{CE}$  و  $F_{DG}$  از رابطه ۱ در رابطه ۲ قرار دهیم بار بحرانی  $P_{CT}$  بدست  $Q$  می‌آید.

$$Q_{CT} = \frac{3\pi^2 EI}{4H^2}$$

۷۰۳



اثر توا تعیین می‌کنیم و سپس آن را برابر با بار بحرانی ستون CD قرار می‌دهیم که مساویست با

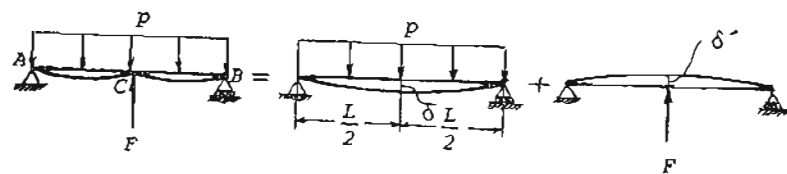
$$(P_{cr})_{CD} = \frac{20.19EI}{L^2} \approx \frac{\pi^2 EI}{(0.7L)^2}$$

اگر از تغییر شکل محوری ستون صرف نظر کنیم شرط سازکاری تغییر مکان هادر نقطه C به  $\delta = \delta'$  صورت زیر نوشته می‌شود (شکل ۱۳-۳۰) :

$\delta$  و  $\delta'$  از جداول همیومن ۳ کتاب بدست می‌آیند.

$$\delta = \frac{5PL^4}{384EI} \quad ; \quad \delta' = \frac{FL^3}{48EI}$$

از تساوی  $\delta$  و  $\delta'$  نیروی فشاری F بدست می‌آید :



۷۰۴

حل : تغییر شکل میله مریبور مطابق شکل ۱۳-۲۸ می‌باشد بطوریکه قسمت BC مستقیم ولی در نقطه B بر AB ماس باقی می‌ماید. تغییر مکان جانی نقطه B را  $\delta$  نامیم . معادله دیفرانسیل منحنی تغییر مکان عبارت است از

$$EIv'' = -M = -Pv$$

$$k^2 = \frac{P}{EI}$$

$$v'' + k^2 v = 0$$

فرض کنید

جواب این معادله دیفرانسیل به صورت زیر می‌باشد :

$$v = C_1 \sin kx + C_2 \cos kx$$

$$v(0) = \delta \quad (1) \quad ; \quad v'(0) = \frac{\delta}{L} = \frac{2\delta}{L} \quad (2)$$

$$v\left(\frac{L}{2}\right) = 0 \quad (3)$$

شرط دوم پیوستگی و مساوی بودن قسمت BC را در نقطه B بر قسمت AB بیان می‌کند.

$$(1) \Rightarrow C_2 = \delta$$

$$(2) \Rightarrow C_1 k = \frac{2\delta}{L} \quad ; \quad C_1 = \frac{2\delta}{LK}$$

$$v = \delta \left( \frac{2}{LK} \sin kx + \cos kx \right)$$

$$(3) \Rightarrow \tan \frac{kL}{2} = - \frac{kL}{2}$$

از حل این سادله خواهیم داشت :  $\frac{kL}{2} = 2.03$  و از آنجا بار بحرانی :

$$P_{cr} = 1.67 \frac{\pi^2 EI}{L^2}$$

مسئله ۱۳-۷

در شکل ۱۳-۲۹ نتیجه بار p ستون CD کمانه می‌کند؟ صلبیت خمشی تیر و ستون EI می‌باشد و طول هر دو برابر L است.

حل : ابتدا نیروی فشاری F وارد بر ستون CD را با استفاده از اصل اجتماع

۷۰۵

$$\sum F_y = 0 \Rightarrow F_3 = F_1 = \frac{P}{\sqrt{3}} \quad (\text{کشی})$$

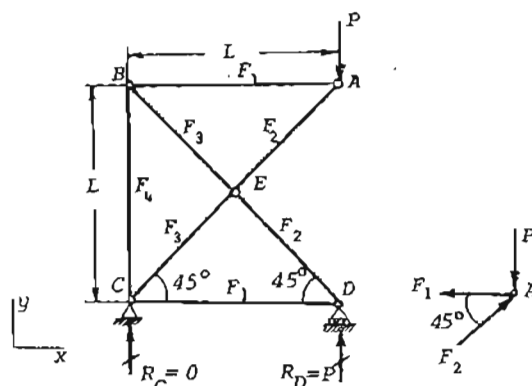
$$\sum F_x = 0 \Rightarrow F_4 = (F_1 + F_3) \cos 60^\circ = \frac{P}{\sqrt{3}} \quad (\text{فشاری})$$

بنابراین عضوهای AB، BC و CD تحت فشار می‌باشد و نیروی فشاری همه آنها  $\frac{P}{\sqrt{3}}$  می‌باشد. چون طول این سه عضو نیز برابر است هر سه آنها عضوهای بحرانی می‌باشند و خرپا وقتی عرد می‌ریزد که نیروی داخلی آنها برابر با بار بحرانی  $\frac{\pi^2 EI}{L^2}$  گردد. بنابراین

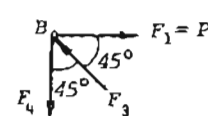
$$F_1 = F_4 = \frac{P_{cr}}{\sqrt{3}} = \frac{\pi^2 EI}{L^2} \quad ; \quad P_{cr} = \frac{\sqrt{3} \pi^2 EI}{L^2}$$

مسئله ۱۳-۹

اعضای خربای شکل ۱۳-۲۴ همکی دارای کشناور لختی حداقل I می‌باشد. بار بحرانی  $P_{cr}$  را که باعث فرو ریختن خربای در اثر کشناش بکی از اعضای آن می‌شود پیدا کنید.



شکل ۱۳-۲۴



شکل ۱۳-۲۵

شکل ۱۳-۲۶

حل: نیروهای داخلی میله‌ها را با توجه به تقارن خربای و بارها مطابق شکل

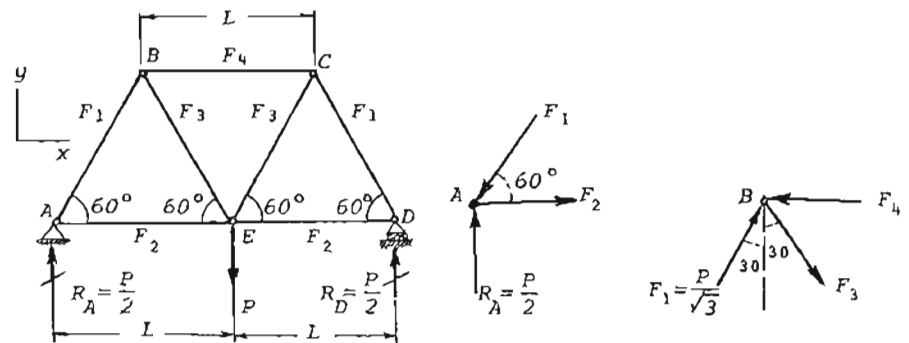
۷۰۶

حال اگر نیروی F را با  $(P_{cr})_{CD}$  مساوی فرازدهم مقدار بحرانی بار p بعنی  $p_{cr}$  بدست می‌آید.

$$\frac{5pL}{8} = \frac{20.19EI}{L^2} \quad ; \quad p_{cr} = 32.3 \frac{EI}{L^3}$$

مسئله ۱۳-۸

خربای نکل ۲۱-۲۱ از اعضای یکان به طول L و کشناور لختی حداقل I تشکیل شده است. بار بحرانی  $P_{cr}$  را که باعث فرو ریختن خربای در اثر کشناش بکی از اعضا آن می‌شود پیدا کنید.



شکل ۱۳-۲۱ - ۳ (نمودار جسم آزاد مفصل A)

حل: نیروهای داخلی میله‌ها را با توجه به تقارن خربای و بارگذاری مطابق شکل ۱۳-۲۱ نام کذاری می‌کنیم. ابتدا باعث نیروهای داخلی اعضا خربای را بپیدا کنیم.

از نمودار جسم آزاد مفصل A (شکل ۱۳-۲۲) نیروهای  $F_1$  و  $F_2$  بدست می‌آید.

$$\sum F_y = 0 \Rightarrow F_1 \cos 30^\circ = \frac{P}{2} : F_1 = \frac{P}{\sqrt{3}} \quad (\text{فشاری})$$

$$\sum F_x = 0 \Rightarrow F_2 = F_1 \cos 60^\circ = \frac{P}{2\sqrt{3}} \quad (\text{کشی})$$

از نمودار جسم آزاد مفصل B نیروهای  $F_3$  و  $F_4$  بدست می‌آیند (شکل ۱۳-۲۲).

۷۰۴

$$F_{BC} = \frac{P}{\sqrt{2}}$$

برای پیدا کردن  $P_{cr}$  کافی است که  $F_{BC}$  را برابر با بار بحرانی عضو BC قرار دهیم.

$$F_{BC} = \frac{P_{cr}}{\sqrt{2}} = \frac{\pi^2 EI}{(\sqrt{2} L)^2} \quad : \quad P_{cr} = \frac{\pi^2 EI}{\sqrt{2} L^2}$$

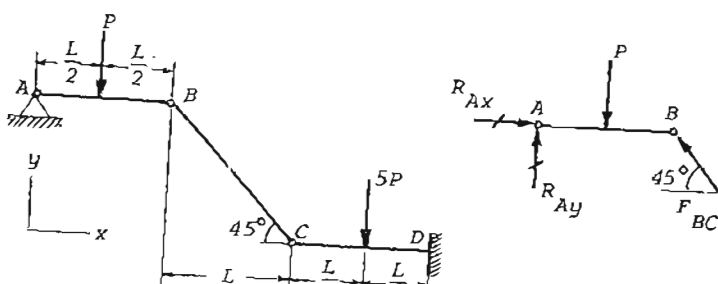
مسئله ۱۲-۱۱

یک ستون مولادی با مقطع مربع مستطیل و ابعاد  $2.5\text{cm} \times 5\text{cm}$  در دو نقطه دارای تکیه گاههای ساده و نسبت یک بار فشاری محوری است. کوتاهترین طول آن ستون که برای آن فرمول اولر برای بار بحرانی صادق می‌باشد چقدر است؟ حد تناسب فولاد را  $E = 2.1 \times 10^6 \text{Kg/cm}^2$  و ضریب ارجاعی  $\sigma_{pl} = 2100 \text{Kg/cm}^2$  فرض کنید.

حل: تنش بحرانی در ستون برابر است با

$$\sigma_{cr} = \frac{P_{cr}}{A} = \frac{\pi^2 EI}{AL^2}$$

اگر در این رابطه به جای  $\sigma_{cr}$  تنش حد نسبت  $\sigma_{pl}$  و به جای I گشتاور لختی حداقل  $I_X$  است، آنرا در شکل ۱۲-۳۹ (شکل ۱۲-۳۹) را فرازدهیم کوتاهترین طول L ستون که برای آن فرمول اولر



شکل ۱۲-۳۷

شکل ۱۲-۳۸ نمودار جسم آزاد مغول AB

۷۰۶

از نمودار جسم آزاد مغول A نیروهای  $F_1$  و  $F_2$  بدست می‌آیند (شکل ۱۲-۳۵).

$$\sum F_y = 0 \Rightarrow F_2 \cos 45^\circ = P : F_2 = \sqrt{2} P \quad (\text{فشاری})$$

$$\sum F_x = 0 \Rightarrow F_1 = F_2 \cos 45^\circ = P \quad (\text{کشی})$$

از نمودار جسم آزاد مغول B نیروهای  $F_3$  و  $F_4$  بدست می‌آیند (شکل ۱۲-۳۶).

$$\sum F_x = 0 \Rightarrow F_3 \cos 45^\circ = P : F_3 = \sqrt{2} P \quad (\text{فشاری})$$

$$\sum F_y = 0 \Rightarrow F_4 = F_3 \cos 45^\circ = P \quad (\text{کشی})$$

بنابراین عضوهای AE، BE و DE تحت فشار می‌باشند و نیروی فشاری همه آنها  $\sqrt{2} P$  می‌باشد. چون طول آنها نیز یکسان است هر سه کمانه می‌کنند و خوب با وقتی فرو می‌دیزد که نیروی داخلی آنها برابر با بار بحرانی  $\frac{\pi^2 EI}{(\frac{L}{\sqrt{2}})^2}$  گردد. بنابراین

$$F_2 = F_3 = \sqrt{2} P_{cr} = \frac{\pi^2 EI}{(\frac{L}{\sqrt{2}})^2} : P_{cr} = \frac{\sqrt{2} \pi^2 EI}{L^2}$$

مسئله ۱۲-۱۰

سازه شکل ۱۲-۳۷ از سه عضو AB، BC و CD با صلبیت خمشی یکسان EI تشكیل شده است که در نقاط B و C به یکدیگر مغصل شده‌اند. مقدار بحرانی بار P را که باعث کمکه کردن عضو BC می‌شود حساب کنید.

حل: از تعادل لنگری عضو AB (با استفاده از نمودار جسم آزاد AB در شکل ۱۲-۳۸) حول نقطه A نتیجه می‌شود

$$\sum M_A = 0 \Rightarrow \frac{PL}{2} - F_{BC} \cos 45^\circ L = 0$$

۷۵۹

توجه کنید در محاسبه  $\sigma_{cr}$  به جای  $I_x$  گشتاور لختی حداقل ( $I_x$ ) قرار داده شده است.

### مسئله ۱۳-۱۲

سازه ABCD از سه میله باریک با صلبیت حمی  $EI$  تشکیل شده است (شکل ۱۳-۴۰a). با عرض اینکه فرو ریختن سازه در اثر کمانش اعماقی آن صورت گیرد مقدار بحرانی بار  $P$  چقدر می‌باشد؟ زاویه  $\beta$  را برابر  $30^\circ$  اختیار کنید.

$$\begin{aligned} F_{AD} &= F_{CD} \quad \text{حل: با توجه به شکل ۱۳-۴۰b علت تقارن داریم:} \\ P &= F_{BD} + 2F_{CD}\cos\beta \quad (1) \quad \text{معادله تعادل در امتداد قائم:} \\ \text{سازه مزبور و قتنی در اثر کمانش فرو خواهد ریخت که هر سه عضو با هم کمانه کنند. بار} \\ \text{کمانش عضوهای AD و CD برابر است با} \end{aligned}$$

$$(P_{cr})_{AD} = (P_{cr})_{CD} = \frac{20.19 EI}{(\frac{L}{\cos\beta})^2}$$

بار کمانش عضو BD مساویست با

$$(P_{cr})_{BD} = \frac{\pi^2 EI}{L^2}$$

اگر به جای نیروهای داخلی اعضاء در معادله ۱ بار بحرانی آنها را قرار دهیم مندار بحرانی بار  $P$  بدست می‌آید.

$$P_{cr} = \frac{\pi^2 EI}{L^2} + \frac{2(20.19)EI}{(\frac{L}{\cos\beta})^2} \quad \cos\beta = 56.1 \frac{EI}{L^2}$$

### مسئله ۱۳-۱۴

بار بحرانی و شکل کانه کرده ستونی را که در دو انتهای دارای اتصالات گیر دار می‌باشد پیدا کنید (شکل ۱۳-۴۱).

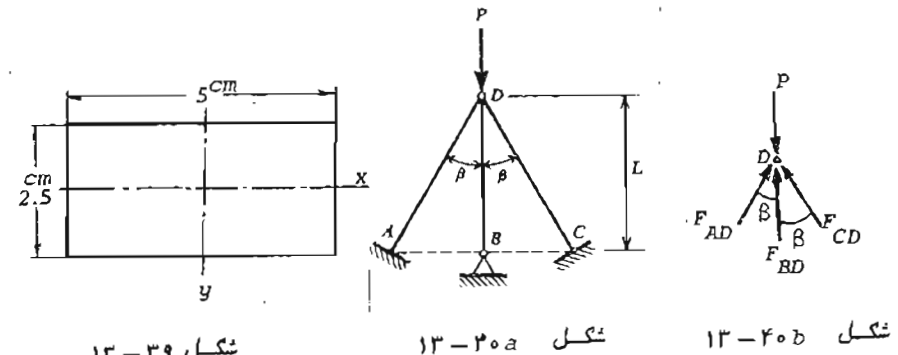
۷۵۸

$$L^2 = \frac{\pi^2 EI}{A\sigma_{pl}} = \frac{\pi^2 (2.1 \times 10^6) (\frac{1}{12} \times 5 \times 2.5^3)}{(2.5 \times 5)(2100)} = 5140.42$$

$$L = 71.70 \text{ cm}$$

### مسئله ۱۳-۱۲

اگر ستون مسئله قبل به طول ۱۲۰ cm باشد تنש فشاری بحرانی در آن چقدر خواهد بود؟



حل: جون  $L = 120 \text{ cm} > 71.70 \text{ cm}$  می‌باشد می‌توانیم از فرمول اول استفاده کنیم.

$$\begin{aligned} \sigma_{cr} &= \frac{P_{cr}}{A} = \frac{\pi^2 EI}{AL^2} = \frac{\pi^2 (2.1 \times 10^6) (\frac{1}{12} \times 5 \times 2.5^3)}{(2.5)(5)(120)^2} \\ &= 750 \text{ Kg/cm}^2 \end{aligned}$$

۱۱۱

$$v_P = \frac{M_A}{P}$$

$$v = C_1 \sin kx + C_2 \cos kx + \frac{M_A}{P}$$

$$v(0) = 0 \quad (1) \quad ; \quad v'(0) = 0 \quad (2)$$

شرط حدی:

$$v(L) = 0 \quad (3)$$

$$(1) \Rightarrow C_2 = -\frac{M_A}{P}$$

$$(2) \Rightarrow C_1 = 0$$

$$v = \frac{M_A}{P} (1 - \cos kx) \quad \text{عادله منحنی شکل کنایه کرده ستون:}$$

$$(3) \Rightarrow \frac{M_A}{P} (1 - \cos kL) = 0$$

برای تعیین بار کمانش باید مقدار داخل پرانتز را مساوی صفر قرار دهیم.

$$1 - \cos kL = 0 \quad : \quad \cos kL = 1$$

$$kL = n\pi \quad : \quad n = 0, 2, 4, \dots$$

برای تعیین کوچکترین مقدار  $P$  مقدار  $n$  را برابر 2 اختیار می‌کیم.

$$kL = 2\pi$$

$$k^2 = \frac{4\pi^2}{L^2} = \frac{P_{cr}}{EI} \quad : \quad P_{cr} = \frac{4\pi^2 EI}{L^2}$$

مسئله ۱۵ - ۱۶

ستون شکل ۱۳-۴۲ در پایه گیر دار و در انتهای بالای آن آزاد و تحت اثر بار

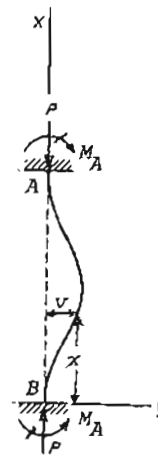
فشاری  $P$  با خروج از مرکز  $e$  می‌باشد. تعیین کنید:

الف - تغییر مکان ماکریم ستون ( $\delta$ ).

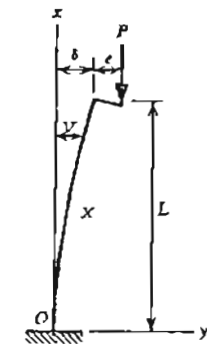
ب - لنگر خمشی ماکریم ستون ( $M_{max}$ ).

ج - بار بحرانی ستون مذبور.

۱۱۰



شکل ۱۳-۴۱



شکل ۱۳-۴۲

حل: لنگر خمشی در فاصله  $x$  از تکیه گاه پائین برابر است با

$$M = Pv - M_A$$

بنابراین عادله دیفرانسیل منحنی تغییر شکل به صورت زیر سوشته می‌شود

$$EIv'' = -M = -Pv + M_A$$

$$v'' + \frac{P}{EI}v = \frac{P}{EI}\frac{M_A}{P}$$

$$\frac{P}{EI} = k^2$$

$$v'' + k^2v = k^2\frac{M_A}{P}$$

فرض می‌کنیم:

جواب این معادله به صورت مجموع جواب معادله هیکن ( $v_H$ ) و یک جواب ویژه ( $v_p$ ) می‌باشد.

$$v = v_H + v_p$$

$$v_H = C_1 \sin kx + C_2 \cos kx$$



۷۱۵

قسمت بالای ستون  $\delta$  فرض می شود. معادله دیفرانسیل منحنی تغییر مکان ستون عبارت است از

$$EIv'' = -M = P(\delta - v) - K\delta(L-x)$$

این معادله با فرض  $k^2 = P/EI$  به صورت زیر نوشته می شود :

$$v'' + k^2 v = k^2 \delta - \frac{K}{EI} \delta(L-x)$$

حوالب عمومی معادله دیفرانسیل فوق برابر است با

$$v = C_1 \cos kx + C_2 \sin kx + \delta - \frac{K}{P} \delta(L-x)$$

از شرط حدی  $v=0$  در  $x=0$  نتیجه می شود  $C_1 = \delta \left( \frac{K}{P}L - 1 \right)$ . از شرط حدی  $v=0$  در  $x=L$  با خواهیم داشت  $C_2 = -\frac{K}{PK} \delta$ . بالاخره از شرط حدی  $v=\delta$  در  $x=L$  می شود  $v = \delta \left( \frac{K}{P}L - 1 \right) \cos kL - \frac{K}{PK} \delta \sin kL + \delta$

پس از ساده کردن، معادله فرازده ریز برای بار بحرانی بدست می آید :

$$\tan kL = kL - \frac{K}{K}$$

## مسئله ۱۳-۱۸

ستون به طول  $L$  در دو انتهای گیردار است (شکل ۱۳-۴۸) ولی گیر داری آن طوری است که لگرهای واکنشی  $M_0$  با زاویه دوران انتهای ستون بر حسب رادیان مناسب می باشد. نیاز دارد هدایت بار بحرانی ستون مزبور از راسته  $\frac{kL}{2} = -\frac{P}{KK}$  به دست می آید که در  $T$  و  $K$  صریب تابع لگر واکنشی  $M_0$  با زاویه دوران انتهای ستون می باشد.

حل : معادله دیفرانسیل منحنی تغییر مکان سیر عبارت است از

$$EIv'' = -M = -(-M_0 + Pv) = M_0 - Pv$$

که در  $T$  و  $M_0 = K\theta$  (زاویه دوران انتهای ستون  $= \theta$ ) می باشد. با مقایسه مودون طرس

۷۱۶

$$I_z = \frac{12(8)^3 - 9(5)^3}{12} = 418.25 \text{ cm}^4$$

$$(P_{cr})_{BE} = \frac{\pi^2 EI_z}{L^2} = \frac{\pi^2 (2.1 \times 10^6)(418.25)}{(450)^2} = 42.81 \text{ t}$$

$$42.81 \text{ t} > 0.495W \Rightarrow W < 86.48 \text{ t}$$

$$(P_{cr})_{AC} = \frac{\pi^2 EI_z}{(\frac{L}{\cos 30^\circ})^2} = \frac{\pi^2 (2.1 \times 10^6)(418.25)}{(\frac{450}{\cos 30^\circ})^2} = 32.11 \text{ t}$$

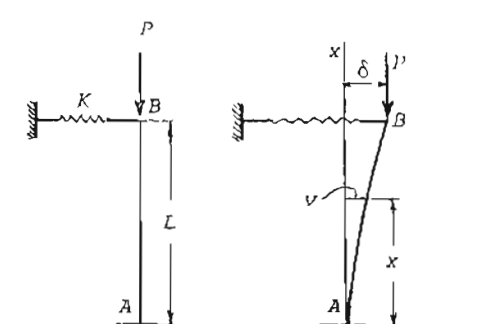
$$32.11 \text{ t} > 0.2W \Rightarrow W < 160.55 \text{ t}$$

منابع مزبور در اینجا مذکور نمی شود. کمالش فرو سریزد  $W$  باید از ۸۶.۴۸ t کمتر باشد. جنابجه بار  $W$  بر اساس ۸۶.۴۸ t گردد ستون BE کماله خواهد کرد.

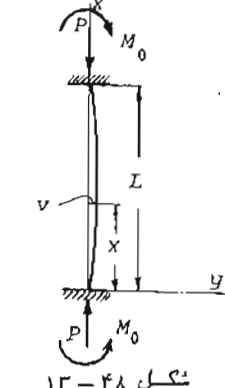
## مسئله ۱۳-۱۲

ستون شکل ۱۳-۴۶ در انتهای نحاسی گیر دار و در انتهای فوکاتی به فرسی با ثابت فرسی  $K$  منصل می باشد. معادله فرازده سرای تعیین مقدار سحراسی بار  $P$  را پیدا کنید.

حل : شکل تغییر مکان یافته ستون در شکل ۱۳-۴۷ رسم شده است. تغییر مکان



شکل ۱۳-۴۷



شکل ۱۳-۴۸

۷۱۷

با فرض  $k^2 = P/EI$  معادلات فوق به صورت زیر در می‌آیند:

$$v_1' = -\frac{k^2 \delta}{L} x ; \quad v_2' + k^2 v_2 = k^2 \delta (1 - \frac{x}{L})$$

جواب‌های عمومی این معادلات عبارتند از

$$v_1 = -\frac{k^2 \delta}{6L} x^3 + C_1 x + C_2 ; \quad v_2 = C_3 \sin kx + C_4 \cos kx + \delta (1 - \frac{x}{L})$$

از شرط حدی  $v_1 = 0$  در  $x = 0$  نتیجه می‌شود  $C_2 = 0$ . در  $x = L/2$  داریم  $\delta = v_1 = v_2$  و در  $x = L$  نیز  $v_1 = v_2$  می‌شود. بدین ترتیب چهار معادله زیر حاصل می‌شود:

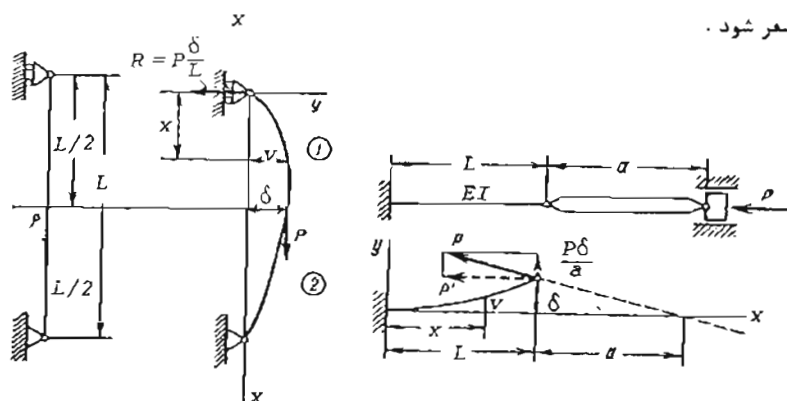
$$-\frac{k^2 \delta}{L} \frac{L^3}{48} + C_1 \frac{L}{2} = \delta$$

$$C_3 \sin \frac{kL}{2} + C_4 \cos \frac{kL}{2} + \frac{\delta}{2} = \delta$$

$$-\frac{k^2 \delta L}{8} + C_1 = C_3 k \cos \frac{kL}{2} - C_4 k \sin \frac{kL}{2} - \frac{\delta}{L}$$

$$C_3 \sin kL + C_4 \cos kL = 0$$

چهار معادله فوق دارای چهار مجهول  $C_1, C_2, C_3$  و  $C_4$  می‌باشد. برای ابکه این معادلات جواب‌های مخالف صفر داشته باشند دترمینانس را برابر معادلات باید برای صفر شود.



شکل ۱۳-۵۹ شکل ۱۳-۴۹

شکل ۱۳-۵۱

۷۱۸

رابطه فوق بر  $EI$  و استفاده از رابطه  $k^2 = P/EI$  خواهیم داشت

$$v'' + k^2 v = k^2 \frac{M_0}{P}$$

جواب عمومی این معادله برابر است با

$$v = C_1 \cos kx + C_2 \sin kx + \frac{M_0}{P}$$

از شرط حدی  $v = 0$  در  $x = 0$  نتیجه می‌شود  $C_1 = -M_0/P$ . از شرط حدی  $v = 0$  در  $x = L/2$  خواهیم داشت

$$-C_1 k \sin \frac{kL}{2} + C_2 k \cos \frac{kL}{2} = 0 \quad : \quad C_2 = -\frac{M_0}{P} \tan \frac{kL}{2}$$

فرض می‌کنیم زاویه دوران انتهای ستون (در  $x=0$ ) را برابر  $\theta$  باشد. در این صورت می‌توانیم بنویسیم

$$\theta \approx v'(x=0) = -\frac{M_0}{P} k \tan \frac{kL}{2}$$

اگر در رابطه فوق  $K\theta = M_0$  را فراز دهیم و  $\theta$  را از طرفین معادله حذف کنیم، معادله زیر برای بار بحرانی ستون بدست می‌آید:

$$\tan \frac{kL}{2} = -\frac{P}{KX}$$

مسئله ۱۹-۱۲

بار بحرانی ستون شکل ۱۳-۴۹ را که در وسط طولش بار  $P$  را حمل می‌کند تعیین سائید.

حل: شکل تعییر مکان بادته ستون در شکل ۱۳-۵۰ رسم شده است. تعییر مکان وسط ستون را  $\delta$  می‌نامیم. در این صورت واکنش بالای ستون  $R = P\delta/L$  حواحد بود. تعییر مکان سیمه بالای ستون را  $v_1$  و تعییر مکان نیمه پائین ستون را  $v_2$  می‌نامیم. در این صورت معادلات دیفرانسیل منحنی غیربروت نوشته می‌شود:

$$EIv_1' = -P \frac{\delta}{L} x ; \quad EIv_2' = -P \frac{\delta}{L} x + P(\delta - v)$$

۱۱۹

با فرض  $EI = k^2$  این معادله به صورت زیر بوشه می شود :

$$v'' + k^2 v = k^2 \delta \left(1 + \frac{L}{a} - \frac{x}{a}\right)$$

جواب عمومی این معادله برابر است با

$$v = C_1 \sin kx + C_2 \cos kx + \delta \left(1 + \frac{L}{a} - \frac{x}{a}\right)$$

از شرایط حدی  $v=0$  در  $x=0$  و  $v=\delta$  در  $x=L$  سه معادله زیر حاصل می شود :

$$C_2 + \delta \left(1 + \frac{L}{a}\right) = 0 ; \quad C_1 k - \delta \frac{1}{a} = 0 ; \quad C_1 \sin kL + C_2 \cos kL = 0$$

با مساوی صفر قرار دادن دتر میان ضرایب سه معادله فوق معادله مرزی زیر به دست می آید :

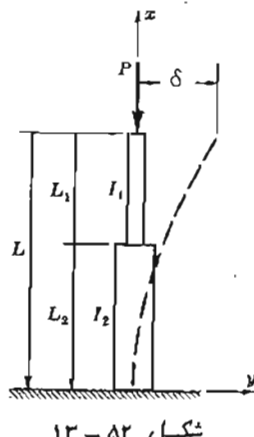
$$\tan kL = kL \left(1 + \frac{a}{L}\right)$$

برای هر مقدار معین  $a/L$  ، سیروی بحرانی از معادله فوق محاسبه می شود .

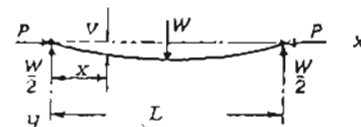
### مسئله ۱۳-۲۱

بار بحرانی ستون شکل ۱۳-۵۲ را که در انتهای تحتانی کیر دار و در انتهای فوقانی آزاد می باشد و از دو قسم منشوری با گشتاورهای لختی  $I_1$  و  $I_2$  ساخته شده است پیدا کنید .

حل : اگر تغییر مکان بالای ستون را  $\delta$  بنامیم معادلات دیفرانسیل دو قسمت



شکل ۱۳-۵۲



شکل ۱۳-۵۳

۱۱۸

$$\begin{vmatrix} \frac{L}{2} & 0 & 0 & -1 - \frac{k^2 L^2}{48} \\ 0 & \sin \frac{kL}{2} & \cos \frac{kL}{2} & -\frac{1}{2} \\ 1 & -k \cos \frac{kL}{2} & k \sin \frac{kL}{2} & \frac{1}{L} - \frac{k^2 L}{8} \\ 1 & \sin kL & \cos kL & 0 \end{vmatrix} = 0$$

از این دتر میان معادله فرازنده زیر بدست می آید :

$$\tan \frac{kL}{2} = \frac{3 \left(\frac{kL}{2}\right)}{\left(\frac{kL}{2}\right)^2 - 9}$$

$$\frac{kL}{2} = 2.16$$

کوچکترین ریشه این معادله برابر است با

$$P_{cr} \approx \frac{18.7 EI}{L^2}$$

### مسئله ۱۳-۲۵

میله ای به طول  $L$  در یک انتها کیر دار و در انتهای دیگر مفصلی است . سیروی بوسیله میله صلبی به طول  $a$  به انتهای مفصلی مسله وارد می شود ( شکل ۱۳-۵۱ ) . مقدار بحرانی نیروی  $P$  را حساب کنید .

حل : میله صلب به طول  $a$  را برداشته و به میله ارتقای سیروی طولی  $P'$  و نیروی جانبی برابر  $\frac{\delta}{a}$  را وارد می کیم (  $\delta$  تغییر مکان انتهای مفصلی میله می باشد ) . در این صورت معادله دیفرانسیل مسحی تغییر مکان میله عارت از

$$EIv'' = P(\delta - v) + P \frac{\delta}{a} (L - x)$$

۲۲۱

از شرط حدی  $v = 0$  در  $x = 0$  نتیجه می‌شود  $C_1 = 0$ . از شرط حدی  $v' = 0$  در  $x = L/2$  حاصل می‌شود  $C_2 = \frac{W}{2Pk \cos \frac{kL}{2}}$ . بنابراین معادله تغییر مکان نیمه چپ ستون برابر است با

$$v = \frac{W}{2P} \left( \frac{\sin kx}{k \cos \frac{kL}{2}} - x \right) \quad 0 < x < \frac{L}{2}$$

تغییر مکان ماکریم در  $x = L/2$  است. بنابراین

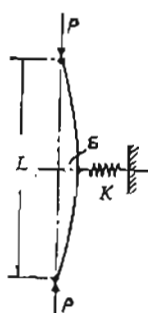
$$v_{\max} = v(x = L/2) = \frac{W}{2P} \left( \frac{\tan \frac{kL}{2}}{k} - \frac{L}{2} \right)$$

لنگر خمثی ماکریم نیز در  $x = L/2$  می‌باشد.

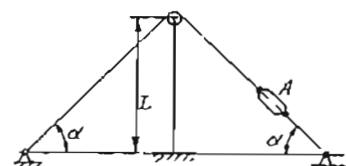
$$M_{\max} = Pv_{\max} + \frac{W}{2} \frac{L}{2} = \frac{W}{2k} \tan \frac{kL}{2}$$

مسئله ۱۳-۲۳

ستون قائم باریکی به طول  $L = 1m$  که در ابتدا مستقیم می‌باشد در دو نقطه افقی متمضمض و بار  $P$  را حمل می‌کند (شکل ۱۳-۵۴). فتری با ثابت فری  $K = 4.5kN/m$  به



شکل ۱۳-۵۴



شکل ۱۳-۵۵

۲۲۰

ستون به صورت زیر نوشته می‌شوند:

$$EI_1 v_1'' = P(\delta - v_1) \quad ; \quad EI_2 v_2'' = P(\delta - v_2)$$

فرض کنید  $\delta = k_2^2 x$ . در این صورت معادله های معادلات فوق برای خواهد بود با

$$v_1 = \delta + C_1 \cos k_1 x + C_2 \sin k_1 x \quad ; \quad v_2 = \delta (1 - \cos k_2 x)$$

از شرایط  $v_1 = \delta$  در  $x = L$  و  $v_2 = \delta$  در  $x = L$  خواهیم داشت

$$\delta + C_1 \cos k_1 L + C_2 \sin k_1 L = \delta$$

$$\delta + C_1 \cos k_1 L_2 + C_2 \sin k_1 L_2 = \delta (1 - \cos k_2 L_2)$$

از حل این دو معادله ثابت‌های  $C_1$  و  $C_2$  بر حسب  $\delta$  بدست می‌آیند.

$$C_2 = \frac{\delta \cos k_2 L_2 \cos k_1 L}{\sin k_1 L_1} \quad ; \quad C_1 = -C_2 \tan k_1 L$$

از شرط  $v_1 = \delta$  در  $x = L$  معادله زیر نتیجه می‌شود:

$$\delta k_2 \sin k_2 L_2 = -C_1 k_1 \sin k_1 L_2 + C_2 k_1 \cos k_1 L_2$$

با جایگزینی  $C_1$  و  $C_2$  در معادله فوق سرانجام معادله زیر برای محاسبه  $P_{cr}$  بدست می‌آید:

$$\tan k_1 L_1 \tan k_2 L_2 = \frac{k_1}{k_2}$$

مسئله ۱۳-۲۲

ستون شکل ۱۳-۵۳ به طول  $L$  تحت اثر بار جاسی  $W$  در وسط طولش قرار دارد.

تغییر مکان و لنگر خمثی ماکریم در طول ستون را حساب کنید.

حل: معادله دیفرانسیل منحنی تغییر مکان نیمه چپ ستون عبارتست از

$$EI v'' = -Pv - \frac{W}{2}x$$

با فرض  $v'' = P/EI = k^2$  این معادله به صورت زیر نوشته می‌شود:

$$v'' + k^2 v = -\frac{Wk^2}{2P}x$$

جواب عمومی این معادله دیفرانسیل برابر است با

$$v = C_1 \cos kx + C_2 \sin kx - \frac{W}{2P}x$$

۷۲۳

بدون اصطکاکی است که از روی آن کابلی عبور می‌کند. کابل بوسیله بتن فورانگاهی تحت کش قرار دارد و در نتیجه نیروی فشاری  $P$  در سنون ایجاد می‌شود. مدار بحرانی نیروی  $P$  را حساب کنید.

حل : فرض کرد عمق فوپانی سنون به اندازه  $\delta$  تغییر مکان افقی دهد (شکل ۱۳-۵۶). در این صورت زاویه تعامل سیمه چپ کابل به اندازه  $\Delta\alpha$  کاهش و زاویه تعامل نیمه راست به همان مقدار افزایش می‌عابد. در نتیجه اگر  $T$  نیروی کشی در کابل باشد نیروی افقی  $P_1$  بر سنون وارد می‌شود که برابر است با (شکل ۱۳-۵۷)

$$P_1 = T \cos(\alpha - \Delta\alpha) - T \cos(\alpha + \Delta\alpha)$$

چون  $\Delta\alpha$  زاویه کوچکی است می‌توانیم بنویسیم

$$P_1 = 2T \sin \alpha \Delta\alpha$$

از طرفی داریم  $2T \sin \alpha = P$ ، بنابراین  $P_1 = P \Delta\alpha$ . از طرف دیگر از ملت (شکل ۱۳-۵۶) می‌توانیم بنویسیم

$$(OA)\Delta\alpha = \delta \sin \alpha$$

$$\text{و چون } OA = \frac{L}{\sin \alpha} \text{ داریم}$$

$$\Delta\alpha = \frac{\delta}{L} \sin^2 \alpha \quad : \quad P_1 = P \frac{\delta}{L} \sin^2 \alpha$$

حال معادله دیفرانسیل منحنی تعبیر مکان سنون را تحت بارگذاری قائم  $P$  وبارگذاری افقی  $P_1$  می‌نویسیم (شکل ۱۳-۵۷).

$$EI v'' = P(\delta - v) - P \frac{\delta}{L} \sin^2 \alpha (L-x)$$

$$\text{فرض می‌کیم } k^2 = P/EI$$

$$v'' + k^2 v = k^2 \delta - k^2 - \frac{\delta}{L} (L-x) \sin^2 \alpha$$

جواب عمومی این معادله دیفرانسیل برابر است با

$$v = C_1 \sin kx + C_2 \cos kx + \delta - \frac{\delta}{L} (L-x) \sin^2 \alpha$$

از شرط‌های  $v=v'=0$  در  $x=0$  و  $v=\delta$  در  $x=L$  معادلات ریاضی حاصل می‌شوند:

$$C_2 + \delta \cos^2 \alpha = 0 ; C_1 k + \frac{\delta}{L} \sin^2 \alpha = 0 ; C_1 \sin kL + C_2 \cos kL = 0$$

۷۲۴

طور افقی در وسط سنون محل شده است. موقعي که سنون مستقیم است فتر به اندازه  $3\text{ cm}$  کشیده می‌باشد. اگر  $P$  برابر بک چهارم بار بحراسی اولر و  $EI$  ساپر  $30\text{ Nm}^2$  باشد، تغییر مکان وسط سنون را محاسبه کنید.

حل : مطابق مسئله ۲۲-۱۳ تعبیر مکان وسط سنون تحت اثر بارگذاری  $W$  برابر است با

$$v_{\max} = \frac{W}{2P} \left( \frac{1}{K} \tan \frac{kL}{2} - \frac{L}{2} \right)$$

از طرفی اگر تغییر مکان وسط سنون را  $\delta$  بنامیم (شکل ۱۳-۵۴) حواهیم داشت

$$W = K(0.03 - \delta) = 4.5 \times 10^3 (0.03 - \delta)$$

$$\frac{W}{2P} = \frac{4.5 \times 10^3 (0.03 - \delta)}{2 \left( \frac{\pi^2 EI}{4L^2} \right)} = 30.4 (0.03 - \delta)$$

$$k = \sqrt{\frac{P}{EI}} = \sqrt{\frac{\pi^2 EI}{4L^2 EI}} = \frac{\pi}{2L}$$

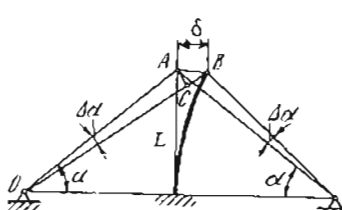
$$\frac{1}{K} \tan \frac{kL}{2} - \frac{L}{2} = \frac{2L}{\pi} \tan \frac{\pi}{4} - \frac{L}{2} = 0.136$$

بنابراین تغییر مکان وسط سنون برابر است با

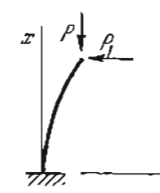
$$\delta = 30.4 (0.03 - \delta) (0.136) \quad ; \quad \delta = 0.024\text{ m} = 2.4\text{ cm}$$

مسئله ۱۳-۲۴

سنون شکل ۱۳-۵۵ در انتهای تحتانی گیردار و در انتهای فوپانی دارای عرفه



شکل ۱۳-۵۶



شکل ۱۳-۵۷

می‌آید :

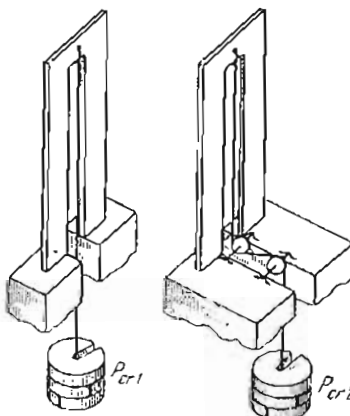
$$\frac{dM}{dx} - V \cdot P \frac{dv}{dx} = 0$$

اگر بین دو رابطه فوق و همچنین رابطه  $EIV^2 = -Mv$  کمیت‌های  $M$  و  $V$  را حذف کیم  
معادله زیر بین تغییر مکان  $v$  و شدت بار  $q$  بدست می‌آید :

$$EI \frac{d^4 v}{dx^4} + P \frac{d^2 v}{dx^2} = q$$

### مسئله ۱۳-۲۶

ستونی در انتهای تحتانی گیر دار و در انتهای آزاد بوسیله نیروی قائمی که بواسطه طنسی به آن منتقل می‌شود بارگذاری شده است (شکل ۱۳-۶۰). استقال سیرویستوپ طناب به دو صورت مختلف مورث می‌گیرد. در حالت اول طناب به آزادی به طور فاضم قرار دارد. در حالت دوم طناب از روی دو قرفه صلب بدون اصطکاک عبور می‌کند. در کدام حالت بارحرانی  $P_{cr}$  بیشتر می‌باشد؟



شکل ۱۳-۶۱ شکل ۱۳-۶۲

شکل ۱۳-۶۰

حل : بارحرانی در حالت دوم چهار بار بارحرانی در حالت اول می‌باشد.  
سرای انت این کافی است ستون را در هر دو حالت در موقعیت تغییر شکل پافند و رسم کیم. در حالت اول (شکل ۱۳-۶۱) بارحرانی برابر است با

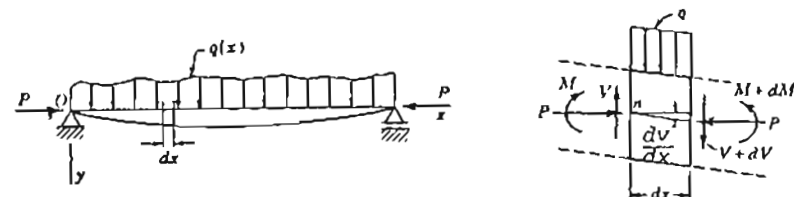
با مساوی صفر قرار دادن دترمینان ضرائب معادلات فوق معادله عرازنده ریز برای بار بحرانی بدست می‌آید :

$$\tan kL = -kL \cot^2 \alpha$$

اراین معادله متأهده می‌شود که بار بحرانی ستون به زاویه تعایل کامل بستگی دارد.

### مسئله ۱۳-۲۵

معادله دیفرانسیل منحنی تغییر مکان تیری را که تحت اثر توازن بارهای محوری  $P$  در دو انتهای بار جانبی گسترده  $q$  قرار دارد بنویسید (شکل ۱۳-۵۸).



شکل ۱۳-۵۸

شکل ۱۳-۵۹

حل : عنصر کوچکی از تیر به طول  $dx$  را جدا کرده و نمودار جسم آزاد آن را مطابق شکل ۱۳-۵۹ رسم می‌سازیم. سیروی برشی و لکر خمثی در سمت چه عنصر را به ترتیب  $V$  و  $M$  و مقادیر نظیر در سمت راست عنصر را به ترتیب  $V+dV$  و  $M+dM$  می‌نامیم. از معادله تعادل عصر در امتداد قائم خواهیم داشت

$$-V + qdx + (V + dV) = 0 \quad ; \quad \frac{dV}{dx} = -q$$

با فرض اینکه زاویه بین محور تیر و امتداد افق کوچک باشد معادله تعادل لنگری عصر را نسبت به نقطه  $n$  می‌نویسیم

$$M + qdx \left( \frac{dx}{2} \right) + (V + dV) dx - (M + dM) + P \frac{dV}{dx} dx = 0$$

اگر از جملات بی‌نهایت کوچک مرتبه دوم صرف نظر کنیم این معادله به صورت زیر در

۷۲۷

با فرض  $k^2 = P/EI$  این معادله به صورت زیر در می‌آید:

$$v'' + k^2 v = k^2 \frac{\delta}{a} x$$

جواب عمومی این معادله برابر است با

$$v = C_1 \sin kx + C_2 \cos kx + \frac{\delta}{a} x$$

از شرط حدی  $v=0$  در  $x=0$  نتیجه می‌شود  $C_2=0$ . از شرط‌های  $v'=0$  و  $v=\delta$  در  $x=L$  نیز دو معادله دیگر حاصل می‌شود:

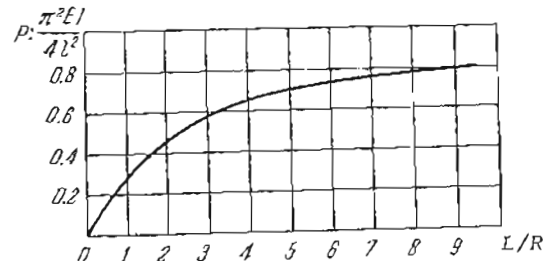
$$C_1 \sin kL + \frac{\delta}{a} L = \delta ; \quad C_1 k \cos kL + \frac{\delta}{a} = 0$$

با صفر قرار دادن دترمینان ضرائب دو معادله فوق معادله فرازده زیر برای بار بحرانی بدست می‌آید:

$$\tan kL = kL \left(1 - \frac{a}{L}\right)$$

مسئله ۱۳-۲۸

در شکل ۱۳-۶۵، بزرگی نیروی بحرانی  $P$  چگونه با شعاع  $R$  جام تغییر می‌کند؟



شکل ۱۳-۶۷

حل: معادله دیفرانسیل منحنی نیروی مکان میله فانم جام با توجه به شکل ۱۳-۶۶ عبارتست از

$$EIv'' = P(\delta + R\phi - v)$$

با فرض  $k^2 = P/EI$  جواب عمومی این معادله برابر است با

$$v = C_1 \sin kx + C_2 \cos kx + \delta + R\phi$$

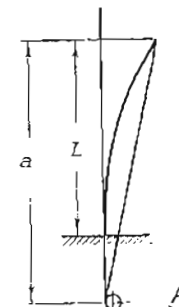
۷۲۸

$$P_{cri1} = \frac{\pi^2 EI}{4L^2}$$

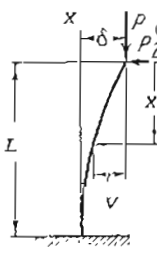
در حالت دوم، سیروی وارد سرستون همواره از انتهای گیر دار آن عبور می‌کند (شکل ۱۳-۶۲). بنابراین بارگذاری سون در این حال متناسب با رگذاری بک سون دو سر مفصلی می‌باشد، در نتیجه  $P_{cri2} = \pi^2 EI/L^2$ .

مسئله ۱۳-۲۷

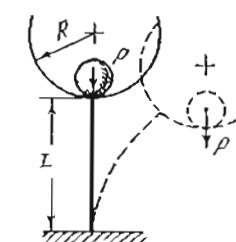
با سوجه به مسئله فل بار بحرانی ستون شکل ۱۳-۶۲ را که سب از سیروی  $P$  فرار دارد حساب کید. بار  $P$  بوسیله کابلی که از روی فرقه بدون اصطکاکی عبور می‌کند به ستون وارد می‌شود.



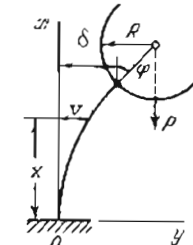
شکل ۱۳-۶۳



شکل ۱۳-۶۴



شکل ۱۳-۶۵



شکل ۱۳-۶۶

حل: نیروی  $P$  را به دو مؤلفه قائم  $P_v$  و افقی  $P_h$  تجزیه می‌کیم (شکل ۱۳-۶۴).

$$P_v \approx P ; \quad P_h = P \frac{\delta}{a}$$

تغییر مکان بالای ستون را  $\delta$  فرض می‌کیم. معادله دیفرانسیل منحنی ارجاعی سیر عبارتست از

$$EIv'' = -P_v + P \frac{\delta}{a} x$$

۷۲۹

می باشد . اگر سطح تسلیم  $y = 2520 \text{ Kg/cm}^2$  باشد چه بار  $P$  در ستون نشسته باشد ایجاد حواهد نمود ؟

مسئله ۱۲-۳-۱ دو ستون با تکیه گاههای ساده دارای طول ، مساحت مقطع عرضی و ضرب ارجاعی بکسان می باشند . مقطع عرضی یکی از ستون ها دایره ای و مقطع عرضی ستون دیگر مربعی می باشد . بارهای بحرانی  $P_C$  و  $P_S$  به نرتبه برای ستون های دایره ای و مربعی را با یکدیگر مقایسه کنید .

مسئله ۱۲-۲-۲ ستونی از مقطع  $W14 \times 84$  ( $E = 2.1 \times 10^6 \text{ Kg/cm}^2$ ) در انتهای تحتانی گیر دار و در انتهای فوقانی مفصلی می باشد . بار بحرانی  $13.70 \text{ m}$  این ستون را پیدا کنید .

مسئله ۱۲-۳-۳ ستونی از مقطع  $S6 \times 12.5$  ( پیوست ۲ کتاب را ببینید ) و به طول  $1.83 \text{ m}$  در دو انتهای تکیه گاههای ساده دارد . با فرض اینکه ضرب ارجاعی ستون فولادی  $E = 2.1 \times 10^6 \text{ Kg/cm}^2$  باشد بار بحرانی آن را محاسبه کنید .

مسئله ۱۲-۳-۴ از جداول پیوست ۲ کتاب سبکترین مقطع I عریض بال ( مقطع W ) را برای ستونی با تکیه گاههای ساده و به طول  $6.10 \text{ m}$  که تحت اثر بار فشاری  $P = 204.3 \text{ Kg}$  می باشد انتخاب کنید به طوریکه ضرب اطمینان در مقابل کمانش ارجاعی حداقل  $n = 2.5$  باشد . فرض کنید  $E = 2.1 \times 10^6 \text{ Kg/cm}^2$  .

مسئله ۱۲-۳-۵ از جداول پیوست ۲ کتاب سبکترین مقطع نیشی با بالهای ماوی را برای ستونی با تکیه گاههای ساده و به طول  $3.05 \text{ m}$  که تحت اثر بار فشاری  $P = 9080 \text{ Kg}$  می باشد انتخاب کنید به طوریکه ضرب اطمینان در مقابل کمانش ارجاعی حداقل  $n = 2.5$  باشد . فرض کنید  $E = 2.1 \times 10^6 \text{ Kg/cm}^2$  .

مسئله ۱۲-۳-۶ تیر - ستون شکل ۱۲-۲-۱۲ بار جانی ۲۰ را در وسط دهانه و بار فشاری  $P$  را در انتهای B مطلق شکل تحمل می کند . برای وقتی که  $P < P_{CR} = \frac{\pi^2 EI}{L^2}$  می باشد معادله دیفرانسیل منحنی ارجاعی تیر - ستون مذبور را نوشت تغییر مکان قائم  $\delta$  در وسط دهانه را پیدا کنید . صلبیت خمشی تیر  $EI$  و طول آن L می -

از شرایط حدی  $v' = 0$  در  $x=0$  و  $v = \delta$  در  $x=L$  معادلات زیر حاصل می شود :

$C_1 = 0 ; C_2 + \delta + R\phi = 0$   
 $C_1 \sinh kL + C_2 \cosh kL + R\phi = 0 ; C_1 k \cosh kL - C_2 k \sinh kL = \phi$   
 اگر دترمیان صرایب معادله برای سه مجهول  $C_1$  ،  $\delta$  و  $\phi$  را مساوی صفر قرار دهیم ، معادله فرازده زیر برای سازه را بدست می آید :

$$\frac{L}{R} = kL \tanh kL$$

رابطه بین بار بحرانی و نسبت  $R/L$  در شکل ۱۲-۶۷ رسم شده است .

## ۱۲-۹ مسائل حل نشده

مسئله ۱۲-۲-۱ ستونی به طول  $1.2 \text{ m}$  و مقطع مستطیل بد ابعاد  $2.5 \text{ cm} \times 5 \text{ cm}$  تحت اثر بار فشاری حارج از مرکز  $P = 1360 \text{ Kg}$  فشرده می شود . خط اتصال بار فشاری از کوشه مقطع عرضی سور می کند . دو انتهای ستون دارای تکیه گاه ساده می باشد . تنش فشاری ماکریم در ستون را با فرض اینکه ضرب ارجاعی ماده ستون  $E = 2.1 \times 10^6 \text{ Kg/cm}^2$  تعیین کنید .

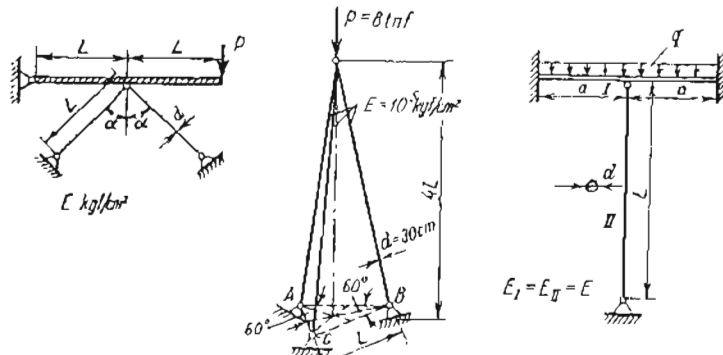
مسئله ۱۲-۲-۲ ستونی با دو انتهای مفصلی از مقطع ناوданی  $C8 \times 11.5$  ( پیوست ۲ کتاب را ببینید ) ساخته شده است . بار فشاری  $P$  در صفحه تقارن ناوданی در نقطه ای که محور ۱-۱ صفحه پشتی ناوданی را مقطع می کند ، یعنی در ماقبل  $1.45 \text{ cm}$  از مرکز سطح مقطع عرضی وارد می شود . با فرض اینکه  $L = 3.05 \text{ m}$  ،  $P = 1816 \text{ Kg}$  و  $E = 2.1 \times 10^6 \text{ Kg/cm}^2$  باشد تغییر مکان وسط ستون و تنشهای کنشی و فشاری ماکریم در ستون را حساب کنید .

مسئله ۱۲-۲-۳ ستونی با دو انتهای مفصلی از مقطع  $W8 \times 40$  ( پیوست ۲ را ببینید ) ساخته شده است . بار فشاری  $P$  در روی محور ۲-۲ با حروق از مرکزی بر اس  $E = 2.1 \times 10^6 \text{ Kg/cm}^2$  وارد می شود . طول ستون  $L = 4.88 \text{ m}$  و ضرب ارجاعی آن  $C_{n1}^2$

۷۲۱

ساخته شده‌اند. گشاور لختی تیرهای افقی  $6.28 \times 10^4 \text{ cm}^4$  می‌باشد. ستون دارای مقطع دایره به قطر  $2\text{cm}$  می‌باشد.

مسئله ۱۳-۳-۱۰ نا ۱۳-۳-۱۲ عین کند در چه طول L سازه‌های شکل‌های ۱۰-۱۵ نا ۱۳-۳-۱۲-۲ بازدار می‌گردند. در مسئله ۱۲-۳-۱۲-۳-۱۳ و ۱۳-۳-۱۴ و سازه‌های مایل در مسئله ۱۰-۳-۱۵ را A فرض کنند.



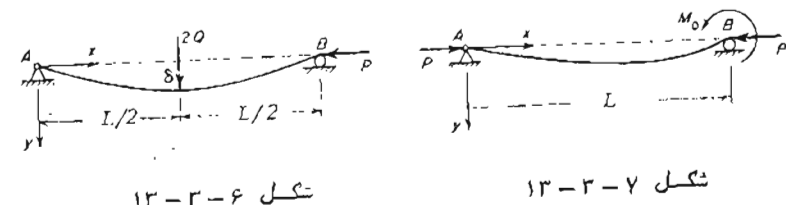
شکل ۱۲ ۱۳-۳-۱۰ شکل ۱۱ ۱۳-۳-۱۳ شکل ۱۰ ۱۳-۳-۱۵

مسئله ۱۳-۳-۱۵ نا ۱۳-۳-۱۶ در سازه‌های شکل‌های ۱۳-۳-۱۲-۳-۱۳ نا ۱۳-۳-۱۵ تعیین کنید چه اضافه درجه حرارتی ( $\Delta t^\circ\text{C}$ ) باعث خواهد شد که اعضای فشاری سازه پایداری شان را از دست بدهند. برای مولاد ضریب ارتباطی  $E = 2 \times 10^6 \frac{\text{Kg}}{\text{cm}^2}$  ضریب انبساط حرارتی  $\alpha = 12.5 \times 10^{-6}$  و نتش حد سناب  $p_{\text{lb}} = 2000 \text{ Kg/cm}^2$  و برای مس مقادیر مزبور  $E = 10^6 \text{ Kg/cm}^2$  و  $\alpha = 16.5 \times 10^{-6}$ . مسئله ۱۳-۳-۱۴ را در دو حالت تیر افقی صل و اعطاف پذیر حل کید.

مسئله ۱۳-۳-۱۶ مقاطع عرضی چند ستون در شکل ۱۶-۳-۱۲ مطابقه می‌شود.

۷۲۰

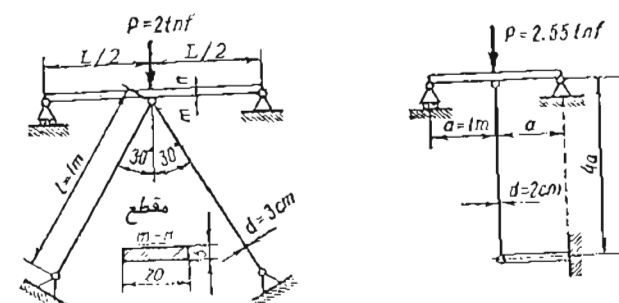
باشد. دو انتهای A و B را ممکنی مرس کبد.



شکل ۱۳-۳-۱۶ شکل ۱۳-۳-۱۷

مسئله ۱۳-۳-۱۷ نیبر-سنونی با تکیه گاههای ساده و صلبیت خمشی بکتواحات EI در دو انتهای تحت اثر بارهای فشاری P و در انهای B نحت این لیگر M\_0 مطابق شکل ۱۳-۳-۱۷ قرار دارد. برای وضی که  $P < P_{\text{cr}}$ ، معادله دیفراسیل محسنی غیربر مکان نیبر-سنون را نوشه و جواب  $y=f(x)$  آن را پیدا کید.

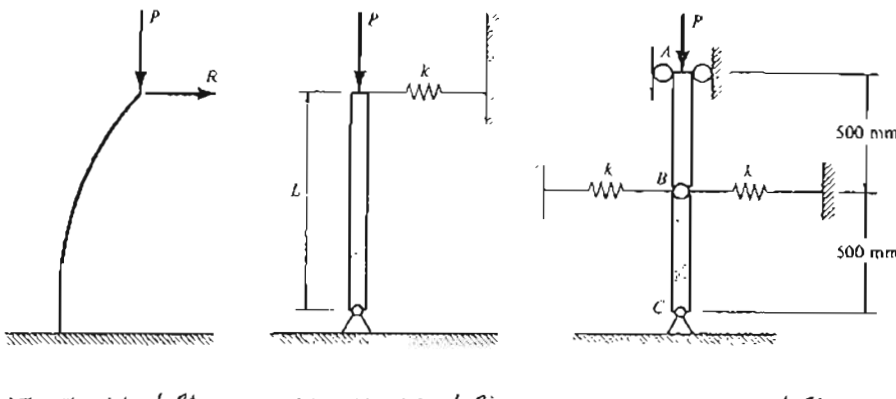
مسئله ۱۳-۳-۱۸ صریب اطمیان در مقابل کمانش را برای سازه‌های مایل. شکل ۱۳-۳-۱۸ حساب کید. تیر افقی و سنون های مایل از فولاد با صریب ارتباعی  $2 \times 10^6 \frac{\text{kg}}{\text{cm}^2}$  ساخته شده‌اند. مقطع عرضی تیر به شکل مستطیل و به ابعاد ۲۰cmx5mm می‌باشد. سازه‌های مایل دایره‌ای و به قطر ۵cm می‌باشد.



شکل ۱۳-۳-۱۸ شکل ۱۳-۳-۱۹

مسئله ۱۳-۳-۱۹ صریب اطمیان در مقابل کمانش را برای ستون شکل ۹-۳-۱۳-۳-۱۹ حساب کنید. تیرهای افقی و سنون فائم از فولاد سا ضریب ارتباعی  $2.07 \times 10^6 \frac{\text{Kg}}{\text{cm}^2}$

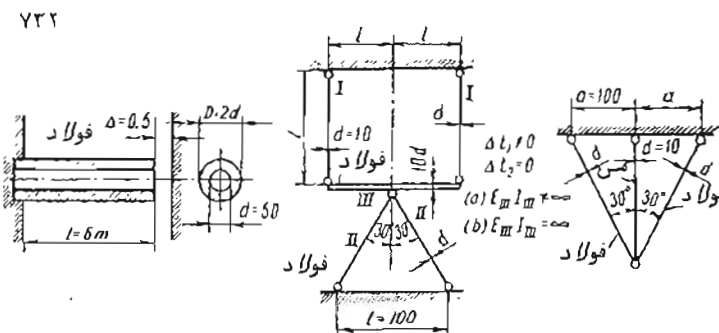
۷۳۳  
و در انتهای فوپانی سه فسی باناب فسی  $k$  متصل می‌باشد و تحت اثر نیروی فشاری  $P$  فرار دارد. به انتهای موپاسی میله تغییر مکان جانی کوچکی داده می‌شود. مقدار بحرانی بار  $P$  را حساب کنید.



مسئله ۱۳-۲-۲۰ دستگاه شکل ۱۳-۲-۲۰ از دو میله قائم ملب  $AB$  و  $BC$  تشکیل شده که در نقطه  $C$  منطبق و در نقطه  $A$  ارتعاشی مکان جانی آن جلوگیری شده است (در نقطه  $A$  میله  $AB$  می‌تواند به آزادی دوران کند). دو میله همچنین در نقطه  $B$  مفصل شده‌اند. نقطه میانی  $B$  به دو فتر هر یک با ثابت فسی  $k \text{ N/mm}$  متصل شده است. قبل از اینکه بار  $P$  وارد شود فترها بدون بار می‌باشند. مقداری از بار  $P$  را که باعث ناپایداری دستگاه می‌گردد تعیین کنید.

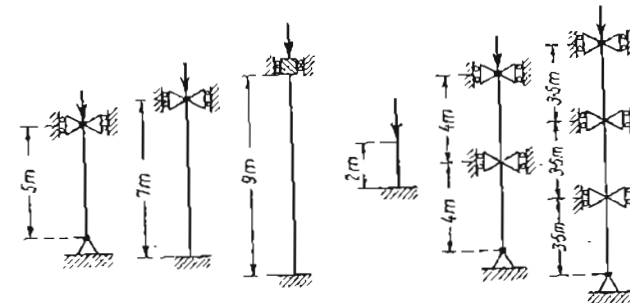
مسئله ۱۳-۲-۲۱ میله ملب و در ابتدا مستقیم  $AB$  در دو انتهای فوپانی و تحتانی به فترهای ارتتعاشی متصل می‌باشد (شکل ۱۳-۲-۲۱). فتر انتهای  $A$  یک فتر پیچشی می‌باشد که مقاومتی برابر  $K \text{ Nm}$  برای هر رادیان دوران در نقطه  $A$  ایجاد می‌کند. فتر خطی در  $B$  نیز در مقابل تغییر مکان جانی در این نقطه مقاومتی برابر  $k \text{ N}$  برای واحد تغییر مکان افقی ایجاد می‌کند. موقعی که میله قائم می‌باشد فترها بدون نیرو می‌باشند. معادله مشخصه‌ای را که بار بحرانی را می‌دهد تعیین کنید.

مسئله ۱۳-۲-۲۲ میله آلومینیومی  $AB$  (شکل ۱۳-۲-۲۲) به قطر  $16 \text{ mm}$  و ضریب ارتتعاشی  $E = 7 \times 10^{10} \text{ N/m}^2$  بوسیله دو فتر افقی نگهداشت شده و تحت اثر بار



aben ستون‌ها در چه امدادی کمانه می‌کند؟

مسئله ۱۳-۳-۱۷ بافرض اینکه مقطع عرضی تمام ستون‌های شکل ۱۳-۳-۱۷ یکان پاشد کدام ستون سیسترن و کدام سنون کمترین بار فشاری را می‌توارد تحمل کد؟



مسئله ۱۳-۳-۱۸ میله‌ای به طول  $l$  در یک انتها گیر دار و در انتهای دیگر آزاد می‌باشد (شکل ۱۳-۳-۱۸). در انتهای آزاد میله نیروی قائم  $P$  سرا بر سار چهارم بار اول برای این میله و نیروی افقی  $R$  وارد می‌شود. تغییر مکان جانی انسهای فوپانی میله را حساب کنید.

مسئله ۱۳-۳-۱۹ میله صلی مطابق شکل ۱۳-۳-۱۹ در انتهای تحتانی مفصلی

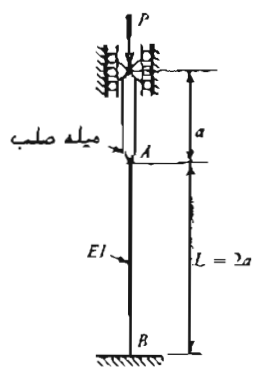
۷۳۵ مقدار موج محسی سنتویی  $v_0 = a \sin \pi x / L$  می‌باشد ( شکل ۲۵ - ۱۲ - ۳ ) . اگر نیز مزبور تحت انحرافهای فشاری  $P$  مطابق سکل قرار گیرد نشان دهد که تغییر مکان کل شبر برآست با

$$v = v_0 + v_1 = \frac{1}{1-P/P_{cr}} a \sin \frac{\pi x}{L}$$

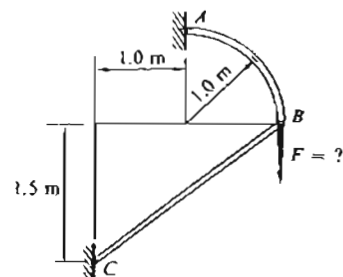
در این رابطه  $P_{cr} = \pi^2 EI / L^2$  می‌باشد .

مسئله ۱۲ - ۲۶ میله AB با صلبیت حجمی  $EI$  و به طول  $L = 2a$  به میله صلبی به طول  $a$  مطابق شکل ۱۲ - ۲۶ منصل می‌باشد . بار بحرانی دسگاه مزبور را حساب کنید .

مسئله ۱۲ - ۲۷ دستگاه شکل ۱۲ - ۲۷ - ۱۲ از عضو محسنی AB ( به شکل ربع دایره ) و عضو مستقیم BC تشکیل شده است . اگر عضو BC از جوبه مقطع  $4\text{cm} \times 8\text{cm}$  باشد ، چه نیروی فشار  $F$  می‌توان بر اتمال B وارد نمود ؟ تمام انتقالات را مفصلی فرمود کنید . از فرمول اولر با ضریب اطمینان ۳ استفاده نمایید . همچنان فرض کنید  $E = 11 \times 10^6 \text{ kN/m}^2$



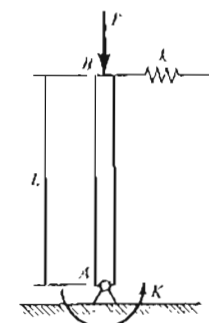
شکل ۱۲ - ۲۶



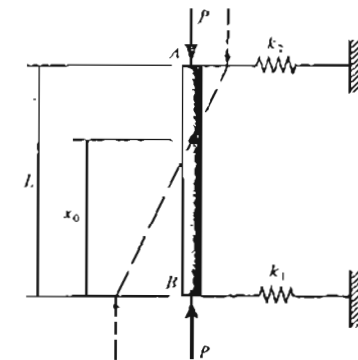
شکل ۱۲ - ۲۷

مسئله ۱۲ - ۲۸ عضو جوبی AB در شکل ۱۲ - ۲۸ - ۱۲ به طول ۳m تحت فشار قرار دارد . مقطع عرضی این عضو به شکل مستطیل و به ابعاد  $0.10\text{m} \times 0.06\text{m}$  می‌باشد .

۷۳۶ فشاری فاش  $P$  قرار دارد . ثابت‌های فنرها  $k_1 = 4\text{N/mm}$  و  $k_2 = 8\text{N/mm}$  می‌باشد . معدار حرائی سار  $P$  و نکل کمانه‌کرده مملرا پیدا کنید . طول میله ۶۰۰mm است .



شکل ۱۲ - ۲۸



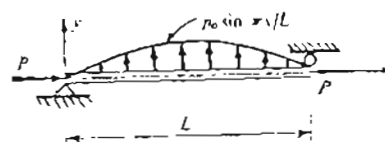
شکل ۱۲ - ۲۹

مسئله ۱۲ - ۲۹ ستون باریکی به طول  $a$  و صلبیت حجمی  $EI$  در هر یک از دو انتهای بر پک محبط ارجاعی متکی می‌باشد که بر ستون لگر  $K$  در هر رادیان دوران انتهای ستون وارد می‌کند . اولین بار کماش ستون را پیدا کنید .

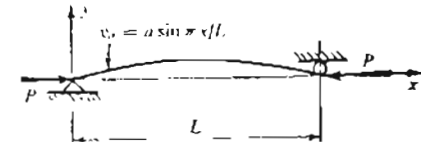
مسئله ۱۲ - ۳۰ تیر - سنو شکل ۱۲ - ۳۰ - ۱۲ تحت اثر یک بار سینوسی قرار دارد . نشان دهید معادله منحنی تغییر مکان آن

$$v = \frac{P_0 L^4}{\pi^4 EI} \left( \frac{1}{1-P/P_{cr}} \right) \sin \frac{\pi x}{L}$$

می‌باشد که در آن  $P_{cr} = \pi^2 EI / L^2$



شکل ۱۲ - ۳۰



شکل ۱۲ - ۳۱

مسئله ۱۲ - ۳۱ تیری دارای یک اسخانی اولیه است به طوریکه محور آن به شکل

۷۳۷

مسئله ۱۳-۲-۲۱ دستگاه شکل ۱۳-۳-۳۱ شامل سه میله صلب متابه می باشد که به طور مفصلی به یکدیگر متصل و همچنین به فتری با ثابت  $k$  وصل شده اند. لنگر  $M$  بر میله میانی وارد می شود. مقدار بحرانی لنگر  $M$  را که حد پایداری ارجاعی را شخصی می کند پیدا کنید.

مسئله ۱۳-۳-۲۲ میله صلبی به طول  $L$  بوسیله یک فنر مارپیچی نگهداشت شده است (شکل ۱۳-۳-۲۲). وقتی که میله به اندازه  $\theta$  دوران می کند فنر مببور لنگر  $k\theta$  بر آن وارد می کند. زاویه دوران میله را به صورت تابعی از  $P$  بدست آوردید. به ازای چه مقادیری از  $P$  تعادل پایدار می باشد؟ فرض کنید  $E$  کوچک و تحلیل بهزادای کوچک  $\theta$  محدود می باشد.

مسئله ۱۳-۴-۱ یک میله فولادی با مقطع عرضی دایره به قطر  $2.5\text{cm}$  در دوانتها گیر دار و تحت اثر نیروی فشاری محوری قرار دارد. کوتاهترین طول  $L$  ستون که سرای آن فرمول بار بحرانی اولر صادق می باشد چقدر است؟ فرض کنید ضریب ارجاعی آلمینیوم با ضریب ارجاعی  $E=70\times 10^6\text{kN/m}^2$  ساخته شده اند و مقطع عرضی آنها به ابعاد  $5\text{cm}\times 5\text{cm}$  می باشد.  $\sigma_{pl}=2100\text{Kg/cm}^2$

مسئله ۱۳-۴-۲ اگر طول میله مسئله قبل  $L=1.52\text{m}$  باشد، تنش بحرانی  $\sigma_{cr}$  ستون مببور را حساب کنید.

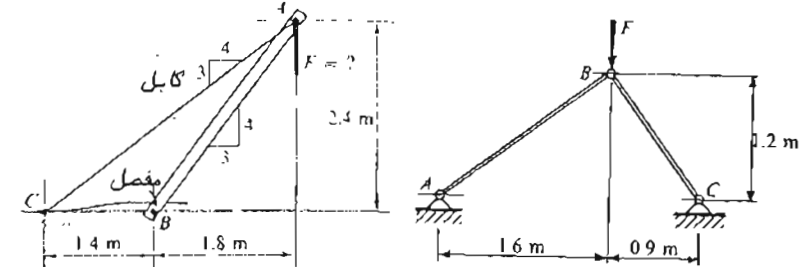
مسئله ۱۳-۴-۳ تنش فشاری بحرانی  $\sigma_{cr}$  را برای یک ستون  $W12 \times 106$  که در دو انتها مفصلی و به طول  $9.14\text{m}$  می باشد حساب کنید. ضریب ارجاعی  $E=2.1\times 10^6\text{Kg/cm}^2$  است. اگر ضریب اطمینان  $n=2.5$  باشد بار فشاری مجاز  $P$  چقدر می باشد؟

مسئله ۱۳-۴-۴ اگر در مسئله قبل تنش حد تنش  $\sigma_{pl}=2800\text{Kg/cm}^2$  باشد، کوتاهترین طول  $L$  ستون که برای آن فرمول اولر برای بار بحرانی صادق می باشد چقدر است؟

مسئله ۱۳-۵-۱ یک مقطع  $W16 \times 50$  (پیوست ۲ کتاب را ببینید) بعنوان ستونی به طول  $4.90\text{m}$  و با تکیه کاههای ساده بکار رفته است. این ستون بار فشاری  $P$  را تحمل می کند به طوریکه حمس حول محور اصلی ضعیف (محور ۲-۲) صورت می کشد.

۷۳۶

اگر در مقالل کمانس ضریب اطمینان برابر ۲ انتخاب شود مقدار ماکریسم سروی  $F$  چقدر می شوند باشد؟ فرض کنید  $E = 1.2 \times 10^{10}\text{Pa}$ .

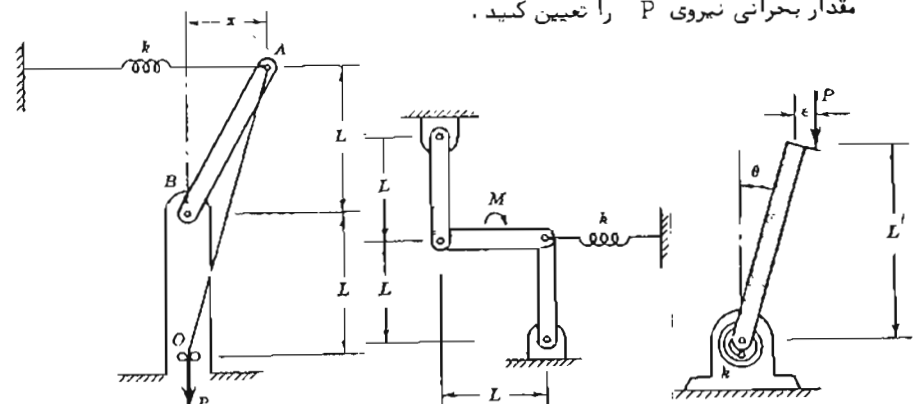


شکل ۱۳-۳-۲۸

شکل ۱۳-۳-۲۹

مسئله ۱۳-۳-۲۹ با فرض اینکه کمانس سازه شکل ۱۳-۳-۲۹ در صفحه سازه رحدهد، مقدار نیروی  $F$  را که باعث ناپایداری می گردد حساب کنید. اعضای سازه از آلمینیوم با ضریب ارجاعی  $E=70\times 10^6\text{kN/m}^2$  ساخته شده اند و مقطع عرضی آنها به ابعاد  $5\text{cm}\times 5\text{cm}$  می باشد.

مسئله ۱۳-۳-۳۰ میله صلب  $AB$  در نقطه  $A$  به فنری با ثابت فنری  $k$  (شکل ۱۳-۳-۳۰) متصل است. وقتی که  $x=0$  است فنر بدون نیرو می باشد. نیروی  $P$  از طریق ظایی که از میان فرقه های  $O$  عبور می کند به میله  $AB$  وارد می شود. مقدار بحرانی نیروی  $P$  را تعیین کنید.



شکل ۱۳-۳-۳۰

شکل ۱۳-۳-۳۱

۷۲۹

بدست آورید.

**مسئله ۱۳-۶-۲** یک ستون فولادی ( $E=2.1 \times 10^6 \text{ Kg/cm}^2$ ) با دو انتهای مفصلي از مقطع  $W8 \times 48$  ساخته شده است و سار محوري  $P=102.1t$  را حمل مي کند. طول ستون ۴.۵۷m می باشد. ستون با حمچن حول محور اصلی ضعيفتر مقطع عرضي کمانه می کند. ستون داراي يك نغير مکان اولیه به شکل موج منحنی سینوسی می باشد و نغير مکان وسط آن برابر  $0.51 \text{ cm}$  است. با استفاده از معادله ۱۳-۳۸ مقدار مجاز بار  $P$  را حساب کنيد. اگر تنش نسليم  $\sigma_y = 2800 \text{ Kg/cm}^2$  باشد ضرب اطميان در مقابل تسليم چقدر می باشد؟

**مسئله ۱۳-۶-۳** ستونی به طول  $1.22 \text{ m}$  و با مقطع دائري به قطر  $5.08 \text{ cm}$  بار فشاری  $P$  را تحمل مي کند. ستون از فولاد با ضريب ارجاعي  $E=2.1 \times 10^6 \text{ Kg/cm}^2$  و تنش نسليم  $\sigma_y = 2800 \text{ Kg/cm}^2$  می باشد. مقدار مجاز بار  $P$  چقدر می باشد؟ از فرمول استفاده نمائيد و فرض کنيد  $a/L = 400$  و ضرب اطميان در مقابل تسليم  $n=2$  می باشد.

**مسئله ۱۳-۶-۴** يک ستون فولادی از يک مقطع نبشي  $\frac{1}{4} \times 3^{\prime \prime} \times 3^{\prime \prime}$  (پيوست ۲ را بهينيد) به طول  $L=3.05 \text{ m}$  ساخته شده است. ستون در دو انتهای كيردار و بار فشاری  $P$  را حمل مي کند. مقدار مجاز بار  $P$  را با استفاده از فرمول ۱۳-۳۸ پيدا کنيد. فرض کنيد  $\sigma_y = 2800 \text{ Kg/cm}^2$  ،  $E=2.1 \times 10^6 \text{ Kg/cm}^2$  ،  $n=1.5$  و  $a/L = 1/800$ .

**مسئله ۱۳-۶-۱** با استفاده از فرمول های موسسه ساختمان های فولادی آمریکا مقدار مجاز بار فشاری  $P$  را برای ستونی با مقطع  $W10 \times 72$  ، به طول  $4.57 \text{ m}$  و با دو انتهای مفصلي حساب کنيد. فرض کنيد  $E=2.03 \times 10^6 \text{ Kg/cm}^2$  و  $\sigma_y = 3500 \text{ Kg/cm}^2$ .

**مسئله ۱۳-۶-۲** با استفاده از فرمول های موسسه ساختمان های فولادی آمریکا بار فشاری مجاز  $P$  يک ستون فولادی  $W10 \times 45$  را برای سه طول  $L=3.05 \text{ m}$  ،  $L=9.15 \text{ m}$  و  $L=6.10 \text{ m}$  حساب کنيد. شرایط دو انتهای ستون را مفصلي فرض کنيد. ضريب ارجاعي فولاد ستون  $E=2.03 \times 10^6 \text{ Kg/cm}^2$  و تنش نسليم  $\sigma_y = 2520 \text{ Kg/cm}^2$ .

۷۳۸

نسبت خروج از مرکز  $ec/r^2 = 0.2$  می باشد. اگر ضرب اطميان در مقابل تسليم  $n=2$  ، تنش نسليم  $\sigma_y = 2520 \text{ Kg/cm}^2$  و ضريب ارجاعي  $E=2.1 \times 10^6 \text{ Kg/cm}^2$  باشد مقدار مجاز بار  $P$  را حساب کنيد.

**مسئله ۱۳-۵-۲** يک ستون فولادی به شكل لوله نو حالي در پايه اش كير دار و در انتهای موافانيش مفصلي می باشد. قطرهای داخلی و خارجي لوله به ترتيب  $7.6 \text{ cm}$  و  $8.9 \text{ cm}$  می باشند. طول ستون  $3.66 \text{ cm}$  است. با فرض اينكه نسبت خروج از مرکز  $ec/r^2 = 0.25$  تنش نسليم  $\sigma_y = 2520 \text{ Kg/cm}^2$  ، ضريب ارجاعي  $E=2.1 \times 10^6 \text{ Kg/cm}^2$  و ضرب اطميان  $n=2$  باشد، بار مجاز  $P$  را تعين کنيد.

**مسئله ۱۳-۵-۳** يک ستون فولادی ( $E=2.1 \times 10^6 \text{ Kg/cm}^2$ ) با دو انتهای مفصلي و به طول  $3.05 \text{ m}$  از مقطع  $W12 \times 72$  ساخته شده است. بار  $P_1 = 45.4 \text{ Kg}$  و مقطع عرضي عور می کند و سار حارج از مرکز  $P_2$  در روی محور ۱-۱ به فاصله  $10.1 \text{ cm}$  از محور ۲-۲ وارد می شود. با فرض اينكه تنش نسليم  $\sigma_y = 2800 \text{ Kg/cm}^2$  و ضرب اطميان  $n=2.5$  باشد مقدار مجاز بار  $P_2$  را پيدا کنيد.

**مسئله ۱۳-۵-۴** يک سون فولادی ( $E=2.1 \times 10^6 \text{ Kg/cm}^2$ ) به طول  $7.62 \text{ m}$  در دو انتهای مفصلي و از مقطع  $W14 \times 84$  ساخته شده است. ستون بار مرکزي  $P_1 = 90.8 \text{ t}$  و بار خارج از مرکز  $P_2 = 45.4 \text{ t}$  را تحمل مي کند. سار  $P_2$  بر محور ۲-۲ و به فاصله  $19 \text{ cm}$  از مرکز سطح وارد می شود. با استفاده از فرمول سکانت تنش ماکریم در ستون را حساب کنيد. اگر تنش نسليم  $\sigma_y = 2800 \text{ Kg/cm}^2$  باشد، ضرب اطميان در مقابل شروع تسليم چقدر می باشد؟

**مسئله ۱۳-۵-۵** ستونی از يک مقطع نبشي  $\frac{3}{8} \times 4^{\prime \prime} \times 4^{\prime \prime}$  (پيوست ۲ کاب را بینيد) به طول  $1.83 \text{ m}$  و با تکيه گاههای مفصلي ساخته شده است. بار مجاز  $P$  سر گوشه خارجي نبشي در حامي که دو ضلع بسيري به بدكيرگر خورد می کند وارد می شود. اگر تنش نسليم  $\sigma_y = 2800 \text{ Kg/cm}^2$  ، ضريب ارجاعي  $E=2.1 \times 10^6 \text{ Kg/cm}^2$  و ضرب اطميان مطلوب در مقابل تسليم  $n=2$  باشد مقدار مجاز بار  $P$  را حساب کنيد.

**مسئله ۱۳-۶-۱** معادله اي مطالعه معادله ۱۳-۴۰ برای ستونی با مقطع عرضي مربع

# Bonab Civil Center ... Civilsa ... sasily.persianblog.ir

۷۴۱

$$P_{cr} = kL \quad : ۱۲-۳-۱۹ \quad 16(4-\pi)RL^3/\pi^3EI \quad : ۱۲-۳-۱۸$$

$$(\alpha^2 = P/EI) \quad : ۱۲-۳-۲۱ \quad P_{cr} = 300N \quad : ۱۲-۳-۲۰$$

$$\alpha L \cot \alpha L + \frac{kL}{P-kL} - \frac{PL}{k} = 0$$

$$\text{میله مستقیم باقی می‌ماند و حول سقطه} \quad P_{cr} = L \left( \frac{k_1 k_2}{k_1 + k_2} \right) = 1.6kN \quad : ۱۲-۳-۲۲$$

$$X_5 = 400 \text{ mm}$$

$$\tan \frac{kL}{2} = - \frac{P}{kK} \quad : \quad k^2 = P/EI \quad : ۱۲-۳-۲۲$$

$$4.14 \text{ kN} \quad : ۱۲-۳-۲۸ \quad P_{cr} = 0.94EI/L^2 \quad : ۱۲-۳-۲۶$$

$$kL^2/2 \quad : ۱۲-۳-۲۱ \quad 2kL \quad : ۱۲-۳-۲۰$$

$$P < k/L \quad : ۱۲-۳-۲۲$$

$$1442 \text{ Kg/cm}^2 \quad : ۱۲-۴-۲ \quad 1.26 \text{ m} \quad : ۱۲-۴-۱$$

$$6.78 \text{ m} \quad : ۱۲-۴-۴ \quad P=125t, \sigma_{cr} = 1543 \text{ Kg/cm}^2 \quad : ۱۲-۴-۲$$

$$12620 \text{ Kg} \quad : ۱۲-۵-۲ \quad 54t \quad : ۱۲-۵-۱$$

$$n=2.03 \quad : ۱۲-۵-۴ \quad 27420 \text{ Kg} \quad : ۱۲-۵-۳$$

$$\sigma_{max} = 1302 \text{ Kg/cm}^2 \quad : ۱۲-۵-۴$$

$$4131 \text{ Kg} \quad : ۱۲-۵-۵$$

$$a\sqrt{3}/L \quad \text{در معادله } a/L \quad \text{کمیت} \quad : ۱۲-۶-۱$$

$$13300 \text{ Kg} \quad : ۱۲-۶-۲ \quad 2\sigma_{max} = 1470 \text{ Kg/cm}^2; n=1.62 \quad : ۱۲-۶-۲$$

$$202.5 \text{ t} \quad : ۱۲-۷-۱ \quad 7627 \text{ Kg} \quad : ۱۲-۷-۲$$

$$4.24 \text{ m} \quad : ۱۲-۷-۲ \quad P=104.4t; 61.7t; 27.7t \quad : ۱۲-۷-۲$$

۷۴۰

می‌باشد.

مسئله ۱۲-۷-۳ یک ستون فولادی به شکل لوله تو خالی به قطر داخلی ۷.۴cm و به قطر خارجی ۸.۹ cm ۸ بار محوری P=9534Kg را حمل می‌کند. حداکثر طول L ستون جقدر می‌تواند باشد تا تنش مکریم در ستون از تنش مجاز برآسان فرمول های مو، ساختمان های فولادی امریکا تجاوز نکد؟ شرایط دو استهای ستون را مفصلی فرض کنید.  
همچنین فرض کنید  $\sigma_y = 2520 \text{ Kg/cm}^2$  و  $E = 2.03 \times 10^6 \text{ Kg/cm}^2$

## ۱۲-۱۵ جواب های مسائل حل نشده

$$812 \text{ Kg/cm}^2 \quad : ۱۲-۲-۱$$

$$\delta = 0.31 \text{ cm} ; \sigma_t = 165.2 \text{ Kg/cm}^2 ; \sigma_c = 166.6 \text{ Kg/cm}^2 \quad : ۱۲-۲-۲$$

$$P_c/P_s = 3/\pi = 0.955 \quad : ۱۲-۲-۱ \quad P_y = 86 \text{ Kg} \quad : ۱۲-۲-۲$$

$$P_{cr} = 47.2t \quad : ۱۲-۲-۲ \quad P_{cr} = 212t \quad : ۱۲-۲-۲$$

$$L5 \times 5 \times \frac{1}{2} \quad : ۱۲-۲-۵ \quad W14 \times 84 \quad : ۱۲-۲-۴$$

$$k = \sqrt{P/EI} \quad \text{که در} \quad \delta = \frac{QL}{2P} \left( \frac{\tan kL/2}{kL/2} - 1 \right) \quad : ۱۲-۲-۶$$

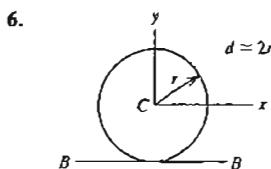
$$k = \sqrt{P/EI} \quad \text{که در} \quad \gamma = \frac{M_0}{P} \left( \frac{\sin kx}{\sin kL} - \frac{x}{L} \right) \quad : ۱۲-۲-۷$$

$$2 \quad : ۱۲-۲-۹ \quad 7.4 \quad : ۱۲-۲-۸$$

$$9.5 \text{ m} \quad : ۱۲-۲-۱۱ \quad \frac{A}{2} \sqrt{\frac{\pi E \cos \alpha}{P}} \quad : ۱۲-۲-۱۰$$

$$82^\circ \quad : ۱۲-۲-۱۲ \quad \frac{A}{2} \sqrt{\frac{\pi E}{qa}} \quad : ۱۲-۲-۱۲$$

$$63^\circ \quad : ۱۲-۳-۱۴ \quad (a) 375^\circ ; (b) 10.1^\circ : ۱۲-۳-۱۴$$

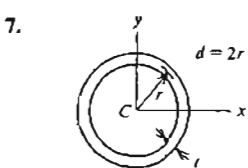


دایره ( مبدأ، محورها در مرکز )

$$A = \pi r^2 = \frac{\pi d^2}{4} \quad I_x = I_y = \frac{\pi r^4}{4} = \frac{\pi d^4}{64}$$

$$I_{xy} = 0 \quad J = \frac{\pi r^4}{2} = \frac{\pi d^4}{32}$$

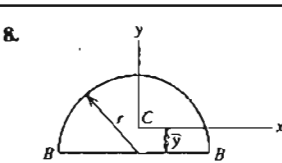
$$I_{BB} = \frac{5\pi r^4}{4} = \frac{5\pi d^4}{64}$$



حلقه، دایره‌ای ( مبدأ، محورها در مرکز ) روابط تقریبی برای حالتی که  $t$  کوچک می‌باشد.

$$A = 2\pi rt = \pi dt \quad I_x = I_y = \pi r^3 t = \frac{\pi d^3 t}{8}$$

$$I_{xy} = 0 \quad J = 2\pi r^3 t = \frac{\pi d^3 t}{4}$$

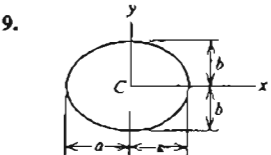


نیم دایره ( مبدأ، محورها در مرکز سطح )

$$A = \frac{\pi r^2}{2} \quad \bar{y} = \frac{4r}{3\pi}$$

$$J_x = \frac{(9\pi^2 - 64)r^4}{72\pi} \approx 0.1098r^4 \quad I_y = \frac{\pi r^4}{8}$$

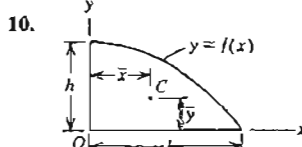
$$I_{xy} = 0 \quad I_{BB} = \frac{\pi r^4}{8}$$



بیضی ( مبدأ، محورها در مرکز سطح )

$$A = \pi ab \quad I_x = \frac{\pi ab^3}{4} \quad I_y = \frac{\pi ba^3}{4}$$

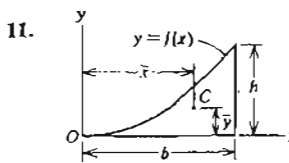
$$I_{xy} = 0 \quad J = \frac{\pi ab}{4} (b^2 + a^2)$$



سهمی

$$y = f(x) = h \left(1 - \frac{x^2}{b^2}\right)$$

$$A = \frac{2bh}{3} \quad \bar{x} = \frac{3b}{8} \quad \bar{y} = \frac{2h}{5}$$



سهمی ( مبدأ، محورها در راس )

$$y = f(x) = \frac{hx^2}{b^2}$$

$$A = \frac{bh}{3} \quad \bar{x} = \frac{3b}{4} \quad \bar{y} = \frac{3h}{10}$$

## ویژگی‌های سطوح

مواصل نا مرکز سطح مساحت

$I_x, I_y : y \text{ و } x$

$I_{xy} : y \text{ و } x$

$J = I_x + I_y$

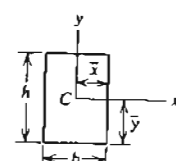
$I_{BB} = B - B$

گشاورهای لختی نسبت به محورهای

گشاور لختی حاصلضرب نسبت به محورهای

گشادر لختی عطفی

گشاور لختی نسبت به محور

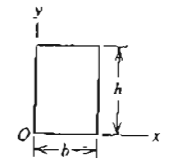


## مستطیل ( مبدأ، محورها در مرکز سطح )

$$A = bh \quad \bar{x} = \frac{b}{2} \quad \bar{y} = \frac{h}{2}$$

$$I_x = \frac{bh^3}{12} \quad I_y = \frac{hb^3}{12}$$

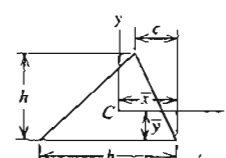
$$I_{xy} = 0 \quad J = \frac{bh}{12} (h^2 + b^2)$$



## مستطیل ( مبدأ، محورها در گونه )

$$I_x = \frac{bh^3}{3} \quad I_y = \frac{hb^3}{3}$$

$$I_{xy} = \frac{b^2 h^2}{4} \quad J = \frac{bh}{3} (h^2 + b^2)$$

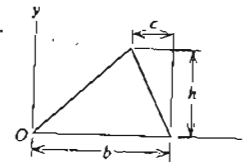


مثلث ( مبدأ، محورها در مرکز سطح )

$$A = \frac{bh}{2} \quad \bar{x} = \frac{b+c}{3} \quad \bar{y} = \frac{h}{3}$$

$$I_x = \frac{bh^3}{36} \quad I_y = \frac{bh}{36} (b^2 - bc + c^2)$$

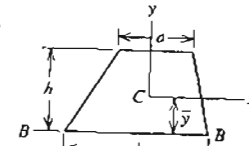
$$I_{xy} = \frac{bh^2}{72} (b - 2c) \quad J = \frac{bh}{36} (h^2 + b^2 - bc + c^2)$$



مثلث ( مبدأ، محورها در راس )

$$I_x = \frac{bh^3}{12} \quad I_y = \frac{bh}{12} (3b^2 - 3bc + c^2)$$

$$I_{xy} = \frac{bh^2}{24} (3b - 2c) \quad J = \frac{bh}{12} (h^2 + 3b^2 - 3bc + c^2)$$

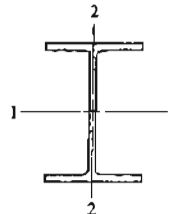


ذوزنقه ( مبدأ، محورها در مرکز سطح )

$$A = \frac{h(a+b)}{2} \quad \bar{y} = \frac{h(2a+b)}{3(a+b)}$$

$$I_x = \frac{h^3(a^2 + 4ab + b^2)}{36(a+b)} \quad I_{BB} = \frac{h^2(3a+b)}{12}$$

جدول ۱ - ۲ ویژگی های مقاطع I عریض بال ( مقاطع W )



نوع قطعه	وزن در فوت	مساحت قطعه	ارتفاع قطعه	صخامت بال		محور ۱-۱			محور ۲-۲			
				جان		In.	In. <sup>۴</sup>	In. <sup>۳</sup>	In.	In. <sup>۴</sup>	In. <sup>۳</sup>	
				ضخامت عرض	ضخامت عرض							
lb	In. <sup>۲</sup>	In.	In.	In.	In.							
W36×300	300	88.3	36.72	16.655	1.680	0.945	20300	1110	15.2	1300	156	3.83
W36×245	245	72.1	36.06	16.512	1.350	0.802	16100	894	15.0	1010	123	3.75
W30×210	210	61.9	30.38	15.105	1.315	0.775	9890	651	12.6	757	100	3.50
W30×172	172	50.7	29.88	14.985	1.065	0.655	7910	530	12.5	598	79.8	3.43
W24×160	160	47.1	24.72	14.091	1.135	0.656	5120	414	10.4	530	75.2	3.35
W24×120	120	35.4	24.31	12.088	0.930	0.556	3650	300	10.2	274	45.4	2.78
W18×114	114	33.5	18.48	11.833	0.991	0.595	2040	220	7.79	274	46.3	2.86
W18×85	85	25.0	18.32	8.838	0.911	0.526	1440	157	7.57	105	23.8	2.05
W16×96	96	28.2	16.32	11.533	0.875	0.535	1360	166	6.93	224	38.8	2.82
W16×50	50	14.7	16.25	7.073	0.628	0.380	657	80.8	6.68	37.1	10.5	1.59
W14×202	202	59.4	15.63	15.750	1.503	0.930	2540	325	6.54	980	124	4.06
W14×103	103	30.3	14.25	14.575	0.813	0.495	1170	164	6.21	420	57.6	3.72
W14×84	84	24.7	14.18	12.023	0.778	0.451	928	131	6.13	225	37.5	3.02
W14×38	38	11.2	14.12	6.776	0.513	0.313	386	54.7	5.88	26.6	7.86	1.54
W12×190	190	55.9	14.38	12.670	1.736	1.060	1890	263	5.82	590	93.1	3.25
W12×106	106	31.2	12.88	12.230	0.986	0.620	931	145	5.46	301	49.2	3.11
W12×72	72	21.2	12.25	12.040	0.671	0.430	597	97.5	5.31	195	32.4	3.04
W12×31	31	9.13	12.09	6.525	0.465	0.265	239	39.5	5.12	21.6	6.61	1.54
W10×112	112	32.9	11.38	10.415	1.248	0.755	719	126	4.67	235	45.2	2.67
W10×72	72	21.2	10.50	10.170	0.808	0.510	421	80.1	4.46	142	27.9	2.59
W10×45	45	13.2	10.12	8.022	0.618	0.350	249	49.1	4.33	53.2	13.3	2.00
W10×25	25	7.36	10.08	5.762	0.430	0.252	133	26.5	4.26	13.7	4.76	1.37
W8×67	67	19.7	9.00	8.287	0.933	0.575	272	60.4	3.71	88.6	21.4	2.12
W8×48	48	14.1	8.50	8.117	0.683	0.405	184	43.2	3.61	60.9	15.0	2.08
W8×40	40	11.8	8.25	8.077	0.558	0.365	146	35.5	3.53	49.0	12.1	2.04
W8×28	28	8.23	8.06	6.540	0.463	0.285	97.8	24.3	3.45	21.6	6.61	1.62

آدداشت : محورهای ۱-۱ و ۲-۲ محورهای اصلی مرکز سطحی سی باشند.

## بیوست ۲

### ویژگی های مقاطع استاندارد امریکائی

در این بیوست، ویژگی های چند شکل سازه ای استاندارد امریکائی به طور نمونه داده شده است. علامات بکار رفته در این بیوست عبارتند از :

I = گشتاور لختی

S = ضریب مقطع

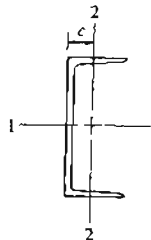
r = شاعع زیراگون

A = مساحت مقطع

x =  $\sqrt{I/A}$

۷۴۷

جدول ۲-۲ ویژگی های مقاطع بارداری ( مقطع C )



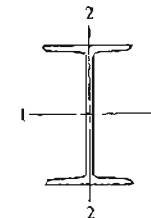
نوع مقطع	وزن فوت	مساحت در فوت	ارتفاع مقطع	بال ضخامت عرض متسط	بال ضخامت جان	محور ۱-۱			محور ۲-۲			محور c
						I	S	r	I	S	r	
						In. <sup>2</sup>	In.	In.	In.	In. <sup>2</sup>	In.	
C15×50	50.0	14.7	15.00	3.716	0.650	0.716	404	53.8	5.24	11.0	3.78	0.867 0.799
C15×40	40.0	11.8	15.00	3.520	0.650	0.520	349	46.5	5.44	9.23	3.36	0.886 0.778
C12×30	30.0	8.82	12.00	3.170	0.501	0.510	162	27.0	4.29	5.14	2.06	0.763 0.674
C12×20.7	20.7	6.09	12.00	2.942	0.501	0.282	129	21.5	4.61	3.88	1.73	0.799 0.698
C10×30	30.0	8.82	10.00	3.033	0.436	0.673	103	20.7	3.42	3.94	1.65	0.669 0.649
C10×20	20.0	5.88	10.00	2.739	0.436	0.379	78.9	15.8	3.66	2.81	1.32	0.691 0.606
C8×18.75	18.75	5.51	8.00	2.527	0.390	0.487	44.0	11.0	2.82	1.98	1.01	0.599 0.565
C8×11.5	11.5	3.38	8.00	2.260	0.390	0.220	32.6	8.14	3.11	1.32	0.781	0.625 0.571
C6×13	13.0	3.83	6.00	2.157	0.343	0.437	17.4	5.80	2.13	1.05	0.642	0.525 0.514
C6×8.2	8.2	2.40	6.00	1.920	0.343	0.200	13.1	4.38	2.34	0.692	0.492	0.537 0.512
C4×7.25	7.25	2.13	4.00	1.721	0.296	0.321	4.59	2.29	1.47	0.432	0.343	0.450 0.459
C4×5.4	5.4	1.59	4.00	1.584	0.296	0.184	3.85	1.93	1.56	0.319	0.283	0.449 0.458

یادداشت :  
۱ - محورهای ۱-۱ و ۲-۲ محورهای اصلی مرکز سطحی می باشند .

۲ - فاصله c از مرکز سطح سا پشت جان نیز اندازه گرفته می شود .

۳ - برای محور ۲-۲ ، مقدار S کوچکترین دو مقدار ضرب مقطع حول این محور می باشد .

جدول ۲-۲ ویژگی های مقاطع I ( یا S )

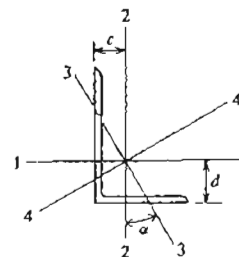


نوع مقطع	ورن فوت	مساحت در فوت	ارتفاع مقطع			ضخامت جان	محور ۱-۱			محور ۲-۲		
			In.	In.	In.		I	S	r	I	S	r
	Lb	In. <sup>2</sup>	In.	In.	In.	In.	In. <sup>4</sup>	In. <sup>3</sup>	In.	In. <sup>4</sup>	In. <sup>3</sup>	In.
S24×120	120.0	35.3	24.00	8.048	1.102	0.798	3030	252	9.26	84.2	20.9	1.54
S24×105.9	105.9	31.1	24.00	7.875	1.102	0.625	2830	236	9.53	78.2	19.8	1.58
S24×79.9	79.9	23.5	24.00	7.001	0.871	0.501	2110	175	9.47	42.3	12.1	1.34
S18×70	70.0	20.6	18.00	6.251	0.691	0.711	926	103	6.71	24.1	7.72	1.08
S18×54.7	54.7	16.1	18.00	6.001	0.691	0.461	804	89.4	7.07	20.8	6.94	1.14
S12×50	50.0	14.7	12.00	5.477	0.659	0.687	305	50.8	4.55	15.7	5.74	1.03
S12×40.8	40.8	12.0	12.00	5.252	0.659	0.472	272	45.4	4.77	13.6	5.16	1.06
S12×31.8	31.8	9.35	12.00	5.000	0.544	0.350	218	36.4	4.83	9.36	3.74	1.00
S8×23	23.0	6.77	8.00	4.171	0.425	0.441	64.9	16.2	3.10	4.31	2.07	0.798
S8×18.4	18.4	5.41	8.00	4.001	0.425	0.271	57.6	14.4	3.26	3.73	1.86	0.831
S7×20	20.0	5.88	7.00	3.860	0.392	0.450	42.4	12.1	2.69	3.17	1.64	0.734
S7×15.3	15.3	4.50	7.00	3.662	0.392	0.252	36.7	10.5	2.86	2.64	1.44	0.766
S6×17.25	17.25	5.07	6.00	3.565	0.359	0.465	26.3	8.77	2.28	2.31	1.30	0.675
S6×12.5	12.5	3.67	6.00	3.332	0.359	0.232	22.1	7.37	2.45	1.82	1.09	0.705
S5×14.75	14.75	4.34	5.00	3.284	0.326	0.494	15.2	6.09	1.87	1.67	1.01	0.620
S5×10	10.0	2.94	5.00	3.004	0.326	0.214	12.3	4.92	2.05	1.22	0.809	0.643
S4×9.5	9.5	2.79	4.00	2.796	0.293	0.326	6.79	3.39	1.56	0.903	0.646	0.569
S4×7.7	7.7	2.26	4.00	2.663	0.293	0.193	6.08	3.04	1.64	0.764	0.574	0.581

یادداشت : محورهای ۱-۱ و ۲-۲ محورهای اصلی مرکز سطحی می باشند .

۷۴۹

جدول ۲-۴ ویژگی های مقاطع نبشی با بال های نامساوی (مقاطع L)



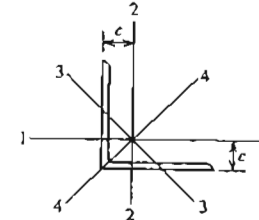
نوع قطعه	وزن در فت	مساحت در فت	محور 1-1				محور 2-2				محور 3-3		
			In.	Lb	In. <sup>2</sup>	In. <sup>4</sup>	In.	In.	In.	In.	r <sub>min</sub>	Tan α	
L8×6×1	44.2	13.00	80.8	15.1	2.49	2.65	38.8	8.92	1.73	1.65	1.28	0.543	
L8×6× $\frac{1}{2}$	23.0	6.75	44.3	8.02	2.56	2.47	21.7	4.79	1.79	1.47	1.30	0.559	
L7×4× $\frac{3}{2}$	30.2	8.86	42.9	9.65	2.20	2.55	10.2	3.46	1.07	1.05	0.856	0.318	
L7×4× $\frac{1}{2}$	17.9	5.25	26.7	5.81	2.25	2.42	6.53	2.12	1.11	0.917	0.872	0.335	
L6×4× $\frac{3}{2}$	27.2	7.98	27.7	7.15	1.86	2.12	9.75	3.39	1.11	1.12	0.857	0.421	
L6×4× $\frac{1}{2}$	16.2	4.75	17.4	4.33	1.91	1.99	6.27	2.08	1.15	0.987	0.870	0.440	
L5×3 $\frac{1}{2}$ × $\frac{3}{2}$	19.8	5.81	13.9	4.28	1.55	1.75	5.55	2.22	0.977	0.996	0.748	0.464	
L5×3 $\frac{1}{2}$ × $\frac{1}{2}$	10.4	3.05	7.78	2.29	1.60	1.61	3.18	1.21	1.02	0.861	0.762	0.486	
L5×3× $\frac{1}{2}$	12.8	3.75	9.45	2.91	1.59	1.75	2.58	1.15	0.829	0.750	0.648	0.357	
L5×3× $\frac{1}{4}$	6.6	1.94	5.11	1.53	1.62	1.66	1.44	0.614	0.861	0.657	0.663	0.371	
L4×3× $\frac{3}{2}$	13.6	3.98	6.03	2.30	1.23	1.37	2.87	1.35	0.849	0.871	0.637	0.534	
L4×3× $\frac{1}{2}$	8.5	2.48	3.96	1.46	1.26	1.28	1.92	0.866	0.879	0.782	0.644	0.551	

پادا داشت :

- ۱ - محورهای ۱-۱ و ۲-۲ محورهای مرکز سطحی موازی بالهای نبشی می باشدند.
- ۲ - فوامل c و d از مرکز سطح ناپشت بال ها اندازه گرفته می شود.
- ۳ - برای محورهای ۱-۱ و ۲-۲ ، مقدار ۵ کوچکترین مقدار دو ضریب قطعه حول محور های مزبور می باشد.
- ۴ - محورهای ۳-۳ و ۴-۴ محورهای اصلی مرکز سطحی می باشند.
- ۵ - گستاور لختی حول محور ۳-۳ که کوچکترین مقدار دو گستاور لختی حول محور های اصلی می باشد از معادله  $I_{33} = Ar_{min}^2$  بدست می آید.
- ۶ - گستاور لختی حول محور ۴-۴ که بزرگترین مقدار دو گستاور لختی حول محور های اصلی می باشد از معادله  $I_{44} + I_{23} = I_{11} + I_{22}$  بدست می آید.

۷۴۸

جدول ۴-۲ ویژگی های مقاطع نبشی با بال های مساوی (مقاطع L)



نوع قطعه	وزن در فت	مساحت در فت	محورهای ۱-۱ و ۲-۲				محور ۳-۳			
			In.	Lb	In. <sup>2</sup>	In. <sup>4</sup>	In.	In.	In.	r <sub>min</sub>
L8×8×1	51.0	15.0	89.0	15.8	2.44	2.37	1.56			
L8×8× $\frac{1}{2}$	26.4	7.75	48.6	8.36	2.50	2.19	1.59			
L6×6×1	37.4	11.0	35.5	8.57	1.80	1.86	1.17			
L6×6× $\frac{1}{2}$	19.6	5.75	19.9	4.61	1.86	1.68	1.18			
L5×5× $\frac{3}{2}$	27.2	7.98	17.8	5.17	1.49	1.57	0.973			
L5×5× $\frac{1}{2}$	16.2	4.75	11.3	3.16	1.54	1.43	0.983			
L4×4× $\frac{3}{2}$	18.5	5.44	7.67	2.81	1.19	1.27	0.778			
L4×4× $\frac{1}{2}$	9.8	2.86	4.36	1.52	1.23	1.14	0.788			
L3 $\frac{3}{2}$ ×3 $\frac{1}{2}$ × $\frac{3}{2}$	11.1	3.25	3.64	1.49	1.06	1.06	0.683			
L3 $\frac{3}{2}$ ×3 $\frac{1}{2}$ × $\frac{1}{2}$	5.8	1.69	2.01	0.794	1.09	0.968	0.694			
L3×3× $\frac{1}{2}$	9.4	2.75	2.22	1.07	0.898	0.932	0.584			
L3×3× $\frac{1}{4}$	4.9	1.44	1.24	0.577	0.930	0.842	0.592			

یادداشت :

- ۱ - محورهای ۱-۱ و ۲-۲ محورهای مرکز سطحی موازی بالهای نبشی می باشند.
- ۲ - فاصله c از مرکز سطح ناپشت بال ها اندازه گرفته می شود.
- ۳ - برای محورهای ۱-۱ و ۲-۲ ، مقدار ۵ کوچکترین مقدار دو ضریب قطعه حول محورهای مزبور می باشد.
- ۴ - محورهای ۳-۳ و ۴-۴ محورهای اصلی مرکز سطحی می باشند.
- ۵ - گستاور لختی حول محور ۳-۳ که کوچکترین مقدار دو گستاور لختی حول محور های اصلی می باشد از معادله  $I_{33} = Ar_{min}^2$  بدست می آید.
- ۶ - گستاور لختی حول محور ۴-۴ که بزرگترین مقدار دو گستاور لختی حول محور های اصلی می باشد از معادله  $I_{44} + I_{23} = I_{11} + I_{22}$  بدست می آید.

4.

$$v = \frac{Px}{48EI} (3L^2 - 4x^2) \quad 0 \leq x \leq \frac{L}{2}$$

$$v' = \frac{P}{16EI} (L^2 - 4x^2) \quad 0 \leq x \leq \frac{L}{2}$$

$$\delta_c = \delta_{max} = \frac{PL^3}{48EI} \quad \theta_a = \theta_b = \frac{PL^2}{16EI}$$

5.

$$v = \frac{Pbx}{6EI} (L^2 - b^2 - x^2) \quad 0 \leq x \leq a$$

$$v' = \frac{Pb}{6EI} (L^2 - b^2 - 3x^2) \quad 0 \leq x \leq a$$

$$\theta_a = \frac{Pab(L+b)}{6EI} \quad \theta_b = \frac{Pab(L+a)}{6EI}$$

$$a \geq b, \delta_c = \frac{Pb(3L^2 - 4b^2)}{48EI}$$

$$a \geq b, x_1 = \sqrt{\frac{L^2 - b^2}{3}} \quad v_{max} = \frac{Pb(L^2 - b^2)^{3/2}}{9\sqrt{3}LEI}$$

6.

$$v = \frac{Px}{6EI} (3aL - 3a^2 - x^2) \quad 0 \leq x \leq a$$

$$v' = \frac{P}{2EI} (aL - a^2 - x^2) \quad 0 \leq x \leq a$$

$$v = \frac{Pa}{6EI} (3Lx - 3x^2 - a^2) \quad a \leq x \leq \frac{L}{2}$$

$$v' = \frac{Pa}{2EI} (L - 2x) \quad a \leq x \leq \frac{L}{2}$$

$$\theta_a = \frac{Pa(L-a)}{2EI} \quad \delta_c = v_{max} = \frac{Pa}{24EI} (3L^2 - 4a^2)$$

7.

$$v = \frac{M_o x}{6EI} (2L^2 - 3Lx + x^2)$$

$$v' = \frac{M_o}{6EI} (2L^2 - 6Lx + 3x^2)$$

$$\delta_c = \frac{M_o L^2}{16EI} \quad \theta_a = \frac{M_o L}{3EI} \quad \theta_b = \frac{M_o L}{6EI}$$

$$x_1 = L \left(1 - \frac{\sqrt{3}}{3}\right) \quad \delta_{max} = \frac{M_o L^2}{9\sqrt{3}EI}$$

## پیوست ۳ روابط خیز و شب تیرها

۱- ۳ خیزها و شب های نیرهای ساده  
خیز در جهت y

$$v = \frac{dx}{dy}$$

شب محنتی خیز

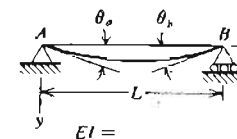
$$\delta_c = v\left(\frac{L}{2}\right) =$$

فاصله از A تا نقطه خیز ماقریم

خیز ماقریم

شب در انتهای چپ تیر

شب در انتهای راست تیر



1.

$$v = \frac{qx}{24EI} (L^3 - 2Lx^2 + x^3)$$

$$v' = \frac{q}{24EI} (L^3 - 6Lx^2 + 4x^3)$$

$$\delta_c = \delta_{max} = \frac{5qL^4}{384EI} \quad \theta_a = \theta_b = \frac{qL^3}{24EI}$$

2.

$$v = \frac{qx}{384EI} (9L^3 - 24Lx^2 + 16x^3) \quad 0 \leq x \leq \frac{L}{2}$$

$$v' = \frac{q}{384EI} (9L^3 - 72Lx^2 + 64x^3) \quad 0 \leq x \leq \frac{L}{2}$$

$$v = \frac{qL}{384EI} (8x^3 - 24Lx^2 + 17L^2x - L^3) \quad \frac{L}{2} \leq x \leq L$$

$$v' = \frac{qL}{384EI} (24x^2 - 48Lx + 17L^2) \quad \frac{L}{2} \leq x \leq L$$

$$\delta_c = \frac{5qL^4}{768EI} \quad \theta_a = \frac{3qL^3}{128EI} \quad \theta_b = \frac{7qL^3}{384EI}$$

3.

$$v = \frac{qx}{24LEI} (a^4 - 4a^3L + 4a^2L^2 + 2a^2x^2 - 4aLx^2 + Lx^3) \quad 0 \leq x \leq a$$

$$v' = \frac{q}{24LEI} (a^4 - 4a^3L + 4a^2L^2 + 6a^2x^2 - 12aLx^2 + 4Lx^3) \quad 0 \leq x \leq a$$

$$v = \frac{qa^3}{24LEI} (-a^2L + 4L^2x + a^2x - 6Lx^2 + 2x^3) \quad a \leq x \leq L$$

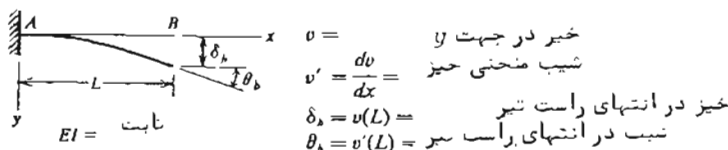
$$v' = \frac{qa^3}{24LEI} (4L^2 + a^2 - 12Lx + 6x^2) \quad a \leq x \leq L$$

$$\theta_a = \frac{qa^2}{24LEI} (a^2 - 4aL + 4L^2) \quad \theta_b = \frac{qa^2}{24LEI} (2L^2 - a^2)$$

۷۵۲

۷۵۳

### ۳- خیزها و شیب های سیرهای طرهای



۱.

$$v = \frac{qx^2}{24EI} (6L^2 - 4Lx + x^2)$$

$$v' = \frac{qx}{6EI} (3L^2 - 3Lx + x^2)$$

$$\delta_b = \frac{qL^4}{8EI} \quad \theta_b = \frac{qL^3}{6EI}$$

۲.

$$v = \frac{qx^2}{24EI} (6a^2 - 4ax + x^2) \quad 0 \leq x \leq a$$

$$v' = \frac{qx}{6EI} (3a^2 - 3ax + x^2) \quad 0 \leq x \leq a$$

$$v = \frac{qa^3}{24EI} (4x - a) \quad v' = \frac{qa^3}{6EI} \quad a \leq x \leq L$$

$$v = \frac{qa^4}{8EI} \quad v' = \frac{qa^3}{6EI} \quad x = a \rightarrow$$

$$\delta_b = \frac{qa^3}{24EI} (4L - a) \quad \theta_b = \frac{qa^3}{6EI}$$

۳.

$$v = \frac{qx^2}{12EI} (3bL + 3ab - 2bx) \quad 0 \leq x \leq a$$

$$v' = \frac{qbx}{2EI} (L + a - x) \quad 0 \leq x \leq a$$

$$v = \frac{q}{24EI} (x^4 - 4Lx^3 + 6L^2x^2 - 4a^3x + a^4) \quad a \leq x \leq L$$

$$v' = \frac{q}{6EI} (x^3 - 3Lx^2 + 3L^2x - a^3) \quad a \leq x \leq L$$

$$v = \frac{qa^2b}{12EI} (3L + a) \quad v' = \frac{qabL}{2EI} \quad ; \quad x = a \rightarrow$$

$$\delta_b = \frac{q}{24EI} (3L^4 - 4a^3L + a^4) \quad \theta_b = \frac{q}{6EI} (L^3 - a^3)$$

۴.

$$v = \frac{Px^2}{6EI} (3L - x) \quad v' = \frac{Px}{2EI} (2L - x)$$

$$\delta_b = \frac{PL^3}{3EI} \quad \theta_b = \frac{PL^3}{2EI}$$

۸.

$$v = \frac{M_0x}{24EI} (L^2 - 4x^2) \quad 0 \leq x \leq \frac{L}{2}$$

$$v' = \frac{M_0}{24EI} (L^3 - 12x^2) \quad 0 \leq x \leq \frac{L}{2}$$

$$\delta_c = 0 \quad \theta_s = \frac{M_0L}{24EI} \quad \theta_b = -\frac{M_0L}{24EI}$$

۹.

$$v = \frac{M_0x}{6LEI} (6aL - 3a^3 - 2L^2 - x^2) \quad 0 \leq x \leq a$$

$$v' = \frac{M_0}{6LEI} (6aL - 3a^2 - 2L^2 - 3x^2) \quad 0 \leq x \leq a$$

$$v = \frac{M_0a}{3LEI} (3aL - 2a^2 - L^2) \quad ; \quad x = a \rightarrow$$

$$v' = \frac{M_0}{3LEI} (3aL - 3a^2 - L^2) \quad ; \quad x = c \rightarrow$$

$$\theta_s = \frac{M_0}{6LEI} (6aL - 3a^2 - 2L^2) \quad \theta_b = \frac{M_0}{6LEI} (3a^3 - L^2)$$

۱۰.

$$v = \frac{q_0x}{360EI} (7L^4 - 10L^2x^2 + 3x^4)$$

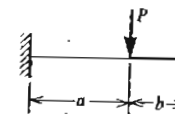
$$v' = \frac{q_0}{360EI} (7L^4 - 30L^2x^2 + 15x^4)$$

$$\delta_c = \frac{5q_0L^4}{768EI} \quad \theta_s = \frac{7q_0L^3}{360EI} \quad \theta_b = \frac{q_0L^3}{45EI}$$

$$x_1 = 0.5193L \quad \delta_{max} = 0.00652 \frac{q_0L^4}{EI}$$

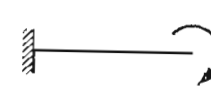
1. Beer, F.P. and Johnston, E.R., Jr., "Vector Mechanics for Engineers", 3rd edition, McGraw-Hill Book Co., 1977.
2. Belyayev, N.M., "Problems in Strength of Materials", Pergamon Press, 1966.
3. Crandall, S.H., Dahl, N.C., and Lardner, T.J., "An Introduction to the Mechanics of Solids", 2nd ed., McGraw-Hill Book Co., 1972.
4. Feodosyev, V. "Strength of Materials", MIR Publishers, 1968.
5. Feodosyev, V.I., "Selected Problems and Questions in Strength of Materials", MIR Publishers, 1977.
6. Hall, A. and Kabaila, A.P., "Basic Concepts of Structural Analysis", John Wiley and Sons, 1977.
7. Higdon, A., Stiles, W.B., Davis, A.W., and Evces, C.R., "Engineering Mechanics" 2nd ed., Prentice-Hall, Inc., 1976.
8. Johnston, B.G. and Lin, F., "Basic Steel Design", Prentice-Hall, Inc., 1974.
9. Kinasoshvili, R., "Strength of Materials", MIR Publishers, 1978.
10. Marshall, W.T., "Solution of Problems in Structures", 2nd ed., Pitman, 1978.
11. Marshall, W.T. and Nelson, H.M., "Structures", 2nd ed., Pitman, 1977.
12. Massonet, C., "Résistance des Matériaux", DUNOD, 1962.
13. Meriam, J.L., "Statics", 2nd ed., John Wiley and Sons, 1975.
14. Mirolyubov, I.N. et al, "An Aid to Solving Problems in Strength of Materials", MIR Publishers, 1977.
15. Morgan, W., "The Elements of Structure", 2nd ed., Pitman, 1977.
16. Nash, W.A., "Strength of Materials", 2nd ed.,

5.



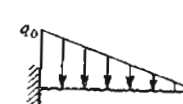
$$\begin{aligned}
 v &= \frac{Px^2}{6EI} (3a - x) & v' &= \frac{Px}{2EI} (2a - x) & 0 \leq x \leq a \\
 v &= \frac{Pa^2}{6EI} (3x - a) & v' &= \frac{Pa^2}{2EI} & a \leq x \leq L \\
 v &= \frac{Pa^3}{3EI} & v' &= \frac{Pa^2}{2EI} & x = a \\
 \delta_b &= \frac{Pa^2}{6EI} (3L - a) & \theta_b &= \frac{Pa^2}{2EI}
 \end{aligned}$$

6.



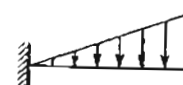
$$\begin{aligned}
 v &= \frac{M_0 x^2}{2EI} & v' &= \frac{M_0 x}{EI} \\
 \delta_b &= \frac{M_0 L^2}{2EI} & \theta_b &= \frac{M_0 L}{EI}
 \end{aligned}$$

7.



$$\begin{aligned}
 v &= \frac{q_0 x^2}{120EI} (10L^3 - 10L^2x + 5Lx^2 - x^3) \\
 v' &= \frac{q_0 x}{24LEI} (4L^3 - 6L^2x + 4Lx^2 - x^3) \\
 \delta_b &= \frac{q_0 L^4}{30EI} & \theta_b &= \frac{q_0 L^3}{24EI}
 \end{aligned}$$

8.



$$\begin{aligned}
 v &= \frac{q_0 x^2}{120EI} (20L^3 - 10L^2x + x^3) \\
 v' &= \frac{q_0 x}{24LEI} (8L^3 - 6L^2x + x^3) \\
 \delta_b &= \frac{11q_0 L^4}{120EI} & \theta_b &= \frac{q_0 L^3}{8EI}
 \end{aligned}$$